

Обмоточные данные асинхронных двигателей



ВСЕСОЮЗНОЕ ОБЪЕДИНЕНИЕ ГЛАВЭЛЕКТРОРЕМОНТ

ЦЕНТРАЛЬНОЕ КОНСТРУКТОРСКО-ТЕХНОЛОГИЧЕСКОЕ
БЮРО ПО РЕМОНТУ ЭЛЕКТРООБОРУДОВАНИЯ

ЦКТБЭР

Обмоточные данные асинхронных двигателей

Под редакцией П. И. ЦИБУЛЕВСКОГО

ИЗДАНИЕ ВТОРОЕ, ДОПОЛНЕННОЕ



«ЭНЕРГИЯ»

МОСКВА 1971

6П2.1.08

О 19

УДК 621.313.045(083)

Обмоточные данные асинхронных двигателей.

М., «Энергия», 1971, изд. 2-е, доп.

392 с. с ил.

В книге приводятся основные обмоточно-расчетные данные, а также схемы соединений действующего парка находящихся в эксплуатации асинхронных электродвигателей трехфазного тока общепромышленного назначения мощностью до 100 кВт и крановых электродвигателей переменного тока мощностью до 160 кВт, выпускаемых в настоящее время и выпущенных ранее предприятиями отечественной электротехнической промышленности.

Даются материалы по применению алюминиевых обмоточных проводов вместо медных при ремонте асинхронных электродвигателей общепромышленного назначения мощностью до 100 кВт с вольтовой обмоткой.

Книга предназначена для рабочих-обмотчиков, мастеров, техников и инженеров, работающих в области ремонта электрических машин, как руководство при выполнении обмоточно-изоляционных работ и как пособие при расчетах, связанных с модернизацией электродвигателей.

3-3-10

6П2.1.08

143-71

Обмоточные данные асинхронных двигателей

Редактор *И. В. Антик*

Переплет художника *В. И. Карпова*

Технический редактор *Л. В. Иванова* Корректор *З. Б. Шлайфер*

Сдано в набор 28/X 1970 г.

Подписано к печати 11/III 1971 г.

Формат 84×108^{1/16}

Усл. печ. л. 41,16

Тираж 20 000 экз.

Цена 2 р. 13 к.

T-09060

Бумага типографская № 2

Уч.-изд. л. 39,56

Зак. 1440

Издательство «Энергия». Москва, М-114, Шлюзовая наб., 10.

Московская типография № 10 Главполиграфпрома Комитета по печати при Совете Министров СССР. Шлюзовая наб., 10.

Предисловие	4	КТ 2—9-й величин	206
Глава первая. Основные обмоточно-расчетные данные асинхронных двигателей	5	КТО 2—9-й величин	210
1-1. Краткая характеристика рассматриваемых серий электродвигателей	5	КТК 2—6-й величин	214
1-2. Общие замечания к таблицам обмоточно-расчетных данных	5	1-8. Основные обмоточно-расчетные данные электродвигателей выпущенных ранее серий АД 2—9-го габаритов	216
1-3. Обозначения и единицы измерения величин, применяемых в таблицах обмоточно-расчетных данных	6	АДО 2—5-го габаритов	226
1-4. Формы пазов статора и ротора, соответствующих обмоточно-расчетным данным асинхронных двигателей	7	МА202—МА206	234
1-5. Основные обмоточно-расчетные данные электродвигателей единой серии А2 и АО2 АО2 и АОЛ2 1—5-го габаритов	8	«Урал» типа Р 4—5-го габаритов	242
А2 и АО2 6—7-го габаритов	18	Глава вторая. Применение алюминиевых обмоточных проводов вместо медных при капитальном ремонте асинхронных двигателей общепромышленного назначения	244
А2 и АО2 8—9-го габаритов	24	2-1. Общие сведения	244
АОС2 2—9-го габаритов	38	2-2. Сравнение основных свойств меди и алюминия	244
АОП2 4—9-го габаритов	46	2-3. Потери энергии в обмотке статора и ее нагрев при замене медных проводов алюминиевыми	245
АОТ2 3—7-го габаритов	52	2-4. Проверка соответствия параметров двигателя государственным стандартам	247
АОК2 4—7-го габаритов	58	2-5. Нагрев электродвигателя с алюминиевой обмоткой при пуске	250
АК2 8—9-го габаритов	64	2-6. Экономическая сторона вопроса	250
АО2 3-го габарита двухскоростные и трехскоростные	68	2-7. Выводы	250
АО2 4-го габарита двухскоростные и многоскоростные	72	2-8. Особенности технологии при ремонте электродвигателей с алюминиевыми обмотками	251
АО2 5-го габарита двухскоростные и многоскоростные	74	2-9. Намотка катушек статора	251
АО2 6-го габарита двухскоростные, трехскоростные и четырехскоростные	78	2-10. Подготовка к сварке и сварка концов алюминиевых проводов	252
АО2 7-го габарита двухскоростные	82	2-11. Лужение выводных концов алюминиевых катушек	253
1-6. Основные обмоточно-расчетные данные электродвигателей единой серии А и АО А и АО 3—9-го габаритов	84	2-12. Лужение, подготовка к пайке и пайка методом окунания выводных медных проводов с концами алюминиевых катушек	253
АОС 3—5-го габаритов	98	2-13. Пайка выводных концов алюминиевых катушек с выводным медным проводом методом заливки	254
АС и АОС 6—9-го габаритов	102	2-14. Приготовление флюса и припоев для лужения и пайки концов проводов алюминиевых катушек и выводного медного провода	255
АОП 4—5-го габаритов	110	2-15. Общие замечания к таблицам обмоточно-расчетных данных электродвигателей, ремонтируемых с применением алюминиевых обмоточных проводов	255
АП и АОП 6—9-го габаритов	112	2-16. Основные обмоточно-расчетные данные электродвигателей единой серии А и АО, ремонтируемых с применением алюминиевого обмоточного провода	256
АОТ 4—7-го габаритов	120	А и АО 3—5-го габаритов	256
АК 5—9-го габаритов	124	А 6—9-го габаритов	262
АО 3-го габарита двухскоростные	129	2-17. Основные обмоточно-расчетные данные электродвигателей выпущенных ранее серий, ремонтируемых с применением алюминиевого обмоточного провода	270
АО 4-го габарита двухскоростные и многоскоростные	130	АД 2—8-го габаритов	270
АО 5-го габарита двухскоростные и многоскоростные	134	АДО 2—5-го габаритов	280
А и АО 6-го габарита двухскоростные, трехскоростные и четырехскоростные	140	МА202—МА204	288
А и АО 7-го габарита двухскоростные, трехскоростные и четырехскоростные	154	«Урал» типа Р 4—5-го габаритов	292
А и АО 8-го габарита двухскоростные, трехскоростные и четырехскоростные	166	Глава третья. Схемы обмоток	297
А и АО 9-го габарита двухскоростные, трехскоростные и четырехскоростные	178	3-1. Общие сведения	297
1-7. Основные обмоточно-расчетные данные крановых электродвигателей переменного тока	190	3-2. Схемы обмоток	297
МТ 0—2-го габаритов модернизированные	190		
МТВ 1—7-го габаритов модернизированные	191		
МТК 0—2-го габаритов модернизированные	196		
МТКВ 1,3—5-го габаритов модернизированные	196		
МТ 1—7-го габаритов	200		
МТК 1—5-го габаритов	204		

ПРЕДИСЛОВИЕ

С каждым годом увеличивается количество электродвигателей в промышленности, сельском хозяйстве, строительстве и на транспорте. Количество единиц силового электрооборудования в народном хозяйстве Советского Союза исчисляется десятками миллионов единиц и непрерывно увеличивается. Потребности в ремонте электротехнического оборудования также возрастают, и вопросы производительности труда, надежности и качества ремонта приобретают большое народнохозяйственное значение.

Настоящая книга содержит необходимые при проведении капитального ремонта данные и сведения по основному парку находящихся в эксплуатации асинхронных электродвигателей общепромышленного назначения как единой серии А2 и АО2 основного исполнения со всеми модификациями, которые выпускаются заводами электротехнической промышленности, так и единой серии А и АО, серий крановых электродвигателей переменного тока, а также сведения и по другим, более ранним сериям двигателей, еще работающих в народном хозяйстве; ремонт этих двигателей составит в 1971 г. более трех с половиной миллионов единиц.

Все приводимые в книге обмоточные, расчетные, изоляционные и основные конструктивные данные активной стали и т. п. соответствуют материалам заводов-изготовителей. Изучение этих данных и их соблюдение ремонтным персоналом многочисленных электроремонтных мастерских, цехов и предприятий будут способствовать росту производительности труда, повышению качества ремонтов, возрастанию степени надежности отремонтированных электродвигателей и увеличению сроков межремонтного периода. Эти материалы также необходимы при проведении расчетов, связанных с модернизацией ремонтируемых электродвигателей, в особенности ранних серий.

Применение новых современных изоляционных материалов и обмоточных проводов при модернизации ремонтируемых электродвигателей позволит использовать имеющиеся конструктивные резервы, увеличить мощность ремонтируемого электродвигателя или повысить его надежность.

В книге помещены переработанные и дополненные материалы по применению алюминиевых обмоточных проводов вместо медных при ремонте асинхронных двигателей с всыпной обмоткой, выполненных заводами-изготовителями с изоляцией по классу нагревостойкости А. Замена медных обмоточных проводов алюминиевыми, в особенности с восстанавливаемой изоляцией, обеспечит должную надежность электродвигателя и экономию обмоточной меди.

П. И. Цибулевский

ОСНОВНЫЕ ОБМОТОЧНО-РАСЧЕТНЫЕ ДАННЫЕ АСИНХРОННЫХ ДВИГАТЕЛЕЙ

1-1. КРАТКАЯ ХАРАКТЕРИСТИКА РАССМАТРИВАЕМЫХ СЕРИЙ ЭЛЕКТРОДВИГАТЕЛЕЙ

Приводимые в гл. 1 обмоточно-расчетные данные соответствуют асинхронным электродвигателям общепромышленного назначения мощностью до 100 кВт как выпускаемым в настоящее время предприятиями отечественной электротехнической промышленности, так и выпущенным ранее и еще находящимся в эксплуатации. Кроме сведений, относящихся к электродвигателям общепромышленного назначения, приводятся обмоточно-расчетные данные для выпускаемых и ранее выпущенных крановых электродвигателей переменного тока отечественного производства, работающих в народном хозяйстве Советского Союза.

Электродвигатели единой серии А2 и АО2 заменили выпускавшиеся с 1949 г. электродвигатели единой серии А и АО и имеют по сравнению с ними следующие преимущества: 1) большую эксплуатационную надежность благодаря применению в электродвигателях современных высокопрочных изоляционных материалов; 2) повышенные энергетические показатели (к. п. д., $\cos \varphi$); 3) шкалу мощностей с 18 ступенями (с 1-го по 9-й габариты); 4) меньший вес на единицу мощности; 5) меньшие габаритные размеры; 6) скорость нарастания температуры не более $7^\circ\text{C}/\text{сек}$ для основного исполнения против $11\text{—}13^\circ\text{C}/\text{сек}$ в электродвигателях серии А и АО.

В единой серии электродвигатели основного исполнения для общепромышленного назначения выпускаются как в защищенном исполнении А2, так и в закрытом обдуваемом АО2. Электродвигатели 1—5-го габаритов изготавливаются только в закрытом обдуваемом исполнении, а электродвигатели 6—9-го габаритов — как в закрытом обдуваемом так и в защищенном исполнениях.

Обозначение типа электродвигателя основного исполнения общепромышленного назначения расшифровывается следующим образом:

А — защищенное исполнение; АО — закрытое обдуваемое исполнение. Цифра 2 после букв является индексом, характеризующим серию. Число после первого дефиса обозначает типоразмер, в котором первая цифра — порядковый номер наружного диаметра сердечника статора (габарит), вторая цифра — порядковый номер длины электродвигателя; цифра после второго дефиса — число полюсов (например, АО2-62-4).

На базе электродвигателей основного исполнения А2 и АО2 предусмотрены те же модификации электродвигателей, как и в единой серии А и АО, включая многоскоростные электродвигатели на две, три и четыре скорости вращения.

При обозначении модификаций к буквенной части, указанной выше, прибавляется для электродвигателей: с повышенным пусковым моментом — буква П (например, АОП2-62-4);

с повышенным скольжением — буква С (например, АОС2-41-4);

для текстильной промышленности — буква Т (например, АОТ2-32-6);

с фазным ротором — буква К (например, АК2-82-6).

Для электродвигателей общепромышленного назначения с алюминиевой обмоткой статора в конце полного обозначения типа добавляется буква А (например, АО2-42-4А).

Электродвигатели единой серии выпускаются на номинальные напряжения сети 127/220, 220/380 и 380 в при соединении обмотки статора в треугольник и 500 в при соединении обмотки статора в звезду.

Единая серия электродвигателей А и АО мощностью от 0,6 до 100 кВт состояла из семи габаритов — 3, 4, 5, 6, 7, 8 и 9-го. В отличие от единой серии А2 и АО2 электродвигатели до 5-го габарита выпускались как в закрытом обдуваемом исполнении АО, так и защищенном — А.

Обозначение типов электродвигателей серии А и АО и их модификаций такие же, как и в серии А2 и АО.

Серия трехфазных крановых электродвигателей типа МТ состоит из восьми габаритов мощностью от 1,4 до 160 кВт.

Двигатели 0—5-го габаритов выполнены с всыпной обмоткой статора и ротора; обмотка статора электродвигателей 6-го габарита — всыпная; обмотка статора электродвигателей 7-го габарита выполнена из прямоугольной обмоточной меди и жестких секций; обмотка роторов электродвигателей 6 и 7-го габаритов выполнена стержневой.

Классы нагревостойкости изоляции обмоток статоров и роторов крановых электродвигателей приведены в примечаниях к таблицам обмоточных данных этих электродвигателей.

Из электродвигателей выпущенных ранее серий помещены обмоточно-расчетные данные электродвигателей типов:

АД 2—5-го габаритов мощностью 1—12 кВт;

АД 6—9-го габаритов (двухполюсных) мощностью 16—96 кВт;

АДО 2—5-го габаритов мощностью 0,5—7 кВт;

«Урал» 4—5-го габаритов мощностью 2,7—12 кВт;

МА202—МА206 мощностью 6—105 кВт.

1-2. ОБЩИЕ ЗАМЕЧАНИЯ К ТАБЛИЦАМ ОБМОТОЧНО-РАСЧЕТНЫХ ДАННЫХ

В таблицах основных обмоточно-расчетных данных приведены размеры активной стали, величина воздушного зазора, число, форма, размеры и площади пазов, обмоточные данные, величина индукции в воздушном зазоре, плотности тока, сопротивление и вес обмоточного провода, заводское исполнение пазовой и лобовой изоляции и изоляции внутримашинных соединений.

При выборе изоляции обмоток статоров или роторов электродвигателей общепромышленного назначения, отличающейся от заводского исполнения, необходимо руководствоваться классом нагревостойкости изоляции обмоток. Так, например, с изоляцией по классу нагревостойкости А выпущены электродвигатели единой серии А и АО типов: А 3—9-го габаритов; АО 3—5-го га-

баритов; АОЛ 4-го габарита; АОП 4—5-го габаритов; АП 6—9-го габаритов; АОС 3—5-го габаритов; АС 6—9-го габаритов; АОТ 4—7-го габаритов; АК 5—9-го габаритов.

С изоляцией по классу нагревостойкости Е выпускаются электродвигатели единой серии А2 и АО2 типов: А2 6—9-го габаритов; АО2 1—5-го габаритов; АОЛ2 1—3-го габаритов; АОТ2 3—7-го габаритов; АОП2 4—5-го габаритов; АОС2 4—5-го габаритов; АОК2 4—5-го габаритов.

С изоляцией по классу нагревостойкости В выпущены электродвигатели единой серии типов: АО 6—9-го габаритов; АОП 6—9-го габаритов; АОС 6—9 габаритов.

С изоляцией по классу нагревостойкости F выпускаются электродвигатели единой серии типов: АО2 6—9-го габаритов; АОП2 6—9-го габаритов; АОС2 6—9-го габаритов; АК2 8—9-го габаритов; АОК2 6—7-го габаритов.

Для фазных роторов в таблицах приведены напряжения и токи на контактных кольцах, а для короткозамкнутых роторов — число и формы пазов, материал стержней и короткозамыкающих колец¹.

Приведенные величины токов в некоторых случаях отличаются от расчетных. Расхождения объясняются округлением и, как правило, не превосходят 2%.

В соответствии с установившейся практикой в таб-

¹ Алюминий А5 и А6 по ГОСТ 11 069-64; алюминий А2 по ГОСТ 2685-63; сплавы АМг-7, АКМ12-4, АКМц10-2, АЛ2 с 4% меди, А1—85,5% и Si—13%, СИЛ-1-96% и Меди М1-4% по отраслевой нормали ВНИИ ЭМ ОАА 641 000-59.

1.3. ОБОЗНАЧЕНИЯ И ЕДИНИЦЫ ИЗМЕРЕНИЯ ВЕЛИЧИН,
ПРИМЕНЯЕМЫХ В ТАБЛИЦАХ ОБМОТОЧНО-РАСЧЕТНЫХ ДАННЫХ

Во всех обозначениях индекс 1 относится к статору, а индекс 2 — к ротору

Обозначение	Наименование	Единица измерения	Обозначение	Наименование	Единица измерения
P_2	Номинальная мощность (на валу)	квт	h	Полная высота паза	мм
U	Номинальное линейное напряжение	в	e	Высота усика паза	мм
I	Номинальный линейный ток	а	h'	Высота паза до клина	мм
n	Скорость вращения при номинальной нагрузке	об/мин	Q_s	Площадь сечения паза	мм ²
η	Номинальный коэффициент полезного действия	—	d	Диаметр голого обмоточного провода	мм
$\cos \varphi$	Номинальный коэффициент мощности	—	d'	Диаметр изолированного обмоточного провода	мм
$I_{пуск}/I_H$	Отношение пускового тока к номинальному	—	m	Число параллельных проводников в витке	—
$M_{пуск}/M_H$	Отношение пускового момента к номинальному	—	ω_k	Число витков в катушке	—
$M_{макс}/M_H$	Отношение максимального момента к номинальному	—	n	Число элементарных проводников в пазу	—
D_a	Наружный диаметр активной стали	мм	a	Число параллельных ветвей в фазе	—
D_i	Внутренний диаметр активной стали	мм	y	Шаг обмотки по пазам	—
l_t	Полная длина сердечника	мм	j	Плотность тока	а/мм ²
δ	Воздушный зазор	мм	AS	Линейная нагрузка	а/см
B_δ	Индукция в воздушном зазоре	гс*	l_m	Средняя длина витка	м
z	Число пазов	—	r	Внутреннее сопротивление фазы обмотки при 15°С	ом
q	Число пазов на полюс и фазу	—	G	Вес обмоточного провода с изоляцией	кг
b	Большой размер ширины паза	мм	$a \times b$	Размеры прямоугольного голого обмоточного провода или стержней	мм
b'	Меньший размер ширины паза	мм	$A \times B$	Размеры прямоугольного изолированного обмоточного провода	мм
b''	Ширина шлица паза	мм			

* В системе СИ за единицу магнитной индукции принята тесла (тл):

1 тл = 1 вб/м² = 1 в·сек/м²;
1 гс = 10⁻⁴ вб/м² = 10⁻⁴ тл.

1-4. ФОРМЫ ПАЗОВ СТАТОРА И РОТОРА, СООТВЕТСТВУЮЩИХ ОБМОТОЧНО-РАСЧЕТНЫМ ДАННЫМ АСИНХРОННЫХ ДВИГАТЕЛЕЙ

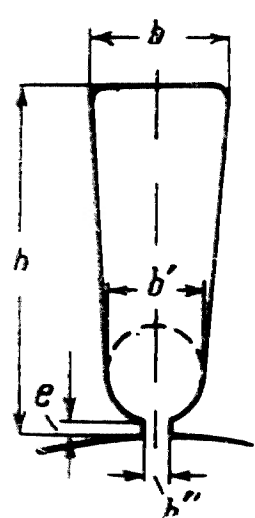


Рис. 1-1. Форма пазов статора.

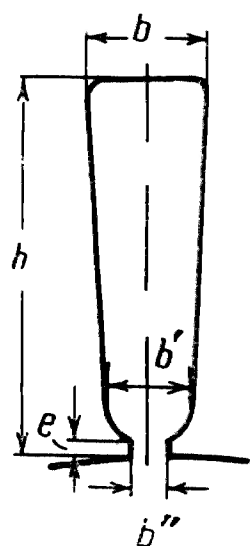


Рис. 1-2. Форма пазов статора.



Рис. 1-3. Форма пазов ротора.

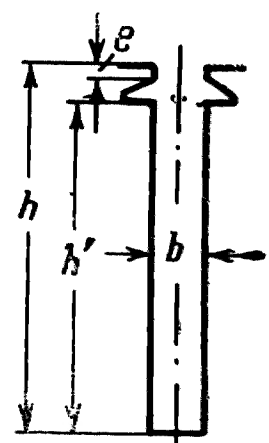


Рис. 1-4. Форма пазов ротора.

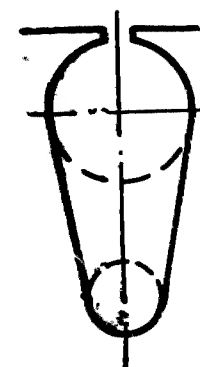


Рис. 1-5. Форма пазов ротора.

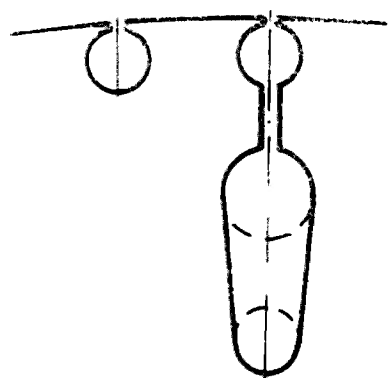


Рис. 1-6. Форма пазов ротора.

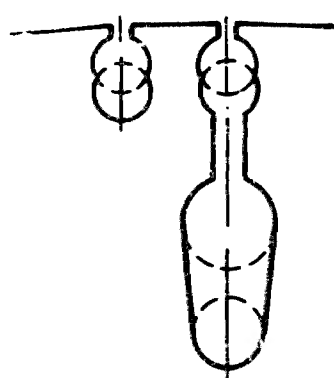


Рис. 1-7. Форма пазов ротора.

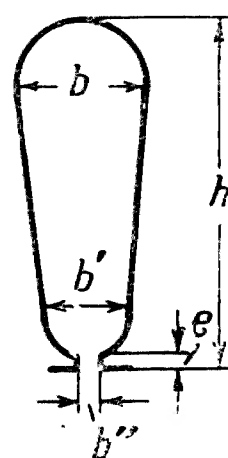


Рис. 1-8. Форма пазов статора.



Рис. 1-9. Форма пазов ротора.

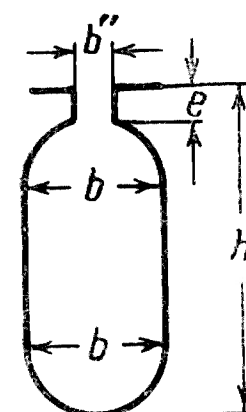


Рис. 1-10. Форма пазов ротора.

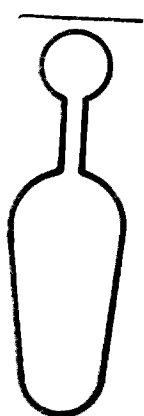


Рис. 1-11. Форма пазов ротора.



Рис. 1-12. Форма пазов ротора.

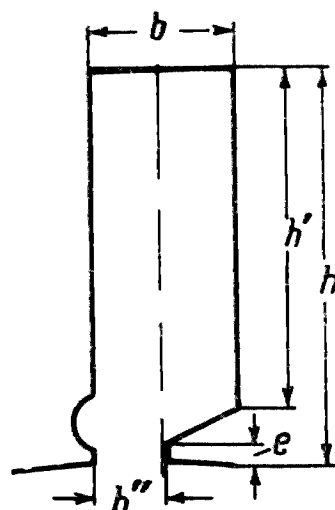


Рис. 1-13. Форма пазов статора.

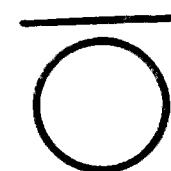


Рис. 1-14. Форма пазов ротора.

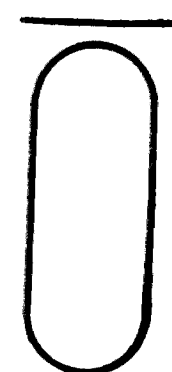


Рис. 1-15. Форма пазов ротора.

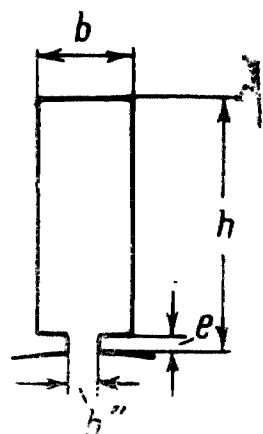


Рис. 1-16. Форма пазов статора.



Рис. 1-17. Форма пазов ротора.

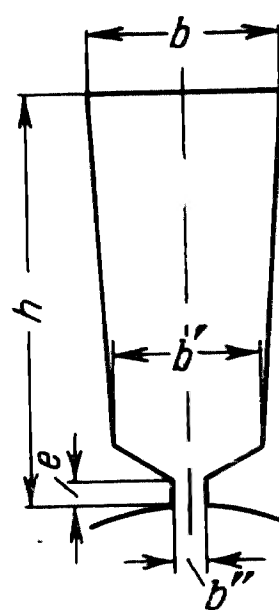


Рис. 1-18. Форма пазов статора.



Рис. 1-19. Форма пазов статора.

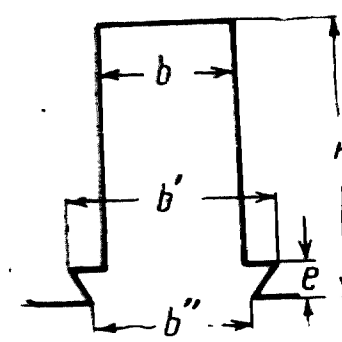


Рис. 1-20. Форма пазов статора.

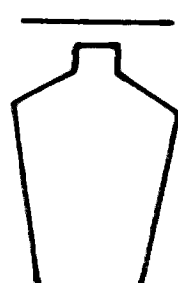


Рис. 1-21. Форма пазов ротора.

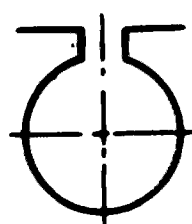


Рис. 1-22. Форма пазов ротора.

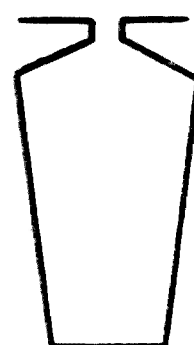


Рис. 1-23. Форма пазов ротора.

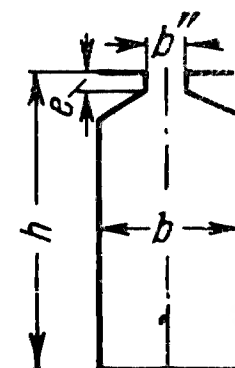


Рис. 1-24. Форма пазов ротора.

1-5. ОСНОВНЫЕ ОБМОТОЧНО-РАСЧЕТНЫЕ ДАННЫЕ ЭЛЕКТРОДВИГАТЕЛЕЙ

Основные обмоточно-расчетные данные электродвигателей

Тип электро- двигателя	P_2 , квт	U_1 , в	I_1 , а	n , об/мин	η , %	$\cos \varphi$	$\frac{I_{\text{пуск}}}{I_{\text{ном}}}$	$\frac{M_{\text{пуск}}}{M_{\text{ном}}}$	$\frac{M_{\text{макс}}}{M_{\text{ном}}}$	Ста				
										$\frac{D_{a1}}{D_{t1}}$	$\frac{l_{t1}}{l_{t2}}$	δ	B_δ , гс	z_1
АО2-11-2	0,8	127/220 220/380 500	5,41/3,13 3,13/1,81 1,38	2800	78,0	0,86	7,0	1,9	2,2	$\frac{133}{73}$	$\frac{52}{54}$	0,35	6860 6860 6820	24
АО2-12-2	1,1	127/220 220/380 500	7,2/4,17 4,17/2,41 1,83	2800	79,5	0,87	7,0	1,9	2,2	$\frac{133}{73}$	$\frac{65}{67}$	0,35	6830 6830 6800	24
АО2-11-4	0,6	127/220 220/380 500	5,0/2,88 2,88/1,66 1,26	1370	72,0	0,76	7,0	1,8	2,2	$\frac{133}{80}$	$\frac{52}{54}$	0,25	8920 8980 8950	24
АО2-12-4	0,8	127/220 220/380 500	6,2/3,6 3,6/2,08 1,58	1370	74,5	0,78	7,0	1,8	2,2	$\frac{133}{80}$	$\frac{65}{67}$	0,25	8650 8670 8650	24
АО2-11-6	0,4	127/220 220/380 500	4,1/2,38 2,38/1,37 1,04	920	68,0	0,65	6,5	1,8	2,2	$\frac{133}{80}$	$\frac{65}{67}$	0,25	7390 7350 7120	36
АО2-12-6	0,6	127/220 220/380 500	5,7/3,3 3,3/1,91 1,45	920	70,0	0,68	6,5	1,8	2,2	$\frac{133}{80}$	$\frac{75}{77}$	0,25	8150 8180 8180	36

* По данным завода «Сибэлектромотор».

Примечания: 1. Изоляция электродвигателей выполнена по классу нагревостойкости Е.

2. Обмотка статора в заводском исполнении однослойная, выполнена проводом марки ПЭТВ.

3. Изоляция паза статора в заводском исполнении — один слой полиэтилентерефталатной пленки толщиной 0,05 мм и электрокартон ЭВ толщиной 0,15 мм, склеенные вместе лаком ТГФ-8.

4. Прокладка в лобовой части — пленкоэлектрокартон на полиэтилентерефталатной пленке толщиной 0,27 мм или два слоя стеклолакоткани ЛСЭ толщиной по 0,15 мм.

Основные обмоточно-расчетные данные электродвигателей

Тип электро- двигателя	P_2 , квт	U_1 , в	I_1 , а	n , об/мин	η , %	$\cos \varphi$	$\frac{I_{\text{пуск}}}{I_{\text{ном}}}$	$\frac{M_{\text{пуск}}}{M_{\text{ном}}}$	$\frac{M_{\text{макс}}}{M_{\text{ном}}}$	Ста				
										$\frac{D_{a1}}{D_{t1}}$	$\frac{l_{t1}}{l_{t2}}$	δ	B_δ , гс	z_1
АОЛ2-11-2	0,8	127/220 220/380 500	5,4/3,1 3,1/1,8 1,37	2830	77,0	0,86	7,0	1,9	2,2	$\frac{133}{73}$	$\frac{54}{56}$	0,4	6600 6600 6550	24
АОЛ2-12-2	1,1	127/220 220/380 500	7,3/4,2 4,2/2,4 1,83	2830	78,5	0,87	7,0	1,9	2,2	$\frac{133}{73}$	$\frac{67}{69}$	0,4	6600 6600 6570	24
АОЛ2-11-4	0,6	127/220 220/380 500	5,0/2,9 2,9/1,7 1,3	1350	71,0	0,76	7,0	1,8	2,2	$\frac{133}{80}$	$\frac{54}{56}$	0,3	8450 8600 8500	24
АОЛ2-12-4	0,8	127/220 220/380 500	6,2/3,6 3,6/2,1 1,6	1350	73,5	0,78	7,0	1,8	2,2	$\frac{133}{80}$	$\frac{67}{69}$	0,3	8250 8300 8250	24

ЕДИНОЙ СЕРИИ А2 и АО2

единой серии типа АО2 1-го габарита*

тор															Ротор
q_1	Размеры паза $b; b'; b''$ $h; e$	$Q_{s1},$ $мм^2$	d/d'	m_1	$\omega_{к1}$	n_1	y_1	a_1	Схема обмотки (рис. №)	$j_1,$ $а/мм^2$	$AS_1,$ $а/см$	$l_{m'},$ $м$	$r_1,$ $ом$	$G_1,$ $кг$	z_2
4	$\frac{8,4; 6,9; 2,5}{13,8; 0,5}$	65,7	$\frac{0,86/0,92}{0,64/0,69}$ 0,55/0,6	1 1 1	56 97 128	56 97 128	1—12, 2—11	— — —	3-21	5,38 5,63 5,8	183 184 185	0,424	2,87 8,97 16,0	1,57 1,46 1,42	20
4	$\frac{8,4; 6,9; 2,5}{13,8; 0,5}$	65,7	$\frac{0,96/1,02}{0,72/0,78}$ 0,62/0,67	1 1 1	45 78 103	45 78 103	1—12, 2—11	— — —	3-21	5,77 5,92 6,05	196 197 197	0,45	1,96 6,05 10,8	1,61 1,56 1,54	20
2	$\frac{8,1; 6,1; 2,5}{14,6; 0,5}$	67,1	$\frac{0,74/0,8}{0,57/0,62}$ 0,49/0,53	1 1 1	75 129 170	75 129 170	1—8, 2—7	— — —	3-39	6,7 6,5 6,7	206 205 205	0,328	4,02 11,64 20,8	1,17 1,19 1,16	30
2	$\frac{8,1; 6,1; 2,5}{14,6; 0,5}$	67,1	$\frac{0,83/0,89}{0,62/0,67}$ 0,53/0,58	1 1 1	62 107 141	62 107 141	1—8, 2—7	— — —	3-39	6,65 6,9 7,15	214 212 212	0,354	2,84 8,8 15,8	1,31 1,26 1,22	30
2	$\frac{6,1; 3,9; 2,5}{18,5; 0,5}$	65,5	$\frac{0,74/0,8}{0,55/0,6}$ 0,49/0,53	1 1 1	70 122 160	70 122 160	1—8, 2—7	— — —	3-69	5,54 5,76 5,54	238 239 238	0,316	5,41 17,05 28,3	1,58 1,51 1,57	26
2	$\frac{6,1; 3,9; 2,5}{18,5; 0,5}$	65,5	$\frac{0,83/0,89}{0,64/0,69}$ 0,55/0,6	1 1 1	55 95 125	55 95 125	1—8, 2—7	— — —	3-69	6,1 5,94 6,1	260 260 260	0,336	3,59 10,4 18,6	1,66 1,7 1,65	26

5. Прокладка под клин — пленкоэлектрокартон на полиэтилентерефталатной пленке толщиной 0,27 мм.

6. Клин — дерево твердой породы пропитанное.

7. Выводные концы катушечных групп, соединение катушечных групп и соединение обмотки с выводным кабелем изолированы линоксиновыми трубками марки ТЭС.

8. Стержни и кольца короткозамкнутой обмотки ротора выполнены из алюминия марки А6.

9. Паз статора выполнен в соответствии с рис. 1-8, паз ротора соответствует рис. 1-9 для четырехполюсных электродвигателей и рис. 1-5 для остальных.

Таблица 1-2

единой серии типа АОЛ2 1-го габарита*

тор															Ротор
q_1	$\frac{\text{Размеры паза}}{b; b'; b''}$ $h; e$	$Q_{s1'}$ $мм^2$	d/d'	m_1	$\omega_{к1}$	n_1	y_1	a_1	Схема обмотки (рис. №)	$j_1,$ $a/мм^2$	$AS_1,$ $a/см$	$l_{m1'}$ $м$	$r_1,$ $ом$	$G_1,$ $кг$	z_2
4	$\frac{8,8; 6,9; 2,5}{13,74; 0,74}$	89	$\frac{0,86/0,925}{0,64/0,7}$ $0,57/0,625$	1 1 1	56 97 128	56 97 128	$\frac{1-12,}{2-11}$ — —	— — —	3-21	5,34 5,59 5,36	182 183 184	0,432	$\frac{3,14}{9,75}$ 16,3	$\frac{1,425}{1,38}$ 1,44	20
4	$\frac{8,8; 6,9; 2,5}{13,74; 0,74}$	89	$\frac{0,96/1,025}{0,72/0,78}$ $0,64/0,7$	1 1 1	45 78 103	45 78 103	$\frac{1-12,}{2-11}$ — —	— — —	3-21	5,9 5,89 5,7	198 196 197	0,458	$\frac{2,14}{6,7}$ 10,9	$\frac{1,52}{1,46}$ 1,56	20
2	$\frac{8,3; 6,1; 2,5}{14,57; 0,77}$	87	$\frac{0,74/0,805}{0,57/0,625}$ $0,49/0,53$	1 1 1	75 129 170	75 129 170	$\frac{1-8,}{2-7}$ — —	— — —	3-39	6,75 6,67 6,9	208 209 211	0,346	$\frac{4,59}{13,5}$ 22,5	$\frac{1,175}{1,188}$ 1,245	30
2	$\frac{8,3; 6,1; 2,5}{14,57; 0,77}$	87	$\frac{0,83/0,895}{0,62/0,675}$ $0,55/0,605$	1 1 1	62 107 141	62 107 141	$\frac{1-8,}{2-7}$ — —	— — —	3-39	6,65 6,95 6,72	213 215 216	0,372	$\frac{2,98}{9,2}$ 15,4	$\frac{1,36}{1,31}$ 1,36	30

Тип электро- двигателя	$P_2, \text{ кВт}$	$U_1, \text{ в}$	$I_1, \text{ а}$	$n, \text{ об/мин}$	$\eta, \%$	$\cos \varphi$	$\frac{I_{\text{пуск}}}{I_{\text{ном}}}$	$\frac{M_{\text{пуск}}}{M_{\text{ном}}}$	$\frac{M_{\text{макс}}}{M_{\text{ном}}}$	Ста				
										$\frac{D_{a1}}{D_{i1}}$	$\frac{l_{t1}}{l_{t2}}$	δ	$B_{\delta}, \text{ зс}$	z_1
АОЛ2-11-6	0,4	127/220 220/380 500	4,2/2,4 2,4/1,4 1,07	910	66,0	0,65	6,5	1,8	2,2	$\frac{133}{80}$	$\frac{67}{69}$	0,3	7 150 7 120 7 100	36
АОЛ2-12-6	0,6	127/220 220/380 500	6,0/3,5 3,5/2,0 1,5	910	68,0	0,68	6,5	1,8	2,2	$\frac{133}{80}$	$\frac{77}{79}$	0,3	7 800 7 850 7 800	36

* По данным завода ХЭЛЗ.

Примечания: 1. Изоляция электродвигателей выполнена по классу нагревостойкости Е.
2. Обмотка статора в заводском исполнении однослойная, выполнена проводом марки ПЭВТЛ-2.
3. Изоляция паза статора в заводском исполнении — один слой полиэтилентерефталатной пленки толщиной 0,05 мм и электрокартон ЭВ толщиной 0,15 мм, склеенные вместе лаком ТГФ-8.
4. Прокладка в лобовой части — электронит толщиной 0,3 мм в два слоя, склеенных эмалью ГФ-92ХС.
5. Прокладка под клин — электрокартон ЭВ толщиной 0,1 мм.

Основные обмоточно-расчетные данные электродвигателей

Тип электро- двигателя	$P_2, \text{ кВт}$	$U_1, \text{ в}$	$I_1, \text{ а}$	$n, \text{ об/мин}$	$\eta, \%$	$\cos \varphi$	$\frac{I_{\text{пуск}}}{I_{\text{ном}}}$	$\frac{M_{\text{пуск}}}{M_{\text{ном}}}$	$\frac{M_{\text{макс}}}{M_{\text{ном}}}$	Ста				
										$\frac{D_{a1}}{D_{i1}}$	$\frac{l_{t1}}{l_{t2}}$	δ	$B_{\delta}, \text{ зс}$	z_1
АО2-21-2	1,5	220/380 500	5,5/3,2 2,4	2 860	80,5	0,88	7,0	1,8	2,2	$\frac{153}{86}$	$\frac{65}{65}$	0,4	6 550 6 550	24
АО2-22-2	2,2	220/380 500	7,8/4,5 3,4	2 860	83,0	0,89	7,0	1,8	2,2		$\frac{92}{92}$		5 920 5 940	
АО2-21-4	1,1	220/380 500	4,6/2,7 2,0	1 410	78,0	0,8	7,0	1,8	2,2	$\frac{153}{94}$	$\frac{72}{72}$	0,25	7 800 7 820	24
АО2-22-4	1,5	220/380 500	6,1/3,5 2,7	1 410	80,0	0,81	7,0	1,8	2,2		$\frac{97}{97}$		7 490 7 500	
АО2-21-6	0,8	220/380 500	4,0/2,3 1,8	930	73,0	0,71	6,5	1,8	2,2	$\frac{153}{98}$	$\frac{72}{72}$	0,25	7 930 7 940	36
АО2-22-6	1,1	220/380 500	5,2/3,0 2,3	930	76,0	0,73	6,5	1,8	2,2		$\frac{97}{97}$		7 720 7 650	

* По данным завода „Сибэлектромотор“.

Примечания: 1. Изоляция электродвигателей выполнена по классу нагревостойкости Е.
2. Обмотка статора в заводском исполнении однослойная, выполнена проводом марки ПЭТВ.
3. Изоляция паза статора в заводском исполнении — пленкоэлектрокартон на полиэтилентерефталатной пленке толщиной 0,27 мм; полиэтилентерефталатная пленка толщиной 0,05 мм.
4. Прокладка в лобовой части для двухполюсных электродвигателей — два слоя пленкоэлектрокартона на полиэтилентерефталатной пленке толщиной по 0,27 мм; для остальных исполнений — пленкоэлектрокартон на полиэтилентерефталатной пленке толщиной 0,27 мм.

тор															Ротор
q_1	Размеры паза $b; b'; b''$ $h; e$	$Q_{s1},$ $мм^2$	d/d'	m_1	$\omega_{к1}$	n_1	y_1	a_1	Схема обмотки (рис. №)	$j_1,$ $а/мм^2$	$AS_1,$ $а/см$	$l_{m1},$ $м$	$r_1, ом$	$G_1,$ $кз$	z_2
2	$\frac{6,3; 3,8; 2,5}{18,47; 0,97}$	80	0,72/0,78	1	69	69	1—8,	—	3-69	5,9	237	0,311	5,54	1,42	26
			0,55/0,605	1	120	120	2—7	—		5,88	241		16,5	1,448	
			0,49/0,53	1	158	158		—		5,67	242		27,4	1,52	
2	$\frac{6,3; 3,8; 2,5}{18,47; 0,97}$	80	0,86/0,925	1	55	55	1—8,	—	3-69	6,02	276	0,331	3,66	1,665	26
			0,64/0,7	1	95	95	2—7	—		6,21	272		11,3	1,605	
			0,55/0,605	1	125	125		—		6,3	268		18,8	1,665	

6. Кли́н — дерево твердой породы пропитанное.

7. Выводные концы катушечных групп, соединение катушечных групп и соединение обмотки с выводным кабелем изолированы линоксиновыми трубками марки ТЭС.

8. Стержни и кольца короткозамкнутой обмотки ротора выполнены из алюминия марки А6.

9. Паз статора выполнен в соответствии с рис. 1-1, паз ротора — соответствует рис. 1-9 для четырехполюсных электродвигателей и рис. 1-5 для остальных.

Таблица 1-3

единой серии типа АО2 2-го габарита*

тор															Ротор
q_1	Размеры паза $b; b'; b''$ $h; e$	$Q_s,$ $мм^2$	d/d'	m_1	$\omega_{к1}$	n_1	y_1	a_1	Схема обмотки (рис. №)	$j_1,$ $а/мм^2$	$AS_1,$ $а/см$	$l_{m1},$ $м$	$r_1, ом$	$G_1, кз$	z_2
4	$\frac{9,7; 7,8; 2,5}{16,0; 1,0}$	115	0,86/0,925	1	69	69	1—12, 2—11	—	3-21	5,5	196	0,483	4,02	2,1	20
			0,74/0,8	1	91	91		—		5,58	194		7,17	2,13	
			0,96/1,025	1	54	54		—		6,23	215	0,537	2,81	2,31	20
2	$\frac{9,4; 7,5; 2,5}{17,0; 1,0}$	120	0,86/0,925	1	71	71	1—8, 2—7	—	3-39	5,85	214		4,61	2,43	
			0,77/0,835	1	92	92		—		5,8	202	0,394	5,46	1,86	30
			0,67/0,725	1	121	121		—		5,67	197		9,48	1,85	
2	$\frac{6,8; 4,8; 2,5}{18,3; 1,0}$	86	0,9/0,965	1	71	71	1—8, 2—7	—	3-69	5,5	202	0,444	3,48	2,2	30
			0,77/0,83	1	93	93		—		5,79	204		6,22	2,11	
			0,69/0,75	1	85	85		—		6,15	231	0,332	9,95	1,74	26
2	$\frac{6,8; 4,8; 2,5}{18,3; 1,0}$	86	0,62/0,675	1	112	112		—		5,96	238		13,0	1,85	
			0,8/0,865	1	65	65	1—8, 2—7	—	3-69	5,98	230	0,382	5,2	2,06	26
			0,69/0,745	1	86	86		—		6,15	234		9,3	2,02	

5. Прокладка под клин — пленкоэлектрокартон на полиэтилентерефталатной пленке толщиной 0,27 мм.

6. Кли́н — дерево твердой породы пропитанное.

7. Выводные концы катушечных групп, соединение катушечных групп и соединение обмотки с выводным кабелем изолированы линоксиновыми трубками марки ТЭС.

8. Стержни и кольца короткозамкнутой обмотки ротора выполнены из алюминия марки А6.

9. Паз статора выполнен в соответствии с рис. 1-8, паз ротора соответствует рис. 1-9 для четырехполюсных электродвигателей и рис. 1-5 для остальных.

Основные обмоточно-расчетные данные электродвигателей

Тип электро- двигателя	P_2 , квт	U_1 , в	I_1 , а	n , об/мин	η , %	$\cos \varphi$	$\frac{I_{\text{пуск}}}{I_{\text{ном}}}$	$\frac{M_{\text{пуск}}}{M_{\text{ном}}}$	$\frac{M_{\text{макс}}}{M_{\text{ном}}}$	Ст				
										$\frac{D_{a1}}{D_{i1}}$	$\frac{l_{t1}}{l_{t2}}$	δ	B_{δ} , зс	z_1
АОЛ2-21-2	1,5	127/220 220/380 500	9,9/5,7 5,7/3,3 2,5	2 860	79,0	0,88	7,0	1,8	2,2	$\frac{153}{86}$	$\frac{65}{67}$	0,45	6 520 6 540 6 520	24
АОЛ2-22-2	2,2	127/220 220/380 500	13,5/7,8 7,8/4,5 3,4	2 860	83,0	0,89	7,0	1,8	2,2	$\frac{153}{86}$	$\frac{92}{94}$	0,45	5 950 5 930 5 920	24
АОЛ2-21-4	1,1	127/220 220/380 500	8,1/4,7 4,7/2,7 2,05	1 400	78,0	0,79	7,0	1,8	2,2	$\frac{153}{94}$	$\frac{70}{72}$	0,3	7 980 7 950 7 950	24
АОЛ2-22-4	1,5	127/220 220/380 500	10,6/6,1 6,1/3,5 2,65	1 400	80,0	0,81	7,0	1,8	2,2	$\frac{153}{94}$	$\frac{97}{99}$	0,3	7 440 7 450 7 400	24
АОЛ2-21-6	0,8	127/220 220/380 500	7,1/4,1 4,1/2,4 1,8	930	72,0	0,71	6,5	1,8	2,2	$\frac{153}{98}$	$\frac{70}{72}$	0,3	8 020 8 020 7 990	36
АОЛ2-22-6	1,1	127/220 220/380 500	9,0/5,2 5,2/3,0 2,3	930	76,0	0,73	6,5	1,8	2,2	$\frac{153}{98}$	$\frac{97}{99}$	0,3	7 670 7 560 7 520	36

* По данным завода ХЭЛЗ.

Примечания: 1. Изоляция электродвигателей выполнена по классу нагревостойкости Е.

2. Обмотка статора в заводском исполнении однослойная, выполнена проводом марки ПЭТВ.

3. Изоляция паза статора в заводском исполнении — один слой полиэтилентерефталатной пленки толщиной 0,05 мм и электрокартон ЭВ толщиной 0,15 мм, склеенные вместе лаком ТГФ-8.

4. Прокладка в лобовой части — электронит толщиной 0,3 мм в два слоя, склеенных эмалью ГФ-92ХС.

5. Прокладка под клин — электрокартон ЭВ толщиной 0,1 мм.

Основные обмоточно-расчетные данные электродвигателей

Тип электро- двигателя	P_2 , квт	U_1 , в	I_1 , а	n , об/мин	η , %	$\cos \varphi$	$\frac{I_{\text{пуск}}}{I_{\text{ном}}}$	$\frac{M_{\text{пуск}}}{M_{\text{ном}}}$	$\frac{M_{\text{макс}}}{M_{\text{ном}}}$	Ст				
										$\frac{D_{a1}}{D_{i1}}$	$\frac{l_{t1}}{l_{t2}}$	δ	B_{δ} , зс	z_1
АО2-31-2	3,0	220/380 380 500	11/6,0 6,0 4,6	2 880	84,5	0,89	7,0	1,7	2,2	$\frac{180}{106}$	$\frac{90}{91}$	0,5	5 920 5 900 5 920	24
АО2-32-2	4,0	220/380 380 500	14/8,0 8,0 6,1	2 860	85,5	0,89	7,0	1,7	2,2	$\frac{180}{106}$	$\frac{117}{118}$	0,5	5 610 5 360 5 540	24
АО2-31-4	2,2	220/380 500	8,4/4,9 3,7	1 430	82,5	0,83	7,0	1,8	2,2	$\frac{180}{112}$	$\frac{90}{91}$	0,3	7 700 7 630	36
АО2-32-4	3,0	220/380 380 500	11/6,5 6,5 4,9	1 430	83,5	0,84	7,0	1,8	2,2	$\frac{180}{112}$	$\frac{117}{118}$	0,3	7 500 7 440 7 450	36

единой серии типа АОЛ2 2-го габарита*

тор															Ротор
q_1	Размеры паза $\frac{b; b', b''}{h; e}$	$Q_{s1},$ мм ²	d/d'	m_1	w_{K1}	n_1	y_1	a_1	Схема об- мотки (рис. №)	$j_1,$ а/мм ²	$AS_1,$ а/см	$l_{m1},$ м	$r_1,$ ом	$G_1,$ кг	z_2
4	$\frac{9,9; 7,9; 2,5}{14,6; 0,71}$	108	1,16/1,24	1	40	40	1—12,	—	3-21	5,4	202	0,494	1,3	2,26	20
			0,86/0,92	1	69	69	2—11	—		5,67	202		4,1	2,15	
			0,74/0,80	1	91	91	—	—		5,81	202		7,33	2,11	
4	$\frac{9,9; 7,9; 2,5}{14,6; 0,71}$	108	1,25/1,33	1	31	31	1—12,	—	3-21	6,36	214	0,548	0,966	2,25	20
			0,96/1,02	1	54	54	2—11	—		6,22	216		2,86	2,32	
			0,83/0,89	1	71	71	—	—		6,28	214		5,04	2,28	
2	$\frac{9,7; 7,4; 2,5}{15,7; 0,72}$	113	1,0/1,08	1	53	53	1—8,	—	3-39	5,98	203	0,404	1,91	1,83	30
			0,77/0,83	1	92	92	2—7	—		5,8	202		5,58	1,89	
			0,67/0,72	1	121	121	—	—		5,81	202		9,7	1,88	
2	$\frac{9,7; 7,4; 2,5}{15,7; 0,72}$	113	1,16/1,24	1	41	41	1—8,	—	3-39	5,77	203	0,458	1,24	2,15	30
			0,9/0,96	1	71	71	2—7	—		5,5	202		3,48	2,24	
			0,77/0,83	1	94	94	—	—		5,69	202		6,46	2,18	
2	$\frac{7,0; 4,8; 2,5}{17,2; 0,85}$	79	0,93/0,99	1	49	49	1—8,	—	3-69	6,04	235	0,348	2,66	1,89	26
			0,69/0,74	1	85	85	2—7	—		6,41	239		8,3	1,81	
			0,62/0,67	1	112	112	—	—		5,96	236		13,5	1,93	
2	$\frac{7,0; 4,8; 2,5}{16,2; 0,85}$	79	1,04/1,12	1	37	37	1—8,	—	3-69	6,13	225	0,402	1,84	2,06	26
			0,8/0,86	1	65	65	2—7	—		5,96	228		5,46	2,15	
			0,69/0,74	1	86	86	—	—		6,15	231		9,7	2,11	

6. Клинь — дерево твердой породы пропитанное.

7. Выводные концы катушечных групп, соединение катушечных групп и соединение обмотки с выводным кабелем изолированы линооксиновыми трубками марки ТЭС.

8. Стержни и кольца короткозамкнутой обмотки ротора выполнены из алюминия марки А6.

9. Паз статора выполнен в соответствии с рис. 1-1, паз ротора — соответствует рис. 1-9 для четырехполюсных электродвигателей и рис. 1-5 для остальных.

Таблица 1-5

единой серии типа АО2 3-го габарита*

тор															Ротор
q_1	Размеры паза $\frac{b; b'; b''}{h; e}$	$Q_{s1'}$ $мм^2$	d/d'	m_1	w_{K1}	n_1	y_1	a_1	Схема об- мотки (рис. №)	$j_1,$ $a/мм^2$	$AS_1,$ $a/см$	$l_{m1}, м$	$r_1, ом$	$G_1, кг$	z_2
4	$\frac{11,6; 10,3; 3,0}{17,2; 1,0}$	152	1,16/1,24	1	26	52	1—9	—	3-1, 3-22	5,68	224	0,522	1,8	3,15	20
			0,9/0,965	1	45	90		—		5,43	224		5,18	3,3	
			1,04/1,12	1	34	68		—		5,43	226		2,94	3,33	
4	$\frac{11,6; 10,3; 3,0}{17,2; 1,0}$	152	0,96/1,025	2	21	84	1—9	—	3-1, 3-22	5,54	242	0,576	1,18	3,84	20
			1,0/1,08	1	38	76		—		5,9	253		3,92	3,78	
			1,16/1,24	1	28	56		—		5,78	246		2,14	3,75	
3	$\frac{7,2; 5,1; 3,0}{18,9; 1,0}$	103	1,08/1,16	1	43	43	1—12,	—	3-41	5,35	216	0,476	2,35	3,09	26
			0,96/1,025	1	57	57	2—11, 3—10	—		5,12	216		3,96	3,21	
3	$\frac{7,2; 5,1; 3,0}{18,9; 1,0}$	103	1,25/1,33	1	34	34	1—12,	—	3-41	5,3	226	0,53	1,55	3,63	26
			0,93/0,995	1	59	59	2—11,	—		5,55	226		4,86	3,45	
			1,08/1,16	1	45	45	3—10	—		5,35	226		2,74	3,57	

Тип электро- двигателя	P_2 , квт	U_1 , в	I_1 , а	n , об/мин	η , %	$\cos \varphi$	$\frac{I_{\text{пуск}}}{I_{\text{ном}}}$	$\frac{M_{\text{пуск}}}{M_{\text{ном}}}$	$\frac{M_{\text{макс}}}{M_{\text{ном}}}$	Ста				
										$\frac{D_{a1}}{D_{i1}}$	$\frac{l_{t1}}{l_{t2}}$	δ	B_δ , гс	z_1
АО2-31-6	1,5	220/380 500	6,6/3,8 2,9	950	79,0	0,75	6,5	1,8	2,2	$\frac{180}{122}$	$\frac{90}{91}$	0,3	7 010 7 040	36
АО2-32-6	2,2	220/380 500	9,3/5,4 4,1	950	81,0	0,77	6,5	1,8	2,2	$\frac{180}{122}$	$\frac{117}{118}$	0,3	7 100	36

* По данным завода „Сибэлектромотор“

Примечания: 1. Изоляция электродвигателей выполнена по классу нагревостойкости Е.

2. Обмотка статора в заводском исполнении для двухполюсных электродвигателей — двухслойная, для остальных исполнений — однослойная, выполнена проводом марки ПЭТВ.

3. Изоляция паза статора в заводском исполнении — пленкоэлектрокартон на полиэтилентерефталатной пленке толщиной 0,27 мм; полиэтилентерефталатная пленка толщиной 0,05 мм.

4. Междуслойная прокладка в пазу в заводском исполнении — пленкоэлектрокартон на полиэтилентерефталатной пленке толщиной 0,27 мм.

5. Прокладка в лобовой части — пленкоэлектрокартон на полиэтилентерефталатной пленке толщиной 0,27 мм.

Основные обмоточно-расчетные данные электродвигателей

Тип электро- двигателя	P_2 , квт	U_1 , в	I_1 , а	n , об/мин	η , %	$\cos \varphi$	$\frac{I_{\text{пуск}}}{I_{\text{ном}}}$	$\frac{M_{\text{пуск}}}{M_{\text{ном}}}$	$\frac{M_{\text{макс}}}{M_{\text{ном}}}$	Ста				
										$\frac{D_{a1}}{D_{i1}}$	$\frac{l_{t1}}{l_{t2}}$	δ	B_δ , гс	z_1
АОЛ2-31-2	3,0	127/220	18,2/10,5	2 880	84,0	0,89	7,0	1,7	2,2	$\frac{180}{106}$	$\frac{90}{93}$	0,5	5 290	24
		220/380	10,5/6,1										5 420	
		500	4,6										5 440	
АОЛ2-32-2	4,0	127/220	24/14	2 880	85,5	0,89	7,0	1,7	2,2	$\frac{180}{106}$	$\frac{117}{120}$	0,5	5 240	24
		220/380	14/8										5 200	
		500	6,1										5 100	
АОЛ2-31-4	2,2	127/220	14,8/8,6	1 430	82,5	0,82	7,0	1,8	2,2	$\frac{180}{112}$	$\frac{90}{93}$	0,35	7 900	36
		220/380	8,6/4,9										7 810	
		500	3,75										7 700	
АОЛ2-32-4	3,0	127/220	19,8/11,4	1 430	83,0	0,83	7,0	1,8	2,2	$\frac{180}{112}$	$\frac{117}{120}$	0,35	7 650	36
		220/380	11,4/6,6										7 650	
		500	5,0										7 700	
АОЛ2-31-6	1,5	127/220	11,6/6,7	950	78,0	0,75	6,5	1,8	2,2	$\frac{180}{118}$	$\frac{90}{93}$	0,35	7 300	36
		220/380	6,7/3,9										7 390	
		500	2,95										7 360	
АОЛ2-32-6	2,2	127/220	16,2/9,4	950	80,0	0,77	6,5	1,8	2,2	$\frac{180}{118}$	$\frac{117}{120}$	0,35	7 550	36
		220/380	9,4/5,4										7 400	
		500	4,1										7 420	

* По данным завода ХЭЛЗ.

** В числителе — число проводников в пазах с однослойной обмоткой. В знаменателе — число проводников в пазах с двухслойной обмоткой.

Примечания: 1. Изоляция электродвигателей выполнена по классу нагревостойкости Е.

2. Обмотка статора в заводском исполнении двух двухполюсных электродвигателей — одно- двухслойная, для четырехполюсных — однослойная и шестиполюсных — двухслойная, выполнена проводом марки ПЭТВ.

3. Изоляция паза статора в заводском исполнении — электрокартон ЭВ толщиной 0,1 мм, полиэтилентерефталатная пленка толщиной 0,05 мм, электрокартон ЭВ толщиной 0,15 мм, склеенные вместе лаком ТГФ-8.

4. Междуслойная прокладка в пазу — электрокартон ЭВ толщиной 0,1 мм, полиэтилентерефталатная пленка толщиной 0,05 мм, электрокартон ЭВ толщиной 0,15 мм, склеенные вместе лаком ТГФ-8.

тор															Ротор
q_1	Размеры паза $\frac{b; b'; b''}{h; e}$	$Q_{s1},$ $мм^2$	d/d'	m_1	$w_{к1}$	n_1	y_1	a_1	Схема об- мотки (рис. №)	$j_1,$ $а/мм^2$	$AS_1,$ $а/см$	$l_{m1}, м$	$z_1, ом$	$G_1, кг$	z_2
2	$\frac{8,7; 6,7; 3,0}{19,6; 1,0}$	132	$\frac{1,0/1,08}{0,9/0,965}$	$\begin{matrix} 1 \\ 1 \end{matrix}$	$\begin{matrix} 62 \\ 81 \end{matrix}$	$\begin{matrix} 62 \\ 81 \end{matrix}$	$\begin{matrix} 1-8, \\ 2-7 \end{matrix}$	—	3-69	$\begin{matrix} 4,85 \\ 4,55 \end{matrix}$	$\begin{matrix} 222 \\ 220 \end{matrix}$	$\begin{matrix} 0,422 \\ \end{matrix}$	$\begin{matrix} 3,51 \\ 5,66 \end{matrix}$	$\begin{matrix} 3,39 \\ 3,57 \end{matrix}$	46
2	$\frac{8,7; 6,7; 3,0}{19,6; 1,0}$	132	$\frac{1,2/1,28}{1,04/1,12}$	$\begin{matrix} 1 \\ 1 \end{matrix}$	$\begin{matrix} 47 \\ 62 \end{matrix}$	$\begin{matrix} 47 \\ 62 \end{matrix}$	$\begin{matrix} 1-8, \\ 2-7 \end{matrix}$	—	3-69	$\begin{matrix} 4,76 \\ 4,84 \end{matrix}$	$\begin{matrix} 239 \\ 239 \end{matrix}$	$\begin{matrix} 0,476 \\ \end{matrix}$	$\begin{matrix} 2,08 \\ 3,68 \end{matrix}$	$\begin{matrix} 4,17 \\ 4,11 \end{matrix}$	46

6. Прокладка под клин — пленкоэлектрокартон на полиэтилентерефталатной пленке толщиной 0,27 мм.
7. Клин — дерево твердой породы пропитанное.
8. Выводные концы катушечных групп, соединение катушечных групп и соединение обмотки с выводным кабелем изолированы линоксиновыми трубками марки ТЭС.
9. Стержни и кольца короткозамкнутой обмотки ротора выполнены из алюминия марки А6.
10. Паз статора выполнен в соответствии с рис. 1-8, паз ротора соответствует рис. 1-9.

Таблица 1-6

единой серии типа АОЛ2 3-го габарита*

тор															Ротор
q_1	Размеры паза $\frac{b; b'; b''}{h; e}$	$Q_{s1},$ $мм^2$	d/d'	m_1	$w_{к1}^{**}$	n_1	y_1	a_1	Схема об- мотки (рис. №)	$j_1,$ $а/мм^2$	$AS_1,$ $а/см$	$l_{m1}, м$	$r_1, ом$	$G_1, кг$	z_2
4	$\frac{12; 10; 3}{15,9; 0,7}$	145,0	1,12/1,2	2	$\frac{30}{15+13}$	$\frac{60}{56}$	1—12,	—	3-25	5,34	220	0,566	0,587	3,52	20
			0,86/0,925	2	$\frac{51}{25+22}$	$\frac{102}{94}$	2—11,	—		5,25	216		1,67	3,54	
			1,04/1,12	1	$\frac{67}{32+29}$	$\frac{67}{61}$	3—10	—		5,42	212		2,98	3,35	
			1,3/1,38	2	$\frac{23}{12+10}$	$\frac{46}{44}$	1—12,	—		5,29	228		0,37	4,02	
4	$\frac{12; 10; 3}{15,9; 0,7}$	145,0	0,96/1,025	2	$\frac{40}{21+18}$	$\frac{80}{78}$	2—11,	—	3-25	5,54	228	0,62	1,19	3,86	20
			0,83/0,89	2	$\frac{53}{28+24}$	$\frac{106}{104}$	3—10	—		5,64	231		2,1	3,84	
3	$\frac{7,5; 5,2; 3}{17,8; 0,88}$	97,0	1,45/1,53	1	24	24	1—12,	—	3-41	5,2	212	0,476	0,735	3,06	26
			1,08/1,16	1	42	42	2—11,	—		5,35	211		2,29	2,99	
			0,93/0,99	1	56	56	3—10	—		5,52	215		4,13	2,96	
3	$\frac{7,5; 5,2; 3}{17,8; 0,88}$	97,0	1,16/1,24	2	19	38	1—12,	—	3-41	5,4	222	0,53	0,5	3,47	26
			1,25/1,33	1	33	33	2—11,	—		5,39	223		1,5	3,49	
			1,08/1,16	1	43	43	3—10	—		5,45	220		2,62	3,4	
2	$\frac{8,4; 6; 3}{19,8; 0,81;}$	129	1,35/1,43	1	35	35	1—8,	—	3-69	4,68	228	0,412	1,06	3,34	44
			1,04/1,12	1	60	60	2—7	—		4,6	227		3,06	3,42	
			0,9/0,96	1	79	79	—	—		4,64	226		5,35	3,38	
2	$\frac{8,4; 6; 3}{19,8; 0,81}$	129	1,12/1,2	2	26	52	1—8,	—	3-69	4,77	237	0,466	0,643	3,9	44
			0,83/0,895	2	46	92	2—7	—		5,0	241		2,08	3,8	
			1,04/1,12	1	60	60	—	—		4,84	239		3,46	3,88	

5. Прокладка в лобовой части — полиэтилентерефталатная пленка толщиной 0,05 мм и электрокартон ЭВ толщиной 0,15 мм, склеенные вместе лаком ТГФ-8.
6. Прокладка под клин — электрокартон ЭВ толщиной 0,1 мм.
7. Клин — дерево твердой породы пропитанное.
8. Выводные концы катушечных групп, соединение катушечных групп и соединение обмотки с выводным кабелем изолированы линоксиновыми трубками марки ТЭС.
9. Стержни и кольца короткозамкнутой обмотки ротора выполнены из алюминия марки А6.
10. Паз статора выполнен в соответствии с рис. 1-1, паз ротора соответствует рис. 1-9 для двух- и четырех-полюсных электродвигателей и рис. 1-5 для шестиполюсных.

Основные обмоточно-расчетные данные электро

Тип электро- двигателя	P_2 , квт	U_1 , в	I_1 , а	n , об/мин	η , %	$\cos \varphi$	$\frac{I_{\text{пуск}}}{I_{\text{ном}}}$	$\frac{M_{\text{пуск}}}{M_{\text{ном}}}$	$\frac{M_{\text{макс}}}{M_{\text{ном}}}$	Ста				
										$\frac{D_{a1}}{D_{i1}}$	$\frac{l_{t1}}{l_{t2}}$	δ	B_δ , гс	z_1
АО2-41-2	5,5	220/380 380 500	18,5/10,7 10,7 8,12	2 910	87,0	0,90	7,0	1,6	2,2	$\frac{208}{123}$	$\frac{110}{113}$	0,7	5 930 5 980 6 000	24
АО2-42-2	7,5	220/380 380 500	24,6/14,2 14,2 10,8	2 910	88,0	0,91	7,0	1,6	2,2	$\frac{208}{123}$	$\frac{148}{151}$	0,7	5 540 5 490 5 450	24
АО2-41-4	4,0	220/380 380 500	14,3/8,3 8,3 6,3	1 450	86,0	0,85	7,0	1,5	2,0	$\frac{208}{133}$	$\frac{110}{113}$	0,35	6 700 6 650 6 640	36
АО2-42-4	5,5	220/380 380 500	19,0/11,0 11,0 8,4	1 450	88,0	0,86	7,0	1,5	2,0	$\frac{208}{133}$	$\frac{148}{151}$	0,35	7 050 6 950 6 950	36
АО2-41-6	3,0	220/380 380 500	12,1/7,1 7,1 5,37	960	83,0	0,78	6,5	1,3	1,8	$\frac{208}{144}$	$\frac{110}{113}$	0,35	7 340 7 320 7 320	36
АО2-42-6	4,0	220/380 380 500	15,7/9,1 9,1 6,94	960	84,5	0,79	6,5	1,3	1,8	$\frac{208}{144}$	$\frac{148}{151}$	0,35	7 200 7 130 7 150	36
АО2-41-8	2,2	220/380 380 500	10,4/6,0 6,0 4,55	720	81,0	0,69	6,0	1,2	1,7	$\frac{208}{144}$	$\frac{110}{113}$	0,35	7 440 7 430 7 460	36
АО2-42-8	3,0	220/380 380 500	13,8/8,0 8,0 6,08	720	81,5	0,70	6,0	1,2	1,7	$\frac{208}{144}$	$\frac{148}{151}$	0,35	7 180 7 080 7 250	36

- Примечания: 1. Изоляция электродвигателей выполнена по классу нагревостойкости Е.
 2. Обмотка статора в заводском исполнении для четырех- и шестиполусных электродвигателей — однослойная, двух- и восьмиполусных — двухслойная, выполнена проводом марки ПЭТВ.
 3. Изоляция паза статора в заводском исполнении — пленкоэлектрокартон на полиэтилентерефталатной пленке толщиной 0,27 мм; полиэтилентерефталатная пленка толщиной 0,05 мм.
 4. Междуслойная прокладка в пазу — пленкоэлектрокартон на полиэтилентерефталатной пленке толщиной 0,27 мм.

Основные обмоточно-расчетные данные электро

Тип электро- двигателя	P_2 , квт	U_1 , в	I_1 , а	n , об/мин	η , %	$\cos \varphi$	$\frac{I_{\text{пуск}}}{I_{\text{ном}}}$	$\frac{M_{\text{пуск}}}{M_{\text{ном}}}$	$\frac{M_{\text{макс}}}{M_{\text{ном}}}$	Ста				
										$\frac{D_{a1}}{D_{i1}}$	$\frac{l_{t1}}{l_{t2}}$	δ	B_δ , гс	z_1
АО2-51-2	10	220/380	33/19	2 920	88,0	0,89	7,0	1,5	2,2	$\frac{243}{140}$	$\frac{135}{139}$	0,7	5 780	24
АО2-52-2	13	220/380	43/25	2 920	88,5	0,90	7,0	1,5	2,2	$\frac{243}{140}$	$\frac{170}{174}$	0,7	5 460	24
АО2-51-4	7,5	220/380	26/15	1 460	88,5	0,87	7,0	1,4	2,0	$\frac{243}{158}$	$\frac{135}{139}$	0,45	6 370	36
АО2-52-4	10	220/380	33/19	1 460	89,0	0,88	7,0	1,4	2,0	$\frac{243}{158}$	$\frac{170}{174}$	0,45	6 560	36
АО2-51-6	5,5	220/380	21/12	970	85,5	0,81	6,5	1,3	1,8	$\frac{243}{173}$	$\frac{135}{139}$	0,4	7 070	36

двигателей единой серии типа АО2 4-го габарита

тор															Ротор
q_1	Размеры паза $b; b'; b''$ $h; e$	$Q_{s1'}$ $мм^2$	d/d'	m_1	w_{k1}	n_1	y_1	a_1	Схема обмотки (рис. №)	$j_1,$ $a/мм^2$	$AS_1,$ $a/см$	$i_{m1'}$ $м$	$r_1, ом$	$G_1,$ $кз$	z_2
4	$\frac{14; 12,5; 3}{19,8; 0,75}$	205	$\frac{1,25/1,33}{1,35/1,43}$ $1,08/1,16$	$\frac{2}{1}$ 2	$\frac{17}{29}$ 22	$\frac{68}{58}$ 88	$\frac{1-10}{1-10}$	$\frac{—}{—}$	$\frac{3-1,}{3-23}$	$\frac{4,36}{4,3}$ $4,44$	$\frac{226}{222}$ 222	$\frac{0,69}{0,69}$	$\frac{0,669}{1,964}$ $1,16$	$\frac{6,29}{6,24}$ $6,08$	20
4	$\frac{14; 12,5; 3}{19,8; 0,75}$	205	$\frac{1,4/1,48}{1,04/1,12}$ $1,20/1,28$	$\frac{1}{1}$ 1	$\frac{27}{47}$ 36	$\frac{54}{94}$ 72	$\frac{1-10}{1-10}$	$\frac{2}{2}$ 2	$\frac{3-2,}{3-24}$	$\frac{4,61}{4,83}$ $4,77$	$\frac{238}{239}$ 242	$\frac{0,766}{0,766}$	$\frac{0,474}{1,495}$ $0,86$	$\frac{6,97}{6,75}$ $6,9$	20
3	$\frac{9,2; 7,2; 3}{20,6; 0,75}$	143	$\frac{1,50/1,58}{1,12/1,2}$ $1,30/1,38$	$\frac{1}{1}$ 1	$\frac{34}{59}$ 45	$\frac{34}{59}$ 45	$\frac{1-12,}{2-11,}$ $3-10$	$\frac{—}{—}$	$\frac{3-41}{3-41}$	$\frac{4,7}{4,85}$ $4,75$	$\frac{243}{243}$ 244	$\frac{0,58}{0,58}$	$\frac{1,173}{3,64}$ $2,06$	$\frac{5,67}{5,53}$ $5,68$	26
3	$\frac{9,2; 7,2; 3}{20,6; 0,75}$	143	$\frac{1,25/1,33}{1,35/1,43}$ $1,56/1,64$	$\frac{2}{1}$ 1	$\frac{24}{42}$ 32	$\frac{48}{42}$ 32	$\frac{1-12,}{2-11,}$ $3-10$	$\frac{—}{—}$	$\frac{3-41}{3-41}$	$\frac{4,48}{4,43}$ $4,4$	$\frac{228}{230}$ 231	$\frac{0,656}{0,656}$	$\frac{0,679}{2,04}$ $1,163$	$\frac{6,37}{6,46}$ $6,63$	26
2	$\frac{9,6; 7,6; 3}{21; 0,75}$	152	$\frac{1,40/1,48}{1,04/1,12}$ $1,20/1,28$	$\frac{1}{1}$ 1	$\frac{41}{71}$ 54	$\frac{41}{71}$ 54	$\frac{1-8,}{2-7}$	$\frac{—}{—}$	$\frac{3-69}{3-69}$	$\frac{4,61}{4,83}$ $4,75$	$\frac{232}{232}$ 231	$\frac{0,496}{0,496}$	$\frac{1,391}{4,37}$ $4,499$	$\frac{5,13}{4,94}$ $5,0$	46
2	$\frac{9,6; 7,6; 3}{21; 0,75}$	152	$\frac{1,12/1,2}{1,20/1,28}$ $1,40/1,48$	$\frac{2}{1}$ 1	$\frac{32}{55}$ 42	$\frac{64}{55}$ 42	$\frac{1-8,}{2-7}$	$\frac{—}{—}$	$\frac{3-69}{3-69}$	$\frac{4,65}{4,64}$ $4,5$	$\frac{231}{229}$ 231	$\frac{0,572}{0,572}$	$\frac{0,981}{2,93}$ $1,64$	$\frac{5,93}{5,87}$ $6,05$	46
$1\frac{1}{2}$	$\frac{9,6; 7,6; 3}{21; 0,75}$	152	$\frac{1,25/1,33}{0,93/0,99}$ $1,08/1,16$	$\frac{1}{1}$ 1	$\frac{26}{45}$ 34	$\frac{52}{90}$ 68	$\frac{1-5}{1-5}$	$\frac{—}{—}$	$\frac{3-10,}{3-109}$	$\frac{4,89}{5,1}$ $4,97$	$\frac{248}{248}$ 246	$\frac{0,420}{0,420}$	$\frac{1,87}{5,86}$ $3,27$	$\frac{4,4}{4,21}$ $4,3$	46
$1\frac{1}{2}$	$\frac{9,6; 7,6; 3}{21; 0,75}$	152	$\frac{1,40/1,48}{1,04/1,12}$ $1,2/1,28$	$\frac{1}{1}$ 1	$\frac{20}{35}$ 26	$\frac{40}{70}$ 52	$\frac{1-5}{1-5}$	$\frac{—}{—}$	$\frac{3-10,}{3-109}$	$\frac{5,2}{5,44}$ $5,37$	$\frac{255}{257}$ 252	$\frac{0,496}{0,496}$	$\frac{1,37}{4,34}$ $2,42$	$\frac{5,05}{4,88}$ $4,85$	46

5. Прокладка в лобовой части — пленкоэлектрокартон на полиэтилентерефталатной пленке толщиной 0,27 мм.

6. Прокладка под клин — пленкоэлектрокартон на полиэтилентерефталатной пленке толщиной 0,27 мм.

7. Клин — дерево твердой породы пропитанное.

8. Выводные концы катушечных групп, соединение катушечных групп и соединение обмотки с выводным кабелем изолированы линоксиновыми трубками марки ТЭС.

9. Стержни и кольца короткозамкнутой обмотки ротора выполнены из алюминия марки А6.

10. Паз статора выполнен в соответствии с рис. 1-8, паз ротора соответствует рис. 1-5.

Таблица 1-8

двигателей единой серии типа АО2 5-го габарита

тор															Ротор
q_1	Размеры паза $b; b'; b''$ $h; e$	$Q_{с1},$ $мм^2$	d/d'	m_1	$w_{к1}$	n_1	y_1	a_1	Схема обмотки (рис. №)	$j_1,$ $a/мм^2$	$AS_1,$ $a/см$	$l_{m1},$ $м$	$r_1, ом$	$G_1,$ $кз$	z_2
4	$\frac{16,1; 13,8; 3,2}{24,85; 1}$	297	1,3/1,38	2	25	100	1—10	2	3-2, 3-24	3,58	259	0,804	0,26	11,6	20
4	$\frac{16,1; 13,8; 3,2}{24,85; 1}$	297	1,4/1,48	2	21	84	1—10	2	3-2, 3-24	4,06	286	0,874	0,205	12,3	20
3	$\frac{10,8; 8,7; 3,2}{22,9; 0,75}$	187	1,4/1,48	2	13	52	1—8	—	3-3, 3-44	4,87	283	0,614	0,536	8,05	46
3	$\frac{10,8; 8,7; 3,2}{22,9; 0,75}$	187	1,3/1,38	3	10	60	1—8	—	3-3, 3-44	4,78	276	0,684	0,355	8,9	46
2	$\frac{10,6; 8,8; 3,2}{21,1; 0,75}$	169	1,2/1,28	2	15	60	1—6	—	3-6, 3-72	5,3	238	0,546	0,747	6,1	46

Тип электро- двигателя	P_2 , квт	U_1 , в	I_1 , а	n , об/мин	η , %	$\cos \varphi$	$\frac{I_{\text{пуск}}}{I_{\text{ном}}}$	$\frac{M_{\text{пуск}}}{M_{\text{ном}}}$	$\frac{M_{\text{макс}}}{M_{\text{ном}}}$	Ста				
										$\frac{D_{a1}}{D_{i1}}$	$\frac{l_{t1}}{l_{t2}}$	δ	B_δ , гс	z_1
АО2-52-6	7,5	220/380	28/16	970	87,0	0,82	6,5	1,3	1,8	$\frac{243}{173}$	$\frac{190}{194}$	0,4	6 850	36
АО2-51-8	4,0	220/380	17/10	730	84,0	0,71	6,0	1,2	1,7	$\frac{243}{173}$	$\frac{135}{139}$	0,4	7 320	36
АО2-52-8	5,5	220/380	24/14	730	85,0	0,72	6,0	1,2	1,7	$\frac{243}{173}$	$\frac{190}{194}$	0,4	7 210	36

Примечания: 1. Изоляция электродвигателей выполнена по классу нагревостойкости Е.
2. Обмотка статора в заводском исполнении двухслойная, выполнена проводом марки ПЭТВ.
3. Изоляция паза статора в заводском исполнении — пленкоэлектрокартон на полиэтилентерефталатной пленке толщиной 0,27 мм.
4. Междуслойная прокладка в пазу в заводском исполнении — пленкоэлектрокартон на полиэтилентерефталатной пленке толщиной 0,27 мм.
5. Прокладка в лобовой части для двухполюсных электродвигателей — электрокартон ЭВ толщиной 0,15 мм; стеклолакоткань ЛСЭ толщиной 0,17 мм; для остальных исполнений — пленкоэлектрокартон на полиэтилентерефталатной пленке толщиной 0,27 мм.

Основные обмоточно-расчетные данные электро

Тип электро- двигателя	P_2 , квт	U_1 , в	I_1 , а	n , об/мин	η , %	$\cos \varphi$	$\frac{I_{\text{пуск}}}{I_{\text{ном}}}$	$\frac{M_{\text{пуск}}}{M_{\text{ном}}}$	$\frac{M_{\text{макс}}}{M_{\text{ном}}}$	Ста				
										$\frac{D_{a1}}{D_{i1}}$	$\frac{l_{t1}}{l_{t2}}$	δ	B_δ , гс	z_1
A2-61-2	17	220/380 500	57,8/33,3 25,4	2 910	88,0	0,88	7,0	1,2	2,2	$\frac{291}{153}$	$\frac{110}{113}$	0,7	8 240 8 090	36
A2-62-2	22	220/380 500	73,8/42,7 32,4	2 910	89,0	0,88	7,0	1,1	2,2	$\frac{291}{153}$	$\frac{135}{138}$	0,7	7 740 7 760	36
A2-61-4	13	220/380 500	44/25,4 19,3	1 450	88,5	0,88	7,0	1,3	2,0	$\frac{291}{180}$	$\frac{120}{123}$	0,55	8 150 8 240	36
A2-62-4	17	220/380 500	56,4/32,6 25,0	1 450	89,5	0,88	7,0	1,3	2,0	$\frac{291}{180}$	$\frac{150}{153}$	0,55	8 150 8 150	36
A2-61-6	10	220/380 500	35,0/20,3 15,4	965	87,0	0,86	7,0	1,2	1,8	$\frac{291}{206}$	$\frac{120}{123}$	0,4	7 500 7 500	54
A2-62-6	13	220/380 500	45/26 19,8	970	88,0	0,86	7,0	1,2	1,8	$\frac{291}{206}$	$\frac{165}{168}$	0,4	7 400 7 570	54
A2-61-8	7,5	220/380 500	29,6/17,1 13,0	725	85,0	0,78	6,0	1,2	1,7	$\frac{291}{206}$	$\frac{120}{123}$	0,4	8 040 8 000	54
A2-62-8	10	220/380 500	37,8/21,8 16,6	725	87,0	0,8	7,0	1,2	1,7	$\frac{291}{206}$	$\frac{165}{168}$	0,4	8 040 8 040	54

Примечания: 1. Изоляция электродвигателей выполнена по классу нагревостойкости Е.
2. Обмотка статора в заводском исполнении двухслойная, выполнена проводом марки ПЭТВ.
3. Изоляция паза статора в заводском исполнении — пленкоэлектрокартон на полиэтилентерефталатной пленке толщиной 0,27 мм; стеклолакоткань ЛСЭ толщиной 0,17 мм.
4. Междуслойная прокладка в пазу — пленкоэлектрокартон на полиэтилентерефталатной пленке толщиной 0,27 мм.
5. Прокладка в лобовой части в заводском исполнении для изоляции фазовых катушек — электрокартон ЭВ толщиной 0,15 мм; стеклолакоткань ЛСЭ толщиной 0,17 мм; для остальных катушек — стеклолакоткань ЛСЭ толщиной 0,17 мм.

тор															Ротор
q_1	Размеры паза $b; b'; b''$ $h; e$	$Q_{с1},$ $мм^2$	d/d'	m_1	$\omega_{к1}$	n_1	y_1	a_1	Схема обмотки (рис. №)	$j_1,$ $а/мм^2$	$AS_1,$ $а/см$	$l_{m1},$ $м$	$r_1, ом$	$G_1,$ $кг$	z_2
2	$\frac{10,6; 8,8; 3,2}{21,1; 0,75}$	169	1,45/1,53	2	11	44	1—6	—	3-6, 3-72	4,84	233	0,656	0,45	7,8	46
$\frac{1}{2}$	$\frac{10,6; 8,8; 3,2}{21,1; 0,75}$	169	1,56/1,64	1	18	36	1—5	—	3-10, 3-109	5,23	238	0,515	0,995	5,75	46
$\frac{1}{2}$	$\frac{10,6; 8,8; 3,2}{21,1; 0,75}$	169	1,3/1,38	2	13	52	1—5	—	3-10, 3-109	5,28	241	0,625	0,629	7,05	46

6. Прокладка под клин — пленкоэлектрокартон на полиэтилентерефталатной пленке толщиной 0,27 мм.

7. Клин — дерево твердой породы пропитанное.

8. Выводные концы катушечных групп, соединение катушечных групп и соединение обмотки с выводным кабелем изолированы линоксиновыми трубками марки ТЭС.

9. Стержни и кольца короткозамкнутой обмотки ротора выполнены из алюминия марки А5.

10. Паз статора выполнен в соответствии с рис. 1-8, паз ротора соответствует рис. 1-12 для четырехполюсных электродвигателей и рис. 1-5 для остальных.

Таблица 1-9

двигателей единой серии типа А2 6-го габарита

тор															Ротор
q_1	Размеры паза $b; b'; b''$ $h; e$	$Q_{s1'}$ $мм^2$	d/d'	m_1	$\omega_{к1}$	n_1	y_1	a_1	Схема обмотки (рис. №)	j_1 , $a/мм^2$	AS_1 , $a/см$	$l_{m'}$ $м$	r_1 , ом	G_1 , кг	z_2
6	$\frac{10,9; 1,8; 3,7}{28,1; 1,0}$	227	$\frac{1,4/1,48}{1,2/1,28}$	2 2	15 20	60 80	1—12	2 2	3-2, 3-30	5,41 5,6	374 380	0,729	0,186 0,338	11,1 10,95	28
6	$\frac{10,9; 7,8; 3,7}{28,1; 1,0}$	227	$\frac{1,5/1,58}{1,3/1,38}$	2 2	13 17	52 68	1—12	2 2	3-2, 3-30	6,05 6,1	416 412	0,779	0,151 0,263	11,75 11,55	28
3	$\frac{11,6; 8,7; 3,7}{28,0; 1,0}$	253	$\frac{1,25/1,33}{1,56/1,64}$	2 1	20 26	80 52	1—8	2 2	3-4, 3-45	5,18 5,04	324 320	0,619	0,264 0,443	10,15 10,2	46
3	$\frac{11,6; 8,7; 3,7}{28,0; 1,0}$	253	$\frac{1,4/1,48}{1,2/1,28}$	2 2	16 21	64 84	1—8	2 2	3-4, 3-45	5,3 5,52	332 334	0,679	0,185 0,331	11,1 10,75	46
3	$\frac{9,0; 7,0; 3,7}{25,9; 1,0}$	178	$\frac{1,5/1,58}{1,3/1,38}$	1 1	19 25	38 50	1—8	2 2	3-7, 3-84	5,75 5,85	322 321	0,539	0,455 0,8	8,87 8,8	64
3	$\frac{9,0; 7,0; 3,7}{25,9; 1,0}$	178	$\frac{1,25/1,33}{1,56/1,64}$	2 1	14 18	56 36	1—8	2 2	3-7, 3-84	5,3 5,18	304 298	0,629	0,282 0,464	10,75 10,72	64
$\frac{1}{2\frac{1}{4}}$	$\frac{9,0; 7,0; 3,7}{25,9; 1,0}$	178	$\frac{1,4/1,48}{1,2/1,28}$	1 1	22 29	44 58	1—7	2 2	3-11, 3-118	5,5 5,74	314 314	0,515	0,580 1,04	8,71 8,49	64
$\frac{1}{2\frac{1}{4}}$	$\frac{9,0; 7,0; 3,7}{25,9; 1,0}$	178	$\frac{1,2/1,28}{1,5/1,58}$	2 1	16 21	64 42	1—7	2 2	3-11, 3-118	4,81 4,7	291 291	0,605	0,338 0,569	11,12 10,95	64

6. Прокладка под клин — пленкоэлектрокартон на полиэтилентерефталатной пленке толщиной 0,27 мм.

7. Клин — дерево твердой породы пропитанное.

8. Выводные концы катушечных групп, соединения катушечных групп и соединение обмотки с выводным кабелем изолированы линоксиновыми трубками марки ТЭС.

9. Стержни и кольца короткозамкнутой обмотки ротора выполнены из алюминия марки А5.

10. Паз статора выполнен в соответствии с рис. 1-8, паз ротора соответствует рис. 1-10 для двухполюсных электродвигателей, рис. 1-9 для четырехполюсных и рис. 1-5 для остальных.

Основные обмоточно-расчетные данные электродви

Тип электро- двигателя	$P_2, \text{ кВт}$	$U_1, \text{ в}$	$I_1, \text{ а}$	$n, \text{ об/мин}$	$\eta, \%$	$\cos \varphi$	$\frac{I_{\text{пуск}}}{I_{\text{ном}}}$	$\frac{M_{\text{пуск}}}{M_{\text{ном}}}$	$\frac{M_{\text{макс}}}{M_{\text{ном}}}$	Ста				
										$\frac{D_{a1}}{D_{i1}}$	$\frac{l_{t1}}{l_{t2}}$	δ	$B_{\delta, \text{ в с}}$	z_1
АО2-62-2	17	220/380 500	57/33 25	2 910	88,0	0,9	7,0	1,3	2,2	$\frac{291}{153}$	$\frac{150}{153}$	0,7	6 950 6 980	36
АО2-61-4	13	220/380 500	43,5/25 19,1	1 450	88,5	0,89	7,0	1,3	2,0	$\frac{291}{180}$	$\frac{135}{138}$	0,55	7 600 7 600	36
АО2-62-4	17	220/380 500	56,5/32,6 24,8	1 450	89,0	0,89	7,0	1,3	2,0	$\frac{291}{180}$	$\frac{165}{168}$	0,55	7 880 7 760	36
АО2-61-6	10	220/380 500	33,6/19,4 14,8	970	88,0	0,89	7,0	1,2	1,8	$\frac{291}{206}$	$\frac{150}{153}$	0,4	6 700 6 800	54
АО2-62-6	13	220/380 500	43,7/25,2 19,2	965	88,0	0,89	7,0	1,2	1,8	$\frac{291}{206}$	$\frac{190}{193}$	0,4	6 420 6 550	54
АО2-61-8	7,5	220/380 500	28/16,2 12,4	725	86,5	0,81	6,0	1,2	1,7	$\frac{291}{206}$	$\frac{150}{153}$	0,4	7 060 7 150	54
АО2-62-8	10	220/380 500	37,1/21,4 16,3	725	87,5	0,81	7,0	1,2	1,7	$\frac{291}{206}$	$\frac{190}{193}$	0,4	6 970 6 970	54

Примечания: 1. Изоляция электродвигателей выполнена по классу нагревостойкости F.
 2. Обмотка статора в заводском исполнении двухслойная, выполнена проводом марки ПЭТВ.
 3. Изоляция паза статора в заводском исполнении — стеклолакоткань ЛСП толщиной 0,15 мм; стекломиканит Г₁ФГ₁ толщиной 0,22 мм; электронит листовой толщиной 0,2 мм.
 4. Междуслойная прокладка в пазу — стеклолакоткань ЛСП толщиной 0,15 мм; стекломиканит Г₁ФГ₁ толщиной 0,22 мм.
 5. Прокладка в лобовой части в заводском исполнении для изоляции фазовых катушек — стеклолакоткань ЛСП толщиной 0,15 мм; стекломиканит Г₁ФГ₁ толщиной 0,22 мм; для остальных катушек — стеклолакоткань ЛСП толщиной 0,15 мм.

Основные обмоточно-расчетные данные электродвигате

Тип электро- двигателя	$P_2, \text{ кВт}$	$U_1, \text{ в}$	$I_1, \text{ а}$	$n, \text{ об/мин}$	$\eta, \%$	$\cos \varphi$	$\frac{I_{\text{пуск}}}{I_{\text{ном}}}$	$\frac{M_{\text{пуск}}}{M_{\text{ном}}}$	$\frac{M_{\text{макс}}}{M_{\text{ном}}}$	Ста				
										$\frac{D_{a1}}{D_{i1}}$	$\frac{l_{t1}}{l_{t2}}$	δ	$B_{\delta, \text{ в с}}$	z_1
A2-71-2	30	220/380	97/56	2 900	90,0	0,90	7,0	1,1	2,2	$\frac{343}{183}$	118	0,85	8 020	36
A2-72-2	40	220/380	129/75	2 900	90,5	0,90	7,0	1,0	2,2	$\frac{343}{183}$	153	0,85	8 250	36
A2-71-4	22	220/380	73/42	1 460	90,0	0,88	7,0	1,2	2,0	$\frac{343}{214}$	118	0,7	9 250	36
A2-72-4	30	220/380	99/57	1 460	90,5	0,88	7,0	1,2	2,0	$\frac{343}{214}$	168	0,7	8 850	36
A2-71-6	17	220/380	58/33	970	89,0	0,87	7,0	1,2	1,8	$\frac{343}{245}$	133	0,5	7 700	54

Таблица 1-10

генераторов единой серии типа АО2 6-го габарита

Статор															Ротор
q_1	Размеры паза $b; b'; b''$ $h; e$	$Q_{с1},$ $мм^2$	d/d'	m_1	$w_{к1}$	n_1	y_1	a_1	Схема обмотки (рис. №)	$j_1,$ $а/мм^2$	$AS_1,$ $а/см$	$l_{m1},$ $м$	$r_1,$ $ом$	$G_1,$ $кг$	z_1
6	$\frac{10,9; 7,8; 3,7}{28,1; 1,0}$	227	$\frac{1,45/1,53}{1,25/1,33}$	$\begin{matrix} 2 \\ 2 \end{matrix}$	$\begin{matrix} 13 \\ 17 \end{matrix}$	$\begin{matrix} 52 \\ 68 \end{matrix}$	$\begin{matrix} 1-12 \\ \end{matrix}$	$\begin{matrix} 2 \\ 2 \end{matrix}$	$\begin{matrix} 3-2, \\ 3-30 \end{matrix}$	$\begin{matrix} 4,99 \\ 5,1 \end{matrix}$	$\begin{matrix} 321 \\ 318 \end{matrix}$	$\begin{matrix} 0,809 \\ \end{matrix}$	$\begin{matrix} 0,158 \\ 0,294 \end{matrix}$	$\begin{matrix} 11,43 \\ 11,1 \end{matrix}$	28
3	$\frac{11,6; 8,7; 3,7}{28,0; 1,0}$	253	$\frac{1,25/1,33}{1,56/1,64}$	$\begin{matrix} 2 \\ 1 \end{matrix}$	$\begin{matrix} 19 \\ 25 \end{matrix}$	$\begin{matrix} 76 \\ 50 \end{matrix}$	$\begin{matrix} 1-8 \\ \end{matrix}$	$\begin{matrix} 2 \\ 2 \end{matrix}$	$\begin{matrix} 3-4, \\ 3-45 \end{matrix}$	$\begin{matrix} 5,1 \\ 5,0 \end{matrix}$	$\begin{matrix} 302 \\ 304 \end{matrix}$	$\begin{matrix} 0,648 \\ \end{matrix}$	$\begin{matrix} 0,263 \\ 0,445 \end{matrix}$	$\begin{matrix} 10,0 \\ 10,25 \end{matrix}$	46
3	$\frac{11,6; 8,7; 3,7}{28,0; 1,0}$	253	$\frac{1,4/1,48}{1,25/1,33}$	$\begin{matrix} 2 \\ 2 \end{matrix}$	$\begin{matrix} 15 \\ 20 \end{matrix}$	$\begin{matrix} 60 \\ 80 \end{matrix}$	$\begin{matrix} 1-8 \\ \end{matrix}$	$\begin{matrix} 2 \\ 2 \end{matrix}$	$\begin{matrix} 3-4, \\ 3-45 \end{matrix}$	$\begin{matrix} 5,3 \\ 6,2 \end{matrix}$	$\begin{matrix} 312 \\ 316 \end{matrix}$	$\begin{matrix} 0,708 \\ \end{matrix}$	$\begin{matrix} 0,181 \\ 0,304 \end{matrix}$	$\begin{matrix} 13,2 \\ 13,38 \end{matrix}$	46
3	$\frac{9,0; 7,0; 3,7}{25,9; 1,0}$	178	$\frac{1,56/1,64}{1,35/1,43}$	$\begin{matrix} 1 \\ 1 \end{matrix}$	$\begin{matrix} 17 \\ 22 \end{matrix}$	$\begin{matrix} 34 \\ 44 \end{matrix}$	$\begin{matrix} 1-8 \\ \end{matrix}$	$\begin{matrix} 2 \\ 2 \end{matrix}$	$\begin{matrix} 3-7, \\ 3-84 \end{matrix}$	$\begin{matrix} 5,07 \\ 5,17 \end{matrix}$	$\begin{matrix} 275 \\ 272 \end{matrix}$	$\begin{matrix} 0,601 \\ \end{matrix}$	$\begin{matrix} 0,416 \\ 0,724 \end{matrix}$	$\begin{matrix} 9,65 \\ 9,33 \end{matrix}$	64
3	$\frac{9,0; 7,0; 3,7}{25,9; 1,0}$	178	$\frac{1,25/1,33}{1,56/1,64}$	$\begin{matrix} 2 \\ 1 \end{matrix}$	$\begin{matrix} 13 \\ 17 \end{matrix}$	$\begin{matrix} 52 \\ 34 \end{matrix}$	$\begin{matrix} 1-8 \\ \end{matrix}$	$\begin{matrix} 2 \\ 2 \end{matrix}$	$\begin{matrix} 3-7, \\ 3-84 \end{matrix}$	$\begin{matrix} 5,14 \\ 5,02 \end{matrix}$	$\begin{matrix} 273 \\ 272 \end{matrix}$	$\begin{matrix} 0,681 \\ \end{matrix}$	$\begin{matrix} 0,284 \\ 0,478 \end{matrix}$	$\begin{matrix} 10,8 \\ 10,05 \end{matrix}$	64
$2\frac{1}{4}$	$\frac{9,0; 7,0; 3,7}{25,9; 1,0}$	178	$\frac{1,45/1,53}{1,3/1,38}$	$\begin{matrix} 1 \\ 1 \end{matrix}$	$\begin{matrix} 20 \\ 26 \end{matrix}$	$\begin{matrix} 40 \\ 52 \end{matrix}$	$\begin{matrix} 1-7 \\ \end{matrix}$	$\begin{matrix} 2 \\ 2 \end{matrix}$	$\begin{matrix} 3-11, \\ 3-118 \end{matrix}$	$\begin{matrix} 4,9 \\ 4,67 \end{matrix}$	$\begin{matrix} 270 \\ 269 \end{matrix}$	$\begin{matrix} 0,577 \\ \end{matrix}$	$\begin{matrix} 0,552 \\ 0,886 \end{matrix}$	$\begin{matrix} 9,55 \\ 9,88 \end{matrix}$	64
$2\frac{1}{4}$	$\frac{9,0; 7,0; 3,7}{25,9; 1,0}$	178	$\frac{1,2/1,28}{1,45/1,53}$	$\begin{matrix} 2 \\ 1 \end{matrix}$	$\begin{matrix} 15 \\ 20 \end{matrix}$	$\begin{matrix} 60 \\ 40 \end{matrix}$	$\begin{matrix} 1-7 \\ \end{matrix}$	$\begin{matrix} 2 \\ 2 \end{matrix}$	$\begin{matrix} 3-11, \\ 3-118 \end{matrix}$	$\begin{matrix} 4,72 \\ 4,94 \end{matrix}$	$\begin{matrix} 268 \\ 272 \end{matrix}$	$\begin{matrix} 0,657 \\ \end{matrix}$	$\begin{matrix} 0,345 \\ 0,627 \end{matrix}$	$\begin{matrix} 11,13 \\ 10,85 \end{matrix}$	64

6. Клинь — стеклотекстолит СТЭФ или прессматериал АГ-4 марки С.

7. Выводные концы катушечных групп, соединение катушечных групп и соединение обмотки с выводным кабелем изолированы стеклолакотрубкой марки ТКС.

8. Выводной кабель — провод марки РКГМ.

9. Места соединения выводного кабеля с наконечниками изолированы одним слоем стеклолакоткани ЛСП размером $0,15 \times 20$ мм вполнахлеста и одним слоем стеклянной ленты размером $0,15 \times 20$ мм вполнахлеста.

10. Стержни и кольца короткозамкнутой обмотки ротора выполнены из алюминия марки А5.

11. Паз статора выполнен в соответствии с рис. 1-8, паз ротора соответствует рис. 1-10 для двухполюсных электродвигателей, рис. 1-9 для четырехполюсных и рис. 1-5 для остальных.

Таблица 1-11

генераторов единой серии типа А2 и АО2 7-го габарита

Статор															Ротор
q_1	Размеры паза $b; b'; b''$ $h; e$	$Q_{с1},$ $мм^2$	d/d'	m_1	$w_{к1}$	n_1	y_1	a_1	Схема обмотки (рис. №)	$j_1,$ $а/мм^2$	$AS_1,$ $а/см$	$l_{m1},$ $м$	$r_1,$ $ом$	$G_1,$ $кг$	z_1
6	$\frac{12,4; 9,2; 3,7}{29,7; 1}$	275	$\frac{1,4/1,48}{1,62/1,7}$	$\begin{matrix} 3 \\ 3 \end{matrix}$	$\begin{matrix} 12 \\ 9 \end{matrix}$	$\begin{matrix} 72 \\ 54 \end{matrix}$	$\begin{matrix} 1-12 \\ \end{matrix}$	$\begin{matrix} 2 \\ 2 \end{matrix}$	$\begin{matrix} 3-2, \\ 3-30, \end{matrix}$	$\begin{matrix} 6,06 \\ \end{matrix}$	$\begin{matrix} 421 \\ \end{matrix}$	$\begin{matrix} 0,905 \\ \end{matrix}$	$\begin{matrix} 0,123 \\ \end{matrix}$	$\begin{matrix} 16,2 \\ \end{matrix}$	28
6	$\frac{12,4; 9,2; 3,7}{29,7; 1}$	275	$\frac{1,62/1,7}{1,56/1,64}$	$\begin{matrix} 3 \\ 2 \end{matrix}$	$\begin{matrix} 9 \\ 15 \end{matrix}$	$\begin{matrix} 54 \\ 60 \end{matrix}$	$\begin{matrix} 1-12 \\ \end{matrix}$	$\begin{matrix} 2 \\ 2 \end{matrix}$	$\begin{matrix} 3-2, \\ 3-30 \end{matrix}$	$\begin{matrix} 6,06 \\ \end{matrix}$	$\begin{matrix} 423 \\ \end{matrix}$	$\begin{matrix} 0,975 \\ \end{matrix}$	$\begin{matrix} 0,0745 \\ \end{matrix}$	$\begin{matrix} 17,7 \\ \end{matrix}$	28
3	$\frac{12,5; 9,2; 3,7}{30,3; 1}$	283	$\frac{1,56/1,64}{1,5/1,58}$	$\begin{matrix} 2 \\ 3 \end{matrix}$	$\begin{matrix} 15 \\ 11 \end{matrix}$	$\begin{matrix} 60 \\ 66 \end{matrix}$	$\begin{matrix} 1-8 \\ \end{matrix}$	$\begin{matrix} 2 \\ 2 \end{matrix}$	$\begin{matrix} 3-4, \\ 3-45 \end{matrix}$	$\begin{matrix} 5,5 \\ \end{matrix}$	$\begin{matrix} 338 \\ \end{matrix}$	$\begin{matrix} 0,715 \\ \end{matrix}$	$\begin{matrix} 0,148 \\ \end{matrix}$	$\begin{matrix} 13,3 \\ \end{matrix}$	46
3	$\frac{12,5; 9,2; 3,7}{30,3; 1}$	283	$\frac{1,5/1,58}{1,35/1,43}$	$\begin{matrix} 3 \\ 2 \end{matrix}$	$\begin{matrix} 11 \\ 14 \end{matrix}$	$\begin{matrix} 66 \\ 56 \end{matrix}$	$\begin{matrix} 1-8 \\ \end{matrix}$	$\begin{matrix} 2 \\ 2 \end{matrix}$	$\begin{matrix} 3-4, \\ 3-45 \end{matrix}$	$\begin{matrix} 5,37 \\ \end{matrix}$	$\begin{matrix} 336 \\ \end{matrix}$	$\begin{matrix} 0,815 \\ \end{matrix}$	$\begin{matrix} 0,088 \\ \end{matrix}$	$\begin{matrix} 15,7 \\ \end{matrix}$	46
3	$\frac{9,8; 7,7; 3,7}{27,7; 1}$	210	$\frac{1,35/1,43}{1,45/1,53}$	$\begin{matrix} 2 \\ 1 \end{matrix}$	$\begin{matrix} 14 \\ 20 \end{matrix}$	$\begin{matrix} 56 \\ 40 \end{matrix}$	$\begin{matrix} 1-8 \\ \end{matrix}$	$\begin{matrix} 2 \\ 2 \end{matrix}$	$\begin{matrix} 3-7, \\ 3,84 \end{matrix}$	$\begin{matrix} 5,76 \\ \end{matrix}$	$\begin{matrix} 324 \\ \end{matrix}$	$\begin{matrix} 0,645 \\ \end{matrix}$	$\begin{matrix} 0,248 \\ \end{matrix}$	$\begin{matrix} 12,6 \\ \end{matrix}$	64

Тип электро- двигателя	P_2 , квт	U_1 , в	I_1 , а	n , об/мин	η , %	$\cos \varphi$	$\frac{I_{\text{пуск}}}{I_{\text{ном}}}$	$\frac{M_{\text{пуск}}}{M_{\text{ном}}}$	$\frac{M_{\text{макс}}}{M_{\text{ном}}}$	Ст				
										$\frac{D_{a1}}{D_{i1}}$	$\frac{l_{t1}}{l_{t2}}$ и	δ	$B_{\delta, \text{зс}}$	z_1
A2-72-6	22	220/380	74/43	970	89,5	0,87	7,0	1,2	1,8	$\frac{343}{245}$	168	0,5	7 700	54
A2-71-8	13	220/380	48/28	730	87,5	0,82	7,0	1,1	1,7	$\frac{343}{245}$	133	0,5	8 350	54
A2-72-8	17	220/380	62/36	730	88,5	0,82	7,0	1,1	1,7	$\frac{343}{245}$	168	0,5	8 150	54
АО2-71-2	22	220/380	73/42	2 900	88,0	0,90	7,0	1,1	2,2	$\frac{343}{183}$	133	0,85	6 560	36
АО2-72-2	30	220/380	99/57	2 900	89,0	0,90	7,0	1,1	2,2	$\frac{343}{183}$	168	0,85	6 760	36
АО2-71-4	22	220/380	71/41	1 460	90,0	0,90	7,0	1,2	2,0	$\frac{343}{214}$	168	0,7	7 800	36
АО2-72-4	30	220/380	95/55	1 460	91,0	0,91	7,0	1,2	2,0	$\frac{343}{214}$	208	0,7	7 860	36
АО2-71-6	17	220/380	55/32	970	90,0	0,90	7,0	1,2	1,8	$\frac{343}{245}$	168	0,5	7 120	54
АО2-72-6	22	220/380	71/41	970	90,5	0,90	7,0	1,2	1,8	$\frac{343}{245}$	208	0,5	6 800	54
АО2-71-8	13	220/380	46/26	730	89,0	0,84	7,0	1,1	1,7	$\frac{343}{245}$	168	0,5	7 550	54
АО2-72-8	17	220/380	59/34	730	89,5	0,83	7,0	1,1	1,7	$\frac{343}{245}$	208	0,5	7 770	54

Примечания: 1. Изоляция электродвигателей типа А2 выполнена по классу нагревостойкости Е, типа АО2 — по классу нагревостойкости F.

2. Обмотка статора в заводском исполнении двухслойная, выполнена проводом марки ПЭТВ.

3. Изоляция паза статора в заводском исполнении: для электродвигателей типа А2 — два слоя пленкоэлектрокартона на полиэтилентерефталатной пленке толщиной по 0,27 мм; для электродвигателей АО2 — стеклолакоткань ЛСП толщиной 0,15 мм; электронит листовой толщиной 0,2 мм; гибкий миканит ГФС толщиной 0,2 мм.

4. Междуслойная прокладка в пазу в заводском исполнении: для электродвигателей типа А2 — два слоя пленкоэлектрокартона на полиэтилентерефталатной пленке толщиной 0,27 мм; для электродвигателей АО2 — стеклолакоткань ЛСП толщиной 0,15 мм, гибкий миканит ГФС толщиной 0,2 мм, склеенные вместе лаком ГФ-95.

5. Прокладка в лобовой части в заводском исполнении: для электродвигателей А2 для изоляции фазных катушек — два слоя пленкоэлектрокартона на полиэтилентерефталатной пленке толщиной по 0,27 мм; остальных катушек — пленкоэлектрокартон на полиэтилентерефталатной пленке толщиной 0,27 мм; для электродвигателей АО2 для изоляции фазных катушек — стеклолакоткань ЛСП толщиной 0,15 мм и гибкий миканит ГФС толщиной 0,2 мм, склеенные вместе лаком ГФ-95; остальных катушек — стеклолакоткань ЛСП толщиной 0,15 мм.

6. Прокладка под клин: для электродвигателей А2 — пленкоэлектрокартон на полиэтилентерефталатной пленке толщиной 0,27 мм; для электродвигателей АО2 — стеклотекстолит СТЭФ толщиной 0,5 мм.

Статор															Ротор
q_1	Размеры паза $b; b'; b''$ $h; e$	$Q_{s1},$ $мм^2$	d/d'	m_1	$w_{к1}$	n_1	y_1	a_1	Схема обмотки (рис. №)	$j_1,$ $a/мм^2$	$AS_1,$ $a/см$	$l_{m1},$ $м$	$r_1,$ $ом$	$G_1,$ $кг$	z_2
3	$\frac{9,8; 7,7; 3,7}{27,7; 1}$	210	1,56/1,64	2	11	44	1—8	2	3-7, 3-84	5,63	332	0,706	0,161	14,45	64
$2\frac{1}{4}$	$\frac{9,8; 7,7; 3,7}{27,7; 1}$	210	1,25/1,33	2	16	64	1—7	2	3-11, 3-118	5,7	315	0,6	0,308	11,6	64
$2\frac{1}{4}$	$\frac{9,8; 7,7; 3,7}{27,7; 1}$	210	1,4/1,48	2	13	52	1—7	2	3-11, 3-118	5,85	328	0,664	0,222	13,12	64
6	$\frac{12,4; 9,2; 3,7}{29,7; 1}$	275	1,35/1,43	3	12 и 13	75	1—12	2	3-2, 3-30	4,89	329	0,935	0,138	16,3	28
6	$\frac{12,4; 9,2; 3,7}{29,7; 1}$	275	1,56/1,64	3	9 и 10	57	1—12	2	3-2, 3-30	4,97	339	1,005	0,087	17,8	28
3	$\frac{12,5; 9,2; 3,7}{30,3; 1}$	283	1,2/1,28	2	25	100	1—8	4	3-5, 3-46	4,54	275	0,815	0,119	15,0	46
3	$\frac{12,5; 9,2; 3,7}{30,3; 1}$	283	1,56/1,64	3	10	60	1—8	2	3-4, 3-45	4,8	295	0,888	0,0817	16,4	46
3	$\frac{9,8; 7,7; 3,7}{27,7; 1}$	210	1,45/1,53	2	12	48	1—8	2	3-7, 3-84	4,85	270	0,706	0,203	13,8	64
3	$\frac{9,8; 7,7; 3,7}{27,7; 1}$	210	1,62/1,7	2	10	40	1—8	2	3-7, 3-84	4,98	288	0,786	0,151	15,85	64
$2\frac{1}{4}$	$\frac{9,8; 7,7; 3,7}{27,7; 1}$	210	1,3/1,38	2	15	60	1—7	2	3-11, 3-118	4,9	274	0,664	0,295	13,12	64
$2\frac{1}{4}$	$\frac{9,8; 7,7; 3,7}{27,7; 1}$	210	1,5/1,58	2	11	44	1—7	2	3-11, 3-118	4,81	263	0,744	0,183	14,3	64

7. Клинья для электродвигателей А2 — дерево твердой породы пропитанное; для электродвигателей АО2 — стекло-текстолит СТЭФ или прессматериал АГ-4 марки С.

8. Выводные концы катушечных групп, соединение катушечных групп и соединение обмотки с выводным кабелем изолированы: для электродвигателей А2 — линоксировыми трубками марки ТЭС; для электродвигателей АО2 — двумя слоями стекломикаленты С2ЛФГ размером 0,2×20 мм вполнахлеста и одним слоем стеклянной ленты размером 0,15×20 мм вполнахлеста.

9. Выводной кабель: для электродвигателей А2 — провод марки ПРГ-500; для электродвигателей АО2 — провод марки РКГМ.

10. Места соединения выводного кабеля с наконечниками изолированы: для электродвигателей А2 — линоксировыми трубками марки ТЭС; для электродвигателей АО2 — одним слоем стеклолакоткани ЛСП размером 0,15×20 мм вполнахлеста и одним слоем стеклянной ленты размером 0,15×20 мм вполнахлеста.

11. Стержни и кольца короткозамкнутой обмотки ротора выполнены из алюминия марки А5.

12. Паз статора выполнен в соответствии с рис. 1-8, паз ротора соответствует рис. 1-10 для двухполюсных электродвигателей и рис. 1-5 для остальных.

Основные обмоточно-расчетные данные электродвигателей единой серии

Тип электро- двигателя	P_2 , квт	U_1 , в	I_1 , а	n , об/мин	η , %	$\cos \varphi$	$\frac{I_{пуск}}{I_{ном}}$	$\frac{M_{пуск}}{M_{ном}}$	$\frac{M_{макс}}{M_{ном}}$	Ста-				
										$\frac{D_{a1}}{D_{i1}}$	$\frac{l_{t1}}{l_{t2}}$ и	δ	B_{δ} , гс	z_1
A2-81-2	55	220/380 500	176/102 77,5	2 920	91,0	0,9	7,0	1,0	2,2	$\frac{393}{211}$	146	1,0	7 950 8 450	36
A2-82-2	75	220/380 500	237/137 104,5	2 920	92,0	0,9	7,0	1,0	2,2	$\frac{393}{211}$	196	1,0	7 740 7 780	36
A2-81-4	40	220/380 500	130/75 57	1 470	91,0	0,89	7,0	1,1	2,0	$\frac{393}{247}$	146	0,9	8 450 8 560	48
A2-82-4	55	220/380 500	176/102 77,5	1 470	92,0	0,89	7,0	1,1	2,0	$\frac{393}{247}$	196	0,9	8 220 8 250	48
A2-81-6	30	220/380 500	99/58 43,7	975	90,0	0,88	7,0	1,1	1,8	$\frac{393}{285}$	146	0,6	7 500 7 460	72
A2-82-6	40	220/380 500	130/75 57	975	91,0	0,89	7,0	1,1	1,8	$\frac{393}{285}$	196	0,6	6 990 7 050	72
A2-81-8	22	220/380 500	79/46 34,8	730	89,0	0,82	7,0	1,1	1,7	$\frac{393}{285}$	146	0,6	7 950 7 820	72
A2-82-8	30	220/380 500	104/60 46	730	90,0	0,84	7,0	1,1	1,7	$\frac{393}{285}$	196	0,6	7 750 7 750	72
A2-81-10	17	220/380 500	67/39 29,5	585	86,5	0,77	6,5	1,1	1,7	$\frac{393}{285}$	146	0,5	9 000 9 050	60
A2-82-10	22	220/380 500	85/49 37,2	585	88,5	0,77	6,5	1,1	1,7	$\frac{393}{285}$	196	0,5	8 730 8 800	60

- Примечания: 1. Изоляция электродвигателей выполнена по классу нагревостойкости Е.
 2. Обмотка статора в заводском исполнении двухслойная обычная, выполнена проводом марки ПЭТВ.
 3. Изоляция паза статора в заводском исполнении — два слоя пленкоэлектрокартона на полиэтилентерефталатной пленке толщиной по 0,27 мм или один слой пленкоэлектрокартона на полиэтилентерефталатной пленке толщиной 0,27 мм и стеклолакоткань ЛСБ толщиной 0,2 мм.
 4. Междуслойная прокладка в пазу — пленкоэлектрокартон на полиэтилентерефталатной пленке толщиной 0,27 мм.
 5. Бандажные кольца для электродвигателей двухполюсного исполнения изолированы двумя слоями стеклолакоткани ЛСБ размером 0,15×20 мм вполнахлеста и одним слоем стеклянной ленты размером 0,15×20 мм вполнахлеста.
 6. Прокладка на дне паза — электрокартон ЭВ толщиной 0,5 мм.
 7. Лобовые части каждой первой катушки катушечной группы изолированы одним слоем стеклолакоткани ЛСБ размером 0,15×20 мм вполнахлеста и одним слоем стеклянной ленты размером 0,15×20 мм вполнахлеста; головки

типа А2 8-го габарита с двухслойной обмоткой обычного исполнения

Статор															Ротор
q_1	Размеры паза $b; b'; b''$ $h; e$	$Q_{с1},$ мм ²	d/d'	m_1	$w_{н1}$	n_1	y_1	a_1	Схема обмотки (рис. №)	$j_1,$ а/мм ²	$AS_1,$ а/см	$l_{m1},$ м	$r_1,$ ом	$G_1,$ кг	z_2
6	$\frac{15,35; 10,6; 3,7}{33,0; 1,0}$	395	$\frac{1,5/1,58}{1,5/1,58}$	$\frac{5}{4}$	$\frac{9 \text{ и } 8}{10 \text{ и } 11}$	$\frac{85}{84}$	1—12	$\frac{2}{2}$	$\frac{3-2,}{3-30}$	$\frac{5,76}{5,47}$	$\frac{471}{443}$	1,044	$\frac{0,053}{0,0818}$	$\frac{25,1}{24,9}$	28
6	$\frac{15,35; 10,6; 3,7}{33,0; 1,0}$	395	$\frac{1,56/1,64}{1,5/1,58}$	$\frac{6}{5}$	$\frac{6 \text{ и } 7}{8 \text{ и } 9}$	$\frac{78}{85}$	1—12	$\frac{2}{2}$	$\frac{3-2,}{3-30}$	$\frac{5,97}{5,91}$	$\frac{484}{483}$	1,144	$\frac{0,0342}{0,058}$	$\frac{27,3}{27,6}$	28
4	$\frac{12,15; 8,3; 3,7}{34,7; 1,0}$	331	$\frac{1,56/1,64}{1,35/1,43}$	$\frac{2}{2}$	$\frac{17}{22}$	$\frac{68}{88}$	1—11	$\frac{4}{4}$	$\frac{3-5,}{3-56}$	$\frac{4,9}{4,97}$	$\frac{395}{388}$	0,89	$\frac{0,0694}{0,12}$	$\frac{24,7}{23,9}$	58
4	$\frac{12,15; 8,3; 3,7}{34,7; 1,0}$	331	$\frac{1,45/1,53}{1,56/1,64}$	$\frac{3}{2}$	$\frac{13}{17}$	$\frac{78}{68}$	1—11	$\frac{4}{4}$	$\frac{3-5,}{3-56}$	$\frac{5,15}{5,07}$	$\frac{411}{407}$	0,99	$\frac{0,0456}{0,0774}$	$\frac{27,2}{27,4}$	58
4	$\frac{9,2; 7,0; 3,7}{31,9; 1,0}$	240	$\frac{1,5/1,58}{1,25/1,33}$	$\frac{1}{1}$	$\frac{25}{33}$	$\frac{50}{66}$	1—11	$\frac{6}{6}$	$\frac{3-9,}{3-101}$	$\frac{5,47}{5,94}$	$\frac{389}{387}$	0,742	$\frac{0,123}{0,223}$	$\frac{21,0}{19,3}$	82
4	$\frac{9,2; 7,0; 3,7}{31,9; 1,0}$	240	$\frac{1,35/1,43}{1,16/1,24}$	$\frac{3}{3}$	$\frac{10}{13}$	$\frac{60}{78}$	1—11	$\frac{3}{3}$	$\frac{3-8,}{3-99}$	$\frac{5,83}{6,0}$	$\frac{402}{398}$	0,842	$\frac{0,0915}{0,1615}$	$\frac{23,2}{22,2}$	82
3	$\frac{9,2; 7,0; 3,7}{31,9; 1,0}$	240	$\frac{1,62/1,7}{1,35/1,43}$	$\frac{1}{1}$	$\frac{21}{28}$	$\frac{42}{56}$	1—8	$\frac{4}{4}$	$\frac{3-12,}{3-127}$	$\frac{5,58}{6,08}$	$\frac{389}{392}$	0,658	$\frac{0,177}{0,339}$	$\frac{18,3}{16,9}$	82
3	$\frac{9,2; 7,0; 3,7}{31,9; 1,0}$	240	$\frac{1,56/1,64}{1,56/1,64}$	$\frac{3}{2}$	$\frac{8}{10 \text{ и } 11}$	$\frac{48}{42}$	1—8	$\frac{2}{2}$	$\frac{3-11,}{3-126}$	$\frac{5,23}{6,02}$	$\frac{386}{389}$	0,758	$\frac{0,109}{0,22}$	$\frac{22,2}{19,4}$	82
2	$\frac{10,3; 7,1; 3,7}{33,8; 1,0}$	274	$\frac{1,56/1,64}{1,35/1,43}$	$\frac{2}{2}$	$\frac{13}{17}$	$\frac{52}{68}$	1—6	$\frac{2}{2}$	$\frac{3-13,}{3-139}$	$\frac{5,1}{5,15}$	$\frac{340}{337}$	0,635	$\frac{0,189}{0,331}$	$\frac{16,8}{16,5}$	74
2	$\frac{10,3; 7,1; 3,7}{33,8; 1,0}$	274	$\frac{1,45/1,53}{1,56/1,64}$	$\frac{3}{2}$	$\frac{10}{13}$	$\frac{60}{52}$	1—6	$\frac{2}{2}$	$\frac{3-13,}{3-139}$	$\frac{4,95}{4,86}$	$\frac{328}{324}$	0,735	$\frac{0,13}{0,219}$	$\frac{19,4}{19,4}$	74

лобовых частей остальных катушек изолированы одним слоем стеклянной ленты размером 0,15×20 мм вполнахлеста.

8. Прокладка под клин — пленкоэлектрокартон на полиэтилентерефталатной пленке толщиной 0,27 мм.

9. Клин — дерево твердой породы пропитанное.

10. Выводные концы катушечных групп, соединение катушечных групп и соединение обмотки с выводным кабелем в заводском исполнении изолированы двумя слоями стеклолакоткани ЛСЭ размером 0,15×25 мм вполнахлеста и одним слоем стеклянной ленты размером 0,15×20 мм вполнахлеста.

11. Выводной кабель — провод марки ПРГ-500.

12. Места соединения выводного кабеля с наконечниками изолированы линоксиновыми трубками марки ТЭС.

13. Стержни и кольца короткозамкнутой обмотки ротора выполнены из алюминия марки А5.

14. Паз статора выполнен в соответствии с рис. 1-18, паз ротора соответствует рис. 1-21 для четырех- и десяти- полюсных электродвигателей и рис. 1-22 для остальных.

Основные обмоточно-расчетные данные электродвигателей единой серии

Тип электро- двигателя	P_2 , квт	U_1 , в	I_1 , а	n , об/мин	η , %	$\cos \varphi$	$\frac{I_{пуск}}{I_{ном}}$	$\frac{M_{пуск}}{M_{ном}}$	$\frac{M_{макс}}{M_{ном}}$	Ста-				
										$\frac{D_{a1}}{D_{i1}}$	l_{t1} и l_{t2}	δ	$B_{\delta, зс}$	z_1
A2-81-4	40	220/380	130/75	1 470	91,0	0,89	7,0	1,1	2,0	$\frac{393}{247}$	146	0,9	8 450	48
		500	57										8 560	
A2-82-4	55	220/380	176/102	1 470	92,0	0,89	7,0	1,1	2,0	$\frac{393}{247}$	196	0,9	8 220	48
		500	77,5										8 250	
A2-81-6	30	220/380	99/58	975	90,0	0,88	7,0	1,1	1,8	$\frac{393}{285}$	146	0,6	7 500	72
		500	43,7										7 460	
A2-82-6	40	220/380	130/75	975	91,0	0,89	7,0	1,1	1,8	$\frac{393}{285}$	196	0,6	6 990	72
		500	57										7 050	
A2-81-8	22	220/380	79/46	730	89,0	0,82	7,0	1,1	1,7	$\frac{393}{285}$	146	0,6	7 950	72
		500	34,8										7 820	
A2-82-8	30	220/380	104/60	730	90,0	0,84	7,0	1,1	1,7	$\frac{393}{285}$	196	0,6	7 750	72
		500	46										7 750	
A2-81-10	17	220/380	67/39	585	86,5	0,77	6,5	1,1	1,7	$\frac{393}{285}$	146	0,5	9 000	60
		500	29,5										9 050	
A2-82-10	22	220/380	85/49	585	88,5	0,77	6,5	1,1	1,7	$\frac{393}{285}$	196	0,5	8 730	60
		500	37,2										8 800	

Примечания: 1. Изоляция электродвигателей выполнена по классу нагревостойкости Е.

2. Обмотка статора в заводском исполнении двухслойная катушечная концентрическая, выполнена проводом марки ПЭТВ.

3. Изоляция паза статора в заводском исполнении — два слоя пленкоэлектрокартона на полиэтилентерефталатной пленке толщиной по 0,27 мм или один слой пленкоэлектрокартона на полиэтилентерефталатной пленке толщиной 0,27 мм и стеклолакоткань ЛСБ толщиной 0,2 мм.

4. Междуслойная прокладка в пазу — пленкоэлектрокартон на полиэтилентерефталатной пленке толщиной 0,27 мм. Прокладка выпущена до конца прямолинейной части катушки и прибандажирована к ней.

5. Прокладка на дне паза — электрокартон ЭВ толщиной 0,5 мм.

6. Лобовые части катушечных групп изолированы друг от друга прокладкой из пленкоэлектрокартона на полиэтилентерефталатной пленке толщиной 0,27 мм и забандажированы стеклянной лентой размером 0,2×20 мм, связывающей первую и последнюю катушку каждой катушечной группы.

типа А2 8-го габарита с двухслойной катушечной концентрической обмоткой

тор															Ротор
q_1	Размеры паза $\frac{b; b'; b''}{h; e}$	$Q_{s1},$ $мм^2$	d/d'	m_1	w_{K1}	n_1	y_1	a_1	Схема обмотки (рис. №)	$j_1,$ $a/мм^2$	$AS_1,$ $a/см$	$l_{m1},$ $м$	$r_1, ом$	$G_1,$ $кз$	z_2
4	$\frac{12,15; 8,3; 3,7}{34,7; 1,0}$	331	1,56/1,64 1,3/1,38	2 2	17 23	68 92	1—8, 1—10,	4 4	3-58	4,9 5,36	395 406	0,87	0,069 0,137	26,6 24	58
4	$\frac{12,15; 8,3; 3,7}{34,7; 1,0}$	331	1,45/1,53 1,56/1,64	3 2	13 17	78 68	1—12, 1—14	4 4	3-58	5,15 5,07	411 407	0,97	0,0454 0,077	27 27,4	58
4	$\frac{9,2; 7,0; 3,7}{31,9; 1,0}$	240	1,5/1,58 1,25/1,33	1 1	25 33	50 66	1—8, 1—10,	6 6	3-106	5,47 5,94	389 387	0,73	0,121 0,22	20,5 19,8	82
4	$\frac{9,2; 7,0; 3,7}{31,9; 1,0}$	240	1,35/1,43 1,16/1,24	3 3	10 13	60 78	1—12, 1—14	3 3	3-105	5,83 6,0	402 398	0,83	0,09 0,159	23,1 22,5	82
3	$\frac{9,2; 7,0; 3,7}{31,9; 1,0}$	240	1,62/1,7 1,35/1,43	1 1	21 28	42 56	1—6, 1—8,	4 4	3-135	5,58 6,08	389 392	0,65	0,175 0,335	18,3 17,0	82
3	$\frac{9,2; 7,0; 3,7}{31,9; 1,0}$	240	1,56/1,64 1,56/1,64	3 2	8 10 и 11	48 42	1—10	2 2	3-134	5,23 6,02	386 389	0,75	0,108 0,218	22,4 20,2	82
2	$\frac{10,3; 7,1; 3,7}{33,8; 1,0}$	274	1,56/1,64 1,35/1,43	2 2	13 17	52 68	1—5, 1—7	2 2	3-141	5,1 5,15	340 337	0,6	0,179 0,313	16,8 16,5	74
2	$\frac{10,3; 7,1; 3,7}{33,8; 1,0}$	274	1,45/1,53 1,56/1,64	3 2	10 13	60 52	1—5, 1—7	2 2	3-141	4,95 4,86	328 324	0,7	0,124 0,209	19,4 19,4	74

7. Клинь — дерево твердой породы пропитанное.

8. Выводные концы катушечных групп изолированы стеклолакотрубкой марки ТКС.

9. Соединение катушечных групп и соединение обмотки с выводным кабелем изолированы двумя слоями стеклолакоткани ЛСБ размером 0,15×25 мм вполнахлеста и одним слоем стеклянной ленты размером 0,15×20 мм вполнахлеста.

10. Выводной кабель — провод марки ПРГ-500.

11. Места соединения выводного кабеля с наконечниками изолированы линоксиновыми трубками марки ТЭС.

12. Стержни и кольца короткозамкнутой обмотки ротора выполнены из алюминия марки А5.

13. Паз статора выполнен в соответствии с рис. 1-18, паз ротора соответствует рис. 1-21 для четырехполюсных электродвигателей, рис. 1-22 для десятиполюсных и рис. 1-23 для остальных.

Основные обмоточно-расчетные данные электродвигателей единой серии

Тип электро- двигателя	P_2 , квт	U_1 , в	I_1 , а	n , об/мин	η , %	$\cos \varphi$	$\frac{I_{пуск}}{I_{ном}}$	$\frac{M_{пуск}}{M_{ном}}$	$\frac{M_{макс}}{M_{ном}}$	Ро-				
										$\frac{D_{a1}}{D_{t1}}$	$\frac{l_{t1}}{l_{t2}}$	δ	B_{δ} , гс	z_1
АО2-81-2	40	220/380 500	130/75 57	2 940	89,0	0,91	7,0	1,0	2,2	$\frac{393}{211}$	176	1,0	6 600 6 700	36
АО2-82-2	55	220/380 500	173/100 76,6	2 940	90,0	0,92	7,0	1,0	2,2	$\frac{393}{211}$	216	1,0	6 520 7 050	36
АО2-81-4	40	220/380 500	126/73 55,5	1 460	91,5	0,91	7,0	1,1	2,0	$\frac{393}{247}$	196	0,9	7 120 7 020	48
АО2-82-4	55	220/380 500	170/98 74,5	1 460	92,5	0,92	7,0	1,1	2,0	$\frac{393}{247}$	266	0,9	7 160 7 140	48
АО2-81-6	30	220/380 500	95/55 41,8	980	91,0	0,91	7,0	1,1	1,8	$\frac{393}{285}$	196	0,6	6 650 6 560	72
АО2-82-6	40	220/380 500	126/73 55,5	980	91,5	0,91	7,0	1,1	1,8	$\frac{393}{285}$	266	0,6	6 420 6 420	72
АО2-81-8	22	220/380 500	75/43 33	730	90,5	0,85	7,0	1,1	1,7	$\frac{393}{285}$	196	0,6	6 900 7 100	72
АО2-82-8	30	220/380 500	98/57 43,2	730	91,0	0,88	7,0	1,1	1,7	$\frac{393}{285}$	266	0,6	6 530 6 670	72
АО2-81-10	17	220/380 500	64/37 28,3	585	88,0	0,79	6,5	1,1	1,7	$\frac{393}{285}$	196	0,5	7 940 8 180	60
АО2-82-10	22	220/380 500	81/47 36	585	89,5	0,79	6,5	1,1	1,7	$\frac{393}{285}$	251	0,5	8 100 8 140	60

Примечания: 1. Изоляция электродвигателей выполнена по классу нагревостойкости F.

2. Обмотка статора в заводском исполнении двухслойная обычная, выполнена проводом марки ПЭТВ.

3. Изоляция паза статора в заводском исполнении — стеклолакоткань ЛСП толщиной 0,15 мм; гибкий миканит ГФС толщиной 0,2 мм; электронит листовой толщиной 0,2 мм.

4. Междуслойная прокладка в пазу — стеклолакоткань ЛСП толщиной 0,15 мм; стекломиканит Г₂ФГП толщиной 0,35 мм.

5. Бандажные кольца для электродвигателей двухполюсного исполнения изолированы двумя слоями стеклолакоткани ЛСП размером 0,15×20 мм вполнахлеста и одним слоем стеклянной ленты размером 0,15×20 мм вполнахлеста.

6. Прокладка на дне паза — электронит толщиной 0,5 мм.

7. Лобовые части каждой первой катушки катушечной группы в заводском исполнении изолированы одним слоем стекломикаленты С₂ЛФГ размером 0,2×20 мм вполнахлеста и одним слоем стеклянной ленты размером

типа АО2 8-го габарита с двухслойной обмоткой обычного исполнения

тор															Статор
q_1	Размеры пазов $b; b'; b''$ $h; e$	$Q_{с1},$ $мм^2$	d/d'	m_1	$w_{ж1}$	n_1	y_1	a_1	Схема обмотки (рис. №)	$j_1,$ $а' мм^2$	$AS_1,$ $а/см$	$l_{m1},$ $м$	$r_1, ом$	$G_1, кг$	z_1
6	$\frac{15,35; 10,6; 3,7}{33; 1}$	395	$\frac{1,5/1,58}{1,45/1,53}$	$\begin{smallmatrix} 5 \\ 4 \end{smallmatrix}$	$\begin{smallmatrix} 8 \text{ и } 9 \\ 11 \end{smallmatrix}$	$\begin{smallmatrix} 85 \\ 88 \end{smallmatrix}$	1—12	$\begin{smallmatrix} 2 \\ 2 \end{smallmatrix}$	$\begin{smallmatrix} 3-2, \\ 3-30 \end{smallmatrix}$	$\begin{smallmatrix} 4,24 \\ 4,31 \end{smallmatrix}$	$\begin{smallmatrix} 346 \\ 341 \end{smallmatrix}$	$\begin{smallmatrix} 1,104 \\ 1,104 \end{smallmatrix}$	$\begin{smallmatrix} 0,0558 \\ 0,0968 \end{smallmatrix}$	$\begin{smallmatrix} 26,6 \\ 25,7 \end{smallmatrix}$	28
6	$\frac{15,35; 10,6; 3,7}{33; 1}$	395	$\frac{1,62/1,7}{1,62/1,7}$	$\begin{smallmatrix} 5 \\ 4 \end{smallmatrix}$	$\begin{smallmatrix} 7 \\ 8 \text{ и } 9 \end{smallmatrix}$	$\begin{smallmatrix} 70 \\ 68 \end{smallmatrix}$	1—12	$\begin{smallmatrix} 2 \\ 2 \end{smallmatrix}$	$\begin{smallmatrix} 3-2, \\ 3-30 \end{smallmatrix}$	$\begin{smallmatrix} 4,86 \\ 4,65 \end{smallmatrix}$	$\begin{smallmatrix} 381 \\ 354 \end{smallmatrix}$	$\begin{smallmatrix} 1,184 \\ 1,184 \end{smallmatrix}$	$\begin{smallmatrix} 0,0424 \\ 0,0677 \end{smallmatrix}$	$\begin{smallmatrix} 27,4 \\ 28,2 \end{smallmatrix}$	28
4	$\frac{12,15; 8,3; 3,7}{34,7; 1}$	331	$\frac{1,62/1,7}{1,62/1,7}$	$\begin{smallmatrix} 2 \\ 3 \end{smallmatrix}$	$\begin{smallmatrix} 15 \\ 10 \end{smallmatrix}$	$\begin{smallmatrix} 60 \\ 60 \end{smallmatrix}$	1—11	$\begin{smallmatrix} 4 \\ 2 \end{smallmatrix}$	$\begin{smallmatrix} 3-5, \\ 3-56 \\ 3-4, \\ 3-55 \end{smallmatrix}$	$\begin{smallmatrix} 4,43 \\ 4,49 \end{smallmatrix}$	$\begin{smallmatrix} 339 \\ 343 \end{smallmatrix}$	$\begin{smallmatrix} 0,99 \\ 0,99 \end{smallmatrix}$	$\begin{smallmatrix} 0,0633 \\ 0,112 \end{smallmatrix}$	$\begin{smallmatrix} 26,1 \\ 26,1 \end{smallmatrix}$	58
4	$\frac{12,5; 8,3; 3,7}{34,7; 1}$	331	$\frac{1,56/1,64}{1,62/1,7}$	$\begin{smallmatrix} 3 \\ 2 \end{smallmatrix}$	$\begin{smallmatrix} 11 \\ 15 \text{ и } 14 \end{smallmatrix}$	$\begin{smallmatrix} 66 \\ 58 \end{smallmatrix}$	$\begin{smallmatrix} 1-11 \\ 1-10 \end{smallmatrix}$	$\begin{smallmatrix} 4 \\ 4 \end{smallmatrix}$	$\begin{smallmatrix} 3-5, \\ 3-56 \\ 3-5, \\ 3-53 \end{smallmatrix}$	$\begin{smallmatrix} 4,27 \\ 4,52 \end{smallmatrix}$	$\begin{smallmatrix} 333 \\ 334 \end{smallmatrix}$	$\begin{smallmatrix} 1,13 \\ 1,13 \end{smallmatrix}$	$\begin{smallmatrix} 0,039 \\ 0,0697 \end{smallmatrix}$	$\begin{smallmatrix} 30,4 \\ 28,9 \end{smallmatrix}$	58
4	$\frac{9,2; 7,0; 3,7}{31,9; 1}$	240	$\frac{1,62/1,7}{1,4/1,48}$	$\begin{smallmatrix} 3 \\ 2 \end{smallmatrix}$	$\begin{smallmatrix} 7 \\ 14 \end{smallmatrix}$	$\begin{smallmatrix} 42 \\ 56 \end{smallmatrix}$	1—11	$\begin{smallmatrix} 2 \\ 3 \end{smallmatrix}$	$\begin{smallmatrix} 3-7, \\ 3-97 \\ 3-8, \\ 3-99 \end{smallmatrix}$	$\begin{smallmatrix} 4,45 \\ 4,53 \end{smallmatrix}$	$\begin{smallmatrix} 310 \\ 314 \end{smallmatrix}$	$\begin{smallmatrix} 0,842 \\ 0,842 \end{smallmatrix}$	$\begin{smallmatrix} 0,1 \\ 0,18 \end{smallmatrix}$	$\begin{smallmatrix} 23,3 \\ 23,2 \end{smallmatrix}$	82
4	$\frac{9,2; 7,0; 3,7}{31,9; 1}$	240	$\frac{1,5/1,58}{1,62/1,7}$	$\begin{smallmatrix} 3 \\ 2 \end{smallmatrix}$	$\begin{smallmatrix} 8 \\ 10 \text{ и } 11 \end{smallmatrix}$	$\begin{smallmatrix} 48 \\ 42 \end{smallmatrix}$	$\begin{smallmatrix} 1-11 \\ 1-10 \end{smallmatrix}$	$\begin{smallmatrix} 3 \\ 3 \end{smallmatrix}$	$\begin{smallmatrix} 3-8, \\ 3-99 \\ 3-8, \\ 3-94 \end{smallmatrix}$	$\begin{smallmatrix} 4,59 \\ 4,49 \end{smallmatrix}$	$\begin{smallmatrix} 313 \\ 313 \end{smallmatrix}$	$\begin{smallmatrix} 0,982 \\ 0,982 \end{smallmatrix}$	$\begin{smallmatrix} 0,0693 \\ 0,117 \end{smallmatrix}$	$\begin{smallmatrix} 26,7 \\ 27,2 \end{smallmatrix}$	82
3	$\frac{9,2; 7,0; 3,7}{31,9; 1}$	240	$\frac{1,4/1,48}{1,5/1,58}$	$\begin{smallmatrix} 3 \\ 1 \end{smallmatrix}$	$\begin{smallmatrix} 9 \\ 23 \end{smallmatrix}$	$\begin{smallmatrix} 54 \\ 46 \end{smallmatrix}$	1—8	$\begin{smallmatrix} 2 \\ 4 \end{smallmatrix}$	$\begin{smallmatrix} 3-11, \\ 3-126 \\ 3-12, \\ 3-127 \end{smallmatrix}$	$\begin{smallmatrix} 4,66 \\ 4,67 \end{smallmatrix}$	$\begin{smallmatrix} 312 \\ 306 \end{smallmatrix}$	$\begin{smallmatrix} 0,758 \\ 0,758 \end{smallmatrix}$	$\begin{smallmatrix} 0,166 \\ 0,259 \end{smallmatrix}$	$\begin{smallmatrix} 20,2 \\ 19,7 \end{smallmatrix}$	82
3	$\frac{9,2; 7,0; 3,7}{31,9; 1}$	240	$\frac{1,62/1,7}{1,4/1,48}$	$\begin{smallmatrix} 3 \\ 3 \end{smallmatrix}$	$\begin{smallmatrix} 7 \\ 9 \end{smallmatrix}$	$\begin{smallmatrix} 42 \\ 54 \end{smallmatrix}$	1—8	$\begin{smallmatrix} 2 \\ 2 \end{smallmatrix}$	$\begin{smallmatrix} 3-11, \\ 3-126 \end{smallmatrix}$	$\begin{smallmatrix} 4,6 \\ 4,68 \end{smallmatrix}$	$\begin{smallmatrix} 322 \\ 313 \end{smallmatrix}$	$\begin{smallmatrix} 0,898 \\ 0,898 \end{smallmatrix}$	$\begin{smallmatrix} 0,108 \\ 0,1845 \end{smallmatrix}$	$\begin{smallmatrix} 24,9 \\ 23,9 \end{smallmatrix}$	82
2	$\frac{10,3; 7,1; 3,7}{33,8; 1}$	274	$\frac{1,35/1,43}{1,45/1,53}$	$\begin{smallmatrix} 3 \\ 2 \end{smallmatrix}$	$\begin{smallmatrix} 11 \\ 14 \end{smallmatrix}$	$\begin{smallmatrix} 66 \\ 56 \end{smallmatrix}$	1—6	$\begin{smallmatrix} 2 \\ 2 \end{smallmatrix}$	$\begin{smallmatrix} 3-13, \\ 3-139 \end{smallmatrix}$	$\begin{smallmatrix} 4,3 \\ 4,28 \end{smallmatrix}$	$\begin{smallmatrix} 273 \\ 266 \end{smallmatrix}$	$\begin{smallmatrix} 0,735 \\ 0,735 \end{smallmatrix}$	$\begin{smallmatrix} 0,165 \\ 0,274 \end{smallmatrix}$	$\begin{smallmatrix} 18,55 \\ 18,1 \end{smallmatrix}$	74
	$\frac{10,3; 7,1; 3,7}{33,8; 1}$	274	$\frac{1,2/1,28}{1,5/1,58}$	$\begin{smallmatrix} 2 \\ 1 \end{smallmatrix}$	$\begin{smallmatrix} 21 \\ 28 \text{ и } 27 \end{smallmatrix}$	$\begin{smallmatrix} 84 \\ 55 \end{smallmatrix}$	1—6	$\begin{smallmatrix} 5 \\ 5 \end{smallmatrix}$	$\begin{smallmatrix} 3-14, \\ 3-140 \end{smallmatrix}$	$\begin{smallmatrix} 4,15 \\ 4,07 \end{smallmatrix}$	$\begin{smallmatrix} 265 \\ 266 \end{smallmatrix}$	$\begin{smallmatrix} 0,845 \\ 0,845 \end{smallmatrix}$	$\begin{smallmatrix} 0,11 \\ 0,186 \end{smallmatrix}$	$\begin{smallmatrix} 21,4 \\ 21,9 \end{smallmatrix}$	74

0,15×20 мм вполнахлеста; головки лобовых частей остальных катушек изолированы одним слоем стеклянной ленты размером 0,15×20 мм вполнахлеста.

8. Прокладка под клин — стеклотекстолит СТЭФ толщиной 0,5 мм.

9. Клин — стеклотекстолит СТЭФ или прессматериал АГ-4 марки С.

10. Выводные концы катушечных групп, соединение катушечных групп и соединение обмотки с выводным кабелем в заводском исполнении изолированы двумя слоями стекломикаленты С₂ЛФГ размером 0,2×20 мм вполнахлеста и одним слоем стеклянной ленты размером 0,15×20 мм вполнахлеста.

11. Выводной кабель — провод марки РКГМ.

12. Места соединения выводного кабеля с наконечниками изолированы одним слоем стеклолакоткани ЛСП размером 0,15×20 мм вполнахлеста и одним слоем стеклянной ленты размером 0,15×20 мм вполнахлеста.

13. Стержни и кольца короткозамкнутой обмотки ротора выполнены из алюминия марки А5.

14. Паз статора выполнен в соответствии с рис. 1-18, паз ротора соответствует рис. 1-21 для четырехполюсных электродвигателей и рис. 1-22 для остальных.

Основные обмоточно-расчетные данные электродвигателей единой серии

Тип электро- двигателя	P_2 , квт	U_1 , в	I_1 , а	n , об/мин	η , %	$\cos \varphi$	$\frac{I_{\text{пуск}}}{I_{\text{ном}}}$	$\frac{M_{\text{пуск}}}{M_{\text{ном}}}$	$\frac{M_{\text{макс}}}{M_{\text{ном}}}$	Стр				
										$\frac{D_{a1}}{D_{i1}}$	$\frac{l_{t1}}{l_{t2}}$ и	δ	B_δ , гс	z_1
АО2-81-4	40	220/380	126/73	1 460	91,5	0,91	7,0	1,1	2,0	$\frac{393}{247}$	196	0,9	7 120	48
		500	55,5										7 020	
АО2-82-4	55	220/380	170/98	1 460	92,5	0,92	7,0	1,1	2,0	$\frac{393}{247}$	266	0,9	7 160	48
		500	74,5										7 140	
АО2-81-6	30	220/380	95/55	980	91,0	0,91	7,0	1,1	1,8	$\frac{393}{285}$	196	0,6	6 650	72
		500	41,8										6 560	
АО2-82-6	40	220/380	126/73	980	91,5	0,91	7,0	1,1	1,8	$\frac{393}{285}$	266	0,6	6 420	72
		500	55,5										6 420	
АО2-81-8	22	220/380	75/43	730	90,5	0,85	7,0	1,1	1,7	$\frac{393}{285}$	196	0,6	6 900	72
		500	33										7 100	
АО2-82-8	30	220/380	98/57	730	91,0	0,88	7,0	1,1	1,7	$\frac{393}{285}$	266	0,6	6 530	72
		500	43,2										6 670	
АО2-81-10	17	220/380	64/37	585	88,0	0,79	6,5	1,1	1,7	$\frac{393}{285}$	196	0,5	7 940	60
		500	28,3										8 180	
АО2-82-10	22	220/380	81/47	585	89,5	0,79	6,5	1,1	1,7	$\frac{393}{285}$	251	0,5	8 100	60
		500	36										8 140	

Примечания: 1. Изоляция электродвигателей выполнена по классу нагревостойкости F.

2. Обмотка статора в заводском исполнении двухслойная катушечная концентрическая, выполнена проводом марки ПЭТВ.

3. Изоляция паза статора в заводском исполнении — стеклолакоткань ЛСП толщиной 0,15 мм; гибкий миканит ГФС толщиной 0,2 мм; электронит листовой толщиной 0,2 мм.

4. Междуслойная прокладка в пазу — лакостеклослюдопласт СпТС₁-ЛСБ толщиной 0,45 мм. Прокладка выпущена до конца прямолинейной части катушки и прибандажирована к ней.

5. Прокладка на дне паза — электронит толщиной 0,5 мм.

6. Лобовые части катушечных групп изолированы друг от друга прокладкой из лакостеклослюдопласта СпТС₁-ЛСБ толщиной 0,45 мм и забандажированы стеклянной лентой размером 0,2×20 мм, связывающей первую и последнюю катушку каждой катушечной группы.

типа АО-2 8-го габарита с двухслойной катушечной концентрической обмоткой

тор																Ротор
q_1	Размер паза $b; b'; b''$ $h; e$	$Q_{s1},$ $мм^2$	d/d'	m_1	w_{K1}	n_1	y_1	a_1	Схема обмотки (рис. №)	$j_1,$ $a/мм^2$	$AS_1,$ $a/см$	$l_{m1},$ $м$	$r_1, ом$	$G_1,$ $кг$	z_2	
4	12,15; 8,3; 3,7	331	1,56/1,64	2	16	64	1—8, 1—10, 1—12, 1—14	4	3-58	4,77	362	0,97	0,0712	25,7	58	
	34,7; 1		1,62/1,7	3	10	60		2	3-59	4,49	343		0,11	27,4		
4	12,15; 8,3; 3,7	331	1,56/1,64	3	11	66	1—14	4	3-58	4,27	333	1,11	0,0383	30,6	58	
	34,7; 1		1,62/1,7	2	15 и 14	58		4		4,52	334		0,0685	28,8		
4	9,2; 7,0; 3,7	240	1,62/1,7	3	7	42	1—8, 1—10,	2	3-104	4,45	310	0,83	0,0985	23,4	82	
	31,9; 1		1,4/1,48	2	14	56		3	3-105	4,53	314		0,177	23,4		
4	9,2; 7,0; 3,7	240	1,5/1,58	3	8	48	1—12, 1—14	3	3-105	4,59	313	0,97	0,0683	27,0	82	
	31,9; 1		1,62/1,7	2	10 и 11	42		3		4,49	313		0,115	27,4		
3	9,2; 7,0; 3,7	240	1,4/1,48	3	9	54	1—6, 1—8, 1—10	2	3-134	4,66	312	0,75	0,166	20,4	82	
	31,9; 1		1,5/1,58	1	23	46		4	3-135	4,67	306		0,256	19,7		
3	9,2; 7,0; 3,7	240	1,62/1,7	3	7	42	1—10	2	3-134	4,6	322	0,89	0,106	25,2	82	
	31,9; 1		1,4/1,48	3	9	54		2		4,68	313		0,181	24		
2	10,3; 7,1; 3,7	274	1,35/1,43	3	11	66	1—5, 1—7	2	3-141	4,3	273	0,7	0,152	18	74	
	33,8; 1		1,45/1,53	2	14	56		2		4,28	266		0,252	17,5		
2	10,3; 7,1; 3,7	274	1,16/1,205	2	23	92	1—7	5	3-142	4,45	290	0,81	0,12	21,4	74	
	33,8; 1		1,5/1,58	1	28 и 27	55		5		4,07	266		0,173	21,2		

7. Клин — стеклотекстолит СТЭФ или прессматериал АГ-4 марки С.

8. Выводные концы катушечных групп изолированы стеклолакотрубкой марки ТКС.

9. Соединение катушечных групп и соединение обмотки с выводным кабелем изолированы двумя слоями стеклолакоткани ЛСП II размером 0,17×25 мм вполнахлеста и одним слоем стеклянной ленты размером 0,2×20 мм вполнахлеста.

10. Выводной кабель — провод марки РКГМ.

11. Места соединения выводного кабеля с наконечниками изолированы одним слоем стеклолакоткани ЛСП размером 0,15×20 мм вполнахлеста и одним слоем стеклянной ленты размером 0,15×20 мм вполнахлеста.

12. Стержни и кольца короткозамкнутой обмотки ротора выполнены из алюминия марки А5.

13. Паз статора выполнен в соответствии с рис. 1-18, паз ротора соответствует рис. 1-21 для четырехполюсных электродвигателей и рис. 1-22 для остальных.

Основные обмоточно-расчетные данные электродвигателей единой серии

Тип электро- двигателя	P_2 , квт	U_1 , в	I_1 , а	n , об/мин	η , %	$\cos \varphi$	$\frac{I_{\text{пуск}}}{I_{\text{ном}}}$	$\frac{M_{\text{пуск}}}{M_{\text{ном}}}$	$\frac{M_{\text{макс}}}{M_{\text{ном}}}$	Сра				
										$\frac{D_{a1}}{D_{i1}}$	$\frac{l_{t1}}{l_{t2}}$ и	δ	B_{δ} , гс	z_1
A2-91-2	100	220/380	314/181	2 960	93,0	0,9	7,0	1,0	2,2	$\frac{458}{247}$	176	1,2	7 800	48
		500	137							7 700				
A2-92-2	125	220/380	387/224	2 960	94,0	0,9	7,0	1,0	2,2	$\frac{458}{247}$	221	1,2	8 000	48
		500	170,5							8 170				
A2-91-4	75	220/380	237/137	1 480	93,0	0,89	7,0	1,1	2,0	$\frac{458}{290}$	176	1,0	8 300	60
		500	104,5							8 400				
A2-92-4	100	220/380	312/180	1 480	93,5	0,9	7,0	1,1	2,0	$\frac{458}{290}$	221	1,0	8 300	60
		500	137							7 900				
A2-91-6	55	220/380	176/102	980	92,0	0,89	7,0	1,1	1,8	$\frac{458}{334}$	176	0,7	7 800	72
		500	77,5							7 900				
A2-92-6	75	220/380	238/138	980	92,5	0,89	7,0	1,1	1,8	$\frac{458}{334}$	246	0,7	7 900	72
		500	105							7 800				
A2-91-8	40	220/380	137/79	735	91,5	0,84	7,0	1,1	1,7	$\frac{458}{334}$	176	0,7	8 420	72
		500	60							8 610				
A2-92-8	55	220/380	180/104	735	92	0,87	7,0	1,1	1,7	$\frac{458}{334}$	246	0,7	7 660	72
		500	79,3							7 640				
A2-91-10	30	220/380	109/63	585	90,5	0,8	6,5	1,1	1,7	$\frac{458}{334}$	176	0,6	9 160	60
		500	47,8							9 050				
A2-92-10	40	220/380	145/84	585	90,5	0,8	6,5	1,1	1,7	$\frac{458}{334}$	221	0,6	9 400	60
		500	63,7							9 600				

Примечания: 1. Изоляция электродвигателей выполнена по классу нагревостойкости Е.

2. Обмотка статора в заводском исполнении двухслойная обычная, выполнена проводом марки ПЭТВ.

3. Изоляция паза статора в заводском исполнении — два слоя пленкоэлектрокартона на полиэтилентерефталатной пленке толщиной по 0,27 мм или один слой пленкоэлектрокартона на полиэтилентерефталатной пленке толщиной 0,27 мм и стеклолакоткань ЛСБ толщиной 0,2 мм.

4. Междуслойная прокладка в пазу — пленкоэлектрокартон на полиэтилентерефталатной пленке толщиной 0,27 мм.

5. Бандажные кольца для электродвигателей двухполюсного исполнения изолированы двумя слоями стеклолакоткани ЛСБ размером 0,15×20 мм вполнахлеста и одним слоем стеклянной ленты размером 0,15×20 мм вполнахлеста.

6. Прокладка на дне паза — электрокартон ЭВ толщиной 0,5 мм.

7. Лобовые части каждой первой катушки катушечной группы изолированы одним слоем стеклолакоткани ЛСБ размером 0,15×20 мм вполнахлеста и одним слоем стеклянной ленты размером 0,15×20 мм вполнахлеста; головки ло-

типа А2 9-го габарита с двухслойной обмоткой обычного исполнения

тор															Ротор
q_1	Размеры паза $b; b'; b''$ $h; e$	$Q_{s1},$ $мм^2$	d/d'	m_1	$w_{к1}$	n_1	y_1	a_1	Схема обмотки (рис. №)	$j_1,$ $a/мм^2$	$AS_1,$ $a/см$	$l_{m1},$ $м$	$r_1, ом$	$G_1, кг$	z_2
8	13,6; 8,9; 3,7	410	1,62/1,7	9	4 и 5	81	1—16	2	3-2,	4,88	504	1,21	0,0206	42,7	40
	39; 1		1,56/1,64	7	6	84		2	3-37	5,12	508		0,0381	41,1	
8	13,6; 8,9; 3,7	410	1,62/1,7	11	3 и 4	77	1—16	2	3-2,	4,94	486	1,3	0,0141	44	40
	39; 1		1,56/1,64	9	4 и 5	81		2	3-37	4,95	475		0,0239	43	
5	11,8; 7,7; 3,7	372	1,5/1,58	4	10	80	1—13	4	3-5,	4,85	451	1,03	0,032	39	70
	40,7; 1		1,5/1,58	3	13	78		4	3-61	4,94	447		0,0554	38	
5	11,8; 7,7; 3,7	372	1,56/1,64	5	8	80	1—13	4	3-5,	4,7	475	1,12	0,0206	45,6	70
	40,7; 1		1,62/1,7	3	11	66		4	3-61	5,54	496		0,0398	40,6	
4	10,4; 7,7; 3,7	278	1,4/1,48	2	17	68	1—11	6	3-9,	5,53	397	0,88	0,0568	29,5	86
	33; 1		1,2/1,28	2	22	88		6	3-101	5,71	390		0,10	28	
4	10,4; 7,7; 3,7	278	1,5/1,58	5	6	60	1—11	3	3-8,	5,2	379	1,02	0,0325	34,6	86
	33; 1		1,45/1,53	4	8	64		3	3-99	5,3	384		0,0579	34,6	
3	10,4; 7,7; 3,7	278	1,56/1,64	2	14	56	1—8	4	3-12,	5,16	380	0,756	0,073	25,9	86
	33; 1		1,35/1,43	2	18	72		4	3-127	5,24	370		0,125	25	
3	10,4; 7,7; 3,7	278	1,4/1,48	3	11	66	1—8	4	3-12,	5,64	393	0,896	0,056	29,2	86
	33; 1		1,2/1,28	3	14 и 15	87		4	3-127	5,84	394		0,101	28,2	
2	10,4; 6,9; 3,7	286	1,62/1,7	3	9	54	1—6	2	3-13,	5,1	324	0,725	0,0926	21,5	74
	35,4; 1		1,35/1,43	3	12	72		2	3-139	5,56	328		0,1775	19,9	
2	10,4; 6,9; 3,7	286	1,56/1,64	4	7	56	1—6	2	3-13,	5,49	336	0,815	0,0654	23,3	74
	35,4; 1		1,56/1,64	3	9	54		2	3-139	5,55	327		0,112	22,4	

бовых частей остальных катушек изолированы одним слоем стеклянной ленты толщиной 0,15×20 мм вполнахлеста.

8. Прокладка под клин — пленкоэлектрокотрон на полиэтилентерефталатной пленке толщиной 0,27 мм.

9. Клин — дерево твердой породы пропитанное.

10. Выводные концы катушечных групп, соединение катушечных групп и соединение обмотки с выводным кабелем в заводском исполнении изолированы двумя слоями стеклолакоткани ЛСЭ размером 0,15×25 мм вполнахлеста и одним слоем стеклянной ленты размером 0,15×20 мм вполнахлеста.

11. Выводной кабель — провод марки ПРГ-500.

12. Места соединения выводного кабеля с наконечниками изолированы линоксиновыми трубками марки ТЭС.

13. Стержни и кольца короткозамкнутой обмотки ротора выполнены из алюминия марки А5.

14. Паз статора выполнен в соответствии с рис. 1-18, паз ротора соответствует рис. 1-23 для двухполюсных электродвигателей и рис. 1-22 для остальных.

Основные обмоточно-расчетные данные электродвигателей единой серии

Тип электро- двигателя	$P_2, \text{ кВт}$	$U_1, \text{ в}$	$I_1, \text{ а}$	$n, \text{ об/мин}$	$\eta, \%$	$\cos \varphi$	$\frac{I_{\text{пуск}}}{I_{\text{ном}}}$	$\frac{M_{\text{пуск}}}{M_{\text{ном}}}$	$\frac{M_{\text{макс}}}{M_{\text{ном}}}$	Ста				
										$\frac{D_{a1}}{D_{i1}}$	$\frac{l_{t1}}{l_{t2}}$	δ	$B_\delta, \text{ эс}$	z_1
A2-91-4	75	220/380	237/137	1 480	93,0	0,89	7,0	1,1	2,0	$\frac{458}{290}$	176	1,0	8 300	60
		500	104,5										8 400	
A2-92-4	100	220/380	312/180	1 480	93,5	0,9	7,0	1,1	2,0	$\frac{458}{290}$	221	1,0	8 300	60
		500	137										7 900	
A2-91-6	55	220/380	176/102	980	92,0	0,89	7,0	1,1	1,8	$\frac{458}{334}$	176	0,7	7 800	72
		500	77,5										7 900	
A2-92-6	75	220/380	238/138	980	92,5	0,89	7,0	1,1	1,8	$\frac{458}{334}$	246	0,7	7 900	72
		500	105										7 800	
A2-91-8	40	220/380	137/79	735	91,5	0,84	7,0	1,1	1,7	$\frac{458}{334}$	176	0,7	8 420	72
		500	60										8 610	
A2-92-8	55	220/380	180/104	735	92	0,87	7,0	1,1	1,7	$\frac{458}{334}$	246	0,7	7 660	72
		500	79,3										7 640	
A2-91-10	30	220/380	109/63	585	90,5	0,8	6,5	1,1	1,7	$\frac{458}{334}$	176	0,6	9 160	60
		500	47,8										9 050	
A2-92-10	40	220/380	145/84	585	90,5	0,8	6,5	1,1	1,7	$\frac{458}{334}$	221	0,6	9 400	60
		500	63,7										9 600	

Примечания: 1. Изоляция электродвигателей выполнена по классу нагревостойкости Е.

2. Обмотка статора в заводском исполнении двухслойная катушечная концентрическая, выполнена проводом марки ПЭТВ.

3. Изоляция паза статора в заводском исполнении — два слоя пленкоэлектрокартона на полиэтилентерефталатной пленке толщиной по 0,27 мм или один слой пленкоэлектрокартона на полиэтилентерефталатной пленке толщиной 0,27 мм и стеклолакоткань ЛСБ толщиной 0,2 мм.

4. Междуслойная прокладка в пазу — пленкоэлектрокартон на полиэтилентерефталатной пленке толщиной 0,27 мм. Прокладка выпущена до конца прямолинейной части катушки и прибандажирована к ней.

5. Прокладка на дне паза — электрокартон ЭВ толщиной 0,5 мм.

6. Лобовые части катушечных групп изолированы друг от друга прокладкой из пленкоэлектрокартона на полиэтилентерефталатной пленке толщиной 0,27 мм и забандажированы стеклянной лентой размером 0,2×20 мм, связывающей первую и последнюю катушки катушечной группы.

типа А2 9-го габарита с двухслойной катушечной концентрической обмоткой

тор															Ротор
q_1	Размеры паза, $b; b'; b''$ $h; e$	$Q_{s1},$ $мм^2$	d/d'	m_1	w_{x1}	n_1	y_1	a_1	Схема обмотки (рис. №)	$j_1,$ $а/мм^2$	$AS_1,$ $а/см$	$l_{m1}, м$	$r_1, ом$	$G_1, кг$	z_2
5	$\frac{11,8; 7,7; 3,7}{40,7; 1}$	372	1,5/1,58	4	10	80		4	3-64	4,85	451	1,016	0,032	39,0	70
			1,5/1,58	3	13	78	1—9, 1—11, 1—13, 1—15, 1—17	4		4,94	447		0,0554	39,5	
5	$\frac{11,8; 7,7; 3,7}{40,7; 1}$	372	1,56/1,64	5	8	80		4	3-64	4,7	475	1,106	0,0206	46,3	70
			1,62/1,7	3	11	66		4		5,54	496		0,0398	41,3	
4	$\frac{10,4; 7,7; 3,7}{33; 1}$	278	1,4/1,48	2	17	68		6	3-106	5,53	397	0,94	0,0608	32	86
			1,4/1,48	3	11	66		3		5,6	390		0,105	31	
4	$\frac{10,4; 7,7; 3,7}{33; 1}$	278	1,5/1,58	5	6	60	1—8, 1—10, 1—12, 1—14	3	3-105	5,2	379	1,08	0,0343	37	86
			1,45/1,53	4	8	64		3		5,3	384		0,0612	37	
3	$\frac{10,4; 7,7; 3,7}{33; 1}$	278	1,56/1,64	2	14	56		4	3-135	5,16	380	0,756	0,073	26,9	86
			1,35/1,43	2	18	72	1—6, 1—8, 1—10	4		5,24	370		0,125	25,9	
3	$\frac{10,4; 7,7; 3,7}{33; 1}$	278	1,4/1,48	3	11	66		4	3-135	5,64	393	0,896	0,056	30,0	86
			1,2/1,28	3	14 и 15	87		4		5,84	394		0,101	29,6	
2	$\frac{10,4; 6,9; 3,7}{35,4; 1}$	286	1,62/1,7	3	9	54		2	3-141	5,1	324	1,428	0,0926	21,5	74
			1,35/1,43	3	12	72	1—5, 1—7	2		5,56	328		0,1775	19,9	
2	$\frac{10,4; 6,9; 3,7}{35,4; 1}$	286	1,56/1,64	4	7	56		2	3-141	5,49	336	1,608	0,0654	23,3	74
			1,56/1,64	3	9	54		2		5,55	327		0,112	22,4	

7. Клин — дерево твердой породы пропитанное.

8. Выводные концы катушечных групп изолированы стеклолакотрубкой марки ТКС.

9. Соединение катушечных групп и соединение обмотки с выводным кабелем изолированы двумя слоями стеклолакоткани ЛСБ размером 0,15×25 вполнахлеста и одним слоем стеклянной ленты размером 0,15×20 мм вполнахлеста.

10. Выводной кабель — провод марки ПРГ-500.

11. Места соединения выводного кабеля с наконечниками изолированы линоксиновыми трубками марки ТЭС.

12. Стержни и кольца короткозамкнутой обмотки ротора выполнены из алюминия марки А5.

13. Паз статора выполнен в соответствии с рис. 1-18, паз ротора соответствует рис. 1-22.

Основные обмоточно-расчетные данные электродвигателей единой серии

Тип электро- двигателя	P_n , квт	U_n , в	I_n , а	n , об/мин	η , %	$\cos \varphi$	$\frac{I_{пуск}}{I_{ном}}$	$\frac{M_{пуск}}{M_{ном}}$	$\frac{M_{макс}}{M_{ном}}$	Ст				
										$\frac{D_{a1}}{D_{i1}}$	$\frac{l_{t1}}{l_{t2}}$	δ	$B_{\delta, зс}$	z_1
АО2-91-2	75	220/380 500	238/138 104	2 960	90,0	0,92	7,0	1,0	2,2	$\frac{458}{247}$	221	1,2	5 600 5 660	48
АО2-92-2	100	220/380 500	311/180 137	2 960	91,5	0,92	7,0	1,0	2,2	$\frac{458}{247}$	276	1,2	5 600 5 890	48
АО2-91-4	75	220/380 500	232/134 101,5	1 470	92,5	0,92	7,0	1,1	2,0	$\frac{458}{290}$	246	1,0	6 610 6 520	60
АО2-92-4	100	220/380 500	306/177 134,8	1 470	93,0	0,92	7,0	1,1	2,0	$\frac{458}{290}$	336	1,0	6 220 6 350	60
АО2-91-6	55	220/380 500	171/99 75	980	92,5	0,92	7,0	1,1	1,8	$\frac{458}{334}$	246	0,7	6 770 6 220	72
АО2-92-6	75	220/380 500	232/134 101,5	980	92,5	0,92	7,0	1,1	1,8	$\frac{458}{334}$	336	0,7	6 300 6 280	72
АО2-91-8	40	220/380 500	130/75 57	735	91,5	0,88	7,0	1,1	1,7	$\frac{458}{334}$	246	0,7	7 050 7 150	72
АО2-92-8	55	220/380 500	175/101 76,5	735	92,5	0,90	7,0	1,1	1,7	$\frac{458}{334}$	336	0,7	6 850 6 750	72
АО2-91-10	30	220/380 500	107/62 47,0	585	90,0	0,82	6,5	1,1	1,7	$\frac{458}{334}$	276	0,6	8 230 8 230	60
АО2-92-10	40	230/380 500	142/82 62,2	585	90,5	0,82	6,5	1,1	1,7	$\frac{458}{334}$	336	0,6	8 760 8 650	60

Примечания: 1. Изоляция электродвигателей выполнена по классу нагревостойкости F.

2. Обмотка статора в заводском исполнении двухслойная обычная, выполнена проводом марки ПЭТВ.

3. Изоляция паза статора в заводском исполнении — стеклолакоткань ЛСП толщиной 0,15 мм; гибкий миканит ГФС толщиной 0,2 мм; электронит листовой толщиной 0,2 мм.

4. Междуслойная прокладка в пазу — стеклолакоткань ЛСП толщиной 0,15 мм; стекломиканит Г₂ФГП толщиной 0,35 мм.

5. Бандажные кольца для электродвигателей двухполюсного исполнения изолированы двумя слоями стеклолакоткани ЛСП размером 0,15×20 мм вполнахлеста и одним слоем стеклянной ленты размером 0,15×20 мм вполнахлеста.

6. Прокладка на дне паза — электронит толщиной 0,5 мм.

7. Лобовые части каждой первой катушки катушечной группы в заводском исполнении изолированы одним слоем стекломикаленты С₂ЛФГ размером 0,2×20 мм вполнахлеста и одним слоем стеклянной ленты размером 0,15×20 мм вполнахлеста; головки лобовых частей остальных катушек изолированы одним слоем стеклянной ленты размером

типа АО2 9-го габарита с двухслойной обмоткой обычного исполнения

тор															Ротор
q_1	Размеры паза $b; b'; b''$ $h; e$	$Q_{s1},$ $мм^2$	d/d'	m_1	w_{x1}	n_1	y_1	a_1	Схема обмотки (рис. №)	$j_1,$ $a/мм^2$	$AS_1,$ $a/см$	$l_{m1},$ $м$	$r_1, ом$	$G_1,$ $кг$	z_1
8	$\frac{13,6; 8,9; 3,7}{39; 1}$	410	$\frac{1,62/1,7}{1,5/1,58}$	$\frac{8}{7}$	$\frac{5}{6 \text{ и } 7}$	$\frac{80}{91}$	$\frac{1-16}{2}$	$\frac{2}{2}$	$\frac{3-2,}{3-37}$	$\frac{4,18}{4,2}$	$\frac{427}{418}$	$\frac{1,3}{1,3}$	$\frac{0,0277}{0,048}$	$\frac{45,7}{44,6}$	40
8	$\frac{13,6; 8,9; 3,7}{39; 1}$	410	$\frac{1,62/1,7}{1,5/1,58}$	$\frac{10}{9}$	$\frac{4}{5}$	$\frac{80}{90}$	$\frac{1-16}{2}$	$\frac{2}{2}$	$\frac{3-2,}{3-37}$	$\frac{4,36}{4,31}$	$\frac{446}{424}$	$\frac{1,41}{1,41}$	$\frac{0,0192}{0,0311}$	$\frac{49,6}{48}$	40
5	$\frac{11,8; 7,7; 3,7}{40,7; 1}$	372	$\frac{1,62/1,7}{1,62/1,7}$	$\frac{4}{3}$	$\frac{9}{12}$	$\frac{72}{72}$	$\frac{1-13}{4}$	$\frac{4}{4}$	$\frac{3-5,}{3-61}$	$\frac{4,06}{4,1}$	$\frac{397}{400}$	$\frac{1,17}{1,17}$	$\frac{0,028}{0,0498}$	$\frac{46,2}{46,2}$	70
5	$\frac{11,8; 7,7; 3,7}{40,7; 1}$	372	$\frac{1,62/1,7}{1,56/1,64}$	$\frac{5}{4}$	$\frac{7}{9}$	$\frac{70}{72}$	$\frac{1-13}{4}$	$\frac{4}{4}$	$\frac{3-5,}{3-61}$	$\frac{4,3}{4,4}$	$\frac{408}{398}$	$\frac{1,35}{1,35}$	$\frac{0,0201}{0,0348}$	$\frac{52}{49,6}$	70
4	$\frac{10,4; 7,7; 3,7}{33; 1}$	278	$\frac{1,5/1,58}{1,4/1,48}$	$\frac{4}{3}$	$\frac{7}{10}$	$\frac{56}{60}$	$\frac{1-11}{3}$	$\frac{3}{3}$	$\frac{3-8,}{3-99}$	$\frac{4,67}{5,42}$	$\frac{317}{343}$	$\frac{1,02}{1,02}$	$\frac{0,0473}{0,0935}$	$\frac{32,3}{30,2}$	86
4	$\frac{10,4; 7,7; 3,7}{33; 1}$	278	$\frac{1,4/1,48}{1,5/1,58}$	$\frac{3}{2}$	$\frac{11}{14 \text{ и } 15}$	$\frac{66}{58}$	$\frac{1-11}{1-10}$	$\frac{6}{6}$	$\frac{3-9,}{3-101,}$ $\frac{3-9,}{3-95}$	$\frac{4,84}{4,78}$	$\frac{338}{337}$	$\frac{1,2}{1,2}$	$\frac{0,0334}{0,0576}$	$\frac{39}{39,4}$	86
3	$\frac{10,4; 7,7; 3,7}{33; 1}$	278	$\frac{1,62/1,7}{1,4/1,48}$	$\frac{2}{2}$	$\frac{12}{15 \text{ и } 16}$	$\frac{48}{62}$	$\frac{1-8}{4}$	$\frac{4}{4}$	$\frac{3-12,}{3-127}$	$\frac{4,55}{4,63}$	$\frac{309}{303}$	$\frac{0,896}{0,896}$	$\frac{0,0686}{0,123}$	$\frac{28,4}{27,4}$	86
3	$\frac{10,4; 7,7; 3,7}{33; 1}$	278	$\frac{1,56/1,64}{1,62/1,7}$	$\frac{3}{2}$	$\frac{9}{12}$	$\frac{54}{48}$	$\frac{1-8}{4}$	$\frac{4}{4}$	$\frac{3-12,}{3-127}$	$\frac{4,4}{4,64}$	$\frac{312}{315}$	$\frac{1,076}{1,076}$	$\frac{0,0445}{0,0825}$	$\frac{35,6}{34}$	86
2	$\frac{10,4; 6,9; 3,7}{35,4; 1}$	286	$\frac{1,45/1,53}{1,45/1,53}$	$\frac{4}{3}$	$\frac{8}{10 \text{ и } 11}$	$\frac{64}{63}$	$\frac{1-6}{2}$	$\frac{2}{2}$	$\frac{3-13,}{3-139}$	$\frac{4,69}{4,74}$	$\frac{284}{282}$	$\frac{0,815}{0,815}$	$\frac{0,0865}{0,152}$	$\frac{23}{22,6}$	74
2	$\frac{10,4; 6,9; 3,7}{35,4; 1}$	286	$\frac{1,5/1,58}{1,45/1,53}$	$\frac{5}{4}$	$\frac{6}{8}$	$\frac{60}{64}$	$\frac{1-6}{2}$	$\frac{2}{2}$	$\frac{3-13,}{3-139}$	$\frac{4,64}{4,71}$	$\frac{281}{285}$	$\frac{0,925}{0,925}$	$\frac{0,055}{0,0985}$	$\frac{26,2}{26,1}$	74

0,15×20 мм вполнахлеста.

8. Прокладка под клин — стеклотекстолит СТЭФ толщиной 0,5 мм.

9. Клин — стеклотекстолит СТЭФ или прессматериал АГ-4 марки С.

10. Выводные концы катушечных групп, соединение катушечных групп и соединение обмотки с выводным кабелем в заводском исполнении изолированы двумя слоями стекломикаленты С₂ЛФГ размером 0,2×20 мм вполнахлеста и одним слоем стеклянной ленты размером 0,2×20 мм вполнахлеста.

11. Выводной кабель — провод марки РКГМ.

12. Места соединения выводного кабеля с наконечниками изолированы одним слоем стеклолакоткани ЛСП размером 0,15×20 мм вполнахлеста и одним слоем стеклянной ленты размером 0,15×20 мм вполнахлеста.

13. Стержни и кольца короткозамкнутой обмотки ротора выполнены из алюминия марки А5.

14. Паз статора выполнен в соответствии с рис. 1-18, паз ротора соответствует рис. 1-23 для двухполюсных электродвигателей и рис. 1-22 для остальных.

Основные обмоточно-расчетные данные электродвигателей единой серии типа

Тип электро- двигателя	P_2 , квт	U_1 , в	I_1 , а	n , об/мин	η , %	$\cos \varphi$	$\frac{I_{\text{пуск}}}{I_{\text{ном}}}$	$\frac{M_{\text{пуск}}}{M_{\text{ном}}}$	$\frac{M_{\text{макс}}}{M_{\text{ном}}}$	Ста				
										$\frac{D_{a1}}{D_{i1}}$	$\frac{l_{t1}}{l_{t2}}$ и	δ	B_{δ} , гс	z_1
АО2-91-4	75	220/380 500	232/134 101,5	1 470	92,5	0,92	7,0	1,1	2,0	$\frac{458}{290}$	246	1,0	6 610 6 520	60
АО2-92-4	100	220/380 500	306/177 134,8	1 470	93,0	0,92	7,0	1,1	2,0	$\frac{458}{290}$	336	1,0	6 220 6 350	60
АО2-91-6	55	220/380 500	171/99 75	980	92,5	0,92	7,0	1,1	1,8	$\frac{458}{334}$	246	0,7	6 770 6 220	72
АО2-92-6	75	220/380 500	232/134 101/5	980	92,5	0,92	7,0	1,1	1,8	$\frac{458}{334}$	336	0,7	6 300 6 280	72
АО2-91-8	40	220/380 500	130/75 57	735	91,5	0,88	7,0	1,1	1,7	$\frac{458}{334}$	246	0,7	7 050 7 150	72
АО2-92-8	55	220/380 500	174/101 76,5	735	92,5	0,90	7,0	1,1	1,7	$\frac{458}{334}$	336	0,7	6 850 6 750	72
АО2-91-10	30	220/380 500	107/62 47,0	585	90,0	0,82	6,5	1,1	1,7	$\frac{458}{334}$	276	0,6	6 600 6 600	60
АО2-92-10	40	220/380 500	142/82 62,2	585	90,5	0,82	6,5	1,1	1,7	$\frac{458}{334}$	336	0,6	7 200 7 100	60

- Примечания: 1. Изоляция электродвигателей выполнена по классу нагревостойкости F.
2. Обмотка статора в заводском исполнении двухслойная катушечная концентрическая, выполнена проводом марки ПЭТВ.
3. Изоляция паза статора в заводском исполнении — стеклолакоткань ЛСП толщиной 0,15 мм; гибкий миканит ГФС толщиной 0,2 мм; электронит листовой толщиной 0,2 мм.
4. Междуслойная прокладка в пазу — лакостеклослюдопласт СпТС₁-ЛСБ толщиной 0,45 мм. Прокладка выпущена до конца прямолинейной части катушки и прибандажирована к ней.
5. Прокладка на дне паза — электронит толщиной 0,5 мм.
6. Лобовые части катушечных групп изолированы друг от друга прокладкой из лакостеклослюдопласта СпТС₁-ЛСБ толщиной 0,45 мм и забандажированы стеклянной лентой размером 0,2×20 мм, связывающей первую и последнюю катушку каждой катушечной группы.

Основные обмоточно-расчетные данные электродвигателей

Тип электро- двигателей	P_2 , квт	U_1 , в	I_1 , а	n , об/мин	η , %	$\cos \varphi$	$\frac{I_{\text{пуск}}}{I_{\text{ном}}}$	$\frac{M_{\text{пуск}}}{M_{\text{ном}}}$	$\frac{M_{\text{макс}}}{M_{\text{ном}}}$	Ста				
										$\frac{D_{a1}}{D_{i1}}$	$\frac{l_{t1}}{l_{t2}}$	δ	B_{δ} , гс	z_1
АОС2-21-2	1,8	220/380	7,2/4,15	2 730	75	0,88	5,5	2,3	2,4	$\frac{153}{86}$	$\frac{65}{65}$	0,4	6 860	24
АОС2-22-2	2,5	220/380	9,7/5,6	2 730	77	0,88	5,5	2,3	2,4	$\frac{153}{86}$	$\frac{92}{92}$	0,4	6 400	24
АОС2-21-4	1,3	220/380	6,1/3,5	1 300	70	0,8	4,5	2,2	2,3	$\frac{153}{94}$	$\frac{72}{72}$	0,25	8 650	24
АОС2-22-4	2,0	220/380	8,5/4,9	1 300	75	0,82	4,5	2,2	2,3	$\frac{153}{94}$	$\frac{97}{97}$	0,25	8 900	24
АОС2-21-6	1,0	220/380	5,9/3,4	870	65	0,69	3,5	2,0	2,2	$\frac{153}{98}$	$\frac{72}{72}$	0,25	8 990	36
АОС2-22-6	1,3	220/380	7,35/4,25	870	66,5	0,7	3,5	2,0	2,2	$\frac{153}{98}$	$\frac{97}{97}$	0,25	8 630	36

- Примечания: 1. Изоляция электродвигателей выполнена по классу нагревостойкости E.
2. Обмотка статора в заводском исполнении однослойная, выполнена проводом марки ПЭТВ.
3. Изоляция паза статора в заводском исполнении — пленкоэлектрокартон на полиэтилентерефталатной пленке толщиной 0,27 мм; полиэтилентерефталатная пленка толщиной 0,05 мм.
4. Прокладка в лобовой части для двухполюсных электродвигателей — два слоя пленкоэлектрокартона на полиэтилентерефталатной пленке толщиной по 0,27 мм; для остальных исполнений — пленкоэлектрокартон на полиэтилентерефталатной пленке толщиной 0,27 мм.

АО2 9-го габарита с двухслойной катушечной concentрической обмоткой

тор																Ротор
q_1	$\frac{\text{Размеры паза}}{b; b'; b'' \atop h; e}$	$Q_{s1},$ $мм^2$	d/d'	m_1	$\omega_{к1}$	n_1	y_1	a_1	Схема обмотки (рис. №)	$j_1,$ $a/мм^2$	$AS_1,$ $a/см$	$l_{m1},$ $м$	$r_1,$ $ом$	G $к$	z_2	
5	11,8; 7,7; 3,7	372	1,62/1,7	4	9	72	1—9,	4	3-64	4,06	397	1,156	0,0276	47,2	70	
	40,7; 1		1,62/1,7	3	12	72	1—11,	4		4,1	400		0,0492	47,5		
5	11,8; 7,7; 3,7	372	1,62/1,7	5	7	70	1—13,	4	3-64	4,3	408	1,334	0,02	57,6	70	
	40,7; 1		1,56/1,64	4	9	72	1—15,	4		4,4	398		0,0345	51,0		
4	10,4; 7,7; 3,7	278	1,5/1,58	4	7	56	1—8,	3	3-105	4,67	317	1,08	0,05	38,2	86	
	33; 1		1,4/1,48	3	10	60	1—10,	3		5,42	343		0,109	32,4		
4	10,4; 7,7; 3,7	278	1,5/1,58	3	11 и 10	63	1—12,	6	3-106	4,21	323	1,26	0,0293	45,5	83	
	33; 1		1,5/1,58	2	14 и 15	58	1—14	6		4,78	337		0,0605	41,9		
3	10,4; 7,7; 3,7	278	1,62/1,7	2	12	48	1—6,	4	3-135	4,55	309	0,896	0,0686	29,5	86	
	33; 1		1,4/1,48	2	16	64		4		4,63	313		0,123	29,5		
3	10,4; 7,7; 3,7	278	1,56/1,64	3	9	54	1—8,	4	3-135	4,4	312	1,076	0,0445	36,4	86	
	33; 1		1,62/1,7	2	12	48	1—10	4		4,64	315		0,0825	35,5		
2	10,4; 6,9; 3,7	286	1,45/1,53	4	8	64	1—5,	2	3-141	4,69	284	0,914	0,0966	30,2	74	
	35,4; 1		1,45/1,53	3	10 и 11	63		2		4,74	282		0,17	29,0		
2	10,4; 6,9; 3,7	286	1,5/1,58	5	6	60	1—7	2	3-141	4,64	281	1,036	0,0615	32,6	74	
	35,4; 1		1,45/1,53	4	8	64	2	4,71		285	0,11		31,9			

7. Клин — стеклотекстолит СТЭФ или прессматериал АГ-4 марки С.
8. Выводные концы катушечных групп изолированы стеклолакотрубкой марки ТКС.
9. Соединение катушечных групп и соединение обмотки с выводным кабелем изолированы двумя слоями стеклолакоткани ЛСП размером 0,17×25 мм вполнахлеста и одним слоем стеклянной ленты размером 0,2×20 мм вполнахлеста.
10. Выводной кабель — провод марки РКГМ.
11. Места соединения выводного кабеля с наконечниками изолированы одним слоем стеклолакоткани ЛСП размером 0,15×20 мм вполнахлеста и одним слоем стеклянной ленты толщиной 0,15×20 мм вполнахлеста.
12. Стержни и кольца короткозамкнутой обмотки ротора выполнены из алюминия марки А5.
13. Паз статора выполнен в соответствии с рис. 1-18, паз ротора соответствует рис. 1-22.

Таблица 1-20

единой серии типа АОС2 2-го габарита

тор																Ротор
q_1	Размеры паза $b; b'; b''$ $h; e$	$Q_{s1},$ $мм^2$	d/d'	m_1	$\omega_{к1}$	n_1	y_1	a_1	Схема обмотки (рис. №)	$j_1,$ $a'/мм^2$	$AS_1,$ $a/см$	$l_{m1},$ $м$	$r_1,$ $ом$	$G_1,$ $кз$	z_2	
4	$\frac{9,7; 7,8; 2,5}{16,0; 1,0}$	115	0,90/0,965	1	66	66	$\frac{1-12,}{2-11}$	—	3-21	6,52	244	0,483	3,51	2,22	20	
4	$\frac{9,7; 7,8; 2,5}{16,0; 1,0}$	115	1,0/1,08	1	50	50	$\frac{1-12,}{2-11}$	—	3-21	7,13	249	0,537	2,4	2,32	20	
2	$\frac{9,4; 7,5; 2,5}{17,0; 1,0}$	120	0,83/0,895	1	83	83	$\frac{1-8,}{2-7}$	—	3-39	6,45	236	0,394	4,32	1,96	30	
2	$\frac{9,4; 7,5; 2,5}{17,0; 1,0}$	120	0,96/1,025	1	60	60	$\frac{1-8,}{2-7}$	—	3-39	6,77	239	0,444	2,62	2,13	30	
2	$\frac{6,8; 4,8; 2,5}{18,3; 1,0}$	86	0,77/0,83	1	75	75	$\frac{1-8,}{2-7}$	—	3-69	7,3	298	0,332	5,95	2,1	26	
2	$\frac{6,8; 4,8; 2,5}{18,3; 1,0}$	86	0,86/0,925	1	58	58	$\frac{1-8,}{2-7}$	—	3-69	7,3	288	0,382	4,22	2,22	26	

5. Прокладка под клин — пленкоэлектрокартон на полиэтилентерефталатной пленке толщиной 0,27 мм.
6. Клин — дерево твердой породы пропитанное.
7. Выводные концы катушечных групп, соединение катушечных групп и соединение обмотки с выводным кабелем изолированы линоксиновыми трубками марки ТЭС.
8. Стержни и кольца короткозамкнутой обмотки ротора выполнены из алюминиевого сплава АМг-7.
9. Паз статора выполнен в соответствии с рис. 1-8, паз ротора соответствует рис. 1-9 для четырехполюсных электродвигателей и рис. 1-5 для остальных.

Основные обмоточно-расчетные данные электродвигателей

Тип электро- двигателя	P_2 , квт	U_1 , в	I_1 , а	n , об/мин	η , %	$\cos \varphi$	$\frac{I_{пуск}}{I_{ном}}$	$\frac{M_{пуск}}{M_{ном}}$	$\frac{M_{макс}}{M_{ном}}$	Ста				
										$\frac{D_{a1}}{D_{i1}}$	$\frac{l_{t1}}{l_{t2}}$	δ	B_{δ} , гс	z_1
АОС2-31-2	3,5	220/380	13,2/7,6	2 800	79,0	0,88	7,0	2,2	2,4	$\frac{180}{106}$	$\frac{90}{91}$	0,5	6 120	24
		380	76										6 130	
		500	5,8										6 060	
АОС2-32-2	4,8	220/380	17,5/10,1	2 800	81,0	0,89	7,0	2,2	2,4	$\frac{180}{106}$	$\frac{117}{118}$	0,5	5 870	24
		380	10,1										5 960	
		500	7,7										5 950	
АОС2-31-4	3,0	220/380	12,6/7,3	1 365	76,0	0,82	6,0	2,0	2,3	$\frac{180}{112}$	$\frac{90}{91}$	0,3	8 700	36
		380	7,3										8 800	
		500	5,6										8 700	
АОС2-32-4	4,0	220/380	16,2/9,4	1 365	78,0	0,83	6,0	2,0	2,3	$\frac{180}{112}$	$\frac{117}{118}$	0,3	8 470	36
		380	9,4										8 450	
		500	7,1										8 550	
АОС2-31-6	2,0	220/380	10,2/5,9	900	71,0	0,72	5,0	1,8	2,2	$\frac{180}{122}$	$\frac{90}{91}$	0,3	8 050	36
		500	4,5										8 050	
АОС2-32-6	2,7	220/380	13/7,5	900	74,0	0,74	5,0	1,8	2,2	$\frac{180}{122}$	$\frac{117}{118}$	0,3	7 780	36
		500	5,7										7 850	

Примечания: 1. Изоляция электродвигателей выполнена по классу нагревостойкости Е.

2. Обмотка статора в заводском исполнении для двухполюсных электродвигателей — двухслойная, четырех- и шестиполюсных — однослойная, выполнена проводом марки ПЭТВ.

3. Изоляция паза статора в заводском исполнении — пленкоэлектрокартон на полиэтилентерефталатной пленке толщиной 0,27 мм; полиэтилентерефталатная пленка толщиной 0,05 мм.

4. Междуслойная прокладка в пазу — пленкоэлектрокартон на полиэтилентерефталатной пленке толщиной 0,27 мм.

Основные обмоточно-расчетные данные электродвигателей

Тип электро- двигателя	P_2 , квт	U_1 , в	I_1 , а	n , об/мин	η , %	$\cos \varphi$	$\frac{I_{пуск}}{I_{ном}}$	$\frac{M_{пуск}}{M_{ном}}$	$\frac{M_{макс}}{M_{ном}}$	Ста				
										$\frac{D_{a1}}{D_{i1}}$	$\frac{l_{t1}}{l_{t2}}$	δ	B_{δ} , гс	z_1
АОС2-41-2	6,8	220/380	24,1/14,0	2 750	82,0	0,9	7,0	2,2	2,4	$\frac{208}{123}$	$\frac{110}{113}$	0,7	6 300	24
		380	14,0										6 220	
		500	10,6										6 300	
АОС2-42-2	9,0	220/380	31,3/18,0	2 750	83,0	0,91	7,0	2,2	2,4	$\frac{208}{123}$	$\frac{148}{151}$	0,7	6 000	24
		300	18,0										6 010	
		500	13,7										5 960	
АОС2-41-4	5,2	220/380	19,4/11,2	1 300	79,0	0,89	6,0	2,0	2,3	$\frac{208}{133}$	$\frac{110}{113}$	0,35	7 860	36
		380	11,2										7 870	
		500	8,5										7 870	
АОС2-42-4	7,5	220/380	27,4/15,8	1 300	80,0	0,9	6,0	2,0	2,3	$\frac{208}{133}$	$\frac{148}{151}$	0,35	7 700	36
		380	15,8										7 710	
		500	12,0										7 680	

Примечания: 1. Изоляция электродвигателей выполнена по классу нагревостойкости Е.

2. Обмотка статора в заводском исполнении для двухполюсных электродвигателей — двухслойная, четырехполюсных — однослойная, выполнена проводом марки ПЭТВ.

3. Изоляция паза статора в заводском исполнении — пленкоэлектрокартон на полиэтилентерефталатной пленке толщиной 0,27 мм; полиэтилентерефталатная пленка толщиной 0,5 мм.

4. Междуслойная прокладка в пазу — пленкоэлектрокартон на полиэтилентерефталатной пленке толщиной 0,27 мм.

единой серии типа АОС2 3-го габарита

тор															Ротор
q_1	Размер паза $b; b'; b''$ $h; e$	$Q_{s1},$ $мм^2$	d/d'	m_1	$w_{к1}$	n_1	μ_1	a_1	Схема обмотки (рис. №)	$j_1,$ $a/мм^2$	$AS_1,$ $a/см$	$l_{m1},$ $м$	$r_1,$ $ом$	$G_1,$ $кг$	z_2
4	11,6; 10,3; 3	152,0	1,25/1,33	1	25	50	1—9	—	3-1, 3-22	6,2	274	0,522	1,49	3,48	20
	17,2; 1,0		0,93/0,995	1	43	86				6,48	272		4,54	3,33	
			1,08/1,16	1	33	66				6,34	276		2,63	3,45	
4	11,6; 10,3; 3	152,0	1,4/1,48	1	20	40	1—9	—	3-1, 3-22	6,58	292	0,576	1,05	3,84	20
	17,2; 1,0		1,04/1,12	1	34	68				6,9	286		3,23	3,63	
			1,2/1,28	1	26	52				6,8	288		1,85	3,72	
3	7,2; 5,1; 3	103,0	1,16/1,24	1	38	38	1—12, 2—11, 3—10	—	3-41	6,9	284	0,476	1,8	3,12	26
	18,9; 1,0		0,86/0,925	1	65	65				7,25	271		5,61	2,94	
			1,0/1,08	1	50	50				7,13	286		3,19	3,06	
3	7,2; 5,1; 3	103,0	1,3/1,38	1	30	30	1—12, 2—11, 3—10	—	3-41	7,07	288	0,53	1,26	3,45	26
	18,9; 1,0		0,96/1,025	1	52	52				7,5	290		4,0	3,24	
			1,12/1,2	1	39	39				7,2	284		2,2	3,33	
2	8,7; 6,7; 3	132,0	1,08/1,16	1	54	54	1—8, 2—7	—	3-69	6,44	300	0,422	2,61	3,42	46
	19,6; 1,0		0,96/1,02	1	71	71				6,23	300		4,36	3,55	
2	8,7; 6,7; 3	132,0	1,25/1,33	1	43	43	1—8, 2—7	—	3-69	6,12	303	0,476	1,75	4,08	46
	19,6; 1,0		1,08/1,16	1	56	56				6,22	300		3,05	3,99	

5. Прокладка в лобовой части — пленкоэлектрокартон на полиэтилентерефталатной пленке толщиной 0,27 мм.

6. Прокладка под клин — пленкоэлектрокартон на полиэтилентерефталатной пленке толщиной 0,27 мм.

7. Клин — дерево твердой породы пропитанное.

8. Выводные концы катушечных групп, соединение катушечных групп и соединение обмотки с выводным кабелем изолированы линоксиновыми трубками марки ТЭС.

9. Стержни и кольца короткозамкнутой обмотки ротора выполнены из алюминия марки А6.

10. Паз статора выполнен в соответствии с рис. 1-8, паз ротора соответствует рис. 1-9.

Таблица 1-22

единой серии типа АОС2 4-го габарита

тор															Ротор
q_1	Размеры паза $b; b'; b''$ $h; e$	$Q_{s1},$ $мм^2$	d/d'	m_1	$w_{к1}$	n_1	μ_1	a_1	Схема обмотки (рис. N)	$J_1,$ $a, мм^2$	$AS_1,$ $a, см$	$l_{m1},$ $м$	$r_1,$ $ом$	$G_1,$ $кг$	z_2
4	$\frac{14,0; 12,5; 3,0}{19,8; 0,75}$	202	1,3/1,38	2	16	64	1—10	—	3-1, 3-23	5,3	279	0,69	0,58	6,4	20
			1,4/1,48	1	28	56				5,27	283		1,76	6,5	
			1,12/1,20	2	21	84				5,4	277		1,04	6,25	
4	$\frac{14,0; 12,5; 3,0}{19,8; 0,75}$	202	1,45/1,53	1	25	50	1—10	2	3-2, 3-24	5,45	280	0,766	0,42	6,92	20
			1,08/1,16	1	43	86				5,67	278		1,25	6,64	
			1,25/1,33	1	33	66				5,6	281		0,73	6,81	
3	$\frac{9,2; 7,2; 3,0}{20,6; 0,75}$	153	1,12/1,2	2	29	58	1—12,	—	3-41	5,7	280	0,58	0,89	5,43	46
			1,2/1,28	1	50	50	2—11,	—		5,71	279		2,7	5,42	
			1,4/1,48	1	38	38	3—10	—		5,53	278		1,51	5,56	
3	$\frac{9,2; 7,2; 3,0}{20,6; 0,75}$	153	1,3/1,38	2	22	44	1—12,	—	3-41	5,96	300	0,656	0,575	6,3	46
			1,4/1,48	1	38	38	2—11,	—		5,94	300		1,7	6,3	
			1,12/1,2	2	29	58	3—10	—		6,1	300		1,02	6,2	

5. Прокладка в лобовой части — пленкоэлектрокартон на полиэтилентерефталатной пленке толщиной 0,27 мм.

6. Прокладка под клин — пленкоэлектрокартон на полиэтилентерефталатной пленке толщиной 0,27 мм.

7. Клин — дерево твердой породы пропитанное.

8. Выводные концы катушечных групп, соединение катушечных групп и соединение обмотки с выводным кабелем изолированы линоксиновыми трубками марки ТЭС.

9. Стержни и кольца короткозамкнутой обмотки ротора выполнены из алюминиевого сплава АМг-7.

10. Паз статора выполнен в соответствии с рис. 1-8, паз ротора соответствует рис. 1-24.

Основные обмоточно-расчетные данные электродвигателей

Тип электро- двигателя	P_2 , квт	U_1 , в	I_1 , а	n , об/мин	η , %	$\cos \varphi$	$\frac{I_{\text{пуск}}}{I_{\text{ном}}}$	$\frac{M_{\text{пуск}}}{M_{\text{ном}}}$	$\frac{M_{\text{макс}}}{M_{\text{ном}}}$	Ста				
										$\frac{D_{a1}}{D_{i1}}$	$\frac{l_{t1}}{l_{t2}}$	δ	$B_{\delta, \text{зс}}$	z_1
АОС2-51-2	10	220/380	36/20,8	2 730	82,0	0,89	6,0	2,5	2,5	$\frac{243}{140}$	$\frac{135}{139}$	0,7	5 780	24
АОС2-52-2	13	220/380	46/26,4	2 730	83,0	0,90	6,0	2,5	2,5	$\frac{243}{140}$	$\frac{170}{174}$	0,7	5 460	24
АОС2-51-4	8,7	220/380	32,6/18,7	1 350	82,0	0,86	6,0	2,5	2,5	$\frac{243}{158}$	$\frac{135}{139}$	0,45	7 520	36
АОС2-52-4	11	220/380	40,2/23,2	1 350	82,0	0,88	6,0	2,0	2,5	$\frac{243}{158}$	$\frac{170}{174}$	0,45	7 300	36
АОС2-51-6	6,4	220/380	27,0/15,0	890	77,0	0,84	6,0	2,0	2,5	$\frac{243}{173}$	$\frac{135}{139}$	0,4	7 580	36
АОС2-52-6	8,3	220/380	34,2/19,7	890	78,0	0,82	6,0	2,0	2,5	$\frac{243}{173}$	$\frac{190}{194}$	0,4	7 540	36
АОС2-51-8	4,6	220/380	22,6/13,0	660	75,5	0,71	4,0	2,0	2,5	$\frac{243}{173}$	$\frac{135}{139}$	0,4	8 250	36
АОС2-52-8	6,4	220/380	30,0/17,3	660	76,0	0,74	4,0	2,0	2,5	$\frac{243}{173}$	$\frac{190}{194}$	0,4	7 800	36

Примечания: 1. Изоляция электродвигателей выполнена по классу нагревостойкости Е.
2. Обмотка статора в заводском исполнении двухслойная, выполнена проводом марки ПЭТВ.
3. Изоляция паза статора в заводском исполнении — пленкоэлектрокартон на полиэтилентерефталатной пленке толщиной 0,27 мм; полиэтилентерефталатная пленка толщиной 0,05 мм.
4. Междуслойная прокладка в пазу — пленкоэлектрокартон на полиэтилентерефталатной пленке толщиной 0,27 мм.
5. Прокладка в лобовой части — пленкоэлектрокартон на полиэтилентерефталатной пленке толщиной 0,27 мм.
6. Прокладка под клин — пленкоэлектрокартон на полиэтилентерефталатной пленке толщиной 0,27 мм.

Основные обмоточно-расчетные данные электродвигателей

Тип электро- двигателя	P_2 , квт	U_1 , в	I_1 , а	n , об/мин	η , %	$\cos \varphi$	$\frac{I_{\text{пуск}}}{I_{\text{ном}}}$	$\frac{M_{\text{пуск}}}{M_{\text{ном}}}$	$\frac{M_{\text{макс}}}{M_{\text{ном}}}$	Ста				
										$\frac{D_{a1}}{D_{i1}}$	$\frac{l_{t1}}{l_{t2}}$	δ	$B_{\delta, \text{зс}}$	z_1
АОС2-61-4	14,5	220/380 500	52,5/30,4 23,0	1 350	81,5	0,89	6,0	2,2	2,3	$\frac{291}{180}$	$\frac{138}{138}$	0,55	8 320 8 460	36
АОС2-62-4	18,5	220/380 500	65,8/38,0 29,0	1 360	83,0	0,89	6,0	2,2	2,3	$\frac{291}{180}$	$\frac{168}{168}$	0,55	8 950 8 970	36
АОС2-61-6	12,5	220/380 500	46,0/26,7 20,3	910	80,0	0,89	6,0	1,9	2,2	$\frac{291}{206}$	$\frac{153}{153}$	0,4	7 450 7 330	54
АОС2-62-6	15,5	220/380 500	57,2/33,1 25,2	900	80,0	0,89	6,0	1,9	2,2	$\frac{291}{206}$	$\frac{193}{193}$	0,4	7 380 7 260	54

единой серии типа АОС2 5-го габарита

тор															Ротор
q_1	Размеры паза $b; b'; b''$ $h; e$	$Q_{s1},$ $мм^2$	d/d'	m_1	$w_{к1}$	n_1	y_1	a_1	Схема обмотки (рис. №)	$j_1,$ $a/мм^2$	$AS_1,$ $a/см$	$l_{m1},$ $м$	$r_1, ом$	$G_1, кг$	z_2
4	$\frac{16,1; 13,8; 3,2}{24,85; 1}$	310	1,3/1,38	2	25	100	1—10	2	3-2, 3-24	3,92	284	0,804	0,260	11,6	20
4	$\frac{16,1; 13,8; 3,2}{24,85; 1}$	310	1,4/1,48	2	21	84	1—10	2	3-2, 3-24	4,3	303	0,874	0,205	12,3	20
3	$\frac{10,8; 8,7; 3,2}{22,9; 0,75}$	196	1,5/1,58	2	11	44	1—8	—	3-3, 3-44	5,3	299	0,614	0,392	7,75	46
3	$\frac{10,8; 8,7; 3,2}{22,9; 0,75}$	196	1,35/1,43	3	9	54	1—8	—	3-3, 3-44	5,4	303	0,684	0,294	8,6	46
2	$\frac{10,6; 8,8; 3,2}{21,1; 0,75}$	178	1,25/1,33	2	14	56	1—6	—	3-6, 3-72	6,13	279	0,546	0,64	6,1	46
2	$\frac{10,6; 8,8; 3,2}{21,1; 0,75}$	178	1,5/1,58	2	10	40	1—6	—	3-6, 3-72	5,58	262	0,656	0,380	7,5	46
$1\frac{1}{2}$	$\frac{10,6; 8,8; 3,2}{21,1; 0,75}$	178	1,62/1,7	1	16	32	1—5	—	3-10, 3-109	6,31	276	0,515	0,824	5,6	46
$1\frac{1}{2}$	$\frac{10,6; 8,8; 3,2}{21,1; 0,75}$	178	1,35/1,43	2	12	48	1—5	—	3-10, 3-109	6,04	275	0,625	0,54	7,0	46

7. Клинь — дерево твердой породы пропитанное.

8. Выводные концы катушечных групп, соединение катушечных групп и соединение обмотки с выводным кабелем изолированы линоксиновыми трубками марки ТЭС.

9. Стержни и кольца короткозамкнутой обмотки ротора выполнены из алюминиевого сплава АКМ 12-4 или АКМ_ц 10-2.

10. Паз статора выполнен в соответствии с рис. 1-8, паз ротора соответствует рис. 1-24 для двухполюсных электродвигателей, рис. 1-12 для четырехполюсных и рис. 1-5 для остальных.

Таблица 1-24

единой серии типа АОС2 6-го габарита

тор															Ротор
q_1	Размеры паза $\frac{b; b'; b''}{h; e}$	$Q_{s1},$ $мм^2$	d/d'	m_1	$w_{к1}$	n_1	y_1	a_1	Схема обмотки (рис. №)	$j_1,$ $a/мм^2$	$AS_1,$ $a/см$	$l_{m1},$ $м$	$r_1, ом$	$G_1, кг$	z_2
3	$\frac{11,6; 8,7; 3,7}{28,0; 1,0}$	253	$\frac{1,35/1,43}{1,16/1,24}$	$\begin{matrix} 2 \\ 2 \end{matrix}$	$\begin{matrix} 17 \\ 22 \end{matrix}$	$\begin{matrix} 68 \\ 88 \end{matrix}$	1—8	$\begin{matrix} 2 \\ 2 \end{matrix}$	$\begin{matrix} 3-4, \\ 3-45 \end{matrix}$	$\begin{matrix} 5,3 \\ 5,45 \end{matrix}$	$\begin{matrix} 330 \\ 322 \end{matrix}$	0,648	$\begin{matrix} 0,202 \\ 0,355 \end{matrix}$	$\begin{matrix} 10,4 \\ 10,0 \end{matrix}$	46
3	$\frac{11,6; 8,7; 3,7}{28,0; 1,0}$	253	$\frac{1,5/1,58}{1,3/1,38}$	$\begin{matrix} 2 \\ 2 \end{matrix}$	$\begin{matrix} 13 \\ 17 \end{matrix}$	$\begin{matrix} 52 \\ 68 \end{matrix}$	1—8	$\begin{matrix} 2 \\ 2 \end{matrix}$	$\begin{matrix} 3-4, \\ 3-45 \end{matrix}$	$\begin{matrix} 5,38 \\ 5,46 \end{matrix}$	$\begin{matrix} 315 \\ 314 \end{matrix}$	0,708	$\begin{matrix} 0,137 \\ 0,238 \end{matrix}$	$\begin{matrix} 10,8 \\ 10,6 \end{matrix}$	46
3	$\frac{9,0; 7,0; 3,7}{25,9; 1,0}$	178	$\frac{1,16/1,24}{1,45/1,53}$	$\begin{matrix} 2 \\ 1 \end{matrix}$	$\begin{matrix} 15 \\ 20 \end{matrix}$	$\begin{matrix} 60 \\ 40 \end{matrix}$	1—8	$\begin{matrix} 2 \\ 2 \end{matrix}$	$\begin{matrix} 3-7, \\ 3-84 \end{matrix}$	$\begin{matrix} 6,33 \\ 6,15 \end{matrix}$	$\begin{matrix} 334 \\ 339 \end{matrix}$	0,601	$\begin{matrix} 0,337 \\ 0,575 \end{matrix}$	$\begin{matrix} 9,50 \\ 9,75 \end{matrix}$	64
3	$\frac{9,0; 7,0; 3,7}{25,9; 1,0}$	178	$\frac{1,3/1,38}{1,12/1,20}$	$\begin{matrix} 2 \\ 2 \end{matrix}$	$\begin{matrix} 12 \\ 16 \end{matrix}$	$\begin{matrix} 48 \\ 64 \end{matrix}$	1—8	$\begin{matrix} 2 \\ 2 \end{matrix}$	$\begin{matrix} 3-7, \\ 3-84 \end{matrix}$	$\begin{matrix} 6,24 \\ 6,4 \end{matrix}$	$\begin{matrix} 332 \\ 337 \end{matrix}$	0,681	$\begin{matrix} 0,242 \\ 0,435 \end{matrix}$	$\begin{matrix} 10,8 \\ 10,7 \end{matrix}$	64

Тип электро- двигателя	P_2 , квт	U_1 , в	I_1 , а	n , об/мин	η , %	$\cos \varphi$	$\frac{I_{\text{пуск}}}{I_{\text{ном}}}$	$\frac{M_{\text{пуск}}}{M_{\text{ном}}}$	$\frac{M_{\text{макс}}}{M_{\text{ном}}}$	Ста				
										$\frac{D_{a1}}{D_{i1}}$	$\frac{l_{t1}}{l_{t2}}$	δ	B_{δ} , гс	z_1
АОС2-61-8	10	220/380 500	39,6/22,8 17,4	665	78,0	0,85	6,0	1,7	2,0	$\frac{291}{206}$	$\frac{153}{153}$	0,4	8 150 8 260	54
АОС2-62-8	12,5	220/380 500	49,2/28,5 21,7	660	78,5	0,85	6,0	1,7	2,0	$\frac{291}{206}$	$\frac{193}{193}$	0,4	7 320 7 200	54

Примечания: 1. Изоляция электродвигателей выполнена по классу нагревостойкости F.
2. Обмотка статора в заводском исполнении двухслойная, выполнена проводом марки ПЭТВ.
3. Изоляция паза статора в заводском исполнении — стеклолакоткань ЛСП толщиной 0,15 мм; стекломиканит Г₁ФГІ толщиной 0,22 мм; электронит листовой толщиной 0,2 мм.
4. Междуслойная прокладка в пазу — стеклолакоткань ЛСП толщиной 0,15 мм; стекломиканит Г₁ФГІ толщиной 0,22 мм.
5. Прокладка в лобовой части в заводском исполнении под каждую катушку — стеклолакоткань ЛСП толщиной 0,15 мм; стекломиканит Г₁ФГІ толщиной 0,22 мм.

Основные обмоточно-расчетные данные электродвигателей

Тип электро- двигателя	P_2 , квт	U_1 , в	I_1 , а	n , об/мин	η , %	$\cos \varphi$	$\frac{I_{\text{пуск}}}{I_{\text{ном}}}$	$\frac{M_{\text{пуск}}}{M_{\text{ном}}}$	$\frac{M_{\text{макс}}}{M_{\text{ном}}}$	Ста				
										$\frac{D_{a1}}{D_{i1}}$	$\frac{l_{t1}}{l_{t2}}$	δ	B_{δ} , гс	z_1
АОС2-71-4	23	220/380	81/46,8	1 460	84,0	0,89	8,0	2,2	2,3	$\frac{343}{214}$	168	0,7	8 110	36
АОС2-72-4	27	220/380	94,2/54,5	1 460	85,0	0,89	8,0	2,2	2,3	$\frac{343}{214}$	208	0,7	8 780	36
АОС2-71-6	19	220/380	68,6/39,7	970	82,0	0,89	8,0	1,9	2,2	$\frac{343}{245}$	168	0,5	7 540	54
АОС2-72-6	23	220/380	81,6/47,3	970	83,0	0,89	8,0	1,9	2,2	$\frac{343}{245}$	208	0,5	7 400	54
АОС2-71-8	15	220/380	57,8/33,4	730	80,0	0,85	7,0	1,7	2,0	$\frac{343}{245}$	168	0,5	7 560	54
АОС2-72-8	18	220/380	66,7/38,6	730	83,0	0,85	7,0	1,7	2,0	$\frac{343}{245}$	208	0,5	7 770	54

Примечания: 1. Изоляция электродвигателей выполнена по классу нагревостойкости F.
2. Обмотка статора в заводском исполнении двухслойная, выполнена проводом ПЭТВ.
3. Изоляция паза статора в заводском исполнении — стеклолакоткань ЛСП толщиной 0,15 мм; гибкий миканит ГФС толщиной 0,2 мм; электронит листовой толщиной 0,2 мм.
4. Междуслойная прокладка в пазу — стеклолакоткань ЛСП толщиной 0,15 мм, гибкий миканит ГФС толщиной 0,2 мм, склеенные вместе лаком ГФ-95.
5. Прокладки в лобовой части в заводском исполнении для изоляции фазовых катушек — стеклолакоткань ЛСП толщиной 0,15 мм, гибкий миканит ГФС толщиной 0,2 мм, склеенные вместе лаком ГФ-95; для остальных катушек — стеклолакоткань ЛСП толщиной 0,15 мм.
6. Прокладка под клин — стеклотекстолит СТЭФ толщиной 0,5 мм.

тор																Ротор
q_1	Размеры паза $b; b'; b''$ $h; e$	$Q_{s1'}$ $мм^2$	d/d'	m_1	w_{K1}	n_1	y_1	a_1	Схема обмотки (рис. №)	j_1 , $a/мм^2$	AS_1 , $a/см$	$l_{m1'}$, $м$	r_1 , $ом$	G_1 , $кг$	z_2	
$2\frac{1}{4}$	$\frac{9,0; 7,0; 3,7}{25,9; 1,0}$	178	$\frac{1,56/1,64}{1,35/1,43}$	$\begin{matrix} 1 \\ 1 \end{matrix}$	$\begin{matrix} 17 \\ 22 \end{matrix}$	$\begin{matrix} 34 \\ 44 \end{matrix}$	$1-7$	$\begin{matrix} 2 \\ 2 \end{matrix}$	$\begin{matrix} 3-11, \\ 3-118 \end{matrix}$	$\begin{matrix} 5,96 \\ 6,07 \end{matrix}$	$\begin{matrix} 324 \\ 320 \end{matrix}$	$\begin{matrix} 0,577 \\ 0,577 \end{matrix}$	$\begin{matrix} 0,413 \\ 0,524 \end{matrix}$	$\begin{matrix} 9,4 \\ 9,05 \end{matrix}$	64	
$2\frac{1}{4}$	$\frac{9,0; 7,0; 3,7}{25,9; 1,0}$	178	$\frac{1,16/1,24}{1,45/1,53}$	$\begin{matrix} 2 \\ 1 \end{matrix}$	$\begin{matrix} 15 \\ 20 \end{matrix}$	$\begin{matrix} 60 \\ 40 \end{matrix}$	$1-7$	$\begin{matrix} 2 \\ 2 \end{matrix}$	$\begin{matrix} 3-11, \\ 3-118 \end{matrix}$	$\begin{matrix} 6,75 \\ 6,56 \end{matrix}$	$\begin{matrix} 357 \\ 362 \end{matrix}$	$\begin{matrix} 0,657 \\ 0,657 \end{matrix}$	$\begin{matrix} 0,368 \\ 0,627 \end{matrix}$	$\begin{matrix} 10,5 \\ 10,8 \end{matrix}$	64	

6. Клин — стеклотекстолит СТЭФ или прессматериал АГ-4 марки С.

7. Выводные концы катушечных групп, соединение катушечных групп и соединение обмотки с выводным кабелем изолированы стеклолакотрубкой марки ТКС.

8. Выводной кабель — провод марки РКГМ.

9. Места соединения выводного кабеля с наконечниками изолированы одним слоем стеклолакоткани ЛСП размером $0,15 \times 20$ мм вполнахлеста и одним слоем стеклянной ленты размером $0,15 \times 20$ мм вполнахлеста.

10. Стержни и кольца короткозамкнутой обмотки ротора выполнены из сплава АКМ_д 10-2.

11. Паз статора выполнен в соответствии с рис. 1-8, паз ротора соответствует рис. 1-10.

Таблица 1-25

единой серии типа АОС2 7-го габарита

тор															Ротор	
q_1	Размеры паза $b; b'; b''$ $h; e$	$Q_{s1'}$ $мм^2$	d/d'	m_1	$\omega_{к1}$	n_1	y_1	a_1	Схема обмотки (рис. №)	j_1 , $а/мм^2$	AS_1 , $а/см$	$l_{m1'}$, $м$	r_1 , $ом$	G_1 , $кг$	z_2	
3	$\frac{12,5; 9,2; 3,7}{30,3; 1}$	283	1,45/1,53	3	12	72	1—8	2	3-4, 3-45	4,72	301	0,815	0,107	16,7	46	
3	$\frac{12,5; 9,2; 3,7}{30,3; 1}$	283	1,62/1,7	3	9	54	1—8	2	3-4, 3-45	4,41	262	0,895	0,0675	16,2	46	
3	$\frac{9,8; 7,7; 3,7}{27,7; 1}$	210	1,2/1,28	2	17	68	1—8	3	3-8, 3-86	5,86	316	0,706	0,182	13,2	64	
3	$\frac{9,8; 7,7; 3,7}{27,7; 1}$	210	1,3/1,38	2	14	56	1—8	3	3-8, 3-86	5,95	309	0,786	0,143	14,3	64	
$\frac{1}{2}\frac{1}{4}$	$\frac{9,8; 7,7; 3,7}{27,7; 1}$	210	1,35/1,43	2	14	56	1—7	2	3-11, 3-118	5,84	328	0,664	0,251	13,9	64	
$\frac{1}{2}\frac{1}{4}$	$\frac{9,8; 7,7; 3,7}{27,7; 1}$	210	1,5/1,58	2	11	44	1—7	2	3-11, 3-118	5,47	298	0,744	0,179	14,1	64	

7. Клин — стеклотекстолит СТЭФ или прессматериал АГ-4 марки С.

8. Выводные концы катушечных групп, соединение катушечных групп и соединение обмотки с выводным кабелем изолированы двумя слоями стеклолакоткани С2ЛФГ размером $0,2 \times 20$ мм вполнахлеста и одним слоем стеклянной ленты размером $0,15 \times 20$ мм вполнахлеста.

9. Выводной кабель — провод марки РКГМ.

10. Места соединения выводного кабеля с наконечниками изолированы одним слоем стеклолакоткани ЛСП толщиной $0,15 \times 20$ мм вполнахлеста и одним слоем стеклянной ленты толщиной $0,15 \times 20$ мм вполнахлеста.

11. Стержни и кольца короткозамкнутой обмотки ротора выполнены из сплава АКМ-12-4 или АКМ_д 10-2.

12. Паз статора выполнен в соответствии с рис. 1-8, паз ротора соответствует рис. 1-10.

Основные обмоточно-расчетные данные электродвигателей

Тип электро- двигателя	P_2 , квт	U_1 , в	I_1 , а	n , об/мин	η , %	$\cos \varphi$	$\frac{I_{пуск}}{I_{ном}}$	$\frac{M_{пуск}}{M_{ном}}$	$\frac{M_{макс}}{M_{ном}}$	Ста				
										$\frac{D_{a1}}{D_{i1}}$	$\frac{l_{t1}}{l_{t2}}$	δ_1	B_{δ} , мм	z_1
АОС2-91-4	58	220/380	184/106	1 400	88,1	0,94	6,6	3,2	3,6	$\frac{458}{290}$	$\frac{240}{246}$	1,0	6 770	60
АОС2-92-4	76,8	220/380	242/139	1 390	88,4	0,945	6,4	3,2	3,5	$\frac{458}{290}$	$\frac{330}{336}$	1,0	6 320	60
АОС2-91-6	49,5	220/380	158/91,6	930	87,6	0,933	6,5	3,2	3,5	$\frac{458}{334}$	$\frac{240}{246}$	0,7	6 940	72
АОС2-92-6	67,7	220/380	214/124	930	88,2	0,937	6,6	3,3	3,6	$\frac{458}{334}$	$\frac{330}{336}$	0,7	7 050	72
АОС2-91-8	42	220/380	145/83,7	700	87,3	0,869	6,4	3,5	3,7	$\frac{458}{334}$	$\frac{240}{246}$	0,7	7 860	72
АОС2-92-8	57,8	220/380	200/115	700	88,1	0,861	6,8	3,7	3,9	$\frac{458}{334}$	$\frac{330}{336}$	0,7	7 880	72
АОС2-91-10	31,6	220/380	132/76	560	85,4	0,734	4,6	2,8	3,0	$\frac{458}{334}$	$\frac{215}{221}$	0,6	9 660	60
АОС2-92-10	37,9	220/380	152/87,8	550	85,5	0,764	5,2	3,1	3,3	$\frac{458}{334}$	$\frac{270}{276}$	0,6	9 620	60

Примечания: 1. Изоляция электродвигателей выполнена по классу нагревостойкости F.

2. Обмотка статора в заводском исполнении двухслойная катушечная концентрическая, выполнена проводом марки ПЭТВ.

3. Изоляция паза статора в заводском исполнении — стеклолакоткань ЛСП толщиной 0,15 мм; гибкий миканит ГФС толщиной 0,2 мм; электронит листовой толщиной 0,2 мм.

4. Междуслойная прокладка в пазу — лакостеклослюдопласт СпТС₁-ЛСБ толщиной 0,45 мм. Прокладка выпущена до конца прямолинейной части катушки и прибандажирована к ней.

5. Прокладка на дне паза — электронит толщиной 0,5 мм.

6. Лобовые части катушечных групп изолированы друг от друга прокладкой из лакостеклослюдопласта СпТС₁-ЛСБ толщиной 0,45 мм и забандажированы стеклянной лентой размером 0,2×20 мм, связывающей первую и последнюю катушку каждой катушечной группы.

Основные обмоточно-расчетные данные электродвигателей

Тип электро- двигателя	P_2 , квт	U_1 , в	I_1 , а	n , об/мин	η , %	$\cos \varphi$	$\frac{I_{пуск}}{I_{ном}}$	$\frac{M_{пуск}}{M_{ном}}$	$\frac{M_{макс}}{M_{ном}}$	Ста				
										$\frac{D_{a1}}{D_{i1}}$	$\frac{l_{t1}}{l_{t2}}$	δ	B_{δ}	z_1
АОП2-41-4	4,0	220/380 380 500	15,2/8,8 8,8 6,7	1 440	85,0	0,81	7,0	1,8	2,2	$\frac{208}{133}$	$\frac{110}{113}$	0,35	7 860 7 890 7 900	36
АОП2-42-4	5,5	220/380 380 500	20,3/11,7 11,7 8,9	1 440	87,0	0,82	7,0	1,8	2,2	$\frac{208}{133}$	$\frac{148}{151}$	0,35	7 700 7 700 7 680	36
АОП2-41-6	3,0	220/380 380 500	15,3/8,9 8,9 6,8	960	79,0	0,65	7,0	1,8	2,2	$\frac{208}{144}$	$\frac{110}{113}$	0,35	8 400 8 400 8 250	36
АОП2-42-6	4,0	220/380 380 500	19,1/11,0 11,0 8,4	960	81,0	0,68	7,0	1,8	2,2	$\frac{208}{144}$	$\frac{148}{151}$	0,35	8 020 8 080 8 200	36

единой серии типа АОС2 9-го габарита

тор															Ротор
q_1	Размеры паза $b; b'; b''$ $h; e$	$Q_{s1},$ $мм^2$	d/d'	m_1	$\omega_{к1}$	n_1	y_1	a_1	Схема обмотки (рис. №)	$j_1,$ $a/мм^2$	$AS_1,$ $a/см$	$l_{m1},$ $м$	$r_1, ом$	$G_1, кг$	z_2
5	$\frac{11,8; 7,7; 3,7}{40,7; 1,0}$	372	1,62/1,70	4	9	72	1—9, 1—11, 1—13, 1—15, 1—17	4	3-64	3,22	314	1,162	0,0278	48,2	70
5	$\frac{11,8; 7,7; 3,7}{40,7; 1,0}$	372	1,62/1,70	5	7	70		4	3-64	3,38	321	1,342	0,02	53,4	70
4	$\frac{10,4; 7,7; 3,7}{33; 1}$	278	1,50/1,58	4	7	56	1—8, 1—10, 1—12, 1—14	3	3-105	4,32	294	1,04	0,0473	34,5	86
4	$\frac{10,4; 7,7; 3,7}{33; 1}$	278	1,45/1,53	6	5	60		3	3-105	4,16	284	1,219	0,0285	39,6	86
3	$\frac{10,4; 7,7; 3,7}{33; 1}$	278	1,4/1,48	3	11	66	1—6, 1—8, 1—10	4	3-135	4,54	316	0,897	0,0554	30,5	86
3	$\frac{10,4; 7,7; 3,7}{33; 1}$	278	1,45/1,53	4	8	64		4	3-135	4,35	316	1,077	0,0341	37,9	86
2	$\frac{10,4; 6,9; 3,7}{35,4; 1}$	286	1,56/1,64	4	7	56	1—5, 1—7	2	3-141	4,97	304	0,803	0,0637	25,8	74
2	$\frac{10,4; 6,9; 3,7}{35,4; 1}$	286	1,56/1,64	2	14	56		5	3-142	4,6	281	0,913	0,0456	27,9	74

7. Клинь — стеклотекстолит СТЭФ или прессматериал АГ-4 марки С.

8. Выводные концы катушечных групп изолированы стеклолакотрубкой ТКС.

9. Соединение катушечных групп и соединение обмотки с выводным кабелем изолированы двумя слоями стеклолакоткани ЛСП II размером 0,17×25 мм вполнахлеста и одним слоем стеклянной ленты размером 0,2×20 мм вполнахлеста.

10. Выводной кабель — провод марки РКГМ.

1. Места соединения выводного кабеля с наконечниками изолированы одним слоем стеклолакоткани ЛСП размером 0,15×20 мм вполнахлеста и одним слоем стеклянной ленты размером 0,15×20 мм вполнахлеста.

12. Стержни и кольца короткозамкнутой обмотки ротора выполнены из сплава: силумин СИЛ-1-96%, медь М1-4%.

13. Паз статора выполнен в соответствии с рис. 1-18, паз ротора соответствует рис. 1-10.

Таблица 1-27

единой серии типа АОП2 4-го габарита

тор																Ротор
q_1	Размеры паза $b; b'; b''$ $h; e$	$Q_{s1},$ $мм^2$	d/d'	m_1	$\omega_{к1},$	n_1	y_1	a_1	Схема обмотки (рис. №)	$j_1,$ $a/мм^2$	$AS_1,$ $a/см$	$l_{m1},$ $м$	$r_1, ом$	$G_1, кг$	z_2	
3	$\frac{9,2; 7,2; 3,0}{20,6; 0,75}$	153	1,12/1,20	2	29	58	1—12,	—	3-41	4,47	220	0,58	0,89	5,43	26	
			1,20/1,28	1	50	50	2—11,	—		4,48	219		2,71	5,42		
			1,4/1,48	1	38	38	3—10	—		4,36	220		1,51	5,56		
3	$\frac{9,2; 7,2; 3,0}{20,6; 0,75}$	153	1,3/1,38	2	22	44	1—12,	—	3-41	4,41	220	0,656	0,575	6,3	26	
			1,4/1,48	1	38	38	2—11,	—		4,4	222		1,7	6,3		
			1,12/1,20	2	29	58	3—10	—		4,52	222		1,02	6,2		
2	$\frac{9,6; 7,6; 3,0}{21,0; 0,75}$	159	1,50/1,58	1	36	36	1—8,	—	3-69	5,04	255	0,496	1,055	5,15	26	
			1,12/1,20	1	62	62	2—7	—		5,23	254		3,28	4,96		
			1,30/1,38	1	48	48		—		5,14	260		1,88	5,16		
2	$\frac{9,6; 7,6; 3,0}{21,0; 0,75}$	159	1,20/1,28	2	28	56	1—8,	—	3-69	4,86	245	0,572	0,747	5,98	26	
			1,30/1,38	1	48	48	2—7	—		4,8	243		2,17	5,99		
			1,50/1,58	1	37	37		—		4,76	248		1,26	6,11		

Тип электро- двигателя	P_2 , кВт	U_1 , в	I_1 , а	n , об/мин	η , %	$\cos \varphi$	$\frac{I_{\text{пуск}}}{I_{\text{ном}}}$	$\frac{M_{\text{пуск}}}{M_{\text{ном}}}$	$\frac{M_{\text{макс}}}{M_{\text{ном}}}$	Ста				
										$\frac{D_{a1}}{D_{i1}}$	$\frac{l_{t1}}{l_{t2}}$	δ	B_{δ} , зс	z_1
АОП2-41-8	2,2	220/380 380 500	12,9/7,5 7,5 5,7	710	77,0	0,58	7,0	1,7	2,0	$\frac{208}{144}$	$\frac{110}{113}$	0,35	8 420 8 360 8 500	36
АОП2-42-8	3,0	220/380 380 500	16,2/9,4 9,4 7,1	710	79,5	0,61	7,0	1,7	2,0	$\frac{208}{144}$	$\frac{148}{151}$	0,35	8 000 8 030 7 890	36

Примечания: 1. Изоляция электродвигателей выполнена по классу нагревостойкости Е.

2. Обмотка статора в заводском исполнении для четырех- и шестиполусных электродвигателей — однослойная, для восьмиполусных — двухслойная, выполнена проводом марки ПЭТВ.

3. Изоляция паза статора в заводском исполнении — пленкоэлектрокартон на полиэтилентерефталатной пленке толщиной 0,27 мм.

4. Междуслойная прокладка в пазу — пленкоэлектрокартон на полиэтилентерефталатной пленке толщиной 0,27 мм.

Основные обмоточно-расчетные данные электродвигателей

Тип электро- двигателя	P_2 , кВт	U_1 , в	I_1 , а	n , об/мин	η , %	$\cos \varphi$	$\frac{I_{\text{пуск}}}{I_{\text{ном}}}$	$\frac{M_{\text{пуск}}}{M_{\text{ном}}}$	$\frac{M_{\text{макс}}}{M_{\text{ном}}}$	Ста				
										$\frac{D_{a1}}{D_{i1}}$	$\frac{l_{t1}}{l_{t2}}$	δ	B_{δ} , зс	z_1
АОП2-51-4	7,5	220/380	28/16,2	1 465	88,0	0,80	7,5	1,8	2,2	$\frac{243}{158}$	$\frac{135}{139}$	0,45	7 530	36
АОП2-52-4	10	220/380	36,0/20,8	1 465	88,0	0,83	7,5	1,8	2,2	$\frac{243}{158}$	$\frac{170}{174}$	0,45	7 300	36
АОП2-51-6	5,5	220/380	23,0/13,3	950	84,0	0,75	7,5	1,8	2,2	$\frac{243}{173}$	$\frac{135}{139}$	0,4	7 570	36
АОП2-52-6	7,5	220/380	30,5/17,6	950	85,5	0,76	7,5	1,8	2,2	$\frac{243}{173}$	$\frac{190}{194}$	0,4	7 530	36
АОП2-51-8	4,0	220/380	20,8/12,0	710	82,0	0,62	7,5	1,7	2,2	$\frac{243}{173}$	$\frac{135}{139}$	0,4	8 240	36
АОП2-52-8	5,5	220/380	27,2/15,7	710	83,0	0,64	7,5	1,7	2,2	$\frac{243}{173}$	$\frac{190}{194}$	0,4	7 800	36

Примечания: 1. Изоляция электродвигателей выполнена по классу нагревостойкости Е.

2. Обмотка статора в заводском исполнении двухслойная, выполнена проводом марки ПЭТВ.

3. Изоляция паза статора в заводском исполнении — пленкоэлектрокартон на полиэтилентерефталатной пленке толщиной 0,27 мм.

4. Междуслойная прокладка в пазу — пленкоэлектрокартон на полиэтилентерефталатной пленке толщиной 0,27 мм.

5. Прокладка в лобовой части — пленкоэлектрокартон на полиэтилентерефталатной пленке толщиной 0,27 мм.

тор															Ротор
q_1	Размеры паза $b; b'; b''$ $h; e$	$Q_{s1},$ $мм^2$	d/d'	m_1	$w_{к1}$	n_1	y_1	a_1	Схема обмотки (рис. №)	$j_1,$ $a/мм^2$	$AS_1,$ $a/см$	$l_{m1},$ $м$	$r_1, ом$	$G, кг$	z_2
$1\frac{1}{2}$	$\frac{9,6; 7,6; 3,0}{21,0; 0,75}$	159	1,30/1,38	1	23	46	1—5	—	3-10, 3-109	5,66	275	0,42	1,53	4,2	26
			0,96/1,04	1	40	80		6,0		276	4,9		3,99		
			1,12/1,20	1	30	60		5,78		272	2,68		4,08		
$1\frac{1}{2}$	$\frac{9,6; 7,6; 3,0}{21,0; 0,75}$	159	1,50/1,58	1	18	36	1—5	—	3-10, 3-109	5,32	270	0,496	1,06	5,2	26
			1,12/1,20	1	31	62		5,52		268	3,3		5,05		
			1,30/1,38	1	24	48		5,36		272	1,9		5,2		

5. Прокладка в лобовой части — пленкоэлектрокартон на полиэтилентерефталатной пленке толщиной 0,27 мм.
6. Прокладка под клин — пленкоэлектрокартон на полиэтилентерефталатной пленке толщиной 0,27 мм.
7. Клин — дерево твердой породы пропитанное.
8. Выводные концы катушечных групп, соединение катушечных групп и соединение обмотки с выводным кабелем изолированы линоксиновыми трубками марки ТЭС.
9. Стержни и кольца короткозамкнутой обмотки ротора выполнены из алюминия марки А5.
10. Паз статора выполнен в соответствии с рис. 1-8, паз ротора соответствует рис. 1-6.

Таблица 1-28

единой серии типа АОП2 5-го габарита

тор															Ротор
q_1	Размеры паза $b; b'; b''$ $h; e$	$Q_{s1'}$ $мм^2$	d/d'	m_1	$w_{к1}$	n_1	y_1	a_1	Схема обмотки (рис. №)	$j_1,$ $a/мм^2$	$AS_1,$ $a/см$	$l_{m1'}$ $м$	$r_1, ом$	$G_1, кг$	z_2
3	$\frac{10,8; 8,7; 3,2}{22,9; 0,75}$	196	1,5/1,58	2	11	44	1—8	—	3-3, 3-44	4,58	259	0,614	0,392	7,75	26
3	$\frac{10,8; 8,7; 3,2}{22,9; 0,75}$	196	1,35/1,43	3	9	54	1—8	—	3-3, 3-44	4,84	272	0,684	0,294	8,6	26
2	$\frac{10,6; 8,8; 3,2}{21,1; 0,75}$	178	1,25/1,33	2	14	56	1—6	—	3-6, 3-72	5,43	247	0,546	0,64	6,1	26
2	$\frac{10,6; 8,8; 3,2}{21,1; 0,75}$	178	1,5/1,58	2	10	40	1—6	—	3-6, 3-72	4,98	234	0,656	0,380	7,5	26
$1\frac{1}{2}$	$\frac{10,6; 8,8; 3,2}{21,1; 0,75}$	178	1,62/1,7	1	16	32	1—5	—	3-10, 3-109	5,83	254	0,515	0,824	5,6	26
$1\frac{1}{2}$	$\frac{10,6; 8,8; 3,2}{21,1; 0,75}$	178	1,35/1,43	2	12	48	1—5	—	3-10, 3-109	5,49	250	0,625	0,54	7,0	26

6. Прокладка под клин — пленкоэлектрокартон на полиэтилентерефталатной пленке толщиной 0,27 мм.
7. Клин — дерево твердой породы пропитанное.
8. Выводные концы катушечных групп, соединение катушечных групп и соединение обмотки с выводным кабелем изолированы линоксиновыми трубками марки ТЭС.
9. Стержни и кольца короткозамкнутой обмотки ротора выполнены из алюминия марки А5.
10. Паз статора выполнен в соответствии с рис. 1-8, паз ротора соответствует рис. 1-5 для четырехполюсных электродвигателей и рис. 1-6 для остальных.

Основные обмоточно-расчетные данные электродвигателей

Тип электро- двигателя	P_2 , квт	U_1 , в	I_1 , а	n , об/мин	η , %	$\cos \varphi$	$\frac{I_{\text{пуск}}}{I_{\text{ном}}}$	$\frac{M_{\text{пуск}}}{M_{\text{ном}}}$	$\frac{M_{\text{макс}}}{M_{\text{ном}}}$	Стр				
										$\frac{D_{a1}}{D_{i1}}$	$\frac{l_{t1}}{l_{t2}}$	δ	B_{δ} , мм	z_1
АОП2-61-4	13	220/380 500	46,2/26,7 20,3	1 440	88,0	0,84	7,5	1,8	2,2	$\frac{291}{180}$	$\frac{138}{138}$	0,55	7 850 8 100	36
АОП2-62-4	17	220/380 500	60,3/34,8 26,5	1 440	88,0	0,84	7,5	1,8	2,2	$\frac{291}{180}$	$\frac{168}{168}$	0,55	8 300 8 500	36
АОП2-61-6	10	220/380 500	36,8/21,3 16,2	970	86,0	0,83	7,5	1,8	2,2	$\frac{291}{206}$	$\frac{153}{153}$	0,4	7 020 7 020	54
АОП2-62-6	13	220/380 500	47,3/27,4 20,7	970	87,0	0,83	7,5	1,8	2,2	$\frac{291}{206}$	$\frac{193}{193}$	0,4	7 360 7 260	54
АОП2-61-8	7,5	220/380 500	30,7/17,8 13,5	720	84,5	0,76	7,5	1,7	2,2	$\frac{291}{206}$	$\frac{153}{153}$	0,4	7 300 7 300	54
АОП2-62-8	10	220/380 500	40/23 17,6	720	85,5	0,77	7,5	1,7	2,2	$\frac{291}{206}$	$\frac{193}{193}$	0,4	7 320 7 200	54

Примечания: 1. Изоляция электродвигателей выполнена по классу нагревостойкости F.
2. Обмотка статора в заводском исполнении двухслойная, выполнена проводом марки ПЭТВ.
3. Изоляция паза статора в заводском исполнении — стеклолакоткань ЛСП толщиной 0,15 мм; стекломиканит Г₁ФГ₁ толщиной 0,22 мм; электронит листовой толщиной 0,2 мм.
4. Междуслойная прокладка в пазу — стеклолакоткань ЛСП толщиной 0,15 мм; стекломиканит Г₁ФГ₁ толщиной 0,22 мм.
5. Прокладка в лобовой части в заводском исполнении под каждую катушку — стеклолакоткань ЛСП толщиной 0,15 мм; стекломиканит Г₁ФГ₁ толщиной 0,22 мм.

Основные обмоточно-расчетные данные электродвигателей

Тип электро- двигателя	P_2 , квт	U_1 , в	I_1 , а	n , об/мин	η , %	$\cos \varphi$	$\frac{I_{\text{пуск}}}{I_{\text{ном}}}$	$\frac{M_{\text{пуск}}}{M_{\text{ном}}}$	$\frac{M_{\text{макс}}}{M_{\text{ном}}}$	Стр				
										$\frac{D_{a1}}{D_{i1}}$	$\frac{l_{t1}}{l_{t2}}$	δ	B_{δ} , мм	z_1
АОП2-71-4	22	220/380	77,6/44,8	1 460	89,0	0,84	7,0	1,8	2,2	$\frac{343}{214}$	$\frac{168}{168}$	0,7	8 870	36
АОП2-72-4	30	220/380	104/60,1	1 460	89,5	0,84	7,0	1,8	2,2	$\frac{343}{214}$	$\frac{208}{208}$	0,7	8 770	36
АОП2-71-6	17	220/380	61,0/35,2	970	87,5	0,83	7,0	1,8	2,2	$\frac{343}{245}$	$\frac{168}{168}$	0,5	7 750	54
АОП2-72-6	22	220/380	77,1/44,6	970	88,5	0,84	7,0	1,8	2,2	$\frac{343}{245}$	$\frac{208}{208}$	0,5	7 670	54
АОП2-71-8	13	220/380	54,0/30,6	730	86,0	0,77	6,0	1,7	2,2	$\frac{343}{245}$	$\frac{168}{168}$	0,5	8 130	54
АОП2-72-8	17	220/380	68,8/39,8	730	86,5	0,77	6,0	1,7	2,2	$\frac{343}{245}$	$\frac{208}{208}$	0,5	8 550	54

Примечания: 1. Изоляция электродвигателей выполнена по классу нагревостойкости F.
2. Обмотка статора в заводском исполнении двухслойная, выполнена проводом марки ПЭТВ.
3. Изоляция паза статора в заводском исполнении — стеклолакоткань ЛСП толщиной 0,5 мм; гибкий миканит ГФС толщиной 0,2 мм; электронит листовой толщиной 0,2 мм.
4. Междуслойная прокладка в пазу — стеклолакоткань ЛСП толщиной 0,15 мм, гибкий миканит ГФС толщиной 0,2 мм, склеенные вместе лаком ГФ-95.
5. Прокладки в лобовой части в заводском исполнении для изоляции фазовых катушек — стеклолакоткань ЛСП толщиной 0,15 мм, гибкий миканит ГФС толщиной 0,2 мм, склеенные вместе лаком ГФ-95; для остальных катушек — стеклолакоткань ЛСП толщиной 0,15 мм.
6. Прокладка под клин — стеклотекстолит СТЭФ толщиной 0,5 мм.

единой серии типа АОП2 6-го габарита

тор															Ротор
q_1	Размеры паза $b; b'; b''$ $h; e$	$Q_{s1},$ $мм^2$	d/d'	m_1	ω_{K1}	n_1	y_1	a_1	Схема обмотки (рис. №)	$j_1,$ $a/мм^2$	$AS_1,$ $a/см$	$l_{m1},$ $м$	$r_{m1},$ $ом$	$G, кг$	z_1
3	$\frac{11,6; 8,7; 3,7}{28,0; 1,0}$	253	$\frac{1,30/1,38}{1,16/1,24}$	$\begin{matrix} 2 \\ 2 \end{matrix}$	$\begin{matrix} 18 \\ 23 \end{matrix}$	$\begin{matrix} 72 \\ 92 \end{matrix}$	$\begin{matrix} 1-8 \\ 1-8 \end{matrix}$	$\begin{matrix} 2 \\ 2 \end{matrix}$	$\begin{matrix} 3-4, \\ 3-45 \end{matrix}$	$\begin{matrix} 5,04 \\ 4,8 \end{matrix}$	$\begin{matrix} 306 \\ 298 \end{matrix}$	$\begin{matrix} 0,648 \\ 0,37 \end{matrix}$	$\begin{matrix} 0,23 \\ 0,37 \end{matrix}$	$\begin{matrix} 10,25 \\ 10,4 \end{matrix}$	26
3	$\frac{11,6; 8,7; 3,7}{28,0; 1,0}$	253	$\frac{1,45/1,53}{1,25/1,33}$	$\begin{matrix} 2 \\ 2 \end{matrix}$	$\begin{matrix} 14 \\ 18 \end{matrix}$	$\begin{matrix} 56 \\ 72 \end{matrix}$	$\begin{matrix} 1-8 \\ 1-8 \end{matrix}$	$\begin{matrix} 2 \\ 2 \end{matrix}$	$\begin{matrix} 3-4, \\ 3-45 \end{matrix}$	$\begin{matrix} 5,25 \\ 5,40 \end{matrix}$	$\begin{matrix} 310 \\ 304 \end{matrix}$	$\begin{matrix} 0,708 \\ 0,274 \end{matrix}$	$\begin{matrix} 0,158 \\ 0,274 \end{matrix}$	$\begin{matrix} 10,9 \\ 10,4 \end{matrix}$	26
3	$\frac{9,0; 7,0; 3,7}{25,9; 1,0}$	178	$\frac{1,12/1,20}{1,4/1,48}$	$\begin{matrix} 2 \\ 1 \end{matrix}$	$\begin{matrix} 16 \\ 21 \end{matrix}$	$\begin{matrix} 64 \\ 42 \end{matrix}$	$\begin{matrix} 1-8 \\ 1-8 \end{matrix}$	$\begin{matrix} 2 \\ 2 \end{matrix}$	$\begin{matrix} 3-7, \\ 3-84 \end{matrix}$	$\begin{matrix} 5,4 \\ 5,26 \end{matrix}$	$\begin{matrix} 284 \\ 282 \end{matrix}$	$\begin{matrix} 0,601 \\ 0,646 \end{matrix}$	$\begin{matrix} 0,384 \\ 0,646 \end{matrix}$	$\begin{matrix} 9,5 \\ 9,8 \end{matrix}$	42
3	$\frac{9,0; 7,0; 3,7}{25,9; 1,0}$	178	$\frac{1,3/1,38}{1,12/1,20}$	$\begin{matrix} 2 \\ 2 \end{matrix}$	$\begin{matrix} 12 \\ 16 \end{matrix}$	$\begin{matrix} 48 \\ 64 \end{matrix}$	$\begin{matrix} 1-8 \\ 1-8 \end{matrix}$	$\begin{matrix} 2 \\ 2 \end{matrix}$	$\begin{matrix} 3-7, \\ 3-84 \end{matrix}$	$\begin{matrix} 5,16 \\ 5,25 \end{matrix}$	$\begin{matrix} 274 \\ 276 \end{matrix}$	$\begin{matrix} 0,681 \\ 0,435 \end{matrix}$	$\begin{matrix} 0,242 \\ 0,435 \end{matrix}$	$\begin{matrix} 10,8 \\ 10,7 \end{matrix}$	42
$\frac{1}{2\frac{1}{4}}$	$\frac{9,0; 7,0; 3,7}{25,9; 1,0}$	178	$\frac{1,45/1,53}{1,25/1,33}$	$\begin{matrix} 1 \\ 1 \end{matrix}$	$\begin{matrix} 19 \\ 25 \end{matrix}$	$\begin{matrix} 38 \\ 50 \end{matrix}$	$\begin{matrix} 1-7 \\ 1-7 \end{matrix}$	$\begin{matrix} 2 \\ 2 \end{matrix}$	$\begin{matrix} 3-11, \\ 3-118 \end{matrix}$	$\begin{matrix} 5,4 \\ 5,5 \end{matrix}$	$\begin{matrix} 282 \\ 282 \end{matrix}$	$\begin{matrix} 0,577 \\ 0,577 \end{matrix}$	$\begin{matrix} 0,525 \\ 0,928 \end{matrix}$	$\begin{matrix} 9,01 \\ 8,78 \end{matrix}$	42
$\frac{1}{2\frac{1}{4}}$	$\frac{9,0; 7,0; 3,7}{25,9; 1,0}$	178	$\frac{1,16/1,24}{1,45/1,53}$	$\begin{matrix} 2 \\ 1 \end{matrix}$	$\begin{matrix} 15 \\ 20 \end{matrix}$	$\begin{matrix} 60 \\ 40 \end{matrix}$	$\begin{matrix} 1-7 \\ 1-7 \end{matrix}$	$\begin{matrix} 2 \\ 2 \end{matrix}$	$\begin{matrix} 3-11, \\ 3-118 \end{matrix}$	$\begin{matrix} 5,45 \\ 5,32 \end{matrix}$	$\begin{matrix} 288 \\ 294 \end{matrix}$	$\begin{matrix} 0,657 \\ 0,657 \end{matrix}$	$\begin{matrix} 0,367 \\ 0,627 \end{matrix}$	$\begin{matrix} 10,5 \\ 10,8 \end{matrix}$	42

6. Клинь — стеклотекстолит СТЭФ или прессматериал АГ-4 марки С.

7. Выводные концы катушечных групп, соединение катушечных групп и соединение обмотки с выводным кабелем изолированы стеклолакотрубкой марки ТКС.

8. Выводной кабель — провод марки РКГМ.

9. Места соединения выводного кабеля с наконечниками изолированы одним слоем стеклолакоткани ЛСП размером $0,15 \times 20$ мм вполнахлеста и одним слоем стеклянной ленты размером $0,15 \times 20$ мм вполнахлеста.

10. Стержни и кольца короткозамкнутой обмотки ротора выполнены из алюминия марки А5.

11. Паз статора выполнен в соответствии с рис. 1-8, паз ротора соответствует рис. 1-6.

Таблица 1-30

единой серии типа АОП2 7-го габарита

тор															Ротор
q_1	Размеры паза $b; b'; b''$ $h; e$	$Q_{s1},$ $мм^2$	d/d'	m_1	ω_{K1}	n_1	y_1	a_1	Схема обмотки (рис. №)	$j_1,$ $a/мм^2$	$AS_1,$ $a/см$	$l_{m1},$ $м$	$r_1,$ $ом$	$G_1, кг$	z_2
3	$\frac{12,5; 9,2; 3,7}{30,3; 1}$	283	1,5/1,58	3	11	66	1—8	2	3-4, 3-45	4,23	264	0,815	0,089	15,4	26
3	$\frac{12,5; 9,2; 3,7}{30,3; 1}$	283	1,62/1,7	3	9	54	1—8	2	3-4, 3-45	4,87	290	0,895	0,80	16,2	26
3	$\frac{9,8; 7,7; 3,7}{27,7; 1}$	210	1,5/1,58	2	11	44	1—8	2	3-7, 3-84	4,98	272	0,706	0,173	13,4	42
3	$\frac{9,8; 7,7; 3,7}{27,7; 1}$	210	1,35/1,43	3	9	54	1—8	2	3-7, 3-84	5,2	282	0,786	0,129	14,9	42
$2\frac{1}{4}$	$\frac{9,8; 7,7; 3,7}{27,7; 1}$	210	1,4/1,48	2	13	52	1—7	2	3-11, 3-118	4,98	280	0,664	0,221	13,0	42
$2\frac{1}{4}$	$\frac{9,8; 7,7; 3,7}{27,7; 1}$	210	1,56/1,64	2	10	40	1—7	2	3-11, 3-118	5,21	280	0,744	0,153	13,8	42

7. Клинь — стеклотекстолит СТЭФ или прессматериал АГ-4 марки С.

8. Выводные концы катушечных групп, соединение катушечных групп и соединение обмотки с выводным кабелем изолированы двумя слоями стекломикаленты С2ЛФГ размером $0,2 \times 20$ мм вполнахлеста и одним слоем стеклянной ленты размером $0,15 \times 20$ мм вполнахлеста.

9. Выводной кабель — провод марки РКГМ.

10. Места соединения выводного кабеля с наконечниками изолированы одним слоем стеклолакоткани ЛСП размером $0,15 \times 20$ мм вполнахлеста и одним слоем стеклянной ленты размером $0,15 \times 20$ мм вполнахлеста.

11. Стержни и кольца короткозамкнутой обмотки ротора выполнены из алюминия марки А5.

12. Паз статора выполнен в соответствии с рис. 1-8, паз ротора соответствует рис. 1-6.

Основные обмоточно-расчетные данные электродвигателей

Тип электро- двигателя	P_2 , квт	U_1 , в	I_1 , а	n , об/мин	η , %	$\cos \varphi$	$\frac{I_{\text{пуск}}}{I_{\text{ном}}}$	$\frac{M_{\text{пуск}}}{M_{\text{ном}}}$	$\frac{M_{\text{макс}}}{M_{\text{ном}}}$	Ста				
										$\frac{D_{a1}}{D_{i1}}$	$\frac{l_{t1}}{l_{t2}}$	δ	B_{δ} , зс	z_1
АОП2-91-4	75	220/380	232/134	1 480	93,0	0,913	7,3	2,2	3,2	$\frac{458}{290}$	$\frac{246}{246}$	1,0	7 420	60
АОП2-92-4	100	220/380	304/176	1 480	93,8	0,917	7,5	2,3	3,3	$\frac{458}{290}$	$\frac{336}{336}$	1,0	7 260	60
АОП2-91-6--	55	220/380	171/99	980	92,0	0,91	6,5	1,8	2,9	$\frac{458}{334}$	$\frac{246}{246}$	0,7	6 760	72
АОП2 926	75	220/380	232/134	980	92,9	0,91	7,2	1,9	3,2	$\frac{458}{334}$	$\frac{336}{336}$	0,7	6 950	72
АОП2-91-8	40	220/380	135/78,4	740	91,8	0,841	6,6	2,0	3,2	$\frac{458}{334}$	$\frac{246}{246}$	0,7	7 670	72
АОП2-92-8	55	220/380	185/107	740	92,3	0,841	6,8	2,0	3,3	$\frac{458}{334}$	$\frac{336}{336}$	0,7	7 720	72
АОП2-91-10	30	220/380	123/70,7	590	89,8	0,715	4,9	2,0	2,7	$\frac{458}{334}$	$\frac{221}{221}$	0,6	9 360	60
АОП2-92-10	40	220/380	162/93,6	590	90,2	0,717	4,9	1,9	2,7	$\frac{458}{334}$	$\frac{276}{276}$	0,6	9 360	60

Примечания: 1. Изоляция электродвигателей выполнена по классу нагревостойкости F.

2. Обмотка статора в заводском исполнении двухслойная катушечная концентрическая, выполнена проводом марки ПЭТВ.

3. Изоляция паза статора в заводском исполнении — стеклолакоткань ЛСП толщиной 0,15 мм; гибкий миканит ГФС толщиной 0,2 мм; электронит листовой толщиной 0,2 мм.

4. Междуслойная прокладка в пазу — лакостеклослюдопласт СпТС₁-ЛСБ толщиной 0,45 мм. Прокладка выпущена до конца прямолинейной части катушки и прибандажирована к ней.

5. Прокладка на дне паза — электронит толщиной 0,5 мм.

6. Лобовые части катушечных групп изолированы друг от друга прокладкой из лакостеклослюдопласта СпТС₁-ЛСБ толщиной 0,45 мм и забандажированы стеклянной лентой размером 0,2×20 мм, связывающей первую и последнюю катушку каждой катушечной группы.

Основные обмоточно-расчетные данные электродвигателей

Тип электро- двигателя	P_2 , квт	U_1 , в	I_1 , а	n , об/мин	η , %	$\cos \varphi$	$\frac{I_{\text{пуск}}}{I_{\text{ном}}}$	$\frac{M_{\text{пуск}}}{M_{\text{ном}}}$	$\frac{M_{\text{макс}}}{M_{\text{ном}}}$	Ста				
										$\frac{D_{a1}}{D_{i1}}$	$\frac{l_{t1}}{l_{t2}}$	δ	B_{δ} , зс	z_1
АОТ2-31-4	1,5	220/380 500	6/3,5 2,6	1 430	82,0	0,8	7,5	1,7	2,0	$\frac{180}{112}$	$\frac{90}{91}$	0,3	6 590 6 550	36
АОТ2-32-4	2,2	220/380 500	8,4/4,8 3,7	1 430	84,0	0,82	7,5	1,7	2,0	$\frac{180}{112}$	$\frac{117}{118}$	0,3	6 670 6 670	36
АОТ2-31-6	1,1	220/380 500	4,9/2,8 2,2	950	79,5	0,74	7,0	1,7	1,8	$\frac{180}{122}$	$\frac{90}{91}$	0,3	6 140 6 150	36
АОТ2-32-6	1,5	220/380 500	6,4/3,7 2,8	950	82,5	0,74	7,0	1,7	1,8	$\frac{180}{122}$	$\frac{117}{118}$	0,3	6 170 6 170	36

Примечания: 1. Изоляция электродвигателей выполнена по классу нагревостойкости E.

2. Обмотка статора в заводском исполнении однослойная, выполнена проводом марки ПЭТВ.

3. Изоляция паза статора в заводском исполнении — пленкоэлектрокартон на полиэтилентерефталатной пленке толщиной 0,27 мм; полиэтилентерефталатная пленка толщиной 0,05 мм.

4. Прокладка в лобовой части — пленкоэлектрокартон на полиэтилентерефталатной пленке толщиной 0,27 мм.

5. Прокладка под клин — пленкоэлектрокартон на полиэтилентерефталатной пленке толщиной 0,27 мм.

единой серии типа АОП2 9-го габарита

тор															Ротор
q_1	Размер паза $b; b'; b''$ $h; e$	$Q_{s1},$ $мм^2$	d/d'	m_1	$w_{к1}$	n_1	y_1	a_1	Схема обмотки (рис. №)	$j_1,$ $а/мм^2$	$AS_1,$ $а/см$	$l_{m1},$ $м$	$r_1, ом$	$G_1, кг$	z_1
5	11,8; 7,7; 3,7 40,7; 1,0	372	1,5/1,58	5	8	80	1—9, 1—11, 1—13,	4	3-64	3,8	353	1,158	0,023	44,2	50
5	11,8; 7,7; 3,7 40,7; 1,0	372	1,62/1,7	6	6	72	1—15, 1—17,	4		3,56	348	1,335	0,0142	53,6	50
4	10,4; 7,7; 3,7 33,0; 1,0	278	1,5/1,58	4	7	56	1—8, 1—10,	3	3-105	4,67	317	1,038	0,048	33,2	58
4	10,4; 7,7; 3,7 33,0; 1,0	278	1,45/1,53	6	5	60	1—12, 1—14	3		4,5	307	1,219	0,0288	38,7	58
3	10,4; 7,7; 3,7 33,0; 1,0	278	1,4/1,48	3	11	66	1—6, 1—8,	4	3-135	4,25	296	0,897	0,0562	29,9	58
3	10,4; 7,7; 3,7 33,0; 1,0	278	1,45/1,53	4	8	64	1—10	4		4,05	294	1,077	0,0343	37,2	58
2	10,4; 6,9; 3,7 35,4; 1,0	286	1,56/1,64	4	7	56		2	3-141	4,62	284	0,804	0,0645	23,7	46
2	10,4; 6,9; 3,7 35,4; 1,0	286	1,56/1,64	2	14	56	1—5, 1—7	5	3-142	4,9	300	0,916	0,0464	26,7	46

7. Кли́н — стеклотекстолит СТЭФ или прессматериал АГ-4 марки С.
8. Выводные концы катушечных групп изолированы стеклолакотрубкой ТКС.
9. Соединение катушечных групп и соединение обмотки с выводным кабелем изолированы двумя слоями стеклолакоткани ЛСП размером 0,17×25 мм вполнахлеста и одним слоем стеклянной ленты размером 0,2×20 мм вполнахлеста.
10. Выводной кабель — провод марки РКГМ.
11. Места соединения выводного кабеля с наконечниками изолированы одним слоем стеклолакоткани ЛСП размером 0,15×20 мм вполнахлеста и одним слоем стеклянной ленты размером 0,15×20 мм вполнахлеста.
12. Стержни и кольца короткозамкнутой обмотки ротора выполнены из алюминия марки А5.
13. Паз статора выполнен в соответствии с рис. 1-18, паз ротора соответствует рис. 1-6.

Таблица 1-32

единой серии типа АОТ2 3-го габарита

тор															Ротор
q_1	Размеры паза $b; b'; b''$ $h; e$	$Q_{s1},$ $мм^2$	d/d'	m_1	$w_{к1}$	n_1	y_1	a_1	Схема обмотки (рис. №)	$j_1,$ $а/мм^2$	$AS_1,$ $а/см$	$l_{m1},$ $м$	$r_1, ом$	$G_1, кг$	z_1
3	7,2; 5,1; 3,0 18,9; 1,0	103	1,0/1,08 0,86/0,92	1 1	50 66	50 66	1—12, 2—11, 3—10	— —	3-41	4,46 4,46	179 175	0,476	3,19 5,7	3,06 3,0	26
3	7,2; 5,1; 3,0 18,9; 1,0	103	1,16/1,24 1,0/1,08	1 1	38 50	38 50	2—12, 2—11, 3—10	— —	3-41	4,55 4,71	187 189	0,53	2,0 3,55	3,48 3,39	26
2	8,7; 6,7; 3,0 19,6; 1,0	133	0,96/1,02 0,83/0,89	1 1	71 93	71 93	1—8, 2—7	— —	3-69	3,87 4,06	187 192	0,422	4,36 7,62	3,36 3,48	46
2	8,7; 6,7; 3,0 19,6; 1,0	133	1,12/1,2 0,96/1,02	1 1	54 71	54 71	1—8, 2—7	— —	3-69	3,76 3,87	183 187	0,476	2,74 4,92	4,14 3,99	46

6. Кли́н — дерево твердой породы пропитанное.
7. Выводные концы катушечных групп, соединение катушечных групп и соединение обмотки с выводным кабелем изолированы линоксиновыми трубками марки ТЭС.
8. Стержни и кольца короткозамкнутой обмотки ротора выполнены из алюминия марки А6.
9. Паз статора выполнен в соответствии с рис. 1-8, паз ротора соответствует рис. 1-9.

Основные обмоточно-расчетные данные электродвигателей

Тип электро- двигателя	P_2 , квт	U_1 , в	I_1 , а	n , об/мин	η , %	$\cos \varphi$	$\frac{I_{\text{пуск}}}{I_{\text{ном}}}$	$\frac{M_{\text{пуск}}}{M_{\text{ном}}}$	$\frac{M_{\text{макс}}}{M_{\text{ном}}}$	Ста				
										$\frac{D_{a1}}{D_{i1}}$	$\frac{l_{t1}}{l_{t2}}$	δ	B_{δ} , гс	z_1
АОТ2-41-4	3,0	220/380	10,7/6,2	1 460	87,5	0,84	7,5	1,7	2,0	$\frac{208}{133}$	$\frac{110}{113}$	0,35	6 340	36
		380	6,2										6 350	
		500	4,7										6 240	
АОТ2-42-4	4,0	220/380	13,5/7,8	1 460	89,0	0,87	7,5	1,7	2,0	$\frac{208}{133}$	$\frac{148}{151}$	0,35	6 060	36
		380	7,8										5 960	
		500	6,0										6 020	
АОТ2-41-6	2,2	220/380	9,4/5,4	970	83,0	0,74	7,0	1,7	1,8	$\frac{208}{144}$	$\frac{110}{113}$	0,35	6 870	36
		380	4,1										6 840	
		500												
АОТ2-42-6	3,0	220/380	12,2/7,05	970	85,0	0,75	7,0	1,7	1,8	$\frac{208}{144}$	$\frac{148}{151}$	0,35	6 600	36
		380	7,05										6 580	
		500	5,36										5 550	
АОТ2-41-8	1,5	220/380	7,25/4,2	730	81,0	0,67	7,0	1,5	1,7	$\frac{208}{144}$	$\frac{110}{113}$	0,35	6 460	36
		380	3,2										6 540	
		500												
АОТ2-42-8	2,2	220/380	10,3/6,0	730	82,0	0,68	7,0	1,5	1,7	$\frac{208}{144}$	$\frac{148}{151}$	0,35	6 550	36
		380	4,6										6 520	
		500												

- Примечания: 1. Изоляция электродвигателей выполнена по классу нагревостойкости Е.
2. Обмотка статора в заводском исполнении для четырех- и шестиполусных электродвигателей — однослойная, для восьмиполусных — двухслойная, выполнена проводом марки ПЭТВ.
3. Изоляция паза статора в заводском исполнении — пленкоэлектрокартон на полиэтилентерефталатной пленке толщиной 0,27 мм.
4. Междуслойная прокладка в пазу — пленкоэлектрокартон на полиэтилентерефталатной пленке толщиной 0,27 мм.

Основные обмоточно-расчетные данные электродвигателей

Тип электро- двигателя	P_2 , квт	U_1 , в	I_1 , а	n , об/мин	η , %	$\cos \varphi$	$\frac{I_{\text{пуск}}}{I_{\text{ном}}}$	$\frac{M_{\text{пуск}}}{M_{\text{ном}}}$	$\frac{M_{\text{макс}}}{M_{\text{ном}}}$	Ста				
										$\frac{D_{a1}}{D_{i1}}$	$\frac{l_{t1}}{l_{t2}}$	δ	B_{δ} , гс	z_1
АОТ2-51-4	5,5	220/380	18,6/10,8	1 460	88,0	0,88	7,0	1,7	3,0	$\frac{243}{158}$	$\frac{135}{139}$	0,45	5 910	36
		380	10,8										5 950	
		500	8,2										6 040	
АОТ2-52-4	7,5	220/380	25,1/14,5	1 460	89,0	0,88	7,0	1,7	3,0	$\frac{243}{158}$	$\frac{170}{174}$	0,45	7 500	36
		380	14,5										7 520	
		500	11,1										7 750	

- Примечания: 1. Изоляция электродвигателей выполнена по классу нагревостойкости Е.
2. Обмотка статора в заводском исполнении двухслойная, выполнена проводом марки ПЭТВ.
3. Изоляция паза статора в заводском исполнении — пленкоэлектрокартон на полиэтилентерефталатной пленке толщиной 0,27 мм.
4. Междуслойная прокладка в пазу — пленкоэлектрокартон на полиэтилентерефталатной пленке толщиной 0,27 мм.
5. Прокладка в лобовой части — пленкоэлектрокартон на полиэтилентерефталатной пленке толщиной 0,27 мм.

Таблица 1-33

единой серии типа АОТ2 4-го габарита

тор															Ротор
q_1	Размеры паза $b, b'; b''$ $h; e$	$Q_{s1'}$ $мм^2$	d/d'	m_1	$w_{к1}$	n_1	y_1	a_1	Схема обмотки (рис. №)	j_1 , $a/мм^2$	AS_1 , $a/см$	$l_{m1'}$, $м$	r_1 , $ом$	G_1 , $кг$	z_2
3	$\frac{9,2; 7,2; 3,0}{20,6; 0,75}$	153	$\frac{1,45/1,53}{1,08/1,16}$ $1,25/1,33$	1 1 1	36 62 48	36 62 48	1—12, 2—11, 3—10	— — —	3-41	3,75 3,91 3,83	193 191 195	0,58	1,33 4,12 2,38	5,65 5,41 5,58	26
3	$\frac{9,2; 7,2; 3,0}{20,6; 0,75}$	153	$\frac{1,16/1,24}{1,25/1,33}$ $1,45/1,53$	2 1 1	28 49 37	56 49 37	1—12, 2—11, 3—10	— — —	3-41	3,7 3,68 3,63	188 191 191	0,656	0,91 2,75 1,55	6,35 6,45 6,55	26
2	$\frac{9,6; 7,6; 3,0}{21,0; 0,75}$	159	$\frac{1,35/1,43}{1,2/1,28}$	1 1	44 58	44 58	1—8, 2—7	— —	3-69	3,77 3,62	189 189	0,496	1,6 2,67	5,1 5,38	46
2	$\frac{9,6; 7,6; 3,0}{21,0; 0,75}$	159	$\frac{1,56/1,64}{1,16/1,24}$ $1,35/1,43$	1 1 1	34 59 45	34 59 45	1—8, 2—7	— — —	3-69	3,7 3,86 3,74	191 192 193	0,572	1,07 3,35 1,89	6,1 5,85 6,0	46
$\frac{1}{2}$	$\frac{9,6; 7,6; 3,0}{21,0; 0,75}$	159	$\frac{1,16/1,24}{1,0/1,08}$	1 1	30 39	60 78	1—5	— —	3-10, 3-109	3,98 4,08	210 199	0,420	2,5 4,4	4,38 4,23	46
$\frac{1}{2}$	$\frac{9,6; 7,6; 3,0}{21,0; 0,75}$	159	$\frac{1,35/1,43}{1,16/1,24}$	1 1	22 29	44 58	1—5	— —	3-10, 3-109	4,19 4,35	210 213	0,496	1,605 2,96	5,1 4,98	46

5. Прокладка в лобовой части — пленкоэлектрокартон на полиэтилентерефталатной пленке толщиной 0,27 мм.

7. Клинь — дерево твердой породы пропитанное.

8. Выводные концы катушечных групп, соединение катушечных групп и соединение обмотки с выводным кабелем изолированы линоксиновыми трубками марки ТЭС.

9. Стержни и кольца короткозамкнутой обмотки ротора выполнены из алюминия марки А6.

10. Паз статора выполнен в соответствии с рис. 1-8, паз ротора соответствует рис. 1-5.

Таблица 1-34

единой серии типа АОТ2 5-го габарита

тор																Ротор
q_1	Размеры паза $b; b'; b''$ $h; e$	$Q_{s1'}$ $мм$	d/d'	m_1	$w_{к1}$	n_1	y_1	a_1	Схема обмотки (рис. №)	j_1 , $мм^2$	AS_1 , $a/см$	$l_{m1'}$, $м$	r_1 , $ом$	G_1 , $кг$	z_2	
3	$\frac{10,8; 8,7; 3,2}{22,9; 0,75}$	196	1,3/1,38	2	14	56	1—8	—	3-3, 3-44	4,07	220	0,614	0,666	7,45	46	
3			1,4/1,48	1	24	48		—		4,06	218		2,00	7,4		
3			1,62/1,7	1	18	36		—		3,98	214		1,11	7,4		
3	$\frac{10,8; 8,7; 3,2}{22,9; 0,75}$	196	1,5/1,58	2	11	44	1—8	—	3-3, 3-44	4,1	232	0,684	0,436	8,65	46	
			1,62/1,7	1	19	38		—		4,05	230		1,30	8,7		
3			1,3/1,38	2	14	56		—		4,19	226		0,742	8,3		

6. Прокладка под клинь — пленкоэлектрокартон на полиэтилентерефталатной пленке толщиной 0,27 мм.

7. Клинь — дерево твердой породы пропитанное.

8. Выводные концы катушечных групп, соединение катушечных групп и соединение обмотки с выводным кабелем изолированы линоксиновыми трубками марки ТЭС.

9. Стержни и кольца короткозамкнутой обмотки ротора выполнены из алюминия марки А5.

10. Паз статора выполнен в соответствии с рис. 1-8, паз ротора соответствует рис. 1-12.

Основные обмоточно-расчетные данные электродвигателей

Тип электро- двигателя	P_2 квт	U_1 , в	I_1 , а	n , об/мин	η , %	$\cos \varphi$	$\frac{I_{пуск}}{I_{ном}}$	$\frac{M_{пуск}}{M_{ном}}$	$\frac{M_{мнкэ}}{M_{ном}}$	Ста				
										$\frac{D_{a1}}{D_{i1}}$	$\frac{l_{t1}}{l_{t2}}$	δ	B_δ , эс	z_1
АОТ2-61-4	10	220/380 500	34,4/19,8 15,1	1 460	89,0	0,86	7,5	1,7	2,8	$\frac{291}{180}$	$\frac{138}{138}$	0,55	$\frac{7\,450}{7\,450}$	36
АОТ2-62-4	13	220/380 500	43,3/25,0 19,1	1 460	89,5	0,88	7,5	1,7	2,8	$\frac{291}{180}$	$\frac{168}{168}$	0,55	$\frac{7\,260}{7\,260}$	36
АОТ2-61-6	7,5	220/380 500	26,2/15,1 11,5	970	88,5	0,85	7,0	1,7	2,5	$\frac{291}{206}$	$\frac{153}{153}$	0,4	$\frac{6\,200}{6\,100}$	54
АОТ2-62-6	10	220/380 500	34,6/20,0 15,3	970	89,0	0,85	7,0	1,7	2,5	$\frac{291}{206}$	$\frac{193}{193}$	0,4	$\frac{6\,330}{6\,460}$	54
АОТ2-61-8	5,5	220/380 500	21,7/12,5 9,6	730	87,5	0,76	7,0	1,5	2,5	$\frac{291}{206}$	$\frac{153}{153}$	0,4	$\frac{6\,600}{6\,500}$	54
АОТ2-62-8	7,5	220/380 500	29,4/17,0 13,0	730	88,0	0,76	7,0	1,5	2,5	$\frac{291}{206}$	$\frac{193}{193}$	0,4	$\frac{6\,870}{6\,880}$	54

Примечания: 1. Изоляция электродвигателей выполнена по классу нагревостойкости Е.
 2. Обмотка статора в заводском исполнении двухслойная, выполнена проводом марки ПЭТВ.
 3. Изоляция паза статора в заводском исполнении — пленкоэлектрокартон на полиэтилентерефталатной пленке толщиной 0,27 мм; стеклолакоткань ЛСЭ толщиной 0,17 мм.
 4. Междуслойная прокладка в пазу — пленкоэлектрокартон на полиэтилентерефталатной пленке толщиной 0,27 мм.
 5. Прокладка в лобовой части в заводском исполнении для изоляции фазных катушек — электрокартон ЭВ толщиной 0,15 мм; стеклолакоткань ЛСЭ толщиной 0,17 мм; для остальных катушек — электрокартон ЭВ толщиной 0,2 мм.

Основные обмоточно-расчетные данные электродвигателей

Тип электро- двигателя	P_2	U_1 , в	I_1 , а	n , об/мин	η , %	$\cos \varphi$	$\frac{I_{пуск}}{I_{ном}}$	$\frac{M_{пуск}}{M_{ном}}$	$\frac{M_{макс}}{M_{ном}}$	Ста				
										$\frac{D_{a1}}{D_{i1}}$	$\frac{l_{t1}}{l_{t2}}$	δ	B_δ , эс	z_1
АОТ2-71-4	17	220/380	55,2/31,9	1 460	90,0	0,90	7,5	1,7	2,0	$\frac{343}{214}$	168	0,7	6 970	36
АОТ2-72-4	22	220/380	71,0/41,1	1 460	90,5	0,90	7,5	1,7	2,0	$\frac{343}{214}$	208	0,7	6 580	36
АОТ2-71-6	13	220/380	43,5/25,1	970	89,5	0,88	7,0	1,7	1,8	$\frac{343}{245}$	168	0,5	6 560	54
АОТ2-72-6	17	220/380	55,5/32,1	970	90,5	0,89	7,0	1,7	1,8	$\frac{343}{245}$	208	0,5	6 580	54
АОТ2-71-8	10	220/380	37,4/21,6	730	88,5	0,79	7,0	1,5	1,7	$\frac{343}{245}$	168	0,5	7 050	54
АОТ2-72-8	13	220/380	48,0/27,7	730	89,0	0,80	7,0	1,5	1,7	$\frac{343}{245}$	208	0,5	7 110	54

Примечания: 1. Изоляция электродвигателей выполнена по классу нагревостойкости Е.
 2. Обмотка статора в заводском исполнении двухслойная, выполнена проводом марки ПЭТВ.
 3. Изоляция паза статора в заводском исполнении — два слоя пленкоэлектрокартона на полиэтилентерефталатной пленке толщиной по 0,27 мм.
 4. Междуслойная прокладка в пазу — два слоя пленкоэлектрокартона на полиэтилентерефталатной пленке толщиной по 0,27 мм.
 5. Прокладка в лобовой части для изоляции фазных катушек — два слоя пленкоэлектрокартона на полиэтилентерефталатной пленке толщиной по 0,27 мм; для остальных катушек — пленкоэлектрокартон на полиэтилентерефталатной пленке толщиной 0,27 мм.

единой серии типа АОТ2 6-го габарита

тор																Ротор
q_1	Размеры паза $b; b'; b''$ $h; e$	$Q_{s1},$ $мм^2$	d/d'	m_1	$w_{к1}$	n_1	y_1	a_1	Схема о5- мотки (рис. №)	$j_1,$ $a/мм^2$	$AS_1,$ $a/см$	$l_{m1}, м$	$r_1, ом$	$G_1, кг$	z_2	
3	$\frac{11,6; 8,7; 3,7}{28,0; 1,0}$	253	$\frac{1,3/1,38}{1,12/1,2}$	2 2	19 25	76 100	1—8	2 2	3-4, 3-45	3,74 3,83	240 240	0,648	$\frac{0,244}{0,433}$	$\frac{10,8}{10,5}$	46	
3	$\frac{11,6; 8,7; 3,7}{28,0; 1,0}$	253	$\frac{1,4/1,48}{1,2/1,28}$	2 2	16 21	64 84	1—8	2 2	3-4, 3-45	4,07 4,22	255 255	0,708	$\frac{0,194}{0,345}$	$\frac{11,52}{11,2}$	46	
3	$\frac{9,0; 7,0; 3,7}{25,9; 1,0}$	178	$\frac{1,56/1,64}{1,35/1,43}$	1 1	18 24	36 48	1—8	2 2	3-7, 3-84	3,94 4,0	226 230	0,601	$\frac{0,455}{0,794}$	$\frac{10,2}{10,2}$	64	
3	$\frac{9,0; 7,0; 3,7}{25,9; 1,0}$	178	$\frac{1,25/1,33}{1,56/1,64}$	2 1	14 18	56 36	1—8	2 2	3-7, 3-84	4,06 4,0	234 230	0,681	$\frac{0,307}{0,505}$	$\frac{11,6}{11,6}$	64	
$2\frac{1}{4}$	$\frac{9,0; 7,0; 3,7}{25,9; 1,0}$	178	$\frac{1,45/1,53}{1,25/1,33}$	1 1	21 28	42 56	1—7	2 2	3-11, 3-118	3,78 3,91	219 224	0,577	$\frac{0,58}{1,04}$	$\frac{9,95}{9,8}$	64	
$2\frac{1}{4}$	$\frac{9,0; 7,0; 3,7}{25,9; 1,0}$	178	$\frac{1,16/1,24}{1,45/1,53}$	2 1	16 21	64 42	1—7	2 2	3-11, 3-118	4,02 3,93	227 228	0,657	$\frac{0,392}{0,66}$	$\frac{11,2}{11,3}$	64	

6. Клин — дерево твердой породы пропитанное.
7. Выводные концы катушечных групп, соединение катушечных групп и соединение обмотки с выводным кабелем изолированы линоксиновыми трубками марки ТЭС.
8. Стержни и кольца короткозамкнутой обмотки ротора выполнены из алюминия марки А5.
9. Паз статора выполнен в соответствии с рис. 1-8, паз ротора соответствует рис. 1-9 для четырехполюсных электродвигателей и рис. 1-5 — для остальных.

Таблица 1-36

единой серии типа АОТ2 7-го габарита

тор																Ротор
q_1	Размеры паза $b; b'; b''$ $h; e$	$Q_{s1},$ $мм^2$	d/d'	m_1	$w_{к1}$	n_1	y_1	a_1	Схема об- мотки (рис. №)	$j_1,$ $a/мм^2$	$AS_1,$ $a/см$	$l_{m1}, м$	$r_1, ом$	$G_1, кг$	z_2	
3	$\frac{12,5; 9,2; 3,7}{30,3; 1}$	283	1,35/1,43	3	14	84	1—8	2	3-4, 3-45	3,71	240	0,815	0,140	16,0	46	
3	$\frac{12,5; 9,2; 3,7}{30,3; 1}$	283	1,5/1,58	3	12	72	1—8	2	3-4, 3-45	3,88	264	0,895	0,098	18,0	46	
3	$\frac{9,8; 7,7; 3,7}{27,7; 1}$	210	1,4/1,48	2	13	52	1—8	2	3-7, 3-84	4,08	229	0,706	0,249	13,8	64	
3	$\frac{9,8; 7,7; 3,7}{27,7; 1}$	210	1,56/1,64	2	$\frac{10}{11}$	42	1—8	2	3-7, 3-84	4,2	236	0,786	0,170	15,4	64	
$2\frac{1}{4}$	$\frac{9,8; 7,7; 3,7}{27,7; 1}$	210	1,3/1,38	2	15	60	1—7	2	3-11, 3-118	4,08	228	0,664	0,295	12,9	64	
$2\frac{1}{4}$	$\frac{9,8; 7,7; 3,7}{27,7; 1}$	210	1,5/1,58	2	12	48	1—7	2	3-11, 3-118	3,92	233	0,744	0,198	15,3	64	

6. Прокладка под клин — пленкоэлектрокартон на полиэтилентерефталатной пленке толщиной 0,27 мм.
7. Клин — дерево твердой породы пропитанное.
8. Выводные концы катушечных групп, соединение катушечных групп и соединение обмотки с выводным кабелем изолированы линоксиновыми трубками марки ТЭС.
9. Стержни и кольца короткозамкнутой обмотки ротора выполнены из алюминия марки А5.
10. Паз статора выполнен в соответствии с рис. 1-18, паз ротора соответствует рис. 1-5.

Основные обмоточно-расчетные данные электродвигателей единой серии типов АОК2 4-го и 5-го габаритов

Тип электро- двигателя	P ₂ , кВт	U ₁ , в	I ₁ , а	n, об/мин	η, %	cos φ	$\frac{M_{\text{макс}}}{M_{\text{ном}}}$	Статор												
								$\frac{D_{a1}}{D_{i1}}$	$\frac{l_{t1}}{l_{t2}}$	δ	z ₁	q ₁	Размеры паза $\frac{b; b'; b''}{h; e}$		d/d'	m ₁	ω _{к1}	n ₁	y ₁	a ₁
1	2	3	4	5	6	7	8	9	10	11	12	13	14	15	16	17	18	19	20	
АОК2-41-4	3,0	220/380	11,6/6,7	1 410	83,0	0,82	2,0	$\frac{208}{133}$	$\frac{110}{113}$	0,35	36	3	$\frac{9,2; 7,2; 3,0}{19,85; 0,75}$	1,45/1,53	1	36	36	$\frac{1-12, 2-11, 3-10}{1-12, 2-11, 3-10}$	—	
АОК2-42-4	4,0	220/380	15,4/8,8	1 420	83,5	0,82	2,0	$\frac{148}{151}$	$\frac{148}{151}$					1,2/1,28	2	26	52		—	
АОК2-41-6	2,2	220/380	9,9/5,7	930	80,0	0,73	1,8	$\frac{110}{113}$	$\frac{110}{113}$					1,35/1,43	1	46	46		—	
АОК2-42-6	3,0	220/380	13,1/7,6	940	82,0	0,73	1,8	$\frac{208}{144}$	$\frac{148}{151}$	0,35	36	2	$\frac{9,6; 7,6; 3,0}{20,25; 0,75}$	1,12/1,20	2	33	66	$\frac{1-8, 2-7}{1-8, 2-7}$	—	

Продолжение табл. 1-37

Тип электро- двигателя	Статор					Ротор														
	Схема об- мотки (рис. №)	$l_m, м$	$r_1, ом$	$G_1, кэ$	$U_2, в$	$I_2, а$	$\frac{D_{a2}}{D_{t2}}$	z_2	q_2	Размеры паза $\frac{b; b'; b''}{h; e}$	$\frac{a \times b}{A \times B}$	m_2	$\omega_{к2}$	n_2	y_2	a_2	Схема* обмотки (рис. №)	$\frac{1}{2} l_{m2}, м$	$r_2, ом$	$G_2, кэ$
1	21	22	23	24	25	26	27	28	29	30	31	32	33	34	35	36	37	38	39	40
АОК2-41-4	3-41	0,580	1,33	5,65	185	14,0	$\frac{132,3}{48}$	24	2	$\frac{9,4; 4,0; 3,0}{27,3; 0,5}$	1,30/1,38	2	13	52	1—7	—	3-3, 6	0,250	0,343	3,9
АОК2-42-4		0,660	0,80	6,50	255	13,0					1,30/1,38	2	13	52		—		0,290	0,398	4,45
АОК2-41-6	3-69	0,496	1,68	5,34	133	16,0	$\frac{143}{48}$	27	$1\frac{1}{2}$	$\frac{8,6; 4,0; 3,0}{26,3; 0,5}$	1,30/1,38	2	11	44	1—5	—	3-6, 6 и 3-68	0,218	0,298	3,15
АОК2-42-6		0,572	1,0	6,10	185	17,0					1,30;1,38	2	11	44		—		0,258	0,337	3,75

Тип электро- двигателя	P ₂ , кВт	U ₁ , в	I ₁ , а	n, об/мин	η, %	cos φ	$\frac{M_{\text{макс}}}{M_{\text{ном}}}$	Статор											
								$\frac{D_{a1}}{D_{i1}}$	$\frac{l_{t1}}{l_{t2}}$	δ	z ₁	q ₁	Размеры пазов $\frac{b; b'; b''}{h; e}$	d/d'	m ₁	ω _{к1}	n ₁	y ₁	a ₁
1	2	3	4	5	6	7	8	9	10	11	12	13	14	15	16	17	18	19	20
АОК2-51-4	5,5	220/380	21,2/12,3	1 420	83,5	0,82	2,0	$\frac{135}{139}$	$\frac{243}{158}$	0,45	36	3	$\frac{10,6; 8,8; 3,2}{20,35; 0,75}$	1,35/1,43	2	13	52	1—8	—
АОК2-52-4	7,5	220/380	28,5/16,4	1 420	85,0	0,82	2,0	$\frac{170}{174}$	$\frac{170}{174}$	0,45	36	3	$\frac{10,6; 8,8; 3,2}{20,35; 0,75}$	1,25/1,33	3	10	60	1—8	—
АОК2-51-6	4,0	220/380	16,9/9,8	955	83,0	0,75	1,8	$\frac{135}{139}$	$\frac{135}{139}$				$\frac{11,6; 8,7; 3,7}{27,0; 1,0}$	1,50/1,58	1	19	38		—
АОК2-52-6	5,5	220/380	22,7/13,0	955	84,0	0,76	1,8	$\frac{190}{194}$	$\frac{243}{173}$	0,4	36	2	$\frac{11,6; 8,7; 3,7}{27,0; 1,0}$	1,25/1,33	2	13	52	1—6	—

Продолжение табл. 1-37

Тип электро- двигателя	Статор					Ротор															
	Схема об- мотки (рис. N)	$l_{m1}, м$	$r_1, ом$	$G_1, кз$	$U_2, в$	$I_2, а$	$\frac{D_{a2}}{D_{t2}}$	z_2	q_2	Размеры паза $\frac{b; b'; b''}{h; e}$		$\frac{a \times b}{A \times B}$	m_2	$\omega_{к2}$	n_2	y_2	a_2	Схема* обмотки (рис. №)	$\frac{1}{2} l_{m2}, м$	$r_2, ом$	$G_2, кз$
1	21	22	23	24	25	26	27	28	29	30		31	32	33	34	35	36	37	38	39	40
АОК2-51-4	3-3, 3-44	0,614	0,59	7,4	100	36	$\frac{157,1}{52}$	48	4	$\frac{4,6; 7,0; 4,3}{20,9; 0,6}$	$\frac{1,35 \times 3,05}{1,43 \times 3,13}$		2	3	6	1—11	—	3-3, 6 и 3-54	0,305	0,0655	6,45
АОК2-52-4		0,684	0,39	8,2	126	39													0,340	0,0732	7,2
АОА2-51-6	3-6, 3-72	0,546	1,23	5,95	76	32												3-6, 6 и 3-79	0,280	0,103	8,35
АОК2-52-6		0,656	0,73	6,85	100	34	$\frac{172,2}{52}$	45	$2\frac{1}{2}$	$\frac{5,9; 8,0; 5,6}{20,9; 0,6}$	$\frac{1,68 \times 4,40}{1,76 \times 4,48}$		1	5	5	1—7	—		0,335	0,123	10,0

Тип электро- двигателя	Р ₂ , кВт	U ₁ , в	I ₁ , а	n, об/мин	η, %	cos φ	$\frac{M_{\text{макс}}}{M_{\text{ном}}}$	Статор											
								$\frac{D_{a1}}{D_{t1}}$	$\frac{l_{t1}}{l_{t2}}$	δ	z ₁	q ₁	Размеры паза $b; b'; b''$ $h; e$	d/d'	m ₁	w _{к1}	n ₁	y ₁	a ₁
1	2	3	4	5	6	7	8	9	10	11	12	13	14	15	16	17	18	19	20
АОК2-51-8	3,0	220/380	14,4/8,3	710	80,5	0,68	1,7	$\frac{243}{173}$	$\frac{135}{139}$	0,4	36	$1\frac{1}{2}$	$\frac{9,0; 7,0; 3,7}{24,9; 1,0}$	1,35/1,43	1	23	46	1—5	—
АОК2-52-8	4,0	220/380	18,5/10,6	710	81,0	0,70	1,7	$\frac{243}{173}$	$\frac{135}{139}$					1,08/1,16	2	17	68		—

Продолжение табл. 1-37

Тип электро- двигателя	Статор					Ротор																
	Схема об- мотки (рис. №)	$l_{m1}, м$	$r_1, ом$	$G_1, кг$	$U_2, в$	$I_2, а$	$\frac{D_{a2}}{D_{t2}}$	z_2	q_2	Размеры паза $b; b'; b''$ $h; e$			$\frac{a \times b}{A \times B}$	m_2	$w_{к2}$	n_2	y_2	a_2	Схема* обмотки (рис. №)	$\frac{1}{2} l_{m2}, м$	$r_2, ом$	$G_2, кг$
1	21	22	23	24	25	23	27	28	29	30	31	32	33	34	35	36	37	38	39	40		
АОК2-51-8	3-10, 3-109	0,515	1,74	5,5	61	30	$\frac{172,2}{52}$	48	2	$\frac{5,3; 8,0; 5,0}{20,9; 0,6}$	$\frac{1,35 \times 3,80}{1,43 \times 3,88}$	2	3	6	1-6	—	3-10, 6 и 3-110	0,255	0,0436	6,75		
АОК2-52-8		0,625	1,22	6,4	85	28												0,310	0,053	8,25		

* Обмотка ротора соединяется в Δ .

Примечания: 1. Изоляция электродвигателей выполнена по классу нагревостойкости Е.

2. Обмотка статора в заводском исполнении однослойная для электродвигателей 4-го габарита и двухслойная для 5-го габарита, обмотка ротора — двухслойная, выполнена проводом марки ПЭТВ.

3. Изоляция паза статора в заводском исполнении — пленкоэлектростатор на полиэтилентерфталатной пленке толщиной 0,27 мм.

4. Изоляция паза ротора для электродвигателей 4-го габарита — пленкоэлектростатор на полиэтилентерфталатной пленке толщиной 0,27 мм; полиэтилентерфталатная пленка толщиной 0,05 мм; для электродвигателей 5-го габарита — пленкоэлектростатор на полиэтилентерфталатной пленке толщиной 0,27 мм; электростатор ЭВ толщиной 0,2 мм.

5. Междуслойная прокладка в пазах статора и ротора — пленкоэлектростатор на полиэтилентерфталатной пленке толщиной 0,27 мм.

6. Прокладка на дне паза ротора электродвигателя 5-го габарита — пленкоэлектростатор на полиэтилентерфталатной пленке толщиной 0,27 мм.

7. Прокладка под клин в пазу статора — пленкоэлектростатор на полиэтилентерфталатной пленке толщиной 0,27 мм.

8. Прокладка в лобовой части обмотки статора и ротора электро-

двигателей 4-го габарита — пленкоэлектростатор на полиэтилентерфталатной пленке толщиной 0,27 мм при бандажировании к обмотке статора хлопчатобумажным шнуром, ротора — киперной лентой толщиной 0,45 мм. Лобовые части обмотки ротора электродвигателей 5-го габарита изолированы — электронит толщиной 0,5 мм (четыре слоя), стекляная лента толщиной 0,15 мм.

9. Клин статора и ротора электродвигателей 4-го габарита — дерево твердой породы пропитанное, ротора 5-го габарита — гетинакс толщиной 2,5 мм (ГОСТ 2718-66).

10. Выводные концы катушечных групп, соединенные катушечных групп и соединенные обмотки с выводным кабелем изолированы линолеиновыми трубками марки ТЭС.

11. Выводные концы обмотки ротора изолированы одним слоем стеклолакоткани ЛСБ размером 0,2×20 мм вполнахлеста и одним слоем стекляной ленты размером 0,1×20 мм вполнахлеста.

12. Выводной кабель обмотки статора — провод марки ПРГ-500.

13. Места соединения выводного кабеля статора с наконечниками изолированы линолеиновыми трубками марки ТЭС, ротора — одним слоем стеклолакоткани ЛСБ размером 0,2×20 мм вполнахлеста и одним слоем стекляной ленты размером 0,1×20 мм вполнахлеста.

14. Паз статора выполнен в соответствии с рис. 1-8, паз ротора соответствует рис. 1-15 для электродвигателей 4-го габарита и рис. 1-4 для 5-го габарита.

Основные обмоточно-расчетные данные электродвигателей единой серии АОК2 6-го и 7-го габаритов

Тип электр.о- двигателя	Р _э , квт	U _н , в	I _н , а	n, об./мин	η, %	cos φ	M _{макс} M _{ном}	Статор											
								$\frac{D_{a1}}{D_{i1}}$	$\frac{l_{t1}}{l_{t2}}$	δ	z ₁	q ₁	Размеры паза $\frac{b; b'; b''}{h; e}$	d/d'	m ₁	ω _{к1}	n ₁	y ₁	a ₁
1	2	3	4	5	6	7	8	9	10	11	12	13	14	15	16	17	18	19	20
АОК2-61-4	10	220/380	37,6/21,6	1 420	85,0	0,82	2	$\frac{291}{180}$	$\frac{135}{138}$	0,55	36	3	$\frac{11,6; 8,7; 3,7}{27,0; 1,0}$	1,25/1,33	2	19	76	1—8	2
АОК2-62-4	13	220/380	48,4/28,0	1 420	86,0	0,82	2	$\frac{165}{168}$	$\frac{165}{168}$					1,45/1,53	2	15	60		2
АОК2-61-6	7,5	220/380	28,6/16,5	960	84,0	0,82	1,8	$\frac{291}{206}$	$\frac{150}{153}$	0,4	54	3	$\frac{9,0; 7,0; 3,7}{24,9; 1,0}$	1,50/1,58	1	18	36	1—8	2
АОК2-62-6	10	220/380	37,2/21,4	960	85,0	0,83	1,8	$\frac{190}{193}$	$\frac{190}{193}$					1,20/1,28	2	14	56		2
АОК2-61-8	5,5	220/380	24,4/14,1	710	82,0	0,72	1,7	$\frac{291}{206}$	$\frac{150}{153}$	0,4	54	$1\frac{1}{2}$	$\frac{9,0; 7,0; 3,7}{24,9; 1,0}$	1,40/1,48	1	21	42	1—7	2
АОК2-62-8	7,5	220/380	32,8/19,0	710	83,0	0,72	1,7	$\frac{190}{193}$	$\frac{190}{193}$					1,62/1,70	1	16	32		2

Продолжение табл. 1-38

Тип электро- двигателя	Статор					Ротор фазный															
	Схема обмотки (рис. №.)	l _м , м	r ₁ , ОМ	G ₁ , кЗ	U ₂ , В	I ₂ , А	$\frac{D_{a2}}{D_{i2}}$	z ₂	q ₂	Размеры паза $\frac{b; b'; b''}{h; e}$	$\frac{a \times b}{A \times B}$	m ₂	$\omega_{к2}$	n ₂	y ₂	a ₂	Схема* обмотки (рис. №.)	$\frac{1}{2} \frac{l_{m2}}{m}$	r ₂ , ОМ	G ₂ , кЗ	
																					21
1																					
АОК2-61-4	3-4, 3-45	0,648	0,27	9,82	160	40	$\frac{178,9}{60}$	48	4	$\frac{3,9; 6,9; 3,9}{28,3; 0,8}$	$\frac{2,1 \times 3,8}{2,43 \times 4,13}$	1	3	6	1-11	—	3-3,6 и 3-54	0,341	0,078	75	
АОК2-62-4		0,708	0,172	11,6	198	46					$\frac{2,1 \times 3,8}{2,43 \times 4,13}$	1	3	6		—		0,371	0,085		
АОК2-61-6	3-7, 3-84	0,601	0,495	10,0	140	35	$\frac{205,2}{60}$	36	2	$\frac{7,3; 10,3; 7,3}{27,2; 0,8}$	$\frac{2,1 \times 4,7}{2,43 \times 5,03}$	1	5	10	1-6	—	3-6,6 и 3-72	0,338	0,076	75	
АОК2-62-6		0,681	0,34	11,1	100	36					$\frac{2,1 \times 4,7}{2,43 \times 5,03}$	1	5	10		—		0,378	0,085		
АОК2-61-8	3-11, 3-118	0,577	0,645	9,6	115	32	$\frac{205,2}{60}$	36	1 $\frac{1}{2}$	$\frac{7,3; 10,3; 7,3}{27,2; 0,8}$	$\frac{2,1 \times 4,7}{2,43 \times 5,03}$	1	5	10	1-5	—	3-10,6 и 3-109	0,311	0,071	75	
АОК2-62-8		0,657	0,398	11,0	150	37,5					$\frac{2,1 \times 4,7}{2,43 \times 5,03}$	1	5	10		—		0,356	0,080		

Тип электро- двигателя	P ₂ , квт	U ₁ , в	I ₁ , а	n, об/мин	η, %	cos φ	M _{макс} M _{ном}	Статор											a ₁
								D _{a1} D _{i1}	l _{t1} l _{t2}	δ	z ₁	q ₁	Размеры паза b; b'; b'' h; e	d/d'	m ₁	w _{к1}	n ₁	y ₁	
1	2	3	4	5	6	7	8	9	10	11	12	13	14	15	16	17	18	19	20
AOK2-71-4	17	220/380	61,1/35,1	1 430	88,0	0,83	2	$\frac{343}{214}$	$\frac{165}{168}$	0,7	36	3	$\frac{12,5; 9,2; 3,7}{29,3; 1,0}$	1,30/1,38	3	14	84	1—8	2
AOK2-72-4	22	220/380	78,5/45,2	1 430	88,5	0,83	2	$\frac{205}{208}$						1,50/1,58	3	11	66		2
AOK2-71-6	13	220/380	47,2/27,2	960	87,0	0,83	1,8	$\frac{343}{245}$	$\frac{165}{168}$	0,5	54	3	$\frac{9,8; 7,7; 3,7}{26,7; 1,0}$	1,35/1,43	2	14	56		2
AOK2-72-6	17	220/380	60,2/34,7	960	88,0	0,84	1,8	$\frac{205}{208}$						1,50/1,58	2	11	44	1—8	2
AOK2-71-8	10	220/380	43,0/24,8	715	84,5	0,72	1,7	$\frac{343}{245}$	$\frac{165}{168}$	0,5	54	$1\frac{1}{2\frac{1}{4}}$	$\frac{9,8; 7,7; 3,7}{26,7; 1,0}$	1,25/1,33	2	16	64	1—7	2
AOK2-72-8	13	220/380	55,4/32,0	715	85,5	0,72	1,7	$\frac{245}{248}$						1,40/1,48	2	13	52		2

Тип электро- двигателя	Статор					Ротор фазный											G ₂ , кг			
	Схема обмотки (рис. №)	l _m , м	r ₁ , ом	G ₁ , кг	U ₂ , в	I ₂ , а	$\frac{D_{a2}}{D_{t2}}$	z ₂	q ₂	Размеры паза $\frac{b; b'; b''}{h; e}$	$\frac{a \times b}{A \times B}$	m ₂	$\omega_{к2}$	n ₂	y ₂	a ₂		Схема* обмотки (рис. №)	$\frac{1}{2} l_{m2}$, м	r ₂ , ом
1	21	22	23	24	25	26	27	28	29	30	31	32	33	34	35	36	37	38	39	40
АОК2-71-4	3-4, 3-45	0,820	0,154	14,7	215	49,3	$\frac{212,6}{70}$	24	2	$\frac{9,0; 12,0; 9,0}{25,3; 0,8}$	$\frac{1,81 \times 3,28}{2,08 \times 3,55}$	2	6	12	1-6	—	3-3,6 и 3-40	0,405	0,0607	85
АОК2-72-4		0,900	0,100	15,8	275	50,1					$\frac{1,81 \times 3,28}{2,08 \times 3,55}$	2	6	12		—		0,445	0,0666	85

Тип электро- двигателя	Статор					Ротор фазный														
	Схема обмотки (рис. №)	l_m , м	r_1 , ом	G_1 , кз	U_2 , в	I_2 , а	$\frac{D_{a2}}{D_{i2}}$	z_2	q_2	Размеры паза $\frac{b; b'; b''}{h; e}$	$\frac{a \times b}{A \times B}$	m_2	$\omega_{к2}$	n_2	y_2	a_2	Схема* обмотки (рис. №)	$\frac{1}{2} l_{m2}$, м	r_2 , ом	G_2 , кз
1	21	22	23	24	25	26	27	28	29	30	31	32	33	34	35	36	37	38	39	40
АОК2-71-6	3-7, 3-84	0,710	0,300	13,6	195	42,6	$\frac{244}{70}$	36	2	$\frac{8,5; 11,5; 8,5}{33,6; 0,8}$	$\frac{2,44 \times 6,4}{2,77 \times 6,73}$	1	5	10	1-6	—	3-6,6 и 3-72	0,383	0,0543	85
АОК2-72-6		0,790	0,198	14,7	230	44,6					$\frac{2,44 \times 6,4}{2,77 \times 6,73}$	1	5	10	—	—		0,423	0,060	85
АОК2-71-8	3-11, 3-118	0,670	0,350	12,7	150	47,8	$\frac{244}{70}$	36	$1\frac{1}{2}$	$\frac{8,5; 11,5; 8,5}{33,6; 0,8}$	$\frac{2,44 \times 6,4}{2,77 \times 6,73}$	1	5	10	—	—	3-10,6 и 3-109	0,364	0,0517	85
АОК2-72-8		0,750	0,255	14,4	185	50,0					$\frac{2,44 \times 6,4}{2,77 \times 6,73}$	1	5	10	1-5	—		0,404	0,0572	85

* Обмотка ротора соединяется в Δ .

Примечания: 1. Изоляция электродвигателей выполнена по классу нагревостойкости F.

2. Обмотка статора и ротора в заводском исполнении двухслойная, выполнены: обмотка статора проводом марки ПЭТВ, ротора — проводом марки ПСД.

3. Изоляция паза статора в заводском исполнении — электронит толщиной 0,2 мм; гибкий миканит ГФС толщиной 0,2 мм; стеклолакоткань ЛСП толщиной 0,15 мм.

4. Изоляция паза ротора — электронит толщиной 0,2 мм; стекломиканит Г1ФГ1 толщиной 0,22 мм; стеклолакоткань ЛСК толщиной 0,15 мм.

5. Междуслойная прокладка в пазу статора: электронит толщиной 0,2 мм, гибкий миканит ГФС толщиной 0,2 мм, стеклолакоткань ЛСП толщиной 0,15 мм, склеенные вместе лаком ПЭ-933; ротора — электронит толщиной 0,4 мм.

6. Прокладка на дне паза ротора — электронит толщиной 0,2 мм.

7. Прокладка под клин в пазу статора — стеклотекстолит СТ толщиной 0,5 мм.

8. Междупазовая изоляция в лобовой части обмотки статора: электронит толщиной 0,2 мм, гибкий миканит ГФС толщиной 0,2 мм, стеклолакоткань ЛСП толщиной 0,15 мм, склеенные вместе лаком ПЭ-933, прибандажирована стеклочулком марки АСЭЧ(б).

9. Прокладка изолирующая в лобовой части обмотки ротора: электронит толщиной 0,3 мм, — три слоя; стекломиканит Г1ФГ1 толщиной 0,22 мм; стеклянная лента толщиной 0,2 мм. Головки лобовой части каждой первой катушки группы изолированы стеклолакотканью ЛСП толщиной 0,15 мм вполнахлеста и одним слоем стеклальной ленты толщиной 0,1 мм вполнахлеста.

10. Обмоткодержатель ротора изолирован двумя слоями электронита толщиной по 0,3 мм, двумя слоями стекломиканита Г1ФГ1 толщиной по 0,22 мм, закрепленными стеклальной лентой размером 0,15×20 мм.

11. Клин статора — прессматериал АГ-4 марки С или стеклотекстолит марки СТ; ротора — стеклотекстолит марки СТ толщиной 3 мм.

12. Выводные концы катушечных групп, соединенные катушечных групп и соединение обмотки статора с выводным кабелем изолированы стеклолакотрубками марки ТКС.

13. Выводные концы обмотки ротора изолированы двумя слоями стеклолакоткани ЛСП размером 0,2×20 мм вполнахлеста и одним слоем стеклальной ленты размером 0,2×20 мм вполнахлеста.

14. Выводной кабель обмотки статора — провод марки РКГМ.

15. Места соединения выводного кабеля с наконечниками изолированы одним слоем стеклолакоткани ЛСП размером 0,15×20 мм вполнахлеста и одним слоем стеклальной ленты размером 0,15×20 мм вполнахлеста.

16. Паз статора выполнен в соответствии с рис. 1-8, паз ротора соответствует рис. 1-4.

Основные обмоточно-расчётные данные электродвигателей единой серии типа АК2 8-го габарита

Тип электро- двигателя	P ₂ , кВт	U ₁ , в	I ₁ , а	n, об/мин	η, %	cos φ	M _{макс} M _{ном}	Статор											Схема обмот- ки (рис. №)			
								D _{a1} D _{i1}	l _{t1} и l _{t2}	δ	B _δ , эс	z ₁	q ₁	Размеры паза b; b', b'' h; e	Q _{s1} , мм ²	d/d'	m ₁	w _{к1}		n ₁	y ₁	a ₁
1	2	3	4	5	6	7	8	9	10	11	12	13	14	15	16	17	18	19	20	21	22	23
AK2-81-4	40	220/380 500	134/77,5 59,0	1 440	90,0	0,87	2,0	393 247	196	0,9	6 700 6 700	48	4	12,15; 8,3; 3,7 34,7; 1,0	331	1,56/1,64 1,4/1,48	2 2	16 21	64 84	1—8, 1—10, 1—12, 1—14	4 4	3-58
AK2-82-4	55	220/380 500	188/108,5 82,5	1 440	91,5	0,84	2,0	393 247	266	0,9	7 150 6 900	48	4	12,15; 8,3; 3,7 34,7; 1,0	331	1,56/1,64 1,35/1,43	3 3	11 15	66 90	4 4	3-58	
AK2-81-6	30	220/380 500	103/59,5 45	970	91,0	0,84	1,8	393 285	196	0,6	6 970 7 050	72	4	9,2; 7,0; 3,7 31,9; 1,0	240	1,35/1,43 1,45/1,53	3 2	10 13	60 52	1—8, 1—10, 1—12, 1—14	3 3	3-105
AK2-82-6	40	220/380 500	136/78,5 59,5	975	91,0	0,85	1,8	393 285	266	0,6	6 850 6 740	72	4	9,2; 7,0; 3,7 31,9; 1,0	240	1,35/1,43 1,35/1,43	2 3	15 10	60 60	6 3	3-106 3-105	

Продолжение табл. 1-39

Тип электро- двигателя	Статор					Ротор																	
	$j_1, \frac{a}{мм^2}$	$AS_1, \frac{a}{см}$	$l_{m1}, \frac{м}{м}$	$r_1, \frac{ом}{ом}$	$G_1, \frac{кг}{кг}$	$U_2, \frac{в}{в}$	$I_2, \frac{а}{а}$	$\frac{D_{a2}}{D_{i2}}$	z_2	q_2	Размеры паза $b; b'; \frac{h; e}{h; e}$	$a \times b$	m_2	$w_{к2}$	n_2	y_2	a_2	Схем.т. обмот- ки (рис. N.)	$j_2, \frac{а}{мм^2}$	$AS_2, \frac{а}{см}$	$\frac{1}{2} l_{m2}, \frac{м}{м}$	$r_2, \frac{ом}{ом}$	$G_2, \frac{кг}{кг}$
	21	25	23	27	28	29	30	31	32	33	34	35	36	37	38	39	40	41	42	43	44	45	46
AK2-81-4	5,06 4,8	384 383	0,970 0,970	0,0712 0,1161	25,7 27,2	110	225	$\frac{245,2}{85}$	60	5	$\frac{4,6; 1,5}{39,4; 0,6}$	$2,63 \times 15,6$	1	1	2	1—16	—	3-65	5,56	351	0,489	0,0085	21,1
AK2-82-4	4,74 4,8	370 384	1,110 1,110	0,0383 0,0681	30,6 31,0	160	200	$\frac{245,2}{85}$	60	5	$\frac{4,6; 1,5}{39,4; 0,6}$	$2,63 \times 15,6$	1	1	2	1—16	—	3-65	4,94	312	0,5075	0,0088	24,1
AK2-81-6	4,61 4,54	319 314	0,830 0,830	0,0903 0,1530	23,4 21,2	125	150	$\frac{283,8}{85}$	81	$1 \frac{1}{4}$	$\frac{4,6; 1,5}{39,4; 0,6}$	$2,63 \times 15,6$	1	1	2	$1 \frac{1}{4}$, 1—15	—	3-107	3,7	273	0,459	0,0108	26,8
AK2-82-6	4,57 4,61	317 319	0,970 0,970	0,0594 0,1055	27,0 27,0	165	155	$\frac{283,8}{85}$	81	$1 \frac{1}{4}$	$\frac{4,6; 1,5}{39,4; 0,6}$	$2,63 \times 15,6$	1	1	2	$1 \frac{1}{4}$, 1—15	—	3-107	3,83	282	0,529	0,0123	30,9

Тип электро- двигателя	Р _з , квт	U ₁ , в	I ₁ , а	n, об/мин	η, %	cos φ _а	M _{макс} M _{ном}	Статор														Схема обмот- ки (рис. №)
								D _{а1} D _{и1}	l _{t1} и l _{t2}	δ	B _δ , эс	z ₁	q ₁	Размеры паза b; b', b'' h; e	Q _{с1} , мм ²	d/d'	m ₁	w _{ж1}	n ₁	y ₁	a ₁	
1	2	3	4	5	6	7	8	9	10	11	12	13	14	15	16	17	18	19	20	21	22	23
AK2-81-8	22	220/380 500	82,5/47,5 36	725	87,5	0,8	1,7	393	196	0,6	6 900 6 790	72	3	9,2; 7,0; 3,7 31,9; 1,0	240	1,40/1,48 1,50/1,58	3	9	54 48	1—6, 1—8, 1—10	2 2	3-134 3-134
								240	1,40/1,48	3	9	54	2	3-134								
AK2-82-8	30	220/380 500	113,5/65,5 50	730	88,6	0,79	1,7	393	266	0,6	7 040 6 675	72	3	9,2; 7,0; 3,7 31,9; 1,0	240	1,45/1,53 1,40/1,48	2	13 9	52 54	4 2	3-135 3-134	
								240	1,40/1,48	3	9	54	2	3-134								

Продолжение табл. 1-39

Тип электро- двигателя	Статор						Ротор																	
	$j_1, \frac{a}{mm^2}$	$AS_1, \frac{a}{cm}$	l_{m1}, m	r_1, Ω	$G_1, кг$	$U_2, в$	I_2, a	$\frac{D_{a2}}{D_{i2}}$	z_2	q_2	Размеры паза $b; b''$ $h; e$	$a \times b$	m_2	$w_{ж2}$	n_2	y_2	a_2	Схема обмот-ки (рис. №)	$j_2, \frac{a}{mm^2}$	$AS_2, \frac{a}{cm}$	$\frac{1}{2} l_{m2}, m$	r_2, Ω	$G_2, кг$	
	24	25	26	27	28		29	30	31	32														33
1																								
AK2-81-8	5,16	345	0,750	0,154	20,3	95	150	$\frac{283,8}{85}$	84	$3\frac{1}{2}$	4,6; 1,5 $\frac{39,4}{0,6}$	2,63×15,6	1	1	2	$\begin{matrix} 1-11, \\ 1-12 \end{matrix}$	—	3-137	3,7	283	0,441	0,0107	26,7	
	5,1	348	0,750	0,268	20,6																			
AK2-82-8	4,95	343	0,890	0,092	25,0	130	150	$\frac{283,8}{85}$	84	$3\frac{1}{2}$	4,6; 1,5 $\frac{39,4}{0,6}$	2,63×15,6	1	1	2	$\begin{matrix} 1-11, \\ 1-12 \end{matrix}$	—	3-137	3,7	283	0,511	0,0124	30,9	
	5,43	363	0,890	0,183	24,0																			

Пр и м е ч а н и я: 1. Изоляция электродвигателей выполнена по классу нагревостойкости Г.

2. Обмотка статора в заводском исполнении двухслойная катушечная центрическая; ротора — двухслойная стержневая; выполнены: обмотка статора — проводом марки ПЭТВ, ротора — проводом марки МГМ.

3. Изоляция паза статора в заводском исполнении — стеклоткань ЛСП толщиной 0,15 мм; гибкий миканит ГФС толщиной 0,2 мм или гибкий стеклослюдинит толщиной 0,2 мм; электронит листовой толщиной 0,2 мм.

4. Изоляция паза ротора — электронит листовой толщиной 0,2 мм.

5. Изоляция стержня ротора — слюдинитофоль СССП толщиной 0,12 мм.

6. Междуслойная прокладка в пазу статора — лакостеклослюдопласт СЛСП-ЛСБ толщиной 0,45 мм. Прокладка выпущена до конца прямой части катушки и прибандажирована к ней.

7. Междуслойная прокладка в пазу ротора — стеклотекстолит толщиной 0,5 мм.

8. Прокладка на дне паза статора и ротора — электронит толщиной 0,5 мм.

9. Лобовые части катушечных групп статора изолированы друг от друга прокладкой из лакостеклослюдопласта СЛСП-ЛСБ толщиной 0,45 мм и забандажированы стеклянкой лентой размером 0,2×20 мм, связывающей первую и последнюю катушки каждой катушечной группы.

10. Лобовые части стержней ротора изолированы одним слоем слюдиновой или стеклослюдопластовой ленты размером 0,13×15 мм вполнахлеста и одним слоем стеклянкой ленты размером 0,1×20 мм вполнахлеста.

11. Обмоткодержатель ротора изолирован двумя слоями электролита толщиной по 1 мм и двумя слоями стеклослюдинита толщиной по 0,2 мм и закреплен стеклянкой лентой размером 0,15×20 мм — три слоя по ободу и один слой вразбежку.

12. Клин статора — стеклотекстолит СТЭФ или прессматериал АГ-4 марки С, ротора — стеклотекстолит марки СТ или текстолит марки Б.

13. Выводные концы катушечных групп, соединенные катушечных групп и соединенные обмотки статора с выводным кабелем изолированы двумя слоями стеклослюдопласта ЛСП размером 0,17×25 мм вполнахлеста и одним слоем стеклянкой ленты размером 0,2×20 мм вполнахлеста.

14. Выводные концы обмотки ротора изолированы одним слоем стеклослюдопласта ЛСБ размером 0,2×20 мм вполнахлеста и одним слоем стеклянкой ленты размером 0,1×20 мм вполнахлеста.

15. Выводной кабель обмотки статора — провод марки РКГМ.

16. Места соединения выводного кабеля с наконечниками изолированы одним слоем стеклослюдопласта ЛСП размером 0,15×20 мм вполнахлеста и одним слоем стеклянкой ленты размером 0,15×20 мм вполнахлеста.

17. Паз статора выполнен в соответствии с рис. 1-18, паз ротора соответствует рис. 1-23.

Тип электро- двигателя	Р ₂ , квт	U ₁ , в	I ₁ , а	n, об/мин	η, %	cos φ	M _{макс} M _{ном}	Статор														
								D _{a1} D _{i1}	$\frac{l_{t1}}{l_{t2}}$	δ	B _δ , зс	z ₁	q ₁	Размеры паза $b; b'; b''$ h; e	Q _{s1} , мм ²	d/d'	m ₁	w _{к1}	n ₁	y ₁	a ₁	Схема обмотки (рис. №)
1	2	3	4	5	6	7	8	9	10	11	12	13	14	15	16	17	18	19	20	21	22	23
AK2-91-8	40	220/380 500	148/85,5 65	720	87,5	0,81	1,7	$\frac{458}{334}$	176	0,7	$\frac{7850}{7750}$	72	3	$\frac{10,4; 7,7; 3,7}{33,0; 1,0}$	278	$\frac{1,5/1,58}{1,25/1,33}$	2	15	60	$\frac{1-6,}{1-8,}$	4	3-135
AK2-92-8	55	220/380 500	198/114 87	725	90,0	0,81	1,7	$\frac{458}{334}$	271	0,7	$\frac{7650}{7180}$	72	3	$\frac{10,4; 7,7; 3,7}{33,0; 1,0}$	278	$\frac{1,45/1,53}{1,5/1,58}$	3	10	60	$\frac{1-10,}{1-10,}$	4	3-135

Продолжение табл. 1-40

Тип электро- двигателя	Статор										Ротор												
	i_1 , $a/мм^2$	AS_1 , $a/см$	l_{m1} , $м$	r_1 , $ом$	G_1 , $кг$	U_2 , $в$	I_2 , $а$	$\frac{D_{a2}}{D_{i1}}$	z_2	q_2	Размеры паза b' ; b'' $\frac{h}{e}$	$a \times b$	m_2	$\omega_{к2}$	n_2	y_2	a_2	Схема обмотки (рис. №)	i_2 , $a/мм^2$	AS_2 , $a/см$	$\frac{1}{2} l_{m2}$, $м$	r_2 , $ом$	G_2 , $кг$
	24	25	24	27	28	29	30	31	32	33	34	35	36	37	38	39	40	41	42	43	44	45	46
AK2-91-8	6,05	440	0,756	0,0847	26,6	120	225	$\frac{332,6}{100}$	84	$1 \frac{1}{3-2}$	$\frac{4,6; 1,5}{39,8; 0,6}$	$2,63 \times 15,6$	1	1	2	$1-11,$ $1-12,$	—	3-137	5,56	362	0,4575	0,0111	27,7
	6,62	446	0,756	0,163	24,8																		
AK2-92-9	5,75	391	0,946	0,0502	31,4	160	200	$\frac{332,6}{100}$	84	$1 \frac{1}{3-2}$	$\frac{4,6; 1,5}{39,8; 0,6}$	$2,63 \times 15,6$	1	1	2	$1-11,$ $1-12,$	—	3-137	4,94	322	0,5525	0,0134	33,4
	6,15	418	0,946	0,0935	30,4																		

Примечания: 1. Изоляция электродвигателей выполнена по классу нагревостойкости F.

2. Обмотка статора в заводском исполнении двухслойная катушечная центрическая; ротора — двухслойная стержневая; выполнены: обмотка статора — проводом марки ПЭТВ, ротора — проводом марки МГМ.

3. Изоляция паза статора в заводском исполнении — стеклоткань ЛСП толщиной 0,15 мм; гибкий миканит ГФС толщиной 0,2 мм или гибкий стеклослюдит толщиной 0,2 мм; электронит листовой толщиной 0,2 мм.

4. Изоляция паза ротора — электронит листовой толщиной 0,2 мм.

5. Изоляция стержня ротора — слюдитофолл СССП толщиной 0,12 мм.

6. Междуслойная прокладка в пазу статора — лакостеклослюдит СпТС₁-ЛСБ толщиной 0,45 мм. Прокладка выпущена до конца прямой части катушки и прибандажирована к ней.

7. Междуслойная прокладка в пазу ротора — стеклотекстолит СТ толщиной 0,5 мм.

8. Прокладка на дне паза статора и ротора — электронит толщиной 0,5 мм.

9. Лобовые части катушечных групп статора изолированы друг от друга прокладкой из лакостеклослюдита СпТС₁-ЛСБ толщиной 0,45 мм и забандажированы стеклянкой лентой 0,2×20 мм, связывающей первую и последнюю катушки каждой катушечной группы.

10. Лобовые части стержней ротора изолированы одним слоем слюдитовой ленты размером 0,13×15 мм или миканит ЛФЧП толщиной 0,13 мм и одним слоем стеклянкой ленты размером 0,1×20 мм вполнахлеста.

11. Обмоткодержатель ротора изолирован двумя слоями электролита толщиной по 1 мм и двумя слоями стеклослюдита толщиной по 0,2 мм и закреплен стеклянкой лентой размером 0,15×20 мм — три слоя по ободу и один слой вразбежку.

12. Клин статора — стеклотекстолит СТЭФ или прессматериал АГ-4 марки С, ротора — стеклотекстолит марки СТ или текстолит марки Б.

13. Выводные концы катушечных групп, соединенные катушечных групп и соединенные обмотки статора с выводным кабелем изолированы двумя слоями стеклотекстолита ЛСП размером 0,17×25 мм вполнахлеста и одним слоем стеклянкой ленты размером 0,2×20 мм вполнахлеста.

14. Выводные концы обмотки ротора изолированы одним слоем стеклотекстолита ЛСБ размером 0,2×20 мм вполнахлеста и одним слоем стеклянкой ленты размером 0,1×20 мм вполнахлеста.

15. Выводной кабель обмотки статора — провод марки РКГМ.

16. Места соединения выводного кабеля с наконечниками изолированы одним слоем стеклотекстолита ЛСП размером 0,15×20 мм вполнахлеста и одним слоем стеклянкой ленты размером 0,15×20 мм вполнахлеста.

17. Паз статора выполнен в соответствии с рис. 1-18, паз ротора соответствует рис. 1-23.

Основные обмоточно-расчетные данные электродвигателей единой серии

Тип электродвигателя		P_2 кВт	U_1 в	I_1 а	n об/мин	η , %	$\cos \varphi$	$\frac{I_{\text{пуск}}}{I_{\text{ном}}}$	$\frac{M_{\text{пуск}}}{M_{\text{ном}}}$	$\frac{M_{\text{макс}}}{M_{\text{ном}}}$	Ст					
											$\frac{D_{a1}}{D_{i1}}$	$\frac{l_{t1}}{l_{t2}}$	δ_1	$B_{\delta'}$ зс	z_1	q_1
АО2-31-4/2	$2p=4$	1,8	220	7,8	1 450	77,5	0,78	7,0	1,3	2,0	$\frac{180}{112}$	$\frac{88}{91}$	0,3	6 850	36	3
			380	4,5										6 900		
			500	3,4										6 840		
	$2p=2$	2,3	220	9,1	2 850	75,0	0,88	7,0	1,1	2,0	$\frac{180}{112}$	$\frac{88}{91}$	0,3	5 240	36	6
380	5,3	5 270														
500	4,0	5 230														
АО2-32-4/2	$2p=4$	2,3	220	9,3	1 450	81,0	0,8	7,0	1,3	2,0	$\frac{180}{112}$	$\frac{115}{118}$	0,3	6 550	36	3
			380	5,4										6 470		
			500	4,1										6 470		
	$2p=2$	2,9	220	10,7	2 850	79,0	0,9	7,0	1,1	2,0	$\frac{180}{112}$	$\frac{115}{118}$	0,3	5 000	36	6
380	6,2	4 960														
500	4,7	4 800														

Примечания: 1. Изоляция электродвигателей выполнена по классу нагревостойкости Е.

2. Обмотка статора в заводском исполнении двухслойная, выполнена проводом марки ПЭТВ.

3. Изоляция паза статора в заводском исполнении — пленкоэлектрокартон на полиэтилентерефталатной пленке толщиной 0,27 мм; полиэтилентерефталатная пленка толщиной 0,05 мм.

4. Междуслойная прокладка в пазу — пленкоэлектрокартон на полиэтилентерефталатной пленке толщиной 0,27 мм.

5. Прокладка в лобовой части — пленкоэлектрокартон на полиэтилентерефталатной пленке толщиной 0,27 мм.

Основные обмоточно-расчетные данные электродвигателей единой серии

Тип электро-двигателя			$P_2,$ <i>квт</i>	$U_1,$ <i>в</i>	$I_1,$ <i>а</i>	$n,$ <i>об/мин</i>	$\eta,$ <i>%</i>	$\cos \varphi$	$\frac{I_{пуск}}{I_{ном}}$	$\frac{M_{пуск}}{M_{ном}}$	$\frac{M_{макс}}{M_{ном}}$	Ста						
												$\frac{D_{a1}}{D_{i1}}$	$\frac{l_{t1}}{l_{t2}}$	δ	$B_{\delta},$ <i>зс</i>	z_1	q_1	
АО2-31-6/4	Постоян-ный момент вращения	$2p=6$	0,75	220	4,1	950	69,5	0,69	7,0	1,3	2,0	$\frac{180}{112}$	$\frac{88}{91}$	0,3	7 100	36	2	
				380	2,4										7 150			
				500	1,8										7 150			
		$2p=4$	1,1	220	4,7	1 450	76,5	0,81	7,0	1,3	2,0				6 500			3
				380	2,7										6 500			
				500	2,0										6 580			
АО2-32-6/4	Постоян-ный момент вращения	$2p=6$	1,1	220	5,6	950	73,0	0,71	7,0	1,3	2,0	$\frac{180}{112}$	$\frac{115}{118}$	0,3	7 050	36	2	
				380	3,2										7 050			
				500	2,8										7 080			
		$2p=4$	1,6	220	6,6	1 450	78,0	0,82	7,0	1,3	2,0				6 200			3
				380	3,8										6 300			
				500	2,9										6 280			

Примечания: 1. Изоляция электродвигателей выполнена по классу нагревостойкости Е.

2. Обмотка статора в заводском исполнении однослойная, выполнена проводом марки ПЭТВ.

3. Изоляция паза статора в заводском исполнении — пленкоэлектрокартон на полиэтилентерефталатной пленке толщиной 0,27 мм; полиэтилентерефталатная пленка толщиной 0,05 мм.

4. Прокладка между обмотками — пленкоэлектрокартон на полиэтилентерефталатной пленке толщиной 0,27 мм.

5. Прокладка в лобовой части — пленкоэлектрокартон на полиэтилентерефталатной пленке толщиной 0,27 мм.

типа АО2 3-го габарита двухскоростных на 4/2 полюса

тор														Ротор
Размеры паза $b; b'; b''$ $h; e$	$Q_{s1'}$ $мм^2$	d/d'	m_1	$\omega_{к1}$	n_1	y_1	a_1	Схема обмотки (рис. №)	$j_1,$ $a/мм^2$	$AS_1,$ $a/см$	$l_{m1'}$ $м$	$r_1,$ $ом$	$G_1,$ $кг$	z_2
$\frac{7,6; 5,5; 3,0}{19,4; 0,5}$	115,5	0,96/1,025	1	25	50	1—11	—	3-156	6,21	230	0,49	3,56	2,91	26
		0,74/0,8	1	43	86				6,05	228		10,3	2,99	
		0,64/0,695	1	57	114				6,09	229		18,3	2,96	
		0,96/1,025	1	25	50				6,29	232		0,39	2,91	
		0,74/0,8	1	43	86				6,16	233		2,58	2,99	
		0,64/0,695	1	57	114				6,21	233		4,57	2,96	
$\frac{7,6; 5,5; 3,0}{19,4; 0,5}$	115,5	1,08/1,16	1	20	40	1—11	—	3-156	5,86	220	0,544	2,5	3,28	26
		0,83/0,895	1	35	70				5,77	224		7,41	3,39	
		0,72/0,78	1	46	92				5,8	222		12,9	3,36	
		1,08/1,16	1	20	40				5,83	219		0,625	3,28	
		0,83/0,895	1	35	70				5,74	222		1,85	3,39	
		0,72/0,78	1	46	92				5,78	221		3,23	3,36	

6. Прокладка под клин — пленкоэлектрокартон на полиэтилентерефталатной пленке толщиной 0,27 мм.
7. Клин — дерево твердой породы пропитанное.
8. Выводные концы катушечных групп, соединение катушечных групп и соединение обмотки с выводным кабелем изолированы линоксиновыми трубками марки ТЭС.
9. Стержни и кольца короткозамкнутой обмотки ротора выполнены из алюминия марки А6.
10. Паз статора выполнен в соответствии с рис. 1-8, паз ротора соответствует рис. 1-9.

Таблица 1-42

типа АО2 3-го габарита двухскоростных на 6/4 полюса

тор														Ротор
Размеры паза $b; b'; b''$ $h; e$	$Q_{s1'}$ $мм^2$	d/d_1	m_1	$\omega_{к1}$	n_1	y_1	a_1	Схема обмотки (рис. №)	$j_1,$ $a/мм^2$	$AS_1,$ $a/см$	$l_{m1'}$ $м$	$r_1,$ $ом$	$G_1,$ $кг$	z_2
$\frac{7,6; 5,5; 3,0}{19,4; 0,5}$	115,5	0,77/0,83	1	39	39	1—8, 2—7	—	3-70	8,8	164	0,410	3,61	1,23	26
		0,59/0,645	1	67	67				8,79	164		10,57	1,24	
		0,51/0,565	1	88	88				8,82	162		18,8	1,23	
		0,9/0,965	1	30	30	1—12, 2—11, 3—10	—	3-42	7,4	144	0,466	2,31	1,47	
		0,69/0,75	1	52	52				7,22	144		6,82	1,5	
		0,59/0,645	1	68	68				7,32	139		12,2	1,43	
$\frac{7,6; 5,5; 3,0}{19,4; 0,5}$	115,5	0,9/0,965	1	30	30	1—8, 2—7	—	3-70	8,8	172	0,464	2,3	1,45	26
		0,69/0,75	1	52	52				8,55	170		6,7	1,49	
		0,59/0,645	1	68	68				10,02	195		12,15	1,43	
		1,0/1,08	1	24	24	1—12, 2—11, 3—10	—	3-42	8,4	162	0,520	1,67	1,63	
		0,77/0,83	1	41	41				8,15	159		4,82	1,64	
		0,67/0,73	1	54	54				8,2	160		8,38	1,63	

6. Прокладка под клин — пленкоэлектрокартон на полиэтилентерефталатной пленке толщиной 0,27 мм.
7. Клин — дерево твердой породы пропитанное.
8. Выводные концы катушечных групп, соединение катушечных групп и соединение обмотки с выводным кабелем изолированы линоксиновыми трубками марки ТЭС.
9. Стержни и кольца короткозамкнутой обмотки ротора выполнены из алюминия марки А6.
10. Паз статора выполнен в соответствии с рис. 1-8, паз ротора соответствует рис. 1-9.

Основные обмоточно-расчетные данные электродвигателей единой

Тип электродвигателя			$P_2,$ квт	$U_1, \text{ в}$	$I_1, \text{ а}$	$n,$ об/мин	$\eta, \%$	$\cos \varphi$	$\frac{I_{\text{пуск}}}{I_{\text{ном}}}$	$\frac{M_{\text{пуск}}}{M_{\text{ном}}}$	$\frac{M_{\text{макс}}}{M_{\text{ном}}}$	Стр					
												$\frac{D_{a1}}{D_{i1}}$	$\frac{l_{t1}}{l_{t2}}$	δ	$B_{\delta},$ гс	z_1	q_1
АО2-31-6/4	Постоянная мощность	$2p=6$	0,9	220	4,6	950	72,0	0,72	7,0	1,3	2,0	$\frac{180}{112}$	$\frac{88}{91}$	0,3	7 100	36	2
				380	2,6										7 150		
				500	2,0										7 150		
		$2p=4$	0,9	220	3,9	1 450	75,5	0,81							6 100		3
				380	2,2										6 150		
				500	1,7										6 150		
АО2-32-6/4	Постоянная мощность	$2p=6$	1,2	220	5,8	950	74,0	0,73	7,0	1,3	2,0	$\frac{180}{112}$	$\frac{115}{118}$	0,3	7 050	36	2
				380	3,4										7 050		
				500	2,6										7 080		
		$2p=4$	1,2	220	4,9	1 450	78,0	0,82							5 730		3
				380	2,9										5 730		
				500	2,2										5 750		

Примечания: 1. Изоляция электродвигателей выполнена по классу нагревостойкости Е.
 2. Обмотка статора в заводском исполнении однослойная, выполнена проводом марки ПЭТВ.
 3. Изоляция паза статора в заводском исполнении — пленкоэлектрокартон на полиэтилентерефталатной пленке толщиной 0,27 мм; полиэтилентерефталатная пленка толщиной 0,05 мм.
 4. Прокладка между обмотками — пленкоэлектрокартон на полиэтилентерефталатной пленке толщиной 0,27 мм.
 5. Прокладка в лобовой части — пленкоэлектрокартон на полиэтилентерефталатной пленке толщиной 0,27 мм.

Основные обмоточно-расчетные данные электродвигателей единой

Тип электродвигателя			$P_2, \text{кВт}$	$U_1, \text{В}$	$I_1, \text{А}$	$n, \text{об/мин}$	$\eta, \%$	$\cos \varphi$	$\frac{I_{\text{пуск}}}{I_{\text{ном}}}$	$\frac{M_{\text{пуск}}}{M_{\text{ном}}}$	$\frac{M_{\text{макс}}}{M_{\text{ном}}}$	Ста-					
												$\frac{D_{a1}}{D_{i1}}$	$\frac{l_{t1}}{l_{t2}}$	δ	$B_{\delta, \text{гс}}$	z_1	q_1
АО2-31-6/4/2	$2p=6$	0,75	220	4,2	960	67,5	0,7	7,0	1,3	2,0					7 100	36	2
			380	2,4											8 250		
			500	1,8											7 100		
	$2p=4$	0,9	220	4,3	1 460	71	0,78	7,0	1,3	2,0		$\frac{180}{112}$	$\frac{88}{91}$	0,3	5 920	36	3
			380	2,5											5 940		
			500	1,9											5 920		
	$2p=2$	1,2	220	5,1	2 880	69	0,9	7,0	1,1	2,0					4 500	6	
			380	2,9											4 550		
			500	2,2											4 500		
	$2p=6$	1,1	220	5,6	960	72	0,71	7,0	1,3	2,0					7 050	36	2
			380	3,3											7 050		
			500	2,5											7 060		
АО2-32-6/4/2	$2p=4$	1,3	220	5,7	1 460	75	0,8	7,0	1,3	2,0		$\frac{180}{112}$	$\frac{115}{118}$	0,3	5 700	36	3
			380	3,3											5 800		
			500	2,5											5 860		
	$2p=2$	1,7	220	6,6	2 880	74	0,91	7,0	1,1	2,0					4 350	6	
			380	3,8											4 450		
			500	2,9											4 500		

Примечания: 1. Изоляция электродвигателей выполнена по классу нагревостойкости Е.
 2. Обмотка статора в заводском исполнении для четырех-, двухполюсного исполнения — двухслойная, для шестиполюсного — однослойная, выполнена проводом марки ПЭТВ.
 3. Изоляция паза статора в заводском исполнении — пленкоэлектрокартон на полиэтилентерефталатной пленке толщиной 0,27 мм; полиэтилентерефталатная пленка толщиной 0,05 мм.
 4. Междуслойная прокладка в пазу и прокладка между обмотками — пленкоэлектрокартон на полиэтилентерефталатной пленке толщиной 0,27 мм.

серии типа АО2 3-го габарита двухскоростных на 6/4 полюса

тор														Ротор
$\frac{\text{Размеры паза}}{b; b'; b''}$ $h; e$	$Q_{s1'}$ $мм^2$	d/d'	m_1	ω_{K1}	n_1	y_1	a_1	Схема об- мотки (рис. №)	$j_1,$ $a/мм^2$	$AS_1,$ $a/см$	$l'_{m1'}$ $м$	$r_1,$ $ом$	$G_1,$ $кг$	z_1
$\frac{7,6; 5,5; 3,0}{19,4; 0,5}$	115,5	0,83/0,895	1	39	39	1—8,	—	3-70	8,5	184	0,410	3,11	1,43	26
		0,64/0,7	1	67	67	2—7	—		8,1	178		8,97	1,46	
		0,55/0,605	1	88	88		—		8,4	180		15,99	1,42	
		0,8/0,865	1	32	32	1—12,	—	3-42	7,75	128	0,466	3,12	1,24	
		0,62/0,675	1	55	55	2—11,	—		7,3	124		8,94	1,28	
		0,53/0,585	1	72	72	3—10	—		7,7	125		16,0	1,23	
$\frac{7,6; 5,5; 3,0}{19,4; 0,5}$	115,5	0,96/1,025	1	30	30	1—8,	—	3-70	8,02	178	0,464	2,02	1,67	26
		0,72/0,78	1	52	52	2—7	—		8,35	181		6,238	1,61	
		0,62/0,675	1	68	68		—		8,6	181		11,0	1,57	
		0,9/0,965	1	26	26	1—12,	—	3-42	7,7	130	0,520	2,24	1,42	
		0,69/0,75	1	45	45	2—11,	—		7,75	133		6,59	1,45	
		0,59/0,645	1	59	59	3—10	—		8,05	133		11,81	1,39	

6. Прокладка под клин — пленкоэлектрокартон на полиэтилентерефталатной пленке толщиной 0,27 мм.

7. Клин — дерево твердой породы пропитанное.

8. Выводные концы катушечных групп, соединение катушечных групп и соединение обмотки с выводным кабелем изолированы линоксиновыми трубками марки ТЭС.

9. Стержни и кольца короткозамкнутой обмотки ротора выполнены из алюминия марки А6.

10. Паз статора выполнен в соответствии с рис. 1-8, паз ротора соответствует рис. 1-9.

Таблица 1-44

серии типа АО2 3-го габарита трехскоростных на 6/4/2 полюса

тор														Ротор
Размеры паза $b; b'; b''$ $h; e$	$Q_{s1'}$ $мм^2$	d/d'	m_1	ω_{K1}	n_1	y_1	a_1	Схема обмотки (рис. №)	$j_1,$ $a/мм^2$	$AS_1,$ $a/см$	$l_{m1'}$ $м$	$r_1,$ $ом$	$G_1,$ $кг$	z_1
$\frac{7,6; 5,5; 3,0}{19,4; 0,5}$	115,5	0,74/0,8	1	39	39		—	3-70	9,8	167	0,410	3,92	1,14	26
		0,57/0,625	1	58	58	1—8,	—		9,41	143		11,5	1,18	
		0,49/0,535	1	89	89	2—7	—		9,55	164		20,37	1,13	
		0,64/0,7	1	29	58		—	3-156	7,7	147	0,466	9,29	1,51	
		0,49/0,535	1	50	100		—		7,64	147		27,35	1,52	
		0,41/0,455	1	66	132		—		8,34	150		51,57	1,4	
		0,64/0,7	1	29	58	1—11	—		7,93	151		2,32	1,51	
		0,49/0,535	1	50	100		—		7,7	148		6,84	1,32	
		0,41/0,455	1	66	132		—		8,35	149		12,89	1,4	
		0,9/0,965	1	30	30		—	3-70	8,8	172	0,464	2,3	1,47	
		0,67/0,73	1	52	52	1—8,	—		9,35	175		7,19	1,41	
		0,57/0,625	1	68	68	2—7	—		9,8	174		13,02	1,33	
$\frac{7,6; 5,5; 3,0}{19,4; 0,5}$	115,5	0,72/0,78	1	23	46		—	3-156	8,1	155	0,520	6,47	1,67	26
		0,55/0,605	1	39	78		—		8,02	152		18,8	1,66	
		0,47/0,515	1	51	102		—		8,3	151		33,67	1,58	
		0,72/0,78	1	23	46	1—11	—		8,1	155		1,617	1,67	
		0,55/0,605	1	39	78		—		8,0	152		4,7	1,66	
		0,47/0,515	1	51	102		—		8,35	152		8,416	1,58	

5. Прокладка в лобовой части — пленкоэлектрокартон на полиэтилентерефталатной пленке толщиной 0,27 мм.

6. Прокладка под клин — пленкоэлектрокартон на полиэтилентерефталатной пленке толщиной 0,27 мм.

7. Клин — дерево твердой породы пропитанное.

8. Выводные концы катушечных групп, соединение катушечных групп и соединение обмотки с выводным кабелем изолированы линоксиновыми трубками марки ТЭС.

9. Стержни и кольца короткозамкнутой обмотки ротора выполнены из алюминия марки А6.

10. Паз статора выполнен в соответствии с рис. 1-8, паз ротора соответствует рис. 1-9.

Основные обмоточно-расчетные данные электродвигателей единой

Тип электродвигателя		P ₂ , квт	U ₁ , в	I ₁ , а	n, об/мин	η, %	cos φ	$\frac{I_{пуск}}{I_{ном}}$	$\frac{M_{пуск}}{M_{ном}}$	$\frac{M_{макс}}{M_{ном}}$	Стр					
											$\frac{D_{a1}}{D_{i1}}$	$\frac{l_{t1}}{l_{t2}}$	δ	B _δ , гс	z ₁	q ₁
АО2-41-4/2	2p=4	3,3	220	12,4	1 460	84,0	0,83	7,0	1,3	2,0	$\frac{208}{133}$	$\frac{110}{113}$	0,35	6 060	36	3
			380	7,2										6 040		
	2p=2	4,1	220	15,0	2 860	80,0	0,9	7,0	1,1	2,0				4 640		6
			380	8,7										4 640		
АО2-42-4/2	2p=4	4,7	220	16,7	1 460	86,0	0,86	7,0	1,3	2,0	$\frac{208}{133}$	$\frac{148}{151}$	0,35	6 130	36	3
			380	9,6										5 920		
	2p=2	5,5	220	19,0	2 900	82,5	0,92	7,0	1,1	2,0				4 680		6
			380	11,0										4 550		
АО2-41-8/4	2p=8	1,6	220	8,4	720	77,0	0,65	7,0	1,2	2,0	$\frac{208}{144}$	$\frac{110}{113}$	0,35	6 220	36	1 ¹ / ₂
			380	4,9										6 200		
	2p=4	2,5	220	9,3	1 440	80,5	0,88	7,0	1,0	2,0				5 110		3
			380	5,4										5 100		
АО2-42-8/4	2p=8	2,3	220	12,1	720	77,0	0,65	7,0	1,2	2,0	$\frac{208}{144}$	$\frac{148}{151}$	0,35	6 220	36	1 ¹ / ₂
			380	7,0										6 200		
	2p=4	3,9	220	14,2	1 440	81,5	0,89	7,0	1,0	2,0				5 110		3
			380	8,1										5 100		

Примечания: 1. Изоляция электродвигателей выполнена по классу нагревостойкости Е.

2. Обмотка статора в заводском исполнении двухслойная, выполнена проводом марки ПЭТВ.

3. Изоляция паза статора в заводском исполнении — пленкоэлектрокартон на полиэтилентерефталатной пленке толщиной 0,27 мм; полиэтилентерефталатная пленка толщиной 0,05 мм.

4. Междуслойная прокладка в пазу — пленкоэлектрокартон на полиэтилентерефталатной пленке толщиной 0,27 мм.

серии типа АО2 4-го габарита двухскоростных на 4/2 и 8/4 полюсов

тор														Ротор
Размеры паза $b; b'; b''$ $h; e$	$Q_{s1},$ $мм^2$	d/d'	m_1	w_{K1}	n_1	y_1	a_1	Схема обмотки (рис. №)	$j_1,$ $a/мм^2$	$AS_1,$ $a/см$	$l_{m1},$ $м$	$r_1, ом$	$G_1, кг$	z_2
$\frac{9,2; 7,2; 3,0}{20,6; 0,75}$	116,1	1,35/1,43	1	19	38				5,0	235		1,695	5,38	26
		1,04/1,12	1	33	66		—		4,9	236		4,9	5,56	
						1—11		3-156			0,606			
		1,35/1,43	1	19	38		—		5,23	246		0,424	5,38	
$\frac{9,2; 7,2; 3,0}{20,6; 0,75}$	116,1	1,04/1,12	1	33	66				5,12	248		1,2	5,56	26
		1,12/1,2	2	14	56		—		4,88	232		1,02	6,18	
		1,2/1,28	1	25	50		—		4,9	240		3,2	6,4	
$\frac{9,2; 7,2; 3,0}{20,6; 0,75}$	116,1					1—11		3-156			0,682			26
		1,12/1,2	2	14	56		—		4,8	230		0,255	6,18	
		1,2/1,28	1	25	50		—		4,25	238		0,8	6,4	
$\frac{9,6; 7,6; 3,0}{21,0; 0,75}$	125,1	1,08/1,16	1	31	62				5,3	239		3,36	4,44	42
		0,83/0,89	1	54	108		—		5,25	244		9,97	4,55	
						1—6		3-157			0,474			
		1,08/1,16	1	31	62		—		5,06	230		0,84	4,44	
$\frac{9,6; 7,6; 3,0}{21,0; 0,75}$	125,1	0,83/0,89	1	54	108				4,99	232		2,49	4,55	42
		1,25/1,33	1	23	46		—		5,7	256		2,165	5,08	
		0,96/1,02	1	40	80		—		5,6	258		6,4	5,25	
$\frac{9,6; 7,6; 3,0}{21,0; 0,75}$	125,1					1—6		3-157			0,55			42
		1,25/1,33	1	23	46		—		5,78	260		0,541	5,08	
		0,96/1,02	1	40	80		—		5,6	258		1,6	5,25	

5. Прокладка в лобовой части — пленкоэлектрокартон на полиэтилентерефталатной пленке толщиной 0,27 мм.

6. Прокладка под клин — пленкоэлектрокартон на полиэтилентерефталатной пленке толщиной 0,27 мм.

7. Клин — дерево твердой породы пропитанное.

8. Выводные концы катушечных групп, соединение катушечных групп и соединение обмотки с выводным кабелем изолированы линооксиновыми трубками марки ТЭС.

9. Стержни и кольца короткозамкнутой обмотки ротора выполнены из алюминия марки А6.

10. Паз статора выполнен в соответствии с рис. 1-8, паз ротора соответствует рис. 1-5.

Основные обмоточно-расчетные данные электродвигателей единой серии

Тип электродвигателя			P_2 , квт	U_1 , в	I_1 , а	n , об/мин	η , %	$\cos \varphi$	$\frac{I_{пуск}}{I_{ном}}$	$\frac{M_{пуск}}{M_{ном}}$	$\frac{M_{макс}}{M_{ном}}$	Ста					
												$\frac{D_{a1}}{D_{i1}}$	$\frac{l_{t1}}{l_{t2}}$	δ	B_δ , гс	z_1	q_1
АО2-41-6/4	Посто- янная мощность	$2p=6$	1,8	380	4,7	950	79,0	0,73	7,0	1,3	2,0	$\frac{208}{133}$	$\frac{110}{113}$	0,35	6 900 5 530	36	2
		$2p=4$			4,0	1 430	78,5	0,86									3
АО2-42-6/4	Посто- янная мощность	$2p=6$	2,4	380	6,1	950	80,5	0,74	7,0	1,3	2,0	$\frac{208}{133}$	$\frac{148}{151}$	0,35	6 880 5 450	36	2
		$2p=4$			5,2	1 440	80,0	0,87									3
АО2-41-6/4	Посто- янный момент	$2p=6$	1,6	380	4,2	940	78,0	0,75	7,0	1,3	2,0	$\frac{208}{133}$	$\frac{110}{113}$	0,35	6 600 6 140	36	2
		$2p=4$			5,2	1 430	80,0	0,84									3
АО2-42-6/4	Посто- янный момент	$2p=6$	2,1	380	5,2	940	79,0	0,77	7,0	1,3	2,0	$\frac{208}{133}$	$\frac{148}{151}$	0,35	6 340 5 820	36	2
		$2p=4$			6,4	1 440	83,0	0,85									3
АО2-41-6/4/2	1-я обмотка	$2p=6$	1,7	380	4,3	940	77,0	0,77	7,0	1,3	2,0	$\frac{208}{133}$	$\frac{110}{113}$	0,35	6 620 5 700 4 360	36	2
	2-я обмотка	$2p=4$			4,7	1 440	77,0	0,83									3
	2-я обмотка	$2p=2$			5,5	2 800	73,0	0,90									6
АО2-42-6/4/2	1-я обмотка	$2p=6$	2,1	380	5,3	940	78,5	0,77	7,0	1,3	2,0	$\frac{208}{133}$	$\frac{148}{151}$	0,35	6 340 4 940 3 800	36	2
	2-я обмотка	$2p=4$			5,5	1 440	78,5	0,85									3
	2-я обмотка	$2p=2$			6,4	2 800	75,0	0,92									6

Примечания: 1. Изоляция электродвигателей выполнена по классу нагревостойкости Е.

2. Обмотки статора в заводском исполнении для шести-, четырехполюсного электродвигателя — две однослойные; для шести-, четырех-, двухполюсного первая обмотка — однослойная, вторая — двухслойная, выполнены проводом марки ПЭТВ.

3. Изоляция паза статора в заводском исполнении — пленкоэлектрокартон на полиэтилентерефталатной пленке толщиной 0,27 мм; полиэтилентерефталатная пленка толщиной 0,05 мм.

4. Междуслойная прокладка в пазу и прокладка между обмотками — пленкоэлектрокартон на полиэтилентерефталатной пленке толщиной 0,27 мм.

Основные обмоточно-расчетные данные электродвигателей единой серии

Тип электродвигателя			P_2 , квт	U_1 , в	I_1 , а	n , об/мин	η , %	$\cos \varphi$	$\frac{I_{пуск}}{I_{ном}}$	$\frac{M_{пуск}}{M_{ном}}$	$\frac{M_{макс}}{M_{ном}}$	Ста					
												$\frac{D_{a1}}{D_{i1}}$	$\frac{l_{t1}}{l_{t2}}$	δ	B_δ , гс	z_1	q_1
АО2-51-4/2		$2p=4$	6,1	380	12,9	1 450	86,5	0,83	7,0	1,3	2,0	$\frac{243}{158}$	$\frac{135}{139}$	0,45	6 200 4 760	36	3
		$2p=2$	7,3		15,1	2 890	81,5	0,90	7,0	1,3	2,0						6
АО2-52-4/2		$2p=4$	8,3	380	17,2	1 450	87,0	0,84	7,0	1,3	2,0	$\frac{243}{158}$	$\frac{170}{174}$	0,45	6 020 4 630	36	3
		$2p=2$	10,2		20,2	2 890	83,5	0,92	7,0	1,3	2,0						6
АО2-51-6/4	Посто- янный момент	$2p=6$	3,1	380	7,8	960	81,0	0,75	7,0	1,3	2,0	$\frac{243}{158}$	$\frac{135}{139}$	0,45	6 280 6 750	36	2
		$2p=4$	4,7		10,1	1 450	84,0	0,84	7,0	1,3	2,0						3
АО2-52-6/4	Посто- янный момент	$2p=6$	4,5	380	11	960	83,0	0,75	7,0	1,3	2,0	$\frac{243}{158}$	$\frac{170}{174}$	0,45	6 730 6 500	36	2
		$2p=4$	6,7		14	1 450	86,0	0,85	7,0	1,3	2,0						3

типа АО2 4-го габарита многоскоростных на 6/4 и 6/4/2 полюса

тор														Ротор
Размеры паза $b; b'; b''$ $h; e$	$Q_{s1'}$ мм ²	d/d'	m_1	ω_{K1}	n_1	y_1	a_1	Схема обмотки (рис. №)	j_1 , а/мм ²	AS_1 , а/см	$l_{m1'}$, м	r_1 , ом	G_1 , кг	z_2
$\frac{9,2; 7,2; 3,0}{20,6; 0,75}$	149	0,96/1,02	1	47	47	1—8,	—	3-70	6,5	190	0,508	3,5	2,84	26
		0,83/0,89	1	41	41	2—7 1—12, 2—11, 3—10	—	3-42	7,4	141	0,58	4,6	2,11	
$\frac{9,2; 7,2; 3,0}{20,6; 0,75}$	149	1,12/1,20	1	35	35	1—8,	—	3-70	6,2	184	0,584	2,2	3,33	26
		0,9/0,96	1	31	31	2—7 1—12, 2—11, 3—10	—	3-42	8,17	139	0,656	3,39	2,15	
$\frac{9,2; 7,2; 3,0}{20,6; 0,75}$	149	0,86/0,92	1	49	49	1—8,	—	3-70	7,23	177	0,508	4,5	2,38	26
		0,96/1,02	1	37	37	2—7 1—12, 2—11, 3—10	—	3-42	7,18	166	0,58	3,12	2,55	
$\frac{9,2; 7,2; 3,0}{20,6; 0,75}$	149	0,96/1,02	1	38	38	1—8,	—	3-70	7,18	170	0,584	3,26	2,66	26
		1,12/1,20	1	29	29	2—7 1—12, 2—11, 3—10	—	3-42	6,5	160	0,656	2,04	3,11	
$\frac{9,2; 7,2; 3,0}{20,6; 0,75}$	149	0,86/0,92	1	49	49	1—8,	—	3-70	7,4	182	0,508	4,5	2,38	26
		0,69/0,75	1	35	70	2—7	—	3-156	7,25	163	0,606	11,9	2,62	
		0,69/0,75	1	35	70	1—11	—		7,35	166	0,606	3,0	2,62	
$\frac{9,2; 7,2; 3,0}{20,6; 0,75}$	149	0,86/1,02	1	38	38	1—8,	—	3-70	7,32	173	0,584	3,26	2,66	26
		0,74/0,8	1	30	60	2—7	—	3-156	7,4	164	0,682	10,1	2,91	
		0,74/0,8	1	30	60	1—11	—		7,45	165	0,682	2,5	2,91	

5. Прокладка в лобовой части — пленкоэлектрокартон на полиэтилентерефталатной пленке толщиной 0,27 мм.

6. Прокладка под клин — пленкоэлектрокартон на полиэтилентерефталатной пленке толщиной 0,27 мм.

7. Клин — дерево твердой породы пропитанное.

8. Выводные концы катушечных групп, соединение катушечных групп и соединение обмотки с выводным кабелем изолированы линооксиновыми трубками марки ТЭС.

9. Стержни и кольца короткозамкнутой обмотки ротора выполнены из сплава АМг-7.

10. Паз статора выполнен в соответствии с рис. 1-8, паз ротора соответствует рис. 1-5.

Таблица 1-47

типа АО2 5-го габарита двухскоростных на 4/2 и 6/4 полюса

тор														Ротор
Размеры паза $b; b'; a''$ $h; e$	$Q_{s1'}$ мм ²	d/d'	m_1	ω_{K1}	n_1	y_1	a_1	Схема обмотки (рис. №)	j_1 , а/мм ²	AS_1 , а/см	$l_{m1'}$, м	r_1 , ом	G_1 , кг	z_2
$\frac{10,8; 8,7; 3,2}{22,9; 0,75}$	196	1,5/1,58	1	22	44	1—11	—	3-156	4,22	238	0,718	1,83	9,0	26
		1,5/1,58	1	22	44	1—11	—		4,28	241	0,718	0,459	9,0	
$\frac{10,8; 8,7; 3,2}{22,9; 0,75}$	196	1,16/1,24	2	18	72	1—11	—	3-156	4,71	260	0,788	1,38	10,8	26
		1,16/1,24	2	18	72	1—11	—		4,79	264	0,788	0,346	10,8	
$\frac{10,8; 8,7; 3,2}{22,9; 0,75}$	196	1,2/1,28	1	35	35	1—8,	—	3-70	6,9	199	0,574	1,83	3,73	26
		1,45/1,53	1	23	23	2—7 1—12, 2—11, 3—10	—	3-42	6,12	169	0,676	0,97	4,17	
$\frac{10,8; 8,7; 3,2}{22,9; 0,75}$	196	1,4/1,48	1	26	26	1—8,	—	3-70	7,15	208	0,644	1,12	4,18	26
		1,62/1,7	1	19	19	2—7 1—12, 2—11, 3—10	—	3-42	6,8	193	0,746	0,710	4,73	

Тип электродвигателя			$P_2, \text{ кВт}$	$U_1, \text{ в}$	$I_1, \text{ а}$	$n, \text{ об/мин}$	$\eta, \%$	$\cos \varphi$	$\frac{I_{\text{пуск}}}{I_{\text{ном}}}$	$\frac{M_{\text{пуск}}}{M_{\text{ном}}}$	$\frac{M_{\text{макс}}}{M_{\text{ном}}}$	Стр					
												$\frac{D_{a1}}{D_{i1}}$	$\frac{l_{t1}}{l_{t2}}$	δ	$B_{\delta}, \text{ гс}$	z_1	q_1
АО2-51-6/4	Постоянная мощность	$2p=6$	3,7	380	9	960	82,0	0,76	7,0	1,3	2,0	$\frac{243}{158}$	$\frac{135}{139}$	0,45	6 680	36	2
		$2p=4$	3,7		8,2	1 470	82,5	0,83	7,0	1,3	2,0	$\frac{243}{158}$	$\frac{135}{139}$		6 210		3
АО2-52-6/4	Постоянная мощность	$2p=6$	4,7	380	11	960	84,5	0,77	7,0	1,3	2,0	$\frac{243}{158}$	$\frac{170}{174}$	0,45	6 480	36	2
		$2p=4$	4,7		10,1	1 470	85,0	0,83	7,0	1,3	2,0	$\frac{243}{158}$	$\frac{170}{174}$		6 160		3

Примечания: 1. Изоляция электродвигателей выполнена по классу нагревостойкости Е.

2. Обмотки статора в заводском исполнении для четырех-, двухполюсного электродвигателя — двухслойная, для шести-, четырехполюсного — две однослойные, выполнены проводом марки ПЭТВ.

3. Изоляция паза статора в заводском исполнении — пленкоэлектрокартон на полиэтилентерефталатной пленке толщиной 0,27 мм; полиэтилентерефталатная пленка толщиной 0,05 мм.

4. Междуслойная прокладка в пазу и прокладка между обмотками — пленкоэлектрокартон на полиэтилентерефталатной пленке толщиной 0,27 мм.

Основные обмоточно-расчетные данные электродвигателей единой серии

Тип электродвигателя			$P_2, \text{ кВт}$	$U_1, \text{ в}$	$I_1, \text{ а}$	$n, \text{ об/мин}$	$\eta, \%$	$\cos \varphi$	$\frac{I_{\text{пуск}}}{I_{\text{ном}}}$	$\frac{M_{\text{пуск}}}{M_{\text{ном}}}$	$\frac{M_{\text{макс}}}{M_{\text{ном}}}$	Стр					
												$\frac{D_{a1}}{D_{i1}}$	$\frac{l_{t1}}{l_{t2}}$	δ	$B_{\delta}, \text{ гс}$	z_1	q_1
АО2-51-8/4		$2p=8$	3,0	380	8,95	685	77,0	0,66	7,0	1,3	2,0	$\frac{243}{173}$	$\frac{135}{139}$	0,4	6 330	36	$1\frac{1}{2}$
		$2p=4$	4,8		10,5	1 370	80,0	0,87	7,0	1,3	2,0	$\frac{243}{173}$	$\frac{135}{139}$		5 190		3
АО2-52-8/4		$2p=8$	4,1	380	12,1	695	78,0	0,66	7,0	1,3	2,0	$\frac{243}{173}$	$\frac{190}{194}$	0,4	6 000	36	$1\frac{1}{2}$
		$2p=4$	6,6		14,2	1 390	81,0	0,87	7,0	1,3	2,0	$\frac{243}{173}$	$\frac{190}{194}$		4 930		3
АО2-51-6/4/2	1-я обмотка 2-я обмотка	$2p=6$	3,0	380	7,6	940	80,0	0,75	7,0	1,3	2,0	$\frac{243}{158}$	$\frac{135}{139}$	0,45	6 310	36	2
		$2p=4$	3,3		8,25	1 440	81,0	0,85	7,0	1,3	2,0	$\frac{243}{158}$	$\frac{135}{139}$		4 800		3
		$2p=2$	4,0		9,1	2 880	73,0	0,91	7,0	1,3	2,0	$\frac{243}{158}$	$\frac{135}{139}$		4 050		6
АО2-52-6/4/2	1-я обмотка 2-я обмотка	$2p=6$	4,0	380	10	940	81,0	0,75	7,0	1,3	2,0	$\frac{243}{158}$	$\frac{170}{174}$	0,45	6 250	36	2
		$2p=4$	4,5		9,8	1 440	82,0	0,85	7,0	1,3	2,0	$\frac{243}{158}$	$\frac{170}{174}$		4 850		3
		$2p=2$	5,7		12,3	2 880	77,5	0,91	7,0	1,3	2,0	$\frac{243}{158}$	$\frac{170}{174}$		4 100		6

Примечания: 1. Изоляция электродвигателей выполнена по классу нагревостойкости Е.

2. Обмотки статора в заводском исполнении для восьми-, четырехполюсного электродвигателя — двухслойная, для шести-, четырех-, двухполюсного первая обмотка — однослойная, вторая — двухслойная, выполнены проводом марки ПЭТВ.

3. Изоляция паза статора в заводском исполнении — пленкоэлектрокартон на полиэтилентерефталатной пленке толщиной 0,27 мм; полиэтилентерефталатная пленка толщиной 0,05 мм.

4. Междуслойная прокладка в пазу и прокладка между обмотками — пленкоэлектрокартон на полиэтилентерефталатной пленке толщиной 0,27 мм.

тор														Ротор
Размеры паза $b; b'; b''$ $h; e$	$Q_{s1},$ $мм^2$	d/d'	m_1	ω_{k1}	n_1	y_1	a_1	Схема обмотки (рис. №)	$j_1,$ $а/мм^2$	$AS_1,$ $а/см$	$l_{m1},$ $м$	$r_1, ом$	$G_1, кг$	z_2
$\frac{10,8; 8,7; 3,2}{22,9; 0,75}$	196	1,35/1,43	1	33	33	1—8, 2—7	—	3-70	6,29	216	0,574	1,37	4,4	26
		1,25/1,33	1	25	25	1—12, 2—11, 3—10	—	3-42	6,7	149	0,676	1,41	3,38	
$\frac{10,8; 8,7; 3,2}{22,9; 0,75}$	196	1,5/1,58	1	27	27	1—8, 2—7	—	3-70	6,24	216	0,644	1,01	4,98	26
		1,4/1,48	1	20	20	1—12, 2—11, 3—10	—	3-42	6,57	147	0,746	1,0	3,73	

5. Прокладка в лобовой части — пленкоэлектрокартон на полиэтилентерефталатной пленке толщиной 0,27 мм.

6. Прокладка под клин — пленкоэлектрокартон на полиэтилентерефталатной пленке толщиной 0,27 мм.

7. Клин — дерево твердой породы пропитанное.

8. Выводные концы катушечных групп, соединение катушечных групп и соединение обмотки с выводным кабелем изолированы линоксиновыми трубками марки ТЭС.

9. Стержни и кольца короткозамкнутой обмотки ротора выполнены из алюминия марки А5.

10. Паз статора выполнен в соответствии с рис. 1-8, паз ротора соответствует рис. 1-5.

Таблица 1-48

типа АО2 5-го габарита многоскоростных на 8/4 и 6/4/2 полюса

тор														Ротор
Размеры паза $b; b'; b''$ $h; e$	$Q_{s1},$ $мм^2$	d/d'	m_1	ω_{k1}	n_1	y_1	a_1	Схема обмотки (рис. №)	$j_1,$ $а/мм^2$	$AS_1,$ $а/см$	$l_{m1},$ $м$	$r_1, ом$	$G_1, кг$	z_2
$\frac{10,6; 8,8; 3,2}{21,1; 0,75}$	178	1,12/1,20	1	36	72	1—6	—	3-157	5,25	247	0,562	4,24	6,5	26
		1,12/1,20	1	36	72				5,34	250		1,06		
$\frac{10,6; 8,8; 3,2}{21,1; 0,75}$	178	1,3/1,38	1	27	54	1—6	—	3-157	5,29	251	0,672	2,81	7,85	26
		1,3/1,38	1	27	54		—		5,36	254		0,704		
$\frac{10,8; 8,7; 3,2}{22,9; 0,75}$	196	1,2/1,28	1	35	35	1—8, 2—7	—	3-70	6,7	193	0,574	1,84	3,73	26
		0,93/1,01	1	28	56	1—10	—	3-155	7,04	194	0,718	6,14	4,46	
		0,93/1,01	1	28	56		—		6,7	185		1,54		
$\frac{10,8; 8,7; 3,2}{22,9; 0,75}$	196	1,35/1,43	1	28	28	1—8, 2—7	—	3-70	7,0	203	0,644	1,3	4,18	26
		1,04/1,12	1	22	44	1—10	—	3-155	6,68	181	0,788	4,21	4,8	
		1,04/1,12	1	22	44		—		7,25	197		1,05		

5. Прокладка в лобовой части — пленкоэлектрокартон на полиэтилентерефталатной пленке толщиной 0,27 мм.

6. Прокладка под клин — пленкоэлектрокартон на полиэтилентерефталатной пленке толщиной 0,27 мм.

7. Клин — дерево твердой породы пропитанное.

8. Выводные концы катушечных групп, соединение катушечных групп и соединение обмотки с выводным кабелем изолированы линоксиновыми трубками марки ТЭС.

9. Стержни и кольца короткозамкнутой обмотки ротора для восьми-, четырехполюсного электродвигателя выполнены из алюминия марки А6, для шести-, четырех-, двухполюсного — из сплава марки АКМ12-4.

10. Паз статора выполнен в соответствии с рис. 1-8, паз ротора соответствует рис. 1-5.

Основные обмоточно-расчетные данные электродвигателей единой

Тип электродвигателя		$P_2, \text{ кВт}$	$U_1, \text{ в}$	$I_1, \text{ а}$	$n, \text{ об/мин}$	$\eta, \%$	$\cos \varphi$	$\frac{I_{\text{пуск}}}{I_{\text{ном}}}$	$\frac{M_{\text{пуск}}}{M_{\text{ном}}}$	$\frac{M_{\text{макс}}}{M_{\text{ном}}}$	Стр					
											$\frac{D_{a1}}{D_{i1}}$	$\frac{l_{t1}}{l_{t2}}$	δ	$B_{\delta}, \text{ зс}$	z_1	q_1
АО2-61-4/2	$2p=4$	8,5	220	31	1 450	86,5	0,82	7,0	1,3	2,0	$\frac{291}{180}$	$\frac{138}{138}$	0,55	6 750	36	3
			380	18										6 500		
			500	13,9										6 400		
	$2p=2$	10	220	34,8	2 890	84	0,9	7,0	1,1	2,0	$\frac{291}{180}$	$\frac{138}{138}$	0,55	5 180	36	6
			380	20										5 000		
			500	15,3										4 910		
АО2-62-4/2	$2p=4$	11,5	220	41	1 450	87,5	0,83	7,0	1,3	2,0	$\frac{291}{180}$	$\frac{168}{168}$	0,55	6 160	36	3
			380	24										6 370		
			500	18,3										6 290		
	$2p=2$	14,5	220	49,5	2 890	85,5	0,9	7,0	1,1	2,0	$\frac{291}{180}$	$\frac{168}{168}$	0,55	4 730	36	6
			380	28,6										4 900		
			500	21,8										4 850		
АО2-61-8/4	$2p=8$	5,5	220	23,7	700	80	0,76	6,0	1,2	2,0	$\frac{291}{206}$	$\frac{153}{153}$	0,4	5 700	54	$2\frac{1}{4}$
			380	13,7										5 900		
			500	10,4										6 000		
	$2p=4$	8,5	220	30	1 400	82	0,91	7,0	1,0	2,0	$\frac{291}{206}$	$\frac{153}{153}$	0,4	4 750	54	$4\frac{1}{2}$
			380	17,3										4 950		
			500	13,1										5 000		
АО2-62-8/4	$2p=8$	7	220	29,5	700	81	0,77	6,0	1,2	2,0	$\frac{291}{206}$	$\frac{193}{193}$	0,4	6 770	54	$2\frac{1}{4}$
			380	17,1										6 250		
			500	13,1										6 160		
	$2p=4$	10,5	220	36,3	1 400	83	0,91	7,0	1,0	2,0	$\frac{291}{206}$	$\frac{193}{193}$	0,4	5 650	54	$4\frac{1}{2}$
			380	21										5 220		
			500	16,1										5 150		

- Примечания: 1. Изоляция электродвигателей выполнена по классу нагревостойкости F.
 2. Обмотка статора в заводском исполнении двухслойная, выполнена проводом марки ПЭТВ.
 3. Изоляция паза статора в заводском исполнении — стеклолакоткань ЛСП толщиной 0,15 мм; стекломиканит Г₁ФГІ толщиной 0,22 мм; электронит листовой толщиной 0,2 мм.
 4. Междуслойная прокладка в пазу — стеклолакоткань ЛСП толщиной 0,15 мм; стекломиканит Г₁ФГІ толщиной 0,22 мм.
 5. Прокладка в лобовой части в заводском исполнении для изоляции фазовых катушек — стеклолакоткань ЛСП толщиной 0,15 мм; стекломиканит Г₁ФГІ толщиной 0,22 мм; для остальных катушек электродвигателей на 4/2 полюса — стеклолакоткань ЛСП толщиной 0,15 мм; на 8/4 полюса — стеклолакоткань ЛСП толщиной 0,15 мм; стекломиканит Г₁ФГІ толщиной 0,22 мм.

Основные обмоточно-расчетные данные электродвигателей единой

Тип электродвигателя		$P_2, \text{ кВт}$	$U_1, \text{ в}$	$I_1, \text{ а}$	$n, \text{ об/мин}$	$\eta, \%$	$\cos \varphi$	$\frac{I_{\text{пуск}}}{I_{\text{ном}}}$	$\frac{M_{\text{пуск}}}{M_{\text{ном}}}$	$\frac{M_{\text{макс}}}{M_{\text{ном}}}$	Стр					
											$\frac{D_{a1}}{D_{i1}}$	$\frac{l_{t1}}{l_{t2}}$	δ	$B_{\delta}, \text{ зс}$	z_1	q_1
АО2-61-12/6	$2p=12$	3,2	220 380 500	21,7 12,5 9,55	460	73,0	0,53	5,0	1,2	2,0	$\frac{291}{206}$	$\frac{153}{153}$	0,4	10 200 9 860 9 850	54	$1\frac{1}{2}$
	$2p=6$	6	220 380 500	22,2 13 9,85	910	80,0	0,88	6,0	1,1	2,0	$\frac{291}{206}$	$\frac{153}{153}$		4 610 4 460 4 440		
АО2-62-12/6	$2p=12$	3,8	220 380 500	25,4 14,7 11,2	470	74,0	0,53	5,0	1,2	2,0	$\frac{291}{206}$	$\frac{193}{193}$	0,4	9 430 9 399 9 170	54	$1\frac{1}{2}$

серии типа АО2 6-го габарита двухскоростных на 4/2 и 8/4 полюса

тор															Ротор
Размеры паза $b; b'; b''$ $h; e$	$Q_{s1},$ $мм^2$	d/d'	m_1	$w_{к1}$	n_1	y_1	a_1	Схема обмотки (рис. №)	$j_1,$ $a/мм^2$	$AS_1,$ $a/см$	$l_{m1}, м$	$r_1, ом$	$G_1 кг$	z_2	
$\frac{11,6; 8,7; 3,7}{28,0; 1,0}$	253	1,4/1,48	3	10	60	1—11	—	3-16, 3-156	3,88	220	0,772	0,35	11,8	26	
		1,3/1,38	2	18	72				3,92	238		1,1	12,1		
		1,62/1,7	1	24	48				3,9	245		1,89	12,5		
		1,4/1,48	3	10	60				3,78	222		0,088	11,8		
		1,3/1,38	2	18	72				3,78	229		0,274	12,1		
		1,62/1,7	1	24	48				3,71	234		0,474	12,5		
$\frac{11,6; 8,7; 3,7}{28,0; 1,0}$	253	1,5/1,58	3	9	54	1—11	—	3-16, 3-156	4,47	272	0,832	0,297	13,1	26	
		1,4/1,48	2	15	60				4,51	266		0,852	12,6		
		1,2/1,28	2	20	80				4,68	270		1,55	12,5		
		1,5/1,58	3	9	54				4,67	284		0,0745	13,1		
		1,4/1,48	2	15	60				4,65	273		0,214	12,6		
		1,2/1,28	2	20	80				4,8	278		0,386	12,5		
$\frac{9,0; 7,0; 3,7}{25,9; 1,0}$	178	1,3/1,38	2	12	48	1—8	—	3-17, 3-159	5,16	274	0,6	0,845	9,55	64	
		1,45/1,53	1	20	40				4,8	264		2,26	9,85		
		1,25/1,33	1	26	52				4,9	260		3,96	9,5		
		1,3/1,38	2	12	48				5,65	300		0,212	9,55		
		1,45/1,53	1	20	40				5,23	288		0,564	9,85		
		1,25/1,33	1	26	52				5,35	284		0,99	9,5		
$\frac{9,0; 7,0; 3,7}{25,9; 1,0}$	178	1,5/1,58	2	8	32	1—8	—	3-17, 3-159	4,84	228	0,68	0,486	9,5	64	
		1,62/1,7	1	15	30				4,8	248		1,57	10,35		
		1,4/1,48	1	20	40				4,93	253		2,78	10,35		
		1,5/1,58	2	8	32				5,15	242		0,121	9,5		
		1,62/1,7	1	15	30				5,1	263		0,392	10,35		
		1,4/1,48	1	20	40				5,25	269		0,695	10,35		

6. Клинь — стеклотекстолит СТЭФ или прессматериал АГ-4 марки С.

7. Выводные концы катушечных групп, соединение катушечных групп и соединение обмотки с выводным кабелем изолированы стеклолакотрубкой марки ТКС.

8. Выводной кабель — провод марки РКГМ.

9. Места соединения выводного кабеля с наконечниками изолированы одним слоем стеклолакоткани ЛСП размером 0,15×20 мм вполнахлеста и одним слоем стеклянной ленты размером 0,15×20 мм вполнахлеста.

10. Стержни и кольца короткозамкнутой обмотки ротора выполнены из сплава АКМ_ц 10-2 для электродвигателей на 8/4 полюса и алюминия марки А5 — для остальных.

11. Паз статора выполнен в соответствии с рис. 1-8, паз ротора соответствует рис. 1-10 для исполнения на 4/2 полюса и рис. 1-5 — на 8/4 полюса.

Таблица 1-50

серии типа АО2 6-го габарита двухскоростных на 12/6 полюсов

тор														Ротор
Размеры паза $\frac{b; b'; b''}{h; e}$	$Q_{s1},$ $мм^2$	d/d'	m_1	$\omega_{\mathbf{x1}}$	n_1	y_1	a_1	Схема обмотки (рис. №)	$j_1,$ $a/мм^2$	$AS_1,$ $a/см$	$l_{m1}, м$	$r_1, ом$	$G_1, кг$	z_2
$\frac{9,0; 7,0; 3,7}{25,9; 1,0}$	178	1,2/1,28	2	14	56	1—8	—	3-19, 3-165	5,53	293	0,532	1,02	8,5	44
		1,3/1,38	1	25	50				5,45	302		3,10	8,8	
		1,12/1,2	1	33	66				5,58	303		5,52	8,55	
		1,2/1,28	2	14	56				4,9	259		0,255	8,5	44
		1,3/1,38	1	25	50				4,9	272		0,774	8,8	
		1,12/1,2	1	33	66				5,0	272		1,67	8,65	
$\frac{9,0; 7,0; 3,7}{25,9; 1,0}$	178	1,3/1,38	2	12	48	1—8	—	3-19, 3-165	5,55	295	0,612	0,855	9,9	44
		1,4/1,48	1	21	42				5,54	298		2,59	9,9	
		1,2/1,28	1	28	56				5,72	303		4,7	9,7	

Тип электродвигателя		$P_2, \text{ кВт}$	$U_1, \text{ в}$	$I_1, \text{ а}$	$n, \text{ об/мин}$	$\eta, \%$	$\cos \varphi$	$\frac{I_{\text{пуск}}}{I_{\text{ном}}}$	$\frac{M_{\text{пуск}}}{M_{\text{ном}}}$	$\frac{M_{\text{макс}}}{M_{\text{ном}}}$	Стр					
											$\frac{D_{a1}}{D_{i1}}$	$\frac{l_{t1}}{l_{t2}}$	δ	$B_{\delta}, \text{ гс}$	z_1	q_1
АО2-62-12/6	$2p=6$	7,5	220	26,6	920	84,0	0,88	6,0	1,1	2,0	$\frac{291}{206}$	$\frac{193}{193}$	0,4	4 260	54	3
			380	15,4										4 220		
			500	11,7										4 161		

- Примечания: 1. Изоляция электродвигателей выполнена по классу нагревостойкости F.
2. Обмотка статора в заводском исполнении двухслойная, выполнена проводом марки ПЭТВ.
3. Изоляция паза статора в заводском исполнении — стеклолакоткань ЛСП толщиной 0,15 мм; стекломиканит Г₁ФГ₁ толщиной 0,22 мм; электронит листовой толщиной 0,2 мм.
4. Междуслойная прокладка в пазу — стеклолакоткань ЛСП толщиной 0,15 мм; стекломиканит Г₁ФГ₁ толщиной 0,22 мм.
5. Прокладка в лобовой части в заводском исполнении под каждую катушку — стеклолакоткань ЛСП толщиной 0,15 мм; стекломиканит Г₁ФГ₁ толщиной 0,22 мм.

Основные обмоточно-расчетные данные электродвигателей единой

Тип электродвигателя			$P_2, \text{ кВт}$	$U_1, \text{ в}$	$I_1, \text{ а}$	$n, \text{ об/мин}$	$\eta, \%$	$\cos \varphi$	$\frac{I_{\text{пуск}}}{I_{\text{ном}}}$	$\frac{M_{\text{пуск}}}{M_{\text{ном}}}$	$\frac{M_{\text{макс}}}{M_{\text{ном}}}$	Стр					
												$\frac{D_{a1}}{D_{i1}}$	$\frac{l_{t1}}{l_{t2}}$	δ	$B_{\delta}, \text{ гс}$	z_1	q_1
АО2-61-8/6/4	1-я обмотка	$2p=8$	3,8	220	17,75	700	77,0	0,73	6,0	1,2	2				5 700	54	$2\frac{1}{4}$
				380	10,25										5 900		
				500	7,8										6 000		
	2-я обмотка	$2p=4$	6	220	22	1 400	79,5	0,91	7,0	1,0	2	$\frac{291}{206}$	$\frac{153}{153}$	0,4	4 750	54	$4\frac{1}{2}$
				380	12,6										4 940		
				500	9,6										5 000		
2-я обмотка	$2p=6$	4,8	220	19,7	950	78,5	0,81	6,0	1,2	2				6 450		3	
			380	11,5										6 600			
			500	8,7										6 670			
АО2-62-8/6/4	1-я обмотка	$2p=8$	4,8	220	21,8	710	78,0	0,74	6,0	1,2	2				5 440		$2\frac{1}{4}$
				380	12,6										5 540		
				500	9,6										5 610		
	2-я обмотка	$2p=4$	7,5	220	26,5	1 400	81,5	0,92	7,0	1,0	2	$\frac{291}{206}$	$\frac{193}{193}$	0,4	4 530	54	$4\frac{1}{2}$
				380	15,35										4 620		
				500	11,7										4 680		
2-я обмотка	$2p=6$	5,7	220	21,7	950	81,0	0,85	6,0	1,2	2				6 400		3	
			380	12,6										5 930			
			500	9,55										5 800			

- Примечания: 1. Изоляция электродвигателей выполнена по классу нагревостойкости F.
2. Обмотка статора в заводском исполнении двухслойная, выполнена проводом марки ПЭТВ.
3. Изоляция паза статора в заводском исполнении — стеклолакоткань ЛСП толщиной 0,15 мм; стекломиканит Г₁ФГ₁ толщиной 0,22 мм; электронит листовой толщиной 0,2 мм.
4. Междуслойная прокладка в пазу — стеклолакоткань ЛСП толщиной 0,15 мм; стекломиканит Г₁ФГ₁ толщиной 0,22 мм.
5. Прокладка между обмотками — электронит толщиной 0,6 мм.
6. Прокладка в лобовой части под каждую катушку — стеклолакоткань ЛСП толщиной 0,15 мм; стекломиканит Г₁ФГ₁ толщиной 0,22 мм.

тор															Ротор
$\frac{\text{Размеры паза}}{b; b'; b''}$ $h; e$	$Q_{с1},$ $мм^2$	d/d'	m_1	$\omega_{к1}$	n_1	y_1	a_1	Схема о бмотки (рис. №)	$a_{j1},$ $a/мм^2$	$AS_1,$ $a/см$	$l_{m1}, м$	$r_1, ом$	$G_1, кг$	z_2	
$\frac{9,0; 7,0; 3,7}{25,9; 1,0}$	178	1,3/1,38	2	12	48	1—8	—	3-19, 3-165	5,02	266	0,612	0,214	9,9	44	
		1,4/1,48	1	21	42				5,01	270		0,646	9,9		
		1,2/1,28	1	28	56				5,16	274		1,18	9,7		

6. Клинь — стеклотекстолит СТЭФ или прессматериал АГ-4 марки С.

7. Выводные концы катушечных групп, соединение катушечных групп и соединение обмотки с выводным кабелем изолированы стеклолакотрубкой марки ТКС.

8. Выводной кабель — провод марки РКГМ.

9. Места соединения выводного кабеля с наконечниками изолированы одним слоем стеклолакоткани ЛСП размером 0,15×20 мм вполнахлеста и одним слоем стеклянной ленты размером 0,15×20 мм.

10. Стержни и кольца короткозамкнутой обмотки ротора выполнены из алюминия марки А5.

11. Паз статора выполнен в соответствии с рис. 1-8, паз ротора соответствует рис. 1-10.

Таблица 1-51

серии типа АО2 6-го габарита трехскоростных на 8/6/4 полюса

тор														Ротор
Размеры паза $b; b'; b''$ $h; e$	$Q_{s1},$ $мм^2$	d/d'	m_1	ω_{K1}	n_1	y_1	a_1	Схема обмотки (рис. №)	$j_1,$ $a/мм^2$	$AS_1,$ $a/см$	$l_{m1}, м$	$r_1, ом$	$G_1, кг$	z_2
$\frac{9,0; 7,0; 3,7}{25,9; 1,0}$	178	1,45/1,53	1	12	24	1—8	—	3-17, 3-159	6,2	205	0,6	1,35	5,94	64
		1,08/1,16	1	20	40				6,46	198		4,03	5,48	
		0,96/1,04	1	26	52				6,22	195		6,7	5,6	
		1,45/1,53	1	12	24				6,65	220		0,338	5,94	
		1,08/1,16	1	20	40				6,87	210		1,02	5,48	
		0,96/1,04	1	26	52				6,64	208		1,68	5,6	
		1,25/1,33	1	10	20				8,0	164		0,382	3,73	
		0,96/1,04	1	17	34				7,95	163		1,1	3,71	
		0,86/0,94	1	22	44				7,5	160		1,76	3,88	
$\frac{9,0; 7,0; 3,7}{25,9; 1,0}$	178	1,56/1,64	1	10	20	1—8	—	3-17, 3-159	6,6	210	0,68	1,1	6,52	64
		1,2/1,28	1	17	34				6,45	207		3,22	6,52	
		1,08/1,16	1	22	44				6,05	204		5,18	6,82	
		1,56/1,64	1	10	20				6,93	222		0,274	6,52	
		1,2/1,28	1	17	34				6,8	218		0,804	6,52	
		1,08/1,16	1	22	44				6,4	214		1,29	6,82	
		1,35/1,43	1	8	16				7,55	145		0,3	3,94	
		1,04/1,12	1	15	30				7,42	157		0,945	4,36	
		0,86/0,94	1	20	40				8,2	160		1,84	3,94	

7. Клинь — стеклотекстолит СТЭФ или прессматериал АГ-4 марки С.

8. Выводные концы катушечных групп, соединение катушечных групп и соединение обмотки с выводным кабелем изолированы стеклолакотрубкой марки ТКС.

9. Выводной кабель — провод марки РКГМ.

10. Места соединения выводного кабеля с наконечниками изолированы одним слоем стеклолакоткани ЛСП размером 0,15×20 мм вполнахлеста и одним слоем стеклянной ленты размером 0,15×20 мм вполнахлеста.

11. Стержни и кольца короткозамкнутой обмотки ротора выполнены из сплава АКМ_д 10-2.

12. Паз статора выполнен в соответствии с рис. 1-8, паз ротора соответствует рис. 1-10.

Основные обмоточно-расчетные данные электродвигателей единой

Тип электродвигателя			$P_2, \text{кВт}$	$U_1, \text{В}$	$I_1, \text{А}$	$n, \text{об/мин}$	$\eta, \%$	$\cos \varphi$	$\frac{I_{\text{пуск}}}{I_{\text{ном}}}$	$\frac{M_{\text{пуск}}}{M_{\text{ном}}}$	$\frac{M_{\text{макс}}}{M_{\text{ном}}}$	Сга					
												$\frac{D_{a1}}{D_{i1}}$	$\frac{l_{t1}}{l_{t2}}$	δ	$B_{\delta}, \text{Гс}$	z_1	q_1
АО2-61-12/8/6/4	1-я обмотка	$2p=12$	1,6	220	12,1	460	63	0,55	5	1,4	2	$\frac{291}{206}$	$\frac{153}{153}$	0,4	5 250	54	$1\frac{1}{2}$
				380	7										5 260		
				500	5,34										5 370		
		$2p=6$	3,2	220	12,5	4 400	3										
				380	7,2	4 430											
				500	5,5	4 500											
	2-я обмотка	$2p=8$	3,2	220	14,9	5 260		$2\frac{1}{4}$									
				380	8,7	5 370											
				500	6,58	5 360											
		$2p=4$	5	220	18,3	4 400	$4\frac{1}{2}$										
				380	10,6	4 500											
				500	8,05	4 480											
АО2-62-12/8/6/4	1-я обмотка	$2p=12$	2	220	14,7	5 350		$\frac{291}{206}$	$\frac{193}{193}$	0,4	5 380	54	$1\frac{1}{2}$				
				380	8,45	5 480											
				500	6,47	4 480											
		$2p=6$	4,6	220	17,8	4 550	3										
				380	10,15	4 620											
				500	7,76	5 420											
	2-я обмотка	$2p=8$	4	220	18,5	5 500					$2\frac{1}{4}$						
				380	10,6	5 600											
				500	8,12	4 530											
		$2p=4$	6,5	220	23,5	4 620	$4\frac{1}{2}$										
				380	13,5	4 700											
				500	10,3												

Примечания: 1. Изоляция электродвигателей выполнена по классу нагревостойкости F.

2. Обмотка статора в заводском исполнении двухслойная, выполнена проводом марки ПЭТВ.

3. Изоляция паза статора в заводском исполнении — стеклолакоткань ЛСП толщиной 0,15 мм; стекломиканит Г₁ФГ₁ толщиной 0,22 мм; электронит листовой толщиной 0,2 мм.

4. Междуслойная прокладка в пазу — стеклолакоткань ЛСП толщиной 0,15 мм; стекломиканит Г₁ФГ₁ толщиной 0,22 мм.

5. Прокладка между обмотками — электронит толщиной 0,6 мм.

6. Прокладка в лобовой части под каждую катушку — стеклолакоткань ЛСП толщиной 0,15 мм; стекломиканит Г₁ФГ₁ толщиной 0,22 мм.

Основные обмоточно-расчетные данные электродвигателей единой

Тип электродвигателя			$P_2, \text{квт}$	$U_1, \text{в}$	$I_1, \text{а}$	$n, \text{об/мин}$	$\eta, \%$	$\cos \varphi$	$\frac{I_{\text{пуск}}}{I_{\text{ном}}}$	$\frac{M_{\text{пуск}}}{M_{\text{ном}}}$	$\frac{M_{\text{макс}}}{M_{\text{ном}}}$	Сга					
												$\frac{D_{a1}}{D_{i1}}$	$\frac{l_{t1}}{l_{t2}}$	δ	$B_{\delta}, \text{гс}$	z_1	q_1
АО2-71-8/4	$2p=8$	10	380	22,6	700	85,0	0,79	7,0	1,2	2,0	2,0	$\frac{343}{245}$	168	0,5	6 460 5 410	54	$2\frac{1}{4}$ $4\frac{1}{2}$
	$2p=4$	14,5		31,6	1 400	86,0	0,91	7,0	1,0	2,0	2,0						
АО2-72-8/4	$2p=8$	13,5	380	30,5	700	86,0	0,79	7,0	1,2	2,0	2,0	$\frac{343}{245}$	208	0,5	6 050 5 100	54	$2\frac{1}{4}$ $4\frac{1}{2}$
	$2p=4$	19,5		36,6	1 400	88,0	0,92	7,0	1,0	2,0	2,0						
АО2-71-12/6	$2p=12$	6,4	380	20,8	470	78,0	0,55	7,0	1,2	2,0	2,0	$\frac{343}{245}$	168	0,5	8 010 5 830	54	$1\frac{1}{2}$ 3
	$2p=6$	11		22,1	950	86,0	0,88	7,0	1,1	2,0	2,0						

Примечания: 1. Изоляция электродвигателей выполнена по классу нагревостойкости F.

2. Обмотка статора в заводском исполнении двухслойная, выполнена проводом ПЭТВ.

3. Изоляция паза статора в заводском исполнении — стеклолакоткань ЛСП толщиной 0,15 мм; стекломиканит Г₁ФГ₁ толщиной 0,22 мм; электронит листовой толщиной 0,2 мм.

4. Междуслойная прокладка в пазу — стеклолакоткань ЛСП толщиной 0,15 мм; стекломиканит Г₁ФГ₁ толщиной 0,22 мм.

5. Прокладка между обмотками — электронит толщиной 0,6 мм.

6. Прокладка в лобовой части под каждую катушку — стеклолакоткань ЛСП толщиной 0,15 мм; стекломиканит Г₁ФГ₁ толщиной 0,22 мм.

7. Прокладка под клин — стеклостеклолит СТЭФ толщиной 0,5 мм.

Таблица 1-52

серии АО2 6-го габарита четырехскоростных на 12 8,6/4 полюса

тор														Ротор
Размеры паза $b; b'; b''$ $h; e$	$Q_{s1},$ $мм^2$	d/d'	m_1	$\omega_{к1}$	n_1	y_1	a_1	Схема обмотки (рис. №)	$j_1,$ $а/мм^2$	$AS_1,$ $а/см$	$l_{m1},$ $м$	$r_1, ом$	$G_1, кг$	z_2
$\frac{9,0; 7,0; 3,7}{25,9; 1,0}$	178	1,04/1,12	1	18	36	1—6	—	3-19, 3-163	8,25	210	0,532	3,49	4,11	64
		0,8/0,88	1	31	62				8,05	210		10,51	4,16	
		0,72/0,8	1	40	80				7,56	206		16,5	4,32	
		1,04/1,12	1	18	36				7,37	188		0,872	4,11	
		0,8/0,88	1	31	62				7,15	186		2,62	4,16	
		0,72/0,8	1	40	80				6,75	183		4,11	4,32	
		1,2/1,28	1	13	26	1—8	—	3-17, 3-159	7,6	187	0,6	2,14	4,43	
		0,9/0,98	1	22	44				7,9	185		6,66	4,15	
		0,8/0,88	1	29	58				7,55	183		10,8	4,37	
		1,2/1,28	1	13	26				8,1	198		0,535	4,43	
		0,9/0,98	1	22	44				8,35	195		1,64	4,15	
		0,8/0,88	1	29	58				8,0	195		2,7	4,37	
		1,16/1,24	1	14	28	1—6	—	3-19, 3-163	8,05	198	0,612	2,55	4,54	
		0,9/0,98	1	24	48				7,67	196		7,25	4,64	
		0,8/0,88	1	31	62				7,44	194		11,95	4,75	
		1,16/1,24	1	14	28				8,44	208		0,636	4,54	
$\frac{9,0; 7,0; 3,7}{25,9; 1,0}$	178	0,9/0,98	1	24	48	1—8	—	3-17, 3-159	7,97	203	0,68	1,81	4,64	64
		0,8/0,88	1	31	62				7,72	200		2,98	4,75	
		1,35/1,43	1	10	20				7,47	179		1,35	4,88	
		1,04/1,12	1	17	34				7,21	174		4,27	4,92	
		0,9/0,98	1	22	44				7,39	172		7,45	4,7	
		1,35/1,43	1	10	20				8,2	196		0,333	4,88	
		1,04/1,12	1	17	34	—	—		7,95	191		1,07	4,92	
		0,9/0,98	1	22	44				8,1	189		1,86	4,7	

7. Клин — стеклотекстолит СТЭФ или прессматериал АГ-4 марки С.

8. Выводные концы катушечных групп, соединение катушечных групп и соединение обмотки с выводным кабелем изолированы стеклолакотрубкой марки ТКС.

9. Выводной кабель — провод марки РКГМ.

10. Места соединения выводного кабеля с наконечниками изолированы одним слоем стеклолакоткани ЛСП размером 0,15×20 мм вполнахлеста и одним слоем стеклянной ленты размером 0,15×20 мм вполнахлеста.

11. Стержни и кольца короткозамкнутой обмотки ротора выполнены из сплава АКМ_п 10-2.

12. Паз статора выполнен в соответствии с рис. 1-8, паз ротора соответствует рис. 1-6.

Таблица 1-53

серии типа АО2 7-го габарита двухскоростных на 8/4 и 12,6 полюсов

тор														Ротор
Размеры паза $b; b'; b''$ $h; e$	$Q_{s1},$ $мм^2$	d/d'	m_1	$\omega_{к1}$	n_1	y_1	a_1	Схема обмотки (рис. №)	$j_1,$ $а/мм^2$	$AS_1,$ $а/см$	$l_{m1}, м$	$r_1, ом$	$G_1, кг$	z_2
$\frac{9,8; 7,7; 3,7}{27,7; 1}$	210	1,3/1,38	2	14	56	1—8	—	3-159	4,94	258	0,706	1,16	12,8	44
									5,96	310		0,289		
$\frac{9,8; 7,7; 3,7}{27,7; 1}$	210	1,5/1,58	2	12	48	1—8	—	3-159	4,98	296	0,786	0,847	16,3	44
									5,18	308		0,212		
$\frac{9,8; 7,7; 3,7}{27,7; 1}$	210	1,16/1,24	2	18	72	1—6	—	3-163	5,68	303	0,632	1,68	11,6	44
									5,24	279		0,42		

8. Клин — стеклотекстолит СТЭФ или прессматериал АГ-4 марки С.

9. Выводные концы катушечных групп, соединение катушечных групп и соединение обмотки с выводным кабелем изолированы двумя слоями стекломикаленты С2ЛФГ размером 0,2×20 мм вполнахлеста и одним слоем стеклянной ленты размером 0,15×20 мм вполнахлеста.

10. Выводной кабель — провод марки РКГМ.

11. Места соединения выводного кабеля с наконечниками изолированы одним слоем стеклолакоткани ЛСП размером 0,15×20 мм вполнахлеста и одним слоем стеклянной ленты размером 0,15×20 мм вполнахлеста.

12. Стержни и кольца короткозамкнутой обмотки ротора выполнены из алюминия марки А5.

13. Паз статора выполнен в соответствии с рис. 1-8, паз ротора соответствует рис. 1-10.

1-6. ОСНОВНЫЕ ОБМОТОЧНО-РАСЧЕТНЫЕ ДАННЫЕ

Основные обмоточно-расчетные данные электродвигателей

Тип электро- двигателя	P_2 , квт	U_1 , в	I_1 , а	n , об/мин	η , %	$\cos \varphi$	$\frac{I_{\text{пуск}}}{I_H}$	$\frac{M_{\text{пуск}}}{M_H}$	$\frac{M_{\text{макс}}}{M_H}$	Ста				
										$\frac{D_{a1}}{D_{i1}}$	$\frac{l_{t1}}{l_{t2}}$	δ	B_{δ} , гс	z_1
А31/2 и АО31/2	1,0	127/220 220/380 500	6,6/3,8 3,8/2,2 1,7	2 850	79,0	0,86	6,0	2,0	2,2	$\frac{145}{82}$	$\frac{64}{66}$	0,35	6 500 6 520 6 540	24
АО31/2*	0,6	127/220 220/380 500	4,2/2,4 2,4/1,4 1,1	2 860	76,0	0,85	6,0	2,0	2,4	$\frac{145}{82}$	$\frac{64}{66}$	0,35	5 260 5 260 5 260	24
А32/2 и АО32/2	1,7	127/220 220/380 500	11,1/6,4 6,4/3,7 2,8	2 850	81,5	0,87	7,0	2,0	2,4	$\frac{145}{82}$	$\frac{100}{102}$	0,35	6 150 6 300 6 250	24
АО32/2*	1,0	127/220 220/380 500	6,6/3,8 3,8/2,2 1,7	2 860	79,0	0,86	6,5	2,2	2,6	$\frac{145}{82}$	$\frac{100}{102}$	0,35	4 960 4 980 4 960	24
А31/4 и АО31/4	0,6	127/220 220/380 500	4,8/2,8 2,8/1,6 1,2	1 410	74,0	0,76	5,0	1,7	2,0	$\frac{145}{89}$	$\frac{64}{66}$	0,25	7 230 7 210 7 210	24
А32/4 и АО32/4	1,0	127/220 220 380 500	7,3/4,2 4,2/2,4 1,8	1 410	78,5	0,79	5,0	1,8	2,0	$\frac{145}{89}$	$\frac{100}{102}$	0,25	6 850 6 830 6 830	24
А31/6 и АО31/6	0,4	127/220 220/380 500	3,8/2,25 2,25/1,3 1,0	935	70,0	0,67	3,5	1,2	1,9	$\frac{145}{89}$	$\frac{64}{66}$	0,25	6 640 6 630 6 640	36
А32/6 и АО32/6	0,6	127/220 220/380 500	6,35/3,1 3,1/1,8 1,35	930	74,0	0,69	4,0	1,2	1,9	$\frac{145}{89}$	$\frac{100}{102}$	0,25	6 510 6 550 6 510	36

Примечания: 1. Обмотка статора в заводском исполнении однослойная, выполнена проводом марки ПЭЛБО.
2. Изоляция паза статора в заводском исполнении: электрокартон ЭВ толщиной 0,1 мм; локоткань ЛХС толщиной 0,15 мм; электрокартон ЭВ толщиной 0,1 мм.

* При перемотке этих электродвигателей и необходимости увеличения мощности обмотка статора может быть выполнена по данным электродвигателей А31/2 и АО31/2 мощностью 1,0 квт или А32/2 и АО32/2 мощностью 1,7 квт.

Основные обмоточно-расчетные данные электродвигателей

Тип электро- двигателя	P_2 , квт	U_1 , в	I_1 , а	n , об/мин	η , %	$\cos \varphi$	$\frac{I_{\text{пуск}}}{I_H}$	$\frac{M_{\text{пуск}}}{M_H}$	$\frac{M_{\text{макс}}}{M_H}$	Ста				
										$\frac{D_{a1}}{D_{i1}}$	$\frac{l_{t1}}{l_{t2}}$	δ	B_{δ} , гс	z_1
А41/2 и АЛ41/2	2,8	127/220 220/380 500	17,3/10,0 10,0/5,8 4,4	2 870	84,0	0,88	6,5	1,6	2,2	$\frac{182}{104}$	$\frac{75}{78}$	0,5	6 920 6 900 6 880	24
АО41/2	1,7	127/220 220/380 500	10,7/6,2 6,2/3,6 2,8	2 880	81,5	0,87	6,5	1,8	2,4	$\frac{182}{104}$	$\frac{75}{78}$	0,5	6 020 6 100 6 080	24
А42/2 и АЛ42/2	4,5	127/220 220/380 500	27,0/15,7 15,7/9,1 6,8	2 870	85,5	0,88	7,0	1,8	2,4	$\frac{182}{104}$	$\frac{115}{118}$	0,5	6 770 6 800 6 770	24
АО42/2 АОЛ42/2	2,8	127/220 220/380 500	17,3/10,0 10,0/5,8 4,4	2 880	84,0	0,88	6,5	1,9	2,5	$\frac{182}{104}$	$\frac{115}{118}$	0,5	5 310 5 440 5 450	24

ЭЛЕКТРОДВИГАТЕЛЕЙ ЕДИНОЙ СЕРИИ А И АО

единой серии типов А и АО 3-го габарита

тор															Ротор
q_1	Размеры паза $\frac{b; b'; b''}{h; e}$	$Q_{s1},$ мм ²	d/d'	m_1	$w_{к1}$	$n_{э1}$	y_1	a_1	Схема обмотки (рис. №)	$j_1,$ а/мм ²	$AS_1,$ а/см	$l_{m1},$ м	$r_1, ом$	$G_1, кг$	z_2
4	10,0; 7,7; 2,5	99,8	0,93/1,11	1	43	43	1—12	—	3-21	5,6	152	0,48	2,15	1,57	20
	13,0; 0,5		0,67/0,84	1	74	74	2—11	—		6,24	152		7,05	1,43	
	0,57/0,74		1	97	97	—	—	6,66		154	12,8		1,37		
4	10,0; 7,7; 2,5	99,8	0,8/0,98	1	53	53	1—12	—	3-21	4,77	119	0,49	3,7	1,45	20
	13,0; 0,5		0,59/0,76	1	92	92	2—11	—		5,14	120		11,8	1,36	
	0,49/0,655		1	121	121	—	—	5,82		124	22,5		1,24		
4	10,0; 7,7; 2,5	99,8	1,12/1,33	1	29	29	1—12	—	3-21	6,5	173	0,55	1,135	1,77	20
	13,0; 0,5		0,83/1,01	1	49	49	2—11	—		6,82	169		3,51	1,66	
	0,72/0,90		1	65	65	—	—	6,9		169	6,2		1,66		
4	10,0; 7,7; 2,5	99,8	1,00/1,21	1	36	36	1—12	—	3-21	4,84	127	0,55	1,84	1,75	20
	13,0; 0,5		0,74/0,92	1	62	62	2—11	—		5,11	127		5,8	1,65	
	0,62/0,79		1	82	82	—	—	5,64		130	10,9		1,52		
2	9,6; 7,0; 2,5	112,3	0,77/0,95	1	68	68	1—8	—	3-39	6,0	163	0,36	3,7	1,3	18
	15,3; 0,5		0,57/0,74	1	118	118	2—7	—		6,27	162		11,7	1,25	
	0,47/0,635		1	155	155	—	—	6,92		160	22,5		1,13		
2	9,6; 7,0; 2,5	112,3	0,96/1,14	1	46	46	1—8	—	3-39	5,8	166	0,43	1,92	1,62	18
	15,3; 0,5		0,72/0,90	1	80	80	2—7	—		5,9	165		5,93	1,60	
	0,59/0,76		1	105	105	—	—	6,6		162	11,6		1,43		
2	7,4; 4,4; 2,5	110,0	0,72/0,90	1	72	72	1—8	—	3-69	5,54	208	0,33	5,81	1,64	26
	20,0; 0,5		0,53/0,70	1	125	125	2—7	—		5,87	210		18,6	1,56	
	0,44/0,605		1	164	164	—	—	6,58		211	35,4		1,44		
2	7,4; 4,4; 2,5	110,0	0,93/1,11	1	47	47	1—8	—	3-69	4,57	188	0,40	2,95	2,15	26
	20,0; 0,5		0,69/0,86	1	81	81	2—7	—		4,81	188		9,11	2,06	
	0,57/0,74		1	107	107	—	—	5,3		186	17,7		1,88		

3. Прокладка в лобовой части — электрокартон ЭВ толщиной 0,2 мм и лакоткань ЛХС толщиной 0,15 мм, склеенные вместе.

4. Клинь — дерево твердой породы пропитанное.

5. Стержни и кольца короткозамкнутой обмотки ротора выполнены из алюминия марки А5.

6. Паз статора выполнен в соответствии с рис. 1-1, паз ротора соответствует рис. 1-5.

Таблица 1-55

единой серии типов А и АО 4-го габарита

тор															Ротор
q_1	Размеры паза $\frac{b; b'; b''}{h; e}$	$Q_{s1},$ $мм^2$	d/d'	m_1	$w_{к1}$	$n_{э1}$	y_1	a_1	Схема обмотки (рис. №)	$j_1,$ $а/мм^2$	$AS_1,$ $а/см$	$l_{m1},$ $м$	$r_1, ом$	$G_1, кг$	z_2
4	$\frac{12,0; 9,0; 3,0}{16,0; 0,5}$	147,3	1,4/1,61	1	27	27	1—12	—	3-21	6,5	198	0,58	0,715	2,7	20
			1,12/1,33	1	47	47	2—11	—		5,9	200		1,96	3,02	
			0,96/1,14	1	62	62	—	—		6,08	200		3,55	2,93	
4	$\frac{12,0; 9,0; 3,0}{16,0; 0,5}$	147,3	1,35/1,56	1	31	31	1—12	—	3-21	4,33	142	0,58	0,885	2,88	20
			1,04/1,25	1	53	53	2—11	—		4,26	140		2,58	2,95	
			0,9/1,08	1	70	70	—	—		4,42	144		4,55	2,92	
4	$\frac{12,0; 9,0; 3,0}{16,0; 0,5}$	147,3	1,0/1,21	3	18	54	1—12	—	3-21	6,67	207	0,66	0,36	3,17	20
			1,35/1,56	1	31	31	2—11	—		6,35	207		1,01	3,27	
			1,2/1,41	1	41	41	—	—		6,0	205		1,7	3,42	
4	$\frac{12,0; 9,0; 3,0}{16,0; 0,5}$	147,3	0,9/1,08	3	23	69	1—12	—	3-21	5,25	169	0,66	0,568	3,27	20
			1,16/1,37	1	39	39	2—11	—		5,5	166		1,7	3,05	
			1,04/1,25	1	51	51	—	—		5,19	165		2,84	3,22	

Тип электро- двигателя	P_2 , квт	U_1 , в	I_1 , а	n , об/мин	η , %	$\cos \varphi$	$\frac{I_{\text{пуск}}}{I_H}$	$\frac{M_{\text{пуск}}}{M_H}$	$\frac{M_{\text{макс}}}{M_H}$	Ст				
										$\frac{D_{a1}}{D_{i1}}$	$\frac{l_{t1}}{l_{t2}}$	δ	$B_{\delta, \text{гс}}$	z_1
А-АЛ41/4 и АО-АОЛ41/4	1,7	127/220 220/380 500	11,6/6,7 6,7/3,9 2,9	1 420	81,5	0,82	5,0	1,8	2,0	$\frac{182}{112}$	$\frac{75}{78}$	0,3	7 350 7 450 7 420	36
А-АЛ42/4 и АО-АОЛ42/4	2,8	127/220 220/380 500	18,1/10,5 10,5/6,1 4,6	1 420	83,5	0,84	5,5	1,9	2,0	$\frac{182}{112}$	$\frac{115}{118}$	0,3	7 450 7 170 7 370	36
А-АЛ41/6 и АО-АОЛ41/6	1,0	127/220 220/380 500	8,2/4,8 4,8/2,8 2,1	930	77,0	0,72	6,0	1,3	1,8	$\frac{182}{112}$	$\frac{75}{78}$	0,3	7 380 7 400 7 400	36
А-АЛ42/6 и АО-АОЛ42/6	1,7	127/220 220/380 500	13,0/7,5 7,5/4,3 3,3	930	79,5	0,75	4,5	1,4	1,8	$\frac{182}{112}$	$\frac{115}{118}$	0,3	7 300 7 350 7 300	36

Примечания: 1. Обмотка статора в заводском исполнении однослойная выполнена проводом марки ПЭЛБО.
2. Изоляция паза статора в заводском исполнении: электрокартон ЭВ толщиной 0,2 мм; лакоткань ЛХС толщиной 0,15 мм; электрокартон ЭВ толщиной 0,1 мм.
3. Прокладка в лобовой части — электрокартон ЭВ толщиной 0,2 мм и лакоткань ЛХС толщиной 0,15 мм, склеенные вместе.

Основные обмоточно-расчетные данные электродвигателей

Тип электро- двигателя	P_2 , квт	U_1 , в	I_1 , а	n , об/мин	η , %	$\cos \varphi$	$\frac{I_{\text{пуск}}}{I_H}$	$\frac{M_{\text{пуск}}}{M_H}$	$\frac{M_{\text{макс}}}{M_H}$	Ст				
										$\frac{D_{a1}}{D_{i1}}$	$\frac{l_{t1}}{l_{t2}}$	δ	$B_{\delta, \text{гс}}$	z_1
А51/2	7,0	127/220 220/380 500	41,0/24,0 24,0/13,8 10,5	2 890	87,0	0,89	6,0	1,5	2,2	$\frac{245}{140}$	$\frac{90}{94}$	0,6	6 980 6 800 6 800	24
АО51/2	4,5	127/220 220/380 500	27,0/15,6 15,6/9,1 6,9	2 900	85,5	0,88	6,5	1,6	2,4	$\frac{245}{140}$	$\frac{90}{94}$	0,6	5 710 5 710 5 710	24
А52/2	10	127/220 220/380 500	58,5/33,8 33,8/19,5 15,0	2 890	87,5	0,89	6,5	1,6	2,4	$\frac{245}{140}$	$\frac{140}{144}$	0,6	6 740 6 370 6 560	24
АО52/2	7,0	127/220 220/380 500	41,0/24,0 24,0/13,8 10,5	2 900	87,5	0,89	6,5	1,7	2,5	$\frac{245}{140}$	$\frac{140}{144}$	0,6	5 040 5 370 5 400	24
А51/4 и АО51/4	4,5	127/220 220/380 500	28,2/16,3 16,3/9,4 7,2	1 440	85,5	0,85	6,0	1,4	2,0	$\frac{245}{152}$	$\frac{90}{94}$	0,4	7 800 7 600 7 600	36
А52/4 и АО52/4	7,0	127/220 220/380 500	42,6/24,6 24,6/14,2 10,8	1 440	87,0	0,86	6,0	1,5	2,0	$\frac{245}{152}$	$\frac{140}{144}$	0,4	7 220 7 110 7 100	36
А51/6 и АО51/6	2,8	127/220 220/380 500	19,7/11,4 11,4/6,6 5,0	950	82,5	0,78	5,0	1,3	1,8	$\frac{245}{152}$	$\frac{90}{94}$	0,4	7 400 7 360 7 320	36
А52/6 и АО52/6	4,5	127/220 220/380 500	30,3/17,5 17,5/10,1 7,7	950	84,5	0,80	5,5	1,5	1,8	$\frac{245}{152}$	$\frac{140}{144}$	0,4	7 150 7 200 7 150	36

Примечания: 1. Обмотка статора электродвигателей типов А51/2, АО51/2, А52/2 и АО52/2 в заводском исполнении двухслойная, остальных типов — однослойная, выполнена проводом марки ПЭЛБО.
2. Изоляция паза статора в заводском исполнении: электрокартон ЭВ толщиной 0,2 мм; лакоткань ЛХС толщиной 0,15 мм; электрокартон ЭВ толщиной 0,2 мм.
3. Междуслойная прокладка в пазу в заводском исполнении — два слоя электрокартона ЭВ толщиной по 0,2 мм; лакоткань ЛХС 0,15 мм.

тор															Ротор
q_1	Размеры паза $b; b'; b''$ $h; e$	$Q_{s1},$ $мм^2$	d/d'	m_1	$w_{к1}$	$n_{э1}$	y_1	a_1	Схема обмотки (рис. №)	$j_1,$ $a/мм^2$	$AS_1,$ $a/см$	$l_{m1},$ $м$	$r_1, ом$	$G_1, кг$	z_1
3	$\frac{8,4; 5,6; 3,0}{19,5; 0,5}$	125,8	1,3/1,51	1	31	31	1—12	—	3-41	5,05	212	0,46	1,07	3,18	26
			0,96/1,14	1	53	53	2—11	—		5,4	211		3,58	2,98	
			0,83/1,01	1	70	70	3—10	—		5,35	208		5,99	2,96	
3	$\frac{8,4; 5,6; 3,0}{19,5; 0,5}$	125,8	1,12/1,33	2	20	40	1—12	—	3-41	5,33	215	0,54	0,575	3,59	26
			1,2/1,41	1	36	36	2—11	—		5,39	224		1,81	3,70	
			1,0/1,21	1	46	46	3—10	—		5,85	216		3,33	3,31	
2	$\frac{8,4; 5,6; 3,0}{19,5; 0,5}$	125,8	1,04/1,25	1	44	44	1—8	—	3-69	5,65	216	0,39	2,14	2,47	26
			0,77/0,95	1	76	76	2—7	—		6,0	217		6,82	2,36	
			0,67/0,84	1	100	100	—	—		5,95	214		11,4	2,35	
2	$\frac{8,4; 5,6; 0,5}{19,5; 0,5}$	125,8	1,35/1,56	1	29	29	1—8	—	3-69	5,24	222	0,47	1,03	3,02	26
			1,0/1,21	1	50	50	2—7	—		5,48	220		3,2	2,86	
			0,86/1,04	1	66	66	—	—		5,68	223		5,71	2,85	

4. Клинь — дерево твердой породы пропитанное.

5. Стержни и кольца короткозамкнутой обмотки ротора выполнены из алюминия марки А5.

6. Паз статора выполнен в соответствии с рис. 1-1, паз ротора соответствует рис. 1-5.

Таблица 1-56

единой серии А и АО 5-го габарита

тор															Ротор
q_1	Размеры паза $b; b'; b''$ $h; e$	$Q_{s1},$ $мм^2$	d/d'	m_1	$w_{к1}$	$n_{э1}$	y_1	a_1	Схема обмотки (рис. №)	$j_1,$ $a/мм^2$	$AS_1,$ $a/см$	$l_{m1},$ $м$	$r_1, ом$	$G_1, кг$	z_1
4	$\frac{16,0; 12,0; 3,3}{21,75; 0,75}$	266,5	1,2/1,41	4	9	72	1—10	—	3-1, 3-23	5,3	236	0,68	0,19	6,22	20
			1,3/1,51	2	16	64		5,2		240	0,575		6,5		
			1,12/1,33	2	21	84		5,34		240	1,01		6,34		
4	$\frac{16,0; 12,0; 3,3}{21,75; 0,75}$	266,5	1,08/1,29	4	11	88	1—10	—	3-1, 3-23	4,25	187	0,68	0,885	6,2	20
			1,16/1,37	2	19	76		4,3		188	0,855		6,15		
			1,0/1,21	2	25	100		4,4		188	1,52		6,05		
4	$\frac{16,0; 12,0; 3,3}{21,75; 0,75}$	266,5	1,5/1,71	4	6	48	1—10	—	3-1, 3-23	4,79	222	0,78	0,092	7,4	20
			1,25/1,46	3	11	66		5,3		234	0,326		7,1		
			1,4/1,61	2	14	56		4,89		229	0,50		7,54		
4	$\frac{16,0; 12,0; 3,3}{21,75; 0,75}$	266,5	1,3/1,51	4	8	64	1—10	—	3-1, 3-23	4,51	210	0,78	0,164	7,44	20
			1,16/1,37	3	13	78		4,35		195	0,447		7,22		
			1,25/1,46	2	17	68		4,28		195	0,757		7,3		
3	$\frac{10,8; 7,4; 3,2}{24,75; 0,75}$	206,5	1,25/1,46	3	18	54	1—12	—	3-41	4,43	221	0,59	0,303	6,58	26
			1,12/1,33	2	32	64	2—11	—		4,77	226		0,97	6,26	
			1,4/1,61	1	42	42	3—10	—		4,69	227		1,69	6,4	
3	$\frac{10,8; 7,4; 3,2}{24,75; 0,75}$	206,5	1,3/1,51	2	25	50	1—12	2	3-41, 3-43	4,64	231	0,69	0,171	7,66	26
			1,4/1,61	2	22	44	2—11	—		4,61	235		0,52	7,82	
			1,2/1,41	2	29	58	3—10	—		4,76	235		0,93	7,6	
2	$\frac{10,8; 7,4; 3,2}{24,75; 0,75}$	206,5	1,25/1,46	2	27	54	1—8	—	3-69	4,65	232	0,48	0,555	5,34	44
			1,35/1,56	1	47	47	2—7	—		4,6	234		1,66	5,42	
			1,16/1,37	1	62	62	—	—		4,74	234		2,95	5,28	
2	$\frac{10,8; 7,4; 3,2}{24,75; 0,75}$	206,5	1,25/1,46	3	18	54	1—8	—	3-69	4,75	238	0,58	0,298	6,45	44
			1,16/1,37	2	31	62	2—7	—		4,78	236		0,894	6,4	
			1,4/1,61	1	41	41	—	—		5,0	238		1,63	6,14	

4. Прокладка в лобовой части — электрокартон ЭВ толщиной 0,2 мм и лакоткань ЛХС толщиной 0,15 мм, склеенные вместе.

5. Клинь — дерево твердой породы пропитанное.

6. Стержни и кольца короткозамкнутой обмотки ротора выполнены из алюминия марки А5.

7. Паз статора выполнен в соответствии с рис. 1-2, паз ротора соответствует рис. 1-5.

Основные обмоточно-расчетные данные электродвигателей

Тип электро- двигателя	P_2 , квт	U , в	I , а	n , об/мин	η , %	$\cos \varphi$	$\frac{I_{\text{пуск}}}{I_{\text{н}}}$	$\frac{M_{\text{пуск}}}{M_{\text{н}}}$	$\frac{M_{\text{макс}}}{M_{\text{н}}}$	Ста				
										$\frac{D_{a1}}{D_{i1}}$	$\frac{l_{t1}}{l_{t2}}$	δ	B_{δ} , зс	z_1
A61/2	14	220/380 500	47,0/27,5 21,0	2 920	87,5	0,89	5,5	1,2	2,5	$\frac{327}{180}$	$\frac{75}{80}$	0,75	$\frac{7\ 660}{7\ 650}$	36
A62/2	20	220/380 500	66,0/38,0 29,0	2 920	88,5	0,90	6,0	1,3	2,7	$\frac{327}{180}$	$\frac{100}{105}$	0,75	$\frac{7\ 800}{7\ 990}$	36
A61/4	10	220/380 500	34,1/19,7 15,0	1 450	87,5	0,88	5,0	1,2	2,0	$\frac{327}{200}$	$\frac{75}{80}$	0,4	$\frac{8\ 500}{8\ 700}$	36
A62/4	14	220/380 500	47,5/27,5 20,8	1 450	88,5	0,88	5,5	1,3	2,0	$\frac{327}{200}$	$\frac{100}{105}$	0,4	$\frac{8\ 900}{9\ 100}$	36
A61/6	7	220/380 500	27,0/15,5 12,0	970	86,0	0,81	4,5	1,1	1,8	$\frac{327}{200}$	$\frac{75}{80}$	0,4	$\frac{9\ 260}{9\ 540}$	36
A62/6	10	220/380 500	37,0/21,5 16,5	970	86,5	0,82	4,5	1,1	1,8	$\frac{327}{200}$	$\frac{100}{105}$	0,4	$\frac{9\ 250}{9\ 120}$	36
A61/8	4,5	220/380 500	18,0/11,0 8,5	730	83,5	0,76	4,5	1,0	1,7	$\frac{327}{230}$	$\frac{75}{80}$	0,4	$\frac{8\ 000}{8\ 000}$	54
A61/8	4,5	220/380 500	18,0/11,0 8,5	730	83,5	0,76	4,5	1,0	1,7	$\frac{327}{230}$	$\frac{75}{80}$	0,4	$\frac{7\ 980}{7\ 880}$	48
A62/8	7,0	220/380 500	28,0/16,0 12,0	730	85,0	0,78	4,5	1,0	1,7	$\frac{327}{230}$	$\frac{100}{105}$	0,4	$\frac{8\ 000}{7\ 850}$	54
A62/8	7,0	220/380 500	28,0/16,0 12,0	730	85,0	0,78	4,5	1,0	1,7	$\frac{327}{230}$	$\frac{100}{105}$	0,4	$\frac{7\ 980}{7\ 860}$	48

Примечания: 1. Обмотка статора в заводском исполнении двухслойная, выполнена проводом марки ПЭЛБО.

2. Изоляция паза статора в заводском исполнении: электрокартон ЭВ толщиной 0,2 мм; лакоткань ЛХС толщиной 0,2 мм; электрокартон ЭВ толщиной 0,2 мм или два слоя пленкоэлектрокартона толщиной по 0,3 мм.

3. Междуслойная прокладка в заводском исполнении: два слоя электрокартона ЭВ толщиной по 0,2 мм; лакоткань ЛХС толщиной 0,2 мм или два слоя пленкоэлектрокартона толщиной по 0,3 мм.

Основные обмоточно-расчетные данные электро

Тип электро- двигателя	P_2 , квт	U , в	I , а	n , об/мин	η , %	$\cos \varphi$	$\frac{I_{\text{пуск}}}{I_{\text{н}}}$	$\frac{M_{\text{пуск}}}{M_{\text{н}}}$	$\frac{M_{\text{макс}}}{M_{\text{н}}}$	Ста				
										$\frac{D_{a1}}{D_{i1}}$	$\frac{l_{t1}}{l_{t2}}$	δ	B_{δ} , зс	z_1
АО62/2	10	220/380 500	34,0/19,5 15,0	2 930	87,5	0,89	7,0	1,3	2,5	$\frac{327}{180}$	$\frac{100}{105}$	0,75	$\frac{6\ 090}{5\ 990}$	36
АО63/2	14	220/380 500	46,5/27,0 20,5	2 930	88,0	0,90	7,0	1,5	2,9	$\frac{327}{180}$	$\frac{135}{140}$	0,75	$\frac{5\ 780}{5\ 910}$	36
АО62/4	10	220/380 500	34,1/19,7 15,0	1 460	87,5	0,88	6,5	1,3	2,3	$\frac{327}{200}$	$\frac{100}{105}$	0,4	$\frac{8\ 100}{8\ 090}$	36
АО63/4	14	220/380 500	47,2/27,4 20,8	1 460	88,5	0,88	7,0	1,4	2,3	$\frac{327}{200}$	$\frac{135}{140}$	0,4	$\frac{8\ 280}{8\ 250}$	36
АО62/6	7	220/380 500	27,0/15,5 12,0	980	86,0	0,81	5,5	1,4	2,2	$\frac{327}{200}$	$\frac{100}{105}$	0,4	$\frac{8\ 940}{8\ 640}$	36

единой серии типа А 6-го габарита

тор															Ротор
q_1	Размеры паза $b; b'; b''$ $h; e$	$Q_{s1},$ $мм^2$	d/d'	m_1	$\omega_{к1}$	$n_{э1}$	y_1	a_1	Схема ОБМОТКИ (рис. №)	$j,$ $a/мм^2$	$AS_1,$ $a/см$	$l_{m1},$ $м$	$r_1, ом$	$G_1, кг$	z_2
6	$\frac{13,7; 8,5; 3,7}{31,8; 1,0}$	335	$\frac{1,4/1,61}{1,56/1,77}$	3 2	9 и 10 12 и 13	57 50	1—13	— —	3-1, 3-31	5,96 5,5	333 335	0,82	0,355 0,564	12,1 13,0	28
6	$\frac{13,7; 8,5; 3,7}{31,8; 1,0}$	335	$\frac{1,4/1,61}{1,2/1,41}$	2 2	14 18	56 72	1—13	2 2	3-2, 3-32	6,18 6,4	339 332	0,87	0,208 0,365	12,5 11,85	28
3	$\frac{13,2; 8,6; 3,7}{28,8; 1,0}$	296	$\frac{1,35/1,56}{1,2/1,41}$	2 2	14 18	56 72	1—8	— —	3-3, 3-44	6,88 6,62	316 310	0,57	0,587 0,956	7,6 7,78	46
3	$\frac{13,2; 8,6; 3,7}{28,8; 1,0}$	296	$\frac{1,62/1,83}{1,4/1,61}$	2 2	10 13	40 52	1—8	— —	3-3, 3-44	6,67 6,76	315 310	0,62	0,316 0,551	8,45 8,25	46
2	$\frac{13,2; 8,6; 3,7}{28,8; 1,0}$	296	$\frac{1,2/1,41}{1,56/1,77}$	2 1	18 23	72 46	1—6	— —	3-6, 3-72	6,85 6,27	320 317	0,5	0,838 1,27	6,8 7,28	46
2	$\frac{13,2; 8,6; 3,7}{28,8; 1,0}$	296	$\frac{1,45/1,66}{1,2/1,41}$	1 2	27 18	54 72	1—6	2 —	3-7, 3-73 3-6, 3-72	6,5 7,3	333 341	0,55	0,474 0,923	8,14 7,5	46
$2\frac{1}{4}$	$\frac{10,5; 7,4; 3,2}{30,0; 2,0}$	247	$\frac{1,16/1,37}{1,45/1,66}$	2 1	16 21	64 42	1—7	— —	3-10, 3-117	5,2 5,15	265 267	0,48	1,12 1,89	8,43 8,5	58
2	$\frac{11,8; 8,2; 3,7}{29,8; 1,0}$	282	$\frac{1,2/1,41}{1,45/1,66}$	2 1	18 24	72 48	1—6	— —	3-10, 3-110	4,86 5,15	263 271	0,49	1,095 2,0	8,94 8,6	58
$2\frac{1}{4}$	$\frac{10,5; 7,4; 3,2}{30,0; 2,0}$	247	$\frac{1,35/1,56}{1,16/1,37}$	2 2	12 16	48 64	1—7	— —	3-10, 3-117	5,59 5,69	287 287	0,53	0,686 1,24	9,46 9,3	58
2	$\frac{11,8; 8,2; 3,7}{29,8; 1,0}$	282	$\frac{1,4/1,61}{1,2/1,41}$	1 2	27 18	54 72	1—6	2 —	3-11, 3-112 3-10, 3-110	5,2 5,3	388 388	0,54	0,665 1,205	9,95 9,80	58

4. Прокладка в лобовой части — электрокартон ЭВ толщиной 0,2 мм и лакоткань ЛХС толщиной 0,2 мм, склеенные вместе.
5. Клин — дерево твердой породы пропитанное.
6. Стержни и кольца короткозамкнутой обмотки ротора выполнены из алюминия марки А5.
7. Паз статора выполнен в соответствии с рис. 1-2, паз ротора соответствует рис. 1-3.

Таблица 1-58

двигателей единой серии типа АО 6-го габарита

тор															Ротор
q_1	Размеры паза $b; b'; b''$ $h; e$	$Q_{s1},$ $мм^2$	d/d'	m_1	$\omega_{к1}$	$n_{э1}$	y_1	a_1	Схема обмотки (рис. №)	$j,$ $а/мм^2$	$AS_1,$ $а/см$	$l_{m1},$ $м$	$r_1, ом$	$G_1, кг$	z_2
6	13,7; 8,5; 3,7	335	1,3/1,59	2	18	72	1—13	2	3-2, 3-32	3,67	224	0,87	0,309	14,4	28
	1,62/1,92		2	12	48	—		3-1, 3-31	3,64	230	0,534		14,65		
6	13,7; 8,5; 3,7	335	1,45/1,74	2	14	56	1—13	2	3-2, 3-32	4,08	240	0,94	0,210	14,9	28
	1,3/1,59		2	18	72	2		3,86	235	0,385	15,5				
3	13,2; 8,6; 3,7	296	1,56/1,86	2	11	44	1—8	—	3-3, 3-44	5,15	248	0,62	0,375	8,9	46
	1,35/1,64		1	29	58	2		3-4, 3-45	5,24	250	0,662		8,9		
3	13,2; 8,6; 3,7	296	1,3/1,59	2	16	64	1—8	2	3-4, 3-45	5,16	252	0,69	0,218	10,15	46
	1,62/1,92		1	21	42	2		5,05		251	0,37		10,15		
2	13,2; 8,6; 3,7	296	1,35/1,64	2	14	56	1—6	—	3-6, 3-72	5,4	249	0,55	0,566	7,8	46
	1,16/1,45		2	19	76	—		5,68		262	1,035		7,72		

Тип электро- двигателя	P_2 , квт	U , в	I , а	n , об/мин	η , %	$\cos \varphi$	$\frac{I_{\text{пуск}}}{I_{\text{н}}}$	$\frac{M_{\text{пуск}}}{M_{\text{н}}}$	$\frac{M_{\text{макс}}}{M_{\text{н}}}$	Ст				
										$\frac{D_{a1}}{D_{i1}}$	$\frac{l_{t1}}{l_{t2}}$	σ	$B_{\delta, zc}$	z_1
АО63/6	10	220/380 500	36,5/21,0 18,0	980	87,0	0,82	6,0	1,4	2,2	$\frac{327}{200}$	$\frac{135}{140}$	0,4	$\frac{8\ 850}{8\ 710}$	36
АО62/8	4,5	220/380 500	18,5/10,5 8,0	735	84,5	0,76	5,5	1,5	2,0	$\frac{327}{230}$	$\frac{100}{105}$	0,4	$\frac{6\ 850}{7\ 000}$	54
АО62/8	4,5	220/380 500	18,5/10,5 8,0	735	84,5	0,76	5,5	1,5	2,0	$\frac{327}{230}$	$\frac{100}{105}$	0,4	$\frac{7\ 980}{7\ 860}$	48
АО63/8	7,0	220/380 500	27,5/16,0 12,0	735	86,0	0,78	5,5	1,5	2,0	$\frac{327}{230}$	$\frac{135}{140}$	0,4	$\frac{7\ 080}{6\ 930}$	54
АО63/8	7,0	220/380 500	27,5/16,0 12,0	735	86,0	0,78	5,5	1,5	2,0	$\frac{327}{230}$	$\frac{135}{140}$	0,4	$\frac{7\ 980}{8\ 050}$	48

Примечания: 1. Обмотка статора в заводском исполнении двухслойная, выполнена проводом марки ПСД.
2. Изоляция паза статора в заводском исполнении — микакартон толщиной 0,4 мм и стеклолакоткань ЛСБ толщиной 0,2 мм, подклеенные.
3. Междуслойная прокладка в пазу в заводском исполнении — микакартон толщиной 0,4 мм и стеклолакоткань ЛСБ толщиной 0,2 мм, склеенные вместе.

Основные обмоточно-расчетные данные электро

Тип электро- двигателя	P_2 , квт	U , в	I , а	n , об/мин	η , %	$\cos \varphi$	$\frac{I_{\text{пуск}}}{I_{\text{н}}}$	$\frac{M_{\text{пуск}}}{M_{\text{н}}}$	$\frac{M_{\text{макс}}}{M_{\text{н}}}$	Ст				
										$\frac{D_{a1}}{D_{i1}}$	$\frac{l_{t1}}{l_{t2}}$	δ	$B_{\delta, zc}$	z_1
A71/2	28	220/380 500	92,0/53,0 40,5	2 930	89,0	0,90	5,0	1,1	2,2	$\frac{368}{205}$	$\frac{100}{105}$	0,85	$\frac{8\ 000}{7\ 900}$	36
A72/2	40	220/380 500	128/74,0 56,0	2 930	90,0	0,91	5,5	1,1	2,4	$\frac{368}{205}$	$\frac{135}{140}$	0,85	$\frac{7\ 900}{7\ 790}$	36
A71/4	20	220/380 500	67,0/39,0 29,6	1 450	89,0	0,88	5,0	1,1	2,0	$\frac{368}{230}$	$\frac{100}{105}$	0,5	$\frac{9\ 150}{9\ 210}$	36
A72/4	28	220/380 500	93,0/54,0 41,0	1 450	90,0	0,88	5,5	1,2	2,0	$\frac{368}{230}$	$\frac{135}{140}$	0,5	$\frac{8\ 800}{6\ 860}$	36
A71/6	14	220/380 500	51,0/29,6 22,4	970	87,0	0,83	4,5	1,2	1,8	$\frac{368}{260}$	$\frac{100}{105}$	0,45	$\frac{8\ 010}{7\ 790}$	54
A72/6	20	220/380 500	71,3/41,3 31,4	970	88,0	0,84	4,5	1,2	1,8	$\frac{368}{260}$	$\frac{135}{140}$	0,45	$\frac{7\ 950}{7\ 950}$	54
A71/8	10	220/380 500	38,0/22,0 16,5	730	85,0	0,80	4,0	1,1	1,7	$\frac{368}{260}$	$\frac{100}{105}$	0,45	$\frac{8\ 450}{8\ 560}$	54
A71/8	10	220/380 500	38,0/22,0 16,5	730	85,0	0,80	4,0	1,1	1,7	$\frac{368}{260}$	$\frac{100}{105}$	0,45	$\frac{7\ 940}{7\ 800}$	48
A72/8	14	220/380 500	52,0/30,0 23,0	730	87,0	0,81	4,0	1,1	1,7	$\frac{368}{260}$	$\frac{135}{140}$	0,45	$\frac{8\ 380}{8\ 250}$	54
A72/8	14	220/380 500	52,0/30,0 23,0	730	87,0	0,81	4,0	1,1	1,7	$\frac{368}{260}$	$\frac{135}{140}$	0,45	$\frac{7\ 850}{8\ 100}$	48

Примечания: 1. Обмотка статора в заводском исполнении двухслойная, выполнена проводом марки ПЭЛБО.

2. Изоляция паза статора в заводском исполнении: электрокартон ЭВ толщиной 0,2 мм; лакоткань ЛХС толщиной 0,2 мм; электрокартон ЭВ толщиной 0,2 мм или два слоя пленкоэлектрокартона толщиной по 0,3 мм.

3. Междуслойная прокладка в пазу в заводском исполнении: два слоя электрокартона ЭВ толщиной по 0,2 мм; лакоткань ЛХС толщиной 0,2 мм или два слоя пленкоэлектрокартона толщиной по 0,3 мм.

тор															Ротор
q_1	Размеры паза $b; b'; b''$ $h; e$	$Q_{s1},$ $мм^2$	d/d'	m_1	$w_{к1}$	$n_{э1}$	y_1	a_1	Схема обмотки (рис. №)	$j_1,$ $a/мм^2$	$AS_1,$ $a/см$	$l_{m1},$ $м$	$r_1, ом$	$G_1, кг$	z_2
2	$\frac{13,2; 8,6; 3,7}{28,8; 1,0}$	296	$\frac{1,62/1,92}{1,4/1,69}$	$\frac{1}{2}$	$\frac{21}{14}$	$\frac{42}{56}$	$\frac{1-6}{-}$	$\frac{2}{-}$	$\frac{3-7, 3-73}{3-6, 3-72}$	$\frac{5,1}{5,2}$	$\frac{253}{257}$	0,62	$\frac{0,333}{0,592}$	$\frac{9,14}{9,2}$	46
$2\frac{1}{4}$	$\frac{10,5; 7,4; 3,2}{30,0; 2,0}$	247	$\frac{1,16/1,45}{1,5/1,8}$	$\frac{2}{1}$	$\frac{14}{18}$	$\frac{56}{36}$	$\frac{1-7}{-}$	$\frac{-}{-}$	$\frac{3-10, 3-117}{-}$	$\frac{4,97}{4,53}$	$\frac{220}{216}$	0,53	$\frac{1,09}{1,675}$	$\frac{8,6}{8,98}$	58
2	$\frac{11,8; 8,2; 3,7}{29,8; 1,0}$	282	$\frac{1,35/1,64}{1,68/1,99}$	$\frac{1}{1}$	$\frac{27}{18}$	$\frac{54}{36}$	$\frac{1-6}{-}$	$\frac{2}{-}$	$\frac{3-11, 3-112}{3-10, 3-110}$	$\frac{3,66}{3,6}$	$\frac{189}{192}$	0,54	$\frac{0,715}{1,23}$	$\frac{9,6}{9,75}$	58
$2\frac{1}{4}$	$\frac{10,5; 7,4; 3,2}{30,0; 2,0}$	247	$\frac{1,45/1,74}{1,2/1,49}$	$\frac{2}{1}$	$\frac{10}{27}$	$\frac{40}{54}$	$\frac{1-7}{-}$	$\frac{-}{2}$	$\frac{3-10, 3-117}{3-11, 3-118}$	$\frac{4,84}{5,3}$	$\frac{239}{242}$	0,6	$\frac{0,566}{1,11}$	$\frac{10,74}{9,84}$	58
2	$\frac{11,8; 8,2; 3,7}{29,8; 1,0}$	282	$\frac{1,62/1,92}{1,35/1,64}$	$\frac{2}{2}$	$\frac{10}{13}$	$\frac{40}{52}$	$\frac{1-6}{-}$	$\frac{-}{-}$	$\frac{3-10, 3-110}{-}$	$\frac{3,88}{4,18}$	$\frac{213}{208}$	0,61	$\frac{0,415}{0,777}$	$\frac{11,4}{10,45}$	58

4. Прокладка в лобовой части — микакартон толщиной 0,5 мм.

5. Клинь — стеклотекстолит марки СТ или текстолит марки Б.

6. Стержни и кольца короткозамкнутой обмотки ротора выполнены из алюминия марки А5.

7. Паз статора выполнен в соответствии с рис. 1-2, паз ротора соответствует рис. 1-3.

Таблица 1-59

двигателей единой серии типа А 7-го габарита

тор															Ротор
q_1	Размеры паза $b; b'; b''$ $h; e$	$Q_{s1},$ $мм^2$	d/d'	m_1	$\omega_{к1}$	$n_{э1}$	y_1	a_1	Схема обмотки (рис. №)	$i_1,$ $a/мм^2$	$AS_1,$ $a/см$	$l_{m1},$ $м$	$r, ом$	$G_1, кг$	z_2
6	$\frac{15,4; 9,8; 3,7}{34,8; 1,0}$	416	$\frac{1,4/1,61}{1,45/1,66}$	$\begin{matrix} 3 \\ 2 \end{matrix}$	$\begin{matrix} 12 \\ 16 \end{matrix}$	$\begin{matrix} 72 \\ 64 \end{matrix}$	1—13	$\begin{matrix} 2 \\ 2 \end{matrix}$	3-2, 3-32	$\begin{matrix} 5,75 \\ 6,12 \end{matrix}$	$\begin{matrix} 355 \\ 363 \end{matrix}$	0,93	$\begin{matrix} 0,127 \\ 0,237 \end{matrix}$	$\begin{matrix} 17,3 \\ 16,4 \end{matrix}$	28
6	$\frac{15,4; 9,8; 3,7}{34,8; 1,0}$	416	$\frac{1,62/1,83}{1,4/1,61}$	$\begin{matrix} 3 \\ 3 \end{matrix}$	$\begin{matrix} 9 \\ 12 \end{matrix}$	$\begin{matrix} 54 \\ 72 \end{matrix}$	1—13	$\begin{matrix} 2 \\ 2 \end{matrix}$	3-2, 3-32	$\begin{matrix} 5,99 \\ 6,06 \end{matrix}$	$\begin{matrix} 372 \\ 376 \end{matrix}$	1,0	$\begin{matrix} 0,076 \\ 0,137 \end{matrix}$	$\begin{matrix} 18,7 \\ 18,6 \end{matrix}$	28
3	$\frac{15,18; 10,3; 3,7}{30,8; 1,0}$	370	$\frac{1,4/1,61}{1,2/1,41}$	$\begin{matrix} 2 \\ 2 \end{matrix}$	$\begin{matrix} 17 \\ 22 \end{matrix}$	$\begin{matrix} 68 \\ 88 \end{matrix}$	1—8	$\begin{matrix} 2 \\ 2 \end{matrix}$	3-4, 3-45	$\begin{matrix} 6,35 \\ 6,54 \end{matrix}$	$\begin{matrix} 330 \\ 325 \end{matrix}$	0,72	$\begin{matrix} 0,209 \\ 0,370 \end{matrix}$	$\begin{matrix} 12,7 \\ 12,1 \end{matrix}$	44
3	$\frac{15,18; 10,3; 3,7}{30,8; 1,0}$	370	$\frac{1,62/1,83}{1,4/1,61}$	$\begin{matrix} 2 \\ 2 \end{matrix}$	$\begin{matrix} 13 \\ 17 \end{matrix}$	$\begin{matrix} 52 \\ 68 \end{matrix}$	1—8	$\begin{matrix} 2 \\ 2 \end{matrix}$	3-4, 3-45	$\begin{matrix} 6,55 \\ 6,66 \end{matrix}$	$\begin{matrix} 350 \\ 347 \end{matrix}$	0,79	$\begin{matrix} 0,131 \\ 0,230 \end{matrix}$	$\begin{matrix} 14,0 \\ 13,8 \end{matrix}$	44
3	$\frac{11,9; 8,7; 3,7}{29,8; 1,0}$	291	$\frac{1,2/1,41}{1,45/1,66}$	$\begin{matrix} 2 \\ 1 \end{matrix}$	$\begin{matrix} 17 \\ 23 \end{matrix}$	$\begin{matrix} 68 \\ 46 \end{matrix}$	1—8	$\begin{matrix} 2 \\ 2 \end{matrix}$	3-7, 3-84	$\begin{matrix} 6,54 \\ 6,78 \end{matrix}$	$\begin{matrix} 333 \\ 341 \end{matrix}$	0,62	$\begin{matrix} 0,369 \\ 0,683 \end{matrix}$	$\begin{matrix} 12,2 \\ 11,9 \end{matrix}$	44
3	$\frac{11,9; 8,7; 3,7}{29,8; 1,0}$	291	$\frac{1,62/1,83}{1,4/1,61}$	$\begin{matrix} 1 \\ 1 \end{matrix}$	$\begin{matrix} 19 \\ 25 \end{matrix}$	$\begin{matrix} 38 \\ 50 \end{matrix}$	1—8	$\begin{matrix} 3 \\ 3 \end{matrix}$	3-8, 3-86	$\begin{matrix} 6,68 \\ 6,8 \end{matrix}$	$\begin{matrix} 346 \\ 347 \end{matrix}$	0,69	$\begin{matrix} 0,224 \\ 0,392 \end{matrix}$	$\begin{matrix} 13,7 \\ 13,5 \end{matrix}$	44
$2\frac{1}{4}$	$\frac{10,5; 7,4; 3,7}{29,0; 1,0}$	248	$\frac{1,56/1,77}{1,35/1,56}$	$\begin{matrix} 2 \\ 2 \end{matrix}$	$\begin{matrix} 10 \\ 13 \end{matrix}$	$\begin{matrix} 40 \\ 52 \end{matrix}$	1—7	$\begin{matrix} — \\ — \end{matrix}$	3-10, 3-117	$\begin{matrix} 5,75 \\ 5,78 \end{matrix}$	$\begin{matrix} 291 \\ 284 \end{matrix}$	0,57	$\begin{matrix} 0,452 \\ 0,801 \end{matrix}$	$\begin{matrix} 11,43 \\ 11,05 \end{matrix}$	58
2	$\frac{13,3; 9,6; 3,7}{30,8; 1,0}$	333	$\frac{1,56/1,77}{1,35/1,56}$	$\begin{matrix} 2 \\ 2 \end{matrix}$	$\begin{matrix} 12 \\ 16 \end{matrix}$	$\begin{matrix} 48 \\ 64 \end{matrix}$	1—6	$\begin{matrix} — \\ — \end{matrix}$	3-10, 3-110	$\begin{matrix} 5,75 \\ 5,78 \end{matrix}$	$\begin{matrix} 310 \\ 310 \end{matrix}$	0,56	$\begin{matrix} 0,494 \\ 0,880 \end{matrix}$	$\begin{matrix} 12 \\ 11,8 \end{matrix}$	44
$2\frac{1}{4}$	$\frac{10,5; 7,4; 3,7}{29,0; 1,0}$	248	$\frac{1,25/1,46}{1,56/1,77}$	$\begin{matrix} 2 \\ 2 \end{matrix}$	$\begin{matrix} 15 \\ 10 \end{matrix}$	$\begin{matrix} 60 \\ 40 \end{matrix}$	1—7	$\begin{matrix} 2 \\ — \end{matrix}$	$\begin{matrix} 3-11, 3-118 \\ 3-10, 3-117 \end{matrix}$	$\begin{matrix} 6,11 \\ 6,02 \end{matrix}$	$\begin{matrix} 298 \\ 304 \end{matrix}$	0,64	$\begin{matrix} 0,303 \\ 0,518 \end{matrix}$	$\begin{matrix} 12,21 \\ 12,75 \end{matrix}$	58
2	$\frac{13,3; 9,6; 3,7}{30,8; 1,0}$	333	$\frac{1,56/1,77}{1,4/1,61}$	$\begin{matrix} 3 \\ 3 \end{matrix}$	$\begin{matrix} 9 \\ 11 \text{ и } 12 \end{matrix}$	$\begin{matrix} 54 \\ 69 \end{matrix}$	1—6	$\begin{matrix} — \\ — \end{matrix}$	3-10, 3-110	$\begin{matrix} 5,23 \\ 5,0 \end{matrix}$	$\begin{matrix} 318 \\ 311 \end{matrix}$	0,63	$\begin{matrix} 0,278 \\ 0,440 \end{matrix}$	$\begin{matrix} 15,4 \\ 15,1 \end{matrix}$	44

4. Прокладка в лобовой части — электрокартон ЭВ толщиной 0,2 мм и лакоткань ЛХС толщиной 0,2 мм, склеенные вместе.

5. Клинь — дерево твердой породы пропитанное.

6. Стержни и кольца короткозамкнутой обмотки ротора выполнены из алюминия марки А5.

7. Паз статора выполнен в соответствии с рис. 1-2, паз ротора соответствует рис. 1-3.

Основные обмоточно-расчетные данные электро

Тип электро- двигателя	P_2 , квт	U , в	I , а	n , об/мин	η , %	$\cos \varphi$	$\frac{I_{\text{пуск}}}{I_{\text{н}}}$	$\frac{M_{\text{пуск}}}{M_{\text{н}}}$	$\frac{M_{\text{макс}}}{M_{\text{н}}}$	Ста				
										$\frac{D_{a1}}{D_{i1}}$	$\frac{l_{t1}}{l_{t2}}$	δ	B_{δ} , гс	z_1
АО72/2	20	220/380 500	66,0/38,0 29,0	2 940	88,5	0,90	7,0	1,2	2,9	$\frac{368}{205}$	$\frac{135}{140}$	0,85	6 470 6 660	36
АО73/2	28	220/380 500	90,0/52,0 39,5	2 940	89,5	0,91	6,5	1,4	2,6	$\frac{368}{205}$	$\frac{185}{190}$	0,85	5 760 5 690	36
АО72/4	20	220/380 500	67,0/38,8 29,5	1 460	89,0	0,88	6,5	1,3	2,3	$\frac{368}{230}$	$\frac{135}{140}$	0,5	8 200 8 350	36
АО73/4	28	220/380 500	93,0/53,8 41,0	1 460	90,0	0,88	7,0	1,4	2,3	$\frac{368}{230}$	$\frac{185}{190}$	0,5	8 350 8 450	36
АО72/6	14	220/380 500	50,5/29,0 22,1	980	88,0	0,83	5,5	1,4	2,2	$\frac{368}{260}$	$\frac{135}{140}$	0,45	7 550 7 640	54
АО73/6	20	220/380 500	70,5/41,0 31,0	975	88,5	0,84	6,5	1,4	2,2	$\frac{368}{260}$	$\frac{185}{190}$	0,45	7 350 7 230	54
АО72/8	10	220/380 500	38,0/22,0 16,5	730	87,0	0,80	5,0	1,3	2,0	$\frac{368}{260}$	$\frac{135}{140}$	0,45	7 860 7 860	54
АО72/8	10	220/380 500	38,0/22,0 16,5	730	87,0	0,80	5,0	1,3	2,0	$\frac{368}{260}$	$\frac{135}{140}$	0,45	7 450 7 450	48
АО73/8	14	220/380 500	52,0/30,0 23,0	730	87,5	0,81	5,0	1,3	2,0	$\frac{368}{260}$	$\frac{185}{190}$	0,45	7 650 7 500	54
АО73/8	14	220/380 500	52,0/30,0 23,0	730	87,5	0,81	5,0	1,3	2,0	$\frac{368}{260}$	$\frac{185}{190}$	0,45	7 350 7 530	48

Примечания: 1. Обмотка статора в заводском исполнении двухслойная, выполнена проводом марки ПСД.
 2. Изоляция пазов статора в заводском исполнении — микакартон толщиной 0,4 мм, стеклолакоткань ЛСБ толщиной 0,2 мм, подклеенные.
 3. Междуслойная прокладка в пазу в заводском исполнении — микакартон толщиной 0,4 мм и стеклолакоткань ЛСБ толщиной 0,2 мм, склеенные вместе.

Основные обмоточно-расчетные данные электро

Тип электро- двигателя	P_2 , квт	U , в	I , а	n , об/мин	η , %	$\cos \varphi$	$\frac{I_{\text{пуск}}}{I_{\text{н}}}$	$\frac{M_{\text{пуск}}}{M_{\text{н}}}$	$\frac{M_{\text{макс}}}{M_{\text{н}}}$	Ста				
										$\frac{D_{a1}}{D_{i1}}$	$\frac{l_{t1}}{l_{t2}}$	δ	B_{δ} , гс	z_1
А81/2	55	220/380 500	175/101 77,0	2 930	90,5	0,91	5,0	1,0	2,2	$\frac{423}{240}$	$\frac{130}{140}$	1,4	7 500 7 500	36
А82/2	75	220/380 500	235/136 104	2 930	91,0	0,92	5,5	1,1	2,4	$\frac{423}{240}$	$\frac{180}{190}$	1,4	7 220 7 120	36
А81/4	40	220/380 500	131/76 57,5	1 460	90,5	0,89	6,0	1,1	2,0	$\frac{423}{265}$	$\frac{130}{135}$	0,6	9 500 9 050	48
А82/4	55	220/380 500	178/103 78,5	1 460	91,0	0,89	6,0	1,2	2,0	$\frac{423}{265}$	$\frac{180}{185}$	0,6	9 180 9 050	48

двигателей единой серии типа АО 7-го габарита

тор															Рстор
q_1	Размеры паза $b; b'; b''$ $h; e$	$Q_{s1},$ $мм^2$	d/d'	m_1	$w_{к1}$	$n_{э1}$	y_1	a_1	Схема обмотки (рис. №)	$j_1,$ $a/мм^2$	$AS_1,$ $a/см$	$l_{m1},$ $м$	$r_1, ом$	$G_1, кг$	z_2
6	$\frac{15,4; 9,8; 3,7}{34,8; 1,0}$	416	$\frac{1,5/1,8}{1,62/1,92}$	$\begin{matrix} 3 \\ 2 \end{matrix}$	$\begin{matrix} 11 \\ 14 \end{matrix}$	$\begin{matrix} 66 \\ 56 \end{matrix}$	1—13	$\begin{matrix} 2 \\ 2 \end{matrix}$	3-2, 3-32	$\begin{matrix} 3,58 \\ 3,52 \end{matrix}$	$\begin{matrix} 234 \\ 227 \end{matrix}$	1,0	$\begin{matrix} 0,108 \\ 0,179 \end{matrix}$	$\begin{matrix} 20,2 \\ 19,8 \end{matrix}$	28
6	$\frac{15,4; 9,8; 3,7}{34,8; 1,0}$	416	$\frac{1,5/1,8}{1,5/1,8}$	$\begin{matrix} 4 \\ 3 \end{matrix}$	$\begin{matrix} 9 \\ 12 \end{matrix}$	$\begin{matrix} 72 \\ 72 \end{matrix}$	1—13	$\begin{matrix} 2 \\ 2 \end{matrix}$	3-2, 3-32	$\begin{matrix} 3,68 \\ 3,73 \end{matrix}$	$\begin{matrix} 262 \\ 266 \end{matrix}$	1,1	$\begin{matrix} 0,073 \\ 0,130 \end{matrix}$	$\begin{matrix} 24,3 \\ 24,2 \end{matrix}$	28
3	$\frac{15,18; 10,3; 3,7}{30,8; 1,0}$	370	$\frac{1,56/1,86}{1,35/1,64}$	$\begin{matrix} 2 \\ 2 \end{matrix}$	$\begin{matrix} 14 \\ 18 \end{matrix}$	$\begin{matrix} 56 \\ 72 \end{matrix}$	1—8	$\begin{matrix} 2 \\ 2 \end{matrix}$	3-4, 3-45	$\begin{matrix} 5,06 \\ 5,15 \end{matrix}$	$\begin{matrix} 271 \\ 266 \end{matrix}$	0,79	$\begin{matrix} 0,152 \\ 0,261 \end{matrix}$	$\begin{matrix} 14,8 \\ 14,3 \end{matrix}$	44
3	$\frac{15,18; 10,3; 3,7}{30,8; 1,0}$	370	$\frac{1,56/1,86}{1,62/1,92}$	$\begin{matrix} 3 \\ 2 \end{matrix}$	$\begin{matrix} 10 \\ 13 \end{matrix}$	$\begin{matrix} 60 \\ 52 \end{matrix}$	1—8	$\begin{matrix} 2 \\ 2 \end{matrix}$	3-4, 3-45	$\begin{matrix} 4,69 \\ 4,96 \end{matrix}$	$\begin{matrix} 268 \\ 266 \end{matrix}$	0,89	$\begin{matrix} 0,0818 \\ 0,147 \end{matrix}$	$\begin{matrix} 17,9 \\ 16,6 \end{matrix}$	44
3	$\frac{11,9; 8,7; 3,7}{29,8; 1,0}$	291	$\frac{1,56/1,86}{1,35/1,64}$	$\begin{matrix} 1 \\ 1 \end{matrix}$	$\begin{matrix} 20 \\ 26 \end{matrix}$	$\begin{matrix} 40 \\ 52 \end{matrix}$	1—8	$\begin{matrix} 3 \\ 3 \end{matrix}$	3-8, 3-86	$\begin{matrix} 5,05 \\ 5,15 \end{matrix}$	$\begin{matrix} 256 \\ 254 \end{matrix}$	0,69	$\begin{matrix} 0,254 \\ 0,440 \end{matrix}$	$\begin{matrix} 13,7 \\ 13,5 \end{matrix}$	44
3	$\frac{11,9; 8,7; 3,7}{29,8; 1,0}$	291	$\frac{1,62/1,92}{1,62/1,92}$	$\begin{matrix} 2 \\ 1 \end{matrix}$	$\begin{matrix} 10 \\ 20 \end{matrix}$	$\begin{matrix} 40 \\ 40 \end{matrix}$	1—8	$\begin{matrix} 2 \\ 3 \end{matrix}$	$\begin{matrix} 3-7, 3-84 \\ 3-8, 3-86 \end{matrix}$	$\begin{matrix} 4,97 \\ 5,02 \end{matrix}$	$\begin{matrix} 271 \\ 273 \end{matrix}$	0,79	$\begin{matrix} 0,151 \\ 0,270 \end{matrix}$	$\begin{matrix} 17,1 \\ 16,9 \end{matrix}$	44
$2\frac{1}{4}$	$\frac{10,5; 7,4; 3,7}{29,0; 1,0}$	248	$\frac{1,12/1,41}{1,45/1,74}$	$\begin{matrix} 2 \\ 1 \end{matrix}$	$\begin{matrix} 16 \\ 21 \end{matrix}$	$\begin{matrix} 64 \\ 42 \end{matrix}$	1—7	$\begin{matrix} 2 \\ 2 \end{matrix}$	3-11, 3-118	$\begin{matrix} 5,58 \\ 5,0 \end{matrix}$	$\begin{matrix} 232 \\ 229 \end{matrix}$	0,64	$\begin{matrix} 0,402 \\ 0,630 \end{matrix}$	$\begin{matrix} 10,88 \\ 11,6 \end{matrix}$	58
2	$\frac{13,3; 9,6; 3,7}{30,8; 1,0}$	333	$\frac{1,2/1,49}{1,56/1,86}$	$\begin{matrix} 2 \\ 1 \end{matrix}$	$\begin{matrix} 19 \\ 25 \end{matrix}$	$\begin{matrix} 76 \\ 50 \end{matrix}$	1—6	$\begin{matrix} 2 \\ 2 \end{matrix}$	3-11, 3-112	$\begin{matrix} 4,86 \\ 4,31 \end{matrix}$	$\begin{matrix} 245 \\ 243 \end{matrix}$	0,63	$\begin{matrix} 0,372 \\ 0,560 \end{matrix}$	$\begin{matrix} 13,0 \\ 14,4 \end{matrix}$	44
$2\frac{1}{4}$	$\frac{10,5; 7,4; 3,7}{29,0; 1,0}$	248	$\frac{1,35/1,64}{1,12/1,41}$	$\begin{matrix} 2 \\ 2 \end{matrix}$	$\begin{matrix} 12 \\ 16 \end{matrix}$	$\begin{matrix} 48 \\ 64 \end{matrix}$	1—7	$\begin{matrix} 2 \\ 2 \end{matrix}$	3-11, 3-118	$\begin{matrix} 5,23 \\ 5,84 \end{matrix}$	$\begin{matrix} 238 \\ 243 \end{matrix}$	0,74	$\begin{matrix} 0,240 \\ 0,474 \end{matrix}$	$\begin{matrix} 13,56 \\ 12,56 \end{matrix}$	58
2	$\frac{13,3; 9,6; 3,7}{30,8; 1,0}$	333	$\frac{1,45/1,74}{1,45/1,74}$	$\begin{matrix} 4 \\ 3 \end{matrix}$	$\begin{matrix} 7 \\ 9 \end{matrix}$	$\begin{matrix} 56 \\ 54 \end{matrix}$	1—6	$\begin{matrix} — \\ — \end{matrix}$	3-10, 3-110	$\begin{matrix} 4,54 \\ 4,64 \end{matrix}$	$\begin{matrix} 247 \\ 244 \end{matrix}$	0,73	$\begin{matrix} 0,218 \\ 0,372 \end{matrix}$	$\begin{matrix} 15,8 \\ 15,4 \end{matrix}$	44

4. Прокладка в лобовой части — микакартон толщиной 0,5 мм.

5. Клинь — стеклотекстолит марки СТ или текстолит марки Б.

6. Стержни и кольца короткозамкнутой обмотки ротора выполнены из алюминия марки А5.

7. Паз статора выполнен в соответствии с рис. 1-2, паз ротора соответствует рис. 1-3.

двигателей единой серии типа А 8-го габарита

тор															Ротор
q_1	$\frac{\text{Размеры паза}}{b; b'; b''}$ $h; e$	$Q_{s1},$ $мм^2$	d/d'	m_1	$w_{к1}$	$n_{э1}$	y_1	a_1	Схема обмотки (рис. №)	$j_1,$ $а/мм^2$	$AS_1,$ $а/см$	$l_{m1},$ $м$	$r_1, ом$	$G_1, кг$	z_2
6	$\frac{17,4; 11,3; 3,4}{38,0; 1,0}$	519	$\frac{1,62/1,83}{1,56/1,77}$	5 4	8 10 и 11	80 84	1—14	2 2	3-2, 3-33	4,9 5,03	386 386	1,25	0,051 0,088	34,6 33,6	28
6	$\frac{17,4; 11,3; 3,4}{38,0; 1,0}$	519	$\frac{1,68/1,89}{1,81, 2,02}$	6 4	6 8	72 64	1—14	2 2	3-2, 3-33	5,1 5,06	390 398	1,35	0,032 0,055	36,2 37	28
4	$\frac{13,3; 8,8; 3,2}{36,8; 1,0}$	387	$\frac{1,5/1,71}{1,5/1,71}$	4 3	8 11	64 66	1—11	2 2	3-4, 3-55	5,38 5,42	350 365	0,98	0,077 0,141	25,2 25,8	58
4	$\frac{13,3; 8,8; 3,2}{36,8; 1,0}$	387	$\frac{1,45/1,66}{1,56/1,77}$	3 4	12 8	72 64	1—11	4 2	3-5, 3-56 3-4, 3-55	5,2 5,13	356 362	1,08	0,046 0,079	29 20	58

Тип электро- двигателя	P_2 , квт	U , в	I , а	n , об/мин	η , %	$\cos \varphi$	$\frac{I_{\text{пуск}}}{I_{\text{н}}}$	$\frac{M_{\text{пуск}}}{M_{\text{н}}}$	$\frac{M_{\text{макс}}}{M_{\text{н}}}$	Ст				
										$\frac{D_{a1}}{D_{i1}}$	$\frac{l_{t1}}{l_{t2}}$	δ	$B_{\delta, \text{гс}}$	z_1
A81/6	28	220/380 500	97,5/56,5 43,0	975	89,0	0,85	5,0	1,2	1,8	$\frac{423}{300}$	$\frac{130}{135}$	0,55	8 350 8 350	72
A82/6	40	220/380 500	136/79,8 59,8	975	90,0	0,86	5,5	1,3	1,8	$\frac{423}{300}$	$\frac{180}{185}$	0,55	8 090 7 960	72
A81/8	20	220/380 500	73,0/42 32,0	730	88,0	0,82	4,5	1,1	1,7	$\frac{423}{300}$	$\frac{130}{135}$	0,55	8 120 8 400	72
A82/8	28	220/380 500	100,58,0 44,0	730	89,0	0,83	4,5	1,2	1,7	$\frac{423}{300}$	$\frac{180}{185}$	0,55	8 070 7 720	72

Примечания: 1. Обмотка статора в заводском исполнении двухслойная, выполнена проводом марки ПЭЛБО.

2. Изоляция паза статора в заводском исполнении: электрокартон ЭВ толщиной 0,2 мм; лакоткань ЛХС толщиной 0,2 мм; электрокартон ЭВ толщиной 0,2 мм или два слоя пленкоэлектрокартона толщиной по 0,3 мм.

3. Междуслойная прокладка в пазу в заводском исполнении: два слоя электрокартона ЭВ толщиной по 0,2 мм; лакоткань ЛХС толщиной 0,2 мм или два слоя пленкоэлектрокартона толщиной по 0,3 мм.

Основные обмоточно-расчетные данные электро

Тип электро- двигателя	P_2 , квт	U , в	I , а	n , об/мин	η , %	$\cos \varphi$	$\frac{I_{\text{пуск}}}{I_{\text{н}}}$	$\frac{M_{\text{пуск}}}{M_{\text{н}}}$	$\frac{M_{\text{макс}}}{M_{\text{н}}}$	Ст				
										$\frac{D_{a1}}{D_{i1}}$	$\frac{l_{t1}}{l_{t2}}$	δ	$B_{\delta, \text{гс}}$	z_1
АО82/2	40	220/380 500	129/75 57,0	2 950	89,5	0,91	6,5	1,2	2,5	$\frac{423}{240}$	$\frac{180}{190}$	1,4	6 200 6 320	36
АО83/2	55	220/380 500	174/100 77,0	2 950	90,0	0,92	6,5	1,3	2,6	$\frac{423}{240}$	$\frac{250}{260}$	1,4	5 670 5 860	36
АО82/4	40	220/380 500	130/75,0 57,5	1 470	90,5	0,89	6,5	1,2	2,3	$\frac{423}{265}$	$\frac{180}{185}$	0,6	7 860 8 050	48
АО83/4	55	220/380 500	178/103 78,5	1 470	91,0	0,89	6,5	1,3	2,3	$\frac{423}{265}$	$\frac{250}{255}$	0,6	7 940 8 020	48
АО82/6	28	220/380 500	96,0/55,5 42,5	980	89,0	0,86	6,0	1,4	2,2	$\frac{423}{300}$	$\frac{180}{185}$	0,55	6 930 7 090	72
АО83/6	40	220/380 500	134/77,5 59,0	980	90,0	0,87	6,5	1,5	2,2	$\frac{423}{300}$	$\frac{250}{255}$	0,55	7 470 7 650	72
АО82/8	20	220/380 500	72,5/42,0 32,0	735	88,0	0,82	5,5	1,4	2,0	$\frac{423}{300}$	$\frac{180}{185}$	0,55	7 200 7 060	72
АО83/8	28	220/380 500	99,5/57,5 44,0	735	89,0	0,83	5,5	1,4	2,0	$\frac{423}{300}$	$\frac{250}{255}$	0,55	7 150 7 170	72

Примечания: 1. Обмотка статора в заводском исполнении двухслойная, выполнена проводом марки ПСД.

2. Изоляция паза статора в заводском исполнении — микакартон толщиной 0,4 мм, стеклолакоткань ЛСБ толщиной 0,2 мм, подклеенные.

3. Междуслойная прокладка в пазу в заводском исполнении — микакартон толщиной 0,4 мм и стеклолакоткань ЛСБ толщиной 0,2 мм, склеенные вместе.

тор															Ротор
q_1	Размеры паза $b; b'; b''$ $h; e$	$Q_{s1},$ $мм^2$	d/d'	m_1	$\omega_{к1}$	$n_{э1}$	y_1	a_1	Схема обмотки (рис. №)	$j_1,$ $a/мм^2$	$AS_1,$ $a/см$	$l_{m1},$ $м$	$r_1, ом$	$G_1, кг$	z_2
4	$\frac{10,0; 7,35; 3,2}{32,8; 1,0}$	271	$\frac{1,45/1,66}{1,56/1,77}$	$\frac{3}{2}$	$\frac{8}{11}$	$\frac{48}{44}$	1—11	$\frac{2}{2}$	3-7, 3-97	$\frac{5,7}{5,62}$	$\frac{345}{345}$	0,85	$\frac{0,145}{0,257}$	$\frac{23,2}{24,3}$	58
4	$\frac{10,0; 7,35; 3,2}{32,8; 1,0}$	271	$\frac{1,4/1,61}{1,45/1,66}$	$\frac{3}{2}$	$\frac{9}{12}$	$\frac{54}{48}$	1—11	$\frac{3}{3}$	3-8, 3-99	$\frac{5,76}{6,02}$	$\frac{366}{366}$	0,95	$\frac{0,086}{0,161}$	$\frac{27,2}{25,6}$	58
3	$\frac{10,0; 7,35; 3,2}{32,8; 1,0}$	271	$\frac{1,56/1,77}{1,56/1,77}$	$\frac{2}{3}$	$\frac{11}{7}$	$\frac{44}{42}$	1—8	$\frac{2}{—}$	$\frac{3-11, 3-126}{3-10, 3-125}$	$\frac{5,5}{5,58}$	$\frac{353}{342}$	0,72	$\frac{0,216}{0,365}$	$\frac{21,0}{20,4}$	58
3	$\frac{10,0; 7,35; 3,2}{32,8; 1,0}$	271	$\frac{1,45/1,66}{1,56/1,77}$	$\frac{3}{2}$	$\frac{8}{11}$	$\frac{48}{44}$	1—8	$\frac{2}{2}$	3-11, 3-126	$\frac{5,85}{5,76}$	$\frac{355}{370}$	0,82	$\frac{0,138}{0,246}$	$\frac{22,8}{23,8}$	58

4. Прокладка в лобовой части — электрокартон ЭВ толщиной 0,2 мм и лакоткань ЛХС толщиной 0,2 мм, склеенные вместе.

5. Клинь — дерево твердой породы пропитанное.

6. Стержни и кольца короткозамкнутой обмотки ротора выполнены из алюминия марки А5.

7. Паз статора выполнен в соответствии с рис. 1-2, паз ротора соответствует рис. 1-3.

Таблица 1-62

двигателей единой серии типа АО 8-го габарита

тор															Ротор
q_1	Размеры паза $b; b'; b''$ $h; e$	$Q_{s1},$ $мм^2$	d/d'	m_1	ω_{x1}	$n_{\Theta 1}$	y_1	a_1	Схема обмотки (рис. №)	$j_1,$ $a/мм^2$	$AS_1,$ $a/см$	$l_{m1},$ $м$	$\varepsilon_{r1}, ом$	$G_1, кг$	z_2
6	$\frac{17,4; 11,3; 3,4}{38,0; 1,0}$	519	$\frac{1,68/1,99}{1,68/1,99}$	$\frac{5}{4}$	$\frac{7}{9}$	$\frac{70}{72}$	1—14	$\frac{2}{2}$	3-2, 3-33	$\frac{3,38}{3,21}$	$\frac{251}{245}$	1,35	$\frac{0,045}{0,072}$	$\frac{36,1}{37}$	28
6	$\frac{17,4; 11,3; 3,4}{38,0; 1,0}$	519	$\frac{1,74/2,05}{1,68/1,99}$	$\frac{6}{5}$	$\frac{5 \text{ и } 6}{7}$	$\frac{66}{70}$	1—14	$\frac{2}{2}$	3-2, 3-33	$\frac{3,5}{3,47}$	$\frac{262}{257}$	1,49	$\frac{0,030}{0,049}$	$\frac{40,3}{39,8}$	28
4	$\frac{13,3; 8,8; 3,2}{36,8; 1,0}$	387	$\frac{1,68/1,99}{1,68/1,99}$	$\frac{4}{3}$	$\frac{7}{9}$	$\frac{56}{54}$	1—11	$\frac{2}{2}$	3-4, 3-55	$\frac{4,22}{4,31}$	$\frac{303}{298}$	1,08	$\frac{0,059}{0,102}$	$\frac{31,3}{30,1}$	58
4	$\frac{13,3; 8,8; 3,2}{36,8; 1,0}$	387	$\frac{1,62/1,92}{1,4/1,69}$	$\frac{3}{3}$	$\frac{10}{13}$	$\frac{60}{78}$	1—11	$\frac{4}{4}$	3-5, 3-56	$\frac{4,16}{4,25}$	$\frac{298}{294}$	1,22	$\frac{0,035}{0,06}$	$\frac{35}{34}$	58
4	$\frac{10,0; 7,35; 3,2}{32,8; 1,0}$	271	$\frac{1,56/1,86}{1,68/1,99}$	$\frac{3}{2}$	$\frac{7}{9}$	$\frac{42}{36}$	1—11	$\frac{2}{2}$	3-7, 3-97	$\frac{4,84}{4,78}$	$\frac{297}{292}$	0,95	$\frac{0,124}{0,204}$	$\frac{27}{26,6}$	58
4	$\frac{10,0; 7,35; 3,2}{32,8; 1,0}$	271	$\frac{1,56/1,86}{1,68/1,99}$	$\frac{3}{2}$	$\frac{7}{9}$	$\frac{42}{36}$	1—11	$\frac{3}{3}$	3-8, 3-99	$\frac{4,5}{4,43}$	$\frac{276}{270}$	1,09	$\frac{0,063}{0,103}$	$\frac{30,8}{30,3}$	58
3	$\frac{10,0; 7,35; 3,2}{32,8; 1,0}$	271	$\frac{1,35/1,64}{1,68/1,99}$	$\frac{3}{3}$	$\frac{9}{6}$	$\frac{54}{36}$	1—8	$\frac{2}{—}$	$\frac{3-11, 3-126}{3-10, 3-125}$	$\frac{4,89}{4,8}$	$\frac{290}{294}$	0,82	$\frac{0,178}{0,309}$	$\frac{23}{23,8}$	58
3	$\frac{10,0; 7,35; 3,2}{32,8; 1,0}$	271	$\frac{1,35/1,64}{1,68/1,99}$	$\frac{2}{1}$	$\frac{13}{17}$	$\frac{52}{34}$	1—8	$\frac{4}{4}$	3-12, 3-127	$\frac{5,01}{4,95}$	$\frac{286}{286}$	0,96	$\frac{0,113}{0,192}$	$\frac{25,2}{25}$	58

4. Прокладка в лобовой части — micaкартон толщиной 0,5 мм.

5. Клинь — стеклотекстолит марки СТ или текстолит марки Б.

6. Стержни и кольца короткозамкнутой обмотки ротора выполнены из алюминия марки А5.

7. Паз статора выполнен в соответствии с рис. 1-2, паз ротора соответствует рис. 1-3.

Основные обмоточно-расчетные данные

Тип электро- двигателя	P_2 , квт	U , в	I , а	n , об/мин	η , %	$\cos \varphi$	$\frac{I_{\text{пуск}}}{I_{\text{н}}}$	$\frac{M_{\text{пуск}}}{M_{\text{н}}}$	$\frac{M_{\text{макс}}}{M_{\text{н}}}$	Ста				
										$\frac{D_{a1}}{D_{i1}}$	$\frac{l_{t1}}{l_{t2}}$	δ	B_{δ} , гс	z_1
A91/2	100	220/380 500	312/180 137	2 950	91,5	0,92	5,5	1,0	2,2	$\frac{493}{285}$	$\frac{160}{170}$	2,0	6 900 6 810	48
A92/2	125	220/380 500	388/225 171	2 950	92,0	0,92	5,5	1,0	2,2	$\frac{493}{285}$	$\frac{220}{230}$	2,0	6 480 6 610	48
A91/4	75	220/380 500	242/140 106	1 460	91,5	0,89	5,5	1,0	2,0	$\frac{493}{315}$	$\frac{160}{165}$	1,0	8 200 8 300	60
A92/4	100	220/380 500	320/185 141	1 460	92,0	0,89	5,0	1,0	2,0	$\frac{493}{315}$	$\frac{220}{225}$	1,0	7 470 7 470	60
A91/6	55	220/380 500	183/106 80,0	980	91,0	0,87	5,0	1,0	1,8	$\frac{493}{350}$	$\frac{160}{165}$	0,6	8 250 8 350	72
A92/6	75	220/380 500	243/141 107	980	92,0	0,88	5,0	1,0	1,8	$\frac{493}{350}$	$\frac{220}{225}$	0,6	7 840 7 890	72
A91/8	40	220/380 500	139/81,0 61,0	730	90,0	0,84	4,5	1,1	1,7	$\frac{493}{350}$	$\frac{160}{165}$	0,6	8 350 8 250	72
A92/8	55	220/380 500	188/109 83,0	730	91,0	0,84	4,5	1,1	1,7	$\frac{493}{350}$	$\frac{220}{225}$	0,6	8 300 8 250	72

Примечания: 1. Обмотка статора в заводском исполнении двухслойная, выполнена проводом марки ПЭЛБО.
2. Изоляция паза статора в заводском исполнении — электрокартон ЭВ толщиной 0,2 мм; лакоткань ЛХС толщиной 0,2 мм; электрокартон ЭВ толщиной 0,2 мм или два слоя пленкоэлектрокартона толщиной по 0,3 мм.
3. Междуслойная прокладка в пазу в заводском исполнении — два слоя электрокартона ЭВ толщиной по 0,2 мм; лакоткань ЛХС толщиной 0,2 мм или два слоя пленкоэлектрокартона толщиной по 0,3 мм.

Основные обмоточно-расчетные данные

Тип электро- двигателя	P_2 , квт	U , в	I , а	n , об/мин	η , %	$\cos \varphi$	$\frac{I_{\text{пуск}}}{I_{\text{н}}}$	$\frac{M_{\text{пуск}}}{M_{\text{н}}}$	$\frac{M_{\text{макс}}}{M_{\text{н}}}$	Ста				
										$\frac{D_{a1}}{D_{i1}}$	$\frac{l_{t1}}{l_{t2}}$	δ	B_{δ} , гс	z_1
АО93/2	75	220/380 500	236/136 104	2 960	90,5	0,92	6,0	1,1	2,3	$\frac{493}{285}$	$\frac{250}{260}$	2,0	5 000 4 780	48
АО94/2	100	220/380 500	314/182 138	2 960	91,0	0,92	6,0	1,2	2,3	$\frac{493}{285}$	$\frac{320}{330}$	2,0	4 450 4 550	48
АО93/4	75	220/380 500	239/138 105	1 470	91,5	0,90	6,5	1,1	2,3	$\frac{493}{315}$	$\frac{250}{255}$	1,0	6 590 6 590	60
АО94/4	100	220/380 500	318/184 139	1 470	92,0	0,90	6,5	1,2	2,3	$\frac{493}{315}$	$\frac{320}{325}$	1,0	6 850 6 750	60
АО93/6	55	220/380 500	181/104 79,5	985	91,0	0,88	6,0	1,2	2,2	$\frac{493}{350}$	$\frac{250}{255}$	0,6	6 900 6 940	72
АО94/6	75	220/380 500	240/139 106	985	92,0	0,89	6,0	1,2	2,2	$\frac{493}{350}$	$\frac{320}{325}$	0,6	7 000 7 080	72

Таблица 1-63

электродвигателей единой серии типа А 9-го габарита

тор															Ротор
q_1	Размеры паза $b; b'; b''$ $h; e$	$Q_{s1},$ $мм^2$	d/d'	m_1	$\omega_{к1}$	$n_{э1}$	y_1	a_1	Схема обмотки (рис. №)	$j_1,$ $a/мм^2$	$AS_1,$ $a/см$	$l_{m1},$ $м$	$r_1, ом$	$G_1,$ $кг$	z_2
8	$\frac{16,4; 11,0; 4,1}{44,0; 1,0}$	577	$\frac{1,88/2,09}{1,68/1,89}$	7 7	4 и 5 6	63 84	1—18	2 2	3-2, 3-38	$\frac{4,63}{4,4}$	$\frac{435}{440}$	1,48	$\frac{0,024}{0,040}$	$\frac{57,9}{61,7}$	40
8	$\frac{16,4; 11,0; 4,1}{44,0; 1,0}$	577	$\frac{1,88/2,09}{1,88/2,09}$	10 8	3 и 4 4 и 5	70 72	1—18	2 2	3-2, 3-38	$\frac{4,05}{3,84}$	$\frac{423}{413}$	1,60	$\frac{0,0142}{0,0228}$	$\frac{69,9}{71,7}$	40
5	$\frac{13,4; 9,2; 3,7}{43,0; 1,0}$	465	$\frac{1,68/1,89}{1,45/1,66}$	3 3	10 13	60 78	1—14	4 4	3-5, 3-62	$\frac{5,25}{5,35}$	$\frac{425}{418}$	1,17	$\frac{0,038}{0,067}$	$\frac{43,8}{42,4}$	50
5	$\frac{13,4; 9,2; 3,7}{43,0; 1,0}$	465	$\frac{1,68/1,89}{1,68/1,89}$	4 3	8 10 и 11	64 63	1—14	4 4	3-5, 3-62	$\frac{5,2}{5,29}$	$\frac{449}{449}$	1,29	$\frac{0,026}{0,044}$	$\frac{51,4}{50,5}$	50
4	$\frac{11,5; 8,4; 3,7}{38,0; 1,0}$	363	$\frac{1,45/1,66}{1,5/1,71}$	2 3	17 11	68 66	1—11	6 3	3-9, 3-101 3-8, 3-99	$\frac{5,35}{5,03}$	$\frac{394}{384}$	0,95	$\frac{0,057}{0,092}$	$\frac{35,5}{36,8}$	58
4	$\frac{11,5; 8,4; 3,7}{38,0; 1,0}$	363	$\frac{1,68/1,89}{1,45/1,66}$	2 2	13 17	52 68	1—11	6 6	3-9, 3-101	$\frac{5,3}{5,4}$	$\frac{400}{398}$	1,07	$\frac{0,037}{0,064}$	$\frac{41,6}{40,7}$	58
3	$\frac{11,5; 8,4; 3,7}{38,0; 1,0}$	363	$\frac{1,56/1,77}{1,56/1,77}$	2 3	15 10	60 60	1—8	4 2	3-12, 3-127 3-11, 3-126	$\frac{5,3}{5,31}$	$\frac{398}{400}$	0,82	$\frac{0,085}{0,150}$	$\frac{31,2}{31,2}$	58
3	$\frac{11,5; 8,4; 3,7}{38,0; 1,0}$	363	$\frac{1,5/1,71}{1,62/1,83}$	3 2	11 14 и 15	66 58	1—8	4 4	3-12, 3-127	$\frac{5,14}{5,04}$	$\frac{394}{394}$	0,94	$\frac{0,051}{0,087}$	$\frac{37,7}{38,3}$	58

4. Прокладка в лобовой части — электрокартон ЭВ толщиной 0,2 мм и лакоткань ЛХС толщиной 0,2 мм, склеенные вместе.

5. Клинь — дерево твердой породы пропитанное.

6. Стержни и кольца короткозамкнутой обмотки ротора выполнены из алюминия марки А5.

7. Паз статора выполнен в соответствии с рис. 1-2, паз ротора соответствует рис. 1-3.

Таблица 1-64

электродвигателей единой серии типа АО 9-го габарита

тор															Ротор
q_1	Размеры паза $b; b'; b''$ $h; e$	$Q_{s1},$ $мм^2$	d/d'	m_1	$\omega_{к1}$	$n_{э1}$	y_1	a_1	Схема обмотки (рис. N)	$j_1,$ $a, мм^2$	$AS_1,$ $a/см$	$l_{m1},$ $м$	$r_1, ом$	$G_1,$ $кг$	z_2
8	16,4; 11,0; 4,1	577	1,88/2,19	8	4	64	1—18	2	3-2, 3-38	3,06	292	1,66	0,021	67,8	40
	44,0; 1,0		1,88/2,19	6	5 и 6	66		2		3,12	307		0,0384	69,6	
8	16,4; 11,0; 4,1	577	1,95/2,26	9	3 и 4	63	1—18	2	3-2, 3-38	3,38	342	1,80	0,0164	78,0	40
	44,0; 1,0		1,95/2,26	7	4 и 5	63		2		3,3	334		0,0270	77,4	
5	13,4; 9,2; 3,7	465	1,68/1,99	4	8	64	1—14	4	3-5, 3-62	3,88	335	1,35	0,027	55,5	50
	43,0; 1,0		1,68/1,99	3	10 и 11	63		4		3,94	335		0,046	54,5	
5	13,4; 9,2; 3,7	465	1,62/1,92	6	6	52	1—14	4	3-5, 3-62	3,72	335	1,49	0,0154	64,4	50
	43,0; 1,0		1,74/2,05	4	8	68		4		3,65	338		0,0278	65,2	
4	11,5; 8,4; 3,7	363	1,68/1,99	2	13	72	1—11	6	3-9, 3-101	3,9	296	1,13	0,039	45,2	58
	38,0; 1,0		1,45/1,74	2	17	64		6		4,0	295		0,068	44,3	
4	11,5; 8,4; 3,7	363	1,56/1,86	3	10	60	1—11	6	3-9, 3-101	4,04	304	1,27	0,0264	51,2	58
	38,0; 1,0		1,68/1,99	2	13	52		6		3,98	302		0,044	50,6	

Тип электро- двигателя	P_2 , квт	U , в	I , а	n , об/мин	η , %	$\cos \varphi$	$\frac{I_{\text{пуск}}}{I_{\text{н}}}$	$\frac{M_{\text{пуск}}}{M_{\text{н}}}$	$\frac{M_{\text{макс}}}{M_{\text{н}}}$	Ст				
										$\frac{D_{a1}}{D_{i1}}$	$\frac{l_{t1}}{l_{t2}}$	δ	$B_{\delta, \text{гс}}$	z_1
АО93/8	40	220/380 500	139/80,0 61,0	735	90,0	0,84	5,5	1,3	2,0	$\frac{493}{350}$	$\frac{250}{255}$	0,6	7 300 7 250	72
АО94/8	55	220/380 500	189/108 83,0	735	91,0	0,84	5,5	1,3	2,0	$\frac{493}{350}$	$\frac{320}{325}$	0,6	7 360 7 480	72

Примечания: 1. Обмотка статора в заводском исполнении двухслойная, выполнена проводом марки ПСД.
2. Изоляция паза статора в заводском исполнении — микакартон толщиной 0,4 мм, стеклолакоткань ЛСБ толщиной 0,2 мм, подклеенные.

3. Междуслойная прокладка в пазу в заводском исполнении — микакартон толщиной 0,4 мм и стеклолакоткань ЛСБ толщиной 0,2 мм, склеенные вместе.

Основные обмоточно-расчетные данные

Тип электро- двигателя	P_2 , квт	U , в	I , а	n , об/мин	η , %	$\cos \varphi$	$\frac{I_{\text{пуск}}}{I_{\text{н}}}$	$\frac{M_{\text{пуск}}}{M_{\text{н}}}$	$\frac{M_{\text{макс}}}{M_{\text{н}}}$	Ст				
										$\frac{D_{a1}}{D_{i1}}$	$\frac{l_{t1}}{l_{t2}}$	δ	$B_{\delta, \text{гс}}$	z_1
АОС31/2	1,0	127/220 220/380 500	6,9/4,0 4,0/2,3 1,75	2 760	75	0,88	5,5	2,5	2,8	$\frac{145}{82}$	$\frac{64}{66}$	0,35	6 400 6 530 6 550	24
АОС31/2*	0,6	127/220 220/380 500	4,35/2,5 2,5/1,6 1,2	2 760	72,0	0,87	5,5	2,6	2,8	$\frac{145}{82}$	$\frac{64}{66}$	0,35	5 280 5 250 5 250	24
АОС32/2	1,7	127/220 220/380 500	11,4/6,6 6,6/3,8 2,9	2 730	76	0,89	5,5	2,8	2,8	$\frac{145}{82}$	$\frac{100}{102}$	0,35	6 150 6 100 6 100	24
АОС32/2*	1,0	127/220 220/380 500	6,9/4,0 4,0/2,3 1,75	2 760	75,0	0,88	5,5	2,8	2,8	$\frac{145}{82}$	$\frac{100}{102}$	0,35	4 970 5 000 4 970	24
АОС31/4	0,6	127/220 220/380 500	5,15/3,0 3,0/1,7 1,3	1 300	67,0	0,79	5,0	2,3	2,3	$\frac{145}{89}$	$\frac{64}{66}$	0,25	7 240 7 240 7 240	24
АОС32/4	1,0	127/220 220/380 500	8,15/4,7 4,7/2,7 2,0	1 300	69,0	0,81	5,0	2,3	2,3	$\frac{145}{89}$	$\frac{100}{102}$	0,25	6 820 6 800 6 800	24

Примечания: 1. Обмотка статора в заводском исполнении однослойная, выполнена проводом марки ПЭЛБО.

2. Изоляция паза статора в заводском исполнении: электрокартон ЭВ толщиной 0,1 мм; лакоткань ЛХС толщиной 0,15 мм; электрокартон ЭВ толщиной 0,1 мм.

* При перемотке этих электродвигателей и необходимости увеличения мощности обмотка может быть выполнена по данным электродвигателей АОС31/2 мощностью 1,0 квт или АОС32/2 мощностью 1,7 квт.

тор															Ротор
q_1	Размеры паза $b; b'; b''$ $h; e$	$Q_{s1},$ $мм^2$	d/d'	m_1	$\omega_{к1}$	$n_{\Sigma 1}$	y_1	a_1	Схема обмотки (рис. №)	$j_1,$ $a/мм^2$	$AS_1,$ $a/см$	$l_{m1},$ $м$	$r_1, ом$	$G_1, кг$	z_2
3	$\frac{11,5; 8,4; 3,7}{38,0; 1,0}$	363	$\frac{1,45/1,74}{1,56/1,86}$	3 2	11 14 и 15	66 58	1—8	4 4	3-12, 3-127	4,04 3,98	288 290	1,0	0,058 0,10	38,8 38,9	58
3	$\frac{11,5; 8,4; 3,7}{38,0; 1,0}$	363	$\frac{1,68/1,99}{1,45/1,74}$	3 3	8 и 9 11	51 66	1—8	4 4	3-12, 3-127	4,05 4,18	300 299	1,14	0,038 0,066	45,6 44,2	58

4. Прокладка в лобовой части — микакартон толщиной 0,5 мм.

5. Клинь — стеклотекстолит марки СТ или текстолит марки Б.

6. Стержни и кольца короткозамкнутой обмотки ротора выполнены из алюминия марки А5.

7. Паз статора выполнен в соответствии с рис. 1-2, паз ротора соответствует рис. 1-3.

Таблица 1-65

электродвигателей единой серии типа АОС 3-го габарита

тор															Ротор
q_1	Размеры паза $b; b'; b''$ $h; e$	$Q_{s1},$ $мм^2$	d/d'	m_1	$\omega_{к1}$	$n_{э1}$	y_1	a_1	Схема обмотки (рис. №)	$j_1,$ $a/мм^2$	$AS_1,$ $a/см$	$l_{m1},$ $м$	$r_1, ом$	$G_1, кг$	z_2
4	$\frac{10,0; 7,7; 2,5}{13,0; 0,5}$	99,8	$\frac{0,93/1,11}{0,67/0,84}$ $0,57/0,74$	1 1 1	43 74 97	43 74 97	$\frac{1-12}{2-11}$	— — —	3-21	$\frac{5,9}{6,5}$ 6,85	$\frac{161}{158}$ 158	0,48	$\frac{4,18}{13,9}$ 25,1	$\frac{1,572}{1,428}$ 1,368	20
4	$\frac{10,0; 7,7; 2,5}{13,0; 0,5}$	99,8	$\frac{0,8/0,98}{0,59/0,76}$ $0,49/0,655$	1 1 1	53 92 121	53 92 121	$\frac{1-12}{2-11}$	— — —	3-21	$\frac{4,98}{5,86}$ 6,38	$\frac{123}{137}$ 136	0,480	$\frac{3,56}{11,35}$ 21,7	$\frac{1,45}{1,39}$ 1,28	20
4	$\frac{10,0; 7,7; 2,5}{13,0; 0,5}$	99,8	$\frac{1,12/1,33}{0,83/1,01}$ $0,72/0,90$	1 1 1	29 51 67	29 51 67	$\frac{1-12}{2-11}$	— — —	3-21	$\frac{6,7}{7,0}$ 7,12	$\frac{178}{180}$ 181	0,552	$\frac{2,23}{7,16}$ 12,5	$\frac{1,77}{1,728}$ 1,728	20
4	$\frac{10,0; 7,7; 2,5}{13,0; 0,5}$	99,8	$\frac{1,0/1,21}{0,74/0,92}$ $0,62/0,79$	1 1 1	36 62 82	36 62 82	$\frac{1-12}{2-11}$	— — —	3-21	$\frac{5,1}{5,35}$ 5,8	$\frac{134}{133}$ 134	0,552	$\frac{1,78}{5,6}$ 10,5	$\frac{1,75}{1,67}$ 1,56	20
2	$\frac{9,6; 7,0; 2,5}{15,3; 0,5}$	112,3	$\frac{0,77/0,95}{0,57/0,74}$ $0,47/0,635$	1 1 1	68 118 155	68 118 155	$\frac{1-8}{2-7}$	— — —	3-39	$\frac{6,43}{6,67}$ 7,5	$\frac{175}{173}$ 173	0,36	$\frac{3,7}{11,7}$ 22,5	$\frac{1,3}{1,25}$ 1,13	22
2	$\frac{9,6; 7,0; 2,5}{15,3; 0,5}$	112,3	$\frac{0,96/1,14}{0,72/0,90}$ $0,59/0,76$	1 1 1	46 80 105	46 80 105	$\frac{1-8}{2-7}$	— — —	3-39	$\frac{6,5}{6,63}$ 7,34	$\frac{186}{185}$ 180	0,43	$\frac{1,92}{5,93}$ 11,6	$\frac{1,62}{1,60}$ 1,43	22

3. Прокладка в лобовой части — электрокартон ЭВ толщиной 0,5 мм и лакоткань ЛХС толщиной, 0,15 мм, склеенные вместе.

4. Клинь — дерево твердой породы пропитанное.

5. Стержни и кольца короткозамкнутой обмотки ротора выполнены из сплава Al — 85,5% и Si — 13%.

6. Паз статора выполнен в соответствии с рис. 1-1, паз ротора соответствует рис. 1-5.

Основные обмоточно-расчетные данные электродвигателей

Тип электро- двигателя	P_2 , квт	U , в	I , а	n , об/мин	η , %	$\cos \varphi$	$\frac{I_{пуск}}{I_H}$	$\frac{M_{пуск}}{M_H}$	$\frac{M_{макс}}{M_H}$	Ст				
										$\frac{D_{a1}}{D_{i1}}$	$\frac{l_{t1}}{l_{t2}}$	δ	$B_{\delta, gc}$	z_1
АОС41/2	1,7	127/220 220/380 500	11,4/6,6 6,6/3,8 2,9	2 730	76,0	0,89	5,5	2,8	2,8	$\frac{182}{104}$	$\frac{75}{78}$	0,5	5 940 6 040 6 000	24
АОС42/2	2,8	127/220 220/380 500	18,5/10,6 10,6/6,2 4,7	2 700	77,0	0,90	5,5	2,8	2,8	$\frac{182}{104}$	$\frac{115}{118}$	0,5	5 320 5 440 5 480	24
АОС41/4	1,7	127/220 220/380 500	12,8/7,4 7,4/4,3 3,3	1 300	72,0	0,84	5,0	2,3	2,3	$\frac{182}{112}$	$\frac{75}{78}$	0,3	7 380 7 490 7 440	36
АОС42/4	2,8	127/220 220/380 500	20,0/11,7 11,7/6,8 5,2	1 300	74,0	0,85	5,0	2,3	2,3	$\frac{182}{112}$	$\frac{115}{118}$	0,3	7 430 7 180 7 350	36
АОС41/6	1,0	127/220 220/380 500	8,4/4,9 4,9/2,8 2,2	860	69,5	0,77	4,0	2,2	2,2	$\frac{182}{112}$	$\frac{75}{78}$	0,3	7 420 7 450 7 450	36
АОС42/6	1,7	127/220 220/380 500	13,7/7,9 7,9/4,6 3,5	860	72,0	0,79	4,5	2,2	2,4	$\frac{182}{112}$	$\frac{115}{118}$	0,3	7 300 7 350 7 300	36

Примечания: 1. Обмотка статора в заводском исполнении однослойная, выполнена проводом марки ПЭЛБО.
2. Изоляция паза статора в заводском исполнении: электрокартон ЭВ толщиной 0,2 мм; лакоткань ЛХС толщиной 0,15 мм; электрокартон ЭВ толщиной 0,1 мм.
3. Прокладка в лобовой части — электрокартон ЭВ толщиной 0,2 мм и лакоткань ЛХС толщиной 0,15 мм, склеенные вместе.

Основные обмоточно-расчетные данные электродвигателей

Тип электро- двигателя	P_2 , квт	U , в	I , а	n , об/мин	η , %	$\cos \varphi$	$\frac{I_{пуск}}{I_H}$	$\frac{M_{пуск}}{M_H}$	$\frac{M_{макс}}{M_H}$	Ст				
										$\frac{D_{a1}}{D_{i1}}$	$\frac{l_{t1}}{l_{t2}}$	δ	$B_{\delta, gc}$	z_1
АОС51/2	4,5	127/220 220/380 500	28,8/16,6 16,6/9,6 7,3	2 700	0,78	0,91	5,5	2,8	2,8	$\frac{245}{140}$	$\frac{90}{94}$	0,6	5 700 5 700 5 700	24
АОС52/2	7,0	127/220 220/380 500	44,5/25,6 25,6/14,8 11,2	2 700	79,0	0,91	5,5	2,8	2,8	$\frac{245}{140}$	$\frac{140}{144}$	0,6	5 050 5 380 5 400	24
АОС51/4	4,5	127/220 220/380 500	31,0/18,0 18,0/10,4 8,0	1 335	76,0	0,86	5,0	2,3	2,3	$\frac{245}{152}$	$\frac{90}{94}$	0,4	7 800 7 580 7 580	36
АОС52/4	7,0	127/220 220/380 500	46,7/27,0 27,0/15,6 11,9	1 335	78,0	0,87	5,0	2,3	2,3	$\frac{245}{152}$	$\frac{140}{144}$	0,4	7 230 7 140 7 100	36
АОС51/6	2,8	127/220 220/380 500	21,3/12,3 12,3/7,0 5,4	870	74,0	0,81	4,0	2,0	2,4	$\frac{245}{152}$	$\frac{90}{94}$	0,4	7 400 7 360 7 340	36

Таблица 1-66

единой серии типа АОС 4-го габарита

тор															Ротор
q_1	Размеры паза $\frac{b; b'; b''}{h; e}$	$Q_{s1},$ $мм^2$	d/d'	m_1	$\omega_{к1}$	$n_{\partial 1}$	y_1	a_1	Схема обмотки (рис. №)	$j_1,$ $a/мм^2$	$AS_1,$ $a/см$	$l_{m1},$ $м$	$r_1, ом$	$G_1, кг$	z_2
4	$\frac{12,0; 9,0; 3,0}{16,0; 0,5}$	147,3	1,35/1,56 1,04/1,25 0,9/1,08	1 1 1	31 53 70	31 53 70	1—12 2—11	— — —	3-21	4,61 4,48 4,55	151 148 149	0,58	0,885 2,58 4,55	2,88 2,95 2,92	20
4	$\frac{12,0; 9,9; 3,0}{16,0; 0,5}$	147,3	0,9/1,08 1,16/1,37 1,04/1,25	3 1 1	23 39 51	69 39 51	1—12 2—11	— — —	3-21	5,55 5,87 5,54	179 178 176	0,66	0,568 1,7 2,84	3,27 3,05 3,22	20
3	$\frac{8,4; 5,6; 3,0}{19,5; 0,5}$	125,8	1,3/1,51 0,96/1,14 0,83/1,01	1 1 1	31 53 70	31 53 70	1—12 2—11 3—10	— — —	3-41	5,58 5,94 6,1	235 233 236	0,46	1,07 3,58 5,99	3,18 2,98 2,96	26
3	$\frac{8,4; 5,6; 3,0}{19,5; 0,5}$	125,8	1,12/1,33 1,2/1,41 1,0/1,21	2 1 1	20 36 46	40 36 46	1—12 2—11 3—10	— — —	3-41	5,94 6,0 6,63	240 250 245	0,54	0,575 1,81 3,33	3,59 3,70 3,31	26
2	$\frac{8,4; 5,6; 3,0}{19,5; 0,5}$	125,8	1,04/1,25 0,77/0,95 0,67/0,84	1 1 1	44 76 100	44 76 100	1—8 2—7	— — —	3-69	5,77 6,0 6,23	220 218 225	0,39	2,14 6,82 11,4	2,47 2,36 2,35	42
2	$\frac{8,4; 5,6; 3,0}{19,5; 0,5}$	125,8	1,35/1,56 1,0/1,21 0,86/1,04	1 1 1	29 50 66	29 50 66	1—8 2—7	— — —	3-69	5,5 5,86 6,02	234 235 236	0,47	1,03 3,2 5,71	3,02 2,86 2,85	42

4. Клинь — дерево твердой породы пропитанное.
 5. Стержни и кольца короткозамкнутой обмотки ротора выполнены из сплава Al — 85,5% и Si — 13%.
 6. Паз статора выполнен в соответствии с рис. 1-1, паз ротора соответствует рис. 1-5.

Таблица 1-67

единой серии типа АОС 5-го габарита

тор															Ротор
q_1	Размеры паза $\frac{b; b'; b''}{h; e}$	$Q_{s1'}$ $мм^2$	d/d'	m_1	$\omega_{к1}$	$n_{\partial 1}$	y_1	a_1	Схема обмотки (рис. №)	$j_1,$ $a/мм^2$	$AS_1,$ $a/см$	$l_{m1'}$ $м$	$r_1, ом$	$G_1, кг$	z_2
4	$\frac{16,0; 12,0; 3,3}{21,75; 0,75}$	266,5	$\frac{1,08/1,29}{1,16/1,37}$ $1,0/1,21$	4 2 2	11 19 25	88 76 100	1—10	— — —	3-1, 3-23	4,53 4,55 4,65	198 198 198	0,68	0,285 0,855 1,52	6,2 6,15 6,05	20
4	$\frac{16,0; 12,0; 3,3}{21,75; 0,75}$	266,5	$\frac{1,3/1,51}{1,16/1,37}$ $1,25/1,46$	4 3 2	8 13 17	64 78 68	1—10	— — —	3-1, 3-23	4,82 4,67 4,57	224 210 208	0,78	0,164 0,447 0,757	7,44 7,22 7,3	20
3	$\frac{10,8; 7,4; 3,2}{24,75; 0,75}$	206,5	$\frac{1,25/1,46}{1,12/1,33}$ $1,4/1,61$	3 2 1	18 32 42	54 64 42	1—12 2—11 3—10	— — —	3-41	4,9 5,28 5,21	244 251 253	0,59	0,303 0,97 1,69	6,58 6,26 6,4	26
3	$\frac{10,8; 7,4; 3,2}{24,75; 0,75}$	206,5	$\frac{1,3/1,51}{1,4/1,61}$ $1,2/1,41$	2 2 2	25 22 29	50 44 58	1—12 2—11 3—10	2 — —	3-41 3-43	5,08 5,07 5,25	254 259 260	0,69	0,171 0,52 0,93	7,66 7,82 7,6	26
2	$\frac{10,8; 7,4; 3,2}{24,75; 0,75}$	206,5	$\frac{1,25/1,46}{1,35/1,56}$ $1,16/1,37$	2 1 1	27 47 62	54 47 62	1—8 2—7	— — —	3-69	5,11 4,89 5,1	250 248 252	0,48	0,555 1,66 2,95	5,34 5,42 5,28	42

Тип электро- двигателя	P_2 , квт	U , в	I , а	n , об/мин	η , %	$\cos \varphi$	$\frac{I_{\text{пуск}}}{I_{\text{н}}}$	$\frac{M_{\text{пуск}}}{M_{\text{н}}}$	$\frac{M_{\text{макс}}}{M_{\text{н}}}$	Ста				
										$\frac{D_{a1}}{D_{i1}}$	$\frac{l_{t1}}{l_{t2}}$	δ	$B_{\delta, \text{гс}}$	z_1
АОС52/6	4,5	127,220 220/380 500	33,0/19,0 19,0/11,0 8,4	890	76,0	0,82	4,5	2,2	2,4	$\frac{245}{152}$	$\frac{140}{144}$	0,4	7 150 7 200 7 150	36

Примечания: 1. Обмотка статора электродвигателей типов АОС51/2 и АОС52/2 в заводском исполнении двухслойная, остальных типов однослойная, выполнена проводом марки ПЭЛБО.

2. Изоляция паза статора в заводском исполнении: электрокартон ЭВ толщиной 0,2 мм; лакоткань ЛХС толщиной 0,15 мм; электрокартон ЭВ толщиной 0,2 мм.

3. Междуслойная прокладка в пазу в заводском исполнении: два слоя электрокартона ЭВ толщиной по 0,2 мм; лакоткань ЛХС толщиной 0,15 мм.

Основные обмоточно-расчетные данные электродвигателей

Тип электро- двигателя	P_2 , квт	U , в	I , а	n , об/мин	η , %	$\cos \varphi$	$\frac{I_{\text{пуск}}}{I_{\text{н}}}$	$\frac{M_{\text{пуск}}}{M_{\text{н}}}$	$\frac{M_{\text{макс}}}{M_{\text{н}}}$	Ста				
										$\frac{D_{a1}}{D_{i1}}$	$\frac{l_{t1}}{l_{t2}}$	δ	$B_{\delta, \text{гс}}$	z_1
АС61/4	10	220/380 500	36,9/21,3 16,3	1 350	81,0	0,83	4,5	2,2	2,4	$\frac{327}{200}$	$\frac{75}{80}$	0,4	9 500 9 200	36
АС62/4	14	220/380 500	51,0/29,5 22,5	1 350	82,0	0,88	4,5	2,2	2,4	$\frac{327}{200}$	$\frac{100}{105}$	0,4	9 400 9 400	36
АОС62/4	10	220/380 500	37,4/21,6 16,5	1 350	79,0	0,89	5,5	2,3	2,5	$\frac{327}{200}$	$\frac{100}{105}$	0,4	8 100 8 080	36
АОС63/4	14	220/380 500	50,0/29,0 22,0	1 350	81,0	0,90	6,0	2,3	2,5	$\frac{327}{200}$	$\frac{135}{140}$	0,4	8 250 8 250	36
АС61/6	7	220/380 500	30,0/17,3 13,0	900	75,0	0,82	4,0	2,0	2,1	$\frac{327}{230}$	$\frac{75}{80}$	0,4	7 900 7 950	54
АС62/6	10	220/380 500	42,7/24,7 18,8	900	77,0	0,82	4,0	2,1	2,3	$\frac{327}{230}$	$\frac{100}{105}$	0,4	7 700 7 800	54
АОС62/6	7	220/380 500	27,8/16,0 12,2	900	78,0	0,85	5,0	2,2	2,4	$\frac{327}{230}$	$\frac{100}{105}$	0,4	7 000 6 750	54
АОС63/6	10	220/380 500	38,7/22,3 17,0	900	79,0	0,86	4,5	2,2	2,4	$\frac{327}{230}$	$\frac{135}{140}$	0,4	7 140 7 140	54
АС61/8	4,5	220/380 500	22,0/12,5 9,5	665	71,5	0,76	4,5	1,9	2,0	$\frac{327}{230}$	$\frac{75}{80}$	0,4	8 000 8 010	54
АС62/8	7	220/380 500	32,0/18,5 14,0	665	74,0	0,78	4,0	1,9	2,0	$\frac{327}{230}$	$\frac{100}{105}$	0,4	8 000 7 870	54
АОС62/8	4,5	220/380 500	20,0/11,5 8,8	690	75,0	0,79	4,5	2,1	2,4	$\frac{327}{230}$	$\frac{100}{105}$	0,4	7 370 7 370	54
АОС63/8	7	220/380 500	29,7/17,0 13,0	675	76,5	0,81	4,5	2,1	2,4	$\frac{327}{230}$	$\frac{135}{140}$	0,4	7 080 6 900	54

Примечания: 1. Обмотка статора в заводском исполнении двухслойная, выполнена: для электродвигателей типа АС — проводом марки ПЭЛБО; для электродвигателей типа АОС — проводом марки ПСД.

2. Изоляция паза статора в заводском исполнении выполнена для электродвигателей с проводом марки ПЭЛБО: электрокартон ЭВ толщиной 0,2 мм; лакоткань ЛХС толщиной 0,2 мм; электрокартон ЭВ толщиной 0,2 мм или два слоя пленкоэлектрокартона толщиной по 0,3 мм. Для электродвигателей с проводом ПСД: микакартон толщиной 0,4 мм; стеклолакоткань ЛСБ толщиной 0,2 мм, подклеенные.

3. Междуслойная прокладка в пазу в заводском исполнении выполнена для электродвигателей с проводом ПЭЛБО; два слоя электрокартона ЭВ толщиной по 0,2 мм; лакоткань ЛХС толщиной 0,2 мм или два слоя пленко-

тор															Ротор
q_1	Размеры паза $b; b'; b''$ $h; e$	$Q_{s1},$ $мм^2$	d/t'	m_1	$\omega_{к1}$	$n_{э1}$	y_1	a_1	Схема обмотки (рис. №)	$j_1,$ $a/мм^2$	$AS_1,$ $a/см$	$l_{m1},$ $м$	$r_1, ом$	$G_1, кг$	z_2
2	$\frac{10,8; 7,4; 3,2}{24,75; 0,75}$	206,5	1,25/1,46	3	18	54	1—8	—	3-69	5,16	258	0,58	0,298	6,45	42
			1,16/1,37	2	31	62	2—7	—		5,23	257		0,894	6,4	
			1,4/1,61	1	41	41	—	—		5,46	260		1,63	6,14	

4. Прокладка в лобовой части — электрокартон ЭВ толщиной 0,2 мм и лакоткань ЛХС толщиной 0,15 мм, склеенные вместе.

5. Клинь — дерево твердой породы пропитанное.

6. Стержни и кольца короткозамкнутой обмотки ротора выполнены из сплава Al — 85,5% и Si — 13%.

7. Паз статора выполнен в соответствии с рис. 1-1, паз ротора соответствует рис. 1-5.

Таблица 1-68

единой серии типов АС и АОС 6-го габарита

тор															Ротор
q_1	Размеры паза $b; b'; b''$ $h; e$	$Q_{s1},$ $мм^2$	d/d'	m_1	$\omega_{к1}$	$n_{э1}$	y_1	a_1	Схема обмот- ки (рис. №)	$j_1,$ $а/мм^2$	$AS_1,$ $а/см$	$l_{m1},$ $м$	$r_1, ом$	$G_1, кг$	z_2
3	$\frac{13,2; 8,6; 3,7}{28,8; 1,0}$	296	$\frac{1,45/1,66}{1,25/1,46}$	$\begin{matrix} 1 \\ 2 \end{matrix}$	$\begin{matrix} 25 \\ 17 \end{matrix}$	$\begin{matrix} 50 \\ 68 \end{matrix}$	1—8	$\begin{matrix} 2 \\ — \end{matrix}$	$\begin{matrix} 3-4,3-45 \\ 3-3,3-44 \end{matrix}$	$\begin{matrix} 6,45 \\ 6,63 \end{matrix}$	$\begin{matrix} 306 \\ 317 \end{matrix}$	0,57	$\begin{matrix} 0,454 \\ 0,829 \end{matrix}$	$\begin{matrix} 7,84 \\ 7,96 \end{matrix}$	44
3	$\frac{13,2; 8,6; 3,7}{28,8; 1,0}$	296	$\frac{1,4/1,61}{1,45/1,66}$	$\begin{matrix} 3 \\ 2 \end{matrix}$	$\begin{matrix} 9 \text{ и } 10 \\ 12 \text{ и } 13 \end{matrix}$	$\begin{matrix} 57 \\ 50 \end{matrix}$	1—8	$\begin{matrix} — \\ — \end{matrix}$	3-3,3-44	$\begin{matrix} 6,4 \\ 6,8 \end{matrix}$	$\begin{matrix} 317 \\ 322 \end{matrix}$	0,62	$\begin{matrix} 0,268 \\ 0,494 \end{matrix}$	$\begin{matrix} 9,05 \\ 8,5 \end{matrix}$	44
3	$\frac{13,2; 8,6; 3,7}{28,8; 1,0}$	296	$\frac{1,56/1,86}{1,35/1,64}$	$\begin{matrix} 2 \\ 1 \end{matrix}$	$\begin{matrix} 11 \\ 29 \end{matrix}$	$\begin{matrix} 44 \\ 58 \end{matrix}$	1—8	$\begin{matrix} — \\ 2 \end{matrix}$	$\begin{matrix} 3-3,3-44 \\ 3-4,3-45 \end{matrix}$	$\begin{matrix} 5,64 \\ 5,75 \end{matrix}$	$\begin{matrix} 272 \\ 274 \end{matrix}$	0,62	$\begin{matrix} 0,375 \\ 0,662 \end{matrix}$	$\begin{matrix} 8,9 \\ 8,9 \end{matrix}$	44
3	$\frac{13,2; 8,6; 3,7}{28,8; 1,0}$	296	$\frac{1,3/1,59}{1,62/1,92}$	$\begin{matrix} 2 \\ 1 \end{matrix}$	$\begin{matrix} 16 \\ 21 \end{matrix}$	$\begin{matrix} 64 \\ 42 \end{matrix}$	1—8	$\begin{matrix} 2 \\ 2 \end{matrix}$	3-4,3-45	$\begin{matrix} 5,47 \\ 5,34 \end{matrix}$	$\begin{matrix} 266 \\ 265 \end{matrix}$	0,69	$\begin{matrix} 0,218 \\ 0,370 \end{matrix}$	$\begin{matrix} 10,15 \\ 10,15 \end{matrix}$	44
3	$\frac{10,5; 7,4; 3,2}{30,0; 2,0}$	247	$\frac{1,3/1,51}{1,12/1,33}$	$\begin{matrix} 2 \\ 2 \end{matrix}$	$\begin{matrix} 13 \\ 17 \end{matrix}$	$\begin{matrix} 52 \\ 68 \end{matrix}$	1—8	$\begin{matrix} — \\ — \end{matrix}$	3-6,3-82	$\begin{matrix} 6,52 \\ 6,6 \end{matrix}$	$\begin{matrix} 336 \\ 330 \end{matrix}$	0,5	$\begin{matrix} 0,771 \\ 1,36 \end{matrix}$	$\begin{matrix} 8,65 \\ 8,41 \end{matrix}$	58
3	$\frac{10,5; 7,4; 3,2}{30,0; 2,0}$	247	$\frac{1,5/1,71}{1,3/1,51}$	$\begin{matrix} 2 \\ 2 \end{matrix}$	$\begin{matrix} 10 \\ 13 \end{matrix}$	$\begin{matrix} 40 \\ 52 \end{matrix}$	1—8	$\begin{matrix} — \\ — \end{matrix}$	3-6,3-82	$\begin{matrix} 7,0 \\ 7,08 \end{matrix}$	$\begin{matrix} 370 \\ 364 \end{matrix}$	0,55	$\begin{matrix} 0,488 \\ 0,848 \end{matrix}$	$\begin{matrix} 9,65 \\ 9,52 \end{matrix}$	58
3	$\frac{10,5; 7,4; 3,2}{30,0; 2,0}$	247	$\frac{1,35/1,64}{1,12/1,41}$	$\begin{matrix} 2 \\ 2 \end{matrix}$	$\begin{matrix} 11 \\ 15 \end{matrix}$	$\begin{matrix} 44 \\ 60 \end{matrix}$	1—8	$\begin{matrix} — \\ — \end{matrix}$	3-6,3-82	$\begin{matrix} 5,59 \\ 6,2 \end{matrix}$	$\begin{matrix} 263 \\ 274 \end{matrix}$	0,55	$\begin{matrix} 0,666 \\ 1,315 \end{matrix}$	$\begin{matrix} 8,95 \\ 8,53 \end{matrix}$	58
3	$\frac{10,5; 7,4; 3,2}{30,0; 2,0}$	247	$\frac{1,3/1,59}{1,4/1,69}$	$\begin{matrix} 3 \\ 1 \end{matrix}$	$\begin{matrix} 8 \\ 21 \end{matrix}$	$\begin{matrix} 48 \\ 42 \end{matrix}$	1—8	$\begin{matrix} — \\ 2 \end{matrix}$	$\begin{matrix} 3-6,3-82 \\ 3-7,3-84 \end{matrix}$	$\begin{matrix} 5,6 \\ 5,54 \end{matrix}$	$\begin{matrix} 267 \\ 267 \end{matrix}$	0,62	$\begin{matrix} 0,393 \\ 0,668 \end{matrix}$	$\begin{matrix} 10,25 \\ 10,32 \end{matrix}$	58
$2\frac{1}{4}$	$\frac{10,5; 7,4; 3,2}{30,0; 2,0}$	247	$\frac{1,16/1,37}{1,45/1,66}$	$\begin{matrix} 2 \\ 1 \end{matrix}$	$\begin{matrix} 16 \\ 21 \end{matrix}$	$\begin{matrix} 64 \\ 42 \end{matrix}$	1—7	$\begin{matrix} — \\ — \end{matrix}$	3-10,3-117	$\begin{matrix} 5,91 \\ 5,75 \end{matrix}$	$\begin{matrix} 298 \\ 297 \end{matrix}$	0,48	$\begin{matrix} 1,142 \\ 1,93 \end{matrix}$	$\begin{matrix} 8,15 \\ 8,3 \end{matrix}$	58
$2\frac{1}{4}$	$\frac{10,5; 7,4; 3,2}{30,0; 2,0}$	247	$\frac{1,35/1,56}{1,16/1,37}$	$\begin{matrix} 2 \\ 2 \end{matrix}$	$\begin{matrix} 12 \\ 16 \end{matrix}$	$\begin{matrix} 48 \\ 64 \end{matrix}$	1—7	$\begin{matrix} — \\ — \end{matrix}$	3-10,3-117	$\begin{matrix} 6,45 \\ 6,51 \end{matrix}$	$\begin{matrix} 332 \\ 335 \end{matrix}$	0,53	$\begin{matrix} 0,702 \\ 1,27 \end{matrix}$	$\begin{matrix} 9,1 \\ 9,16 \end{matrix}$	58
$2\frac{1}{4}$	$\frac{10,5; 7,4; 3,2}{30,0; 2,0}$	247	$\frac{1,2/1,49}{1,62/1,92}$	$\begin{matrix} 2 \\ 1 \end{matrix}$	$\begin{matrix} 13 \\ 17 \end{matrix}$	$\begin{matrix} 52 \\ 34 \end{matrix}$	1—7	$\begin{matrix} — \\ — \end{matrix}$	3-10,3-117	$\begin{matrix} 5,08 \\ 4,27 \end{matrix}$	$\begin{matrix} 223 \\ 224 \end{matrix}$	0,53	$\begin{matrix} 0,962 \\ 1,38 \end{matrix}$	$\begin{matrix} 8,15 \\ 9,48 \end{matrix}$	58
$2\frac{1}{4}$	$\frac{10,5; 7,4; 3,2}{30,0; 2,0}$	247	$\frac{1,45/1,74}{1,2/1,49}$	$\begin{matrix} 2 \\ 1 \end{matrix}$	$\begin{matrix} 10 \\ 27 \end{matrix}$	$\begin{matrix} 40 \\ 54 \end{matrix}$	1—7	$\begin{matrix} — \\ 2 \end{matrix}$	$\begin{matrix} 3-10,3-117 \\ 3-11,3-118 \end{matrix}$	$\begin{matrix} 5,14 \\ 5,74 \end{matrix}$	$\begin{matrix} 254 \\ 262 \end{matrix}$	0,6	$\begin{matrix} 0,573 \\ 1,13 \end{matrix}$	$\begin{matrix} 10,2 \\ 9,6 \end{matrix}$	58

электрокартона толщиной по 0,3 мм. Для электродвигателей с проводом ПСД — микакартон толщиной 0,4 мм и стеклолакоткань ЛСБ толщиной 0,2 мм, склеенные вместе.

4. Прокладка в лобовой части для электродвигателей с проводом ПЭЛБО — электрокартон ЭВ толщиной 0,2 мм и лакоткань ЛХС толщиной 0,2 мм, склеенные вместе. С проводом ПСД — микакартон толщиной 0,5 мм.

5. Клинь для электродвигателей с проводом ПЭЛБО — дерево твердой породы пропитанное, для электродвигателей с проводом ПСД — стеклотекстолит марки СТ или текстолит марки Б.

6. Стержни и кольца короткозамкнутой обмотки ротора выполнены из сплава АЛ2 с 4% меди.

7. Паз статора выполнен в соответствии с рис. 1-2, паз ротора соответствует рис. 1-3.

Основные обмоточно-расчетные данные электродвигателей

Тип электро- двигателя	P_2 , квт	U , в	I , а	n , об/мин	η , %	$\cos \varphi$	$\frac{I_{пуск}}{I_H}$	$\frac{M_{пуск}}{M_H}$	$\frac{M_{макс}}{M_H}$	Ста				
										$\frac{D_{a1}}{D_{i1}}$	$\frac{l_{t1}}{l_{t2}}$	δ	B_δ , эс	z_1
АС71/4	20	200/380 500	72,0/41,6 31,7	1 380	83,0	0,88	4,5	1,9	2,2	$\frac{368}{230}$	$\frac{100}{105}$	0,5	9 400 9 260	36
АС72/4	28	220/380 500	100/57,5 43,9	1 365	84,0	0,88	5,0	2,2	2,4	$\frac{368}{230}$	$\frac{135}{140}$	0,5	9 600 9 460	36
АОС72/4	20	220/380 500	71,0/41,0 31,0	1 350	82,5	0,90	6,0	2,3	2,5	$\frac{368}{230}$	$\frac{135}{140}$	0,5	8 200 8 400	36
АОС73/4	28	220/380 500	98,0/56,5 43,0	1 365	83,5	0,90	6,0	2,3	2,5	$\frac{368}{230}$	$\frac{185}{190}$	0,5	8 400 8 500	36
АС71/6	14	220/380 500	56,5/32,6 24,9	870	78,5	0,83	4,0	2,1	2,3	$\frac{368}{260}$	$\frac{100}{105}$	0,45	8 700 8 530	54
АС72/6	20	220/380 500	78,3/45,2 34,5	880	80,0	0,84	4,0	2,1	2,3	$\frac{368}{260}$	$\frac{135}{140}$	0,45	8 430 8 260	54
АОС72/6	14	200/380 500	53,0/30,5 23,3	900	80,0	0,87	4,5	2,2	2,4	$\frac{368}{260}$	$\frac{135}{140}$	0,45	7 560 7 650	54
АОС73/6	20	220/380 500	73,6/42,5 32,4	900	81,0	0,88	4,5	2,2	2,4	$\frac{368}{260}$	$\frac{185}{190}$	0,45	7 400 7 270	54
АС71/8	10	220/380 500	43,0/25,0 19,0	650	76,0	0,79	4,0	1,9	2,1	$\frac{368}{260}$	$\frac{100}{105}$	0,45	8 460 8 560	54
АС72/8	14	220/380 500	58,5/34,0 26,0	650	77,5	0,81	4,0	1,9	2,1	$\frac{368}{260}$	$\frac{135}{140}$	0,45	8 400 8 250	54
АОС72/8	10	220/380 500	41,4/23,8 18,2	660	77,5	0,82	4,5	2,0	2,2	$\frac{368}{260}$	$\frac{135}{140}$	0,45	7 400 7 450	54
АОС73/8	14	220/380 500	57,2/33,0 25,2	660	78,5	0,82	4,5	2,1	2,4	$\frac{368}{260}$	$\frac{185}{190}$	0,45	7 630 7 500	54

Примечания: 1. Обмотка статора в заводском исполнении двухслойная, выполнена: для электродвигателей типа АС — проводом марки ПЭЛБО; для электродвигателей типа АОС — проводом марки ПСД.

2. Изоляция паза статора в заводском исполнении, выполнена для электродвигателей с проводом ПЭЛБО: электрокартон ЭВ толщиной 0,2 мм; лакоткань ЛХС толщиной 0,2 мм; электрокартон ЭВ толщиной 0,2 мм или два слоя пленкоэлектрокартона толщиной по 0,3 мм. Для электродвигателей с проводом ПСД — микакартон толщиной 0,4 мм, стеклолакоткань ЛСБ толщиной 0,2 мм, подклеенные.

3. Междуслойная прокладка в пазу в заводском исполнении выполнена для электродвигателей с проводом ПЭЛБО: два слоя электрокартона ЭВ толщиной по 0,2 мм; лакоткань ЛХС толщиной 0,2 мм или два слоя пленко-

единой серии типов АС и АОС 7-го габарита

тор															Ротор
q_1	Размеры паза $b; b'; b''$ $h; e$	$Q_{s1},$ $мм^2$	d/d'	m_1	$\omega_{к1}$	$n_{э1}$	y_1	a_1	Схема обмотки (рис. №)	$j_1,$ $a/мм^2$	$AS_1,$ $a/см$	$l_{m1},$ $м$	$r_1,$ $ом$	$G_1, кг$	z_2
3	$\frac{15,18; 10,3; 3,7}{30,8; 1,0}$	370	$\frac{1,45/1,66}{1,3/1,51}$	$\begin{matrix} 2 \\ 2 \end{matrix}$	$\begin{matrix} 16 \text{ и } 17 \\ 22 \end{matrix}$	$\begin{matrix} 66 \\ 88 \end{matrix}$	1—8	$\begin{matrix} 2 \\ 2 \end{matrix}$	$\begin{matrix} 3-4, \\ 3-45 \end{matrix}$	$\begin{matrix} 6,3 \\ 5,98 \end{matrix}$	$\begin{matrix} 342 \\ 348 \end{matrix}$	0,72	$\begin{matrix} 0,19 \\ 0,314 \end{matrix}$	$\begin{matrix} 13,3 \\ 14,3 \end{matrix}$	44
3	$\frac{15,18; 10,3; 3,7}{30,8; 1,0}$	370	$\frac{1,68/1,89}{1,5/1,71}$	$\begin{matrix} 2 \\ 2 \end{matrix}$	$\begin{matrix} 12 \\ 16 \end{matrix}$	$\begin{matrix} 48 \\ 64 \end{matrix}$	1—8	$\begin{matrix} 2 \\ 2 \end{matrix}$	$\begin{matrix} 3-4, \\ 3-45 \end{matrix}$	$\begin{matrix} 6,48 \\ 6,2 \end{matrix}$	$\begin{matrix} 344 \\ 350 \end{matrix}$	0,79	$\begin{matrix} 0,112 \\ 0,187 \end{matrix}$	$\begin{matrix} 14,3 \\ 15 \end{matrix}$	44
3	$\frac{15,18; 10,3; 3,7}{30,8; 1,0}$	370	$\frac{1,56/1,86}{1,35/1,64}$	$\begin{matrix} 2 \\ 2 \end{matrix}$	$\begin{matrix} 14 \\ 18 \end{matrix}$	$\begin{matrix} 56 \\ 72 \end{matrix}$	1—8	$\begin{matrix} 2 \\ 2 \end{matrix}$	$\begin{matrix} 3-4, \\ 3-45 \end{matrix}$	$\begin{matrix} 5,35 \\ 5,4 \end{matrix}$	$\begin{matrix} 286 \\ 278 \end{matrix}$	0,79	$\begin{matrix} 0,152 \\ 0,261 \end{matrix}$	$\begin{matrix} 14,8 \\ 14,3 \end{matrix}$	44
3	$\frac{15,18; 10,3; 3,7}{30,8; 1,0}$	370	$\frac{1,56/1,86}{1,62/1,92}$	$\begin{matrix} 3 \\ 2 \end{matrix}$	$\begin{matrix} 10 \\ 13 \end{matrix}$	$\begin{matrix} 60 \\ 52 \end{matrix}$	1—8	$\begin{matrix} 2 \\ 2 \end{matrix}$	$\begin{matrix} 3-4 \\ 3-45 \end{matrix}$	$\begin{matrix} 4,93 \\ 5,21 \end{matrix}$	$\begin{matrix} 282 \\ 279 \end{matrix}$	0,89	$\begin{matrix} 0,0818 \\ 0,147 \end{matrix}$	$\begin{matrix} 17,9 \\ 16,6 \end{matrix}$	44
3	$\frac{11,9; 8,7; 3,7}{29,8; 1,0}$	291	$\frac{1,45/1,66}{1,56/1,77}$	$\begin{matrix} 1 \\ 1 \end{matrix}$	$\begin{matrix} 24 \text{ и } 23 \\ 21 \end{matrix}$	$\begin{matrix} 47 \\ 42 \end{matrix}$	1—8	$\begin{matrix} 3 \\ 2 \end{matrix}$	$\begin{matrix} 3-8, 3-86 \\ 3-7, 3-84 \end{matrix}$	$\begin{matrix} 6,57 \\ 6,50 \end{matrix}$	$\begin{matrix} 338 \\ 346 \end{matrix}$	0,62	$\begin{matrix} 0,302 \\ 0,538 \end{matrix}$	$\begin{matrix} 12,3 \\ 12,6 \end{matrix}$	44
3	$\frac{11,9; 8,7; 3,7}{29,8; 1,0}$	291	$\frac{1,74/1,95}{1,45/1,66}$	$\begin{matrix} 1 \\ 1 \end{matrix}$	$\begin{matrix} 18 \\ 24 \end{matrix}$	$\begin{matrix} 36 \\ 48 \end{matrix}$	1—8	$\begin{matrix} 3 \\ 3 \end{matrix}$	3-8, 3-86	$\begin{matrix} 6,33 \\ 6,96 \end{matrix}$	$\begin{matrix} 360 \\ 365 \end{matrix}$	0,69	$\begin{matrix} 0,183 \\ 0,352 \end{matrix}$	$\begin{matrix} 14,9 \\ 13,9 \end{matrix}$	44
3	$\frac{11,9; 8,7; 3,7}{29,8; 1,0}$	291	$\frac{1,56/1,86}{1,35/1,64}$	$\begin{matrix} 1 \\ 1 \end{matrix}$	$\begin{matrix} 20 \\ 26 \end{matrix}$	$\begin{matrix} 40 \\ 52 \end{matrix}$	1—8	$\begin{matrix} 3 \\ 3 \end{matrix}$	3-8, 3-86	$\begin{matrix} 5,32 \\ 5,43 \end{matrix}$	$\begin{matrix} 269 \\ 267 \end{matrix}$	0,69	$\begin{matrix} 0,254 \\ 0,44 \end{matrix}$	$\begin{matrix} 13,7 \\ 13,5 \end{matrix}$	44
3	$\frac{11,9; 8,7; 3,7}{29,8; 1,0}$	291	$\frac{1,62/1,92}{1,62/1,92}$	$\begin{matrix} 2 \\ 1 \end{matrix}$	$\begin{matrix} 10 \\ 20 \end{matrix}$	$\begin{matrix} 40 \\ 40 \end{matrix}$	1—8	$\begin{matrix} 2 \\ 3 \end{matrix}$	$\begin{matrix} 3-7, 3-84 \\ 3-8, 3-86 \end{matrix}$	$\begin{matrix} 5,15 \\ 5,24 \end{matrix}$	$\begin{matrix} 280 \\ 286 \end{matrix}$	0,79	$\begin{matrix} 0,151 \\ 0,27 \end{matrix}$	$\begin{matrix} 17,1 \\ 16,9 \end{matrix}$	44
$2^{1/4}$	$\frac{11,9; 8,7; 3,7}{29,8; 1,0}$	291	$\frac{1,62/1,83}{1,4/1,61}$	$\begin{matrix} 2 \\ 2 \end{matrix}$	$\begin{matrix} 10 \\ 13 \end{matrix}$	$\begin{matrix} 40 \\ 52 \end{matrix}$	1—7	$\begin{matrix} — \\ — \end{matrix}$	3-10, 3-117	$\begin{matrix} 6,06 \\ 6,17 \end{matrix}$	$\begin{matrix} 330 \\ 326 \end{matrix}$	0,57	$\begin{matrix} 0,436 \\ 0,76 \end{matrix}$	$\begin{matrix} 12,3 \\ 11,8 \end{matrix}$	58
$2^{1/4}$	$\frac{11,9; 8,7; 3,7}{29,8; 1,0}$	291	$\frac{1,4/1,61}{1,4/1,61}$	$\begin{matrix} 2 \\ 3 \end{matrix}$	$\begin{matrix} 15 \\ 10 \end{matrix}$	$\begin{matrix} 60 \\ 60 \end{matrix}$	1—7	$\begin{matrix} 2 \\ — \end{matrix}$	$\begin{matrix} 3-11, 3-118 \\ 3-10, 3-117 \end{matrix}$	$\begin{matrix} 5,52 \\ 5,63 \end{matrix}$	$\begin{matrix} 337 \\ 344 \end{matrix}$	0,64	$\begin{matrix} 0,246 \\ 0,438 \end{matrix}$	$\begin{matrix} 15,4 \\ 15,6 \end{matrix}$	58
$2^{1/4}$	$\frac{11,9; 8,7; 3,7}{29,8; 1,0}$	291	$\frac{1,2/1,49}{1,56/1,86}$	$\begin{matrix} 2 \\ 2 \end{matrix}$	$\begin{matrix} 17 \\ 11 \end{matrix}$	$\begin{matrix} 68 \\ 44 \end{matrix}$	1—7	$\begin{matrix} 2 \\ — \end{matrix}$	$\begin{matrix} 3-11, 3-118 \\ 3-10, 3-117 \end{matrix}$	$\begin{matrix} 5,26 \\ 4,76 \end{matrix}$	$\begin{matrix} 268 \\ 265 \end{matrix}$	0,64	$\begin{matrix} 0,38 \\ 0,58 \end{matrix}$	$\begin{matrix} 13,3 \\ 12,8 \end{matrix}$	58
$2^{1/4}$	$\frac{11,9; 8,7; 3,7}{29,8; 1,0}$	291	$\frac{1,5/1,80}{1,45/1,74}$	$\begin{matrix} 4 \\ 3 \end{matrix}$	$\begin{matrix} 6 \\ 8 \end{matrix}$	$\begin{matrix} 48 \\ 48 \end{matrix}$	1—7	$\begin{matrix} — \\ — \end{matrix}$	3-10, 3-117	$\begin{matrix} 4,67 \\ 5,09 \end{matrix}$	$\begin{matrix} 262 \\ 267 \end{matrix}$	0,74	$\begin{matrix} 0,197 \\ 0,377 \end{matrix}$	$\begin{matrix} 16,2 \\ 15,0 \end{matrix}$	58

электрокартона толщиной по 0,3 мм. Для электродвигателей с проводом ПСД — микакартон толщиной 0,4 мм и стеклолакоткань ЛСБ толщиной 0,2 мм, склеенные вместе.

4. Прокладка в лобовой части для электродвигателей с проводом ПЭЛБО — электрокартон ЭВ толщиной 0,2 мм и локоткань ЛХС толщиной 0,2 мм, склеенные вместе. С проводом ПСД — микакартон толщиной 0,5 мм.

5. Клинья для электродвигателей с проводом ПЭЛБО — дерево твердой породы пропитанное, для электродвигателей с проводом ПСД — стеклотекстолит марки СТ или текстолит марки Б.

6. Стержни и кольца короткозамкнутой обмотки ротора выполнены из сплава АЛ2 с 4% меди.

7. Паз статора выполнен в соответствии с рис. 1-2, паз ротора соответствует рис. 1-3.

Основные обмоточно-расчетные данные электродвигателей

Тип электро- двигателя	P_2 , квт	U , в	I , а	n , об/мин	η , %	$\cos \varphi$	$\frac{I_{\text{пуск}}}{I_{\text{н}}}$	$\frac{M_{\text{пуск}}}{M_{\text{н}}}$	$\frac{M_{\text{макс}}}{M_{\text{н}}}$	Стр				
										$\frac{D_{a1}}{D_{i1}}$	$\frac{l_{t1}}{l_{t2}}$	δ	B_{δ} , зс	z_1
АС81/4	40	220/380 500	141,0/81,6 62,2	1 365	85,0	0,88	5,0	2,2	2,4	$\frac{423}{265}$	$\frac{130}{135}$	0,6	9 550 9 100	48
АС82/4	55	220/380 500	191,0/110 84,4	1 380	86,0	0,88	5,0	2,2	2,4	$\frac{423}{265}$	$\frac{180}{185}$	0,6	9 180 9 050	48
АОС82/4	40	220/380 500	138/80,0 61,0	1 380	84,5	0,90	6,0	2,3	2,6	$\frac{423}{265}$	$\frac{180}{185}$	0,6	7 860 8 050	48
АОС83/4	55	220/380 500	189/109 83,0	1 395	85,0	0,90	6,0	2,3	2,6	$\frac{423}{265}$	$\frac{250}{255}$	0,6	7 940 8 030	48
АС81/6	28	220/380 500	107/61,8 47,0	890	81,0	0,85	4,5	2,1	2,3	$\frac{423}{300}$	$\frac{130}{135}$	0,55	8 850 8 000	72
АС82/6	40	220/380 500	149/86,2 65,8	900	82,0	0,86	4,5	2,1	2,4	$\frac{423}{300}$	$\frac{180}{185}$	0,55	8 550 8 660	72
АОС82/6	28	220/380 500	101,0/58,5 44,5	910	82,0	0,89	5,5	2,2	2,4	$\frac{423}{300}$	$\frac{180}{185}$	0,55	6 900 7 040	72
АОС83/6	40	220/380 500	142/82,0 62,5	910	82,5	0,90	5,5	2,2	2,6	$\frac{423}{300}$	$\frac{250}{255}$	0,55	7 470 7 620	72
АС81/8	20	220/380 500	81,0/47,0 36,0	660	79,0	0,82	4,0	1,9	2,1	$\frac{423}{300}$	$\frac{130}{135}$	0,55	8 550 8 400	72
АС82/8	28	220/380 500	112/64,9 49,5	670	80,0	0,82	4,0	2,0	2,1	$\frac{423}{300}$	$\frac{180}{185}$	0,55	8 650 8 500	72
АОС82/8	20	220/380 500	78,8/45,5 34,7	670	79,5	0,84	4,5	2,1	2,4	$\frac{423}{300}$	$\frac{180}{185}$	0,55	7 200 7 050	72
АОС83/8	28	220/380 500	109/63,0 48,0	675	80,5	0,84	4,5	2,1	2,4	$\frac{423}{300}$	$\frac{250}{255}$	0,55	7 150 7 200	72

Примечания: 1. Обмотка статора в заводском исполнении двухслойная, выполнена: для электродвигателей типа АС — проводом марки ПЭЛБО; для электродвигателей типа АОС — проводом марки ПСД.

2. Изоляция паза статора в заводском исполнении, выполнена для электродвигателей с проводом ПЭЛБО: электрокартон ЭВ толщиной 0,2 мм; лакоткань ЛХС толщиной 0,2 мм; электрокартон ЭВ толщиной 0,2 мм или два слоя пленкоэлектрокартона толщиной по 0,3 мм. Для электродвигателей с проводом ПСД: микакартон толщиной 0,4 мм и стеклолакоткань ЛСБ толщиной 0,2 мм, подклеенные.

3. Междуслойная прокладка в пазу в заводском исполнении выполнена для электродвигателей с проводом ПЭЛБО: два слоя электрокартона ЭВ толщиной по 0,2 мм; лакоткань ЛХС толщиной 0,2 мм или два слоя пленко-

единой серии типов АС и АОС 8-го габарита

тор															Ротор
q_1	Размеры паза $b; b'; b''$ $h; e$	$Q_{s1'}$ $мм^2$	d/d'	m_1	$\omega_{к1}$	$n_{э1}$	y_1	a_1	Схема обмотки (рис. №)	j_1 , $a/мм^2$	AS_1 , $a/см$	$l_{m1'}$, $м$	r_1 , $ом$	G_1 , $кг$	z_2
4	$\frac{13,3; 8,8; 3,2}{36,8; 1,0}$	387	$\frac{1,5/1,71}{1,5/1,71}$	$\begin{smallmatrix} 4 \\ 3 \end{smallmatrix}$	$\begin{smallmatrix} 8 \\ 11 \end{smallmatrix}$	$\begin{smallmatrix} 64 \\ 66 \end{smallmatrix}$	1—11	$\begin{smallmatrix} 2 \\ 2 \end{smallmatrix}$	3-4, 3-55	$\begin{smallmatrix} 5,78 \\ 5,86 \end{smallmatrix}$	$\begin{smallmatrix} 377 \\ 394 \end{smallmatrix}$	0,98	$\begin{smallmatrix} 0,077 \\ 0,141 \end{smallmatrix}$	$\begin{smallmatrix} 25,2 \\ 25,8 \end{smallmatrix}$	58
4	$\frac{13,3; 8,8; 3,2}{36,8; 1,0}$	387	$\frac{1,45/1,66}{1,56/1,77}$	$\begin{smallmatrix} 3 \\ 4 \end{smallmatrix}$	$\begin{smallmatrix} 12 \\ 8 \end{smallmatrix}$	$\begin{smallmatrix} 72 \\ 64 \end{smallmatrix}$	1—11	$\begin{smallmatrix} 4 \\ 2 \end{smallmatrix}$	$\begin{smallmatrix} 3-5, 3-56 \\ 3-4, 3-55 \end{smallmatrix}$	$\begin{smallmatrix} 5,55 \\ 5,51 \end{smallmatrix}$	$\begin{smallmatrix} 380 \\ 389 \end{smallmatrix}$	1,08	$\begin{smallmatrix} 0,046 \\ 0,079 \end{smallmatrix}$	$\begin{smallmatrix} 29 \\ 30 \end{smallmatrix}$	58
4	$\frac{13,3; 8,8; 3,2}{36,8; 1,0}$	387	$\frac{1,68/1,99}{1,68/1,99}$	$\begin{smallmatrix} 4 \\ 3 \end{smallmatrix}$	$\begin{smallmatrix} 7 \\ 9 \end{smallmatrix}$	$\begin{smallmatrix} 56 \\ 54 \end{smallmatrix}$	1—11	$\begin{smallmatrix} 2 \\ 2 \end{smallmatrix}$	3-4, 3-55	$\begin{smallmatrix} 4,5 \\ 4,58 \end{smallmatrix}$	$\begin{smallmatrix} 322 \\ 317 \end{smallmatrix}$	1,08	$\begin{smallmatrix} 0,059 \\ 0,102 \end{smallmatrix}$	$\begin{smallmatrix} 31,3 \\ 30,1 \end{smallmatrix}$	58
4	$\frac{13,3; 8,8; 3,2}{36,8; 1,0}$	387	$\frac{1,62/1,92}{1,4/1,69}$	$\begin{smallmatrix} 3 \\ 3 \end{smallmatrix}$	$\begin{smallmatrix} 10 \\ 13 \end{smallmatrix}$	$\begin{smallmatrix} 60 \\ 78 \end{smallmatrix}$	1—11	$\begin{smallmatrix} 4 \\ 4 \end{smallmatrix}$	3-5, 3-56	$\begin{smallmatrix} 4,4 \\ 4,5 \end{smallmatrix}$	$\begin{smallmatrix} 315 \\ 311 \end{smallmatrix}$	1,22	$\begin{smallmatrix} 0,035 \\ 0,06 \end{smallmatrix}$	$\begin{smallmatrix} 35 \\ 34 \end{smallmatrix}$	58
4	$\frac{10,0; 7,35; 3,2}{32,8; 1,0}$	271	$\frac{1,45/1,66}{1,56/1,77}$	$\begin{smallmatrix} 3 \\ 2 \end{smallmatrix}$	$\begin{smallmatrix} 8 \\ 11 \end{smallmatrix}$	$\begin{smallmatrix} 48 \\ 44 \end{smallmatrix}$	1—11	$\begin{smallmatrix} 2 \\ 2 \end{smallmatrix}$	3-7, 3-97	$\begin{smallmatrix} 6,23 \\ 6,14 \end{smallmatrix}$	$\begin{smallmatrix} 378 \\ 395 \end{smallmatrix}$	0,85	$\begin{smallmatrix} 0,145 \\ 0,257 \end{smallmatrix}$	$\begin{smallmatrix} 23,2 \\ 24,3 \end{smallmatrix}$	58
4	$\frac{10,0; 7,35; 3,2}{32,8; 1,0}$	271	$\frac{1,74/1,95}{1,56/1,77}$	$\begin{smallmatrix} 1 \\ 2 \end{smallmatrix}$	$\begin{smallmatrix} 17 \\ 11 \end{smallmatrix}$	$\begin{smallmatrix} 34 \\ 44 \end{smallmatrix}$	1—11	$\begin{smallmatrix} 6 \\ 3 \end{smallmatrix}$	$\begin{smallmatrix} 3-9, 3-101 \\ 3-8, 3-99 \end{smallmatrix}$	$\begin{smallmatrix} 6,04 \\ 5,73 \end{smallmatrix}$	$\begin{smallmatrix} 374 \\ 369 \end{smallmatrix}$	0,95	$\begin{smallmatrix} 0,0795 \\ 0,127 \end{smallmatrix}$	$\begin{smallmatrix} 25,8 \\ 27,2 \end{smallmatrix}$	58
4	$\frac{10,0; 7,35; 3,2}{32,8; 1,0}$	271	$\frac{1,56/1,86}{1,68/1,99}$	$\begin{smallmatrix} 3 \\ 2 \end{smallmatrix}$	$\begin{smallmatrix} 7 \\ 9 \end{smallmatrix}$	$\begin{smallmatrix} 42 \\ 36 \end{smallmatrix}$	1—11	$\begin{smallmatrix} 2 \\ 2 \end{smallmatrix}$	3-7, 3-97	$\begin{smallmatrix} 5,1 \\ 5,01 \end{smallmatrix}$	$\begin{smallmatrix} 313 \\ 306 \end{smallmatrix}$	0,95	$\begin{smallmatrix} 0,124 \\ 0,204 \end{smallmatrix}$	$\begin{smallmatrix} 27 \\ 26,6 \end{smallmatrix}$	58
4	$\frac{10,0; 7,35; 3,2}{32,8; 1,0}$	271	$\frac{1,56/1,86}{1,68/1,99}$	$\begin{smallmatrix} 3 \\ 2 \end{smallmatrix}$	$\begin{smallmatrix} 7 \\ 9 \end{smallmatrix}$	$\begin{smallmatrix} 42 \\ 36 \end{smallmatrix}$	1—11	$\begin{smallmatrix} 3 \\ 3 \end{smallmatrix}$	3-8, 3-99	$\begin{smallmatrix} 4,76 \\ 4,69 \end{smallmatrix}$	$\begin{smallmatrix} 292 \\ 286 \end{smallmatrix}$	1,09	$\begin{smallmatrix} 0,063 \\ 0,103 \end{smallmatrix}$	$\begin{smallmatrix} 30,8 \\ 30,3 \end{smallmatrix}$	58
3	$\frac{10,0; 7,35; 3,2}{32,8; 1,0}$	271	$\frac{1,62/1,83}{1,56/1,77}$	$\begin{smallmatrix} 1 \\ 3 \end{smallmatrix}$	$\begin{smallmatrix} 21 \\ 7 \end{smallmatrix}$	$\begin{smallmatrix} 42 \\ 42 \end{smallmatrix}$	1—8	$\begin{smallmatrix} 4 \\ — \end{smallmatrix}$	$\begin{smallmatrix} 3-12, 3-127 \\ 3-10, 3-125 \end{smallmatrix}$	$\begin{smallmatrix} 5,70 \\ 6,27 \end{smallmatrix}$	$\begin{smallmatrix} 378 \\ 385 \end{smallmatrix}$	0,72	$\begin{smallmatrix} 0,190 \\ 0,365 \end{smallmatrix}$	$\begin{smallmatrix} 21,4 \\ 20,4 \end{smallmatrix}$	58
3	$\frac{10,0; 7,35; 3,2}{32,8; 1,0}$	271	$\frac{1,3/1,51}{1,62/1,83}$	$\begin{smallmatrix} 2 \\ 2 \end{smallmatrix}$	$\begin{smallmatrix} 15 \\ 10 \end{smallmatrix}$	$\begin{smallmatrix} 60 \\ 40 \end{smallmatrix}$	1—8	$\begin{smallmatrix} 4 \\ 2 \end{smallmatrix}$	$\begin{smallmatrix} 3-12, 3-127 \\ 3-11, 3-126 \end{smallmatrix}$	$\begin{smallmatrix} 6,10 \\ 6,0 \end{smallmatrix}$	$\begin{smallmatrix} 371 \\ 378 \end{smallmatrix}$	0,82	$\begin{smallmatrix} 0,121 \\ 0,206 \end{smallmatrix}$	$\begin{smallmatrix} 22,6 \\ 23,4 \end{smallmatrix}$	58
3	$\frac{10,0; 7,35; 3,2}{32,8; 1,0}$	271	$\frac{1,35/1,64}{1,68/1,99}$	$\begin{smallmatrix} 3 \\ 3 \end{smallmatrix}$	$\begin{smallmatrix} 9 \\ 6 \end{smallmatrix}$	$\begin{smallmatrix} 54 \\ 36 \end{smallmatrix}$	1—8	$\begin{smallmatrix} 2 \\ — \end{smallmatrix}$	$\begin{smallmatrix} 3-11, 3-126 \\ 3-10, 3-125 \end{smallmatrix}$	$\begin{smallmatrix} 5,3 \\ 5,21 \end{smallmatrix}$	$\begin{smallmatrix} 313 \\ 318 \end{smallmatrix}$	0,82	$\begin{smallmatrix} 0,178 \\ 0,309 \end{smallmatrix}$	$\begin{smallmatrix} 23 \\ 23,8 \end{smallmatrix}$	58
3	$\frac{10,0; 7,35; 3,2}{32,8; 1,0}$	271	$\frac{1,35/1,64}{1,68/1,99}$	$\begin{smallmatrix} 2 \\ 1 \end{smallmatrix}$	$\begin{smallmatrix} 13 \\ 17 \end{smallmatrix}$	$\begin{smallmatrix} 52 \\ 34 \end{smallmatrix}$	1—8	$\begin{smallmatrix} 4 \\ 4 \end{smallmatrix}$	3-12, 3-127	$\begin{smallmatrix} 5,5 \\ 5,41 \end{smallmatrix}$	$\begin{smallmatrix} 313 \\ 312 \end{smallmatrix}$	0,96	$\begin{smallmatrix} 0,113 \\ 0,192 \end{smallmatrix}$	$\begin{smallmatrix} 25,2 \\ 25 \end{smallmatrix}$	58

электрокартона толщиной по 0,3 мм. Для электродвигателей с проводом ПСД — микакартон толщиной 0,4 мм и стеклолакоткань ЛСБ толщиной 0,2 мм, склеенные вместе.

4. Прокладка в лобовой части у электродвигателей с проводом ПЭЛБО — электрокартон ЭВ толщиной 0,2 мм и лакоткань ЛХС толщиной 0,2 мм, склеенные вместе. С проводом ПСД — микакартон толщиной 0,5 мм.

5. Клин для электродвигателей с проводом ПЭЛБО — дерево твердой породы пропитанное, для электродвигателей с проводом ПСД — стеклотекстолит СТ или текстолит марки Б.

6. Стержни и кольца короткозамкнутой обмотки ротора выполнены из сплава АЛ2 с 4% меди.

7. Паз статора выполнен в соответствии с рис. 1-2, поз ротора соответствует рис. 1-3.

Основные обмоточно-расчетные данные электродвигателей

Тип электро- двигателя	P_2 , квт	U , в	I , а	n , об/мин	η , %	$\cos \varphi$	$\frac{I_{пуск}}{I_H}$	$\frac{M_{пуск}}{M_H}$	$\frac{M_{макс}}{M_H}$	Ста				
										$\frac{D_{a1}}{D_{i1}}$	$\frac{l_{t1}}{l_{t2}}$	δ	B_δ , гс	z_1
АС91/4	75	220/380 500	258/149 114,0	1 380	87,0	0,88	5,0	2,2	2,4	$\frac{493}{315}$	$\frac{160}{165}$	1,0	8 200 8 290	60
АС92/4	100	220/380 500	339/195 149,0	1 380	88,0	0,88	5,0	2,2	2,4	$\frac{493}{315}$	$\frac{220}{225}$	1,0	8 500 7 850	60
АОС93/4	75	220/380 500	255/148 112,0	1 395	85,5	0,90	6,0	2,2	2,6	$\frac{493}{315}$	$\frac{250}{255}$	1,0	6 600 6 600	60
АОС94/4	100	220/380 500	335/195 150,0	1 395	86,5	0,90	6,0	2,2	2,6	$\frac{493}{315}$	$\frac{320}{325}$	1,0	6 850 6 750	60
АС91/6	55	220/380 500	202/117 88,8	900	82,5	0,87	4,5	2,1	2,4	$\frac{493}{350}$	$\frac{160}{165}$	0,6	8 750 8 350	72
АС92/6	75	220/380 500	268/155 118,0	910	83,5	0,88	4,5	2,1	2,4	$\frac{493}{350}$	$\frac{220}{225}$	0,6	8 470 8 350	72
АОС93/6	55	220/380 500	192/111 84,5	910	83,0	0,91	5,5	2,2	2,5	$\frac{493}{350}$	$\frac{250}{255}$	0,6	6 900 6 940	72
АОС94/6	75	220/380 500	258/149 114,0	910	84,0	0,91	5,5	2,2	2,5	$\frac{493}{350}$	$\frac{320}{325}$	0,6	7 000 7 080	72
АС91/8	40	220/380 500	161/92,6 70,7	670	80,0	0,82	4,0	2,0	2,1	$\frac{493}{350}$	$\frac{160}{165}$	0,6	9 300 9 160	72
АС92/8	55	220/380 500	219/127 96,6	670	80,5	0,82	4,0	2,0	2,1	$\frac{493}{350}$	$\frac{220}{225}$	0,6	9 100 9 180	72
АОС93/8	40	220/380 500	154/88,8 67,6	675	81,5	0,84	4,5	2,1	2,4	$\frac{403}{350}$	$\frac{250}{255}$	0,6	8 030 7 800	72
АОС94/8	55	220/380 500	210/121 92,5	675	82,0	0,84	4,5	2,1	2,4	$\frac{493}{350}$	$\frac{320}{325}$	0,6	7 820 7 820	72

Примечания: 1. Обмотка статора в заводском исполнении двухслойная, выполнена: для электродвигателей типа АС — проводом ПЭЛБО; для электродвигателей типа АОС — проводом ПСД.

2. Изоляция паза статора в заводском исполнении, выполнена для электродвигателей с проводом ПЭЛБО: электрокартон ЭВ толщиной 0,2 мм; лакоткань ЛХС толщиной 0,2 мм; электрокартон ЭВ толщиной 0,2 мм или два слоя пленкоэлектрокартона толщиной по 0,3 мм. Для электродвигателей с проводом ПСД: микакартон толщиной 0,4 мм, стеклолакоткань ЛСБ толщиной 0,2 мм, подклеенные.

3. Междуслойная прокладка в пазу в заводском исполнении выполнена для электродвигателей с проводом ПЭЛБО: два слоя электрокартона ЭВ толщиной по 0,2 мм; лакоткань ЛХС толщиной 0,2 мм или два слоя пленко-

единой серии типов АС и АОС 9-го габарита

тор																Ротор
q_1	Размеры паза $b; b'; b''$ $h; e$	$Q_{s1'}$ $мм^2$	d/d'	m_1	$\omega_{к1}$	$n_{э1}$	y_1	a_1	Схема обмотки (рис. №)	$j_1,$ $a/см^2$	$AS_1,$ $a/см$	$l_{m1'}$ $м$	$r_1,$ $ом$	$G_1,$ $кг$	z_2	
5	$\frac{13,4; 9,2; 3,7}{43,0; 1,0}$	465	$\frac{1,68/1,89}{1,45/1,66}$	$\begin{matrix} 3 \\ 3 \end{matrix}$	$\begin{matrix} 10 \\ 13 \end{matrix}$	$\begin{matrix} 60 \\ 78 \end{matrix}$	1—14	$\begin{matrix} 4 \\ 4 \end{matrix}$	3-5, 3-62	$\begin{matrix} 5,6 \\ 5,75 \end{matrix}$	$\begin{matrix} 452 \\ 450 \end{matrix}$	1,17	$\begin{matrix} 0,038 \\ 0,067 \end{matrix}$	$\begin{matrix} 43,8 \\ 42,4 \end{matrix}$	50	
5	$\frac{13,4; 9,2; 3,7}{43,0; 1,0}$	465	$\frac{1,62/1,83}{1,50/1,71}$	$\begin{matrix} 5 \\ 4 \end{matrix}$	$\begin{matrix} 7 \\ 10 \end{matrix}$	$\begin{matrix} 70 \\ 80 \end{matrix}$	1—14	$\begin{matrix} 4 \\ 4 \end{matrix}$	3-5, 3-62	$\begin{matrix} 4,72 \\ 5,28 \end{matrix}$	$\begin{matrix} 415 \\ 453 \end{matrix}$	1,29	$\begin{matrix} 0,0196 \\ 0,040 \end{matrix}$	$\begin{matrix} 52,8 \\ 51,8 \end{matrix}$	50	
5	$\frac{13,4; 9,2; 3,7}{43,0; 1,0}$	465	$\frac{1,68/1,99}{1,68/1,99}$	$\begin{matrix} 4 \\ 3 \end{matrix}$	$\begin{matrix} 8 \\ 10 \text{ и } 11 \end{matrix}$	$\begin{matrix} 64 \\ 63 \end{matrix}$	1—14	$\begin{matrix} 4 \\ 4 \end{matrix}$	3-5, 3-62	$\begin{matrix} 4,17 \\ 4,2 \end{matrix}$	$\begin{matrix} 359 \\ 357 \end{matrix}$	1,35	$\begin{matrix} 0,027 \\ 0,046 \end{matrix}$	$\begin{matrix} 55,5 \\ 54,5 \end{matrix}$	50	
5	$\frac{13,4; 9,2; 3,7}{43,0; 1,0}$	465	$\frac{1,62/1,92}{1,74/2,05}$	$\begin{matrix} 6 \\ 4 \end{matrix}$	$\begin{matrix} 6 \\ 8 \end{matrix}$	$\begin{matrix} 72 \\ 64 \end{matrix}$	1—14	$\begin{matrix} 4 \\ 4 \end{matrix}$	3-5, 3-62	$\begin{matrix} 3,95 \\ 3,94 \end{matrix}$	$\begin{matrix} 355 \\ 364 \end{matrix}$	1,49	$\begin{matrix} 0,0154 \\ 0,0278 \end{matrix}$	$\begin{matrix} 64,4 \\ 65,2 \end{matrix}$	50	
4	$\frac{11,5; 8,4; 3,7}{38,0; 1,0}$	363	$\frac{1,50/1,71}{1,50/1,71}$	$\begin{matrix} 2 \\ 3 \end{matrix}$	$\begin{matrix} 16 \\ 11 \end{matrix}$	$\begin{matrix} 64 \\ 66 \end{matrix}$	1—11	$\begin{matrix} 6 \\ 3 \end{matrix}$	$\begin{matrix} 3-9, 3-101 \\ 3-8, 3-99 \end{matrix}$	$\begin{matrix} 5,51 \\ 5,6 \end{matrix}$	$\begin{matrix} 408 \\ 425 \end{matrix}$	0,95	$\begin{matrix} 0,050 \\ 0,092 \end{matrix}$	$\begin{matrix} 36,4 \\ 36,8 \end{matrix}$	58	
4	$\frac{11,5; 8,4; 3,7}{38,0; 1,0}$	363	$\frac{1,56/1,77}{1,50/1,71}$	$\begin{matrix} 5 \\ 2 \end{matrix}$	$\begin{matrix} 6 \\ 16 \end{matrix}$	$\begin{matrix} 60 \\ 64 \end{matrix}$	1—11	$\begin{matrix} 3 \\ 6 \end{matrix}$	$\begin{matrix} 3-8, 3-99 \\ 3-9, 3-101 \end{matrix}$	$\begin{matrix} 5,4 \\ 5,56 \end{matrix}$	$\begin{matrix} 407 \\ 412 \end{matrix}$	1,07	$\begin{matrix} 0,0314 \\ 0,056 \end{matrix}$	$\begin{matrix} 42,5 \\ 40,9 \end{matrix}$	58	
4	$\frac{11,5; 8,4; 3,7}{38,0; 1,0}$	363	$\frac{1,68/1,99}{1,45/1,74}$	$\begin{matrix} 2 \\ 2 \end{matrix}$	$\begin{matrix} 13 \\ 17 \end{matrix}$	$\begin{matrix} 52 \\ 68 \end{matrix}$	1—11	$\begin{matrix} 6 \\ 6 \end{matrix}$	3-9, 3-101	$\begin{matrix} 4,16 \\ 4,25 \end{matrix}$	$\begin{matrix} 316 \\ 314 \end{matrix}$	1,13	$\begin{matrix} 0,039 \\ 0,068 \end{matrix}$	$\begin{matrix} 45,2 \\ 44,3 \end{matrix}$	58	
4	$\frac{11,6; 8,4; 3,7}{38,0; 1,0}$	363	$\frac{1,56/1,86}{1,68/1,99}$	$\begin{matrix} 3 \\ 2 \end{matrix}$	$\begin{matrix} 10 \\ 13 \end{matrix}$	$\begin{matrix} 60 \\ 52 \end{matrix}$	1—11	$\begin{matrix} 6 \\ 6 \end{matrix}$	3-9, 3-101	$\begin{matrix} 4,33 \\ 4,28 \end{matrix}$	$\begin{matrix} 325 \\ 324 \end{matrix}$	1,27	$\begin{matrix} 0,0264 \\ 0,044 \end{matrix}$	$\begin{matrix} 51,2 \\ 50,6 \end{matrix}$	58	
3	$\frac{11,5; 8,4; 3,7}{38,0; 1,0}$	363	$\frac{1,68/1,89}{1,68/1,89}$	$\begin{matrix} 2 \\ 3 \end{matrix}$	$\begin{matrix} 13 \text{ и } 14 \\ 9 \end{matrix}$	$\begin{matrix} 54 \\ 54 \end{matrix}$	1—8	$\begin{matrix} 4 \\ 2 \end{matrix}$	$\begin{matrix} 3-12, 3-127 \\ 3-11, 3-126 \end{matrix}$	$\begin{matrix} 5,21 \\ 5,31 \end{matrix}$	$\begin{matrix} 410 \\ 416 \end{matrix}$	0,82	$\begin{matrix} 0,0656 \\ 0,117 \end{matrix}$	$\begin{matrix} 34,1 \\ 34,1 \end{matrix}$	58	
3	$\frac{11,5; 8,4; 3,7}{38,0; 1,0}$	363	$\frac{1,56/1,77}{1,68/1,89}$	$\begin{matrix} 3 \\ 2 \end{matrix}$	$\begin{matrix} 10 \\ 13 \end{matrix}$	$\begin{matrix} 60 \\ 52 \end{matrix}$	1—8	$\begin{matrix} 4 \\ 4 \end{matrix}$	3-12, 3-127	$\begin{matrix} 5,53 \\ 5,44 \end{matrix}$	$\begin{matrix} 416 \\ 412 \end{matrix}$	0,94	$\begin{matrix} 0,043 \\ 0,0725 \end{matrix}$	$\begin{matrix} 37,2 \\ 37,0 \end{matrix}$	58	
3	$\frac{11,5; 8,4; 3,7}{38,0; 1,0}$	363	$\frac{1,56/1,86}{1,62/1,92}$	$\begin{matrix} 3 \\ 2 \end{matrix}$	$\begin{matrix} 10 \\ 13 \text{ и } 14 \end{matrix}$	$\begin{matrix} 60 \\ 54 \end{matrix}$	1—8	$\begin{matrix} 4 \\ 4 \end{matrix}$	3-12, 3-127	$\begin{matrix} 3,87 \\ 4,1 \end{matrix}$	$\begin{matrix} 291 \\ 299 \end{matrix}$	1,0	$\begin{matrix} 0,0458 \\ 0,086 \end{matrix}$	$\begin{matrix} 40,8 \\ 39,0 \end{matrix}$	58	
3	$\frac{11,5; 8,4; 3,7}{38,0; 1,0}$	363	$\frac{1,45/1,74}{1,50/1,80}$	$\begin{matrix} 4 \\ 3 \end{matrix}$	$\begin{matrix} 8 \\ 10 \text{ и } 11 \end{matrix}$	$\begin{matrix} 64 \\ 63 \end{matrix}$	1—8	$\begin{matrix} 4 \\ 4 \end{matrix}$	3-12, 3-127	$\begin{matrix} 4,58 \\ 4,36 \end{matrix}$	$\begin{matrix} 317 \\ 318 \end{matrix}$	1,14	$\begin{matrix} 0,034 \\ 0,0595 \end{matrix}$	$\begin{matrix} 43,2 \\ 44,9 \end{matrix}$	58	

электрокартона толщиной по 0,3 мм. С проводом ПСД: микакартон толщиной 0,4 мм и стеклоленту ЛСБ толщиной 0,2 мм, склеенные вместе.

4. Прокладка в лобовой части для электродвигателей с проводом ПЭЛБО — электрокартон ЭВ толщиной 0,2 мм и ленту ЛХС толщиной 0,2 мм, склеенные вместе. Для электродвигателей с проводом ПСД — микакартон толщиной 0,5 мм.

5. Клинья для электродвигателей с проводом ПЭЛБО — дерево твердой породы пропитанное, для электродвигателей с проводом ПСД — стеклотекстолит марки СТ или текстолит марки Б.

6. Стержни и кольца короткозамкнутой обмотки ротора выполнены из сплава АЛ2 с 4% меди.

7. Паз статора выполнен в соответствии с рис. 1-2, паз ротора соответствует рис. 1-3.

Основные обмоточно-расчетные данные электродвигателей

Тип электро- двигателя	P_2 , квт	U , в	I , а	n , об/мин	η , %	$\cos \varphi$	$\frac{I_{\text{пуск}}}{I_{\text{н}}}$	$\frac{M_{\text{пуск}}}{M_{\text{н}}}$	$\frac{M_{\text{макс}}}{M_{\text{н}}}$	Ста				
										$\frac{D_{a1}}{D_{i1}}$	$\frac{l_{t1}}{l_{t2}}$	δ	$B_{\delta, \text{гс}}$	z_1
АОП41/4	1,7	127/220 220/380 500	11,8/6,8 6,8/3,9 3,0	1 420	80,0	0,81	5,5	2,0	2,4	$\frac{182}{112}$	$\frac{75}{78}$	0,3	7 380 7 480 7 450	36
АОП42/4	2,8	127/220 220/380 500	18,5/10,7 10,7/6,2 4,7	1 420	83,0	0,83	6,0	2,0	2,6	$\frac{182}{112}$	$\frac{115}{118}$	0,3	7 450 7 190 7 360	36
АОП41/6	1,0	127/220 220/380 500	8,5/4,9 4,9/2,8 2,1	930	75,0	0,72	4,5	1,9	2,4	$\frac{182}{112}$	$\frac{75}{78}$	0,3	7 950 7 950 7 990	36
АОП42/6	1,7	127/220 220/380 500	13,1/7,6 7,6/4,4 3,4	930	79,5	0,75	5,0	1,9	2,4	$\frac{182}{112}$	$\frac{115}{118}$	0,3	7 550 7 490 7 530	36

Примечания: 1. Обмотка статора в заводском исполнении однослойная, выполнена проводом марки ПЭЛБО.

2. Изоляция паза статора в заводском исполнении — электрокартон ЭВ толщиной 0,2 мм; лакоткань ЛХС толщиной 0,15 мм; электрокартон ЭВ толщиной 0,1 мм.

3. Прокладка в лобовой части — электрокартон ЭВ толщиной 0,2 мм и лакоткань ЛХС толщиной 0,15 мм, склеенные вместе.

Основные обмоточно-расчетные данные электродвигателей

Тип электро- двигателя	P_2 , квт	U , в	I , а	n , об/мин	η , %	$\cos \varphi$	$\frac{I_{\text{пуск}}}{I_{\text{н}}}$	$\frac{M_{\text{пуск}}}{M_{\text{н}}}$	$\frac{M_{\text{макс}}}{M_{\text{н}}}$	Ста				
										$\frac{D_{a1}}{D_{i1}}$	$\frac{l_{t1}}{l_{t2}}$	δ	$B_{\delta, \text{гс}}$	z_1
АОП51/4	4,5	127/220 220/380 500	28,4/16,4 16,4/9,5 7,2	1 440	84,5	0,85	6,5	2,0	2,8	$\frac{245}{152}$	$\frac{90}{94}$	0,4	7 700 7 720 7 700	36
АОП52/4	7,0	127/220 220/380 500	43,0/24,8 24,8/14,2 10,8	1 440	86,0	0,86	7,0	2,0	2,8	$\frac{245}{152}$	$\frac{140}{144}$	0,4	7 850 7 460 7 340	36
АОП51/6	2,8	127/220 220/380 500	19,9/11,4 11,4/6,6 5,0	940	82,0	0,78	5,0	1,9	2,4	$\frac{245}{152}$	$\frac{90}{94}$	0,4	7 700 7 700 7 720	36
АОП52/6	4,5	127/220 220/380 500	30,5/17,6 17,6/10,2 7,8	940	83,5	0,80	5,5	1,9	2,4	$\frac{245}{152}$	$\frac{140}{144}$	0,4	7 410 7 410 7 480	36

Примечания: 1. Обмотка статора в заводском исполнении однослойная, выполнена проводом марки ПЭЛБО.

2. Изоляция паза статора в заводском исполнении — электрокартон ЭВ толщиной 0,2 мм; лакоткань ЛХС толщиной 0,15 мм; электрокартон ЭВ толщиной 0,2 мм.

3. Прокладка в лобовой части — электрокартон ЭВ толщиной 0,2 мм и лакоткань ЛХС толщиной 0,15 мм, склеенные вместе.

единой серии типа АОП 4-го габарита

тор															Ротор
q_1	Размеры паза $b; b'; b''$ $h; e$	$Q_{s1'}$ $мм^2$	d/d'	m_1	$\omega_{к1}$	$n_{э1}$	y_1	a_1	Схема обмотки (рис. №)	$j_1,$ $a/мм^2$	$AS_1,$ $a/см$	$l_{m1'}$ $м$	$r_1, ом$	$G_1,$ $кг$	z_2
3	$\frac{8,4; 5,6; 3,0}{19,5; 0,5}$	125,8	$\frac{1,3/1,51}{0,96/1,14}$ 0,83/1,01	1 1 1	31 53 70	31 53 70	1—12 2—11 3—10	— — —	3-41	5,12 5,4 5,55	215 211 214	0,46	1,07 3,58 5,99	3,18 2,98 2,96	26
3	$\frac{8,4; 5,6; 3,0}{19,5; 0,5}$	125,8	$\frac{1,12/1,33}{1,2/1,41}$ 1,0/1,21	2 1 1	20 36 46	40 36 46	1—12 2—11 3—10	— — —	3-41	5,44 5,48 5,99	219 228 221	0,54	0,575 1,81 3,33	3,59 3,70 3,31	26
2	$\frac{8,4; 5,6; 3,0}{19,5; 0,5}$	125,8	$\frac{1,08/1,29}{0,83/1,01}$ 0,69/0,86	1 1 1	41 71 93	41 71 93	1—8 2—7 —	— — —	3-69	5,35 5,17 5,61	205 203 200	0,39	1,86 5,47 10,4	2,47 2,54 2,31	42
2	$\frac{8,4; 5,6; 3,0}{19,5; 0,5}$	125,8	$\frac{0,93/1,11}{1,0/1,21}$ 0,86/1,04	2 1 1	28 49 64	56 49 64	1—8 2—7 —	— — —	3-69	5,6 5,6 5,85	217 220 222	0,47	1,05 3,16 5,55	3,02 3,06 2,96	42

4. Клинь — дерево твердой породы пропитанное.

5. Стержни и кольца короткозамкнутой обмотки ротора выполнены из сплава алюминия марки А5 — 5 частей и 1 части сплава А1 — 85,5% и Si — 13%.

6. Паз статора выполнен в соответствии с рис. 1-1, паз ротора соответствует рис. 1-5.

Таблица 1-73

единой серии типа АОП 5-го габарита

тор															Ротор
q_1	Размеры паза $b; b'; b''$ $h; e$	$Q_{s1'}$ $мм^2$	d/d'	m_1	$\omega_{к1}$	$n_{э1}$	y_1	a_1	Схема обмотки (рис. №)	$j_1,$ $a'/мм^2$	$AS_1,$ $a/см$	$l_{m1'}$ $м$	$r_1,$ $ом$	$G_1, кг$	z_2
3	$\frac{10,8; 7,4; 3,2}{24,75; 0,75}$	206,5	$\frac{1,25}{1,16}$ / $\frac{1,46}{1,37}$ $\frac{1,0}{1,21}$	3 2 2	18 31 41	54 62 82	1—12 2—11 3—10	— — —	3-41	4,45 4,5 4,59	223 222 222	0,59	0,303 0,91 1,62	6,56 6,5 6,45	42
3	$\frac{10,8; 7,4; 3,2}{24,75; 0,75}$	206,5	$\frac{1,35}{1,16}$ / $\frac{1,56}{1,37}$ $\frac{1,2}{1,41}$	2 3 2	23 21 28	46 63 56	1—12 2—11 3—10	2 — —	3-43 3-41	4,32 4,48 4,77	215 225 228	0,69	0,147 0,48 0,9	7,6 7,72 7,35	42
2	$\frac{10,8; 7,4; 3,2}{24,75; 0,75}$	206,5	$\frac{1,3}{1,4}$ / $\frac{1,51}{1,61}$ $\frac{1,2}{1,41}$	2 1 1	26 45 59	52 45 59	1—8 2—7 —	— — —	3-69	4,3 4,3 4,41	224 224 222	0,48	0,494 1,48 2,64	5,56 5,57 5,38	42
2	$\frac{10,8; 7,4; 3,2}{24,75; 0,75}$	206,5	$\frac{1,3}{1,16}$ / $\frac{1,51}{1,37}$ $\frac{1,0}{1,21}$	1 2 2	52 30 39	52 60 78	1—8 2—7 —	3 — —	3-71 3-69	4,43 4,83 4,97	230 231 230	0,58	0,266 0,864 1,52	6,72 6,2 6,02	42

4. Клинь — дерево твердой породы пропитанное.

5. Стержни и кольца короткозамкнутой обмотки ротора выполнены из сплава алюминия марки А5 — 5 частей и 1 части сплава А1 — 85,5% и Si — 13%.

6. Паз статора выполнен в соответствии с рис. 1-1, паз ротора соответствует рис. 1-5.

Основные обмоточно-расчетные данные электродвигателей

Тип электро- двигателя	P_2 , квт	U , в	I , а	n , об/мин	η , %	$\cos \varphi$	$\frac{I_{пуск}}{I_H}$	$\frac{M_{пуск}}{M_H}$	$\frac{M_{макс}}{M_H}$	Сга				
										$\frac{D_{a1}}{D_{i1}}$	$\frac{l_{t1}}{l_{t2}}$	δ	$B_{\delta, зс}$	z_1
АП61/4	10	220/380 500	36,0/20,8 15,8	1 450	86,0	0,85	5,0	1,8	2,1	$\frac{327}{200}$	$\frac{75}{80}$	0,4	8 850 8 720	36
АП62/4	14	220/380 500	49,5/28,6 21,8	1 450	87,5	0,85	5,0	1,8	2,2	$\frac{327}{200}$	$\frac{100}{105}$	0,4	8 920 9 010	36
АОП62/4	10	220/380 500	34,5/20,0 15,0	1 460	86,5	0,87	7,0	2,0	2,5	$\frac{327}{200}$	$\frac{100}{105}$	0,4	8 150 8 100	36
АОП63/4	14	220/380 500	47,5/27,5 21,0	1 460	87,5	0,87	7,0	2,0	2,8	$\frac{327}{200}$	$\frac{135}{140}$	0,4	8 260 8 260	36
АП61/6	7	220/380 500	27,7/16,0 12,2	950	84,0	0,79	4,5	1,7	2,0	$\frac{327}{230}$	$\frac{75}{80}$	0,4	7 900 7 950	54
АП62/6	10	220/380 500	37,7/21,7 16,6	950	85,0	0,81	5,0	1,8	2,0	$\frac{327}{230}$	$\frac{100}{105}$	0,4	7 700 7 800	54
АОП62/6	7	220/380 500	27,0/15,5 12,0	960	85,0	0,81	6,0	1,9	2,3	$\frac{327}{230}$	$\frac{100}{105}$	0,4	7 000 6 750	54
АОП63/6	10	220/380 500	37,0/21,5 16,5	960	86,0	0,82	6,0	1,9	2,4	$\frac{327}{230}$	$\frac{135}{140}$	0,4	7 150 7 150	54
АП61/8	4,5	220/380 500	19,4/11,2 8,5	725	82,5	0,74	5,0	1,7	2,2	$\frac{327}{230}$	$\frac{75}{80}$	0,4	8 210 8 420	54
АП62/8	7	220/380 500	28,9/16,7 12,7	725	84,0	0,76	5,0	1,7	2,2	$\frac{327}{230}$	$\frac{100}{105}$	0,4	8 300 8 370	54
АОП62/8	4,5	220/380 500	19,6/11,3 8,7	735	82,5	0,73	6,0	1,8	2,4	$\frac{327}{230}$	$\frac{100}{105}$	0,4	7 350 7 400	54
АОП63/8	7	220/380 500	28,8/16,6 12,7	730	84,0	0,76	6,0	1,8	2,4	$\frac{327}{230}$	$\frac{135}{140}$	0,4	7 500 7 470	54

Примечания: 1. Обмотка статора в заводском исполнении двухслойная, выполнена: для электродвигателей типа АП — проводом марки ПЭЛБО, для электродвигателей типа АОП — проводом марки ПСД.

2. Изоляция паза статора в заводском исполнении выполнена для электродвигателей с проводом ПЭЛБО: электрокартон ЭВ толщиной 0,2 мм; лакоткань ЛХС толщиной 0,2 мм; электрокартон ЭВ толщиной 0,2 мм или два слоя пленкоэлектрокартона толщиной по 0,3 мм. Для электродвигателей с проводом ПСД: микакартон толщиной 0,4 мм, стеклолакоткань ЛСБ толщиной 0,2 мм, подклеенные.

3. Междуслойная прокладка в пазу в заводском исполнении выполнена для электродвигателей с проводом ПЭЛБО: два слоя электрокартона ЭВ толщиной по 0,2 мм, лакоткань ЛХС толщиной 0,2 мм. Для электродвигателей

единой серии типов АП и АОП 6-го габарита

тор															Ротор
q_1	Размеры паза $b; b'; b''$ $h; e$	$Q_{s1},$ $мм^2$	d/d'	m_1	$\omega_{к1}$	$n_{э1}$	y_1	a_1	Схема обмотки (рис. №)	$j_1,$ $a/мм^2$	$AS_1,$ $a/см$	$l_{m1},$ $м$	$r_1,$ $ом$	$G_1, кг$	z_2
3	$\frac{13,2; 8,6; 3,7}{28,8; 1,1}$	296	$\frac{1,45/1,66}{1,25/1,46}$	$\begin{matrix} 1 \\ 2 \end{matrix}$	$\begin{matrix} 27 \\ 18 \end{matrix}$	$\begin{matrix} 54 \\ 72 \end{matrix}$	1—8	$\begin{matrix} 2 \\ — \end{matrix}$	$\begin{matrix} 3-4, 3-45 \\ 3-3, 3-44 \end{matrix}$	$\begin{matrix} 6,3 \\ 6,44 \end{matrix}$	$\begin{matrix} 322 \\ 326 \end{matrix}$	0,57	$\begin{matrix} 0,49 \\ 0,878 \end{matrix}$	$\begin{matrix} 8,44 \\ 8,41 \end{matrix}$	2×22
3	$\frac{13,2; 8,6; 3,7}{28,8; 1,0}$	296	$\frac{1,68/1,89}{1,45/1,66}$	$\begin{matrix} 2 \\ 2 \end{matrix}$	$\begin{matrix} 10 \\ 13 \end{matrix}$	$\begin{matrix} 40 \\ 52 \end{matrix}$	1—8	$\begin{matrix} — \\ — \end{matrix}$	3-3, 3-44	$\begin{matrix} 6,45 \\ 6,6 \end{matrix}$	$\begin{matrix} 328 \\ 325 \end{matrix}$	0,62	$\begin{matrix} 0,294 \\ 0,514 \end{matrix}$	$\begin{matrix} 9,06 \\ 8,85 \end{matrix}$	2×22
3	$\frac{13,2; 8,6; 3,7}{28,8; 1,0}$	296	$\frac{1,56/1,86}{1,35/1,64}$	$\begin{matrix} 2 \\ 1 \end{matrix}$	$\begin{matrix} 11 \\ 29 \end{matrix}$	$\begin{matrix} 44 \\ 58 \end{matrix}$	1—8	$\begin{matrix} — \\ 2 \end{matrix}$	3-3, 3-44	$\begin{matrix} 5,23 \\ 5,23 \end{matrix}$	$\begin{matrix} 252 \\ 250 \end{matrix}$	0,62	$\begin{matrix} 0,375 \\ 0,662 \end{matrix}$	$\begin{matrix} 8,9 \\ 8,9 \end{matrix}$	2×22
3	$\frac{13,2; 8,6; 3,7}{28,8; 1,0}$	296	$\frac{1,3/1,59}{1,62/1,92}$	$\begin{matrix} 2 \\ 1 \end{matrix}$	$\begin{matrix} 16 \\ 21 \end{matrix}$	$\begin{matrix} 64 \\ 42 \end{matrix}$	1—8	$\begin{matrix} 2 \\ 2 \end{matrix}$	3-4, 3-45	$\begin{matrix} 5,18 \\ 5,1 \end{matrix}$	$\begin{matrix} 252 \\ 253 \end{matrix}$	0,69	$\begin{matrix} 0,218 \\ 0,37 \end{matrix}$	$\begin{matrix} 10,15 \\ 10,15 \end{matrix}$	2×22
3	$\frac{10,5; 7,4; 3,2}{30,0; 2,0}$	247	$\frac{1,3/1,51}{1,12/1,33}$	$\begin{matrix} 2 \\ 2 \end{matrix}$	$\begin{matrix} 13 \\ 17 \end{matrix}$	$\begin{matrix} 52 \\ 68 \end{matrix}$	1—8	$\begin{matrix} — \\ — \end{matrix}$	3-6, 3-82	$\begin{matrix} 6,02 \\ 6,18 \end{matrix}$	$\begin{matrix} 311 \\ 310 \end{matrix}$	0,5	$\begin{matrix} 0,771 \\ 1,36 \end{matrix}$	$\begin{matrix} 8,65 \\ 8,41 \end{matrix}$	2×34
3	$\frac{10,5; 7,4; 3,2}{30,0; 2,0}$	247	$\frac{1,5/1,71}{1,3/1,51}$	$\begin{matrix} 2 \\ 2 \end{matrix}$	$\begin{matrix} 10 \\ 13 \end{matrix}$	$\begin{matrix} 40 \\ 52 \end{matrix}$	1—8	$\begin{matrix} — \\ — \end{matrix}$	3-6, 3-82	$\begin{matrix} 6,16 \\ 6,25 \end{matrix}$	$\begin{matrix} 325 \\ 323 \end{matrix}$	0,55	$\begin{matrix} 0,488 \\ 0,848 \end{matrix}$	$\begin{matrix} 9,65 \\ 9,52 \end{matrix}$	2×34
3	$\frac{10,5; 7,4; 3,2}{30,0; 2,0}$	247	$\frac{1,35/1,64}{1,12/1,41}$	$\begin{matrix} 2 \\ 2 \end{matrix}$	$\begin{matrix} 11 \\ 15 \end{matrix}$	$\begin{matrix} 44 \\ 60 \end{matrix}$	1—8	$\begin{matrix} — \\ — \end{matrix}$	3-6, 3-82	$\begin{matrix} 5,4 \\ 6,1 \end{matrix}$	$\begin{matrix} 255 \\ 270 \end{matrix}$	0,55	$\begin{matrix} 0,666 \\ 1,315 \end{matrix}$	$\begin{matrix} 8,95 \\ 8,53 \end{matrix}$	2×34
3	$\frac{10,5; 7,4; 3,2}{30,0; 2,0}$	247	$\frac{1,3/1,59}{1,4/1,69}$	$\begin{matrix} 3 \\ 1 \end{matrix}$	$\begin{matrix} 8 \\ 21 \end{matrix}$	$\begin{matrix} 48 \\ 42 \end{matrix}$	1—8	$\begin{matrix} — \\ 2 \end{matrix}$	$\begin{matrix} 3-6, 3-82 \\ 3-7, 3-84 \end{matrix}$	$\begin{matrix} 5,4 \\ 5,37 \end{matrix}$	$\begin{matrix} 257 \\ 258 \end{matrix}$	0,62	$\begin{matrix} 0,393 \\ 0,668 \end{matrix}$	$\begin{matrix} 10,25 \\ 10,32 \end{matrix}$	2×34
$2\frac{1}{4}$	$\frac{10,5; 7,4; 3,2}{30,0; 2,0}$	247	$\frac{1,2/1,41}{1,5/1,71}$	$\begin{matrix} 1 \\ 1 \end{matrix}$	$\begin{matrix} 31 \\ 20 \end{matrix}$	$\begin{matrix} 62 \\ 40 \end{matrix}$	1—7	$\begin{matrix} 2 \\ — \end{matrix}$	$\begin{matrix} 3-11, 3-118 \\ 3-10, 3-117 \end{matrix}$	$\begin{matrix} 4,95 \\ 4,82 \end{matrix}$	$\begin{matrix} 260 \\ 254 \end{matrix}$	0,48	$\begin{matrix} 1,038 \\ 1,7 \end{matrix}$	$\begin{matrix} 8,45 \\ 8,45 \end{matrix}$	2×34
$2\frac{1}{4}$	$\frac{10,5; 7,4; 3,2}{30,0; 2,0}$	247	$\frac{1,4/1,61}{1,25/1,46}$	$\begin{matrix} 1 \\ 2 \end{matrix}$	$\begin{matrix} 23 \\ 15 \end{matrix}$	$\begin{matrix} 46 \\ 60 \end{matrix}$	1—7	$\begin{matrix} 2 \\ — \end{matrix}$	$\begin{matrix} 3-11, 3-118 \\ 3-10, 3-117 \end{matrix}$	$\begin{matrix} 5,42 \\ 5,18 \end{matrix}$	$\begin{matrix} 288 \\ 285 \end{matrix}$	0,53	$\begin{matrix} 0,624 \\ 1,02 \end{matrix}$	$\begin{matrix} 9,35 \\ 9,8 \end{matrix}$	2×34
$2\frac{1}{4}$	$\frac{10,5; 7,4; 3,2}{30,0; 2,0}$	247	$\frac{1,2/1,49}{1,62/1,92}$	$\begin{matrix} 2 \\ 1 \end{matrix}$	$\begin{matrix} 13 \\ 17 \end{matrix}$	$\begin{matrix} 52 \\ 34 \end{matrix}$	1—7	$\begin{matrix} — \\ — \end{matrix}$	3-10, 3-117	$\begin{matrix} 5,0 \\ 4,22 \end{matrix}$	$\begin{matrix} 220 \\ 221 \end{matrix}$	0,53	$\begin{matrix} 0,962 \\ 1,38 \end{matrix}$	$\begin{matrix} 8,15 \\ 9,48 \end{matrix}$	2×34
$2\frac{1}{4}$	$\frac{10,5; 7,4; 3,2}{30,0; 2,0}$	247	$\frac{1,5/1,80}{1,3/1,59}$	$\begin{matrix} 1 \\ 1 \end{matrix}$	$\begin{matrix} 19 \\ 25 \end{matrix}$	$\begin{matrix} 38 \\ 50 \end{matrix}$	1—7	$\begin{matrix} 2 \\ 2 \end{matrix}$	3-11, 3-118	$\begin{matrix} 4,7 \\ 4,78 \end{matrix}$	$\begin{matrix} 236 \\ 238 \end{matrix}$	0,6	$\begin{matrix} 0,506 \\ 0,89 \end{matrix}$	$\begin{matrix} 10,35 \\ 10,35 \end{matrix}$	2×34

с проводом ПСД: микакартон толщиной 0,4 мм и стеклолакоткань ЛСБ толщиной 0,2 мм, склеенные вместе.

4. Прокладка в лобовой части для электродвигателей с проводом ПЭЛБО — электрокартон ЭВ толщиной 0,2 мм и лакоткань ЛХС толщиной 0,2 мм, склеенные вместе. Для электродвигателей с проводом ПСД — микакартон толщиной 0,5 мм.

5. Клинь для электродвигателей с проводом ПЭЛБО — дерево твердой породы пропитанное, для электродвигателей с проводом ПСД — стеклотекстолит марки СТ или текстолит марки Б.

6. Стержни и кольца короткозамкнутой обмотки ротора выполнены из алюминия марки А5.

7. Паз статора выполнен в соответствии с рис. 1-2, паз ротора соответствует рис. 1-6.

Основные обмоточно-расчетные данные электродвигателей

Тип электро- двигателя	P_2 , квт	U , в	I , а	n , об/мин	η , %	$\cos \varphi$	$\frac{I_{\text{пуск}}}{I_{\text{н}}}$	$\frac{M_{\text{пуск}}}{M_{\text{н}}}$	$\frac{M_{\text{макс}}}{M_{\text{н}}}$	Стр				
										$\frac{D_{a1}}{D_{i1}}$	$\frac{l_{t1}}{l_{t2}}$	δ	B_{δ} , гс	z_1
АП71/4	20	220/380 500	70,5/40,6 31,0	1 450	88,0	0,85	5,5	1,8	2,2	$\frac{368}{230}$	$\frac{100}{105}$	0,5	9 400 9 250	36
АП72/4	28	220/380 500	97,4/56,0 42,8	1 450	89,0	0,85	6,5	1,8	2,2	$\frac{368}{230}$	$\frac{135}{140}$	0,5	9 600 9 450	36
АОП72/4	20	220/380 500	67,5/39,0 29,5	1 460	88,0	0,87	7,0	1,9	2,8	$\frac{368}{230}$	$\frac{135}{140}$	0,5	8 230 8 400	36
АОП73/4	28	220/380 500	94,0/54,5 41,5	1 460	89,0	0,87	7,5	1,9	2,8	$\frac{368}{230}$	$\frac{185}{190}$	0,5	8 400 8 480	36
АП71/6	14	220/380 500	51,8/29,9 22,8	970	86,5	0,82	5,5	1,8	2,2	$\frac{368}{260}$	$\frac{100}{105}$	0,45	8 740 8 550	54
АП72/6	20	220/380 500	72,3/41,6 31,9	970	87,5	0,83	6,0	1,8	2,2	$\frac{368}{260}$	$\frac{135}{140}$	0,45	8 400 8 250	54
АОП72/6	14	220/380 500	51,0/29,5 22,5	980	86,5	0,83	6,0	1,9	2,4	$\frac{368}{260}$	$\frac{135}{140}$	0,45	7 550 7 630	54
АОП73/6	20	220/380 500	70,0/40,5 31,0	980	87,5	0,84	6,5	1,9	2,4	$\frac{368}{260}$	$\frac{185}{190}$	0,45	7 340 7 200	54
АП71/8	10	220/380 500	40,0/23,2 17,7	730	85,0	0,77	5,0	1,7	2,2	$\frac{368}{260}$	$\frac{100}{105}$	0,45	8 460 8 570	54
АП72/8	14	220/380 500	55,0/32,0 24,4	730	86,5	0,77	5,5	1,7	2,2	$\frac{368}{260}$	$\frac{135}{140}$	0,45	8 390 8 250	54
АОП72/8	10	220/380 500	40,0/23,0 17,7	735	85,0	0,77	6,0	1,8	2,4	$\frac{368}{260}$	$\frac{135}{140}$	0,45	7 400 7 500	54
АОП73/8	14	220/380 500	55,0/31,8 24,3	735	86,5	0,77	6,0	1,8	2,4	$\frac{368}{260}$	$\frac{185}{190}$	0,45	7 650 7 580	54

Примечания: 1. Обмотка статора в заводском исполнении двухслойная, выполнена: для электродвигателей типа АП — проводом марки ПЭЛБО; для электродвигателей типа АОП — проводом марки ПСД.

2. Изоляция паза статора в заводском исполнении выполнена для электродвигателей с проводом ПЭЛБО: электрокартон ЭВ толщиной 0,2 мм; лакоткань ЛХС толщиной 0,2 мм; электрокартон ЭВ толщиной 0,2 мм или два слоя пленкоэлектрокартона толщиной по 0,3 мм. Для электродвигателей с проводом ПСД: микакартон толщиной 0,4 мм; стеклолакоткань ЛСБ толщиной 0,2 мм, подклеенные.

3. Междуслойная прокладка в пазу в заводском исполнении выполнена для электродвигателей с проводом ПЭЛБО: два слоя электрокартона ЭВ толщиной по 0,2 мм; лакоткань ЛХС толщиной 0,2 мм или два слоя пленко-

единой серии типов АП и АОП 7-го габарита

тор															Ротор
q_1	Размеры паза $b; b'; b''$ $h; e$	$Q_{s1},$ $мм^2$	d/d'	m_1	$w_{к1}$	n_{s1}	y_1	a_1	Схема обмотки (рис. №)	$j_1,$ $a/мм^2$	$AS_1,$ $a/см$	$l_{m1},$ $м$	$r_1,$ $ом$	$G_1,$ $кг$	z_2
3	$\frac{15,18; 10,3; 3,7}{30,8; 1,0}$	370	$\frac{1,45/1,66}{1,3/1,51}$	$\begin{smallmatrix} 2 \\ 2 \end{smallmatrix}$	$\begin{smallmatrix} 16 \text{ и } 17 \\ 22 \end{smallmatrix}$	$\begin{smallmatrix} 66 \\ 88 \end{smallmatrix}$	1—8	$\begin{smallmatrix} 2 \\ 2 \end{smallmatrix}$	3-4, 3-45	$\begin{smallmatrix} 6,15 \\ 5,84 \end{smallmatrix}$	$\begin{smallmatrix} 334 \\ 340 \end{smallmatrix}$	0,72	$\begin{smallmatrix} 0,19 \\ 0,314 \end{smallmatrix}$	$\begin{smallmatrix} 13,3 \\ 14,3 \end{smallmatrix}$	2×22
3	$\frac{15,18; 10,3; 3,7}{30,8; 1,0}$	370	$\frac{1,68/1,89}{1,5/1,71}$	$\begin{smallmatrix} 2 \\ 2 \end{smallmatrix}$	$\begin{smallmatrix} 12 \\ 16 \end{smallmatrix}$	$\begin{smallmatrix} 48 \\ 64 \end{smallmatrix}$	1—8	$\begin{smallmatrix} 2 \\ 2 \end{smallmatrix}$	3-4, 3-45	$\begin{smallmatrix} 6,3 \\ 6,07 \end{smallmatrix}$	$\begin{smallmatrix} 335 \\ 342 \end{smallmatrix}$	0,79	$\begin{smallmatrix} 0,112 \\ 0,187 \end{smallmatrix}$	$\begin{smallmatrix} 14,3 \\ 15 \end{smallmatrix}$	2×22
3	$\frac{15,18; 10,3; 3,7}{30,8; 1,0}$	370	$\frac{1,56/1,86}{1,35/1,64}$	$\begin{smallmatrix} 2 \\ 2 \end{smallmatrix}$	$\begin{smallmatrix} 14 \\ 18 \end{smallmatrix}$	$\begin{smallmatrix} 56 \\ 72 \end{smallmatrix}$	1—8	$\begin{smallmatrix} 2 \\ 2 \end{smallmatrix}$	3-4, 3-45	$\begin{smallmatrix} 5,1 \\ 5,15 \end{smallmatrix}$	$\begin{smallmatrix} 272 \\ 265 \end{smallmatrix}$	0,79	$\begin{smallmatrix} 0,152 \\ 0,261 \end{smallmatrix}$	$\begin{smallmatrix} 14,8 \\ 14,3 \end{smallmatrix}$	2×22
3	$\frac{15,18; 10,3; 3,7}{30,8; 1,0}$	370	$\frac{1,56/1,86}{1,62/1,92}$	$\begin{smallmatrix} 3 \\ 2 \end{smallmatrix}$	$\begin{smallmatrix} 10 \\ 13 \end{smallmatrix}$	$\begin{smallmatrix} 60 \\ 52 \end{smallmatrix}$	1—8	$\begin{smallmatrix} 2 \\ 2 \end{smallmatrix}$	3-4, 3-45	$\begin{smallmatrix} 4,75 \\ 5,03 \end{smallmatrix}$	$\begin{smallmatrix} 272 \\ 268 \end{smallmatrix}$	0,89	$\begin{smallmatrix} 0,0818 \\ 0,147 \end{smallmatrix}$	$\begin{smallmatrix} 17,9 \\ 16,6 \end{smallmatrix}$	2×22
3	$\frac{11,9; 8,7; 3,7}{29,8; 1,0}$	291	$\frac{1,45/1,66}{1,56/1,77}$	$\begin{smallmatrix} 1 \\ 1 \end{smallmatrix}$	$\begin{smallmatrix} 23 \text{ и } 24 \\ 21 \end{smallmatrix}$	$\begin{smallmatrix} 47 \\ 42 \end{smallmatrix}$	1—8	$\begin{smallmatrix} 3 \\ 2 \end{smallmatrix}$	$\begin{smallmatrix} 3-8, 3-86 \\ 3-7, 3-84 \end{smallmatrix}$	$\begin{smallmatrix} 6,03 \\ 5,96 \end{smallmatrix}$	$\begin{smallmatrix} 310 \\ 317 \end{smallmatrix}$	0,62	$\begin{smallmatrix} 0,302 \\ 0,538 \end{smallmatrix}$	$\begin{smallmatrix} 12,3 \\ 12,6 \end{smallmatrix}$	2×34
3	$\frac{11,9; 8,7; 3,7}{29,8; 1,0}$	291	$\frac{1,74/1,95}{1,45/1,66}$	$\begin{smallmatrix} 1 \\ 1 \end{smallmatrix}$	$\begin{smallmatrix} 18 \\ 24 \end{smallmatrix}$	$\begin{smallmatrix} 36 \\ 48 \end{smallmatrix}$	1—8	$\begin{smallmatrix} 3 \\ 3 \end{smallmatrix}$	3-8, 3-86	$\begin{smallmatrix} 5,82 \\ 6,44 \end{smallmatrix}$	$\begin{smallmatrix} 330 \\ 337 \end{smallmatrix}$	0,69	$\begin{smallmatrix} 0,183 \\ 0,352 \end{smallmatrix}$	$\begin{smallmatrix} 14,9 \\ 13,9 \end{smallmatrix}$	2×34
3	$\frac{11,9; 8,7; 3,7}{29,8; 1,0}$	291	$\frac{1,56/1,86}{1,35/1,64}$	$\begin{smallmatrix} 1 \\ 1 \end{smallmatrix}$	$\begin{smallmatrix} 20 \\ 26 \end{smallmatrix}$	$\begin{smallmatrix} 40 \\ 52 \end{smallmatrix}$	1—8	$\begin{smallmatrix} 3 \\ 3 \end{smallmatrix}$	3-8, 3-86	$\begin{smallmatrix} 5,14 \\ 5,24 \end{smallmatrix}$	$\begin{smallmatrix} 261 \\ 260 \end{smallmatrix}$	0,69	$\begin{smallmatrix} 0,254 \\ 0,44 \end{smallmatrix}$	$\begin{smallmatrix} 13,7 \\ 13,5 \end{smallmatrix}$	2×34
3	$\frac{11,9; 8,7; 3,7}{29,8; 1,0}$	291	$\frac{1,62/1,92}{1,62/1,92}$	$\begin{smallmatrix} 2 \\ 1 \end{smallmatrix}$	$\begin{smallmatrix} 10 \\ 20 \end{smallmatrix}$	$\begin{smallmatrix} 40 \\ 40 \end{smallmatrix}$	1—8	$\begin{smallmatrix} 2 \\ 3 \end{smallmatrix}$	$\begin{smallmatrix} 3-7, 3-84 \\ 3-8, 3-86 \end{smallmatrix}$	$\begin{smallmatrix} 4,91 \\ 5,02 \end{smallmatrix}$	$\begin{smallmatrix} 268 \\ 273 \end{smallmatrix}$	0,79	$\begin{smallmatrix} 0,151 \\ 0,27 \end{smallmatrix}$	$\begin{smallmatrix} 17,1 \\ 16,9 \end{smallmatrix}$	2×34
$2 \frac{1}{4}$	$\frac{11,9; 8,7; 3,7}{29,8; 1,0}$	291	$\frac{1,62/1,83}{1,4/1,61}$	$\begin{smallmatrix} 2 \\ 2 \end{smallmatrix}$	$\begin{smallmatrix} 10 \\ 13 \end{smallmatrix}$	$\begin{smallmatrix} 40 \\ 52 \end{smallmatrix}$	1—7	—	3-10, 3-117	$\begin{smallmatrix} 5,63 \\ 5,75 \end{smallmatrix}$	$\begin{smallmatrix} 306 \\ 304 \end{smallmatrix}$	0,57	$\begin{smallmatrix} 0,436 \\ 0,76 \end{smallmatrix}$	$\begin{smallmatrix} 12,3 \\ 11,8 \end{smallmatrix}$	2×34
$2 \frac{1}{4}$	$\frac{11,9; 8,7; 3,7}{29,8; 1,0}$	291	$\frac{1,4/1,61}{1,4/1,61}$	$\begin{smallmatrix} 2 \\ 3 \end{smallmatrix}$	$\begin{smallmatrix} 15 \\ 10 \end{smallmatrix}$	$\begin{smallmatrix} 60 \\ 60 \end{smallmatrix}$	1—7	$\begin{smallmatrix} 2 \\ — \end{smallmatrix}$	$\begin{smallmatrix} 3-11, 3-118 \\ 3-10, 3-117 \end{smallmatrix}$	$\begin{smallmatrix} 5,2 \\ 5,3 \end{smallmatrix}$	$\begin{smallmatrix} 317 \\ 323 \end{smallmatrix}$	0,64	$\begin{smallmatrix} 0,246 \\ 0,438 \end{smallmatrix}$	$\begin{smallmatrix} 15,4 \\ 15,6 \end{smallmatrix}$	2×34
$2 \frac{1}{4}$	$\frac{11,9; 8,7; 3,7}{29,8; 1,0}$	291	$\frac{1,2/1,49}{1,56/1,86}$	$\begin{smallmatrix} 2 \\ 2 \end{smallmatrix}$	$\begin{smallmatrix} 17 \\ 11 \end{smallmatrix}$	$\begin{smallmatrix} 68 \\ 44 \end{smallmatrix}$	1—7	$\begin{smallmatrix} 2 \\ — \end{smallmatrix}$	$\begin{smallmatrix} 3-11, 3-118 \\ 3-10, 3-117 \end{smallmatrix}$	$\begin{smallmatrix} 5,08 \\ 4,63 \end{smallmatrix}$	$\begin{smallmatrix} 258 \\ 258 \end{smallmatrix}$	0,64	$\begin{smallmatrix} 0,38 \\ 0,58 \end{smallmatrix}$	$\begin{smallmatrix} 13,3 \\ 12,8 \end{smallmatrix}$	2×34
$2 \frac{1}{4}$	$\frac{11,9; 8,7; 3,7}{29,8; 1,0}$	291	$\frac{1,5/1,80}{1,45/1,74}$	$\begin{smallmatrix} 4 \\ 3 \end{smallmatrix}$	$\begin{smallmatrix} 6 \\ 8 \end{smallmatrix}$	$\begin{smallmatrix} 48 \\ 48 \end{smallmatrix}$	1—7	—	3-10, 3-117	$\begin{smallmatrix} 4,50 \\ 4,9 \end{smallmatrix}$	$\begin{smallmatrix} 252 \\ 257 \end{smallmatrix}$	0,74	$\begin{smallmatrix} 0,197 \\ 0,377 \end{smallmatrix}$	$\begin{smallmatrix} 16,2 \\ 15,0 \end{smallmatrix}$	2×34

электрокартона толщиной по 0,3 мм. Для электродвигателей с проводом ПСД: микакартон толщиной 0,4 мм; стеклолакоткань ЛСБ толщиной 0,2 мм, склеенные вместе.

4. Прокладка в лобовой части для электродвигателей с проводом ПЭЛБО: электрокартон ЭВ толщиной 0,2 мм и локоткань ЛХС толщиной 0,2 мм, склеенные вместе. Для электродвигателей с проводом ПСД — микакартон толщиной 0,5 мм.

5. Клины для электродвигателей с проводом ПЭЛБО — дерево твердой породы пропитанное, для электродвигателей с проводом ПСД — стеклотекстолит марки СТ или текстолит марки Б.

6. Стержни и кольца короткозамкнутой обмотки ротора выполнены из алюминия марки А5.

7. Паз статора выполнен в соответствии с рис. 1-2, паз ротора соответствует рис. 1-7.

Основные обмоточно-расчетные данные электродвигателей единой

Тип электро- двигателя	P_2 , квт	U , в	I , а	n , об/мин	η , %	$\cos \varphi$	$\frac{I_{пуск}}{I_H}$	$\frac{M_{пуск}}{M_H}$	$\frac{M_{макс}}{M_H}$	Ст				
										$\frac{D_{a1}}{D_{i1}}$	$\frac{l_{t1}}{l_{t2}}$	δ	B_δ , гс	z_1
АП81/4	40	220/380 500	138,0/79,4 60,5	1 460	90,0	0,85	6,0	1,8	2,2	$\frac{423}{265}$	$\frac{130}{135}$	0,6	9 540 9 100	48
АП82/4	55	220/380 500	186,0/107 82,0	1 460	90,5	0,86	6,5	1,8	2,2	$\frac{423}{265}$	$\frac{180}{185}$	0,6	9 200 9 060	48
АОП82/4	40	220/380 500	132/76,5 58,5	1 470	90,0	0,88	7,0	1,9	2,6	$\frac{423}{265}$	$\frac{180}{185}$	0,6	7 880 8 080	48
АОП83/4	55	220/380 500	180/104 79,0	1 470	90,5	0,88	7,5	1,9	2,6	$\frac{423}{265}$	$\frac{250}{255}$	0,6	7 940 8 010	48
АП81/6	28	220/380 500	99,0/57,0 43,6	975	88,5	0,84	6,0	1,8	2,2	$\frac{423}{300}$	$\frac{130}{135}$	0,55	8 400 8 050	72
АП82/6	40	220/380 500	140/80,8 61,5	975	89,5	0,84	6,5	1,8	2,2	$\frac{423}{300}$	$\frac{180}{185}$	0,55	8 520 8 650	72
АОП82/6	28	220/380 500	95,0/55,0 42,0	980	88,5	0,86	6,5	1,9	2,4	$\frac{423}{300}$	$\frac{180}{185}$	0,55	6 900 7 080	72
АОП83/6	40	220/380 500	133/77,0 58,5	980	89,5	0,87	7,0	1,9	2,4	$\frac{423}{300}$	$\frac{250}{255}$	0,55	7 500 7 630	72
АП81/8	20	220/380 500	78,0/45,0 34,3	730	87,5	0,77	5,5	1,7	2,2	$\frac{423}{300}$	$\frac{130}{135}$	0,55	8 530 8 410	72
АП82/8	28	220/380 500	108/62,5 47,5	730	88,5	0,77	5,5	1,7	2,2	$\frac{423}{300}$	$\frac{180}{185}$	0,55	8 600 8 500	72
АОП82/8	20	220/380 500	75,0/43,3 33/0	735	87,5	0,80	6,0	1,8	2,3	$\frac{423}{300}$	$\frac{180}{185}$	0,55	7 200 7 100	72
АОП83/8	28	220/380 500	104/60,0 45,6	735	88,5	0,80	6,0	1,8	2,3	$\frac{423}{300}$	$\frac{250}{255}$	0,55	7 150 7 200	72

Примечания: 1. Обмотка статора в заводском исполнении двухслойная, выполнена: для электродвигателей типа АП — проводом марки ПЭЛБО; для электродвигателей типа АОП — проводом марки ПСД.

2. Изоляция паза статора в заводском исполнении, выполнена для электродвигателей с проводом ПЭЛБО: электрокартон ЭВ толщиной 0,2 мм; лакоткань ЛХС толщиной 0,2 мм; электрокартон ЭВ толщиной 0,2 мм или два слоя пленкоэлектрокартона толщиной по 0,3 мм. Для электродвигателей с проводом ПСД: микакартон толщиной 0,4 мм; стеклолакоткань ЛСБ толщиной 0,2 мм, подклеенные.

3. Междуслойная прокладка в пазу в заводском исполнении выполнена для электродвигателей с проводом ПЭЛБО: два слоя электрокартона ЭВ толщиной по 0,2 мм; лакоткань ЛХС толщиной 0,2 мм или два слоя пленкоэлектрокартона толщиной по 0,3 мм. Для электродвигателей с проводом ПСД — микакартон толщиной 0,4 мм и стеклолакоткань ЛСБ толщиной 0,2 мм, склеенные вместе.

серии типов АП и АОП 8-го габарита

тор															Ротор
q_1	Размеры паза $b; b'; b''$ $h; e$	$Q_{s1},$ $мм^2$	d/d'	m_1	ω_{k1}	$n_{\theta 1}$	y_1	a_1	Схема обмотки (рис. №)	$j_1,$ $a/мм^2$	$AS_1,$ $a/см$	$l_{m1},$ $м$	$r_1,$ $ом$	$G_1,$ $кг$	z_1
4	$\frac{13,3; 8,8; 3,2}{36,8; 1,0}$	387	$\frac{1,5/1,71}{1,5/1,71}$	$\begin{smallmatrix} 4 \\ 3 \end{smallmatrix}$	$\begin{smallmatrix} 8 \\ 11 \end{smallmatrix}$	$\begin{smallmatrix} 64 \\ 66 \end{smallmatrix}$	1—11	$\begin{smallmatrix} 2 \\ 2 \end{smallmatrix}$	3-4, 3-55	$\begin{smallmatrix} 5,61 \\ 5,7 \end{smallmatrix}$	$\begin{smallmatrix} 366 \\ 384 \end{smallmatrix}$	0,98	$\begin{smallmatrix} 0,077 \\ 0,141 \end{smallmatrix}$	$\begin{smallmatrix} 25,2 \\ 25,8 \end{smallmatrix}$	2×29
4	$\frac{13,3; 8,8; 3,2}{36,8; 1,0}$	387	$\frac{1,45/1,66}{1,56/1,77}$	$\begin{smallmatrix} 3 \\ 4 \end{smallmatrix}$	$\begin{smallmatrix} 12 \\ 8 \end{smallmatrix}$	$\begin{smallmatrix} 72 \\ 64 \end{smallmatrix}$	1—11	$\begin{smallmatrix} 4 \\ 2 \end{smallmatrix}$	$\begin{smallmatrix} 3-5, 3-56 \\ 3-4, 3-55 \end{smallmatrix}$	$\begin{smallmatrix} 5,4 \\ 5,36 \end{smallmatrix}$	$\begin{smallmatrix} 370 \\ 378 \end{smallmatrix}$	1,08	$\begin{smallmatrix} 0,046 \\ 0,079 \end{smallmatrix}$	$\begin{smallmatrix} 29 \\ 30 \end{smallmatrix}$	2×29
4	$\frac{13,3; 8,8; 3,2}{36,8; 1,0}$	387	$\frac{1,68/1,99}{1,68/1,99}$	$\begin{smallmatrix} 4 \\ 3 \end{smallmatrix}$	$\begin{smallmatrix} 7 \\ 9 \end{smallmatrix}$	$\begin{smallmatrix} 56 \\ 54 \end{smallmatrix}$	1—11	$\begin{smallmatrix} 2 \\ 2 \end{smallmatrix}$	3-4, 3-55	$\begin{smallmatrix} 4,3 \\ 4,39 \end{smallmatrix}$	$\begin{smallmatrix} 309 \\ 303 \end{smallmatrix}$	1,08	$\begin{smallmatrix} 0,059 \\ 0,102 \end{smallmatrix}$	$\begin{smallmatrix} 31,3 \\ 30,1 \end{smallmatrix}$	2×29
4	$\frac{13,3; 8,8; 3,2}{36,8; 1,0}$	387	$\frac{1,62/1,92}{1,4/1,69}$	$\begin{smallmatrix} 3 \\ 3 \end{smallmatrix}$	$\begin{smallmatrix} 10 \\ 13 \end{smallmatrix}$	$\begin{smallmatrix} 60 \\ 78 \end{smallmatrix}$	1—11	$\begin{smallmatrix} 4 \\ 4 \end{smallmatrix}$	3-5, 3-56	$\begin{smallmatrix} 4,2 \\ 4,28 \end{smallmatrix}$	$\begin{smallmatrix} 300 \\ 296 \end{smallmatrix}$	1,22	$\begin{smallmatrix} 0,035 \\ 0,06 \end{smallmatrix}$	$\begin{smallmatrix} 35 \\ 34 \end{smallmatrix}$	2×29
4	$\frac{10,0; 7,35; 3,2}{32,8; 1,0}$	271	$\frac{1,45/1,66}{1,56/1,77}$	$\begin{smallmatrix} 3 \\ 2 \end{smallmatrix}$	$\begin{smallmatrix} 8 \\ 11 \end{smallmatrix}$	$\begin{smallmatrix} 48 \\ 44 \end{smallmatrix}$	1—11	$\begin{smallmatrix} 2 \\ 2 \end{smallmatrix}$	3-7, 3-97	$\begin{smallmatrix} 5,74 \\ 5,7 \end{smallmatrix}$	$\begin{smallmatrix} 348 \\ 367 \end{smallmatrix}$	0,85	$\begin{smallmatrix} 0,145 \\ 0,257 \end{smallmatrix}$	$\begin{smallmatrix} 23,2 \\ 24,3 \end{smallmatrix}$	2×46
4	$\frac{10,0; 7,35; 3,2}{32,8; 1,0}$	271	$\frac{1,74/1,95}{1,56/1,77}$	$\begin{smallmatrix} 1 \\ 2 \end{smallmatrix}$	$\begin{smallmatrix} 17 \\ 11 \end{smallmatrix}$	$\begin{smallmatrix} 34 \\ 44 \end{smallmatrix}$	1—11	$\begin{smallmatrix} 6 \\ 3 \end{smallmatrix}$	$\begin{smallmatrix} 3-9, 3-101 \\ 3-8, 3-99 \end{smallmatrix}$	$\begin{smallmatrix} 5,65 \\ 5,35 \end{smallmatrix}$	$\begin{smallmatrix} 350 \\ 345 \end{smallmatrix}$	0,95	$\begin{smallmatrix} 0,0795 \\ 0,127 \end{smallmatrix}$	$\begin{smallmatrix} 25,8 \\ 27,2 \end{smallmatrix}$	2×46
4	$\frac{10,0; 7,35; 3,2}{32,8; 1,0}$	271	$\frac{1,56/1,86}{1,68/1,99}$	$\begin{smallmatrix} 3 \\ 2 \end{smallmatrix}$	$\begin{smallmatrix} 7 \\ 9 \end{smallmatrix}$	$\begin{smallmatrix} 42 \\ 36 \end{smallmatrix}$	1—11	$\begin{smallmatrix} 2 \\ 2 \end{smallmatrix}$	3-7, 3-97	$\begin{smallmatrix} 4,8 \\ 4,73 \end{smallmatrix}$	$\begin{smallmatrix} 294 \\ 289 \end{smallmatrix}$	0,95	$\begin{smallmatrix} 0,127 \\ 0,204 \end{smallmatrix}$	$\begin{smallmatrix} 27 \\ 26,6 \end{smallmatrix}$	2×46
4	$\frac{10,0; 7,35; 3,2}{32,8; 1,0}$	271	$\frac{1,56/1,86}{1,68/1,99}$	$\begin{smallmatrix} 3 \\ 2 \end{smallmatrix}$	$\begin{smallmatrix} 7 \\ 9 \end{smallmatrix}$	$\begin{smallmatrix} 42 \\ 36 \end{smallmatrix}$	1—11	$\begin{smallmatrix} 3 \\ 3 \end{smallmatrix}$	3-8, 3-99	$\begin{smallmatrix} 4,47 \\ 4,39 \end{smallmatrix}$	$\begin{smallmatrix} 275 \\ 269 \end{smallmatrix}$	1,09	$\begin{smallmatrix} 0,063 \\ 0,103 \end{smallmatrix}$	$\begin{smallmatrix} 30,8 \\ 30,3 \end{smallmatrix}$	2×46
3	$\frac{10,0; 7,35; 3,2}{32,8; 1,0}$	271	$\frac{1,62/1,83}{1,56/1,77}$	$\begin{smallmatrix} 1 \\ 3 \end{smallmatrix}$	$\begin{smallmatrix} 21 \\ 7 \end{smallmatrix}$	$\begin{smallmatrix} 42 \\ 42 \end{smallmatrix}$	1—8	$\begin{smallmatrix} 4 \\ - \end{smallmatrix}$	$\begin{smallmatrix} 3-12, 3-127 \\ 3-10, 3-125 \end{smallmatrix}$	$\begin{smallmatrix} 5,45 \\ 5,98 \end{smallmatrix}$	$\begin{smallmatrix} 362 \\ 367 \end{smallmatrix}$	0,72	$\begin{smallmatrix} 0,190 \\ 0,365 \end{smallmatrix}$	$\begin{smallmatrix} 21,4 \\ 20,4 \end{smallmatrix}$	2×46
3	$\frac{10,0; 7,35; 3,2}{32,8; 1,0}$	271	$\frac{1,3/1,51}{1,62/1,83}$	$\begin{smallmatrix} 2 \\ 2 \end{smallmatrix}$	$\begin{smallmatrix} 15 \\ 10 \end{smallmatrix}$	$\begin{smallmatrix} 60 \\ 40 \end{smallmatrix}$	1—8	$\begin{smallmatrix} 4 \\ 2 \end{smallmatrix}$	$\begin{smallmatrix} 3-12, 3-127 \\ 3-11, 3-126 \end{smallmatrix}$	$\begin{smallmatrix} 5,89 \\ 5,76 \end{smallmatrix}$	$\begin{smallmatrix} 358 \\ 363 \end{smallmatrix}$	0,82	$\begin{smallmatrix} 0,121 \\ 0,206 \end{smallmatrix}$	$\begin{smallmatrix} 22,6 \\ 23,4 \end{smallmatrix}$	2×46
3	$\frac{10,0; 7,35; 3,2}{32,8; 1,0}$	271	$\frac{1,35/1,64}{1,68/1,99}$	$\begin{smallmatrix} 3 \\ 3 \end{smallmatrix}$	$\begin{smallmatrix} 9 \\ 6 \end{smallmatrix}$	$\begin{smallmatrix} 54 \\ 36 \end{smallmatrix}$	1—8	$\begin{smallmatrix} 2 \\ - \end{smallmatrix}$	$\begin{smallmatrix} 3-11, 3-126 \\ 3-10, 3-125 \end{smallmatrix}$	$\begin{smallmatrix} 5,03 \\ 4,95 \end{smallmatrix}$	$\begin{smallmatrix} 298 \\ 302 \end{smallmatrix}$	0,82	$\begin{smallmatrix} 0,178 \\ 0,309 \end{smallmatrix}$	$\begin{smallmatrix} 23 \\ 23,8 \end{smallmatrix}$	2×46
3	$\frac{10,0; 7,35; 3,2}{32,8; 1,0}$	271	$\frac{1,35/1,64}{1,68/1,99}$	$\begin{smallmatrix} 2 \\ 1 \end{smallmatrix}$	$\begin{smallmatrix} 13 \\ 17 \end{smallmatrix}$	$\begin{smallmatrix} 52 \\ 34 \end{smallmatrix}$	1—8	$\begin{smallmatrix} 4 \\ 4 \end{smallmatrix}$	3-12, 3-127	$\begin{smallmatrix} 5,24 \\ 5,13 \end{smallmatrix}$	$\begin{smallmatrix} 298 \\ 296 \end{smallmatrix}$	0,96	$\begin{smallmatrix} 0,113 \\ 0,192 \end{smallmatrix}$	$\begin{smallmatrix} 25,2 \\ 25 \end{smallmatrix}$	2×46

4. Прокладка в лобовой части для электродвигателей с проводом ПЭЛБО — электрокартон ЭВ толщиной 0,2 мм и лакоткань ЛХС толщиной 0,2 мм, склеенные вместе. Для электродвигателей с проводом ПСД — микакартон толщиной 0,5 мм.

5. Клины для электродвигателей с проводом ПЭЛБО — дерево твердой породы пропитанное, для электродвигателей с проводом ПСД — стеклотекстолит марки СТ или текстолит марки Б.

6. Стержни и кольца короткозамкнутой обмотки ротора выполнены из алюминия марки А5.

7. Паз статора выполнен в соответствии с рис. 1-2, паз ротора для четырехполюсных электродвигателей соответствует рис. 1-6, для остальных рис. 1-7.

Основные обмоточно-расчетные данные электродвигателей

Тип электро- двигателя	P_2 , квт	U , в	I , а	n , об/мин	η , %	$\cos \varphi$	$\frac{I_{пуск}}{I_H}$	$\frac{M_{пуск}}{M_H}$	$\frac{M_{макс}}{M_H}$	Ст				
										$\frac{D_{a1}}{D_{i1}}$	$\frac{l_{t1}}{l_{t2}}$	δ	$B_{\delta, зс}$	z_1
АП91/4	75	220/380 500	253,0/146,0 111,0	1 460	91,0	0,86	6,0	1,8	2,2	$\frac{493}{315}$	$\frac{160}{165}$	1,0	8 200 8 300	60
АП92/4	100	220/380 500	334,0/193,0 147,0	1 460	91,5	0,86	6,5	1,8	2,2	$\frac{493}{315}$	$\frac{220}{225}$	1,0	8 500 7 450	60
АОП93/4	75	220/380 500	238,0/138,0 105,0	1 470	91,0	0,89	7,0	1,9	2,6	$\frac{493}{315}$	$\frac{250}{255}$	1,0	6 590 6 590	60
АОП94/4	100	220/380 500	320,0/185,0 141,0	1 470	91,5	0,89	7,5	1,9	2,6	$\frac{493}{315}$	$\frac{320}{325}$	1,0	6 850 6 730	60
АП91/6	55	220/380 500	190,0/110,0 84,0	980	90,5	0,84	6,0	1,8	2,2	$\frac{493}{350}$	$\frac{160}{165}$	0,8	8 180 8 240	72
АП92/6	75	220/380 500	256,0/148,0 113,0	980	91,5	0,84	6,5	1,8	2,2	$\frac{493}{350}$	$\frac{220}{225}$	0,8	8 410 8 280	72
АОП93/6	55	220/380 500	180,0/104,0 79,0	985	90,5	0,88	6,5	1,8	2,4	$\frac{493}{350}$	$\frac{250}{255}$	0,8	6 870 6 900	72
АОП94/6	75	220/380 500	240,0/139,0 106,0	985	91,5	0,89	7,0	1,8	2,4	$\frac{493}{350}$	$\frac{320}{325}$	0,8	6 870 6 950	72
АП91/8	40	220/380 500	151,0/87,0 66,5	730	89,5	0,78	5,5	1,7	2,2	$\frac{493}{350}$	$\frac{160}{165}$	0,8	8 200 8 100	72
АП92/8	55	220/380 500	202,0/117,0 89,0	730	90,5	0,79	6,0	1,7	2,2	$\frac{493}{350}$	$\frac{220}{225}$	0,8	8 150 8 120	72
АОП93/8	40	220/380 500	145,0/83,5 64,0	735	89,5	0,81	6,5	1,8	2,3	$\frac{493}{350}$	$\frac{250}{255}$	0,8	7 190 7 140	72
АОП94/8	55	220/380 500	197,0/114,0 87,0	735	90,5	0,81	7,0	1,8	2,3	$\frac{493}{350}$	$\frac{320}{325}$	0,8	7 250 7 350	72

Примечания: 1. Обмотка статора в заводском исполнении двухслойная, выполнена: для электродвигателей типа АП — проводом марки ПЭЛБО; для электродвигателей типа АОП — проводом марки ПСД.

2. Изоляция паза статора в заводском исполнении выполнена для электродвигателей с проводом ПЭЛБО: электрокартон ЭВ толщиной 0,2 мм; лакоткань ЛХС толщиной 0,2 мм; электрокартон ЭВ толщиной 0,2 мм или два слоя пленкоэлектрокартона толщиной по 0,3 мм. Для электродвигателей с проводом ПСД: микакартон толщиной 0,4 мм, стеклолакоткань ЛСБ толщиной 0,2 мм, подклеенные.

3. Междуслойная прокладка в пазу в заводском исполнении выполнена для электродвигателей с проводом ПЭЛБО: два слоя электрокартона ЭВ толщиной по 0,2 мм; лакоткань ЛХС толщиной 0,2 мм или два слоя пленкоэлектрокартона толщиной по 0,3 мм. Для электродвигателей с проводом ПСД: микакартон толщиной 0,4 мм и стеклолакоткань ЛСБ толщиной 0,2 мм, склеенные вместе.

единой серии типов АП и АОП 9-го габарита

тор																Ротор
q_1	Размеры паза $b; b'; b''$ $h; e$	$Q_{s1'}$ $мм^2$	d/d'	m_1	$\omega_{к1}$	$n_{э1}$	y_1	a_1	Схема обмотки (рис. №)	$j_1,$ $a/мм^2$	$AS_1,$ $a/см$	$l_{m1'}$ $м$	$r_1,$ $ом$	$G_1,$ $мг$	z_2	
5	$\frac{13,4; 9,2; 3,7}{43,0; 1,0}$	465	$\frac{1,68/1,89}{1,45/1,66}$	$\begin{matrix} 3 \\ 3 \end{matrix}$	$\begin{matrix} 10 \\ 13 \end{matrix}$	$\begin{matrix} 60 \\ 78 \end{matrix}$	1—14	$\begin{matrix} 4 \\ 4 \end{matrix}$	3-5, 3-62	$\begin{matrix} 5,48 \\ 5,6 \end{matrix}$	$\begin{matrix} 443 \\ 438 \end{matrix}$	1,17	$\begin{matrix} 0,038 \\ 0,067 \end{matrix}$	$\begin{matrix} 43,8 \\ 42,4 \end{matrix}$	2×35	
5	$\frac{13,4; 9,2; 3,7}{43,0; 1,0}$	465	$\frac{1,62/1,83}{1,68/1,89}$	$\begin{matrix} 5 \\ 3 \end{matrix}$	$\begin{matrix} 7 \\ 10 \text{ и } 11 \end{matrix}$	$\begin{matrix} 70 \\ 63 \end{matrix}$	1—14	$\begin{matrix} 4 \\ 4 \end{matrix}$	3-5, 3-62	$\begin{matrix} 4,68 \\ 5,51 \end{matrix}$	$\begin{matrix} 410 \\ 468 \end{matrix}$	1,29	$\begin{matrix} 0,0196 \\ 0,044 \end{matrix}$	$\begin{matrix} 52,8 \\ 50,5 \end{matrix}$	2×35	
5	$\frac{13,4; 9,2; 3,7}{43,0; 1,0}$	465	$\frac{1,68/1,99}{1,68/1,99}$	$\begin{matrix} 4 \\ 3 \end{matrix}$	$\begin{matrix} 8 \\ 10 \text{ и } 11 \end{matrix}$	$\begin{matrix} 64 \\ 63 \end{matrix}$	1—14	$\begin{matrix} 4 \\ 4 \end{matrix}$	3-5, 3-62	$\begin{matrix} 3,88 \\ 3,94 \end{matrix}$	$\begin{matrix} 335 \\ 335 \end{matrix}$	1,35	$\begin{matrix} 0,027 \\ 0,046 \end{matrix}$	$\begin{matrix} 55,5 \\ 54,5 \end{matrix}$	2×35	
5	$\frac{13,4; 9,2; 3,7}{43,0; 1,0}$	465	$\frac{1,62/1,92}{1,74/2,05}$	$\begin{matrix} 6 \\ 4 \end{matrix}$	$\begin{matrix} 6 \\ 8 \end{matrix}$	$\begin{matrix} 72 \\ 64 \end{matrix}$	1—14	$\begin{matrix} 4 \\ 4 \end{matrix}$	3-5, 3-62	$\begin{matrix} 3,74 \\ 3,7 \end{matrix}$	$\begin{matrix} 337 \\ 342 \end{matrix}$	1,49	$\begin{matrix} 0,0154 \\ 0,0278 \end{matrix}$	$\begin{matrix} 64,4 \\ 65,2 \end{matrix}$	2×35	
4	$\frac{11,5; 8,4; 3,7}{38,0; 1,0}$	363	$\frac{1,45/1,66}{1,5/1,71}$	$\begin{matrix} 2 \\ 3 \end{matrix}$	$\begin{matrix} 17 \\ 11 \end{matrix}$	$\begin{matrix} 68 \\ 66 \end{matrix}$	1—11	$\begin{matrix} 6 \\ 3 \end{matrix}$	$\begin{matrix} 3-9, 3-101 \\ 3-8, 3-99 \end{matrix}$	$\begin{matrix} 5,55 \\ 5,29 \end{matrix}$	$\begin{matrix} 408 \\ 404 \end{matrix}$	0,95	$\begin{matrix} 0,057 \\ 0,092 \end{matrix}$	$\begin{matrix} 35,5 \\ 36,8 \end{matrix}$	2×46	
4	$\frac{11,5; 8,4; 3,7}{38,0; 1,0}$	363	$\frac{1,74/1,95}{1,5/1,71}$	$\begin{matrix} 4 \\ 2 \end{matrix}$	$\begin{matrix} 6 \\ 16 \end{matrix}$	$\begin{matrix} 48 \\ 64 \end{matrix}$	1—11	$\begin{matrix} 3 \\ 6 \end{matrix}$	$\begin{matrix} 3-8, 3-99 \\ 3-9, 3-101 \end{matrix}$	$\begin{matrix} 5,18 \\ 5,34 \end{matrix}$	$\begin{matrix} 388 \\ 395 \end{matrix}$	1,07	$\begin{matrix} 0,032 \\ 0,056 \end{matrix}$	$\begin{matrix} 41,0 \\ 40,9 \end{matrix}$	2×46	
4	$\frac{11,5; 8,4; 3,7}{38,0; 1,0}$	363	$\frac{1,68/1,99}{1,45/1,74}$	$\begin{matrix} 2 \\ 2 \end{matrix}$	$\begin{matrix} 13 \\ 17 \end{matrix}$	$\begin{matrix} 52 \\ 68 \end{matrix}$	1—11	$\begin{matrix} 6 \\ 6 \end{matrix}$	3-9, 3-101	$\begin{matrix} 3,9 \\ 3,98 \end{matrix}$	$\begin{matrix} 295 \\ 293 \end{matrix}$	1,13	$\begin{matrix} 0,039 \\ 0,068 \end{matrix}$	$\begin{matrix} 45,2 \\ 44,3 \end{matrix}$	2×46	
4	$\frac{11,5; 8,4; 3,7}{38,0; 1,0}$	363	$\frac{1,56/1,86}{1,68/1,99}$	$\begin{matrix} 3 \\ 2 \end{matrix}$	$\begin{matrix} 10 \\ 13 \end{matrix}$	$\begin{matrix} 60 \\ 52 \end{matrix}$	1—11	$\begin{matrix} 6 \\ 6 \end{matrix}$	3-9, 3-101	$\begin{matrix} 4,04 \\ 3,98 \end{matrix}$	$\begin{matrix} 304 \\ 301 \end{matrix}$	1,27	$\begin{matrix} 0,0264 \\ 0,044 \end{matrix}$	$\begin{matrix} 51,2 \\ 50,6 \end{matrix}$	2×46	
3	$\frac{11,5; 8,4; 3,7}{38,0; 1,0}$	363	$\frac{1,56/1,77}{1,56/1,77}$	$\begin{matrix} 2 \\ 3 \end{matrix}$	$\begin{matrix} 15 \\ 10 \end{matrix}$	$\begin{matrix} 60 \\ 60 \end{matrix}$	1—8	$\begin{matrix} 4 \\ 2 \end{matrix}$	$\begin{matrix} 3-12, 3-127 \\ 3-11, 3-126 \end{matrix}$	$\begin{matrix} 5,68 \\ 5,8 \end{matrix}$	$\begin{matrix} 427 \\ 435 \end{matrix}$	0,82	$\begin{matrix} 0,085 \\ 0,150 \end{matrix}$	$\begin{matrix} 31,2 \\ 31,2 \end{matrix}$	2×46	
3	$\frac{11,5; 8,4; 3,7}{38,0; 1,0}$	363	$\frac{1,5/1,71}{1,62/1,83}$	$\begin{matrix} 3 \\ 2 \end{matrix}$	$\begin{matrix} 11 \\ 14 \text{ и } 15 \end{matrix}$	$\begin{matrix} 66 \\ 58 \end{matrix}$	1—8	$\begin{matrix} 4 \\ 4 \end{matrix}$	3-12, 3-127	$\begin{matrix} 5,52 \\ 5,4 \end{matrix}$	$\begin{matrix} 422 \\ 423 \end{matrix}$	0,94	$\begin{matrix} 0,051 \\ 0,087 \end{matrix}$	$\begin{matrix} 37,7 \\ 38,3 \end{matrix}$	2×46	
3	$\frac{11,5; 8,4; 3,7}{38,0; 1,0}$	363	$\frac{1,45/1,74}{1,56/1,86}$	$\begin{matrix} 3 \\ 2 \end{matrix}$	$\begin{matrix} 11 \\ 14 \text{ и } 15 \end{matrix}$	$\begin{matrix} 66 \\ 58 \end{matrix}$	1—8	$\begin{matrix} 4 \\ 4 \end{matrix}$	3-12, 3-127	$\begin{matrix} 4,2 \\ 4,19 \end{matrix}$	$\begin{matrix} 301 \\ 304 \end{matrix}$	1,0	$\begin{matrix} 0,058 \\ 0,10 \end{matrix}$	$\begin{matrix} 38,8 \\ 38,9 \end{matrix}$	2×46	
3	$\frac{11,5; 8,4; 3,7}{38,0; 1,0}$	363	$\frac{1,68/1,99}{1,45/1,74}$	$\begin{matrix} 3 \\ 3 \end{matrix}$	$\begin{matrix} 8 \text{ и } 9 \\ 11 \end{matrix}$	$\begin{matrix} 51 \\ 66 \end{matrix}$	1—8	$\begin{matrix} 4 \\ 4 \end{matrix}$	3-12, 3-127	$\begin{matrix} 4,28 \\ 4,39 \end{matrix}$	$\begin{matrix} 318 \\ 313 \end{matrix}$	1,14	$\begin{matrix} 0,038 \\ 0,066 \end{matrix}$	$\begin{matrix} 45,6 \\ 44,2 \end{matrix}$	2×46	

4. Прокладка в лобовой части для электродвигателей с проводом ПЭЛБО — электрокартон ЭВ толщиной 0,2 мм и лакоткань ЛХС толщиной 0,2 мм, склеенные вместе. Для электродвигателей с проводом ПСД — микакартон толщиной 0,5 мм.

5. Клины для электродвигателей с проводом ПЭЛБО — дерево твердой породы пропитанное, для электродвигателей с проводом ПСД — стеклотекстолит марки СТ или текстолит марки Б.

6. Стержни и кольца короткозамкнутой обмотки ротора выполнены из алюминия марки А5.

7. Паз статора выполнен в соответствии с рис. 1-2, паз ротора для четырехполюсных электродвигателей соответствует рис. 1-6, для остальных — рис. 1-7.

Основные обмоточно-расчетные данные электродвигателей

Тип электро- двигателя	P_2 , квт	U , в	I , а	n , об/мин	η , %	$\cos \varphi$	$\frac{I_{\text{пуск}}}{I_{\text{н}}}$	$\frac{M_{\text{пуск}}}{M_{\text{н}}}$	$\frac{M_{\text{макс}}}{M_{\text{н}}}$	Ста				
										$\frac{D_{a1}}{D_{i1}}$	$\frac{l_{t1}}{l_{t2}}$	δ	B_{δ} , гс	z_1
АОТ41/4	1,0	127/220	6,9/4,0	1 435	79,0	0,81	6,0	2,0	2,8	$\frac{182}{112}$	$\frac{75}{78}$	0,3	6 540	36
		220/380	4,0/2,3										6 500	
		500	1,75										6 510	
АОТ42/4	1,7	127/220	10,7/6,2	1 440	84,0	0,83	6,5	2,2	2,8	$\frac{182}{112}$	$\frac{115}{118}$	0,3	6 200	36
		220/380	6,2/3,6										6 290	
		500	2,7										6 270	
АОТ41/6	0,6	127/220	4,9/2,8	960	74,0	0,72	5,5	2,0	2,6	$\frac{182}{112}$	$\frac{75}{78}$	0,3	6 280	36
		220/380	2,8/1,6										6 360	
		500	1,25										6 350	
АОТ42/6	1,0	127/220	7,8/4,5	960	79,0	0,74	6,0	2,0	2,6	$\frac{182}{112}$	$\frac{115}{118}$	0,3	6 060	36
		220/380	4,5/2,6										6 030	
		500	2,0										6 040	

Примечания: 1. Обмотка статора в заводском исполнении однослойная, выполнена проводом марки ПЭЛБО.
 2. Изоляция паза статора в заводском исполнении: электрокартон ЭВ толщиной 0,2 мм; лакоткань ЛХС толщиной 0,15 мм; электрокартон ЭВ толщиной 0,1 мм.
 3. Прокладка в лобовой части — электрокартон ЭВ толщиной 0,2 мм и лакоткань ЛХС толщиной 0,2 мм, склеенные вместе.

Основные обмоточно-расчетные данные электродвигателей

Тип электро- двигателя	P_2 , квт	U , в	I , а	n , об/мин	η , %	$\cos \varphi$	$\frac{I_{\text{пуск}}}{I_{\text{н}}}$	$\frac{M_{\text{пуск}}}{M_{\text{н}}}$	$\frac{M_{\text{макс}}}{M_{\text{н}}}$	Ста				
										$\frac{D_{a1}}{D_{i1}}$	$\frac{l_{t1}}{l_{t2}}$	δ	B_{δ} , гс	z_1
АОТ51/4	2,8	127/220	17,1/10,0	1 450	86,0	0,86	7,5	2,0	2,8	$\frac{245}{152}$	$\frac{90}{94}$	0,4	6 370	36
		220/380	10,0/5,8										6 400	
		500	4,4										6 390	
АОТ52/4	4,5	127/220	27,0/15,6	1 455	87,5	0,87	7,0	2,0	2,8	$\frac{245}{152}$	$\frac{140}{144}$	0,4	6 010	36
		220/380	15,6/9,0										6 010	
		500	6,9										6 040	
АОТ51/6	1,7	127/220	12,3/7,1	960	83,0	0,76	7,0	1,8	2,6	$\frac{245}{152}$	$\frac{90}{94}$	0,4	6 450	36
		220/380	7,1/4,1										6 550	
		500	3,1										6 500	
АОТ52/6	2,8	127/220	19,2/11,1	960	85,0	0,78	7,0	1,8	2,6	$\frac{245}{152}$	$\frac{140}{144}$	0,4	6 130	36
		220/380	11,1/6,4										6 200	
		500	4,9										6 230	

Примечания: 1. Обмотка статора в заводском исполнении однослойная, выполнена проводом марки ПЭЛБО.
 2. Изоляция паза статора в заводском исполнении: электрокартон ЭВ толщиной 0,2 мм; лакоткань ЛХС толщиной 0,15 мм; электрокартон ЭВ толщиной 0,2 мм.
 3. Прокладка в лобовой части — электрокартон ЭВ толщиной 0,2 мм и лакоткань ЛХС толщиной 0,2 мм, склеенные вместе.

единой серии типа АОТ 4-го габарита

тор															Ротор
q_1	Размеры паза $b; b'; b''$ $h; e$	$Q_{s1},$ $мм^2$	d/d'	m_1	$\omega_{к1}$	$n_{э1}$	y_1	a_1	Схема обмотки (рис. №)	$j_1,$ $а/мм^2$	$AS_1,$ $а/см$	$l_{m1},$ $м$	r_1	$G_1,$ $кг$	z_2
3	$\frac{8,4; 5,6; 3,0}{19,5; 0,5}$	125,8	1,2/1,41	1	35	35	1—12	—	3-41	3,53	143	0,46	1,52	3,06	26
			0,9/1,08	1	61	61	2—11	—		3,62	143		4,7	3,03	
			0,77/0,95	1	80	80	3—10	—		3,76	143		8,45	2,93	
3	$\frac{8,4; 5,6; 3,0}{19,5; 0,5}$	125,8	1,0/1,21	2	24	48	1—12	—	3-41	3,95	152	0,54	0,884	3,45	26
			1,12/1,33	1	41	41	2—11	—		3,66	151		2,38	3,68	
			0,96/1,14	1	54	54	3—10	—		3,73	149		4,29	3,56	
2	$\frac{8,4; 5,6; 3,0}{19,5; 0,5}$	125,8	0,96/1,14	1	52	52	1—8	—	3-69	3,87	149	0,39	2,99	2,47	42
			0,72/0,90	1	89	89	2—7	—		3,93	146		9,15	2,42	
			0,62/0,79	1	117	117		—		4,14	150		16,1	2,36	
2	$\frac{8,4; 5,6; 3,0}{19,5; 0,5}$	125,8	0,83/1,01	2	35	70		—	3-69	4,15	161	0,47	1,63	3,02	42
			0,9/1,08	1	61	61	1—8	—		4,08	162		4,81	3,09	
			0,77/0,95	1	80	80	2—7	—		4,29	163		8,65	2,99	

4. Клинь — дерево твердой породы пропитанное.
 5. Стержни и кольца короткозамкнутой обмотки ротора выполнены из алюминия марки А5.
 6. Паз статора выполнен в соответствии с рис. 1-1, паз ротора соответствует рис. 1-5.

единой серии типа АОТ 5-го габарита

тор															Ротор
q_1	Размеры паза $b; b'; b''$ $h; e$	$Q_{s1},$ $мм^2$	d/d'	m_1	$\omega_{к1}$	$n_{э1}$	y_1	a_1	Схема обмотки (рис. №)	$j_1,$ $а/мм^2$	$AS_1,$ $а/см$	$l_{m1},$ $м$	$r_1,$ $ом$	$G_1,$ $кг$	z_2
3	$\frac{10,8; 7,4; 3,2}{24,75; 0,75}$	206,5	1,12/1,33	3	22	66	1—12	—	3-41	3,38	166	0,59	0,46	6,46	42
			1,0/1,21	2	38	76	2—11	—		3,7	166		1,51	5,97	
			1,3/1,51	1	50	50	3—10	—		3,32	166		2,33	6,54	
3	$\frac{10,8; 7,4; 3,2}{24,75; 0,75}$	206,5	1,4/1,61	3	15	45	1—12	—	3-41	3,38	176	0,69	0,238	8,0	42
			1,25/1,46	2	26	52	2—11	—		3,67	176		0,77	7,4	
			1,08/1,29	2	34	68	3—10	—		3,76	177		1,35	7,25	
2	$\frac{10,8; 7,4; 3,2}{24,75; 0,75}$	206,5	1,16/1,37	2	31	62	1—8	—	3-69	3,36	166	0,48	0,74	5,29	42
			1,25/1,46	1	53	53		—		3,34	164		2,18	5,24	
			1,08/1,29	1	70	70	2—7	—		3,38	164		3,84	5,2	
2	$\frac{10,8; 7,4; 3,2}{24,75; 0,75}$	206,5	1,16/1,37	3	21	63	1—8	—	3-69	3,5	176	0,58	0,40	6,5	42
			1,04/1,25	2	36	72		—		3,78	174		1,29	6,0	
			0,93/1,11	2	47	94	2—7	—		3,61	174		2,13	6,26	

4. Клинь — дерево твердой породы пропитанное.
 5. Стержни и кольца короткозамкнутой обмотки ротора выполнены из алюминия марки А5.
 6. Паз статора выполнен в соответствии с рис. 1-1, паз ротора соответствует рис. 1-5.

Основные обмоточно-расчетные данные электродвигателей

Тип электродви- гателя	P_2 , квт	U , в	I , а	n , об/мин	η , %	$\cos \varphi$	$\frac{I_{\text{пуск}}}{I_{\text{н}}}$	$\frac{M_{\text{пуск}}}{M_{\text{н}}}$	$\frac{M_{\text{макс}}}{M_{\text{н}}}$	Ста				
										$\frac{D_{a1}}{D_{i1}}$	$\frac{l_{t1}}{l_{t2}}$	δ	$B_{\delta, \text{гс}}$	z_1
АОТ62/4	7,0	220/380 500	24,0/13,8 10,6	1 465	88,0	0,88	7,0	1,8	2,7	$\frac{327}{200}$	$\frac{100}{105}$	0,4	7 460 7 340	36
АОТ63/4	10,0	220/380 500	33,2/19,2 14,6	1 465	89,0	0,89	7,5	1,7	2,5	$\frac{327}{200}$	$\frac{135}{140}$	0,4	6 970 6 970	36
АОТ62/6	4,5	220/380 500	17,1/9,9 7,5	980	86,5	0,80	6,5	1,8	2,6	$\frac{327}{230}$	$\frac{100}{105}$	0,4	6 160 6 130	54
АОТ63/6	7,0	220/380 500	25,8/14,9 11,4	980	88,0	0,81	6,5	1,7	2,6	$\frac{327}{230}$	$\frac{135}{140}$	0,4	6 350 6 260	54
АОТ62/8	2,8	220/380 500	11,1/6,4 4,9	735	85,0	0,78	6,5	1,5	2,5	$\frac{327}{230}$	$\frac{100}{105}$	0,4	5 800 5 720	54
АОТ63/8	4,5	220/380 500	17,0/9,8 7,5	735	86,5	0,79	6,5	1,5	2,5	$\frac{327}{230}$	$\frac{135}{140}$	0,4	5 920 5 820	54

Примечания: 1. Обмотка статора в заводском исполнении двухслойная, выполнена проводом марки ПЭЛБО.
2. Изоляция паза статора в заводском исполнении: электрокартон ЭВ толщиной 0,2 мм; лакоткань ЛХС толщи-
ной 0,2 мм; электрокартон ЭВ толщиной 0,2 мм или два слоя пленкоэлектрокартона толщиной по 0,3 мм.
3. Междуслойная прокладка в пазу в заводском исполнении: два слоя электрокартона ЭВ толщиной по 0,2 мм
и лакоткань ЛХС толщиной 0,2 мм или два слоя пленкоэлектрокартона толщиной по 0,3 мм.

Основные обмоточно-расчетные данные электродвигателей

Тип электродви- гателя	P_2 , квт	U , в	I , а	n , об/мин	η , %	$\cos \varphi$	$\frac{I_{\text{пуск}}}{I_{\text{н}}}$	$\frac{M_{\text{пуск}}}{M_{\text{н}}}$	$\frac{M_{\text{макс}}}{M_{\text{н}}}$	Ста				
										$\frac{D_{a1}}{D_{i1}}$	$\frac{l_{t1}}{l_{t2}}$	δ	$B_{\delta, \text{гс}}$	z_1
АОТ72/4	14,0	220/380 500	46,7/27,0 20,5	1 470	89,5	0,88	7,5	1,7	2,7	$\frac{368}{230}$	$\frac{135}{140}$	0,5	7 170 7 170	36
АОТ73/4	20,0	220/380 500	66,5/38,4 29,2	1 470	90,0	0,88	7,5	1,7	2,7	$\frac{368}{230}$	$\frac{185}{190}$	0,5	7 000 6 880	36
АОТ72/6	10,0	220/380 500	35,8/20,7 15,7	975	88,5	0,83	6,5	1,7	2,6	$\frac{368}{260}$	$\frac{135}{140}$	0,45	6 600 6 630	54
АОТ73/6	14,0	220/380 500	49,2/28,4 21,6	980	89,0	0,84	6,5	1,7	2,6	$\frac{368}{260}$	$\frac{185}{190}$	0,45	6 500 6 600	54
АОТ72/8	7,0	220/380 500	26,2/15,1 11,5	735	88,0	0,80	6,0	1,5	2,5	$\frac{368}{260}$	$\frac{135}{140}$	0,45	6 610 6 600	54
АОТ73/8	10,0	220/380 500	37,2/21,5 16,3	735	88,5	0,80	6,0	1,5	2,5	$\frac{368}{260}$	$\frac{185}{190}$	0,45	6 550 6 680	54

Примечания: 1. Обмотка статора в заводском исполнении двухслойная, выполнена проводом марки ПЭЛБО.
2. Изоляция паза статора в заводском исполнении: электрокартон ЭВ толщиной 0,2 мм; лакоткань ЛХС толщи-
ной 0,2 мм; электрокартон ЭВ толщиной 0,2 мм или два слоя пленкоэлектрокартона толщиной по 0,3 мм.
3. Междуслойная прокладка в пазу в заводском исполнении: два слоя электрокартона ЭВ толщиной по 0,2 мм;
лакоткань ЛХС толщиной 0,2 мм или два слоя пленкоэлектрокартона толщиной по 0,3 мм.

единой серии АОТ 6-го габарита

тор															Ротор
q_1	Размеры паза $\frac{b; b'; b''}{h; e}$	$Q_{s1},$ $мм^2$	d/d'	m_1	$\omega_{к1}$	$n_{э1}$	y_1	a_1	Схема обмотки (рис. №)	$j_1,$ $a/мм^2$	$AS_1,$ $a/см$	$l_{m1},$ $м$	$r_1,$ $ом$	$G_1,$ $кг$	z_2
3	$\frac{13,2; 8,6; 3,7}{28,8; 1,0}$	296	$\frac{1,5/1,71}{1,3/1,51}$	2 2	12 16	48 64	1—8	— —	3-3, 3-44	3,9 4,0	190 194	0,62	0,44 0,785	8,72 8,8	46
3	$\frac{13,2; 8,6; 3,7}{28,8; 1,0}$	296	$\frac{1,68/1,89}{1,45/1,66}$	2 2	9 и 10 12 и 13	38 50	1—8	— —	3-3, 3-44	4,32 4,41	209 209	0,69	0,311 0,55	9,6 9,45	46
3	$\frac{10,5; 7,4; 3,2}{30,0; 2,0}$	247	$\frac{1,35/1,56}{1,12/1,33}$	1 1	25 33	50 66	1—8	2 2	3-7, 3-84	3,46 3,8	185 185	0,55	0,76 1,448	9,85 9,0	58
3	$\frac{10,5; 7,4; 3,2}{30,0; 2,0}$	247	$\frac{1,08/1,29}{1,35/1,56}$	2 2	18 12	72 48	1—8	2 —	3-7, 3-84 3-6, 3-82	4,07 3,98	203 204	0,62	0,479 0,822	10,35 10,65	58
$2\frac{1}{4}$	$\frac{10,5; 7,4; 3,2}{30,0; 2,0}$	247	$\frac{1,12/1,33}{1,4/1,61}$	1 1	33 22	66 44	1—7	2 —	3-11, 3-118 3-10, 3-117	3,25 3,18	158 161	0,53	1,39 2,39	8,7 8,98	58
$2\frac{1}{4}$	$\frac{10,5; 7,4; 3,2}{30,0; 2,0}$	247	$\frac{1,35/1,56}{1,16/1,37}$	2 1	12 32	48 64	1—7	— 2	3-10, 3-117 3-11, 3-118	3,42 3,55	176 179	0,6	0,796 1,43	10,7 10,62	58

4. Прокладка в лобовой части: электрокартон ЭВ толщиной 0,2 мм и лакоткань ЛХС толщиной 0,2 мм, склеенные вместе.

5. Клинь — дерево твердой породы пропитанное.

6. Стержни и кольца короткозамкнутой обмотки ротора выполнены из алюминия марки А5.

7. Паз статора выполнен в соответствии с рис. 1-2, паз ротора соответствует рис. 1-3.

Таблица 1-81

единой серии типа АОТ 7-го габарита

тор															Ротор
q_1	Размеры паза $b; b'; b''$ $h; e$	$Q_{s1},$ $мм^2$	d/d'	m_1	$\omega_{к1}$	$n_{э1}$	y_1	a_1	Схема обмотки (рис. №)	$j_1,$ $а/мм^2$	$AS_1,$ $а/см$	$l_{m1},$ $м$	$r_1,$ $ом$	$G_1,$ $кг$	z_2
3	$\frac{15,8; 10,3; 3,7}{30,8; 1,0}$	370	$\frac{1,45/1,66}{1,25/1,46}$	2 2	16 21	64 84	1—8	2 2	3-4, 3-45	4,08 4,18	215 214	0,79	0,201 0,355	14,2 13,8	44
3	$\frac{15,18; 10,3; 3,7}{30,8; 1,0}$	370	$\frac{1,45/1,66}{1,25/1,46}$	3 3	12 16	72 96	1—8	2 2	3-4, 3-45	3,87 3,97	230 233	0,89	0,113 0,207	18,0 17,8	44
3	$\frac{11,9; 8,7; 3,7}{29,8; 1,0}$	291	$\frac{1,45/1,66}{1,25/1,46}$	1 1	23 30	46 60	1—8	3 3	3-8, 3-86	4,17 4,27	210 208	0,69	0,339 0,591	13,3 12,9	44
3	$\frac{11,9; 8,7; 3,7}{29,8; 1,0}$	291	$\frac{1,74/1,95}{1,5/1,71}$	1 1	17 22	34 44	1—8	3 3	3-8, 3-86	3,98 4,08	212 209	0,79	0,208 0,343	16,0 15,5	44
$2\frac{1}{4}$	$\frac{11,9; 8,7; 3,7}{29,8; 1,0}$	291	$\frac{1,62/1,83}{1,4/1,61}$	1 1	19 25	38 50	1—7	2 2	3-11, 3-118	3,66 3,74	189 190	0,64	0,467 0,82	12,7 12,5	58
$2\frac{1}{4}$	$\frac{11,9; 8,7; 3,7}{29,8; 1,0}$	291	$\frac{1,35/1,56}{1,68/1,89}$	2 1	14 18	56 36	1—7	2 2	3-11, 3-118	3,76 3,67	198 194	0,74	0,286 0,473	14,4 15,0	58

4. Прокладка в лобовой части — электрокартон ЭВ толщиной 0,2 мм и лакоткань ЛХС толщиной 0,2 мм, склеенные вместе.

5. Клинь — дерево твердой породы пропитанное.

6. Стержни и кольца короткозамкнутой обмотки ротора выполнены из алюминия марки А5.

7. Паз статора выполнен в соответствии с рис. 1-2, паз ротора соответствует рис. 1-3.

Основные обмоточно-расчетные данные электродвигателей единой серии типа АК 5-го габарита

Тип электро- двигателя	P ₂ , квт	U ₁ , в	I ₁ , а	ηηηη/90 'η	η, %	cos φ	$\frac{M_{\max}}{M_H}$	Статор										Схема обмот- ки (рис. №)				
								$\frac{D_{a1}}{D_{i1}}$	$\frac{l_{t1}}{l_{t2}}$	δ	B _δ , зс	z ₁	q ₁	Размеры паза $b; b'; b''$ $h; e$	$Q_{s1},$ мм ²	d/d'	m ₁		ω _{к1}	n _{Σ1}	y ₁	a ₁
AK51/4	2,8	127/220	20,0/11,5	1 370	78,0	0,82	2,2	$\frac{245}{152}$	$\frac{90}{94}$	0,4	6 380	36	3	$\frac{10,8; 7,4; 3,2}{24,75; 0,75}$	206,5	1,12/1,33	3	22	66	1—12	—	3-41
		220/380 500	11,5/6,7 5,1					$\frac{245}{152}$	$\frac{90}{94}$		6 230 6 260			1,0/1,21 0,86/1,04		2	39 51	78 102	2—11 3—10	—		
AK52/4	4,5	127/220	31,0/17,8	1 375	80,0	0,83	2,2	$\frac{245}{152}$	$\frac{140}{144}$	0,4	6 020	36	3	$\frac{10,8; 7,4; 3,2}{24,75; 0,75}$	206,5	1,2/1,41	2	30	60	1—12	2	3-43 3-41
		220/380 500	17,8/10,3 7,8					$\frac{245}{152}$	$\frac{140}{144}$		6 020 6 040			1,3/1,51 1,08/1,29		2	26 34	52 68	2—11 3—10	—		
AK51/6	1,7	127/220	14,8/8,5	905	72,5	0,72	2,0	$\frac{245}{152}$	$\frac{90}{94}$	0,4	6 400	36	2	$\frac{10,8; 7,4; 3,2}{24,75; 0,75}$	206,5	1,12/1,33	2	32	64	1—8	—	3-69
		220/380 500	8,5/5,0 3,8					$\frac{245}{152}$	$\frac{90}{94}$		6 350 6 300			1,2/1,41 1,04/1,25		1	56 74	56 74	2—7	—		
AK52/6	2,8	127/220	22,8/13,0	920	75,5	0,74	2,0	$\frac{245}{152}$	$\frac{140}{144}$	0,4	6 280	36	2	$\frac{10,8; 7,4; 3,2}{24,75; 0,75}$	206,5	1,16/1,37	3	21	63	1—8	—	369
		220/380 500	13,0/7,6 5,8					$\frac{245}{152}$	$\frac{140}{144}$		6 370 6 400			1,04/1,25 0,93/1,11		2	36 47	72 94	2—7	—		

Продолжение табл. 1-82

Тип электро- двигателя	Статор					Ротор										Схема обмотки (рис. №)	a_2	y_2	$n_{\Sigma 2}$	$w_{к2}$	m_2	$\frac{a \times b}{A \times B}$	$\frac{l_{m2}}{l_m}$	r_2 , ом	G_2 , кг
	j_1 , а/мм ²	AS_1 , а/см	l_{m1} , мм	r_1 , ом	G_1 , кг	U_2 , в	I_2 , а	$\frac{D_{a2}}{D_{i2}}$	z_2	q_2	Размеры паза b h ; h' ; e	$\frac{a \times b}{A \times B}$	m_2	$w_{к2}$	$n_{\Sigma 2}$	y_2	a_2	y_2	$n_{\Sigma 2}$	$w_{к2}$	m_2	$\frac{a \times b}{A \times B}$	$\frac{l_{m2}}{l_m}$	r_2 , ом	G_2 , кг
АК51/4	3,89	191	0,59	0,46	6,45	84	22,5	$\frac{151,2}{48}$	54	$\frac{1}{4}$	$\frac{3,3}{20,0; 17,0; 0,5}$	$\frac{1,81 \times 2,1}{2,08 \times 2,37}$	1	3	6	1—14	—	—	6	3	1	$\frac{1,81 \times 2,1}{2,08 \times 2,37}$	0,53	0,14	2,91
	4,27	198	0,59	1,54	6,14	131	22,0	$\frac{151,2}{48}$	54	$\frac{1}{4}$	$\frac{3,3}{20,0; 17,0; 0,5}$	$\frac{1,81 \times 2,1}{2,08 \times 2,37}$	1	3	6	1—14	—	—	6	3	1	$\frac{1,81 \times 2,1}{2,08 \times 2,37}$	0,53	0,14	2,91
АК52/4	3,93	202	0,69	0,241	7,85	57	20,2	$\frac{151,2}{48}$	54	3	$\frac{3,3}{20,0; 17,0; 0,5}$	$\frac{1,81 \times 2,1}{2,08 \times 2,37}$	1	3	6	1—14	—	—	6	3	1	$\frac{1,81 \times 2,1}{2,08 \times 2,37}$	0,63	0,166	3,46
	3,88	202	0,69	0,71	8,0	91	21,2	$\frac{151,2}{48}$	54	3	$\frac{3,3}{20,0; 17,0; 0,5}$	$\frac{1,81 \times 2,1}{2,08 \times 2,37}$	1	3	6	1—14	—	—	6	3	1	$\frac{1,81 \times 2,1}{2,08 \times 2,37}$	0,63	0,166	3,46
АК51/6	4,32	205	0,48	0,82	5,1	57	20,2	$\frac{151,2}{48}$	54	3	$\frac{3,3}{20,0; 17,0; 0,5}$	$\frac{1,81 \times 2,1}{2,08 \times 2,37}$	1	3	6	1—14	—	—	6	3	1	$\frac{1,81 \times 2,1}{2,08 \times 2,37}$	0,49	0,13	2,68
	4,41	211	0,48	2,5	5,11	91	21,2	$\frac{151,2}{48}$	54	3	$\frac{3,3}{20,0; 17,0; 0,5}$	$\frac{1,81 \times 2,1}{2,08 \times 2,37}$	1	3	6	1—14	—	—	6	3	1	$\frac{1,81 \times 2,1}{2,08 \times 2,37}$	0,49	0,13	2,68
АК52/6	4,48	212	0,58	4,4	5,11	91	21,2	$\frac{151,2}{48}$	54	3	$\frac{3,3}{20,0; 17,0; 0,5}$	$\frac{1,81 \times 2,1}{2,08 \times 2,37}$	1	3	6	1—14	—	—	6	3	1	$\frac{1,81 \times 2,1}{2,08 \times 2,37}$	0,59	0,156	3,24
	4,1	206	0,58	0,40	6,5	91	21,2	$\frac{151,2}{48}$	54	3	$\frac{3,3}{20,0; 17,0; 0,5}$	$\frac{1,81 \times 2,1}{2,08 \times 2,37}$	1	3	6	1—14	—	—	6	3	1	$\frac{1,81 \times 2,1}{2,08 \times 2,37}$	0,59	0,156	3,24

Пр и м е ч а н и я: 1. Обмотка статора в заводском исполнении одно-
слойная, выполнена проводом марки ПЭЛБО, обмотка ротора двухслой-
ная, выполнена проводом марки ПБД.

2. Изоляция паза статора в заводском исполнении: электрокартон
ЭВ толщиной 0,2 мм; лакоткань ЛХС толщиной 0,15 мм; электрокар-
тон ЭВ толщиной 0,2 мм.
3. Изоляция паза ротора в заводском исполнении — два слоя плен-
коэлектрокартона толщиной по 0,2 мм.
4. Междуслойная прокладка ротора в заводском исполнении — элек-
трокартон ЭВ толщиной 0,5 мм.
5. Прокладка на дно паза ротора — электрокартон ЭВ толщиной
0,2 мм.
6. Прокладка в лобовой части статора — электрокартон ЭВ толщи-
ной 0,2 мм и лакоткань ЛХС толщиной 0,2 мм, склеенные вместе.
7. Клин — дерево твердой породы породы пропитанное.
8. Паз статора выполнен в соответствии с рис. 1-1, паз ротора соот-
ветствует рис. 1-4.

Основные обмоточно-расчетные данные электродвигателей единой серии типа АК 6-го габарита

Тип электро- двигателя	Статор														Схема обмотки (рис. №)							
	$U_1, \text{ в}$	$I_1, \text{ а}$	$n, \text{ об/мин}$	$\eta, \%$	$\cos \varphi$	$\frac{M_{\text{макс}}}{M_{\text{н}}}$	$\frac{D_{\text{а1}}}{D_{\text{т1}}}$	$\frac{l_{\text{т1}}}{l_{\text{т2}}}$	δ	$B_{\delta}, \text{ эс}$	z_1	q_1	Размеры паза $b; b'; b''$ $h; e$	$Q_{\text{с1}}, \text{ мм}^2$		d/d'	m_1	$w_{\text{к1}}$	$n_{\text{э1}}$	y_1	a_1	
AK60/4	7	220/380 500	27,0/15,5 12,0	1 375	82,0	0,84	2,2	$\frac{327}{200}$	$\frac{55}{60}$	0,4	$\frac{9\ 680}{9\ 680}$	36	3	$\frac{13,2; 8,6; 3,7}{28,8; 1,0}$	296	$\frac{1,35/1,56}{1,16/1,37}$	2	$\frac{16}{21}$	64	1—9	—	3-3, 3-47
AK61/4	10	220/380 500	37,0/21,5 16,5	1 400	83,5	0,85	2,2	$\frac{327}{200}$	$\frac{75}{80}$	0,4	$\frac{9\ 500}{9\ 350}$	36	3	$\frac{13,2; 8,6; 3,7}{28,0; 1,0}$	296	$\frac{1,5/1,71}{1,3/1,51}$	2	$\frac{12}{16}$	48	1—9	—	3-3, 3-47
AK62/4	14	220/380 500	50,5/29,3 22,3	1 400	84,5	0,86	2,2	$\frac{327}{200}$	$\frac{100}{105}$	0,4	$\frac{8\ 500}{8\ 600}$	36	3	$\frac{13,2; 8,6; 3,7}{28,8; 1,0}$	296	$\frac{1,25/1,46}{1,56/1,77}$	2	$\frac{20}{26}$	80	1—9	2	3-4, 3-48
AK60/6	4,5	220/380 500	19,8/11,5 8,7	925	78,5	0,76	1,8	$\frac{327}{230}$	$\frac{55}{60}$	0,4	$\frac{7\ 890}{8\ 000}$	54	3	$\frac{10,5; 7,4; 3,2}{30,0; 2,0}$	247	$\frac{1,16/1,37}{1,50/1,71}$	2	$\frac{17}{22}$	68	1—9	—	3-6, 3-87
AK61/6	7	220/380 500	29,2/16,8 12,8	940	81,0	0,78	2,0	$\frac{327}{230}$	$\frac{75}{80}$	0,4	$\frac{8\ 500}{8\ 590}$	54	3	$\frac{10,5; 7,4; 3,2}{30,0; 2,0}$	247	$\frac{1,45/1,66}{1,25/1,46}$	1	$\frac{23}{30}$	46	1—9	2	3-7, 3-88
AK62/6	10	220/380 500	40,5/23,3 17,7	940	82,5	0,79	2,0	$\frac{327}{230}$	$\frac{100}{105}$	0,4	$\frac{8\ 180}{8\ 060}$	54	3	$\frac{10,5; 7,4; 3,2}{30,0; 2,0}$	247	$\frac{1,62/1,83}{1,4/1,61}$	2	$\frac{9}{12}$	36	1—9	—	3-6, 3-87
AK61/8	4,5	220/380 500	21,4/12,4 9,5	700	76,5	0,72	1,9	$\frac{327}{230}$	$\frac{75}{80}$	0,4	$\frac{8\ 000}{7\ 870}$	48	2	$\frac{11,8; 8,2; 3,7}{29,8; 1,0}$	280	$\frac{1,2/1,41}{1,45/1,66}$	2	$\frac{18}{24}$	72	1—6	—	3-10, 3-110
AK62/8	7	220/380 500	31,3/18,0 13,8	700	79,5	0,74	1,9	$\frac{327}{230}$	$\frac{100}{105}$	0,4	$\frac{8\ 300}{8\ 100}$	48	2	$\frac{11,8; 8,2; 3,7}{29,8; 1,0}$	280	$\frac{1,50/1,71}{1,25/1,46}$	1	$\frac{26}{35}$	52	1—6	2	3-11, 3-112

Продолжение табл. 1-83

Тип электро- двигателя	Статор					Ротор																	
	$j_1, \frac{A}{mm^2}$	$AS_1, \frac{A}{cm}$	l_{m1}, m	r_1, Ω	$G_1, \kappa Z$	$U_2, \text{В}$	I_2, A	$\frac{D_{a2}}{D_{t2}}$	z_2	q_2	Размеры паза b $h; h'; e$		$\frac{a \times b}{A \times B}$	m_2	$w_{\kappa 2}$	$n_{\text{э}2}$	y_2	a_2	Схема обмотки (рис. №)	$j_2, \frac{A}{mm^2}$	l_{m2}, m	r_2, Ω	$G_2, \kappa Z$
AK60/4	5,4 5,68	284 289	0,6	0,708 1,325	9,16 8,92	150	32,0	$\frac{199,2}{60}$	48	4	$\frac{3,7}{35,5; 32,5; 0,5}$		$\frac{2,1 \times 2,63}{2,43 \times 2,96}$	1	5	10	1—13	—	3-3, 3-57	6,35	0,56	0,156	6,4
AK61/4	6,08 6,21	296 303	0,64	0,454 0,81	9,0 9,1	207	32,0	$\frac{199,2}{60}$	48	4	$\frac{3,7}{35,5; 32,5; 0,5}$		$\frac{2,1 \times 2,63}{2,43 \times 2,96}$	1	5	10	1—13	—	3-3, 3-57	6,35	0,60	0,167	6,9
AK62/4	5,97 5,83	336 332	0,69	0,295 0,494	11,35 11,38	250	36,5	$\frac{199,2}{60}$	48	4	$\frac{3,7}{35,5; 32,5; 0,5}$		$\frac{2,1 \times 2,63}{2,43 \times 2,96}$	1	5	10	1—13	—	3-3, 3-57	7,25	0,65	0,181	7,4
AK60/6	5,45 4,92	292 286	0,56	1,42 2,18	10,1 10,85	117	26,0	$\frac{229,2}{60}$	60	3 1/3	$\frac{3,7}{35,5; 32,5; 0,5}$		$\frac{2,1 \times 2,63}{2,43 \times 2,96}$	1	5	10	1—11	—	3-6, 3-93	5,16	0,53	0,184	7,5
AK61/6	5,08 5,21	290 286	0,61	0,676 1,17	11,58 11,4	175	26,0	$\frac{229,2}{60}$	60	3 1/3	$\frac{3,7}{35,5; 32,5; 0,5}$		$\frac{2,1 \times 2,63}{2,43 \times 2,96}$	1	5	10	1—11	—	3-6; 3-93	5,16	0,57	0,199	8,0
AK62/6	5,65 5,75	313 317	0,68	0,468 0,837	12,54 12,53	225	30,0	$\frac{229,2}{60}$	60	3 1/3	$\frac{3,7}{35,5; 32,5; 0,5}$		$\frac{2,1 \times 2,63}{2,43 \times 2,96}$	1	5	10	1—11	—	3-6; 3-93	5,95	0,62	0,216	8,7
AK61/8	5,47 5,75	297 304	0,49	1,095 2,0	8,94 8,6	126	24,0	$\frac{229,2}{60}$	60	2 1/2	$\frac{3,7}{35,5; 32,5; 0,5}$		$\frac{2,1 \times 2,63}{2,43 \times 2,96}$	1	5	10	1—8	—	3-10, 3-122	4,77	0,536	0,186	7,7
AK62/8	5,10 5,63	312 322	0,54	0,552 1,08	10,98 10,4	168	28,0	$\frac{229,2}{60}$	60	2 1/2	$\frac{3,7}{35,5; 32,5; 0,5}$		$\frac{2,1 \times 2,63}{2,43 \times 2,96}$	1	5	10	1—8	—	3-10; 3-122	5,55	0,586	0,204	8,4

или два слоя пленкоэлектростатора толщиной по 0,3 мм.
5. Междуслойная прокладка ротора в заводском исполнении — электрокартон ЭВ толщиной 0,5 мм.
6. Прокладка на дно паза ротора — электрокартон ЭВ толщиной 0,2 мм.
7. Прокладка в лобовой части статора — электрокартон ЭВ толщиной 0,2 мм и лакокраска ЛКС толщиной 0,2 мм, склеенные вместе.
8. Клин — дерево твердой породы пропитанное.
9. Паз статора выполнен в соответствии с рис. 1-2, паз ротора соответствует рис. 1-4.

Примечания: 1. Обмотки статора и ротора в заводском исполнении двухслойные, выполнены: статора — проводом марки ПЭЛБО, ротора — проводом марки ПБД.
2. Изоляция паза статора в заводском исполнении: электрокартон ЭВ толщиной 0,2 мм; лакокраска ЛКС толщиной 0,2 мм; электрокартон ЭВ толщиной 0,2 мм или два слоя пленкоэлектростатора толщиной по 0,3 мм.
3. Изоляция паза ротора в заводском исполнении — два слоя пленкоэлектростатора толщиной по 0,2 мм.
4. Междуслойная прокладка в пазу статора в заводском исполнении: два слоя электрокартона ЭВ толщиной по 0,2 мм; лакокраска ЛКС толщиной 0,2 мм

Основные обмоточно-расчетные данные электродвигателей единой серии типа АК 7-го габарита

Тип электро- двигателя	P_2 , кВт	U_1 , в	I_1 , а	η , %	$\cos \varphi$	$\frac{M_{\max}}{M_H}$	Статор														
							$\frac{D_{a1}}{D_{i1}}$	$\frac{l_{t1}}{l_{t2}}$	δ	B_{δ} , эс	z_1	q_1	Размеры паза b ; b' ; b'' h ; e	Q_{s1} , мм ²	d/d'	m_1	$w_{к1}$	$n_{\Sigma 1}$	y_1	a_1	Схема обмотки (рис. №)
AK71/4	20	220/380 500	71,0/41,0 31,3	86,0	0,86	2,2	$\frac{368}{230}$	$\frac{100}{105}$	0,5	$\frac{8700}{8830}$	36	3	$\frac{15,18; 10,3; 3,7}{30,8; 1,0}$	370	$\frac{1,56/1,77}{1,35/1,56}$	2	17	68	1—9	2	3-4, 3-48
AK72/4	28	220/380 500	97,0/56,0 42,8	87,0	0,87	2,6	$\frac{368}{230}$	$\frac{135}{140}$	0,5	$\frac{9150}{8500}$	36	3	$\frac{15,18; 10,3; 3,7}{30,8; 1,0}$	370	$\frac{1,5/1,71}{1,56/1,77}$	3	12	72	1—9	2	3-4, 3-48
AK71/6	14	220/380 500	54,8/31,6 24,0	84,0	0,80	2,0	$\frac{368}{260}$	$\frac{100}{105}$	0,45	$\frac{8540}{8620}$	54	3	$\frac{11,9; 8,7; 3,7}{29,8; 1,0}$	291	$\frac{1,68/1,89}{1,45/1,66}$	1	23	46	1—9	3	3-8, 3-89
AK72/6	20	220/380 500	76,3/44,2 33,6	85,0	0,81	2,0	$\frac{368}{260}$	$\frac{135}{140}$	0,45	$\frac{8510}{8650}$	54	3	$\frac{11,9; 8,7; 3,7}{29,8; 1,0}$	291	$\frac{1,35/1,56}{1,68/1,89}$	2	17	68	1—9	3	3-8, 3-89
AK71/8	10	220/380 500	42,4/24,5 18,7	81,5	0,76	1,9	$\frac{368}{260}$	$\frac{100}{105}$	0,45	$\frac{8300}{8380}$	48	2	$\frac{13,3; 9,6; 3,7}{30,8; 1,0}$	333	$\frac{1,45/1,66}{1,56/1,77}$	3	11 и 12 15	69 60	1—6	—	3-10, 3-110
AK72/8	14	220/380 500	57,5/33,3 25,3	83,0	0,77	1,9	$\frac{368}{260}$	$\frac{135}{140}$	0,45	$\frac{7860}{8070}$	48	2	$\frac{13,3; 9,6; 3,7}{30,8; 1,0}$	333	$\frac{1,56/1,77}{1,40/1,61}$	3	9 11 и 12	54 69	1—6	—	3-10, 3-110

Продолжение табл. 1-84

Продолжение табл. 1-84

Тип электро- двигателя	Статор					Ротор																
	$\frac{j_1}{a/мм^2}$	$\frac{AS_1}{a/см}$	$l_{m1},$ $м$	$r_1, ом$	$G_1,$ $кг$	$U_2,$ $в$	$I_2, а$	$\frac{D_{a2}}{D_{i2}}$	z_2	q_2	Размеры паза $\frac{b}{h}; h'; e$	$\frac{a \times b}{A \times B}$	m_2	$w_{к2}$	$n_{\Sigma 2}$	y_2	a_2	Схема обмотки (рис. №)	$\frac{j_2}{a/мм^2}$	$l_{m2},$ $м$	$r_2, ом$	$G_2, кг$
AK71/4	5,36	348	0,77	$\frac{0,18}{0,312}$	$\frac{16,8}{16,3}$	193	68,0	$\frac{229}{70}$	48	4	$\frac{4,6}{37,0; 33,8; 1,0}$	$\frac{2,44 \times 4,7}{2,77 \times 5,03}$	1	3	6	1—13	—	3-3, 3-57	6,18	0,73	0,0562	10,92
	5,46	343																				
AK72/4	5,28	335	0,84	$\frac{0,0995}{0,197}$	$\frac{18,1}{18,4}$	250	71,0	$\frac{229}{70}$	48	4	$\frac{4,6}{37,0; 33,8; 1,0}$	$\frac{2,44 \times 4,7}{2,77 \times 5,03}$	1	3	6	1—13	—	3-3, 3-57	6,45	0,8	0,0611	12,0
	5,6	362																				
AK71/6	4,74	321	0,70	$\frac{0,255}{0,447}$	$\frac{18,0}{17,5}$	157	63,0	$\frac{259,1}{70}$	60	$3^{1/3}$	$\frac{4,6}{37,0; 33,8; 1,0}$	$\frac{2,44 \times 4,7}{2,77 \times 5,03}$	1	3	6	1—11	—	3-6, 3-93	5,72	0,69	0,0656	12,85
	4,84	317																				
AK72/6	5,15	332	0,77	$\frac{0,16}{0,268}$	$\frac{19,1}{18,9}$	212	63,0	$\frac{259,1}{70}$	60	$3^{1/3}$	$\frac{4,6}{37,0; 33,8; 1,0}$	$\frac{2,44 \times 4,7}{2,77 \times 5,03}$	1	3	6	1—11	—	3-6, 3-93	5,72	0,76	0,0726	14,22
	5,05	326																				
AK71/8	4,95	332	0,56	$\frac{0,366}{0,616}$	$\frac{14,9}{14,9}$	118	64,0	$\frac{259,1}{70}$	60	$2^{1/2}$	$\frac{4,6}{37,0; 33,8; 1,0}$	$\frac{2,44 \times 4,7}{2,77 \times 5,03}$	1	3	6	1—8	—	3-10, 3-122	5,82	0,615	0,059	11,88
	4,89	330																				
AK72/8	5,8	352	0,63	$\frac{0,278}{0,44}$	$\frac{15,4}{15,1}$	160	64,0	$\frac{259,1}{70}$	60	$2^{1/2}$	$\frac{4,6}{37,0; 33,8; 1,0}$	$\frac{2,44 \times 4,7}{2,77 \times 5,03}$	1	3	6	1—8	—	3-10, 3-122	5,82	0,685	0,068	13,08
	4,48	342																				

Примечания: 1. Обмотки статора и ротора в заводском исполнении двухслойные, выполнены: обмотка статора — проводом марки ПЭЛБО, ротора — проводом марки ПБД.

2. Изоляция паза статора в заводском исполнении: электрокартон ЭВ толщиной 0,2 мм; лакоткань ЛХС толщиной 0,2 мм; электрокартон ЭВ толщиной 0,2 мм или два слоя пленкоэлектрокартона толщиной по 0,3 мм.

3. Изоляция паза ротора в заводском исполнении — два слоя пленкоэлектрокартона толщиной по 0,3 мм.

4. Междуслойная прокладка в пазу статора в заводском исполнении: два слоя электрокартона ЭВ толщиной по 0,2 мм; лакоткань

ЛХС толщиной 0,2 мм или два слоя пленкоэлектрокартона толщиной по 0,3 мм.

5. Междуслойная прокладка ротора в заводском исполнении — электрокартон ЭВ толщиной 0,5 мм.

6. Прокладка на дне паза ротора — электрокартон ЭВ толщиной 0,2 мм.

7. Прокладка в лобовой части статора — электрокартон ЭВ толщиной 0,2 мм и лакоткань ЛХС толщиной 0,2 мм, склеенные вместе.

8. Клин — дерево твердой породы породы пропитанное.

9. Паз статора выполнен в соответствии с рис. 1-2, паз ротора соответствует рис. 1-4.

Основные обмоточно-расчетные данные электродвигателей единой серии типа АК 8-го габарита

Тип электро- двигателя	P _н , кВт	U _н , в	I _н , а	η, %	cos φ	M _{макс} M _н	Статор										n _{эл}	y ₁	a ₁	Схема обмотки (рис. №)	
							D _{а1} D _{и2}	l _{t1} l _{t2}	δ	B _δ , эс	z ₁	q ₁	Размеры паза b; b'; b'' h; e	Q _{с1} , мм ²	d/d'	m ₁					ω _{к1}
AK81/4	40	220/380 500	137/79,5 60,5	1 440	88,0	0,87	2,6	423 265	130 135	0,6	9 000 9 100	48	4	13,3; 8,8; 3,2 36,8; 1,0	387	1,56/1,77 1,4/1,61	2	17 22	68 88	1—11 4	4 3-5, 3-56
AK82/4	55	220/380 500	186/108 82,0	1 440	89,0	0,87	2,6	423 265	180 185	0,6	9 180 9 020	48	4	13,3; 8,8; 3,2 36,8; 1,0	387	1,5/1,71 1,62/1,83	3	12 16	72 64	1—11 4	4 3-5, 3-56
AK81/6	28	220/380 500	103/60 45,7	965	86,5	0,82	2,0	423 300	130 135	0,55	8 150 8 300	72	4	10,0; 7,35; 3,2 32,8; 1,0	271	1,56/1,77 1,35/1,56	2	12 15 и 16	48 62	1—12 3	3-8, 3-102
AK82/6	40	220/380 500	144/83,8 63,8	965	87,5	0,83	2,2	423 300	180 185	0,55	8 340 8 440	72	4	10,0; 7,35; 3,2 32,8; 1,0	271	1,5/1,71 1,62/1,83	3	8 и 9 11	51 44	1—12 3	3-8, 3-102
AK81/8	20	220/380 500	78,5/45,5 34,6	710	84,5	0,79	1,9	423 300	130 135	0,55	8 120 8 000	72	3	10,0; 7,35; 3,2 32,8; 1,0	271	1,68/1,89 1,45/1,66	1	21 28	42 56	1—9 4	3-12, 3-129
AK82/8	28	220/380 500	107/62 47,0	710	86,0	0,80	1,9	423 300	180 185	0,55	8 200 8 050	72	3	10,0; 7,35; 3,2 32,8; 1,0	271	1,4/1,61 1,74/1,95	2	15 20	60 40	1—9 4	3-12, 3-129

Продолжение табл. 1-85

Тип электро- двигателя	Статор						Ротор															
	$j_1',$ $a/мм^2$	$AS_1,$ $a/см$	$l_{m1}',$ $м$	$r_1, ом$	$G_1,$ $кг$	$U_2,$ $в$	$I_2,$ $а$	$\frac{D_{a2}}{D_{i2}}$	z_2	q_2	Размеры паза $\frac{b}{h; h'; e}$	$\frac{a \times b}{A \times B}$	m_2	$\omega_{к2}$	$n_{\Omega 2}$	y_2	a_2	Схема обмотки (рис. N)	$j_2,$ $a/мм^2$	$l_{m2}',$ $м$	$r, ом$	$G_2, кг$
AK81/4	5,2 4,91	390 384	0,98	0,0762 0,121	28,4 29,8	336	74,0	$\frac{263,8}{85}$	60	5	$\frac{4,6}{37,0; 33,8; 1,0}$	$\frac{2,1 \times 2,44}{2,43 \times 2,77}$	2	3	12	1—16	—	3-3, 3-63	7,98	0,92	0,104	14,88
AK82/4	5,1 4,97	374 378	1,08	0,0426 0,0725	31,0 31,9	480	72,0	$\frac{263,8}{85}$	60	5	$\frac{4,6}{37,0; 33,8; 1,0}$	$\frac{2,1 \times 2,44}{2,43 \times 2,77}$	2	3	12	1—16	—	3-3, 3-63	7,76	1,02	0,115	16,44
AK81/6	5,23 5,32	366 362	0,9	0,132 0,226	27,9 27,2	276	67,0	$\frac{298,9}{85}$	54	3	$\frac{5,6}{47,5; 44,3; 1,0}$	$\frac{2,1 \times 3,53}{2,43 \times 3,86}$	2	4	16	1—10	—	3-6, 3-90	4,84	0,86	0,0785	24,66
AK82/6	5,26 5,16	363 358	1,0	0,0746 0,124	30,8 30,8	390	65,0	$\frac{298,9}{85}$	54	3	$\frac{5,6}{47,5; 44,3; 1,0}$	$\frac{2,1 \times 3,53}{2,43 \times 3,86}$	2	4	16	1—10	—	3-6, 3-90	4,7	0,96	0,0876	27,54
AK81/8	5,12 5,23	366 370	0,77	0,192 0,344	24,2 24,2	230	57,0	$\frac{298,9}{85}$	60	2 ^{1/2}	$\frac{4,6}{44,0; 40,8; 1,0}$	$\frac{1,95 \times 2,44}{2,22 \times 2,71}$	2	4	16	1—8	—	3-10, 3-122	6,26	0,74	0,114	15,72
AK82/8	5,03 4,93	355 359	0,88	0,112 0,192	27,6 27,8	323	56,0	$\frac{298,9}{85}$	60	2 ^{1/2}	$\frac{4,6}{44,0; 40,8; 1,0}$	$\frac{1,95 \times 2,44}{2,22 \times 2,71}$	2	4	16	1—8	—	3-10, 3-122	6,15	0,84	0,130	17,88

- Примечания: 1. Обмотки статора и ротора в заводском исполнении двухслойные, выполнены: обмотка статора — проводом марки ПЭЛБО, ротора — проводом марки ПБД.
2. Изоляция паза статора в заводском исполнении: электрокартон ЭВ толщиной 0,2 мм; лакоткань ЛХС толщиной 0,2 мм; электрокартон ЭВ толщиной 0,2 мм или два слоя пленкоэлектрокартона толщиной по 0,3 мм.
3. Изоляция паза ротора в заводском исполнении — два слоя пленкоэлектрокартона толщиной по 0,3 мм.
4. Междуслойная прокладка в пазу статора в заводском исполнении: два слоя электрокартона ЭВ толщиной по 0,2 мм, лакоткань ЛХС толщиной 0,2 мм или два слоя пленкоэлектрокартона толщиной по 0,3 мм.
5. Междуслойная прокладка ротора в заводском исполнении — электрокартон ЭВ толщиной 0,5 мм.
6. Прокладка на дне паза ротора — электрокартон ЭВ толщиной 0,2 мм.
7. Прокладка в лобовой части статора — электрокартон ЭВ толщиной 0,2 мм и лакоткань ЛХС толщиной 0,2 мм, склеенные вместе.
8. Клин — дерево твердой породы породы пропитанное.
9. Паз статора выполнен в соответствии с рис. 1-2, паз ротора соответствует рис. 1-4

Основные обмоточно-расчетные данные электродвигателей единой серии типа АК 9-го габарита

Тип электро- двигателя	P ₂ , кВт	U ₁ , В	I ₁ , А	η, %	cos φ	$\frac{M_{\text{макс}}}{M_{\text{ном}}}$	Статор															
							$\frac{D_{a1}}{D_{i1}}$	$\frac{l_{t1}}{l_{t2}}$	δ	B _δ , эс	z ₁	q ₁	Размеры паза $\frac{h; b'; b''}{h; e}$	Q _{s1} , мм ²	b/d'	m ₁	w _{к1}	n _{э1}	y ₁	a ₁	Схема обмотки (рис. №)	
AK91/4	75	220/380 500	247/143 110	1 460	90,0	0,88	2,6	$\frac{493}{315}$	$\frac{160}{165}$	1,0	8 620	60	5	$\frac{13,4; 9,2; 3,7}{43,0; 1,0}$	465	$\frac{1,62/1,83}{1,62/1,83}$	4	$\frac{9 \text{ и } 10}{12 \text{ и } 13}$	76 75	1—14	4	3-5, 3-62
AK92/4	100	220/380 500	330/191 145	1 460	90,5	0,88	2,8	$\frac{493}{315}$	$\frac{220}{225}$	1,0	7 970 7 850	60	5	$\frac{13,4; 9,2; 3,7}{43,0; 1,0}$	465	$\frac{1,56/1,77}{1,62/1,83}$	5	$\frac{7 \text{ и } 8}{10}$	75 80	1—14	4	3-5, 3-62
AK91/6	55	220/380 500	196/113 86,5	970	88,5	0,83	2,4	$\frac{493}{350}$	$\frac{160}{165}$	0,6	8 300 8 150	72	4	$\frac{11,5; 8,4; 3,7}{38,0; 1,0}$	363	$\frac{1,56/1,77}{1,56/1,77}$	2	$\frac{16 \text{ и } 17}{11}$	66 66	1—12	6	3-9, 3-103 3-8, 3-102
AK92/6	75	220/380 500	261/151 115	970	89,5	0,84	2,4	$\frac{493}{350}$	$\frac{220}{225}$	0,6	8 300 8 160	72	4	$\frac{11,5; 8,4; 3,7}{38,0; 1,0}$	363	$\frac{1,81/2,02}{1,56/1,77}$	2	$\frac{12}{16}$	48 64	1—12	6	3-9, 3-103
AK91/8	40	220/380 500	148/85,7 65,3	720	87,5	0,81	1,9	$\frac{493}{350}$	$\frac{160}{165}$	0,6	8 250 8 290	72	3	$\frac{11,5; 8,4; 3,7}{38,0; 1,0}$	363	$\frac{1,66/1,83}{1,4/1,61}$	1	$\frac{29}{19}$	58 76	1—9	8	3-13, 3-130 3-12, 3-129
AK92/8	55	220/380 500	199/115 87,7	720	88,5	0,82	1,9	$\frac{493}{350}$	$\frac{220}{225}$	0,6	8 300 8 150	72	3	$\frac{11,5; 8,4; 3,7}{38,0; 1,0}$	363	$\frac{1,35/1,56}{1,68/1,89}$	2	$\frac{21}{14}$	84 56	1—9	8	3-13, 3-130 3-12, 3-129

Продолжение табл. 1-86

Тип электро- двигателя	Статор					Ротор																
	$j_1, \frac{A}{\text{мм}^2}$	$AS_1, \frac{A}{\text{см}}$	$l_{m1}, \text{м}$	$r_1, \text{мм}$	$G_1, \text{кг}$	$U_2, \text{В}$	$I_2, \text{А}$	$\frac{D_{a2}}{D_{i2}}$	z_2	q_2	Размеры паза $\frac{b}{h; h'; e}$	$\frac{a \times b}{A \times B}$	m_2	$\omega_{к2}$	$n_{\phi 2}$	y_2	a_2	Схема обмотки (рис. №)	$j_2, \frac{A}{\text{мм}^2}$	$l_{m2}, \text{м}$	$r_2, \text{мм}$	$G_2, \text{кг}$
AK91/4	4,34	412	1,17	0,030	51,6	383	115,0	$\frac{313}{100}$	72	6	$\frac{5,1}{44,0; 40,5; 1,0}$	$\frac{1,95 \times 3,05}{2,22 \times 3,32}$	2	4	16	1—19	2	3-4, 3-67	5,0	1,1	0,0404	34,08
	4,45	417		$\frac{2,22 \times 3,32}{1,95 \times 3,05}$	3-67																	
AK92/4	4,99	435	1,29	0,022	52,4	520	117,0	$\frac{313}{100}$	72	6	$\frac{5,1}{44,0; 40,5; 1,0}$	$\frac{1,95 \times 3,05}{2,22 \times 3,32}$	2	4	16	1—19	2	3-4, 3-67	5,1	1,22	0,0448	37,8
	4,4	440		$\frac{2,22 \times 3,32}{1,95 \times 3,05}$	3-67																	
AK91/6	4,92	407	1,02	0,0512	43,4	390	88,0	$\frac{348,8}{100}$	90	5	$\frac{5,1}{44,0; 40,5; 1,0}$	$\frac{1,95 \times 3,05}{2,22 \times 3,32}$	2	4	16	1—16	—	3-6, 3-108	4,43	1,006	0,185	39,24
	5,02	416		$\frac{2,22 \times 3,32}{1,95 \times 3,05}$	3-108																	
AK92/6	4,9	396	1,14	0,0311	47,4	538	88,0	$\frac{348,8}{100}$	90	5	$\frac{5,1}{44,0; 40,5; 1,0}$	$\frac{1,95 \times 3,05}{2,22 \times 3,32}$	2	4	16	1—16	—	3-6, 3-108	4,43	1,126	0,207	43,74
	5,0	402		$\frac{2,22 \times 3,32}{1,95 \times 3,05}$	3-108																	
AK91/8	5,2	407	0,9	0,0835	36,1	270	92,0	$\frac{348,8}{100}$	84	$3^{1/2}$	$\frac{5,1}{44,0; 40,5; 1,0}$	$\frac{1,95 \times 3,05}{2,22 \times 3,32}$	2	4	16	1—11	—	3-10, 3-136	4,63	0,9	0,154	32,88
	5,3	406		$\frac{2,22 \times 3,32}{1,95 \times 3,05}$	3-136																	
AK92/8	5,02	396	1,02	0,049	41,5	376	92,0	$\frac{348,8}{100}$	84	$3^{1/2}$	$\frac{5,1}{44,0; 40,5; 1,0}$	$\frac{1,95 \times 3,05}{2,22 \times 3,32}$	2	4	16	1—11	—	3-10, 3-136	4,63	1,02	0,175	37,2
	4,94	402		$\frac{2,22 \times 3,32}{1,95 \times 3,05}$	3-136																	

Примечания: 1. Обмотки статора и ротора в заводском исполнении двухслойные, выполнены: обмотка статора — проводом марки ПЭЛБО, ротора — проводом марки ПБД.

2. Изоляция паза статора в заводском исполнении: электрокартон ЭВ толщиной 0,2 мм; лакоткань ЛХС толщиной 0,2 мм; электрокартон ЭВ толщиной 0,2 мм или два слоя пленкоэлектрокартона толщиной 0,3 мм.

3. Изоляция паза ротора в заводском исполнении — два слоя пленкоэлектрокартона толщиной по 0,3 мм.

4. Междуслойная прокладка в пазу статора в заводском исполнении: два слоя электрокартона ЭВ толщиной по 0,2 мм; лакоткань ЛХС

толщиной 0,2 мм или два слоя пленкоэлектрокартона толщиной по 0,3 мм.

5. Междуслойная прокладка ротора в заводском исполнении — электрокартон ЭВ толщиной 0,5 мм.

6. Прокладка на дно паза ротора — электрокартон ЭВ толщиной 0,2 мм.

7. Прокладка в лобовой части статора — электрокартон ЭВ толщиной 0,2 мм и лакоткань ЛХС толщиной 0,2 мм, склеенные вместе.

8. Клин — дерево твердой породы породы пропитанное.

9. Паз статора выполнен в соответствии с рис. 1-2, паз ротора соответствует рис. 1-4.

Основные обмоточно-расчетные данные электродвигателей единой серии АО 3-го габарита двухскоростных на 4/2 полюса

Тип электродвигателя	$P_{э, квт}$	$U, в$	$I, а$	$n, об/мин$	$\eta, \%$	$\cos \varphi$	$I_{пуск} \over I_{н}$	$M_{пуск} \over M_{н}$	$M_{макс} \over M_{н}$	Статор				
										$D_{a1} \over D_{t1}$	$l_{t1} \over l_{t2}$	δ	$B_{\delta, эс}$	r_1
АО31-4/2	$2p=4$	0,45	220 380	2,6 1,5	1 420	68,0	5,0	1,8	2,5	$145 \over 89$	$64 \over 66$	0,25	7 900 7 900	24
	$2p=2$	0,6	220 380	2,9 1,7	2 840	65,0	5,5	2,0	2,5	$145 \over 89$	$64 \over 66$		5 900 5 920	
АО32-4/2	$2p=4$	0,75	220 380	3,5 2,0	1 420	73,0	5,5	1,7	2,3	$145 \over 89$	$100 \over 102$	0,25	6 850 6 810	24
	$2p=2$	1,0	220 380	4,2 2,4	2 850	71,0	5,5	1,7	2,3	$145 \over 89$	$100 \over 102$		5 100 5 100	

Продолжение табл. 1-87

Тип электродвигателя	Статор										Ротор			
	Размеры паза $b; b'; b'' \over h; e$	$Q_{с1}, мм^2$	d/d'	m_1	$w_{к1}$	$n_{э1}$	y_1	a_1	Схема обмотки (рис. №)	$j_1, а/мм^2$	$AS_1, а/см$	$l_{m1}, мм$	$r_1, ом$	$G_1, кг$
АО31-4/2	$2p=4$	$9,6; 7,0; 2,5 \over 15,3; 0,5$	112,3	1 1	62 107	124 214	1—8* 2—7	—	3-153	6,79 7,64	160 160	0,374	15 51	1,19 1,08
	$2p=2$			1 1	62 107	124 214	—	—		6,56 7,51	154 156	0,374	3,75 12,7	1,19 1,08
АО32-4/2	$2p=4$	$9,6; 7,0; 2,5 \over 15,3; 0,5$	112,3	1 1	46 80	92 160	1—8* 2—7	—	3-153	6,7 7,6	160 159	0,446	9,75 33,6	1,416 1,27
	$2p=2$			1 1	46 80	92 160	—	—		6,95 7,89	166 165	0,446	2,43 8,4	1,416 1,27

Примечания: 1. Обмотка статора в заводском исполнении двух-
слойная, выполнена проводом марки ПЭЛБО.
2. Изоляция паза статора в заводском исполнении: электрокартон
ЭВ толщиной 0,1 мм; лакоткань ЛХС толщиной 0,15 мм; электрокар-
тон ЭВ толщиной 0,1 мм.
3. Междуслойная прокладка в пазу в заводском исполнении: два
слоя электрокартона ЭВ толщиной по 0,1 мм; лакоткань ЛХС толщиной
0,15 мм.

4. Прокладка в лобовой части — электрокартон ЭВ толщиной
0,2 мм и лакоткань ЛХС толщиной 0,15 мм, склеенные вместе.
5. Клин — дерево твердой породы пропитанное.
6. Стержни и кольца короткозамкнутой обмотки ротора выполнены
из алюминия марки А5.
7. Паз статора выполнен в соответствии с рис. 1-1, паз ротора соот-
ветствует рис. 1-5.

* Расчетный шаг 1—7.

Основные обмоточно-расчетные данные электродвигателей

Тип электродвигателей		$P_2, \text{ кВт}$	$U_1, \text{ в}$	$I_1, \text{ а}$	$n, \text{ об/мин}$	$\eta, \%$	$\cos \varphi$	$\frac{I_{\text{пуск}}}{I_{\text{н}}}$	$\frac{M_{\text{пуск}}}{M_{\text{н}}}$	$\frac{M_{\text{макс}}}{M_{\text{н}}}$	Ста					
											$\frac{D_{a1}}{D_{i1}}$	$\frac{l_{t1}}{l_{t2}}$	δ	$B_{\delta, \text{ зс}}$	z_1	q_1
АО41-4/2	$2p=4$	1,3	220	5,6	1 420	76	0,80	5,5	1,4	2,0	$\frac{182}{112}$	$\frac{75}{78}$	0,3	7 380	36	3
			380	3,2										7 300		
			500	2,4										7 400		
	$2p=2$	1,7	220	6,9	2 850	72	0,89	5,5	1,6	2,2				5 360		6
			380	4,0										5 340		
			500	3,0										5 400		
АО42-4/2	$2p=4$	2,1	220	8,4	1 430	80,5	0,82	5,5	2,0	2,3	$\frac{182}{112}$	$\frac{115}{118}$	0,3	7 070	36	3
			380	4,8										6 920		
			500	3,7										7 030		
	$2p=2$	2,8	220	10,8	2 850	75,5	0,90	6,0	1,8	2,4				5 150		6
			380	6,3										5 050		
			500	4,8										5 120		

Примечания: 1. Обмотка статора в заводском исполнении двухслойная, выполнена проводом марки ПЭЛБО.

2. Изоляция паза статора в заводском исполнении: электрокартон ЭВ толщиной 0,02 мм; лакоткань ЛХС толщиной 0,15 мм; электрокартон ЭВ толщиной 0,1 мм.

3. Междуслойная прокладка в пазу в заводском исполнении: два слоя электрокартона ЭВ толщиной по 0,1 мм; лакоткань ЛХС толщиной 0,15 мм.

Основные обмоточно-расчетные данные электродвигателей

Тип электродвигателя			$P_2, \text{ кВт}$	$U_1, \text{ в}$	$I_1, \text{ а}$	$n, \text{ об/мин}$	$\eta, \%$	$\cos \varphi$	$\frac{I_{\text{пуск}}}{I_{\text{н}}}$	$\frac{M_{\text{пуск}}}{M_{\text{н}}}$	$\frac{M_{\text{макс}}}{M_{\text{н}}}$	Стр					
												$\frac{D_{a1}}{D_{i1}}$	$\frac{l_{t1}}{l_{i2}}$	δ	$B_{\delta, \text{ зс}}$	z_1	q_1
АО41-6/4	Постоян- ный мо- мент враще- ния	$2p=6$	0,6	220	3,4	940	65,0	0,71	4,0	1,2	1,9	$\frac{182}{112}$	$\frac{75}{78}$	0,3	7 400	36	2
				380	2,0										7 420		
				500	1,5										7 420		
		$2p=4$	1,0	220	4,8	1 430	72,0	0,76	5,0	1,3	2,2				7 380		3
				380	2,8										7 340		
				500	2,1										7 340		
АО42-6/4	Постоян- ный мо- мент враще- ния	$2p=6$	1,0	220	5,1	950	71,0	0,73	4,5	1,2	1,9	$\frac{182}{112}$	$\frac{115}{118}$	0,3	6 850	36	2
				380	2,9										6 800		
				500	2,2										6 800		
		$2p=4$	1,7	220	7,7	1 440	76,0	0,75	5,5	1,3	2,4				7 460		3
				380	4,5										7 400		
				500	3,4										7 400		
АО41-6/4	Постоян- ная мощ- ность	$2p=6$	0,8	220	4,2	930	68,0	0,73	4,0	1,1	2,0	$\frac{182}{112}$	$\frac{75}{78}$	0,3	7 400	36	2
				380	2,4										7 420		
				500	1,8										7 420		
		$2p=4$	0,8	220	4,2	1 440	68,0	0,76	5,0	1,2	2,1				7 380		3
				380	2,4										7 340		
				500	1,8										7 340		

единой серии АО 4-го габарита двухскоростных на 4/2 полюса

тор														Ротор
Размеры паза $b; b'; b''$ $h; e$	$Q_{s1},$ $мм^2$	d/d'	m_1	$\omega_{к1}$	$n_{\Sigma 1}$	y_1	a_1	Схема обмотки (рис. №)	$j_1,$ $а/мм^2$	$AS_1,$ $а/см$	$l_{m1},$ $м$	$r_1, ом$	$G_1, кг$	z_2
$\frac{8,4; 5,6; 3,0}{19,5; 0,5}$	125,8	0,86/1,04	1	31	62		—	3-154	5,57	205		5,16	2,82	26
		0,62/0,79	1	54	108		—		6,13	204	0,46	17,3	2,58	
		0,53/0,70	1	70	140		—		6,28	197		30,7	2,47	
		0,86/1,04	1	31	62	1—12*	—		5,93	218		1,29	2,82	
		0,62/0,79	1	54	108	2—11	—		6,63	220	0,46	4,33	2,58	
		0,53/0,70	1	70	140	3—10	—		6,79	215		7,68	2,47	
$\frac{8,4; 5,6; 3,0}{19,5; 0,5}$	125,8	1,04/1,25	1	21	42		—	3-154	5,73	208		2,86	3,28	26
		0,77/0,95	1	37	74		—		5,95	209	0,54	9,15	3,18	
		0,67/0,84	1	48	96		—		6,06	210		15,8	3,13	
		1,04/1,25	1	21	42	1—12*	—		6,37	232		0,715	3,28	
		0,77/0,95	1	37	74	2—11	—		6,75	238	0,54	2,3	3,18	
		0,67/0,84	1	48	96	3—10	—		6,8	236		3,94	3,13	

4. Прокладка в лабовой части: электрокартон ЭВ толщиной 0,2 мм и лакоткань ЛХС толщиной 0,15 мм, склеенные вместе.

5. Клинь — дерево твердой породы пропитанное.

6. Стержни и кольца короткозамкнутой обмотки ротора выполнены из алюминия марки А5.

7. Паз статора выполнен в соответствии с рис. 1-1; паз ротора соответствует рис. 1-5.

Таблица 1-89

единой серии АО 4-го габарита двухскоростных на 6/4 полюса

тор														Ротор
Размеры паза $b; b'; b''$ $h; e$	$Q_{s1},$ $мм^2$	d/d'	m_1	$\omega_{к1}$	$n_{\Sigma 1}$	y_1	a_1	Схема обмотки (рис. №)	$j_1,$ $а/мм^2$	$AS_1,$ $а/см$	$l_{m1},$ $м$	$r_1, ом$	$G_1, кг$	z_2
$\frac{8,4; 5,6; 3,0}{19,5; 0,5}$	125,8	0,69/0,86	1	44	44	1—8	—	3-70	9,1	153		4,7	1,05	26
		0,49/0,655	1	76	76	2—7	—		10,6	155	0,37	16,1	0,936	
		0,41/0,575	1	100	100		—		11,38	153		30,0	0,87	
		0,86/1,04	1	31	31	1—12	—		8,25	152		2,52	1,256	
		0,62/0,79	1	54	54	2—11	—		9,26	155	0,44	8,4	1,236	
		0,53/0,70	1	71	71	3—10	—		9,5	152		15,2	1,20	
$\frac{8,4; 5,6; 3,0}{19,5; 0,5}$	125,8	0,86/1,04	1	31	31	1—8	—	3-70	8,76	162		2,57	1,39	26
		0,62/0,79	1	54	54	2—7	—		9,6	160	0,45	8,6	1,27	
		0,51/0,68	1	71	71		—		10,8	160		16,8	1,14	
		1,08/1,29	1	20	20	1—12	—		8,4	157		1,21	1,63	
		0,8/0,98	1	35	35	2—11	—		8,95	161	0,52	3,86	1,56	
		0,69/0,86	1	46	46	3—10	—		9,1	160		8,85	1,53	
$\frac{8,4; 5,6; 3,0}{19,5; 0,5}$	125,8	0,80/0,98	1	44	44	1—8	—	3-70	8,35	189		3,47	1,4	26
		0,57/0,74	1	76	76	2—7	—		9,4	186	0,37	11,8	1,25	
		0,49/0,655	1	100	100		—		9,55	184		21,1	1,22	
		0,72/0,90	1	31	31	1—12	—		10,3	133		3,6	0,955	
		0,53/0,70	1	54	54	2—11	—		10,85	132	0,44	11,6	0,915	
		0,49/0,605	1	71	71	3—10	—		10,86	130		22,0	0,84	

Тип электродвигателя			$P_2, \text{ кВт}$	$U_1, \text{ в}$	$I_1, \text{ а}$	$n, \text{ об/мин}$	$\eta, \%$	$\cos \varphi$	$\frac{I_{\text{пуск}}}{I_{\text{н}}}$	$\frac{M_{\text{пуск}}}{M_{\text{н}}}$	$\frac{M_{\text{макс}}}{M_{\text{н}}}$	Ст					
												$\frac{D_{a1}}{D_{i1}}$	$\frac{l_{t1}}{l_{t2}}$	δ	$B_{\delta, \text{ зс}}$	z_1	q_1
АО42-6/4	Постоян- ная мощ- ность	$2p=6$	1,3	220	6,3	940	73,0	0,75	5,0	1,1	2,0	$\frac{182}{112}$	$\frac{115}{118}$	0,3	6 850	36	2
				380	3,6										6 800		
				500	2,8										6 800		
		$2p=4$		220	6,2	1 450	73,0	0,76	5,5	1,2	2,3	$\frac{182}{112}$	$\frac{115}{118}$	0,3	7 460	36	3
				380	3,6										7 400		
				500	2,7										7 400		

Примечания: 1. Обмотка статора в заводском исполнении двухслойная, выполнена проводом марки ПЭЛБО.
2. Изоляция паза статора в заводском исполнении: электрокартон ЭВ толщиной 0,2 мм; лакоткань ЛХС толщиной 0,15 мм; электрокартон ЭВ толщиной 0,1 мм.
3. Междуслойная прокладка в пазу в заводском исполнении: два слоя электрокартона ЭВ толщиной по 0,1 мм; лакоткань ЛХС толщиной 0,15 мм.

Основные обмоточно-расчетные данные электродвигателей

Тип электродвигателя		$P_2, \text{ кВт}$	$U_1, \text{ в}$	$I_1, \text{ а}$	$n, \text{ об/мин}$	$\eta, \%$	$\cos \varphi$	$\frac{I_{\text{пуск}}}{I_{\text{н}}}$	$\frac{M_{\text{пуск}}}{M_{\text{н}}}$	$\frac{M_{\text{макс}}}{M_{\text{н}}}$	Ст						
											$\frac{D_{a1}}{D_{i1}}$	$\frac{l_{t1}}{l_{t2}}$	δ	$B_{\delta, \text{ зс}}$	z_1	q_1	
АО41-8/4	$2p=8$	0,3	380	1,11	675	61,5	0,67	3,0	1,1	1,7	$\frac{182}{112}$	$\frac{75}{78}$	0,3	5 650	36	$1\frac{1}{2}$	
	$2p=4$	0,5	380	1,21	1 340	69,5	0,9	3,5	1,4	1,7				4 140		3	
АО42-8/4	$2p=8$	0,6	380	2,02	665	66,5	0,68	3,0	1,1	1,7	$\frac{182}{112}$	$\frac{115}{118}$	0,3	5 880	36	$1\frac{1}{2}$	
	$2p=4$	1,0	380	2,27	1 340	74,0	0,9	3,5	1,4	1,8				4 320		3	
АО41-6/4/2	1-я об-мотка			220	3,5									7 420			
		$2p=6$	0,6	380	2,0	940	65,0	0,70	3,5	1,2	2,0				7 440		2
				500	1,5									7 440			
				220	3,8									7 150			
	2-я об-мотка	$2p=4$	0,75	380	2,2	1 440	68,0	0,77	4,5	1,1	2,2	$\frac{182}{112}$	$\frac{75}{78}$	0,3	7 200	36	3
				500	1,6									7 230			
				220	4,7									5 180			
		$2p=2$	1,0	380	2,7	2 880	64,0	0,88	4,5	1,1	2,2				5 240		6
				500	2,05									5 260			

тор														Ротор
Размеры паза $b; b'; b''$ $h; e$	$Q_{s1},$ $мм^2$	d/d'	m_1	$\omega_{к1}$	$n_{э1}$	y_1	a_1	Схема обмотки (рис. №)	$j_1,$ $а/мм^2$	$AS_1,$ $а/см$	$l_{m1},$ $м$	$r_1, ом$	$G_1, кг$	z_2
$\frac{8,4; 5,6; 3,0}{19,5; 0,5}$	125,8	1,0/1,21	1	31	31	1—8	—	3-70	8,04	200	0,45	1,91	1,88	26
		0,72/0,90	1	54	54	2—7	—		8,85	198		6,3	1,70	
		0,62/0,79	1	71	71		—		9,28	203		11,35	1,66	
		0,86/1,04	1	20	20	1—12	—	3-42	10,65	126	0,52	1,92	1,04	
		0,64/0,81	1	35	35	2—11	—		11,18	129		6,05	1,01	
		0,53/0,70	1	46	46	3—10	—		12,2	127		11,6	0,925	

4. Прокладка в лобовой части: электрокартон ЭВ толщиной 0,2 мм и лакоткань ЛХС толщиной 0,15 мм, склеенные вместе.

5. Клинь — дерево твердой породы пропитанное.

6. Стержни и кольца короткозамкнутой обмотки ротора выполнены из алюминия марки А5.

7. Паз статора выполнен в соответствии с рис. 1-1, паз ротора соответствует рис. 1-5.

Таблица 1-90

единой серии АО 4-го габарита многоскоростных на 8/4 и 6/4/2 полюса

тор															Ротор	
Размеры паза $\frac{b; b'; b''}{h; e}$	$Q_{s1},$ $мм^2$	d/d'	m_1	$\omega_{к1}$	$n_{э1}$	y_1	a_1	Схема обмотки (рис. №)	$j_1,$ $a/мм^2$	$AS_1,$ $a/см$	$l_{m1},$ $м$	$r_1, ом$	$G_1, кг$	z_2		
$\frac{8,4; 5,6; 3,0}{19,5; 0,5}$	125,8	0,38/0,545	1	125	250	1—6	—	3-157	5,65	164	0,37	86,2	1,9	26		
									5,33	155		21,6				
$\frac{8,4; 5,6; 3,0}{19,5; 0,5}$	125,8	0,51/0,68	1	78	156	1—6	—	3-157	5,72	187	0,45	36,2	2,5	26		
									5,55	181		9,05				
						1—8		3-70	9,35	157		4,7	1,05			
									10,6	155		0,37	16,1		0,94	
									11,35	153		30	0,87			
$\frac{8,4; 5,6; 3,0}{19,5; 0,5}$	125,8	0,69/0,86	1	44	44	1—12*	—	3-154	8,63	144	0,46	12,3	1,31	26		
		0,49/0,655	1	76	76				10,6	155		16,1	0,94			
		0,41/0,575	1	100	100	2—7	—		11,35	153		30	0,87			
		0,57/0,74	1	32	64				8,63	144		12,3	1,31			
		0,41/0,575	1	55	110	2—11	—		9,63	143		41	1,19			
		0,33/0,49	1	72	144				10,8	136		82,5	1,03			
		0,57/0,74	1	32	64				9,2	154		3,08	1,31			
$\frac{8,4; 5,6; 3,0}{19,5; 0,5}$	125,8	0,41/0,575	1	55	110	3—10	—	3-154	10,2	152	0,46	10,2	1,19	26		
		0,33/0,49	1	72	144				12,0	152		20,6	1,03			

Тип электродвигателя			$P_2, \text{ кВт}$	$U, \text{ в}$	$I, \text{ а}$	$n, \text{ об/мин}$	$\eta, \%$	$\cos \varphi$	$\frac{I_{\text{пуск}}}{I_{\text{н}}}$	$\frac{M_{\text{пуск}}}{M_{\text{н}}}$	$\frac{M_{\text{макс}}}{M_{\text{н}}}$	Ст					
												$\frac{D_{a1}}{D_{i1}}$	$\frac{l_{t1}}{l_{t2}}$	δ	$B_{\delta, \text{ зс}}$	z_1	q_1
АО42-6/4/2	1-я об-мотка	$2p=6$	1,0	220	5,3	950	71,0	0,70	4,0	1,4	2,0				6 890		2
				380	3,1										6 850		
				500	2,3										6 850		
	2-я об-мотка	$2p=4$	1,3	220	6,0	1 450	73,0	0,78	5,0	1,3	2,4	$\frac{182}{112}$	$\frac{115}{118}$	0,3	7 080	36	3
				380	3,5										6 950		
				500	2,6										6 900		
		$2p=2$	1,7	220	7,3	2 880	69,0	0,88	5,5	1,1	2,4				5 370	6	
				380	4,3										5 070		
				500	3,2										5 020		

Примечания: 1. Обмотка статора в заводском исполнении, при шести полюсах — однослойная, остальных — двухслойная, выполнена проводом марки ПЭЛБО.

2. Изоляция паза статора в заводском исполнении: электрокартон ЭВ толщиной 0,2 мм; лакоткань ЛХС толщиной 0,5 мм; электрокартон ЭВ толщиной 0,1 мм.

3. Междуслойная прокладка в пазу в заводском исполнении: два слоя электрокартона ЭВ толщиной по 0,1 мм; лакоткань ЛХС толщиной 0,15 мм.

Основные обмоточ но-расчетные данные электродвигателей

Тип электродвигателя		$P_2, \text{ кВт}$	$U, \text{ в}$	$I, \text{ а}$	$n, \text{ об/мин}$	$\eta, \%$	$\cos \varphi$	$\frac{I_{\text{пуск}}}{I_{\text{н}}}$	$\frac{M_{\text{пуск}}}{M_{\text{н}}}$	$\frac{M_{\text{макс}}}{M_{\text{н}}}$	Ст					
											$\frac{D_{a1}}{D_{i1}}$	$\frac{l_{t1}}{l_{t2}}$	δ	$B_{\delta, \text{ зс}}$	z_1	q_1
АО51-4/2	$2p=4$	3,2	220	12,2	1 450	83,0	0,83	6,5	2,0	2,5	$\frac{245}{152}$	$\frac{90}{94}$	0,4	7 370	36	3
			380	7,1										7 340		
			500	5,4										7 230		
	$2p=2$	4,2	220	15,7	2 860	77,0	0,91	6,5	1,8	2,6				5 350		
			380	9,1										5 350		
			500	6,9										5 270		
АО52-4/2	$2p=4$	5,2	220	19,0	1 450	85,0	0,84	8,0	2,0	2,8	$\frac{245}{152}$	$\frac{140}{144}$	0,4	6 940	36	3
			380	11,0										7 080		
			500	8,4										7 080		
	$2p=2$	7,0	220	25,7	2 880	78,5	0,91	7,0	1,8	2,8				5 060		
			380	14,9										5 160		
			500	11,3										5 150		

Примечания: 1. Обмотка статора в заводском исполнении двухслойная, выполнена проводом марки ПЭЛБО.

2. Изоляция паза статора в заводском исполнении: электрокартон ЭВ толщиной 0,2 мм; лакоткань ЛХС толщиной 0,15 мм; электрокартон ЭВ толщиной 0,2 мм.

3. Междуслойная прокладка в пазу в заводском исполнении: два слоя электрокартона ЭВ толщиной по 0,2 мм; лакоткань ЛХС толщиной 0,15 мм.

тор														Ротор
Размеры паза $b; b'; b''$ $h; e$	$Q_{s1},$ $мм^2$	d/d'	m_1	ω_{k1}	$n_{\Sigma 1}$	y_1	a_1	Схема обмотки (рис. №)	$j_1,$ $а/мм^2$	$AS_1,$ $а/см$	$l_{m1},$ $м$	$r_1, ом$	$G_1, кг$	z_2
$\frac{8,4; 5,6; 3,0}{19,5; 0,5}$	125,8	0,86/1,04	1	31	31	1—8	—	3-70	9,11	168	0,45	2,56	0,93	26
		0,62/0,79	1	54	54	2—7	—		10,25	171		8,6	0,845	
		0,51/0,68	1	71	71		—		11,25	167		16,8	0,76	
		0,69/0,86	1	21	42		—	3-154	9,27	149	0,54	6,45	1,46	
		0,49/0,655	1	37	74		—		10,7	153		22,8	1,32	
		0,41/0,575	1	49	98	1—12*	—		11,38	150		43	1,25	
		0,69/0,86	1	21	42	2—11	—		9,75	157		1,61	1,46	
		0,49/0,655	1	37	74	3—10	—		11,4	163		5,7	1,32	
		0,41/0,575	1	49	98		—		12,1	160		10,7	1,25	

4. Прокладка в лобовой части — электрокартон ЭВ толщиной 0,2 мм и лакоткань ЛХС толщиной 0,15 мм, склеенные вместе.

5. Клинь — дерево твердой породы пропитанное.

6. Стержни и кольца короткозамкнутой обмотки ротора выполнены из алюминия марки А5.

7. Паз статора выполнен в соответствии с рис. 1-1; паз ротора соответствует рис. 1-5.

* Расчетный шаг 1—10.

Таблица 1-91

единой серии АО 5-го габарита двухскоростных на 4/2 полюса

тор														Ротор
Размеры паза $b; b'; b''$ $h; e$	$Q_{s1},$ $мм^2$	d/d'	m_1	ω_{k1}	$n_{\Sigma 1}$	y_1	a_1	Схема обмотки (рис. №)	$j_1,$ $а/мм^2$	$AS_1,$ $а/см$	$l_{m1},$ $м$	$r_1, ом$	$G_1, кг$	z_2
$\frac{10,8; 7,4; 3,2}{24,75; 0,75}$	206,5	1,0/1,21	2	19	76		—	3-154	4,5	203	0,6	1,56	6,1	26
		1,08/1,29	1	33	66		—		4,47	204		4,6	6,14	
		0,93/1,11	1	44	88	1—12*	—		4,6	207		8,35	6,07	
		1,0/1,21	2	19	76	2—11	—		5,0	225		0,39	6,1	
		1,08/1,29	1	33	66	3—10	—		4,97	227		1,15	6,14	
		0,93/1,11	1	44	88		—		5,08	229		2,1	6,07	
		1,25/1,46	2	13	52		—	3-154	4,48	216	0,7	0,8	7,52	26
		1,35/1,56	1	22	44	1—12*	—		4,43	211		2,32	7,4	
$\frac{10,8; 7,4; 3,2}{24,75; 0,75}$	206,5	1,16/1,37	1	29	58	2—11	—		4,6	212		4,1	7,24	
		1,25/1,46	2	13	52	3—10	—		5,25	252		0,2	7,52	
		1,35/1,56	1	22	44		—		5,20	247		0,58	7,4	
		1,16/1,37	1	29	58		—		5,35	247		1,02	7,24	

4. Прокладка в лобовой части: электрокартон ЭВ толщиной 0,2 мм и лакоткань ЛХС толщиной 0,2 мм, склеенные вместе.

5. Клинь — дерево твердой породы пропитанное.

6. Стержни и кольца короткозамкнутой обмотки ротора выполнены из алюминия марки А5.

7. Паз статора выполнен в соответствии с рис. 1-1; паз ротора соответствует рис. 1-5.

* Расчетный шаг 1—10.

Основные обмоточно-расчетные данные электродвигателей

Тип электродвигателя			$P_2,$ квт	$U, \text{ в}$	$I, \text{ а}$	$n,$ об/мин	$\eta, \%$	$\cos \varphi$	$\frac{I_{\text{пуск}}}{I_{\text{ном}}}$	$\frac{M_{\text{пуск}}}{M_{\text{ном}}}$	$\frac{M_{\text{макс}}}{M_{\text{ном}}}$	Ст											
												$\frac{D_{a1}}{D_{i1}}$	$\frac{l_{t1}}{l_{t2}}$	δ	$B_{\delta, \text{ зс}}$	z_1	q_1						
АО51-6/4	Постоян- ный мо- мент враще- ния	$2p=6$	1,7	220	8,2	960	75,0	0,73	5,5	1,4	2,3	$\frac{245}{152}$	$\frac{90}{94}$	0,4	7 150	36	2						
				380	4,7										7 220								
				500	3,0										7 220								
		$2p=4$	2,8	220	11,5	1 450	79,0	0,81	6,0	1,3	2,6				7 020								
				380	6,6										7 150								
				500	5,1										7 100								
		АО52-6/4	Постоян- ный мо- мент враще- ния	$2p=6$	2,8	220	13,0	970	77,5	0,73	5,5				1,4			2,3	$\frac{140}{144}$	0,4	6 750	36	2
						380	7,5														6 950		
						500	5,7														6 950		
				$2p=4$	4,5	220	17,9	1 460	81,5	0,81	7,0				1,3			2,8			6 950		
380	10,3					7 100																	
500	7,9					7 070																	
АО51-6/4	Постоян- ная мощ- ность			$2p=6$	2,1	220	9,5	950	77,0	0,76	5,5	1,1	2,2	$\frac{245}{152}$	$\frac{90}{94}$	0,4	7 150	36			2		
						380	5,5										7 220						
						500	4,2										7 220						
				$2p=4$		220	9,3	1 460	77,0	0,77	6,0	1,3	2,5				7 020						
		380	5,4			7 150																	
		500	4,1			7 100																	
		АО52-6/4	Постоян- ная мощ- ность	$2p=6$	3,2	220	13,6	960	80,0	0,77	5,5	1,3	2,4				$\frac{140}{144}$		0,4	6 750		36	2
						380	7,9													6 950			
						500	6,0													6 950			
				$2p=4$		220	13,4	1 470	80,0	0,78	7,0	1,3	2,7							6 950			
380	7,8					7 100																	
500	5,9					7 070																	

Примечания: 1. Обмотки статора в заводском исполнении однослойные, выполнены проводом марки ПЭЛБО.
 2. Изоляция паза статора в заводском исполнении: электрокартон ЭВ толщиной 0,2 мм; лакоткань ЛХС толщиной 0,15 мм; электрокартон ЭВ толщиной 0,2 мм.
 3. Междуслойная прокладка в пазу в заводском исполнении: два слоя электрокартона ЭВ толщиной по 0,2 мм; лакоткань ЛХС толщиной 0,15 мм.

единой серии АО 5-го габарита двухскоростных на 6/4 полюса

тор														Ротор
Размеры паза $b; b'; b''$ $h; e$	$Q_{s1},$ $мм^2$	d/d'	m_1	ω_{K1}	$n_{\partial 1}$	y_1	a_1	Схема обмотки (рис. №)	$j_1,$ $a/мм^2$	$AS_1,$ $a/см$	$l_{m1},$ $м$	$r_1, ом$	$G_1, кг$	z_2
$\frac{10,8; 7,4; 3,2}{24,75; 0,75}$	206,5	1,16/1,37	1	28	28		—		7,75	173		1,33	2,38	26
		0,86/1,04	1	48	48	1—8 2—7	—	3-70	8,08	170	0,47	4,15	2,25	
		0,72/0,90	1	63	63		—		8,85	171		7,8	2,08	
		1,0/1,21	2	20	40		—		7,32	173		0,79	3,1	
		1,12/1,33	1	34	34	1—12 2—11 3—10	—	3-42	6,7	169	0,58	2,14	3,28	
		0,96/1,14	1	45	45		—		7,05	173		3,86	3,2	
$\frac{10,8; 7,4; 3,2}{24,75; 0,75}$	206,5	0,96/1,14	2	19	38	1—8 2—7	—		8,98	186		0,8	2,67	26
		1,08/1,29	1	32	32		—	3-70	8,18	181	0,57	2,14	2,85	
		0,93/1,11	1	42	42		—		8,4	180		3,8	2,77	
		1,30/1,51	2	13	26	1—12 2—11 3—10	—		6,75	175		0,355	3,96	
		0,96/1,14	2	22	44		—	3-42	7,11	171	0,68	1,11	3,67	
		1,20/1,41	1	29	29		—		6,98	173		1,86	3,77	
$\frac{10,8; 7,4; 3,2}{24,75; 0,75}$	206,5	1,35/1,56	1	28	28		—		6,63	200		0,985	3,21	26
		1,0/1,21	1	48	48	1—8 2—7	—	3-70	7,0	199	0,47	3,1	3,03	
		0,86/1,04	1	63	63		—		7,23	200		5,5	2,94	
		1,20/1,41	1	20	20		—		8,2	140		1,10	2,23	
		0,93/1,11	1	34	34	1—12 2—11 3—10	—	3-42	7,95	138	0,58	3,12	2,28	
		0,80/0,98	1	45	45		—		8,15	139		5,55	2,24	
$\frac{10,8; 7,4; 3,2}{24,75; 0,75}$	206,5	1,12/1,33	2	19	38		—		6,9	195		0,59	3,636	26
		1,25/1,46	1	32	32	1—8 2—7	—	3-70	6,45	191	0,57	1,59	3,707	
		1,08/1,29	1	42	42		—		6,55	190		2,8	3,73	
		1,08/1,29	2	13	26	1—12 2—11 3—10	—		7,3	131		0,52	2,754	
		1,16/1,37	1	22	22		—	3-42	7,39	129	0,68	1,51	2,682	
		1,0/1,21	1	29	29		—		7,51	129		2,7	2,64	

4. Прокладка в лобовой части — электрокартон ЭВ толщиной 0,2 мм и лакоткань ЛХС толщиной 0,2 мм, склеенные вместе.

5. Клинь — дерево твердой породы пропитанное.

6. Стержни и кольца короткозамкнутой обмотки ротора выполнены из алюминия марки А5.

7. Паз статора выполнен в соответствии с рис. 1-1, паз ротора соответствует рис. 1-5.

Основные обмоточно-расчетные данные электродвигателей единой

Тип электродвигателя			$P_2, \text{ кВт}$	$U, \text{ в}$	$I, \text{ а}$	$n, \text{ об/мин}$	$\eta, \%$	$\cos \varphi$	$\frac{I_{\text{пуск}}}{I_{\text{н}}}$	$\frac{M_{\text{пуск}}}{M_{\text{н}}}$	$\frac{M_{\text{макс}}}{M_{\text{н}}}$	Ст							
												$\frac{D_{a1}}{D_{i1}}$	$\frac{l_{t1}}{l_{t2}}$	δ	$B_{\delta}, \text{ эс}$	z_1	q_1		
АО51-8/4		$2p=8$	1,1	380	3,42	680	72,0	0,68	3,5	1,1	1,7	$\frac{245}{152}$	$\frac{90}{94}$	0,4	6 280	36	$1\frac{1}{2}$		
		$2p=4$	1,7	380	3,76	1 360	76,0	0,9	4,5	1,4	1,9				4 580		3		
АО52-8/4		$2p=8$	2,0	380	5,87	670	74,0	0,7	3,5	1,1	1,7	$\frac{245}{152}$	$\frac{140}{144}$	0,4	6 200	36	$1\frac{1}{2}$		
		$2p=4$	3,0	380	6,35	1 360	79,7	0,9	4,5	1,4	1,9				4 540		3		
АО51-6/4/2	1-я об-мотка			220	8,5										7 000				
		$2p=6$	1,7	380	4,9	960	75,0	0,70	5,0	1,4	2,5				7 060		2		
				500	3,7										7 080				
	2-я об-мотка			220	8,8										6 920				
		$2p=4$	2,1	380	5,1	1 460	78,0	0,80	6,0	1,3	2,6				7 050		3		
				500	3,9							$\frac{245}{152}$	$\frac{90}{94}$	0,5	7 000				
			220	11,6							5 070				36				
	$2p=2$	2,8	380	6,7	2 900	71,0	0,89	6,0	1,5	2,6	5 190					6			
			500	5,1							5 150								
	1-я об-мотка			220	13,3										7 000				
$2p=6$		2,8	380	7,7	970	79,0	0,70	5,0	1,6	2,5				7 030		2			
			500	5,9										7 000					
			220	13,7										6 400					
АО52-6/4/2	2-я об-мотка	$2p=4$	3,5	380	7,9	1 470	82,0	0,82	6,0	1,3	2,6	$\frac{245}{152}$	$\frac{140}{144}$	0,5	6 450	36	3		
				500	6,0													6 550	
				220	17,8													4 680	
	$2p=2$	4,5	380	10,3	2 900	73,0	0,91	6,5	1,5	2,6				4 730		6			
			500	7,8										4 800					

Примечания: 1. Обмотка статора в заводском исполнении при шести полюсах однослойная, остальных — двухслойная, выполнена проводом марки ПЭЛБО.

2. Изоляция паза статора в заводском исполнении: электрокартон ЭВ толщиной 0,2 мм; лакоткань ЛХС толщиной 0,15 мм; электрокартон ЭВ толщиной 0,2 мм.

3. Междуслойная прокладка в пазу в заводском исполнении: два слоя электрокартона ЭВ толщиной по 0,2 мм; лакоткань ЛХС толщиной 0,15 мм.

серии АО 5-го габарита многоскоростных на 8/4 и 6/4/2 полюса

тор														Ротор			
Размеры паза $b; b'; b''$ $h; e$	$Q_{s1},$ $мм^2$	d/d'	m_1	$\omega_{к1}$	$n_{\Theta 1}$	y_1	a_1	Схема обмотки (рис. №)	$j_1,$ $a/мм^2$	$AS_1,$ $a/см$	$l_{m1},$ $м$	$r_1, ом$	$G_1, кг$	z_2			
$\frac{10,8; 7,4; 3,2}{24,75; 0,75}$	206,5	0,74/0,92	1	69	138	1—6	—	3-157	4,6	206	0,46	15,5	4,66	26			
									4,37	196		3,88					
$\frac{10,8; 7,4; 3,2}{24,75; 0,75}$	206,5	0,96/1,14	1	45	90	1—6	—	3-157	4,7	230	0,56	7,35	6,2	26			
									4,38	216		1,84					
		1,12/1,33	1	28	28	1—8 2—7	—	3-70	8,62	180	0,47	1,43	2,22				
		0,83/1,01	1	48	48				9,05	177		4,45	2,1				
		0,72/0,90	1	63	63				9,08	176		7,8	2,08				
		1,0/1,21	1	20	40				6,48	154		3,28	3,24				
		0,74/0,92	1	34	68				6,85	152		10,2	3,01				
	0,62/0,79	1	45	90	1—12* 2—11 3—10	—	3-154	7,46	153	0,6	19,1	2,82					
	1,0/1,21	1	20	40				7,39	175		0,82	3,24					
	0,74/0,92	1	34	68				7,8	172		2,55	3,01					
	206,5	0,62/0,79	1	45	90	1—8 2—7	—	3-70	8,45	173	0,57	4,8	2,82				
		1,0/1,21	2	18	36				8,47	181		0,7	2,76				
		1,08/1,29	1	31	31				8,4	180		2,06	2,77				
		0,99/1,11	1	41	41				8,7	182		3,8	2,71				
		1,3/1,51	1	14	28				5,96	167		1,86	3,78				
0,90/1,08		1	24	48	1—12* 2—11 3—10				—	3-154		7,16	165	0,7	5,68	3,65	
0,77/0,95		1	31	62								7,43	162		10		3,46
1,3/1,51		1	14	28								6,7	188		0,47		3,78
$\frac{10,8; 7,4; 3,2}{24,75; 0,75}$	206,5	0,90/1,08	1	24	48	—	—	8,09	186	—	1,42	3,65	26				
		0,77/0,95	1	31	62			8,36	182		2,5	3,46					

4. Прокладка в лобовой части — электрокартон ЭВ толщиной 0,2 мм и лакоткань ЛХС толщиной 0,2 мм, склеенные вместе.
5. Клин — дерево твердой породы пропитанное.
6. Стержни и кольца короткозамкнутой обмотки ротора выполнены из алюминия марки А5.
7. Паз статора выполнен в соответствии с рис. 1-1, паз ротора соответствует рис. 1-5.

* Расчетный шаг 1—10.

Основные обмоточно-расчетные данные электродвигателей единой

Тип электродвигателя		$P_2, \text{ кВт}$	$U, \text{ в}$	$I, \text{ а}$	$n_{\text{об/мин}}$	$\eta, \%$	$\cos\varphi$	$\frac{I_{\text{пуск}}}{I_{\text{н}}}$	$\frac{M_{\text{пуск}}}{M_{\text{н}}}$	$\frac{M_{\text{макс}}}{M_{\text{н}}}$	Стр					
											$\frac{D_{a1}}{D_{i1}}$	$\frac{l_{t1}}{l_{t2}}$	δ	$B_{\delta, \text{ эс}}$	z_1	q_1
А61-4/2	$2p=4$	7,5	220	28,5	1 470	86,5	0,80	7,0	1,4	2,2	$\frac{327}{200}$	$\frac{75}{80}$	0,4	10 100	36	3
			380	16,6										9 850		
			500	12,5										9 960		
	$2p=2$	10,0	220	34,8	2 920	84,0	0,90	7,0	1,1	2,7	$\frac{327}{200}$	$\frac{75}{80}$	0,4	6 580	36	6
			380	20,1										6 430		
			500	15,3										6 450		
А62-4/2	$2p=4$	10,5	220	39,5	1 480	87,5	0,80	7,0	1,5	2,7	$\frac{327}{200}$	$\frac{100}{105}$	0,4	9 820	36	3
			380	22,8										9 980		
			500	17,3										10 150		
	$2p=2$	14,0	220	48,1	2 920	85,0	0,90	7,0	1,2	3,2	$\frac{327}{200}$	$\frac{100}{105}$	0,4	6 400	36	6
			380	27,8										6 500		
			500	21,1										6 620		
АО62-4/2	$2p=4$	7,5	220	27,5	1 480	86,5	0,83	7,0	1,6	3,2	$\frac{327}{200}$	$\frac{100}{105}$	0,4	8 800	36	3
			380	15,9										8 800		
			500	12,1										8 800		
	$2p=2$	10,0	220	34,4	2 920	83,0	0,88	7,0	1,4	3,3	$\frac{327}{200}$	$\frac{100}{105}$	0,4	6 280	36	6
			380	19,9										6 300		
			500	15,1										6 300		
АО63-4/2	$2p=4$	10,5	220	38,0	1 480	87,5	0,83	8,0	1,7	3,7	$\frac{327}{200}$	$\frac{135}{140}$	0,4	7 950	36	3
			380	22,0										8 250		
			500	16,7										8 570		
	$2p=2$	14,0	220	47,5	2 920	86,0	0,88	9,0	1,5	3,8	$\frac{327}{200}$	$\frac{135}{140}$	0,4	5 700	36	6
			380	27,5										5 910		
			500	20,9										6 130		

Примечания: 1. Обмотка статора в заводском исполнении двухслойная, выполнена: для электродвигателей типа А — проводом марки ПЭЛБО; для электродвигателей типа АО — проводом марки ПСД.

2. Изоляция паза статора в заводском исполнении выполнена: для электродвигателей с проводом ПЭЛБО — электрокартон ЭВ толщиной 0,2 мм; лакоткань ЛХС толщиной 0,2 мм; электрокартон ЭВ толщиной 0,2 мм или два слоя пленкоэлектрокартона толщиной по 0,3 мм; для электродвигателей с проводом ПСД — микакартон толщиной 0,4 мм, стеклолакоткань ЛСБ толщиной 0,2 мм, подклеенные.

3. Междуслойная прокладка в пазу в заводском исполнении выполнена: для электродвигателей с проводом ПЭЛБО — два слоя электрокартона ЭВ толщиной по 0,2 мм; лакоткань ЛХС толщиной 0,2 мм или два слоя пленко-

серии А и АО 6-го габарита двухскоростных на 4/2 полюса

тор														Ротор
Размеры паза $b; b'; b''$ $h; e$	$Q_{s1},$ $мм^2$	d/d'	m_1	$w_{к1}$	$n_{э1}$	y_1	a_1	Схема обмотки (рис. №)	$j_1,$ $а/мм^2$	$AS_1,$ $а/см$	$l_{m1},$ $м$	$r_1,$ $ом$	$G_1,$ $кг$	z_2
$\frac{13,2; 8,6; 3,7}{28,8; 1,0}$	296	1,50/1,71	2	13	52	1—11	—	3-16, 3-156	4,67	246	0,73	0,56	11,25	26
		1,62/1,83	1	23	46		—		4,62	252		1,71	11,5	
		1,40/1,61	1	30	60		—		4,7	248		3,0	11,3	
		1,50/1,71	2	13	52		—		4,93	260		0,14	11,25	
		1,62/1,83	1	23	46		—		4,87	276		0,429	11,5	
		1,40/1,61	1	30	60		—		4,98	263		0,750	11,3	
$\frac{13,2; 8,6; 3,7}{28,8; 1,0}$	296	1,74/1,95	2	10	40	1—11	—	3-16, 3-156	4,79	262	0,78	0,345	12,39	26
		1,30/1,51	2	17	68		—		4,97	257		1,05	11,82	
		1,68/1,89	1	22	44		—		4,5	252		1,625	12,6	
		1,74/1,95	2	10	40		—		5,05	276		0,086	12,39	
		1,30/1,51	2	17	68		—		5,24	271		0,263	11,82	
		1,68/1,89	1	22	44		—		4,75	266		0,406	12,6	
$\frac{13,2; 8,6; 3,7}{28,8; 1,0}$	296	1,62/1,92	2	11	44	1—10	—	3-16, 3-155	3,86	200	0,73	0,41	11,4	26
		1,74/2,05	1	19	38		—		3,86	200		1,228	11,2	
		1,50/1,80	1	25	50		—		3,97	200		2,17	11,1	
		1,62/1,92	2	11	44		—		4,17	217		0,103	11,4	
		1,74/2,05	1	19	38		—		4,18	216		0,307	11,2	
		1,50/1,80	1	25	50		—		4,27	216		0,542	11,1	
$\frac{13,2; 8,6; 3,7}{28,8; 1,0}$	296	1,45/1,74	3	9	54	1—10	—	3-16, 3-155	4,43	227	0,80	0,305	12,4	26
		1,35/1,64	2	15	60		—		4,44	218		0,882	11,95	
		1,16/1,45	2	19	76		—		4,57	210		1,52	11,3	
		1,45/1,74	3	9	54		—		4,79	245		0,0766	12,4	
		1,35/1,64	2	15	60		—		4,8	236		0,220	11,95	
		1,16/1,45	2	19	76		—		4,95	228		0,381	11,3	

- электрокартона толщиной по 0,3 мм; для электродвигателей с проводом ПСД — микакартон толщиной 0,4 мм и стеклолакоткань ЛСБ толщиной 0,2 мм, склеенные вместе.
4. Прокладка в лобовой части для электродвигателей с проводом ПЭЛБО — электрокартон ЭВ толщиной 0,2 мм и лакоткань ЛХС толщиной 0,2 мм, склеенные вместе. Для электродвигателей с проводом ПСД — микакартон толщиной 0,5 мм.
5. Клин для электродвигателей с проводом ПЭЛБО — дерево твердой породы пропитанное, для электродвигателей с проводом ПСД — стеклотекстолит марки СТ или текстолит марки Б.
6. Стержни и кольца короткозамкнутой обмотки ротора выполнены из алюминия марки А5.
7. Паз статора выполнен в соответствии с рис. 1-2, паз ротора соответствует рис. 1-3.

Основные обмоточно-расчетные данные электродвигателей единой

Тип электродвигателя	$P_2, \text{ кВт}$	$U, \text{ в}$	$I, \text{ а}$	$n, \text{ об/мин}$	$\eta, \%$	$\cos \varphi$	$\frac{I_{\text{пуск}}}{I_{\text{н}}}$	$\frac{M_{\text{пуск}}}{M_{\text{н}}}$	$\frac{M_{\text{макс}}}{M_{\text{н}}}$	Стр					
										$\frac{D_{a1}}{D_{i1}}$	$\frac{l_{t1}}{l_{t2}}$	δ	$B_{\delta, \text{ зс}}$	z_1	q_1
А61-8/4	3,5	220	14,0	720	81,5	0,79	5,5	1,2	2,1	$\frac{327}{230}$	$\frac{75}{80}$	0,4	7 700	54	$2\frac{1}{4}$
		380	8,0										7 660		
		500	6,2										7 730		
	5,0	220	17,0	1 440	81,0	0,92	6,0	1,2	2,1	$\frac{327}{230}$	$\frac{75}{80}$	0,4	5 500	54	$4\frac{1}{2}$
		380	9,8										5 490		
		500	7,5										5 520		
А62-8/4	5,0	220	20,0	720	83,0	0,76	5,5	1,2	2,1	$\frac{327}{230}$	$\frac{100}{105}$	0,4	7 820	54	$2\frac{1}{4}$
		380	11,6										7 580		
		500	8,7										7 550		
	7,0	220	23,5	1 450	85,0	0,9	6,0	1,2	2,1	$\frac{327}{230}$	$\frac{100}{105}$	0,4	5 600	54	$4\frac{1}{2}$
		380	13,6										5 430		
		500	10,3										5 400		
АО62-8/4	3,5	220	14,0	720	82,0	0,77	6,0	1,6	2,4	$\frac{327}{230}$	$\frac{100}{105}$	0,4	6 830	54	$2\frac{1}{4}$
		380	8,1										7 000		
		500	6,2										7 100		
	5,0	220	17,0	1 450	82,0	0,93	7,5	1,4	2,6	$\frac{327}{230}$	$\frac{100}{105}$	0,4	4 900	54	$4\frac{1}{2}$
		380	9,8										5 020		
		500	7,5										5 100		
АО63-8/4	5,0	220	19,8	720	84,0	0,79	6,5	1,6	2,4	$\frac{327}{230}$	$\frac{135}{140}$	0,4	6 780	54	$2\frac{1}{4}$
		380	11,5										7 010		
		500	8,7										7 100		
	7,0	220	24,0	1 450	84,0	0,93	7,5	1,4	2,6	$\frac{327}{230}$	$\frac{135}{140}$	0,4	4 840	54	$4\frac{1}{2}$
		380	13,6										5 020		
		500	10,5										5 080		

Примечания: 1. Обмотка статора в заводском исполнении двухслойная, выполнена: для электродвигателей типа А — проводом марки ПЭЛБО; для электродвигателей типа АО — проводом марки ПСД.

2. Изоляция паза статора в заводском исполнении выполнена: для электродвигателей с проводом ПЭЛБО — электрокартон ЭВ толщиной 0,2 мм; лакоткань ЛХС толщиной 0,2 мм; электрокартон ЭВ толщиной 0,2 мм или два слоя пленкоэлектрокартона толщиной по 0,3 мм; для электродвигателей с проводом ПСД — микакартон толщиной 0,4 мм, стеклолакоткань ЛСБ толщиной 0,2 мм, подклеенные.

3. Междуслойная прокладка в пазу в заводском исполнении выполнена: для электродвигателей с проводом ПЭЛБО — два слоя электрокартона ЭВ толщиной по 0,2 мм; лакоткань ЛХС толщиной 0,2 мм или два слоя пленко-

серии А и АО 6-го габарита двухскоростных на 8/4 полюса

тор														Ротор	
Размеры паза $b; b'; b''$ $h; e$	$Q_{s1},$ $мм^2$	d/d'	m_1	$\omega_{к1}$	$n_{э1}$	y_1	a_1	Схема обмотки (рис. № ₂)	$j_1,$ $a/мм^2$	$AS_1,$ $a/см$	$l_{m1},$ $м$	$r_1, ом$	$G_1, кг$	z_2	
$\frac{10,5; 7,4; 3,2}{30; 2,0}$	247	1,56/1,77	1	19	38	1—8	—	3-17, 3-159	4,24	230	0,5	1,52	9,12	44	
		1,16/1,37	1	33	66		—		—	4,38		228	4,92		8,83
		1,00/1,21	1	43	86		—		—	4,56		230	8,65		8,61
		1,56/1,77	1	19	38		—		—	4,45		241	0,381		9,12
		1,16/1,37	1	33	66		—		—	4,64		242	1,23		8,83
		1,00/1,21	1	43	86		—		—	4,78		240	2,16		8,61
$\frac{10,5; 7,4; 3,2}{30; 2,0}$	247	1,88/2,09	1	14	28	1—8	—	3-17, 3-159	4,16	242	0,55	0,875	10,73	44	
		1,35/1,56	1	25	50		—		—	4,68		250	3,04		9,93
		1,12/1,33	1	33	66		—		—	5,1		248	5,78		9,06
		1,88/2,09	1	14	28		—		—	4,22		246	0,218		10,73
		1,35/1,56	1	25	50		—		—	4,75		254	0,76		9,93
		1,12/1,33	1	33	66		—		—	5,23		254	1,44		9,06
$\frac{10,5; 7,4; 3,2}{30; 2,0}$	247	1,68/1,99	1	16	32	1—8	—	3-17, 3-159	3,64	194	0,55	1,25	10,1	44	
		1,30/1,59	1	27	54		—		—	3,53		189	3,53		10,31
		1,08/1,37	1	35	70		—		—	3,91		187	6,64		9,37
		1,68/1,99	1	16	32		—		—	3,83		203	0,314		10,1
		1,30/1,59	1	27	54		—		—	3,7		198	0,88		10,31
		1,08/1,37	1	35	70		—		—	4,1		196	1,66		9,37
$\frac{10,5; 7,4; 3,2}{30; 2,0}$	247	1,35/1,64	2	12	48	1—8	—	3-17, 3-159	4,0	205	0,62	0,82	11,25	44	
		1,50/1,80	1	20	40		—		—	3,77		199	2,22		11,36
		1,30/1,59	1	26	52		—		—	3,8		195	3,84		11,14
		1,35/1,64	2	12	48		—		—	4,19		215	0,205		11,25
		1,50/1,80	1	20	40		—		—	3,85		203	0,555		11,36
		1,30/1,59	1	26	52		—		—	3,96		204	0,960		11,14

электрокартона толщиной по 0,3 мм; для электродвигателей с проводом ПСД — микакартон толщиной 0,4 мм и стеклолакоткань ЛСБ толщиной 0,2 мм, склеенные вместе.

4. Прокладка в лобовой части: для электродвигателей с проводом ПЭЛБО — электрокартон ЭВ толщиной 0,2 мм и локоткань ЛХС толщиной 0,2 мм, склеенные вместе; для электродвигателей с проводом ПСД — микакартон толщиной 0,5 мм.

5. Клинья для электродвигателей с проводом ПЭЛБО — дерево твердой породы пропитанное, для электродвигателей с проводом ПСД — стеклотекстолит марки СТ или текстолит марки Б.

6. Стержни и кольца короткозамкнутой обмотки ротора выполнены из алюминия марки А5.

7. Паз статора выполнен в соответствии с рис. 1-2, паз ротора соответствует рис. 1-3.

Основные обмоточно-расчетные данные электродвигателей единой серии А и АО

Тип электродвигателя		$P_2, \text{ кВт}$	$U, \text{ в}$	$I, \text{ а}$	$n, \text{ об/мин}$	$\eta, \%$	$\cos \varphi$	$\frac{I_{\text{пуск}}}{I_{\text{н}}}$	$\frac{M_{\text{пуск}}}{M_{\text{н}}}$	$\frac{M_{\text{макс}}}{M_{\text{н}}}$	Стр					
											$\frac{D_{\text{а1}}}{D_{\text{т1}}}$	$\frac{l_{\text{т1}}}{l_{\text{т2}}}$	δ	$B_{\delta, \text{ эс}}$	z_1	q_1
А61-12/16	$2p=12$	2,0	220	12,0	470	71,0	0,62	4,0	1,1	1,7	$\frac{327}{230}$	$\frac{75}{80}$	0,4	7 690	54	$1\frac{1}{2}$
			380	6,9										7 650		
			500	5,3										7 700		
	$2p=6$	3,5	220	12,9	950	81,0	0,88	5,0	1,1	1,8	$\frac{327}{230}$	$\frac{75}{80}$	0,4	5 600	54	3
			380	7,5										5 600		
			500	5,7										5 620		
А62-12/6	$2p=12$	3,0	220	17,2	470	74,0	0,62	4,0	1,1	1,7	$\frac{327}{230}$	$\frac{100}{105}$	0,4	7 490	54	$1\frac{1}{2}$
			380	10,0										7 600		
			500	7,5										7 580		
	$2p=6$	5,0	220	17,4	950	82,5	0,88	5,0	1,1	1,8	$\frac{327}{230}$	$\frac{100}{105}$	0,4	5 450	54	3
			380	10,5										5 560		
			500	8,0										5 520		
АО62-12/6	$2p=12$	2,0	220	11,2	470	73,0	0,62	4,0	1,1	2,0	$\frac{327}{230}$	$\frac{100}{105}$	0,4	6 520	54	$1\frac{1}{2}$
			380	6,5										6 640		
			500	5,0										6 680		
	$2p=6$	3,5	220	12,9	950	81,0	0,88	5,5	1,1	2,1	$\frac{327}{230}$	$\frac{100}{105}$	0,4	4 750	54	3
			380	7,5										4 850		
			500	5,7										4 880		
АО63-12/6	$2p=12$	3,0	220	16,2	470	76,0	0,63	4,0	1,3	2,0	$\frac{327}{230}$	$\frac{135}{140}$	0,4	6 520	54	$1\frac{1}{2}$
			380	9,4										6 600		
			500	7,1										6 650		
	$2p=6$	5,0	220	18,0	950	82,5	0,88	5,5	1,1	2,1	$\frac{327}{230}$	$\frac{135}{140}$	0,4	4 750	54	3
			380	10,5										4 820		
			500	8,0										4 840		

Примечания: 1. Обмотка статора в заводском исполнении двухслойная, выполнена: для электродвигателей типа А — проводом марки ПЭЛБО; для электродвигателей типа АО — проводом марки ПСД.

2. Изоляция паза статора в заводском исполнении выполнена: для электродвигателей с проводом ПЭЛБО — электрокартон ЭВ толщиной 0,2 мм; лакоткань ЛХС толщиной 0,2 мм; электрокартон ЭВ толщиной 0,2 мм или два слоя пленкоэлектрокартона толщиной по 0,3 мм; для электродвигателей с проводом ПСД — микакартон толщиной 0,4 мм, стеклолакоткань ЛСБ толщиной 0,2 мм, подклеенные.

3. Междуслойная прокладка в пазу в заводском исполнении выполнена: для электродвигателей с проводом ПЭЛБО — два слоя электрокартона ЭВ толщиной по 0,2 мм; лакоткань ЛХС толщиной 0,2 мм или два слоя пленко-

6-го габарита двухскоростных на 12/6 полюса

тор														Ротор
Размеры паза $b; b'; b''$ $h; e$	$Q_{s1},$ $мм^2$	d/d'	m_1	ω_{k1}	$n_{\Sigma 1}$	y_1	a_1	Схема обмотки (рис. №)	$j_1,$ $а/мм^2$	$AS_1,$ $а/см$	$l_{m1},$ $м$	$r_1, ом$	$G_1, кг$	z_1
$\frac{10,5; 7,4; 3,2}{30; 2,0}$	247	1,30/1,51	1	26	52	—	—	3-19, 3-163	5,23	270	0,43	2,65	7,55	63
		0,96/1,14	1	45	90	—	—		5,5	269		8,45	7,12	
		0,86/1,04	1	59	118	1—6	—		5,27	270		13,8	7,55	
		1,30/1,51	1	26	52	—	—		4,86	250		0,662	7,55	
		0,96/1,14	1	45	90	—	—		5,19	252		2,11	7,12	
		0,86/1,04	1	59	118	—	—		4,9	251		3,45	7,55	
$\frac{10,5; 7,4; 3,2}{30; 2,0}$	247	1,56/1,77	1	20	40	—	—	3-19, 3-163	5,2	298	0,48	1,59	9,3	63
		1,16/1,37	1	34	68	—	—		5,47	294		4,86	8,75	
		1,0/1,21	1	45	90	1—6	—		5,51	292		8,7	8,65	
		1,56/1,77	1	20	40	—	—		4,55	260		0,398	9,3	
		1,16/1,37	1	34	68	—	—		4,98	267		1,21	8,75	
		1,0/1,21	1	45	90	—	—		5,1	269		2,18	8,65	
$\frac{10,5; 7,4; 3,2}{30; 2,0}$	247	1,35/1,64	1	23	46	—	—	3-19, 3-163	4,51	223	0,48	2,44	8,30	63
		1,04/1,33	1	39	78	—	—		4,43	218		6,95	8,5	
		0,90/1,17	1	51	102	1—6	—		4,55	220		12,1	8,1	
		1,35/1,64	1	23	46	—	—		4,5	222		0,608	8,30	
		1,04/1,33	1	39	78	—	—		4,42	218		1,74	8,5	
		0,90/1,17	1	51	102	—	—		4,48	217		3,02	8,1	
$\frac{10,5; 7,4; 3,2}{30; 2,0}$	247	1,56/1,86	1	17	34	—	—	3-19, 3-163	4,9	238	0,55	1,55	9,32	63
		1,20/1,49	1	29	58	—	—		4,8	236		4,44	9,51	
		1,04/1,33	1	38	76	—	—		4,84	233		7,75	9,5	
		1,56/1,86	1	17	34	1—6	—		4,70	228		0,387	9,32	
		1,20/1,49	1	29	58	—	—		4,63	228		1,11	9,51	
		1,04/1,33	1	38	76	—	—		4,71	227		1,935	9,5	

электрокартона толщиной по 0,3 мм; для электродвигателей с проводом ПСД — микакартон толщиной 0,4 мм и стеклолакоткань ЛСБ толщиной 0,2 мм, склеенные вместе.

4. Прокладка в лобовой части: для электродвигателей с проводом ПЭЛБО — электрокартон ЭВ толщиной 0,2 мм и лакоткань ЛХС толщиной 0,2 мм, склеенные вместе; для электродвигателей с проводом ПСД — микакартон толщиной 0,5 мм.

5. Клинья для электродвигателей с проводом ПЭЛБО — дерево твердой породы пропитанное, для электродвигателей с проводом ПСД — стеклотекстолит марки СТ или текстолит марки Б.

6. Стержни и кольца короткозамкнутой обмотки ротора выполнены из алюминия марки А5.

7. Паз статора выполнен в соответствии с рис. 1-2, паз ротора соответствует рис. 1-3.

Основные обмоточно-расчетные данные электродвигателей единой серии А

Тип электродвигателя			$P_2, \text{ кВт}$	$U, \text{ в}$	$I, \text{ а}$	$n, \text{ об/мин}$	$\eta, \%$	$\cos \varphi$	$\frac{I_{\text{пуск}}}{I_{\text{н}}}$	$\frac{M_{\text{пуск}}}{M_{\text{н}}}$	$\frac{M_{\text{макс}}}{M_{\text{н}}}$	Ст					
												$\frac{D_{a1}}{D_{i1}}$	$\frac{l_{t1}}{l_{t2}}$	δ	$B_{\delta, \text{ эс}}$	z_1	q_1
А61-8/6/4	1-я об-мотка	$2p=8$		220	11,9										7 280		
			2,5	380	6,9	695	69,0	0,79	4,5	1,5	2,0				7 400		$2\frac{1}{4}$
				500	5,2										7 380		
		$2p=4$		220	13,4										5 220		
			3,5	380	7,7	1 400	74,5	0,9	5,0	1,2	2,3	$\frac{327}{230}$	$\frac{75}{80}$	0,4	5 320	54	$4\frac{1}{2}$
				500	5,9										5 280		
	2-я об-мотка	$2p=6$		220	11,5										6 590		
			3,0	380	6,7	940	77,0	0,86	5,0	1,5	2,0				6 420		3
				500	5,0										6 420		
		$2p=8$		220	15,8										7 820		
			3,5	380	9,2	695	72,5	0,80	4,5	1,5	2,0				7 570		$2\frac{1}{4}$
				500	7,0										7 550		
А62-8/6/4	1-я об-мотка	$2p=4$		220	18,3										5 600		
			5,0	380	10,6	1 400	78,0	0,92	5,0	1,2	2,3	$\frac{327}{230}$	$\frac{100}{105}$	0,4	5 430	54	$4\frac{1}{2}$
				500	8,1										5 400		
		$2p=6$		220	16,8										6 350		
			4,5	380	9,7	940	80,0	0,88	5,5	1,5	2,2				6 690		3
				500	7,4										6 320		

Примечания: 1. Обмотка статора в заводском исполнении двухслойная, выполнена проводом марки ПЭЛБО.
 2. Изоляция паза статора в заводском исполнении: электрокартон ЭВ толщиной 0,2 мм; лакоткань ЛХС толщиной 0,2 мм; электрокартон ЭВ толщиной 0,2 мм или два слоя пленкоэлектрокартона толщиной по 0,3 мм.
 3. Междуслойная прокладка в пазу в заводском исполнении два слоя электрокартона ЭВ толщиной по 0,2 мм; лакоткань ЛХС толщиной 0,2 мм или два слоя пленкоэлектрокартона толщиной по 0,3 мм.

6-го габарита трехскоростных на 8/6/4 полюса

тор														Ротор
Размеры паза $b; b'; b''$ $h; e$	$Q_{s1},$ $мм^2$	d/d'	m_1	$w_{к1}$	$n_{э1}$	y_1	a_1	Схема обмотки (рис. №)	$j_1,$ $а/мм^2$	$AS_1,$ $а/см$	$l_{m1},$ $м$	$r_1, ом$	$G_1, кг$	z_1
$\frac{10,5; 7,4; 3,2}{30; 2,0}$	247	1,0/1,21	1	20	40	1—8	—	3-17, 3-159	8,75	206	0,5	4,02	4,04	44
		0,77/0,95	1	34	68		—		8,55	203		11,5	4,23	
		0,67/0,84	1	45	90		—		8,5	202		20,1	4,09	
		1,0/1,21	1	20	40		—		8,54	200		1,0	4,04	
		0,77/0,95	1	34	68	1—8	—	3-6, 3-83	8,25	196	0,52	2,88	4,23	
		0,67/0,84	1	45	90		—		8,33	198		5,02	4,09	
		1,56/1,77	1	9	18		—		6,0	155		0,774	4,62	
		1,12/1,33	1	16	32		—		6,8	160		2,65	4,24	
		0,96/1,14	1	21	42		—		6,9	157		4,75	4,0	
		1,20/1,41	1	14	28	1—8	—	3-17, 3-159	8,07	192	0,55	2,15	4,45	
		0,93/1,11	1	25	50		—		7,8	198		6,83	4,7	
		0,77/0,95	1	33	66		—		8,7	200		12,3	4,34	
$\frac{10,5; 7,4; 3,2}{30; 2,0}$	247	1,20/1,41	1	14	28	1—8	—	3-6, 3-83	8,1	191	0,57	0,537	4,45	44
		0,93/1,11	1	25	50		—		7,8	198		1,705	4,7	
		0,77/0,95	1	33	66		—		8,7	200		3,08	4,34	
		1,25/1,46	2	7	28	1—8	—	3-6, 3-83	6,85	176		0,512	5,15	
		1,30/1,51	1	11 и 12	23		—		7,3	167		1,51	4,49	
		1,12/1,33	1	16	32		—		7,51	177		2,91	4,64	

4. Прокладка в лобовой части — электрокартон ЭВ толщиной 0,2 мм и лакоткань ЛХС толщиной 0,2 мм, склеенные вместе.
5. Клинь — дерево твердой породы пропитанное.
6. Стержни и кольца короткозамкнутой обмотки ротора выполнены из сплава АЛ2 с 4% меди.
7. Паз статора выполнен в соответствии с рис. 1-2, паз ротора соответствует рис. 1-3.

Основные обмоточно-расчетные данные электродвигателей единой серии АО

Тип электродвигателя			$P_2, \text{квт}$	$U, \text{в}$	$I, \text{а}$	$n, \text{об/мин}$	$\eta, \%$	$\cos \varphi$	$\frac{I_{\text{пуск}}}{I_{\text{н}}}$	$\frac{M_{\text{пуск}}}{M_{\text{н}}}$	$\frac{M_{\text{макс}}}{M_{\text{н}}}$	Ст								
												$\frac{D_{a1}}{D_{i1}}$	$\frac{l_{t1}}{l_{t2}}$	δ	$B_{\delta, \text{гс}}$	z_1	q_1			
АО62-8/6/4	1-я об-мотка	$2p=8$	2,5	220	11,8	700	72,0	0,77	5,5	1,2	2,1	$\frac{327}{230}$	$\frac{100}{105}$	0,4	6 430	54	$4\frac{1}{2}$			
				380	6,8										6 300					
				500	5,2										6 220					
		$2p=4$	3,5	220	13,4	1 420	74,5	0,92	6,5	1,0	2,2				4 660					
				380	7,7										4 520					
				500	5,9										4 450					
	2-я об-мотка	$2p=6$	3,0	220	11,7	930	76,0	0,88	5,5	1,3	2,1				4 940	54	3			
				380	6,8										5 140					
				500	5,2										5 060					
		1-я об-мотка	$2p=8$	3,5	220	15,5	700	76,0	0,78	5,5	1,2				2,1			6 250	54	$2\frac{1}{4}$
					380	9,0												6 380		
					500	6,8												6 360		
АО63-8/6/4	$2p=4$		5,0	220	18,3	1 420	78,0	0,92	6,5	1,0	2,2	$\frac{327}{230}$	$\frac{135}{140}$	0,4	4 480	54	$4\frac{1}{2}$			
				380	10,6							4 580								
				500	8,0							4 580								
	$2p=6$	4,5	220	17,0	910	79,0	0,88	5,5	1,3	2,1	5 500	54	3							
			380	9,8							5 200									
			500	7,5							5 370									

Примечания: 1. Обмотка статора в заводском исполнении двухслойная, выполнена проводом марки ПСД.
 2. Изоляция паза статора в заводском исполнении: микакартон толщиной 0,4 мм, стеклолакоткань ЛСБ толщиной 0,2 мм, подклеенные.
 3. Междуслойная прокладка в пазу в заводском исполнении — микакартон толщиной 0,4 мм и стеклолакоткань ЛСБ толщиной 0,2 мм, склеенные вместе.

6-го габарита трехскоростных на 8/6/4 полюса

тор														Ротор
Размеры паза $b; b'; b''$ $h; e$	$Q_{a1},$ мм ²	d/d'	m_1	ω_{k1}	n_{a1}	y_1	a_1	Схема обмотки (рис. №)	$j_1,$ а/мм ²	$AS_1,$ а/см	$l_{m1},$ м	$r_1, ом$	$G_1, кг$	z_1
$\frac{10,5; 7,4; 3,2}{30; 2,0}$	247	1,08/1,37	1	17	34		—	3-17, 3-159	7,45	173		3,22	4,58	44
		0,80/1,07	1	30	60		—		7,8	176		10,35	4,09	
		0,69/0,95	1	40	80	1—8	—		8,03	179	0,55	18,6	4,08	
		1,08/1,37	1	17	34		—		7,3	170		0,805	4,58	
		0,80/1,07	1	30	60		—		7,66	173		2,58	4,09	
		0,69/0,95	1	40	80		—		7,9	176		4,65	4,08	
		1,50/1,80	1	9	18		—	3-6, 3-83	6,63	158		0,915	4,84	
		1,16/1,45	1	15	30	1—8	—		6,44	152	0,57	2,55	4,84	
		0,96/1,23	1	20	40		—		7,18	155		4,97	4,45	
		1,30/1,59	1	13	26		—		6,75	174		1,91	5,63	
$\frac{10,5; 7,4; 3,2}{30; 2,0}$	247	0,96/1,23	1	22	44		—	3-17, 3-159	7,19	171		5,95	5,26	44
		0,86/1,13	1	29	58	1—8	—		6,77	171	0,62	9,76	5,18	
		1,30/1,59	1	13	26		—		6,9	178		0,48	5,63	
		0,96/1,23	1	22	44		—		7,32	174		1,485	5,26	
		0,86/1,13	1	29	58		—	3-6, 3-83	6,89	173		2,44	5,18	
		1,81/2,12	1	6	12		—		6,61	153		0,471	5,25	
		1,35/1,64	1	11	22	1—8	—		6,84	161	0,64	1,55	5,36	
		1,16/1,45	1	14	28		—		7,1	157		2,68	5,08	

4. Прокладка в лобовой части — микакартон толщиной 0,5 мм.

5. Клин — стеклотекстолит марки СТ или текстолит марки Б.

6. Стержни и кольца короткозамкнутой обмотки ротора выполнены из алюминия марки А5.

7. Паз статора выполнен в соответствии с рис. 1-2, паз ротора соответствует рис. 1-3.

Основные обмоточно-расчетные данные электродвигателей единой серии А

Тип электродвигателя			$P_2, \text{квт}$	$U, \text{в}$	$I, \text{а}$	$n, \text{об/мин}$	$\eta, \%$	$\cos \varphi$	$\frac{I_{\text{пуск}}}{I_{\text{н}}}$	$\frac{M_{\text{пуск}}}{M_{\text{н}}}$	$\frac{M_{\text{макс}}}{M_{\text{н}}}$	Стр						
												$\frac{D_{a1}}{D_{t1}}$	$\frac{l_{t1}}{l_{t2}}$	δ	$B_{\delta, \text{гс}}$	z_1	q_1	
А61-12/8/6/4	1-я об-мотка	$2p=12$		220	9,1										6 900			
			1,3	380	5,2	450	57,0	0,66	3,5	1,5	2,0				6 900		$1\frac{1}{2}$	
				500	4,0										6 890			
		$2p=6$		220	10,0											6 000		
			2,5	380	5,8	910	71,0	0,89	4,5	1,2	1,9					6 050		3
				500	4,5											6 000		
	2-я об-мотка	$2p=8$		220	10,8							$\frac{327}{230}$	$\frac{75}{80}$	0,4		54		
			2,0	380	6,2	705	66,0	0,74	4,0	1,3	2,2					7 700		$2\frac{1}{4}$
				500	4,7											7 660		
		$2p=4$		220	12,0											7 720		
			3,0	380	6,8	1 410	73,0	0,91	5,0	1,0	2,0					5 500		$4\frac{1}{2}$
				500	5,2											5 480		
А62-12/8/6/4	1-я об-мотка	$2p=12$		220	10,7										5 530			
			1,7	380	6,2	460	63,0	0,66	3,5	1,5	2,0					6 520		$1\frac{1}{2}$
				500	4,7											6 640		
		$2p=6$		220	12,4											6 680		
			3,2	380	7,2	910	74,5	0,9	4,5	1,1	1,8					4 750		3
				500	5,5											4 850		
	2-я об-мотка	$2p=8$		220	12,0							$\frac{327}{230}$	$\frac{100}{105}$	0,4		54		
			2,4	380	7,0	705	71,0	0,74	4,0	1,3	2,2					4 840		$2\frac{1}{4}$
				500	5,3											7 000		
		$2p=4$		220	15,2											7 130		
			4,0	380	8,8	1 410	76,0	0,91	5,0	1,0	2,0					4 900		$4\frac{1}{2}$
				500	6,7											5 020		

Примечания: 1. Обмотка статора в заводском исполнении двухслойная, выполнена проводом марки ПЭЛБО.

2. Изоляция паза статора в заводском исполнении: электрокартон ЭВ толщиной 0,2 мм; лакоткань ЛХС толщиной 0,2 мм; электрокартон ЭВ толщиной 0,2 мм или два слоя пленкоэлектрокартона толщиной по 0,3 мм.

3. Междуслойная прокладка в пазу в заводском исполнении: два слоя электрокартона ЭВ толщиной по 0,2 мм; лакоткань ЛХС толщиной 0,2 мм или два слоя пленкоэлектрокартона толщиной по 0,3 мм.

6-го габарита четырехскоростных на 12/8/6/4 полюса

Статор														Ротор
Размеры паза $b; b'; b''$ $h; e$	$Q_{s1},$ $мм^2$	d/d'	m_1	w_{k1}	$n_{э1}$	y_1	a_1	Схема обмотки (рис. №)	$j_1,$ $а/мм^2$	$AS_1,$ $а/см$	$l_{m1},$ $ом$	$r_1, ом$	$G_1, кг$	z_2
$\frac{10,5; 7,4; 3,2}{30; 2,0}$	247	0,90/1,08	1	29	58	1—5	—	3-19, 3-162	8,25	228	0,40	5,75	3,86	44
		0,64/0,81	1	50	100		—		9,31	224		19,7	3,5	
		0,55/0,72	1	66	132		—		9,7	228		35,0	3,34	
		0,90/1,08	1	29	58		—		7,85	216		1,435	3,86	
		0,64/0,81	1	50	100		—		9,0	216		4,92	3,5	
		0,55/0,72	1	66	132		—		9,45	222		8,73	3,34	
		0,93/1,11	1	19	38	1—8	—	3-17, 3-159	9,2	176	0,52	4,85	3,62	
		0,72/0,90	1	33	66		—		8,8	177		13,7	3,8	
		0,59/0,76	1	43	86		—		9,95	175		27,1	3,33	
		0,93/1,11	1	19	38		—		8,85	170		1,21	3,62	
		0,72/0,90	1	33	66		—		8,35	168		3,43	3,8	
		0,59/0,76	1	43	86		—		9,53	167		6,75	3,33	
		1,04/1,25	1	23	46	1—6	—	3-19, 3-163	7,3	212	0,48	4,1	4,83	
		0,77/0,95	1	39	78		—		7,67	210		12,7	4,5	
		0,67/0,84	1	51	102		—		7,68	207		21,9	4,46	
		1,04/1,25	1	23	46		—		7,3	213		1,03	4,83	
		0,77/0,95	1	39	78		—		7,72	210		3,17	4,5	
		0,67/0,84	1	51	102		—		7,8	210		5,48	4,46	
$\frac{10,5; 7,4; 3,2}{30; 2,0}$	247	1,0/1,21	1	16	32	1—8	—	3-17, 3-159	8,83	166	0,57	3,67	3,68	44
		0,77/0,95	1	27	54		—		8,7	164		10,4	3,88	
		0,67/0,84	1	35	70		—		8,69	161		17,85	3,62	
		1,0/1,21	1	16	32		—		9,7	182		0,918	3,68	
		0,77/0,95	1	27	54		—		9,43	178		2,6	3,88	
		0,67/0,84	1	35	70		—		9,5	175		4,46	3,62	

4. Прокладка в лобовой части: электрокартон ЭВ толщиной 0,2 мм и лакоткань ЛХС толщиной 0,2 мм, склеенные вместе.
5. Клинь — дерево твердой породы пропитанное.
6. Стержни и кольца короткозамкнутой обмотки ротора выполнены из сплава АЛ2 с 4% меди.
7. Паз статора выполнен в соответствии с рис. 1-2, паз ротора соответствует рис. 1-3.

Основные обмоточно-расчетные данные электродвигателей

Тип электродвигателя			$P_2, \text{ кВт}$	$U, \text{ в}$	$I, \text{ а}$	$n, \text{ об/мин}$	$\eta, \%$	$\cos \varphi$	$\frac{I_{\text{пуск}}}{I_{\text{н}}}$	$\frac{M_{\text{пуск}}}{M_{\text{н}}}$	$\frac{M_{\text{макс}}}{M_{\text{н}}}$	Ст					
												$\frac{D_{a1}}{D_{t1}}$	$\frac{l_{t1}}{l_{t2}}$	δ	$B_{\delta, \text{ эс}}$	z_1	q_1
АО62-12/8/6/4	1-я обмотка	$2p=12$	1,3	220	8,5	460	63,0	0,63	5,0	1,5	2,3	$\frac{327}{230}$	$\frac{100}{105}$	0,4	6 520	54	$1\frac{1}{2}$
				380	5,0										6 310		
				500	3,8										6 440		
		$2p=6$	2,5	220	10,0	900	70,0	0,90	5,5	1,3	2,0				4 740		3
				380	5,8										4 620		
				500	4,4										4 680		
	2-я обмотка	$2p=8$	2,0	220	10,3	715	69,0	0,74	5,0	1,2	2,3				6 850	54	$2\frac{1}{4}$
				380	6,0										6 770		
				500	4,5										6 720		
		$2p=4$	3,0	220	11,7	1 430	72,0	0,91	5,5	1,0	2,5				4 900		$4\frac{1}{2}$
				380	7,0										4 860		
				500	5,3										4 820		
АО63-12/8/6/4	1-я обмотка	$2p=12$	2,0	220	12,3	470	66,0	0,63	5,0	1,5	2,3	$\frac{327}{230}$	$\frac{135}{140}$	0,4	6 520	54	$1\frac{1}{2}$
				380	7,1										6 380		
				500	5,4										6 470		
		$2p=6$	3,5	220	13,3	930	77,0	0,90	5,5	1,3	2,1				4 730		3
				380	7,7										4 650		
				500	5,8										4 700		
	2-я обмотка	$2p=8$	3,0	220	14,5	715	73,0	0,74	5,0	1,2	2,3				6 780	54	$2\frac{1}{4}$
				380	8,4										6 680		
				500	6,4										6 850		
		$2p=4$	4,5	220	17,0	1 430	76,0	0,91	6,0	1,0	2,5				4 830		$4\frac{1}{2}$
				380	10,0										4 800		
				500	7,5										4 900		

Примечания: 1. Обмотка статора в заводском исполнении двухслойная, выполнена проводом марки ПСД.
 2. Изоляция пазов статора в заводском исполнении — микакартон толщиной 0,4 мм, стеклолакоткань ЛСБ толщиной 0,2 мм, подклеенные.
 3. Междуслойная прокладка в пазу в заводском исполнении — микакартон толщиной 0,4 мм и стеклолакоткань ЛСБ толщиной 0,2 мм, склеенные вместе.

единой серии АО 6-го габарита четырехскоростных на 12/8/6/4 полюса

тор														Ротор
Размеры паза $b; b'; b''$ $h; e$	$Q_{s1},$ $мм^2$	d/d'	m_1	$\omega_{к1}$	$n_{э1}$	y_1	a_1	Схема обмотки (рис. №)	$j_1,$ $а/мм^2$	$AS_1,$ $а/см$	$l_{m1},$ $м$	$r_1, ом$	$G_1, кг$	z_2
$\frac{10,5; 7,4; 3,2}{30; 2,0}$	247	0,96/1,23	1	23	46	1—6	—	3-19, 3-163	6,79	168	0,48	4,81	4,3	44
		0,72/0,99	1	41	82		—		7,11	178		15,25	3,98	
		0,62/0,88	1	53	106		—		7,29	175		26,6	3,80	
		0,96/1,23	1	23	46		—		6,9	172		1,2	4,3	
		0,72/0,99	1	41	82		—		7,12	178		3,81	3,98	
		0,62/0,88	1	53	106		—		7,28	175		6,65	3,80	
		1,0/1,29	1	16	32	1—8	—	3-17, 3-159	7,58	143	0,57	3,68	3,86	
		0,72/0,99	1	28	56		—		8,51	145		12,4	3,22	
		0,59/0,85	1	37	74		—		9,53	144		24,4	2,85	
		1,0/1,29	1	16	32		—		7,45	140		0,92	3,86	
		0,72/0,99	1	28	56		—		8,6	146		3,1	3,22	
		0,59/0,85	1	37	74		—		9,7	147		6,1	2,85	
		1,16/1,45	1	17	34	1—6	—	3-19, 3-163	6,73	180	0,55	2,8	5,3	
		0,80/1,07	1	30	60		—		8,15	184		10,35	4,31	
		0,72/0,99	1	39	78		—		7,66	182		16,65	4,51	
		1,16/1,45	1	17	34		—		6,3	169		0,7	5,3	
		0,80/1,07	1	30	60		—		7,65	172		2,59	4,31	
		0,72/0,99	1	39	78		—		7,12	169		4,16	4,51	
$\frac{10,5; 7,4; 3,2}{30; 2,0}$	247	1,16/1,45	1	12	24	1—8	—	3-17, 3-159	7,95	151	0,64	2,3	4,33	44
		0,86/1,13	1	21	42		—		8,35	152		7,3	3,88	
		0,72/0,99	1	27	54		—		9,1	150		13,7	3,65	
		1,16/1,45	1	12	24		—		8,05	153		0,576	4,33	
		0,86/1,13	1	21	42		—		8,6	157		1,83	3,88	
		0,72/0,99	1	27	54		—		9,2	151		3,43	3,65	

4. Прокладка в лобовой части — микакартон толщиной 0,5 мм.

5. Клинь — стеклотекстолит марки СТ или текстолит марки Б.

6. Стержни и кольца короткозамкнутой обмотки ротора выполнены из алюминия марки А5.

7. Паз статора выполнен в соответствии с рис. 1-2, паз ротора соответствует рис. 1-3.

Основные обмоточно-расчетные данные электродвигателей единой серии А и АО

Тип электродвигателя		$P_2, \text{ кВт}$	$U, \text{ в}$	$I, \text{ а}$	$n, \text{ об/мин}$	$\eta, \%$	$\cos \varphi$	$\frac{I_{\text{пуск}}}{I_{\text{н}}}$	$\frac{M_{\text{пуск}}}{M_{\text{н}}}$	$\frac{M_{\text{макс}}}{M_{\text{н}}}$	Ст					
											$\frac{D_{a1}}{D_{i1}}$	$\frac{l_{t1}}{l_{t2}}$	δ	$B_{\delta, \text{ эс}}$	z_1	q_1
A71-8/4	$2p=8$	7	220	27,5	725	84,0	0,78	5,5	1,2	2,1	$\frac{368}{260}$	$\frac{100}{105}$	0,45	8 100	54	$2\frac{1}{4}$
			380	16,0										7 620		
			500	12,0										7 600		
	$2p=4$	10	220	33,0	1 460	86,0	0,92	6,5	1,2	2,1	$\frac{368}{260}$	$\frac{100}{105}$	0,45	5 800	54	$4\frac{1}{2}$
			380	19,0										5 460		
			500	14,5										5 430		
A72-8/4	$2p=8$	10	220	39,0	725	85,0	0,79	5,5	1,4	2,3	$\frac{368}{260}$	$\frac{135}{140}$	0,45	8 000	54	$2\frac{1}{4}$
			380	22,5										7 760		
			500	17,0										7 760		
	$2p=4$	14	220	46,0	1 460	87,0	0,92	6,5	1,5	2,5	$\frac{368}{260}$	$\frac{135}{140}$	0,45	5 730	54	$4\frac{1}{2}$
			380	27,0										5 580		
			500	20,5										5 580		
AO72-8/4	$2p=8$	7	220	28,2	725	85,0	0,77	7,5	1,6	2,4	$\frac{368}{260}$	$\frac{135}{140}$	0,45	7 560	54	$2\frac{1}{4}$
			380	16,2										7 300		
			500	12,4										7 410		
	$2p=4$	10	220	37,3	1 460	85,0	0,94	8,0	1,6	2,6	$\frac{368}{260}$	$\frac{135}{140}$	0,45	5 410	54	$4\frac{1}{2}$
			380	21,6										5 250		
			500	16,4										5 320		
AO73-8/4	$2p=8$	10	220	38,6	725	86,0	0,79	7,5	1,6	2,4	$\frac{368}{260}$	$\frac{185}{190}$	0,45	6 980	54	$2\frac{1}{4}$
			380	22,4										6 950		
			500	17,0										6 980		
	$2p=4$	14	220	45,5	1 460	86,0	0,94	8,0	1,6	2,6	$\frac{368}{260}$	$\frac{185}{190}$	0,45	5 000	54	$4\frac{1}{2}$
			380	26,3										5 000		
			500	20,0										5 230		

Примечания: 1. Обмотка статора в заводском исполнении двухслойная, выполнена: для электродвигателей типа А — проводом марки ПЭЛБО; для электродвигателей типа АО — проводом марки ПСД.

2. Изоляция паза статора в заводском исполнении выполнена: для электродвигателей с проводом ПЭЛБО — электрокартон ЭВ толщиной 0,2 мм; лакоткань ЛХС толщиной 0,2 мм; электрокартон ЭВ толщиной 0,2 мм или два слоя пленкоэлектрокартона толщиной по 0,3 мм; для электродвигателей с проводом ПСД: микакартон толщиной 0,4 мм; стеклолакоткань ЛСБ толщиной 0,2 мм, подклеенные.

3. Междуслойная прокладка в пазу в заводском исполнении выполнена: для электродвигателей с проводом ПЭЛБО — два слоя электрокартона ЭВ толщиной по 0,2 мм; лакоткань ЛХС толщиной 0,2 мм или два слоя пленко-

7-го габарита двухскоростных на 8/4 полюса

тор														Ротор
Размеры паза $b; b'; b''$ $h; e$	$Q_{s1'}$ $мм^2$	d/d'	m_1	w_{k1}	$n_{э1}$	y_1	a_1	Схема обмотки (рис. №)	j_1 , $а/мм^2$	AS_1 , $а/см$	$l_{m1'}$ $м$	r_1 , $ом$	G_1 , $кг$	z_2
$\frac{11,9; 8,7; 3,7}{29,8; 1,0}$	291	1,25/1,46	3	12	72	1—8	—	3-17, 3-159	4,32	252	0,62	0,636	14,04	63
		1,12/1,33	2	22	88				4,7	269		2,18	13,72	
		1,40/1,61	1	29	58				4,51	266		3,68	13,99	
		1,25/1,46	3	12	72				4,48	262		0,159	14,04	
		1,12/1,33	2	22	88				4,82	276		0,545	13,72	
		1,40/1,61	1	29	58				4,71	278		0,92	13,99	
$\frac{11,9; 8,7; 3,7}{29,8; 1,0}$	291	1,45/1,66	3	9	54	1—8	—	3-17, 3-159	4,55	268	0,69	0,396	15,72	63
		1,30/1,51	2	16	64				4,9	274		1,31	14,88	
		1,12/1,33	2	21	84				4,99	272		2,32	14,58	
		1,45/1,66	3	9	54				4,64	274		0,099	15,72	
		1,30/1,51	2	16	64				5,09	285		0,328	14,88	
		1,12/1,33	2	21	84				5,2	284		0,58	14,58	
$\frac{11,9; 8,7; 3,7}{29,8; 1,0}$	291	1,35/1,64	3	9 и 10	57	1—8	—	3-17, 3-159	3,8	204	0,69	0,48	14,94	63
		1,20/1,49	2	17	68				4,13	210		1,64	14,04	
		1,56/1,86	1	22	44				3,75	208		2,51	15,1	
		1,35/1,64	3	9 и 10	57				4,34	234		0,12	14,94	
		1,20/1,49	2	17	68				4,77	242		0,41	14,04	
		1,56/1,86	1	22	44				4,3	239		0,628	15,1	
$\frac{11,9; 8,7; 3,7}{29,8; 1,0}$	291	1,56/1,86	3	7 и 8	45	1—8	—	3-17, 3-159	3,89	221	0,79	0,324	17,88	63
		1,45/1,74	2	13	52				3,92	222		0,984	17,58	
		1,25/1,54	2	17	68				4,0	220		1,73	17,39	
		1,56/1,86	3	7 и 8	45				3,96	225		0,081	17,88	
		1,45/1,74	2	13	52				3,98	226		0,246	17,58	
		1,25/1,54	2	17	68				4,08	224		0,432	17,39	

электрокартона толщиной по 0,3 мм; для электродвигателей с проводом ПСД — микакартон толщиной 0,4 мм и стеклолакоткань ЛСБ толщиной 0,2 мм, склеенные вместе.

4. Прокладка в лобовой части: для электродвигателей с проводом ПЭЛБО — электрокартон ЭВ толщиной 0,2 мм и лакоткань ЛХС толщиной 0,2 мм, склеенные вместе; для электродвигателей с проводом ПСД — микакартон толщиной 0,5 мм.

5. Клинья для электродвигателей с проводом ПЭЛБО — дерево твердой породы пропитанное, для электродвигателей с проводом ПСД — стеклотекстолит марки СТ или текстолит марки Б.

6. Стержни и кольца короткозамкнутой обмотки ротора выполнены из алюминия марки А5.

7. Паз статора выполнен в соответствии с рис. 1-2, паз ротора соответствует рис. 1-3.

Основные обмоточно-расчетные данные электродвигателей

Тип электродвигателя		$P_2, \text{ кВт}$	$U, \text{ в}$	$I, \text{ а}$	$n, \text{ об/мин}$	$\eta, \%$	$\cos \varphi$	$\frac{I_{\text{пуск}}}{I_{\text{н}}}$	$\frac{M_{\text{пуск}}}{M_{\text{н}}}$	$\frac{M_{\text{макс}}}{M_{\text{н}}}$	Ст											
											$\frac{D_{a1}}{D_{t1}}$	$\frac{l_{t1}}{l_{t2}}$	δ	$B_{\delta, \text{ эс}}$	z_1	q_1						
A71-12/6	$2p=12$	4,5	220	24,0	475	77,0	0,64	4,0	1,1	1,7	$\frac{368}{260}$	$\frac{100}{105}$	0,45	7 390	54	$1\frac{1}{2}$						
			380	14,0										7 400								
			500	10,5										7 370								
	$2p=6$	7	220	25,0	950	84,0	0,88	5,0	1,1	1,8				5 370								
			380	14,4										5 390								
			500	11,0										5 370								
	$2p=12$	6,5	220	32,5	475	79,0	0,64	4,0	1,1	1,7				7 380								
			380	19,5										7 400								
			500	14,9										7 450								
A72-12/6	$2p=6$	10	220	35,2	960	85,0	0,88	5,0	1,1	2,0	$\frac{368}{260}$	$\frac{135}{140}$	0,45	5 370	54	3						
			380	20,3										5 390								
			500	15,5										5 430								
	$2p=12$	4,5	220	23,7	475	78,0	0,64	4,0	1,3	2,1				7 030								
			380	13,7										6 800								
			500	10,5										6 780								
	АО72-12/6	$2p=6$	7	220	25,0	960	84,0	0,88	5,5	1,3				2,1			$\frac{368}{260}$	$\frac{135}{140}$	0,45	5 100	54	3
				380	14,4															4 950		
				500	11,0															4 930		
$2p=12$		6,5	220	32,9	475	80,0	0,65	4,0	1,3	2,1	6 900											
			380	19,0							6 850											
			500	14,5							6 760											
АО73-12/6		$2p=6$	10	220	34,7	960	85,0	0,89	5,5	1,3	2,3	$\frac{368}{260}$	$\frac{185}{190}$	0,45	5 050	54				3		
				380	20,5										5 040							
				500	15,3										4 960							

Примечания: 1. Обмотка статора в заводском исполнении двухслойная, выполнена: для электродвигателей типа А — проводом марки ПЭЛБО; для электродвигателей типа АО — проводом марки ПСД.

2. Изоляция паза статора в заводском исполнении выполнена: для электродвигателей с проводом ПЭЛБО — электрокартон ЭВ толщиной 0,2 мм; лакоткань ЛХС толщиной 0,2 мм; электрокартон ЭВ толщиной 0,2 мм или два слоя пленкоэлектрокартона толщиной по 0,3 мм; для электродвигателей с проводом ПСД — микакартон толщиной 0,4 мм, стеклолакоткань ЛСБ толщиной 0,2 мм, подклеенные.

3. Междуслойная прокладка в пазу в заводском исполнении выполнена: для электродвигателей с проводом ПЭЛБО — два слоя электрокартона ЭВ толщиной по 0,2 мм, лакоткань ЛХС толщиной 0,2 мм или два слоя пленко-

единой серии А и АО 7-го габарита двухскоростных на 12/6 полюса

тор															Ротор
Размеры паза $b; b'; b''$ $h; e$	$Q_{\partial 1},$ $мм^2$	d/d'	m_1	$w_{к1}$	$n_{\partial 1}$	y_1	a_1	Схема обмотки (рис. №)	$j_1,$ $a/мм^2$	$AS_1,$ $a/см$	$l_{m1},$ $м$	$r_1,$ $ом$	$G_1,$ $кг$	z_1	
$\frac{11,9; 8,7; 3,7}{29,8; 1,0}$	291	1,25/1,46	2	18	72	1—6	—	3-19, 3-163	5,65	330	0,54	1,24	12,23	63	
		1,40/1,61	1	31	62				—	5,27		332	3,44		12,95
		1,16/1,37	1	41	82				—	5,75		329	6,60		11,88
		1,25/1,46	2	18	72				—	5,10		297	0,31		12,23
		1,40/1,61	1	31	62				—	4,68		295	0,86		12,95
		1,16/1,37	1	41	82				—	5,2		298	1,65		11,88
$\frac{11,9; 8,7; 3,7}{29,8; 1,0}$	291	1,20/1,41	1	40	80	1—6	3	3-20, 3-164 3-19, 3-163	5,54	332	0,61	0,755	14,05	63	
		1,62/1,83	1	23	46		—		5,46	342		2,16	14,21		
		1,40/1,61	1	30	60		—		5,6	342		3,72	14,21		
		1,20/1,41	1	40	80		3		5,18	310		0,189	14,05		
		1,62/1,83	1	23	46		—		4,93	308		0,54	14,21		
		1,40/1,61	1	30	60		—		5,04	307		0,93	14,21		
$\frac{11,9; 8,7; 3,7}{29,8; 1,0}$	291	1,40/1,69	2	14	56	1—6	—	3-19, 3-163	4,45	254	0,61	0,875	13,5	63	
		1,50/1,80	1	25	50				—	4,46		262	2,72		14,0
		1,25/1,54	1	33	66				—	4,95		265	5,16		12,95
		1,40/1,69	2	14	56				—	4,06		231	0,219		13,5
		1,50/1,80	1	25	50				—	4,08		238	0,68		14,0
		1,25/1,54	1	33	66				—	4,49		240	1,29		12,95
$\frac{11,9; 8,7; 3,7}{29,8; 1,0}$	291	1,30/1,59	1	31	62	1—6	3	3-20, 3-164 3-19, 3-163	4,77	260	0,71	0,524	15,3	63	
		1,20/1,49	2	18	72		—		4,85	261		1,8	15,3		
		1,56/1,86	1	24	48		—		4,37	266		2,8	16,9		
		1,30/1,59	1	31	62		3		4,36	237		0,131	15,3		
		1,20/1,49	2	18	72		—		4,53	244		0,45	15,3		
		1,56/1,86	1	24	48		—		4,00	242		0,70	16,9		

электрокартона толщиной по 0,3 мм; для электродвигателей с проводом ПСД — микакартон толщиной 0,4 мм и стеклолакоткань ЛСБ толщиной 0,2 мм, склеенные вместе.

4. Прокладка в лобовой части: для электродвигателей с проводом ПЭЛБО — электрокартон ЭВ толщиной 0,2 мм и локоткань ЛХС толщиной 0,2 мм, склеенные вместе; для электродвигателей с проводом ПСД — микакартон толщиной 0,5 мм.

5. Клинья для электродвигателей с проводом ПЭЛБО — дерево твердой породы пропитанное, для электродвигателей с проводом ПСД — стеклотекстолит марки СТ или текстолит марки Б.

6. Стержни и кольца короткозамкнутой обмотки ротора выполнены из алюминия марки А5.

7. Паз статора выполнен в соответствии с рис. 1-2, паз ротора соответствует рис. 1-3.

Основные обмоточно-расчетные данные электродвигателей

Тип электродвигателя	$P_2, \text{ кВт}$	$U, \text{ в}$	$I, \text{ а}$	$n, \text{ об/мин}$	$\eta, \%$	$\cos \varphi$	$\frac{I_{\text{пуск}}}{I_{\text{н}}}$	$\frac{M_{\text{пуск}}}{M_{\text{н}}}$	$\frac{M_{\text{макс}}}{M_{\text{н}}}$	Ст					
										$\frac{D_{a1}}{D_{i1}}$	$\frac{l_{t1}}{l_{t2}}$	δ	$B_{\delta, \text{ гс}}$	z_1	q_1
A71-8/6/4	1-я обмотка	$2p=8$	5	220	21,6	76,0	0,80	4,5	1,5	2,0				7 550	$2\frac{1}{4}$
				380	12,5										
				500	9,5										
		$2p=4$	7	220	24,8										
				380	14,3										
				500	10,9										
	2-я обмотка	$2p=6$	6,5	220	23,9	81,5	0,88	5,0	1,5	2,2	$\frac{368}{260}$	$\frac{100}{105}$	0,45	5 850	54
				380	13,8										
				500	10,5										
		$2p=8$	7	220	28,6										
				380	16,5										
				500	12,6										
A72-8/6/4	1-я обмотка	$2p=4$	10	220	34,8	82,0	0,92	6,5	1,4	2,3	$\frac{368}{260}$	$\frac{135}{140}$	0,45	5 270	54
				380	20,1										
				500	15,3										
		$2p=6$	9	220	32,5										
				380	18,8										
				500	14,3										
	2-я обмотка	$2p=6$	9	220	32,5	82,5	0,88	6,0	1,5	2,2				5 830	3
				380	18,8										
				500	14,3										
		$2p=8$	7	220	28,6										
				380	16,5										
				500	12,6										

Примечания: 1. Обмотка статора в заводском исполнении двухслойная, выполнена проводом марки ПЭЛБО.
 2. Изоляция паза статора в заводском исполнении: электрокартон ЭВ толщиной 0,2 мм; лакоткань ЛХС толщиной 0,2 мм; электрокартон ЭВ толщиной 0,2 мм или два слоя пленкоэлектрокартона толщиной по 0,3 мм.
 3. Междуслойная прокладка в пазу в заводском исполнении: два слоя электрокартона ЭВ толщиной по 0,2 мм; лакоткань ЛХС толщиной 0,2 мм или два слоя пленкоэлектрокартона толщиной по 0,3 мм.

единой серии А 7-го габарита трехскоростных на 8/6/4 полюса

тор														Ротор
Размеры паза $b; b'; b''$ $h; e$	$Q_{s1},$ $мм^2$	d/d'	m_1	$w_{к1}$	$n_{э1}$	y_1	a_1	Схема обмотки (рис. №)	$j_1,$ $а/мм^2$	$AS_1,$ $а/см$	$l_{m1},$ $м$	$r_1, ом$	$G_1, кг$	z_2
$\frac{11,9; 8,7; 3,7}{29,8; 1,0}$	291	1,5/1,71	1	13	26	—	—	3-17, 3-158	7,07	215	0,69	1,36	6,84	63
		1,04/1,25	1	24	48	—	—		8,5	229		5,24	6,18	
		0,93/1,11	1	31	62	—	—		8,1	225		8,55	6,3	
		1,5/1,71	1	13	26	1—7	—		7,02	213		0,34	6,84	
		1,04/1,25	1	24	48	—	—		8,44	226		1,31	6,18	
		0,93/1,11	1	31	62	—	—		8,04	223		2,14	6,3	
		1,45/1,66	2	6	24	—	—	3-6, 3-83	7,23	189	0,63	0,362	6,85	
		1,56/1,77	1	10 и 11	21	1—8	—		7,21	192		1,092	6,48	
		1,35/1,56	1	14	28	—	—		7,33	194		1,95	6,48	
		1,2/1,41	2	10	40	—	—		7,3	218		0,95	7,68	
$\frac{11,9; 8,7; 3,7}{29,8; 1,0}$	291	1,3/1,15	1	17	34	—	—	3-17, 3-159	7,2	214	0,68	2,74	7,92	63
		1,12/1,33	1	22	44	—	—		7,4	212		4,78	7,68	
		1,2/1,41	2	10	40	1—8	—		7,7	230		0,237	7,68	
		1,3/1,51	1	17	34	—	—		7,59	228		0,692	7,92	
		1,12/1,33	1	22	44	—	—		7,77	222		1,36	7,68	
		1,35/1,56	3	5	30	—	—	3-6, 3-83	7,55	214	0,7	0,25	7,92	
		1,3/1,51	2	8	32	1—8	—		7,1	199		0,621	7,92	
		1,12/1,33	2	10	40	—	—		7,26	189		1,11	7,38	

4. Прокладка в лобовой части — электрокартон ЭВ толщиной 0,2 мм и лакоткань ЛХС толщиной 0,2 мм, склеенные вместе.

5. Клины — дерево твердой породы пропитанное.

6. Стержни и кольца короткозамкнутой обмотки ротора выполнены из сплава АЛ2 с 4% меди.

7. Паз статора выполнен в соответствии с рис. 1-2, паз ротора соответствует рис. 1-3.

Основные обмоточно-расчетные данные электродвигателей

Тип электродвигателя			$P_2, \text{ кВт}$	$U, \text{ в}$	$I, \text{ а}$	$n_{\text{об/мин}}$	$\eta, \%$	$\cos \varphi$	$\frac{I_{\text{пуск}}}{I_{\text{н}}}$	$\frac{M_{\text{пуск}}}{M_{\text{н}}}$	$\frac{M_{\text{макс}}}{M_{\text{н}}}$	Стр					
												$\frac{D_{a1}}{D_{t1}}$	$\frac{l_{t1}}{l_{t2}}$	δ	$B_{\delta, \text{ зс}}$	z_1	q_1
АО72-8/6/4	1-я об-мотка	$2p=8$	5	220	21,0	715	79,0	0,79	5,5	1,2	2,2	$\frac{368}{260}$	$\frac{135}{140}$	0,45	6 000	54	$2\frac{1}{4}$
				380	12,2										6 200		
				500	9,3										6 300		
		$2p=4$	7	220	24,8	1 430	80,5	0,92	7,0	1,0	2,2				3 920		
				380	14,3										4 450		
				500	11,0										4 500		
	2-я об-мотка	$2p=6$	6,5	220	23,6	960	82,0	0,88	5,5	1,3	2,2				5 830	54	3
				380	13,7										5 620		
				500	10,5										5 540		
		$2p=8$	7	220	28,0	715	82,0	0,80	6,5	1,2	2,2				5 820		
				380	16,2										6 040		
				500	12,3										6 250		
АО73-8/6/4	1-я об-мотка	$2p=4$	10	220	34,5	1 430	82,5	0,92	7,0	1,0	2,2	$\frac{368}{260}$	$\frac{185}{190}$	0,45	4 170	54	$4\frac{1}{2}$
				380	20,0										4 330		
				500	15,0										4 490		
		$2p=6$	9	220	31,6	960	84,0	0,89	6,5	1,3	2,2				5 300		
				380	18,3										5 270		
				500	13,9										5 360		
	2-я об-мотка	$2p=8$	7	220	28,0	715	82,0	0,80	6,5	1,2	2,2				5 820	54	$2\frac{1}{4}$
				380	16,2										6 040		
				500	12,3										6 250		
		$2p=6$	6,5	220	23,6	960	82,0	0,88	5,5	1,3	2,2				5 830		
				380	13,7										5 620		
				500	10,5										5 540		

Примечания: 1. Обмотка статора в заводском исполнении двухслойная, выполнена проводом марки ПСД.
 2. Изоляция паза статора в заводском исполнении — микакартон толщиной 0,4 мм и стеклолакоткань ЛСБ толщиной 0,2 мм, подклеенные.
 3. Междуслойная прокладка в пазу в заводском исполнении — микакартон толщиной 0,4 мм и стеклолакоткань ЛСБ толщиной 0,2 мм, склеенные вместе.

единой серии АО 7-го габарита трехскоростных на 8/6/4 полюса

тор														Ротор	
Размеры паза $b; b'; b''$ $h; e$	$Q_{s1},$ $мм^2$	d/d'	m_1	$w_{к1}$	$n_{э1}$	y_1	a_1	Схема обмотки (рис. №)	$j_1,$ $a/мм^2$	$AS_1,$ $a/см$	$l_{m1},$ $м$	$r_1, ом$	$G_1, кг$	z_2	
$\frac{11,9; 8,7; 3,7}{29,8; 1,0}$	291	1,5/1,80	1	12	24		—	3-17, 3-159	6,85	192		1,45	7,56	63	
		1,12/1,41	1	20	40		—		7,15	187		4,34	7,14		
		0,96/1,23	1	26	52		—		7,41	184		7,8	6,84		
		1,50/1,80	1	12	24	1—8	—		7,03	196	0,68	0,362	7,56		
		1,12/1,41	1	20	40		—		7,25	189		1,085	7,14		
		0,96/1,23	1	26	52		—		7,6	189		1,95	6,84		
		1,56/1,86	2	5	20		—	3-6, 3-83	6,17	156		0,289	7,38		
		1,16/1,45	2	9	36	1—8	—		6,5	168	0,70	0,938	7,2		
		1,45/1,74	1	12	24		—		8,35	166		1,61	7,38		
		1,16/1,45	2	9	36		—		7,65	193		1,05	7,86		
		1,25/1,54	1	15	30		—		7,64	185		3,01	7,5		
		1,12/1,41	1	19	38	1—8	—		3-17, 3-159	7,21	178	0,78	4,72		7,8
$\frac{11,9; 8,7; 3,7}{29,8; 1,0}$	291	1,16/1,45	2	9	36		—	3-6, 3-83	8,16	205		0,262	7,86	63	
		1,25/1,54	1	15	30		—		8,15	198		0,752	7,5		
		1,12/1,41	1	19	38		—		7,61	188		1,18	7,8		
		1,45/1,74	3	4	24		—		6,37	167		0,204	8,82		
		1,35/1,64	2	7	28	1—8	—		6,39	169	0,8	0,62	8,64		
		1,16/1,45	2	9	36		—		6,58	165		1,07	8,28		

4. Прокладка в лобовой части — микакартон толщиной 0,5 мм.
5. Клин — стеклотекстолит марки СТ или текстолит марки Б.
6. Стержни и кольца короткозамкнутой обмотки ротора выполнены из алюминия марки А5.
7. Паз статора выполнен в соответствии с рис. 1-2, паз ротора соответствует рис. 1-3.

Основные обмоточно-расчетные данные электродвигателей единой серии А

Тип электродвигателя			P_2 , квт	U , в	I , а	n об/мин	η , %	$\cos \varphi$	$\frac{I_{пуск}}{I_H}$	$\frac{M_{пуск}}{M_H}$	$\frac{M_{макс}}{M_H}$	Ст						
												$\frac{D_{a1}}{D_{i1}}$	$\frac{l_{t1}}{l_{t2}}$	δ	B_{δ} , гс	z_1	q_1	
A71-12/8/6/4	1-я об-мотка	$2p=12$	3	220	17,4	465	68,5	0,66	4,0	1,6	2,0	$\frac{368}{260}$	$\frac{100}{105}$	0,45	6 980	54	$1\frac{1}{2}$	
				380	10,1										7 150			
				500	7,7										7 150			
		$2p=6$	5	220	18,4	930	78,0	0,91	5,0	1,3	2,0				5 080			
				380	10,7										5 220			
				500	8,1										5 220			
	2-я об-мотка	$2p=8$	4	220	19,1	710	74,0	0,74	5,0	1,3	2,3				7 450	$2\frac{1}{4}$		
				380	11,1										7 600			
				500	8,4										7 580			
		$2p=4$	6,5	220	23,0	1 420	79,0	0,92	5,5	1,0	2,0				5 330			
				380	13,8										5 450		$4\frac{1}{2}$	
				500	10,3										5 430			
A72-12/8/6/4	1-я об-мотка	$2p=12$	4	220	22,4	465	71,0	0,66	4,0	1,6	2,0	$\frac{368}{260}$	$\frac{135}{140}$	0,45	7 020	54	$1\frac{1}{2}$	
				380	13,0										7 070			
				500	9,9										7 200			
		$2p=6$	7	220	25,1	930	80,5	0,91	5,0	1,5	2,2				5 110			
				380	14,6										5 180			3
				500	11,1										5 250			
	2-я об-мотка	$2p=8$	6	220	27,7	710	77,0	0,74	5,0	1,3	2,3				8 000	$2\frac{1}{4}$		
				380	16,0										7 760			
				500	12,2										7 760			
		$2p=4$	9	220	31,8	1 420	81,0	0,92	5,5	1,2	2,2				5 730			
				380	18,4										5 590		$4\frac{1}{2}$	
				500	14,0										5 590			

Примечания: 1. Обмотка статора в заводском исполнении двухслойная, выполнена проводом марки ПЭЛБО.
 2. Изоляция паза статора в заводском исполнении: электрокартон ЭВ толщиной 0,2 мм; лакоткань ЛХС толщиной 0,2 мм; электрокартон ЭВ толщиной 0,2 мм или два слоя пленкоэлектрокартона толщиной по 0,3 мм.
 3. Междуслойная прокладка в пазу в заводском исполнении: два слоя электрокартона ЭВ толщиной 0,2 мм, лакоткань ЛХС толщиной 0,2 мм или два слоя пленкоэлектрокартона толщиной по 0,3 мм.

7-го габарита четырехскоростных на 12/8/6/4 полюса

тор														Ротор
Размеры паза $b; b'; b''$ $h; e$	$Q_{s1},$ $мм^2$	d/d'	m_1	ω_{x1}	$n_{\theta 1}$	y_1	a_1	Схема обмотки (рис. №)	$j_1,$ $a/мм^2$	$AS_1,$ $a/см$	$l_{m1},$ $м$	$r_1, ом$	$G_1, кг$	z_2
$\frac{11,9; 8,7; 3,7}{29,8; 1,0}$	291	1,30/1,51	1	19	38		—	3-19, 3-163	7,58	252	0,53	2,39	6,84	63
		1,0/1,21	1	32	64		—		7,45	248		6,82	6,84	
		0,86/1,04	1	42	84	1—6	—		7,65	247		12,1	7,56	
		1,30/1,51	1	19	38		—		6,95	231		0,598	6,84	
		1,0/1,21	1	32	64		—		6,81	226		1,71	6,84	
		0,86/1,04	1	42	84		—		6,96	225		3,02	7,56	
		1,35/1,56	1	13	26		—	3-17, 3-159	7,7	189	0,63	1,81	5,94	
		1,0/1,21	1	22	44		—		8,19	187		5,58	5,52	
		0,86/1,04	1	29	58		—		8,35	186		9,93	5,4	
		1,35/1,56	1	13	26	1—8	—		8,03	197		0,453	5,94	
		1,0/1,21	1	22	44		—		8,66	198		1,4	5,52	
		0,86/1,04	1	29	58		—		8,85	197		2,48	5,4	
		1,56/1,77	1	14	28		—	3-19, 3-163	6,76	240	0,6	1,39	8,1	
		1,16/1,37	1	24	48		—		7,1	238		4,28	7,74	
		1,0/1,21	1	31	62	1—6	—		7,3	234		7,48	7,56	
		1,56/1,77	1	14	28		—		6,55	232		0,348	8,1	
		1,16/1,37	1	24	48		—		6,9	232		1,07	7,74	
		1,0/1,21	1	31	62		—		7,07	227		1,87	7,56	
$\frac{11,9; 8,7; 3,7}{29,8; 1,0}$	291	1,12/1,33	2	9	36		—	3-17, 3-159	8,12	190	0,7	1,0	6,3	63
		1,20/1,41	1	16	32		—		8,16	196		3,14	6,48	
		1,04/1,25	1	21	42	1—8	—		8,3	196		5,46	6,36	
		1,12/1,33	2	9	36		—		8,06	189		0,25	6,3	
		1,20/1,41	1	16	32		—		8,12	195		0,785	6,48	
		1,04/1,25	1	21	42		—		8,25	194		1,36	6,36	

4. Прокладка в лобовой части — электрокартон ЭВ толщиной 0,2 мм и лакоткань ЛХС толщиной 0,2 мм, склеенные вместе.

5. Клинь — дерево твердой породы пропитанное.

6. Стержни и кольца короткозамкнутой обмотки ротора выполнены из сплава АЛ2 с 4% меди.

7. Паз статора выполнен в соответствии с рис. 1-2, паз ротора соответствует рис. 1-3.

Основные обмоточно-расчетные данные электродвигателей единой

Тип электродвигателя			P_2 , квт	U_1 , в	I , а	n , об/мин	η , %	$\cos \varphi$	$\frac{I_{пуск}}{I_H}$	$\frac{M_{пуск}}{M_H}$	$\frac{M_{макс}}{M_H}$	Стр					
												$\frac{D_{a1}}{D_{t1}}$	$\frac{l_{t1}}{l_{t2}}$	δ	B_{δ} , гс	z_1	q_1
АО72-12/8/6/4	1-я об- мотка	$2p=12$	3	220	18,2	475	72,0	0,60	5,0	1,5	2,3	$\frac{368}{260}$	$\frac{135}{140}$	0,45	6 550		$1\frac{1}{2}$
				380	10,5										6 520		
				500	8,0										6 560		
		$2p=6$	5	220	18,0	940	81,0	0,90	6,0	1,3	2,3				4 760	54	3
				380	10,5										4 760		
				500	8,0										4 790		
	2-я об- мотка	$2p=8$	4	220	20,7	720	76,0	0,67	6,0	1,2	2,3				7 180		$2\frac{1}{4}$
				380	12,0										7 300		
				500	9,1										7 400		
		$2p=4$	6,5	220	23,7	1 440	79,0	0,91	6,5	1,0	2,5				5 150		
				380	13,7										5 260		
				500	10,5										5 330		
АО73-12/8/6/4	1-я об- мотка	$2p=12$	4	220	23,7	475	74,0	0,60	5,5	1,5	2,3	$\frac{368}{260}$	$\frac{185}{190}$	0,45	5 970		$1\frac{1}{2}$
				380	13,7										6 180		
				500	10,5										6 260		
		$2p=6$	7	220	24,6	940	83,0	0,90	6,0	1,2	2,3				4 350		
				380	14,2										4 510		
				500	10,8										4 570		
	2-я об- мотка	$2p=8$	6	220	29,4	720	79,0	0,68	6,0	1,2	2,6				6 550	54	$2\frac{1}{4}$
				380	17,0										6 940		
				500	13,0										6 980		
		$2p=4$	9	220	32,0	1 440	81,0	0,91	6,5	1,0	2,5				4 700		
				380	18,5										5 000		
				500	14,1										5 030		

Примечания: 1. Обмотка статора в заводском исполнении двухслойная, выполнена проводом марки ПСД.
 2. Изоляция паза статора в заводском исполнении — микакартон толщиной 0,4 мм, стеклолакоткань ЛСБ толщиной 0,2 мм, подклеенные.
 3. Междуслойная прокладка в пазу в заводском исполнении — микакартон толщиной 0,4 мм и стеклолакоткань ЛСБ толщиной 0,2 мм, склеенные вместе.

серии АО 7-го габарита четырехскоростных на 12/8/6/4 полюса

тор														Ротор
Размеры паза $b; b'; b''$ $h; e$	$Q_{s1},$ $мм^2$	d/d'	m_1	w_{x1}	$n_{\theta 1}$	y_1	a_1	Схема обмотки (рис. №)	$j_1,$ $а/мм^2$	$AS_1,$ $а/см$	$l_{m1},$ $м$	$r_1, ом$	$G_1, кг$	z_1
$\frac{11,9; 8,7; 3,7}{29,8; 1,0}$	291	1,45/1,74	1	15	30	—	—	3-19, 3-163	6,35	208	—	1,72	7,74	63
		1,04/1,33	1	26	52	—	—		7,15	208	—	5,8	7,04	
		0,93/1,20	1	34	68	1—6	—		6,8	208	0,6	9,56	6,84	
		1,45/1,74	1	15	30	—	—		5,44	178	—	0,43	7,74	
		1,04/1,33	1	26	52	—	—		6,19	180	—	1,45	7,04	
		0,93/1,20	1	34	68	—	—		5,9	180	—	2,39	6,84	
		1,50/1,80	1	10	20	—	—	3-17, 3-159	6,8	158	—	1,24	6,48	
		1,08/1,37	1	17	34	—	—		7,59	156	—	4,08	5,82	
		0,96/1,23	1	22	44	1—8	—		7,25	152	0,7	6,71	5,94	
		1,50/1,80	1	10	20	—	—		6,71	156	—	0,31	6,48	
		1,08/1,37	1	17	34	—	—		7,48	154	—	1,02	5,82	
		0,96/1,23	1	22	44	—	—		7,25	153	—	1,68	5,94	
$\frac{11,9; 8,7; 3,7}{29,8; 1,0}$	291	1,08/1,37	2	12	48	—	—	3-19, 3-163	7,47	217	—	1,44	8,1	63
		1,25/1,54	1	20	40	—	—		6,45	209	—	3,6	9,0	
		1,04/1,33	1	26	52	1—6	—		7,15	208	0,7	6,76	8,28	
		1,08/1,37	2	12	48	—	—		6,71	195	—	0,36	8,1	
		1,25/1,54	1	20	40	—	—		5,79	188	—	0,9	9,0	
		1,04/1,33	1	26	52	—	—		5,36	185	—	1,69	8,28	
		1,12/1,41	2	8	32	—	—	3-17, 3-159	8,63	180	—	1,02	6,78	
		1,25/1,54	1	13	26	—	—		8,0	169	—	2,67	6,72	
		1,08/1,37	1	17	34	1—8	—		8,19	168	0,8	4,67	6,6	
		1,12/1,41	2	8	32	—	—		8,12	169	—	0,255	6,78	
		1,25/1,54	1	13	26	—	—		7,54	159	—	0,668	6,72	
		1,08/1,37	1	17	34	—	—		7,7	158	—	1,165	6,6	

4. Прокладка в лобовой части — микакартон толщиной 0,5 мм.

5. Клинь — стеклотекстолит марки СТ или текстолит марки Б.

6. Стержни и кольца короткозамкнутой обмотки ротора выполнены из алюминия марки А5.

7. Паз статора выполнен в соответствии с рис. 1-2, паз ротора соответствует рис. 1-3.

Основные обмоточно-расчетные данные электродвигателей единой

Тип электродвигателя		P_2 , квт	U , в	I , а	n , об/мин	η , %	$\cos \varphi$	$\frac{I_{пуск}}{I_H}$	$\frac{M_{пуск}}{M_H}$	$\frac{M_{макс}}{M_H}$	Стр					
											$\frac{D_{a1}}{D_{i1}}$	$\frac{l_{t1}}{l_{t2}}$	δ	B_{δ} , гс	z_1	q_1
А81-8/4	$2p=8$	14	220	54,2	730	86,0	0,79	5,5	1,4	2,3	$\frac{423}{300}$	$\frac{130}{135}$	0,55	8 140	72	3
			380	31,4										8 020		
			500	23,8										7 910		
	$2p=4$	20	220	64,0	1 470	88,0	0,92	6,5	1,5	2,5				5 900		
			380	37,5										5 870		
			500	28,5										5 760		
А82-8/4	$2p=8$	20	220	75,4	730	87,0	0,80	5,5	1,4	2,3	$\frac{423}{300}$	$\frac{180}{185}$	0,55	7 400	72	3
			380	43,7										7 600		
			500	33,2										7 600		
	$2p=4$	28	220	90,0	1 470	89,0	0,92	6,5	1,5	2,5				5 400		
			380	52,0										5 550		
			500	40,0										5 550		
АО82-8/4	$2p=8$	14	220	53,0	730	87,0	0,80	7,5	1,6	2,4	$\frac{423}{300}$	$\frac{180}{185}$	0,55	7 030	72	3
			380	30,5										7 150		
			500	23,2										7 260		
	$2p=4$	20	220	64,2	1 470	87,0	0,94	8,0	1,6	2,6				5 130		
			380	37,2										5 220		
			500	28,3										5 300		
АО83-8/4	$2p=8$	20	220	74,5	730	88,0	0,80	7,5	1,6	2,4	$\frac{423}{300}$	$\frac{250}{255}$	0,55	7 240	72	3
			380	43,0										7 300		
			500	32,8										7 200		
	$2p=4$	28	220	89,0	1 470	88,0	0,94	8,0	1,6	2,6				5 280		
			380	51,5										5 350		
			500	39,2										5 260		

Примечания: 1. Обмотка статора в заводском исполнении двухслойная, выполнена: для электродвигателей типа А — проводом марки ПЭЛБО; для электродвигателей типа АО — проводом марки ПСД.

2. Изоляция паза статора в заводском исполнении выполнена: для электродвигателей с проводом ПЭЛБО — электрокартон ЭВ толщиной 0,2 мм; лакоткань ЛХС толщиной 0,2 мм; электрокартон ЭВ толщиной 0,2 мм или два слоя пленкоэлектрокартона толщиной по 0,3 мм; для электродвигателей с проводом ПСД — микакартон толщиной 0,4 мм, стеклолакоткань ЛСБ толщиной 0,2 мм, подклеенные.

3. Междуслойная прокладка в пазу в заводском исполнении выполнена: для электродвигателей с проводом ПЭЛБО — два слоя электрокартона ЭВ толщиной по 0,2 мм; лакоткань ЛХС толщиной 0,2 мм или два слоя пленкоэлектрокартона толщиной по 0,3 мм; для электродвигателей с проводом ПСД — микакартон толщиной 0,4 мм и

серии А и АО 8-го габарита двухскоростных на 8/4 полюса

тор															Ротор
Размеры паза $b; b'; b''$ $h; e$	$Q_{s1},$ $мм^2$	d/d'	m_1	$w_{к1}$	$n_{э1}$	y_1	a_1	Схема обмотки (рис. №)	$j_1,$ $а/мм^2$	$AS_1,$ $а/см$	$l_{m1},$ $м$	$r_1, ом$	$G_1,$ $кз$	z_1	
$\frac{10,0; 7,35; 3,2}{32,8; 1,0}$	271	1,45/1,66	2	12	48	1—10	2	3-18, 3-161	4,75	288	0,77	0,294	20,6	56	
		1,56/1,77	1	21	42		2		4,75	292		0,89	20,6		
		1,35/1,56	1	28	56		2		4,8	295		1,59	20,75		
		1,45/1,66	2	12	48		2		4,85	294		0,0735	20,6		
		1,56/1,77	1	21	42		2		4,9	302		0,22	20,6		
		1,35/1,56	1	28	56		2		4,97	305		0,397	20,75		
$\frac{10,0; 7,35; 3,2}{32,8; 1,0}$	271	1,68/1,89	2	9 и 10	38	1—10	2	3-18, 3-161	4,92	316	0,87	0,196	24,5	56	
		1,30/1,51	2	16	64		2		4,77	310		0,55	25,0		
		1,62/1,83	1	21	42		2		4,65	308		0,93	25,2		
		1,68/1,89	2	9 и 10	38		2		5,06	327		0,049	24,5		
		1,30/1,51	2	16	64		2		4,9	318		0,137	25,0		
		1,62/1,83	1	21	42		2		4,85	322		0,232	25,2		
$\frac{10,0; 7,35; 3,2}{32,8; 1,0}$	271	1,62/1,92	4	5	40	1—10	—	3-17, 3-160	3,71	234	0,87	0,222	25,4	56	
		1,74/2,05	2	9 и 8	34		—		3,7	229		0,656	24,4		
		1,50/1,80	2	11	44		—		3,8	226		1,135	23,5		
		1,62/1,92	4	5	40		—		3,9	246		0,0555	25,4		
		1,74/2,05	2	9 и 8	34		—		3,9	242		0,164	24,4		
		1,50/1,80	2	11	44		—		4,0	238		0,283	23,5		
$\frac{10,0; 7,35; 3,2}{32,8; 1,0}$	271	1,56/1,86	3	7	42	1—10	2	3-18, 3-161	3,75	230	1,01	0,130	28,3	56	
		1,45/1,74	4	6	48		—		3,75	228		0,386	28,1		
		1,45/1,74	3	8	48		—		3,84	232		0,687	28,1		
		1,56/1,86	3	7	42		2		3,88	238		0,0325	28,3		
		1,45/1,74	4	6	48		—		3,9	236		0,096	28,1		
		1,45/1,74	3	8	48		—		3,96	240		0,172	28,1		

стеклолакоткань ЛСБ толщиной 0,2 мм, склеенные вместе.

4. Прокладка в лобовой части: для электродвигателей с проводом ПЭЛБО — электрокартон ЭВ толщиной 0,2 мм и лакоткань ЛХС толщиной 0,2 мм, склеенные вместе; для электродвигателей с проводом ПСД — микакартон толщиной 0,5 мм.

5. Клинья для электродвигателей с проводом ПЭЛБО — дерево твердой породы пропитанное; для электродвигателей с проводом ПСД — стеклотекстолит марки СТ или текстолит марки Б.

6. Стержни и кольца короткозамкнутой обмотки ротора выполнены из алюминия марки А5.

7. Паз статора выполнен в соответствии с рис. 1-2, паз ротора соответствует рис. 1-3.

Основные обмоточно-расчетные данные электродвигателей

Тип электродвигателя		$P_2, \text{кВт}$	$U, \text{В}$	$I, \text{А}$	$n, \text{об/мин}$	$\eta, \%$	$\cos \varphi$	$\frac{I_{\text{пуск}}}{I_{\text{н}}}$	$\frac{M_{\text{пуск}}}{M_{\text{н}}}$	$\frac{M_{\text{макс}}}{M_{\text{н}}}$	Ст					
											$\frac{D_{\text{эл}}}{D_{\text{и1}}}$	$\frac{l_{\text{т1}}}{l_{\text{т2}}}$	δ	$B_{\delta, \text{гс}}$	z_1	q_1
А81-12/6	$2p=12$	9	220	45,6	480	81,0	0,64	4,0	1,1	1,8	$\frac{423}{300}$	$\frac{130}{135}$	0,55	7 550	72	2
			380	27,4										7 810		
			500	20,0										7 700		
	$2p=6$	14	220	48,7	970	86,0	0,88	5,0	1,2	2,0	$\frac{423}{300}$	$\frac{130}{135}$	0,55	5 850	72	4
			380	28,0										6 070		
			500	21,4										5 990		
А82-12/6	$2p=12$	12,5	220	62,2	480	82,5	0,64	4,0	1,1	1,9	$\frac{423}{300}$	$\frac{180}{185}$	0,55	8 200	72	2
			380	36,0										7 700		
			500	27,4										7 980		
	$2p=6$	20	220	68,8	970	87,0	0,88	5,0	1,2	2,2	$\frac{423}{300}$	$\frac{180}{185}$	0,55	6 350	72	4
			380	39,7										6 000		
			500	30,2										6 200		
АО82-12/6	$2p=12$	9	220	44,5	480	82,0	0,65	4,5	1,4	2,1	$\frac{423}{300}$	$\frac{180}{185}$	0,55	7 000	72	2
			380	25,7										7 050		
			500	19,5										6 950		
	$2p=6$	14	220	48,0	970	86,0	0,89	6,5	1,4	2,5	$\frac{423}{300}$	$\frac{180}{185}$	0,55	5 450	72	4
			380	27,8										5 520		
			500	21,2										5 430		
АО83-12/6	$2p=12$	12,5	220	61,0	480	83,0	0,65	4,5	1,4	2,1	$\frac{423}{300}$	$\frac{250}{255}$	0,55	7 050	72	2
			380	35,2										6 780		
			500	26,8										6 690		
	$2p=6$	20	220	68,0	970	87,0	0,89	6,5	1,4	2,5	$\frac{423}{300}$	$\frac{250}{255}$	0,55	5 500	72	4
			380	39,2										5 300		
			500	30,0										5 200		

Примечания: 1. Обмотка статора в заводском исполнении двухслойная, выполнена: для электродвигателей типа А — проводом марки ПЭЛБО; для электродвигателей типа АО — проводом марки ПСД.

2. Изоляция паза статора в заводском исполнении выполнена: для электродвигателей с проводом ПЭЛБО — электрокартон ЭВ толщиной 0,2 мм; лакоткань ЛХС толщиной 0,2 мм; электрокартон ЭВ толщиной 0,2 мм или два слоя пленкоэлектрокартона толщиной по 0,3 мм; для электродвигателей с проводом ПСД — микакартон толщиной 0,4 мм, стеклолакоткань ЛСБ толщиной 0,2 мм, подклеенные.

3. Междуслойная прокладка в пазу в заводском исполнении выполнена: для электродвигателей с проводом ПЭЛБО — два слоя электрокартона ЭВ толщиной 0,2 мм, лакоткань ЛХС толщиной 0,2 мм или два слоя пленкоэлек-

единой серии А и АО 8-го габарита двухскоростных на 12/6 полюсов

тор														Ротор
Размеры паза $b; b'; b''$ $h; e$	$Q_{s1},$ $мм^2$	d/d'	m_1	w_{x1}	$n_{\Sigma 1}$	y_1	a_1	Схема обмотки (рис. №)	$j_1,$ $а/мм^2$	$AS_1,$ $а/см$	$l_{m1},$ $м$	$r_1, ом$	$G_1, кг$	z_2
$\frac{10,0; 7,35; 3,2}{32,8; 1,0}$	271	1,45/1,66	3	9	54	1—7	—	3-19, 3-166	5,52	378	0,66	0,504	20,5	56
		1,35/1,56	2	15	60				5,51	362		1,45	19,45	
		1,68/1,89	1	20	40				5,2	354		2,5	19,8	
		1,45/1,66	3	9	54				4,92	335		0,126	20,5	
		1,35/1,56	2	15	60				4,89	322		0,362	19,45	
		1,68/1,89	1	20	40				4,82	328		0,625	19,8	
		1,68/1,89	3	6	36				5,4	330		0,287	21,25	
$\frac{10,0; 7,35; 3,2}{32,8; 1,0}$	271	1,56/1,77	2	11	44	1—7	—	3-19, 3-166	5,45	350	0,76	0,92	21,95	56
		1,35/1,56	2	14	56				5,51	339		1,55	20,9	
		1,68/1,89	3	6	36				5,16	316		0,072	21,25	
		1,56/1,77	2	11	44				5,18	334		0,23	21,95	
		1,35/1,56	2	14	56				5,26	324		0,388	20,9	
		1,50/1,80	3	7	42				4,87	275		0,426	20,3	
		1,40/1,69	2	12	48				4,83	273		1,27	19,8	
$\frac{10,0; 7,35; 3,2}{32,8; 1,0}$	271	1,74/2,05	1	16	32	1—7	—	3-19, 3-166	4,85	277	0,76	2,18	20,0	56
		1,50/1,80	3	7	42				4,53	257		0,107	20,3	
		1,40/1,69	2	12	48				4,52	255		0,317	19,8	
		1,74/2,05	1	16	32				4,45	260		0,545	20,0	
		1,56/1,86	4	5	40				4,6	270		0,25	24,65	
		1,30/1,59	3	9	54				5,12	281		0,804	23,0	
		1,40/1,69	2	12	48				5,04	285	0,9	1,49	23,4	56
$\frac{10,0; 7,35; 3,2}{32,8; 1,0}$	271	1,56/1,86	4	5	40	1—7	—	3-19, 3-166	4,45	260		0,062	24,65	
		1,30/1,59	3	9	54				4,93	270		0,201	23,0	
		1,40/1,69	2	12	48				4,88	275		0,373	23,4	

трокартона толщиной по 0,3 мм; для электродвигателей с проводом ПСД — микакартон толщиной 0,4 мм и стеклолакоткань ЛСБ толщиной 0,2 мм, склеенные вместе.

4. Прокладка в лобовой части для электродвигателей с проводом ПЭЛБО — электрокартон ЭВ толщиной 0,2 мм и лакоткань ЛХС толщиной 0,2 мм, склеенные вместе. Для электродвигателей с проводом ПСД — микакартон толщиной 0,5 мм.

5. Клин для электродвигателей с проводом ПЭЛБО — дерево твердой породы пропитанное, для электродвигателей с проводом ПСД — стеклотекстолит марки СТ или текстолит марки Б.

6. Стержни и кольца короткозамкнутой обмотки ротора выполнены из алюминия марки А5.

7. Паз статора выполнен в соответствии с рис. 1-2, паз ротора соответствует рис. 1-3.

Основные обмоточно-расчетные данные электродвигателей единой

Тип электродвигателя			$P_2, \text{ кВт}$	$U, \text{ в}$	$I, \text{ а}$	$n, \text{ об/мин}$	$\eta, \%$	$\cos \varphi$	$\frac{I_{\text{пуск}}}{I_{\text{н}}}$	$\frac{M_{\text{пуск}}}{M_{\text{н}}}$	$\frac{M_{\text{макс}}}{M_{\text{н}}}$	Стр								
												$\frac{D_{a1}}{D_{i1}}$	$\frac{l_{t1}}{l_{t2}}$	δ	$B_{\delta, \text{ эс}}$	z_1	q_1			
A81-8/6/4	1-я об-мотка	$2p=8$	10,0	220	40,0	710	80,0	0,82	4,5	1,5	2,2	$\frac{423}{300}$	$\frac{130}{135}$	0,55	6 950	72	6			
				380	23,2										7 000					
				500	17,6										6 900					
		$2p=4$	14,0	220	48,5	1 430	82,5	0,92	5,5	1,4	2,3				5 060					
				380	28,0										5 130					
				500	21,3										5 050					
	2-я об-мотка	$2p=6$	12,5	220	45,0	960	83,0	0,88	5,0	1,5	2,2				6 420	72	4			
				380	26,0										6 680					
				500	19,8										6 280					
		1-я об-мотка	$2p=8$	14,0	220	55,3	710	81,0	0,82	4,5	1,5				2,2			7 020	72	3
					380	32,0												6 750		
					500	24,3												6 660		
2-я об-мотка	$2p=4$		20,0	220	69,0	1 430	83,0	0,92	5,5	1,4	2,3	$\frac{423}{300}$	$\frac{180}{185}$	0,55	5 130	72	6			
				380	39,8							4 920								
				500	30,3							4 840								
	1-я об-мотка	$2p=8$	14,0	220	64,5	960	83,5	0,88	5,0	1,5	2,2	6 000	72	4						
				380	37,2							6 040								
				500	28,4							5 960								

Примечания: 1. Обмотка статора в заводском исполнении двухслойная, выполнена проводом марки ПЭЛБО.
 2. Изоляция паза статора в заводском исполнении: электрокартон ЭВ толщиной 0,2 мм; лакоткань ЛХС толщиной 0,2 мм; электрокартон ЭВ толщиной 0,2 мм или два слоя пленкоэлектрокартона толщиной по 0,3 мм.
 3. Междуслойная прокладка в пазу в заводском исполнении — два слоя электрокартона ЭВ толщиной по 0,2 мм, лакоткань ЛХС толщиной 0,2 мм или два слоя пленкоэлектрокартона толщиной по 0,3 мм.

серии А 8-го габарита трехскоростных на 8/6/4 полюса

тор														Ротор
Размеры паза $b; b'; b''$ $h; e$	$Q_{с1},$ $мм^2$	d/d'	m_1	$w_{к1}$	$n_{\theta 1}$	y_1	a_1	Схема обмотки (рис. №)	$j_1,$ $a/мм^2$	$AS_1,$ $a/см$	$l_{m1},$ $м$	$r_1, ом$	$G_1, кг$	z_2
$\frac{10,0; 7,35; 3,2}{32,8; 1,0}$	271	1,35/1,56	2	7	28	1—10	—	3-17, 3-160	8,1	250	0,74	0,76	10,2	56
		1,45/1,66	1	12	24		—		8,1	246		2,27	9,9	
		1,25/1,46	1	16	32		—		8,3	249		4,05	9,85	
		1,35/1,56	2	7	28		—		8,45	260		0,191	10,2	
		1,45/1,66	1	12	24	1—11	—	3-8, 3-100	8,46	257	0,83	0,567	9,9	
		1,25/1,46	1	16	32		—		8,69	260		1,02	9,85	
		1,74/1,95	1	9	18		3		6,3	207		0,146	12,08	
		1,68/1,89	2	5	20		—		5,85	199		0,392	12,78	
		1,45/1,66	2	7	28	1—10	—	3-6, 3-96	5,99	212	0,84	0,74	13,14	
		1,62/1,83	2	5	20		—		7,76	245		0,428	11,89	
1,68/1,89	1	9	18	—	8,34		255		1,435	11,28				
1,45/1,66	1	12	24	—	8,47		258		2,58	11,28				
$\frac{10,0; 7,35; 3,2}{32,8; 1,0}$	271	1,62/1,83	2	5	20	1—10	—	3-17, 3-160	8,36	264	0,93	0,107	11,89	56
		1,68/1,89	1	9	18		—		8,95	274		0,358	11,28	
		1,45/1,66	1	12	24		—		9,17	278		0,642	11,28	
		1,4/1,61	2	7	28	3	7,0	230	0,098	13,68				
		1,5/1,71	1	12	24	1—11	3	3-8, 3-100	7,02	228		0,296	13,31	
1,3/1,51	1	16	32	3	7,14		232		0,524	13,31				

4. Прокладка в лобовой части — электрокартон ЭВ толщиной 0,2 мм и лакоткань ЛХС толщиной 0,2 мм, склеенные вместе.
 5. Клины — дерево твердой породы пропитанное.
 6. Стержни и кольца короткозамкнутой обмотки ротора — выполнены из сплава АЛ2 с 4% меди.
 7. Паз статора выполнен в соответствии с рис. 1-2, паз ротора соответствует рис. 1-3.

Основные обмоточно-расчетные данные электродвигателей

Тип электродвигателя			$P_2, \text{ кВт}$	$U, \text{ в}$	$I, \text{ а}$	$n, \text{ об/мин}$	$\eta, \%$	$\cos \varphi$	$\frac{I_{\text{пуск}}}{I_{\text{н}}}$	$\frac{M_{\text{пуск}}}{M_{\text{н}}}$	$\frac{M_{\text{макс}}}{M_{\text{н}}}$	Стр								
												$\frac{D_{a1}}{D_{t1}}$	$\frac{l_{t1}}{l_{t2}}$	δ	$B_{\delta, \text{ эс}}$	z_1	q_1			
АО82-8/6/4	1-я об-мотка	$2p=8$	10	220	39,0	720	84,0	0,80	7,0	1,5	2,4	$\frac{423}{300}$	$\frac{180}{185}$	0,55	7 020	72	6			
				380	22,6										6 750			3		
				500	17,2										6 660					
		$2p=4$	14	220	48,0	1 450	83,0	0,92	7,5	1,4	2,5				5 130					
				380	28,0										4 940					
				500	21,2										4 840					
	2-я об-мотка	$2p=6$	12,5	220	43,0	970	85,0	0,90	6,5	1,3	2,4				5 220	72	4			
				380	24,8										5 170					
				500	19,0										5 280					
		1-я об-мотка	$2p=8$	14	220	54,0	720	85,0	0,80	7,0	1,5				2,4			6 340	72	3
					380	31,3												6 250		
					500	23,8												6 410		
2-я об-мотка	$2p=4$		20	220	68,0	1 450	84,5	0,92	8,0	1,4	2,5	4 600	72	6						
				380	39,0							4 560								
				500	30,0							4 670								
	2-я об-мотка	$2p=6$	18	220	61,0	970	86,0	0,90	6,5	1,3	2,5	5 000			72	4				
				380	35,4							5 200								
				500	27,0							5 260								

Примечания: 1. Обмотка статора в заводском исполнении двухслойная, выполнена проводом марки ПСД.
 2. Изоляция паза статора в заводском исполнении — микакартон толщиной 0,4 мм, стеклолакоткань ЛСБ толщиной 0,2 мм, подклеенные.
 3. Междуслойная прокладка в пазу в заводском исполнении — микакартон толщиной 0,4 мм и стеклолакоткань ЛСБ толщиной 0,2 мм, склеенные вместе.

единой серии АО 8-го габарита трехскоростных на 8/6/4 полюса

тор														Ротор
Размеры паза $b; b'; b''$ $h; e$	$Q_{s1},$ $мм^2$	d/d'	m_1	$\omega_{ж1}$	$n_{з1}$	y_1	a_1	Схема обмотки (рис. №)	$j_1,$ $а/мм^2$	$AS_1,$ $а/см$	$l_{m1},$ $м$	$r_1, ом$	$G_1, кг$	z_1
$\frac{10,0; 7,35; 3,2}{32,8; 1,0}$	271	1,50/1,80	2	5	20		—	3-17, 3-160	6,39	173	0,84	0,5	10,55	56
		1,62/1,92	1	9	18		—		6,34	180		1,54	10,8	
		1,40/1,69	1	12	24		—		6,46	183		2,76	10,8	
						1—10								
		1,50/1,80	2	5	20		—		6,8	184		0,125	10,55	
		1,62/1,92	1	9	18		—		6,8	193		0,385	10,8	
		1,40/1,69	1	12	24		—		6,9	195		0,69	10,8	
								3-8, 3-100			0,93			
		1,74/2,05	1	8	16		3		6,02	176		0,145	12,33	
		1,35/1,64	1	14	28	1—11	3		5,77	177		0,425	13,05	
$\frac{10,0; 7,35; 3,2}{32,8; 1,0}$	271	1,45/1,74	2	6	24		—	3-6, 3-96	5,75	175	0,98	0,71	13,15	56
		1,74/2,05	2	4	16		—		6,58	192		0,347	13,1	
		1,35/1,64	2	7	28		—		6,31	194		1,01	13,8	
		1,68/1,99	1	9	18		—		6,2	190		1,67	13,55	
						1—10		3-17, 3-160						
		1,74/2,05	2	4	16		—		7,15	208		0,087	13,1	
		1,35/1,64	2	7	28		—		6,82	209		0,253	13,8	
		1,68/1,99	1	9	18		—		6,75	207		0,417	13,55	
											1,07			
		1,45/1,74	2	6	24		3		6,15	187		0,09	15,12	
		1,56/1,86	1	10	20	1—11	3	3-8, 3-100	6,16	180		0,262	14,21	
		1,36/1,64	1	13	26		3		6,28	179		0,455	14,05	

4. Прокладка в лобовой части — микакартон толщиной 0,5 мм.
5. Клин — стеклотекстолит марки СТ или текстолит марки Б.
6. Стержни и кольца короткозамкнутой обмотки ротора выполнены из алюминия марки А5.
7. Паз статора выполнен в соответствии с рис. 1-2, паз ротора соответствует рис. 1-3.

Основные обмоточно-расчетные данные электродвигателей единой серии А

Тип электродвигателя			$P_2, \text{ кВт}$	$U, \text{ в}$	$I, \text{ а}$	$n, \text{ об/мин}$	$\eta, \%$	$\cos \varphi$	$\frac{I_{\text{пуск}}}{I_{\text{н}}}$	$\frac{M_{\text{пуск}}}{M_{\text{н}}}$	$\frac{M_{\text{макс}}}{M_{\text{н}}}$	Ст					
												$\frac{D_{a1}}{D_{i1}}$	$\frac{l_{t1}}{l_{t2}}$	δ	$B_{\delta, \text{ эс}}$	z_1	q_1
A81-12/8/6/4	1-я об-мотка	$2p=12$	6,0	220	32,2	470	74,5	0,66	4,0	1,6	2,0	$\frac{423}{300}$	$\frac{130}{135}$	0,55	7 550	72	2
				380	18,6										7 330		
				500	14,1										7 330		
		$2p=6$	10,0	220	34,5	950	82,5	0,91	5,0	1,5	2,3				5 860		4
				380	20,0										5 710		
				500	15,0										5 710		
	2-я об-мотка	$2p=8$	8,5	220	37,0	715	79,5	0,76	5,0	1,3	2,3				7 500	72	3
				380	21,4										7 660		
				500	16,2										7 640		
		$2p=4$	12,5	220	43,3	1 440	82,5	0,92	5,5	1,2	2,3				5 460		6
				380	25,0										5 600		
				500	19,0										5 560		
A82-12/8/6/4	1-я об-мотка	$2p=12$	8,0	220	41,0	470	77,5	0,66	4,0	1,6	2,0	$\frac{423}{300}$	$\frac{180}{185}$	0,55	7 020	72	2
				380	23,8										7 080		
				500	18,0										6 960		
		$2p=6$	14,0	220	48,0	950	84,0	0,91	5,5	1,5	2,3				5 430		4
				380	27,5										5 500		
				500	21,0										5 410		
	2-я об-мотка	$2p=8$	11,0	220	47,0	715	81,0	0,76	5,0	1,3	2,3				7 020	72	3
				380	27,2										7 140		
				500	20,6										7 250		
		$2p=4$	18,0	220	61,6	1 440	83,5	0,92	5,5	1,2	2,3				5 130		6
				380	35,6										5 230		
				500	27,2										5 300		

Примечания: 1. Обмотка статора в заводском исполнении двухслойная, выполнена проводом марки ПЭЛБО.
 2. Изоляция паза статора в заводском исполнении: электрокартон ЭВ толщиной 0,2 мм; лакоткань ЛХС толщиной 0,2 мм; электрокартон ЭВ толщиной 0,2 мм или два слоя пленкоэлектрокартона толщиной по 0,3 мм.
 3. Междуслойная прокладка в пазу в заводском исполнении — два слоя электрокартона ЭВ толщиной по 0,2 мм, лакоткань ЛХС толщиной 0,2 мм или два слоя пленкоэлектрокартона толщиной по 0,3 мм.

8-го габарита четырехскоростных на 12/8/6/4 полюса

тор														Ротор
Размеры паза $b; b'; b''$ $h; e$	$Q_{s1},$ $мм^2$	d/d'	m_1	$\omega_{к1}$	$n_{э1}$	y_1	a_1	Схема обмотки (рис. №)	$j_1,$ $a/мм^2$	$AS_1,$ $a/см$	$l_{m1},$ $м$	$r_1, ом$	$G_1, кг$	z_2
$\frac{10,0; 7,35; 3,2}{32,8; 1,0}$	271	1,30/1,51	2	9	36	1—7	—	3-19, 3-166	7,0	256	0,63	0,895	10,43	56
		1,40/1,61	1	16	32				7,0	264*		2,74	10,61	
		1,20/1,41	1	21	42				7,2	262		4,94	10,05	
		1,30/1,51	2	9	36				6,52	238		0,224	10,43	
		1,40/1,61	1	16	32				6,5	245		0,685	10,61	
		1,20/1,41	1	21	42				6,61	241		1,23	10,05	
		1,30/1,51	2	6 и 7	26				8,06	213		0,82	9,48	
		1,40/1,61	1	11	22	1—10	—	3-17, 3-160	8,06	209	0,8	2,42	9,12	
		1,20/1,41	1	14 и 15	29				8,27	208		4,34	8,88	
		1,30/1,51	2	6 и 7	26				8,15	215		0,205	9,48	
		1,40/1,61	1	11	22				8,14	210		0,6	9,12	
		1,20/1,41	1	14 и 15	29				8,4	210		1,08	8,88	
		1,5/1,71	2	7	28				6,74	254		0,604	12,4	
		1,62/1,83	1	12	24				6,68	253		1,77	12,2	
		1,4/1,61	1	16	32	1—7	—	3-19, 3-166	6,76	255	0,73	3,19	12,2	
1,5/1,71	2	7	28	6,8	257				0,151	12,4				
1,62/1,83	1	12	24	6,66	252				0,444	12,2				
1,4/1,61	1	16	32	6,83	257				0,798	12,2				
1,45/1,66	2	5	20	8,23	208				0,574	10,2				
1,56/1,77	1	8 и 9	17	8,21	204				1,69	9,85				
1,35/1,56	1	11	22	1—10	—				3-17, 3-160	8,3		200	0,9	2,92
1,45/1,66	2	5	20			9,31	236	0,143		10,2				
1,56/1,77	1	8 и 9	17			9,3	232	0,422		9,85				
1,35/1,56	1	11	22			9,5	229	0,73		9,6				

4. Прокладка в лобовой части — электрокартон ЭВ толщиной 0,2 мм и лакоткань ЛХС толщиной 0,2 мм, склеенные вместе.

5. Клинь — дерево твердой породы пропитанное.

6. Стержни и кольца короткозамкнутой обмотки ротора выполнены из сплава АЛ2 с 4% меди.

7. Паз статора выполнен в соответствии с рис. 1-2, паз ротора соответствует рис. 1-3.

Основные обмоточно-расчетные данные электродвигателей единой серии АО

Тип электродвигателя			$P_2, \text{кВт}$	$U, \text{в}$	$I, \text{а}$	$n, \text{об/мин}$	$\eta, \%$	$\cos \varphi$	$\frac{I_{\text{пуск}}}{I_{\text{н}}}$	$\frac{M_{\text{пуск}}}{M_{\text{н}}}$	$\frac{M_{\text{макс}}}{M_{\text{н}}}$	Стр					
												$\frac{D_{a1}}{D_{i1}}$	$\frac{l_{t1}}{l_{t2}}$	δ	$B_{\delta, \text{гс}}$	z_1	q_1
АО82-12/8/6/4	1-я об- мотка	$2p=12$	6	220	34,0	480	77,0	0,60	5,5	1,5	2,5	$\frac{423}{300}$	$\frac{180}{185}$	0,55	6 140	72	2
				380	19,7										6 540		
				500	15,0										6 560		
		$2p=6$	10	220	34,3	960	85,0	0,90	7,0	1,3	2,5				4 750		
				380	20,0										5 070		
				500	15,0										5 090		
	2-я об- мотка	$2p=8$	8,5	220	40,5	725	81,0	0,68	6,0	1,2	2,6				7 020		
				380	23,5										6 750		
				500	18,0										6 650		
		$2p=4$	12,5	220	44,0	1 460	81,0	0,91	7,0	1,0	2,5				5 130		
				380	25,5										4 940		
				500	19,5										4 840		
АО83-12/8/6/4	1-я об- мотка	$2p=12$	8,5	220	47,0	480	79,0	0,60	5,5	1,5	2,6	$\frac{423}{300}$	$\frac{250}{255}$	0,55	6 900	72	2
				380	27,2										6 100		
				500	20,7										6 170		
		$2p=6$	14	220	47,5	960	86,0	0,90	8,0	1,3	2,5				4 560		
				380	27,5										4 750		
				500	21,0										4 800		
	2-я об- мотка	$2p=8$	11	220	52,0	725	82,0	0,68	7,0	1,2	2,8				6 320		
				380	30,0										6 240		
				500	22,8										6 380		
		$2p=4$	18	220	63,0	1 460	82,5	0,91	7,5	1,0	2,5				4 600		
				380	36,5										4 560		
				500	27,7										4 630		

Примечания: 1. Обмотка статора в заводском исполнении двухслойная, выполнена проводом марки ПСД.

2. Изоляция паза статора в заводском исполнении — микакартон толщиной 0,4 мм, стеклолакоткань ЛСБ толщиной 0,2 мм, подклеенные.

3. Междуслойная прокладка в пазу в заводском исполнении — микакартон толщиной 0,4 мм и стеклолакоткань ЛСБ толщиной 0,2 мм, склеенные вместе.

8-го габарита четырехскоростных на 12/8/6/4 полюса

тор															Ротор
Размеры паза $b; b'; b''$ $h; e$	$Q_{s1},$ $мм^2$	d/d'	m_1	$\omega_{к1}$	$n_{\Sigma 1}$	y_1	a_1	Схема обмотки (рис. №)	$j_1,$ $a/мм^2$	$AS_1,$ $a/см$	$l_{m1},$ $м$	$r_1, ом$	$G_1, кг$	z_2	
$\frac{10,0; 7,35; 3,2}{32,8; 1,0}$	271	1,40/1,69	2	8	32	1—7	—	3-19, 3-166	6,4	242	0,73	0,8	12,8	56	
		1,50/1,80	1	13	26		—		6,45	227		2,24	11,7		
		1,35/1,64	1	17	34		—		6,05	225		3,66	12,4		
		1,40/1,69	2	8	32		—		5,57	210		0,2	12,8		
		1,50/1,80	1	13	26		—		5,66	199		0,56	11,7		
		1,35/1,64	1	17	34		—		5,24	195		0,915	12,4		
		1,40/1,69	2	5	20		—		7,6	179		0,626	9,82		
		1,45/1,74	1	9	18	1—10	—	3-17, 3-160	8,23	187	0,9	2,1	9,35		
		1,25/1,54	1	12	24		—		8,5	191		3,78	9,35		
		1,40/1,69	2	5	20		—		7,15	168		0,157	9,82		
		1,45/1,74	1	9	18		—		7,73	175		0,525	9,35		
		1,25/1,54	1	12	24		—		7,92	179		0,945	9,35		
		1,56/1,86	2	6	24		—		7,1	250		0,576	14,18		
		1,68/1,99	1	10	20		—		7,06	240		1,65	13,4		
		1,50/1,80	1	13	26	1—7	—	3-19, 3-166	6,77	238	0,87	2,67	13,94		
1,56/1,86	2	6	24	—	6,2		218		0,144	14,18					
1,68/1,99	1	10	20	—	6,2		210		0,412	13,4					
1,50/1,80	1	13	26	—	5,95		209		0,667	13,94					
1,56/1,86	2	4	16	1—10	—		3-17, 3-160		7,85	184		1,04	0,465	11,27	
1,68/1,99	1	7	14		—				7,8	185			1,41	11,15	
1,50/1,80	1	9	18		—				7,48	182			2,26	11,5	
1,56/1,86	2	4	16		—	8,23		193	0,116	11,27					
1,68/1,99	1	7	14		—	8,21		195	0,352	11,15					
1,50/1,80	1	9	18		—	7,85		191	0,565	11,5					

4. Прокладка в лобовой части — микакартон толщиной 0,5 мм.

5. Клин — стеклотекстолит марки СТ или текстолит марки Б.

6. Стержни и кольца короткозамкнутой обмотки ротора выполнены из алюминия марки А5.

7. Паз статора выполнен в соответствии с рис. 1-2, паз ротора соответствует рис. 1-3.

Основные обмоточно-расчетные данные электродвигателей единой серии А и АО

Тип электродвигателя		$P_2, \text{квт}$	$U, \text{в}$	$I, \text{а}$	$n, \text{об/мин}$	$\eta, \%$	$\cos \varphi$	$\frac{I_{\text{пуск}}}{I_{\text{н}}}$	$\frac{M_{\text{пуск}}}{M_{\text{н}}}$	$\frac{M_{\text{макс}}}{M_{\text{н}}}$	Стр					
											$\frac{D_{a1}}{D_{i1}}$	$\frac{l_{t1}}{l_{t2}}$	δ	$B_{\delta, \text{гс}}$	z_1	q_1
А91-8/4	$2p=8$	28	220	104,0	730	88,0	0,80	6,0	1,4	2,3	$\frac{493}{350}$	$\frac{160}{165}$	0,6	8 040	72	3
			380	60,5										8 100		
			500	46,0										8 150		
	$2p=4$	40	220	128,0	1 470	89,0	0,92	6,5	1,5	2,5	$\frac{493}{350}$	$\frac{160}{165}$	0,6	5 850	72	6
			380	74,0										5 950		
			500	56,0										5 960		
А92-8/4	$2p=8$	40	220	147,0	730	89,0	0,80	6,0	1,4	2,3	$\frac{493}{350}$	$\frac{220}{225}$	0,6	8 270	72	3
			380	85,3										8 160		
			500	65,0										8 050		
	$2p=4$	55	220	174,0	1 470	90	0,92	6,5	1,5	2,5	$\frac{493}{350}$	$\frac{220}{225}$	0,6	6 020	72	6
			380	101,0										5 970		
			500	77,0										5 890		
АО93-8/4	$2p=8$	28	220	103,0	730	89,0	0,80	7,5	1,6	2,4	$\frac{493}{350}$	$\frac{250}{255}$	0,6	7 280	72	3
			380	60,0										7 510		
			500	45,5										7 610		
	$2p=4$	40	220	125,0	1 470	89,0	0,94	8,0	1,6	2,6	$\frac{493}{350}$	$\frac{250}{255}$	0,6	5 300	72	6
			380	73,0										5 510		
			500	55,3										5 570		
АО94-8/4	$2p=8$	40	220	147,0	730	89,0	0,80	7,5	1,6	2,4	$\frac{493}{350}$	$\frac{320}{325}$	0,6	7 580	72	3
			380	85,5										7 350		
			500	65,0										7 350		
	$2p=4$	55	220	172,0	1 470	89,5	0,94	8,0	1,6	2,6	$\frac{493}{350}$	$\frac{320}{325}$	0,6	5 530	72	6
			380	99,0										5 400		
			500	75,5										5 400		

Примечания: 1. Обмотка статора в заводском исполнении двухслойная, выполнена: для электродвигателей типа А — проводом марки ПЭЛБО, для электродвигателей типа АО — проводом марки ПСД.

2. Изоляция паза статора в заводском исполнении выполнена: для электродвигателей с проводом ПЭЛБО — электрокартон ЭВ толщиной 0,2 мм; лакоткань ЛХС толщиной 0,2 мм; электрокартон ЭВ толщиной 0,2 мм или два слоя пленкоэлектрокартона толщиной по 0,3 мм; для электродвигателей с проводом ПСД — микакартон толщиной 0,4 мм, стеклолакоткань ЛСБ толщиной 0,2 мм, подклеенные.

3. Междуслойная прокладка в пазу в заводском исполнении выполнена: для электродвигателей с проводом ПЭЛБО — два слоя электрокартона ЭВ толщиной по 0,2 мм; лакоткань ЛХС толщиной 0,2 мм или два слоя пленко-

9-го габарита двухскоростных на 8/4 полюса

тор															Ротор
Размеры паза $b; b'; b''$ $h; e$	$Q_{s1},$ $мм^2$	d/d'	m_1	w_{x1}	$n_{э1}$	y_1	a_1	Схема обмотки (рис. №)	$j_1,$ $а/мм^2$	$AS_1,$ $а/см$	$l_{m1},$ $м$	$r_1,$ $ом$	$G_1,$ $кг$	z_1	
11,5; 8,4; 3,7 38,0; 1,0	363	1,68/1,89	3	8 и 9	51	1—10	2	3-18, 3-161	4,51	334	0,92	0,123	35,25	56	
		1,56/1,77	2	14 и 15	58		2		4,57	332		0,368	34,4		
		1,40/1,61	2	19	76		2		4,33	331		0,600	36,2		
		1,68/1,89	3	8 и 9	51		2		4,8	356		0,308	35,25		
		1,56/1,77	2	14 и 15	58		2		4,83	352		0,092	34,4		
		1,40/1,61	2	19	76		2		4,55	348		0,150	36,2		
11,5; 8,4; 3,7 38,0; 1,0	363	1,56/1,77	5	6	60	1—10	2	3-18, 3-161	4,44	334	1,04	0,069	40,8	56	
		1,50/1,71	3	10 и 11	63		2		4,65	339		0,216	39,25		
		1,62/1,83	2	14	56		2		4,56	345		0,372	40,4		
		1,56/1,77	5	6	60		2		4,55	342		0,0172	40,8		
		1,50/1,71	3	10 и 11	63		2		4,76	348		0,054	39,25		
		1,62/1,83	2	14	56		2		4,67	353		0,093	40,4		
11,5; 8,4; 3,7 38,0; 1,0	363	1,50/1,80	5	6	60	1—10	2	3-18, 3-161	3,37	234	1,1	0,079	41,2	56	
		1,50/1,80	3	10	60		2		3,26	227		0,218	40,6		
		1,68/1,99	2	13	52		2		2,96	224		0,34	43,6		
		1,50/1,80	5	6	60		2		3,54	246		0,0197	41,2		
		1,50/1,80	3	10	60		2		3,45	240		0,0545	40,6		
		1,68/1,99	2	13	52		2		3,12	236		0,085	43,6		
11,5; 8,4; 3,7 38,0; 1,0	363	1,62/1,92	6	4 и 5	54	1—10	2	3-18, 3-161	3,44	250	1,24	0,0475	48,8	56	
		1,50/1,80	4	8	64		2		3,5	258		0,148	49,0		
		1,50/1,80	3	10 и 11	63		2		3,54	258		0,258	48,0		
		1,62/1,92	6	4 и 5	54		2		3,48	254		0,0119	48,8		
		1,50/1,80	4	8	64		2		3,5	260		0,037	49,0		
		1,50/1,80	3	10 и 11	63		2		3,56	260		0,0645	48,0		

электрокартона толщиной по 0,3 мм; для электродвигателей с проводом ПСД — микакартон толщиной 0,4 мм и стеклолакоткань ЛСБ толщиной 0,2 мм, склеенные вместе.

4. Прокладка в лобовой части для электродвигателей с проводом ПЭЛБО — электрокартон ЭВ толщиной 0,2 мм и лакоткань ЛХС толщиной 0,2 мм, склеенные вместе. Для электродвигателей с проводом ПСД — микакартон толщиной 0,5 мм.

5. Клинья для электродвигателей с проводом ПЭЛБО — дерево твердой породы пропитанное, для электродвигателей с проводом ПСД — стеклотекстолит марки СТ или текстолит марки Б.

6. Стержни и кольца короткозамкнутой обмотки ротора выполнены из алюминия марки А5.

7. Паз статора выполнен в соответствии с рис. 1-2, паз ротора соответствует рис. 1-3.

Основные обмоточно-расчетные данные электродвигателей единой серии А и АО

Тип электродвигателя		$P_2, \text{кВт}$	$U, \text{в}$	$I, \text{а}$	$n, \text{об/мин}$	$\eta, \%$	$\cos \varphi$	$\frac{I_{\text{пуск}}}{I_{\text{н}}}$	$\frac{M_{\text{пуск}}}{M_{\text{н}}}$	$\frac{M_{\text{макс}}}{M_{\text{н}}}$	Стр					
											$\frac{D_{a1}}{D_{i1}}$	$\frac{l_{t1}}{l_{t2}}$	δ	$B_{\delta, \text{гс}}$	z_1	q_1
А91-12/6	$2p=12$	18	220	88,0	485	84,0	0,64	4,0	1,1	1,9	$\frac{493}{350}$	$\frac{160}{165}$	0,6	7 940	72	2
			380	50,9										8 200		
			500	38,7										8 100		
	$2p=6$	28	220	95,0	975	88,0	0,88	6,0	1,2	2,2				6 120		
			380	55,0										6 360		
			500	41,8										6 290		
А92-12/6	$2p=12$	25	220	121,0	485	84,5	0,64	4,0	1,1	1,9	$\frac{493}{350}$	$\frac{220}{225}$	0,6	8 000	72	2
			380	70,2										8 150		
			500	53,5										8 150		
	$2p=6$	40	220	134,0	975	89,0	0,88	6,0	1,2	2,2				6 180		
			380	77,6										6 330		
			500	59,1										6 300		
АО93-12/6	$2p=12$	18	220	86,5	485	84,0	0,65	4,5	1,4	2,1	$\frac{493}{350}$	$\frac{250}{255}$	0,6	7 000	72	2
			380	50,0										7 160		
			500	38,2										7 160		
	$2p=6$	28	220	94,0	975	88,0	0,89	6,5	1,4	2,5				5 440		
			380	54,3										5 570		
			500	41,5										5 550		
АО94-12/6	$2p=12$	25	220	119,0	485	84,6	0,65	4,5	1,4	2,1	$\frac{493}{350}$	$\frac{320}{325}$	0,6	7 140	72	2
			380	69,0										7 260		
			500	52,5										7 370		
	$2p=6$	40	220	132,0	975	89,0	0,89	6,5	1,4	2,5				5 530		
			380	77,0										5 640		
			500	58,5										5 700		

Примечания: 1. Обмотка статора в заводском исполнении двухслойная, выполнена: для электродвигателей типа А проводом марки ПЭЛБО; для электродвигателей типа АО проводом марки ПСД.

2. Изоляция паза статора в заводском исполнении выполнена: для электродвигателей с проводом ПЭЛБО — электрокартон ЭВ толщиной 0,2 мм; лакоткань ЛХС толщиной 0,2 мм; электрокартон ЭВ толщиной 0,2 мм или два слоя пленкоэлектрокартона толщиной по 0,3 мм; для электродвигателей с проводом ПСД — микакартон толщиной 0,4 мм, стеклолакоткань ЛСБ толщиной 0,2 мм, подклеенные.

3. Междуслойная прокладка в пазу в заводском исполнении выполнена: для электродвигателей с проводом ПЭЛБО — два слоя электрокартона ЭВ толщиной по 0,2 мм; лакоткань ЛХС толщиной 0,2 мм или два слоя пленко-

9-го габарита двухскоростных на 12/6 полюсов

тор															Ротор
Размеры паза $b; b'; b''$ $h; e$	$Q_{s1},$ $мм^2$	d/d'	m_1	$\omega_{к1}$	$n_{\partial 1}$	y_1	a_1	Схема обмотки (рис. №)	$j_1,$ $a/мм^2$	$AS_1,$ $a/см$	$l_{m1},$ $м$	$r_1,$ $ом$	$G_1,$ $кз$	z_2	
$\frac{11,5; 8,4; 3,7}{38,0; 1,0}$	363	1,40/1,61	2	18	72	1—7	3	3-20, 3-167	5,52	400	0,76	0,208	28,6	56	
		1,56/1,77	1	30	60		3		5,12	386		0,558	29,2		
		1,35/1,56	1	40	80		3		5,21	392		0,993	29,25		
		1,40/1,61	2	18	72		3		5,15	374		0,052	28,6		
		1,56/1,77	1	30	60		3		4,8	360		0,14	29,2		
		1,35/1,56	1	40	80		3		4,86	365		0,248	29,25		
$\frac{11,5; 8,4; 3,7}{38,0; 1,0}$	363	1,35/1,56	3	13	78	1—7	3	3-20, 3-167	5,43	398	0,88	0,124	33,6	56	
		1,25/1,46	2	22	88		3		5,52	390		0,368	32,4		
		1,56/1,77	1	29	58		3		5,4	393		0,625	33,6		
		1,35/1,56	3	13	78		3		5,2	380		0,031	33,6		
		1,25/1,46	2	22	88		3		5,28	373		0,092	32,4		
		1,56/1,77	1	29	58		3		5,15	374		0,156	33,6		
$\frac{11,5; 8,4; 3,7}{38,0; 1,0}$	363	1,68/1,99	2	13	52	1—7	3	3-20, 3-167	3,75	284	0,94	0,129	37,8	56	
		1,20/1,49	2	22	88		3		4,25	278		0,43	33,0		
		1,56/1,86	1	29	58		3		3,85	280		0,667	36,0		
		1,68/1,99	2	13	52		3		3,52	267		0,032	37,8		
		1,20/1,49	2	22	88		3		4,0	260		0,107	33,0		
		1,56/1,86	1	29	58		3		3,62	263		0,167	36,0		
$\frac{11,5; 8,4; 3,7}{38,0; 1,0}$	363	1,50/1,80	3	10	60	1—7	3	3-20, 3-167	4,33	300	1,08	0,0955	40,5	56	
		1,45/1,74	2	17	68		3		4,02	296		0,26	42,5		
		1,20/1,49	2	22	88		3		4,48	292		0,492	38,0		
		1,50/1,80	3	10	60		3		4,15	288		0,0239	40,5		
		1,45/1,74	2	17	68		3		3,88	286		0,065	42,5		
		1,20/1,49	2	22	88		3		4,3	281		0,123	38,0		

электрокартона толщиной по 0,3 мм; для электродвигателей с проводом ПСД — микакартон толщиной 0,4 мм и стеклолакоткань ЛСБ толщиной 0,2 мм, склеенные вместе.

4. Прокладка в лобовой части для электродвигателей с проводом ПЭЛБО — электрокартон ЭВ толщиной 0,2 мм и лакоткань ЛХС толщиной 0,2 мм, склеенные вместе; для электродвигателей с проводом ПСД — микакартон толщиной 0,5 мм.

5. Клин для электродвигателей с проводом ПЭЛБО — дерево твердой породы пропитанное, для электродвигателей с проводом ПСД — стеклотекстолит марки СТ или текстолит марки Б.

6. Стержни и кольца короткозамкнутой обмотки ротора выполнены из алюминия марки А5.

7. Паз статора выполнен в соответствии с рис. 1-2, паз ротора соответствует рис. 1-3.

Основные обмоточно-расчетные данные электродвигателей единой серии А

Тип электродвигателя			$P_2,$ <i>квт</i>	$U, \text{ в}$	$I, \text{ а}$	$n,$ <i>об/мин</i>	$\eta, \%$	$\cos \varphi$	$\frac{I_{\text{пуск}}}{I_{\text{н}}}$	$\frac{M_{\text{пуск}}}{M_{\text{н}}}$	$\frac{M_{\text{макс}}}{M_{\text{н}}}$	Ста						
												$\frac{D_{a1}}{D_{i1}}$	$\frac{l_{t1}}{l_{t2}}$	δ	$B_{\delta},$ <i>зс</i>	z_1	q_1	
А91-8/6/4	1-я об- мотка	$2p=8$	20	220	78,6	710	81,5	0,82	4,0	1,5	2,2	$\frac{493}{350}$	$\frac{160}{165}$	0,6	7 570	72	6	
				380	44,5										7 350			3
				500	34,6										7 010			
		$2p=4$	28	220	95,8	1 430	83,5	0,92	5,5	1,4	2,3				5 530			
				380	55,4										5 390			
				500	42,2										5 150			
	2-я об- мотка	$2p=6$	25	220	89,0	960	84,0	0,88	5,0	1,5	2,2				6 730	4		
				380	51,5										6 380			
				500	38,2										6 840			
		$2p=8$	28	220	109,0	710	82,0	0,82	4,0	1,5	2,2				7 090			
				380	63,4										7 140		3	
				500	48,3										6 270			
А92-8/6/4	1-я об- мотка	$2p=4$	40	220	136,0	1 430	84,0	0,92	5,5	1,4	2,3	$\frac{493}{350}$	$\frac{220}{225}$	0,6	5 170	72	6	
				380	78,6										5 240			
				500	60,0										4 590			
		$2p=6$	36	220	127,0	960	84,5	0,88	5,0	1,5	2,2				5 900			
				380	73,5										6 380			4
				500	56,0										6 380			

Примечания: 1. Обмотка статора в заводском исполнении двухслойная, выполнена проводом марки ПЭЛБО.
 2. Изоляция паза статора в заводском исполнении: электрокартон ЭВ толщиной 0,2 мм; лакоткань ЛХС толщиной 0,2 мм; электрокартон ЭВ толщиной 0,2 мм или два слоя пленкоэлектрокартона толщиной по 0,3 мм.
 3. Междуслойная прокладка в пазу в заводском исполнении: два слоя электрокартона ЭВ толщиной по 0,2 мм; лакоткань ЛХС толщиной 0,2 мм или два слоя пленкоэлектрокартона толщиной по 0,3 мм.

9-го габарита трехскоростных на 8/6/4 полюса

тор														Ротор
Размеры паза $b; b'; b''$ $h; e$	$Q_{s1'}$ $мм^2$	d/d'	m_1	$\omega_{к1}$	$n_{э1}$	y_1	a_1	Схема обмотки (рис. №)	$j_1,$ $a/мм^2$	$AS_1,$ $a/см$	$l_{m1'}$ $м$	$r_1,$ $ом$	$G_1,$ $кг$	z_1
$\frac{11,5; 8,4; 3,7}{38,0; 1,0}$	363	1,40/1,61	4	4 и 5	36		—	3-17, 3-160	7,4	268		0,30	15,82	56
		1,50/1,71	2	8	32		—		7,28	270		0,82	16,1	
		1,25/1,46	2	11	44		—		8,15	288		1,61	15,7	
		1,40/1,61	4	4 и 5	36	1—10	—		7,8	282	0,86	0,075	15,82	
		1,50/1,71	2	8	32		—	3-8, 3-100	7,84	290		0,206	16,1	
		1,25/1,46	2	11	44		—		8,6	304		0,403	15,7	
		1,40/1,61	3	6	36		3		6,44	233		0,057	18,3	
		1,25/1,46	2	11	44	1—11	3		7,0	248	0,96	0,20	17,7	
		1,40/1,61	2	9	36		2	3-7, 3-98	6,21	225		0,294	18,15	
		1,62/1,83	4	3 и 4	28		—	7,65	289		0,175	19,43		
$\frac{11,5; 8,4; 3,7}{38,0; 1,0}$	363	1,40/1,61	3	6	36		—	3-17, 3-160	7,94	288		0,535	18,6	56
		1,50/1,71	2	9	36		—		7,93	329		0,93	21,0	
		1,62/1,83	4	3 и 4	28	1—10	—		8,25	312	0,98	0,044	19,43	
		1,40/1,61	3	6	36		—		8,52	309		0,134	18,6	
		1,50/1,71	2	9	36		—	3-8, 3-100	8,5	354		0,232	21,0	
		1,56/1,77	3	5	30		3		7,38	278		0,044	21,2	
		1,50/1,71	2	8	32	1—11	3		6,95	256	1,08	0,115	20,7	
1,62/1,83	2	7	28		2	3-7, 3-98	6,8	257		0,197	21,15			

4. Прокладка в лобовой части — электрокартон ЭВ толщиной 0,2 мм и лакоткань ЛХС толщиной 0,2 мм, склеенные вместе.

5. Клинь — дерево твердой породы пропитанное.

6. Стержни и кольца короткозамкнутой обмотки ротора выполнены из сплава АЛ2 с 4% меди.

7. Паз статора выполнен в соответствии с рис. 1-2, паз ротора соответствует рис. 1-3.

Основные обмоточно-расчетные данные электродвигателей единой серии АО

Тип электродвигателя			$P_2, \text{ кВт}$	$U, \text{ в}$	$I, \text{ а}$	$n, \text{ об/мин}$	$\eta, \%$	$\cos \varphi$	$\frac{I_{\text{пуск}}}{I_{\text{н}}}$	$\frac{M_{\text{пуск}}}{M_{\text{н}}}$	$\frac{M_{\text{макс}}}{M_{\text{н}}}$	Стр						
												$\frac{D_{a1}}{D_{i1}}$	$\frac{l_{t1}}{l_{t2}}$	δ	$B_{\delta, \text{ эс}}$	z_1	q_1	
АО93-8/6/4	1-я об-мотка	$2p=8$	20	220	77,0	730	85,0	0,80	7,0	1,5	2,4	$\frac{493}{350}$	$\frac{250}{255}$	0,6	7 290	72	6	
				380	45,0										6 850			
				500	34,0										7 100			
		$2p=4$	28	220	94,0	1 470	85,0	0,92	8,0	1,4	2,5				5 300			
				380	54,5										5 030			
				500	41,5										5 180			
	2-я об-мотка	$2p=6$	25	220	85,0	980	86,0	0,90	6,5	1,3	2,5				6 470	72	4	
				380	49,0										6 400			
				500	37,4										6 550			
		$2p=8$	28	220	108,0	730	85,0	0,80	7,0	1,5	2,4				6 810			
				380	62,5										6 540			3
				500	47,5										7 050			
АО94-8/6/4	1-я об-мотка	$2p=4$	40	220	133,0	1 470	85,5	0,92	8,0	1,4	2,5	$\frac{493}{350}$	$\frac{320}{325}$	0,6	4 970	72	6	
				380	77,5										4 800			
				500	59,0										5 150			
		$2p=6$	36	220	121,0	980	86,0	0,90	6,5	1,3	2,5				6 750			
				380	70,0										7 000			4
				500	53,5										6 570			

Примечания: 1. Обмотка статора в заводском исполнении двухслойная, выполнена проводом марки ПСД.
 2. Изоляция паза статора в заводском исполнении — микакартон толщиной 0,4 мм, стеклолакоткань ЛСБ толщиной 0,2 мм, подклеенные.
 3. Междуслойная прокладка в пазу в заводском исполнении — микакартон толщиной 0,4 мм и стеклолакоткань ЛСБ толщиной 0,2 мм, склеенные вместе.

9-го габарита трехскоростных на 8/6/4 полюса

тор															Ротор
Размеры паза $b; b'; b''$ $h; e$	$Q_{s1},$ $мм^2$	d/d'	m_1	$w_{к1}$	$n_{э1}$	y_1	a_1	Схема ОБМОТКИ (рис. №)	$j_1,$ $a/мм^2$	$AS_1,$ $a/см$	$l_{m1},$ $м$	$r_1,$ $ом$	$G_1,$ $кз$	z_1	
$\frac{11,5; 8,4; 3,7}{38,0; 1,0}$	363	1,68/1,99	4	3	24		—	3-17, 3-160	5,0	175		0,148	19,6	56	
		1,20/1,49	4	5 и 6	44		—		5,74	188		0,53	18,9		
		1,56/1,86	2	7	28		—		5,14	180		0,803	19,9		
		1,68/1,99	4	3	24	1—10	—		5,29	185	1,04	0,037	19,6		
		1,20/1,49	4	5 и 6	44		—		6,01	196		0,132	18,9		
		1,56/1,86	2	7	28		—		5,42	190		0,20	19,9		
		1,68/1,99	3	4	24		3	3-8, 3-100	4,25	148		0,032	21,5		
		1,20/1,49	3	7	42	1—11	3		4,8	150	1,14	0,11	19,4		
		1,35/1,64	2	9	36		3		4,35	147		0,167	20,7		
		1,50/1,80	6	2 и 3	30		—		5,9	205		0,117	26,8		
		1,62/1,92	3	4 и 5	27		—		5,85	214		0,362	22,9		
		1,20/1,49	4	5 и 6	44		—		6,05	198		0,605	20,95		
$\frac{11,5; 8,4; 3,7}{38,0; 1,0}$	363	1,50/1,80	6	2 и 3	30	1—10	—	3-17, 3-160	6,28	218	1,18	0,029	26,8	56	
		1,62/1,92	3	4 и 5	27		—	6,27	228		0,09	22,9			
		1,20/1,49	4	5 и 6	44		—	6,5	212		0,151	20,95			
		1,68/1,99	4	3	24		3	3-8, 3-100	4,55	158		0,02	24,3		
		1,56/1,86	3	5	30	1—11	3		4,07	153	1,28	0,052	26,0		
		1,56/1,86	2	7	28		3		4,66	164		0,11	23,8		

4. Прокладка в лобовой части — микакартон толщиной 0,5 мм.
5. Клин — стеклотекстолит марки СТ или текстолит марки Б.
6. Стержни и кольца короткозамкнутой обмотки ротора выполнены из алюминия марки А5.
7. Паз статора выполнен в соответствии с рис. 1-2, паз ротора соответствует рис. 1-3.

Основные обмоточно-расчетные данные электродвигателей единой

Тип электродвигателя			$P_2, \text{ кВт}$	$U, \text{ в}$	$I, \text{ а}$	$n, \text{ об/мин}$	$\eta, \%$	$\cos \varphi$	$\frac{I_{\text{пуск}}}{I_{\text{н}}}$	$\frac{M_{\text{пуск}}}{M_{\text{н}}}$	$\frac{M_{\text{макс}}}{M_{\text{н}}}$	Стр					
												$\frac{D_{a1}}{D_{i1}}$	$\frac{l_{t1}}{l_{t2}}$	δ	$B_{\delta, \text{ зс}}$	z_1	q_1
A91-12/8/6/4	1-я об-мотка	$2p=12$	12	220	60,5	470	79,0	0,66	4,0	1,6	2,0	$\frac{493}{350}$	$\frac{160}{165}$	0,6	7 950	72	2
				380	35,0										7 480		
				500	26,6										7 750		
		$2p=6$	20	220	68,0	950	85,0	0,90	6,0	1,5	2,3				6 130		
				380	39,0										5 810		
				500	30,0										5 990		
	2-я об-мотка	$2p=8$	17	220	71,5	715	82,5	0,76	5,0	1,3	2,3				7 600	72	3
				380	41,2										7 370		
				500	31,4										7 040		
		$2p=4$	25	220	85,0	1 440	84,0	0,92	5,5	1,2	2,3				6 530		
				380	49,1										5 410		
				500	37,5										5 150		
A92-12/8/6/4	1-я об-мотка	$2p=12$	17	220	84,5	470	80,0	0,66	4,0	1,6	2,0	$\frac{493}{350}$	$\frac{220}{225}$	0,6	6 900	72	2
				380	49,1										7 470		
				500	37,2										7 850		
		$2p=6$	28	220	94,0	950	85,5	0,91	6,0	1,5	2,3				5 360		
				380	54,7										5 800		
				500	41,7										6 070		
	2-я об-мотка	$2p=8$	24	220	100,0	715	83,0	0,76	5,0	1,3	2,3				7 080	72	3
				380	57,7										7 140		
				500	44,0										7 020		
		$2p=4$	36	220	121,0	1 440	84,5	0,92	5,5	1,2	2,3				5 170		
				380	70,5										5 240		
				500	53,5										5 150		

Примечания: 1. Обмотка статора в заводском исполнении двухслойная, выполнена проводом марки ПЭЛБО.
 2. Изоляция паза статора в заводском исполнении: электрокартон ЭВ толщиной 0,2 мм; лакоткань ЛХС толщиной 0,2 мм; электрокартон ЭВ толщиной 0,2 мм или два слоя пленкоэлектрокартона толщиной по 0,3 мм.
 3. Междуслойная прокладка в пазу в заводском исполнении; два слоя электрокартона ЭВ толщиной по 0,2 мм; лакоткань ЛХС толщиной 0,2 мм или два слоя пленкоэлектрокартона толщиной по 0,3 мм.

серии А 9-го габарита четырехскоростных на 12/8/6/4 полюса

тор															Ротор
Размеры паза $b; b'; b''$ $h; e$	$Q_{s1},$ $мм^2$	d/d'	m_1	$w_{к1}$	$n_{з1}$	y_1	a_1	Схема обмотки (рис. №)	$j_1,$ $a/мм^2$	$AS_1,$ $a/см$	$l_{m1},$ $мм$	$r_1, ом$	$G_1, кг$	z_2	
$\frac{11,5; 8,4; 3,7}{38,0; 1,0}$	363	1,50/1,71	3	6	36	1—7	—	3-19, 3-166	6,6	275	0,74	0,352	15,65	56	
		1,08/1,29	3	11	66		—		7,35	291		1,24	15,4		
		1,68/1,89	1	14	28		—		6,94	282		1,98	15,48		
		1,50/1,71	3	6	36		—		6,41	268		0,088	15,65		
		1,08/1,29	3	11	66		—		7,1	281		0,31	15,4		
		1,68/1,89	1	14	28		—		6,75	275		0,495	15,48		
		1,30/1,51	4	4 и 5	36	1—10	—	3-17, 3-160	7,78	243	0,92	0,328	15,2		
		1,35/1,56	2	8	32		—		8,3	250		1,07	14,35		
		1,16/1,37	2	11	44		—		8,55	262		2,01	14,5		
		1,30/1,51	4	4 и 5	36		—		8,0	250		0,082	15,2		
		1,35/1,56	2	8	32		—		8,58	258		0,267	14,35		
		1,16/1,37	2	11	44		—		8,87	270		0,503	14,5		
$\frac{11,5; 8,4; 3,7}{38,0; 1,0}$	363	1,62/1,83	3	5	30	1—7	—	3-19, 3-166	7,9	320	0,86	0,293	18,4	56	
		1,25/1,46	3	8	48		—		7,71	298		0,785	17,45		
		1,12/1,33	3	10	60		—		7,28	282		1,22	17,45		
		1,62/1,83	3	5	30		—		7,6	308		0,0733	18,4		
		1,25/1,46	3	8	48		—		7,44	287		0,196	17,45		
		1,12/1,33	3	10	60		—		7,05	274		0,305	17,45		
		1,20/1,41	6	3 и 4	42	1—10	—	3-17, 3-160	8,5	265	1,04	0,226	17,15		
		1,30/1,51	3	6	36		—		8,4	263		0,66	17,0		
		1,40/1,61	2	8	32		—		8,25	266		1,14	17,4		
		1,20/1,41	6	3 и 4	42		—		8,9	278		0,056	17,15		
		1,30/1,51	3	6	36		—		8,85	278		0,165	17,0		
		1,40/1,61	2	8	32		—		8,7	280		0,285	17,4		

4. Прокладка в лобовой части — электрокартон ЭВ толщиной 0,2 мм и лакоткань ЛХС толщиной 0,2 мм, склеенные вместе.

5. Клинь — дерево твердой породы пропитанное.

6. Стержни и кольца короткозамкнутой обмотки ротора выполнены из сплава АЛ2 с 4% меди.

7. Паз статора выполнен в соответствии с рис. 1-2, паз ротора соответствует рис. 1-3.

Основные обмоточно-расчетные данные электродвигателей единой

Тип электродвигателя			$P_2, \text{ кВт}$	$U, \text{ в}$	$I, \text{ а}$	$n, \text{ об/мин}$	$\eta, \%$	$\cos \varphi$	$\frac{I_{\text{пуск}}}{I_{\text{н}}}$	$\frac{M_{\text{пуск}}}{M_{\text{н}}}$	$\frac{M_{\text{макс}}}{M_{\text{н}}}$	Стр					
												$\frac{D_{\text{а1}}}{D_{\text{з1}}}$	$\frac{l_{\text{т1}}}{l_{\text{т2}}}$	δ	$B_{\delta, \text{ эс}}$	z_1	q_1
АО93-12/8/6/4	1-я обмотка	$2p=12$	12	220	66,5	480	79,0	0,60	6,0	1,5	2,6				6 080		2
				380	38,5										6 580		
				500	29,3										6 850		
		$2p=6$	20	220	68,0	970	86,0	0,90	7,5	1,3	2,5				4 720		4
				380	39,0										5 100		
				500	30,0										5 370		
	2-я обмотка	$2p=8$	17	220	79,0	730	83,0	0,68	7,0	1,2	2,8	$\frac{493}{350}$	$\frac{250}{255}$	0,6	7 290	72	3
				380	45,8										6 850		
				500	34,8										7 100		
		$2p=4$	25	220	87,0	1 470	83,0	0,91	8,0	1,0	2,5				5 300		6
				380	50,5										5 030		
				500	38,4										5 180		
АО94-12/8/6/4	1-я обмотка	$2p=12$	17	220	93,0	480	80,0	0,60	6,0	1,5	2,6				7 150		2
				380	54,0										6 860		
				500	41,0										6 750		
		$2p=6$	28	220	95,0	970	86,0	0,90	7,5	1,3	2,5	$\frac{493}{350}$	$\frac{320}{325}$	0,6	5 540	72	4
				380	55,0										5 330		
				500	41,9										5 250		
	2-я обмотка	$2p=8$	24	220	110,0	730	84,0	0,68	7,0	1,2	2,8				6 800		3
				380	64,0										6 540		
				500	48,5										7 040		
		$2p=4$	36	220	124,0	1 470	83,5	0,91	8,0	1,0	2,5				4 970		6
				380	72,0										4 800		
				500	55,0										5 150		

Примечания: 1. Обмотка статора в заводском исполнении двухслойная, выполнена проводом марки ПСД.
2. Изоляция паза статора в заводском исполнении: микакартон толщиной 0,4 мм; стеклолакоткань ЛСБ толщиной 0,2 мм, подклеенные.
3. Междуслойная прокладка в пазу в заводском исполнении — микакартон толщиной 0,4 мм и стеклолакоткань ЛСБ толщиной 0,2 мм, склеенные вместе.

серии АО 9-го габарита четырехскоростных на 12/8/6/4 полюса

тор															Порор
Размеры паза $\frac{b; b'; b''}{h; e}$	$Q_{s1},$ $мм^2$	d/d'	m_1	$\omega_{к1}$	$n_{\alpha 1}$	y_1	a_1	Схема смотки (рис. №)	$j_1,$ $a/мм^2$	$AS_1,$ $a/см$	$l_{m1},$ $м$	$r_1, ом$	$G_1, кг$	z_2	
$\frac{11,5; 8,4; 3,7}{38,0; 1,0}$	363	1,56/1,86	3	5	30		—	3-19, 3-166	6,69	252	0,92	0,338	18,8	56	
		1,50/1,80	2	8	32		—		6,3	233		0,875	18,3		
		1,35/1,64	2	10	40	1—7	—		5,9	221		1,35	18,6		
		1,56/1,86	3	5	30		—		5,93	223		0,0845	18,8		
		1,50/1,80	2	8	32		—		5,51	204		0,219	18,3		
		1,35/1,64	2	10	40		—		5,23	196		0,338	18,6		
		1,56/1,86	4	3	24		—	3-17, 3-160	5,97	180	1,10	0,228	17,88		
		1,62/1,92	2	5 и 6	22		—		6,4	190		0,728	17,32		
		1,40/1,69	2	7	28	1—10	—		6,54	184		1,21	16,55		
		1,56/1,86	4	3	24		—		5,68	171		0,057	17,88		
		1,62/1,92	2	5 и 6	22		—		6,12	182		0,182	17,32		
		1,40/1,69	2	7	28		—		6,25	176		0,304	16,55		
$\frac{11,5; 8,4; 3,7}{38,0; 1,0}$	363	1,35/1,64	2	10	40		3	3-20, 3-167	6,25	235	1,06	0,172	20,7	56	
		1,45/1,74	3	6	36		—	3-19, 3-166	6,3	246		0,542	22,3		
		1,56/1,86	2	8	32	1—7	—	6,19	248	0,935		22,75			
		1,35/1,64	2	10	40		3	3-20, 3-167	5,52	208		0,043	20,7		
		1,45/1,74	3	6	36		—	3-19, 3-166	5,55	216		0,136	22,3		
		1,56/1,86	2	8	32		—	5,48	220	0,234		22,75			
		1,35/1,64	6	2 и 3	30		—	3-17, 3-160	7,4	208	1,24	0,151	19,2		
		1,45/1,74	3	4 и 5	27		—		7,46	218		0,475	19,3		
		1,62/1,92	2	5 и 6	22	1—10	—		6,8	202		0,695	19,5		
		1,35/1,64	6	2 и 3	30		—		7,21	203		0,0378	19,2		
		1,45/1,74	3	4 и 5	27		—		7,26	212		0,119	19,3		
		1,62/1,92	2	5 и 6	22		—		6,67	198		0,174	19,5		

4. Прокладка в лобовой части — микакартон толщиной 0,5 мм.

5. Клинь — стеклотекстолит марки СТ или текстолит марки Б.

6. Стержни и кольца короткозамкнутой обмотки ротора выполнены из алюминия марки А5.

7. Паз статора выполнен в соответствии с рис. 1-2, паз ротора соответствует рис. 1-3.

1-7. ОСНОВНЫЕ ОБМОТОЧНО-РАСЧЕТНЫЕ ДАННЫЕ КРАНОВЫХ ЭЛЕКТРОДВИГАТЕЛЕЙ ПЕРЕМЕННОГО ТОКА

Основные обмоточно-расчетные данные крановых электродвигателей типа МТ 0, 1, 2-го габаритов, модернизированных, при 2p=6

Тип электро- двигателя	Р _э , кВт	U ₁ , в	I ₁ , а	η _{кпд} /90 °и	η, %	cos φ	M _{макс.} кГ·м	Статор															
								$\frac{D_{a1}}{D_{t1}}$	$\frac{l_{t1}}{l_{t2}}$	δ	B _δ , эс	z ₁	q ₁	Размеры паза $\frac{b; b'; b''}{h; e}$	$Q_{s1'}$, мм ²	d_1/d'_1	m ₁	w _{к1}	n _{э1}	y ₁	a ₁	Схема обмотки (рис. №)	
MT011-6	1,4	220/380 500	8,3/4,8 3,7	885	63	0,7	3,5	$\frac{182}{127}$	85	0,35	$\frac{7860}{7750}$	45	2 ^{1/2}	$\frac{6,7; 4,9; 2,6}{16,5; 0,8}$	86,2	$\frac{0,83}{0,69}$ /0,89	1	24 32	48 64	1—7	—	—	3-6, 3-79
MT012-6	2,2	220/380 500	12/7,0 5,3	890	67	0,72	5,5	$\frac{182}{127}$	120	0,35	$\frac{7860}{7980}$	45	2 ^{1/2}	$\frac{6,7; 4,9; 2,6}{16,5; 0,8}$	86,2	$\frac{0,96}{0,83}$ /1,02	1	17 22	34 44	1—7	—	—	3-6, 3-79
MT111-6	3,5	220/380 500	17,4/10,0 7,6	905	72	0,73	8,7	$\frac{210}{148}$	115	0,4	$\frac{8000}{7870}$	45	2 ^{1/2}	$\frac{7,6; 5,7; 2,6}{17,3; 0,8}$	103,5	$\frac{1,2}{1,0}$ /1,28	1	15 20	30 40	1—7	—	—	3-6, 3-79
MT112-6	5,0	220/380 500	24,2/14,0 10,6	920	75	0,72	12,5	$\frac{210}{148}$	155	0,4	$\frac{8100}{7770}$	45	2 ^{1/2}	$\frac{7,6; 5,7; 2,6}{17,3; 0,8}$	103,5	$\frac{1,0}{1,2}$ /1,08	2	11 15	44 30	1—7	—	—	3-6, 3-79
MT211-6	7,5	220/380 500	34/20,0 15	935	80	0,72	19,5	$\frac{245}{170}$	150	0,45	$\frac{8520}{8400}$	45	2 ^{1/2}	$\frac{8; 6,2; 3,0}{21,5; 0,8}$	136,7	$\frac{1,3}{1,12}$ /1,38	2	9 12	36 48	1—8	—	—	3-6 3-80
MT212-6	7,5	220/380 500	34/20,0 15	935	80	0,72	19,5	$\frac{245}{170}$	150	0,45	$\frac{8500}{8500}$	54	3	$\frac{7,1; 5,1; 3,0}{20,5; 0,8}$	114,7	$\frac{1,2}{1,04}$ /1,28	2	8 21	32 42	1—8	—	2	3-6,3-82 3-6,3-84

Продолжение табл. 1-119

Тип электро- двигателя	Статор						Ротор																
	$\frac{I_1,}{a/mm^2}$	$\frac{AS_1,}{a/cm}$	$\frac{l_{m1}',}{m}$	$r_1, ом$	$G_1, кг$	$U_2, в$	$I_2, а$	$\frac{D_{a2}}{D_{t2}}$	z_2	q_2	Размеры паза $\frac{b; b'; b''}{h; e}$	d_2/d'_2	m_2	$\omega_{к2}$	$n_{э2}$	y_2	a_2	Схема обмотки (рис. №)	$\frac{I_2,}{a/mm^2}$	$\frac{AS_2,}{a/cm}$	$\frac{l_{m2}',}{m}$	$r_2, ом$	$G_2, кг$
MT011-6	8,86	260	0,42	$\frac{4,78}{9,2}$	$\frac{2,2}{2,0}$	112	9,3	$\frac{126,3}{45}$	36	2	$\frac{4,0; 5,4; 2,8}{16,5; 0,8}$	1,3/1,41	1	18	18	$\frac{1-8}{2-7}$	—	3-77	7,0	152	0,4	0,57	1,6
	9,78	264																					
MT012-6	9,66	268	0,49	$\frac{3,02}{5,22}$	$\frac{2,5}{2,4}$	142	11,5	$\frac{126,3}{45}$	36	2	$\frac{4,0; 5,4; 2,8}{16,5; 0,8}$	1,35/1,46	1	16	16	$\frac{1-8}{2-7}$	—	3-77	8,02	167	0,47	0,55	1,8
	9,7	260																					
MT111-6	8,84	290	0,51	$\frac{1,77}{3,41}$	$\frac{3,6}{3,3}$	180	13,5	$\frac{147,2}{55}$	36	2	$\frac{4,5; 6,2; 2,8}{19,2; 0,8}$	1,08/1,19	2	18	36	$\frac{1-8}{2-7}$	—	3-77	7,36	189	0,51	0,525	2,8
	9,75	296																					
MT112-6	8,9	298	0,59	$\frac{1,08}{2,05}$	$\frac{4,2}{4,1}$	205	16,7	$\frac{147,2}{55}$	36	2	$\frac{4,5; 6,2; 2,8}{19,2; 0,8}$	1,2/1,31	2	15	30	$\frac{1-8}{2-7}$	—	3-77	7,38	195	0,59	0,41	3,3
	9,4	309																					
MT211-6	7,55	303	0,64	$\frac{0,57}{1,02}$	$\frac{6,3}{6,3}$	255	19,5	$\frac{169,1}{65}$	36	2	$\frac{4,0; 7,2; 3,0}{25,5; 0,8}$	1,35/1,46	2	16	32	$\frac{1-8}{2-7}$	—	3-77	6,8	211	0,64	0,376	4,8
	7,6	303																					
MT212-6	8,83	324	0,61	$\frac{0,68}{1,19}$	$\frac{5,5}{5,3}$	255	19,5	$\frac{169,1}{65}$	36	2	$\frac{4,0; 7,2; 3,0}{25,5; 0,8}$	1,35/1,46	2	16	32	$\frac{1-8}{2-7}$	—	3-77	6,8	211	0,64	0,376	4,8
	8,83	318																					

Примечания: 1. Изоляция электродвигателей выполнена по классу нагревостойкости Е.
2. Обмотка статора в заводском исполнении двухслойная, ротора — однослойная двухплоскостная, выполнены проводом марки ПЭТВ.
3. Изоляция паза статора, междуслойная прокладка статора и изоляция паза ротора в заводском исполнении — два слоя пленки лавсан толщиной по 0,05 мм, электрокартон ЭВ толщиной 0,2 мм, подклеенные.
4. Прокладка у клина (к обмотке): два слоя пленки лавсан толщиной по 0,05 мм и электрокартон ЭВ толщиной 0,2 мм, склеенные вместе; прокладка под клин — электрокартон ЭВ толщиной 0,2 мм.
5. Клин — дерево твердой породы пропитанное; гетинакс марки В.
6. Паз статора электродвигателей 0, 1-го габаритов выполнен в соответствии с рис. 1-1, 2-го габарита соответствует рис. 1-8, паз ротора — рис. 1-5.

Основные обмоточно-расчетные данные крановых электродвигателей типа МТВ 3, 4, 5-го габаритов, модернизированных, при 2p=8

Тип электродвигателя	Р _э , кВт	U _н , в	I _н , а	η, %	cos φ	M _{макс} , кг·м	Статор										a ₁	Схема обмотки (рис. №)			
							$\frac{D_{a1}}{D_{t1}}$	$\frac{l_{t1}}{l_{t2}}$	δ	B _δ , эс	z ₁	q ₁	Размеры паза $\frac{b; b'; b''}{h; e}$	Q _{с1} , мм ²	m ₁	w _{к1}			n _{э1}	y ₁	
МТВ311-8	7,5	220/380 500	35,4/20,5 15,6	695	77	0,72	26,5	$\frac{280}{210}$	165	0,5	7 780 7 650	60	2 ^{1/2}	$\frac{7,5; 5,8; 3,0}{19,8; 0,8}$	120,2	1	15	30	1—7	2	3-11, 3-121 3-10, 3-120
МТВ312-8	11	220/380 500	53/31 23,0	710	79	0,69	43	$\frac{280}{210}$	240	0,5	8 000 8 100	60	2 ^{1/2}	$\frac{7,5; 5,8; 3,0}{19,8; 0,8}$	120,2	2	5	20	1—7	—	3-10, 3-120 3-11, 3-121
МТВ411-8	16	220/380 500	73/42,5 32,0	710	82	0,70	62	$\frac{327}{240}$	205	0,55	8 760 8 760	72	3	$\frac{7,1; 5,0; 3,0}{25,1; 0,8}$	141,8	2	8	32	1—8	2	3-11, 3-126 3-12, 3-127
МТВ412-8	22	220/380 500	100/58 44,0	715	83	0,69	84	$\frac{327}{240}$	280	0,55	8 550 8 400	72	3	$\frac{7,1; 5,0; 3,0}{25,1; 0,8}$	141,8	4	3	24	1—8	—	3-10, 3-125
МТВ511-8	30	220/380 500	128/74 56,5	720	85	0,72	115	$\frac{368}{270}$	260	0,6	8 940 8 600	72	3	$\frac{7,8; 5,7; 3,2}{27,5; 0,8}$	173,7	2	11	44	1—8	4	3-12, 3-127
МТВ512-8	40	220/380 500	167/97 73,5	725	87	0,72	155	$\frac{368}{270}$	360	0,6	8 900 8 500	72	3	$\frac{7,8; 5,7; 3,2}{27,5; 0,8}$	173,7	3	8	48	1—8	4	3-12, 3-127

Продолжение табл. 1-120

Тип электродвигателя	j ₁ , а/мм ²	AS ₁ , а/см	l _{м1} , мм	r ₁ , ом	G ₁ , кг	z ₂	q ₂	Размеры паза b; b'; b'' h; e	d ₂ /d' ₂	m ₂	ω _{к2}	n _{э2}	y ₂	α ₂	Схема обмотки (рис. №)	j ₂ , а/мм ²	AS ₂ , а/см	l _{м2} , мм	r ₂ , ом	G ₂ , кг
МТВ311-8	9,06 9,18	280 284	0,62	0,72 1,28	5,8 5,8	48	2	$\frac{4,0; 6,5; 3,0}{25,6; 0,8}$	1,35/1,46	1	25	25	1—8 2—7	2	3-116	6,98	183	0,62	0,38	4,85
МТВ312-8	10,1 9,5	282 276	0,77	0,437 0,715	6,5 6,8	48	2	$\frac{4,0; 6,5; 3,0}{25,6; 0,8}$	1,4/1,51	2	12	24	1—8 2—7	2	3-116	7,06	191	0,77	0,105	6,25
МТВ411-8	8,0 8,15	325 322	0,74	0,234 0,415	10,5 10,1	48	2	$\frac{4,2; 7,4; 3,0}{30,0; 0,8}$	1,3/1,41	3	13	39	1—8 2—7	2	3-116	6,28	208	0,73	0,084	8,4
МТВ412-8	8,77 8,95	332 339	0,89	0,17 0,302	11,6 11,6	48	2	$\frac{4,2; 7,4; 3,0}{30,0; 0,8}$	1,4/1,51	3	11	33	1—8 2—7	2	3-116	6,4	208	0,88	0,074	9,9
МТВ511-8	7,55 7,7	345 360	0,86	0,101 0,185	15,2 15,6	48	2	$\frac{4,4; 8,0; 3,2}{34,0; 0,8}$	1,35/1,46	4	12	48	1—8 2—7	2	3-116	5,85	228	0,92	0,067	13,9
МТВ512-8	7,15 7,5	329 343	1,06	0,066 0,125	19,0 19,0	48	2	$\frac{4,4; 8,0; 3,2}{34,0; 0,8}$	1,45/1,56	4	10	40	1—8 2—7	2	3-116	5,82	219	1,12	0,059	16,3

Примечания: 1. Изоляция электродвигателей выполнена по классу нагревостойкости В.

2. Обмотка статора в заводском исполнении — двухслойная, ротора — однослойная, выполнены проводом марки ПЭТВ.

3. Изоляция паза статора, междуслойная прокладка статора и изоляция паза ротора в заводском исполнении: электрокартон ЭВ толщиной 0,2 мм; миканит гибкий ГФС толщиной 0,2 мм; стеклолакоткань ЛСБ толщиной 0,15 мм или стеклотекстолит электрокартон ССК-П толщиной 0,4 мм; стеклолакоткань ЛСБ толщиной 0,15 мм.

4. Прокладка у клина (к обмотке) — электрокартон ЭВ толщиной 0,2 мм и миканит гибкий ГФС толщиной 0,2 мм, склеенные вместе. Прокладка под клин — электрокартон ЭВ толщиной 0,2 мм

5. Клин — текстолит марки В; гетинакс марки В.

6. Паз статора выполнен в соответствии с рис. 1-1, паз ротора соответствует рис. 1-5.

Основные обмоточно-расчетные данные крановых электродвигателей типа МТВ 1, 3, 4-го габаритов, модернизированных, при 2p=6

Тип электро- двигателя	Р _э , квт	U _н , в	I _н , а	n, об/мин	η, %	cos φ	M _{макс} , кг·м	Статор										Схема обмотки (рис. №)				
								$\frac{D_{a1}}{D_{t1}}$	$\frac{l_{t1}}{H}$ и $\frac{l_{t2}}{l_{t1}}$	δ	B _δ , св	z ₁	q ₁	Размеры паза $\frac{b; b'; b''}{h; e}$	Q _{с1} , мм ²	d ₁ /d' ₁	m ₁		w _{к1}	n _{э1}	y ₁	a ₁
МТВ111-6*	2,2	220/380	11,2/6,5	920	—	—	—	$\frac{210}{148}$	115	0,4	7 050	45	2 ¹ / ₂	$\frac{7,6; 5,7; 2,6}{17,3; 0,8}$	103,45	0,96/1,02	1	17	34	1—7	—	3-6, 3-79
МТВ112-6*	3,5	220/380	17,6/10,2	925	—	—	—	$\frac{210}{148}$	155	0,4	7 400	45	2 ¹ / ₂	$\frac{7,6; 5,7; 2,6}{17,3; 0,8}$	103,45	1,16/1,24	1	12	24	1—7	—	3-6, 3-79
МТВ311-6А*	11	220/380	48,5/28	950	—	—	—	$\frac{280}{200}$	155	0,5	8 870	54	3	$\frac{7,8; 5,8; 3,0}{19,8; 0,8}$	122,7	1,12/1,20	1	19	38	1—8	3	3-8, 3-86
МТВ311-6	11	220/380 500	48,5/28 21	950	82	0,73	32	$\frac{280}{200}$	165	0,5	8 800 8 660	54	3	$\frac{7,8; 5,8; 3,0}{19,8; 0,8}$	122,7	1,08/1,16 1,16/1,24	3 2	6 8	36 32	1—8	— —	3-6, 3-82
МТВ312-6	16	220/380 500	66/38 29	960	85	0,75	46	$\frac{280}{200}$	240	0,5	8 370 8 420	54	3	$\frac{7,8; 5,8; 3,0}{19,8; 0,8}$	122,7	1,3/1,38 1,12/1,20	1 1	13 17	26 34	1—8	3 3	3-8, 3-86
МТВ411-6	22	220/380 500	89,5/52 39,5	965	86	0,75	62	$\frac{327}{235}$	205	0,55	9 080 8 950	54	3	$\frac{8,6; 6,8; 3,0}{23,95; 0,8}$	166,2	1,16/1,24 1,45/1,53	2 1	12 16	48 32	1—8	3 3	3-8, 3-86
МТВ412-6	30	220/380 500	116/67 51	970	88	0,77	85	$\frac{327}{235}$	280	0,55	8 860 8 720	54	3	$\frac{8,6; 6,8; 3,0}{23,95; 0,8}$	166,2	1,35/1,43 1,16/1,24	2 2	9 12	36 48	1—8	3 3	3-8, 3-86

Тип электро- двигателя	Статор					Ротор																			
	$j_1, \frac{a}{мм^2}$	$AS_1, \frac{a}{см}$	$l_{m1}, \frac{м}{м}$	$r_1, ом$	$G_1, кг$	$U_2, в$	$I_2, а$	$\frac{D_{a2}}{D_{i2}}$	z_2	q_2	Размеры паза $\frac{b; b'; b''}{h; e}$			d_2/d'_2	m_2	$\omega_{к2}$	$n_{\Phi 2}$	y_2	a_2	Схема обмотки (рис. №)	$j_2, \frac{a}{мм^2}$	$AS_2, \frac{a}{см}$	$l_{m2}, \frac{м}{м}$	$r_2, ом$	$G_2, кг$
МТВ111-6*	8,97	214	0,51	3,14	2,6	144	10,9	$\frac{147,2}{55}$	36	2	$\frac{4,5; 6,2; 2,8}{19,2; 0,7}$			1,45/1,56	1	16	16	$\frac{1-8}{2-7}$	—	3-77	6,6	136	0,51	0,52	2,2
МТВ112-6*	9,65	237	0,59	1,76	3,1	178	13,7	$\frac{147,2}{55}$	36	2	$\frac{4,5; 6,2; 2,8}{19,2; 0,8}$			1,12/1,23	2	14	28	$\frac{1-8}{2-7}$	—	3-77	6,95	149	0,59	0,44	2,7
МТВ311-6А*	9,47	305	0,62	0,42	5,7	203	35,5	$\frac{199,0}{75}$	36	2	$\frac{4,5; 7,8; 3,0}{27,0; 0,8}$			1,45/1,56	3	10	30	$\frac{1-8}{2-7}$	—	3-77	7,16	204	0,64	0,136	5,2
МТВ311-6	10,2 9,95	289 289	0,64	0,44 0,765	5,2 5,4	173	41	$\frac{199}{75}$	36	2	$\frac{4,5; 7,8; 3,0}{27,0; 0,8}$			1,4/1,51	4	8	32	$\frac{1-8}{2-7}$	—	3-77	6,66	189	0,66	0,09	5,4
МТВ312-6	9,55 9,8	283 283	0,79	0,27 0,48	6,8 6,6	205	50	$\frac{199}{75}$	36	2	$\frac{4,5; 7,8; 3,0}{27,0; 0,8}$			1,25/1,36	2	21	42	$\frac{1-8}{2-7}$	3	3-78	6,8	202	0,81	0,081	6,8
МТВ411-6	8,2 7,95	304 308	0,78	0,155 0,265	9,8 10,2	225	62	$\frac{233,9}{85}$	36	2	$\frac{5,6; 9,0; 3,0}{32,0; 0,8}$			1,5/1,61	2	21	42	$\frac{1-8}{2-7}$	3	3-78	5,85	212	0,78	0,054	9,6
МТВ412-6	7,8 8,05	294 298	0,93	0,103 0,185	10,8 11,7	260	72	$\frac{233,9}{85}$	36	2	$\frac{5,6; 9,0; 3,0}{32,0; 0,8}$			1,35/1,46	3	18	54	$\frac{1-8}{2-7}$	3	3-78	5,58	212	0,93	0,046	11,8

Примечания: 1. Изоляция электродвигателей выполнена по классу нагревостойкости В.
2. Обмотка статора в заводском исполнении двухслойная, ротора однослойная двухплоскостная; выполнены проводом марки ПЭТВ.
3. Изоляция паза статора, междуслойная прокладка статора и изоляция паза ротора в заводском исполнении: электрорактон ЭВ толщиной 0,2 мм; миканит гибкий ГФС толщиной 0,2 мм; стеклолакоткань ЛСБ толщиной 0,15 мм или стеклотекстолит электрорактон ССК-П толщиной 0,4 мм; стеклолакоткань ЛСБ толщиной 0,15 мм.

4. Прокладка у клина к обмотке — электрорактон ЭВ толщиной 0,2 мм и миканит гибкий ГФС толщиной 0,2 мм, склеенные вместе. Прокладка под клин — электрорактон ЭВ толщиной 0,2 мм.

5. Клин — текстолит марки Б, гетинакс марки В.

6. Паз статора выполнен в соответствии с рис. 1-1 для электродвигателей 1-го и 3-го габаритов, соответствует рис. 1-8 для электродвигателей 4-го габарита, паз ротора соответствует рис. 1-5.

7. Мощность электродвигателей 1-го габарита показана при $PВ=40\%$.

* Электродвигатели МТВ11-6, МТВ112-6 и МТВ311-6А сняты с производства.

Таблица 1-122
Основные обмоточно-расчетные данные крановых электродвигателей типа МТВ 6, 7-го габаритов, модернизованных, при 2р = 10

Тип электро- двигателя	Р _э , квт	U _н , в	I _н , а	η, %	cos φ	M _{макс} кМ	Статор										Q _{с1} , мм ²	$\frac{d/d',}{a \times b}$ $\frac{A \times B}{A \times B}$	m ₁	w _{ж1}	n _{э1}	y ₁	a ₁	Схема обмотки (рис. №)
							$\frac{D_{a1}}{D_{t1}}$	$\frac{l_{t1}}{l_{t2}}$	δ	B _δ , зс	z ₁	q ₁	Размеры паза $\frac{b; b'; b''}{h; e}$											
MTB611-10	45	220/380 500	198/115 87	85,0	0,70	230	$\frac{493}{372}$	250	0,75	9 000 8 880	75	2 ¹ / ₂	$\frac{9,3; 7,1; 3,8}{35,1; 0,9}$	$\frac{1,35/1,62}{1,62/1,89}$	2 1	12 16	48 32	1—7 5	5 5	3-14, 3-143				
MTB612-10	60	220/380 500	250/145 110	87,0	0,72	305	$\frac{493}{372}$	350	0,75	8 600 8 440	75	2 ¹ / ₂	$\frac{9,3; 7,1; 3,8}{35,1; 0,9}$	$\frac{1,56/1,83}{1,3/1,57}$	2 2	9 12	36 48	1—7 5	5 5	3-14, 3-143				
MTB613-10	80	220/380 500	330/190 145	88,5	0,72	405	$\frac{493}{372}$	445	0,75	8 660 8 860	75	2 ¹ / ₂	$\frac{9,3; 7,1; 3,8}{35,1; 0,9}$	$\frac{1,45/1,72}{1,56/1,83}$	3 2	7 9	42 36	1—7 5	5 5	3-14, 3-143				
MTB711-10	100	220/380 500	440/255 194	89,0	0,67	470	$\frac{615}{460}$	295	1,1	9 100 9 150	75	2 ¹ / ₂	$\frac{7,6; 12,5; 7,9}{43,5; 4,0}$	$\frac{1,81 \times 4,7}{2,08 \times 4,97}$	1	8	16	1—7	5	3-14, 3-143				
MTB712-10	125	220/380 500	552/320 242	90,0	0,66	580	$\frac{615}{460}$	375	1,1	9 150 9 000	75	2 ¹ / ₂	$\frac{7,6; 12,5; 7,9}{43,5; 4,0}$	$\frac{2,44 \times 4,7}{2,77 \times 5,03}$	1	6	12	1—8	5	3-14, 3-144				
MTB713-10	160	220/380 500	680/395 300	91,0	0,68	750	$\frac{615}{460}$	455	1,1	9 000 9 300	75	2 ¹ / ₂	$\frac{7,6; 12,5; 7,9}{43,5; 4,0}$	$\frac{1,81 \times 4,7}{2,08 \times 4,97}$	1	8	16		5	3-14, 3-144				
														$\frac{3,05 \times 4,7}{3,38 \times 5,03}$	1	5	10	1—8	5	3-14, 3-144				
														$\frac{1,25 \times 4,7}{1,52 \times 4,97}$	1	11	22		5					

Тип электро- двигателя	Статор					Ротор																		
	$j_1, \frac{A}{мм^2}$	$AS_1, \frac{A}{см}$	$l_{m1}, \frac{м}{м}$	$r_1, Ом$	$G_1, кг$	$U_э, В$	$I_э, А$	$\frac{D_{э2}}{D_{т2}}$	$z_э$	$q_э$	Размеры паза $\frac{b; b''}{h; e}$	$a \times b$	$m_э$	$\omega_{э2}$	$n_{э2}$	$y_э$	$a_э$	Схема обмотки (рис. №)	$j_э, \frac{A}{мм^2}$	$AS_э, \frac{A}{см}$	$l_{m2}, \frac{м}{м}$	$r_э, Ом$	$G_э, кг$	
MTB611-10	8,04 8,45	355 357	0,9	0,066 0,118	22,0 21,0	185	155	$\frac{370,5}{125}$	90	3	5,4; 1,6 $\frac{26,1; 0,8}{0,8}$	2,63×10	1	1	2	1—10	—		3-149	6,0	240	0,91	0,0186	19,8
MTB612-10	7,58 8,3	335 339	1,1	0,042 0,085	29,0 25,0	245	153	$\frac{370,5}{125}$	90	3	5,4; 1,6 $\frac{26,1; 0,8}{0,8}$	2,63×10	1	1	2	1—10	—		3-149	5,93	237	1,11	0,0227	23,9
MTB613-10	7,66 7,58	341 335	1,29	0,032 0,052	31,5 31,8	320	155	$\frac{370,5}{125}$	90	3	5,4; 1,6 $\frac{26,1; 0,8}{0,8}$	2,63×10	1	1	2	1—10	—		3-149	6,0	240	1,3	0,0265	27,7
MTB711-10	6,14 6,32	423 403	1,13	0,019 0,032	53,2 49	275	230	$\frac{457,8}{150}$	90	3	5,9; 1,6 $\frac{43,35; 0,7}{0,7}$	3,05×16,8	1	1	2	1—10	—		3-149	4,54	288	1,18	0,012	48,2
MTB712-10	5,82 5,83	398 401	1—29	0,0123 0,022	60,5 61	345	225	$\frac{457,8}{150}$	90	3	5,9; 1,6 $\frac{43,35; 0,7}{0,7}$	3,05×16,8	1	1	2	1—10	—		3-149	4,43	282	1,34	0,01365	53,7
MTB713-10	5,72 6,1	410 396	1—45	0,0092 0,049	71 64	420	235	$\frac{457,8}{150}$	90	3	5,9; 1,6 $\frac{43,35; 0,7}{0,7}$	3,05×16,8	1	1	2	1—10	—		3-149	4,63	295	1,50	0,01525	60,2

Примечания: 1. Изоляция электродвигателей выполнена по классу нагревостойкости В.

2. Обмотка статора в заводском исполнении двухслойная, выполнена проводом марки ПСД; ротора — двухслойная стержневая, выполнена на прямоугольным медным проводом МГМ.

3. Изоляция паза статора, межслойная прокладка статора и изоляция паза ротора в заводском исполнении: электрокартон ЭВ толщиной 0,2 мм; миканит гибкий ГФС толщиной 0,2 мм; стеклолакоткань ЛСБ толщиной 0,15 мм или стеклослюдитоэлектрокартон ССК-П толщиной 0,4 мм; стеклолакоткань ЛСБ толщиной 0,15 мм.

4. Прокладка у клина (к обмотке) — электрокартон ЭВ толщиной 0,2 мм и миканит гибкий ГФС толщиной 0,2 мм, склеенные вместе. Прокладка под клин — электрокартон ЭВ толщиной 0,2 мм.

5. Клин — текстолит марки Б; гетинакс марки В.

6. Паз статора выполнен в соответствии с рис. 1-8 для электродвигателей 6-го габарита и соответствует рис. 1-20 для двигателей 7-го габарита; паз ротора выполнен в соответствии с рис. 1-10 для электродвигателей 6-го габарита и соответствует рис. 1-19 для двигателей 7-го габарита.

Основные обмоточно-расчетные данные крановых электродви

Тип электро- двигателя	P_2 , квт	U_1 , в	I_1 , а	n , об/мин	η , %	$\cos \varphi$	$I_{\text{пуск}}$ при $U=$ $=380$ в, а	$M_{\text{пуск'}}$ кГ·м	$M_{\text{макс'}}$ кГ·м	Ст				
										$\frac{D_{a1}}{D_{i1}}$	$\frac{l_{t1}}{l_{t2}}$	δ	B_{δ} , гс	z_1
МТК011-6	1,4	220/380 500	7,9/4,6 3,5	840	63	0,74	14	4,2	4,2	$\frac{182}{127}$	85	0,35	7 860 7 750	45
МТК012-6	2,2	220/380 500	11,7/6,8 5,2	830	64	0,77	22	6,7	6,7	$\frac{182}{127}$	120	0,35	7 860 7 980	45
МТК111-6	3,5	220/380 500	16,1/9,3 7,1	875	72	0,79	35	10,5	10,5	$\frac{210}{148}$	115	0,4	7 980 7 870	45
МТК112-6	5,0	220/380 500	22,1/12,8 9,7	875	74	0,80	50	16	16	$\frac{210}{148}$	155	0,4	8 100 7 770	45
МТК211-6	7,5	220/380 500	31,5/18,2 11,9	880	77	0,81	70	21	22	$\frac{245}{170}$	150	0,45	8 520 8 400	45
МТК212-6	7,5	220/380 500	31,5/18,2 11,9	880	77	0,81	70	21	22	$\frac{245}{170}$	150	0,45	8 500 8 500	54

Примечания: 1. Изоляция электродвигателей выполнена по классу нагревостойкости Е.

2. Обмотка статора в заводском исполнении двухслойная, выполнена проводом марки ПЭТВ.

3. Изоляция паза статора и междуслойная прокладка в заводском исполнении — два слоя пленки лавсан толщиной по 0,05 мм, электрокартон ЭВ толщиной 0,2 мм, подклеенные.

Основные обмоточно-расчетные данные крановых электродвигателей

Тип электро- двигателя	P_2 , квт	U_1 , в	I_1 , а	n , об/мин	η , %	$\cos \varphi$	$I_{\text{пуск}}$ при $U=$ $=380$ в, а	$M_{\text{пуск'}}$ кГ·м	$M_{\text{макс'}}$ кГ·м	Ст				
										$\frac{D_{a1}}{D_{i1}}$	$\frac{l_{t1}}{l_{t2}}$	δ	B_{δ} , гс	z_1
МТКВ111-6	2,8	220/380	14,2/8,2	—	—	—	—	—	—	$\frac{210}{148}$	115	0,4	7 050	45
МТКВ112-6	4,2	220/380	20,0/11,5	—	—	—	—	—	—	$\frac{210}{148}$	155	0,4	7 400	45
МТКВ311-6А	11	220/380	45,5/26,5	—	—	—	—	—	—	$\frac{280}{200}$	155	0,5	8 870	54
МТКВ311-6	11	220/380 500	45,5/26,5 20	900	79	0,80	115	33	34	$\frac{280}{200}$	165	0,5	8 800 8 660	54
МТКВ312-6	16	220/380 500	61/35,5 26,8	900	81	0,85	170	50	52	$\frac{280}{200}$	240	0,5	8 370 8 420	54

гателей типа МТК 0, 1, 2-го габаритов, модернизированных, при $2p = 6$

тор															Ротор
q_1	Размеры паза $b; b'; b''$ $h; e$	$Q_{s1},$ $мм^2$	d/d'	m_1	$w_{к1}$	$n_{э1}$	y_1	a_1	Схема обмотки (рис. №)	$j_1,$ $a/мм^2$	$AS_1,$ $a/см$	$l_{m1},$ $м$	$r_1,$ $ом$	$G_1, кг$	z_2
$2\frac{1}{2}$	$\frac{6,7; 4,9; 2,6}{16,5; 0,8}$	86,2	$\frac{0,83/0,89}{0,69/0,75}$	1 1	24 32	48 64	1—7	— —	3-6, 3-79	$\frac{8,5}{9,35}$	$\frac{249}{252}$	0,42	$\frac{4,78}{9,2}$	$\frac{2,2}{2,0}$	41
$2\frac{1}{2}$	$\frac{6,7; 4,9; 2,6}{16,5; 0,8}$	86,2	$\frac{0,96/1,02}{0,83/0,89}$	1 1	17 22	34 44	1—7	— —	3-6, 3-79	$\frac{9,4}{9,5}$	$\frac{260}{256}$	0,49	$\frac{3,02}{5,22}$	$\frac{2,5}{2,4}$	41
$2\frac{1}{2}$	$\frac{7,6; 5,7; 2,6}{17,3; 0,8}$	103,55	$\frac{1,2/1,28}{1,0/1,08}$	1 1	15 20	30 40	1—7	— —	3-6, 3-79	$\frac{8,2}{9,05}$	$\frac{270}{275}$	0,51	$\frac{1,77}{3,41}$	$\frac{3,6}{3,3}$	41
$2\frac{1}{2}$	$\frac{7,6; 5,7; 2,6}{17,3; 0,8}$	103,55	$\frac{1,0/1,08}{1,2/1,28}$	2 1	11 15	44 30	1—7	— —	3-6, 3-79	$\frac{8,15}{8,61}$	$\frac{273}{283}$	0,59	$\frac{1,08}{2,05}$	$\frac{4,2}{4,1}$	41
$2\frac{1}{2}$	$\frac{8; 6,2; 3,0}{21,5; 0,8}$	136,7	$\frac{1,3/1,38}{1,12/1,20}$	2 2	9 12	36 48	1—8	— —	3-6, 3-80	$\frac{6,85}{6,05}$	$\frac{276}{241}$	0,64	$\frac{0,57}{1,02}$	$\frac{6,3}{6,3}$	41
3	$\frac{7,1; 5,1; 3,0}{20,5; 0,8}$	114,7	$\frac{1,2/1,28}{1,04/1,12}$	2 1	8 21	32 42	1—8	— 2	3-6, 3-82 3-7, 3-84	$\frac{8,04}{7,0}$	$\frac{295}{253}$	0,61	$\frac{0,68}{1,19}$	$\frac{5,5}{5,3}$	41

4. Прокладка у клина (к обмотке) — два слоя пленки лавсан толщиной по 0,05 мм и электрокартон ЭВ толщиной 0,2 мм, склеенные вместе; прокладка под клин — электрокартон ЭВ толщиной 0,2 мм.

5. Клинь — дерево твердой породы пропитанное, гетинакс марки В.

6. Стержни и кольца короткозамкнутой обмотки ротора выполнены из сплава АКМц 10-2.

7. Паз статора выполнен в соответствии с рис. 1-1, паз ротора соответствует рис. 1-8.

типа МТКВ 1, 3, 4-го габаритов, модернизированных, при $2p = 6$

тор																Ротор
q_1	Размеры паза $b; b'; b''$ $h; e$	$Q_{s1},$ $мм^2$	d/d'	m_1	$w_{к1}$	$n_{э1}$	l_1	a_1	Схема обмотки (рис. №)	$j_1,$ $a/мм^2$	$AS_1,$ $a/см$	$l_{m1},$ $м$	$r_1,$ $ом$	$G_1, кг$	z_1	
$2\frac{1}{2}$	$\frac{7,6; 5,7; 2,6}{17,3; 0,8}$	103,45	0,96/1,02	1	17	34	1—7	—	3-6, 3-79	11,3	270	0,51	3,14	2,6	41	
$2\frac{1}{2}$	$\frac{7,6; 5,7; 2,6}{17,3; 0,8}$	103,45	1,16/1,24	1	12	24	1—7	—	3-6, 3-79	10,9	267	0,59	1,76	3,1	41	
3	$\frac{7,8; 5,8; 3,0}{19,8; 0,8}$	122,7	1,12/1,20	1	19	38	1—8	3	3-8, 3-86	8,97	288	0,62	0,42	5,7	44	
3	$\frac{7,8; 5,8; 3,0}{19,8; 0,8}$	122,7	1,08/1,16 1,16/1,24	3 2	6 8	36 32	1—8	— —	3-6, 3-82	9,63 9,45	273 275	0,64	0,44 0,765	5,2 5,4	44	
3	$\frac{7,8; 5,8; 3,0}{19,8; 0,8}$	122,7	1,3/1,38 1,12/1,20	1 1	13 17	26 34	1—8	3 3	3-8, 3-86	8,92 9,07	264 261	0,79	0,27 0,48	6,8 6,6	44	

Тип электро- двигателя	P_2 , квт	U_1 , в	I_1 , а	n , об/мин	η , %	$\cos \varphi$	$I_{\text{пуск}}$ при $U =$ $=380$ в, а	$M_{\text{пуск'}}$ кГ·м	$M_{\text{макс'}}$ кГ·м	Ста				
										$\frac{D_{a1}}{D_{t1}}$	$\frac{l_{t1}}{l_{t2}}$	δ	B_{δ} , гс	z_1
МТКВ411-6	22	220/380 500	88/51 38,8	935	84	0,78	230	65	65	$\frac{327}{235}$	205	0,55	9 080 8 950	54
МТКВ412-6	30	220/380 500	115/67 51	935	85	0,80	300	88	88	$\frac{327}{235}$	280	0,55	8 860 8 720	54

Примечания: 1. Изоляция электродвигателей выполнена по классу нагревостойкости В.
2. Обмотка статора в заводском исполнении двухслойная, выполнена проводом марки ПЭТВ.
3. Изоляция паза статора и междуслойная прокладка статора в заводском исполнении: электрокартон ЭВ толщиной 0,2 мм; миканит гибкий ГФС толщиной 0,2 мм; стеклолакоткань ЛСБ толщиной 0,15 мм или стеклослюдинито-электрокартон ССК-П толщиной 0,4 мм; стеклолакоткань ЛСБ толщиной 0,15 мм.

Основные обмоточно-расчетные данные крановых электродвигателей

Тип электро- двигателя	P_2 , квт	U_1 , в	I_1 , а	n , об/мин	η , %	$\cos \varphi$	$I_{\text{пуск}}$ при $U =$ $=380$ в, а	$M_{\text{пуск'}}$ кГ·м	$M_{\text{макс'}}$ кГ·м	Ста				
										$\frac{D_{a1}}{D_{t1}}$	$\frac{l_{t1}}{l_{t2}}$	δ	B_{δ} , гс	z_1
МТКВ311-8	7,5	220/380 500	32,7/19 14,4	670	76	0,79	80	28	29	$\frac{280}{210}$	165	0,5	7 780 7 650	60
МТКВ312-8	11	220/380 500	50/29 22	680	78	0,74	125	45	47	$\frac{280}{210}$	240	0,5	8 000 8 100	60
МТКВ411-8	16	220/380 500	67/39 29,6	685	81	0,77	180	65	67	$\frac{327}{240}$	205	0,55	8 760 8 760	72
МТКВ412-8	22	220/380 500	79/46 35	690	83	0,88	240	87	90	$\frac{327}{240}$	280	0,55	8 550 8 400	72
МТКВ511-8	28	220/380 500	110/64 48,5	710	84	0,79	320	115	120	$\frac{368}{270}$	260	0,6	8 940 8 600	72
МТКВ512-8	37	220/380 500	148/85 65	705	85	0,77	450	155	160	$\frac{368}{270}$	360	0,6	8 900 8 500	72

Примечания: 1. Изоляция электродвигателей выполнена по классу нагревостойкости В.
2. Обмотка статора в заводском исполнении двухслойная, выполнена проводом марки ПЭТВ.
3. Изоляция паза статора и междуслойная прокладка в заводском исполнении: электрокартон ЭВ толщиной 0,2 мм; миканит гибкий ГФС толщиной 0,2 мм; стеклолакоткань ЛСБ толщиной 0,15 мм или стеклослюдинито-электрокартон ССК-П толщиной 0,4 мм; стеклолакоткань ЛСБ толщиной 0,15 мм.

тор																Ротор
q_1	$\frac{\text{Размеры паза}}{b; b'; b''}$ $h; e$	$Q_{s1'}$ $мм^2$	d/d'	m_1	$w_{к1}$	$n_{\partial 1}$	y_1	a_1	Схема обмотки (рис. №)	$j_1,$ $a/мм^2$	$AS_1,$ $a/см$	$l_{m1'}$ $м$	$r_1, ом$	$G_1, кг$	z_2	
3	$\frac{8,6; 6,8; 3,0}{23,95; 0,8}$	166,2	$\frac{1,16/1,24}{1,45/1,53}$	$\begin{matrix} 2 \\ 1 \end{matrix}$	$\begin{matrix} 12 \\ 16 \end{matrix}$	$\begin{matrix} 48 \\ 32 \end{matrix}$	1—8	$\begin{matrix} 3 \\ 3 \end{matrix}$	$\begin{matrix} 3-8, \\ 3-86 \end{matrix}$	$\begin{matrix} 8,05 \\ 7,82 \end{matrix}$	$\begin{matrix} 298 \\ 303 \end{matrix}$	$\begin{matrix} 0,78 \\ 0,78 \end{matrix}$	$\begin{matrix} 0,155 \\ 0,265 \end{matrix}$	$\begin{matrix} 9,8 \\ 10,2 \end{matrix}$	44	
3	$\frac{8,6; 6,8; 3,0}{23,95; 0,8}$	166,2	$\frac{1,35/1,43}{1,16/1,24}$	$\begin{matrix} 2 \\ 2 \end{matrix}$	$\begin{matrix} 9 \\ 12 \end{matrix}$	$\begin{matrix} 36 \\ 48 \end{matrix}$	1—8	$\begin{matrix} 3 \\ 3 \end{matrix}$	$\begin{matrix} 3-8, \\ 3-86 \end{matrix}$	$\begin{matrix} 7,8 \\ 8,05 \end{matrix}$	$\begin{matrix} 295 \\ 298 \end{matrix}$	$\begin{matrix} 0,93 \\ 0,93 \end{matrix}$	$\begin{matrix} 0,103 \\ 0,185 \end{matrix}$	$\begin{matrix} 10,8 \\ 11,7 \end{matrix}$	44	

4. Прокладка у клина (к обмотке) — электрокартон ЭВ толщиной 0,2 мм и миканит гибкий ГФС толщиной 0,2 мм, склеенные вместе. Прокладка под клин — электрокартон ЭВ толщиной 0,2 мм.

5. Клин — текстолит марки Б, гетинакс марки В.

6. Стержни и кольца короткозамкнутой обмотки ротора выполнены из сплава АКМц 10-2.

7. Паз статора выполнен в соответствии с рис. 1-1, паз ротора соответствует рис. 1-8.

Таблица 1-125

типа МТКВ 3, 4, 5-го габаритов, модернизированных, при $2p = 8$

тор															Ротор
q_1	Размеры паза $b; b'; b''$ h, e	$Q_{s1'}$ $мм^2$	d/d'	m_1	$w_{к1}$	$n_{\partial 1}$	y_1	a_1	Схема обмотки (рис. №)	$j_1,$ $a/мм^2$	$AS_1,$ $a/см$	$l_{m1'}$ $м$	$r_1, ом$	$G_1, кг$	z_2
$2\frac{1}{2}$	$\frac{7,5; 5,8; 3,0}{19,8; 0,8}$	120,2	$\frac{1,2/1,28}{1,04/1,12}$	$\begin{matrix} 1 \\ 2 \end{matrix}$	$\begin{matrix} 15 \\ 10 \end{matrix}$	$\begin{matrix} 30 \\ 40 \end{matrix}$	1—7	$\begin{matrix} 2 \\ — \end{matrix}$	$\begin{matrix} 3-11, 3-121 \\ 3-10, 3-120 \end{matrix}$	$\begin{matrix} 8,32 \\ 8,48 \end{matrix}$	$\begin{matrix} 259 \\ 262 \end{matrix}$	0,62	$\begin{matrix} 0,72 \\ 1,28 \end{matrix}$	$\begin{matrix} 5,8 \\ 5,8 \end{matrix}$	64
$2\frac{1}{2}$	$\frac{7,5; 5,8; 3,0}{19,8; 0,8}$	120,2	$\frac{1,4/1,48}{1,25/1,33}$	$\begin{matrix} 2 \\ 1 \end{matrix}$	$\begin{matrix} 5 \\ 13 \end{matrix}$	$\begin{matrix} 20 \\ 26 \end{matrix}$	1—7	$\begin{matrix} — \\ 2 \end{matrix}$	$\begin{matrix} 3-10, 3-120 \\ 3-11, 3-121 \end{matrix}$	$\begin{matrix} 9,43 \\ 8,98 \end{matrix}$	$\begin{matrix} 264 \\ 260 \end{matrix}$	0,77	$\begin{matrix} 0,437 \\ 0,715 \end{matrix}$	$\begin{matrix} 6,5 \\ 6,8 \end{matrix}$	64
3	$\frac{7,1; 5,0; 3,0}{25,1; 0,8}$	141,8	$\frac{1,3/1,38}{1,12/1,20}$	$\begin{matrix} 2 \\ 1 \end{matrix}$	$\begin{matrix} 8 \\ 21 \end{matrix}$	$\begin{matrix} 32 \\ 42 \end{matrix}$	1—8	$\begin{matrix} 2 \\ 4 \end{matrix}$	$\begin{matrix} 3-11, 3-126 \\ 3-12, 3-127 \end{matrix}$	$\begin{matrix} 7,35 \\ 7,51 \end{matrix}$	$\begin{matrix} 298 \\ 297 \end{matrix}$	0,74	$\begin{matrix} 0,234 \\ 0,415 \end{matrix}$	$\begin{matrix} 10,5 \\ 10,1 \end{matrix}$	60
3	$\frac{7,1; 5,0; 3,0}{25,1; 0,8}$	141,8	$\frac{1,45/1,53}{1,45/1,53}$	$\begin{matrix} 4 \\ 3 \end{matrix}$	$\begin{matrix} 3 \\ 4 \end{matrix}$	$\begin{matrix} 24 \\ 24 \end{matrix}$	1—8	$\begin{matrix} — \\ — \end{matrix}$	3-10, 3-125	$\begin{matrix} 6,96 \\ 7,05 \end{matrix}$	$\begin{matrix} 264 \\ 268 \end{matrix}$	0,89	$\begin{matrix} 0,17 \\ 0,302 \end{matrix}$	$\begin{matrix} 11,6 \\ 11,6 \end{matrix}$	60
3	$\frac{7,8; 5,7; 3,2}{27,5; 0,8}$	173,7	$\frac{1,25/1,33}{1,08/1,16}$	$\begin{matrix} 2 \\ 2 \end{matrix}$	$\begin{matrix} 11 \\ 15 \end{matrix}$	$\begin{matrix} 44 \\ 60 \end{matrix}$	1—8	$\begin{matrix} 4 \\ 4 \end{matrix}$	3-12, 3-127	$\begin{matrix} 6,52 \\ 6,62 \end{matrix}$	$\begin{matrix} 299 \\ 309 \end{matrix}$	0,86	$\begin{matrix} 0,101 \\ 0,185 \end{matrix}$	$\begin{matrix} 15,2 \\ 15,6 \end{matrix}$	60
3	$\frac{7,8; 5,7; 3,2}{27,5; 0,8}$	173,7	$\frac{1,2/1,28}{1,25/1,33}$	$\begin{matrix} 3 \\ 2 \end{matrix}$	$\begin{matrix} 8 \\ 11 \end{matrix}$	$\begin{matrix} 48 \\ 44 \end{matrix}$	1—8	$\begin{matrix} 4 \\ 4 \end{matrix}$	3-12, 3-127	$\begin{matrix} 6,25 \\ 6,62 \end{matrix}$	$\begin{matrix} 289 \\ 304 \end{matrix}$	1,06	$\begin{matrix} 0,066 \\ 0,125 \end{matrix}$	$\begin{matrix} 19,0 \\ 19,0 \end{matrix}$	60

4. Прокладка у клина (к обмотке): электрокартон ЭВ толщиной 0,2 мм и миканит гибкий ГФС толщиной 0,2 мм, склеенные вместе. Прокладка под клин — электрокартон ЭВ толщиной 0,2 мм.

5. Клин — текстолит марки Б, гетинакс марки В.

6. Стержни и кольца короткозамкнутой обмотки ротора выполнены из сплава АКМц 10-2.

7. Паз статора выполнен в соответствии с рис. 1-1, паз ротора соответствует рис. 1-10.

Таблица 1-127

Основные обмоточно-расчетные данные крановых электродвигателей типа МТ 3, 4, 5-го габаритов при 2р = 6 и 8

Тип электро-двигателя	Р _э , кВт	U _н , в	I _н , а	η, об/мин	η, %	cos φ	M _{макс} M _н	Статор														
								$\frac{D_{a1}}{D_{t1}}$	$\frac{l_{t1}}{H}$ l _{t2}	δ	B _δ , зс	z ₁	q ₁	Размеры паза $\frac{b; b'; b''}{h; e}$	Q _{с1'} , мм ²	d ₁ /d' ₁	m ₁	ω _{к1}	n _{э1}	y ₁	a ₁	Схема обмотки (рис. №)
МТ31-6	11,0	220/380 500	49/28,4 21,6	953	82,5	0,71	3,1	$\frac{280}{200}$	195	0,5	$\frac{8520}{8600}$	54	3	$\frac{7,4; 5,8; 3,0}{20,6; 0,7}$	122,6	$\frac{1,45/1,66}{1,25/1,46}$	2 1	5 13	20 26	1—9	— 2	3-6, 3-87 3-7, 3-88
МТ31-8	7,5	220/380 500	36,7/21,2 16,1	702	77,5	0,69	2,6	$\frac{280}{200}$	195	0,5	$\frac{7740}{7900}$	54	2 ^{1/4}	$\frac{7,4; 5,8; 3,0}{20,6; 0,7}$	122,6	$\frac{1,25/1,46}{1,56/1,77}$	2 1	7 9	28 18	1—8	— —	3-10, 3-119
МТ41-8	11,0	220/380 500	53,2/30,8 23,4	715	81,0	0,67	2,9	$\frac{327}{240}$	168	0,55	$\frac{8550}{8640}$	72	3	$\frac{6,8; 5,0; 3,3}{25,1; 0,8}$	136,5	$\frac{1,56/1,77}{1,35/1,56}$	1 1	10 13	20 26	1—8	2 2	3-11, 3-126
МТ42-8	16,0	220/380 500	73,4/42,5 32,3	718	82,5	0,69	3,0	$\frac{327}{240}$	248	0,55	$\frac{8270}{8000}$	72	3	$\frac{6,8; 5,0; 3,3}{25,1; 0,8}$	136,5	$\frac{1,3/1,51}{1,08/1,29}$	2 1	7 19	28 38	1—8	2 4	3-11, 3-126 3-12, 3-127
МТ51-8	22,0	220/380 500	97,6/56,5 43,0	723	84,5	0,70	3,0	$\frac{368}{280}$	240	0,6	$\frac{7920}{7950}$	72	3	$\frac{8,2; 6,6; 3,2}{25,8; 0,7}$	174,5	$\frac{1,56/1,77}{1,3/1,51}$	1 1	13 17	26 34	1—8	4 4	3-12, 3-127
МТ52-8	30,0	220/380 500	124/71,6 54,4	725	86,0	0,74	3,0	$\frac{368}{280}$	320	0,6	$\frac{7730}{7800}$	72	3	$\frac{8,2; 6,6; 3,2}{25,8; 0,7}$	174,5	$\frac{1,4/1,61}{1,56/1,77}$	3 1	5 13	30 26	1—8	2 4	3-11, 3-126 3-12, 3-127

Продолжение табл. 1-127

Тип электродвигателя	Статор							Ротор													
	$\frac{j_1, a/мм^2}{AS_1, a/см}$	$\frac{l_{m1}}{м}$	r ₁ , ом	G ₁ , кг	U _э , в	I _э , а	$\frac{D_{a2}}{D_{t2}}$	z ₂	q ₂	Размеры паза $\frac{b; b'; b''}{h; e}$	d ₂ /d' ₂	m ₂	$\omega_{к2}$	n _{э2}	y ₂	a ₂	Схема обмотки (рис. №)	$\frac{j_2, a/мм^2}{AS_2, a/см}$	$\frac{l_{m2}}{м}$	r ₂ , ом	G ₂ , кг
МТ31-6	$\frac{8,6}{8,8}$	$\frac{244}{241}$	$\frac{0,337}{0,595}$	$\frac{5,95}{5,8}$	200	35,6	$\frac{199}{75}$	36	2	$\frac{4,5; 7,8; 3,0}{27,05; 0,7}$	$\frac{1,56/1,77}{-}$	3	8	24	1—7	—	3-76	$\frac{6,2}{164}$	$\frac{0,35}{0,35}$	0,1	$\frac{5,3}{-}$
МТ31-8	$\frac{8,65}{8,4}$	$\frac{255}{249}$	$\frac{0,625}{1,033}$	$\frac{6,1}{6,1}$	185	28,0	$\frac{199}{75}$	48	2	$\frac{4,0; 6,5; 3,0}{25,65; 0,6}$	$\frac{1,35/1,56}{-}$	3	8	24	1—7	—	3-114	$\frac{6,5}{172}$	$\frac{0,34}{0,34}$	0,173	$\frac{5,2}{-}$
МТ41-8	$\frac{8,05}{8,17}$	$\frac{294}{290}$	$\frac{0,352}{0,611}$	$\frac{8,3}{8,1}$	155	46,7	$\frac{238,9}{85}$	48	2	$\frac{4,2; 7,4; 3,2}{30,0; 0,7}$	$\frac{1,56/1,77}{-}$	2	12	24	1—7	2	3-115	$\frac{6,1}{179}$	$\frac{0,32}{0,32}$	0,0685	$\frac{6,6}{-}$
МТ42-8	$\frac{8,0}{8,8}$	$\frac{284}{293}$	$\frac{0,222}{0,437}$	$\frac{10,1}{9,4}$	222	46,3	$\frac{238,9}{85}$	48	2	$\frac{4,2; 7,4; 3,2}{30,0; 0,7}$	$\frac{1,56/1,77}{-}$	2	12	24	1—7	2	3-115	$\frac{6,05}{178}$	$\frac{0,4}{0,4}$	0,086	$\frac{8,4}{-}$
МТ51-8	$\frac{7,38}{8,1}$	$\frac{301}{300}$	$\frac{0,147}{0,276}$	$\frac{13,4}{12,5}$	197	70,5	$\frac{278,8}{100}$	60	2 ^{1/2}	$\frac{4,8; 7,5; 3,2}{33,0; 0,7}$	$\frac{1,5/1,71}{-}$	4	8	32	$\frac{1-8,}{1-9}$	2	3-124	$\frac{5,0}{193}$	$\frac{0,42}{0,42}$	0,041	$\frac{13,7}{-}$
МТ52-8	$\frac{7,75}{7,1}$	$\frac{293}{290}$	$\frac{0,112}{0,175}$	$\frac{15,3}{16,5}$	257	74,3	$\frac{278,8}{100}$	60	2 ^{1/2}	$\frac{4,8; 7,5; 3,2}{33,0; 0,7}$	$\frac{1,5/1,71}{-}$	4	8	32	$\frac{1-8,}{1-9}$	2	3-124	$\frac{5,25}{203}$	$\frac{0,5}{0,5}$	0,0485	$\frac{15,6}{-}$

- Примечания: 1. Изоляция электродвигателей выполнена по классу нагревостойкости А.
2. Обмотка статора в заводском исполнении двухслойная, ротора — однослойная, выполнены проводом марки ПЭЛБО.
3. Изоляция паза статора и ротора в заводском исполнении: электрокартон ЭВ толщиной 0,2 мм; лакоткань ЛХС толщиной 0,2 мм; электрокартон ЭВ толщиной 0,2 мм.
4. Междуслойная прокладка статора в заводском исполнении; электрокартон ЭВ толщиной 0,2 мм; лакоткань ЛХС толщиной 0,2 мм или пленкоэлектрокартон двусторонний Д толщиной 0,5 мм.
5. Прокладка у клина (к обмотке) — электрокартон ЭВ толщиной 0,3 мм.
6. Клин — дерево твердой породы пропитанное.
7. Паз статора выполнен в соответствии с рис. 1-8. паз ротора соответствует рис. 1-5.

Ротор

Тип электро- двигателя	$j_1, \frac{a}{мм^2}$	$AS_1, \frac{a}{см}$	$l_{m1}, мм$	$r_1, ом$	$G, кг$	$U_2, в$	$I_2, а$	$\frac{D_{a2}}{D_{i2}}$	z_2	q_2	Размеры паза $b; b'; \frac{h}{c}$	$a \times b$	m_2	$\omega_{к2}$	$n_{\Phi 2}$	y_2	a_2	Схема обмотки (рис. №)	$j_{кМ}^2, \frac{a}{мм^2}$	$AS_2, \frac{a}{см}$	$l_{m2}, мм$	$r_2, ом$	$G_2, кг$
MT61-10	7,2	329	0,8	0,099	19,5	142	133	$\frac{370,5}{125}$	90	3	$\frac{5,4; 1,6}{26,1; 0,8}$	2,63×10 полуовал	1	1	2	1—10	—	3-150	5,15	206	0,84	0,0171	16,7
	7,36	328		0,175	19,3																		
MT62-10	7,15	311	1,0	0,0615	23,1	206	138	$\frac{370,5}{125}$	90	3	$\frac{5,4; 1,6}{26,1; 0,8}$	2,63×10 полуовал	1	1	2	1—10	—	3-150	5,35	214	1,04	0,0212	20,7
	7,52	321		0,116	23,9																		
MT63-10	6,95	307	1,2	0,0485	28,5	253	160	$\frac{370,5}{125}$	90	3	$\frac{5,4; 1,6}{26,1; 0,8}$	2,63×10 полуовал	1	1	2	1—10	—	3-150	6,2	247	1,23	0,0251	24,5
	7,05	311		0,0865	28,5																		
MT71-10	5,75	356	1,02	0,024	44,8	294	167	$\frac{457,7}{150}$	105	$3\frac{1}{2}$	$\frac{5,7; 1,6}{31,4; 0,7}$	2,83×12,5 полуовал	1	1	2	1—11; 1—12	—	3-151	4,8	244	1,15	0,0201	36,9
	5,64	362		0,0415	46,5																		
MT72-10	5,8	358	1,16	0,0175	51,0	368	170	$\frac{457,7}{150}$	105	$3\frac{1}{2}$	$\frac{5,7; 1,6}{31,4; 0,7}$	2,83×12,5 полуовал	1	1	2	1—11; 1—12	—	3-151	4,87	249	1,29	0,0226	42,4
	5,9	363		0,0315	50,2																		
MT73-10	4,98	357	1,38	0,0124	64,0	442	175	$\frac{457,7}{150}$	105	$3\frac{1}{2}$	$\frac{5,7; 1,6}{31,4; 0,7}$	2,83×12,5 полуовал	1	1	2	1—11; 1—12	—	3-151	5,01	256	1,45	0,0255	47,6
	5,3	354		0,0217	63,0																		

Примечания: 1. Изоляция статора выполнена по классу нагревостойкости А, изоляция ротора — по классу В

2. Обмотка статора в заводском исполнении двухслойная, выполнена проводом марки ПБД для электродвигателей МТ71-10 на напряжение 500 в и проводом марки ПЭЛБО для остальных исполнений.

3. Обмотка ротора в заводском исполнении двухслойная стержневая, выполнена полувальным медным проводом марки МГМ.

4. Изоляция паза статора в заводском исполнении: электрокартон ЭВ толщиной 0,2 мм; лакоткань ЛХС толщиной 0,2 мм; электрокартон ЭВ толщиной 0,2 мм.

5. Междуслойная прокладка статора в заводском исполнении: электрокартон ЭВ толщиной 0,2 мм, лакоткань ЛХС толщиной 0,2 мм или пленкоэлектрокартон двусторонний Д толщиной 0,5 мм.

6. Изоляция паза ротора: электрокартон ЭВ толщиной 0,2 мм; минит гибкий ГФС толщиной 0,2 мм; стеклолакоткань ЛСБ толщиной 0,15 мм или стеклослюдитинитозлектрокартон ССК-П толщиной 0,4 мм; стеклолакоткань ЛСБ толщиной 0,15 мм.

7. Прокладка у клина статора (к обмотке) — электрокартон ЭВ толщиной 0,3 мм, ротора — электрокартон ЭВ толщиной 0,2 мм и минит гибкий ГФС толщиной 0,2 мм, склеенные вместе.

8. Клин — дерево твердой породы пропитанное.

9. Паз статора выполнен в соответствии с рис. 1-8 для электродвигателей 6-го габарита и соответствует рис. 1-1 для двигателей 7-го габарита, паз ротора соответствует рис. 1-5.

Основные обмоточно-расчетные данные крановых электродвигателей типа МТК 1, 2-го габаритов при 2р=6

Тип электродвигателя	Р _э , кВт	U _н , в	I _н , а	n, об/мин	η, %	cos φ	$\frac{I_{пуск}}{I_{н}}$	$\frac{M_{пуск}}{M_{н}}$	$\frac{M_{макс}}{M_{н}}$	Статор				
										$\frac{D_{a1}}{D_{i1}}$	l_{t1} и l_{t2}	δ	B _δ , эс	z ₁
МТК11-6	2,2	220/380 500	11,1/6,4 4,9	883	68,5	0,76	3,3	2,6	2,6	$\frac{210}{148}$	100	0,45	$\frac{7600}{7480}$	$1\frac{1}{2}$ 45
МТК12-6	3,5	220/380 500	16,6/9,6 7,3	875	70,5	0,78	3,6	2,6	2,6	$\frac{210}{148}$	155	0,45	$\frac{7350}{7250}$	$1\frac{1}{2}$ 45
МТК21-6	5,0	220/380 500	23,1/13,4 10,2	910	75,0	0,75	4,3	2,9	3,1	$\frac{245}{170}$	132	0,45	$\frac{8210}{8100}$	3 54
МТК22-6	7,5	220/380 500	33,3/19,3 14,7	905	77,5	0,76	4,4	3,0	3,1	$\frac{245}{170}$	185	0,45	$\frac{8120}{8150}$	3 54

Продолжение табл. 1-129

Тип электродвигателя	Статор											Ротор			
	Размеры паза $\frac{b; b'; b''}{h; e}$	$Q_{с1'}$ мм ²	d/d'	m_1	$w_{к1}$	$n_{э1}$	y_1	a_1	Схема обмотки (рис. №)	$j_1, а/мм^2$	$AS_1, а/см$	$l'_{м1'}$ м	$r_1, ом$	$G_1, кг$	z_2
МТК11-6	$\frac{7,1; 5,5; 2,6}{18,5; 0,6}$	104,7	0,96/1,14 0,83/0,955	1 1	18 24	36 48	1—7	—	3-6, 3-79	8,85 9,06	223 227	0,47	3,01 5,38	2,52 2,52	41
МТК12-6	$\frac{7,1; 5,5; 2,6}{18,5; 0,6}$	104,7	1,16/1,37 1,04/1,175	1 1	12 16	24 32	1—7	—	3-6, 3-79	9,1 8,6	223 226	0,585	1,715 2,82	3,1 3,3	41
МТК21-6	$\frac{7,0; 5,5; 3,2}{21,5; 0,7}$	122,1	1,5/1,71 1,3/1,51	1 1	9 12	18 24	1—9	—	3-6, 3-87	7,58 7,68	244 248	0,575	0,91 1,61	4,6 4,6	44
МТК22-6	$\frac{7,0; 5,5; 3,2}{21,5; 0,7}$	122,1	1,25/1,46 1,08/1,29	1 1	13 17	26 34	1—9	2 2	3-7, 3-88	7,85 8,02	254 253	0,68	0,56 0,98	5,5 5,3	44

Примечания: 1. Изоляция электродвигателей выполнена по классу нагревостойкости А.

2. Обмотка статора в заводском исполнении двухслойная, выполнена проводом марки ПЭЛШКО для электродвигателей 1-го габарита на напряжение 500 в и проводом марки ПЭЛБО для остальных исполнений.

3. Изоляция паза статора в заводском исполнении: электрокартон ЭВ толщиной 0,2 мм; лакоткань ЛХС толщиной 0,2 мм; электрокартон ЭВ толщиной 0,2 мм.

4. Междуслойная прокладка статора в заводском исполнении: элек-

трокартон ЭВ толщиной 0,2 мм; лакоткань ЛХС толщиной 0,2 мм или пленкоэлектрокартон двусторонний Д толщиной 0,5 мм.

5. Прокладка у клина (к обмотке) — электрокартон ЭВ толщиной 0,3 мм.

6. Клин — дерево твердой породы порпитанное.

7. Стержни короткозамкнутой обмотки ротора для электродвигателей 1-го габарита — латунные, кольца — медные, стержни и кольца для двигателей остальных исполнений — алюминиевые сплавы АКМц 10-2.

8. Паз статора выполнен в соответствии с рис. 1-8, паз ротора соответствует рис. 1-10.

Тип электро- двигателя	Р ₂ , кВт	U ₁ , в	I ₁ , а	n, об/мин	η, %	cos φ	$\frac{I_{пуск}}{I_{н}}$	$\frac{M_{пуск}}{M_{н}}$	$\frac{M_{макс}}{M_{н}}$	Статор					
										$\frac{D_{a1}}{D_{t1}}$	$\frac{l_{t1}}{l_{t2}}$	δ	B _δ , эс	z ₁	q ₁
МТК31-6	11,0	220/380 500	45,6/26,4 20,1	920	81,0	0,78	5,1	3,2	3,4	$\frac{280}{200}$	195	0,5	$\frac{8\,520}{8\,600}$	54	3
МТК31-8	7,5	220/380 500	33,0/19,1 14,5	682	78,0	0,76	4,5	2,9	3,0	$\frac{280}{200}$	195	0,5	$\frac{7\,740}{7\,900}$	54	$1\frac{1}{2}\frac{1}{4}$
МТК41-8	11,0	220/380 500	49,7/28,8 21,9	685	79,0	0,73	4,5	3,0	3,2	$\frac{327}{240}$	168	0,55	$\frac{8\,550}{8\,640}$	72	3
МТК42-8	16,0	220/380 500	68,3/39,6 30,1	685	80,5	0,76	4,8	3,1	3,3	$\frac{327}{240}$	248	0,55	$\frac{8\,270}{8\,000}$	72	3
МТК51-8	22,0	220/380 500	90,8/52,6 40,0	692	82,5	0,77	5,0	2,8	3,1	$\frac{368}{280}$	240	0,6	$\frac{7\,920}{7\,950}$	72	3
МТК52-8	28,0	220/380 500	112/64,6 49,1	695	83,5	0,79	5,2	2,8	3,2	$\frac{368}{280}$	320	0,6	$\frac{7\,730}{7\,800}$	72	3

Продолжение табл. 1-130

Тип электро- двигателя	Статор											Ротор			
	Размеры паза $b; b'; b''$ $\frac{h; e}{h; e}$	$Q_{с1}, мм^2$	d/d'	m_1	$\psi_{к1}$	$n_{\Delta 1}$	y_1	α_1	Схема обмотки (рис. №)	$j_1, а/мм^2$	$AS_1,$ $а/см$	$l_{m1}, м$	$r_1, ом$	$G_1, кг$	r
МТК31-6	$\frac{7,4; 5,8; 3,0}{20,6; 0,7}$	122,6	1,45/1,66 1,25/1,46	2 1	5 13	20 26	1—9	— 2	3-6, 3-87 3-7, 3-88	8,0 8,2	227 225	0,72	0,337 0,595	5,95 5,8	44
МТК31-8	$\frac{7,4; 5,8; 3,0}{20,6; 0,7}$	122,6	1,25/1,46 1,56/1,77	2 1	7 9	28 18	1—8	— —	3-10, 3-119	7,78 7,58	230 224	0,71	0,625 1,033	6,1 6,1	64
МТК41-8	$\frac{6,8; 5,0; 3,3}{25,1; 0,8}$	136,5	1,56/1,77 1,35/1,56	1 1	10 13	20 26	1—8	2 2	3-11, 3-126	7,54 7,65	275 272	0,65	0,352 0,611	8,3 8,1	60
МТК42-8	$\frac{6,8; 5,0; 3,3}{25,1; 0,8}$	136,5	1,3/1,51 1,08/1,29	2 1	7 19	28 38	1—8	2 4	3-11, 3-126 3-12, 3-127	7,46 8,21	265 275	0,815	0,222 0,437	10,1 9,4	60
МТК51-8	$\frac{8,2; 6,6; 3,2}{25,8; 0,7}$	174,5	1,56/1,77 1,3/1,51	1 1	13 17	26 34	1—8	4 4	3-12, 3-127	6,87 7,55	280 278	0,84	0,147 0,276	13,4 12,5	60
МТК52-8	$\frac{8,2; 6,6; 3,2}{25,8; 0,7}$	174,5	1,4/1,61 1,56/1,77	3 1	5 13	30 26	1—8	2 4	3-11, 3-126 3-12, 3-127	7,0 6,42	264 261	1,0	0,112 0,175	15,3 16,5	60

Примечания: 1. Изоляция электродвигателей выполнена по классу нагревостойкости А.

2. Обмотка статора в заводском исполнении двухслойная, выполнена на проводе марки ПЭЛБО.

3. Изоляция паза статора в заводском исполнении: электрокартон ЭВ толщиной 0,2 мм; лакоткань ЛХС толщиной 0,2 мм; электрокартон ЭВ толщиной 0,2 мм.

4. Междуслойная прокладка статора в заводском исполнении: электрокартон толщиной 0,2 мм; лакоткань ЛХС толщиной 0,2 мм или пленкоэлектрокартон двусторонний Д толщиной 0,5 мм.

5. Прокладка у клина (к обмотке) — электрокартон ЭВ толщиной 0,3 мм.

6. Клин — дерево твердой породы пропитанное.

7. Стержни короткозамкнутой обмотки ротора латунные, кольца — медные.

8. Паз статора выполнен в соответствии с рис. 1-8, паз ротора соответствует рис. 1-10.

Основные обмоточно-расчетные данные крановых электродвигателей типа КТ 2, 3, 4-й величин при 2р=6

Тип электро- двигателя	$P_2, \text{кВт}$	$U_1, \text{В}$	$I_1, \text{А}$	$\eta, \%$	$\cos \varphi$	$\frac{M_{\text{макс}}}{M_{\text{н}}}$	Статор															
							$\frac{D_{\text{а1}}}{D_{\text{т1}}}$	$l_{\text{т1}}$ и $l_{\text{т2}}$	δ	$B_{\delta}, \text{Зс}$	z_1	q_1	Размеры пазов $b; b'; \frac{b}{h}$	$Q_{\text{с1}}, \text{мм}^2$	d_1/d'_1	m_1	$\omega_{\text{к1}}$	$n_{\text{э1}}$	y_1	a_1	Схема обмотки (рис. №)	
КТ22/1002	2,2	220/380 500	12,1/7,0 5,4	71,0	0,67	$\frac{2,0}{2,1}$	$\frac{265}{155}$	80	0,4	7 000 7 150	48	$\frac{2}{23}$	$\frac{9,0; 6,3}{28,5}$	200	$\frac{1,2/1,47}{1,04/1,31}$	1 1	21 27	42 54	1—9	—	—	3-6, 3-81
КТ30/1002	3,0	220/380 500	16,3/9,4 7,1	73,0	0,67	2,1	$\frac{265}{155}$	105	0,4	7 000 7 000	48	$\frac{2}{23}$	$\frac{9,0; 6,3}{28,5}$	200	$\frac{1,35/1,62}{1,2/1,47}$	1 1	16 21	32 42	1—9	—	—	3-6, 3-81
КТ40/1003	4,0	220/380 500	18,7/10,8 8,2	77,0	0,73	$\frac{2,4}{1,80}$	$\frac{290}{180}$	110	0,5	7 050 7 080	48	$\frac{2}{23}$	$\frac{8,8; 7,0}{22,0}$	154	$\frac{1,4/1,67}{1,2/1,47}$	1 1	13 17	26 34	1—9	—	—	3-6, 3-81
КТ55/1003	5,5	220/380 500	29,5/15 11,2	80,0	$\frac{0,70}{0,71}$	$\frac{2,7}{2,6}$	$\frac{290}{180}$	155	0,5	7 230 7 100	48	$\frac{2}{23}$	$\frac{8,8; 7,0}{22,0}$	154	$\frac{1,2/1,47}{1,45/1,72}$	2 1	9 12	36 24	1—9	—	—	3-6, 3-81
КТ75/1004	8	220/380 500	34,6/20 15,2	82,5	0,74	$\frac{2,65}{2,7}$	$\frac{330}{215}$	150	0,6	6 720 6 720	54	3	$\frac{7,6}{29,5}$	212	$\frac{1,5/1,77}{1,35/1,62}$	2 1	8 21	32 42	1—8	—	—	3-6, 3-82 3-7, 3-84
КТ110/1004	12	220/380 500	49,3/28,5 22,0	$\frac{84,5}{84,0}$	$\frac{0,76}{0,75}$	$\frac{2,8}{2,9}$	$\frac{330}{215}$	220	0,6	6 660 6 860	54	3	$\frac{7,6}{29,5}$	212	$\frac{1,74/2,01}{1,5/1,77}$	1 2	11 7	22 28	1—8	—	—	3-7, 3-84 3-6, 3-82

Продолжение табл. 1-131

Тип электро- двигателя	Статор						Ротор																
	$j_1, \frac{a}{мм^2}$	$AS_1, \frac{a}{см}$	$l_{m1}', \frac{м}{м}$	$r_1, \frac{ом}{м}$	$G_1, \frac{кг}{кг}$	$U_2, \frac{в}{в}$	$I_2, \frac{а}{а}$	D_{a2}	z_2	q_2	Размеры, $\frac{b; b'}{h}$ паза	d_2/d'_2	m_2	$\omega_{к2}$	$n_{э2}$	y_2	a_2	Схема обмотки (рис. №)	$j_2, \frac{а}{мм^2}$	$AS_2, \frac{а}{см}$	$l_{m2}', \frac{м}{м}$	$r_2, \frac{ом}{м}$	$G_2, \frac{кг}{кг}$
КТ22/1002	6,18 6,36	290 287	0,5	2,58 4,44	5,1 4,9	147 150	9,7 9,0	154,2	36	2	5; 7,8 23	1,56/1,83	1	24	24	1—8 2—7	—	3-77	5,07 4,7	173 160	0,445	0,58	3,3
КТ30/1002	6,56 6,27	296 294	0,55	1,72 2,84	5,4 5,6	193	10,5	154,2	36	2	5; 7,8 23	1,56/1,83	1	24	24	1—8 2—7	—	3-77	5,5	187	0,495	0,653	3,7
КТ40/1003	7,02 7,25	239 236	0,57	1,33 2,34	5,0 4,9	121 120	22	179	36	2	6,1; 8,5 22	1,56/1,83	2	12	24	1—8 2—7	—	3-77	5,75	169	0,52	0,168	4,0
КТ55/1003	6,63 6,8	229 228	0,66	0,734 1,37	5,8 5,7	175 173	20	179	36	2	6,1; 8,5 22	1,56/1,83	2	12	24	1—8 2—7	—	3-77	5,23	154	0,61	0,203	4,7
КТ75/1004	5,66 5,3	256 255	0,66	0,471 0,765	9,0 9,5	95	53	213,8	36	2	6,2; 9,5 27,7	2,1/2,37	1	18	18	1—8 2—7	3	3-78	5,1	170	0,644	0,039	6,6
КТ110/1004	6,0 6,23	251 247	0,8	0,294 0,5	10,1 9,5	140 141	53 52,5	213,8	36	2	6,2; 9,5 27,7	2,1/2,37	1	18	18	1—8 2—7	3	3-78	5,1 5,05	170 169	0,784	0,0475	8,0

Примечания: 1. Изоляция электродвигателей в заводском исполнении выполнена по классу нагревостойкости А.

2. Обмотка статора в заводском исполнении двухслойная, ротора — однослойная двухплоскостная, выполнены проводом марки ПБД.

3. Изоляция пазов статора и ротора в заводском исполнении: электротрактон ЭВ толщиной 0,2 мм; лакоткань ЛХС толщиной 0,2 мм; электротрактон ЭВ толщиной 0,2 мм.

4. Междуслойная прокладка статора и прокладка у клина (к обмотке) в заводском исполнении: электротрактон ЭВ толщиной 0,3 мм.

5. Клин — дерево твердой породы пропитанное.

6. Паз статора выполнен в соответствии с рис. 1-8 для электродвигателей 2 и 3-й величин и соответствует рис. 1-19 для электродвигателей 4-й величины; паз ротора соответствует рис. 1-5.

Основные обмоточно-расчетные данные крановых электродвигателей типа КТ 5, 6-й величин при 2р=8

Тип электро- двигателя	P _э , квт	U _н , в	I _н , а	n, об/мин	η, %	cos φ	$\frac{M_{\text{макс}}}{M_{\text{н}}}$	Статор										a ₁	y ₁	Схема обмот- ки (рис №)	
								$\frac{D_{\text{a1}}}{D_{\text{i1}}}$	$\frac{l_{t1}}{l_{t2}}$	δ	B _δ , эс	z ₁	q ₁	Размеры паза $\frac{b}{h}$	$Q_{\text{с1}},$ мм ²	d ₁ /d' ₁	m ₁				w' _{к1}
КТ110/755	11	220/380	46,7/27	705	83,0	0,75	$\frac{2,6}{2,65}$	$\frac{370}{260}$	180	0,65	6 390	48	2	$\frac{10,3}{27,5}$	263	1,45/1,72	3	8	48	—	3-10, 3-110
		500	20,5								6 390					1—6		2		1,56/1,83	1
КТ150/755	16	220/380	64,3/37,2	705	84,0	0,78	$\frac{2,6}{2,65}$	$\frac{370}{260}$	250	0,65	6 190	48	2	$\frac{10,3}{27,5}$	263	1,68/1,95	3	6	36	—	3-10, 3-110
		500	28,2								6 060					1—6		2		1,81/2,08	2
КТ220/756	22	220/380	84,7/49	710	84,5	0,81	3,0	440	200	0,75	6 600	72	3	$\frac{8}{32,5}$	246	1,68/1,95	2	8	32	2	3-11, 3-128
		500	36,0		6 300	1—9	2	2,1/2,37			1					11		22		2	3-128
КТ300/756	30	220/380	110/63,5	715	85,5	0,84	2,9	440	290	0,75	6 080	72	3	$\frac{8}{32,5}$	246	1,95/2,22	2	6	24	2	3-11, 3-128
		500	48,0		5 960		1—9	2			1,68/1,95					2		8		32	2

Продолжение табл. 1-132

Тип электро- двигателя	Статор					Ротор																	
	$j_1, \frac{a}{мм^2}$	$AS_1, \frac{a}{см}$	$l_{m1}, \frac{м}{м}$	$r_1, \text{ом}$	$G_1, \text{кг}$	$U_2, \text{в}$	$I_2, \frac{a}{а}$	D_{a2}	z_2	q_2	Размеры $\frac{b}{паза}$ $\frac{h}{h}$	$a \times b$	m_2	$w_{к2}$	$n_{\theta 2}$	y_2	a_2	Схема обмотки (рис. №)	$j_2, \frac{a}{мм^2}$	$AS_2, \frac{a}{см}$	$l_{m2}, \frac{м}{м}$	$r_2, \text{ом}$	$G_2, \text{кг}$
КТ110/755	5,45	254	0,705	0,322	12,0	68,5	100	258,7	72	3	$\frac{5}{23}$	$2,44 \times 9,3$	1	1	2	1—10	—	3-131	4,48	177	0,72	0,014	10,5
	5,36	253																					
КТ150/755	5,59	262	0,845	0,212	14,5	92,5	109	258,7	72	3	$\frac{5}{23}$	$2,44 \times 9,3$	1	1	2	1—10	—	3-131	4,89	193	0,86	0,0165	12,5
	5,48	265																					
КТ220/756	5,51	290	0,805	0,152	18,5	122	112	308,5	96	4	$\frac{5}{23,5}$	$2,44 \times 9,3$	1	1	2	1—13	—	3-138	5,02	222	0,81	0,0193	15,5
	5,2	293																					
КТ300/756	5,3	282	0,985	0,103	23,0	165	113	308,5	96	4	$\frac{5}{23,5}$	$2,44 \times 9,3$	1	1	2	1—13	—	3-138	5,06	224	0,99	0,0234	18,8
	5,4	284																					

Примечания: 1. Изоляция статора в заводском исполнении выполнена по классу нагревостойкости А, изоляция ротора — по классу В.

2. Обмотка статора в заводском исполнении двухслойная, выполнена проводом марки ПБД, ротора — двухслойная стержневая, выполнена полуовальным медным проводом марки МГМ.

3. Изоляция паза статора в заводском исполнении: электрокартон ЭВ толщиной 0,2 мм; лакоткань ЛХС толщиной 0,2 мм; электрокартон ЭВ толщиной 0,2 мм.

4. Междуслойная прокладка статора в заводском исполнении — электрокартон ЭВ толщиной 0,3 мм.

5. Изоляция паза ротора: электрокартон ЭВ толщиной 0,2 мм; гибкий миканит ГФС толщиной 0,2 мм; стеклолакоткань ЛСБ толщиной 0,15 мм или стеклотекстолитэлектрокартон ССК-П толщиной 0,4 мм; стеклолакоткань ЛСБ толщиной 0,15 мм.

6. Прокладка у клина статора (к обмотке) — электрокартон ЭВ толщиной 0,3 мм.

7. Клин — дерево твердой породы пропитанное.

8. Паз статора выполнен в соответствии с рис. 1-19, паз ротора соответствует рис. 1-10.

Тип электро- двигателя	Статор					Ротор																	
	$j_1, \frac{a}{мм^2}$	$AS_1, \frac{a}{см}$	$l_{m1}, \frac{м}{м}$	$r_1, ом$	$G, кг$	$U_2, в$	$I_2, а$	D_{a2}	z_2	q_2	Размеры паза $\frac{b}{h}$	$a \times b$	i_{m2}	$w_{к2}$	n_{a2}	y_2	a_2	Схема обмотки (рис. №)	$j_2, \frac{a}{мм^2}$	$AS_2, \frac{a}{см}$	$l_{m2}, \frac{м}{м}$	$r_2, ом$	$G_2, кг$
КТ300/607	4,81	304	1,01	0,099	34,0	170	110	378	120	4	$\frac{5}{23}$	$2,44 \times 9,3$	1	1	2	1—13	—	3-152	4,93	222	0,96	0,0302	23,0
	4,86	307		0,173	34,0																		
КТ400/607	4,53	302	1,14	0,0653	40,5	215	112	378	120	4	$\frac{5}{23}$	$2,44 \times 9,3$	1	1	2	1—13	—	3-152	5,02	226	1,1	0,0347	26,5
	4,49	302		0,112	40,8																		
КТ500/608	4,4	316	1,07	0,0435	44,0	240	126	408	120	4	$\frac{5}{30}$	$2,44 \times 12,5$	1	1	2	1—13	—	3-152	4,2	236	1,05	0,0244	34,0
	4,28	313		0,0725	44,6																		
КТ640/608	4,71	315	1,23	0,0344	47,2	300	127	408	120	4	$\frac{5}{30}$	$2,44 \times 12,5$	1	1	2	1—13	—	3-152	4,23	238	1,21	0,0282	39,5
	4,82	314		0,0613	46,0																		
КТ800/609	3,85	359	1,2	0,0215	72,0	302	160	457,5	120	4	$\frac{5,8}{30,3}$	$3,28 \times 12,5$	1	1	2	1—13	—	3-152	3,95	267	1,215	0,0202	52,5
	3,99	361		0,038	69,8																		
КТ1000/609	4,18	348	1,4	0,0185	75,0	372	163	457,5	120	4	$\frac{5,8}{30,3}$	$3,28 \times 12,5$	1	1	2	1—13	—	3-152	4,03	273	1,415	0,0236	61,2
	4,08	348		0,031	76,3																		
КТ1250/609	4,0	351	1,6	0,0119	90,0	478	155	457,5	120	4	$\frac{5,8}{30,3}$	$3,28 \times 12,5$	1	1	2	1—13	—	3-152	3,83	259	1,615	0,0277	70,0
	3,9	351		0,0197	92,0																		

Примечания: 1. Изоляция статора в заводском исполнении выполнена по классу нагревостойкости А, изоляция ротора — по классу В. 2. Обмотка статора в заводском исполнении двухслойная, выполнена на проводом марки ПБД, ротора — двухслойная стержневая, выполнена на полуовальным медным проводом марки МГМ. 3. Изоляция паза статора в заводском исполнении: электрокартон ЭВ толщиной 0,2 мм; лакоткань ЛХС толщиной 0,2 мм; электрокартон ЭВ толщиной 0,2 мм. 4. Междуслойная прокладка статора в заводском исполнении — электрокартон ЭВ толщиной 0,3 мм.

5. Изоляция паза ротора: электрокартон ЭВ толщиной 0,2 мм; гибкий миканит ГФС толщиной 0,2 мм; стеклолакоткань ЛСБ толщиной 0,15 мм или стеклослюдитоэлектрокартон ССК-П толщиной 0,4 мм; стеклолакоткань ЛСБ толщиной 0,15 мм.

6. Прокладка у клина статора (к обмотке) — электрокартон ЭВ толщиной 0,3 мм.

7. Клин — дерево твердой породы пропитанное.

8. Паз статора выполнен в соответствии с рис. 1-19, паз ротора соответствует рис. 1-10.

210

Таблица 1-134

Основные обмоточно-расчетные данные крановых электродвигателей типа КТО 2, 3, 4-й величин при 2р=6

Тип электро- двигателя	$P_2, \text{ кВт}$	$U_1, \text{ в}$	$I_1, \text{ а}$	$n_{\text{тпв}}/\text{до } 'и$	$\eta, \%$	$\cos \varphi$	Статор						d_1/d_1'	m_1	$\omega_{\text{к1}}$	$n_{\text{эл}}$	y_1	a_1	Схема обмотки (рис. №)
							$M_{\text{макс}}/M_{\text{н}}$	$D_{\text{эл}}/D_{\text{т1}}$	$l_{\text{т1}} \text{ и } l_{\text{т2}}$	δ	$B_{\delta}, \text{ эс}$	z_1	b_1	Размеры паза $b; b'; h$	$Q_{\text{с1}}, \text{ мм}^2$				
КТО30/1002	2,8	220/380 500	16,8/9,7 7,4	900	69	0,64	2,0	$\frac{265}{155}$	80	0,4	$\frac{7750}{7750}$	48	$\frac{2}{2}$	$\frac{9,0; 6,3}{28,5}$	200	$\frac{1}{1}$	$\frac{1,4/1,67}{1,2/1,47}$	—	3-6, 3-81
КТО40/1002	4,0	220/380 500	20,9/12,1 9,2	910	74	0,68	2,0	$\frac{265}{155}$	105	0,4	$\frac{7470}{7350}$	48	$\frac{2}{2}$	$\frac{9,0; 6,3}{28,5}$	200	$\frac{1}{1}$	$\frac{1,56/1,83}{1,35/1,62}$	—	3-6, 3-81
КТО55/1003	5,5	220/380 500	25,3/14,6 11,0	920	77,5 77	$\frac{0,74}{0,75}$	$\frac{2,15}{2,1}$	$\frac{290}{180}$	110	0,5	$\frac{7630}{7520}$	48	$\frac{2}{2}$	$\frac{8,8; 7,0}{22,0}$	154	$\frac{1}{1}$	$\frac{1,56/1,83}{1,35/1,62}$	—	3-6, 3-81
КТО75/1003	7,5	220/380 500	31,7/18,3 13,8	930 940	81 81,5	0,77	2,2	$\frac{290}{180}$	155	0,5	$\frac{7230}{7110}$	48	$\frac{2}{2}$	$\frac{8,8; 7,0}{22,0}$	154	$\frac{2}{1}$	$\frac{1,25/1,52}{1,56/1,83}$	—	3-6, 3-81
КТО110/1004	11,0	220/380 500	48,2/27,9 21,5	945	82,5 82	$\frac{0,73}{0,72}$	$\frac{2,55}{2,65}$	$\frac{330}{215}$	150	0,6	$\frac{7670}{7840}$	54	3	$\frac{7,6}{29,5}$	212	$\frac{2}{2}$	$\frac{1,68/1,95}{1,45/1,72}$	—	3-6, 3-82
КТО150/1004	15,0	220/380 500	63/36,5 28,0	955	84	$\frac{0,75}{0,74}$	$\frac{2,6}{2,65}$	$\frac{330}{215}$	220	0,6	$\frac{7330}{7400}$	54	3	$\frac{7,6}{29,5}$	212	$\frac{3}{1}$	$\frac{1,56/1,83}{1,68/1,95}$	— 2	3-6, 3-82 3-7, 3-84

Продолжение табл. 1-134

Тип электро- двигателя	Статор					Ротор																	
	$j_1, \frac{a}{мм^2}$	$AS_1, \frac{a}{см}$	$l_{m1}, \text{ м}$	$r_1, \text{ ом}$	$G_1, \text{ кг}$	$U_2, \text{ в}$	$I_2, \text{ а}$	D_{a2}	z_2	q_2	Размеры паза $\frac{b; b'}{h}$	d_2/d'_2	m_2	$\omega_{к2}$	$n_{\text{эл}2}$	y_2	a_2	Схема обмотки (рис. №)	$j_2, \frac{a}{мм^2}$	$AS_2, \frac{a}{см}$	$l_{m2}, \text{ м}$	$r_2, \text{ ом}$	$G_2, \text{ кг}$
КТО30/1002	6,3	363	0,5	1,72	6,3	160	12,0	154,2	36	2	$5; \frac{7,8}{23}$	1,56/1,83	1	24	24	$\frac{1-8}{2-7}$	—	3-77	6,28	214	0,445	0,58	3,3
	6,55	364		2,98	6,1																		
КТО40/1002	6,33	358	0,55	1,21	6,8	202	12,7	154,2	36	2	$5; \frac{7,8}{23}$	1,56/1,83	1	24	24	$\frac{1-8}{2-7}$	—	3-77	6,65	227	0,495	0,653	3,7
	6,42	363		2,15	6,8																		
КТО55/1003	7,63	298	0,57	0,992	5,8	130	27	179	36	2	$6,1; \frac{8,5}{22}$	1,56/1,83	2	12	24	$\frac{1-8}{2-7}$	—	3-77	$7,06 \frac{7,2}{7,2}$	208	0,52	0,168	4,0
	7,68	299		1,77	5,8	129	27,5													211			
КТО75/1003	7,45	280	0,66	0,672	6,5	173	27	179	36	2	$6,1; \frac{8,5}{22}$	1,56/1,83	2	12	24	$\frac{1-8}{2-7}$	—	3-77	$7,06 \frac{7,2}{7,2}$	208	0,61	0,203	4,7
	7,22	281		1,15	6,7	27	27,5													211			
КТО110/1004	6,28	312	0,66	0,33	9,8	108	64	213,8	36	2	$6,2; \frac{9,5}{27,7}$	2,1/2,37	1	18	18	$\frac{1-8}{2-7}$	3	3-78	$6,16 \frac{5,98}{5,98}$	206	0,644	0,039	6,6
	6,5	310		0,57	9,4	110	62													200			
КТО150/1004	6,36	292	0,80	0,221	11,0	150	60	213,8	36	2	$6,2; \frac{9,5}{27,7}$	2,1/2,37	1	18	18	$\frac{1-8}{2-7}$	3	3-78	5,78	193	0,784	0,0475	8,0
	6,3	291		0,37	11,1	151																	

Примечания:

1. Изоляция электродвигателей в заводском исполнении выполнена по классу нагревостойкости А.

2. Обмотка статора в заводском исполнении двухслойная, ротора — однослойная двухплоскостная, выполнены проводом марки ПБД.

3. Изоляция паза статора и ротора в заводском исполнении: электродвигателей 2-й и 3-й величин и соответсвует рис. 1-19 для электродвигателей 4-й величины; паз ротора соответствует рис. 1-5.

4. Междуслойная прокладка статора и прокладка у клина (к обмотке) в заводском исполнении: электродвигателей 2-й и 3-й величин и соответсвует рис. 1-19 для электродвигателей 4-й величины; паз ротора соответствует рис. 1-5.

5. Клин — дерево твердой породы пропитанное.

6. Паз статора выполнен в соответствии с рис. 1-8 для электродвигателей 2-й и 3-й величин и соответсвует рис. 1-19 для электродвигателей 4-й величины; паз ротора соответствует рис. 1-5.

Основные обмоточно-расчетные данные крановых электродвигателей типа КТО 5, 6-й величин при 2p=3

Тип электро- двигателя	P _э , кВт	U _н , в	I _н , а	η, %	cos φ	M _{макс} M _н	Статор															
							$\frac{D_{a1}}{D_{i1}}$	$\frac{l_{t1}}{l_{t2}}$	δ	B _δ , эс	z ₁	q ₁	Размеры, паза $\frac{b}{h}$	Q _{с1'} , мм ²	d ₁ /d' ₁	m ₁	ω _{к1}	n _{э1}	y ₁	a ₁	Схема обмотки (рис. №)	
КТО150/755	15	220/380 500	64/37 28,3	710	84	0,73	2,7	370	180	0,65	7330	48	2	10,3	263	1,56/1,83	3	7	42	1—6	—	3-10, 3-110
				700	83	0,74	2,5	260			7100						1,68/1,95	1	19	38		2
КТО220/755	22	220/380 500	94,2/54,5 41,5	710	85	0,72	2,75 2,8	370	250	0,65	7380 7450	48	2	10,3 27,5	263	1,88/2,15 1,40/1,67	3	5 13	30 52	1—6	—	3-10, 3-110 3-11, 3-112
КТО300/756	30	220/380 500	118/68 51,0	715	86 85	0,78 0,80	2,95 2,75	440	200	0,75	7530 7290	72	3	8 32,5	246	1,88/2,15 1,56/1,83	2	7 19	28 38	1—9	2 4	3-11, 3-128 3-12, 3-129
КТО450/756	45	220/380 500	173/100 77,0	720	86,5	0,79	2,9	440	290	0,75	7270 7350	72	3	8 32,5	246	1,56/1,83 1,95/2,22	2	10 13	40 26	1—9	4 4	3-12, 3-129

Продолжение табл. 1-135

Тип электро- двигателя	Статор					Ротор																	
	$\frac{j_1,}{a/мм^2}$	$\frac{AS_1,}{a/см}$	$l_{m1},$ м	$r_1, ом$	$G_1,$ кг	$U_2, в$	$I_2, а$	D_{a2}	z_2	q_2	Размеры паза $\frac{b}{h}$	$a \times b$	m_2	$\omega_{к2}$	$n_{э2}$	y_2	a_2	Схема об- мотки (рис. №)	$\frac{j_2,}{a/мм^2}$	$\frac{AS_2,}{a/см}$	$l_{m2},$ м	$r_2, ом$	$G_2,$ кг
КТО150/755	6,45 6,37	305 316	0,705	0,242 0,42	12,1 12,7	78 76	119 124	258,7	72	3	$\frac{5}{23}$	2,44×9,3	1	1	2	1—10	—	3-131	5,34 5,56	211 220	0,72	0,014	10,5
КТО220/755	6,54 6,75	320 317	0,845	0,142 0,248	15,0 14,5	109	123	258,7	72	3	$\frac{5}{23}$	2,44×9,3	1	1	2	1—10	—	3-131	5,52	218	0,86	0,0165	12,5
КТО300/756	6,11 6,66	352 358	0,805	0,106 0,21	20,0 19,0	136 134	135 139	308,5	96	4	$\frac{5}{23,5}$	2,44×9,3	1	1	2	1—13	—	3-138	6,05 6,24	268 276	0,81	0,0193	15,5
КТО450/756	6,54 6,44	370 370	0,985	0,0673 0,112	24,2 24,6	195	142	308,5	96	4	$\frac{5}{23,5}$	2,44×9,3	1	1	2	1—13	—	3-138	6,36	282	0,99	0,0234	18,8

Примечания: 1. Изоляция статора в заводском исполнении выполнена по классу нагревостойкости А, изоляция ротора — по классу В. 2. Обмотка статора в заводском исполнении двухслойная, выполнена на проводом марки ПБД, ротора — двухслойная стержневая, выполнена полуовальным медным проводом марки МГМ.

3. Изоляция паза статора в заводском исполнении: электрокартон ЭВ толщиной 0,2 мм; лакоткань ЛХС толщиной 0,2 мм; электрокартон ЭВ толщиной 0,2 мм.

4. Междуслойная прокладка статора в заводском исполнении — электрокартон ЭВ толщиной 0,3 мм.

5. Изоляция паза ротора: электрокартон ЭВ толщиной 0,2 мм; гибкий миканит ГФС толщиной 0,2 мм; стеклолакоткань ЛСБ толщиной 0,15 мм или стеклотекстолитэлектрокартон ССК-П толщиной 0,4 мм; стеклолакоткань ЛСБ толщиной 0,15 мм.

6. Прокладка у клина статора (к обмотке) — электрокартон ЭВ толщиной 0,3 мм.

7. Клин — дерево твердой породы пропитанное.

8. Паз статора выполнен в соответствии с рис. 1-19, паз ротора соответствует рис. 1-10.

Таблица 1-136
Основные обмоточно-расчетные данные крановых электродвигателей типа КТО 7, 8, 9-й величин при 2p=10

Тип электро- двигателя	P _э , кВт	U ₁ , в	I ₁ , а	η, %	cos φ	$\frac{M_{max}}{M_{II}}$	Статор										Схема обмотки (рис. №)					
							$\frac{D_{a1}}{D_{t1}}$	$\frac{l_{t1}}{II}$ l_{t2}	δ	B _δ , зс	z ₁	q ₁	Размеры паза $\frac{b}{h}$	Q _{с1} , мм ²	d ₁ /d' ₁	m ₁		ω _{к1}	n _{э1}	y ₁	a ₁	
КТО450/607	43	220/380 500	176/102 77,0	570	86	0,75	2,5	$\frac{500}{380}$	270	1,0	$\frac{6500}{6400}$	90	3	$\frac{8,4}{35,5}$	275	$\frac{1,56/1,83}{1,95/2,22}$	$\frac{1}{1}$	$\frac{24}{16}$	$\frac{48}{32}$	$\frac{1-9}{10}$	$\frac{5}{5}$	$\frac{3-15, 3-147}{3-14, 3-148}$
КТО600/607	57	220/380 500	228/132 100	570	86,5	0,76	2,5	$\frac{500}{380}$	340	1,0	$\frac{6500}{6500}$	90	3	$\frac{8,4}{35,5}$	275	$\frac{1,68/1,95}{1,95/2,22}$	$\frac{1}{3}$	$\frac{19}{5}$	$\frac{38}{30}$	$\frac{1-9}{10}$	$\frac{2}{2}$	$\frac{3-15, 3-147}{3-13, 3-146}$
КТО800/608	70	220/380 500	273/158 120	580	$\frac{89}{88,5}$	0,76	2,5	$\frac{550}{410}$	300	1,0	$\frac{7280}{7170}$	90	3	$\frac{8,8}{36,5}$	305	$\frac{1,88/2,15}{2,26/2,59}$	$\frac{2}{1}$	$\frac{9}{12}$	$\frac{36}{24}$	$\frac{1-9}{5}$	$\frac{5}{5}$	$\frac{3-14, 3-148}{3-14, 3-148}$
КТО1050/608	90	220/380 500	345/200 160	580	$\frac{90}{89,5}$	$\frac{0,76}{0,73}$	$\frac{2,65}{2,7}$	$\frac{550}{410}$	380	1,0	$\frac{7370}{7530}$	90	3	$\frac{8,8}{36,5}$	305	$\frac{1,81/2,08}{1,95/2,22}$	$\frac{3}{2}$	$\frac{7}{9}$	$\frac{42}{36}$	$\frac{1-9}{5}$	$\frac{5}{5}$	$\frac{3-14, 3-148}{3-14, 3-148}$
КТО1250/609	110	220/380 500	455/263 202	$\frac{583}{585}$	$\frac{90}{90}$	$\frac{0,71}{0,7}$	$\frac{2,5}{2,6}$	$\frac{615}{460}$	330	1,25	$\frac{7480}{7650}$	90	3	$\frac{10,2}{42,0}$	409	$\frac{1,81/2,08}{2,26/2,59}$	$\frac{2}{2}$	$\frac{14}{9}$	$\frac{56}{36}$	$\frac{1-9}{10}$	$\frac{5}{5}$	$\frac{3-15, 3-147}{3-14, 3-148}$
КТО1550/609	140	220/380 500	553/320 242	585	91	$\frac{0,73}{0,74}$	$\frac{2,65}{2,55}$	$\frac{615}{460}$	430	1,25	$\frac{7320}{7050}$	90	3	$\frac{10,2}{42,0}$	409	$\frac{2,02/2,29}{2,44/2,77}$	$\frac{2}{1}$	$\frac{11}{15}$	$\frac{44}{30}$	$\frac{1-9}{10}$	$\frac{10}{10}$	$\frac{3-15, 3-147}{3-15, 3-147}$
КТО1950/609	165	220/380 500	670/387 292	$\frac{91,5}{91}$	$\frac{0,71}{0,72}$	$\frac{2,75}{2,7}$	$\frac{615}{460}$	$\frac{615}{460}$	530	1,25	$\frac{7250}{7130}$	90	3	$\frac{10,2}{42,0}$	409	$\frac{1,81/2,08}{1,95/2,22}$	$\frac{3}{2}$	$\frac{9}{12}$	$\frac{54}{48}$	$\frac{1-9}{10}$	$\frac{10}{10}$	$\frac{3-15, 3-147}{3-15, 3-147}$

Тип электро- двигателя	Статор					Ротор																	
	$j, \frac{A}{mm^2}$	$AS_1, \frac{A}{cm}$	$l_{m1}, \frac{M}{M}$	r_1, OM	$G_1, \frac{Kz}{Kz}$	$U_2, \frac{B}{B}$	$I_2, \frac{A}{A}$	D_{a2}	z_2	q_2	Разме- ры паза $\frac{b}{h}$	$a \times b$	m_2	w_{K2}	$n_{\Phi 2}$	y_2	a_2	Схема обмотки (рис. №)	$j_2, \frac{A}{mm^2}$	$AS_2, \frac{A}{cm}$	$l_{m2}, \frac{M}{M}$	r_2, OM	$G_2, \frac{Kz}{Kz}$
КТО450/607	5,33	369	1,01	0,066	37	196	131	378	120	4	$\frac{5}{23}$	2,44×9,3	1	1	2	1—13	—	3-152	5,87	265	0,96	0,0302	23
	5,15	372		0,113	38,5	252	137	378	120	4	$\frac{5}{23}$												
КТО600/607	5,95	378	1,14	0,051	38,5	252	137	378	120	4	$\frac{5}{23}$	2,44×9,3	1	1	2	1—13	—	3-152	6,15	277	1,1	0,0347	26,5
	5,57	377		0,083	40,8	260	158	408	120	4	$\frac{5}{30}$												
КТО800/608	5,68	398	1,07	0,0363	42,8	260	158	408	120	4	$\frac{5}{30}$	2,44×12,5	1	1	2	1—13	—	3-152	5,27	296	1,05	0,0244	34
	5,98	403		0,067	41,5	258	160	408	120	4	$\frac{5}{30}$												
КТО1050/608	5,18	391	1,23	0,0235	53	348	155	408	120	4	$\frac{5}{30}$	2,44×12,5	1	1	2	1—13	—	3-152	5,17	290	1,21	0,0282	39,5
	5,35	402		0,0387	53	350	154	408	120	4	$\frac{5}{30}$												
КТО1250/609	5,12	458	1,2	0,0171	69,2	336	190	457,5	120	4	$\frac{5,8}{30,3}$	3,28×12,5	1	1	2	1—13	—	3-152	4,7	318	1,215	0,0202	52,5
	5,03	453		0,0282	69	340	188	457,5	120	4	$\frac{5,8}{30,3}$												
КТО1550/609	5,0	439	1,4	0,0126	79	435	190	457,5	120	4	$\frac{5,8}{30,3}$	3,28×12,5	1	1	2	1—13	—	3-152	4,7	318	1,415	0,0236	61,2
	5,17	452		0,0234	78,5	430	193	457,5	120	4	$\frac{5,8}{30,3}$												
КТО1950/609	5,01	434	1,6	0,0096	89	530	187	457,5	120	4	$\frac{5,8}{30,3}$	3,28×12,5	1	1	2	1—13	—	3-152	4,62	313	1,615	0,0274	70
	4,89	437		0,0169	92	527	187	457,5	120	4	$\frac{5,8}{30,3}$												

Примечания: 1. Изоляция статора в заводском исполнении выполнена по классу нагревостойкости А, изоляция ротора — по классу В. 2. Обмотка статора в заводском исполнении двухслойная, выполнена на проводом марки ПВД, ротора — двухслойная стержневая, выполнена полуовальным медным проводом марки МГМ. 3. Изоляция паза статора в заводском исполнении: электрокартон ЭВ толщиной 0,2 мм; лакоткань ЛХС толщиной 0,2 мм; электрокартон ЭВ толщиной 0,2 мм. 4. Междуслойная прокладка статора в заводском исполнении — электрокартон ЭВ толщиной 0,3 мм.

5. Изоляция паза ротора: электрокартон ЭВ толщиной 0,2 мм; минит гибкий ГФС толщиной 0,2 мм; стеклолакоткань ЛСБ толщиной 0,15 мм или стеклотекстолит электрокартон ССК-П толщиной 0,4 мм; стеклолакоткань ЛСБ толщиной 0,15 мм. 6. Прокладка у клина статора (к обмотке) — электрокартон ЭВ толщиной 0,3 мм. 7. Клин — дерево твердой породы пропитанное. 8. Паз статора выполнен в соответствии с рис. 1-19, паз ротора соответствует рис. 1-15.

Таблица 1-137
Основные обмоточно-расчетные данные крановых электродвигателей типа КТК 2, 3, 4-й величин при 2p=6

Тип электро- двигателя	Р _э , квт	U ₁ , в	I ₁ , а	n, об/мин	η, %	cos φ	I _{пуск} I _н	M _{пуск} M _н	M _{макс} M _н	Статор							d ₁ /d' ₁	m ₁	
										D _{а1} D _{т1}	l _{т1} и l _{т2}	δ	B _δ , эс	z ₁	q ₁	Размеры паза b; b' h			Q _{с1} , мм ²
КТК22/1002	2,4	220/380 500	12,0/7,0 5,3	945	75,0	0,70	3,2	1,6	1,75	265 155	80	0,4	7 040 7 200	48	2 2/3	9; 6,3 28,5	200	1,2/1,47 1,04/1,31	1 1
КТК30/1002	3,3	220/380 500	16/9,3 7,1	940	77,0	0,70	3,2	1,8	1,85	265 155	105	0,4	7 000 7 000	48	2 2/3	9; 6,3 28,5	200	1,35/1,62 1,2/1,47	1 1
КТК40/1003	4,5	220/380 500	9,7/11,4 8,7	950	80,0	0,75	3,8	1,9	2,05	290 180	110	0,5	7 050 7 070	48	2 2/3	8,8; 7,0 22,0	154	1,4/1,67 1,2/1,47	1 1
КТК55/1003	6,2	220/380 500	26,8/15,5 11,8	955	83,0	0,73	4,5	2,2	2,35	290 180	155	0,5	7 240 7 120	48	2 2/3	8,8; 7,0 22,0	154	1,2/1,77 1,45/1,72	2 1
КТК75/1004	9,0	220/380 500	35,5/20,5 15,5	970	86,0	0,78	5,3	2,2	2,55	330 215	150	0,6	6 730 6 730	54	3	7,6 29,5	212	1,5/1,77 1,35/1,62	2 1
КТК110/1004	13,5	220/380 500	52/30,0 23,0	975	86,5	0,79 0,78	5,5	2,25 2,3	2,6 2,7	330 215	220	0,6	6 650 6 870	54	3	7,6 29,5	212	1,74/2,01 1,5/1,77	1 2

Продолжение табл. 1-137

Тип электро- двигателя	Статор										Ротор						
	$w_{к1}$	$n_{э1}$	y_1	a_1	Схема обмотки (рис. №)	$I_1,$ $а/мм^2$	$AS_1,$ $а/см$	$l_{m1},$ $м$	$r_1, ом$	$G_1, кг$	z_1	Размеры паза b h	Стержень			Кольцо короткозамы- кающее общее	$G_2, кг$
													медный		стальной		
													верхний $a \times b$	нижний $a \times b$			
КТК22/1002	21 27	42 54	1—9	—	3-6, 3-81	6,18 6,25	290 282	0,5	2,58 4,35	5,1 4,9	52	$3,3 \frac{3,3}{22}$	2,83×2,83	2,83 < 8	2,5×10	8×23	2,9
КТК30/1002	16 21	32 42	1—9	—	3-6, 3-81	6,5 6,27	293 294	0,55	1,72 2,85	5,4 5,6	52	$3,3 \frac{3,3}{22}$	2,83×2,83	2,83×8	2,5×10	8×23	3,2
КТК40/1003	13 17	26 34	1—9	—	3-6, 3-81	7,4 7,7	252 251	0,57	1,33 2,34	5,0 4,9	58	$3,3 \frac{3,3}{22}$	2,83×2,83	2,83×6,9	2,5×10,8	10×23	4,1
КТК55/1003	9 12	36 24	1—9	—	3-6, 3-81	6,85 7,15	237 240	0,66	0,734 1,37	5,8 5,7	58	$3,3 \frac{3,3}{22}$	2,83×2,83	2,83×6,9	2,5×10,8	10×23	4,8
КТК75/1004	8 21	32 42	1—8	2	3-6, 3-82 3-7, 3-84	5,8 5,4	262 260	0,66	0,471 0,765	9,0 9,5	58	$4,2 \frac{4,2}{27}$	3,8×3,8	3,8×8	2,5×14	8×28	6,5
КТК110/1004	11 7	22 28	1—8	2	3-7, 3-84 3-6, 3-82	6,3 6,5	264 258	0,8	0,294 0,50	10,1 9,5	58	$4,2 \frac{4,2}{27}$	3,8×3,8	3,8×8	2,5×14	8×28	8,1

Примечания: 1. Изоляция электродвигателей в заводском исполнении выполнена по классу нагревостойкости А.
2. Обмотка статора в заводском исполнении двухслойная, выполнена проводом марки ПБД, ротора — двойная медная клетка с общим короткозамыкающим кольцом.
3. Изоляция паза статора в заводском исполнении: электрокартон ЭВ толщиной 0,2 мм; лакоткань ЛХС толщиной 0,2 мм; электрокартон ЭВ толщиной 0,2 мм.
4. Междуслойная прокладка статора и прокладка у клина (к обмотке) в заводском исполнении — электрокартон ЭВ толщиной 0,3 мм.
5. Клин — дерево твердой породы пропитанное.
6. Паз статора выполнен в соответствии с рис. 1-8 для электродвигателей 2-й и 3-й величин и соответствует рис. 1-19 для электродвигателей 4-й величины; паз ротора соответствует рис. 1-3.

Основные обмоточно-расчетные данные крановых электродвигателей типа КТК 5, 6-й величин при 2p=8

Тип электро- двигателя	Р _э , квт	U ₁ , в	I ₁ , а	n, об/мин	η, %	cos φ	$\frac{I_{пуск}}{I_{н}}$	$\frac{M_{пуск}}{M_{н}}$	$\frac{M_{макс}}{M_{н}}$	Статор								
										$\frac{D_{a1}}{D_{i1}}$	$\frac{l_{t1}}{и \ l_{t2}}$	δ	B _δ , гс	z ₁	q ₁	Размеры паза $\frac{b}{h}$	Q _{с1} , мм ²	d/d'
КТК110/755	12	220/380 500	47,5/27,5 21,0	730	87,0	0,76	4,4	$\frac{1,75}{1,7}$	2,3	$\frac{370}{260}$	180	0,65	$\frac{6400}{6400}$	48	2	$\frac{10,3}{27,5}$	263	1,45/1,72 1,56/1,83
КТК150/755	16,5 16,0	220/380 500	67,5/39 30,0	730	86,0 85,5	0,75	4,2	$\frac{1,75}{1,65}$	2,1	$\frac{370}{260}$	250	0,65	$\frac{6150}{6070}$	48	2	$\frac{10,3}{27,5}$	263	1,68/1,95 1,81/2,08
КТК220/756	23	220/380 500	89/51,5 39,0	730	87,0 $\frac{86,5}{}$	0,78 $\frac{0,79}{}$	$\frac{4,8}{4,7}$	$\frac{2,3}{2,1}$	$\frac{2,3}{2,1}$	$\frac{440}{310}$	200	0,75	$\frac{6600}{6300}$	72	3	$\frac{8}{32,5}$	246	1,68/1,95 2,1/2,37
КТК300/756	32	220/380 500	119,5/69 52,5	730	88,0	0,80	4,7	2,2	2,3	$\frac{440}{310}$	290	0,75	$\frac{6060}{5960}$	72	3	$\frac{8}{32,5}$	246	1,95/2,22 1,68/1,95

Продолжение табл. 1-138

Тип электро- двигателя	Статор											Ротор						
	m ₁	ω _{к1}	n _{э1}	y ₁	a ₁	Схема обмотки (рис. №)	j ₁ , а/мм ²	AS ₁ , а/см	l _{m1} , м	r ₁ , ом	G ₁ , кг	z ₂	Разме- ры паза $\frac{b}{h}$	Стержень			Кольцо коротко- замыкаю- щее общее	G ₂ , кг
														медный		стальной		
														верхний a×b	нижний a×b			
КТК110/755	3 1	8 21	48 42	1—6	— 2	3-10, 3-110 3-11, 3-112	5,55 5,5	258 259	0,705	0,323 0,54	12,0 12,2	68	4,2 27	3,8×3,8	3,8×8	2,5×14	12×28	10,1
КТК150/755	3 2	6 8	36 32	1—6	—	3-10, 3-110	5,85 5,84	275 282	0,845	0,212 0,367	14,5 14,8	68	4,2 27	3,8×3,8	3,8×8	2,5×14	12×28	12,0
КТК220/756	2 1	8 11	32 22	1—9	2 2	3-11, 3-128	5,8 5,63	305 318	0,805	0,152 0,266	18,5 20,0	84	4,4 32	3,8×3,8	3,8×8	3×19	12×33	13,0
КТК300/756	2 2	6 8	24 32	1—9	2 2	3-11, 3-128	5,76 5,9	306 310	0,985	0,103 0,185	23 22,5	84	4,4 32	3,8×3,8	3,8×8	3×19	12×33	16,0

Примечания: 1. Изоляция электродвигателей в заводском исполнении выполнена по классу нагревостойкости А.

2. Обмотка статора в заводском исполнении двухслойная, выполнена проводом марки ПБД, ротора — двойная медная клетка с общим короткозамыкающим кольцом.

3. Изоляция паза статора в заводском исполнении: электрокартон ЭВ толщиной 0,2 мм; лакоткань ЛХС толщиной 0,2 мм; электрокартон ЭВ толщиной 0,2 мм.

4. Междуслойная прокладка статора и прокладка у клина (к обмотке) в заводском исполнении — электрокартон ЭВ толщиной 0,3 мм.

5. Клин — дерево твердой породы породы пропитанное.

6. Паз статора выполнен в соответствии с рис. 1-19, паз ротора соответствует рис. 1-3.

1-8. ОСНОВНЫЕ ОБМОТОЧНО-РАСЧЕТНЫЕ ДАННЫЕ

Основные обмоточно-расчетные данные

Тип электро- двигателя	$P_2, \text{квт}$	$U, \text{в}$	$I, \text{а}$	$n, \text{об/мин}$	$\eta, \%$	$\cos \varphi$	$\frac{I_{\text{пуск}}}{I_{\text{н}}}$	$\frac{M_{\text{пуск}}}{M_{\text{н}}}$	$\frac{M_{\text{макс}}}{M_{\text{н}}}$	Ста				
										$\frac{D_{a1}}{D_{i1}}$	$\frac{l_{t1}}{l_{t2}}$	δ	$B_{\delta, \text{гс}}$	z_1
АД-21/2	1,6	127/220	10,4/6,0	2 925	81,0	0,86	8,0	1,3	2,6	$\frac{152}{82}$	$\frac{90}{95}$	0,35	6 720	24
		220/380	6,0/3,5										6 830	
		500	2,6										7 030	
АД-22/2	2,2	127/220	13,8/8,0	2 925	83,0	0,87	8,0	1,3	2,6	$\frac{152}{82}$	$\frac{112}{117}$	0,35	7 050	24
		220/380	8,0/4,6										6 920	
		500	3,5										6 960	
АД-21/4	1,0	127/220	7,4/4,3	1 425	78,6	0,79	5,0	1,1	1,8	$\frac{152}{91}$	$\frac{76}{81}$	0,3	7 430	24
		220/380	4,3/2,5										7 070	
		500	1,9										7 490	
АД-22/4	1,5	127/220	10,5/6,1	1 425	81,0	0,81	5,0	1,1	1,8	$\frac{152}{91}$	$\frac{105}{110}$	0,3	7 150	24
		220/380	6,1/3,5										7 050	
		500	2,7										7 120	
АД-21/6	0,55	127/220	5,2/3,0	940	71,0	0,68	4,0	0,9	1,8	$\frac{152}{91}$	$\frac{76}{81}$	0,3	6 200	27
		220/380	3,0/1,7										6 700	
		500	1,3										6 670	
АД-22/6	0,85	127/220	7,2/4,2	940	75,5	0,71	4,0	0,9	1,8	$\frac{152}{91}$	$\frac{105}{110}$	0,3	6 580	27
		220/380	4,2/2,4										6 650	
		500	1,8										6 650	

Примечания: 1. Обмотка статора в заводском исполнении двухслойная выполнена проводом марки ПЭЛБО.

2. Изоляция паза статора в заводском исполнении: электрокартон ЭВ толщиной 0,2 мм; лакоткань ЛХС толщиной 0,2 мм; электрокартон ЭВ толщиной 0,1 мм.

3. Междуслойная прокладка в пазу в заводском исполнении — электрокартон ЭВ толщиной 0,3 мм.

4. Прокладка в лобовой части — электрокартон ЭВ толщиной 0,2 мм и лакоткань ЛХС толщиной 0,15 мм, склеенные вместе.

ЭЛЕКТРОДВИГАТЕЛЕЙ ВЫПУЩЕННЫХ РАНЕЕ СЕРИЙ

Таблица 1-139

электродвигателей типа АД 2-го габарита

тор															Ротор
q_1	Размеры паза $b; b'; b''$ $h; e$	$Q_{s1},$ $мм^2$	d/d'	m_1	$\omega_{к1}$	$n_{э1}$	y_1	a_1	Схема обмотки (рис. №)	$j_1,$ $а/мм^2$	$AS_1,$ $а/см$	$l_{m1},$ $м$	$r_1, ом$	$G_1, кг$	z_2
4	$\frac{9,0; 7,5; 2,2}{14,6; 0,8}$	99,8	1,0/1,21	1	17	34		—	3-1, 3-22	7,65	190	0,472	1,43	1,45	18
			0,77/0,95	1	29	58	1—9	—		7,5	189		3,95	1,44	
			0,67/0,84	1	37	74		—		7,37	179		6,9	1,41	
4	$\frac{9,0; 7,5; 2,2}{14,6; 0,8}$	99,8	0,8/0,98	2	13	52		—	3-1, 3-22	7,95	194	0,516	0,95	1,56	18
			0,86/1,04	1	23	46	1—9	—		7,91	197		2,86	1,55	
			0,74/0,92	1	30	60		—		8,14	196		5,05	1,55	
2	$\frac{9,4; 6,8; 2,0}{18,5; 0,8}$	130,6	0,93/1,11	1	28	56		—	3-3, 3-40	6,34	202	0,364	2,1	1,55	30
			0,67/0,84	1	51	102	1—6	—		7,08	214		7,37	1,48	
			0,59/0,76	1	63	126		—		6,96	201		11,8	1,44	
2	$\frac{9,4; 6,8; 2,0}{18,5; 0,8}$	130,6	0,74/0,92	2	21	84		—	3-3, 3-40	7,1	215	0,422	1,45	1,73	30
			0,8/0,98	1	37	74	1—6	—		6,95	217		4,4	1,79	
			0,69/0,86	1	48	96		—		7,22	217		7,75	1,75	
$1 \frac{1}{2}$	$\frac{9,0; 5,8; 2,0}{21,9; 0,8}$	146	0,8/0,98	1	41	82		—	3-6, 3-68	5,97	241	0,332	4,3	1,77	35
			0,62/0,79	1	66	132	1—5	—		5,63	213		11,5	1,69	
			0,51/0,68	1	87	174		—		6,37	214		22,3	1,53	
$1 \frac{1}{2}$	$\frac{9,0; 5,8; 2,0}{21,9; 0,8}$	146	0,67/0,84	2	28	112		—	3-6, 3-68	5,95	222	0,392	2,46	2,0	35
			0,74/0,92	1	48	96	1—5	—		5,58	216		6,91	2,06	
			0,62/0,79	1	64	128		—		5,97	218		13,1	1,96	

5. Клин — дерево твердой породы пропитанное.

6. Стержни и кольца короткозамкнутой обмотки ротора выполнены из алюминия марки А5.

7. Паз статора выполнен в соответствии с рис. 1-8, паз ротора соответствует рис. 1-9 для двух- и четырехполюсных электродвигателей и рис. 1-5 — для шестиполюсных.

Основные обмоточно-расчетные данные электродвигателей

Тип электро- двигателя	P_2 , квт	U , в	I , а	n , об/мин	η , %	$\cos \varphi$	$\frac{I_{\text{пуск}}}{I_{\text{н}}}$	$\frac{M_{\text{пуск}}}{M_{\text{н}}}$	$\frac{M_{\text{макс}}}{M_{\text{н}}}$	Стр				
										$\frac{D_{a1}}{D_{i1}}$	$\frac{l_{t1}}{l_{t2}}$	δ	$B_{\delta, \text{зс}}$	z_1
АД-31/2	3,2	127/220	19,7/11,4	2 925	84,0	0,88	8,0	1,3	2,6	$\frac{182}{98}$	$\frac{100}{105}$	0,4	7 200	24
		220/380	11,4/6,6										7 100	
		500	5,0										7 000	
АД-32/2	4,2	127/220	25,6/14,7	2 925	85,0	0,88	9,0	1,3	2,6	$\frac{182}{98}$	$\frac{122}{127}$	0,4	7 050	24
		220/380	14,7/8,5										7 200	
		500	6,5										7 300	
АД-31/4	2,2	127/220	15,1/8,7	1 440	82,5	0,82	5,5	1,1	1,8	$\frac{182}{108}$	$\frac{86}{91}$	0,35	8 150	24
		220/380	8,7/5,0										7 880	
		500	3,8										8 000	
АД-32/4	3,2	127/220	21/12,1	1 440	84,0	0,83	6,0	1,1	1,8	$\frac{182}{108}$	$\frac{116}{121}$	0,3	7 720	24
		220/380	12,1/7,0										8 020	
		500	5,3										7 980	
АД-31/6	1,2	127/220	9,5/5,5	930	78,0	0,73	5,0	0,9	1,8	$\frac{182}{118}$	$\frac{90}{95}$	0,3	6 600	27
		220/380	5,5/3,2										6 600	
		500	2,4										6 600	
АД-32/6	1,8	127/220	13,7/7,9	930	80,0	0,75	5,0	0,9	1,8	$\frac{182}{118}$	$\frac{122}{127}$	0,3	6 650	27
		220/380	7,9/4,6										6 650	
		500	3,5										6 700	

Примечания: 1. Обмотка статора в заводском исполнении двухслойная, выполнена проводом марки ПЭЛБО.
 2. Изоляция паза статора в заводском исполнении: электрокартон ЭВ толщиной 0,2 мм, лакоткань ЛХС толщиной 0,2 мм; электрокартон ЭВ толщиной 0,1 мм.
 3. Междуслойная прокладка в пазу в заводском исполнении — электрокартон ЭВ толщиной 0,3 мм.
 4. Прокладка в лобовой части — электрокартон ЭВ толщиной 0,2 мм и лакоткань ЛХС толщиной 0,15 мм, склеенные вместе.

типа АД 3-го габарита

тор															Ротор
q_1	Размеры паза $b; b'; b''$ $h; e$	$Q_{s1},$ $мм^2$	d/d'	m_1	$w_{к1}$	$n_{э1}$	y_1	a_1	Схема обмотки (рис. №)	$j_1,$ $a/мм^2$	$AS_1,$ $a/см$	$l_{m1},$ $м$	$r_1, ом$	$G_1, кг$	z_2
4	$\frac{10,1; 8,3; 2,5}{16,3; 0,8}$	125	0,96/1,14	2	12	48		—	3-1, 3-22	7,86	214	0,54	0,628	2,1	18
			1,04/1,25	1	21	42	1—9	—		7,78	216		1,88	2,14	
			0,9/1,08	1	28	56		—		7,85	218		3,32	2,2	
4	$\frac{10,1; 8,3; 2,5}{16,3; 0,8}$	125	1,04/1,25	2	10	40		—	3-1, 3-22	8,65	230	0,584	0,483	2,21	18
			1,16/1,37	1	17	34	1—9	—		8,05	226		1,32	2,34	
			1,0/1,21	1	22	44		—		8,28	223		2,3	2,24	
2	$\frac{10,4; 7,6; 2,3}{20,7; 0,8}$	163,3	0,9/1,08	2	19	76		—	3-3, 3-40	6,85	234	0,428	0,9	2,31	30
			0,96/1,14	1	34	68	1—6	—		6,9	240		0,82	2,34	
			0,83/1,01	1	44	88		—		7,03	236		4,9	2,28	
2	$\frac{10,4; 7,6; 2,3}{20,7; 0,8}$	163,3	1,04/1,25	2	15	60		—	3-3, 3-40	7,12	256	0,488	0,605	2,76	30
			1,12/1,33	1	25	50	1—6	—		7,1	247		1,74	2,68	
			0,96/1,14	1	33	66		—		7,32	248		3,13	2,6	
$1\frac{1}{2}$	$\frac{10,2; 7,5; 2,3}{21,7; 0,8}$	169,7	1,12/1,33	1	26	52		—	3-6, 3-68	5,58	209	0,402	1,68	2,58	37
			0,83/1,01	1	45	90	1—5	—		5,91	210		5,44	2,55	
			0,69/0,86	1	59	118		—		6,42	206		10	2,26	
$1\frac{1}{2}$	$\frac{10,2; 7,5; 2,3}{21,7; 0,8}$	169,7	0,93/1,11	2	19	76		—	3-6, 3-68	5,81	218	0,466	1,03	3,03	37
			1,0/1,21	1	33	66	1—5	—		5,86	221		3,1	3,03	
			0,86/1,04	1	43	86		—		6,03	219		5,44	2,95	

5. Клинь — дерево твердой породы пропитанное.

6. Стержни и кольца короткозамкнутой обмотки ротора, выполнены из алюминия марки А5.

7. Паз статора выполнен в соответствии с рис. 1-8, паз ротора соответствует рис. 1-9 для двух- и четырехполюсных электродвигателей и рис. 1-5 — для шестиполюсных.

Основные обмоточно-расчетные данные

Тип электро- двигателя	P_2 , квт	U , в	I , а	n , об/мин	η , %	$\cos \varphi$	$\frac{I_{\text{пуск}}}{I_{\text{н}}}$	$\frac{M_{\text{пуск}}}{M_{\text{н}}}$	$\frac{M_{\text{макс}}}{M_{\text{н}}}$	Ста				
										$\frac{D_{a1}}{D_{i1}}$	$\frac{l_{t1}}{l_{t2}}$	δ	B_{δ} , гс	z_1
АД-41/2	5,1	127/220	31,0/17,8	2 935	85,0	0,88	8,0	1,3	2,4	$\frac{213}{115}$	$\frac{110}{115}$	0,45	6 220	24
		220/380	17,8/10,3										6 340	
		500	7,9										6 420	
АД-42/2	7,4	127/220	44/25,4	2 935	86,0	0,89	7,5	1,3	2,4	$\frac{213}{115}$	$\frac{136}{141}$	0,45	6 280	24
		220/380	25,4/14,8										6 210	
		500	11,2										6 350	
АД-41/4	4,3	127/220	27,4/15,8	1 445	85,0	0,84	6,5	1,2	2,0	$\frac{213}{128}$	$\frac{104}{109}$	0,35	8 500	36
		220/380	15,8/9,1										8 280	
		500	6,9										8 300	
АД-42/4	5,8	127/220	36/20,8	1 445	86,0	0,85	7,0	1,2	2,0	$\frac{213}{128}$	$\frac{130}{135}$	0,35	8 350	36
		220/380	20,8/12										8 160	
		500	9,1										8 200	
АД-41/6	2,7	127/220	19,4/11,2	960	82,0	0,77	6,0	0,9	2,0	$\frac{213}{143}$	$\frac{110}{115}$	0,35	7 550	36
		220/380	11,2/6,5										7 480	
		500	5,0										7 360	
АД-42/6	3,5	127/220	24,4/14,1	960	83,0	0,78	6,0	0,9	2,0	$\frac{213}{143}$	$\frac{136}{141}$	0,35	7 340	36
		220/380	14,1/8,2										7 460	
		500	6,3										7 580	

Примечания: 1. Обмотка статора в заводском исполнения двухслойная, выполнена проводом марки ПЭЛБО.
 2. Изоляция паза статора в заводском исполнении: электрокартон ЭВ толщиной 0,2 мм; лакоткань ЛХС толщиной 0,2 мм; электрокартон ЭВ толщиной 0,1 мм.
 3. Междуслойная прокладка в пазу в заводском исполнении — электрокартон ЭВ толщиной 0,3 мм.
 4. Прокладка в лобовой части — электрокартон ЭВ толщиной 0,2 мм и лакоткань ЛХС толщиной 0,15 мм, склеенные вместе.

электродвигателей типа АД 4-го габарита

тор															Ротор	
q_1	Размеры паза $b; b'; b''$ $h; e$	$Q_{s1},$ $мм^2$	d/d'	m_1	w_{k1}	$n_{\Sigma 1}$	y_1	a_1	Схема обмотки (рис. №)	$j_1,$ $a/мм^2$	$AS_1,$ $a/см$	$l_{m1},$ $м$	$r_1, ом$	$G_1, кг$	z_2	
4	$\frac{11,7; 9,9; 2,8}{18,8; 1,0}$	149,4	1,25/1,46	2	10	40	—	—	3-1, 3-22	7,25	237	0,61	0,35	3,3	18	
			1,35/1,56	1	17	34	1—9	—		7,2	233		1,01	3,3		
			1,2/1,41	1	22	44	—	—		6,98	230		1,67	3,4		
4	$\frac{11,7; 9,9; 2,8}{18,8; 1,0}$	149,4	1,16/1,37	3	8	48	—	—	3-1, 3,22	8,01	270	0,662	0,234	3,7	18	
			1,08/1,29	2	14	56	1—9	—		8,07	275		0,71	3,8		
			0,93/1,11	2	18	72	—	—		8,25	268		1,23	3,6		
3	$\frac{7,7; 5,2; 2,6}{21,8; 1,0}$	126,5	1,16/1,37	2	9	36	—	—	3-3, 3-44	7,48	255	0,486	0,437	3,1	27	
			1,25/1,46	1	16	32	1—8	—		7,42	261		1,34	3,2		
			1,08/1,29	1	21	42	—	—		7,54	260		2,35	3,2		
3	$\frac{7,7; 5,2; 2,6}{21,8; 1,0}$	126,5	1,35/1,56	2	7	28	1—9	—	3-3, 3-47	7,25	261	0,57	0,294	3,8	27	
			1,4/1,61	1	13	26	1—8	—		7,8	280		0,538	0,96		3,6
			1,2/1,41	1	17	34	1—8	—		8,04	277		0,538	1,71		3,5
2	$\frac{8,7; 6,5; 2,6}{21,6; 1,0}$	145,1	1,08/1,29	2	12	48	—	—	3-6, 3-72	6,11	216	0,462	0,637	3,4	46	
			1,16/1,37	1	21	42	1—6	—		6,15	219		1,93	3,4		
			1,0/1,21	1	28	56	—	—		6,37	224		3,47	3,4		
2	$\frac{8,7; 6,5; 2,6}{21,6; 1,0}$	145,1	1,2/1,41	2	10	40	—	—	3-6, 3-72	6,23	226	0,514	0,479	3,9	46	
			1,3/1,51	1	17	34	1—6	—		6,18	224		1,39	3,8		
			1,12/1,33	1	22	44	—	—		6,4	222		2,42	3,7		

5. Клинь — дерево твердой породы пропитанное.

6. Стержни и кольца короткозамкнутой обмотки ротора выполнены из алюминия марки А5.

7. Паз статора выполнен в соответствии с рис. 1-8; паз ротора соответствует рис. 1-11 для двухполюсных электродвигателей, рис. 1-9 для четырехполюсных и рис. 1-5 — для шестиполюсных.

Основные обмоточно-расчетные данные

Тип электро- двигателя	P_2 , квт	U , в	I , а	n , об/мин	η , %	$\cos \varphi$	$\frac{I_{\text{пуск}}}{I_{\text{н}}}$	$\frac{M_{\text{пуск}}}{M_{\text{н}}}$	$\frac{M_{\text{макс}}}{M_{\text{н}}}$	Ст				
										$\frac{D_{a1}}{D_{i1}}$	$\frac{l_{t1}}{l_{t2}}$	δ	$B_{\delta, \text{гс}}$	z_1
АД-51/2	10,0	127/220	59,5/34,3	2 935	86,5	0,89	7,5	1,3	2,2	$\frac{245}{132}$	$\frac{122}{127}$	0,6	7 470	24
		220/380	34,3/19,8										7 540	
		500	15,0										7 450	
АД-52/2	12,0	127/220	71,0/41,0	2 935	86,5	0,89	7,5	1,3	2,2	$\frac{245}{132}$	$\frac{142}{147}$	0,6	7 490	24
		220/380	41,0/24,0										7 780	
		500	18,3										7 860	
АД-51/4	7,8	127/220	48,0/27,7	1 455	86,5	0,86	7,0	1,2	2,5	$\frac{245}{148}$	$\frac{116}{121}$	0,4	8 470	36
		220/380	27,7/16,0										9 340	
		500	12,2										9 000	
АД-52/4	10,0	127/220	60,5/35,0	1 455	87,0	0,86	7,0	1,2	2,5	$\frac{245}{148}$	$\frac{142}{147}$	0,4	9 680	36
		220/380	35,0/20,2										9 320	
		500	15,3										9 190	
АД-51/6	5,0	127/220	33,7/19,5	970	84,0	0,80	6,0	0,9	2,0	$\frac{245}{169}$	$\frac{122}{127}$	0,4	7 700	36
		220/380	19,5/11,3										7 500	
		500	8,6										7 500	
АД-52/6	6,0	127/220	39,4/22,8	970	85,0	0,81	6,0	0,9	2,0	$\frac{245}{169}$	$\frac{150}{155}$	0,4	7 050	36
		220/380	22,8/13,2										6 970	
		500	10,0										7 130	
АД-51/8	2,8	127/220	22,5/13,0	720	80,0	0,71	4,0	1,0	1,8	$\frac{245}{169}$	$\frac{122}{127}$	0,4	6 620	36
		220/380	13,0/7,5										6 470	
		500	5,7										6 540	
АД-52/8	3,5	127/220	27,0/15,6	720	81,0	0,73	4,0	1,0	1,8	$\frac{245}{169}$	$\frac{150}{155}$	0,4	7 000	36
		220/380	15,6/9,0										6 730	
		500	6,9										6 630	

Примечания: 1. Обмотка статора в заводском исполнении двухслойная, выполнена проводом марки ПЭЛБО.
 2. Изоляция паза статора в заводском исполнении: электрокартон ЭВ толщиной 0,2 мм; лакоткань ЛХС толщиной 0,2 мм; электрокартон ЭВ толщиной 0,1 мм.
 3. Междуслойная прокладка в пазу в заводском исполнении — электрокартон ЭВ толщиной 0,3 мм.
 4. Прокладка в лобовой части — электрокартон ЭВ толщиной 0,2 мм и лакоткань ЛХС толщиной 0,15 мм, склеенные вместе.

электродвигателей типа АД 5-го габарита

тор															Ротор
q_1	Размеры паза $b; b'; b''$ $h; e$	$Q_{s1},$ $мм^2$	d/d'	m_1	$\omega_{к1}$	$n_{э1}$	y_1	a_1	Схема обмотки (рис. №)	$j_1,$ $а/мм^2$	$AS_1,$ $а/см$	$l_{m1},$ $м$	$r_1, ом$	$G_1, кг$	z_2
4	$\frac{12,8; 11,0; 3,0}{19,8; 1,0}$	194,0	1,3/1,51	3	7	42	—	—	3-1, 3-22	8,62	278	0,68	0,168	4,2	18
			1,2/1,41	2	12	48	1—9	—		8,74	275		0,506	4,09	
			1,5/1,71	1	16	32	—	—		8,5	278		0,864	4,25	
4	$\frac{12,8; 11,0; 3,0}{19,8; 1,0}$	194,0	1,45/1,66	3	6	36	—	—	3-1, 3-22	8,27	285	0,72	0,123	4,72	18
			1,35/1,56	2	10	40	1—9	—		8,38	278		0,353	4,56	
			1,16/1,37	2	13	52	—	—		8,65	276		0,622	4,4	
3	$\frac{8,7; 5,6; 3,0}{25,3; 1,0}$	164,7	1,25/1,46	3	7	42	—	—	3-3, 3-44	7,52	300	0,548	0,22	4,68	42
			1,2/1,41	2	11	44	1—8	—		7,06	274		0,562	4,55	
			1,5/1,71	1	15	30	—	—		6,9	284		0,98	4,8	
3	$\frac{8,7; 5,6; 3,0}{25,3; 1,0}$	164,7	1,45/1,66	3	5	30	—	—	3-3, 3-44	7,05	271	0,6	0,128	4,94	42
			1,35/1,56	2	9	36	1—8	—		7,05	282		0,396	5,13	
			1,16/1,37	2	12	48	—	—		7,24	285		0,738	5,08	
2	$\frac{10,3; 7,9; 3,0}{24,1; 1,0}$	193,7	1,16/1,37	3	9	54	—	—	3-6, 3-72	6,15	238	0,518	0,31	4,93	46
			1,08/1,29	2	16	64	1—6	—		6,16	246		0,95	5,06	
			1,35/1,56	1	21	42	—	—		6,0	245		1,6	5,15	
2	$\frac{10,3; 7,9; 3,0}{24,1; 1,0}$	193,7	1,25/1,46	3	8	48	—	—	3-6, 3-72	6,2	247	0,574	0,263	5,62	46
			1,16/1,37	2	14	56	1—6	—		6,25	251		0,8	5,72	
			1,0/1,21	2	18	72	—	—		6,37	244		1,39	5,41	
1 $\frac{1}{2}$	$\frac{10,3; 7,9; 3,0}{24,1; 1,0}$	193,7	1,16/1,37	2	13	52	—	—	3-10, 3-109	6,15	230	0,486	0,63	4,5	46
			1,15/1,46	1	23	46	1—5	—		6,11	234		1,93	4,6	
			1,08/1,29	1	30	60	—	—		6,22	232		3,36	4,5	
1 $\frac{1}{2}$	$\frac{10,3; 7,9; 3,0}{24,1; 1,0}$	193,7	1,35/1,56	2	10	40	—	—	3-10, 3-109	5,45	212	0,542	0,38	5,16	46
			1,45/1,66	1	18	36	1—5	—		5,45	220		1,31	5,35	
			1,25/1,46	1	24	48	—	—		5,63	224		2,25	5,3	

5. Клинь — дерево твердой породы пропитанное.
6. Стержни и кольца короткозамкнутой обмотки ротора выполнены из алюминия марки А5.
7. Паз статора выполнен в соответствии с рис. 1-8; паз ротора соответствует рис. 1-11 для двухполюсных электродвигателей, рис. 1-12 — для четырехполюсных и рис. 1-5 — для шести- и восьмиполюсных.

Тип электро- двигателя	P_2 , квт	U , в	I , а	n , об/мин	η , %	$\cos \varphi$	$\frac{I_{пуск}}{I_H}$	$\frac{M_{пуск}}{M_H}$	$\frac{M_{макс}}{M_H}$	Ста				
										$\frac{D_{a1}}{D_{i1}}$	l_{t1}	δ	$B_{\delta, зс}$	z_1
АД-61/2	16	220/380	54/31	2 930	87,0	0,89	5,5	1,6	2,0	$\frac{280}{153}$	140	0,7	6 830	30
		500	24										7 000	
АД-62/2	20	220/380	67/39	2 930	87,5	0,90	6,0	1,8	2,2	$\frac{280}{153}$	180	0,7	7 110	30
		500	29										7 000	
АД-71/2	28	220/380	94/54	2 940	88,0	0,90	5,5	1,8	2,0	$\frac{328}{178}$	170	0,8	6 860	36
		500	41										6 880	
АД-72/2	35	220/380	116/67	2 940	89,0	0,90	6,0	2,0	2,2	$\frac{328}{178}$	200	0,8	7 300	36
		500	51										7 380	
АД-81/2	48	220/380	157/91	2 940	89,0	0,90	5,5	1,7	2,0	$\frac{370}{200}$	190	0,8	7 840	36
		500	69										7 360	
АД-82/2	60	220/380	195/113	2 940	89,5	0,91	6,0	1,8	2,2	$\frac{370}{200}$	230	0,8	7 130	36
		500	86										7 010	
АД-91/2	80	200/380	256/149	2 950	90,0	0,91	6,0	1,7	2,0	$\frac{425}{230}$	200	0,9	7 350	42
		500	113										7 350	
АД-92/2	96	220/380	308/178	2 950	90,5	0,91	6,5	1,7	2,0	$\frac{425}{230}$	240	0,9	7 680	42
		500	135										7 800	

Примечания: 1. Обмотка статора в заводском исполнении двухслойная, выполнена проводом марки ПБД.
 2. Изоляция паза статора в заводском исполнении; для электродвигателей 6, 7, 8-го габаритов — электрокартон ЭВ толщиной 0,2 мм; лакоткань ЛХС толщиной 0,2 мм; электрокартон ЭВ толщиной 0,1 мм; для электродвигателей 9-го габарита: электрокартон ЭВ толщиной 0,2 мм — 1¹/₄ слоя; лакоткань ЛХС толщиной 0,3 мм — 1¹/₄ слоя; электрокартон ЭВ толщиной 0,1 мм — впритык; прокладка на дно паза — электрокартон ЭВ толщиной 0,2 мм.
 3. Междуслойная прокладка в заводском исполнении; для электродвигателей 6, 7, 8-го габаритов — электрокартон ЭВ толщиной 0,4 мм; для электродвигателей 9-го габарита — электрокартон ЭВ толщиной 0,5 мм; прокладка между полукатушками — электрокартон ЭВ толщиной 0,2 мм.

электродвигателей типа АД 6, 7, 8 и 9-го габаритов

тор															Ротор
q_1	Размеры паза $b; b'; b''$ $h; h'; e$	$Q_{s1'}$ $мм^2$	d/d'	m_1	$\omega_{к1}$	$n_{э1}$	y_1	a_1	Схема обмотки (рис. №)	j_1 , $a/мм^2$	AS_1 , $a/см$	$l_{m1'}$ $м$	r , $ом$	G_1 , $кг$	z_2
5	$\frac{12,8; 10,4; 3,5}{25,0; 1,0}$	251	1,35/1,62	3	8	48	1—11	—	3-1, 3-27	7,21	310	0,83	0,271	8,0	21
			1,45/1,72	2	11	44	1—10	—	3-1, 3-26	7,26	330	0,78	0,456	8,0	
5	$\frac{12,8; 10,4; 3,5}{25,0; 1,0}$	251	1,35/1,62	4	6	48	1—11	—	3-1, 3-27	6,8	292	0,91	0,168	8,8	21
			1,35/1,62	3	8	48	1—11	—		6,75	289		0,298	8,8	
6	$\frac{12,2; 9,6; 3,5}{28,5; 1,0}$	275,6	1,25/1,52	3	10	60	1—12	2	3-2, 3-30	7,35	348	0,94	0,135	11,6	27
			1,56/1,83	3	7	42	1—11	—	3-1, 3-28	7,15	370	0,88	0,173	11,8	
6	$\frac{12,2; 9,6; 3,5}{28,5; 1,0}$	275,6	1,45/1,72	3	8	48	1—12	2	3-2, 3-30	6,75	344	1,0	0,085	13,4	27
			1,68/1,95	2	9	36	1—12	—	3-1, 3,29	6,62	342		0,428	13,4	
6	$\frac{14,0; 11,2; 3,5}{27,5; 1,0}$	301	1,95/2,22	2	7	28	1—12	2	3-2, 3-30	7,61	365	1,04	0,0735	16,6	27
			1,81/2,08	1	16	32	1—13	2	3-2, 3-32	7,75	366		0,193	17,5	
6	$\frac{14,0; 11,2; 3,5}{27,5; 1,0}$	301	1,81/2,08	3	6	36	1—13	2	3-2,	7,33	387	1,18	0,0484	18,3	27
			1,56/1,83	3	8	48	1—13	2	3-32	7,5	395		0,087	18,1	
7	$\frac{9,8; 5,2}{27,6; 23,0; 1,0}$	246	$\frac{3,28 \times 1,56}{3,55 \times 1,83}$	2	5	20	1—15	2	3-2, 3-34	7,6	433	1,29	0,0387	25,8	33
			$\frac{3,28 \times 1,68}{3,55 \times 1,95}$	2	5 и 6	22	1—16	—	3-1, 3-35	6,16	417	1,34	0,206	25,5	
7	$\frac{9,8; 5,2}{27,6; 23,0; 1,0}$	245	$\frac{3,28 \times 1,95}{3,55 \times 2,22}$	2	4	16	1—15	2	3-2, 3-34	7,19	414	1,37	0,0263	27,4	33
			$\frac{3,28 \times 1,56}{3,55 \times 1,83}$	2	5	20	1—16	2	3-2, 3-36	6,87	392	1,41	0,0425	27,0	

4. Полукатушки электродвигателей 9-го габарита в заводском исполнении изолированы: в пазовой части лакированной бумагой толщиной 0,1 мм — 1 $\frac{1}{4}$ слоя; в лобовой части хлопчатобумажной лентой толщиной 0,15 мм вполнахлеста.

5. Клинь — дерево твердой породы пропитанное.

6. Стержни и кольца короткозамкнутой обмотки ротора выполнены из алюминия марки А5.

7. Форма паза статора для электродвигателей 6, 7, 8-го габаритов выполнена в соответствии с рис. 1-8; для 9-го габарита соответствует рис. 1-13; паз ротора соответствует рис. 1-11.

Основные обмоточно-расчетные данные

Тип электро- двигателя	P_2 , квт	U , в	I , а	n , об/мин	η , %	$\cos \varphi$	$\frac{I_{\text{пуск}}}{I_H}$	$\frac{M_{\text{пуск}}}{M_H}$	$\frac{M_{\text{макс}}}{M_H}$	Ста				
										$\frac{D_{a1}}{D_{i1}}$	$\frac{l_{t1}}{l_{t2}}$	δ	$B_{\delta, \text{зс}}$	z_1
АДО-21/2	1,4	127/220	9,3/5,4	2 930	81,0	0,84	9,0	1,5	3,0	$\frac{152}{82}$	$\frac{90}{95}$	0,35	6 720	24
		220/380	5,4/3,1										6 830	
		500	2,4										7 030	
АДО-22/2	1,7	127/220	11,5/6,65	2 930	82,0	0,82	9,5	1,7	3,3	$\frac{152}{82}$	$\frac{112}{117}$	0,35	7 050	24
		220/380	6,65/3,85										6 920	
		500	2,9										6 960	
АДО-21-4	0,8	127/220	6,3/3,64	1 430	77,0	0,75	6,0	1,4	2,3	$\frac{152}{91}$	$\frac{76}{81}$	0,3	7 430	24
		220/380	3,64/2,1										7 070	
		500	1,6										7 490	
АДО-22/4	1,1	127/220	8,55/4,95	1 430	79,0	0,74	6,5	1,4	2,3	$\frac{152}{91}$	$\frac{105}{110}$	0,3	7 150	24
		220/380	4,95/2,86										7 050	
		500	2,2										7 120	
АДО-21/6	0,5	127/220	5,1/2,9	950	70,0	0,64	4,0	1,0	2,0	$\frac{152}{91}$	$\frac{76}{81}$	0,3	6 200	27
		220/380	2,9/1,7										6 700	
		500	1,38										6 670	
АДО-22/6	0,7	127/220	7,0/4,05	950	72,0	0,63	4,5	1,0	2,2	$\frac{152}{91}$	$\frac{105}{110}$	0,3	6 580	27
		220/380	4,05/2,35										6 650	
		500	1,9										6 550	

Примечания: 1. Обмотка статора в заводском исполнении двухслойная, выполнена проводом марки ПЭЛБО.
 2. Изоляция паза статора в заводском исполнении: электрокартон ЭВ толщиной 0,2 мм; лакоткань ЛХС толщиной 0,2 мм; электрокартон ЭВ толщиной 0,1 мм.
 3. Междуслойная прокладка в пазу в заводском исполнении — электрокартон ЭВ толщиной 0,3 мм.
 4. Прокладка в лобовой части — электрокартон ЭВ толщиной 0,2 мм и лакоткань ЛХС толщиной 0,15 мм, склеенные вместе.

электродвигателей типа АДО 2-го габарита

тор															Ротор
q_1	Размеры паза $b; b'; b''$ $h; e$	$Q_{s1},$ $мм^2$	d/d'	m_1	$w_{ж1}$	$n_{э1}$	y_1	a_1	Схема обмотки (рис. №.)	$j_1,$ $a/мм^2$	$AS_1,$ $a/см$	$lm_1,$ $м$	$r_1,$ $ом$	$G_1,$ $кг$	z_2
4	$\frac{9,0; 7,5; 2,2}{14,6; 0,8}$	99,8	1,0/1,21	1	17	34		—	3-1, 3-22	6,88	171	0,472	1,43	1,45	18
			0,77/0,95	1	29	58	1—9	—		6,65	168		3,95	1,44	
			0,67/0,84	1	37	74		—		6,8	166		6,9	1,41	
4	$\frac{9,0; 7,5; 2,2}{14,6; 0,8}$	99,8	0,8/0,98	2	13	52		—	3-1, 3-22	6,6	161	0,516	0,95	1,56	18
			0,86/1,04	1	23	46	1—9	—		6,63	165		2,86	1,55	
			0,74/0,92	1	30	60		—		6,75	162		5,05	1,55	
2	$\frac{9,4; 6,8; 2,0}{18,5; 0,8}$	130,6	0,93/1,11	1	28	56		—	3-3, 3-40	5,36	183	0,364	2,1	1,55	30
			0,67/0,84	1	51	102	1—6	—		5,95	180		7,37	1,48	
			0,59/0,76	1	63	126		—		5,86	180		11,8	1,44	
2	$\frac{9,4; 6,8; 2,0}{18,5; 0,8}$	130,6	0,74/0,92	2	21	84		—	3-3, 3-40	5,75	175	0,422	1,45	1,73	30
			0,3/0,98	1	37	74	1—6	—		5,68	178		4,4	1,79	
			0,69/0,86	1	48	96		—		5,88	177		7,75	1,75	
$1 \frac{1}{2}$	$\frac{9,0; 5,8; 2,0}{21,9; 0,8}$	146	0,8/0,98	1	41	82		—	3-6, 3-68	5,76	225	0,332	4,3	1,77	35
			0,62/0,79	1	66	132	1—5	—		5,64	212		11,5	1,69	
			0,51/0,68	1	87	174		—		6,76	227		22,3	1,53	
$1 \frac{1}{2}$	$\frac{9,0; 5,8; 2,0}{21,9; 0,8}$	146	0,67/0,84	2	28	112		—	3-6, 3-68	5,74	214	0,392	2,46	2,0	35
			0,74/0,92	1	48	96	1—5	—		5,47	213		6,91	2,06	
			0,62/0,79	1	64	128		—		6,29	230		13,1	1,96	

5. Клин — дерево твердой породы пропитанное.

6. Стержни и кольца короткозамкнутой обмотки ротора выполнены из алюминия марки А5.

7. Паз статора выполнен в соответствии с рис. 1-8, паз ротора соответствует рис. 1-9 для двух- и четырехполюсных электродвигателей и рис. 1-5 для шестиполюсных.

Основные обмоточно-расчетные данные

Тип электро- двигателя	P_2 , квт	U , в	I , а	n , об/мин	η , %	$\cos \varphi$	$\frac{I_{\text{пуск}}}{I_{\text{н}}}$	$\frac{M_{\text{пуск}}}{M_{\text{н}}}$	$\frac{M_{\text{макс}}}{M_{\text{н}}}$	Ста				
										$\frac{D_{a1}}{D_{i1}}$	$\frac{l_{t1}}{l_{t2}}$	δ	B_{δ} , гс	z_1
АДО-31/2	2,5	127/220	16,5/9,5	2 930	83,0	0,83	9,5	1,7	3,3	$\frac{182}{98}$	$\frac{100}{105}$	0,4	7 200	24
		220/380	9,5/5,5										7 100	
		500	4,2										7 000	
АДО-32/2	3,0	127/220	19,8/11,5	2 930	84,0	0,82	11,0	1,7	3,7	$\frac{182}{98}$	$\frac{122}{127}$	0,4	7 050	24
		220/380	11,5/6,6										7 200	
		500	5,0										7 300	
АДО-31/4	1,7	127/220	12,5/7,2	1 445	81,0	0,76	6,5	1,4	2,4	$\frac{182}{108}$	$\frac{86}{91}$	0,35	8 150	24
		220/380	7,2/4,2										7 880	
		500	3,2										8 000	
АДО-32/4	2,3	127/220	16,8/9,7	1 445	83,0	0,75	7,0	1,4	2,5	$\frac{182}{108}$	$\frac{116}{121}$	0,3	7 720	24
		220/380	9,7/5,6										8 020	
		500	4,3										7 980	
АДО-31/6	1,0	127/220	8,9/5,15	940	76,0	0,67	5,0	1,0	2,2	$\frac{182}{118}$	$\frac{90}{95}$	0,3	6 600	27
		220/380	5,15/3,0										6 600	
		500	2,3										6 600	
АДО-32/6	1,4	127/220	12,2/7,0	940	78,0	0,67	5,5	1,0	2,6	$\frac{182}{118}$	$\frac{122}{127}$	0,3	6 650	27
		220/380	7,0/4,1										6 650	
		500	3,1										6 700	

Примечания: 1. Обмотка статора в заводском исполнении двухслойная, выполнена проводом марки ПЭЛБО.
2. Изоляция паза статора в заводском исполнении: электрокартон ЭВ толщиной 0,2 мм; лакоткань ЛХС толщиной 0,2 мм; электрокартон ЭВ толщиной 0,1 мм.
3. Междуслойная прокладка в пазу в заводском исполнении — электрокартон ЭВ толщиной 0,3 мм.
4. Прокладка в лобовой части — электрокартон ЭВ толщиной 0,2 мм и лакоткань ЛХС толщиной 0,15 мм, склеенные вместе.

электродвигателей АДО 3-го габарита

тор																Ротор
q_1	Размеры паза $b; b'; b''$ $h; e$	$Q_{s1},$ $мм^2$	d/d'	m_1	w_{K1}	$n_{\Sigma 1}$	y_1	a_1	Схема обмотки (рис. №)	$j_1,$ $a/мм^2$	$AS_1,$ $a/см$	$l_{m1},$ $м$	$r_1,$ $ом$	$G_1,$ $кг$	z_1	
4	$\frac{10,1; 8,3; 2,5}{16,3; 0,8}$	125	0,96/1,14	2	12	48		—	3-1, 3-22	6,65	178		0,628	2,1	18	
			1,04/1,25	1	21	42	1—9	—		6,48	180	0,54	1,88	2,14		
			0,9/1,08	1	28	56		—		6,6	184		3,32	2,2		
4	$\frac{10,1; 8,3; 2,5}{16,3; 0,8}$	125	1,04/1,25	2	10	40		—	3-1, 3-22	6,77	180		0,483	2,21	18	
			1,16/1,37	1	17	34	1—9	—		6,25	175	0,584	1,32	2,34		
			1,0/1,21	1	22	44		—		6,37	172		2,3	2,24		
2	$\frac{10,4; 7,6; 2,3}{20,7; 0,8}$	163,3	0,9/1,08	2	19	76		—	3-3, 3-40	5,65	194		0,9	2,31	30	
			0,96/1,14	1	34	68	1—6	—		5,8	202	0,428	2,82	2,34		
			0,83/1,01	1	44	88		—		5,92	199		4,9	2,28		
2	$\frac{10,4; 7,6; 2,3}{20,7; 0,8}$	163,3	1,04/1,25	2	15	60		—	3-3, 3-40	5,71	206		0,605	2,76	30	
			1,12/1,33	1	25	50	1—6	—		5,68	198	0,488	1,74	2,68		
			0,96/1,14	1	33	66		—		5,95	200		3,13	2,6		
$1 \frac{1}{2}$	$\frac{10,2; 7,5; 2,3}{21,7; 0,8}$	169,7	1,12/1,33	1	26	52		—	3-6, 3-68	5,23	195		1,68	2,58	37	
			0,83/1,01	1	45	90	1—5	—		5,55	197	0,402	5,44	2,55		
			0,69/0,86	1	59	118		—		6,15	198		10	2,26		
$1 \frac{1}{2}$	$\frac{10,2; 7,5; 2,3}{21,7; 0,8}$	169,7	0,93/1,11	2	19	76		—	3-6, 3-68	5,15	194		1,03	3,03	37	
			1,0/1,21	1	33	66	1—5	—		5,23	197	0,466	3,1	3,03		
			0,86/1,04	1	43	86		—		5,33	195		5,44	2,95		

5. Клинь — дерево твердой породы пропитанное.

6. Стержни и кольца короткозамкнутой обмотки ротора выполнены из алюминия марки А5.

7. Паз статора выполнен в соответствии с рис. 1-8, паз ротора соответствует рис. 1-9 для двух- и четырех-полюсных электродвигателей и рис. 1-5 — для шестиполюсных.

Основные обмоточно-расчетные данные

Тип электро- двигателя	$P_2,$ <i>квт</i>	$U, в$	$I, а$	$n,$ <i>об/мин</i>	$\eta, \%$	$\cos \varphi$	$\frac{I_{пуск}}{I_H}$	$\frac{M_{пуск}}{M_H}$	$\frac{M_{макс}}{M_H}$	$\frac{D_{a1}}{D_{i1}}$	$\frac{l_{t1}}{l_{t2}}$	Ст		
												δ	$B_{\delta, зс}$	z_1
АДО-41/2	4,1	127/220	26,5/15,3	2 940	85,0	0,83	9,5	1,7	3,2	$\frac{213}{115}$	$\frac{110}{115}$	0,45	6 220	24
		220/380	15,3/8,85										6 340	
		500	6,7										6 420	
АДО-42/2	4,8	127/220	31,2/18,1	2 940	85,0	0,82	9,5	2,0	3,4	$\frac{213}{115}$	$\frac{136}{141}$	0,45	6 280	24
		220/380	18,1/10,5										6 210	
		500	8,0										6 350	
АДО-41/4	3,4	127/220	23,3/13,5	1 450	84,0	0,79	7,5	1,7	2,6	$\frac{213}{128}$	$\frac{104}{109}$	0,35	8 500	36
		220/380	13,5/7,8										8 280	
		500	5,9										8 300	
АДО-42/4	4,2	127/220	28,8/16,5	1 450	85,0	0,78	7,5	1,7	2,7	$\frac{213}{128}$	$\frac{130}{135}$	0,35	8 350	36
		220/380	16,5/9,6										8 160	
		500	7,3										8 200	
АДО-41/6	2,0	127/220	16,0/9,3	970	82,0	0,69	7,5	1,2	2,7	$\frac{213}{143}$	$\frac{110}{115}$	0,35	7 550	36
		220/380	9,3/5,4										7 480	
		500	4,1										7 360	
АДО-42/6	2,5	127/220	20,5/11,8	970	81,0	0,69	7,5	1,2	2,8	$\frac{213}{143}$	$\frac{136}{141}$	0,35	7 340	36
		220/380	11,8/6,8										7 460	
		500	5,15										7 580	

Примечания: 1. Обмотка статора в заводском исполнении двухслойная, выполнена проводом марки ПЭЛБО.
2. Изоляция паза статора в заводском исполнении: электрокартон ЭВ толщиной 0,2 мм; лакоткань ЛХС толщиной 0,2 мм; электрокартон ЭВ толщиной 0,1 мм.
3. Междуслойная прокладка в пазу в заводском исполнении — электрокартон ЭВ толщиной 0,3 мм.
4. Прокладка в лобовой части — электрокартон ЭВ толщиной 0,2 мм и лакоткань ЛХС толщиной 0,15 мм, склеенные вместе.

электродвигателей типа АДО 4-го габарита

тор																Ротор
q_1	Размеры паза $b; b'; b''$ $h; e$	$Q_{s1},$ $мм^2$	d/d'	m_1	$w_{к1}$	$n_{э1}$	y_1	a_1	Схема обмотки (рис. №)	$j_1,$ $a/мм^2$	$AS_1,$ $a/см$	$l_{m1},$ $м$	$r_1,$ $ом$	$G_1,$ $кг$	z_2	
4	$\frac{11,7; 9,9; 2,8}{18,8; 1,0}$	149,4	1,25/1,46	2	10	40		—	3-1, 3-22	6,23	203		0,35	3,3	18	
			1,35/1,56	1	17	34	1—9	—		6,18	200	0,61	1,01	3,3		
			1,2/1,41	1	22	44		—		5,92	196		1,67	3,4		
4	$\frac{11,7; 9,9; 2,8}{18,8; 1,0}$	149,4	1,16/1,37	3	8	48		—	3-1, 3-22	5,7	193		0,234	3,7	18	
			1,08/1,29	2	14	56	1—9	—		5,73	195	0,662	0,71	3,8		
			0,93/1,11	2	18	72		—		5,89	191		1,23	3,6		
3	$\frac{7,7; 5,2; 2,6}{21,8; 1,0}$	126,5	1,16/1,37	2	9	36		—	3-3, 3-44	6,39	218		0,437	3,1	27	
			1,25/1,46	1	16	32	1—8	—		6,35	224	0,486	1,34	3,2		
			1,08/1,29	1	21	42		—		6,44	222		2,35	3,2		
3	$\frac{7,7; 5,2; 2,6}{21,8; 1,0}$	126,5	1,35/1,56	2	7	28	1—9	—	3-3, 3-47	5,75	207	0,57	0,294	3,8	27	
			1,4/1,61	1	13	26	1—8	—	3-3, 3-44	6,24	223	0,538	0,96	3,6		
			1,2/1,41	1	17	34		—	6,45	222		0,71	3,5			
2	$\frac{8,7; 6,5; 2,6}{21,6; 1,0}$	145,1	1,08/1,29	2	12	48		—	3-6, 3-72	5,07	179		0,637	3,4	46	
			1,16/1,37	1	21	42	1—6	—		5,1	182	0,462	1,93	3,4		
			1,0/1,21	1	28	56		—		5,22	184		3,47	3,4		
2	$\frac{8,7; 6,5; 2,6}{21,6; 1,0}$	145,1	1,2/1,41	2	10	40		—	3-6, 3-72	5,22	189		0,479	3,9	46	
			1,3/1,51	2	17	34	1—6	—		5,12	186	0,514	1,39	3,8		
			1,12/1,33	1	22	44		—		5,23	182		2,42	3,7		

5. Кли́н — дерево твердой породы пропитанное.
6. Стержни и кольца короткозамкнутой обмотки ротора выполнены из алюминия марки А5.
7. Паз статора выполнен в соответствии с рис. 1-8, паз ротора соответствует рис. 1-6 для двухполюсных электродвигателей, рис. 1-9 — для четырехполюсных и рис. 1-5 — для шестиполюсных.

Основные обмоточно-расчетные данные электродвигателей

Тип электро- двигателя	P_2 , квт	U , в	I , а	n , об/мин	η , %	$\cos \varphi$	$\frac{I_{пуск}}{I_H}$	$\frac{M_{пуск}}{M_H}$	$\frac{M_{макс}}{M_H}$	Ста				
										$\frac{D_{a1}}{D_{i1}}$	$\frac{l_{t1}}{l_{t2}}$	δ	$B_{\delta, зс}$	z_1
АДО-51/2	6,5	127/220	41,5/23,8	2 940	86,0	0,83	9,5	2,0	3,4	$\frac{245}{132}$	$\frac{122}{127}$	0,6	7 470	24
		220/380	23,8/13,8										7 540	
		500	10,5										7 450	
АДО-52/2	7,5	127/220	48/27,6	2 940	86,0	0,83	9,5	2,0	3,6	$\frac{245}{132}$	$\frac{142}{147}$	0,6	7 490	24
		220/330	27,6/16,0										7 780	
		500	12,1										7 860	
АДО-51/4	6,0	127/220	39/22,6	1 460	86,0	0,81	9,0	1,5	3,3	$\frac{245}{148}$	$\frac{116}{121}$	0,4	8 470	36
		220/380	22,6/13										9 340	
		500	10										9 000	
АДО-52/4	7,0	127/220	47/27	1 460	87,0	0,78	10,0	1,5	3,6	$\frac{245}{148}$	$\frac{142}{147}$	0,4	9 680	36
		220/380	27/15,7										9 320	
		500	11,9										9 190	
АДО-51/6	3,6	127/220	27,4/15,8	975	84,0	0,71	7,5	1,2	2,8	$\frac{245}{169}$	$\frac{122}{127}$	0,4	7 700	36
		220/380	15,8/9,15										7 500	
		500	7,0										7 500	
АДО-52/6	4,5	127/220	32,5/18,8	975	85,0	0,74	7,5	1,2	2,7	$\frac{245}{169}$	$\frac{150}{155}$	0,4	7 050	36
		220/380	18,8/10,8										6 970	
		500	8,3										7 130	
АДО-51/8	2,1	127/220	18,4/10,6	725	80,0	0,65	5,0	1,3	2,0	$\frac{245}{169}$	$\frac{122}{127}$	0,4	6 620	36
		220/380	10,6/6,15										6 470	
		500	4,7										6 540	
АДО-52/8	2,6	127/220	21,8/12,6	725	81,0	0,67	5,0	1,3	2,0	$\frac{245}{169}$	$\frac{150}{155}$	0,4	7 000	36
		220/380	12,6/7,3										6 730	
		500	5,55										6 630	

Примечания: 1. Обмотка статора в заводском исполнении двухслойная, выполнена проводом марки ПЭЛБО.
 2. Изоляция паза статора в заводском исполнении: электрокартон ЭВ толщиной 0,2 мм; лакоткань ЛХС толщиной 0,2 мм; электрокартон ЭВ толщиной 0,1 мм.
 3. Междуслойная прокладка в пазу в заводском исполнении — электрокартон ЭВ толщиной 0,3 мм.
 4. Прокладка в лобовой части — электрокартон ЭВ толщиной 0,2 мм и лакоткань ЛХС толщиной 0,15 мм, склеенные вместе.

типа АДО 5-го габарита

тор															Ротор
q_1	Размеры паза $\frac{b; b'; b''}{h; e}$	$Q_{s1},$ $мм^2$	d/d'	m_1	$w_{к1}$	$n_{э1}$	y_1	a_1	Схема обмотки (рис. №)	$j_1,$ $a/мм^2$	$AS_1,$ $a/см$	$l_{m1},$ $м$	$r_1,$ $ом$	$G_1,$ $кг$	z_2
4	$\frac{12,8; 11,0; 3,0}{19,8; 1,0}$	194,0	1,3/1,51	3	7	42		—	3-1, 3-22	5,98	193		0,168	4,2	18
			1,2/1,41	2	12	48	1—9	—		6,1	192	0,68	0,506	4,09	
			1,5/1,71	1	16	32		—		5,95	195		0,864	4,25	
4	$\frac{12,8; 11,0; 3,0}{19,8; 1,0}$	194,0	1,45/1,66	3	6	36		—	3-1, 3-22	5,57	192		0,183	4,72	18
			1,35/1,56	2	10	40	1—9	—		5,58	185	0,72	0,353	4,56	
			1,16/1,37	2	13	52		—		5,73	182		0,622	4,4	
3	$\frac{8,7; 5,6; 3,0}{25,3; 1,0}$	164,7	1,25/1,46	3	7	42		—	3-3, 3-44	6,14	245		0,22	4,68	42
			1,2/1,41	2	11	44	1—8	—		5,74	222	0,548	0,562	4,55	
			1,5/1,71	1	15	30		—		5,66	232		0,98	4,8	
3	$\frac{8,7; 5,6; 3,0}{25,3; 1,0}$	164,7	1,45/1,66	3	5	30		—	3-3, 3-44	5,45	209		0,128	4,94	42
			1,35/1,56	2	9	36	1—8	—		5,48	219	0,6	0,396	5,13	
			1,16/1,37	2	12	48		—		5,63	222		0,738	5,08	
2	$\frac{10,3; 7,9; 3,0}{24,1; 1,0}$	193,7	1,16/1,37	3	9	54		—	3-6, 3-72	5,0	193		0,31	4,93	46
			1,08/1,29	2	16	64	1—6	—		5,0	199	0,518	0,95	5,06	
			1,35/1,56	1	21	42		—		4,89	200		1,6	5,15	
2	$\frac{10,3; 7,9; 3,0}{24,1; 1,0}$	193,7	1,25/1,46	3	8	48		—	3-6, 3-72	5,1	204		0,263	5,62	46
			1,16/1,37	2	14	56	1—6	—		5,1	205	0,574	0,8	5,72	
			1,0/1,21	2	18	72		—		5,29	202		1,39	5,41	
$1\frac{1}{2}$	$\frac{10,3; 7,9; 3,0}{24,1; 1,0}$	193,7	1,16/1,37	2	13	52		—	3-10, 3-109	5,01	187		0,63	4,5	46
			1,25/1,46	1	23	46	1—5	—		5,01	192	0,486	1,93	4,6	
			1,08/1,29	1	30	60		—		5,13	191		3,36	4,5	
$1\frac{1}{2}$	$\frac{10,3; 7,9; 3,0}{24,1; 1,0}$	193,7	1,35/1,56	2	10	40		—	3-10, 3-109	4,4	171		0,38	5,16	46
			1,45/1,66	1	18	36	1—5	—		4,42	188	0,542	1,31	5,35	
			1,25/1,46	1	24	48		—		4,52	188		2,25	5,3	

5. Клинь — дерево твердой породы пропитанное.

6. Стержни и кольца короткозамкнутой обмотки ротора выполнены из алюминия марки А5.

7. Паз статора выполнен в соответствии с рис. 1-8, паз ротора соответствует рис. 1-11 для двухполюсных электродвигателей, рис. 1-12 — для четырехполюсных и рис. 1-5 — для шестиполюсных.

Основные обмоточно-расчетные

Тип электро- двигателя	P_2 , квт	U , в	I , а	n , об/мин	η , %	$\cos \varphi$	$\frac{I_{\text{пуск}}}{I_{\text{н}}}$	$\frac{M_{\text{пуск}}}{M_{\text{н}}}$	$\frac{M_{\text{макс}}}{M_{\text{н}}}$	Ста				
										$\frac{D_{a1}}{D_{i1}}$	l_{t1}	δ	$B_{\delta, \text{сг}}$	z_1
МА202-1/4	13,0	127/220	78/45	1 460	87,3	0,87	7,0	0,9	1,7	$\frac{294}{180}$	115	0,45	8 850	36
		220/380	45/26										8 950	
		500	19,8										8 760	
МА202-2/4	17,0	220/380	57,5/33,2	1 460	87,9	0,88	7,0	0,9	1,7	$\frac{294}{180}$	145	0,45	8 500	36
		500	25,2										8 800	
МА202-1/6	9,1	127/220	58,7/34	970	85,6	0,82	6,0	0,9	1,8	$\frac{294}{198}$	115	0,4	8 560	54
		220/380	34/19,7										8 330	
		500	15										8 350	
МА202-2/6	11,8	127/220	75/43,3	970	86,3	0,83	6,0	0,9	1,8	$\frac{294}{198}$	145	0,4	9 000	54
		220/380	43,3/25,0										8 800	
		500	19										8 850	
МА202-1/8	6,0	127/220	41,2/23,8	725	83,0	0,79	5,5	0,9	1,65	$\frac{294}{208}$	115	0,4	7 630	48
		220/380	23,8/13,8										7 630	
		500	10,5										7 650	
МА202-2/8	8,0	127/220	54,6/31,6	725	83,9	0,79	5,5	0,9	1,65	$\frac{294}{208}$	145	0,4	7 560	48
		220/380	31,6/18,3										7 500	
		500	13,9										7 390	

Примечания: 1. Обмотка статора в заводском исполнении однослойная вразвалку, выполнена проводом марки ПБД.

2. Изоляция паза статора в заводском исполнении: электрокартон ЭВ толщиной 0,2 мм; лакоткань ЛХС толщиной 0,2 мм; электрокартон ЭВ толщиной 0,2 мм.

данные электродвигателей типа МА202

тор															Рот ор
q_1	Размеры паза $b; b'; b''$ $h; e$	$Q_{s1},$ $мм^2$	$d/1'$	m_1	$\omega_{к1}$	$n_{э1}$	y_1	a_1	Схема обмотки (рис. №)	$j_1,$ $а/мм^2$	$AS_1,$ $а/см$	$l_{m1},$ $м$	$r_1, ом$	$G_1, кг$	z_1
3	$\frac{9,7; 6,1; 3}{24,7; 0,6}$	181	1,81/2,08	1	21	21		2	3-50	8,75	300		0,138	5,75	46
			1,95/2,22	1	18	18	1—8	—	3-49	8,7	298	0,642	0,409	5,7	
			1,68/1,95	1	24	24	1—10	—		8,91	303		0,73	5,67	
3	$\frac{9,7; 6,1; 3}{24,7; 0,6}$	181	1,56/1,83	2	15	30	1—8	—	3-49	8,68	317	0,702	0,29	6,67	46
			1,95/2,22	1	19	19	1—10	—		8,43	305		0,47	6,6	
3	$\frac{7,4; 4,7; 3}{26,0; 0,6}$	148	1,74/2,01	2	9	18			3-91	7,15	265	0,57	0,17	6,07	44
			1,88/2,15	1	16	16	1—8	—		7,1	274		0,518	6,3	
			1,62/1,89	1	21	21	1—10	—		7,28	274		0,918	6,1	
3	$\frac{7,4; 4,7; 3}{26,0; 0,6}$	148	1,56/1,83	1	22	22		3	3-92	7,55	276	0,63	0,127	6,6	44
			1,45/1,72	2	13	26	1—8	—	3-91	7,57	282		0,392	6,7	
			1,81/2,08	1	17	17	1—10	—		7,39	280		0,657	6,85	
2	$\frac{9,2; 6,2; 3}{26,2; 0,6}$	188	1,62/1,89	2	15	30		—	3-111	5,78	262	0,54	0,275	7,35	60
			1,74/2,01	1	26	26	1—6	—		5,8	264		0,828	7,4	
			1,5/1,77	1	34	34		—		5,95	262		1,46	7,2	
2	$\frac{9,2; 6,2; 3}{26,2; 0,6}$	188	1,81/2,08	2	12	24		—	3-111	6,15	279	0,6	0,197	8,2	60
			1,95/2,22	1	21	21	1—6	—		6,12	282		0,59	8,35	
			1,68/1,95	1	28	28		—		6,25	286		1,06	8,35	

3. Прокладка в лобовой части — электрокартон ЭВ толщиной 0,2 мм и лакоткань ЛХС толщиной 0,2 мм, склеенные вместе.

4. Клин — дерево твердой породы пропитанное.

5. Стержни и кольца короткозамкнутой обмотки ротора выполнены из алюминия марки А5.

6. Паз статора выполнен в соответствии с рис. 1-1, паз ротора соответствует рис. 1-9.

Основные обмоточно-расчетные данные

Тип электродвигателя	$P_2, \text{кВт}$	$U, \text{В}$	$I, \text{А}$	$n, \text{об/мин}$	$\eta, \%$	$\cos \varphi$	$\frac{I_{\text{пуск}}}{I_{\text{н}}}$	$\frac{M_{\text{пуск}}}{M_{\text{н}}}$	$\frac{M_{\text{макс}}}{M_{\text{н}}}$	Статор				
										$\frac{D_{\text{а1}}}{D_{\text{т1}}}$	$l_{\text{т1}}$	δ	$B_{\delta, \text{гс}}$	z_1
МА203-1/4	22	220/380	74/42,7	1 460	88,5	0,88	70	0,9	2,0	$\frac{327}{200}$	132	0,5	9 570	48
		500	32,5										9 670	
МА203-2/4	28,5	220/380	95,5/55,0	1 470	89,0	0,88	7,0	0,9	2,0	$\frac{327}{200}$	165	0,5	9 560	48
		500	41,8										9 560	
МА203-1/6, 1-е исполнение	15,2	220/380	55,5/32,0	975	86,9	0,83	6,5	0,9	1,9	$\frac{327}{220}$	132	0,45	9 250	36
		500	24,3										9 060	
МА203-1/6, 2-е исполнение	15,2	220/380	55,5/32,0	975	86,9	0,83	6,5	0,9	1,9	$\frac{327}{220}$	132	0,45	9 210	54
		500	24,3										9 300	
МА203-2/6, 1-е исполнение	19,7	220/380	70,0/40,5	975	87,6	0,84	6,5	0,9	1,9	$\frac{327}{220}$	165	0,45	9 180	36
		500	30,7										9 210	
МА203-2/6, 2-е исполнение	19,7	220/380	70,0/40,5	975	87,6	0,84	6,5	0,9	1,9	$\frac{327}{220}$	165	0,45	9 070	54
		500	30,7										9 180	
МА203-1/8	11	127/220	72,7/42	725	85,0	0,81	6,5	0,9	1,9	$\frac{327}{235}$	132	0,45	8 400	48
		220/380	42/24,2										8 510	
		500	18,4										8 360	
МА203-2/8	14	127/220	90/52	725	85,7	0,82	6,5	0,9	1,9	$\frac{327}{235}$	165	0,45	8 320	48
		220/380	52/30										8 420	
		500	22,8										8 460	

Примечание: 1. Обмотка статора в заводском исполнении однослойная вразвалку, выполнена проводом марки ПБД.

2. Изоляция паза статора в заводском исполнении: электрокартон ЭВ толщиной 0,2 мм; лакоткань ЛХС толщиной 0,2 мм; электрокартон ЭВ толщиной 0,2 мм.

электродвигателей типа МА203

тор															Ротор
q_1	Размеры паза $b; b'; b''$ $h; e$	$Q_{s1},$ $мм^2$	d/d'	m_1	$w_{к1}$	$n_{с1}$	y_1	a_1	Схема обмотки (рис. №)	$j_1,$ $а/мм^2$	$AS_1,$ $а/см$	$l_{m1},$ $м$	$r_1, ом$	$G_1, кг$	z_2
4	$\frac{8,4; 5; 3}{28,2; 0,6}$	177,8	1,74/2,01	2	10	20	1—10	—	3-51	8,96	326	0,714	0,21	7,5	38
			1,45/1,72								3,4				
			1,56/1,83	2	13	26	1—12	—		9,12	324		0,366	3,9	
4	$\frac{8,4; 5; 3}{28,2; 0,6}$	177,8	1,74/2,01	3	8	24	1—10	—	3-51	7,7	336	0,78	0,127	9,85	38
			1,88/2,15	1	21	21	1—12	2	3-52	7,52	336		0,207	10	
2	$\frac{11,5; 7,6; 3}{26,7; 0,6}$	234,8	1,62/1,89	2	18	36	1—6	—	3-74	7,76	300	0,634	0,291	7,9	45
			1,35/1,62										3,6		
			1,45/1,72	2	24	48		—		7,88	304		0,52	4,2	
3	$\frac{8,2; 5,3; 3}{28,2; 0,6}$	183	1,35/1,62	1	37	37	1—8	3	3-92	7,45	308	0,644	0,292	8,5	64
			1,45/1,72	2	16	32	1—10	—	3-91	7,35	304		0,493	8,45	
2	$\frac{11,5; 7,6; 3}{26,7; 0,6}$	234,8	1,95/2,22	1	29	29	1—6	2	3-75	6,77	306	0,70	0,119	10,0	45
			1,68/1,95	2	19	38		—	3-74	6,90	304		0,316	9,75	
3	$\frac{8,2; 5,3; 3}{28,2; 0,6}$	183	1,56/1,83	3	10	30	1—8	—	3-91	7,08	316	0,71	0,196	10,1	64
			1,68/1,95	2	13	26	1—10	—		6,9	312		0,329	10,15	
2	$\frac{9,7; 6,9; 3}{25,7; 0,6}$	198	1,95/2,22	1	21	21	1—6	2	3-113	7,02	286	0,604	0,149	8,4	60
			1,45/1,72	2	18	36		—	3-111	7,34	270		0,462	7,9	
			1,81/2,08	1	24	24		—		7,15	286		0,79	8,3	
2	$\frac{9,7; 6,9; 3}{25,7; 0,6}$	198	1,56/1,83	2	17	34	1—6	2	3-113	6,8	286	0,67	0,105	9,6	60
			1,74/2,01	1	29	29		2		6,3	270		0,285	10,2	
			1,45/1,72	2	19	38		—	3-111	6,9	270		0,54	9,3	

3. Прокладка в лобовой части: электрокартон ЭВ толщиной 0,2 мм и лакоткань ЛХС толщиной 0,2 мм, склеенные вместе.
4. Клин — дерево твердой породы, пропитанное.
5. Стержни и кольца короткозамкнутой обмотки ротора выполнены из алюминия марки А5.
6. Паз статора выполнен в соответствии с рис. 1-1, паз ротора соответствует рис. 1-9.

Основные обмоточно-расчетные данные

Тип электро- двигателя	P_2 , квт	U , в	I , а	n , об/мин	η , %	$\cos \varphi$	$\frac{I_{\text{пуск}}}{I_{\text{н}}}$	$\frac{M_{\text{пуск}}}{M_{\text{ном}}}$	$\frac{M_{\text{макс}}}{M_{\text{н}}}$	Ста				
										$\frac{D_{a1}}{D_{i1}}$	l_{t1}	δ	$B_{\delta, \text{гс}}$	z_1
МА204-1/4	37	220/380 500	122/70,3 53,5	1 470	89,5	0,89	6,5	0,9	2,0	$\frac{394}{245}$	135	0,6	9 550 9 550	48
МА204-2/4	48	220/380 500	157,91 69	1 470	89,9	0,89	6,5	0,9	2,0	$\frac{394}{245}$	165	0,6	9 600 9 650	48
МА204-1/6	25,5	220/380 500	90,5/52,2 39,7	975	88,1	0,84	6,5	0,9	1,9	$\frac{394}{270}$	135	0,55	9 700 9 900	54
МА204-2/6	32	220/380 500	111/64 48,5	975	88,7	0,85	6,5	0,9	1,9	$\frac{394}{270}$	165	0,55	9 700 9 750	54
МА204-1/8	18,1	220/380 500	66,0/38,2 29	730	86,5	0,83	6,5	0,9	1,9	$\frac{394}{280}$	135	0,5	8 670 8 750	72
МА204-2/8	23,5	220/380 500	85,5/49,2 37,4	730	87,2	0,83	6,5	0,9	1,9	$\frac{394}{280}$	165	0,5	8 900 8 900	72

Примечания: 1. Обмотка статора в заводском исполнении однослойная вразвалку, выполнена проводом марки ПБД.

2. Изоляция паза статора в заводском исполнении: электрокартон ЭВ толщиной 0,2 мм; лакоткань ЛХС толщиной 0,2 мм; электрокартон ЭВ толщиной 0,2 мм.

Основные обмоточно-расчетные данные

Тип электро- двигателя	P_2 , квт	U , в	I , а	n , об/мин	η , %	$\cos \varphi$	$\frac{I_{\text{пуск}}}{I_{\text{н}}}$	$\frac{M_{\text{пуск}}}{M_{\text{н}}}$	$\frac{M_{\text{макс}}}{M_{\text{н}}}$	Ста				
										$\frac{D_{a1}}{D_{i1}}$	l_{t1}	δ	$B_{\delta, \text{гс}}$	z_1
МА205-1/4	60	220/380 500	194/112 85	1 465	90,3	0,9	6,5	0,9	1,8	$\frac{444}{265}$	165	0,65	8 550 8 720	48
МА205-2/4	72	220/380 500	232/134 102	1 465	90,5	0,9	6,5	0,9	1,8	$\frac{444}{265}$	195	0,65	8 450 8 320	48
МА205-1/6	40	220/380 500	135/78 59,2	980	89,2	0,87	6,0	0,9	1,9	$\frac{444}{292}$	165	0,6	8 120 7 970	54
МА205-2/6	48	220/380 500	161/93 70,5	980	89,5	0,87	6,0	0,9	1,9	$\frac{444}{292}$	195	0,6	7 720 8 100	54
МА205-1/8	30	220/380 500	107/62 47,2	730	87,8	0,83	5,5	0,9	1,7	$\frac{444}{304}$	165	0,6	6 950 6 850	72
МА205-2/8	36	220/380 500	127/73,5 55,8	730	88,3	0,84	5,5	0,9	1,7	$\frac{444}{304}$	195	0,6	6 620 6 940	72

Примечания: 1. Обмотка статора в заводском исполнении двухслойная, выполнена проводом марки ПБД.

2. Изоляция паза статора в заводском исполнении: электрокартон ЭВ толщиной 0,4 мм; лакоткань ЛХС толщиной 0,2 мм (к меди). Прокладка на дно паза — электрокартон ЭВ толщиной 0,3 мм.

3. Междуслойная прокладка в пазу в заводском исполнении — электрокартон ЭВ толщиной 1,0 мм.

электродвигат елей типа МА204

Т а б л и ц а 1-1

тор															Ротор
q_1	Размеры паза $b; b'; b''$ $h; e$	$Q_{s1},$ $мм^2$	d/d'	m_1	$\omega_{к1}$	$n_{э1}$	y_1	a_1	Схема обмотки (рис. №)	$j_1,$ $а/мм^2$	$AS_1,$ $а/см$	$l_{m1},$ $м$	$r_1, ом$	$G_1, кг$	z_2
4	9,9; 6,4; 3,0 29,7; 0,6	227	1,62/1,89 1,35/1,62 1,45/1,72	2 2	16 21	32 42	1—10 1—12	2 2	3-52	8,53 8,68	350 350	0,81	0,11 0,193	11,8 5,4 6,2	54
4	9,9; 6,4; 3,0 29,7; 0,6	227	1,95/2,22 1,68/1,95	2 2	13 [#] 17	26 34	1—10 1—12	2 2	3-52	7,60 7,76	370 366	0,87	0,067 0,117	14,9 14,5	54
3	9,0; 6,0; 3 29,2; 0,6	206	1,62/1,89 1,74/2,01	1 2	28 12	28 24	1—8 1—10	3 —	3-92 3-91	8,45 8,35	310 304	0,725	0,172 0,289	10,4 10,3	64
3	9,0; 6,0; 3 29,2; 0,6	206	1,88/2,15 1,95/2,22	1 2	23 10	23 20	1—8 1—10	3 —	3-92 3-91	7,68 8,1	312 309	0,785	0,114 0,208	12,45 11,6	64
3	7,7; 5,1; 3 32,7; 0,6	199	1,74/2,01 1,88/2,15 1,56/1,83	2 2	10 13	20 26	1—8 1—10	— —	3-132	7,4 7,58	313 309	0,69	0,281 0,495	5,45 6,35 11,3	84
3	7,7; 5,1; 3 32,7; 0,6	199	1,56/1,83 1,95/2,22	2 1	16 21	32 21	1—8 1—10	2 2	3-133	6,44 6,25	323 322	0,75	0,166 0,277	15,2 15,6	84

3. Прокладка в лобовой части — электрокартон ЭВ толщиной 0,2 мм и лакоткань ЛХС толщиной 0,1 мм, склеенные вместе.
4. Клин — дерево твердой породы пропитанное.
5. Стержни и кольца короткозамкнутой обмотки ротора выполнены из алюминия марки А5.
6. Паз статора выполнен в соответствии с рис. 1-1, паз ротора соответствует рис. 1-9.

электродвигателей типа МА205

Т а б л и ц а 1-151

тор															Ротор
q_1	Размеры паза $b; b''$ $h; h'; e$	$Q_{s1},$ $мм^2$	$\frac{a \times b}{A \times B}$	m_1	$\omega_{к1}$	$n_{э1}$	y_1	a_1	Схема обмотки (рис. №)	$j_1,$ $а/мм^2$	$AS_1,$ $а/см$	$l_{m1},$ $м$	$r_1, ом$	$G_1, кг$	z_2
4	8,7; 4,8 28,7; 24,7; 0,5	238,5	3,05×2,63 3,38×2,96 3,05×1,95	2	3+4	14	1—11	—	3-3, 3-54	7,42 7,4	453 441	1,0	0,0637 0,109	23,8 23,2	40
			3,32×2,22 3,05×3,05	2	4+5	18		—							
4	8,7; 4,8 28,7; 24,7; 0,5	238,5	3,38×3,38 3,05×2,26 3,38×2,59	2	3+3	12	1—11	—	3-3, 3-54	7,68 7,95	465 470	1,06	0,046 0,09	25,5 24,8	40
			2,83×2,1	2	4+5	18		—							
3	8,3; 4,5 30; 26; 0,5	238,4	3,16×2,43 2,83×1,56 3,10×1,83	2	4+5	18	1—8	—	3-6, 3-82	7,15 7,05	413 418	0,855	0,108 0,191	21,6 21,7	62
			2,83×2,44	2	6+6	24		—							
3	8,3; 4,5 30; 26; 0,5	238,4	3,16×2,77 2,83×1,95 3,10×2,22	2	4+4	16	1—8	—	3-6, 3-82	7,24 6,64	437 415	0,915	0,0875 0,134	24,0 24,5	62
			2,44×2,1	2	5+5	20		—							
3	7,5; 4,1 30,0; 26; 0,5	215,3	2,77×2,43 2,44×1,56 2,71×1,83	2	4+5	18	1—8	—	3-10, 3-125	6,68 6,55	400 405	0,817	0,161 0,282	23,5 23,7	84
			2,44×2,44	2	6+6	24		—							
3	7,5; 4,1 30,0; 26; 0,5	215,3	2,77×2,77 2,44×1,95 2,71×2,22	2	4+4	16	1—8	—	3-10, 3-125	6,85 6,12	420 400	0,877	0,131 0,200	26,3 26,7	84
				2	5+5	20		—							

4. Прокладка в лобовой части — электрокартон ЭВ толщиной 0,4 мм и лакоткань ЛХС толщиной 0,2 мм, склеенные вместе.
5. Клин — дерево твердой породы пропитанное.
6. Стержни и кольца короткозамкнутой обмотки ротора выполнены из алюминия марки А5.
7. Паз статора выполнен в соответствии с рис. 1-13, паз ротора соответствует рис. 1-15.

Тип электро- двигателя	P_2 , квт	U , в	I , а	n , об/мин	η , %	$\cos \varphi$	$\frac{I_{\text{пуск}}}{I_{\text{н}}}$	$\frac{M_{\text{пуск}}}{M_{\text{н}}}$	$\frac{M_{\text{макс}}}{M_{\text{н}}}$	Ста				
										$\frac{D_{a1}}{D_{i1}}$	l_{t1}	δ	$B_{\delta, \text{зс}}$	z_1
МА206-1/4	85	220/380 500	273/158 120	1 470	90,8	0,9	6,0	1,1	1,8	$\frac{494}{300}$	170	0,7	9 320 9 630	48
МА206-2/4	105	220/380 500	335/193 147	1 470	91,0	0,9	6,0	1,1	1,8	$\frac{494}{300}$	210	0,7	9 230 9 100	48
МА206-1/6	58	220/380 500	192/111 84,6	980	90,6	0,87	6,0	1,1	2,0	$\frac{494}{330}$	170	0,65	9 000 9 200	54
МА206-2/6	72	220/380 500	237/137 104	980	90,7	0,88	6,0	1,1	2,0	$\frac{494}{330}$	210	0,65	8 500 8 360	54
МА206-1/8	44	220/380 500	152/88 66,7	735	90,0	0,86	5,5	1,1	1,9	$\frac{494}{350}$	170	0,6	8 400 8 600	72
МА206-2/8	53	220/380 500	182/105 79,5	735	90,4	0,865	5,5	1,1	2,0	$\frac{494}{350}$	210	0,6	7 950 7 830	72

Примечания: 1. Обмотка статора в заводском исполнении двухслойная, выполнена проводом марки ПБД.

2. Изоляция паза статора в заводском исполнении: электрокартон ЭВ толщиной 0,4 мм; лакоткань ЛХС толщиной 0,2 мм (к меди). Прокладка на дно паза — электрокартон ЭВ толщиной 0,3 мм.

3. Междуслойная прокладка в заводском исполнении — электрокартон ЭВ толщиной 1,0 мм.

электродвигателей типа МА206

тор																Ротор
q_1	Размеры паза $b; b''$ $h; h'; e$	$Q_{s1},$ $мм^2$	$\frac{a \times b}{A \times B}$	m_1	$w_{к1}$	$n_{\Sigma 1}$	y_1	a_1	Схема обмотки (рис. №)	$j_1,$ $a/мм^2$	$AS_1,$ $a/см$	$l_{m1},$ $м$	$r_1, ом$	$G_1, кг$	z_2	
4	$\frac{9,1; 5,0}{27,9; 23,9; 0,5}$	242,2	$\frac{3,28 \times 1,45}{3,55 \times 1,72}$ $\frac{3,28 \times 2,44}{3,61 \times 2,77}$	2 2	$\frac{5+6}{3+4}$	$\frac{22}{14}$	1—11	2 —	3-4, 3-55 3-3, 3-54	8,68 7,98	443 428	1,075	0,045 0,0685	24,2 25,6	40	
4	$\frac{9,1; 5,0}{27,9; 23,9; 0,5}$	242,2	$\frac{3,28 \times 1,95}{3,55 \times 2,22}$ $\frac{3,28 \times 2,83}{3,61 \times 3,16}$	2 2	$\frac{4+5}{3+3}$	$\frac{18}{12}$	1—11	2 —	3-4, 3-55 3-3, 3-54	7,8 8,35	443 450	1,155	0,0296 0,0543	28,3 27,9	40	
3	$\frac{9,1; 5,0}{28,7; 24,7; 0,5}$	249,7	$\frac{3,28 \times 2,44}{3,61 \times 2,77}$ $\frac{3,28 \times 1,95}{3,55 \times 2,22}$	2 2	$\frac{3+4}{4+5}$	$\frac{14}{18}$	1—8	— —	3-6, 3-82	7,39 6,83	405 397	0,900	0,0645 0,104	24,2 24,8	62	
3	$\frac{9,1; 5,0}{28,7; 24,7; 0,5}$	249,7	$\frac{3,28 \times 2,83}{3,61 \times 3,16}$ $\frac{3,28 \times 2,26}{3,61 \times 2,59}$	2 2	$\frac{3+3}{4+4}$	$\frac{12}{16}$	1—8	— —	3-6, 3-82	7,78 7,51	428 434	0,980	0,052 0,087	26,2 27,6	62	
3	$\frac{8,2; 4,5}{27,4; 23,4; 0,5}$	214,2	$\frac{2,83 \times 2,44}{3,16 \times 2,77}$ $\frac{2,83 \times 1,81}{3,10 \times 2,08}$	2 2	$\frac{3+4}{4+5}$	$\frac{14}{18}$	1—8	— —	3-10, 3-125	6,85 6,8	403 394	0,835	0,093 0,158	25,6 25,0	84	
3	$\frac{8,2; 4,5}{27,4; 23,4; 0,5}$	214,2	$\frac{2,83 \times 2,83}{3,16 \times 3,16}$ $\frac{2,83 \times 2,1}{3,16 \times 2,43}$	2 2	$\frac{3+3}{4+4}$	$\frac{12}{16}$	1—8	— —	3-10, 3-125	6,97 7,28	413 417	0,915	0,074 0,136	28,4 27,5	84	

4. Прокладка в лобовой части — электрокартон ЭВ толщиной 0,4 мм и лакоткань ЛХС толщиной 0,2 мм, склеенные вместе.

5. Клинь — дерево твердой породы пропитанное.

6. Стержни и кольца короткозамкнутой обмотки ротора выполнены из алюминия марки А5.

7. Паз статора выполнен в соответствии с рис. 1-13, паз ротора соответствует рис. 1-15.

Основные обмоточно-расчетные данные электродвигателей

Тип электро- двигателя	P_2 , квт	U , в	I , а	n , об/мин	η , %	$\cos \varphi$	$\frac{I_{\text{пуск}}}{I_{\text{н}}}$	$\frac{M_{\text{пуск}}}{M_{\text{н}}}$	$\frac{M_{\text{макс}}}{M_{\text{н}}}$	Ста				
										$\frac{D_{a1}}{D_{i1}}$	$\frac{l_{t1}}{l_{t2}}$	δ	B_{δ} , гс	z_1
P-41-4	4,5	127/220 220/380 500	27,5/15,9 15,9/9,2 7,0	1 450	85,5	0,87	6,6	2,0	2,7	$\frac{245}{154}$	$\frac{85}{90}$	0,35	8 800 8 100 8 100	36
P-42-4	5,8	127/220 220/380 500	35,7/20,6 20,6/12,0 9,1	1 450	85,7	0,86	6,3	2,1	2,8	$\frac{245}{154}$	$\frac{105}{110}$	0,35	8 650 8 060 8 100	36
P-41-6	2,7	127/220 220/380 500	19,2/11,1 11,1/6,4 4,86	960	82,0	0,78	5,5	2,0	2,5	$\frac{245}{154}$	$\frac{85}{90}$	0,35	7 800 7 880 8 040	36
P-42-6	3,3	127/220 220/380 500	23/13,3 13,3/7,7 5,85	960	83,5	0,78	5,7	2,1	2,7	$\frac{245}{154}$	$\frac{105}{110}$	0,35	8 040 8 060 8 060	36

Примечания: 1. Обмотка статора в заводском исполнении двухслойная, выполнена проводом марки ПЭЛБО.
2. Изоляция паза статора в заводском исполнении: электрокартон ЭВ толщиной 0,2 мм; лакоткань ЛХС толщиной 0,2 мм; электрокартон ЭВ толщиной 0,2 мм.
3. Междуслойная прокладка в пазу в заводском исполнении: два слоя электрокартона ЭВ толщиной по 0,2 мм; лакоткань ЛХС толщиной 0,2 мм.

Основные обмоточно-расчетные данные электродвигателей

Тип электро- двигателя	P_2 , квт	U , в	I , а	n , об/мин	η , %	$\cos \varphi$	$\frac{I_{\text{пуск}}}{I_{\text{н}}}$	$\frac{M_{\text{пуск}}}{M_{\text{н}}}$	$\frac{M_{\text{макс}}}{M_{\text{н}}}$	Ста				
										$\frac{D_{a1}}{D_{i1}}$	$\frac{l_{t1}}{l_{t2}}$	δ	B_{δ} , гс	z_1
P-51-4	8	220/380 500	27,7/16 12,2	1 460	86,9	0,87	5,8	1,4	1,9	$\frac{300}{190}$	$\frac{95}{100}$	0,45	7 820 7 700	36
P-52-4	10,0	220/380 500	34,6/20 15,2	1 450	87,2	0,87	5,8	1,4	1,9	$\frac{300}{190}$	$\frac{110}{115}$	0,45	7 700 7 860	36
P-53-4	12,0	220/380 500	40,7/23,6 17,9	1 460	88,7	0,87	5,8	1,4	1,9	$\frac{300}{190}$	$\frac{135}{140}$	0,45	7 660 7 900	36
P-51-6	4,5	220/380 500	16,6/9,6 7,3	975	86,0	0,83	6,5	1,5	2,5	$\frac{300}{205}$	$\frac{95}{100}$	0,4	6 920 6 690	54
P-52-6	6,0	220/380 500	21,6/12,5 9,5	975	86,9	0,84	6,5	1,6	2,5	$\frac{300}{205}$	$\frac{110}{115}$	0,4	7 100 7 290	54
P-53-6	8,0	220/380 500	28,6/16,5 12,5	975	87,7	0,84	6,5	1,6	2,5	$\frac{300}{205}$	$\frac{135}{140}$	0,4	7 180 7 300	54
P-51-8	4,0	220/380 500	16,3/9,4 7,1	725	83,1	0,78	4,7	1,1	2,0	$\frac{300}{205}$	$\frac{95}{100}$	0,4	7 000 7 000	54
P-53-8	5,2	220/380 500	20,8/12 9,2	725	85,0	0,77	4,8	1,1	1,9	$\frac{300}{205}$	$\frac{135}{140}$	0,4	6 570 6 450	54

Примечания: 1. Обмотка статора в заводском исполнении двухслойная, выполнена проводом марки ПЭЛБО.
2. Изоляция паза статора в заводском исполнении: электрокартон ЭВ толщиной 0,2 мм; лакоткань ЛХС толщиной 0,2 мм; электрокартон ЭВ толщиной 0,2 мм.
3. Междуслойная прокладка в пазу в заводском исполнении: два слоя электрокартона ЭВ толщиной по 0,2 мм; лакоткань ЛХС толщиной 0,2 мм.

Таблица 1-153

серии „Урал“ типа Р 4-го габарита

тор															Ротор	
q_1	Размеры паза $\frac{b; b''}{h; e}$	$Q_{s1'}$ $мм^2$	d/d'	m_1	$w_{к1}$	$n_{э1}$	y_1	a_1	Схема ОБМОТКИ (рис. №)	j_1 , $a/мм^2$	AS_1 , $a/см$	$l_{m_1'}$, $м$	r_1 , $ом$	G_1 , $кг$	z_2	
3	$\frac{7,2; 3,2}{22,3; 1,5}$	150	1,25/1,46	2	9	36	1—9	—	3-3, 3-47	6,48	213	0,530	0,408	3,95	26	
			1,35/1,56	1	16	32		—	3-3, 3-47	6,42	219		1,25	4,1		
			1,16/1,37	1	21	42		—	3-3, 3-47	6,62	218		2,22	4,0		
3	$\frac{7,2; 3,2}{22,3; 1,5}$	150	1,45/1,66	2	7	28	1—9	—	3-3, 3-47	6,24	214	0,570	0,256	4,5	26	
			1,50/1,71	1	13	26		—	3-3, 3-47	6,8	232		0,88	4,4		
			1,30/1,51	1	17	34		—	3-3, 3-47	6,85	230		1,54	4,3		
2	$\frac{7,2; 3,2}{22,3; 1,5}$	150	1,45/1,66	1	14	28	1—6	—	3-6, 3-72	6,73	231	0,426	0,761	3,3	26	
			1,08/1,29	1	24	48		—	3-6, 3-72	7,0	228		2,35	3,2		
			0,93/1,11	1	31	62		—	3-6, 3-72	7,15	224		4,13	3,0		
2	$\frac{7,2; 3,2}{22,3; 1,5}$	150	1,12/1,33	2	11	44	1—6	—	3-6, 3-72	6,52	218	0,466	0,525	3,5	26	
			1,16/1,37	1	19	38		—	3-6, 3-72	6,28	218		1,52	3,7		
			1,25/1,46	1	25	50		—	3-6, 3-72	6,9	218		2,89	3,3		

4. Прокладка в лобовой части: электрокартон ЭВ толщиной 0,2 мм, лакоткань ЛХС толщиной 0,2 мм и электрокартон ЭВ толщиной 0,2 мм, склеенные вместе.

5. Клинь — дерево твердой породы пропитанное.

6. Стержни и кольца короткозамкнутой обмотки ротора выполнены из алюминия марки А5.

7. Паз статора выполнен в соответствии с рис. 1-16, паз ротора соответствует рис. 1-14.

серии „Урал“ типа Р 5-го габарита

Таблица 1-154

тор																Ротор
q_1	Размеры паза $\frac{b; b''}{h; e}$	$Q_{s1},$ $мм^2$	d/d'	m_1	$\omega_{к1}$	$n_{э1}$	y_1	a_1	Схема обмотки (рис. №)	$j_1,$ $a/мм^2$	$AS_1,$ $a/см$	$l_{m1},$ $м$	$r_1,$ $ом$	$G_1,$ $кг$	z_2	
3	$\frac{8,6; 3,2}{24,8; 1,5}$	200	$\frac{1,25/1,46}{1,56/1,77}$	2 1	12 16	48 32	1—9	— —	3-3, 3-47 3-3, 3-47	6,53 6,38	232 236	0,62	0,636 1,094	6,2 6,4	26	
3	$\frac{8,6; 3,2}{24,8; 1,5}$	200	$\frac{1,4/1,61}{1,20/1,41}$	1 1	21 27	42 54	1—9	2 2	3-4, 3-48 3-4, 3-48	6,5 6,72	254 248	0,65	0,465 0,818	7,1 6,7	26	
3	$\frac{8,6; 3,2}{24,8; 1,5}$	200	$\frac{1,5/1,71}{1,30/1,51}$	2 2	9 11	36 44	1—8 1—9	— —	3-3, 3-44 3-3, 3-47	6,68 6,75	256 238	0,652 0,700	0,35 0,566	7,0 6,9	26	
3	$\frac{7,2; 3,2}{28,3; 1,5}$	193	$\frac{1,20/1,41}{1,5/1,71}$	1 1	25 17	50 34	1—9	2 —	3-7, 3-88 3-6, 3-87	4,24 4,12	201 208	0,534	0,932 1,62	7,3 8,1	64	
3	$\frac{7,2; 3,2}{28,3; 1,5}$	193	$\frac{1,35/1,56}{1,16/1,37}$	1 1	21 27	42 54	1—9	2 2	3-7, 3-88 3-7, 3-88	4,36 4,5	220 215	0,564	0,652 1,135	8,6 8,2	64	
3	$\frac{7,2; 3,2}{28,3; 1,5}$	193	$\frac{1,5/1,71}{1,30/1,51}$	1 2	17 11	34 44	1—9	2 —	3-7, 3-88 3-6, 3-87	4,67 4,71	235 231	0,614	0,466 0,801	9,3 9,1	64	
$2\frac{1}{4}$	$\frac{7,2; 3,2}{28,3; 1,5}$	193	$\frac{1,56/1,77}{1,35/1,56}$	1 1	16 21	32 42	1—7	— —	3-10, 3-117 3-10, 3-117	4,91 4,95	252 250	0,475	1,256 2,2	7,4 7,2	64	
$2\frac{1}{4}$	$\frac{7,2; 3,2}{28,3; 1,5}$	193	$\frac{1,25/1,46}{1,56/1,77}$	2 1	12 16	48 32	1—7	— —	3-10, 3-117 3-10, 3-117	4,9 4,81	242 247	0,555	0,855 1,468	8,3 8,6	64	

4. Прокладка в лобовой части: электрокартон ЭВ толщиной 0,2 мм, лакоткань ЛХС толщиной 0,2 мм и электрокартон ЭВ толщиной 0,2 мм, склеенные вместе.

5. Клинь — дерево твердой породы пропитанное.

6. Стержни и кольца короткозамкнутой обмотки ротора выполнены из алюминия марки А5.

7. Паз статора выполнен в соответствии с рис. 1-16, паз ротора соответствует рис. 1-17.

ПРИМЕНЕНИЕ АЛЮМИНИЕВЫХ ОБМОТОЧНЫХ ПРОВОДОВ ВМЕСТО МЕДНЫХ ПРИ КАПИТАЛЬНОМ РЕМОНТЕ АСИНХРОННЫХ ДВИГАТЕЛЕЙ ОБЩЕПРОМЫШЛЕННОГО НАЗНАЧЕНИЯ

2-1. ОБЩИЕ СВЕДЕНИЯ

Важность и необходимость решения задачи об обеспечении максимальной экономии медных обмоточных проводов и замены их алюминиевыми при ремонте электродвигателей определяются темпами роста действующего парка электрооборудования во всех отраслях народного хозяйства. Многие предприятия прибегают к восстановлению изоляции проводов, снятых с электродвигателей при ремонте. Однако известно, что в процессе отжига, размотки, зачистки, правки и изолировки провода вытягиваются и разрываются, их приходится сваривать и перетягивать на меньшие сечения, а их качественную изоляцию, за редким исключением, заменяют двойной хлопчатобумажной оплеткой, подобной изоляции проводов марки ПБД.

В результате такого восстановления изоляции обмоточный провод получается с заниженным сечением меди и завышенным наружным диаметром. Применить этот обмоточный провод в электродвигателе, с которого он был снят, нельзя, так как кроме ухудшения качества изоляции провода заданное число витков не разместится в пазу, а при уменьшении числа витков возрастает индукция, увеличиваются потери мощности, уменьшается к. п. д. Трудоемкость и стоимость ремонта возрастают, двигатель становится ненадежным, а длительность межремонтного периода уменьшается в несколько раз.

В связи с недостатком медных обмоточных проводов при ремонте асинхронных двигателей общепромышленного назначения с вращающей обмоткой мощностью до 100 кВт, напряжением до 660 в, выпущенных с изоляцией по классу нагревостойкости А, можно во многих случаях заменить медные обмоточные провода алюминиевыми, выполняя изоляцию электродвигателя по классу нагревостойкости Е. При этом обеспечиваются следующие факторы:

- а) сохранение мощности электродвигателя неизменной;
- б) степень надежности работы двигателя не ниже, чем при использовании медной обмотки;
- в) соответствие двигателя требованиям ГОСТ по величинам к. п. д. и $\cos \varphi$;
- г) получение значений пускового и максимального моментов не ниже, чем при исполнении обмотки медными проводами.

Ниже даются сведения по применению алюминиевых обмоточных проводов при ремонте асинхронных двигателей, приводятся таблицы обмоточно-расчетных данных электродвигателей, ремонтируемых с применением алюминиевых проводов, а также указываются особенности технологии, связанные с применением алюминиевых обмоточных проводов.

2-2. СРАВНЕНИЕ ОСНОВНЫХ СВОЙСТВ МЕДИ И АЛЮМИНИЯ

Таблица 2-1

Показатели	Единицы измерения	Медь	Алюминий	Отношение алюминий/медь
Плотность	г/см ³	8,9	2,7	0,3
Удельное сопротивление при 20° С	ом.мм ² /м	0,017	0,028	1,63
Удельная проводимость при 20° С	м/ом.мм ²	59	36	0,61
Температурный коэффициент электрического сопротивления	1/°С	0,004	0,004	1
Удельная теплоемкость на единицу веса	дж/кг.°С	395	900	2,28
Удельная теплоемкость на единицу объема	дж/см ³ .°С	3 520	2 380	0,675
Прочность на разрыв мягкой проволоки	кгс/мм ²	25	10	0,4
Температурный коэффициент линейного расширения	1/°С	1,7×10 ⁻⁵	2,3×10 ⁻⁵	1,35
Температура плавления	°С	1 080	660	0,61
Теплопроводность	вт/см.°С	3	2	0,67

Некоторые основные свойства, характеризующие медь и алюминий как материалы для обмоточных проводов электрических машин, приведены в табл. 2-1.

Как видно из табл. 2-1, основными недостатками алюминия по сравнению с медью являются меньшие электрическая проводимость, механическая прочность и объемная теплоемкость, а также худшая теплопроводность. Важными преимуществами алюминия являются: значительно меньшая плотность, большая мягкость и эластичность проводов, облегчающая их укладку в паз, и значительно лучшее сцепление алюминиевых проводов с эмалевой изоляцией.

2-3. ПОТЕРИ ЭНЕРГИИ В ОБМОТКЕ СТАТОРА И ЕЕ НАГРЕВ ПРИ ЗАМЕНЕ МЕДНЫХ ПРОВОДОВ АЛЮМИНИЕВЫМИ

При замене медных проводов алюминиевыми в существующих или более ранних сериях для сохранения на прежнем уровне пускового и максимального моментов следует величины магнитной индукции, а следовательно, и число активных проводников в пазу сохранить прежними.

При сохранении прежнего класса нагревостойкости изоляции А для обеспечения надежности электродвигателя необходимо сохранить неизменными по величине потери энергии в обмотке статора; при этом справедливо равенство:

$$I_a^2 \rho_a \frac{l}{0,78 d_{г.а}^2} = I_m^2 \rho_m \frac{l}{0,78 d_{г.м}^2};$$

отсюда

$$\left(\frac{I_a}{I_m}\right)^2 = \frac{\rho_m}{\rho_a} \left(\frac{d_{г.а}}{d_{г.м}}\right)^2,$$

а так как

$$\frac{\rho_m}{\rho_a} = \frac{1}{1,63}, \text{ то } \frac{I_a}{I_m} = 0,784 \frac{d_{г.а}}{d_{г.м}}. \quad (1)$$

Здесь I_a — ток статора при алюминиевой обмотке; I_m — ток статора при медной обмотке; ρ_a — удельное сопротивление алюминия; ρ_m — удельное сопротивление меди; $d_{г.а}$ — диаметр голого алюминиевого провода; $d_{г.м}$ — диаметр голого медного провода.

Из уравнения (1) вытекает, что для сохранения мощности электродвигателя при переходе на алюминиевые провода и сохранении класса изоляции необходимо увеличить диаметр голого провода в отношении

$$\frac{d_{г.а}}{d_{г.м}} \geq \frac{1}{0,784} = 1,27.$$

При переходе на изоляцию по классу нагревостойкости Е вместо класса А можно допустить некоторое увеличение потерь в обмотке статора без снижения надежности. По ГОСТ 186-52 предельное допустимое превышение температуры над температурой окружающей среды для электродвигателей с алюминиевой обмоткой статора с применением изоляционных материалов по классу нагревостойкости Е может быть повышено на 10° С против норм, установленных для машин с изоляцией по классу нагревостойкости А, т. е. от 65 до 75° С.

Если принять, что превышение температуры обмотки статора электродвигателя над температурой окружающей среды пропорционально величине греющих потерь $P_{гр}$, выделяющихся при работе двигателя в виде тепла, то

$$\frac{P_{гр.а}}{P_{гр.м}} = \frac{75}{65} = 1,15,$$

но потери в обмотке статора составляют лишь часть греющих потерь, в состав которых частично входят и потери в стали, и вентиляционные потери; обозначим эту часть потерь в долях единицы через α ; остальную часть $(1-\alpha)$ составляют потери, не изменяющиеся в данном случае.

Пусть искомое отношение

$$\frac{(I^2 R)_a}{(I^2 R)_m} = x;$$

тогда

$$P_{гр.а} = \alpha P_{гр.м} + (1-\alpha) P_{гр.м} = 1,15 P_{гр.м},$$

отсюда

$$x = 1 + \frac{0,15}{\alpha}.$$

Величина α в современных и ранее выпущенных электродвигателях не превышает 0,67, т. е. $\alpha \leq 0,67$; подставляя эту величину в равенство, решенное относительно x , получим:

$$x \geq 1,22.$$

Таким образом, потери в обмотке статора при переходе на изоляцию по классу нагревостойкости Е вместо класса А можно увеличить на 22% без снижения надежности электродвигателя.

В этом случае

$$I_a^2 \rho_a \frac{l}{0,78 d_{г.а}^2} = 1,22 I_m^2 \rho_m \frac{l}{0,78 d_{г.м}^2};$$

$$\frac{I_a^2}{I_m^2} = 1,22 \frac{\rho_m}{\rho_a} \frac{d_{г.а}^2}{d_{г.м}^2};$$

$$\frac{I_a}{I_m} = 0,87 \frac{d_{г.а}}{d_{г.м}}. \quad (2)$$

Значит, для сохранения мощности электродвигателя при переходе на изоляцию класса нагревостойкости Е достаточно увеличить диаметр алюминиевого провода (жилы) по отношению к медному в

$$\frac{d_{г.а}}{d_{г.м}} = \frac{1}{0,87} = 1,15 \text{ раза.}$$

Увеличение диаметра голого алюминиевого провода по сравнению с голым медным возможно при применении алюминиевых проводов с тонкой эмалевой изоляцией марок ПЭВА-2 (на поливинилацетальном лаке) или ПЭЛРА-2 (на полиамиднорезольном лаке), выпускаемых отечественной промышленностью.

Эти высокопрочные алюминиевые эмалированные провода по нагревостойкости можно отнести к классу Е*, они выпускаются в сортаменте, указанном в табл. 2-2.

В последнее время отечественной промышленностью также освоен выпуск алюминиевых обмоточных проводов марок: ПЭТВА (на основе полиэфирного лака № 124) и ПЭТВА-939 (на основе полиэфирного лака ПЭ-939) по МРТУ 16-505031-67. Эти провода по нагревостойкости относятся к классу В; они выпускаются в сортаменте, указанном в табл. 2-3.

Благодаря большей эластичности алюминиевого провода и лучшему сцеплению алюминия с эмалевой пленкой облегчается его укладка в паз; поэтому при переходе на алюминиевые провода можно увеличить коэффициент заполнения свободного сечения пазы с значения 0,65—0,7, обычно принимаемого при медной обмотке, до 0,72—0,75, т. е. на 8—10%, или соответственно увеличить диаметр изолированного провода на 4—5%.

В табл. 2-6 приведены рекомендации по замене медных обмоточных проводов марки ПЭЛБО алюминиевыми проводами марок ПЭВА-2 или ПЭЛРА-2 в электродвигателях с всыпной обмоткой; табл. 2-6 составлена с таким расчетом, что отношение диаметра изолированного алюминиевого провода $d_{и.а}$ к диаметру медного изолированного провода $d_{и.м}$ составляет 1,04—1,05.

Привезенцев В. А., Аникеев В. М., Нагревостойкость медных и алюминиевых высокопрочных эмалированных проводов, «Электротехника», 1964, № 9.

Таблица 2-2

Номинальный диаметр алюминиевого провода (голового), мм	Радиальная толщина эмалированной изоляции, мм	Диаметр изолированного провода, мм	Вес провода, кг/км
0,57	0,0275	0,625	0,753
0,59	0,0275	0,645	0,805
0,62	0,0275	0,675	0,885
0,64	0,030	0,70	0,948
0,67	0,030	0,73	1,030
0,69	0,030	0,75	1,125
0,72	0,030	0,78	1,19
0,74	0,0325	0,805	1,26
0,77	0,0325	0,835	1,36
0,80	0,0325	0,865	1,46
0,83	0,0325	0,895	1,57
0,86	0,0325	0,925	1,68
0,90	0,0325	0,965	1,84
0,93	0,0325	0,995	1,95
0,96	0,0325	1,025	2,08
1,00	0,040	1,08	2,28
1,04	0,040	1,12	2,46
1,08	0,040	1,16	2,65
1,12	0,040	1,20	2,84
1,16	0,040	1,24	3,04
1,20	0,040	1,28	3,25
1,25	0,040	1,33	3,51
1,30	0,040	1,38	3,79
1,35	0,040	1,43	4,08
1,40	0,040	1,48	4,39
1,45	0,040	1,53	4,69
1,50	0,040	1,58	5,02
1,56	0,040	1,64	5,41
1,62	0,040	1,70	5,83
1,68	0,040	1,76	6,26
1,74	0,040	1,82	6,70
1,81	0,040	1,89	7,24
1,88	0,040	1,96	7,80
1,95	0,040	2,03	8,37
2,02	0,040	2,10	8,97
2,10	0,045	2,19	10,1
2,26	0,045	2,35	11,2
2,44	0,045	2,53	13,4

В табл. 2-6 величина допустимого тока электродвигателя в процентах номинального тока при сохранении класса нагревостойкости изоляции А подсчитана по формуле (1), а при переходе на изоляцию по классу нагревостойкости Е — по формуле (2).

Аналогично табл. 2-6 составлена табл. 2-7 для электродвигателей прежних выпусков с вспынной обмоткой из медных проводов марки ПБД.

Как видно из табл. 2-6 и 2-7, использование алюминиевых проводов марок ПЭВА-2 и ПЭЛРА-2 повышенного сечения с одновременным переходом на изоляцию класса Е обеспечивает сохранение номинальной мощности электродвигателя почти во всех случаях. При сохранении изоляции по классу нагревостойкости А во многих случаях потребуется снижение допустимого тока статора до 10—15%.

Необходимо учитывать, что понижение допустимого тока статора вызывает относительно большее снижение мощности электродвигателя. Между соотношением предельных мощностей P_a/P_m и допустимых токов стато-

ра I_a/I_m для произвольно выбранного электродвигателя с алюминиевой или медной обмоткой при неизменном числе витков имеет место зависимость

$$\frac{P_a}{P_m} = \frac{\sqrt{\left(\frac{I_a}{I_m}\right)^2 + \cos^2 \varphi_n - 1}}{\cos \varphi_n}, \quad (3)$$

где $\cos \varphi_n$ — номинальный коэффициент мощности электродвигателя.

Таблица 2-3

Номинальный диаметр алюминиевого провода (голового), мм	Радиальная толщина эмалированной изоляции, мм	Диаметр изолированного провода, мм	Вес провода, кг/км
0,38	0,025	0,43	0,334
0,41	0,025	0,46	0,389
0,44	0,025	0,49	0,449
0,47	0,025	0,52	0,511
0,49	0,025	0,54	0,557
0,51	0,0275	0,565	0,603
0,53	0,0275	0,585	0,652
0,55	0,0275	0,605	0,702
0,57	0,0275	0,625	0,753
0,59	0,0275	0,645	0,805
0,62	0,0275	0,675	0,885
0,64	0,03	0,70	0,948
0,67	0,03	0,73	1,030
0,69	0,03	0,75	1,125
0,72	0,03	0,78	1,19
0,74	0,03	0,80	1,26
0,77	0,03	0,83	1,36
0,80	0,03	0,86	1,46
0,83	0,03	0,89	1,57
0,86	0,03	0,92	1,68
0,90	0,03	0,96	1,84
0,93	0,03	0,99	2,08
0,96	0,03	1,02	2,18
1,00	0,04	1,08	2,28
1,04	0,04	1,12	2,46
1,08	0,04	1,16	2,65
1,12	0,04	1,20	2,84
1,16	0,04	1,24	3,04
1,20	0,04	1,28	3,25
1,25	0,04	1,33	3,51
1,30	0,04	1,38	3,79
1,35	0,04	1,43	4,08
1,40	0,04	1,48	4,39
1,45	0,04	1,53	4,69
1,5	0,04	1,58	5,02
1,56	0,04	1,64	5,41
1,62	0,04	1,70	5,83
1,68	0,04	1,76	6,26
1,74	0,04	1,82	6,70
1,81	0,045	1,90	7,24
1,88	0,045	1,97	7,80
1,95	0,045	2,04	8,37
2,02	0,045	2,11	8,97
2,10	0,045	2,19	10,1
2,26	0,045	2,35	11,2
2,44	0,045	2,53	13,4

Вывод этой формулы основан на совместном решении двух уравнений:

$$\frac{P_a}{P_m} = \frac{I_a \cos \varphi_a}{I_n \cos \varphi_n}; \tag{4}$$

$$I_a \sin \varphi_a = I_n \sin \varphi_n. \tag{5}$$

В уравнении (4) допущено, что изменением к. п. д. электродвигателя при изменении тока статора в пределах до 10—15% можно пренебречь.

В уравнении (5) принято, что н. с. пропорциональна величине $I \sin \varphi_n$ и остается постоянной (что справедливо при сохранении индукции).

Если применить формулу (3) для электродвигателя, имеющего обмотку из провода марки ПЭЛБО диаметром 1,0/1,2 мм и $\cos \varphi_n = 0,85$, то с помощью табл. 2-6 найдем, что после перехода на алюминиевый провод диаметром 1,16/1,24 и сохранения изоляции класса нагревостойкости А потребуется понижение допустимого тока статора в отношении

$$\frac{I_a}{I_m} = 0,91$$

и понижение мощности в соответствии с формулой (4)

$$\frac{P_a}{P_m} = \frac{\sqrt{0,91^2 + 0,85^2} - 1}{0,85} = 0,87.$$

Таким образом, для рассмотренного случая снижение допустимого тока составит 9%, а понижение мощности 13%. Из табл. 2-6 также видно, что при переходе на изоляцию по классу нагревостойкости Е номинальная мощность электродвигателя сохранится неизменной.

Переход на изоляцию по классу нагревостойкости Е можно осуществить, применяя в качестве пазовой изоляции в зависимости от габарита электродвигателей комбинацию из пленкоэлектрокартона на полиэтилентерефталатной пленке со стеклолакотканью ЛСЭ и ЛСБ.

Впредь до возможности широкого применения пленкоэлектрокартона на полиэтилентерефталатных пленках при ремонте электродвигателей можно заменять пленкоэлектрокартон на полиэтилентерефталатной пленке комбинацией гибкого слюдинита со стеклолакотканью ЛСЭ и ЛСБ и электрокартоном; сведения по этим материалам приведены в табл. 2-10—2-30.

2-4. ПРОВЕРКА СООТВЕТСТВИЯ ПАРАМЕТРОВ ДВИГАТЕЛЯ ГОСУДАРСТВЕННЫМ СТАНДАРТАМ

По ГОСТ 186-52 для электродвигателей с алюминиевыми обмотками статора допускается некоторое снижение к. п. д. по сравнению с электродвигателями, имеющими медные обмотки, как указано в табл. 2-4.

Таблица 2-4

$P_2, \text{квт}$	К. п. д. при $n=1\,500 \text{ об/мин}$		К. п. д. при $n=1\,000 \text{ об/мин}$	
	Медная обмотка	Алюминиевая обмотка	Медная обмотка	Алюминиевая обмотка
0,6	74	71	—	—
1,0	78,5	75,5	77,0	73,5
1,7	81,5	79,0	79,5	76,5
2,8	83,5	81,0	82,5	80,0
4,5	85,5	83,5	84,5	82,0
7,0	87,0	85,0	86,0	83,5
10	87,5	86,0	86,5	84,5
14	88,5	87,0	87,0	85,0
20	89,0	87,5	88,0	86,5
28	90,0	88,5	89,0	87,5
40	90,5	89,0	90,0	88,5
55	91,0	90,0	91,0	89,5
75	91,5	90,5	92,0	90,5
100	92,0	91,0	—	—

Допустимый коэффициент увеличения потерь в обмотке статора при переходе с медной обмотки на алюминиевую определяется через коэффициенты β и γ , приведенные в табл. 2-5.

Здесь β — допустимый коэффициент увеличения всех потерь двигателя при переходе на алюминиевую обмотку согласно ГОСТ 186-52; γ — отношение потерь в обмотке статора ко всем потерям электродвигателя.

Доля остальных потерь, остающихся неизменными, составит $(1-\gamma)$.

Искомый допустимый коэффициент y увеличения потерь в обмотке статора (в долях единицы) определяется из уравнения

$$y\gamma + (1-\gamma) = \beta,$$

откуда

$$y = \frac{\beta - 1}{\gamma} + 1. \tag{6}$$

Однако γ не может превышать значения, равного 0,5, т. е.

$$\gamma \leq 0,5;$$

подставляя эту величину в формулу (6), находим:

$$y \geq 2\beta - 1.$$

Как видно из табл. 2-5, увеличение потерь энергии в алюминиевой обмотке статора на 22% по сравнению с медной допустимо по ГОСТ 186-52 для всех электродвигателей.

Таблица 2-5

$P_2, \text{квт}$	$n=1\,500 \text{ об/мин}$		$n=1\,000 \text{ об/мин}$	
	β	γ	β	γ
1,0	—	—	1,15	1,30
1,7	1,14	1,28	1,15	1,30
2,8	1,15	1,30	1,14	1,28
4,5	1,135	1,27	1,16	1,32
7	1,15	1,30	1,18	1,36
10	1,12	1,24	1,15	1,30
14	1,13	1,26	1,15	1,30
20	1,135	1,27	1,12	1,24
28	1,15	1,30	1,135	1,27
40	1,16	1,32	1,15	1,30
55	1,11	1,22	1,165	1,33
75	1,12	1,24	1,19	1,38

Рекомендации по выбору алюминиевого обмоточного провода марок ПЭВА-2 или ПЭЛРА-2 вместо медного марки ПЭЛБО для электродвигателей с всыпной обмоткой

ПЭЛБО			ПЭВА-2 (ПЭЛРА-2)			$\frac{d_{г.а}}{d_{г.м}}$	$\frac{S_a}{S_m}$	Допустимый ток электродвигателя, % I_H	
$d_{г.м}, мм$	$d_{и.м}, мм$	$S_m, мм^2$	$d_{г.а}, мм$	$d_{и.а}, мм$	$S_a, мм^2$			в классе А	в классе Е
0,44	0,595	0,152	0,57	0,625	0,256	1,30	1,68	100	100
0,47	0,625	0,173	0,59	0,645	0,273	1,26	1,58	98,5	100
0,49	0,645	0,188	0,62	0,675	0,302	1,27	1,60	100	100
0,51	0,67	0,204	0,64	0,70	0,322	1,26	1,58	98,0	100
0,53	0,69	0,221	0,67	0,73	0,353	1,27	1,60	100	100
0,55	0,71	0,238	0,69	0,75	0,374	1,26	1,57	98,5	100
0,57	0,73	0,255	0,69	0,75	0,374	1,21	1,47	94,5	100
0,59	0,75	0,273	0,72	0,78	0,407	1,22	1,49	95,0	100
0,62	0,78	0,302	0,74	0,805	0,436	1,19	1,42	93,5	100
0,64	0,80	0,322	0,77	0,835	0,466	1,20	1,45	94,0	100
0,67	0,83	0,353	0,80	0,865	0,503	1,19	1,42	93,5	100
0,69	0,85	0,374	0,83	0,895	0,541	1,20	1,45	94,0	100
0,72	0,89	0,407	0,86	0,925	0,581	1,19	1,48	93,5	100
0,74	0,91	0,430	0,90	0,965	0,636	1,22	1,48	95,0	100
0,77	0,94	0,466	0,93	0,995	0,679	1,21	1,46	94,5	100
0,80	0,97	0,503	0,96	1,025	0,724	1,20	1,44	94,0	100
0,83	1,00	0,541	0,96	1,025	0,724	1,15	1,34	90,0	100
0,86	1,03	0,581	1,00	1,08	0,785	1,16	1,35	91,0	100
0,90	1,07	0,636	1,04	1,12	0,849	1,15	1,33	90,0	100
0,93	1,10	0,679	1,08	1,16	0,916	1,17	1,35	92,0	100
0,96	1,13	0,724	1,12	1,20	0,985	1,17	1,36	92,0	100
1,00	1,20	0,785	1,16	1,24	1,067	1,16	1,34	91,0	100
1,04	1,24	0,849	1,20	1,28	1,131	1,15	1,33	90,0	100
1,08	1,29	0,916	1,25	1,33	1,237	1,16	1,34	91,0	100
1,12	1,32	0,985	1,30	1,38	1,327	1,16	1,35	91,0	100
1,16	1,36	1,067	1,35	1,43	1,431	1,17	1,36	92,0	100
1,20	1,40	1,131	1,40	1,48	1,539	1,17	1,36	92,0	100
1,25	1,45	1,227	1,45	1,53	1,651	1,16	1,35	91,0	100
1,30	1,50	1,327	1,50	1,58	1,767	1,15	1,33	90,0	100
1,35	1,55	1,431	1,56	1,64	1,911	1,15	1,33	90,0	100
1,40	1,605	1,539	1,62	1,70	2,061	1,16	1,34	91,0	100
1,45	1,655	1,651	1,68	1,76	2,217	1,16	1,34	91,0	100
1,50	1,705	1,767	1,74	1,82	2,379	1,16	1,34	91,0	100
1,56	1,765	1,911	1,81	1,89	2,573	1,16	1,34	91,0	100
1,62	1,825	2,061	1,88	1,96	2,776	1,16	1,34	91,0	100
1,68	1,885	2,217	1,95	2,03	2,986	1,16	1,35	91,0	100
1,74	1,945	2,379	1,95	2,03	2,986	1,12	1,26	87,5	97,0
1,81	2,015	2,573	2,02	2,10	3,205	1,12	1,25	87,5	97,0
1,88	2,085	2,786	2,10	2,19	3,464	1,12	1,25	87,5	97,0
1,95	2,155	2,986	2,10	2,19	3,464	1,08	1,16	84,5	94,0
2,02	2,230	3,205	2,26	2,35	4,011	1,12	1,25	87,5	97,0
2,10	2,310	3,464	2,26	2,35	4,011	1,08	1,16	84,5	94,0

Обозначения: $d_{г.м}$ — диаметр голого медного провода; $d_{и.м}$ — диаметр изолированного медного провода; S_m — сечение медного провода; $d_{г.а}$ — диаметр голого алюминиевого провода; $d_{и.а}$ — диаметр изолированного алюминиевого провода; S_a — сечение алюминиевого провода.

Рекомендации по выбору алюминиевого обмоточного провода марок ПЭВА-2 или ПЭЛРА-2 вместо медного марки ПБД для электродвигателей с всыпной обмоткой

ПБД			ПЭВА-2 (ПЭЛРА-2)			$\frac{d_{г.а}}{d_{г.м}}$	$\frac{S_a}{S_m}$	Допустимый ток электродвигателя, % I_H	
$d_{г.м}, мм$	$d_{и.м}, мм$	$S_m, мм^2$	$d_{г.а}, мм$	$d_{и.а}, мм$	$S_a, мм^2$			в классе А	в классе Е
0,38	0,60	0,113	0,57	0,625	0,255	1,50	2,26	100	100
0,41	0,63	0,132	0,59	0,645	0,273	1,44	2,07	100	100
0,44	0,66	0,152	0,64	0,7	0,322	1,45	2,12	100	100
0,47	0,69	0,173	0,67	0,73	0,353	1,43	2,06	100	100
0,49	0,71	0,189	0,69	0,75	0,374	1,41	1,98	100	100
0,51	0,73	0,204	0,69	0,75	0,374	1,35	1,83	100	100
0,53	0,75	0,221	0,72	0,78	0,407	1,36	1,84	100	100
0,55	0,77	0,238	0,74	0,805	0,430	1,35	1,81	100	100
0,57	0,79	0,255	0,77	0,835	0,466	1,35	1,83	100	100
0,59	0,81	0,273	0,77	0,835	0,466	1,31	1,71	100	100
0,62	0,84	0,302	0,80	0,865	0,503	1,29	1,66	100	100
0,64	0,86	0,322	0,83	0,895	0,541	1,30	1,68	100	100
0,67	0,89	0,353	0,86	0,925	0,581	1,28	1,65	100	100
0,69	0,91	0,374	0,90	0,965	0,636	1,30	1,70	100	100
0,72	0,94	0,407	0,93	0,995	0,679	1,29	1,67	100	100
0,74	0,96	0,430	0,93	0,995	0,679	1,26	1,58	98,5	100
0,77	0,99	0,466	0,96	1,025	0,724	1,25	1,55	98,0	100
0,80	1,02	0,503	1,00	1,08	0,785	1,25	1,56	98,0	100
0,83	1,05	0,541	1,04	1,12	0,849	1,25	1,57	98,0	100
0,85	1,08	0,581	1,08	1,16	0,916	1,26	1,58	98,5	100
0,90	1,12	0,636	1,08	1,16	0,916	1,20	1,44	94,0	100
0,93	1,15	0,679	1,12	1,20	0,985	1,21	1,45	94,5	100
0,96	1,18	0,724	1,16	1,24	1,057	1,21	1,46	94,5	100
1,00	1,27	0,785	1,25	1,33	1,227	1,25	1,56	98,0	100
1,04	1,31	0,849	1,30	1,38	1,327	1,25	1,56	98,0	100
1,08	1,35	0,916	1,35	1,43	1,431	1,25	1,56	98,0	100
1,12	1,39	0,985	1,40	1,48	1,539	1,25	1,56	98,0	100
1,16	1,43	1,057	1,40	1,48	1,539	1,21	1,46	94,5	100
1,20	1,47	1,131	1,45	1,53	1,651	1,21	1,46	94,5	100
1,25	1,52	1,227	1,50	1,58	1,767	1,20	1,44	94,0	100
1,30	1,57	1,327	1,56	1,64	1,911	1,20	1,44	94,0	100
1,35	1,62	1,431	1,62	1,70	2,061	1,20	1,44	94,0	100
1,40	1,67	1,539	1,68	1,76	2,217	1,20	1,44	94,0	100
1,45	1,72	1,651	1,74	1,82	2,379	1,20	1,44	94,0	100
1,50	1,77	1,767	1,81	1,89	2,573	1,21	1,45	94,5	100
1,56	1,83	1,911	1,81	1,89	2,573	1,16	1,35	91,0	100
1,62	1,89	2,06	1,88	1,96	2,776	1,16	1,35	91,0	100
1,68	1,95	2,22	1,95	2,03	2,986	1,16	1,35	91,0	100
1,74	2,01	2,38	2,02	2,10	3,205	1,16	1,35	91,0	100
1,81	2,08	2,57	2,10	2,19	3,464	1,16	1,35	91,0	100
1,88	2,15	2,78	2,10	2,19	3,464	1,12	1,25	87,5	97,0
1,95	2,22	2,99	2,26	2,35	4,011	1,16	1,34	91,0	100
2,02	2,29	3,20	2,26	2,35	4,02	1,12	1,25	87,5	97,0
2,10	2,37	3,46	2,44	2,53	4,68	1,16	1,35	91,0	100

Примечание. При составлении таблицы принято, что число витков в пазу при алюминиевой обмотке сохраняется таким же, как и при медной обмотке; таблица не содержит оптимальных решений, так как не учитывает индивидуальных особенностей отдельных электродвигателей.

2-5. НАГРЕВ ЭЛЕКТРОДВИГАТЕЛЯ С АЛЮМИНИЕВОЙ ОБМОТКОЙ ПРИ ПУСКЕ

Под влиянием повышенного пускового тока обмотка статора электродвигателя значительно нагревается, что обычно характеризуется скоростью возрастания температуры обмотки статора в период пуска $d\tau$, °C/сек, высокие значения $d\tau$ приводят к ускоренному износу изоляции.

Обычно для асинхронных электродвигателей низкого напряжения с медной обмоткой величина $d\tau$ лежит в пределах 3—6° C/сек; рассмотрим, как изменяется эта величина при замене медной обмотки алюминиевой.

Обычно принимают, что за время пуска обмотка статора не успевает отдавать тепло охлаждающему воздуху и что нагрев обмотки ограничивается ее теплоемкостью, т. е.

$$d\tau = (I_{п.ср})^2 \frac{R}{C} = (I_{п.ср})^2 \frac{\rho}{C_w S^2},$$

где $I_{п.ср}$ — среднее действующее значение тока статора за период пуска; C_w — удельная теплоемкость обмотки на единицу объема; S — сечение проводника (жилы).

Если переход на алюминиевую обмотку осуществляется с сохранением прежнего числа витков, то величина среднего пускового тока $I_{п.ср}$ не изменяется; в этом случае отношение $d\tau_a$ (при алюминиевой обмотке) к $d\tau_m$ (при медной обмотке) выразится зависи-

мостью

$$\frac{d\tau_a}{d\tau_m} = \frac{\rho_a}{\rho_m} \frac{C_{wm}}{C_{wa}} \left(\frac{S_m}{S_a} \right)^2.$$

Подставляя значения соотношений ρ_a/ρ_m и C_{wa}/C_{wm} из табл. 2-1, найдем:

$$\frac{d\tau_a}{d\tau_m} = 1,63 \frac{1}{0,675} \left(\frac{S_m}{S_a} \right)^2 = 2,4 \left(\frac{S_m}{S_a} \right)^2.$$

Из этого уравнения видно, что для того чтобы скорость нарастания температуры во время пуска не увеличивалась, необходимо, чтобы

$$\frac{S_a}{S_m} \geq \sqrt{2,42} = 1,56. \quad (7)$$

Из табл. 2-6 и 2-7 видно, что отношение S_a/S_m не всегда соответствует условию (7); поэтому при переходе на алюминиевую обмотку величина $d\tau$ обычно возрастает. Во избежание ускоренного износа изоляции при пусках переход на более высокий класс нагревостойкости изоляции Е при замене медных обмоточных проводов алюминиевыми оказывается необходимым.

С этой точки зрения для электродвигателей с тяжелыми условиями пуска вообще нельзя рекомендовать переход на алюминиевую обмотку статора.

2-6. ЭКОНОМИЧЕСКАЯ СТОРОНА ВОПРОСА

Стоимость капитального ремонта электродвигателя с применением обмотки из алюминиевых проводов вместо медных не увеличивается, так как увеличение стоимости изоляции с избытком компенсируется понижением стоимости обмоточного провода.

Однако эксплуатационная стоимость в большинстве случаев повышается из-за повышения годовых потерь электроэнергии; это повышение может быть учтено с помощью формулы

$$dW = P_n \frac{(1 - \eta)}{\eta} \gamma T \left(1,63 \frac{S_m}{S_a} - 1 \right), \text{ кВт} \cdot \text{ч/год},$$

где dW — дополнительные потери в электродвигателе, кВт·ч за год; P_n — номинальная мощность двигателя, кВт; η — номинальное значение к. п. д.; γ — отношение потерь в обмотке статора ко всем потерям; T — годовое число часов использования двигателя, ч/год.

Например, для двигателя мощностью 4,5 кВт с обмоткой, выполненной из медного провода марки ПЭЛВО диаметром 1,12 мм, при $\eta=0,85$; $\gamma=0,5$; $T=1500$ ч после перехода на алюминиевый провод марки ПЭВА-2 диаметром 1,30 мм

$$\frac{S_a}{S_m} = 1,35$$

получаем

$$dW = 4,5 \frac{(1 - 0,85)}{0,85} \cdot 0,5 \cdot 1500 \cdot \left(\frac{1,63}{1,35} - 1 \right) = 125 \text{ кВт} \cdot \text{ч}.$$

т. е. увеличение потерь при переходе на алюминиевую обмотку составит для этого электродвигателя 125 кВт·ч/год. При средней цене 1,2 коп. за 1 кВт·ч дополнительные расходы составят 1 р. 50 к. в год.

2-7. ВЫВОДЫ

При ремонте асинхронных электродвигателей низкого напряжения мощностью до 100 кВт с всыпной обмоткой и нетяжелыми условиями пуска, выпущенных с изоляцией по классу нагревостойкости А, можно широко применять замену медных обмоточных проводов марок ПЭЛВО и ПБД алюминиевыми марок ПЭВА-2 или ПЭЛРА-2 или ПЭТВА с одновременным переходом на изоляцию класса нагревостойкости Е. При этом может быть сохранена номинальная мощность электродвигателя и обеспечены надежность его работы, соответствие ГОСТ и сохранение неизменными значений пускового и максимального моментов.

Переход на изоляцию по классу нагревостойкости

Е необходим не только в связи с некоторым увеличением потерь энергии, но и вследствие повышенного нагрева электродвигателя при пуске.

При замене медных проводов алюминиевыми стоимость капитального ремонта за счет перехода на изоляцию по классу нагревостойкости Е не увеличивается, так как почти в 2 раза снижается вес обмотки, а расходы по эксплуатации электродвигателя незначительно увеличиваются вследствие некоторого снижения к. п. д.; однако с государственной точки зрения такое увеличение затрат оправдано и компенсируется разницей капиталовложений при выплавке первичного алюминия и меди.

2-8. ОСОБЕННОСТИ ТЕХНОЛОГИИ ПРИ РЕМОНТЕ ЭЛЕКТРОДВИГАТЕЛЕЙ С АЛЮМИНИЕВЫМИ ОБМОТКАМИ

Особенности технологического процесса при капитальном ремонте асинхронных электродвигателей с применением алюминиевых обмоточных проводов включают:

1) намотку катушек всыпных обмоток статора группами полностью на фазу (при отсутствии параллельных ветвей в фазе) или группами полностью на каждую параллельную ветвь фазы (при наличии параллельных ветвей в фазе). Такая намотка катушек вызывается стремлением свести к минимуму количество соединений, выполняемых посредством пайки и сварки при сборке схемы обмотки статора.

2) Подготовку к сварке и сварку концов алюминиевых проводов при намотке катушек и обрывах методом контактного нагрева.

3) Лужение выводных концов алюминиевых катушек методом погружения для припайки их к выводным медным проводам.

4) Лужение выводных концов алюминиевых катушек

шек вибрационным методом для припайки их к выводным медным проводам.

5) Припаивание выводных концов алюминиевых катушек к выводному медному проводу методом погружения в расплавленный припой.

6) Припаивание выводных концов алюминиевых катушек к выводному медному проводу методом заливки расплавленным припоем.

7) Приготовление припоев и флюсов для пайки, сварки и лужения концов алюминиевых и медных проводов.

Дефектировка электродвигателя, подготовка статора к укладке обмотки, укладка обмотки, пропитка и сушка обмоток, их испытания и другие технологические операции капитального ремонта электродвигателей с обмотками из алюминиевых проводов вместо медных не рассматриваются, так как они ничем не отличаются от аналогичных операций при ремонте электродвигателей с обмотками из медных проводов.

2-9. НАМОТКА КАТУШЕК СТАТОРА

Намотку катушек всыпных обмоток производят без обрыва провода полностью на параллельную ветвь или фазу. Число непрерывно наматываемых катушечных групп и перемычек принимается согласно табл. 2-8.

Количество катушек-бухт с проводом, устанавливаемых на стойки, должно соответствовать числу параллельных проводников в витке.

На конец провода перед намоткой надевают линосиновые или стеклолакотрубки для последующей изоляции всех межгрупповых перемычек (переходов). Количество и длину трубок для изоляции перемычек между катушечными группами определяют по табл. 2-8.

Закрепляют концы проводов на шаблоне, наматывают первую катушечную группу, оставляют линосиновую трубку на перемычке между катушечными группами и продолжают намотку следующей катушечной группы (эту операцию повторяют по числу катушечных групп в фазе или параллельной ветви согласно табл. 2-8).

Перемычки между катушечными группами с изолирующими трубками закрепляют в петлю.

Перевязывают проводники каждой катушки в двух местах, отрезают концы группы катушек на заданную длину и снимают группы катушек с шаблона.

Таблица 2-8

Число полюсов	Число параллельных ветвей в фазе	Число катушечных групп в фазе	Число катушечных групп в каждой параллельной ветви	Число перемычек в каждой параллельной ветви	Число перемычек в каждой фазе	Количество трубок для изоляции перемычек одной фазы	Длина трубок, мм		Длина выводных концов катушечных групп, мм	
							до 6-го габарита	7—9-го габаритов	до 6-го габарита	7—9-го габаритов
2	—	2	—	—	1	1	200*	250	100	500—700
2	2	$2 \times 1 = 2$	1	—	—	—	—	—	100	500—700
4	—	4	—	—	3	3	180	240	100	500—700
4	2	$2 \times 2 = 4$	2	1	$2 \times 1 = 2$	2	180	240	100	500—700
4	4	$4 \times 1 = 4$	1	—	—	—	—	—	100	500—700
6	—	6	—	—	5	5	150	200	100	500—700
6	2	$2 \times 3 = 6$	3	2	$2 \times 2 = 4$	4	150	200	100	500—700
6	3	$3 \times 2 = 6$	2	1	$3 \times 1 = 3$	3	150	200	100	500—700
6	6	$6 \times 1 = 6$	1	—	—	—	—	—	100	500—700
8	—	8	—	—	7	7	150	200	100	500—700
8	2	$2 \times 4 = 8$	4	3	$2 \times 3 = 6$	6	150	200	100	500—700
8	4	$4 \times 2 = 8$	2	1	$4 \times 1 = 4$	4	150	200	100	500—700
8	8	$8 \times 1 = 8$	1	—	—	—	—	—	100	500—700

* Длина изолирующей трубки для перемычек уточняется по месту.

2-10. ПОДГОТОВКА К СВАРКЕ И СВАРКА КОНЦОВ АЛЮМИНИЕВЫХ ПРОВОДОВ

Подготовку к сварке концов проводов производят следующим образом:

1) в случае обрыва провода при намотке катушек или окончания провода зачищают щипцами (рис. 2-1)

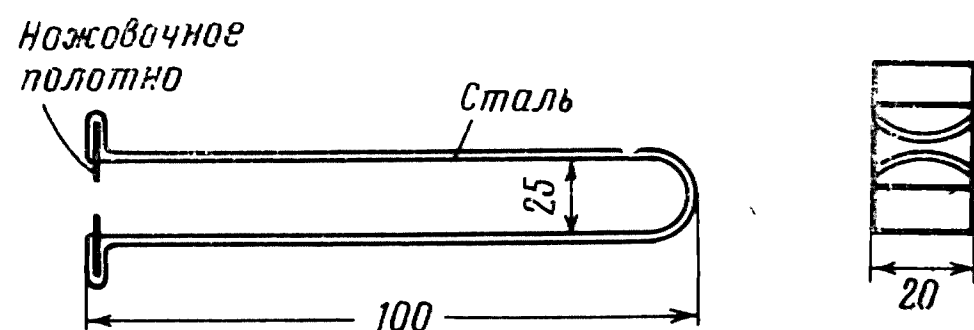


Рис. 2-1. Щипцы для снятия эмаливой изоляции с концов проводов.

эмалевую изоляцию на концах провода на длине 40—50 мм; 2) надевают линоксиную трубку длиной 80—100 мм на один из концов провода; 3) соединяют

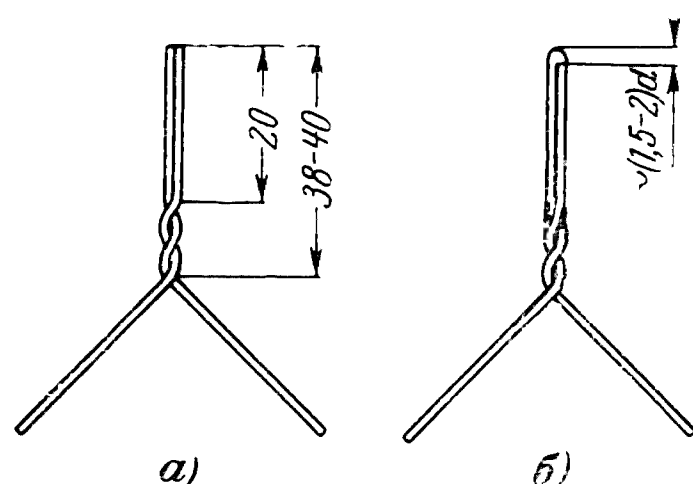


Рис. 2-2. Концы алюминиевых проводов.

а — после скрутки; б — после сварки (d — диаметр алюминиевого провода).

концы провода между собой скруткой в 3—4 витка (рис. 2-2).

Примечания: 1. Скрутку и сварку производят только в лобовых частях катушки.

2. В катушках, намотанных из пяти и менее параллельных проводников в витке, разрешается иметь не более двух сварок, а в катушках, имеющих свыше пяти параллельных проводников в витке, — не более трех сварок;

3. Длина участка скрутки 18—20 мм.

4) Зажимают скрутку в сварочных клещах (рис. 2-3); 5) откусывают излишек провода у скрутки

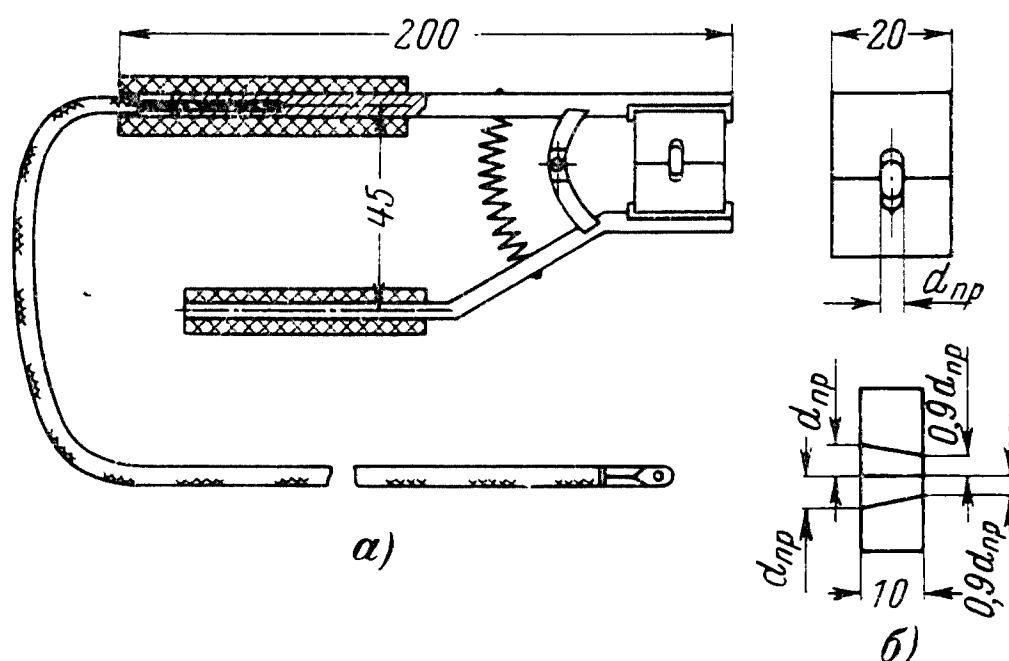


Рис. 2-3. Сварочные клещи.

а — клещи с гибким кабелем; б — сменные графитовые губки ($d_{пр}$ — диаметр алюминиевого провода).

так, чтобы торцы проволок выступали над поверхностью губок на 3—4 мм, и по мере необходимости подправляют скрутку; 6) обмазывают кисточкой место соединения у торцевой поверхности скрутки тонким слоем флюса ВАМИ.

Затем приступают к сварке концов проводов

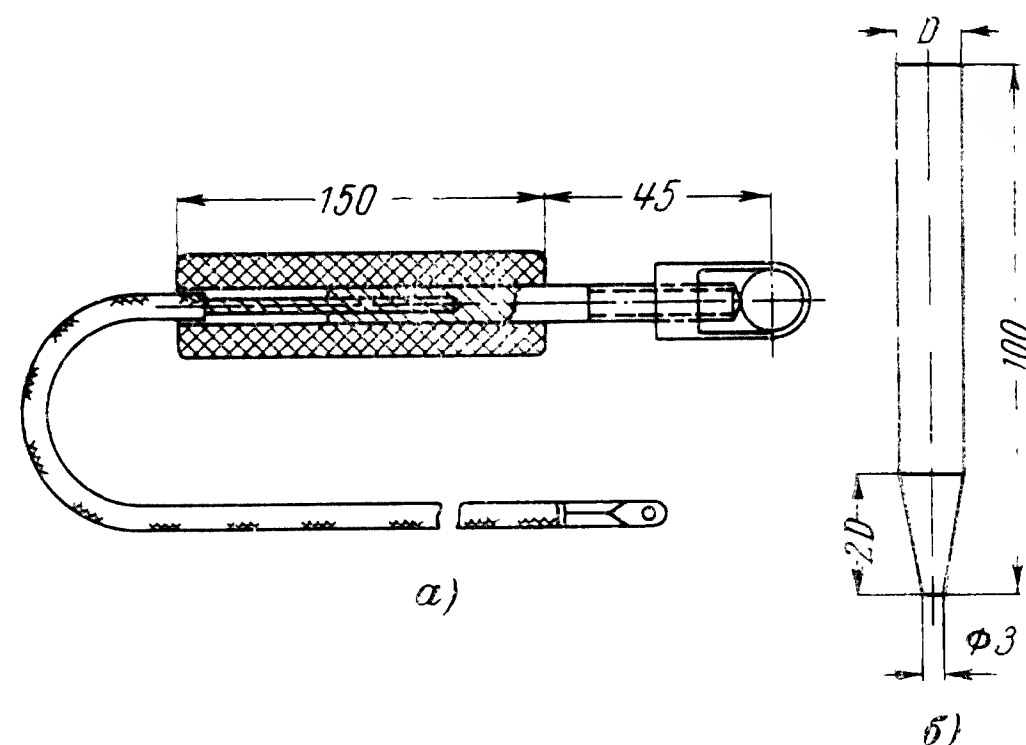


Рис. 2-4. Электрододержатель.

а — электрододержатель; б — графитовый электрод.

в следующем порядке: 1) скрутку располагают вертикально и разогревают графитовые губки замыканием графитового электрода (рис. 2-4) о губки (рис. 2-3); 2) разогревают скрутку, слегка касаясь графитовым

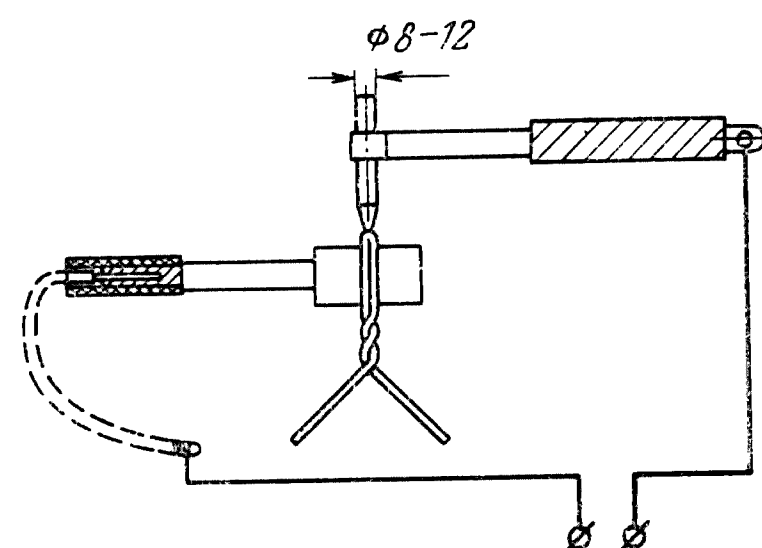


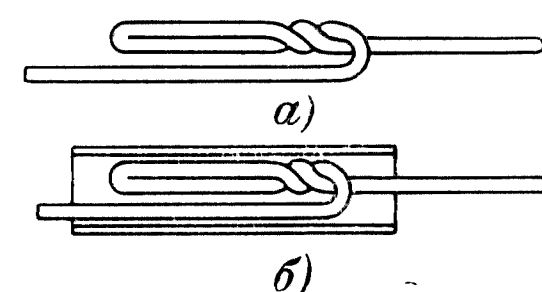
Рис. 2-5. Сварка торцевой поверхности скрутки.

электродом торцевой поверхности скрутки, не нажимая на свариваемую поверхность; 3) при образовании достаточной капли на торцевой поверхности скрутки (рис. 2-5) электрододержатель отнимают вертикально вверх по оси скрутки. Длина участка оплавления должна быть не менее 1,5—2 диаметров проволоки.

Перед касанием графитовым электродом торцевой поверхности скрутки для ее разогрева необходимо

Рис. 2-6. Скрутка со сваренной торцевой поверхностью.

а — отогнутая скрутка; б — скрутка, изолированная линоксиновой трубкой.



сбрасывать с поверхности графитового стержня брызги расплавленного алюминия; 4) после сварки место соединения зачищают проволоочной щеткой, смывают остатки флюса бязевым тампоном, смоченным спиртом, скрутку отгибают, покрывают глифталевым лаком

ГФ-95 и изолируют линоксиновой трубкой, как показано на рис. 2-6.

Качество сварки проверяют внешним осмотром. На боковых поверхностях проволок не должно быть надразов, раковин и следов пережога.

2-11. ЛУЖЕНИЕ ВЫВОДНЫХ КОНЦОВ АЛЮМИНИЕВЫХ КАТУШЕК

Для пайки одного или нескольких алюминиевых проволок с медным выводным проводом концы алюминиевых проводов облуживают припоем П250А, при лужении применяют флюс Ф59А, при облуживании концов алюминиевых проводов вибрационным методом флюсы не применяют, в этом случае в состав припоя входит 50% цинка и 50% олова.

На рабочем месте устанавливаются: 1) трубчатая электропечь с внутренним диаметром трубы 40 мм, температура нагрева 450—500°С; 2) щетка стальная круглая с электроприводом; 3) металлическая ванна-тигель с электрообогревом при напряжении 36 в. Внутренний диаметр тигля составляет 80 мм; глубина 100 мм; рабочая температура ванны 310—320°С при лужении припоем П250А и 240—260°С при лужении вибрационным методом.

Для лужения вибрационным методом дополнительно устанавливаются: 4) вибростол с электродвигателем, имеющим скорость вращения 1500 об/мин; 5) стойка с креплением для установки катушек в процессе лужения.

Для контроля температуры применяют термометр или термопару с кварцевым наконечником и гальванометром.

До начала лужения производят следующие подготовительные операции: 1) включают трубчатую печь и доводят температуру в печи до 450—500°С; 2) включают ванну для лужения на прогрев припоя до рабочей температуры лужения; 3) при достижении рабочей температуры припоя (кашицеобразное состояние) перемешивают припой стеклянной палочкой, насыпают на его поверхность небольшое количество толченого древесного угля при лужении вибрационным методом или канифоли при лужении припоем П250А и закрывают поверхность ванны листовым асбестом; 4) включают круглую стальную щетку.

При проведении лужения необходимо: 1) выпрямить и выровнять выводные концы параллельных проводов алюминиевых катушек; 2) поместить выводные концы катушек в окно трубчатой печи и обжечь эмалевую изоляцию на концах проводников на длине 60—70 мм для электродвигателей 7—9-го габаритов и 40—50 мм для электродвигателей до 6-го габарита (продолжительность обжига 1—1,5 мин); 3) зачистить обожженные концы катушек на стальной щетке до блеска.

Примечания: 1. Лужение производят сразу после зачистки выводных концов.

2. На стальной щетке, предназначенной для зачистки выводных концов из алюминиевого провода, нельзя чистить медные концы и кабель.

3. В процессе работы припой в ванне периодически перемешивают стеклянной палочкой и 2—3 раза в течение смены проверяют его температуру.

4. Припой добавляют в ванну по мере его расходования при рабочей температуре после окончания процесса лужения.

5. Припой, находящийся в ванне, периодически проверяют для определения его состава.

4) Удалить стальной лопаткой с поверхности расплава ванны продукты рафинировки. 5) При лужении припоем П250А: покрыть концы катушек флюсом Ф59А и облудить в ванне с расплавленным припоем. Выводные концы выдержать в ванне для лужения в течение 3—10 сек. 6) При лужении вибрационным методом: включить вибростол (в момент включения и выключения вибростола ванну с припоем закрывать крышкой из листового асбеста); подвесить катушку на стойку, выпрямить выводные концы катушек, погрузить их строго вертикально в ванну с припоем на длину 40—50 мм и неподвижно закрепить на стойке. Концы выдержать в ванне для лужения в течение 1—1,5 мин. 7) Вынуть залуженные выводные концы катушек из ванны и снять излишек припоя асбестовой щеткой.

Качество лужения устанавливают по внешнему виду: луженая поверхность должна быть блестящей, без матовых участков. В случае обнаружения участков некачественного лужения (матовая поверхность) производят повторное лужение выводных концов алюминиевых катушек.

После лужения удаляют остатки флюса Ф59А, тщательно промывают полуды горячей и холодной проточной водой и насухо вытирают. Удаление остатков флюса производят не позднее 1—1,5 ч после лужения.

При предстоящем разрыве между лужением и пайкой офлюсованных концов алюминиевых катушек более одной рабочей смены места пайки подвергают консервации флюсом КСп. Сушку слоя консервирующего флюса производят на воздухе. Консервацию концов производят сразу после лужения. Хранение алюминиевых катушек после консервации концов их флюсом КСп не более 15 дней.

2-12. ЛУЖЕНИЕ, ПОДГОТОВКА К ПАЙКЕ И ПАЙКА МЕТОДОМ ОКУНАНИЯ ВЫВОДНЫХ МЕДНЫХ ПРОВОДОВ С КОНЦАМИ АЛЮМИНИЕВЫХ КАТУШЕК

Пайка концов алюминиевых катушек с медным выводным проводом для электродвигателей до 6-го габарита производится методом окунания до укладки обмотки, для электродвигателей 7—9-го габаритов — методом заливки после укладки обмотки.

Для подготовки к пайке концов медных выводных проводов и пайке их методом окунания производят следующие операции: 1) обжигают изоляцию на обоих концах заготовленного медного провода; 2) зачищают один конец медного провода на стальной щет-

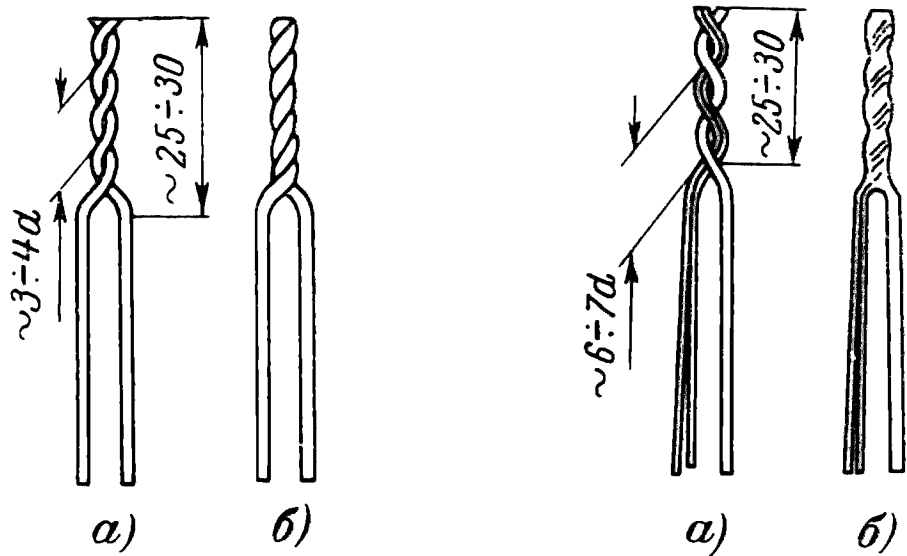


Рис. 2-7. Пайка концов алюминиевого и медного проводов.

а — после скрутки; б — после пайки.

Рис. 2-8. Пайка концов двух параллельных алюминиевых и медного проводов.

а — после скрутки; б — после пайки.

кс до блеска; 3) зачищенный конец покрывают (окутанием) флюсом КСп и облуживают в ванне с расплавленным припоем П250А; 4) облуженные концы встряхивают для удаления излишков припоя.

При пайке концов алюминиевого и медного провода методом окутания делают скрутку облуженного алюминиевого конца катушечной группы с облуженным концом медного выводного провода, как указано на рис. 2-7 и 2-8; наносят на скрутку тонкий слой флюса КСп; пропаявают скрутку в ванне с расплавленным припоем П250А; вынимают пропаянную скрутку из ванны, снимают излишек припоя асбестовой кисточкой, протирают место пайки бязевым томпоном, смоченным в спирте, и покрывают место пайки глифтальевым лаком ГФ-95.

2-13. ПАЙКА ВЫВОДНЫХ КОНЦОВ АЛЮМИНИЕВЫХ КАТУШЕК С ВЫВОДНЫМ МЕДНЫМ ПРОВОДОМ МЕТОДОМ ЗАЛИВКИ

Для пайки схемы электродвигателей 7—9-го габаритов при соединении нескольких алюминиевых проводов с медным выводным проводом применяют алюминево-цинковый припой, в состав которого входят 10% алюминия и 90% цинка, или припой марки Б, в состав которого входят 12% алюминия, 80% цинка и 8% меди.

Расплавление заранее подготовленного припоя производят в переносной ванне-тигле с электрообогревом при напряжении 36 в и температуре в тигле 700—750° С (рис. 2-9).

При разогреве припоя тигель помещают в шкаф, оборудованный вытяжной вентиляцией.

При проведении пайки необходимо: 1) расправить выводные концы групп катушек (параллельных ветвей фаз) и надеть на них линоксиновые трубки; 2) разместить выводные концы катушек согласно схеме соединения обмоток статора; 3) выровнять по торцевой поверхности залуженные выводные концы катушек и скрепить их между собой (в пучок); 4) соединить выводные концы алюминиевых катушек с луженым медным проводом встык с зазором до 5 мм в графитовых или асбестоцементных полуформах (рис. 2-10), которые плотно скрепляют между собой струбциной (рис. 2-11). Полуформы выбирают по табл. 2-9.

Примечание. Для предотвращения вытекания припоя из выходных отверстий полуформ эти места закрывают шнуровым асбестом, наматывая его на места выходов концов проводов из полуформ.

Готовые к заливке полуформы устанавливают на корпусе машины строго горизонтально, подложив под них листовой асбест; 5) разогреть припой в переносной ванне-тигле (рис. 2-9) до температуры 700—750° С (вишневый цвет каления) и фарфоровой палочкой уда-

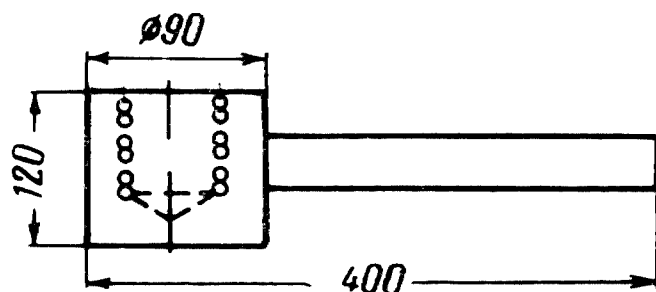


Рис. 2-9. Переносная ванна-тигель с электрическим обогревом при напряжении 36 в и температурой 700—750° С.

Таблица 2-9

Сечение медного провода марки ПРГ 500, мм ²	Б	В
2,5; 4	4,0	7,0
6	5,0	9,0
10	6,0	12,0
16	7,0	13,0

лить с поверхности расплавленного припоя образовавшийся шлак; 6) залить полуформы расплавленным алюминево-цинковым припоем или припоем марки Б при температуре припоя 700—750° С.

Заливку производят непрерывной струей до полного заполнения отверстия полуформ.

Примечание. Рабочее место пайки алюминиевых обмоток должно быть отделено от других рабочих мест заградительным щитом.

После затвердения припоя (через 1—2 мин после заливки) снимают полуформы с выводов, обрезают излишек припоя (прибыль) ножницами и кусачками и зашлифовывают заусенцы напильником (рис. 2-12).

В случае неполноты заливки доливка припоя не допускается; в этом случае соединение перепаявается заново.

После обработки мест паяк необходимо тщательно проверить качество паяк, которые проверяют по их

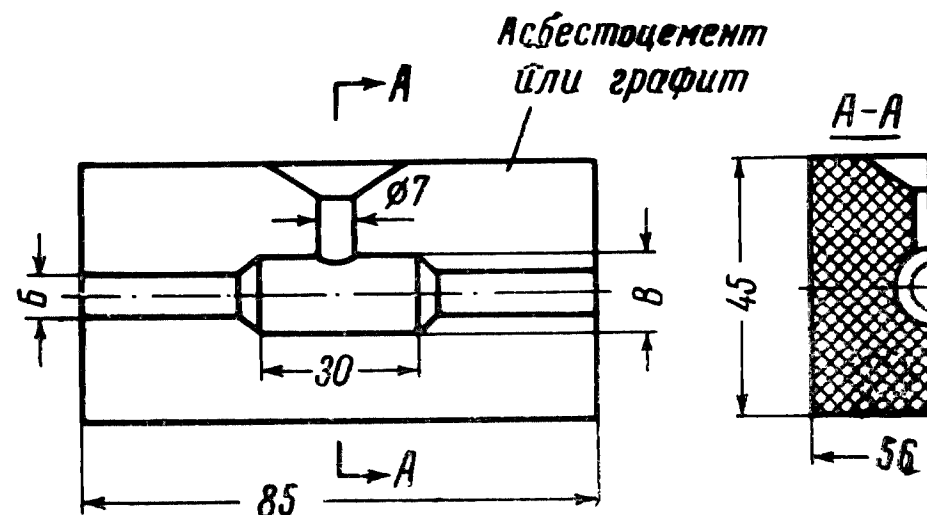


Рис. 2-10. Полуформа из асбестоцемента или графита для пайки встык алюминиевых и медных выводных проводов методом заливки.

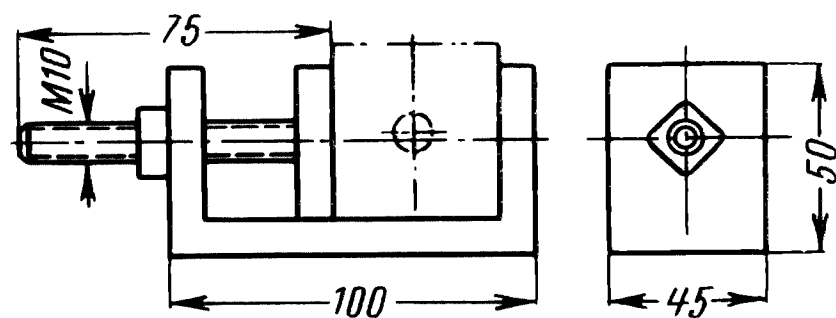


Рис. 2-11. Струбцина для крепления двух полуформ.

внешнему виду. Места пайки должны иметь чистую, блестящую поверхность, без остатков флюса. Не допускается наличие трещин, пористости, вздутия, наплывов и острых выпуклостей припоя.

В случае обрыва алюминиевого провода при сборке схемы производят подготовку концов обрыва

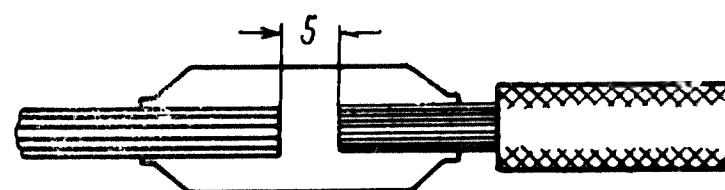


Рис. 2-12. Разрез места пайки встык алюминиевых проводов катушки и медных выводных методом заливки.

к сварке (скрутку) и сварку аналогично подготовке и сварке концов алюминиевых проводов при намотке катушек.

После пайки все участки схемы изолируют, укладывают и увязывают стеклотентой.

2-14. ПРИГОТОВЛЕНИЕ ФЛЮСА И ПРИПоев для ЛУЖЕНИЯ и ПАЙКИ КОНЦОВ ПРОВОДОВ АЛЮМИНИЕВЫХ КАТУШЕК и ВЫВОДНОГО МЕДНОГО ПРОВОДА

Для приготовления флюса и припоев необходимы следующие оборудование и материалы:

- 1) электропечь тигельная;
- 2) тигли графитовые или керамические;
- 3) разливочная плита;
- 4) металлическая изложница размером $20 \times 150 \times 200$ мм;
- 5) термopapa для замера температуры до 600°C ;
- 6) термометр технический со шкалой 500°C ;
- 7) весы технические с разновесом;
- 8) стальная лопатка;
- 9) ковш стальной для разлива припоя;
- 10) мешалка из нержавеющей стали;
- 11) щипцы;
- 12) чашка фарфоровая;
- 13) пестик фарфоровый;
- 14) олово марки 0,1 (ГОСТ 860-60);
- 15) цинк марки Ц-0, Ц-1 (ГОСТ 3640-65);
- 16) алюминий (ГОСТ 11069-64);
- 17) медь (ГОСТ 859-66);
- 18) канифоль сосновая (ГОСТ 797-64);
- 19) спирт этиловый технический (гидролизный) марки А (ГОСТ 8314-57);
- 20) хлористый цинк, обезвоженный (ГОСТ 7345-68);
- 21) древесный уголь.

Приготовление припоев для лужения выводных концов алюминиевых катушек вибрационным методом (состав припоя — 50% цинка, 50% олова) и П250А (состав припоя — 21—19% цинка, 79—81% олова) производится в следующем порядке: 1) отвешивают и подготавливают составляющие по весу выплавляемого припоя; 2) прогревают тигель до температуры 450°C и насыпают на дно небольшое количество толченого древесного угля; 3) загружают в нагретый тигель подготовленное количество цинка и расплавляют его; 4) загружают в тигель с расплавленным цинком подготовленное количество олова.

После расплавления олова тщательно перемешивают расплав мешалкой или фарфоровой палочкой, рафинируют расплав канифолью из расчета 0,015% веса шихты, удаляют стальной лопаткой с его поверхности шлак и разливают полученный припой на разливочной плите в прутки.

Приготовление припоев для пайки выводных концов алюминиевых катушек с выводным медным проводом методом заливки (состав припоя: 90% цинка, 10% алюминия; марки Б — 80% цинка, 12% алюминия и 8% меди) производится в следующем порядке: 1) отвешивают и готовят составляющие по весу выплавляемых припоев; 2) нагревают тигель до температуры 450°C и насыпают на дно небольшое количество толченого древесного угля; 3) загружают в нагретый тигель 50% подготовленного цинка и доводят его до расплавления; 4) вводят в расплавленный цинк алюминий (для припоя марки Б алюминий и медь) при температуре $450\text{—}500^\circ\text{C}$; 5) тщательно перемешивают сплав и удаляют стальной лопаткой с поверхности расплава образовавшийся шлак; 6) загружают в тигель остальное количество цинка.

После полного расплавления обоих компонентов припой тщательно перемешивают и снова удаляют шлак стальной лопаткой.

Загружают в тигель обезвоженный хлористый цинк (0,03% веса шихты) и тщательно перемешивают расплав.

Дают сплаву отстояться в течение 5—10 мин, после чего удаляют с поверхности расплава продукты рафинировки и разливают полученный припой на разливочной плите в прутки.

При приготовлении флюса КСп для лужения концов медных выводных проводов (состав флюса — 25% канифоли сосновой, 75% спирта этилового технического марки А) отвешивают составляющие по весу флюса, растирают в фарфоровой чашке канифоль в порошок, растворяют ее в спирте и перемешивают.

2-15. ОБЩИЕ ЗАМЕЧАНИЯ К ТАБЛИЦАМ ОБМОТОЧНО-РАСЧЕТНЫХ ДАННЫХ ЭЛЕКТРОДВИГАТЕЛЕЙ, РЕМОНТИРУЕМЫХ С ПРИМЕНЕНИЕМ АЛЮМИНИЕВЫХ ОБМОТОЧНЫХ ПРОВОДОВ

В табл. 2-10—2-30 приведены обмоточно-расчетные данные для электродвигателей единой серии А и АО основного исполнения и ранее выпущенных серий, ремонтируемых с применением алюминиевого обмоточного провода. Эти данные охватывают электродвига-

тели: исполнений А и АО 3—5-го габаритов; исполнения А 5—9-го габаритов; исполнения АД 2—8-го габаритов; исполнения АДО 2—5-го габаритов; исполнения МА 202—МА 204 и «Урал» 4—5-го габаритов.

2-16. ОСНОВНЫЕ ОБМОТОЧНО-РАСЧЕТНЫЕ ДАННЫЕ ЭЛЕКТРОДВИГАТЕЛЕЙ АЛЮМИНИЕВОГО

Основные обмоточно-расчетные данные электродвигателей единой серии типов

Тип электродви- гателя	P_2 , кВт	U , в	I , а	n , об/мин	η , %	$\cos \varphi$	$\frac{I_{\text{пуск}}}{I_{\text{н}}}$	$\frac{M_{\text{пуск}}}{M_{\text{н}}}$	$\frac{M_{\text{макс}}}{M_{\text{н}}}$	Ст				
										$\frac{D_{a1}}{D_{i1}}$	$\frac{l_{t1}}{l_{t2}}$	δ	$B_{\delta, \text{зс}}$	z_1
А31-/2А		127/220	6,6/3,8										6 640	
и	1,0	220/380	3,8/2,2	2 850	79,0	0,86	6,0	2,0	2,2	$\frac{145}{82}$	$\frac{64}{66}$	0,35	6 620	24
АО31/2А		500	1,7										6 610	
		127/220	4,2/2,4										5 260	
АО31/2А	0,6	220/380	2,4/1,4	2 860	76,0	0,85	6,0	2,0	2,4	$\frac{145}{82}$	$\frac{64}{66}$	0,35	5 260	24
		500	1,1										5 260	
А32/2А		127/220	11,1/6,4										6 380	
и	1,7	220/380	6,4/3,7	2 850	81,5	0,87	7,0	2,0	2,4	$\frac{145}{82}$	$\frac{100}{102}$	0,35	6 300	24
АО32/2А		500	2,8										6 350	
		127/220	6,6/3,8										4 960	
АО32/2А	1,0	220/380	3,8/2,2	2 860	79,0	0,86	6,5	2,2	2,6	$\frac{145}{82}$	$\frac{100}{102}$	0,35	4 980	24
		500	1,7										4 960	
А31/4А		127/220	4,8/2,8										7 800	
и	0,6	220/380	2,8/1,6	1 410	74,0	0,76	5,0	1,7	2,0	$\frac{145}{89}$	$\frac{64}{66}$	0,25	7 740	24
АО31/4А		500	1,2										7 710	
А32/4А		127/220	7,3/4,2										7 150	
и	1,0	220/380	4,2/2,4	1 410	78,5	0,79	5,0	1,8	2,0	$\frac{145}{89}$	$\frac{100}{102}$	0,25	7 200	24
АО32/4А		500	1,9										7 160	
А31/6А		127/220	3,8/2,25										6 640	
и	0,4	220/380	2,25/1,3	935	70,0	0,67	3,5	1,2	1,9	$\frac{145}{89}$	$\frac{64}{66}$	0,25	6 630	36
АО31/6А		500	1,0										6 640	
А32/6А		127/220	5,35/3,1										6 510	
и	0,6	220/380	3,1/1,8	930	74,0	0,69	4,0	1,2	1,9	$\frac{145}{89}$	$\frac{100}{102}$	0,25	6 550	36
АО32/6А		500	1,35										6 510	

Примечания: 1. Изоляцию электродвигателей выполнять по классу нагревостойкости Е.
2. Обмотку статора выполнять проводом марок ПЭВА-2, ПЭЛРА-2 или ПЭТВА.
3. Обмотка статора в заводском исполнении однослойная.
4. Изоляция паза статора: пленкоэлектрокартон на полиэтилентерефталатной пленке толщиной 0,27 мм; стеклолакоткань ЛСЭ толщиной 0,17 мм. Второе исполнение: электрокартон ЭВ толщиной 0,15 мм; стеклолакоткань ЛСБ толщиной 0,2 мм; электрокартон ЭВ толщиной 0,1 мм. Третье исполнение: слюдинитоэлектрокартон на слюдините ГСС толщиной 0,3 мм; стеклолакоткань ЛСЭ толщиной 0,17 мм.

ЕДИНОЙ СЕРИИ А И АО, РЕМОНТИРУЕМЫХ С ПРИМЕНЕНИЕМ
ОБМОТОЧНОГО ПРОВОДА

Таблица 2-10

А и АО 3-го габарита, ремонтируемых с применением алюминиевых проводов

тор															Ротор
q_1	Размеры паза $b; b'; b''$ $h; e$	$Q_{s1},$ $мм^2$	d/d'	m_1	$w_{к1}$	$n_{\theta 1}$	y_1	a_1	Схема обмотки (рис. №2)	$j_1,$ $а/мм^2$	$AS_1,$ $а/см$	$l_{m1},$ $м$	$r_1, ом$	$G_1, кг$	z_1
4	$\frac{10,0; 7,7; 2,5}{13,0; 0,5}$	99,8	1,0/1,08	1	42	42	1—12	—	3-21	4,85	149	0,48	2,79	0,53	20
			0,77/0,835	1	73	73	2—11	—		4,72	150		8,18	0,54	
			0,67/0,73	1	96	96		—		4,81	152		14,2	0,55	
4	$\frac{10,0; 7,7; 2,5}{13,0; 0,5}$	99,8	0,96/1,025	1	53	53	1—12	—	3-21	3,32	119	0,49	4,02	0,65	20
			0,72/0,78	1	92	92	2—11	—		3,44	120		12,4	0,64	
			0,62/0,675	1	121	121		—		3,64	124		22,0	0,63	
4	$\frac{10,0; 7,7; 2,5}{13,0; 0,5}$	99,8	1,25/1,33	1	28	28	1—12	—	3-21	5,22	167	0,55	1,38	0,64	20
			0,93/0,995	1	49	49	2—11	—		5,45	169		4,37	0,61	
			0,83/0,895	1	64	64		—		5,18	167		7,15	0,65	
4	$\frac{10,0; 7,7; 2,5}{13,0; 0,5}$	99,8	1,16/1,24	1	36	36	1—12	—	3-21	3,6	127	0,56	2,14	0,736	20
			0,9/0,965	1	62	62	2—11	—		3,46	127		6,11	0,766	
			0,74/0,805	1	82	82		—		3,96	130		12,0	0,695	
2	$\frac{9,6; 7,0; 2,5}{15,3; 0,5}$	112,3	0,9/0,965	1	63	63	1—8	—	3-39	4,4	152	0,36	4,13	0,52	18
			0,67/0,73	1	110	110	2—7	—		4,53	151		13,0	0,5	
			0,59/0,645	1	145	145		—		4,4	150		22,2	0,51	
2	$\frac{9,6; 7,0; 2,5}{15,3; 0,5}$	112,3	1,04/1,12	1	44	44	1—8	—	3-39	4,95	159	0,43	2,58	0,58	18
			0,83/0,895	1	76	76	2—7	—		4,44	157		7,0	0,62	
			0,72/0,78	1	100	100		—		4,67	163		12,2	0,63	
2	$\frac{7,4; 4,4; 2,5}{20,0; 0,5}$	110,0	0,86/0,925	1	72	72	1—8	—	3-69	3,87	208	0,33	6,87	0,72	26
			0,67/0,73	1	125	125	2—7	—		3,68	210		19,6	0,765	
			0,57/0,625	1	164	164		—		3,92	211		35,6	0,734	
2	$\frac{7,4; 4,4; 2,5}{20,0; 0,5}$	110,0	1,08/1,16	1	47	47	1—8	—	3-69	3,38	188	0,40	3,45	0,897	26
			0,83/0,895	1	81	81	2—7	—		3,33	188		10,0	0,915	
			0,69/0,75	1	107	107		—		3,61	186		19,25	0,867	

5. Прокладка в лобовой части — пленкоэлектрокартон на полиэтилентерефталатной пленке толщиной 0,27 мм. Второе исполнение — электрокартон ЭВ толщиной 0,15 мм и стеклолакоткань ЛСБ толщиной 0,2 мм, склеенные вместе лаком ТГФ-8.

6. Прокладка под клин — электрокартон ЭВ для уплотнения.

7. Клин — дерево твердой породы пропитанное.

8. Форму пазов статора и ротора и данные обмотки ротора см. табл. 1-52.

Основные обмоточно-расчетные данные электродвигателей единой серии типов А и АО

Тип электродвигателя	$P_n, \text{квт}$	$U, \text{в}$	$I, \text{а}$	$n, \text{об/мин}$	$\eta, \%$	$\cos \varphi$	$\frac{I_{\text{пуск}}}{I_n}$	$\frac{M_{\text{пуск}}}{M_n}$	$\frac{M_{\text{макс}}}{M_n}$	Ст				
										$\frac{D_{a1}}{D_{t1}}$	$\frac{l_{t1}}{l_{t2}}$	δ	$B_{\delta, \text{зс}}$	z_1
А41/2А и АЛ41/2А	2,8	127/220	18,1/10,4	2870	81,5	0,86	6,5	1,6	2,2	$\frac{182}{104}$	$\frac{75}{78}$	0,5	6 920	24
		220/380	10,4/6,0										6 900	
		500	4,6										6 880	
АО41/2А	1,7	127/220	10,7/6,2	2880	81,5	0,87	7,0	1,8	2,4	$\frac{182}{104}$	$\frac{75}{78}$	0,5	6 030	24
		220/380	6,2/3,6										6 110	
		500	2,8										6 080	
А42/2А и АЛ42/2А	4,5	127/220	28,4/16,4	2870	83,5	0,86	7,0	1,8	2,4	$\frac{182}{104}$	$\frac{115}{118}$	0,5	6 770	24
		220/380	16,4/9,5										6 800	
		500	7,2										6 770	
АО42/2А и АОЛ42/2А	2,8	127/220	18,2/10,5	2880	81,5	0,86	7,0	1,9	2,5	$\frac{182}{104}$	$\frac{115}{118}$	0,5	5 530	24
		220/380	10,5/6,1										5 550	
		500	4,6										5 530	
А-АЛ41/4А и АО-АОЛ41/4А	1,7	127/220	11,6/6,7	1420	81,5	0,82	5,0	1,8	2,0	$\frac{182}{112}$	$\frac{75}{78}$	0,3	7 350	36
		220/380	6,7/3,9										7 450	
		500	2,9										7 420	
А-АЛ42/4А и АО-АОЛ42/4А	2,8	127/220	19,1/11,0	1420	81,0	0,82	5,5	1,9	2,0	$\frac{182}{112}$	$\frac{115}{118}$	0,3	7 450	36
		220/380	11,0/6,4										7 170	
		500	4,8										7 370	
А-АЛ41/6А и АО-АОЛ41/6А	1,0	127/220	8,2/4,8	930	77,0	0,72	6,0	1,3	1,8	$\frac{182}{112}$	$\frac{75}{78}$	0,3	7 380	36
		220/380	4,8/2,8										7 400	
		500	2,1										7 400	
А-АЛ42/6А и АО-АОЛ42/6А	1,7	127/220	13,8/8,0	930	76,5	0,73	4,5	1,4	1,8	$\frac{182}{112}$	$\frac{115}{118}$	0,3	7 300	36
		220/380	8,0/4,6										7 350	
		500	3,5										7 300	

Примечания: 1. Изоляцию электродвигателей выполнять по классу нагревостойкости Е.

2. Обмотку статора выполнять проводом марок ПЭВА-2, ПЭЛРА-2 или ПЭТВА.

3. Обмотка статора в заводском исполнении однослойная.

4. Изоляция паза статора: пленкоэлектрокартон на полиэтилентерефталатной пленке толщиной 0,27 мм; стеклолакоткань ЛСЭ толщиной 0,17 мм. Второе исполнение: электрокартон ЭВ толщиной 0,15 мм; стеклолакоткань ЛСБ толщиной 0,2 мм; электрокартон ЭВ толщиной 0,1 мм. Третье исполнение: слюдинитоэлектрокартон на слюдините ГСС толщиной 0,3 мм; стеклолакоткань ЛСЭ толщиной 0,17 мм.

4-го габарита, ремонтируемых с применением алюминиевых проводов

тор															Ротор
q_1	Размеры паза $b; b'; b''$ $h; e$	$Q_{s1},$ $мм^2$	d/d'	m_1	w_{k1}	$n_{\theta 1}$	y_1	a_1	Схема обмотки (рис. №)	$j_1,$ $а/мм^2$	$AS_1,$ $а/см$	$l_{m1},$ $м$	$r_1, ом$	$G, кг$	z_2
4	$\frac{12,0; 9,0; 3,0}{16,0; 0,5}$	147,3	1,62/1,70	1	27	27	1—12 2—11	—	3-21	5,05	206	0,58	0,851	1,1	20
			1,3/1,38	1	47	47		—		4,52	207		2,3	1,24	
			1,12/1,2	1	62	62		—		4,67	210		4,08	1,23	
4	$\frac{12,0; 9,0; 3,0}{16,0; 0,5}$	147,3	1,04/1,12	2	31	62	1—12 2—11	—	3-21	3,65	141	0,58	1,205	1,07	20
			1,12/1,2	1	53	53		—		3,66	140		3,53	1,07	
			0,93/0,995	1	70	70		—		4,12	144		6,81	0,97	
4	$\frac{12,0; 9,0; 3,0}{16,0; 0,5}$	147,3	1,16/1,24	3	18	54	1—12 2—11	—	3-21	5,17	217	0,66	0,42	1,3	20
			1,56/1,64	1	31	31		—		4,96	216		1,2	1,33	
			1,4/1,48	1	41	41		—		4,68	217		1,97	1,43	
4	$\frac{12,0; 9,0; 3,0}{16,0; 0,5}$	147,3	0,93/0,995	3	22	66	1—12 2—11	—	3-21	5,15	170	0,66	0,815	1,04	20
			1,3/1,38	1	38	38		—		4,6	170		2,15	1,17	
			1,12/1,2	1	50	50		—		4,67	169		3,81	1,15	
3	$\frac{8,4; 5,6; 3,0}{19,5; 0,5}$	125,8	1,45/1,53	1	31	31	1—12 2—11 3—10	—	3-41	4,06	212	0,46	1,45	1,2	26
			1,08/1,16	1	53	53		—		4,26	212		4,47	1,16	
			0,93/0,995	1	70	70		—		4,27	208		7,96	1,13	
3	$\frac{8,4; 5,6; 3,0}{19,5; 0,5}$	125,8	1,3/1,38	2	20	40	1—12 2—11 3—10	—	3-41	4,15	225	0,54	0,684	1,48	26
			1,4/1,48	1	36	36		—		4,16	236		2,12	1,54	
			1,16/1,24	1	46	46		—		4,55	226		3,95	1,36	
2	$\frac{8,4; 5,6; 3,0}{19,5; 0,5}$	125,8	1,2/1,28	1	44	44	1—8 2—7	—	3-69	4,24	216	0,39	2,55	1,0	26
			0,93/0,995	1	76	76		—		4,13	218		7,34	1,04	
			0,8/0,865	1	100	100		—		4,17	215		13,0	1,025	
2	$\frac{8,4; 5,6; 3,0}{19,5; 0,5}$	125,8	1,56/1,64	1	29	29	1—8 2—7	—	3-69	4,18	238	0,47	1,2	1,33	26
			1,16/1,24	1	50	50		—		4,35	236		3,74	1,29	
			1,0/1,08	1	66	66		—		4,46	237		6,65	1,27	

5. Прокладка в лобовой части — пленкоэлектрокартон на полиэтилентерефталатной пленке толщиной 0,27 мм. Второе исполнение — электрокартон ЭВ толщиной 0,15 мм и стеклолакоткань ЛСБ толщиной 0,2 мм, склеенные вместе лаком ТГФ-8.

6. Прокладка под клин — электрокартон ЭВ для уплотнения.

7. Клин — дерево твердой породы пропитанное.

8. Форму пазов статора и ротора и данные обмотки ротора см. табл. 1-53.

Основные обмоточно-расчетные данные электродвигателей единой серии типов А и АО

Тип электро- двигателя	P_2 , квт	U , в	I , а	n , об/мин	η , %	$\cos \varphi$	$\frac{I_{пуск}}{I_H}$	$\frac{M_{пуск}}{M_H}$	$\frac{M_{макс}}{M_H}$	Ста				
										$\frac{D_{a1}}{D_{i1}}$	$\frac{l_{t1}}{l_{t2}}$	δ	$B_{\delta, зс}$	z_1
А51/2А	7,0	127/220	41/24	2 890	87,0	0,89	6,0	1,5	2,2	$\frac{245}{140}$	$\frac{90}{94}$	0,6	6 980	24
		220/380	24/13,8										6 800	
		500	10,5										6 800	
АО51/2А	4,5	127/220	27/15,6	2 900	85,5	0,88	6,5	1,6	2,4	$\frac{245}{140}$	$\frac{90}{94}$	0,6	6 980	24
		220/380	15,6/9,1										6 800	
		500	6,9										6 800	
А52/2А	10	127/220	58,5/33,8	2 890	87,5	0,89	6,5	1,6	2,4	$\frac{245}{140}$	$\frac{140}{144}$	0,6	6 750	24
		220/380	33,8/19,5										7 000	
		500	15/0										7 070	
АО52/2А	7,0	127/220	42,8/24,7	2 900	85,5	0,87	6,5	1,7	2,5	$\frac{245}{140}$	$\frac{140}{144}$	0,6	5 040	24
		220/380	24,7/14,3										5 370	
		500	10,8										5 400	
А51/4А и АО51/4А	4,5	127/220	28,2/16,3	1 440	85,5	0,85	6,0	1,4	2,0	$\frac{245}{152}$	$\frac{90}{94}$	0,4	7 780	36
		220/380	16,3/9,4										7 580	
		500	7,2										7 580	
А52/4А и АО52/4А	7,0	127/220	42,6/24,6	1 440	87,0	0,86	6,0	1,5	2,0	$\frac{245}{152}$	$\frac{140}{144}$	0,4	7 200	36
		220/380	24,6/14,2										7 100	
		500	10,8										7 070	
А51/6А и АО51/6А	2,8	127/220	19,7/11,4	950	82,5	0,78	5,0	1,3	1,8	$\frac{245}{152}$	$\frac{90}{94}$	0,4	7 400	36
		220/380	11,4/6,6										7 360	
		500	5,0										7 350	
А52/6А и АО52/6А	4,5	127/220	30,3/17,5	950	84,5	0,80	5,5	1,5	1,8	$\frac{245}{152}$	$\frac{140}{144}$	0,4	7 550	36
		220/380	17,5/10,1										7 400	
		500	7,7										7 300	

- Примечания: 1. Изоляцию электродвигателей выполнять по классу нагревостойкости Е.
 2. Обмотку статора выполнять проводом марок ПЭВА-2, ПЭЛРА-2 или ПЭТВА.
 3. Обмотка статора электродвигателей типов А51/2А, АО51/2А, А52/2А и АО52/2А в заводском исполнении двух-
 слойная, остальных типов — однослойная.
 4. Изоляция паза статора: пленкоэлектрокартон на полиэтилентерефталатной пленке толщиной 0,27 мм; стек-
 лолакоткань ЛСЭ толщиной 0,17 мм. Второе исполнение: электрокартон ЭВ толщиной 0,15 мм; стеклолакоткань
 ЛСБ толщиной 0,2 мм; электрокартон ЭВ толщиной 0,1 мм. Третье исполнение: слюдинитоэлектрокартон на слюди-
 ните ГСС толщиной 0,3 мм; стеклолакоткань ЛСЭ толщиной 0,17 мм.

5-го габарита, ремонтируемых с применением алюминиевых проводов

тор															Ротор
q_1	Размеры паза $b; b'; b''$ $h; e$	$Q_{s1},$ $мм^2$	d/d'	m_1	ω_{K1}	$n_{\Sigma 1}$	y_1	a_1	Схема обмотки (рис. №)	$j_1,$ $a/мм^2$	$AS_1,$ $a/см$	$l_{m1},$ $м$	$r_1, ом$	$G, кг$	z_2
4	$\frac{16,0; 12,0; 3,3}{21,75; 0,75}$	266,5	1,35/1,43	4	9	72	—	—	3-1, 3-23	4,19	236	0,68	0,239	2,4	20
			1,4/1,48	2	16	64	1—10	—		4,48	241		0,792	2,29	
			1,2/1,28	2	21	84	—	—		4,64	241		1,415	2,23	
4	$\frac{16,0; 12,0; 3,3}{21,75; 0,75}$	266,5	1,35/1,43	4	9	72	—	—	3-1, 3-23	2,72	153	0,68	0,239	2,4	20
			1,4/1,48	2	16	64	1—10	—		2,96	159		0,792	2,29	
			1,2/1,28	2	21	84	—	—		3,04	158		1,415	2,23	
4	$\frac{16,0; 12,0; 3,3}{21,75; 0,75}$	266,5	1,56/1,64	4	6	48	—	—	3-1, 3-23	4,42	222	0,78	0,137	2,43	20
			1,4/1,48	3	10	60	1—10	—		4,23	213		0,378	2,47	
			1,5/1,58	2	13	52	—	—		4,25	213		0,642	2,44	
4	$\frac{16,0; 12,0; 3,3}{21,75; 0,75}$	266,5	1,5/1,58	4	8	64	—	—	3-1, 3-23	3,5	216	0,78	0,198	3,02	20
			1,35/1,43	3	13	78	1—10	—		3,33	203		0,528	2,98	
			1,45/1,53	2	17	68	—	—		3,26	200		0,9	2,99	
3	$\frac{10,8; 7,4; 3,2}{24,75; 0,75}$	206,5	1,5/1,58	3	18	54	—	—	3-41	3,08	221	0,59	0,337	2,88	26
			1,35/1,43	2	32	64	1—12 2—11 3—10	—		3,28	227		1,11	2,77	
			1,68/1,76	1	42	42	—	—		3,24	228		2,02	2,6	
3	$\frac{10,8; 7,4; 3,2}{24,75; 0,75}$	206,5	1,4/1,48	2	25	50	—	2	3-43	4,0	232	0,69	0,236	2,73	26
			1,5/1,58	2	22	44	1—12 2—11 3—10	—	3-41	4,02	236		0,722	2,75	
			1,3/1,38	2	29	58	—	—	4,07	236	1,27		2,73		
2	$\frac{10,8; 7,4; 3,2}{24,75; 0,75}$	206,5	1,4/1,48	2	27	54	1—8	—	3-69	3,7	232	0,48	0,707	2,05	44
			1,5/1,58	1	47	47	2—7	—		3,74	234		2,14	2,04	
			1,3/1,38	1	62	62	—	—		3,77	234		3,77	2,03	
2	$\frac{10,8; 7,4; 3,2}{24,75; 0,75}$	206,5	1,45/1,53	3	17	51	—	—	3,69	3,53	225	0,58	0,334	2,5	44
			1,35/1,43	2	30	60	1—8 2—7	—		3,52	228		1,02	2,55	
			1,68/1,76	1	40	40	—	—		3,47	232		1,75	2,61	

5. Междуслойная прокладка в пазу — пленкоэлектрокартон на полиэтилентерефталатной пленке толщиной 0,27 мм. Второе исполнение — электрокартон ЭВ толщиной 0,15 мм и стеклолакоткань ЛСБ толщиной 0,2 мм, склеенные вместе лаком ТГФ-8.

6. Прокладка в лобовой части — пленкоэлектрокартон на полиэтилентерефталатной пленке толщиной 0,27 мм. Второе исполнение — электрокартон ЭВ толщиной 0,15 мм и стеклолакоткань ЛСБ толщиной 0,2 мм, склеенные вместе лаком ТГФ-8.

7. Прокладка под клин — электрокартон ЭВ для уплотнения.

8. Клин — дерево твердой породы пропитанное.

9. Форму пазов статора и ротора и данные обмотки ротора см. табл. 1-54.

Основные обмоточно-расчетные данные электродвигателей единой серии типа А

Тип электро- двигателя	P_2 , квт	U , в	I , а	n , об/мин	η , %	$\cos \varphi$	$\frac{I_{пуск}}{I_H}$	$\frac{M_{пуск}}{M_H}$	$\frac{M_{макс}}{M_H}$	Стр				
										$\frac{D_{a1}}{D_{i1}}$	$\frac{l_{t1}}{l_{t2}}$	δ	B_{δ} , гс	z_1
А61/2А	14	220/380	49,5/28,5	2 920	86,0	0,87	5,5	1,2	2,5	$\frac{327}{180}$	$\frac{75}{80}$	0,75	8 100	36
		500	21,5										7 950	
А62/2А	20	220/380	68,7/39,8	2 920	87,0	0,88	6,0	1,3	2,7	$\frac{327}{180}$	$\frac{100}{105}$	0,75	7 800	36
		500	30,2										7 990	
А61/4А	10	220/380	35,6/20,6	1 450	86,0	0,86	5,0	1,2	2,0	$\frac{327}{200}$	$\frac{75}{80}$	0,55	8 400	36
		500	15,6										8 600	
А62/4А	14	220/380	49/28,4	1 450	87,0	0,86	5,5	1,3	2,0	$\frac{327}{200}$	$\frac{100}{105}$	0,55	8 820	36
		500	21,6										8 920	
А61/6А	7	220/380	27,9/16,1	970	83,5	0,79	4,5	1,1	1,8	$\frac{327}{200}$	$\frac{75}{80}$	0,55	9 070	36
		500	12,2										9 320	
А62/6А	10	220/380	38,8/22,4	970	84,5	0,80	4,5	1,1	1,8	$\frac{327}{200}$	$\frac{100}{105}$	0,4	9 250	36
		500	17,0										9 120	
А61/8А	4,5	220/380	19,7/11,4	730	81,0	0,74	4,5	1,0	1,7	$\frac{327}{230}$	$\frac{75}{80}$	0,4	8 000	54
		500	8,7										8 000	
А61/8А	4,5	220/380	19,7/11,4	730	81,0	0,74	4,5	1,0	1,7	$\frac{327}{230}$	$\frac{75}{80}$	0,4	7 980	48
		500	8,7										7 870	
А62/8А	7,0	220/380	29,2/16,9	730	83,0	0,76	4,5	1,0	1,7	$\frac{327}{230}$	$\frac{100}{105}$	0,4	8 000	54
		500	12,8										7 850	
А62/8А	7,0	220/380	29,2/16,9	730	83,0	0,76	4,5	1,0	1,7	$\frac{327}{230}$	$\frac{100}{105}$	0,4	8 000	48
		500	12,8										8 060	

- Примечания: 1. Изоляцию электродвигателей выполнять по классу нагревостойкости Е.
 2. Обмотку статора выполнять проводом марок ПЭВА-2, ПЭЛРА-2 или ПЭТВА.
 3. Обмотка статора в заводском исполнении двухслойная.
 4. Изоляция паза статора — два слоя пленкоэлектрокартона на полиэтилентерефталатной пленке толщиной по 0,27 мм. Второе исполнение: пленкоэлектрокартон на полиэтилентерефталатной пленке толщиной 0,27 мм; стеклолакоткань ЛСБ толщиной 0,2 мм. Третье исполнение: электрокартон ЭВ толщиной 0,15 мм; гибкий слюдинит ГСС толщиной 0,2 мм; стеклолакоткань ЛСБ толщиной 0,2 мм.
 5. Прокладка на дне паза только для двухполюсных электродвигателей — стеклолакоткань ЛСЭ толщиной 0,17 мм.

Таблица 2-13

6-го габарита, ремонтируемых с применением алюминиевых проводов

тор															Потор
q_1	Размеры паза $b; b'; b''$ $h; e$	$Q_{с1},$ $мм^2$	d/d'	m_1	$\omega_{к1}$	$n_{э1}$	y_1	a_1	Схема обмотки (рис. №)	$j_1,$ $a/мм^2$	$AS_1,$ $a/см$	$l_{m1},$ $м$	$r_1, ом$	$G_1, кг$	z_1
6	$\frac{13,7; 8,5; 3,7}{31,8; 1,0}$	335	1,4/1,48	4	9	72	1—13	—	3-1, 3-31	4,63	327	0,82	0,403	4,66	28
			1,4/1,48	3	12	72	—	—	4,66	328	—	0,715	4,66		
6	$\frac{13,7; 8,5; 3,7}{31,8; 1,0}$	335	1,56/1,64	2	14	56	1—13	2	3-2, 3-32	5,2	355	0,87	0,267	4,75	28
			1,4/1,48	2	18	72	2	—	4,91	346	—	0,427	4,95		
3	$\frac{13,2; 8,6; 3,7}{28,8; 1,0}$	296	1,56/1,64	2	14	56	1—8	—	3-3, 3-44	5,4	330	0,57	0,7	3,11	46
			1,4/1,48	2	18	72	—	—	5,07	322	—	1,14	3,25		
3	$\frac{13,2; 8,6; 3,7}{28,8; 1,0}$	296	1,88/1,96	2	10	40	1—8	—	3-3, 3-44	5,11	326	0,62	0,374	3,48	46
			1,62/1,7	2	13	52	—	—	5,25	322	—	0,658	3,38		
2	$\frac{13,2; 8,6; 3,7}{28,8; 1,0}$	296	1,4/1,48	2	18	72	1—6	—	3-6, 3-72	5,23	332	0,5	0,984	2,85	46
			1,74/1,82	1	23	46	—	—	5,13	322	—	1,62	2,78		
2	$\frac{13,2; 8,6; 3,7}{28,8; 1,0}$	296	1,68/1,76	1	27	54	1—6	2	3-7, 3-73	5,05	347	0,55	0,561	3,35	46
			1,4/1,48	2	18	72	—	—	5,53	350	—	1,08	3,14		
$2\frac{1}{4}$	$\frac{10,5; 7,4; 3,2}{30,0; 2,0}$	247	1,35/1,43	2	16	64	1—7	—	3-10, 3-117	3,98	273	0,48	1,35	3,38	58
			1,68/1,76	1	21	42	—	—	3,92	273	—	2,3	3,41		
2	$\frac{11,8; 8,2; 3,7}{29,8; 1,0}$	282	1,3/1,38	2	18	72	1—6	—	3-10, 3-110	4,30	273	0,49	1,49	3,21	58
			1,12/1,2	2	24	96	—	—	4,42	278	—	2,67	3,21		
$1\frac{1}{4}$	$\frac{10,5; 7,4; 3,2}{30,0; 2,0}$	247	1,56/1,64	2	12	48	1—7	—	3-10, 3-117	4,41	304	0,53	0,84	3,72	58
			1,35/1,43	2	16	64	—	—	4,46	306	—	1,49	3,74		
2	$\frac{11,8; 8,2; 3,7}{29,8; 1,0}$	282	1,5/1,58	1	27	54	1—6	2	3-11, 3-112	4,78	304	0,54	0,925	3,52	58
			1,3/1,38	1	35	70	2	—	4,82	298	—	1,6	3,44		

6. Междуслойная прокладка в пазу — пленкоэлектрокартон на полиэтилентерефталатной пленке толщиной 0,27 мм. Второе исполнение — электрокартон ЭВ толщиной 0,15 мм и стеклолакоткань ЛСБ толщиной 0,2 мм, склеенные вместе лаком ТГФ-8.

7. Прокладка в лобовой части — пленкоэлектрокартон на полиэтилентерефталатной пленке толщиной 0,27 мм. Второе исполнение — электрокартон ЭВ толщиной 0,15 мм и стеклолакоткань ЛСБ толщиной 0,2 мм, склеенные вместе лаком ТГФ-8.

8. Клинь — дерево твердой породы пропитанное.

9. Форму пазов статора и ротора и данные обмотки ротора см. табл. 1-55.

Основные обмоточно-расчетные данные электродвигателей единой серии типа А 7-го габарита,

Тип электро- двигателя	P_2 , квт	U , в	I , а	n , об/мин	η , %	$\cos \varphi$	$\frac{I_{пуск}}{I_H}$	$\frac{M_{пуск}}{M_H}$	$\frac{M_{макс}}{M_H}$	Стр				
										$\frac{D_{a1}}{D_{i1}}$	$\frac{l_{t1}}{l_{t2}}$	δ	$B_{\delta, зс}$	z_1
A71/2A	28	220/380	95,5/55,2	2 930	87,5	0,88	5,0	1,1	2,2	$\frac{368}{205}$	$\frac{100}{105}$	0,85	8 000	36
		500	42,0							7 900				
A72/2A	40	220/380	137/77	2 930	88,5	0,89	5,5	1,1	2,4	$\frac{368}{205}$	$\frac{135}{140}$	0,85	7 900	36
		500	58,5							7 790				
A71/4A	20	220/380	69,7/40,3	1 450	87,5	0,86	5,0	1,1	2,0	$\frac{368}{230}$	$\frac{100}{105}$	0,5	9 100	36
		500	30,7							9 240				
A72/4A	28	220/380	96,5/55,8	1 450	88,5	0,86	5,5	1,2	2,0	$\frac{368}{230}$	$\frac{135}{140}$	0,5	8 800	36
		500	42,5							8 860				
A71/6A	14	220/380	53,3/30,8	970	85,0	0,81	4,5	1,2	1,8	$\frac{368}{260}$	$\frac{100}{105}$	0,45	8 850	54
		500	23,4							8 930				
A72/6A	20	220/380	74/42,8	970	86,5	0,82	4,5	1,2	1,8	$\frac{368}{260}$	$\frac{135}{140}$	0,45	7 950	54
		500	32,5							7 950				
A71/8A	10	220/380	40,5/23,5	730	83,0	0,78	4,0	1,1	1,7	$\frac{368}{260}$	$\frac{100}{105}$	0,45	8 450	54
		500	17,8							8 560				
A71/8A	10	220/380	40,5/23,5	730	83,0	0,78	4,0	1,1	1,7	$\frac{368}{260}$	$\frac{100}{105}$	0,45	7 940	48
		500	17,8							7 830				
A72/8A	14	220/380	55/31,8	730	84,5	0,79	4,0	1,1	1,7	$\frac{368}{260}$	$\frac{135}{140}$	0,45	8 380	54
		500	24,1							8 250				
A72/8A	14	220/380	55/31,8	730	84,5	0,79	4,0	1,1	1,7	$\frac{368}{260}$	$\frac{135}{140}$	0,45	7 850	48
		500	24,1							8 100				

Примечания: 1. Изоляцию электродвигателей выполнять по классу нагревостойкости Е.

2. Обмотку статора выполнять проводом марок ПЭВА-2, ПЭЛРА-2 или ПЭТВА.

3. Обмотка статора в заводском исполнении двухслойная.

4. Изоляция паза статора — два слоя пленкоэлектрокартона на полиэтилентерефталатной пленке толщиной по 0,27 мм. Второе исполнение: пленкоэлектрокартон на полиэтилентерефталатной пленке толщиной 0,27 мм; стеклолакоткань ЛСБ толщиной 0,2 мм. Третье исполнение: электрокартон ЭВ толщиной 0,15 мм; гибкий слюдинит ГСС толщиной 0,2 мм; стеклолакоткань ЛСБ толщиной 0,2 мм.

5. Прокладка на дне паза только для двухполюсных электродвигателей — стеклолакоткань ЛСЭ толщиной 0,17 мм.

ремонтируемых с применением алюминиевых проводов

тор															Ротор
q_1	Размеры паза $b; b'; b''$ $h; e$	$Q_{s1},$ $мм^2$	d/d'	m_1	$w_{ж1}$	$n_{\Theta 1}$	y_1	a_1	Схема обмотки (рис. №)	$j_1,$ $а/мм^2$	$AS_1,$ $а/см$	$l_{m1},$ $м$	$r_1,$ $ом$	$G_1,$ $кз$	z_1
6	15,4; 9,8; 3,7	416	1,62/1,70	3	12	72	1—13	2	3-2, 3-32	4,47	370	0,93	0,152	7,03	28
	34,8; 1,0		1,68/1,76	2	16	64		2		4,73	376		0,282	6,7	
6	15,4; 9,8; 3,7	416	1,88/1,96	3	9	54	1—13	2	3-2, 3-32	4,61	386	1,0	0,0904	7,6	28
	34,8; 1,0		1,62/1,70	3	12	72		2		4,73	391		0,163	7,55	
3	15,18; 10,3; 3,7	370	1,56/1,64	2	17	68	1—8	2	3-4, 3-45	5,27	342	0,72	0,269	4,77	44
	30,8; 1,0		1,35/1,43	2	22	88		2		5,35	336		0,465	4,65	
3	15,18; 10,3; 3,7	370	1,88/1,96	2	13	52	1—8	2	3-4, 3-45	5,02	361	0,79	0,155	5,77	44
	30,8; 1,0		1,62/1,70	2	17	68		2		5,15	360		0,274	5,64	
3	11,9; 8,7; 3,7	291	1,68/1,76	1	23	46	1—8	3	3-8, 3-86	4,62	312	0,62	0,36	4,82	44
	29,8; 1,0		1,45/1,53	1	30	60		3		4,72	310		0,63	4,71	
3	11,9; 8,7; 3,7	291	1,88/1,96	1	19	38	1—8	3	3-8, 3-86	5,13	358	0,69	0,264	5,52	44
	29,8; 1,0		1,62/1,70	1	25	50		3		5,26	358		0,469	5,43	
$2\frac{1}{4}$	10,5; 7,4; 3,7	248	1,81/1,89	2	10	40	1—7	—	3-10, 3-117	4,57	312	0,57	0,56	4,46	58
	29,0; 1,0		1,56/1,64	2	13	52		—		4,66	306		0,975	4,33	
2	13,3; 9,6; 3,7	333	1,81/1,89	2	12	48	1—6	—	3-10, 3-110	4,57	330	0,56	0,585	4,67	44
	30,8; 1,0		1,56/1,64	2	16	64		—		4,66	335		1,05	4,65	
$2\frac{1}{4}$	10,5; 7,4; 3,7	248	1,45/1,53	2	15	60	1—7	2	3-11, 3-118	4,81	315	0,64	0,366	4,86	58
	29,0; 1,0		1,81/1,89	2	10	40		—	3-10, 3-117	4,7	318		0,628	5,0	
2	13,3; 9,6; 3,7	333	1,81/1,89	3	9	54	1—6	—	3-10, 3-110	4,12	335	0,63	0,33	5,91	44
	30,8; 1,0		1,62/1,70	3	11 и 12	69		—		3,9	326		0,526	6,08	

6. Междуслойная прокладка в пазу — пленкоэлектрокартон на полиэтилентерефталатной пленке толщиной 0,27 мм. Второе исполнение — электрокартон ЭВ толщиной 0,15 мм и стеклолакоткань ЛСБ толщиной 0,2 мм, склеенные вместе лаком ТГФ-8.

7. Прокладка в лобовой части — пленкоэлектрокартон на полиэтилентерефталатной пленке толщиной 0,27 мм. Второе исполнение — электрокартон ЭВ толщиной 0,15 мм и стеклолакоткань ЛСБ толщиной 0,2 мм, склеенные вместе лаком ТГФ-8.

8. Клинь — дерево твердой породы пропитанное.

9. Форму пазов статора и ротора и данные обмотки ротора см. табл. 1-57.

Основные обмоточно-расчетные данные электродвигателей единой серии типа А

Тип электро- двигателя	P_2 , квт	U , в	I , а	n , об/мин	η , %	$\cos \varphi$	$\frac{I_{\text{пуск}}}{I_{\text{н}}}$	$\frac{M_{\text{пуск}}}{M_{\text{н}}}$	$\frac{M_{\text{макс}}}{M_{\text{н}}}$	Ста				
										$\frac{D_{a1}}{D_{i1}}$	$\frac{l_{t1}}{l_{t2}}$	δ	$B_{\delta, \text{зс}}$	z_1
А81/2А	55	220/380	181/105	2 930	89,5	0,89	5,0	1,0	2,2	$\frac{423}{240}$	$\frac{130}{140}$	1,4	7 500	36
		500	79,7										7 500	
А82/2А	75	220/380	235/136	2 930	91,0	0,92	5,5	1,1	2,4	$\frac{423}{240}$	$\frac{180}{190}$	1,4	7 320	36
		500	104										7 470	
А81/4А	40	220/380	131/76	1 460	90,5	0,89	6,0	1,0	2,0	$\frac{423}{265}$	$\frac{130}{135}$	0,6	9 500	48
		500	57,5										9 060	
А82/4А	55	220/380	178/103	1 460	91,0	0,89	6,0	1,2	2,0	$\frac{423}{265}$	$\frac{180}{185}$	0,6	9 150	48
		500	78,5										9 030	
А81/6А	28	220/380	97,5/56,5	975	89,0	0,85	5,0	1,1	1,8	$\frac{423}{300}$	$\frac{130}{135}$	0,55	8 350	72
		500	43,0										8 000	
А82/6А	40	220/380	137/79,5	975	89,0	0,86	5,5	1,2	1,8	$\frac{423}{300}$	$\frac{180}{185}$	0,55	8 060	72
		500	60,4										7 930	
А81/8А	20	220/380	76,2/44,1	730	86,0	0,80	4,5	1,1	1,7	$\frac{423}{300}$	$\frac{130}{135}$	0,55	8 120	72
		500	33,5										8 400	
А82/8А	28	220/380	102/59	730	87,0	0,83	4,5	1,2	1,7	$\frac{423}{300}$	$\frac{180}{185}$	0,55	8 060	72
		500	44,7										7 720	

- Примечания: 1. Изоляцию электродвигателей выполнять по классу нагревостойкости Е.
 2. Обмотку статора выполнять проводом марок ПЭВА-2, ПЭЛРА-2 или ПЭТВА.
 3. Обмотка статора в заводском исполнении двухслойная.
 4. Изоляция паза статора — два слоя пленкоэлектрокартона на полиэтилентерефталатной пленке толщиной по 0,27 мм. Второе исполнение: пленкоэлектрокартон на полиэтилентерефталатной пленке толщиной 0,27 мм; стеклолакоткань ЛСБ толщиной 0,2 мм. Третье исполнение: электрокартон ЭВ толщиной 0,15 мм; гибкий слюдинит ГСС толщиной 0,2 мм; стеклолакоткань ЛСБ толщиной 0,2 мм.
 5. Прокладка на дне паза только для двухполюсных электродвигателей — стеклолакоткань ЛСЭ толщиной 0,17 мм.

8-го габарита, ремонтируемых с применением алюминиевых проводов

тор															Ротор
q_1	Размеры паза $b; b'; b''$ $h; e$	$Q_{s1},$ $мм^2$	d/d'	m_1	w_{x1}	$n_{\Sigma 1}$	y_1	a_1	Схема обмотки (рис. №)	$j_1,$ $а/мм^2$	$AS_1,$ $а/см$	$l_{m1},$ $м$	$r_1,$ $ом$	$G_1,$ $кг$	z_1
6	17,4; 11,3; 3,4	519	1,88/1,96	5	8	80	1—14	2	3-2, 3-33	3,78	402	1,25	0,0603	14,0	28
	38,0; 1,0		1,81/1,89	4	10 и 11	84		2		3,88	400		0,107	13,7	
6	17,4; 11,3; 3,4	519	1,68/1,76	7	7	98	1—14	2	3-2, 3-33	4,38	455	1,35	0,051	14,9	28
	38,0; 1,0		1,95/2,03	4	9	72		2		4,35	447		0,0853	14,7	
4	13,3; 8,8; 3,2	387	1,74/1,82	4	8	64	1—11	2	3-4, 3-55	3,99	351	0,98	0,0921	10,08	58
	36,8; 1,0		1,74/1,82	3	11	66		2		4,02	365		0,169	10,4	
4	13,3; 8,8; 3,2	387	2,02/2,1	2	12	48	1—11	4	3-5, 3-56	4,02	356	1,08	0,0567	11,15	58
	36,8; 1,0		1,74/1,82	4	8	64		2	3-4, 3-55	4,12	362		0,101	11,1	
4	10,0; 7,35; 3,2	271	1,68/1,76	2	12	48	1—11	3	3-8, 3-99	4,24	346	0,85	0,171	9,2	58
	32,8; 1,0		1,74/1,82	2	11	44		2	3-7, 3-97	4,51	362		0,33	9,03	
4	10,0; 7,35; 3,2	271	1,95/2,03	2	9	36	1—11	3	3-8, 3-99	4,43	365	0,95	0,1065	10,3	58
	32,8; 1,0		1,68/1,76	2	12	48		3		4,54	369		0,1915	10,3	
3	10,0; 7,35; 3,2	271	1,81/1,89	2	11	44	1—8	2	3-11, 3-126	4,3	370	0,72	0,259	8,25	58
	32,8; 1,0		1,81/1,89	3	7	42		—	3-10, 3-125	4,35	359		0,44	7,88	
3	10,0; 7,35; 3,2	271	2,02/2,1	2	8	32	1—8	2	3-11, 3-126	4,6	360	0,82	0,172	8,47	58
	32,8; 1,0		1,74/1,82	2	11	44		2		4,7	376		0,318	8,7	

6. Междуслойная прокладка в пазу — пленкоэлектрокартон на полиэтилентерефталатной пленке толщиной 0,27 мм. Второе исполнение — электрокартон ЭВ толщиной 0,15 мм и стеклолакоткань ЛСБ толщиной 0,2 мм, склеенные вместе лаком ТГФ-8.

7. Лобовые части каждой первой катушки катушечной группы обмотки обычного исполнения изолированы одним слоем стеклолакоткани ЛСБ размером 0,15×20 мм вполнахлеста и одним слоем стеклянной ленты размером 0,15×20 мм вполнахлеста; головки лобовых частей остальных катушек изолированы одним слоем стеклянной ленты размером 0,15×20 мм вполнахлеста.

8. Клинь — дерево твердой породы пропитанное.

9. Форму пазов статора и ротора и данные обмотки ротора см. табл. 1-59.

Основные обмоточно-расчетные данные электродвигателей единой серии типа А

Тип электро- двигателя	P_2 , квт	U , в	I , а	n , об/мин	η , %	$\cos \varphi$	$\frac{I_{пуск}}{I_H}$	$\frac{M_{пуск}}{M_H}$	$\frac{M_{макс}}{M_H}$	Ста				
										$\frac{D_{a1}}{D_{i1}}$	$\frac{l_{t1}}{l_{t2}}$	δ	B_{δ} , гс	z_1
A91/2A	100	220/380	322/186	2 950	90,5	0,90	5,5	1,0	2,2	$\frac{493}{285}$	$\frac{160}{170}$	2,0	6 900	48
		500	141,5										6 810	
A92/2A	125	220/380	400/232	2 950	91,0	0,90	5,5	1,0	2,2	$\frac{493}{285}$	$\frac{220}{230}$	2,0	6 480	48
		500	176										6 610	
A91/4A	75	220/380	242/140	1 460	91,5	0,89	5,5	0,95	2,0	$\frac{493}{315}$	$\frac{160}{165}$	1,0	8 200	60
		500	106										8 300	
A92/4A	100	220/380	320/185	1 460	92,0	0,89	5,0	0,95	2,0	$\frac{493}{315}$	$\frac{220}{225}$	1,0	7 450	60
		500	141										7 450	
A91/6A	55	220/380	183/106	980	91,0	0,87	5,0	0,95	1,8	$\frac{493}{350}$	$\frac{160}{165}$	0,6	8 250	72
		500	80										8 350	
A92/6A	75	220/380	249/144	980	91,0	0,87	5,0	1,0	1,8	$\frac{493}{350}$	$\frac{220}{225}$	0,6	8 270	72
		500	109										8 120	
A91/8A	40	220/380	142/82,2	730	89,0	0,83	4,5	1,1	1,7	$\frac{493}{350}$	$\frac{160}{165}$	0,6	8 550	72
		500	62,5										8 750	
A92/8A	55	220/380	193/112	730	90,0	0,83	4,5	1,1	1,7	$\frac{493}{350}$	$\frac{220}{225}$	0,6	8 650	72
		500	85										8 750	

Примечания: 1. Изоляцию электродвигателей выполнять по классу нагревостойкости Е.

2. Обмотку статора выполнять проводом марок ПЭВА-2, ПЭЛРА-2 или ПЭТВА.

3. Обмотка статора в заводском исполнении двухслойная.

4. Изоляция паза статора — два слоя пленкоэлектрокартона на полиэтилентерефталатной пленке толщиной по 0,27 мм. Второе исполнение: пленкоэлектрокартон на полиэтилентерефталатной пленке толщиной 0,27 мм; стеклолакоткань ЛСБ толщиной 0,2 мм. Третье исполнение: электрокартон ЭВ толщиной 0,15 мм; гибкий слюдинит ГСС толщиной 0,2 мм; стеклолакоткань ЛСБ толщиной 0,2 мм.

5. Прокладка на дне паза только для двухполюсных электродвигателей — стеклолакоткань ЛСЭ толщиной 0,17 мм.

9-го габарита, ремонтируемых с применением алюминиевых проводов

тор															Ротор
q_1	Размеры паза $b; b'; b''$ $h; e$	$Q_{s1},$ $мм^2$	d/d'	m_1	$\omega_{к1}$	$n_{\Sigma 1}$	y_1	a_1	Схема обмотки (рис. №)	$j_1,$ $a/мм^2$	$AS_1,$ $a/см$	$l_{m1},$ $м$	$r_1,$ $ом$	$G_1,$ $кг$	z_2
8	$\frac{16,4; 11,0; 4,1}{44,0; 1,0}$	577	2,1/2,19	7	4 и 5	63	1—18	2	3-2, 3-38	3,84	450	1,48	0,031	22,6	40
			1,95/2,03	7	6	84		2		3,38	455		0,0475	25,0	
8	$\frac{16,4; 11,0; 4,1}{44,0; 1,0}$	577	2,1/2,19	10	3 и 4	70	1—18	2	3-2, 3-38	3,35	436	1,6	0,0181	27,2	40
			2,1/2,19	8	4 и 5	72		2		3,18	425		0,0292	27,9	
5	$\frac{13,4; 9,2; 3,7}{43,0; 1,0}$	465	2,02/2,1	3	10	60	1—14	4	3-5, 3-62	3,64	424	1,17	0,0427	18,9	50
			1,74/1,82	3	13	78		4		3,71	418		0,0745	18,35	
5	$\frac{13,4; 9,2; 3,7}{43,0; 1,0}$	465	1,95/2,03	4	8	64	1—14	4	3-5, 3-62	3,86	449	1,29	0,0302	20,8	50
			1,95/2,03	3	10 и 11	63		4		3,93	449		0,0528	20,4	
4	$\frac{11,5; 8,4; 3,7}{38,0; 1,0}$	363	2,26/2,35	1	17	34	1—11	6	3-9, 3-101	4,4	394	0,95	0,0751	13,0	58
			1,95/2,03	1	22	44		6		4,46	384		0,13	12,6	
4	$\frac{11,5; 8,4; 3,7}{38,0; 1,0}$	363	1,56/1,64	3	12	72	1—12	6	3-9, 3-103	4,18	377	1,07	0,0418	15,0	58
			1,35/1,43	3	16	96		6		4,23	380		0,0744	15,1	
3	$\frac{11,5; 8,4; 3,7}{38,0; 1,0}$	363	1,81/1,89	2	14	56	1—9	4	3-12, 3-129	4,0	377	0,82	0,094	11,95	58
			1,81/1,89	3	9	54		2		3-11, 3-128	4,05		368	0,161	
3	$\frac{11,5; 8,4; 3,7}{38,0; 1,0}$	363	1,74/1,82	3	10	60	1—9	4	3-12, 3-129	3,92	366	0,94	0,0551	13,6	58
			1,88/1,96	2	13	52		4		3,82	362		0,092	13,7	

6. Междуслойная прокладка в пазу — пленкоэлектрокартон на полиэтилентерфталатной пленке толщиной 0,27 мм. Второе исполнение — электрокартон ЭВ толщиной 0,15 мм и стеклолакоткань ЛСБ толщиной 0,2 мм, склеенные вместе лаком ТГФ-8.

7. Лобовые части каждой первой катушки катушечной группы обмотки обычного исполнения изолированы одним слоем стеклолакоткани ЛСБ размером 0,15×20 мм вполнахлеста и одним слоем стеклянной ленты размером 0,15×20 мм вполнахлеста; головки лобовых частей остальных катушек изолированы одним слоем стеклянной ленты размером 0,15×20 мм вполнахлеста.

8. Клины — дерево твердой породы пропитанное.

9. Форму пазов статора и ротора и данные обмотки ротора см. табл. 1-61.

2-17. ОСНОВНЫЕ ОБМОТОЧНО-РАСЧЕТНЫЕ ДАННЫЕ РЕМОНТИРУЕМЫХ С ПРИМЕНЕНИЕМ

Основные обмоточно-расчетные данные электродвигателей типа АД

Тип электро- двигателя	P_2 , квт	U , в	I , а	n , об/мин	η , %	$\cos \varphi$	$\frac{I_{пуск}}{I_H}$	$\frac{M_{пуск}}{M_H}$	$\frac{M_{макс}}{M_H}$	Ст				
										$\frac{D_{a1}}{D_{i1}}$	$\frac{l_{t1}}{l_{t2}}$	δ	$B_{\delta, zc}$	z_1
АД-21/2А	1,6	127/220	10,6/6,11	2 925	79,4	0,86	8,0	1,3	2,6	$\frac{152}{82}$	$\frac{90}{95}$	0,35	6 720	24
		220/380	6,11/3,54										6 830	
		500	2,69										7 030	
АД-22/2А	2,2	127/220	14,1/8,15	2 925	81,1	0,87	8,0	1,3	2,6	$\frac{152}{82}$	$\frac{112}{117}$	0,35	7 050	24
		220/380	8,15/4,71										6 920	
		500	3,58										6 960	
АД-21/4А	1,0	127/220	7,47/4,31	1 425	76,5	0,79	5,0	1,1	1,8	$\frac{152}{91}$	$\frac{76}{81}$	0,3	7 430	24
		220/380	4,31/2,5										7 070	
		500	1,9										7 490	
АД-22/4А	1,5	127/220	10,5/6,07	1 425	79,7	0,81	5,0	1,1	1,8	$\frac{152}{91}$	$\frac{105}{110}$	0,3	7 150	24
		220/380	6,07/3,51										7 050	
		500	2,67										7 120	
АД-21/6А	0,55	127/220	5,33/3,08	940	68,4	0,68	4,0	0,9	1,8	$\frac{152}{91}$	$\frac{76}{81}$	0,3	6 200	27
		220/380	3,08/1,78										6 700	
		500	1,35										6 670	
АД-22/6А	0,85	127/220	7,3/4,22	940	74,2	0,71	4,0	0,9	1,8	$\frac{152}{91}$	$\frac{105}{110}$	0,3	6 580	27
		220/380	4,22/2,44										6 650	
		500	1,86										6 550	

- Примечания: 1. Изоляцию электродвигателей выполнять по классу нагревостойкости Е.
2. Обмотку статора выполнять проводом марок ПЭВА-2, ПЭЛРА-2 или ПЭТВА.
3. Обмотка статора в заводском исполнении двухслойная.
4. Изоляция паза статора: пленкоэлектрокартон на полиэтилентерефталатной пленке толщиной 0,27 мм; стеклолакоткань ЛСЭ толщиной 0,17 мм. Второе исполнение: электрокартон ЭВ толщиной 0,15 мм; стеклолакоткань ЛСБ толщиной 0,2 мм; электрокартон ЭВ толщиной 0,1 мм. Третье исполнение: слюдинитоэлектрокартон на слюдините ГСС толщиной 0,3 мм; стеклолакоткань ЛСЭ толщиной 0,17 мм.
5. Междуслойная прокладка в пазу — пленкоэлектрокартон на полиэтилентерефталатной пленке толщиной

ЭЛЕКТРОДВИГАТЕЛЕЙ ВЫПУЩЕННЫХ РАНЕЕ СЕРИЙ,
АЛЮМИНИЕВОГО ОБМОТОЧНОГО ПРОВОДА

Т а б л и ц а 2-17

2-го габарита, ремонтируемых с применением алюминиевых проводов

тор															Ротор
q_1	Размеры паза $b; b'; b''$ $h; e$	$Q_{s1},$ $мм^2$	d/d'	m_1	$w_{к1}$	$n_{в1}$	y_1	a_1	Схема обмотки (рис. №)	$j_1,$ $а/мм^2$	$AS_1,$ $а/см$	$l_{m1},$ $м$	$r_1,$ $ом$	$G_1,$ $кг$	z_2
4	$\frac{9,0; 7,5; 2,2}{14,6; 0,8}$	99,8	1,16/1,24	1	17	34	—	—	3-1, 3-22	5,78	194	0,472	1,7	0,586	18
			0,93/0,995	1	29	58	1—9	—		5,21	191		4,52	0,641	
			0,8/0,865	1	37	74	—	—		5,35	185		7,8	0,612	
4	$\frac{9,0; 7,5; 2,2}{14,6; 0,8}$	99,8	0,96/1,025	2	13	52	—	—	3-1, 3-22	5,63	197	0,516	1,04	0,67	18
			1,0/1,08	1	23	46	1—9	—		6,0	202		3,39	0,65	
			0,9/0,965	1	30	60	—	—		5,63	200		5,45	0,684	
2	$\frac{9,4; 6,8; 2,0}{18,5; 0,8}$	130,6	1,08/1,16	1	28	56	—	—	3-3, 3-40	4,7	202	0,364	2,5	0,65	30
			0,8/0,865	1	51	102	1—6	—		4,97	214		8,28	0,65	
			0,72/0,78	1	63	126	—	—		4,66	201		12,6	0,655	
2	$\frac{9,4; 6,8; 2,0}{18,5; 0,8}$	130,6	0,9/0,965	2	21	84	—	—	3-3, 3-40	4,77	214	0,422	1,56	0,784	30
			0,96/1,025	1	37	74	1—6	—		4,85	218		4,85	0,78	
			0,83/0,895	1	48	96	—	—		4,93	216		8,4	0,764	
1 $\frac{1}{2}$	$\frac{9,0; 5,8; 2,0}{21,9; 0,8}$	146	0,96/1,025	1	41	82	—	—	3-6, 3-68	4,25	238	0,332	4,74	0,765	35
			0,74/0,805	1	66	132	1—5	—		4,14	222		12,8	0,745	
			0,64/0,7	1	87	174	—	—		4,19	222		22,6	0,74	
1 $\frac{1}{2}$	$\frac{9,0; 5,8; 2,0}{21,9; 0,8}$	146	0,8/0,865	2	28	112	—	—	3-6, 3-68	4,19	223	0,392	2,76	0,865	35
			0,9/0,965	1	48	96	1—5	—		3,83	222		7,45	0,935	
			0,74/0,805	1	64	128	—	—		4,33	225		14,7	0,853	

0,27 мм. Второе исполнение — электрокартон ЭВ толщиной 0,15 мм и стеклолакоткань ЛСБ толщиной 0,2 мм, склеенные вместе лаком ТГФ-8.

6. Прокладка в лобовой части — пленкоэлектрокартон на полиэтилентерефталатной пленке толщиной 0,27 мм. Второе исполнение — электрокартон ЭВ толщиной 0,15 мм и стеклолакоткань ЛСБ толщиной 0,2 мм, склеенные вместе лаком ТГФ-8.

7. Клин — дерево твердой породы пропитанное.
8. Форму пазов статора и ротора и данные обмотки ротора см. табл. 1-137.

Основные обмоточно-расчетные данные электродвигателей типа АД

Тип электро- двигателя	P_2 , квт	U , в	I , а	n , об/мин	η , %	$\cos \varphi$	$\frac{I_{пуск}}{I_H}$	$\frac{M_{пуск}}{M_H}$	$\frac{M_{макс}}{M_H}$	Стр				
										$\frac{D_{a1}}{D_{i1}}$	$\frac{l_{t1}}{l_{t2}}$	δ	$B_{\delta, zc}$	z_1
АД-31/2А	3,2	127/220	20,0/11,55	2 925	82,1	0,88	8,0	1,3	2,6	$\frac{182}{98}$	$\frac{100}{105}$	0,4	7 200	24
		220/380	11,55/6,69										7 100	
		500	5,08										7 000	
АД-32/2А	4,2	127/220	25,8/14,9	2 925	83,5	0,88	9,0	1,3	2,6	$\frac{182}{98}$	$\frac{122}{127}$	0,4	7 050	24
		220/380	14,9/8,65										7 200	
		500	6,57										7 300	
АД-31/4А	2,2	127/220	15,1/8,7	1 440	80,5	0,82	5,5	1,1	1,8	$\frac{182}{108}$	$\frac{86}{91}$	0,35	8 150	24
		220/380	8,7/5,04										7 880	
		500	3,83										8 000	
АД-32/4А	3,2	127/220	21,2/12,25	1 440	82,2	0,83	6,0	1,1	1,8	$\frac{182}{108}$	$\frac{116}{121}$	0,3	7 720	24
		220/380	12,25/7,1										8 020	
		500	5,4										7 980	
АД-31/6А	1,2	127/220	9,85/5,69	930	75,3	0,73	5,0	0,9	1,8	$\frac{182}{118}$	$\frac{90}{95}$	0,3	6 600	27
		220/380	5,69/3,3										6 600	
		500	2,5										6 600	
АД-32/6А	1,8	127/220	13,95/8,06	930	77,5	0,75	5,0	0,9	1,8	$\frac{182}{118}$	$\frac{122}{127}$	0,3	6 650	27
		220/380	8,06/4,67										6 650	
		500	3,55										6 700	

Примечания: 1. Изоляцию электродвигателей выполнять по классу нагревостойкости Е.

2. Обмотку статора выполнять проводом марок ПЭВА-2, ПЭЛРА-2 или ПЭТВА.

3. Обмотка статора в заводском исполнении двухслойная.

4. Изоляция паза статора: пленкоэлектрокартон на полиэтилентерефталатной пленке толщиной 0,27 мм; стеклолакоткань ЛСЭ толщиной 0,17 мм. Второе исполнение: электрокартон ЭВ толщиной 0,15 мм; стеклолакоткань ЛСБ толщиной 0,2 мм; электрокартон ЭВ толщиной 0,1 мм. Третье исполнение: слюдинитоэлектрокартон на слюдините ГСС толщиной 0,3 мм; стеклолакоткань ЛСЭ толщиной 0,17 мм.

5. Междуслойная прокладка в пазу — пленкоэлектрокартон на полиэтилентерефталатной пленке толщиной

3-го габарита, ремонтируемых с применением алюминиевых проводов

тор																Ротор
q_1	Размеры паза $b; b'; b''$ $h; e$	$Q_{s1},$ $мм^2$	d/d'	m_1	$w_{к1}$	$n_{\Delta 1}$	y_1	a_1	Схема обмотки (рис. №)	$j_1,$ $a/мм^2$	$AS_1,$ $a/см$	$l_{m1},$ $м$	$r_1,$ $ом$	$G_1,$ $кг$	z_2	
4	$\frac{10,1; 8,3; 2,5}{16,3; 0,8}$	125	1,12/1,2	2	12	48	—	—	3-1, 3-22	5,86	216	0,54	0,735	0,884	18	
			1,2/1,28	1	21	42	1—9	—		5,9	219		2,25	0,884		
			1,04/1,12	1	28	56	—	—		5,98	222		4,0	0,893		
4	$\frac{10,1; 8,3; 2,5}{16,3; 0,8}$	125	1,2/1,28	2	10	40	—	—	3-1, 3-22	6,58	232	0,584	0,58	0,911	18	
			1,35/1,43	1	17	34	1—9	—		6,04	229		1,55	0,973		
			1,16/1,24	1	22	44	—	—		6,23	226		2,72	0,936		
2	$\frac{10,4; 7,6; 2,3}{20,7; 0,8}$	163,3	1,04/1,12	2	19	76	—	—	3-3, 3-40	5,12	234	0,428	1,07	0,960	30	
			1,12/1,2	1	34	68	1—6	—		5,11	242		3,3	0,992		
			0,96/1,025	1	44	88	—	—		5,29	238		5,82	0,94		
2	$\frac{10,4; 7,6; 2,3}{20,7; 0,8}$	163,3	1,2/1,28	2	15	60	—	—	3-3, 3-40	5,41	260	0,488	0,725	1,14	30	
			1,3/1,38	1	25	50	1—6	—		5,35	251		2,06	1,11		
			1,12/1,2	1	33	66	—	—		5,48	252		3,66	1,1		
$1\frac{1}{2}$	$\frac{10,2; 7,5; 2,3}{21,7; 0,8}$	169,7	1,3/1,38	1	26	52	—	—	3-6, 3-68	4,29	215	0,402	1,99	1,07	37	
			0,96/1,025	1	45	90	1—5	—		4,56	217		6,3	1,02		
			0,83/0,895	1	59	118	—	—		4,62	215		11,05	1,0		
$1\frac{1}{2}$	$\frac{10,2; 7,5; 2,3}{21,7; 0,8}$	169,7	1,08/1,16	2	19	76	—	—	3-6, 3-68	4,4	223	0,466	1,22	1,26	37	
			1,16/1,24	1	33	66	1—5	—		4,42	225		3,67	1,26		
			1,0/1,08	1	43	86	—	—		4,52	222		6,45	1,23		

0,27 мм. Второе исполнение — электрокартон ЭВ толщиной 0,15 мм и стеклолакоткань ЛСБ толщиной 0,2 мм, склеенные вместе лаком ТГФ-8.

6. Прокладка в лобовой части — пленкоэлектрокартон на полиэтилентерефталатной пленке толщиной 0,27 мм. Второе исполнение — электрокартон ЭВ толщиной 0,15 мм и стеклолакоткань ЛСБ толщиной 0,2 мм, склеенные вместе лаком ТГФ-8.

7. Клинь — дерево твердой породы пропитанное.

8. Форму пазов статора и ротора и данные обмотки ротора см. табл. 1-138.

Основные обмоточно-расчетные данные электродвигателей типа АД

Тип электро- двигателя	P_2 , квт	U , в	I , а	n , об/мин	η , %	$\cos \varphi$	$\frac{I_{\text{пуск}}}{I_{\text{н}}}$	$\frac{M_{\text{пуск}}}{M_{\text{н}}}$	$\frac{M_{\text{макс}}}{M_{\text{н}}}$	Сга				
										$\frac{D_{a1}}{D_{i1}}$	$\frac{l_{t1}}{l_{t2}}$	δ	$B_{\delta, \text{сг}}$	z_1
АД-41/2А	5,1	127/220	31,4/18,1	2 935	83,5	0,88	8,0	1,3	2,4	$\frac{213}{115}$	$\frac{110}{115}$	0,45	6 220	24
		220/380	18,1/10,5										6 340	
		500	7,98										6 420	
АД-42/2А	7,4	127/220	44,5/25,7	2 935	84,5	0,89	7,5	1,3	2,4	$\frac{213}{115}$	$\frac{136}{141}$	0,45	6 280	24
		220/380	25,7/14,9										6 210	
		500	11,3										6 350	
АД-41/4А	4,3	127/220	27,9/16,0	1 445	83,3	0,84	6,5	1,2	2,0	$\frac{213}{128}$	$\frac{104}{109}$	0,35	8 500	36
		220/380	16,0/9,3										8 280	
		500	7,06										8 300	
АД-42/4А	5,8	127/220	36,6/21,1	1 445	84,4	0,85	7,0	1,2	2,0	$\frac{213}{128}$	$\frac{130}{135}$	0,35	8 350	36
		220/380	21,1/12,2										8 160	
		500	9,3										8 200	
АД-41/6А	2,7	127/220	19,8/11,4	960	80,0	0,77	6,0	0,9	2,0	$\frac{213}{143}$	$\frac{110}{115}$	0,35	7 550	36
		220/380	11,4/6,62										7 480	
		500	5,04										7 360	
АД-42/6А	3,5	127/220	25,0/14,4	960	81,1	0,78	6,0	0,9	2,0	$\frac{213}{143}$	$\frac{136}{141}$	0,35	7 340	36
		220/380	14,4/8,35										7 460	
		500	6,35										7 580	

Примечания: 1. Изоляцию электродвигателей выполнять по классу нагревостойкости Е.

2. Обмотку статора выполнять проводом марок ПЭВА-2, ПЭЛРА-2 или ПЭТВА.

3. Обмотка статора в заводском исполнении двухслойная.

4. Изоляция паза статора: пленкоэлектрокартон на полиэтилентерефталатной пленке толщиной 0,27 мм; стеклолакоткань ЛСЭ толщиной 0,17 мм. Второе исполнение: электрокартон ЭВ толщиной 0,15 мм; стеклолакоткань ЛСБ толщиной 0,2 мм; электрокартон ЭВ толщиной 0,1 мм. Третье исполнение: слюдинитоэлектрокартон на слюдините ГСС толщиной 0,3 мм; стеклолакоткань ЛСЭ толщиной 0,17 мм.

5. Междуслойная прокладка в пазу — пленкоэлектрокартон на полиэтилентерефталатной пленке толщиной

4-го габарита, ремонтируемых с применением алюминиевых проводов

тор															Ротор
q_1	Размеры паза $b; b'; b''$ $h; e$	$Q_{s1},$ $мм^2$	d/d'	m_1	$\omega_{к1}$	$n_{\Sigma 1}$	y_1	a_1	Схема обмотки (рис. №)	$j_1,$ $a/мм^2$	$AS_1,$ $a/см$	$l_{m1},$ $м$	$r_1, ом$	$G_1, кг$	z_2
4	$\frac{11,7; 9,9; 2,8}{18,8; 1,0}$	149,4	1,45/1,53	2	10	40		—	3-1, 3-22	5,48	240	0,61	0,413	1,37	18
			1,56/1,64	1	17	34	1—9	—		5,49	238		1,21	1,35	
			1,4/1,48	1	22	44		—		5,19	233		1,95	1,41	
4	$\frac{11,7; 9,9; 2,8}{18,8; 1,0}$	149,4	1,35/1,43	3	8	48		—	3-1, 3-22	5,99	273	0,662	0,276	1,56	18
			1,25/1,33	2	14	56	1—9	—		6,07	277		0,845	1,56	
			1,08/1,16	2	18	72		—		6,17	270		1,46	1,52	
3	$\frac{7,7; 5,2; 2,6}{21,8; 1,0}$	126,5	1,35/1,43	2	9	36		—	3-3, 3-44	5,58	258	0,486	0,514	1,28	27
			1,45/1,53	1	16	32	1—8	—		5,62	266		1,58	1,31	
			1,25/1,33	1	21	42		—		5,75	265		2,8	1,29	
3	$\frac{7,7; 5,2; 2,6}{21,8; 1,0}$	126,5	1,56/1,64	2	7	28	1—9	—	3-3, 3-47	5,51	264	0,57	0,35	1,55	27
			1,62/1,70	1	13	26	1—8	—	3-3, 3-44	5,93	284	0,538	1,14	1,47	
			1,40/1,48	1	17	34	1—8	—	6,05	283	2,0	1,45			
2	$\frac{8,7; 6,5; 2,6}{21,6; 1,0}$	145,1	1,25/1,33	2	12	48		—	3-6, 3-72	4,65	219	0,462	0,76	1,4	46
			1,35/1,43	1	21	42	1—6	—		4,62	223		2,28	1,43	
			1,16/1,24	1	28	56		—		4,76	226		4,11	1,42	
2	$\frac{8,7; 6,5; 2,6}{21,6; 1,0}$	145,1	1,40/1,48	2	10	40		—	3-6, 3-72	4,68	231	0,514	0,561	1,62	46
			1,50/1,58	1	17	34	1—6	—		4,73	227		1,66	1,58	
			1,30/1,38	1	22	44		—		4,79	224		2,86	1,55	

0,27 мм. Второе исполнение — электрокартон ЭВ толщиной 0,15 мм и стеклолакоткань ЛСБ толщиной 0,2 мм, склеенные вместе лаком ТГФ-8.

6. Прокладка в лобовой части — пленкоэлектрокартон на полиэтилентерефталатной пленке толщиной 0,27 мм. Второе исполнение — электрокартон ЭВ толщиной 0,15 мм и стеклолакоткань ЛСБ толщиной 0,2 мм, склеенные вместе лаком ТГФ-8.

7. Клинь — дерево твердой породы пропитанное.

8. Форму пазов статора и ротора и данные обмотки ротора см. табл. 1-139.

Основные обмоточно-расчетные данные электродвигателей типа АД

Тип электро- двигателя	P_2 , квт	U , в	I , а	n , об/мин	η , %	$\cos \varphi$	$\frac{I_{пуск}}{I_H}$	$\frac{M_{пуск}}{M_H}$	$\frac{M_{макс}}{M_H}$	Ста				
										$\frac{D_{a1}}{D_{t1}}$	$\frac{l_{t1}}{l_{t2}}$	δ	B_{δ} , эс	z_1
АД-51/2А	10,0	127/220	59,8/34,5	2 935	85,3	0,89	7,5	1,3	2,2	$\frac{245}{132}$	$\frac{122}{127}$	0,6	7 470	24
		220/380	34,5/20,0										7 540	
		500	15,2										7 450	
АД-52/2А	12,0	127/220	71,6/41,3	2 935	85,3	0,89	7,5	1,3	2,2	$\frac{245}{132}$	$\frac{142}{147}$	0,6	7 490	24
		220/380	41,3/23,9										7 780	
		500	18,2										7 860	
АД-51/4А	7,8	127/220	48,5/28	1 455	85,3	0,86	7,0	1,2	2,5	$\frac{245}{148}$	$\frac{116}{121}$	0,4	8 470	36
		220/380	28/16,2										9 340	
		500	12,3										9 000	
АД-52/4А	10,0	127/220	61,4/35,4	1 455	85,8	0,86	7,0	1,2	2,5	$\frac{245}{148}$	$\frac{142}{147}$	0,4	9 680	36
		220/380	35,4/20,5										9 320	
		500	15,6										9 190	
АД-51/6А	5,0	127/220	34,5/19,9	970	82,3	0,80	6,0	0,9	2,0	$\frac{245}{169}$	$\frac{122}{127}$	0,4	7 700	36
		220/380	19,9/11,6										7 500	
		500	8,77										7 500	
АД-52/6А	6,0	127/220	40,1/23,2	970	83,5	0,81	6,0	0,9	2,0	$\frac{245}{169}$	$\frac{150}{155}$	0,4	7 050	36
		220/380	23,2/13,4										6 970	
		500	10,2										7 130	
АД-51/8А	2,8	127/220	23,0/13,25	720	77,5	0,71	4,0	1,0	1,8	$\frac{245}{169}$	$\frac{122}{127}$	0,4	6 620	36
		220/380	13,25/7,67										6 470	
		500	5,83										6 540	
АД-52/8А	3,5	127/220	27,3/15,6	720	79,6	0,73	4,0	1,0	1,8	$\frac{245}{169}$	$\frac{150}{155}$	0,4	7 000	36
		220/380	15,6/9,14										6 730	
		500	6,95										6 630	

Примечания: 1. Изоляцию электродвигателей выполнять по классу нагревостойкости Е.

2. Обмотку статора выполнять проводом марок ПЭВА-2, ПЭЛРА-2 или ПЭТВА.

3. Обмотка статора в заводском исполнении двухслойная.

4. Изоляция паза статора — два слоя пленкоэлектрокартона на полиэтилентерефталатной пленке толщиной по 0,27 мм. Второе исполнение: пленкоэлектрокартон на полиэтилентерефталатной пленке толщиной 0,27 мм; стеклолакоткань ЛСБ толщиной 0,2 мм. Третье исполнение: электрокартон ЭВ толщиной 0,15 мм; гибкий слюдинит ГСС толщиной 0,2 мм; стеклолакоткань ЛСБ толщиной 0,2 мм.

5. Прокладка на дне паза только для двухполюсных электродвигателей — стеклолакоткань ЛСЭ толщиной 0,17 мм.

5-го габарита, ремонтируемых с применением алюминиевых проводов

тор															Ротор
q_1	Размеры паза $b; b'; b''$ $h; e$	Q_{s1} $мм^2$	d/d'	m_1	$w_{к1}$	$n_{\theta 1}$	y_1	a_1	Схема обмотки (рис. №)	j_1 , $a/мм^2$	AS_1 , $a/см$	l_{m1} , м	r_1 , ом	G_1 , кг	z_2
4	$\frac{12,8; 11,0; 3,0}{19,8; 1,0}$	194,0	1,5/1,58	3	7	42	—	—	3-1, 3-22	6,51	280	0,68	0,201	1,72	18
			1,4/1,48	2	12	48	1—9	—		6,5	278		0,59	1,72	
			1,74/1,82	1	16	32	—	—		6,39	282		1,02	1,75	
4	$\frac{12,8; 11,0; 3,0}{19,8; 1,0}$	194,0	1,68/1,76	3	6	36	—	—	3-1, 3-22	6,2	287	0,72	0,14	1,95	18
			1,56/1,64	2	10	40	1—9	—		6,25	277		0,42	1,87	
			1,35/1,43	2	13	52	—	—		6,35	274		0,73	1,83	
3	$\frac{8,7; 5,6; 3,0}{25,3; 1,0}$	164,7	1,45/1,53	3	7	42	—	—	3-3, 3-44	5,65	303	0,548	0,26	1,94	42
			1,4/1,48	2	11	44	1—8	—		5,26	276		0,66	1,91	
			1,74/1,82	1	15	30	—	—		5,16	285		1,16	1,98	
3	$\frac{8,7; 5,6; 3,0}{25,3; 1,0}$	164,7	1,68/1,76	3	5	30	—	—	3-3, 3-44	5,31	274	0,6	0,151	2,02	42
			1,56/1,64	2	9	36	1—8	—		5,36	286		0,474	2,1	
			1,35/1,43	2	12	48	—	—		5,45	290		0,845	2,12	
2	$\frac{10,3; 7,9; 3,0}{24,1; 1,0}$	193,7	1,35/1,43	3	9	54	—	—	3-6, 3-72	4,63	243	0,518	0,365	2,05	46
			1,25/1,33	2	16	64	1—6	—		4,69	250		1,13	2,1	
			1,56/1,64	1	21	42	—	—		4,58	250		1,91	2,12	
2	$\frac{10,3; 7,9; 3,0}{24,1; 1,0}$	193,7	1,45/1,53	3	8	48	—	—	3-6, 3-72	4,68	252	0,574	0,311	2,33	46
			1,35/1,43	2	14	56	1—6	—		4,68	255		0,943	2,36	
			1,16/1,24	2	18	72	—	—		4,82	250		1,64	2,26	
$1\frac{1}{2}$	$\frac{10,3; 7,9; 3,0}{24,1; 1,0}$	193,7	1,35/1,43	2	13	52	—	—	3-10, 3-109	4,63	234	0,486	0,742	1,86	46
			1,45/1,53	1	23	46	1—5	—		4,64	239		2,27	1,89	
			1,25/1,33	1	30	60	—	—		4,75	237		4,0	1,84	
$1\frac{1}{2}$	$\frac{10,3; 7,9; 3,0}{24,1; 1,0}$	193,7	1,56/1,64	2	10	40	—	—	3-10, 3-109	4,13	215	0,542	0,477	2,11	46
			1,68/1,76	1	18	36	1—5	—		4,11	223		1,48	2,2	
			1,45/1,53	1	24	48	—	—		4,2	226		2,65	2,2	

6. Междуслойная прокладка в пазу — пленкоэлектрокартон на полиэтилентерефталатной пленке толщиной 0,27 мм. Второе исполнение — электрокартон ЭВ толщиной 0,15 мм и стеклолакоткань ЛСБ толщиной 0,2 мм, склеенные вместе лаком ТГФ-8.

7. Прокладка в лобовой части — пленкоэлектрокартон на полиэтилентерефталатной пленке толщиной 0,27 мм. Второе исполнение — электрокартон ЭВ толщиной 0,15 мм и стеклолакоткань ЛСБ толщиной 0,2 мм, склеенные вместе лаком ТГФ-8.

8. Клинь — дерево твердой породы пропитанное.

9. Форму пазов статора и ротора и данные обмотки ротора см. табл. 1-140.

Основные обмоточно-расчетные данные электродвигателей типа АД 6, 7,

Тип электро- двигателя	$P_2, \text{ кВт}$	$U, \text{ в}$	$I, \text{ а}$	$n, \text{ об/мин}$	$\eta, \%$	$\cos \varphi$	$\frac{I_{\text{пуск}}}{I_{\text{н}}}$	$\frac{M_{\text{пуск}}}{M_{\text{н}}}$	$\frac{M_{\text{макс}}}{M_{\text{н}}}$	Ст				
										$\frac{D_{a1}}{D_{i1}}$	l_{t1}	δ	$B_{\delta, \text{ зс}}$	z_1
АД-61/2А	16	220/380	54,5/31,6	2 930	86,4	0,89	5,5	1,6	2,0	$\frac{280}{153}$	140	0,7	6 830	30
		500	24,0										7 000	
АД-62/2А	20	220/380	67/38,8	2 930	87,1	0,90	6,0	1,8	2,2	$\frac{280}{153}$	180	0,7	7 110	30
		500	29,5										7 000	
АД-71/2А	28	220/380	93,4/54	2 940	87,5	0,90	5,5	1,8	2,0	$\frac{328}{178}$	170	0,8	6 860	36
		500	41										6 880	
АД-72/2А	35	220/380	115/66,6	2 940	88,6	0,90	6,0	2,0	2,2	$\frac{328}{178}$	200	0,8	7 300	36
		500	50,6										7 380	
АД-81/2А	48	220/380	158,5/91,7	2 940	88,2	0,90	5,5	1,7	2,0	$\frac{370}{200}$	190	0,8	7 840	36
		500	69,8										7 360	
АД-82/2А	60	220/380	195/113	2 940	88,8	0,91	6,0	1,8	2,2	$\frac{370}{200}$	230	0,8	7 130	36
		500	85,6										7 010	

- Примечания: 1. Изоляцию электродвигателей выполнять по классу нагревостойкости Е.
 2. Обмотку статора выполнять проводом марок ПЭВА-2, ПЭЛРА-2 или ПЭТВА.
 3. Обмотка статора в заводском исполнении двухслойная.
 4. Изоляция паза статора — два слоя пленкоэлектрокартона на полиэтилентерефталатной пленке толщиной по 0,27 мм. Второе исполнение: пленкоэлектрокартон на полиэтилентерефталатной пленке толщиной 0,27 мм; стеклолакоткань ЛСБ толщиной 0,2 мм. Третье исполнение: электрокартон ЭВ толщиной 0,15 мм; гибкий слюдинит ГСС толщиной 0,2 мм; стеклолакоткань ЛСБ толщиной 0,2 мм.
 5. Прокладка на дне паза — стеклолакоткань ЛСЭ толщиной 0,17 мм.
 6. Междуслойная прокладка в пазу — пленкоэлектрокартон на полиэтилентерефталатной пленке толщиной

8-го габаритов, ремонтируемых с применением алюминиевых проводов

тор																Ротор
q_1	Размеры паза $b; b'; b''$ $h; e$	$Q_{s1'}$ $мм^2$	d/d'	m_1	$w_{к1}$	$n_{э1}$	y_1	a_1	Схема обмотки (рис. №)	$j_1,$ $a/мм^2$	$AS_1,$ $a/см$	$l_{m1'}$ $м$	$r_1, ом$	$G_1, кг$	z_2	
5	$\frac{12,8; 10,4; 3,5}{25,0; 1,0}$	251	1,62/1,70	3	8	48	1—11	—	3-1, 3-27	5,11	316	0,83	0,3	3,48	21	
			1,74/1,82	2	11	44	1—10	—	3-1, 3-26	5,05	330	0,78	0,505	3,45		
5	$\frac{12,8; 10,4; 3,5}{25,0; 1,0}$	251	1,62/1,70	4	6	48	1—11	—	3-1, 3-27	4,7	290	0,91	0,185	3,82	21	
			1,62/1,70	3	8	48	1—11	—		4,77	295		0,33	3,82		
6	$\frac{12,2; 9,6; 3,5}{28,5; 1,0}$	275,6	1,50/1,58	3	10	60	1—12	2	3-2, 3-30	5,09	348	0,94	0,149	5,1	27	
			1,81/1,89	3	7	42	1—11	—	3-1, 3-28	5,31	370	0,88	0,27	4,81		
6	$\frac{12,2; 9,6; 3,5}{28,5; 1,0}$	275,6	1,74/1,82	3	8	48	1—12	2	3-2, 3-30	4,66	343	1,0	0,094	5,8	27	
			1,95/2,03	2	9	36	1—12	—	3-1, 3-29	4,9	339		0,505	5,43		
6	$\frac{14,0; 11,2; 3,5}{27,5; 1,0}$	301	2,26/2,35	2	7	28	1—12	2	3-2, 3-30	5,72	368	1,04	0,0762	5,87	27	
			2,1/2,19	1	16	32	1—13	2	3-2, 3-32	5,82	369		0,405	6,05		
6	$\frac{14,0; 11,2; 3,5}{27,5; 1,0}$	301	2,1/2,19	3	6	36	1—13	2	3-2, 3-32	5,45	389	1,18	0,0574	7,73	27	
			1,81/1,89	3	8	48	1—13	2		5,55	393		0,103	7,38		

0,27 мм. Второе исполнение — электрокартон ЭВ толщиной 0,15 мм и стеклолакоткань ЛСБ толщиной 0,2 мм, склеенные вместе лаком ТГФ-8.

7. Прокладка в лобовой части для электродвигателей 6-го и 7-го габаритов — пленкоэлектрокартон на полиэтилентерефталатной пленке толщиной 0,27 мм. Второе исполнение — электрокартон ЭВ толщиной 0,15 мм и стеклолакоткань ЛСБ толщиной 0,2 мм, склеенные вместе лаком ТГФ-8. Для электродвигателей 8-го габарита лобовые части каждой первой катушки катушечной группы изолированы одним слоем стеклолакоткани ЛСБ размером 0,15×20 мм вполнахлеста и одним слоем стеклянной ленты размером 0,15×20 мм вполнахлеста; головки лобовых частей остальных катушек изолированы одним слоем стеклянной ленты размером 0,15×20 мм вполнахлеста.

8. Клинь — дерево твердой породы пропитанное.

9. Форму пазов статора и ротора и данные обмотки ротора см. табл. 1-141.

Основные обмоточно-расчетные данные электродвигателей типа АДО 2-го габарита,

Тип электро- двигателя	P_1 , квт	U , в	I , а	n , об/мин	η , %	$\cos \varphi$	$\frac{I_{пуск}}{I_H}$	$\frac{M_{пуск}}{M_H}$	$\frac{M_{макс}}{M_H}$	Ст				
										$\frac{D_{a1}}{D_{t1}}$	$\frac{l_{t1}}{l_{t2}}$	δ	B_{δ} , гс	z_1
АДО-21/2А	1,4	127/220	9,5/5,48	2 930	79,6	0,84	9,0	1,5	3,0	$\frac{152}{82}$	$\frac{90}{95}$	0,35	6 720	24
		220/380	5,48/3,17										6 830	
		500	2,41										7 030	
АДО-22/2А	1,7	127/220	11,7/6,75	2 930	80,3	0,82	9,5	1,7	3,3	$\frac{152}{82}$	$\frac{112}{117}$	0,35	7 050	24
		220/380	6,75/3,9										6 920	
		500	2,96										6 960	
АДО-21/4А	0,8	127/220	6,41/3,7	1 430	75,2	0,75	6,0	1,4	2,3	$\frac{152}{91}$	$\frac{76}{81}$	0,3	7 430	24
		220/380	3,7/2,14										7 070	
		500	1,63										7 490	
АДО-22/4А	1,1	127/220	8,67/5,0	1 430	77,9	0,74	6,5	1,4	2,3	$\frac{152}{91}$	$\frac{105}{110}$	0,3	7 150	24
		220/380	5,0/2,9										7 050	
		500	2,2										7 120	
АДО-21/6А	0,5	127/220	5,24/3,02	950	67,3	0,64	4,0	1,0	2,0	$\frac{152}{91}$	$\frac{76}{81}$	0,3	6 200	27
		220/380	3,02/1,75										6 700	
		500	1,39										6 670	
АДО-22/6А	0,7	127/220	7,23/4,17	950	69,4	0,63	4,5	1,0	2,2	$\frac{152}{91}$	$\frac{105}{110}$	0,3	6 580	27
		220/380	4,17/2,42										6 650	
		500	1,98										6 550	

Примечания: 1. Изоляцию электродвигателей выполнять по классу нагревостойкости Е.

2. Обмотку статора выполнять проводом марок ПЭВА-2, ПЭЛРА-2 или ПЭТВА.

3. Обмотка статора в заводском исполнении двухслойная.

4. Изоляция паза статора: пленкоэлектрокартон на полиэтилентерефталатной пленке толщиной 0,27 мм; стеклолакоткань ЛСЭ толщиной 0,17 мм. Второе исполнение: электрон ЭВ толщиной 0,15 мм; стеклолакоткань ЛСБ толщиной 0,2 мм; электрокартон ЭВ толщиной 0,1 мм. Третье исполнение: слюдинитоэлектрокартон на слюдините ГСС толщиной 0,3 мм; стеклолакоткань ЛСЭ толщиной 0,17 мм.

ремонтируемых с применением алюминиевых проводов

тор															Ротор
q_1	Размеры паза $b; b'; b''$ $h; e$	$Q_{s1},$ $мм^2$	d/d'	m_1	$w_{к1}$	$n_{э1}$	y_1	a_1	Схема обмотки (рис. №)	$j_1,$ $a/мм^2$	$AS_1,$ $a/см$	$l_{m1},$ $м$	$r_1, ом$	$G_1, кг$	z_r
4	$\frac{9,0; 7,5; 2,2}{14,6; 0,8}$	99,8	1,16/1,24	1	17	34		—		5,2	174		1,7	0,586	18
			0,93/0,995	1	29	58	1—9	—	3-1, 3-22	4,66	171	0,472	4,52	0,641	
			0,8/0,865	1	37	74		—		4,79	166		7,8	0,612	
4	$\frac{9,0; 7,5; 2,2}{14,6; 0,8}$	99,8	0,96/1,025	2	13	52		—		4,66	163		1,04	0,67	18
			1,0/1,08	1	23	46	1—9	—	3-1, 3-22	4,97	167	0,516	3,39	0,65	
			0,9/0,965	1	30	60		—		4,65	165		5,45	0,684	
2	$\frac{9,4; 6,8; 2,0}{18,5; 0,8}$	130,6	1,08/1,16	1	28	56		—		4,04	174		2,5	0,65	30
			0,8/0,865	1	51	102	1—6	—	3-3, 3-40	4,26	183	0,364	8,28	0,65	
			0,72/0,78	1	63	126		—		4,0	172		12,6	0,655	
2	$\frac{9,4; 6,8; 2,0}{18,5; 0,8}$	130,6	0,9/0,965	2	21	84		—		3,93	176		1,56	0,784	30
			0,96/1,025	1	37	74	1—6	—	3-3, 3-40	4,0	180	0,422	4,85	0,78	
			0,83/0,895	1	48	96		—		4,07	177		8,4	0,764	
1 ^{1/2}	$\frac{9,0; 5,8; 2,0}{21,9; 0,8}$	146	0,96/1,025	1	41	82		—		4,17	234		4,74	0,765	35
			0,74/0,805	1	66	132	1—5	—	3-6, 3-68	4,07	218	0,332	12,8	0,745	
			0,64/0,7	1	87	174		—		4,31	229		22,6	0,74	
1 ^{1/2}	$\frac{9,0; 5,8; 2,0}{21,9; 0,8}$	146	0,8/0,865	2	28	112		—		4,15	221		2,76	0,865	35
			0,9/0,965	1	48	96	1—5	—	3-6, 3-68	3,8	220	0,392	7,45	0,935	
			0,74/0,805	1	64	128		—		4,6	240		14,7	0,853	

5. Междуслойная прокладка в пазу — пленкоэлектрокартон на полиэтилентерефталатной пленке толщиной 0,27 мм. Второе исполнение — электрокартон ЭВ толщиной 0,15 мм и стеклолакоткань ЛСБ толщиной 0,2 мм, склеенные вместе лаком ТГФ-8.

6. Прокладка в лобовой части — пленкоэлектрокартон на полиэтилентерефталатной пленке толщиной 0,27 мм. Второе исполнение — электрокартон ЭВ толщиной 0,15 мм и стеклолакоткань ЛСБ толщиной 0,2 мм, склеенные вместе лаком ТГФ-8.

7. Клинь — дерево твердой породы пропитанное.

8. Форму пазов статора и ротора и данные обмотки ротора см. табл. 1-142.

Основные обмоточно расчетные данные электродвигателей типа АДО 3-го

Тип электродви- гателя	P_2 , квт	U , в	I , а	n , об/мин	η , %	$\cos \varphi$	$\frac{I_{пуск}}{I_H}$	$\frac{M_{пуск}}{M_H}$	$\frac{M_{макс}}{M_H}$	Ста				
										$\frac{D_{a1}}{D_{i1}}$	$\frac{l_{t1}}{l_{t2}}$	δ	$B_{\delta, zc}$	z_1
АДО-31/2А	2,5	127/220	16,7/9,66	2 930	81,7	0,83	9,5	1,7	3,3	$\frac{182}{98}$	$\frac{100}{105}$	0,4	7 200	24
		220/380	9,66/5,6										7 100	
		500	4,25										7 000	
АДО-32/2А	3,0	127/220	20/11,55	2 930	83,0	0,82	11,0	1,7	3,7	$\frac{182}{98}$	$\frac{122}{127}$	0,4	7 050	24
		220/380	11,55/6,7										7 200	
		500	5,1										7 300	
АДО-31/4А	1,7	127/220	12,8/7,36	1 445	79,5	0,76	6,5	1,4	2,4	$\frac{182}{108}$	$\frac{86}{91}$	0,35	8 150	24
		220/380	7,36/4,27										7 880	
		500	3,24										8 000	
АДО-32/4А	2,3	127/220	17,0/9,85	1 445	81,7	0,75	7,0	1,4	2,5	$\frac{182}{108}$	$\frac{116}{121}$	0,3	7 720	24
		220/380	9,85/5,7										8 020	
		500	4,33										7 980	
АДО-31/6А	1,0	127/220	9,2/5,3	940	73,7	0,67	5,0	1,0	2,2	$\frac{182}{118}$	$\frac{90}{95}$	0,3	6 600	27
		220/380	5,3/3,07										6 600	
		500	2,34										6 600	
АДО-32/6А	1,4	127/220	12,5/7,2	940	76,0	0,67	5,5	1,0	2,6	$\frac{182}{118}$	$\frac{122}{127}$	0,3	6 650	27
		220/380	7,2/4,17										6 650	
		500	3,17										6 700	

Примечания: 1. Изоляцию электродвигателей выполнять по классу нагревостойкости Е.
 2. Обмотку статора выполнять проводом марок ПЭВА-2, ПЭЛРА-2 или ПЭТВА.
 3. Обмотка статора в заводском исполнении двухслойная.
 4. Изоляция паза статора: пленкоэлектрокартон на полиэтилентерефталатной пленке толщиной 0,27 мм; стеклолакоткань ЛСЭ толщиной 0,17 мм. Второе исполнение: электрокартон ЭВ толщиной 0,15 мм; стеклолакоткань ЛСБ толщиной 0,2 мм; электрокартон ЭВ толщиной 0,1 мм. Третье исполнение: слюдинитоэлектрокартон на слюдините ГСС толщиной 0,3 мм; стеклолакоткань ЛСЭ толщиной 0,17 мм.

габарита, ремонтируемых с применением алюминиевых проводов

тор															Ротор
q_1	Размеры паза $b; b'; b''$ $h; e$	$Q_{s1},$ $мм^2$	d/d'	m_1	ω_{K1}	$n_{\Sigma 1}$	y_1	a_1	Схема обмотки (рис. №)	$j_1,$ $a/мм^2$	$AS_1,$ $a/см$	$l_{m1},$ $м$	$r_1, ом$	$G_1, кг$	z_2
4	$\frac{10,1; 8,3; 2,5}{16,3; 0,8}$	125	1,12/1,2	2	12	48		—		4,9	181		0,735	0,884	18
			1,2/1,28	1	21	42	1—9	—	3-1, 3-22	4,95	183	0,54	2,25	0,884	
			1,04/1,12	1	28	56		—		5,0	186		4,0	0,893	
4	$\frac{10,1; 8,3; 2,5}{16,3; 0,8}$	125	1,2/1,28	2	10	40		—		5,1	180		0,58	0,911	18
			1,35/1,43	1	17	34	1—9	—	3-1, 3-22	4,68	178	0,584	1,55	0,973	
			1,16/1,24	1	22	44		—		4,83	175		2,72	0,936	
2	$\frac{10,4; 7,6; 2,3}{20,7; 0,8}$	163,3	1,04/1,12	2	19	76		—		4,34	198		1,07	0,96	30
			1,12/1,2	1	34	68	1—6	—	3-3, 3-40	4,34	206	0,428	3,3	0,992	
			0,96/1,025	1	44	88		—		4,47	201		5,82	0,94	
2	$\frac{10,4; 7,6; 2,3}{20,7; 0,8}$	163,3	1,2/1,28	2	15	60		—		4,35	209		0,725	1,14	30
			1,3/1,38	1	25	50	1—6	—	3-3, 3-40	4,3	202	0,488	2,06	1,11	
			1,12/1,2	1	33	66		—		4,39	202		3,66	1,1	
$1\frac{1}{2}$	$\frac{10,2; 7,5; 2,3}{21,7; 0,8}$	169,7	1,3/1,38	1	26	52		—		4,0	200		1,99	1,07	37
			0,96/1,025	1	45	90	1—5	—	3-6, 3-68	4,24	201	0,402	6,3	1,02	
			0,83/0,895	1	59	118		—		4,32	201		11,05	1,0	
$1\frac{1}{2}$	$\frac{10,2; 7,5; 2,3}{21,7; 0,8}$	169,7	1,08/1,16	2	19	76		—		3,93	199		1,22	1,26	37
			1,16/1,24	1	33	66	1—5	—	3-6, 3-68	3,95	200	0,466	3,67	1,26	
			1,0/1,08	1	43	86		—		4,04	199		6,45	1,23	

5. Междуслойная прокладка в пазу — пленкоэлектрокартон на полиэтилентерефталатной пленке толщиной 0,27 мм. Второе исполнение — электрокартон ЭВ толщиной 0,15 мм и стеклолакоткань ЛСБ толщиной 0,2 мм, склеенные вместе лаком ТГФ-8.

6. Прокладка в лобовой части — пленкоэлектрокартон на полиэтилентерефталатной пленке толщиной 0,27 мм. Второе исполнение — электрокартон ЭВ толщиной 0,15 мм и стеклолакоткань ЛСБ толщиной 0,2 мм, склеенные вместе лаком ТГФ-8.

7. Клинь — дерево твердой породы пропитанное.

8. Форму пазов статора и ротора и данные обмотки ротора см. табл. 1-143.

Основные обмоточно-расчетные данные электродвигателей типа АДО

Тип электродви- гателя	$P_2,$ <i>квт</i>	$U, в$	$I, а$	$n,$ <i>об/мин</i>	$\eta, \%$	$\cos \varphi$	$\frac{I_{пуск}}{I_H}$	$\frac{M_{пуск}}{M_H}$	$\frac{M_{макс}}{M_H}$	Ста				
										$\frac{D_{a1}}{D_{i1}}$	$\frac{l_{t1}}{l_{t2}}$	δ	$B_{\delta},$ <i>гс</i>	z_1
АДО-41/2А	4,1	127/220	26,8/15,45	2 940	83,8	0,83	9,5	1,7	3,2	$\frac{213}{115}$	$\frac{110}{115}$	0,45	6 220	24
		220/380	15,45/8,95										6 340	
		500	6,8										6 420	
АДО-42/2А	4,8	127/220	31,6/18,2	2 940	84,1	0,82	9,5	2,0	3,4	$\frac{213}{115}$	$\frac{136}{141}$	0,45	6 280	24
		220/380	18,2/10,5										6 210	
		500	8,0										6 350	
АДО-41/4А	3,4	127/220	23,6/13,6	1 450	82,7	0,79	7,5	1,7	2,6	$\frac{213}{128}$	$\frac{104}{109}$	0,35	8 500	36
		220/380	13,6/7,9										8 280	
		500	6,0										8 300	
АДО-42/4А	4,2	127/220	29,2/16,8	1 450	83,8	0,78	7,5	1,7	2,7	$\frac{213}{128}$	$\frac{130}{135}$	0,35	8 350	36
		220/380	16,8/9,75										8 160	
		500	7,4										8 200	
АДО-41/6А	2,0	127/220	16,35/9,44	970	80,5	0,69	7,5	1,2	2,7	$\frac{213}{143}$	$\frac{110}{115}$	0,35	7 550	36
		220/380	9,44/5,46										7 480	
		500	4,15										7 360	
АДО-42/6А	2,5	127/220	20,7/11,9	970	79,5	0,69	7,5	1,2	2,8	$\frac{213}{143}$	$\frac{136}{141}$	0,35	7 340	36
		220/380	11,9/6,82										7 460	
		500	5,25										7 580	

Примечания: 1. Изоляцию электродвигателей выполнять по классу нагревостойкости Е.
 2. Обмотку статора выполнять проводом марок ПЭВА-2, ПЭЛРА-2 или ПЭТВА.
 3. Обмотка статора в заводском исполнении двухслойная.
 4. Изоляция паза статора: пленкоэлектрокартон на полиэтилентерефталатной пленке толщиной 0,27 мм; стеклолакоткань ЛСЭ толщиной 0,17 мм. Второе исполнение: электрокартон ЭВ толщиной 0,15 мм; стеклолакоткань ЛСБ толщиной 0,2 мм; электрокартон ЭВ толщиной 0,1 мм. Третье исполнение: слюдинитоэлектрокартон на слюдините ГСС толщиной 0,3 мм; стеклолакоткань ЛСЭ толщиной 0,17 мм.

4-го габарита, ремонтируемых с применением алюминиевых проводов

ор															Ротор
q_1	Размеры паза $b; b'; b''$ $h; e$	$Q_{s1},$ $мм^2$	d/d'	m_1	ω_{k1}	$n_{\Theta 1}$	y_1	a_1	Схема обмотки (рис. №)	$j_1,$ $а/мм^2$	$AS_1,$ $а/см$	$l_{m1},$ $м$	$r_1, ом$	$G_1, кг$	z_2
4	$\frac{11,7; 9,9; 2,8}{18,8; 1,0}$	149,4	1,45/1,53	2	10	40	—	—		4,67	205		0,413	1,37	18
			1,56/1,64	1	17	34	1—9	—	3-1, 3-22	4,67	202	0,61	1,21	1,35	
			1,4/1,48	1	22	44	—	—		4,42	199		1,95	1,41	
4	$\frac{11,7; 9,9; 2,8}{18,8; 1,0}$	149,4	1,35/1,43	3	8	48	—	—		4,24	193		0,276	1,56	18
			1,25/1,33	2	14	56	1—9	—	3-1, 3-22	4,28	196	0,662	0,845	1,56	
			1,08/1,16	2	18	76	—	—		4,36	191		1,46	1,52	
3	$\frac{7,7; 5,2; 2,6}{21,8; 1,0}$	126,5	1,35/1,43	2	9	36	—	—		4,75	219		0,514	1,28	27
			1,45/1,53	1	16	32	1—8	—	3-3, 3-44	4,78	226	0,486	1,58	1,31	
			1,25/1,33	1	21	42	—	—		4,9	226		2,8	1,29	
3	$\frac{7,7; 5,2; 2,6}{21,8; 1,0}$	126,5	1,56/1,64	2	7	28	1—9	—	3-3, 3-47	4,39	211	0,57	0,35	1,55	27
			1,62/1,7	1	13	26	1—8	—	3-3, 3-44	4,73	227	0,538	1,14	1,47	
			1,4/1,48	1	17	34	—	—		4,8	225		2,0	1,45	
2	$\frac{8,7; 6,5; 2,6}{21,6; 1,0}$	145,1	1,25/1,33	2	12	48	—	—		3,85	182		0,76	1,4	46
			1,35/1,43	1	21	42	1—6	—	3-6, 3-72	3,81	184	0,462	2,28	1,43	
			1,16/1,24	1	28	56	—	—		3,93	186		4,11	1,42	
2	$\frac{8,7; 6,5; 2,6}{21,6; 1,0}$	145,1	1,4/1,48	2	10	40	—	—		3,87	191		0,561	1,62	46
			1,5/1,58	1	17	34	1—6	—	3-6, 3-72	3,86	186	0,514	1,66	1,58	
			1,3/1,38	1	22	44	—	—		3,96	185		2,86	1,55	

5. Междуслойная прокладка в пазу — пленкоэлектрокартон на полиэтилентерефталатной пленке толщиной 0,27 мм. Второе исполнение — электрокартон ЭВ толщиной 0,15 мм и стеклолакоткань ЛСБ толщиной 0,2 мм, склеенные вместе лаком ТГФ-8.

6. Прокладка в лобовой части — пленкоэлектрокартон на полиэтилентерефталатной пленке толщиной 0,27 мм. Второе исполнение — электрокартон ЭВ толщиной 0,15 мм и стеклолакоткань ЛСБ толщиной 0,2 мм, склеенные вместе лаком ТГФ-8.

7. Клинь — дерево твердой породы пропитанное.

8. Форму пазов статора и ротора и данные обмотки ротора см. табл. 1-144.

Сысыее обмоточные-расчетные данные электродвигателей типа АДО

Тип электродви- гателя	P_2 , квт	U , в	I , а	n , об/мин	η , %	$\cos \varphi$	$\frac{I_{пуск}}{I_H}$	$\frac{M_{пуск}}{M_H}$	$\frac{M_{макс}}{M_H}$	Ст				
										$\frac{D_{a1}}{D_{i1}}$	$\frac{l_{t1}}{l_{t2}}$	δ	B_{δ} , гс	z_1
АДО-51/2А	6,5	127/220	41,7/24,1	2 940	85,3	0,83	9,5	2,0	3,4	$\frac{245}{132}$	$\frac{122}{127}$	0,6	7 470	24
		220/380	24,1/13,9										7 540	
		500	10,6										7 450	
АДО-52/2А	7,5	127/220	48,1/27,8	2 940	85,2	0,83	9,5	2,0	3,6	$\frac{245}{132}$	$\frac{142}{147}$	0,6	7 490	24
		220/380	27,8/16,1										7 780	
		500	12,2										7 860	
АДО-51/4А	6,0	127/220	39,4/22,8	1 460	85,2	0,81	9,0	1,5	3,3	$\frac{245}{148}$	$\frac{116}{121}$	0,4	8 470	36
		220/380	22,8/13,2										9 340	
		500	10,0										9 000	
АДО-52/4А	7,0	127/220	47,2/27,3	1 460	86,2	0,78	10,0	1,5	3,6	$\frac{245}{148}$	$\frac{142}{147}$	0,4	9 680	36
		220/380	27,3/15,8										9 320	
		500	12,0										9 190	
АДО-51/6А	3,6	127/220	27,8/16,1	975	82,7	0,71	7,5	1,2	2,8	$\frac{245}{169}$	$\frac{122}{127}$	0,4	7 700	36
		220/380	16,1/9,3										7 500	
		500	7,1										7 500	
АДО-52/6А	4,5	127/220	32,9/19,0	975	83,9	0,74	7,5	1,2	2,7	$\frac{245}{169}$	$\frac{150}{155}$	0,4	7 050	36
		220/380	19,0/11,0										6 970	
		500	8,35										7 130	
АДО-51/8А	2,1	127/220	18,8/10,8	725	78,2	0,65	5,0	1,3	2,0	$\frac{245}{169}$	$\frac{122}{127}$	0,4	6 620	36
		220/380	10,8/6,27										6 470	
		500	4,77										6 540	
АДО-52/8А	2,6	127/220	22,2/12,8	725	79,5	0,67	5,0	1,3	2,0	$\frac{245}{169}$	$\frac{150}{155}$	0,4	7 000	36
		220/380	12,8/7,4										6 730	
		500	5,63										6 630	

Примечания: 1. Изоляцию электродвигателей выполнять по классу нагревостойкости Е.

2. Обмотку статора выполнять проводом марок ПЭВА-2, ПЭЛРА-2 или ПЭТВА.

3. Обмотка статора в заводском исполнении двухслойная.

4. Изоляция паза статора: пленкоэлектрокартон на полиэтилентерефталатной пленке толщиной 0,27 мм; стеклолакоткань ЛСЭ толщиной 0,17 мм. Второе исполнение: электрокартон ЭВ толщиной 0,15 мм; стеклолакоткань ЛСБ толщиной 0,2 мм; электрокартон ЭВ толщиной 0,1 мм. Третье исполнение: слюдинитоэлектрокартон на слюдините ГСС толщиной 0,3 мм; стеклолакоткань ЛСЭ толщиной 0,17 мм.

5-го габарита, ремонтируемых с применением алюминиевых проводов

тор															Ротор
q_1	Размеры паза $b; b'; b''$ $h; e$	$Q_{s1},$ $мм^2$	d/d'	m_1	$\omega_{к1}$	$n_{\Theta 1}$	y_1	a_1	Схема обмотки (рис. №)	$j_1,$ $a/мм^2$	$AS_1,$ $a/см$	$l_{m1},$ $м$	$r_1, ом$	$G_1, кг$	z_2
4	$\frac{12,8; 11,0; 3,0}{19,8; 1,0}$	194,0	1,5/1,58	3	7	42	—	—	3-1, 3-22	4,55	196	0,68	0,201	1,72	18
			1,4/1,48	2	12	48	1—9	—		4,51	193		0,59	1,72	
			1,74/1,82	1	16	32	—	—		4,45	196		1,02	1,75	
4	$\frac{12,8; 11,0; 3,0}{19,8; 1,0}$	194,0	1,68/1,76	3	6	36	—	—	3-1, 3-22	4,17	193	0,72	0,14	1,95	18
			1,56/1,64	2	10	40	1—9	—		4,21	186		0,42	1,87	
			1,35/1,43	2	13	52	—	—		4,26	184		0,73	1,83	
3	$\frac{8,7; 5,6; 3,0}{25,3; 1,0}$	164,7	1,45/1,53	3	7	42	—	—	3-3, 3-44	4,6	247	0,548	0,26	1,94	42
			1,4/1,48	2	11	44	1—8	—		4,3	225		0,66	1,91	
			1,74/1,82	1	15	30	—	—		4,2	232		1,16	1,98	
3	$\frac{8,7; 5,6; 3,0}{25,3; 1,0}$	164,7	1,68/1,76	3	5	30	—	—	3-3, 3-44	4,1	211	0,6	0,151	2,02	42
			1,56/1,64	2	9	36	1—8	—		4,14	220		0,474	2,1	
			1,35/1,43	2	12	48	—	—		4,2	223		0,845	2,12	
2	$\frac{10,3; 7,9; 3,0}{24,1; 1,0}$	193,7	1,35/1,43	3	9	54	—	—	3-6, 3-72	3,75	197	0,518	0,365	2,05	46
			1,25/1,33	2	16	64	1—6	—		3,8	202		1,13	2,1	
			1,56/1,64	1	21	42	—	—		3,71	202		1,91	2,12	
2	$\frac{10,3; 7,9; 3,0}{24,1; 1,0}$	193,7	1,45/1,53	3	8	48	—	—	3-6, 3-72	3,83	206	0,574	0,311	2,33	46
			1,35/1,43	2	14	56	1—6	—		3,84	209		0,943	2,36	
			1,16/1,24	2	18	72	—	—		3,96	204		1,64	2,26	
$1\frac{1}{2}$	$\frac{10,3; 7,9; 3,0}{24,1; 1,0}$	193,7	1,35/1,43	2	13	52	—	—	3-10, 3-109	3,77	191	0,486	0,742	1,86	46
			1,45/1,53	1	23	46	1—5	—		3,8	196		2,27	1,89	
			1,25/1,33	1	30	60	—	—		3,89	194		4,0	1,84	
$1\frac{1}{2}$	$\frac{10,3; 7,9; 3,0}{24,1; 1,0}$	193,7	1,56/1,64	2	10	40	—	—	3-10, 3-109	3,34	174	0,542	0,477	2,11	46
			1,68/1,76	1	18	36	1—5	—		3,33	181		1,48	2,2	
			1,45/1,53	1	24	48	—	—		3,4	183		2,65	2,2	

5. Междуслойная прокладка в пазу — пленкоэлектрокартон на полиэтилентерефталатной пленке толщиной 0,27 мм. Второе исполнение: электрокартон ЭВ толщиной 0,15 мм и стеклолакоткань ЛСБ толщиной 0,2 мм, склеенные вместе лаком ТГФ-8.

6. Прокладка в лобовой части — пленкоэлектрокартон на полиэтилентерефталатной пленке толщиной 0,27 мм. Второе исполнение — электрокартон ЭВ толщиной 0,15 мм и стеклолакоткань ЛСБ толщиной 0,2 мм, склеенные вместе лаком ТГФ-8.

7. Клинь — дерево твердой породы пропитанное.

8. Форму пазов статора и ротора и данные обмотки ротора см. табл. 1-145.

Основные обмоточно-расчетные данные электродвигателей типа МА202,

Тип электродвигателя	$P_2, \text{ кВт}$	$U, \text{ в}$	$I, \text{ а}$	$n, \text{ об/мин}$	$\eta, \%$	$\cos \varphi$	$\frac{I_{\text{пуск}}}{I_{\text{н}}}$	$\frac{M_{\text{пуск}}}{M_{\text{н}}}$	$\frac{M_{\text{макс}}}{M_{\text{н}}}$	Ста				
										$\frac{D_{a1}}{D_{i1}}$	l_{t1}	δ	$B_{\delta}, \text{ зс}$	z_1
МА202-1/4А	13,0	127/220	78,8/45,5	1 460	85,8	0,87	7,0	0,9	1,7	$\frac{294}{180}$	115	0,45	8 850	36
		220/380	45,5/26,3										8 950	
		500	20,0										8 760	
МА202-2/4А	17,0	220/380	58,3/33,8	1 460	86,6	0,88	7,0	0,9	1,7	$\frac{294}{180}$	145	0,45	8 500	36
		500	25,7										8 800	
		127/220	59,5/34,3										8 560	
МА202-1/6А	9,1	220/380	34,3/19,8	970	84,7	0,82	6,0	0,9	1,8	$\frac{294}{198}$	115	0,4	8 330	54
		500	15,1										8 350	
		127/220	75,3/43,5										9 000	
МА202-2/6А	11,8	220/380	43,5/25,2	970	85,5	0,83	6,0	0,9	1,8	$\frac{294}{198}$	145	0,4	8 800	54
		500	19,1										8 850	
		127/220	42,5/24,6										7 630	
МА202-1/8А	6,0	220/380	24,6/14,2	725	81,1	0,79	5,5	0,9	1,65	$\frac{294}{208}$	115	0,4	7 630	48
		500	10,8										7 650	
		127/220	55,9/32,2										7 560	
МА202-2/8А	8,0	220/380	32,2/18,6	725	82,1	0,79	5,5	0,9	1,65	$\frac{294}{208}$	145	0,4	7 500	48
		500	14,2										7 390	

Примечания: 1. Изоляцию электродвигателей выполнять по классу нагревостойкости Е.
 2. Обмотку статора выполнять проводом марок ПЭВА-2, ПЭЛРА-2 или ПЭТВА.
 3. Обмотка статора в заводском исполнении однослойная вразвалку.
 4. Изоляция паза статора — два слоя пленкоэлектрокартона на полиэтилентерефталатной пленке толщиной по 0,27 мм. Второе исполнение: пленкоэлектрокартон на полиэтилентерефталатной пленке толщиной 0,27 мм; стеклолакоткань ЛСБ толщиной 0,2 мм. Третье исполнение: электрокартон ЭВ толщиной 0,15 мм; гибкий слюдинит ГСС толщиной 0,2 мм; стеклолакоткань ЛСБ толщиной 0,2 мм.

ремонтируемых с применением алюминиевых проводов

Статор															Ротор
q_1	Размеры паза $b; b'; b''$ $h; e$	$Q_{s1'}$ $мм^2$	d/d'	m_1	ω_{k1}	$n_{\theta 1}$	y_1	a_1	Схема обмотки (рис. №)	j_1 , $а/мм^2$	AS_1 , $а/см$	l_{m1} , м	r_1 , ом	G_1 , кг	z_1
3	$\frac{9,7; 6,1; 3,0}{24,7; 0,6}$	181	2,1/2,19	1	21	21		2	3-50	6,57	304		0,164	2,45	46
			2,26/2,35	1	18	18	1-8— 1-10	—	3-49	6,55	302	0,642	0,485	2,33	
			1,95/2,03	1	24	24		—		6,7	305		0,866	2,32	
3	$\frac{9,7; 6,1; 3,0}{24,7; 0,6}$	181	1,81/1,89	2	15	30	1-8— 1-10	—	3-49	6,57	323	0,702	0,344	2,75	46
			2,26/2,35	1	19	19		—		6,4	311		0,56	2,69	
			2,02/2,1	2	9	18		—		5,37	268		0,202	2,49	
3	$\frac{7,4; 4,7; 3,0}{26,0; 0,6}$	148	2,26/2,35	1	16	16	1-8— 1-10	—	3-91	4,93	275	0,57	0,572	2,76	44
			1,88/1,96	1	21	21		—		5,44	276		1,08	2,52	
			1,81/1,89	1	22	22		3	3-92	5,64	277		0,151	2,71	
3	$\frac{7,4; 4,7; 3,0}{26,0; 0,6}$	148	1,74/1,82	2	13	26	1-8— 1-10	—	3-91	5,29	284	0,63	0,434	2,96	44
			2,1/2,19	1	17	17		—		5,52	282		0,78	2,92	
			1,88/1,96	2	15	30				4,36	268		0,326	3,04	
2	$\frac{9,2; 6,2; 3,0}{26,2; 0,6}$	188	2,02/2,1	1	26	26	1-6	—	3-111	4,41	270	0,54	0,985	3,02	60
			1,81/1,89	1	34	34		—		4,16	268		1,6	3,19	
			2,1/2,19	2	12	24		—	3-111	4,66	283		0,234	3,49	
2	$\frac{9,2; 6,2; 3,0}{26,2; 0,6}$	188	2,26/2,35	1	21	21	1-6	—		4,64	290	0,6	0,705	3,39	60
			1,95/2,03	1	28	28		—		4,75	292		1,26	3,37	

5. Прокладка в лобовой части — пленкоэлектрокартон на полиэтилентерефталатной пленке толщиной 0,27 мм. Второе исполнение — электрокартон ЭВ толщиной 0,15 мм и стеклолакоткань ЛСБ толщиной 0,2 мм, склеенные вместе лаком ТГФ-8.

6. Клинь — дерево твердой породы пропитанное.

7. Форму пазов статора и ротора и данные обмотки ротора см. табл. 1-146.

Основные обмоточно-расчетные данные электродвигателей типа МА203,

Тип электродвигателя	$P_2, \text{ кВт}$	$U, \text{ в}$	$I, \text{ а}$	$n, \text{ об/мин}$	$\eta, \%$	$\cos \varphi$	$\frac{I_{\text{пуск}}}{I_{\text{н}}}$	$\frac{M_{\text{пуск}}}{M_{\text{н}}}$	$\frac{M_{\text{макс}}}{M_{\text{н}}}$	Ст				
										$\frac{D_{a1}}{D_{i1}}$	l_{t1}	δ	$B_{\delta}, \text{ гс}$	z_1
МА203-1/4А	22	220/380	74,9/43,3	1 460	87,3	0,88	7,0	0,9	2,0	$\frac{327}{200}$	132	0,5	9 570	48
		500	32,9										9 670	
МА203-2/4А	28,5	220/380	96/55,6	1 470	88,3	0,88	7,0	0,9	2,0	$\frac{327}{200}$	165	0,5	9 560	48
		500	42,3										9 560	
МА203-1/6А 1-е исполнение	15,2	220/380	55,9/32,3	975	86,0	0,83	6,5	0,9	1,9	$\frac{327}{220}$	132	0,45	9 250	36
		500	24,6										9 060	
МА203-1/6А 2-е исполнение	15,2	220/380	55,9/32,3	975	86,0	0,83	6,5	0,9	1,9	$\frac{327}{220}$	132	0,45	9 210	54
		500	24,6										9 300	
МА203-2/6А 1-е исполнение	19,7	220/380	71/41,1	975	86,5	0,84	6,5	0,9	1,9	$\frac{327}{220}$	165	0,45	9 180	36
		500	31,2										9 210	
МА203-2/6А 2-е исполнение	19,7	220/380	71/41,1	975	86,5	0,84	6,5	0,9	1,9	$\frac{327}{220}$	165	0,45	9 070	54
		500	31,2										9 180	
МА203-1/8А	11	127/220	73,3/42,3	725	84,1	0,81	6,5	0,9	1,9	$\frac{327}{235}$	132	0,45	8 400	48
		220/380	42,3/24,5										8 510	
		500	18,6										8 360	
МА203-2/8А	14	127/220	91,5/52,8	725	84,4	0,82	6,5	0,9	1,9	$\frac{327}{235}$	165	0,45	8 320	48
		220/380	52,8/30,6										8 420	
		500	23,2										8 460	

Примечания: 1. Изоляцию электродвигателей выполнять по классу нагревостойкости Е.
 2. Обмотку статора выполнять проводом марок ПЭВА-2, ПЭЛРА-2 или ПЭТВА.
 3. Обмотка статора в заводском исполнении однослойная вразвалку.
 4. Изоляция паза статора — два слоя пленкоэлектрокартона на полиэтилентерефталатной пленке толщиной по 0,27 мм. Второе исполнение: пленкоэлектрокартон на полиэтилентерефталатной пленке толщиной 0,27 мм; стеклолакоткань ЛСБ толщиной 0,2 мм. Третье исполнение: электрокартон ЭВ толщиной 0,15 мм; гибкий слюдинит ГСС толщиной 0,2 мм; стеклолакоткань ЛСБ толщиной 0,2 мм.

ремонтируемых с применением алюминиевых проводов

Статор															Ротор
q_1	Размеры паза $b; b'; b''$ $h; e$	$Q_{s1},$ $мм^2$	d/d'	m_1	$w_{к1}$	$n_{в1}$	y_1	a_1	Схема обмотки (рис. №)	$j_1,$ $а/мм^2$	$AS_1,$ $а/см$	$l_{m1},$ $м$	$r_1, ом$	$G_1, кг$	z_2
4	$\frac{8,4; 5,0; 3,0}{28,2; 0,6}$	177,8	$\frac{2,02/2,1}{1,74/1,82}$	2	10	20	1-10 1-12	—	3-51	6,76	331	0,714	0,25	3,07	38
			$\frac{1,81/1,89}{1,74/1,82}$	2	13	26		—		6,66	327		0,422	1,61	
4	$\frac{8,4; 5,0; 3,0}{28,2; 0,6}$	177,8	$\frac{2,02/2,1}{2,26/2,35}$	3	8	24	1-10 1-12	—	3-51	5,8	340	0,78	0,145	4,03	38
				1	21	21		2	3-52	5,26	339		0,228	4,4	
2	$\frac{11,5; 7,6; 3,0}{26,7; 0,6}$	234,8	$\frac{1,88/1,96}{1,62/1,70}$	2	18	36	1-6	—	3-74	5,8	303	0,634	0,344	3,2	45
			$\frac{1,74/1,82}{1,62/1,70}$	2	24	48		—		5,55	308		0,575	1,83	
3	$\frac{8,2; 5,3; 3,0}{28,2; 0,6}$	183	$\frac{1,62/1,70}{1,74/1,82}$	1	37	37	1-8 1-10	3	3-92	5,23	312	0,644	0,324	3,75	64
				2	16	32		—	3-91	5,16	308		0,545	3,72	
2	$\frac{11,5; 7,6; 3,0}{26,7; 0,6}$	234,8	$\frac{2,26/2,35}{1,95/2,03}$	1	29	29	1-6	2	3-75	5,12	310	0,70	0,212	4,09	45
				2	19	38		—	3-74	5,21	309		0,374	4,01	
3	$\frac{8,2; 5,3; 3,0}{28,2; 0,6}$	183	$\frac{1,81/1,89}{1,95/2,03}$	3	10	30	1-8 1-10	—	3-91	5,33	322	0,71	0,232	4,16	64
				2	13	26		—		5,21	317		0,388	4,16	
2	$\frac{9,7; 6,9; 3,0}{25,7; 0,6}$	198	$\frac{2,26/2,35}{1,74/1,82}$	1	21	21	1-6	2	3-113	5,28	290	0,604	0,177	3,4	50
				2	18	36		—		5,15	287		0,51	3,5	
2	$\frac{9,7; 6,9; 3,0}{25,7; 0,6}$	198	$\frac{2,1/2,19}{1,81/1,89}$	1	24	24	1-6	—	3-111	5,38	291	0,67	0,94	3,51	60
				2	17	34		2	3-113	5,13	295		0,124	3,96	
2	$\frac{9,7; 6,9; 3,0}{25,7; 0,6}$	198	$\frac{2,02/2,1}{1,74/1,82}$	1	29	29	1-6	2		4,78	292	0,67	0,34	4,18	60
				2	19	38		—	3-111	4,89	291		0,598	4,1	

5. Прокладка в лобовой части — пленкоэлектрокартон на полиэтилентерефталатной пленке толщиной 0,27 мм. Второе исполнение — электрокартон ЭВ толщиной 0,15 мм и стеклолакоткань ЛСБ толщиной 0,2 мм, склеенные вместе лаком ТГФ-8.

6. Клинь — дерево твердой породы пропитанное.

7. Форму пазов статора и ротора и данные обмотки ротора см. табл. 1-147.

Основные обмоточно-расчетные данные электродвигателей типа МА204,

Тип электродвигателя	$P_2, \text{ кВт}$	$U, \text{ в}$	$I, \text{ а}$	$n, \text{ об/мин}$	$\eta, \%$	$\cos \varphi$	$\frac{I_{\text{пуск}}}{I_{\text{н}}}$	$\frac{M_{\text{пуск}}}{M_{\text{н}}}$	$\frac{M_{\text{макс}}}{M_{\text{н}}}$	Ст				
										$\frac{D_{a1}}{D_{t1}}$	l_{t1}	δ	$B_{\delta}, \text{ гс}$	z_1
МА204-1/4А	37	220/380 500	123/71 54	1 470	88,5	0,89	6,5	0,9	2,0	$\frac{394}{245}$	135	0,6	9 550 9 550	48
МА204-2/4А	48	220/380 500	158/91,5 69,5	1 470	89,1	0,89	6,5	0,9	2,0	$\frac{394}{245}$	165	0,6	9 600 9 650	48
МА204-1/6А	25,5	220/380 500	91,5/52,9 40,2	975	86,8	0,84	6,5	0,9	1,9	$\frac{394}{270}$	135	0,55	9 700 9 900	54
МА204-2/6А	32	220/380 500	113/65,4 49,7	975	87,2	0,85	6,5	0,9	1,9	$\frac{394}{270}$	165	0,55	9 700 9 750	54
МА204-1/8А	18,1	220/380 500	67,4/39 29,7	730	84,4	0,83	6,5	0,9	1,9	$\frac{394}{280}$	135	0,5	8 670 8 750	72
МА204-2/8А	23,5	220/380 500	86/49,6 37,9	730	86,1	0,83	6,5	0,9	1,9	$\frac{394}{280}$	165	0,5	8 900 8 900	72

Примечания: 1. Изоляцию электродвигателей выполнять по классу нагревостойкости Е.
 2. Обмотку статора выполнять проводом марок ПЭВА-2, ПЭЛРА-2 или ПЭТВА.
 3. Обмотка статора в заводском исполнении однослойная вразвалку.
 4. Изоляция паза статора — два слоя пленкоэлектрокартона на полиэтилентерефталатной пленке толщиной по 0,27 мм. Второе исполнение: пленкоэлектрокартон на полиэтилентерефталатной пленке толщиной 0,27 мм; стеклолакоткань ЛСБ толщиной 0,2 мм. Третье исполнение: электрокартон ЭВ толщиной 0,15 мм; гибкий слюдинит ГСС толщиной 0,2 мм; стеклолакоткань ЛСБ толщиной 0,2 мм.

Основные обмоточно-расчетные данные электродвигателей серии „Урал“ типа Р

Тип электродвигателя	$P_2, \text{ кВт}$	$U, \text{ в}$	$I, \text{ а}$	$n, \text{ об/мин}$	$\eta, \%$	$\cos \varphi$	$\frac{I_{\text{пуск}}}{I_{\text{н}}}$	$\frac{M_{\text{пуск}}}{M_{\text{н}}}$	$\frac{M_{\text{макс}}}{M_{\text{н}}}$	Ст				
										$\frac{D_{a1}}{D_{t1}}$	$\frac{l_{t1}}{l_{t2}}$	δ	$B_{\delta}, \text{ гс}$	z_1
Р-41/4А	4,5	127/220 220/380 500	27,9/16,1 16,1/9,35 7,1	1 450	84,1	0,87	6,6	2,0	2,7	$\frac{245}{154}$	$\frac{85}{90}$	0,35	8 300 8 100 8 100	36
Р-42/4А	5,8	127/220 220/380 500	36,2/20,9 20,9/12,1 9,2	1 450	84,5	0,86	6,3	2,1	2,8	$\frac{245}{154}$	$\frac{105}{110}$	0,35	8 650 8 060 8 100	36
Р-41/6А	2,7	127/220 220/380 500	19,6/11,3 11,3/6,56 5,0	960	80,0	0,78	5,5	2,0	2,5	$\frac{245}{154}$	$\frac{85}{90}$	0,35	7 800 7 880 8 040	36
Р-42/6А	3,3	127/220 220/380 500	23,4/13,5 13,5/7,83 5,95	960	82,0	0,78	5,7	2,1	2,7	$\frac{245}{154}$	$\frac{105}{110}$	0,35	8 040 8 060 8 060	36

Примечания: 1. Изоляцию электродвигателей выполнять по классу нагревостойкости Е.
 2. Обмотку статора выполнять проводом марок ПЭВА-2, ПЭЛРА-2 или ПЭТВА.
 3. Обмотка статора в заводском исполнении двухслойная.
 4. Изоляция паза статора: пленкоэлектрокартон на полиэтилентерефталатной пленке толщиной 0,27 мм; стеклолакоткань ЛСЭ толщиной 0,17 мм. Второе исполнение: электрокартон ЭВ толщиной 0,15 мм; стеклолакоткань ЛСБ толщиной 0,2 мм; электрокартон ЭВ толщиной 0,1 мм. Третье исполнение: слюдинитоэлектрокартон на слюдините ГСС толщиной 0,3 мм; стеклолакоткань ЛСЭ толщиной 0,17 мм.

ремонтируемых с применением алюминиевых проводов

тор															Ротор
q_1	Размеры паза $b; b'; b''$ $h; e$	$Q_{s1},$ $мм^2$	d/d'	m_1	w_{k1}	$n_{\theta 1}$	y_1	a_1	Схема обмотки (рис. №)	$j_1,$ $а/мм^2$	$AS_1,$ $а/см$	$l_{m1},$ $м$	$r_1, ом$	$G_1, кг$	z_2
4	9,9; 6,4; 3,0 29,7; 0,6	227	1,88/1,96 1,62/1,7 1,74/1,82	2 2	16 21	32 42	1—10 1—12	2 2	3-52	6,38 6,08	354 354	0,81	0,13 0,215	4,85 2,38 2,74	54
4	9,9; 6,4; 3,0 29,7; 0,6	227	2,26/2,35 1,95/2,03	2 2	13 17	26 34	1—10 1—12	2 2	3-52	5,7 5,81	371 369	0,87	0,079 0,138	6,08 5,94	54
3	9,0; 6,0; 3,0 29,2; 0,6	206	1,88/1,96 2,02/2,1	1 2	28 12	28 24	1—8 1—10	3 —	3-92 3-91	6,35 6,29	314 308	0,725	0,204 0,342	4,27 4,22	64
3	9,0; 6,0; 3,0 29,2; 0,6	206	2,26/2,35 2,26/2,35	1 2	23 10	23 20	1—8 1—10	3 —	3-92 3-91	5,42 6,2	319 317	0,785	0,126 0,247	5,51 4,75	64
3	7,7; 5,1; 3,0 32,7; 0,6	199	1,95/2,03 2,26/2,35 1,81/1,89	2 2	10 13	20 26	1—8 1—10	— —	3-132	5,57 5,78	319 317	0,69	0,331 0,585	2,07 2,79 4,68	84
3	7,7; 5,1; 3,0 32,7; 0,6	199	1,81/1,89 2,26/2,35	2 1	16 21	32 21	1—8 1—10	2 2	3-133	4,82 4,71	325 326	0,75	0,196 0,33	6,26 6,35	84

5. Прокладка в лобовой части — пленкоэлектрокартон на полиэтилентерефталатной пленке толщиной 0,27 мм. Второе исполнение — электрокартон ЭВ толщиной 0,15 мм и стеклолакоткань ЛСБ толщиной 0,2 мм, склеенные вместе лаком ТГФ-8.

6. Клинь — дерево твердой породы пропитанное.

7. Форму пазов статора и ротора и данные обмотки ротора см. табл. 1-148.

4-го габарита, ремонтируемых с применением алюминиевых проводов

Таблица 2-29

тор															Ротор
q_1	Размеры паза $b; b''$ $h; e$	$Q_{s1},$ $мм^2$	d/d'	m_1	w_{k1}	$n_{\theta 1}$	y_1	a_1	Схема обмотки (рис. №)	$j_1,$ $а/мм^2$	$AS_1,$ $а/см$	$l_{m1},$ $м$	$r_1, ом$	$G_1, кг$	z_2
3	7,2; 3,2 22,3; 1,5	150	1,45/1,53 1,56/1,64 1,35/1,43	2 1 1	9 16 21	36 32 42	1—9	— — —	3-3, 3-47	4,87 4,88 4,95	216 222 222	0,530	0,485 1,49 2,61	1,61 1,65 1,64	26
3	7,2; 3,2 22,3; 1,5	150	1,68/1,76 1,74/1,82 1,5/1,58	2 1 1	7 13 17	28 26 34	1—9	— — —	3-3, 3-47	4,71 5,08 5,2	218 234 233	0,570	0,302 1,045 1,85	1,8 1,79 1,75	26
2	7,2; 3,2 22,3; 1,5	150	1,68/1,76 1,25/1,33 1,08/1,16	1 1 1	14 24 31	28 48 62	1—6	— — —	3-6, 3-72	5,09 5,35 5,45	235 234 230	0,426	0,9 2,8 4,85	1,35 1,29 1,26	26
2	7,2; 3,2 22,3; 1,5	150	1,3/1,38 1,35/1,43 1,45/1,53 1,2/1,28	2 1 1	11 19 25	44 38 50	1—6	— — —	3-6, 3-72	4,9 4,74 5,26	221 221 221	0,466	0,625 1,8 3,47	1,45 1,49 1,36	26

5. Междуслойная прокладка в пазу — пленкоэлектрокартон на полиэтилентерефталатной пленке толщиной 0,27 мм. Второе исполнение — электрокартон ЭВ толщиной 0,15 мм и стеклолакоткань ЛСБ толщиной 0,2 мм, склеенные вместе лаком ТГФ-8.

6. Прокладка в лобовой части — пленкоэлектрокартон на полиэтилентерефталатной пленке толщиной 0,27 мм. Второе исполнение — электрокартон ЭВ толщиной 0,15 мм и стеклолакоткань ЛСБ толщиной 0,2 мм, склеенные вместе лаком ТГФ-8.

7. Клинь — дерево твердой породы пропитанное.

8. Форму пазов статора и ротора и данные обмотки ротора см. табл. 1-151.

Основные обмоточно-расчетные данные электродвигателей серии «Урал» типа Р

Тип электродвигателя	$P_2, \text{ кВт}$	$U, \text{ в}$	$I, \text{ а}$	$n, \text{ об/мин}$	$\eta, \%$	$\cos \varphi$	$\frac{I_{\text{пуск}}}{I_{\text{н}}}$	$\frac{M_{\text{пуск}}}{M_{\text{н}}}$	$\frac{M_{\text{макс}}}{M_{\text{н}}}$	Статические				
										$\frac{D_{a1}}{D_{t1}}$	$\frac{l_{t1}}{l_{t2}}$	δ	$B_{\delta}, \text{ мм}$	z_1
Р-51/4А	8,0	220/380	28,1/16,2	1 460	85,7	0,87	5,8	1,4	1,9	$\frac{300}{190}$	$\frac{95}{100}$	0,45	7 820	36
		500	12,4										7 700	
Р-52/4А	10,0	220/380	35,0/20,2	1 460	86,1	0,87	5,8	1,4	1,9	$\frac{300}{190}$	$\frac{110}{115}$	0,45	7 700	36
		500	15,4										7 860	
Р-53/4А	12,0	220/380	41,1/23,8	1 460	87,8	0,87	5,8	1,4	1,9	$\frac{300}{190}$	$\frac{135}{140}$	0,45	7 660	36
		500	18,1										7 900	
Р-51/6А	4,5	220/380	16,7/9,7	975	85,0	0,83	6,5	1,5	2,5	$\frac{300}{205}$	$\frac{95}{100}$	0,4	6 920	54
		500	7,35										6 690	
Р-52/6А	6,0	220/380	22,0/12,7	975	85,1	0,84	6,5	1,6	2,5	$\frac{300}{205}$	$\frac{110}{115}$	0,4	7 100	54
		500	9,7										7 290	
Р-53/6А	8,0	220/380	28,8/16,7	975	86,8	0,84	6,5	1,6	2,5	$\frac{300}{205}$	$\frac{135}{140}$	0,4	7 180	54
		500	12,65										7 300	
Р-51/8А	4,0	220/380	16,5/9,55	725	81,5	0,78	4,7	1,1	2,0	$\frac{300}{205}$	$\frac{95}{100}$	0,4	7 000	54
		500	7,25										7 000	
Р-53/8А	5,2	220/380	21,1/12,25	725	83,7	0,77	4,8	1,1	1,9	$\frac{300}{205}$	$\frac{135}{140}$	0,4	6 570	54
		500	9,3										6 450	

Примечания: 1. Изоляцию электродвигателей выполнять по классу нагревостойкости Е.

2. Обмотку статора выполнять проводом марок ПЭВА-2, ПЭЛРА-2 или ПЭТВА.

3. Обмотка статора в заводском исполнении двухслойная.

4. Изоляция паза статора — два слоя пленкоэлектрокартона на полиэтилентерефталатной пленке толщиной по 0,27 мм. Второе исполнение: пленкоэлектрокартон на полиэтилентерефталатной пленке толщиной 0,27 мм; стеклолакоткань ЛСБ толщиной 0,2 мм. Третье исполнение: электрокартон ЭВ толщиной 0,15 мм; гибкий слюдинит ГСС толщиной 0,2 мм; стеклолакоткань ЛСБ толщиной 0,2 мм.

5-го габарита, ремонтируемых с применением алюминиевых проводов

тор															Ротор
q_1	Размеры паза $\frac{b; b''}{h; e}$	$Q_{s1},$ $мм^2$	d/d'	m_1	$w_{к1}$	$n_{\partial 1}$	y_1	a_1	Схема обмотки (рис. №)	$j_1,$ $a/мм^2$	$AS_1,$ $a/см$	$l_{m1},$ $м$	$r_1, ом$	$G_1,$ $кг$	z_2
3	$\frac{8,6; 3,2}{24,8; 1,5}$	200	1,45/1,53	2	12	48	1-9	—	3-3, 3-47	4,9	235	0,62	0,755	2,51	26
			1,81/1,89	1	16	32		—		4,83	239		1,3	2,58	
3	$\frac{8,6; 3,2}{24,8; 1,5}$	200	1,62/1,7	1	21	42	1-9	2	3-4, 3-48	4,9	256	0,65	0,557	2,86	26
			1,4/1,48	1	27	54		2		5,0	251		0,958	2,77	
3	$\frac{8,6; 3,2}{24,8; 1,5}$	200	1,74/1,82	2	9	36	1-8—	—	3-3, 3-44	5,0	258	0,652	0,414	2,83	26
			1,5/1,58	2	11	44	1-9	—	3-3, 3-47	5,11	240	0,700	0,732	2,78	
3	$\frac{7,2; 3,2}{28,3; 1,5}$	193	1,4/1,48	1	25	50	1-9	2	3-7, 3-88	3,15	203	0,534	1,09	3,17	64
			1,74/1,82	1	17	34		—	3-6, 3-87	3,09	210		1,92	3,29	
3	$\frac{7,2; 3,2}{28,3; 1,5}$	193	1,56/1,64	1	21	42	1-9	2	3-7, 3-88	3,32	224	0,564	0,78	3,46	64
			1,35/1,43	1	27	54		2		3,38	219		1,34	3,36	
3	$\frac{7,2; 3,2}{28,3; 1,5}$	193	1,74/1,82	1	17	34	1-9	2	3-7, 3-88	3,50	237	0,614	0,552	3,78	64
			1,5/1,58	2	11	44		—	3-6, 3-87	3,58	233		0,965	3,66	
$2\frac{1}{4}$	$\frac{7,2; 3,2}{28,3; 1,5}$	193	1,81/1,89	1	16	32	1-7	—	3-10, 3-117	3,71	256	0,475	1,49	2,97	64
			1,56/1,64	1	21	42		—		3,79	255		2,63	2,92	
$2\frac{1}{4}$	$\frac{7,2; 3,2}{28,3; 1,5}$	193	1,45/1,53	2	12	48	1-7	—	3-10, 3-117	3,7	247	0,555	1,01	3,37	64
			1,81/1,89	1	16	32		—		3,62	250		1,74	3,47	

5. Междуслойная прокладка в пазу — пленкоэлектрокартон на полиэтилентерефталатной пленке толщиной 0,27 мм. Второе исполнение — электрокартон ЭВ толщиной 0,15 мм и стеклолакоткань ЛСБ толщиной 0,2 мм, склеенные вместе лаком ТГФ-8.

6. Прокладка в лобовой части — пленкоэлектрокартон на полиэтилентерефталатной пленке толщиной 0,27 мм. Второе исполнение — электрокартон ЭВ толщиной 0,15 мм и стеклолакоткань ЛСБ толщиной 0,2 мм, склеенные вместе лаком ТГФ-8.

7. Клинь — дерево твердой породы пропитанное.

8. Форму пазов статора и ротора и данные обмотки ротора см. табл. 1-152.

Приведенные в табл. 2-10—2-30 данные действительны для электродвигателей, выпущенных заводами-изготовителями с обмотками как из медного, так и из алюминиевого обмоточного провода. Для электродвигателей, выпущенных с обмотками из алюминиевого обмоточного провода, приведены заводские обмоточные данные.

Для остальных электродвигателей обмоточные данные определены по вышеизложенной методике, разработанной Центральным конструкторско-технологическим бюро по ремонту электрооборудования Всесоюзного объединения Главэлектроремонт.

Обозначения величин и их размерностей, применяемых в таблицах 2-10—2-30, приведены в § 1-3.

Данные конструкции пазовой изоляции для удобства персонала, занимающегося ремонтом электродвигателей, приведены выше, в таблицах обмоточных данных.

При разработке материалов по применению алюминиевых обмоточных проводов вместо медных при капитальном ремонте асинхронных электродвигателей Центральным конструкторско-технологическим бюро по ремонту электрооборудования Всесоюзного объединения Главэлектроремонт использованы материалы ВНИИ электромеханики и заводов — изготовителей электродвигателей.

СХЕМЫ ОБМОТОК

3-1. ОБЩИЕ СВЕДЕНИЯ

Рассматриваемые в этой главе схемы статорных и роторных обмоток (рис. 3-1—3-167) охватывают все односкоростные и многоскоростные электродвигатели, обмоточно-расчетные данные которых представлены в таблицах гл. 1 и 2.

Для удобства отыскания нужной схемы обмоток номера рисунков схем для каждого типа и исполнения электродвигателей приведены выше, в таблицах обмоточно-расчетных данных.

Приведенные схемы обмоток пригодны для любых электродвигателей, имеющих аналогичные параметры.

В результате обобщения опыта ремонтных организаций для однослойной концентрической обмотки выбрана развернутая круговая схема, а для двухслойной обмотки два вида схем — упрощенная круговая и развернутая. Это объясняется тем, что в упрощенных круговых схемах показаны только межгрупповые соединения без соединений между катушками; эти схемы просты, наглядны и удобны, они справедливы для всех двигателей, имеющих одинаковое число полюсов и параллельных ветвей независимо от числа пазов и шага обмотки. Поэтому в таблицах основных обмоточно-расчетных данных для каждого электродвигателя с двухслойной обмоткой приведены два рисунка схем обмоток — первый относится к упрощенной круговой схеме, а второй — к развернутой схеме.

В соответствии с установившейся ремонтной практикой во всех приведенных схемах статорных обмоток приняты нумерация пазов и катушечных групп, а также направление обхода межкатушечных и межгрупповых соединений по часовой стрелке, а начала фаз — первой C_1 , второй C_2 и третьей C_3 — в односкоростных обмотках присоединены соответственно к началам первой, третьей и пятой катушечных групп.

Схемы обмоток многоскоростных электродвигателей приведены как для единой серии А и АО, так и для единой серии А2 и АО2; такие электродвигатели, рассчитанные на две скорости вращения, имеют одну двухслойную обмотку статора с возможностью переключения ее на два числа полюсов с отношением скоростей 1:2; электродвигатели с числом полюсов 6 и 4 с отношением скоростей, не равным 1:2, имеют две отдельные обмотки, расположенные в одних и тех же пазах. Электродвигатели на три и четыре скорости вращения имеют две отдельные двухслойные обмотки статора; при этом одна из обмоток электродвигателей, рассчитанных на три скорости вращения, переключается на два числа полюсов с отношением скоростей 1:2, а вторая имеет промежуточное число полюсов. У электродвигателей на четыре скорости вращения обе обмотки переключаются на два числа полюсов.

В двухскоростных обмотках с соотношением скоростей 1:2 и соединением треугольник — двойная звезда начала фаз при включении в треугольник (меньшая скорость вращения) присоединены соответственно к первой, пятой и девятой катушечным группам. На некоторых заводах схемы обмоток двигателей выполняются таким образом, что нумерация катушечных

групп не совпадает с направлением обхода; поэтому начала второй и третьей фаз присоединяются не к третьей и пятой катушечным группам в обмотках односкоростных двигателей и не к пятой и девятой катушечным группам в обмотках двухскоростных двигателей; такие схемы нами не рекомендуются и в книге не приведены.

Во всех схемах двухскоростных обмоток показано включение электродвигателя, соответствующее каждой скорости вращения, а направление тока указано для меньшего числа полюсов. Обозначения выводных концов при включении в треугольник и двойную звезду выбраны таким образом, чтобы обеспечить одинаковое направление вращения электродвигателя при любой скорости.

Упрощенные круговые схемы приведены для трех способов соединения фаз: звезда — треугольник с выводом шести концов; звезда с выводом трех концов; треугольник с выводом трех концов. В таблицах, приведенных на чертежах упрощенных круговых схем, даны соединения концов катушечных групп в фазах и обмоток фаз при различных способах включения.

Развернутые схемы двухслойных статорных обмоток показаны для соединения фаз звезда — треугольник с выводом шести концов, при этом во избежание загромождения чертежа направление тока показано только для одной фазы.

В развернутых схемах двухслойных стержневых роторных обмоток также приведена табличная запись.

Для роторов электродвигателей единой серии типов АК2 8 и 9-го габаритов и некоторых модернизированных крановых электродвигателей применяются схемы, в которых обратные переемы заменены стержнями (рис. 3-65, 3-66, 3-107, 3-137; 3-149). Эти стержни помещены в паз по одному, а формируются и расклиниваются так, что переходят из нижнего слоя в верхний. При таких схемах начала фаз располагаются в одной лобовой части, а концы фаз — в другой.

Для обмоток с дробным числом q (число пазов на полюс и фазу) приведено чередование катушек по всей обмотке.

ОБОЗНАЧЕНИЯ

1. В схемах: первая фаза A — утолщенная линия; вторая фаза B — линия средней толщины; третья фаза C — тонкая линия; соединения нулевой точки — штрих-пунктирная линия; слой обмотки, лежащей на дне паза, — пунктирная линия; направление тока — стрелка; пазы и катушечные группы обозначаются порядковым номером (в упрощенных круговых схемах порядковый номер поставлен у начала катушечной группы, а стрелка направления тока — у ее конца).

2. В таблицах упрощенных круговых схем: начала катушечных групп обозначаются буквой H , а конец — буквой K , с указанием номера катушечной группы.

Соединение выводов групп между собой обозначено стрелкой; количество групп, соединенных параллельно, показано фигурной скобкой.

3-2. СХЕМЫ ОБМОТОК

Для отыскания нужной схемы обмотки по ее параметрам приводится табл. 3-1, представляющая собой указатель, в котором все схемы сгруппированы по числу полюсов $2p$, числу пазов z , шагу по пазам y и числу параллельных ветвей a .

Указатель схем статорных и роторных односкоростных и многоскоростных обмоток

№ рисунка	Тип обмотки	Число полюсов $2p$	Число пасов z	Шаг по пазам y	Число па- раллельных ветвей a	Вид схемы
3-1	Двухслойная	2	—	—	1	Упрощенная кру- говая
3-2	То же		—	—	2	То же
3-3	" "	4	—	—	1	" "
3-4			—	—	2	
3-5			—	—	4	
3-6	" "	6	—	—	1	" "
3-7			—	—	2	
3-8			—	—	3	
3-9			—	—	6	
3-10	" "	8	—	—	1	" "
3-11			—	—	2	
3-12			—	—	4	
3-13	" "	10	—	—	2	" "
3-14			—	—	5	
3-15			—	—	10	
3-16	" "	4/2	—	—	1	" "
3-17	" "	8/4	—	—	1	" "
3-18			—	—	2	
3-19	" "	12/6	—	—	1	Упрощенная кру- говая
3-20	" "		—	—	3	
3-21	Однослойная	2	24	Диаметраль- ный 1—9	1	Развернутая кру- говая статорная
3-22	Двухслойная				1	
3-23	То же				1	
3-24	" "				2	
3-25	Одно-двухслойная				1	
3-26	Двухслойная		30	1—10	1	Развернутая ста- торная
3-27	То же			1—11	1	
3-28	" "		36	1—11	1	Развернутая ста- торная
3-29	" "			1—12	1	
3-30	" "			1—12	2	
3-31	" "			1—13	1	
3-32	" "			1—13	2	
3-33	" "			1—14	2	
3-34	" "		42	1—15	2	Развернутая ста- торная
3-35	" "			1—16	1	
3-36	" "			1—16	2	
3-37	" "		48	1—16	2	Развернутая ста- торная
3-38	" "			1—18	2	
3-39	Однослойная	4	24	Диаметраль- ный 1—6	1	Развернутая кру- говая статорная
3-40	Двухслойная				1	

№ рисунка	Тип обмотки	Число полюсов $2p$	Число пазов z	Шаг по пазам y	Число парал- лельных вет- вей a	Вид схемы
3-41	Однослойная	4	36	Диаметральный	1	Развернутая кру- говая статорная
3-42	То же			Диаметральный*	1	То же
3-43	" "			Диаметральный	2	" "
3-44	Двухслойная			1—8	1	Развернутая ста- торная
3-45	То же			1—8	2	То же
3-46	" "			1—8	4	" "
3-47	" "			1—9	1	" "
3-48	" "			1—9	2	" "
3-49	Однослойная шаблонная (вразвалку)			1—8, 1—10	1	" "
3-50	То же			1—8, 1—10	2	" "
3-51	Однослойная шаблонная (вразвалку)	4	48	1—10, 1—12	1	" "
3-52	" "			1—10, 1—12	2	" "
3-53	Двухслойная			1—10	4	" "
3-54	То же			1—11	1	Развернутая
3-55	" "			1—11	2	Развернутая ста- торная
3-56	" "			1—11	4	То же
3-57	" "			1—13	1	Развернутая ро- торная
3-58	Двухслойная концентриче- ская			1—8, 1—10, 1—12, 1—14	4	Развернутая ста- торная
3-59	То же			1—8, 1—10, 1—12, 1—14	2	То же
3-60	Двухслойная	4	54	1—14	1	Развернутая ро- торная
3-61	То же		60	1—13	4	Развернутая ста- торная
3-62	" "			1—14	4	То же
3-63	" "			1—16	1	Развернутая ро- торная
3-64	Двухслойная концентриче- ская			1—9, 1—11, 1—13, 1—15, 1—17	4	Развернутая ста- торная
3-65	Двухслойная стержневая			1—16	1	Развернутая ро- торная
3-66	То же		72	1—19	1	То же
3-67	" "			1—19	2	" "
3-68	Двухслойная	6	27	1—5	1	Развернутая
3-69	Однослойная		36	Диаметральный	1	Развернутая кру- говая статорная
3-70	То же			Диаметральный*	1	То же
3-71	" "			Диаметральный	3	" "
3-72	Двухслойная			1—6	1	Развернутая
3-73	То же			1—6	2	Развернутая ста- торная
3-74	Однослойная шаблонная (вразвалку)			1—6	1	То же
3-75	То же			1—6	2	" "
3-76	Однослойная			1—7	1	Развернутая ро- торная
3-77	Однослойная двухплоскост- ная			1—8, 2—7	1	То же
3-78	То же			1—8, 2—7	3	" "

№ рисунка	Тип обмотки	Число полюсов $2p$	Число пазов z	Шаг по пазам y	Число парал- лельных вет- вей a	Вид схемы
3-79 3-80	Двухслойная То же	6	45	1—7 1—8	1 1	Развернутая Развернутая ста- торная
3-81	" "		48	1—9	1	Развернутая ста- торная
3-82	" "		54	1—8	1	Развернутая ста- торная
3-83	" "			1—8*	1	" "
3-84	" "			1—8	2	" "
3-85	" "			1—8*	2	" "
3-86	" "			1—8	3	" "
3-87	" "			1—9	1	" "
3-88	" "			1—9	2	" "
3-89	" "			1—9	3	" "
3-90	" "			1—10	1	Развернутая ро- торная
3-91	Однослойная шаблонная (вразвалку)			1—8, 1—10	1	Развернутая ста- торная
3-92	То же			1—8, 1—10	3	То же
3-93	Двухслойная		60	1—11	1	Развернутая ро- торная
3-94	То же		72	1—10	3	Развернутая ста- торная
3-95	" "			1—10	6	То же
3-96	" "			1—11*	1	" "
3-97	" "			1—11	2	" "
3-98	Двухслойная			1—11*	2	Развернутая ста- торная
3-99	То же			1—11	3	То же
3-100	" "			1—11*	3	" "
3-101	" "			1—11	6	" "
3-102	" "			1—12	3	" "
3-103	" "			1—12	6	" "
3-104	Двухслойная концентри- ческая			1—8, 1—10, 1—12, 1—14	2	" "
3-105	То же			1—8, 1—10, 1—12, 1—14	3	" "
3-106	" "			1—8, 1—10, 1—12, 1—14	6	" "
3-107	Двухслойная стержневая	8	81	1—15, 1—14	1	Развернутая ро- торная
3-108	Двухслойная		90	1—16	1	То же
3-109	То же		36	1—5	1	Развернутая
3-110	" "		48	1—6	1	То же
3-111	Однослойная шаблонная (вразвалку)			1—6	1	Развернутая ста- торная
3-112	Двухслойная			1—6	2	Развернутая ста- торная
3-113	Однослойная шаблонная (вразвалку)			1—6	2	То же
3-114	Однослойная			1—7	1	Развернутая ро- торная
3-115	То же			1—7	2	То же
3-116	Однослойная двухплоскост- ная			1—8, 2—7	2	" "

№ рисунка	Тип обмотки	Число полюсов $2p$	Число пазов z	Шаг по пазам y	Число парал- лельных вет- вей a	Вид схемы
3-117	Двухслойная	8	54	1—7	1	Развернутая ста- торная
3-118	То же		54	1—7	2	Развернутая
3-119	" "			1—8	1	Развернутая ста- торная
3-120	" "		60	1—7	1	То же
3-121	" "			1—7	2	" "
3-122	" "			1—8	1	Развернутая ро- торная
3-123	" "			1—8	1	Развернутая ста- торная
3-124	Однослойная			1—8, 1—9	2	Развернутая ро- торная
3-125	Двухслойная		72	1—8	1	Развернутая ста- торная
3-126	То же			1—8	2	То же
3-127	" "			1—8	4	" "
3-128	" "			1—9	2	" "
3-129	" "			1—9	4	" "
3-130	" "			1—9	8	" "
3-131	Двухслойная стержневая			1—10	1	Развернутая ро- торная
3-132	Однослойная шаблонная (вразвалку)			1—8, 1—10	1	Развернутая ста- торная
3-133	То же			1—8, 1—10	2	То же
3-134	Двухслойная концентриче- ская			1—6, 1—8, 1—10	2	" "
3-135	То же			1—6, 1—8, 1—10	4	" "
3-136	Двухслойная	10	84	1—11	1	Развернутая ро- торная
3-137	Двухслойная стержневая		84	1—12, 1—11	1	То же
3-138	Двухслойная стержневая			1—13	1	" "
3-139	Двухслойная		60	1—6	2	Развернутая ста- торная
3-140	То же			1—6	5	То же
3-141	Двухслойная концентриче- ская			1—5, 1—7	2	" "
3-142	То же			1—5, 1—7	5	" "
3-143	Двухслойная		75	1—7	5	" "
3-144	То же		90	1—8	5	" "
3-145	" "			1—8	10	" "
3-146	" "			1—9	2	" "
3-147	" "			1—9	5	" "
3-148	" "			1—9	10	" "
3-149	Двухслойная стержневая			1—10	1	Развернутая ро- торная
3-150	То же			1—10	1	То же
3-151	" "	4/2	105	1—12, 1—11	1	" "
3-152	" "		120	1—13	1	" "
3-153	Двухслойная		24	1—7	1	Развернутая ста- торная

№ рисунка	Тип обмотки	Число полюсов $2p$	Число пазов z	Шаг по пазам y	Число парал- лельных вет- вей a	Вид схемы
3-154	Двухслойная	4/2	36	1—10	1	Развернутая ста- торная То же " "
3-155	То же			1—10	1	
3-156	" "			1—11	1	
3-157	" "	8/4	36	1—6	1	" "
3-158	" "		54	1—7	1	" "
3-159	" "			1—8	1	" "
3-160	" "		72	1—10	1	" "
3-161	" "			1—10	2	" "
3-162	" "	12/6	54	1—5	1	" "
3-163	" "			1—6	1	" "
3-164	" "			1—6	3	" "
3-165	" "			1—8	1	" "
3-166	" "		72	1—7	1	" "
3-167	" "			1—7	3	" "

* Одна из обмоток многоскоростного электродвигателя.

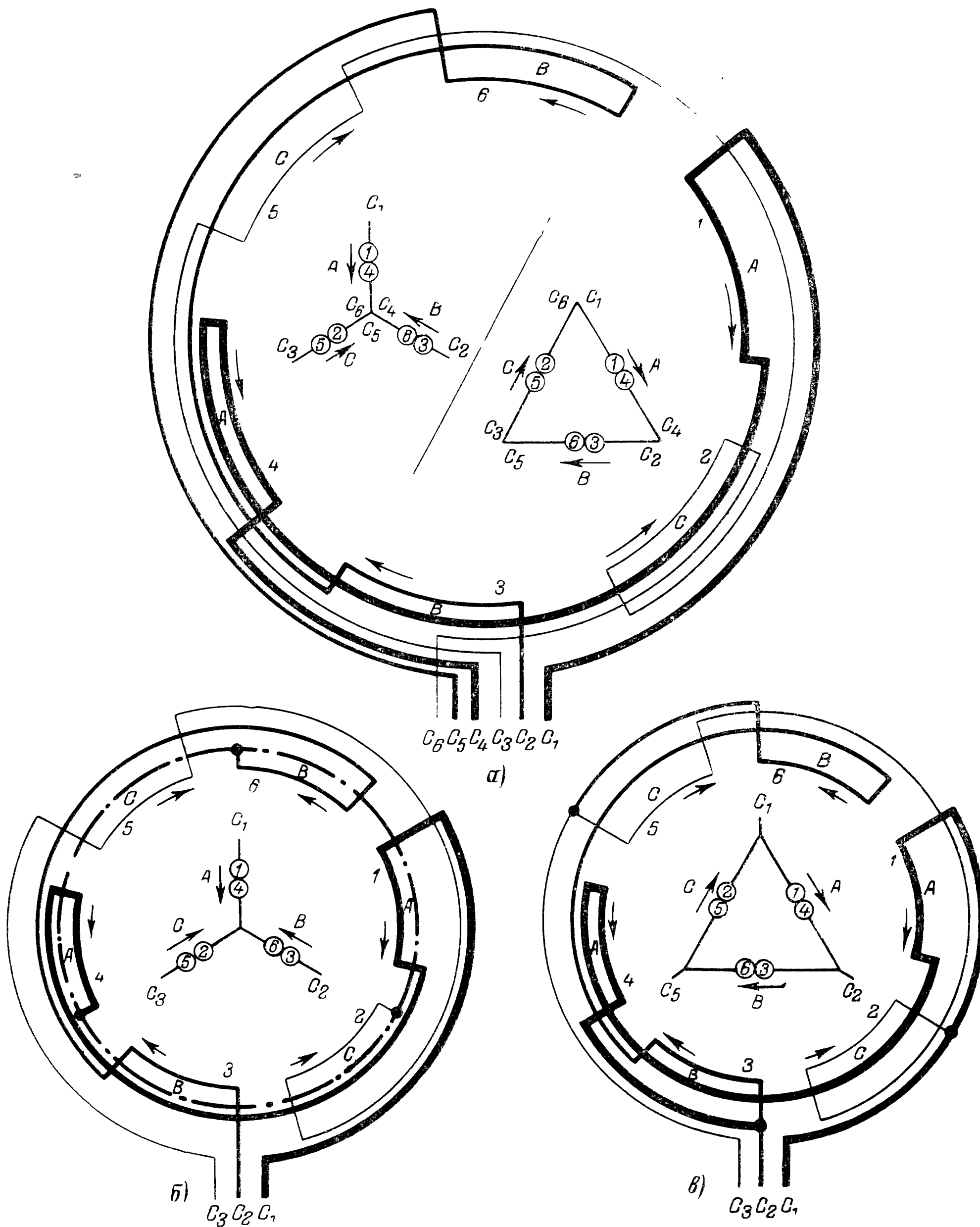


Рис. 3-1. Упрощенная круговая схема двухслойной обмотки при $2p=2$; $a=1$.

a — общая схема для соединения фаз в λ или в Δ ; *б* — соединение фаз в λ ; *в* — соединение фаз в Δ .

Соединения в фазах			Фазы	Соединения фаз		
A	B	C		λ/Δ 6 выводов	λ 3 вывода	Δ 3 вывода
$H_1K_1 \rightarrow K_4H_4$	$H_3K_3 \rightarrow K_6H_6$	$H_5K_5 \rightarrow K_2H_2$	A	$C_1 \rightarrow H_1$ $C_4 \rightarrow H_4$	$C_1 \rightarrow H_1$	$C_1 \rightarrow H_1 \rightarrow H_2$
			B	$C_2 \rightarrow H_3$ $C_5 \rightarrow H_6$	$C_2 \rightarrow H_3$	$C_2 \rightarrow H_3 \rightarrow H_4$
			C	$C_3 \rightarrow H_5$ $C_6 \rightarrow H_2$	$C_3 \rightarrow H_5$	$C_3 \rightarrow H_5 \rightarrow H_6$
			Нулевая точка		$H_4 \rightarrow H_6 \rightarrow H_2$	

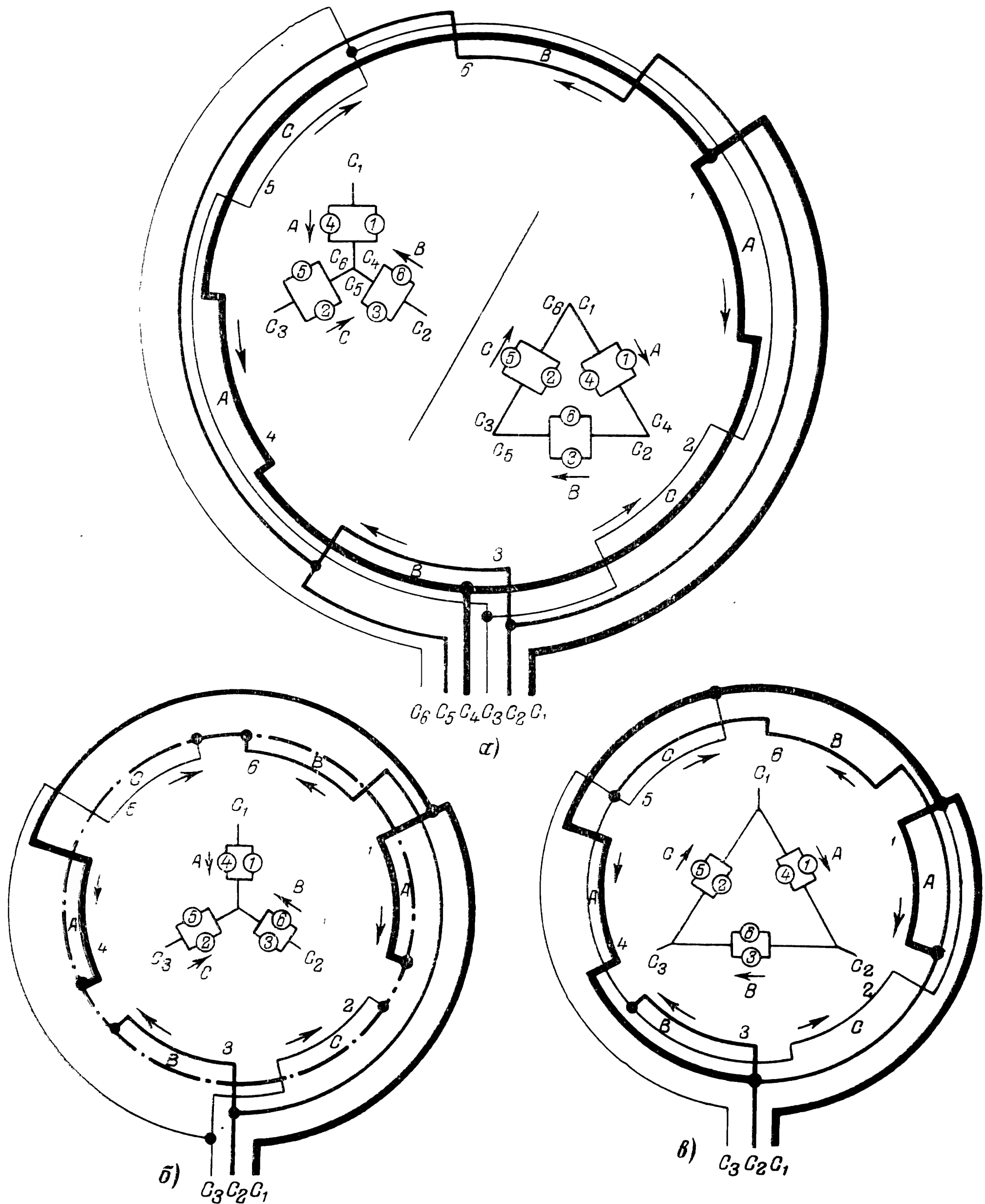


Рис. 3-2. Упрощенная круговая схема двухслойной обмотки при $2p=2$; $a=2$.

a — общая схема для соединения фаз в λ или в Δ ; *б* — соединение фаз в λ ; *в* — соединение фаз в Δ .

Соединения в фазах			Фазы	Соединения фаз		
A	B	C		λ/Δ 6 выводов	λ 3 вывода	Δ 3 вывода
$\left. \begin{matrix} H_1 K_1 \\ K_4 H_4 \end{matrix} \right\}$ парал- лельно	$\left. \begin{matrix} H_3 K_3 \\ K_6 H_6 \end{matrix} \right\}$ парал- лельно	$\left. \begin{matrix} H_5 K_5 \\ K_2 H_2 \end{matrix} \right\}$ парал- лельно	A	$C_1 \rightarrow H_1 \rightarrow K_4$ $C_4 \rightarrow K_1 \rightarrow H_4$	$C_1 \rightarrow H_1 \rightarrow K_4$	$C_1 \rightarrow H_1 \rightarrow K_4 \rightarrow K_5 \rightarrow H_5$
			B	$C_2 \rightarrow H_3 \rightarrow K_6$ $C_5 \rightarrow K_3 \rightarrow H_6$	$C_2 \rightarrow H_3 \rightarrow K_6$	$C_2 \rightarrow H_3 \rightarrow K_6 \rightarrow K_1 \rightarrow H_4$
			C	$C_3 \rightarrow H_5 \rightarrow K_2$ $C_6 \rightarrow K_5 \rightarrow H_2$	$C_3 \rightarrow H_5 \rightarrow K_2$	$C_3 \rightarrow H_5 \rightarrow K_2 \rightarrow K_3 \rightarrow H_6$
			Нулевая точка		$K_1 \rightarrow H_4 \rightarrow K_3 \rightarrow H_6 \rightarrow K_5 \rightarrow H_2$	

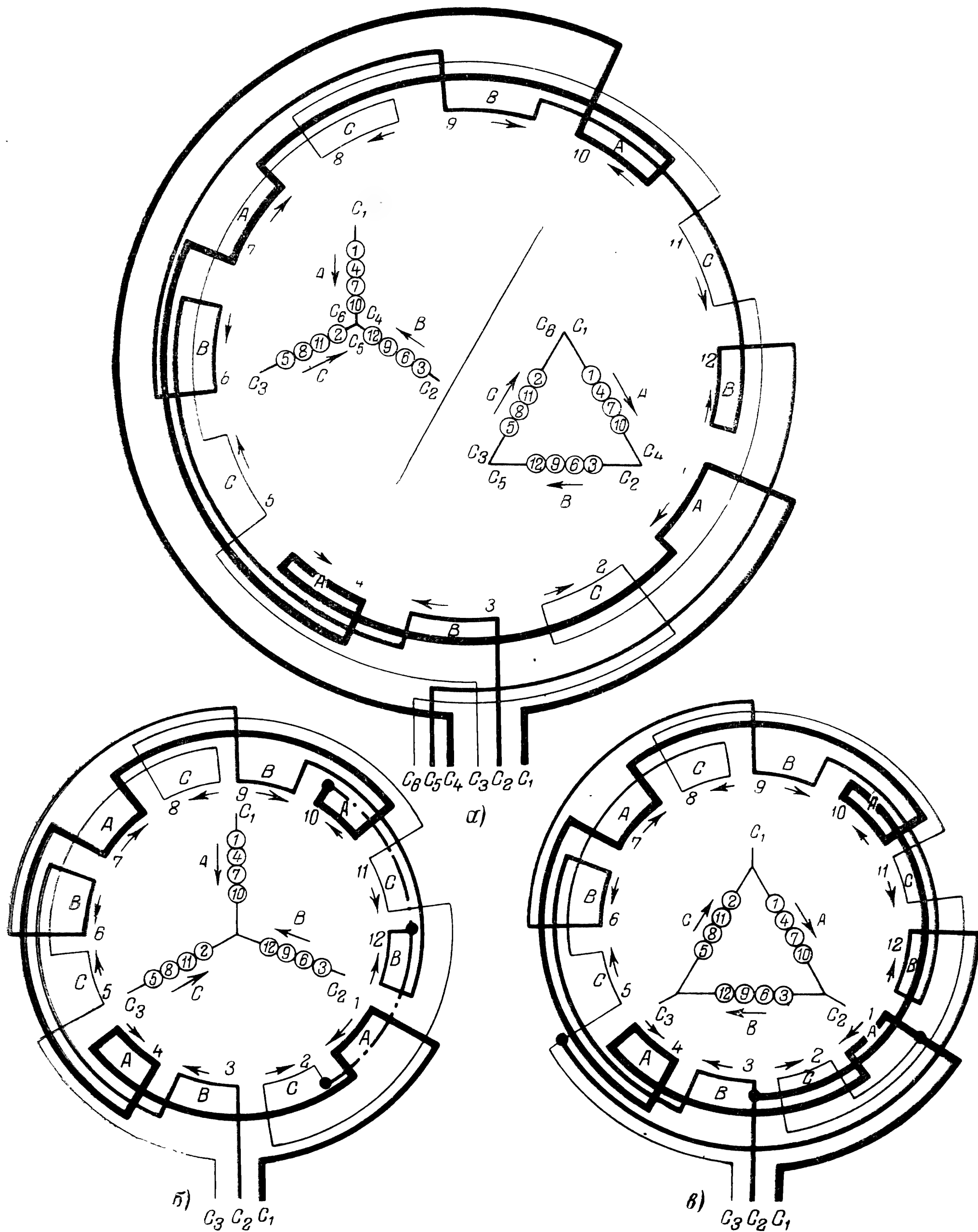


Рис. 3-3. Упрощенная круговая схема двухслойной обмотки при $2p=4$; $a=1$.

a — общая схема для соединения фаз в Δ или в Δ ; $б$ — соединение фаз в Δ ; $в$ — соединение фаз в Δ .

Соединения в фазах			Фазы	Соединения фаз		
A	B	C		Δ/Δ 6 выводов	Δ 3 вывода	Δ 3 вывода
$H_1K_1 \rightarrow K_4H_4 \rightarrow H_7K_7 \rightarrow$ $\rightarrow K_{10}H_{10}$	$H_3K_3 \rightarrow K_6H_6 \rightarrow H_9K_9 \rightarrow$ $\rightarrow K_{12}H_{12}$	$H_5K_5 \rightarrow K_8H_8 \rightarrow H_{11}K_{11} \rightarrow$ $\rightarrow K_2H_2$	A	$C_1 \rightarrow H_1$ $C_4 \rightarrow H_{10}$	$C_1 \rightarrow H_1$	$C_1 \rightarrow H_1 \rightarrow H_2$
			B	$C_2 \rightarrow H_3$ $C_5 \rightarrow H_{12}$	$C_2 \rightarrow H_3$	$C_2 \rightarrow H_3 \rightarrow H_{10}$
			C	$C_3 \rightarrow H_5$ $C_6 \rightarrow H_2$	$C_3 \rightarrow H_5$	$C_3 \rightarrow H_5 \rightarrow H_{12}$
			Нулевая точка		$H_{10} \rightarrow H_{12} \rightarrow H_2$	

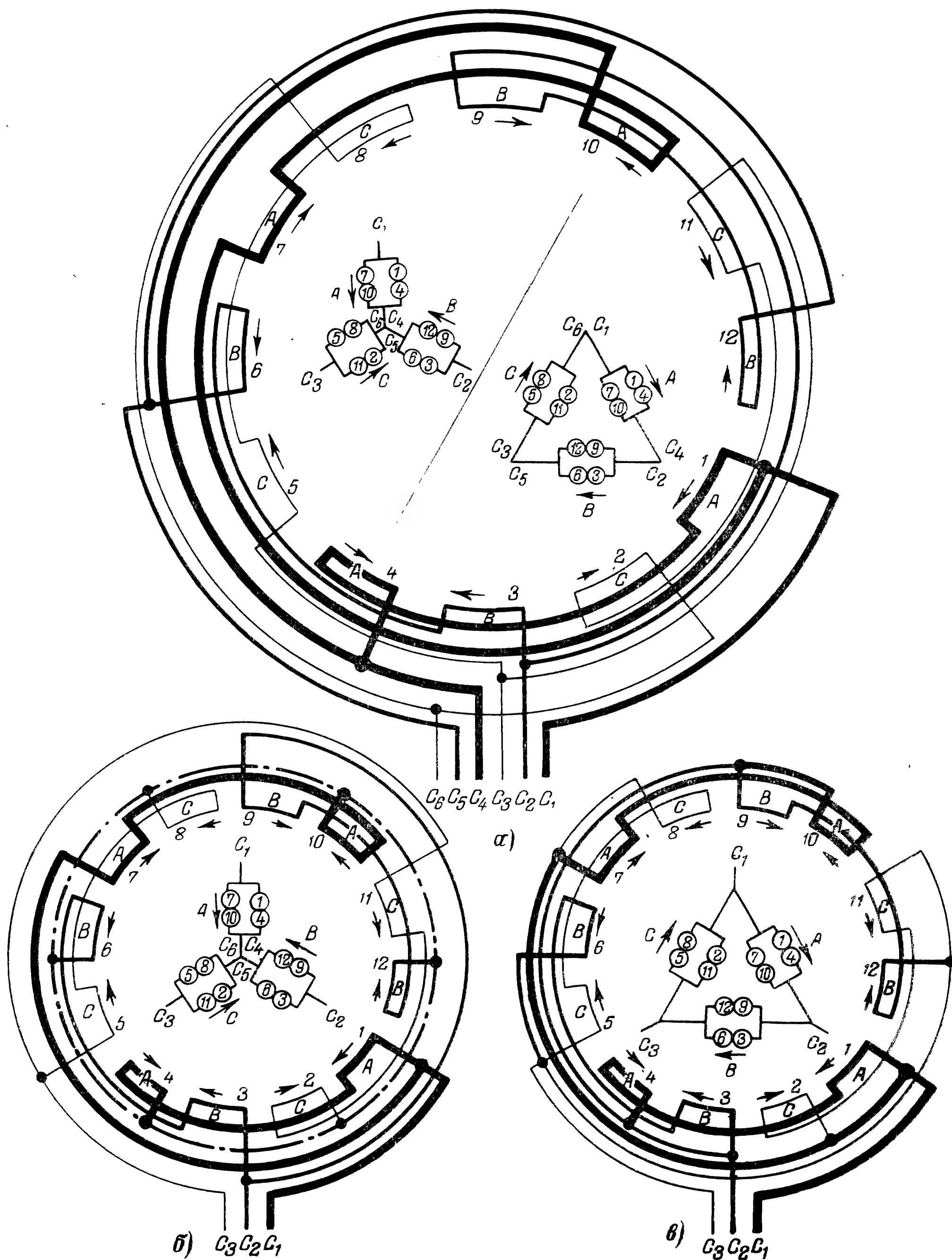


Рис. 3-4. Упрощенная круговая схема двухслойной обмотки при $2p=4$; $a=2$.

a — общая схема для соединения фаз в λ или в Δ ; $б$ — соединение фаз в λ ; $в$ — соединение фаз в Δ .

Соединения в фазах			Фазы	Соединения фаз		
A	B	C		λ/Δ 6 выводов	λ 3 вывода	Δ 3 вывода
$\left. \begin{matrix} H_1K_1 \rightarrow \\ \rightarrow K_4H_4 \\ H_7K_7 \rightarrow \\ \rightarrow K_{10}H_{10} \end{matrix} \right\} \text{ парал-} \\ \text{лельно}$	$\left. \begin{matrix} H_3K_3 \rightarrow \\ \rightarrow K_6H_6 \\ H_9K_9 \rightarrow \\ \rightarrow K_{12}H_{12} \end{matrix} \right\} \text{ парал-} \\ \text{лельно}$	$\left. \begin{matrix} H_5K_5 \rightarrow \\ \rightarrow K_8H_8 \\ H_{11}K_{11} \rightarrow \\ \rightarrow K_2H_2 \end{matrix} \right\} \text{ парал-} \\ \text{лельно}$	A	$C_1 \rightarrow H_1 \rightarrow H_7$ $C_4 \rightarrow H_4 \rightarrow H_{10}$	$C_1 \rightarrow H_1 \rightarrow H_7$	$C_1 \rightarrow H_1 \rightarrow H_7 \rightarrow H_8 \rightarrow H_2$
			B	$C_2 \rightarrow H_3 \rightarrow H_9$ $C_5 \rightarrow H_6 \rightarrow H_{12}$	$C_2 \rightarrow H_3 \rightarrow H_9$	$C_2 \rightarrow H_3 \rightarrow H_9 \rightarrow H_4 \rightarrow H_{10}$
			C	$C_3 \rightarrow H_5 \rightarrow H_{11}$ $C_6 \rightarrow H_8 \rightarrow H_2$	$C_3 \rightarrow H_5 \rightarrow H_{11}$	$C_3 \rightarrow H_5 \rightarrow H_{11} \rightarrow H_5 \rightarrow H_{12}$
			Нуле- вая точка		$H_4 \rightarrow H_{10} \rightarrow H_6 \rightarrow$ $\rightarrow H_{12} \rightarrow H_8 \rightarrow H_2$	

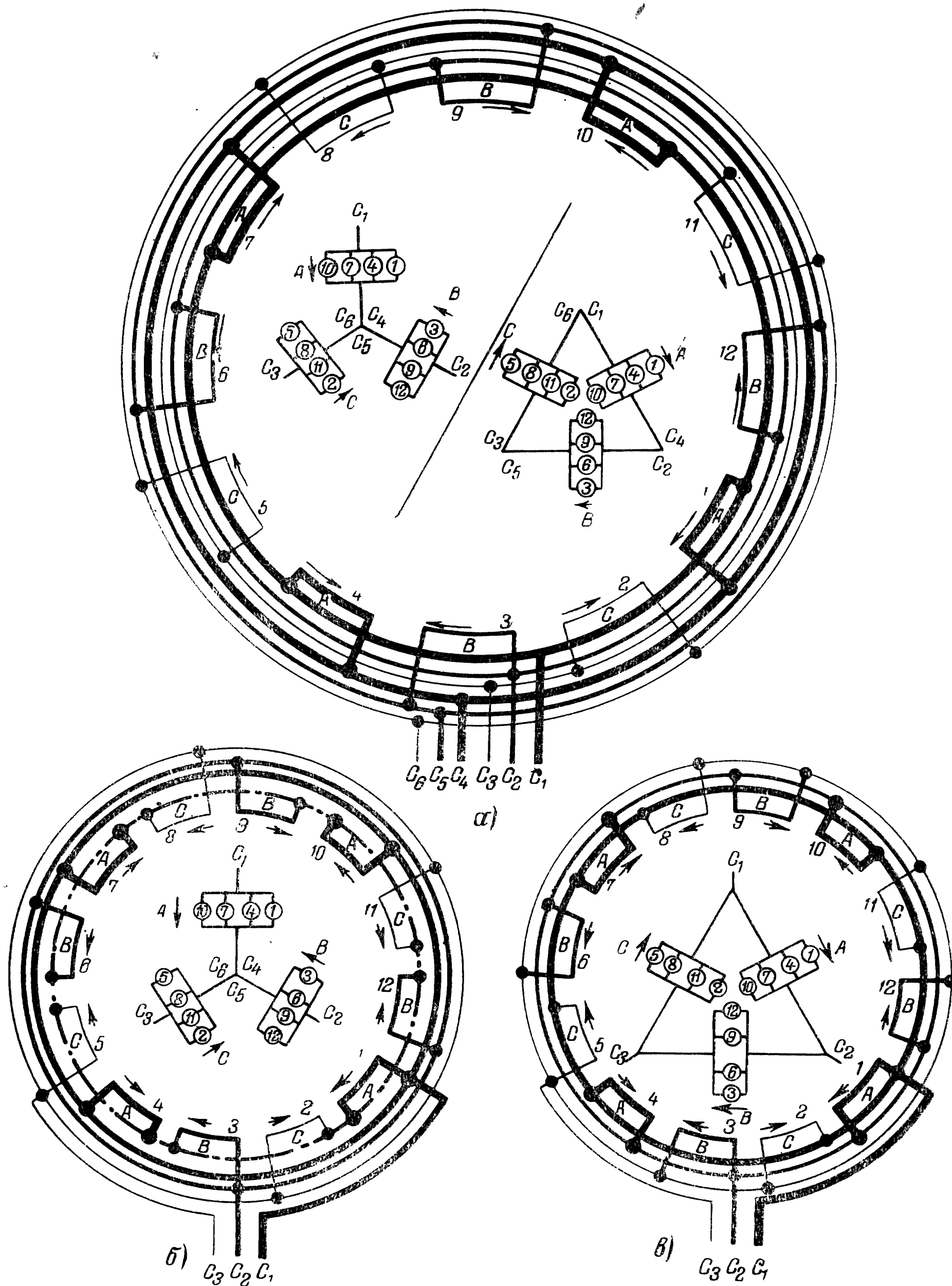


Рис. 3-5. Упрощенная круговая схема двухслойной обмотки при $2p=4$; $a=4$.

a — общая схема для соединения фаз в Λ или в Δ ; b — соединение фаз в Λ ; b' — соединение фаз в Δ .

Соединения в фазах			Фазы	Соединения фаз		
A	B	C		Λ/Δ 6 выводов	Λ 3 вывода	Δ 3 вывода
$\left. \begin{matrix} H_1 K_1 \\ K_4 H_4 \\ H_7 K_7 \\ K_{10} H_{10} \end{matrix} \right\} \text{парал-}$ лельно	$\left. \begin{matrix} H_3 K_3 \\ K_6 H_6 \\ H_9 K_9 \\ K_{12} H_{12} \end{matrix} \right\} \text{парал-}$ лельно	$\left. \begin{matrix} H_5 K_5 \\ K_8 H_8 \\ H_{11} K_{11} \\ K_2 H_2 \end{matrix} \right\} \text{парал-}$ лельно	A	$C_1 \rightarrow H_1 \rightarrow K_4 \rightarrow H_7 \rightarrow K_{10}$ $C_4 \rightarrow K_1 \rightarrow H_4 \rightarrow K_7 \rightarrow H_{10}$	$C_1 \rightarrow H_1 \rightarrow K_4 \rightarrow H_7 \rightarrow K_{10}$	$C_1 \rightarrow H_1 \rightarrow K_4 \rightarrow H_7 \rightarrow K_{10} \rightarrow$ $\rightarrow K_5 \rightarrow H_8 \rightarrow K_{11} \rightarrow H_2$
			B	$C_2 \rightarrow H_3 \rightarrow K_6 \rightarrow H_9 \rightarrow K_{12}$ $C_5 \rightarrow K_3 \rightarrow H_6 \rightarrow K_9 \rightarrow H_{12}$	$C_2 \rightarrow H_3 \rightarrow K_6 \rightarrow H_9 \rightarrow K_{12}$	$C_2 \rightarrow H_3 \rightarrow K_6 \rightarrow H_9 \rightarrow K_{12} \rightarrow$ $\rightarrow K_1 \rightarrow H_4 \rightarrow K_7 \rightarrow H_{10}$
			C	$C_3 \rightarrow H_5 \rightarrow K_8 \rightarrow H_{11} \rightarrow K_2$ $C_6 \rightarrow K_5 \rightarrow H_8 \rightarrow K_{11} \rightarrow H_2$	$C_3 \rightarrow H_5 \rightarrow K_8 \rightarrow H_{11} \rightarrow K_2$	$C_3 \rightarrow H_5 \rightarrow K_8 \rightarrow H_{11} \rightarrow K_2 \rightarrow$ $\rightarrow K_3 \rightarrow H_6 \rightarrow K_9 \rightarrow H_{12}$
			Нулевая точка		$K_1 \rightarrow H_4 \rightarrow K_7 \rightarrow H_{10} \rightarrow K_3 \rightarrow$ $\rightarrow H_6 \rightarrow K_9 \rightarrow H_{12} \rightarrow K_5 \rightarrow$ $\rightarrow H_8 \rightarrow K_{11} \rightarrow H_2$	

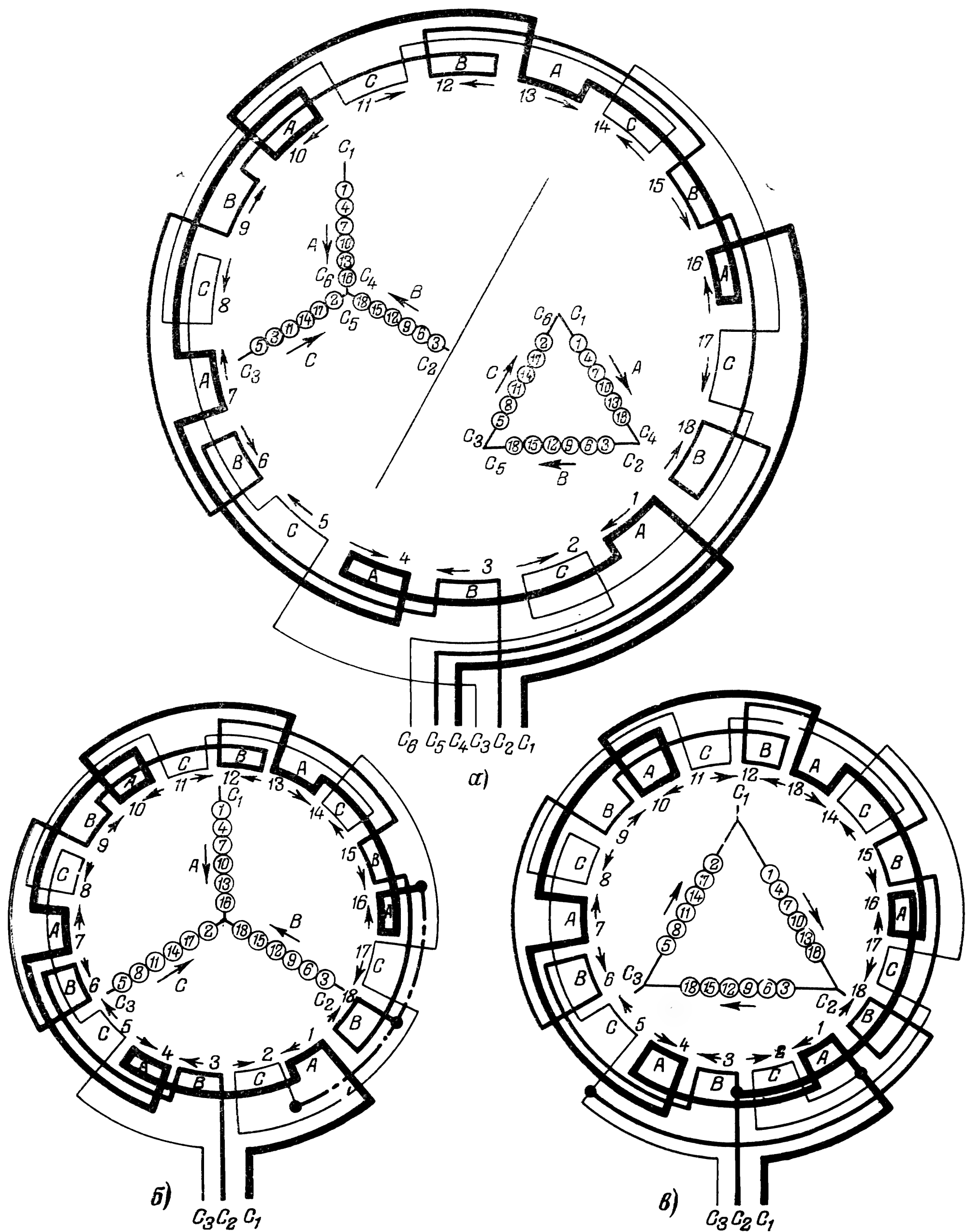


Рис. 3-6. Упрощенная круговая схема двухслойной обмотки при $2p=6$; $a=1$.

a — общая схема для соединения фаз в λ или в Δ ; b — соединение фаз в λ ; b — соединение фаз в Δ .

Соединение в фазах			Фазы	Соединения фаз		
A	B	C		λ/Δ 6 выводов	λ 3 вывода	Δ 3 вывода
$H_1K_1 \rightarrow K_4H_4 \rightarrow H_7K_7 \rightarrow$ $\rightarrow K_{10}H_{10} \rightarrow H_{13}K_{13} \rightarrow$ $\rightarrow K_{16}H_{16}$	$H_3K_3 \rightarrow K_6H_6 \rightarrow H_9K_9 \rightarrow$ $\rightarrow K_{12}H_{12} \rightarrow H_{15}K_{15} \rightarrow$ $\rightarrow K_{18}H_{18}$	$H_5K_5 \rightarrow K_8H_8 \rightarrow H_{11}K_{11} \rightarrow$ $\rightarrow K_{14}H_{14} \rightarrow H_{17}K_{17} \rightarrow K_2H_2$	A	$C_1 \rightarrow H_1$ $C_4 \rightarrow H_{16}$	$C_1 \rightarrow H_1$	$C_1 \rightarrow H_1 \rightarrow H_2$
			B	$C_2 \rightarrow H_3$ $C_5 \rightarrow H_{18}$	$C_2 \rightarrow H_3$	$C_2 \rightarrow H_3 \rightarrow H_{16}$
			C	$C_3 \rightarrow H_5$ $C_6 \rightarrow H_2$	$C_3 \rightarrow H_5$	$C_3 \rightarrow H_5 \rightarrow H_{18}$
			Нулевая точка		$H_{16} \rightarrow H_{18} \rightarrow H_2$	

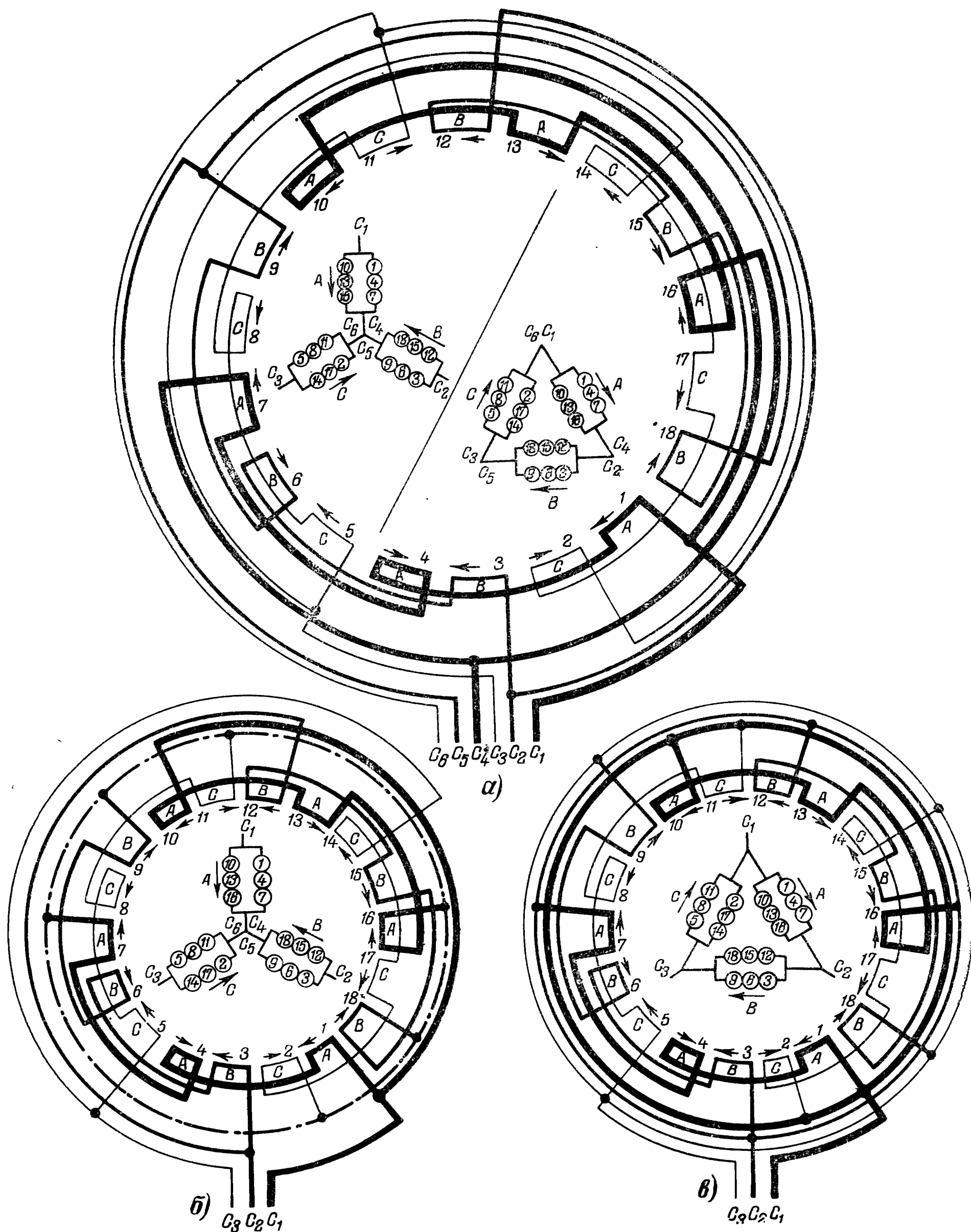


Рис. 3-7. Упрощенная круговая схема двухслойной обмотки при $2p=6$; $a=2$.

a — общая схема для соединения фаз в Δ или в \star ; $б$ — соединение фаз в \star ; $в$ — соединение фаз в Δ .

Соединения в фазах			Фазы	Соединения фаз		
A	B	C		Δ/\star 6 выводов	\star 3 вывода	Δ 3 вывода
$H_1K_1 \rightarrow K_4H_4 \rightarrow$ $\rightarrow H_7K_7$ $K_{10}H_{10} \rightarrow$ $\rightarrow H_{13}K_{13} \rightarrow$ $\rightarrow K_{16}H_{16}$	$H_3K_3 \rightarrow K_6H_6 \rightarrow$ $\rightarrow H_9K_9$ $K_{12}H_{12} \rightarrow$ $\rightarrow H_{15}K_{15} \rightarrow$ $\rightarrow K_{18}H_{18}$	$H_5K_5 \rightarrow K_8H_8 \rightarrow$ $\rightarrow H_{11}K_{11}$ $K_{14}H_{14} \rightarrow$ $\rightarrow H_{17}K_{17} \rightarrow$ $\rightarrow K_2H_2$	A	$C_1 \rightarrow H_1 \rightarrow K_{10}$ $C_4 \rightarrow K_7 \rightarrow H_{16}$	$C_1 \rightarrow H_1 \rightarrow K_{10}$	$C_1 \rightarrow H_1 \rightarrow K_{10} \rightarrow$ $\rightarrow K_{11} \rightarrow H_2$
			B	$C_2 \rightarrow H_3 \rightarrow K_{12}$ $C_5 \rightarrow K_9 \rightarrow H_{18}$	$C_2 \rightarrow H_3 \rightarrow K_{12}$	$C_2 \rightarrow H_3 \rightarrow K_{12} \rightarrow$ $\rightarrow K_7 \rightarrow H_{16}$
			C	$C_3 \rightarrow H_5 \rightarrow K_{14}$ $C_6 \rightarrow K_{11} \rightarrow H_2$	$C_3 \rightarrow H_5 \rightarrow K_{14}$	$C_3 \rightarrow H_5 \rightarrow K_{14} \rightarrow$ $\rightarrow K_9 \rightarrow H_{18}$
			Нулевая точка		$K_7 \rightarrow H_{16} \rightarrow K_9 \rightarrow H_{18} \rightarrow$ $\rightarrow K_{11} \rightarrow H_2$	

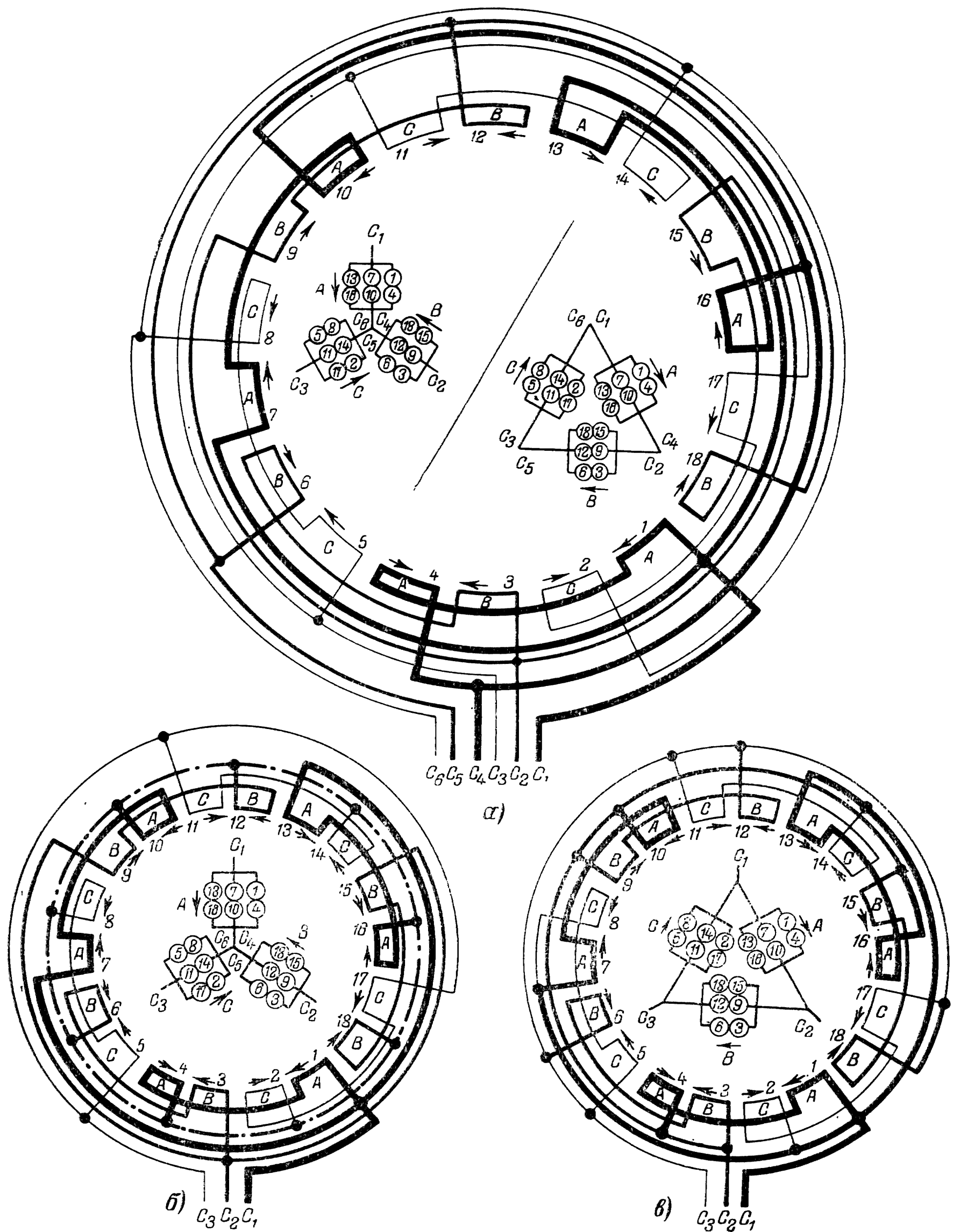


Рис. 3-8. Упрощенная круговая схема двухслойной обмотки при $2p=6$; $a=3$.
 а — общая схема для соединения фаз в Δ или в Δ ; б — соединение фаз в Δ ; в — соединение фаз в Δ .

Соединения в фазах			Фазы	Соединения фаз		
A	B	C		Δ/Δ 6 выводов	Δ 3 вывода	Δ 3 вывода
$H_1K_1 \rightarrow K_4H_4$ $H_7K_7 \rightarrow K_{10}H_{10}$ $H_{13}K_{13} \rightarrow K_{16}H_{16}$	$H_3K_3 \rightarrow K_6H_6$ $H_9K_9 \rightarrow K_{12}H_{12}$ $H_{15}K_{15} \rightarrow K_{18}H_{18}$	$H_5K_5 \rightarrow K_8H_8$ $H_{11}K_{11} \rightarrow K_{14}H_{14}$ $H_{17}K_{17} \rightarrow K_2H_2$	A	$C_1 \rightarrow H_1 \rightarrow H_7 \rightarrow H_{13}$ $C_4 \rightarrow H_4 \rightarrow H_{10} \rightarrow H_{16}$	$C_1 \rightarrow H_1 \rightarrow H_7 \rightarrow H_{13}$	$C_1 \rightarrow H_1 \rightarrow H_7 \rightarrow H_{13} \rightarrow H_6 \rightarrow H_{14} \rightarrow H_2$
			B	$C_2 \rightarrow H_3 \rightarrow H_9 \rightarrow H_{15}$ $C_5 \rightarrow H_6 \rightarrow H_{12} \rightarrow H_{18}$	$C_2 \rightarrow H_3 \rightarrow H_9 \rightarrow H_{15}$	$C_2 \rightarrow H_3 \rightarrow H_9 \rightarrow H_{15} \rightarrow H_4 \rightarrow H_{10} \rightarrow H_{16}$
			C	$C_3 \rightarrow H_5 \rightarrow H_{11} \rightarrow H_{17}$ $C_6 \rightarrow H_8 \rightarrow H_{14} \rightarrow H_2$	$C_3 \rightarrow H_5 \rightarrow H_{11} \rightarrow H_{17}$	$C_3 \rightarrow H_5 \rightarrow H_{11} \rightarrow H_{17} \rightarrow H_6 \rightarrow H_{12} \rightarrow H_{18}$
			Нулевая точка		$H_4 \rightarrow H_{10} \rightarrow H_{16} \rightarrow H_6 \rightarrow H_{12} \rightarrow H_{18} \rightarrow H_8 \rightarrow H_{14} \rightarrow H_2$	

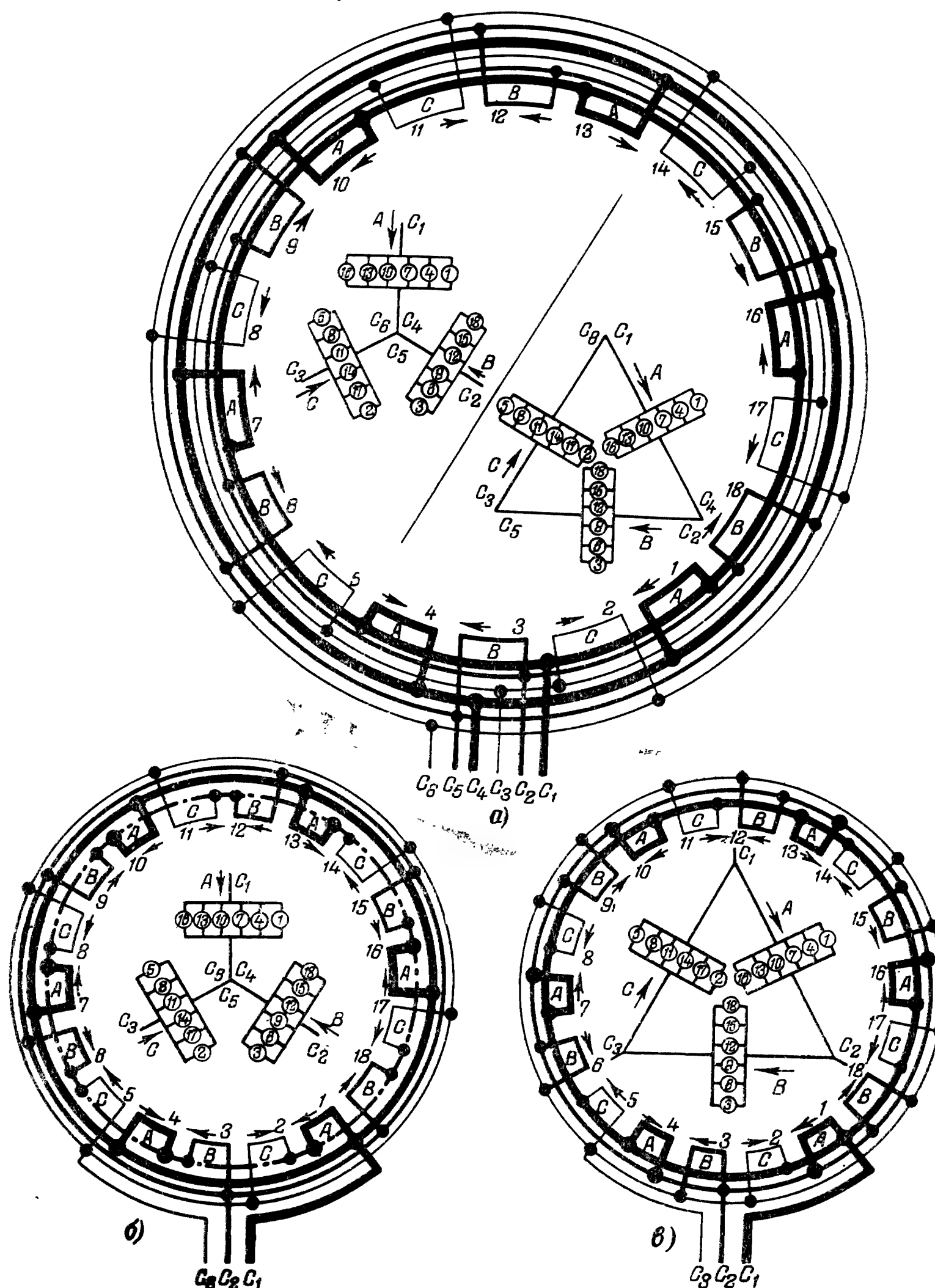


Рис. 3-9. Упрощенная круговая схема двухслойной обмотки при $2p=6$; $a=6$.

a — общая схема для соединения фаз в Δ или в Δ ; $б$ — соединение фаз в Δ ; $в$ — соединение фаз в Δ .

Соединения в фазах			Фазы	Соединения фаз		
A	B	C		Δ/Δ 6 выводов	Δ 3 вывода	Δ 3 вывода
H_1K_1 K_4H_4	H_3K_3 K_6H_6	H_5K_5 K_8H_8	A	$C_1 \rightarrow H_1 \rightarrow K_4 \rightarrow H_7 \rightarrow K_{10} \rightarrow$ $\rightarrow H_{13} \rightarrow K_{16}$ $C_4 \rightarrow K_1 \rightarrow H_4 \rightarrow K_7 \rightarrow H_{10} \rightarrow$ $\rightarrow K_{13} \rightarrow H_{16}$	$C_1 \rightarrow H_1 \rightarrow K_4 \rightarrow H_7 \rightarrow K_{10} \rightarrow$ $\rightarrow H_{13} \rightarrow K_{16}$	$C_1 \rightarrow H_1 \rightarrow K_4 \rightarrow H_7 \rightarrow K_{10} \rightarrow$ $\rightarrow H_{13} \rightarrow K_{16} \rightarrow K_5 \rightarrow H_8 \rightarrow$ $\rightarrow K_{11} \rightarrow H_{14} \rightarrow K_{17} \rightarrow H_2$
H_7K_7 $K_{10}H_{10}$	H_9K_9 $K_{12}H_{12}$	$H_{11}K_{11}$ $K_{14}H_{14}$	B	$C_2 \rightarrow H_3 \rightarrow K_6 \rightarrow H_9 \rightarrow K_{12} \rightarrow$ $\rightarrow H_{15} \rightarrow K_{18}$ $C_5 \rightarrow K_3 \rightarrow H_6 \rightarrow K_9 \rightarrow H_{12} \rightarrow$ $\rightarrow K_{15} \rightarrow H_{18}$	$C_2 \rightarrow H_3 \rightarrow K_6 \rightarrow H_9 \rightarrow K_{12} \rightarrow$ $\rightarrow H_{15} \rightarrow K_{18}$	$C_2 \rightarrow H_3 \rightarrow K_6 \rightarrow H_9 \rightarrow K_{12} \rightarrow$ $\rightarrow H_{15} \rightarrow K_{18} \rightarrow K_1 \rightarrow H_4 \rightarrow$ $\rightarrow K_7 \rightarrow H_{10} \rightarrow K_{13} \rightarrow H_{16}$
$H_{13}K_{13}$ $K_{16}H_{16}$	$H_{15}K_{15}$ $K_{18}H_{18}$	$H_{17}K_{17}$ K_2H_2	C	$C_3 \rightarrow H_5 \rightarrow K_8 \rightarrow H_{11} \rightarrow K_{14} \rightarrow$ $\rightarrow H_{17} \rightarrow K_2$ $C_6 \rightarrow K_5 \rightarrow H_8 \rightarrow K_{11} \rightarrow H_{14} \rightarrow$ $\rightarrow H_{17} \rightarrow K_2$	$C_3 \rightarrow H_5 \rightarrow K_8 \rightarrow H_{11} \rightarrow K_{14} \rightarrow$ $\rightarrow H_{17} \rightarrow K_2$	$C_3 \rightarrow H_5 \rightarrow K_8 \rightarrow H_{11} \rightarrow$ $\rightarrow K_{14} \rightarrow H_{17} \rightarrow K_2 \rightarrow K_3 \rightarrow$ $\rightarrow H_6 \rightarrow K_9 \rightarrow H_{12} \rightarrow K_{15} \rightarrow$ $\rightarrow H_{18}$
			Нулевая точка		$K_1 \rightarrow H_4 \rightarrow K_7 \rightarrow H_{10} \rightarrow K_{13} \rightarrow$ $\rightarrow H_{16} \rightarrow K_3 \rightarrow H_6 \rightarrow K_9 \rightarrow$ $\rightarrow H_{12} \rightarrow K_{15} \rightarrow H_{18} \rightarrow K_5 \rightarrow$ $\rightarrow H_8 \rightarrow K_{11} \rightarrow H_{14} \rightarrow K_{17} \rightarrow$ $\rightarrow H_2$	

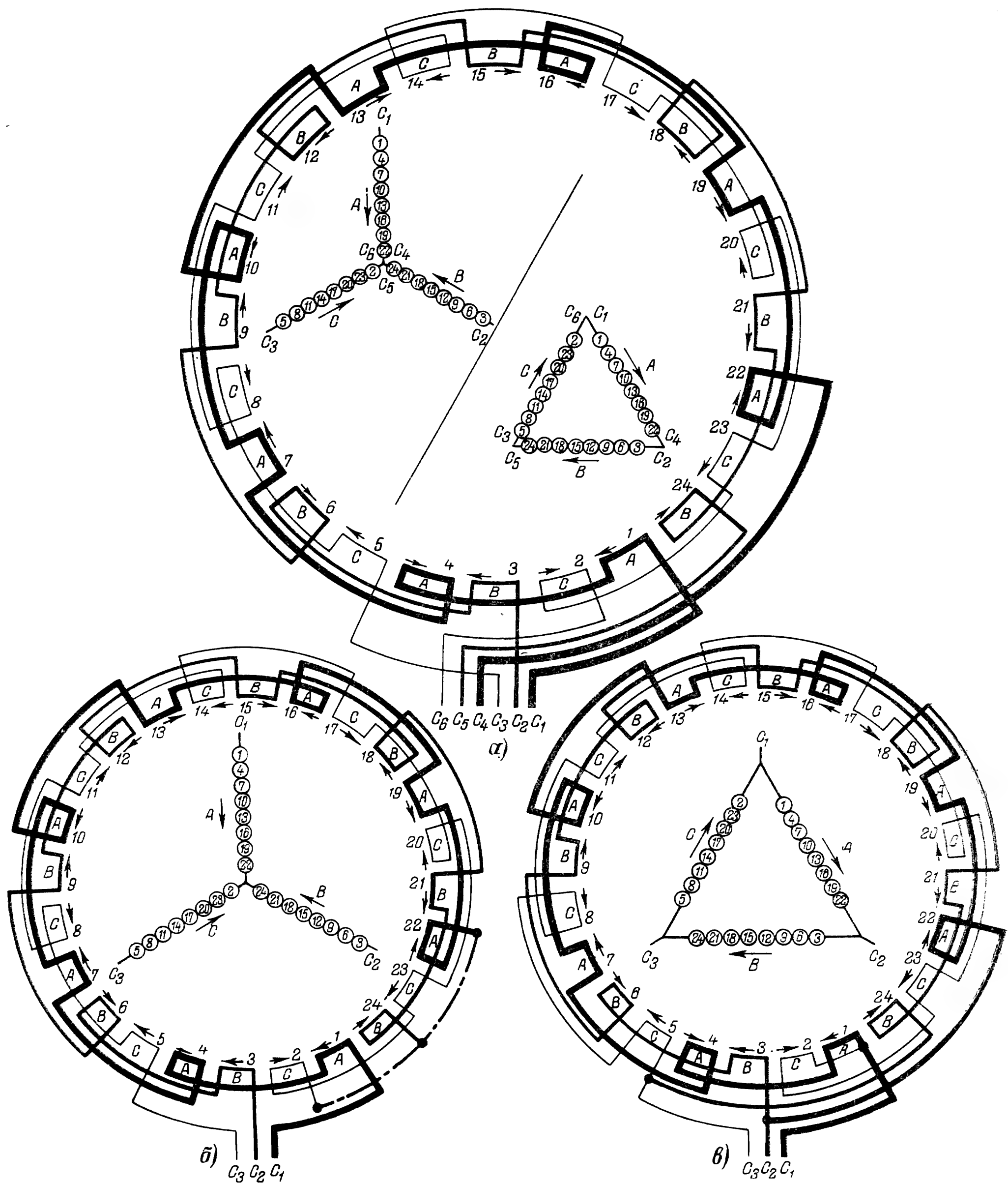


Рис. 3-10. Упрощенная круговая схема двухслойной обмотки при $2p=8$; $a=1$.

a — общая схема для соединения фаз в Δ или в Δ ; $б$ — соединение фаз в Δ ; $в$ — соединение фаз в Δ .

Соединения в фазах			Фазы	Соединения фаз		
A	B	C		Δ/Δ 6 выводов	Δ 3 вывода	Δ 3 вывода
$H_1K_1 \rightarrow K_4H_4 \rightarrow H_7K_7 \rightarrow$ $\rightarrow K_{10}H_{10} \rightarrow H_{13}K_{13} \rightarrow$ $\rightarrow K_{16}H_{16} \rightarrow H_{19}K_{19} \rightarrow$ $\rightarrow K_{22}H_{22}$	$H_3K_3 \rightarrow K_6H_6 \rightarrow H_9K_9 \rightarrow$ $\rightarrow K_{12}H_{12} \rightarrow H_{15}K_{15} \rightarrow$ $\rightarrow K_{18}H_{18} \rightarrow H_{21}K_{21} \rightarrow$ $\rightarrow K_{24}H_{24}$	$H_5K_5 \rightarrow K_8H_8 \rightarrow H_{11}K_{11} \rightarrow$ $\rightarrow K_{14}H_{14} \rightarrow H_{17}K_{17} \rightarrow$ $K_{20}H_{20} \rightarrow H_{23}K_{23} \rightarrow K_2H_2$	A	$C_1 \rightarrow H_1$ $C_4 \rightarrow H_{22}$	$C_1 \rightarrow H_1$	$C_1 \rightarrow H_1 \rightarrow H_2$
			B	$C_2 \rightarrow H_3$ $C_5 \rightarrow H_{24}$	$C_2 \rightarrow H_3$	$C_2 \rightarrow H_3 \rightarrow H_{23}$
			C	$C_3 \rightarrow H_5$ $C_6 \rightarrow H_2$	$C_3 \rightarrow H_5$	$C_3 \rightarrow H_5 \rightarrow H_{24}$
			Нулевая точка		$H_{22} \rightarrow H_{24} \rightarrow H_2$	

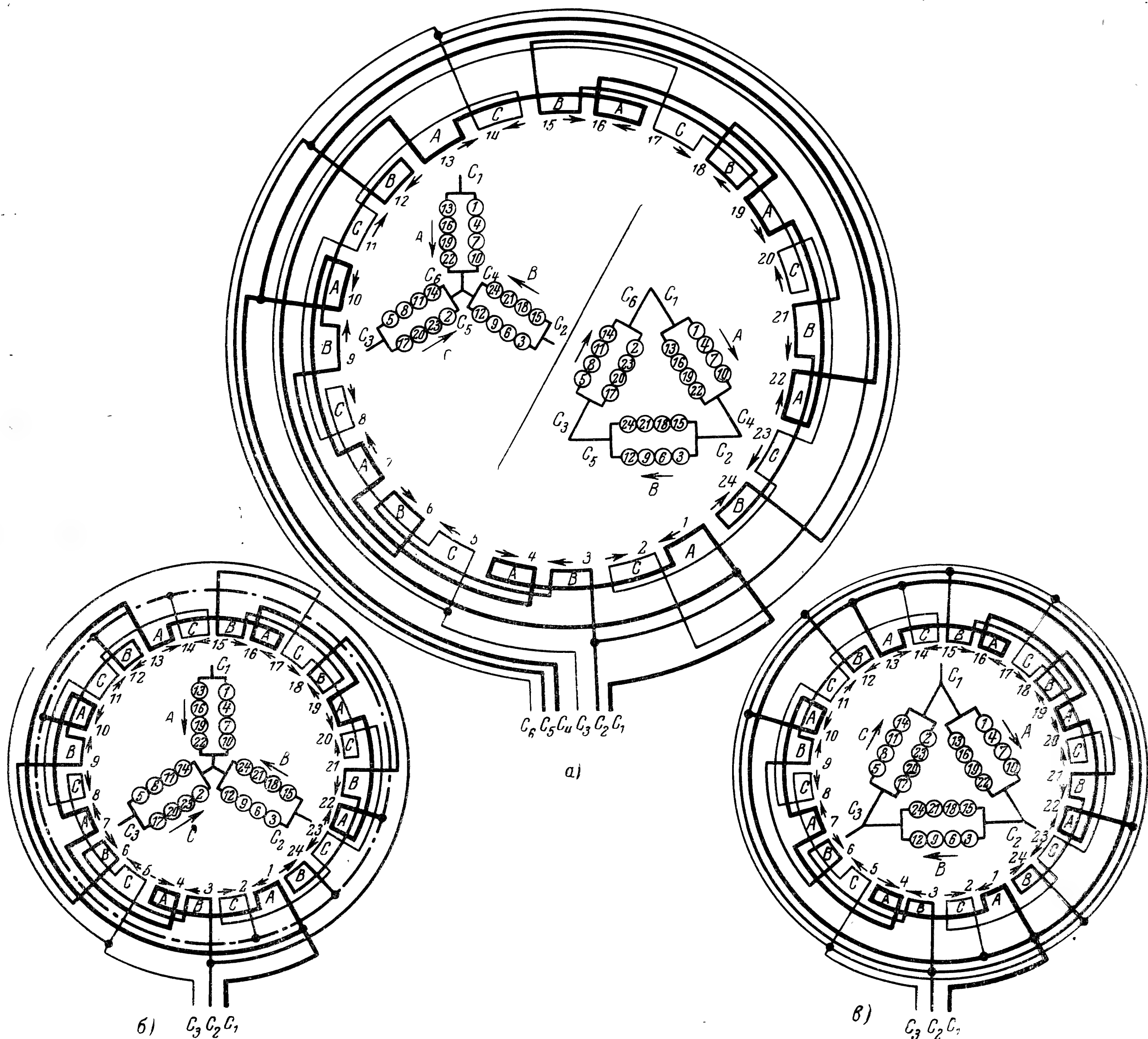


Рис. 3-11. Упрощенная круговая схема двухслойной обмотки при $2p=8$; $a=2$.

а — общая схема для соединения фаз в λ или в Δ ; б — соединение фаз в λ ; в — соединение фаз в Δ .

Соединения в фазах			Фазы	Соединения фаз		
A	B	C		λ/Δ 6 выводов	λ 3 вывода	Δ 3 вывода
$H_1K_1 \rightarrow K_4H_4 \rightarrow$ $\rightarrow H_7K_7 \rightarrow K_{10}H_{10}$ $H_{13}K_{13} \rightarrow K_{16}H_{16} \rightarrow$ $\rightarrow H_{19}K_{19} \rightarrow K_{22}H_{22}$	$H_3K_3 \rightarrow K_6H_6 \rightarrow$ $\rightarrow H_9K_9 \rightarrow K_{12}H_{12}$ $H_{15}K_{15} \rightarrow K_{18}H_{18} \rightarrow$ $\rightarrow H_{21}K_{21} \rightarrow K_{24}H_{24}$	$H_5K_5 \rightarrow K_8H_8 \rightarrow$ $\rightarrow H_{11}K_{11} \rightarrow K_{14}H_{14}$ $H_{17}K_{17} \rightarrow K_{20}H_{20} \rightarrow$ $\rightarrow H_{23}K_{23} \rightarrow K_2H_2$	A	$C_1 \rightarrow H_1 \rightarrow H_{13}$ $C_4 \rightarrow H_{10} \rightarrow H_{22}$	$C_1 \rightarrow H_1 \rightarrow H_{13}$	$C_1 \rightarrow H_1 \rightarrow H_{13} \rightarrow$ $\rightarrow H_{14} \rightarrow H_2$
			B	$C_2 \rightarrow H_3 \rightarrow H_{15}$ $C_5 \rightarrow H_{12} \rightarrow H_{24}$	$C_2 \rightarrow H_3 \rightarrow H_{15}$	$C_2 \rightarrow H_3 \rightarrow H_{15} \rightarrow$ $\rightarrow H_{10} \rightarrow H_{22}$
			C	$C_3 \rightarrow H_5 \rightarrow H_{17}$ $C_6 \rightarrow H_{14} \rightarrow H_2$	$C_3 \rightarrow H_5 \rightarrow H_{17}$	$C_3 \rightarrow H_5 \rightarrow H_{17} \rightarrow$ $\rightarrow H_{12} \rightarrow H_{24}$
			Нулевая точка		$H_{10} \rightarrow H_{22} \rightarrow H_{12} \rightarrow$ $\rightarrow H_{24} \rightarrow H_{14} \rightarrow H_2$	

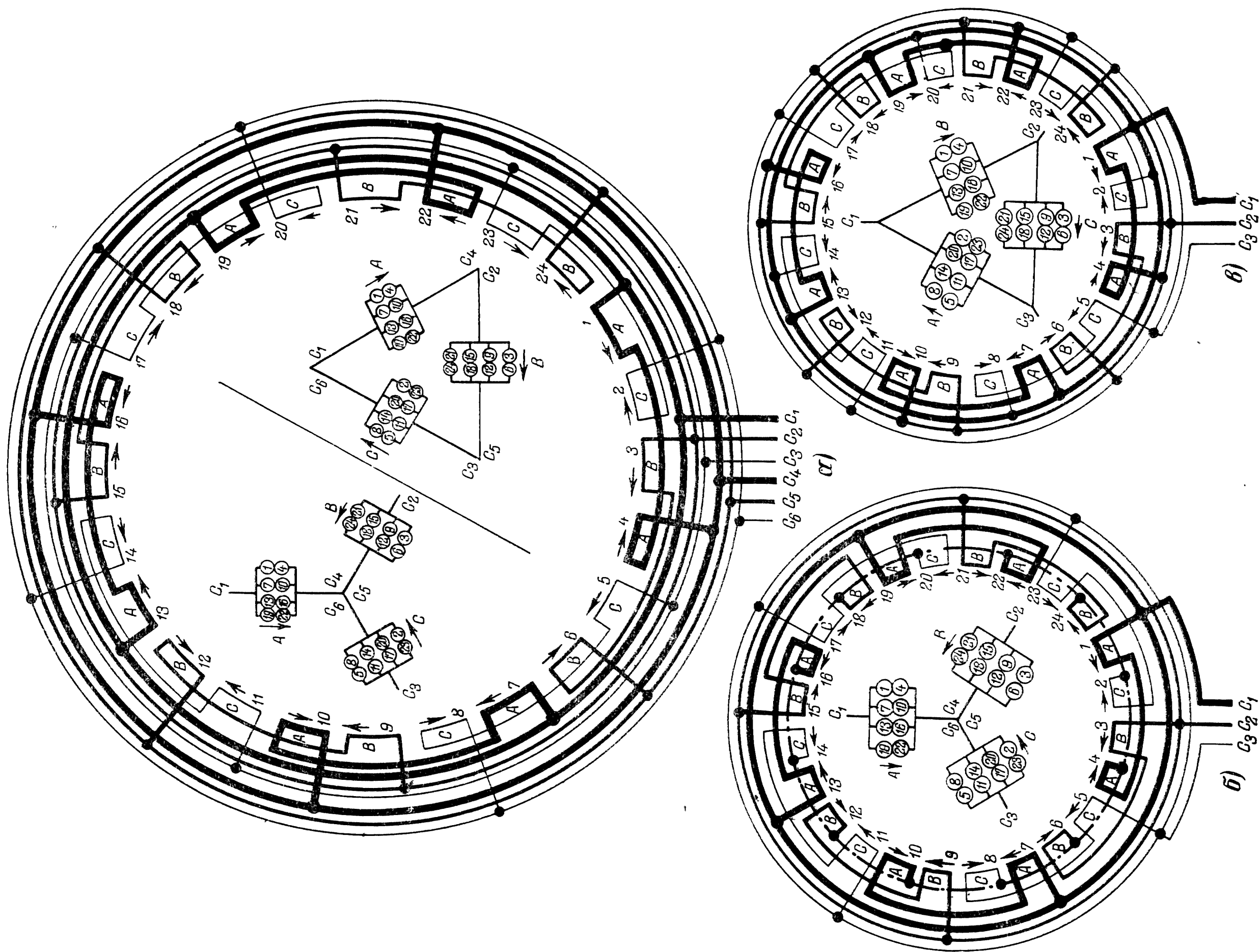


Рис. 3-12. Упрощенная круговая схема двухслойной обмотки при $2p=8$; $a=4$.
 а — общая схема для соединения фаз в Δ или в λ ; б — соединение фаз в λ ; в — соеди-

Соединения в фазах

Соединения в фазах		
A	B	C
$H_1 K_1 \rightarrow K_4 H_4$ $H_7 K_7 \rightarrow K_{10} H_{10}$ $H_{13} K_{13} \rightarrow K_{16} H_{16}$ $H_{19} K_{19} \rightarrow K_{22} H_{22}$	$H_3 K_3 \rightarrow K_6 H_6$ $H_9 K_9 \rightarrow K_{12} H_{12}$ $H_{15} K_{15} \rightarrow K_{18} H_{18}$ $H_{21} K_{21} \rightarrow K_{24} H_{24}$	$H_5 K_5 \rightarrow K_8 H_8$ $H_{11} K_{11} \rightarrow K_{14} H_{14}$ $H_{17} K_{17} \rightarrow K_{20} H_{20}$ $H_{23} K_{23} \rightarrow K_{26} H_{26}$

Соединения фаз			
Фазы	λ/Δ 6 выводов	λ 3 вывода	Δ 3 вывода
A	$C_1 \rightarrow H_1 \rightarrow H_7 \rightarrow$ $\rightarrow H_{13} \rightarrow H_{19}$ $C_4 \rightarrow H_4 \rightarrow H_{10} \rightarrow$ $\rightarrow H_{16} \rightarrow H_{22}$	$C_1 \rightarrow H_1 \rightarrow H_7 \rightarrow H_{13} \rightarrow$ $\rightarrow H_{19}$	$C_1 \rightarrow H_1 \rightarrow H_7 \rightarrow H_{13} \rightarrow$ $\rightarrow H_{19} \rightarrow H_8 \rightarrow H_{14} \rightarrow$ $\rightarrow H_{20} \rightarrow H_2$
B	$C_2 \rightarrow H_3 \rightarrow H_9 \rightarrow$ $\rightarrow H_{15} \rightarrow H_{21}$ $C_5 \rightarrow H_6 \rightarrow H_{12} \rightarrow$ $\rightarrow H_{18} \rightarrow H_{24}$	$C_2 \rightarrow H_3 \rightarrow H_9 \rightarrow H_{15} \rightarrow$ $\rightarrow H_{21}$	$C_2 \rightarrow H_3 \rightarrow H_9 \rightarrow H_{15} \rightarrow$ $\rightarrow H_{21} \rightarrow H_4 \rightarrow H_{10} \rightarrow$ $\rightarrow H_{16} \rightarrow H_{22}$
C	$C_3 \rightarrow H_5 \rightarrow H_{11} \rightarrow$ $\rightarrow H_{17} \rightarrow H_{23}$ $C_6 \rightarrow H_8 \rightarrow H_{14} \rightarrow$ $\rightarrow H_{20} \rightarrow H_2$	$C_3 \rightarrow H_5 \rightarrow H_{11} \rightarrow H_{17} \rightarrow$ $\rightarrow H_{23}$	$C_3 \rightarrow H_5 \rightarrow H_{11} \rightarrow H_{17} \rightarrow$ $\rightarrow H_{23} \rightarrow H_6 \rightarrow H_{12} \rightarrow$ $\rightarrow H_{18} \rightarrow H_{24}$
Нулевая точка		$H_4 \rightarrow H_{10} \rightarrow H_{16} \rightarrow H_{22} \rightarrow$ $\rightarrow H_6 \rightarrow H_{12} \rightarrow H_{18} \rightarrow$ $\rightarrow H_{24} \rightarrow H_8 \rightarrow H_{14} \rightarrow$ $\rightarrow H_{20} \rightarrow H_2$	

Соединения в фазах

A	B	C
$H_1 K_1 \rightarrow$ $\rightarrow K_4 H_4 \rightarrow$ $\rightarrow H_7 K_7 \rightarrow$ $\rightarrow K_{10} H_{10} \rightarrow$ $\rightarrow H_{13} K_{13} \rightarrow$ $\rightarrow K_{16} H_{16} \rightarrow$ $\rightarrow H_{19} K_{19} \rightarrow$ $\rightarrow K_{22} H_{22} \rightarrow$ $\rightarrow H_{25} K_{25} \rightarrow$ $\rightarrow K_{28} H_{28} \rightarrow$	$H_3 K_3 \rightarrow$ $\rightarrow K_6 H_6 \rightarrow$ $\rightarrow H_9 K_9 \rightarrow$ $\rightarrow K_{12} H_{12} \rightarrow$ $\rightarrow H_{15} K_{15} \rightarrow$ $\rightarrow K_{18} H_{18} \rightarrow$ $\rightarrow H_{21} K_{21} \rightarrow$ $\rightarrow K_{24} H_{24} \rightarrow$ $\rightarrow H_{27} K_{27} \rightarrow$ $\rightarrow K_{30} H_{30} \rightarrow$	$H_5 K_5 \rightarrow$ $\rightarrow K_8 H_8 \rightarrow$ $\rightarrow H_{11} K_{11} \rightarrow$ $\rightarrow K_{14} H_{14} \rightarrow$ $\rightarrow H_{17} K_{17} \rightarrow$ $\rightarrow K_{20} H_{20} \rightarrow$ $\rightarrow H_{23} K_{23} \rightarrow$ $\rightarrow K_{26} H_{26} \rightarrow$ $\rightarrow H_{29} K_{29} \rightarrow$ $\rightarrow K_2 H_2 \rightarrow$

парал-
лельно

парал-
лельно

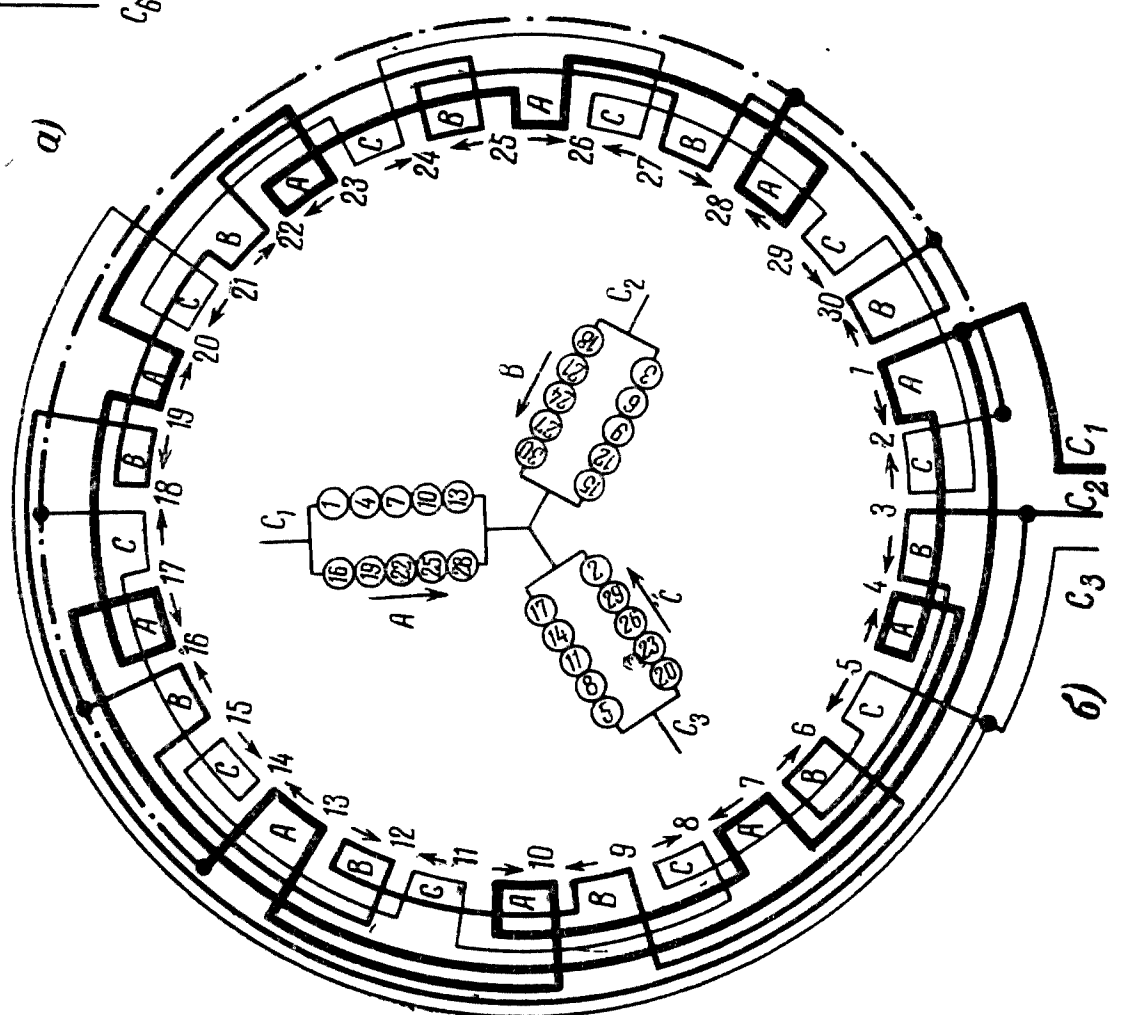
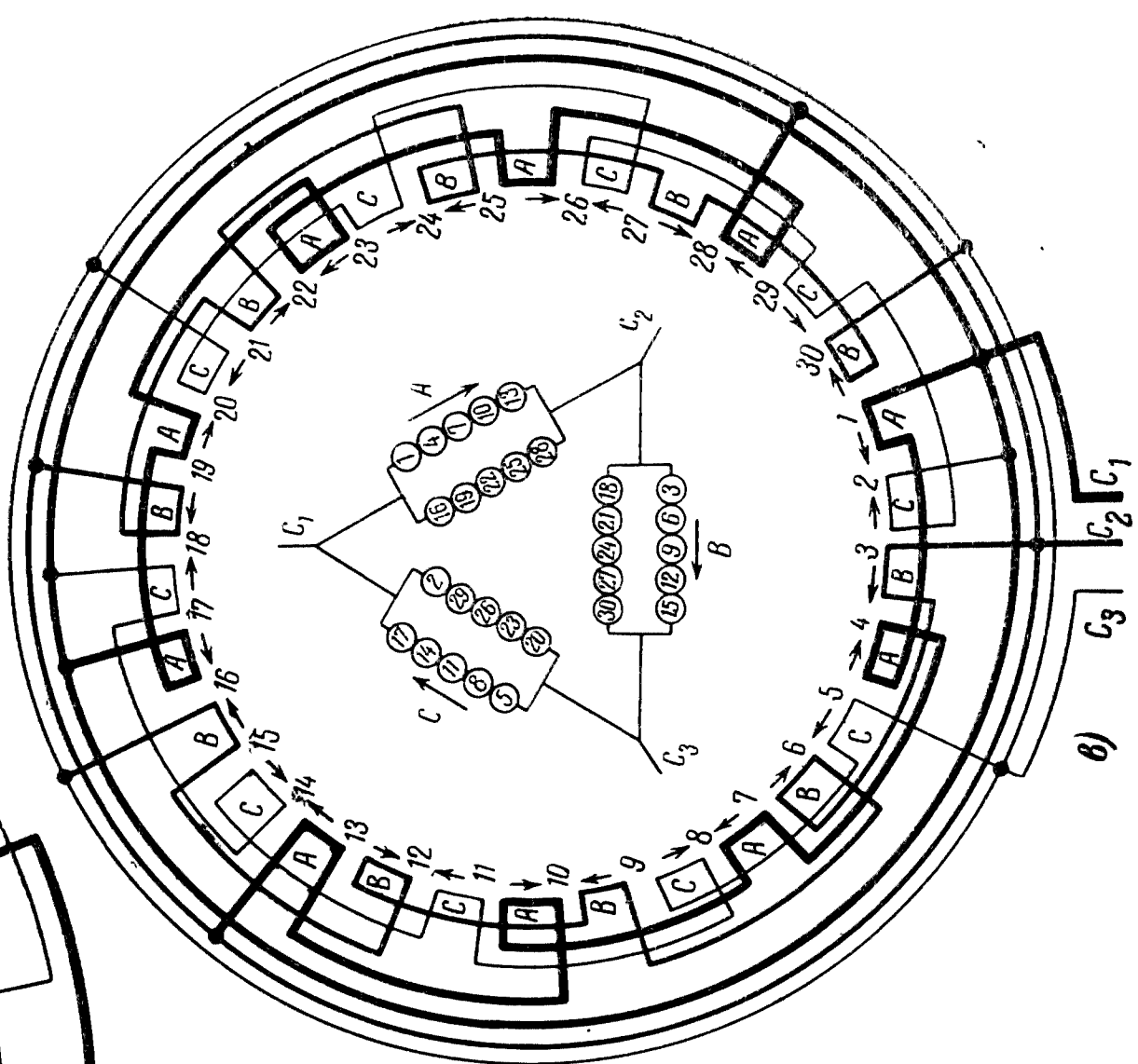
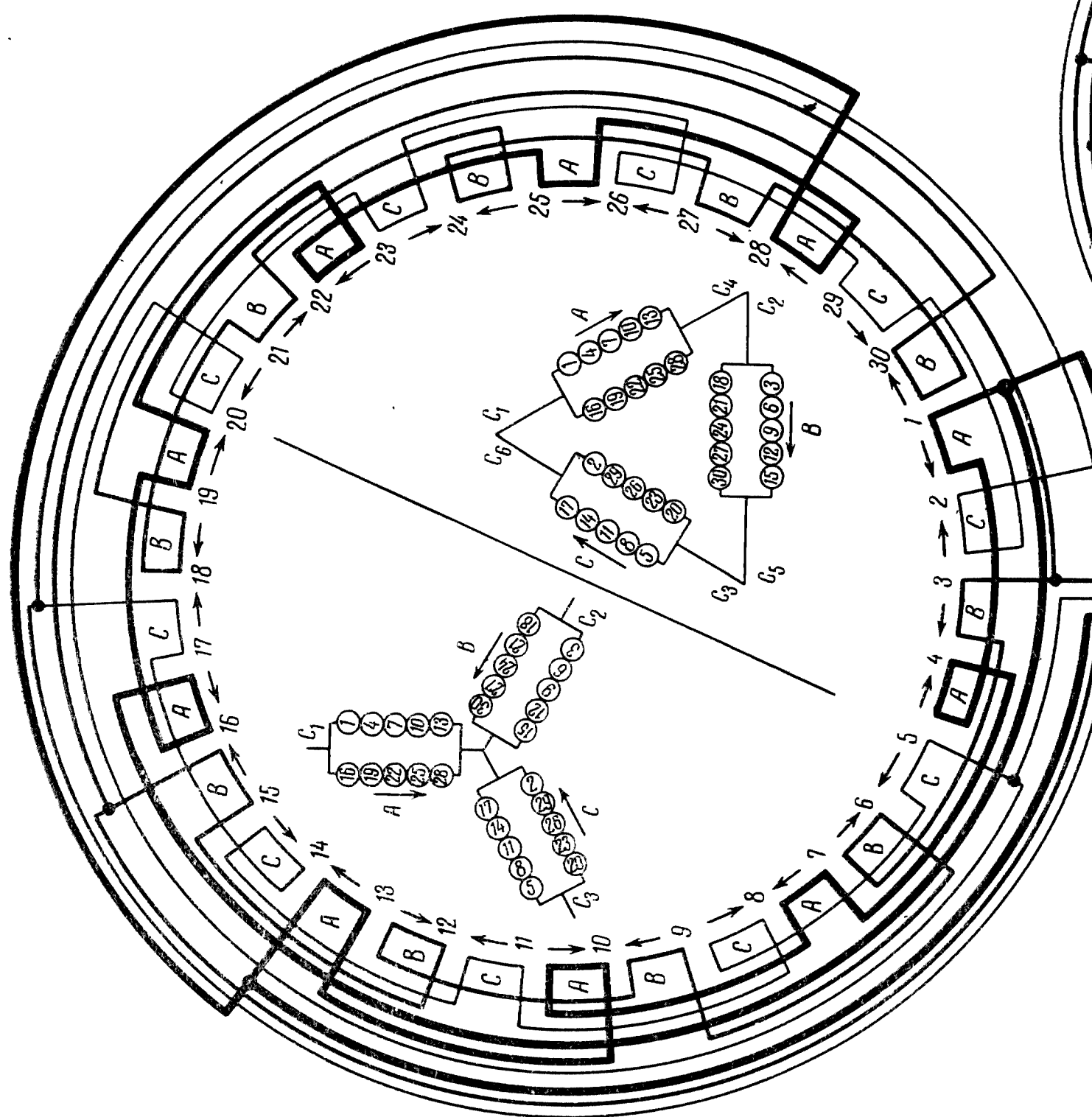
парал-
лельно

Соединения фаз

Фазы	Y/Δ 6 выводов	λ 3 вывода	Δ 3 вывода
A	$C_1 \rightarrow H_1 \rightarrow K_{16}$ $C_4 \rightarrow K_{13} \rightarrow H_{28}$	$C_1 \rightarrow H_1 \rightarrow K_{16}$	$C_1 \rightarrow H_1 \rightarrow K_{16} \rightarrow K_{17} \rightarrow$ $\rightarrow H_2$
B	$C_2 \rightarrow H_3 \rightarrow K_{18}$ $C_5 \rightarrow K_{15} \rightarrow H_{30}$	$C_2 \rightarrow H_3 \rightarrow K_{18}$	$C_2 \rightarrow H_3 \rightarrow K_{18} \rightarrow$ $\rightarrow K_{13} \rightarrow H_{28}$
C	$C_3 \rightarrow H_5 \rightarrow K_{20}$ $C_6 \rightarrow K_{17} \rightarrow H_2$	$C_3 \rightarrow H_5 \rightarrow K_{20}$	$C_3 \rightarrow H_5 \rightarrow K_{20} \rightarrow$ $\rightarrow K_{15} \rightarrow H_{30}$
Нуле- вая точка		$K_{13} \rightarrow H_{28} \rightarrow K_{15} \rightarrow$ $\rightarrow H_{30} \rightarrow K_{17} \rightarrow H_2$	

Рис. 3-13. Упрощенная круговая схема двухслойной обмотки при $2p=10$; $a=2$.

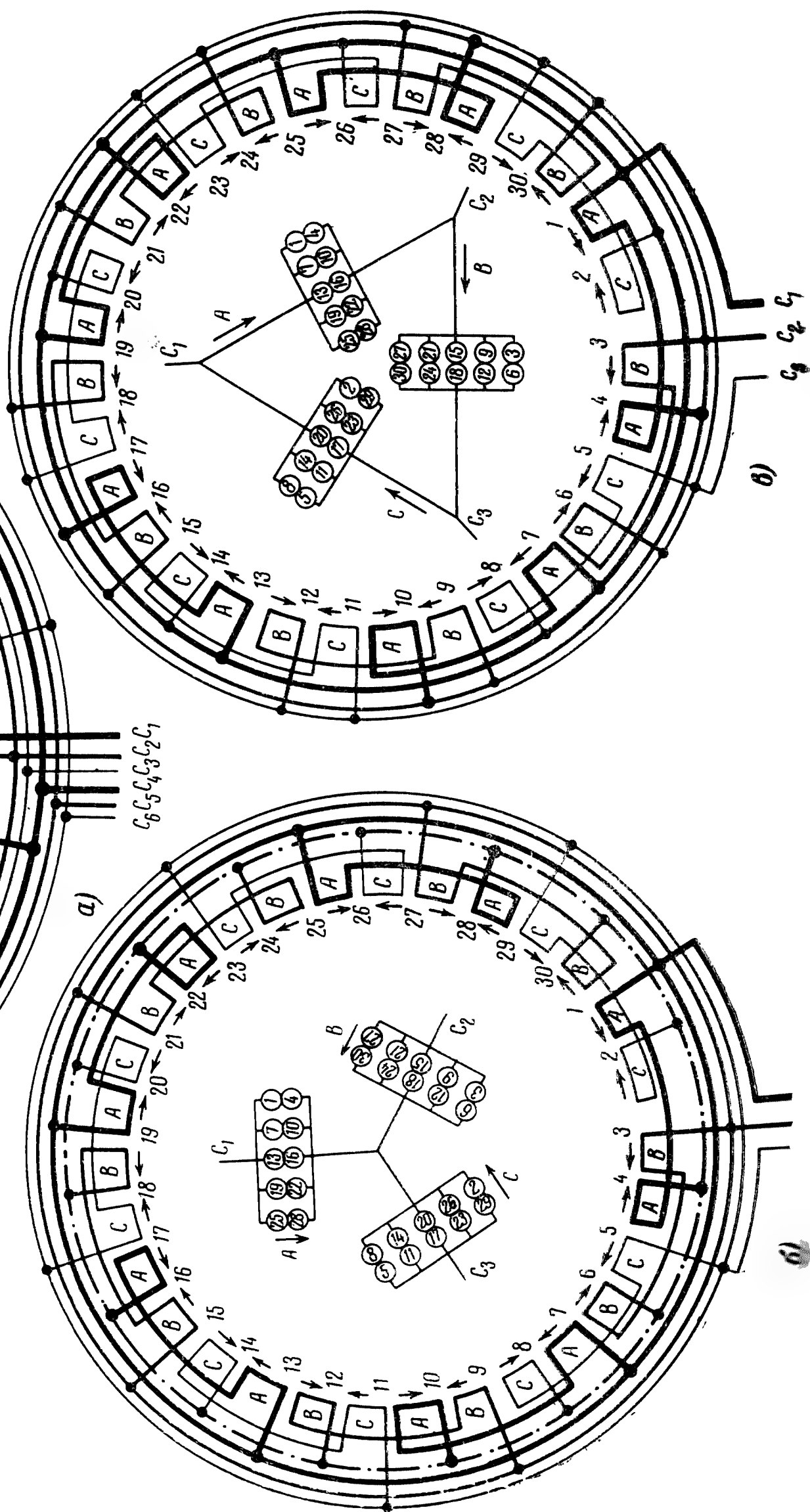
a — общая схема для соединения фаз в λ или в Δ; б — соединение фаз в λ; в — соединение фаз в Δ.

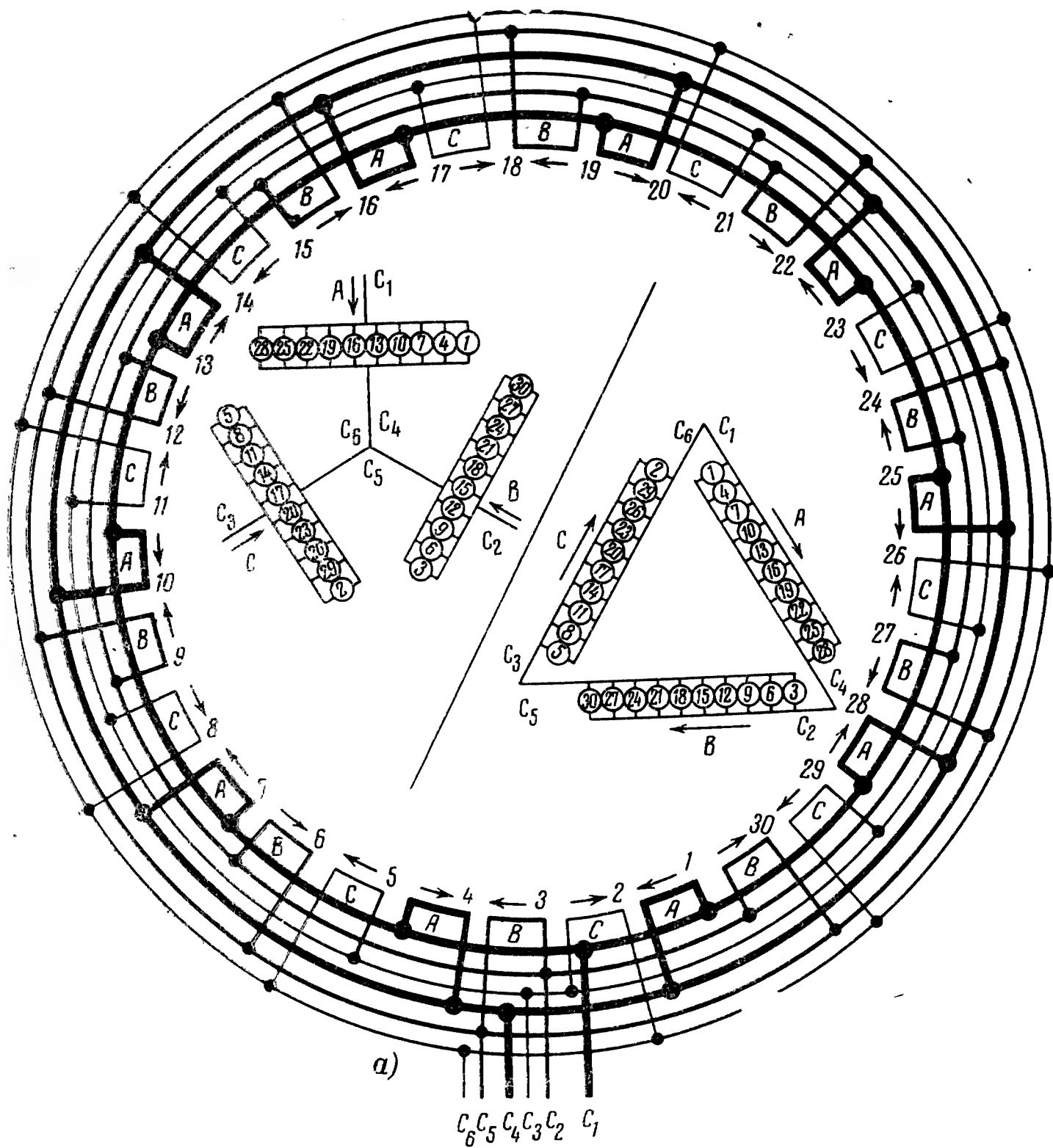


Соединения в фазах			
A	B	C	
$H_1 K_1 \rightarrow$ $\rightarrow K_4 H_4$ $\rightarrow H_7 K_7$ $\rightarrow K_{10} H_{10}$ $\rightarrow H_{13} K_{13}$ $\rightarrow K_{16} H_{16}$ $\rightarrow H_{19} K_{19}$ $\rightarrow K_{22} H_{22}$ $\rightarrow H_{25} K_{25}$ $\rightarrow K_{28} H_{28}$	$H_3 K_3 \rightarrow$ $\rightarrow K_6 H_6$ $\rightarrow H_9 K_9$ $\rightarrow K_{12} H_{12}$ $\rightarrow H_{15} K_{15}$ $\rightarrow K_{18} H_{18}$ $\rightarrow H_{21} K_{21}$ $\rightarrow K_{24} H_{24}$ $\rightarrow H_{27} K_{27}$ $\rightarrow K_{30} H_{30}$	$H_5 K_5 \rightarrow$ $\rightarrow K_8 H_8$ $\rightarrow H_{11} K_{11}$ $\rightarrow K_{14} H_{14}$ $\rightarrow H_{17} K_{17}$ $\rightarrow K_{20} H_{20}$ $\rightarrow H_{23} K_{23}$ $\rightarrow K_{26} H_{26}$ $\rightarrow H_{29} K_{29}$ $\rightarrow K_{32} H_{32}$	парал- лельно
Соединения фаз			
Фазы	λ/Δ 6 выводов	λ 3 вывода	Δ 3 вывода
A	$C_1 \rightarrow H_1 \rightarrow H_7 \rightarrow H_{13} \rightarrow$ $\rightarrow H_{10} \rightarrow H_{25}$ $C_4 \rightarrow H_4 \rightarrow H_{10} \rightarrow H_{16} \rightarrow$ $\rightarrow H_{22} \rightarrow H_{28}$	$C_1 \rightarrow H_1 \rightarrow H_7 \rightarrow H_{13} \rightarrow$ $\rightarrow H_{19} \rightarrow H_{25}$	$C_1 \rightarrow H_1 \rightarrow H_7 \rightarrow H_{13} \rightarrow$ $\rightarrow H_{19} \rightarrow H_{25}$ $H_8 \rightarrow H_{14} \rightarrow H_{20} \rightarrow$ $\rightarrow H_{26} \rightarrow H_2$
B	$C_2 \rightarrow H_3 \rightarrow H_9 \rightarrow H_{15} \rightarrow$ $\rightarrow H_{21} \rightarrow H_{27}$ $C_5 \rightarrow H_6 \rightarrow H_{12} \rightarrow$ $\rightarrow H_{18} \rightarrow H_{24} \rightarrow H_{30}$	$C_2 \rightarrow H_3 \rightarrow H_9 \rightarrow H_{15} \rightarrow$ $\rightarrow H_{21} \rightarrow H_{27}$	$C_2 \rightarrow H_3 \rightarrow H_9 \rightarrow H_{15} \rightarrow$ $\rightarrow H_{21} \rightarrow H_{27}$ $H_4 \rightarrow H_{10} \rightarrow H_{16} \rightarrow$ $\rightarrow H_{22} \rightarrow H_{28}$
C	$C_3 \rightarrow H_5 \rightarrow H_{11} \rightarrow H_{17} \rightarrow$ $\rightarrow H_{23} \rightarrow H_{29}$ $C_6 \rightarrow H_8 \rightarrow H_{14} \rightarrow$ $\rightarrow H_{20} \rightarrow H_{26} \rightarrow H_{32}$	$C_3 \rightarrow H_5 \rightarrow H_{11} \rightarrow H_{17} \rightarrow$ $\rightarrow H_{23} \rightarrow H_{29}$	$C_3 \rightarrow H_5 \rightarrow H_{11} \rightarrow H_{17} \rightarrow$ $\rightarrow H_{23} \rightarrow H_{29}$ $H_6 \rightarrow H_{12} \rightarrow H_{18} \rightarrow$ $\rightarrow H_{24} \rightarrow H_{30}$
Нуле- вая точка		$H_4 \rightarrow H_{10} \rightarrow H_{16} \rightarrow H_{22} \rightarrow$ $\rightarrow H_{28} \rightarrow H_2 \rightarrow H_{12}$ $H_{18} \rightarrow H_{24} \rightarrow H_{30} \rightarrow H_8 \rightarrow$ $\rightarrow H_{14} \rightarrow H_{20} \rightarrow H_{26} \rightarrow H_{32}$	

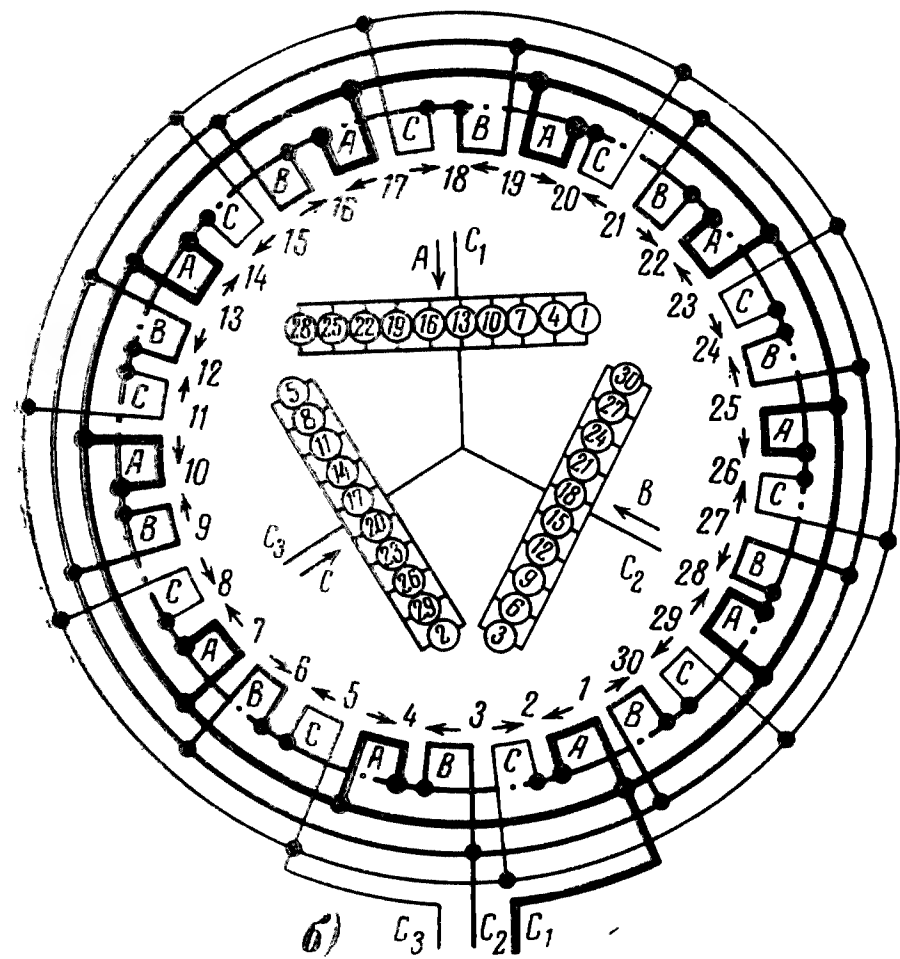
Рис. 3-14. Упрощенная круговая схема двухслойной обмотки при $2p=10$; $a=5$.

a — общая схема для соединения фаз в λ или в Δ ; b — соединение фаз в λ ; σ — соединение фаз в Δ .





Соединения в фазах			
A	B	C	
$H_1 K_1$	$H_3 K_3$	$H_5 K_5$	парал- лельно
$K_4 H_4$	$K_6 H_6$	$K_8 H_8$	
$H_7 K_7$	$H_9 K_9$	$H_{11} K_{11}$	
$K_{10} H_{10}$	$K_{12} H_{12}$	$K_{14} H_{14}$	
$H_{13} K_{13}$	$H_{15} K_{15}$	$H_{17} K_{17}$	
$K_{16} H_{16}$	$K_{18} H_{18}$	$K_{20} H_{20}$	
$H_{19} K_{19}$	$H_{21} K_{21}$	$H_{23} K_{23}$	
$K_{22} H_{22}$	$K_{24} H_{24}$	$K_{26} H_{26}$	
$H_{25} K_{25}$	$H_{27} K_{27}$	$H_{29} K_{29}$	
$K_{28} H_{28}$	$K_{30} H_{30}$	$K_2 H_2$	



Фазы	Соединения фаз		
	λ/Δ 6 ВЫВОДОВ	λ 3 ВЫВОДА	Δ 3 ВЫВОДА
A	$C_1 \rightarrow H_1 \rightarrow K_4 \rightarrow H_7 \rightarrow K_{10} \rightarrow$ $\rightarrow H_{13} \rightarrow K_{16} \rightarrow H_{19} \rightarrow$ $\rightarrow K_{22} \rightarrow H_{25} \rightarrow K_{28}$ $C_4 \rightarrow K_1 \rightarrow H_4 \rightarrow K_7 \rightarrow H_{10} \rightarrow$ $\rightarrow K_{13} \rightarrow H_{16} \rightarrow K_{19} \rightarrow$ $\rightarrow H_{22} \rightarrow K_{25} \rightarrow H_{28}$	$C_1 \rightarrow H_1 \rightarrow K_4 \rightarrow H_7 \rightarrow K_{10} \rightarrow H_{13} \rightarrow$ $\rightarrow K_{16} \rightarrow H_{19} \rightarrow K_{22} \rightarrow H_{25} \rightarrow K_{28}$	$C_1 \rightarrow H_1 \rightarrow K_4 \rightarrow H_7 \rightarrow K_{10} \rightarrow$ $\rightarrow H_{13} \rightarrow K_{16} \rightarrow H_{19} \rightarrow K_{22} \rightarrow$ $\rightarrow H_{25} \rightarrow K_{28}$ $K_5 \rightarrow H_8 \rightarrow K_{11} \rightarrow H_{14} \rightarrow$ $\rightarrow K_{17} \rightarrow H_{20} \rightarrow K_{23} \rightarrow H_{26} \rightarrow$ $\rightarrow K_{29} \rightarrow H_2$
B	$C_2 \rightarrow H_3 \rightarrow K_6 \rightarrow H_9 \rightarrow K_{12} \rightarrow$ $\rightarrow H_{15} \rightarrow K_{18} \rightarrow H_{21} \rightarrow K_{24} \rightarrow$ $\rightarrow H_{27} \rightarrow K_{30}$ $C_5 \rightarrow K_3 \rightarrow H_6 \rightarrow K_9 \rightarrow H_{12} \rightarrow$ $\rightarrow K_{15} \rightarrow H_{18} \rightarrow K_{21} \rightarrow$ $\rightarrow H_{24} \rightarrow K_{27} \rightarrow H_{30}$	$C_2 \rightarrow H_3 \rightarrow K_6 \rightarrow H_9 \rightarrow K_{12} \rightarrow$ $\rightarrow H_{15} \rightarrow K_{18} \rightarrow H_{21} \rightarrow K_{24} \rightarrow$ $\rightarrow H_{27} \rightarrow K_{30}$	$C_2 \rightarrow H_3 \rightarrow K_6 \rightarrow H_9 \rightarrow K_{12} \rightarrow$ $\rightarrow H_{15} \rightarrow K_{18} \rightarrow H_{21} \rightarrow K_{24} \rightarrow$ $H_{27} \rightarrow K_{30} \rightarrow K_1 \rightarrow H_4 \rightarrow K_7 \rightarrow$ $\rightarrow H_{10} \rightarrow K_{13} \rightarrow H_{16} \rightarrow K_{19} \rightarrow$ $H_{22} \rightarrow K_{25} \rightarrow H_{28}$
C	$C_3 \rightarrow H_5 \rightarrow K_8 \rightarrow H_{11} \rightarrow$ $\rightarrow K_{14} \rightarrow H_{17} \rightarrow K_{20} \rightarrow H_{23} \rightarrow$ $\rightarrow K_{26} \rightarrow H_{29} \rightarrow K_2$ $C_6 \rightarrow K_5 \rightarrow H_8 \rightarrow K_{11} \rightarrow H_{14} \rightarrow$ $\rightarrow K_{17} \rightarrow H_{20} \rightarrow K_{23} \rightarrow$ $\rightarrow H_{26} \rightarrow K_{29} \rightarrow H_2$	$C_3 \rightarrow H_5 \rightarrow K_8 \rightarrow H_{11} \rightarrow K_{14} \rightarrow$ $\rightarrow H_{17} \rightarrow K_{20} \rightarrow H_{23} \rightarrow K_{26} \rightarrow$ $\rightarrow H_{29} \rightarrow K_2$	$C_3 \rightarrow H_5 \rightarrow K_8 \rightarrow H_{11} \rightarrow$ $\rightarrow K_{14} \rightarrow H_{17} \rightarrow K_{20} \rightarrow H_{23} \rightarrow$ $\rightarrow K_{26} \rightarrow H_{29} \rightarrow K_2$ $K_3 \rightarrow H_6 \rightarrow K_9 \rightarrow H_{12} \rightarrow$ $\rightarrow K_{15} \rightarrow H_{18} \rightarrow K_{21} \rightarrow H_{24} \rightarrow$ $\rightarrow K_{27} \rightarrow H_{30}$
Нуле- вая точка		$K_1 \rightarrow H_4 \rightarrow K_7 \rightarrow H_{10} \rightarrow K_{13} \rightarrow$ $\rightarrow H_{16} \rightarrow K_{19} \rightarrow H_{22} \rightarrow K_{25} \rightarrow H_{28}$ $K_3 \rightarrow H_6 \rightarrow K_9 \rightarrow H_{12} \rightarrow K_{15} \rightarrow$ $\rightarrow H_{18} \rightarrow K_{21} \rightarrow H_{24}$ $K_{27} \rightarrow H_{30} \rightarrow K_5 \rightarrow H_8 \rightarrow K_{11} \rightarrow$ $\rightarrow H_{14} \rightarrow K_{17} \rightarrow H_{20} \rightarrow K_{23} \rightarrow$ $\rightarrow H_{26} \rightarrow K_{29} \rightarrow H_2$	

Рис. 3-15. Упрощенная круговая схема двухслойной обмотки при $2p=10$; $a=10$.

а — общая схема для соединения фаз в λ или в Δ ; б — соединение фаз в λ ; в — соединение фаз в Δ .

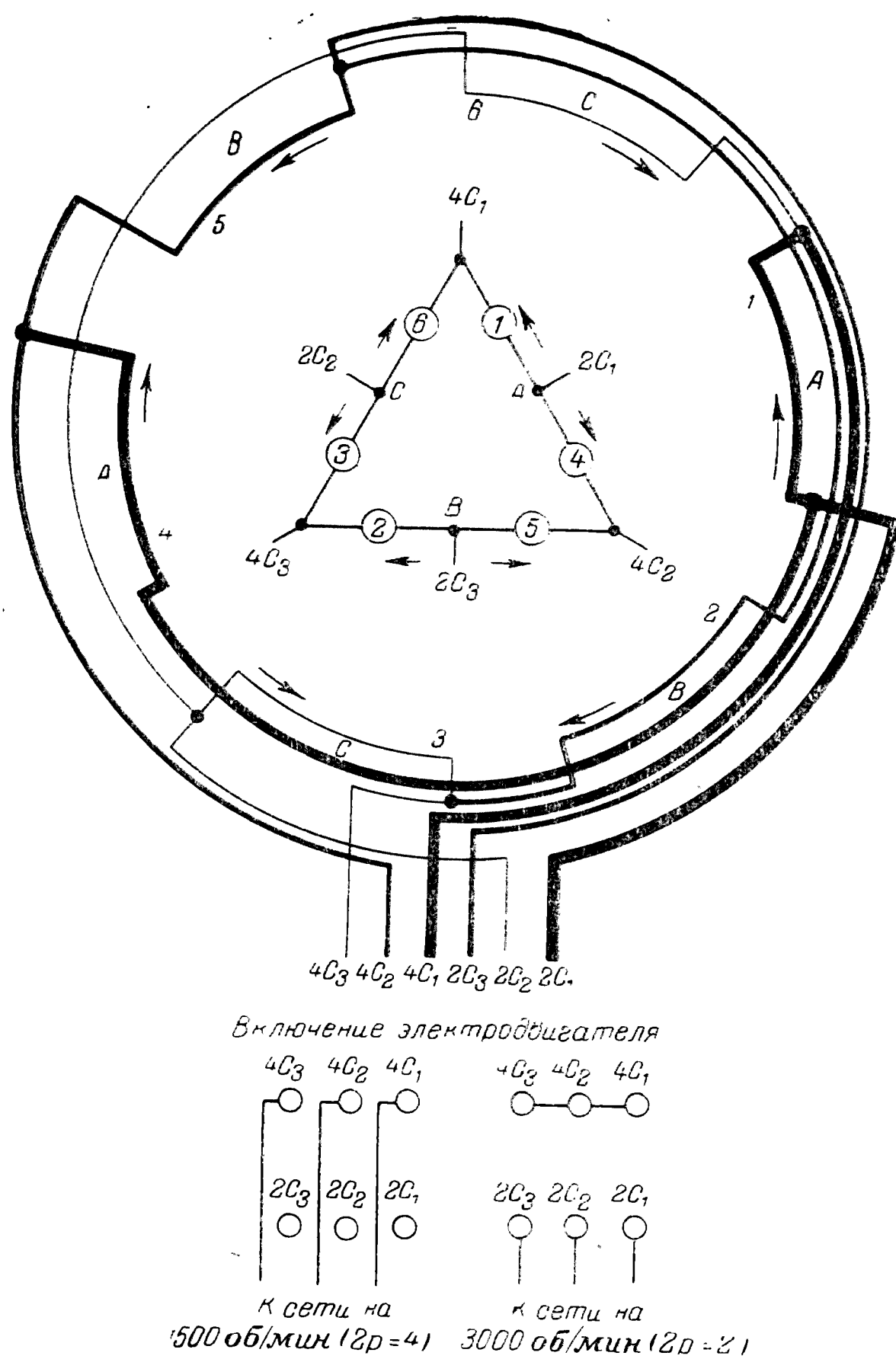


Рис. 3-16. Упрощенная круговая схема двухслойной двухскоростной статорной обмотки многоскоростного электродвигателя при $2p=4/2$; $a=1$. Соединение фаз $\Delta/\Delta\Delta$. Направление токов показано для числа полюсов $2p=2$.

Фазы	Соединения в фазах	Выводы	
		$2p=4$	$2p=2$
A	$H_1K_1 \rightarrow H_4K_4$	$4C_1 \rightarrow H_1 \rightarrow K_6$	$2C_1 \rightarrow H_4 \rightarrow K_1$
B	$H_5K_5 \rightarrow H_2K_2$	$4C_2 \rightarrow H_5 \rightarrow K_4$	$2C_3 \rightarrow H_2 \rightarrow K_5$
C	$H_3K_3 \rightarrow H_6K_6$	$4C_3 \rightarrow H_3 \rightarrow K_2$	$2C_2 \rightarrow H_6 \rightarrow K_3$

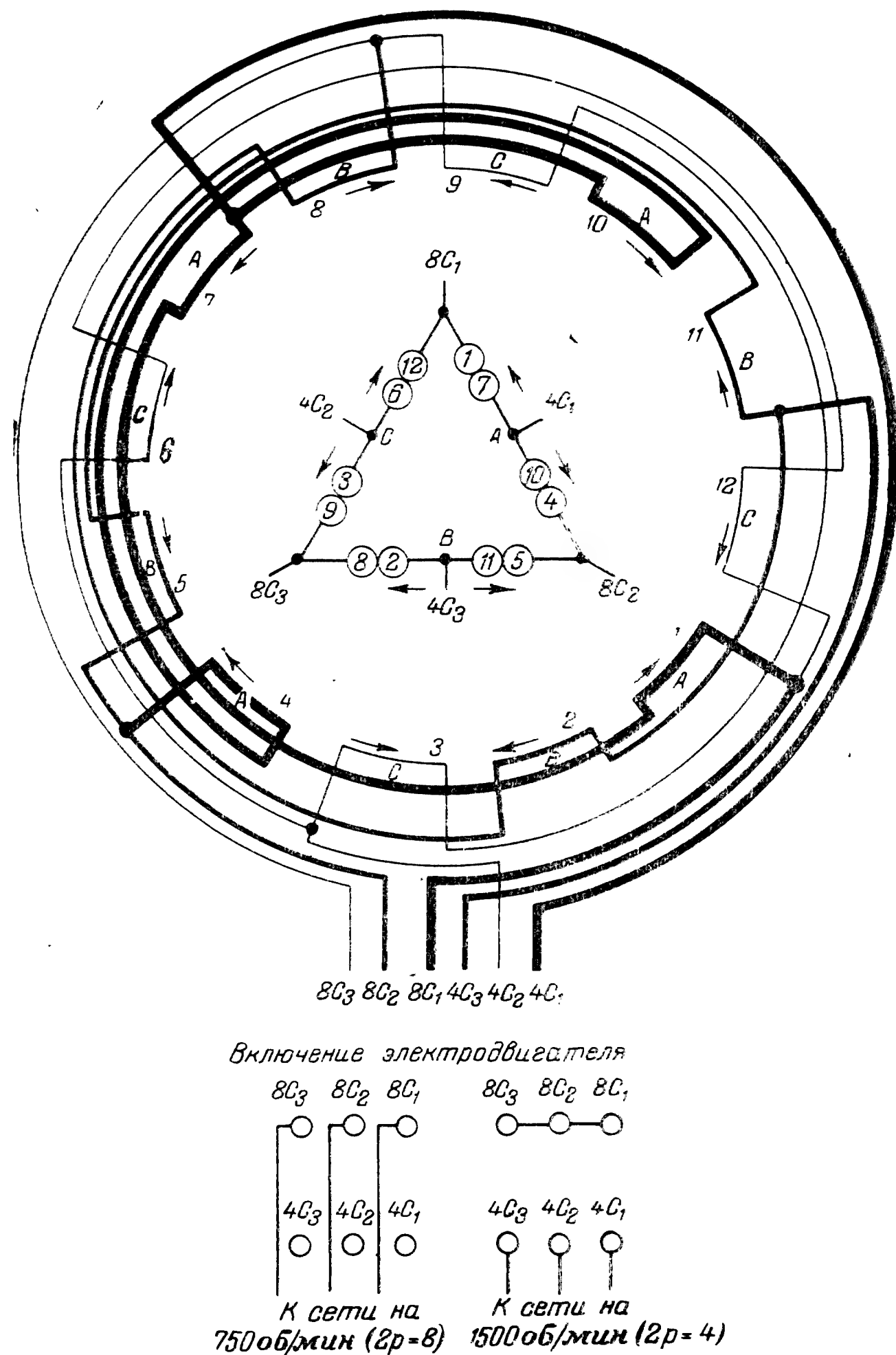
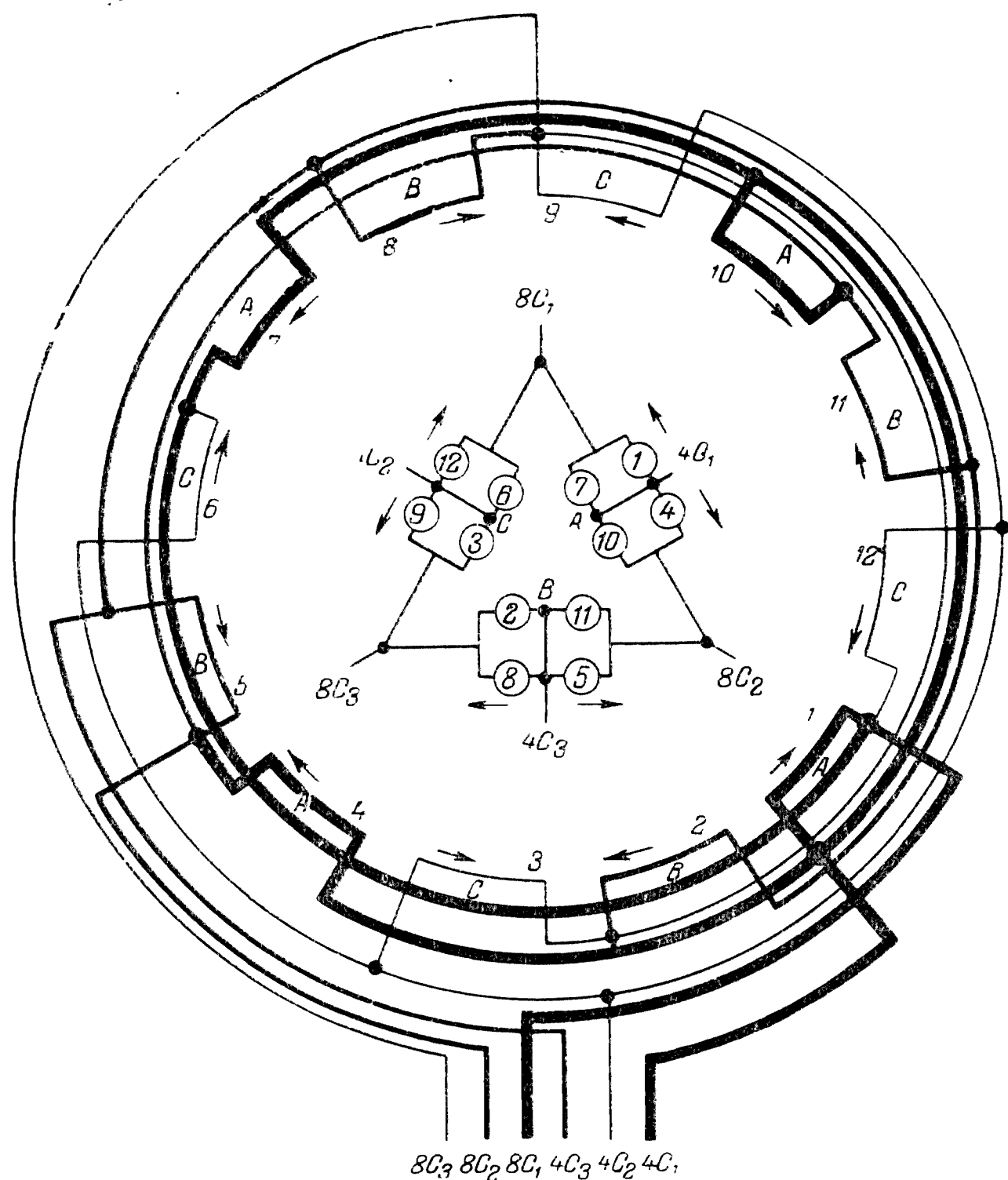


Рис. 3-17. Упрощенная круговая схема двухслойной двухскоростной статорной обмотки многоскоростного электродвигателя при $2p=8/4$; $a=1$. Соединение фаз $\Delta/\Delta\Delta$. Направление токов показано для числа полюсов $2p=4$.

Фазы	Соединения в фазах	Выводы	
		$2p=8$	$2p=4$
A	$H_1K_1 \rightarrow H_7K_7 \rightarrow H_{10}K_{10} \rightarrow H_4K_4$	$8C_1 \rightarrow H_1 \rightarrow K_{12}$	$4C_1 \rightarrow H_{10} \rightarrow K_7$
B	$H_5K_5 \rightarrow H_{11}K_{11} \rightarrow H_2K_2 \rightarrow H_8K_8$	$8C_2 \rightarrow H_5 \rightarrow K_4$	$4C_3 \rightarrow H_2 \rightarrow K_{11}$
C	$H_9K_9 \rightarrow H_3K_3 \rightarrow H_6K_6 \rightarrow H_{12}K_{12}$	$8C_3 \rightarrow H_9 \rightarrow K_6$	$4C_2 \rightarrow H_6 \rightarrow K_3$



$8C_3, 8C_2, 8C_1, 4C_3, 4C_2, 4C_1$

Включение электродвигателя:

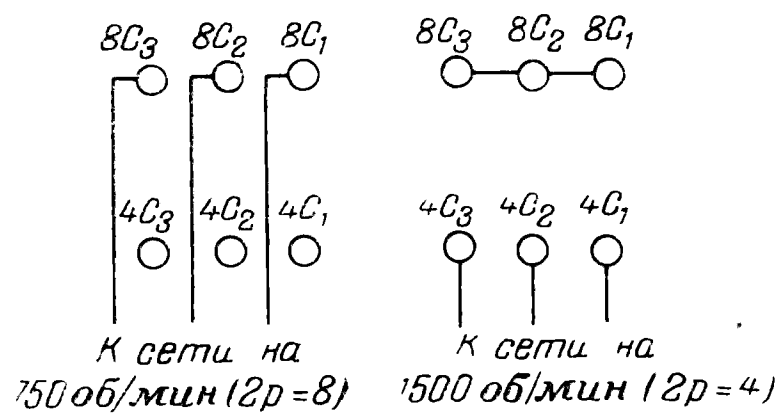
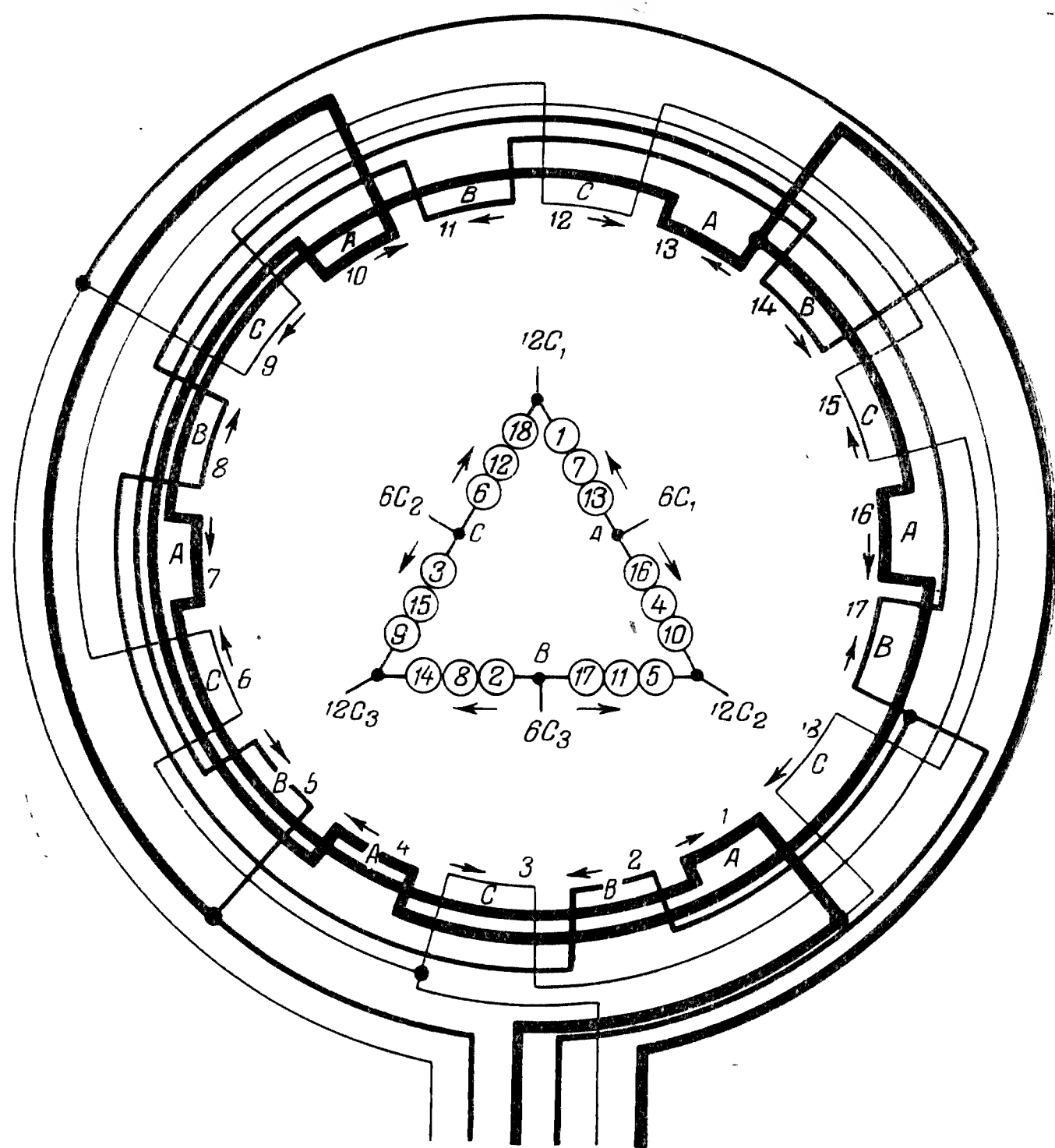


Рис. 3-18. Упрощенная круговая схема двухслойной двухскоростной статорной обмотки многоскоростного электродвигателя при $2p=8/4$; $a=2$. Соединение фаз $\Delta/\lambda\lambda$. Направление токов показано для числа полюсов $2p=4$.

Соединения в фазах		
A	B	C
$H_1K_1 \rightarrow H_4K_4$ $H_7K_7 \rightarrow H_{10}K_{10}$	$H_5K_5 \rightarrow H_8K_8$ $H_{11}K_{11} \rightarrow H_2K_2$	$H_9K_9 \rightarrow H_{12}K_{12}$ $H_3K_3 \rightarrow H_6K_6$
парал- лельно		
Выводы		
$2p=8$	$2p=4$	
$8C_1 \rightarrow H_1 \rightarrow H_7 \rightarrow K_6 \rightarrow K_{12}$ $8C_2 \rightarrow H_5 \rightarrow H_{11} \rightarrow K_4 \rightarrow K_{10}$ $8C_3 \rightarrow H_9 \rightarrow H_3 \rightarrow K_2 \rightarrow K_8$	$4C_1 \rightarrow H_{10} \rightarrow H_4 \rightarrow K_1 \rightarrow K_7$ $4C_3 \rightarrow H_2 \rightarrow H_8 \rightarrow K_5 \rightarrow K_{11}$ $4C_2 \rightarrow H_6 \rightarrow H_{12} \rightarrow K_9 \rightarrow K_3$	



$12C_3, 12C_2, 12C_1, 6C_3, 6C_2, 6C_1$

Включение электродвигателя:

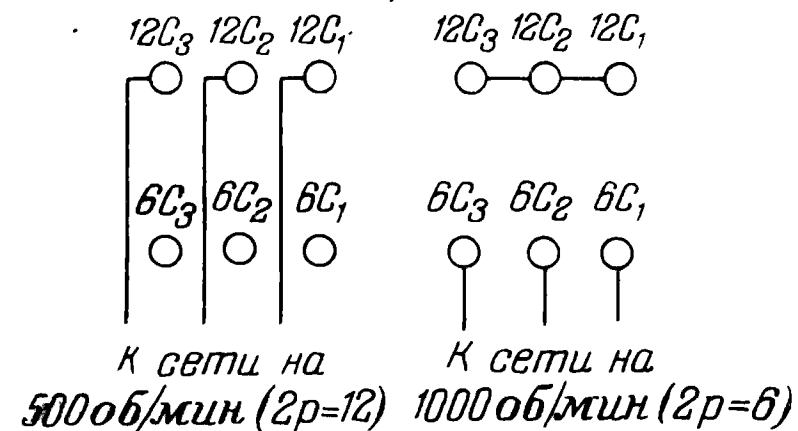
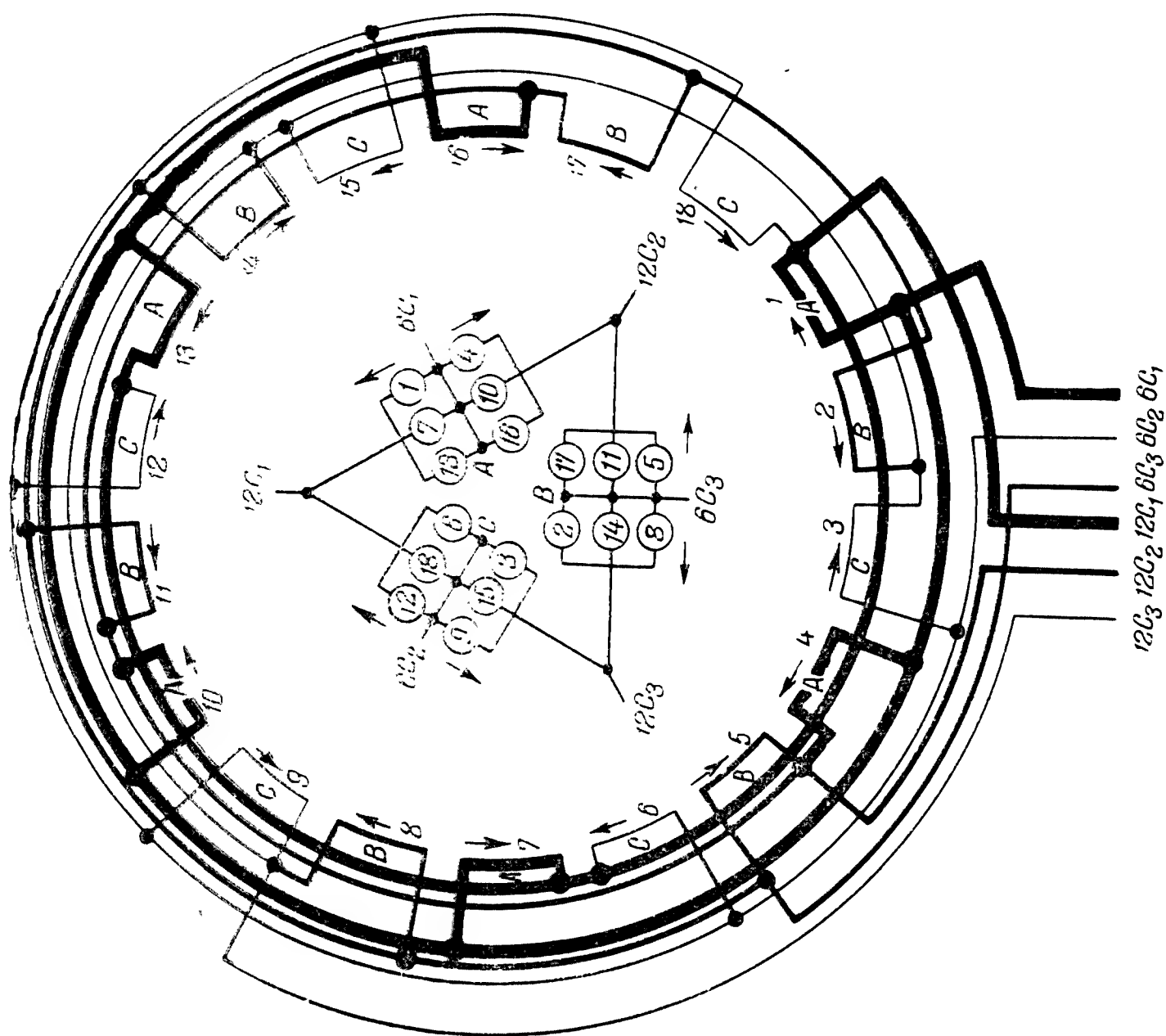


Рис. 3-19. Упрощенная круговая схема двухслойной двухскоростной обмотки многоскоростного электродвигателя при $2p=12/6$; $a=1$. Соединение фаз $\Delta/\lambda\lambda$. Направление токов показано для числа полюсов $2p=6$.

Фазы	Соединения в фазах	Выводы	
		$2p=12$	$2p=6$
A	$H_1K_1 \rightarrow H_7K_7 \rightarrow H_{13}K_{13} \rightarrow$ $\rightarrow H_{16}K_{16} \rightarrow H_4K_4 \rightarrow H_{10}K_{10}$	$12C_1 \rightarrow H_1 \rightarrow K_{18}$	$6C_1 \rightarrow H_{16} \rightarrow K_{18}$
B	$H_5K_5 \rightarrow H_{11}K_{11} \rightarrow H_{17}K_{17} \rightarrow$ $\rightarrow H_2K_2 \rightarrow H_8K_8 \rightarrow H_{14}K_{14}$	$12C_2 \rightarrow H_5 \rightarrow K_{10}$	$6C_3 \rightarrow H_2 \rightarrow K_{17}$
C	$H_9K_9 \rightarrow H_{15}K_{15} \rightarrow H_3K_3 \rightarrow$ $\rightarrow H_6K_6 \rightarrow H_{12}K_{12} \rightarrow H_{18}K_{18}$	$12C_3 \rightarrow H_9 \rightarrow K_{14}$	$6C_2 \rightarrow H_6 \rightarrow K_3$



Включение электродвигателя

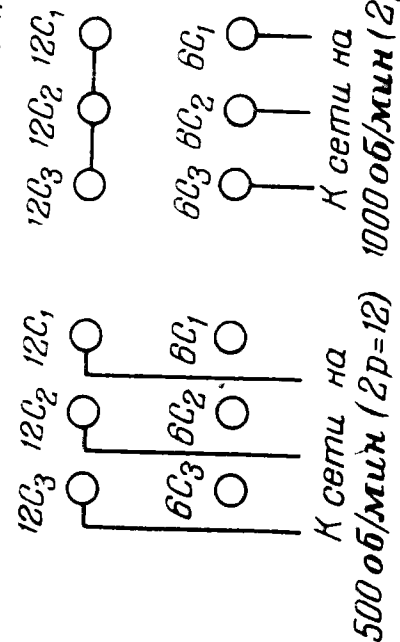


Рис. 3-20. Развернутая круговая схема двухслойной двухскоростной статорной обмотки многоскоростного электродвигателя при $2p=12/6$; $a=3$. Соединение фаз $\Delta/\lambda\lambda$. Направление токов показано для числа полюсов $2p=6$.

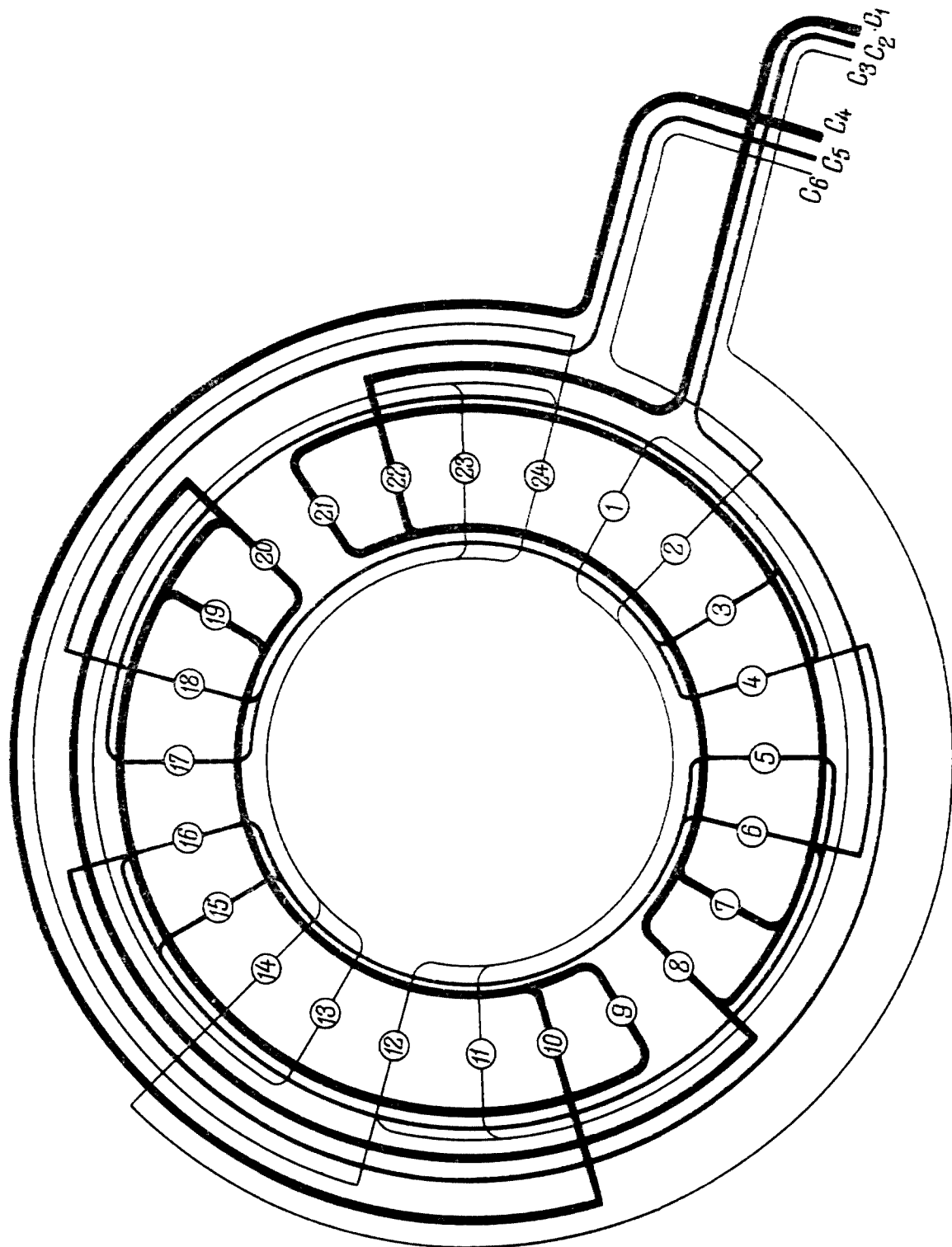


Рис. 3-21. Развернутая круговая схема однослойной статорной обмотки при $2p=2$; $z=24$; $q=4$; $a=1$. Для электродвигателей на напряжение 500 в выводить только три конца — C_1 , C_2 , C_3 . Для образования нулевой точки концы фаз C_4 , C_5 , C_6 соединить между собой.

Соединения в фазах			Выходы	
A	B	C	$2p=12$	$2p=6$
$H_1K_1 \rightarrow H_4K_4$ $H_7K_7 \rightarrow H_{10}K_{10}$ $H_{13}K_{13} \rightarrow H_{16}K_{16}$	$H_5K_5 \rightarrow H_8K_8$ $H_{11}K_{11} \rightarrow H_{14}K_{14}$ $H_{17}K_{17} \rightarrow H_2K_2$	$H_9K_9 \rightarrow H_{12}K_{12}$ $H_{15}K_{15} \rightarrow H_{18}K_{18}$ $H_3K_3 \rightarrow H_6K_6$	$12C_1 \rightarrow H_1 \rightarrow H_7 \rightarrow H_{13} \rightarrow K_6 \rightarrow K_{12} \rightarrow K_{18} \rightarrow 12C_2 \rightarrow H_5 \rightarrow H_{11} \rightarrow H_{17} \rightarrow K_{10} \rightarrow K_4 \rightarrow K_{10} \rightarrow 12C_3 \rightarrow H_9 \rightarrow H_{15} \rightarrow H_3 \rightarrow K_2 \rightarrow K_8 \rightarrow K_{14}$	$6C_1 \rightarrow H_{16} \rightarrow H_4 \rightarrow H_{10} \rightarrow K_1 \rightarrow K_7 \rightarrow K_{13} \rightarrow 6C_3 \rightarrow H_2 \rightarrow H_8 \rightarrow H_{14} \rightarrow K_5 \rightarrow K_{11} \rightarrow K_{17} \rightarrow 6C_2 \rightarrow H_6 \rightarrow H_{12} \rightarrow H_{18} \rightarrow K_9 \rightarrow K_{15} \rightarrow K_3$

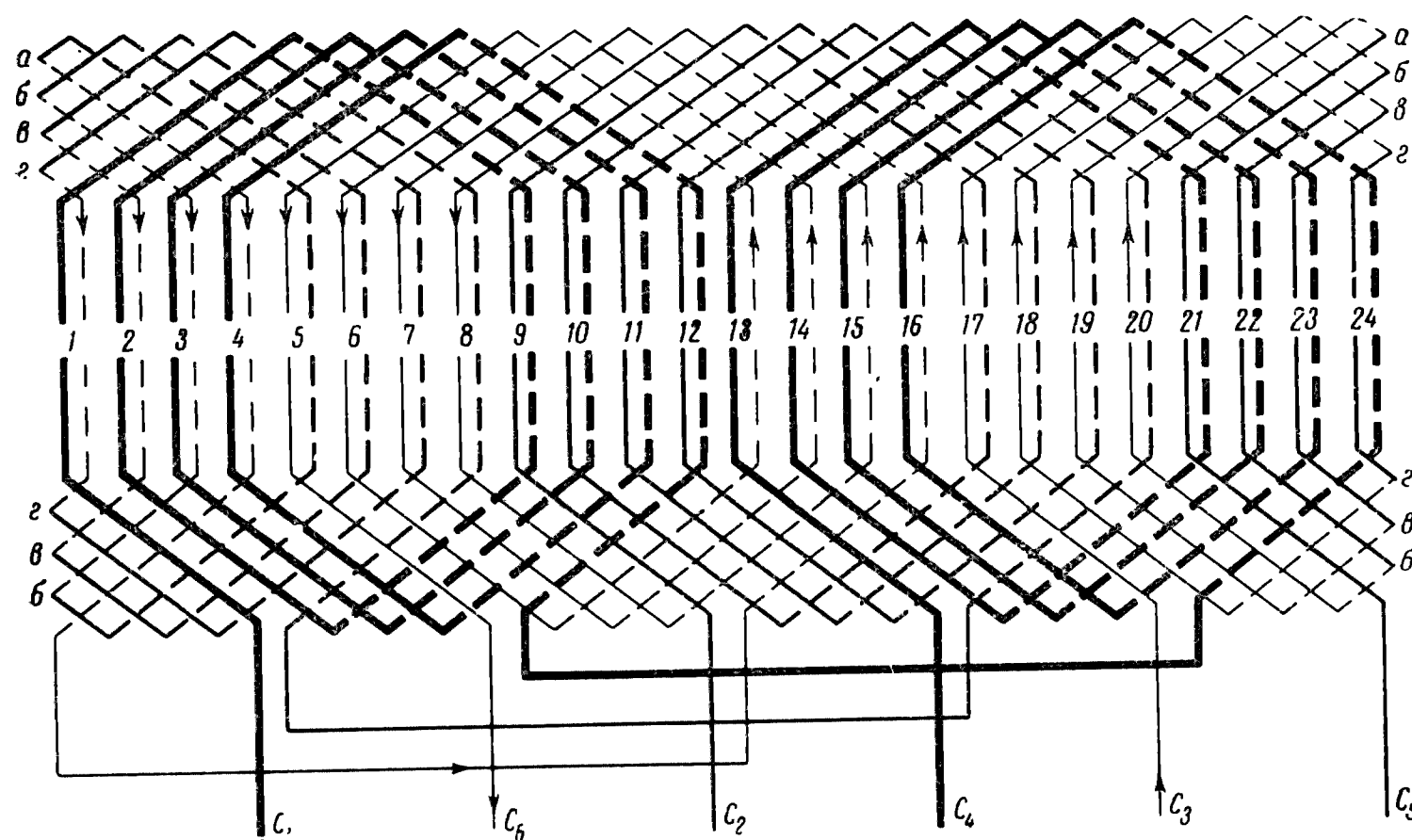


Рис. 3-22. Развернутая схема двухслойной статорной обмотки при $2p=2$; $z=24$; $q=4$; $y=1-9$; $a=1$. Для электродвигателей на напряжение 500 в выводить только три конца — C_1 , C_2 , C_3 . Для образования нулевой точки концы фаз C_4 , C_5 , C_6 соединить между собой.

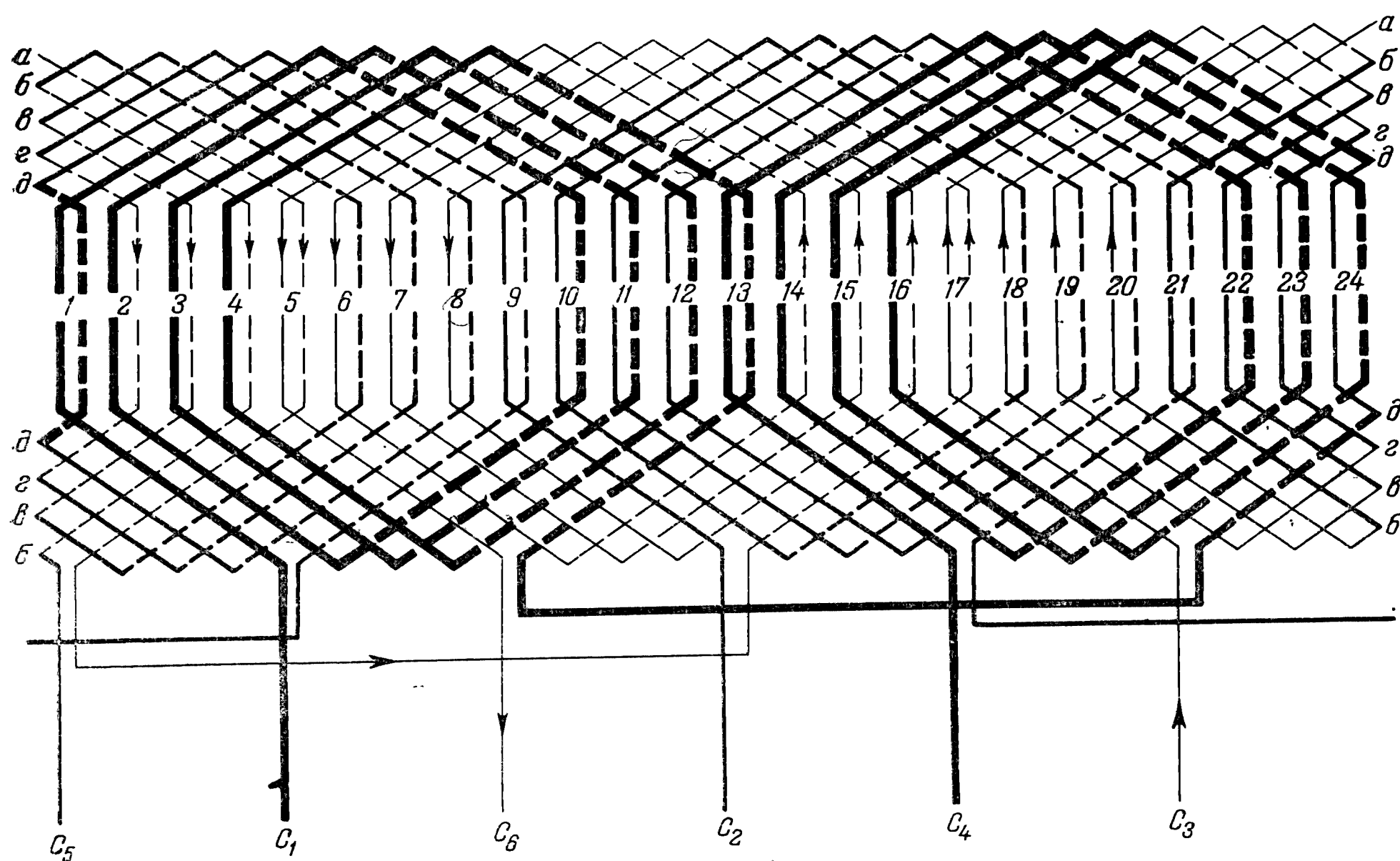


Рис. 3-23. Развернутая схема двухслойной статорной обмотки при $2p=2$; $z=24$; $q=4$; $y=1-10$; $a=1$. Для электродвигателей на напряжение 500 в выводить только три конца — C_1 , C_2 , C_3 . Для образования нулевой точки концы фаз C_4 , C_5 , C_6 соединить между собой.

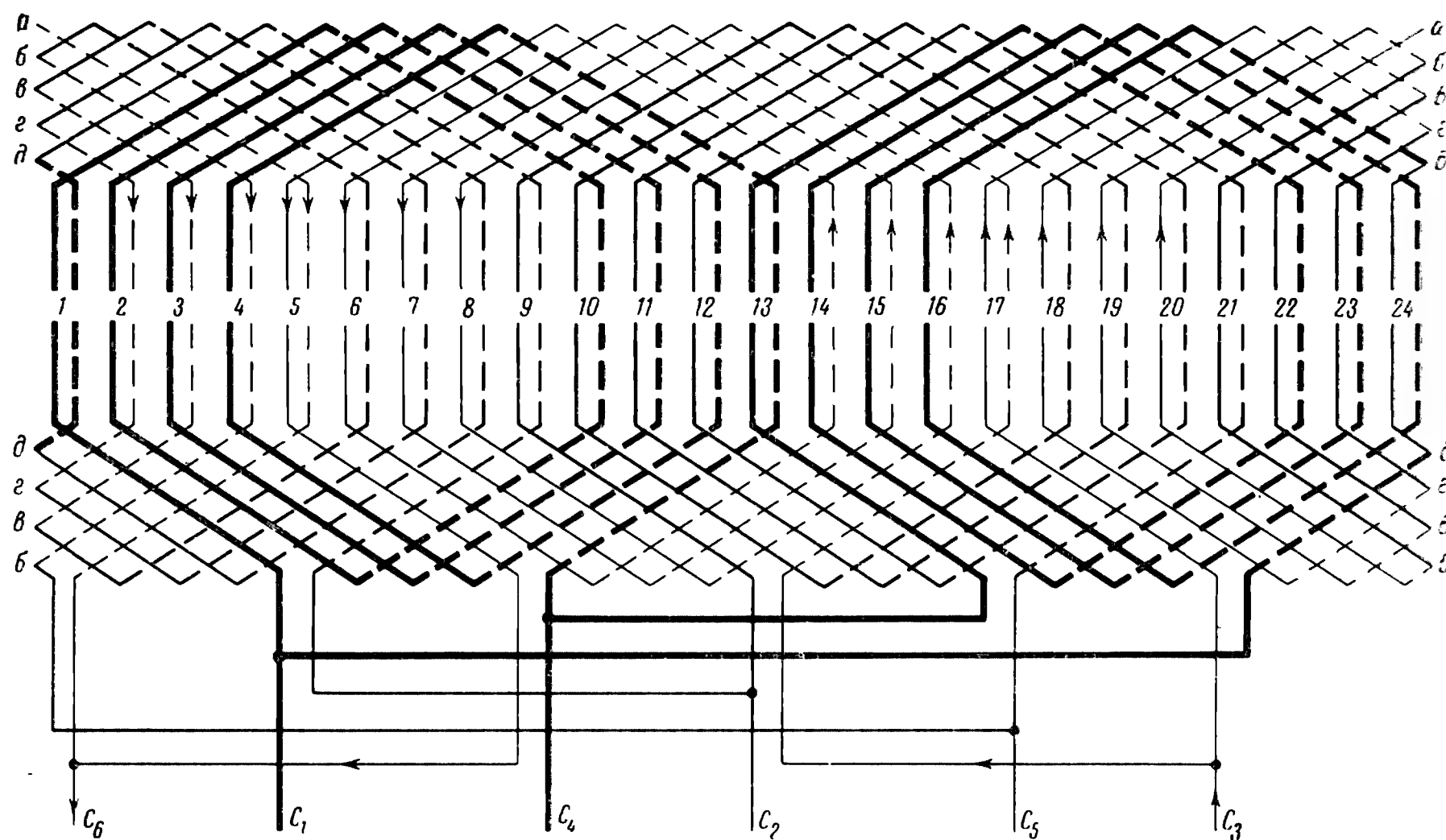


Рис. 3-24. Развернутая схема двухслойной статорной обмотки при $2p=2$; $z=24$; $q=4$; $y=1-10$; $a=2$. Для электродвигателей на напряжение 500 в выводить только три конца — C_1 , C_2 , C_3 . Для образования нулевой точки концы фаз C_4 , C_5 , C_6 соединить между собой.

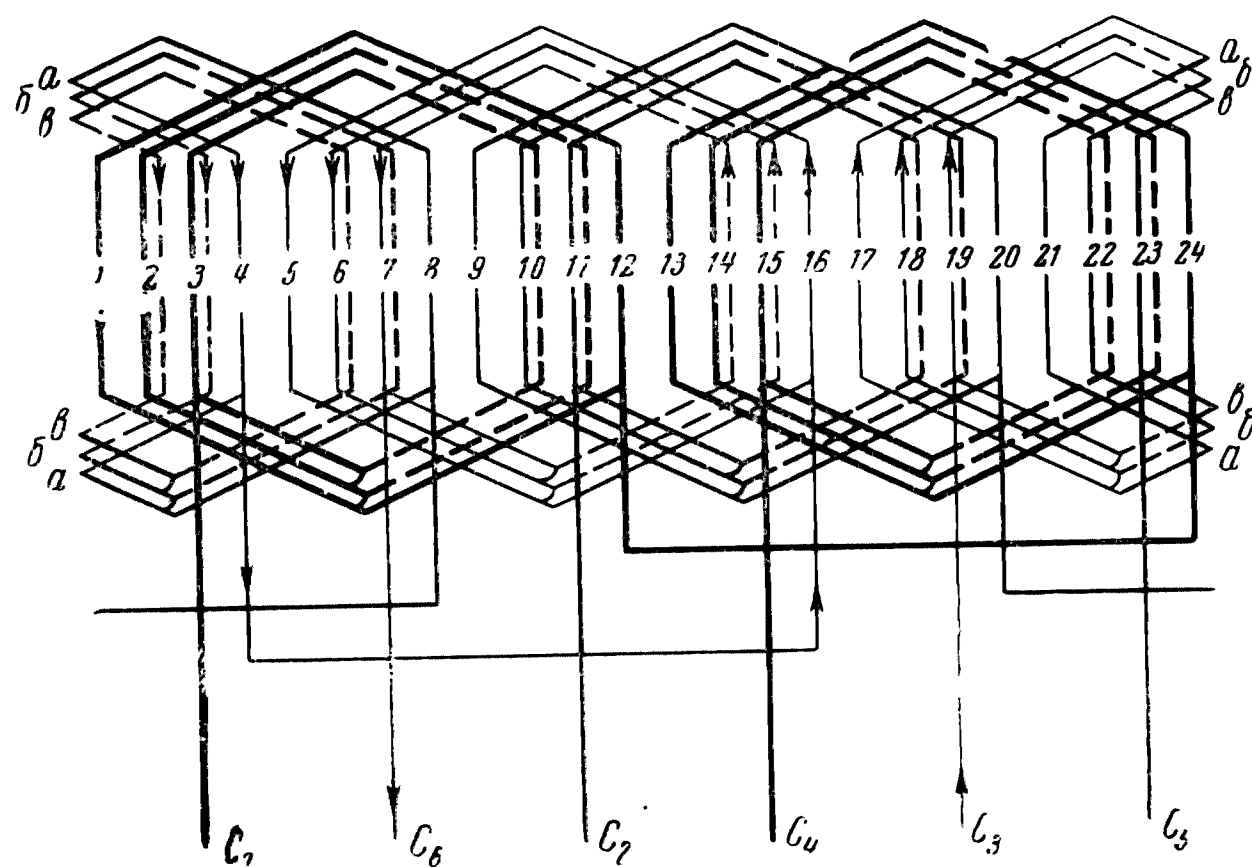


Рис. 3-25. Развернутая схема одно-, двухслойной статорной обмотки при $2p=2$; $z=24$; $q=4$; $y=1-12$, $2-11$, $3-10$; $a=1$. В пазах 1, 4, 5, 8, 9, 12, 13, 16, 17, 20, 21 и 24 обмотка однослойная, в остальных пазах — двухслойная. Для электродвигателей на напряжение 500 в выводить только три конца — C_1 , C_2 , C_3 . Для образования нулевой точки концы фаз C_4 , C_5 , C_6 соединить между собой.

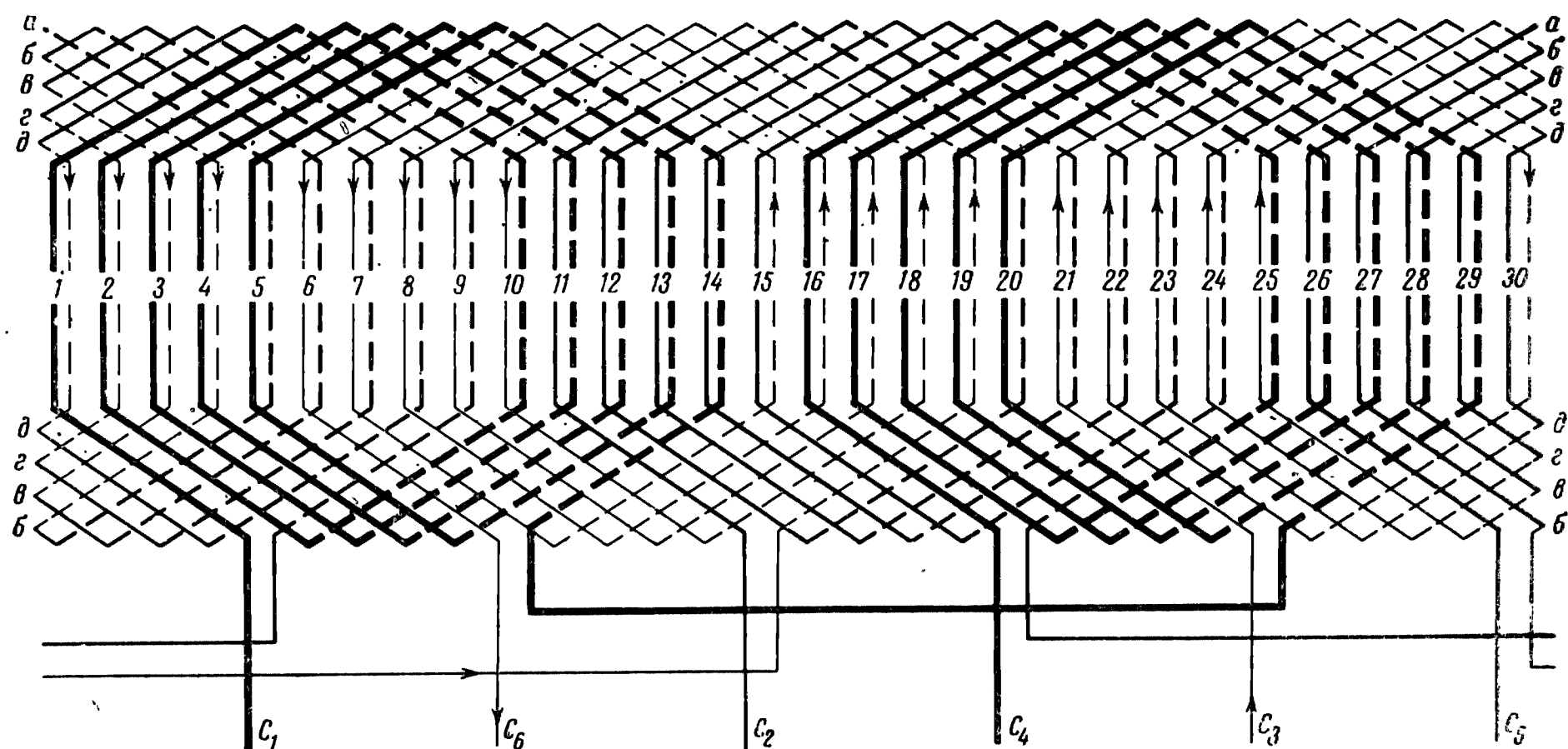


Рис. 3-26. Развернутая схема двухслойной статорной обмотки при $2p=2$; $z=30$; $q=5$; $y=1-10$; $a=1$. Для электродвигателей на напряжение 500 в выводить только три конца — C_1 , C_2 , C_3 . Для образования нулевой точки концы фаз C_4 , C_5 , C_6 соединить между собой.

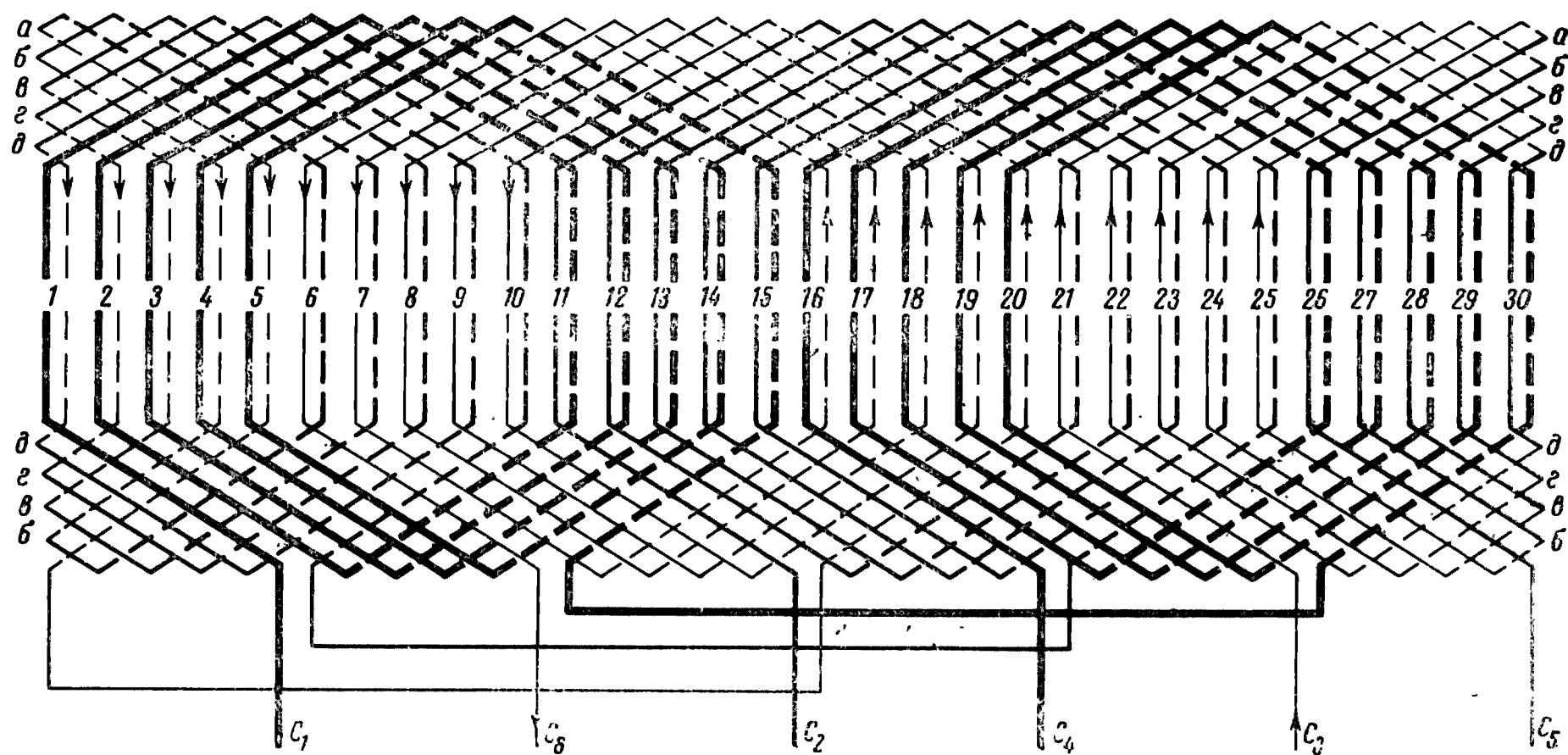


Рис. 3-27. Развернутая схема двухслойной статорной обмотки при $2p=2$; $z=30$; $q=5$; $y=1-11$; $a=1$. Для электродвигателей на напряжение 500 в выводить только три конца — C_1 , C_2 , C_3 . Для образования нулевой точки концы фаз C_4 , C_5 , C_6 соединить между собой.

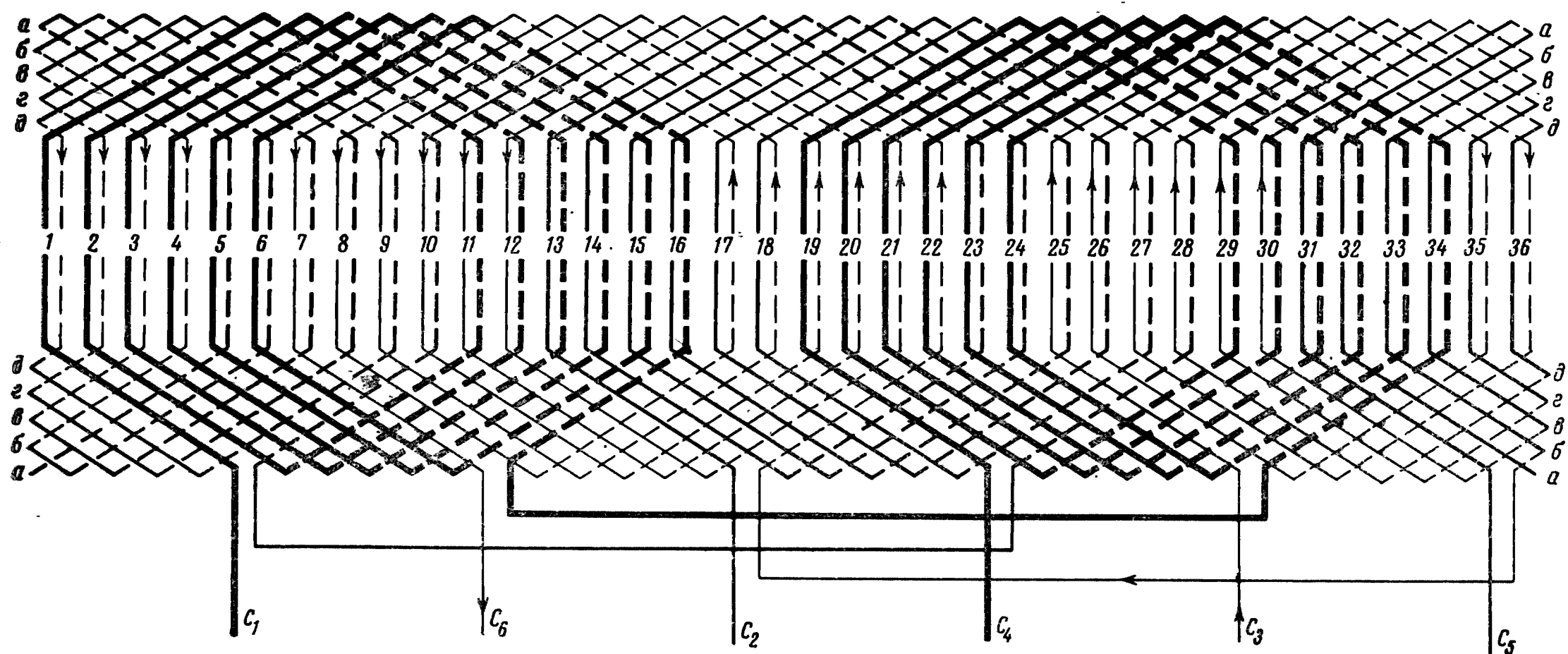


Рис. 3-28. Развернутая схема двухслойной статорной обмотки при $2p=2$; $z=36$; $q=6$; $y=1-11$; $a=1$. Для электродвигателей на напряжение 500 в выводить только три конца — C_1 , C_2 , C_3 . Для образования нулевой точки концы фаз C_4 , C_5 , C_6 соединить между собой.

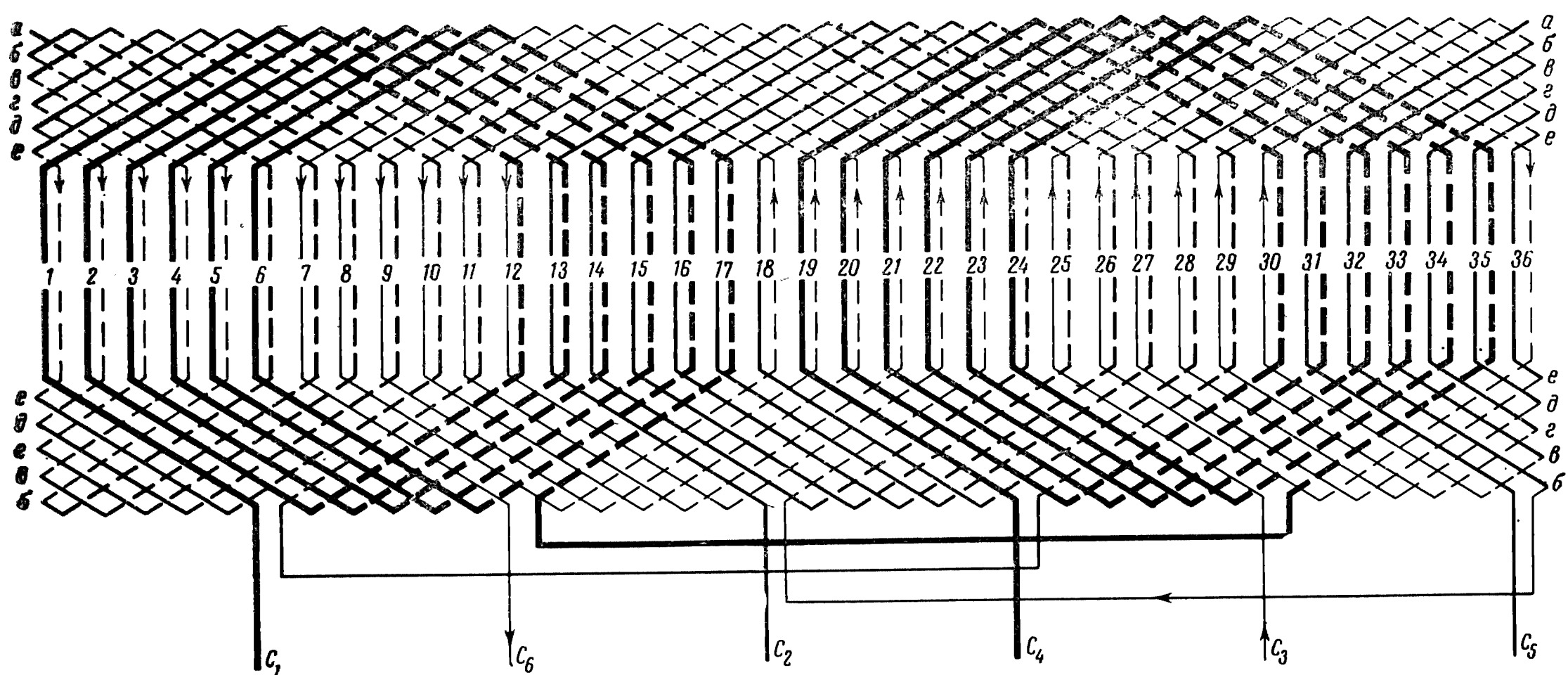


Рис. 3-29. Развернутая схема двухслойной статорной обмотки при $2p=2$; $z=36$; $q=6$; $y=1-12$; $a=1$. Для электродвигателей на напряжение 500 в выводить только три конца — C_1 , C_2 , C_3 . Для образования нулевой точки концы фаз C_4 , C_5 , C_6 соединить между собой.

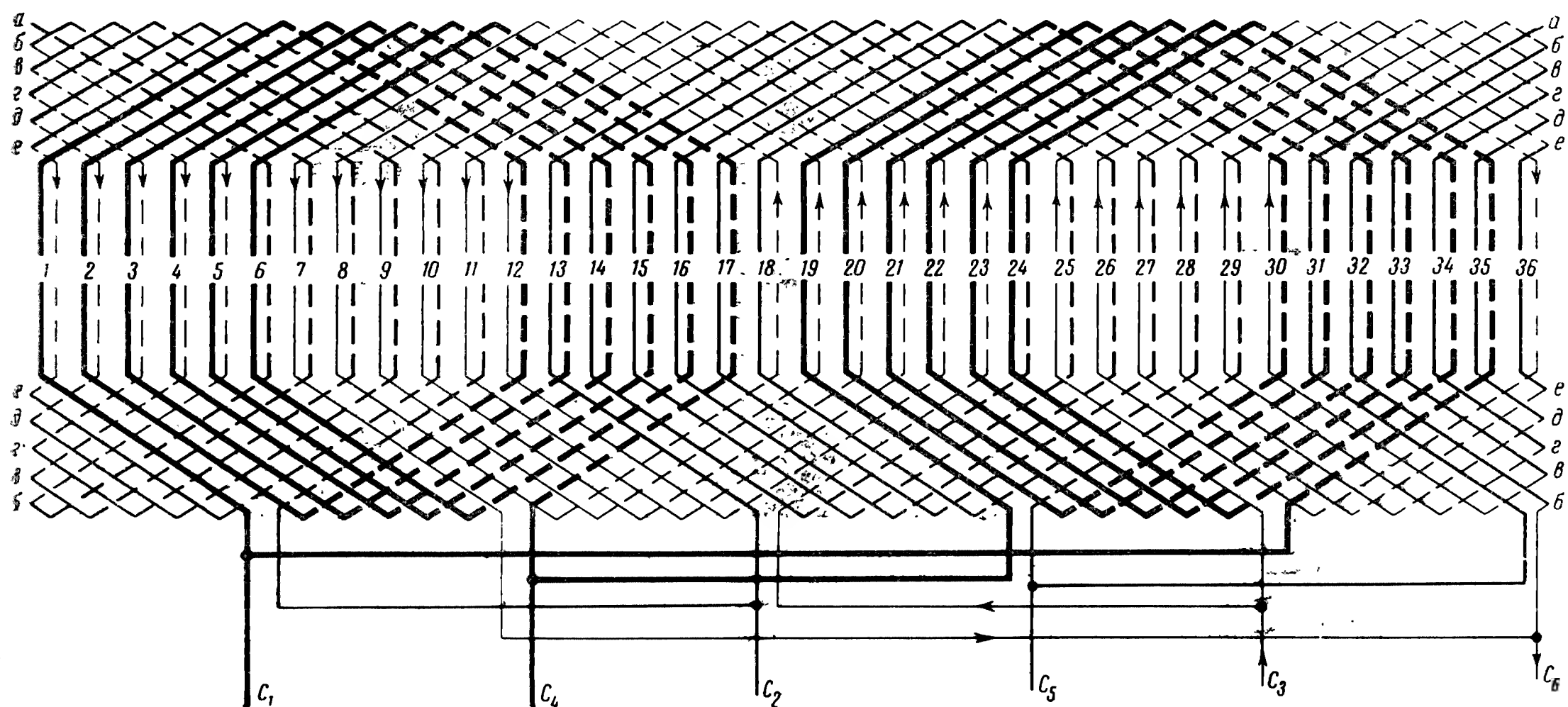


Рис. 3-30. Развернутая схема двухслойной статорной обмотки при $2p=2$; $z=36$; $q=6$; $y=1-12$; $a=2$. Для электродвигателей на напряжение 500 в выводить только три конца — C_1 , C_2 , C_3 . Для образования нулевой точки концы фаз C_4 , C_5 , C_6 соединить между собой.

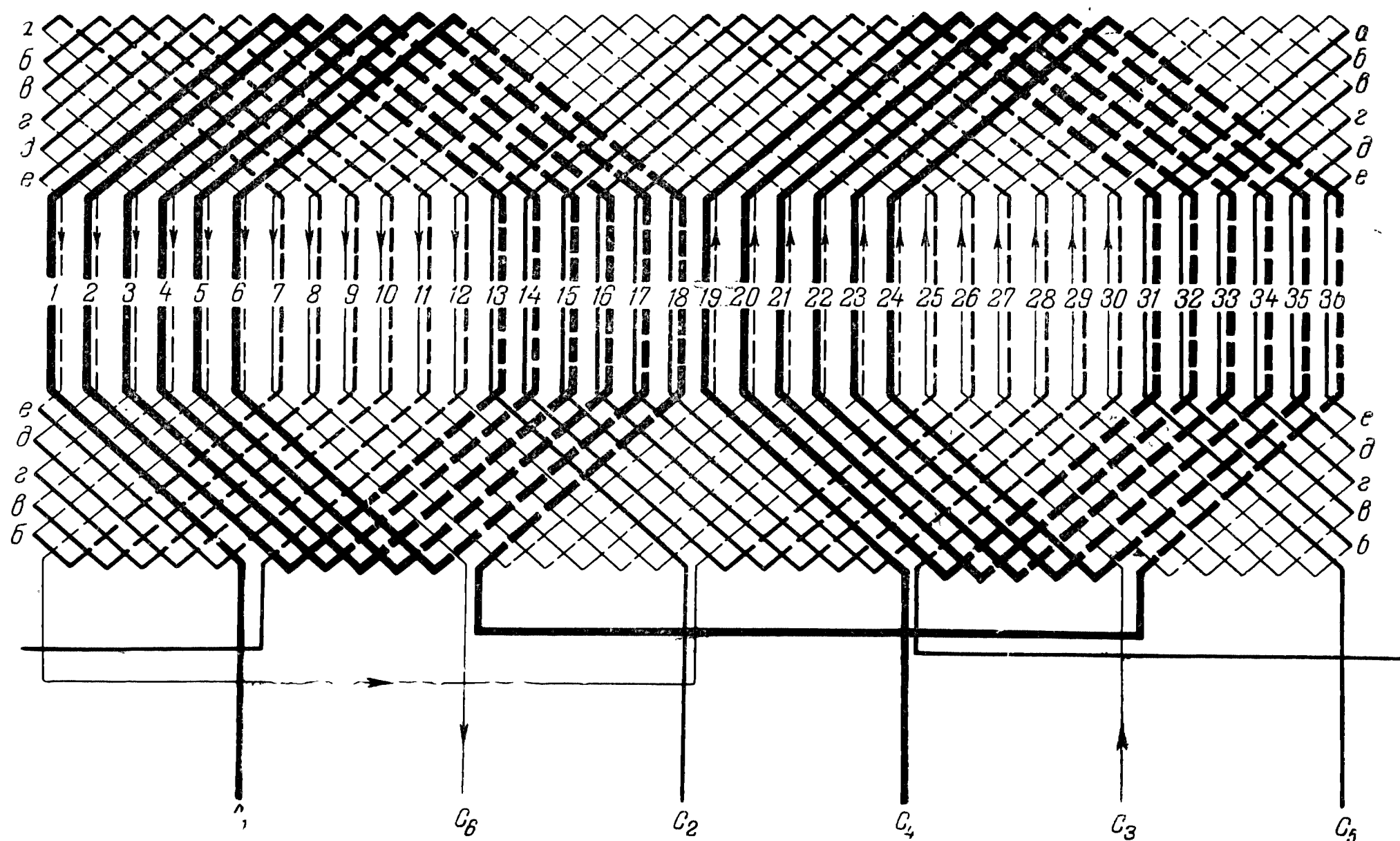


Рис. 3-31. Развернутая схема двухслойной статорной обмотки при $2p=2$; $z=36$; $q=6$; $y=1-13$; $a=1$. Для электродвигателей на напряжение 500 в выводить только три конца — C_1 , C_2 , C_3 . Для образования нулевой точки концы фаз C_4 , C_5 , C_6 соединить между собой.

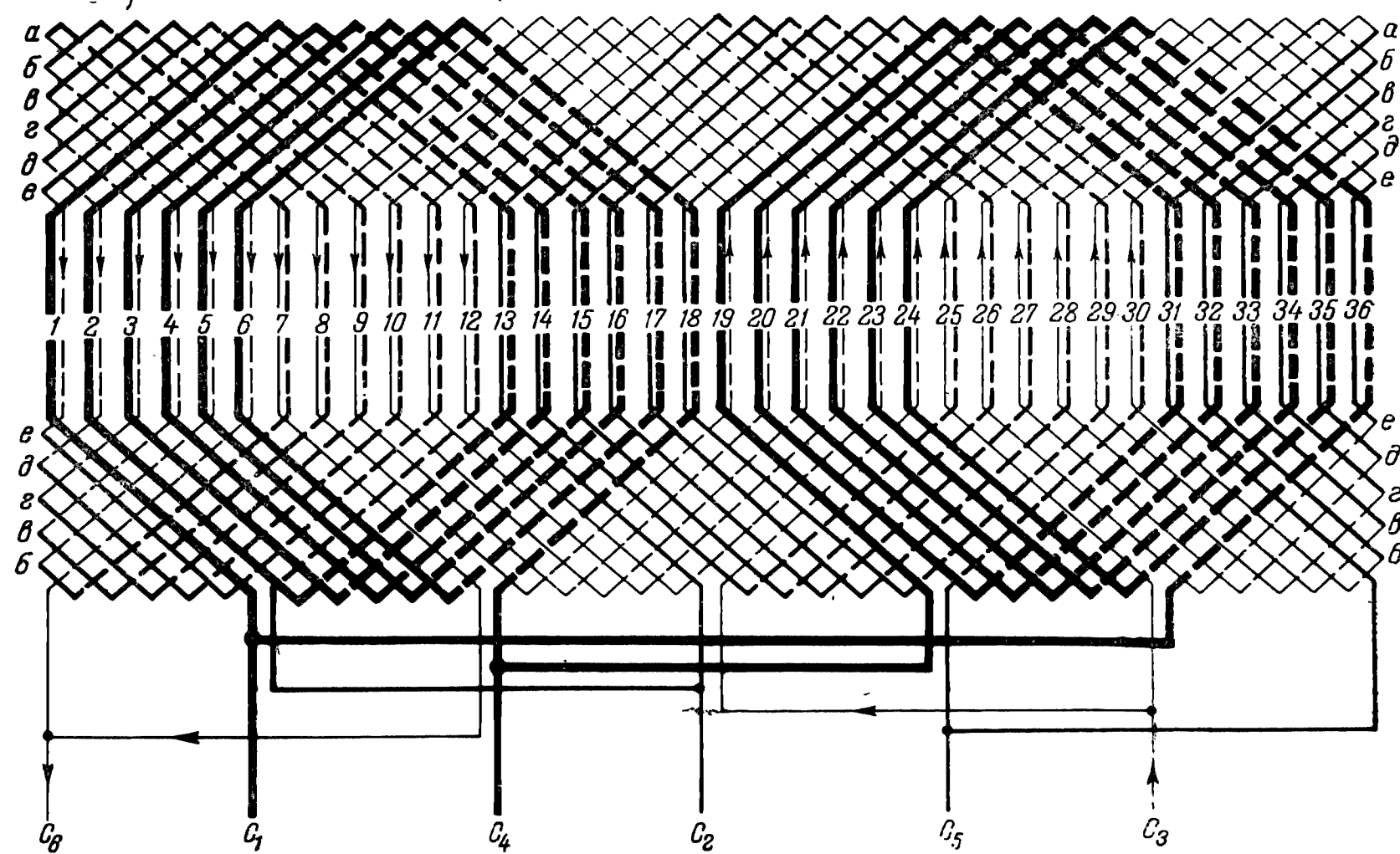


Рис. 3-32. Развернутая схема двухслойной статорной обмотки при $2p=2$; $z=36$; $q=6$; $y=1-13$; $a=2$. Для электродвигателей на напряжение 500 в выводить только три конца — C_1 , C_2 , C_3 . Для образования нулевой точки концы фаз C_4 , C_5 , C_6 соединить между собой.

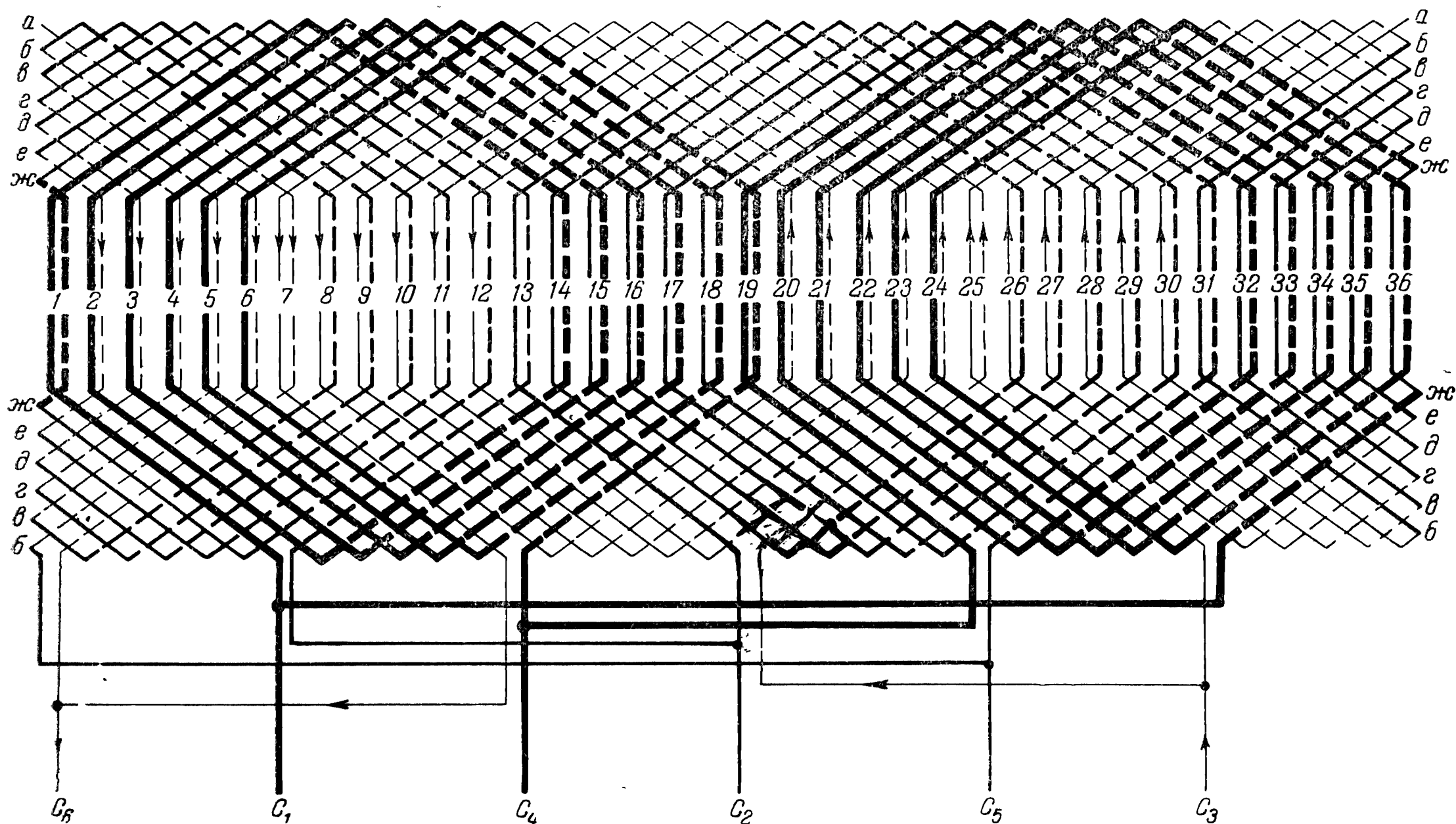


Рис. 3-33. Развернутая схема двухслойной статорной обмотки при $2p=2$; $z=36$; $y=1-14$; $a=2$. Для электродвигателей на напряжение 500 в выводить только три конца — C_1 , C_2 , C_3 . Для образования нулевой точки концы фаз C_4 , C_5 , C_6 соединить между собой.

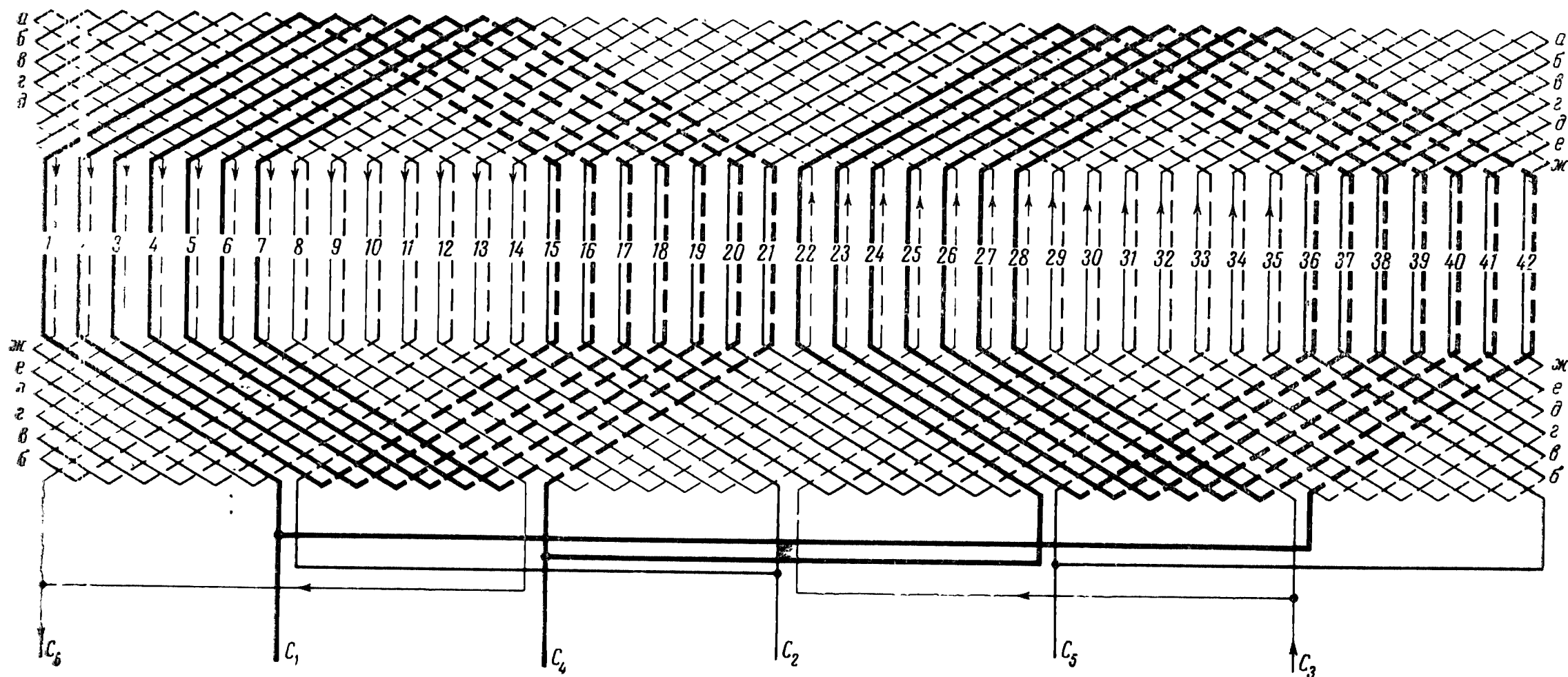


Рис. 3-34. Развернутая схема двухслойной статорной обмотки при $2p=2$; $z=42$; $q=7$; $y=1-15$; $a=2$. Для электродвигателей на напряжение 500 в выводить только три конца — C_1 , C_2 , C_3 . Для образования нулевой точки концы фаз C_4 , C_5 , C_6 соединить между собой.

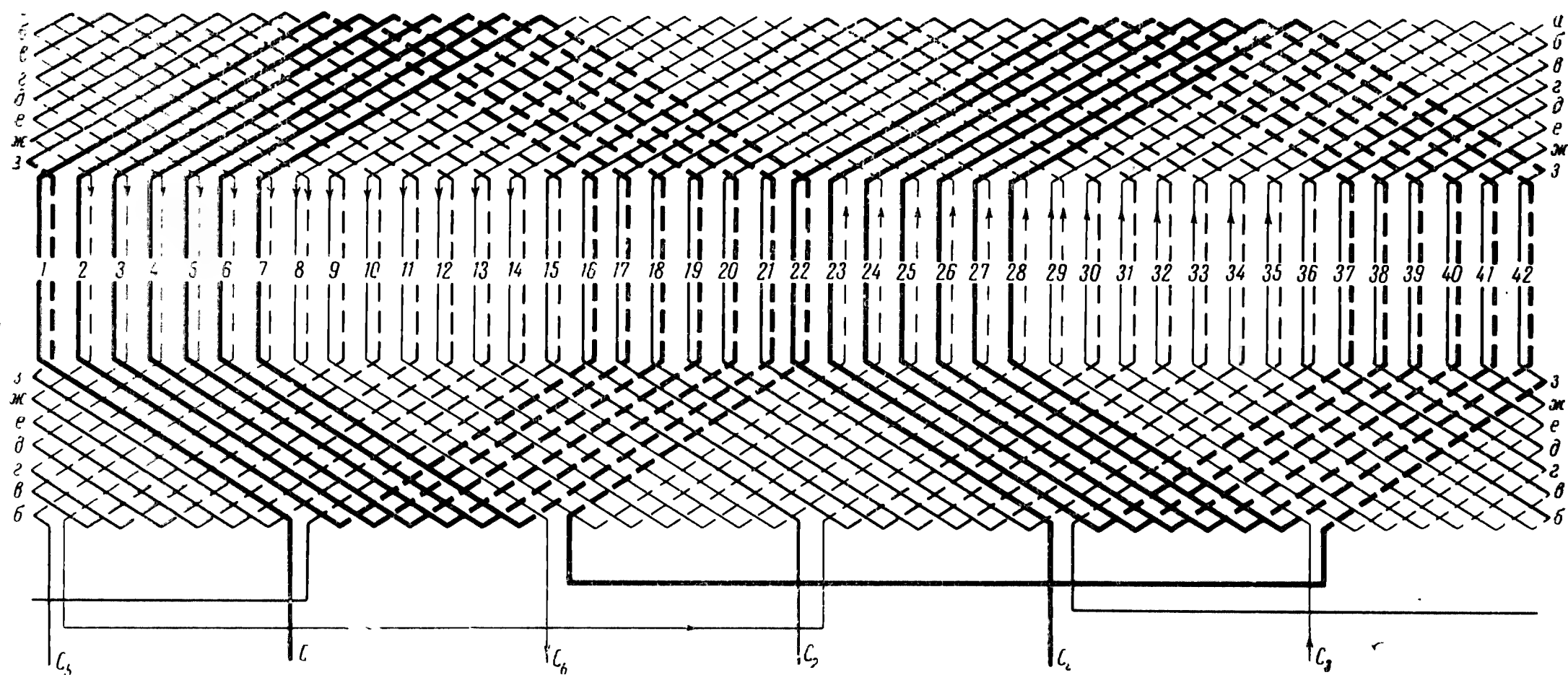


Рис. 3-35. Развернутая схема двухслойной статорной обмотки при $2p=2$; $z=42$; $q=7$; $y=1-16$; $a=1$. Для электродвигателей на напряжение 500 в выводить только три конца — C_1 , C_2 , C_3 . Для образования нулевой точки концы фаз C_4 , C_5 , C_6 соединить между собой.

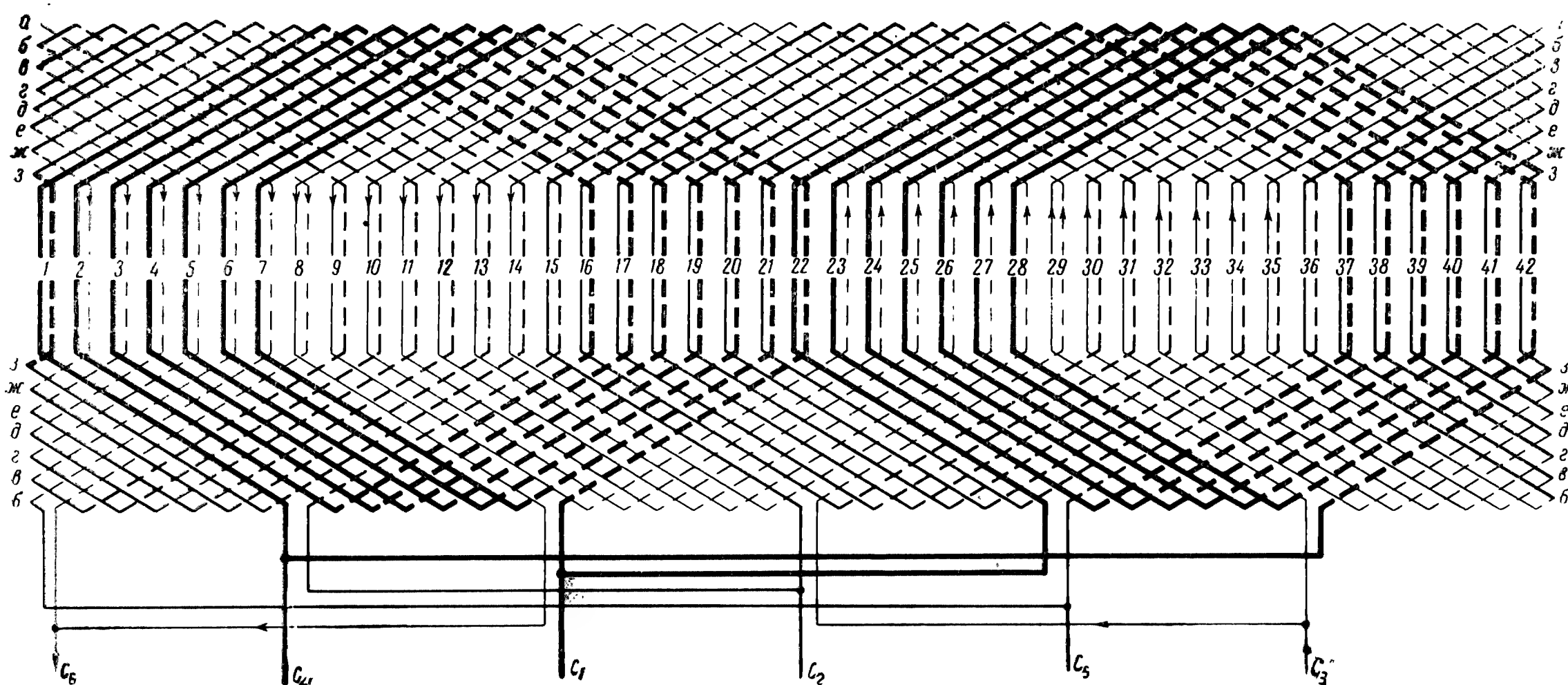


Рис. 3-36. Развернутая схема двухслойной статорной обмотки при $2p=2$; $z=42$; $q=7$; $y=1-16$; $a=2$. Для электродвигателей на напряжение 500 в выводить только три конца — C_1 , C_2 , C_3 . Для образования нулевой точки концы фаз C_4 , C_5 , C_6 соединить между собой.

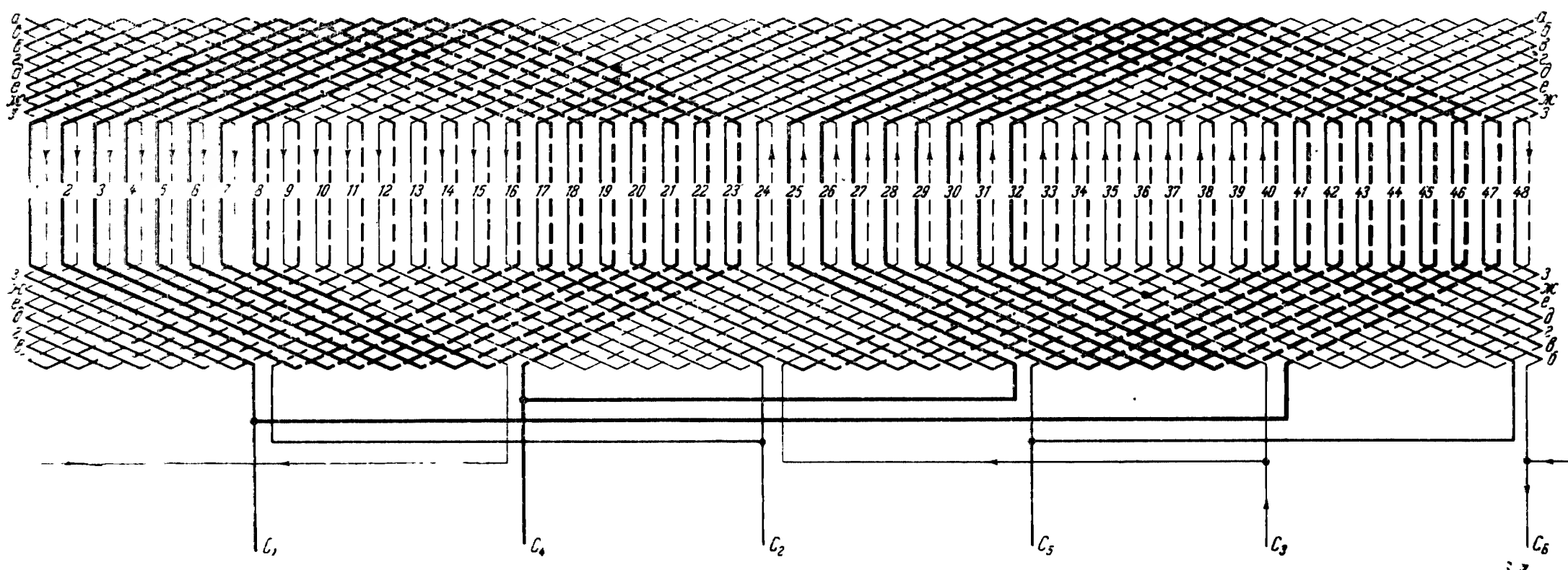


Рис. 3-37. Развернутая схема двухслойной статорной обмотки при $2p=2$; $z=48$; $q=8$; $y=1-16$; $a=2$. Для электродвигателей на напряжение 500 в вводить только три конца — C_1 , C_2 , C_3 . Для образования нулевой точки концы фаз C_4 , C_5 , C_6 соединить между собой.

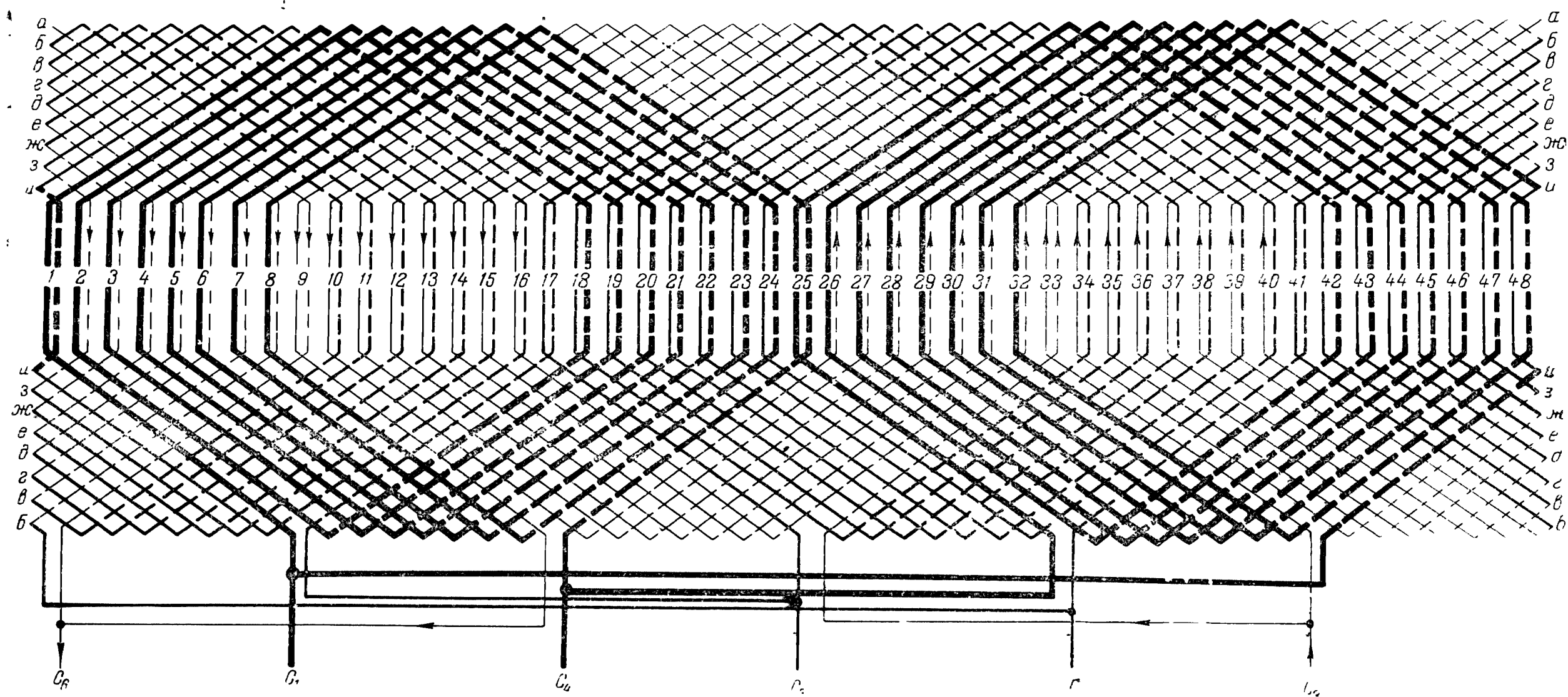


Рис. 3-38. Развернутая схема двухслойной статорной обмотки при $2p=2$; $z=48$; $q=8$; $y=1-18$; $a=2$. Для электродвигателей на напряжение 500 в выводить только три конца — C_1 , C_2 , C_3 . Для образования нулевой точки концы фаз C_4 , C_5 , C_6 соединить между собой.

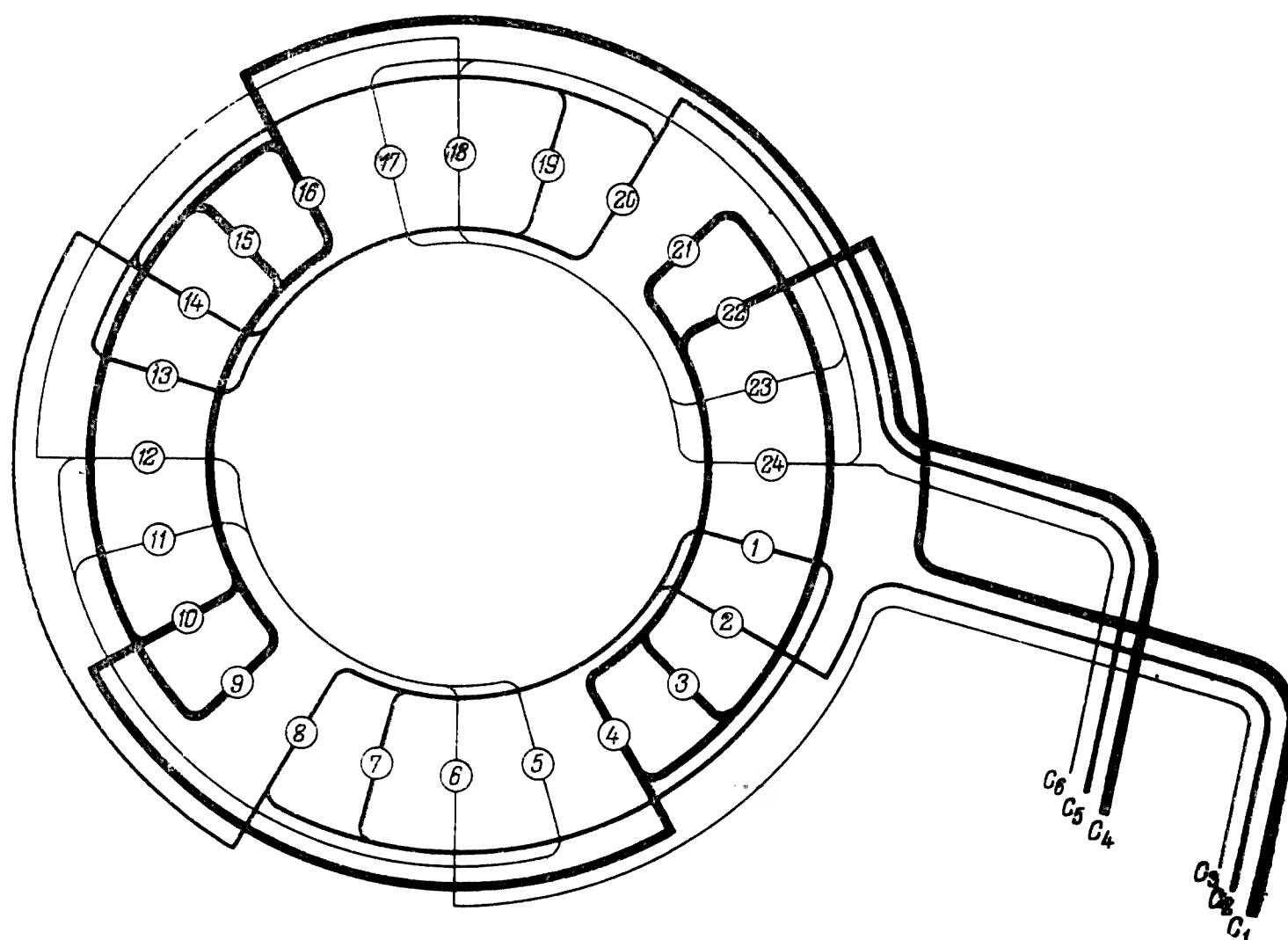


Рис. 3-39. Развернутая круговая схема однослойной статорной обмотки при $2p=4$; $z=24$; $q=2$; $a=1$. Для электродвигателей на напряжение 500 в выводить только три конца — C_1 , C_2 , C_3 . Для образования нулевой точки концы фаз C_4 , C_5 , C_6 соединить между собой.

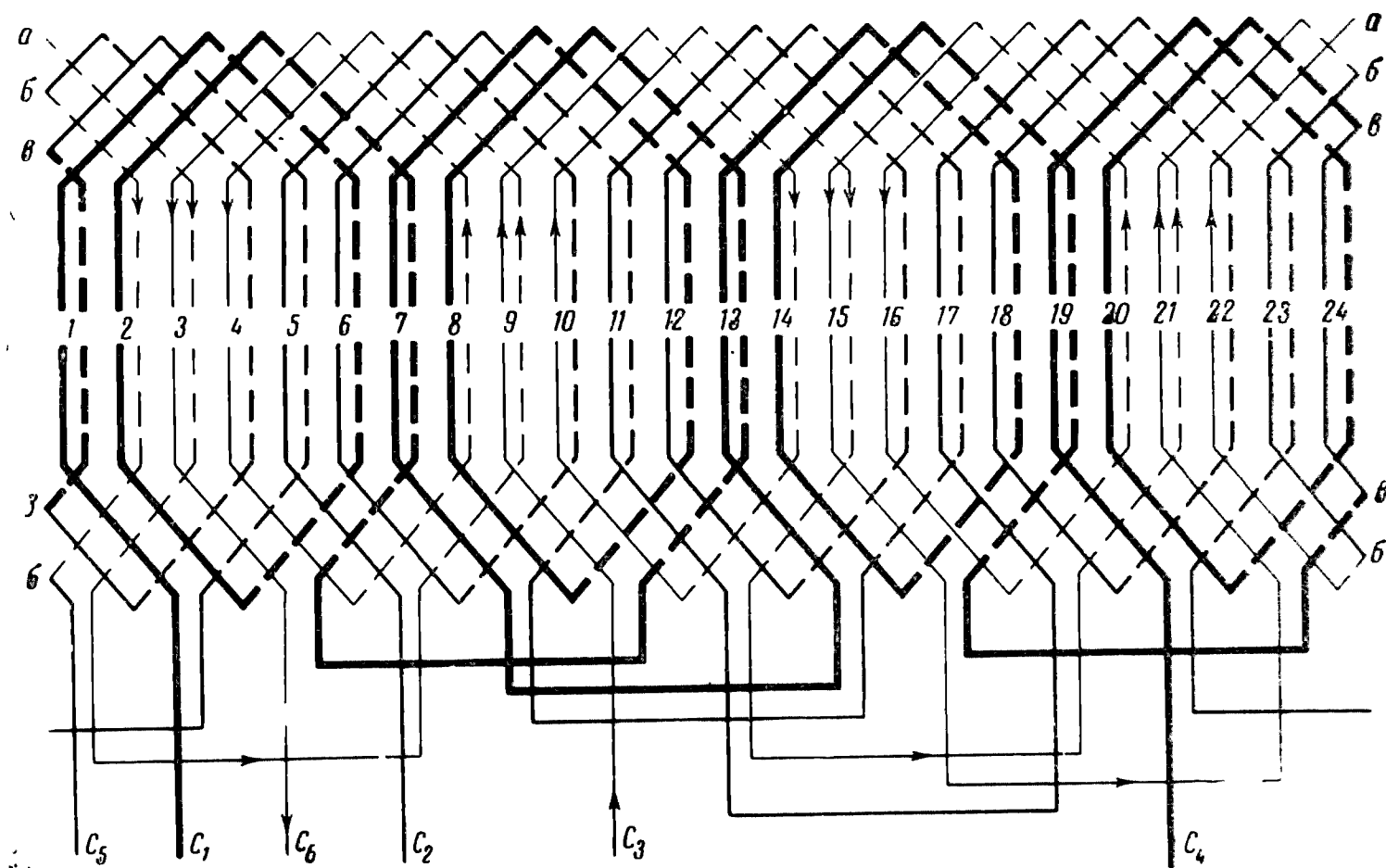


Рис. 3-40. Развернутая схема двухслойной обмотки при $2p=4$; $z=24$; $q=2$; $y=1-6$; $a=1$. Для электродвигателей на напряжение 500 в выводить только три конца — C_1, C_2, C_3 . Для образования нулевой точки концы фаз C_4, C_5, C_6 соединить между собой.

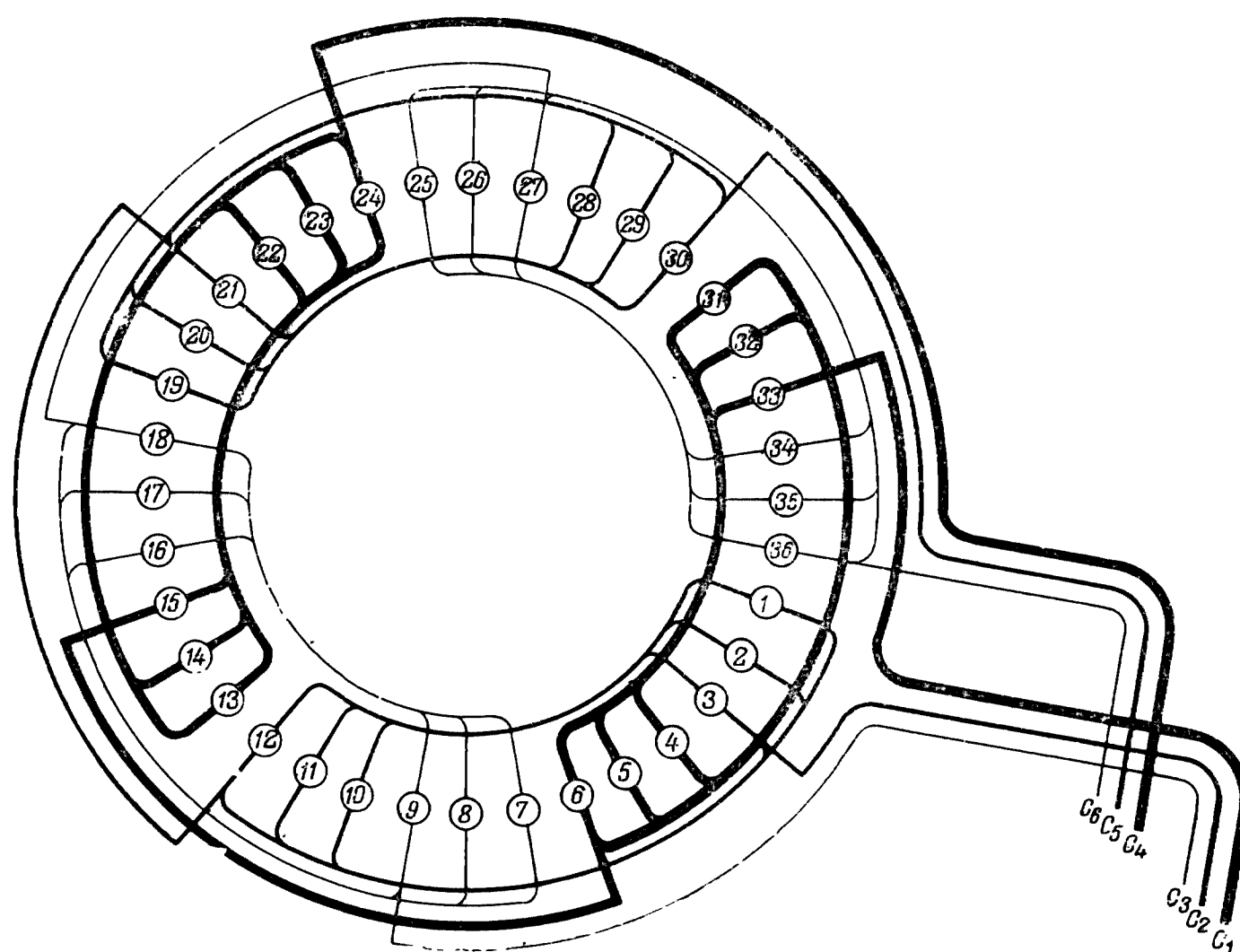


Рис. 3-41. Развернутая круговая схема однослойной статорной обмотки при $2p=4$; $z=36$; $q=3$; $a=1$. Для электродвигателей на напряжение 500 в выводить только три конца — C_1, C_2, C_3 . Для образования нулевой точки концы фаз C_4, C_5, C_6 соединить между собой.

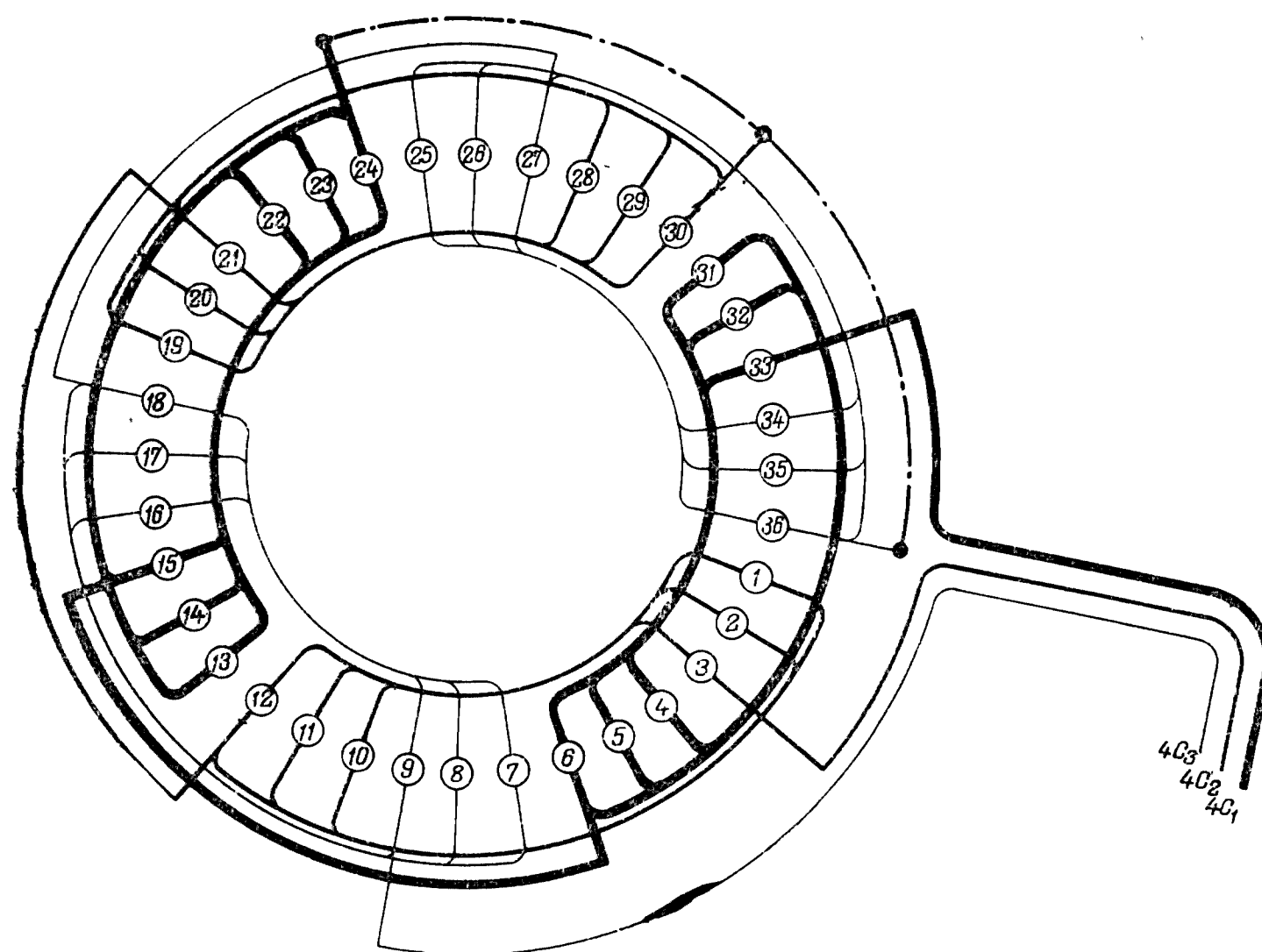


Рис. 3-42. Развернутая круговая схема однослойной статорной обмотки многоскоростного электродвигателя при $2p=4$; $z=36$; $q=3$; $a=1$. Соединение фаз Λ .

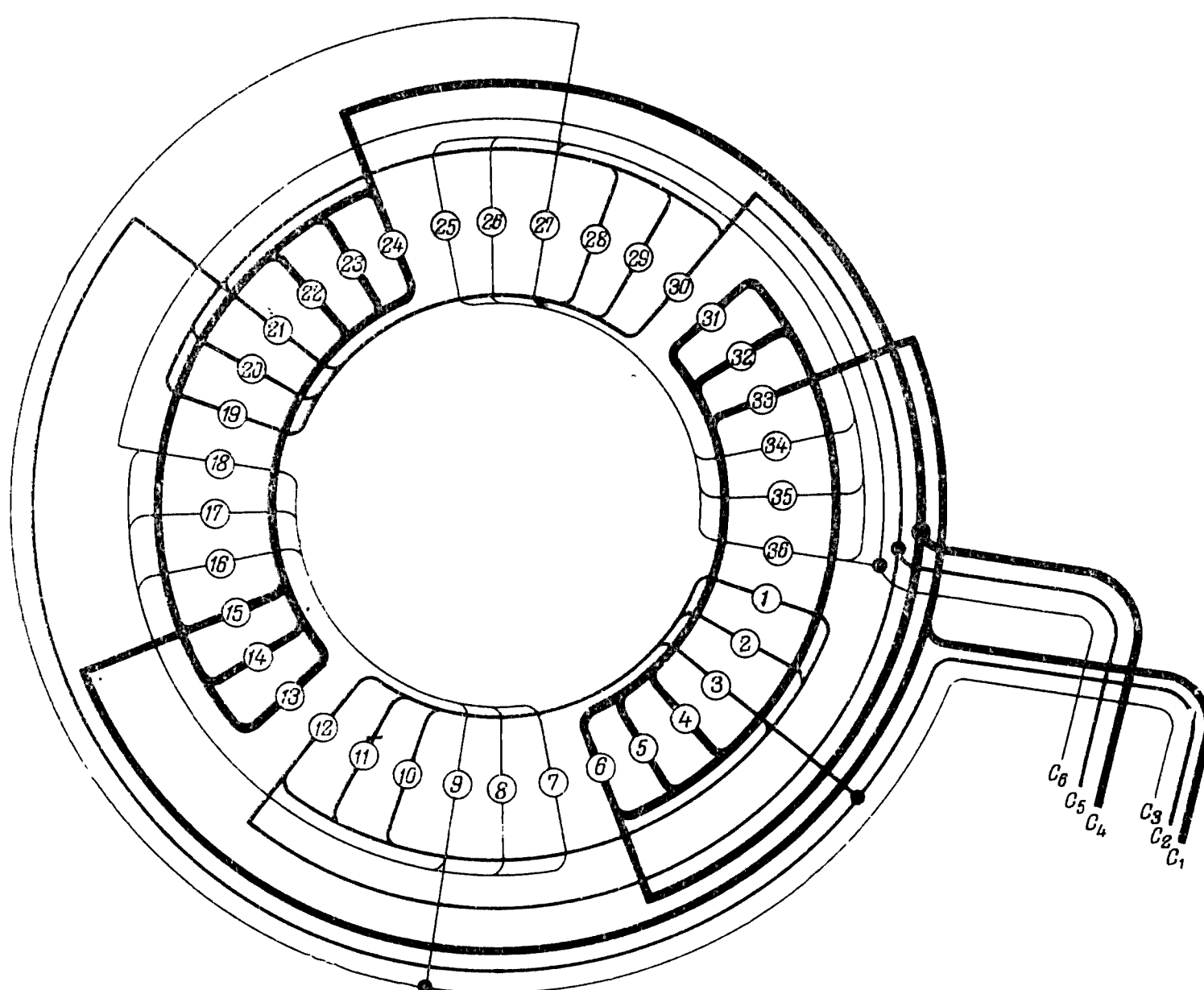


Рис. 3-43. Развернутая круговая схема однослойной статорной обмотки при $2p=4$; $z=36$; $q=3$; $a=2$. Для электродвигателей на напряжение 500 в выводить только три конца — C_1 , C_2 , C_3 . Для образования нулевой точки концы фаз C_4 , C_5 , C_6 соединить между собой.

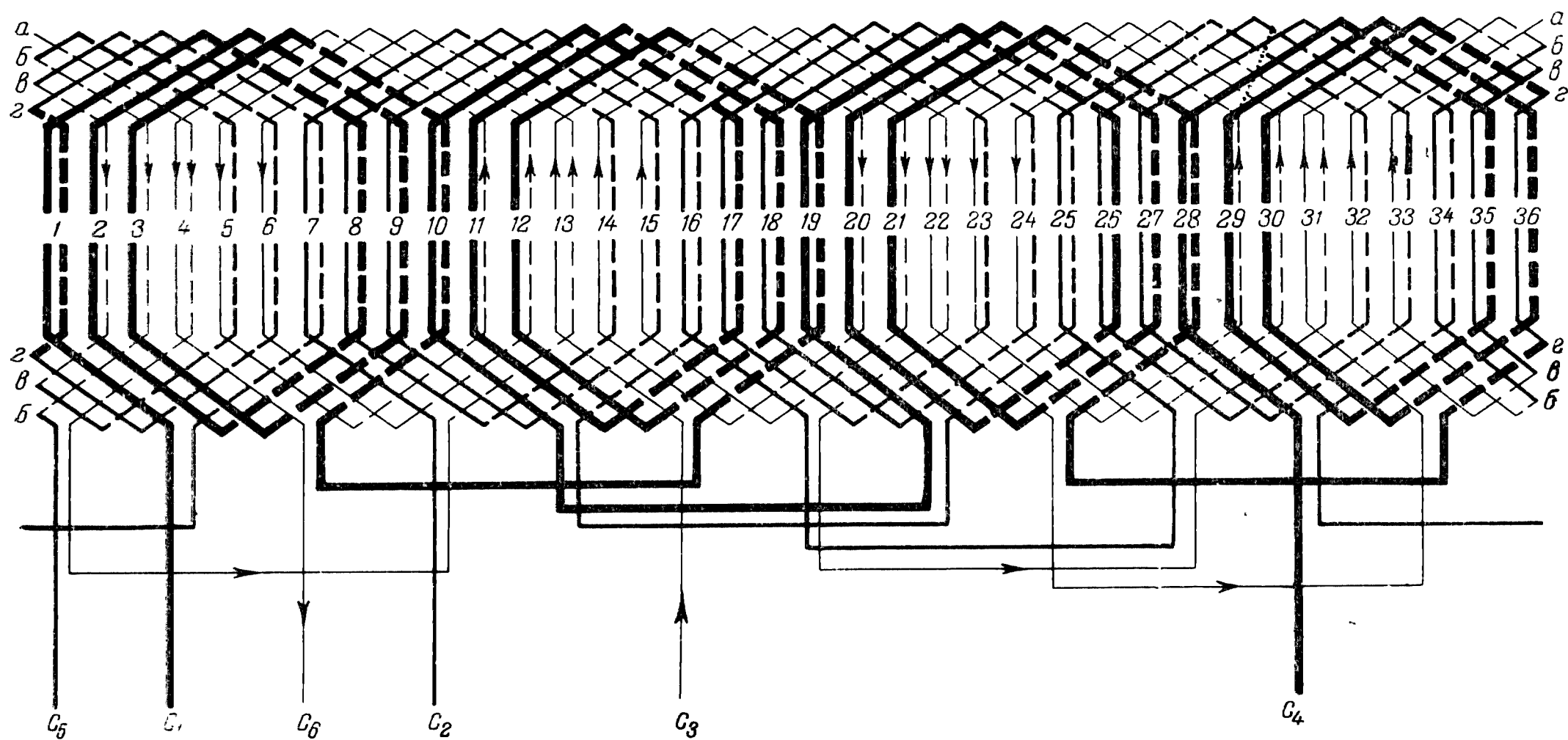


Рис. 3-44. Развернутая схема двухслойной статорной обмотки при $2p=4$; $z=36$; $q=3$; $y=1-8$; $a=1$. Для электродвигателей на напряжение 500 в выводить только три конца — C_1 , C_2 , C_3 . Для образования нулевой точки концы фаз C_4 , C_5 , C_6 соединить между собой.

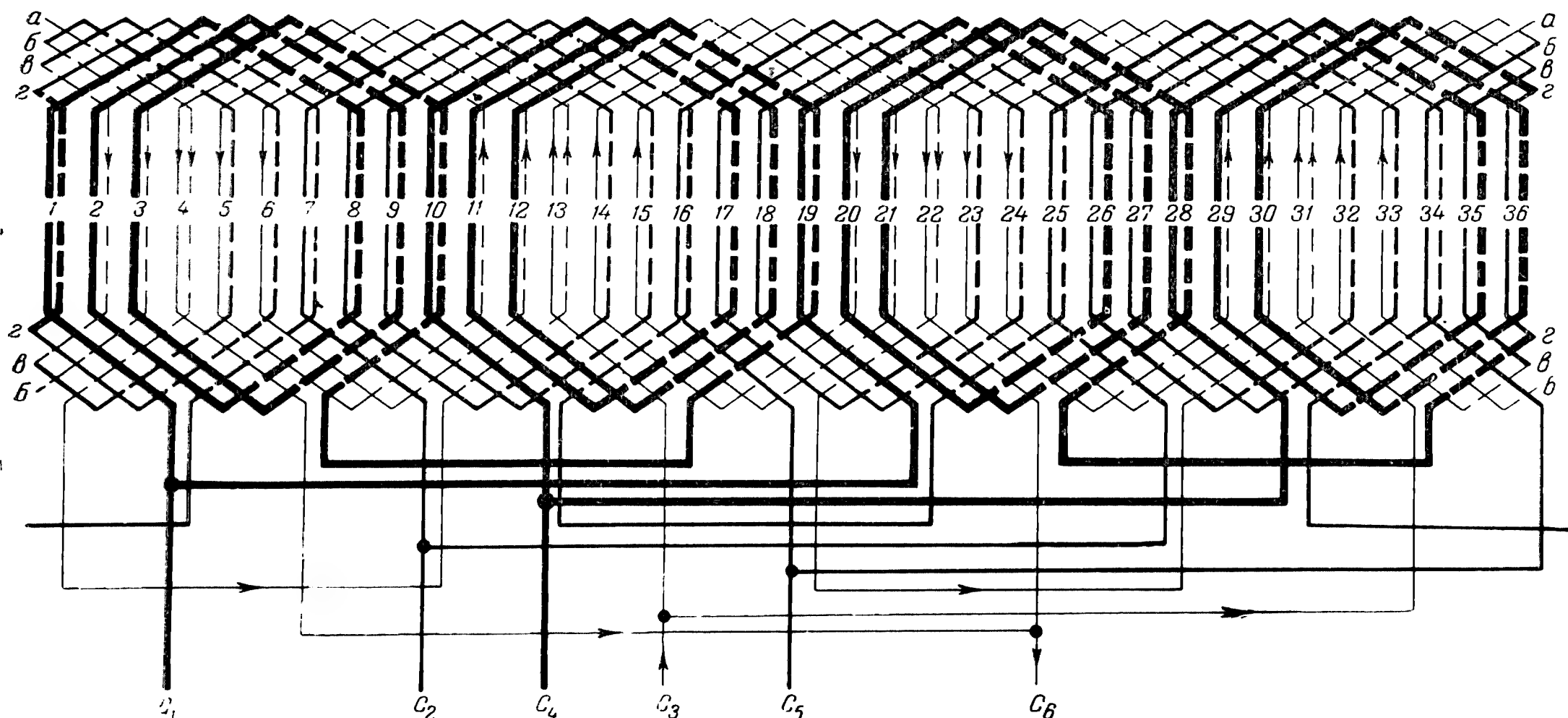


Рис. 3-45. Развернутая схема двухслойной статорной обмотки при $2p=4$; $z=35$; $q=3$; $y=1-8$; $a=2$. Для электродвигателей на напряжение 500 в выводить только три конца — C_1 , C_2 , C_3 . Для образования нулевой точки концы фаз C_4 , C_5 , C_6 соединить между собой.

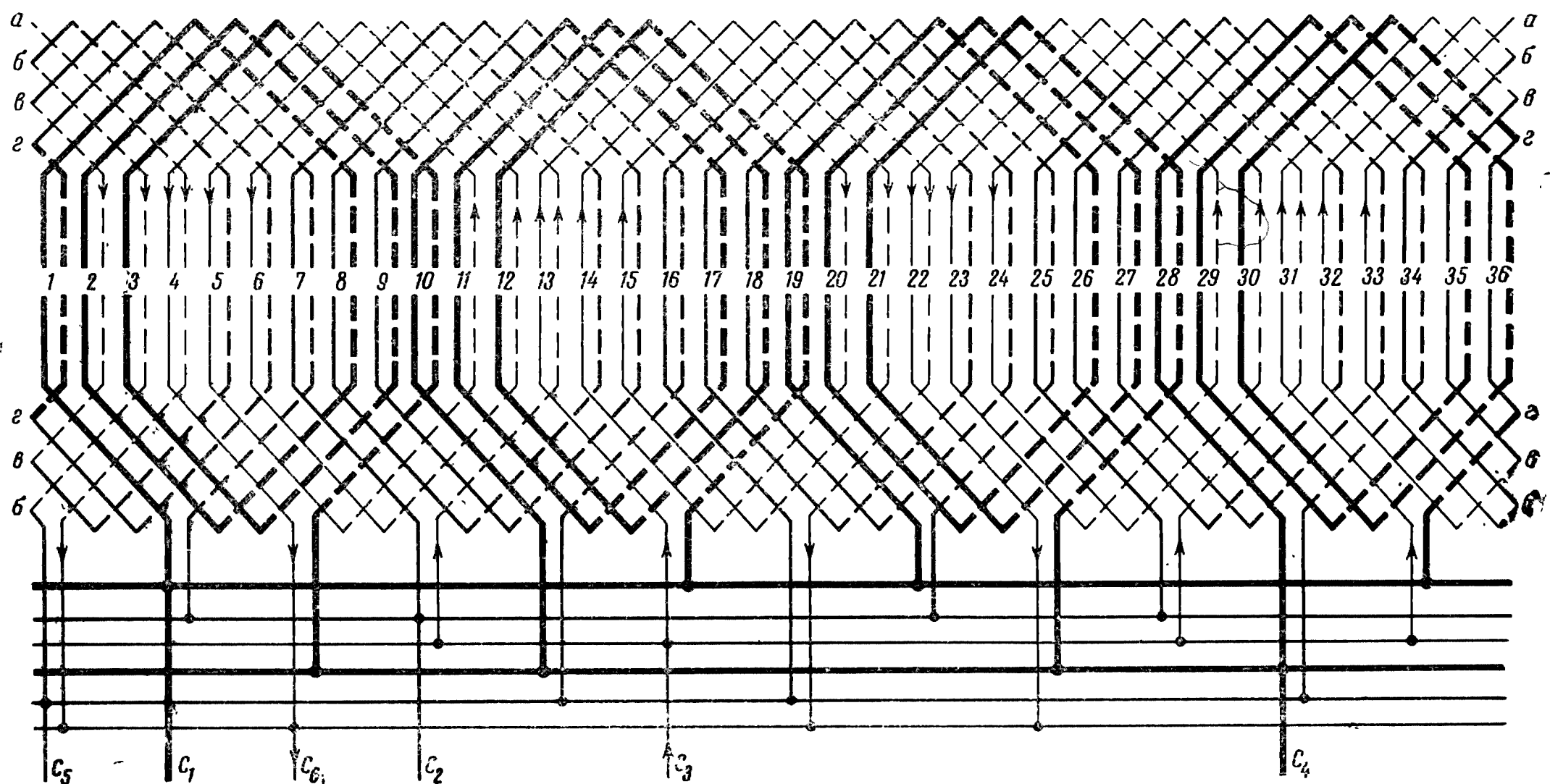


Рис. 3-46. Развернутая схема двухслойной статорной обмотки при $2p=4$; $z=36$; $q=3$; $y=1-8$; $a=4$. Для электродвигателей на напряжение 500 в выводить только три конца — C_1 , C_2 , C_3 . Для образования нулевой точки концы фаз C_4 , C_5 , C_6 соединить между собой.

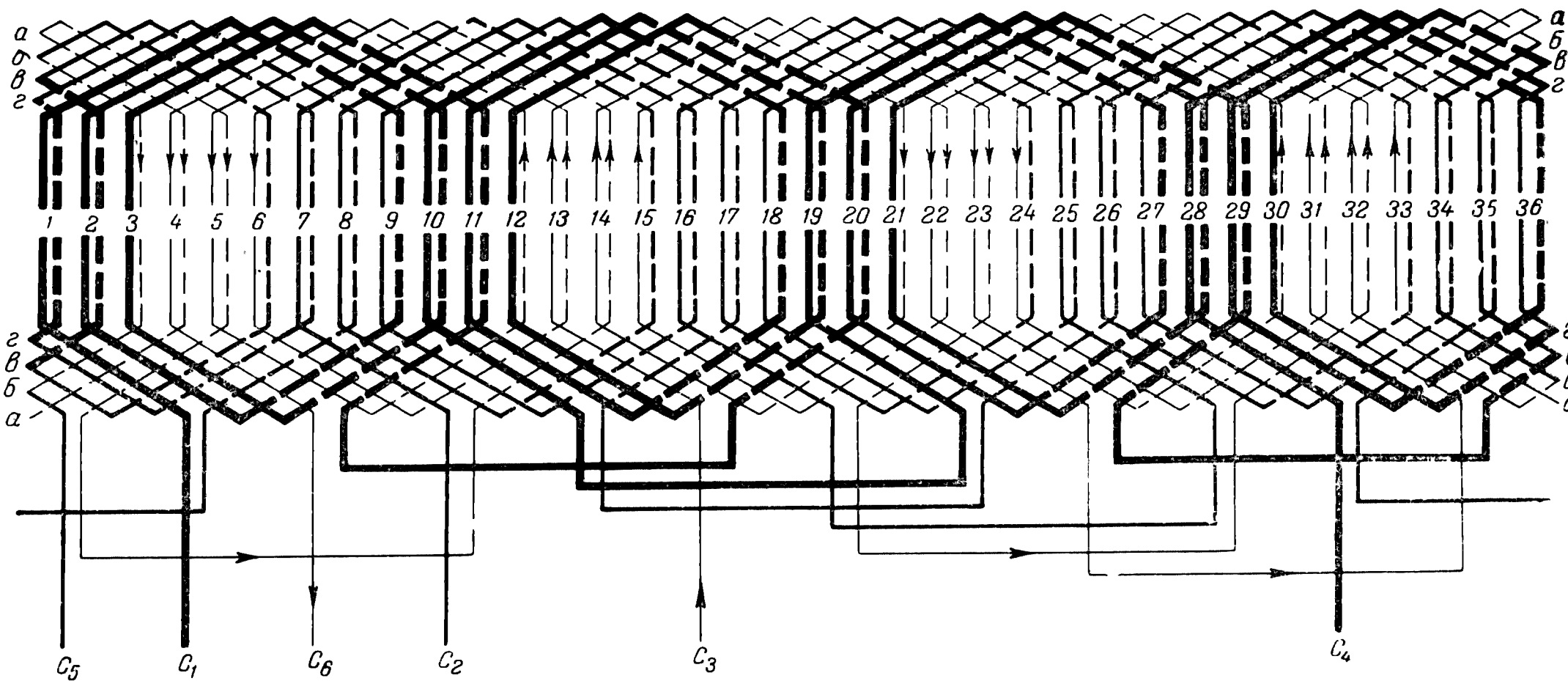


Рис. 3-47. Развернутая схема двухслойной статорной обмотки при $2p=4$; $z=36$; $q=3$; $y=1-9$; $a=1$. Для электродвигателей на напряжение 500 в выводить только три конца — C_1 , C_2 , C_3 . Для образования нулевой точки концы фаз C_4 , C_5 , C_6 соединить между собой.

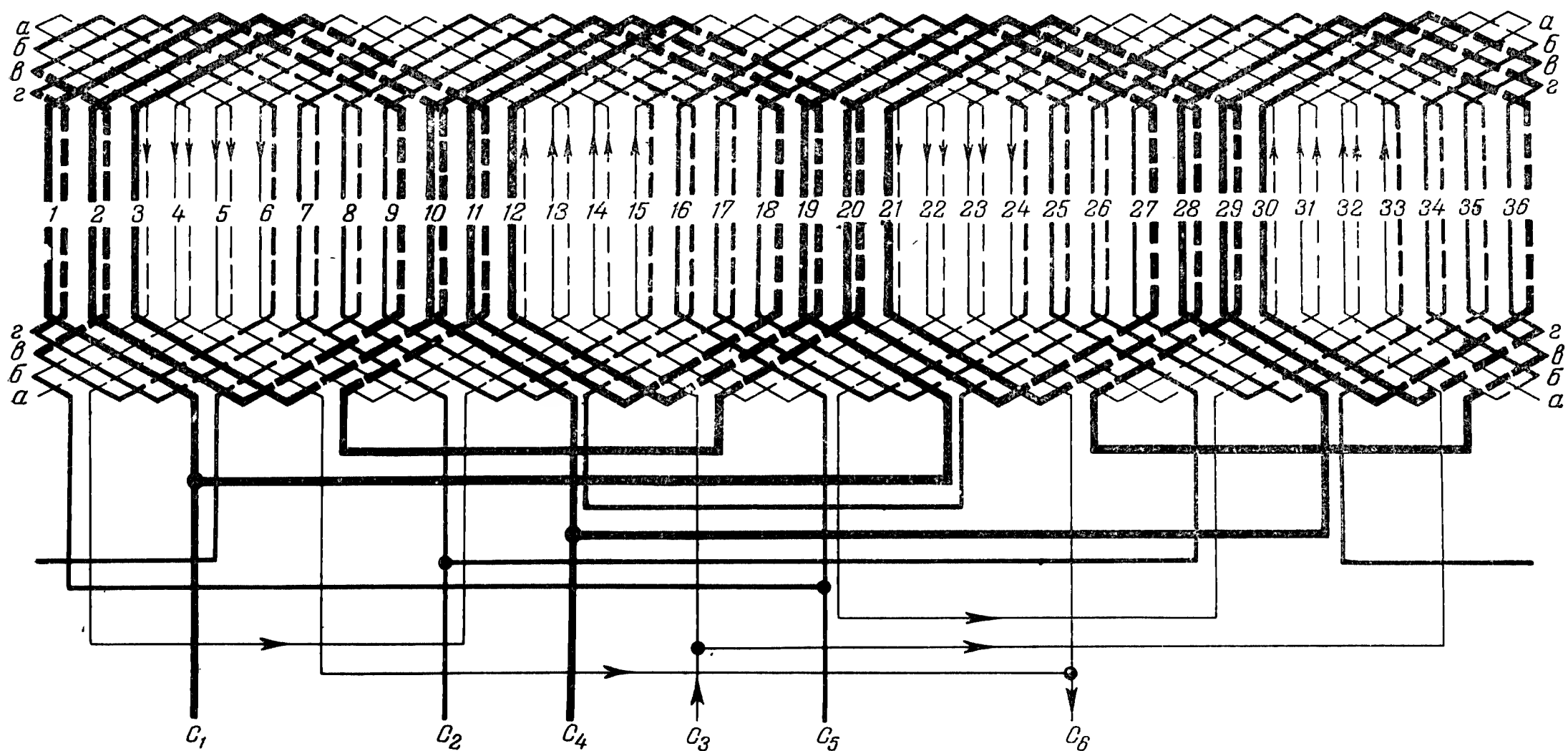


Рис. 3-48. Развернутая схема двухслойной статорной обмотки при $2p=4$; $z=36$; $q=3$; $y=1-9$; $a=2$. Для электродвигателей на напряжение 500 в выводить только три конца — C_1 , C_2 , C_3 . Для образования нулевой точки концы фаз C_4 , C_5 , C_6 соединить между собой.

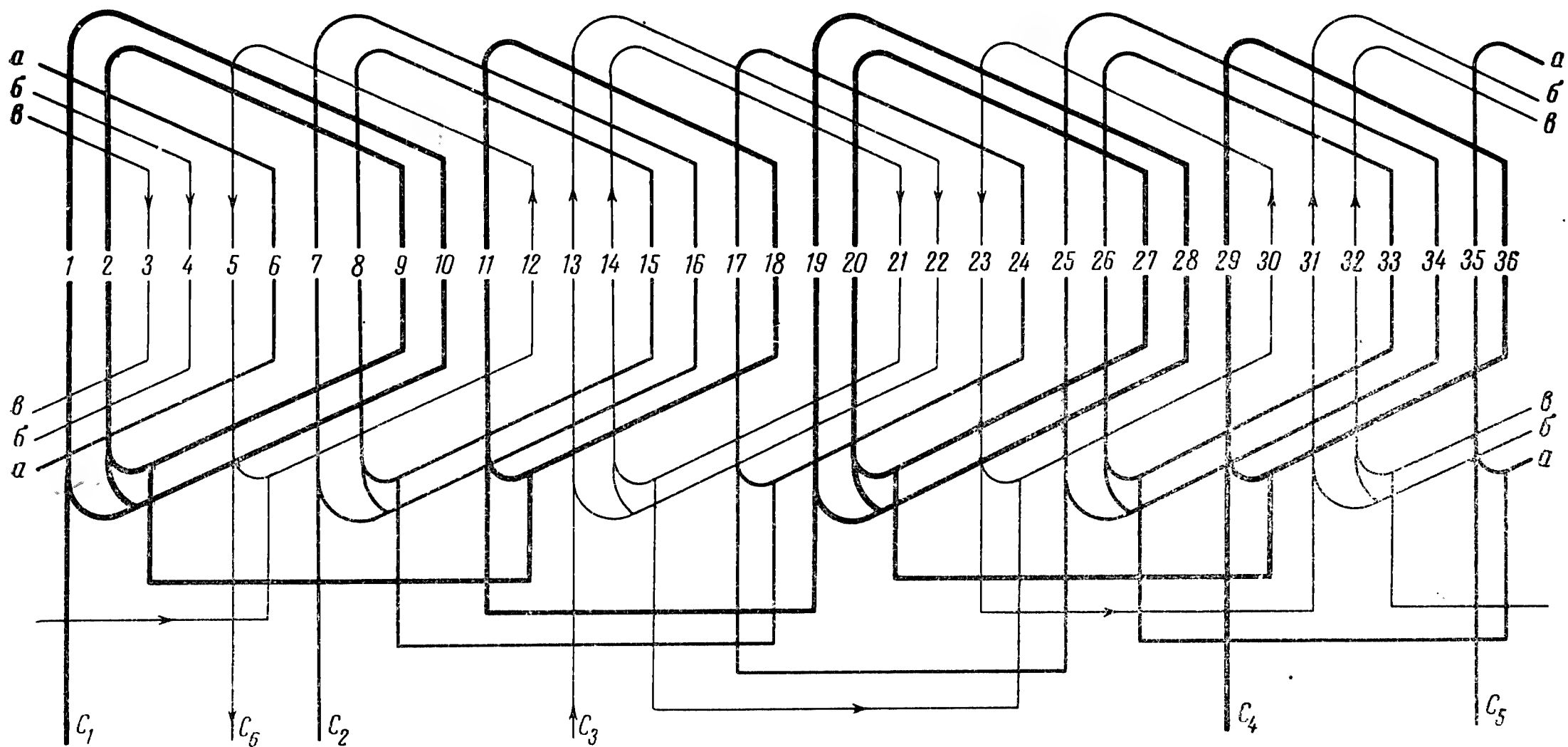


Рис. 3-49. Развернутая схема однослойной шаблонной (вразвалку) статорной обмотки при $2p=4$; $z=36$; $q=3$; $y=1-8$, $1-10$; $a=1$. Для электродвигателей на напряжение 500 в выводить только три конца — C_1 , C_2 , C_3 . Для образования нулевой точки концы фаз C_4 , C_5 , C_6 соединить между собой.

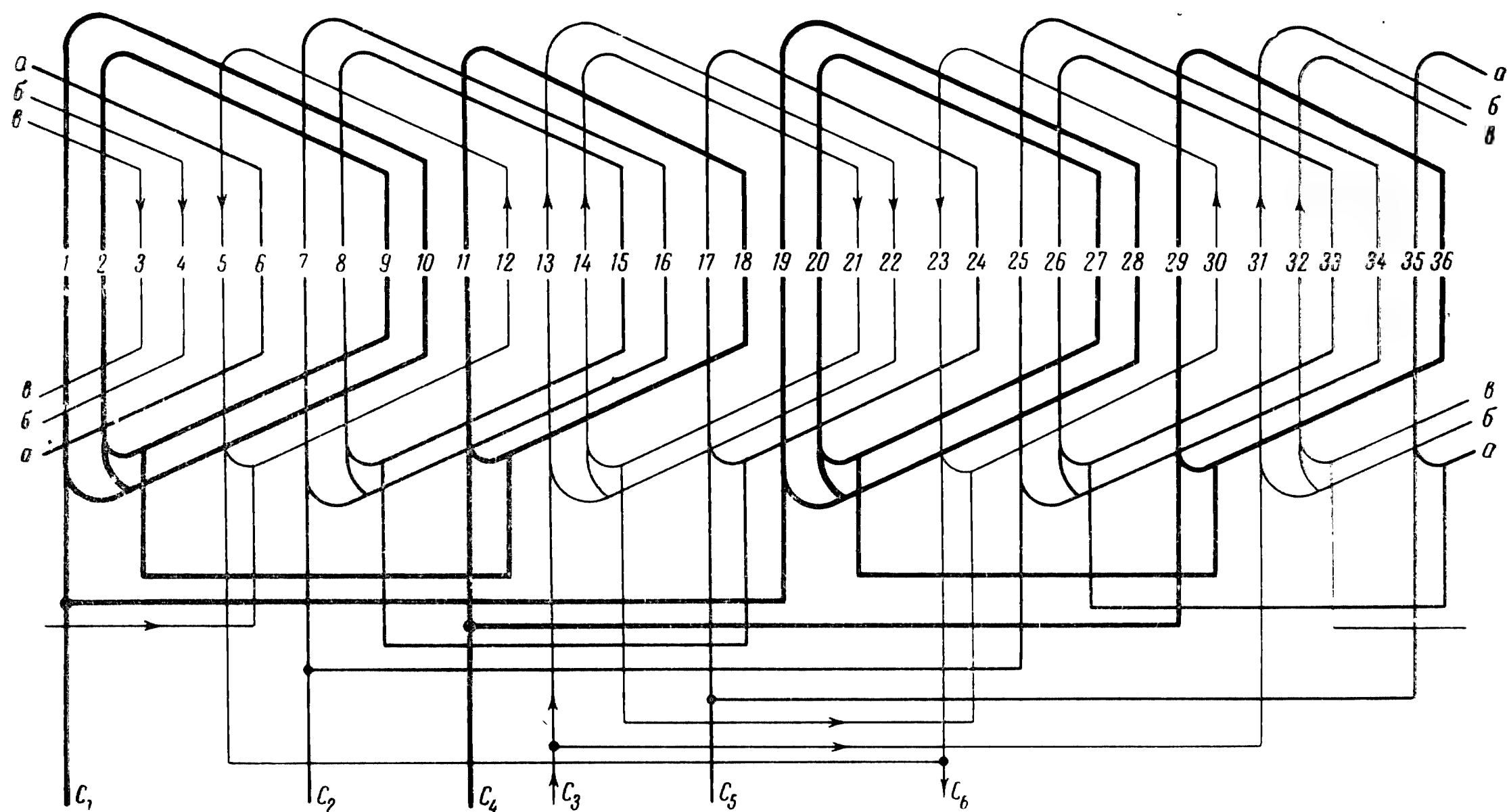


Рис. 3-50. Развернутая схема однослойной шаблонной (вразвалку) статорной обмотки при $2p=4$; $z=36$; $q=3$; $y=1-8, 1-10$; $a=2$. Для электродвигателей на напряжение 500 в выводить только три конца — C_1, C_2, C_3 . Для образования нулевой точки концы фаз C_4, C_5, C_6 соединить между собой.

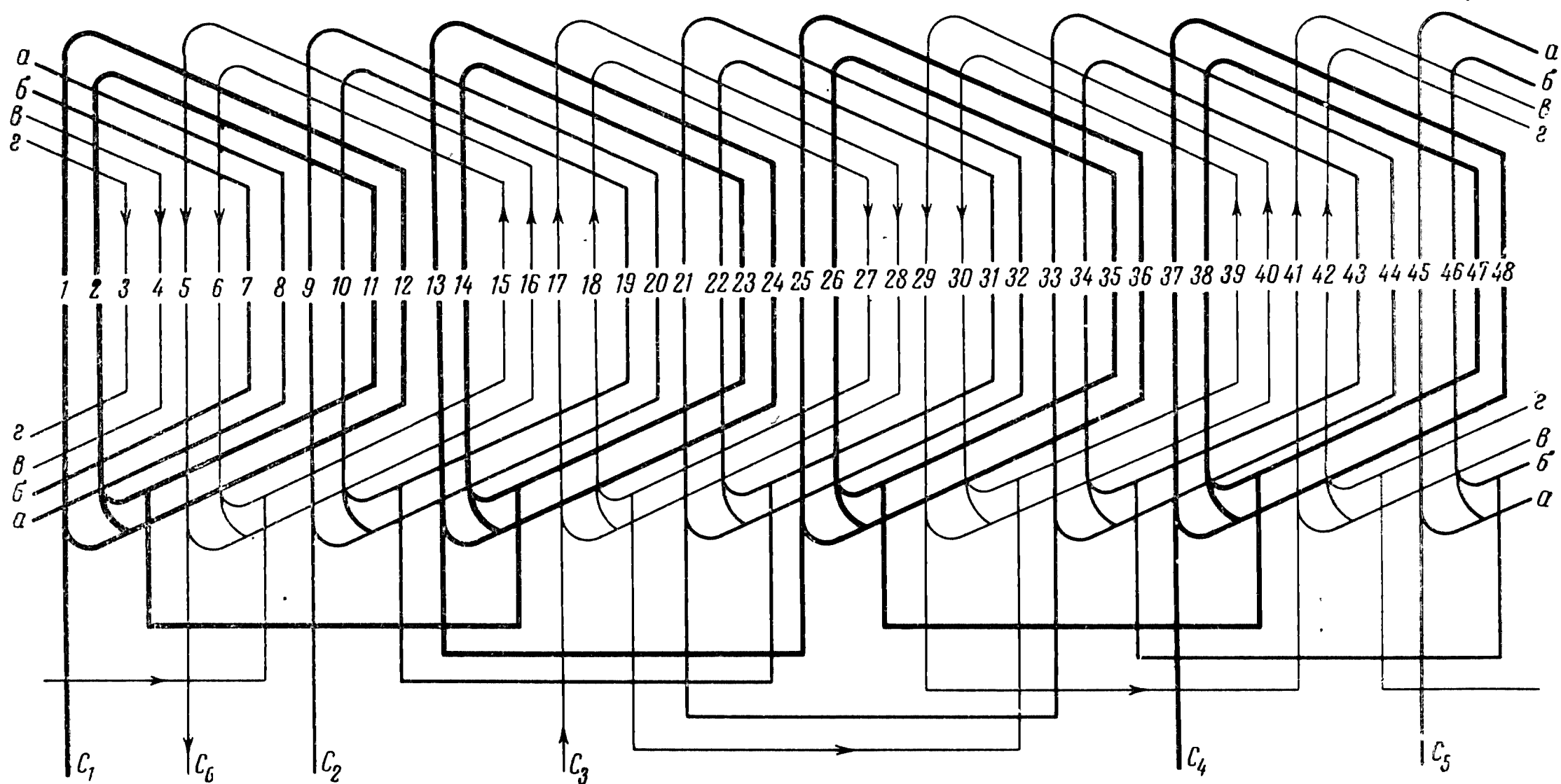


Рис. 3-51. Развернутая схема однослойной шаблонной (вразвалку) статорной обмотки при $2p=4$; $z=48$; $q=4$; $y=1-10, 1-12$; $a=1$. Для электродвигателей на напряжение 500 в выводить только три конца — C_1, C_2, C_3 . Для образования нулевой точки концы фаз C_4, C_5, C_6 соединить между собой.

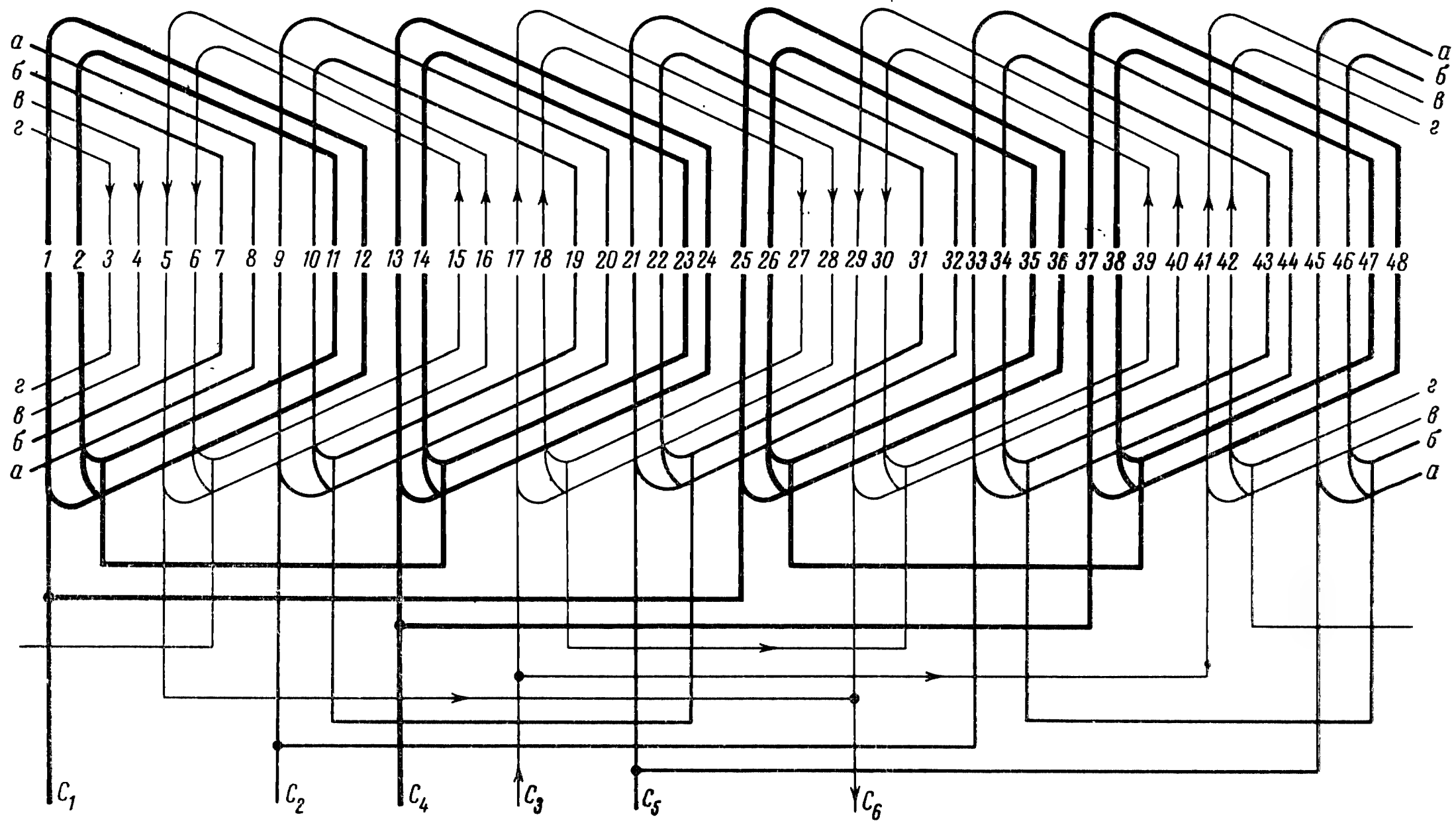


Рис. 3-52. Развернутая схема однослойной шаблонной (вразвалку) статорной обмотки при $2p=4$; $z=48$; $q=4$; $y=1-10, 1-12$; $a=2$. Для электродвигателей на напряжение 500 в выводить только три конца — C_1, C_2, C_3 . Для образования нулевой точки концы фаз C_4, C_5, C_6 соединить между собой.

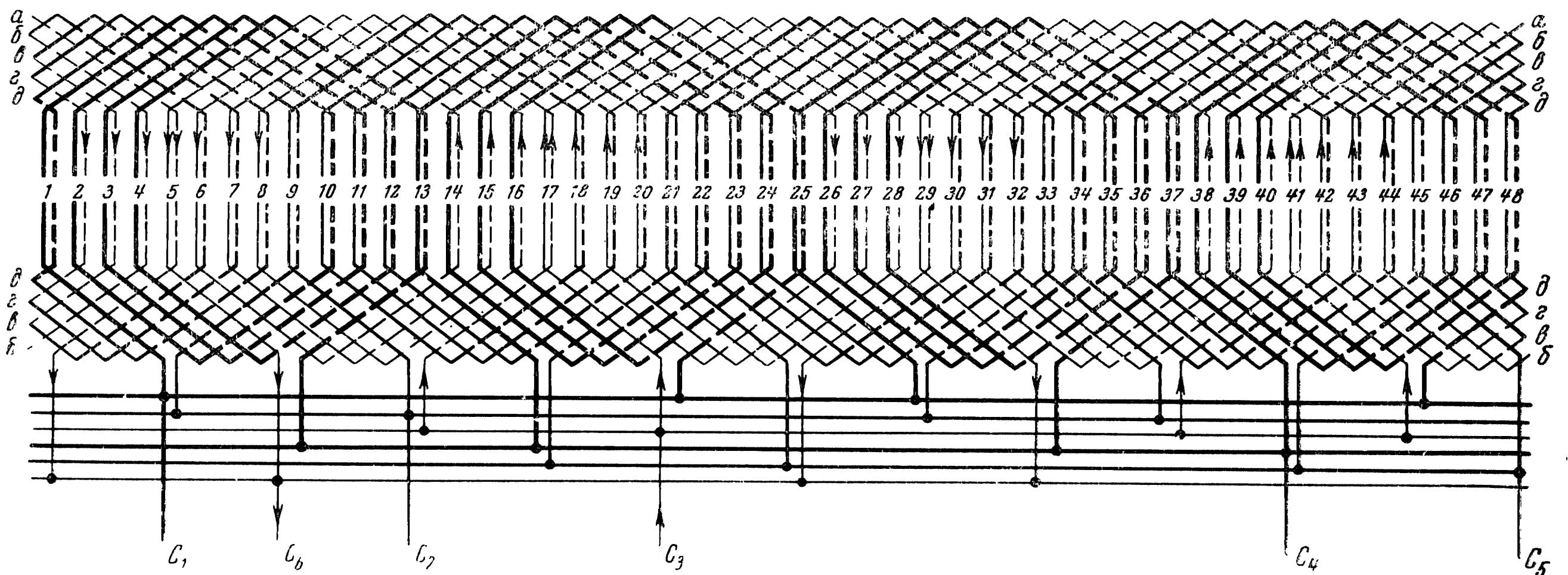


Рис. 3-53. Развернутая схема двухслойной статорной обмотки при $2p=4$; $z=48$; $q=4$; $y=1-10$; $a=4$.

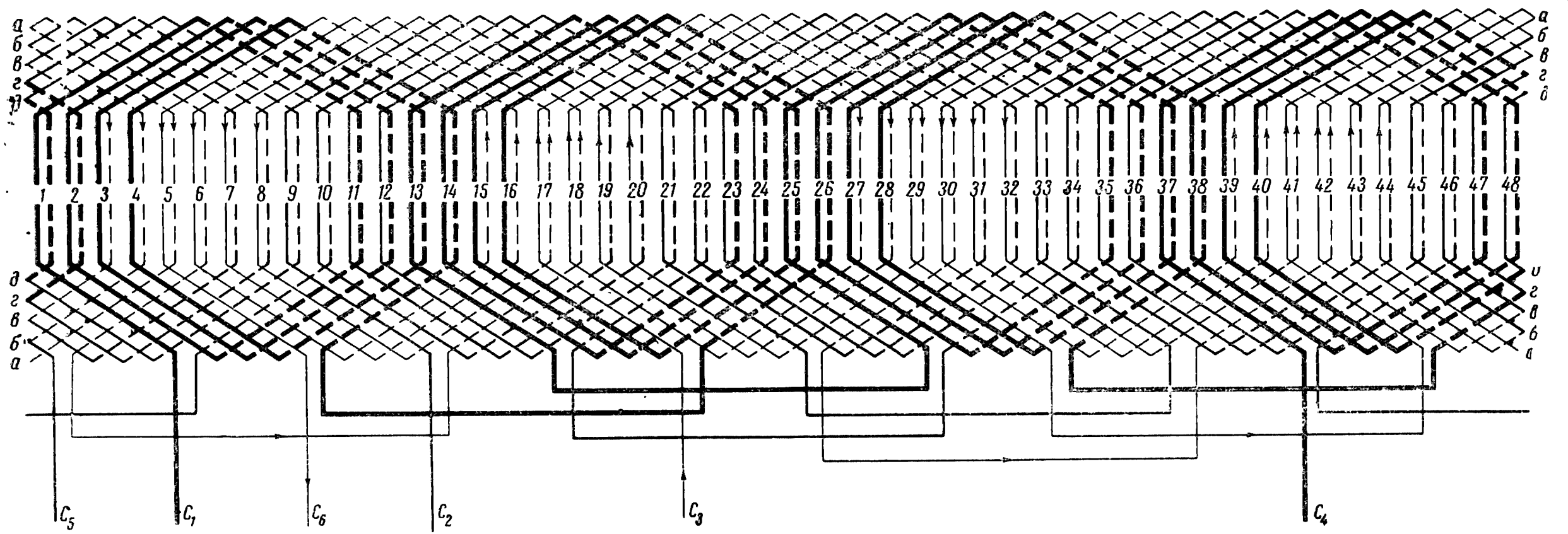


Рис. 3-54. Развернутая схема двухслойной обмотки при $2p=4$; $z=48$; $q=4$; $y=1-11$; $a=1$. Для электродвигателей на напряжение 500 в выводить только три конца — C_1 , C_2 , C_3 . Для образования нулевой точки концы фаз C_4 , C_5 , C_6 соединить между собой.

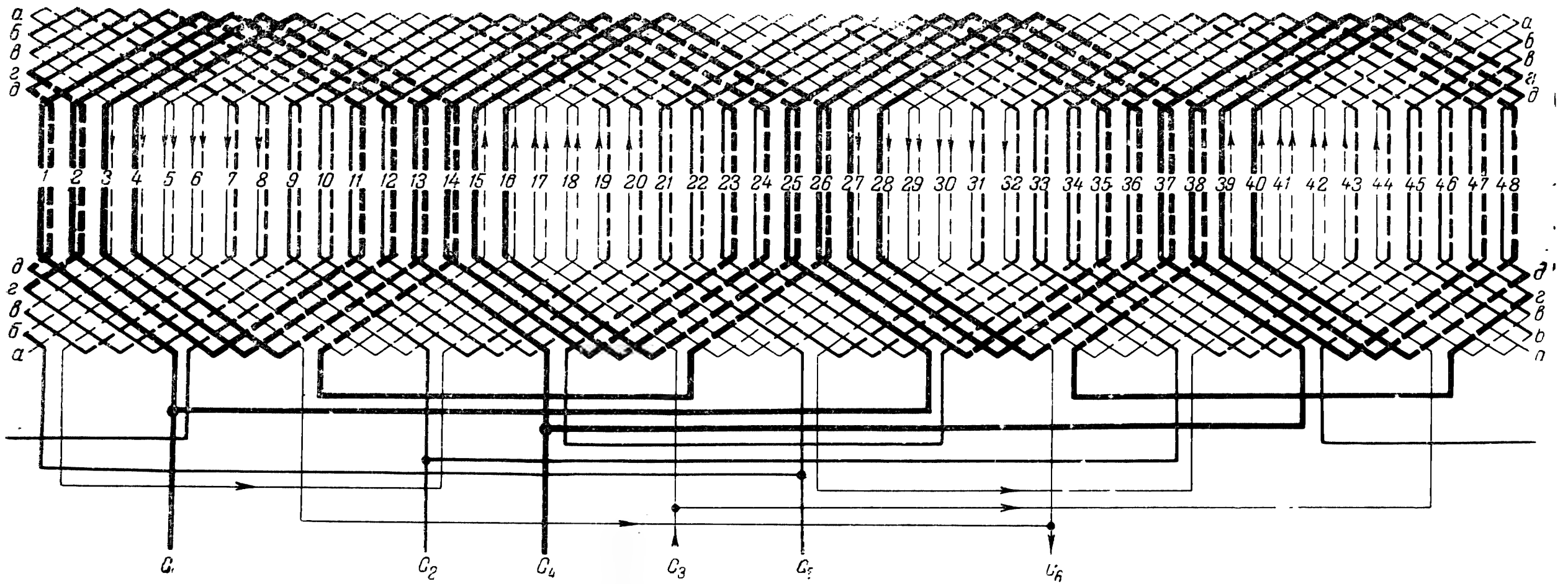


Рис. 3-55. Развернутая схема двухслойной статорной обмотки при $2p=4$; $z=48$; $q=4$; $y=1-11$; $a=2$. Для электродвигателей на напряжение 500 в выводить только три конца — C_1 , C_2 , C_3 . Для образования нулевой точки концы фаз C_4 , C_5 , C_6 соединить между собой.

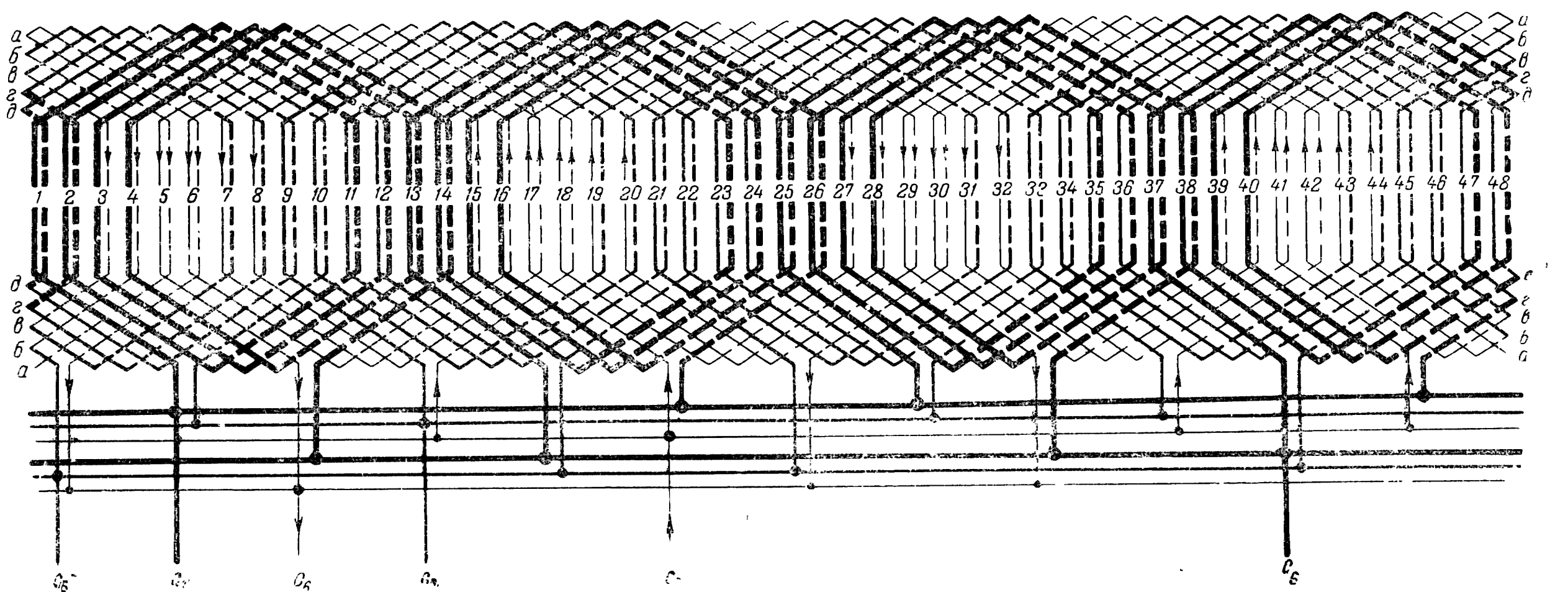


Рис. 3-56. Развернутая схема двухслойной статорной обмотки при $2p=4$; $z=48$; $q=4$; $y=1-11$; $a=4$. Для электродвигателей на напряжение 500 в выводить только три конца — C_1 , C_2 , C_3 . Для образования нулевой точки концы фаз C_4 , C_5 , C_6 соединить между собой.

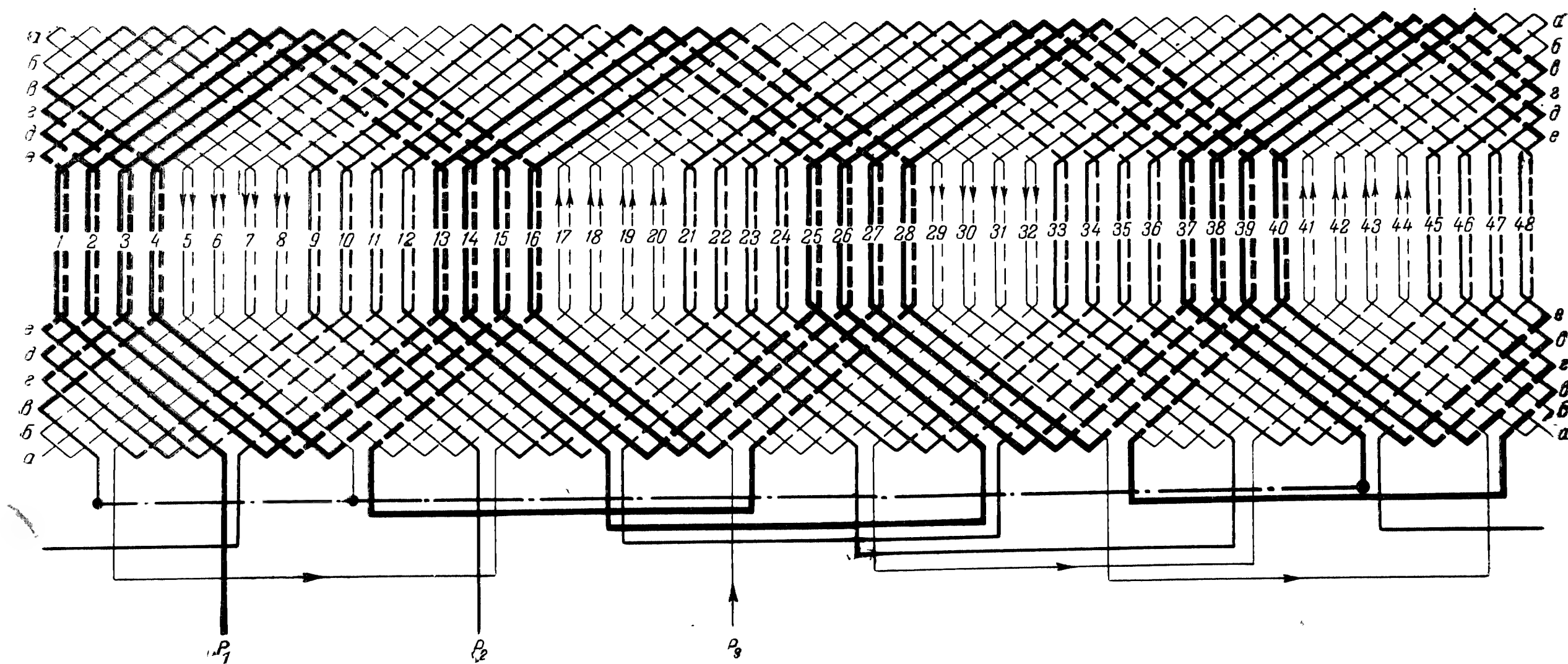


Рис. 3-57. Развернутая схема двухслойной роторной обмотки при $2p=4$; $z=48$; $q=4$; $y=1-13$; $a=1$. Соединение фаз Δ .

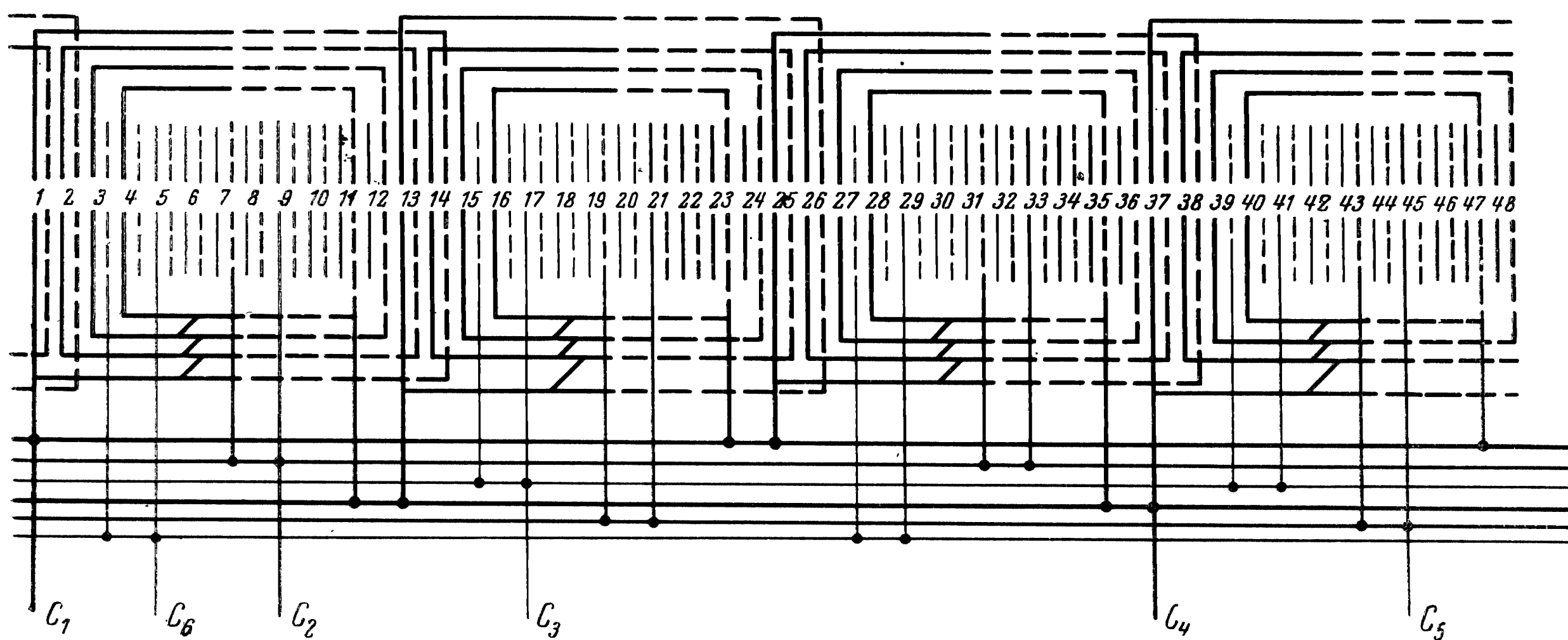


Рис. 3-58. Развернутая схема двухслойной concentрической статорной обмотки при $2p=4$; $z=48$; $q=4$; $y=1-14, 1-12, 1-10, 1-8$; $a=4$.

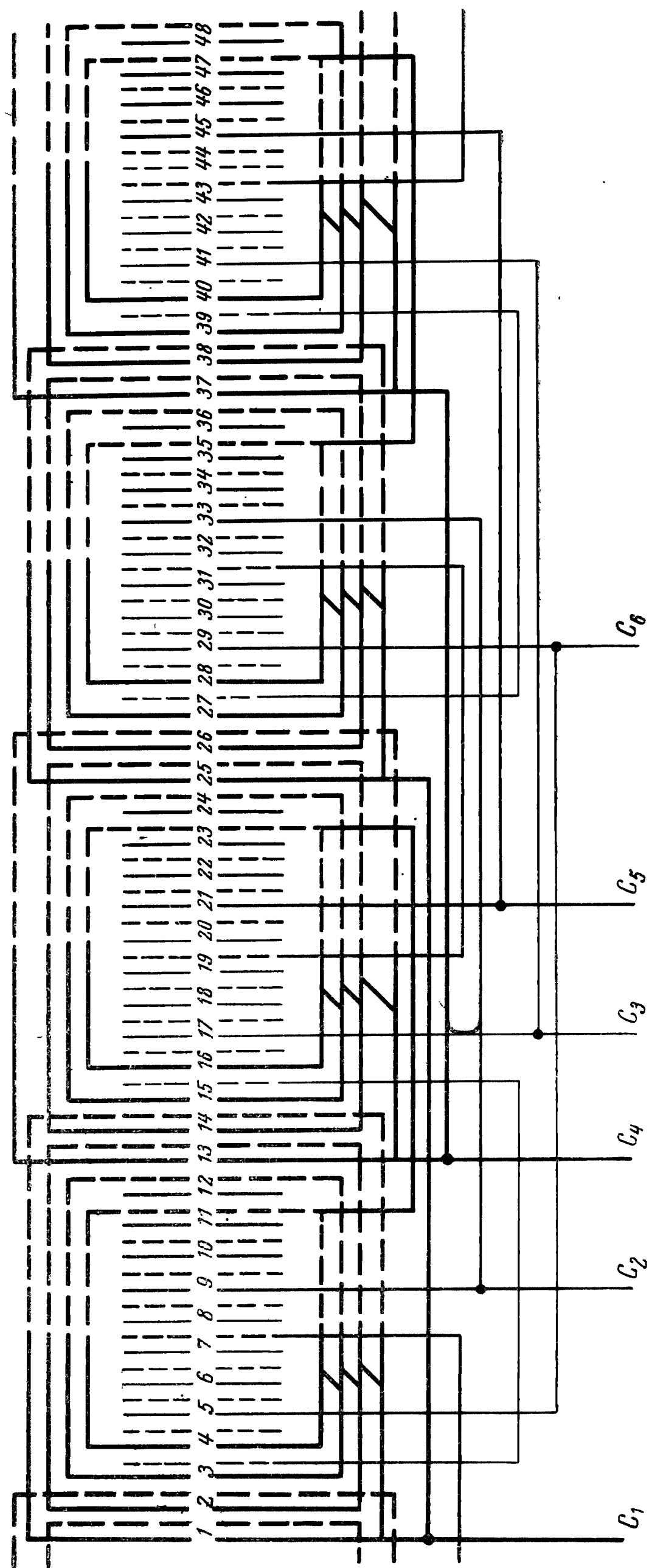


Рис. 3-59. Развернутая схема двухслойной concentрической статорной обмотки при $2p=4$; $z=48$; $q=4$; $y=1-14$, $1-12$, $1-10$, $1-8$; $a=2$.

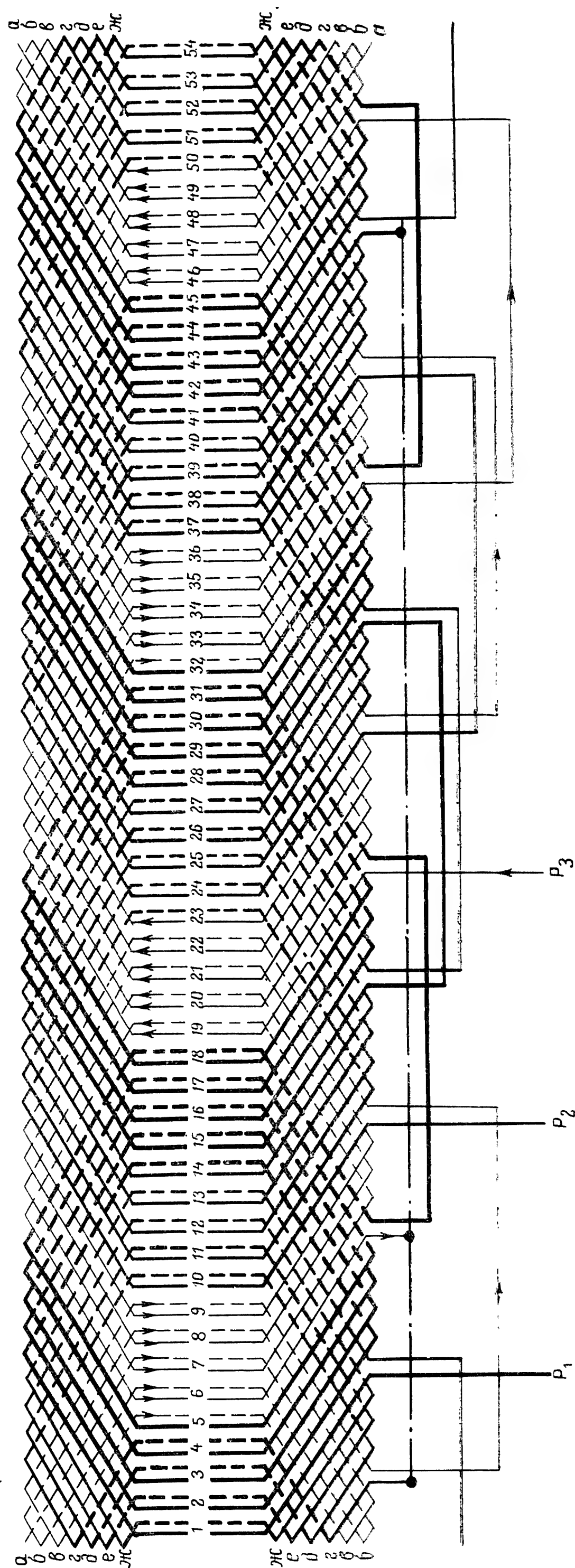


Рис. 3-60. Развернутая схема двухслойной роторной обмотки при $2p=4$; $z=54$; $q=4\frac{1}{2}$; $y=1-14$; $a=1$. Чередование по всей обмотке 5, 4, 5, 4, 5, 4... Соединение фаз λ .

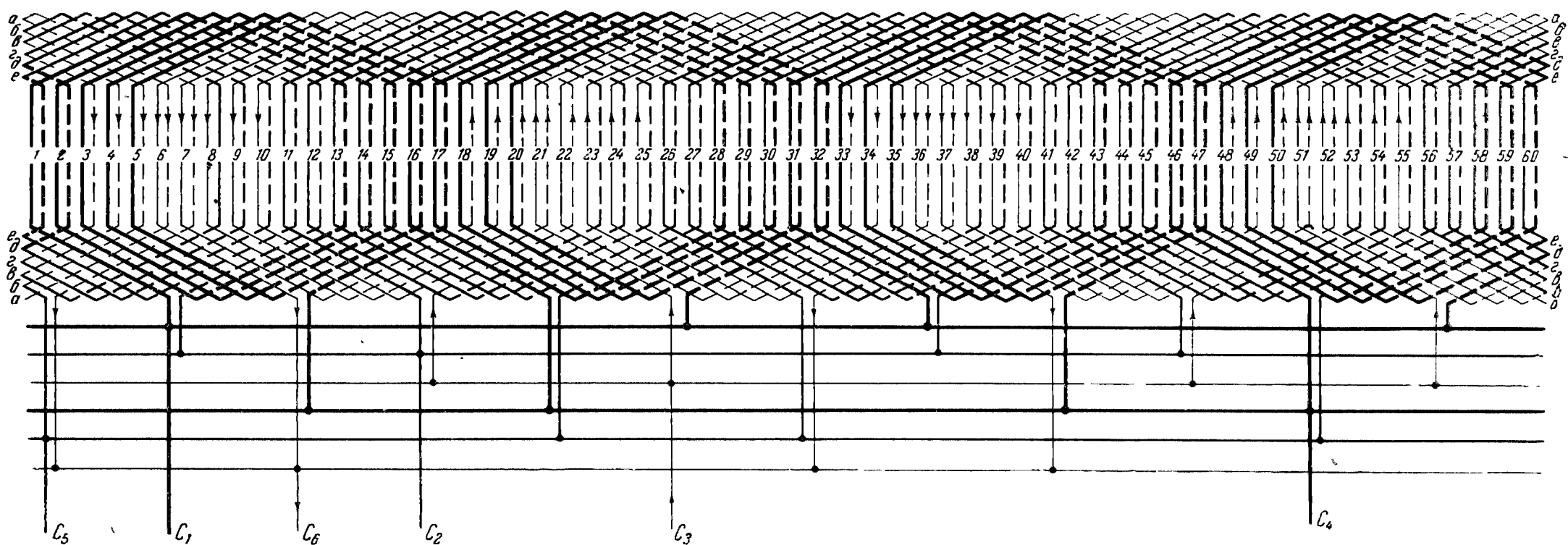


Рис. 3-61. Развернутая схема двухслойной статорной обмотки при $2p=4$; $z=60$; $q=5$; $y=1-13$; $a=4$. Для электродвигателей на напряжение 500 в выводить только три конца — C_1 , C_2 , C_3 . Для образования нулевой точки концы фаз C_4 , C_5 , C_6 соединить между собой.

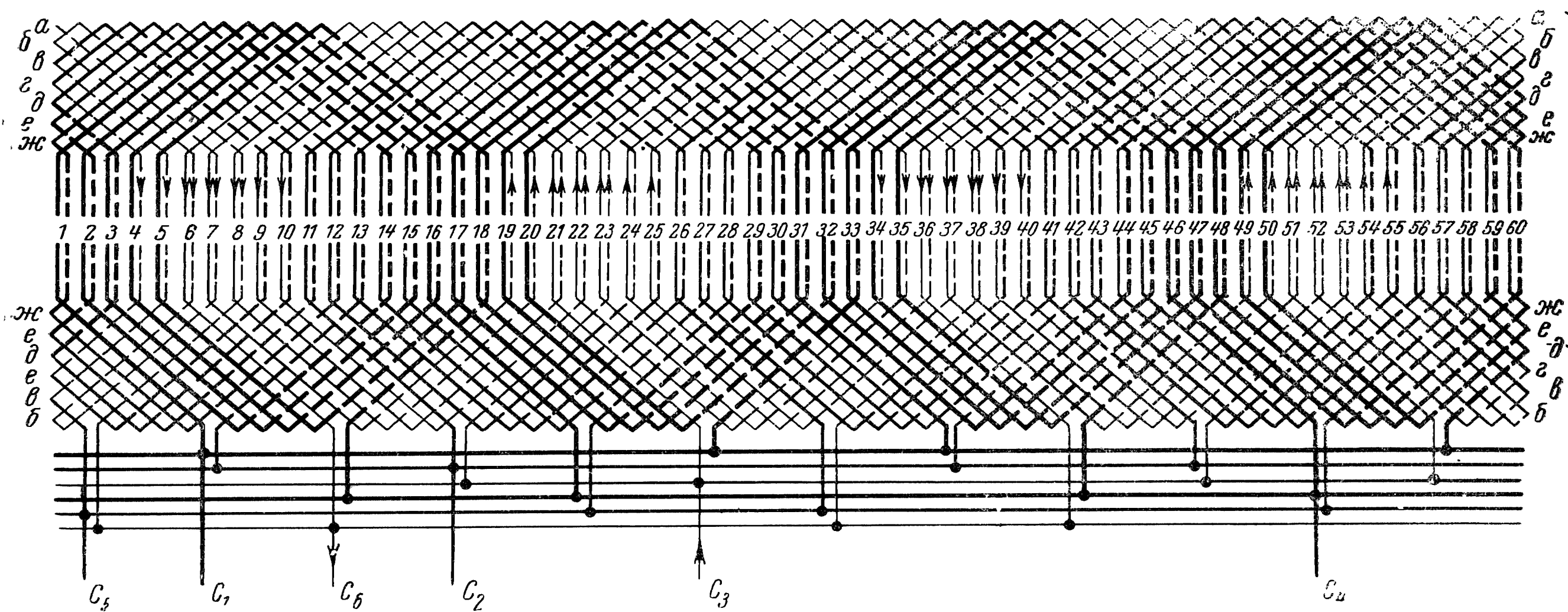


Рис. 3-62. Развернутая схема двухслойной статорной обмотки при $2p=4$; $z=60$; $q=5$; $y=1-14$; $a=4$. Для электродвигателей на напряжение 500 в выводить только три конца — C_1 , C_2 , C_3 . Для образования нулевой точки концы фаз C_4 , C_5 , C_6 соединить между собой.

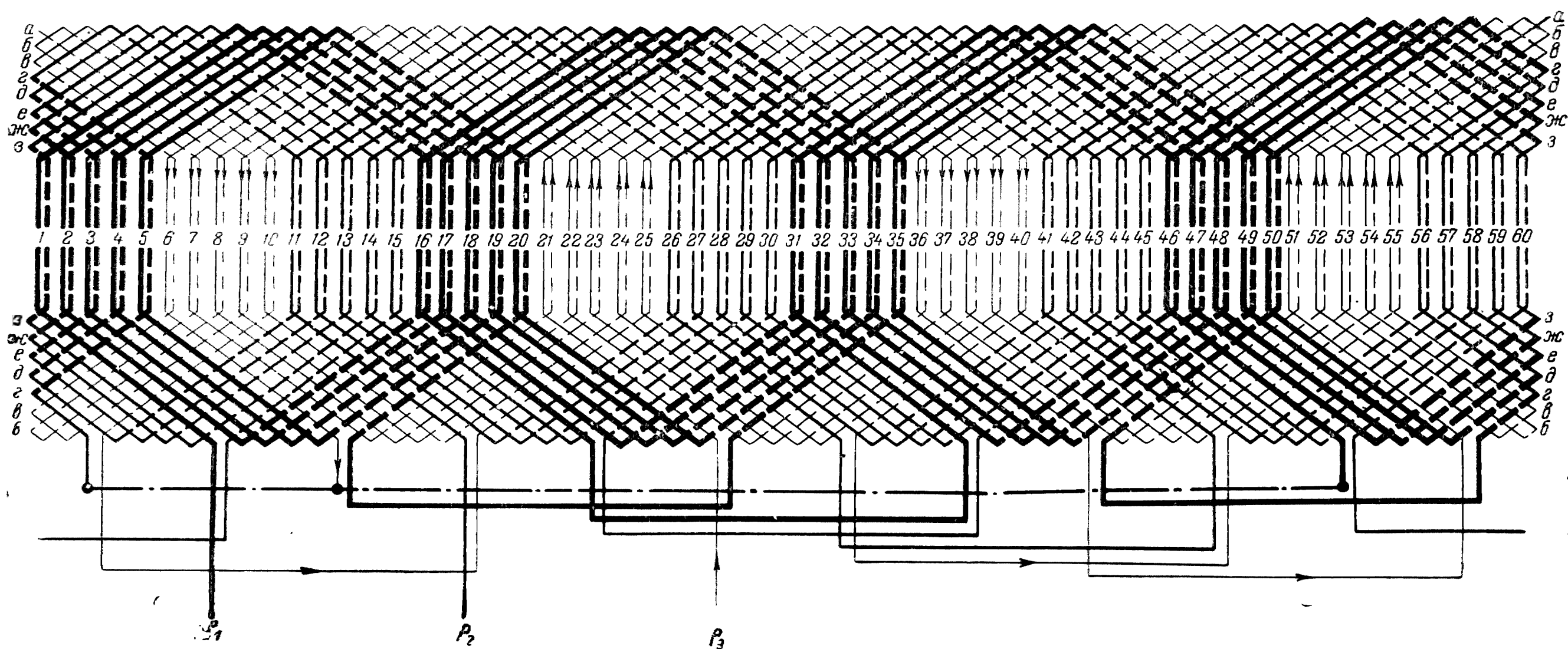


Рис. 3-63. Развернутая схема двухслойной роторной обмотки при $2p=4$; $z=60$; $q=5$; $y=1-16$; $a=1$. Соединение фаз λ .

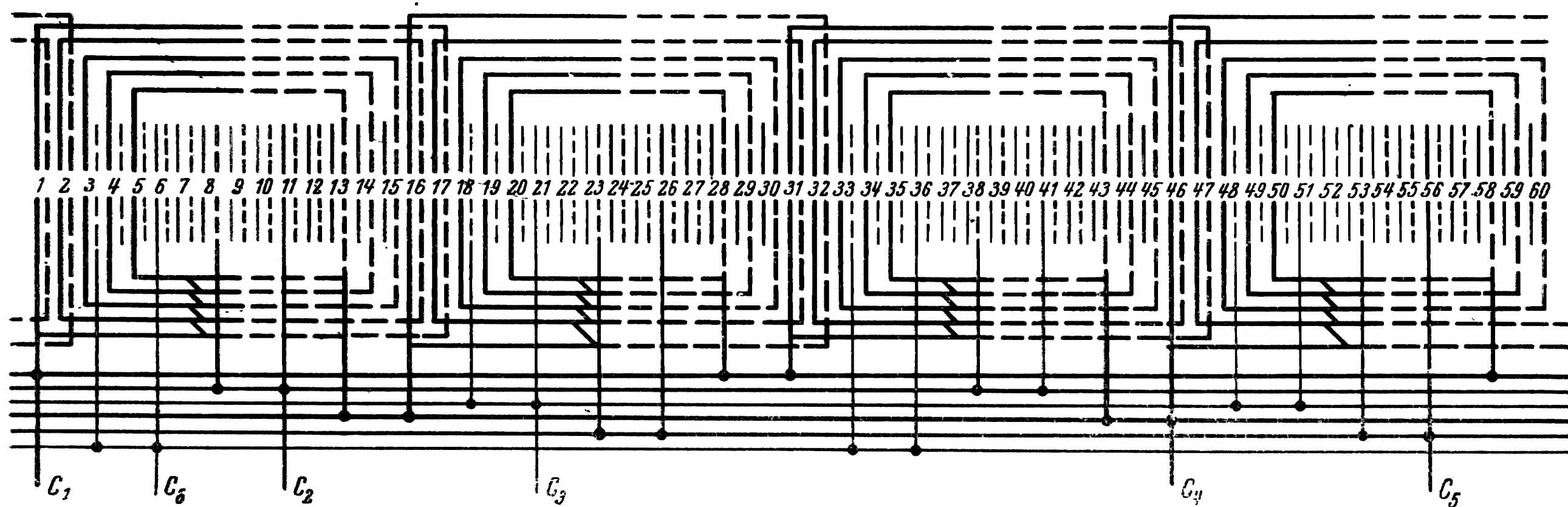


Рис. 3-64. Развернутая схема двухслойной concentрической статорной обмотки при $2p=4$; $z=60$; $q=5$; $y=1-17$, $1-15$, $1-13$, $1-11$, $1-9$; $a=4$.

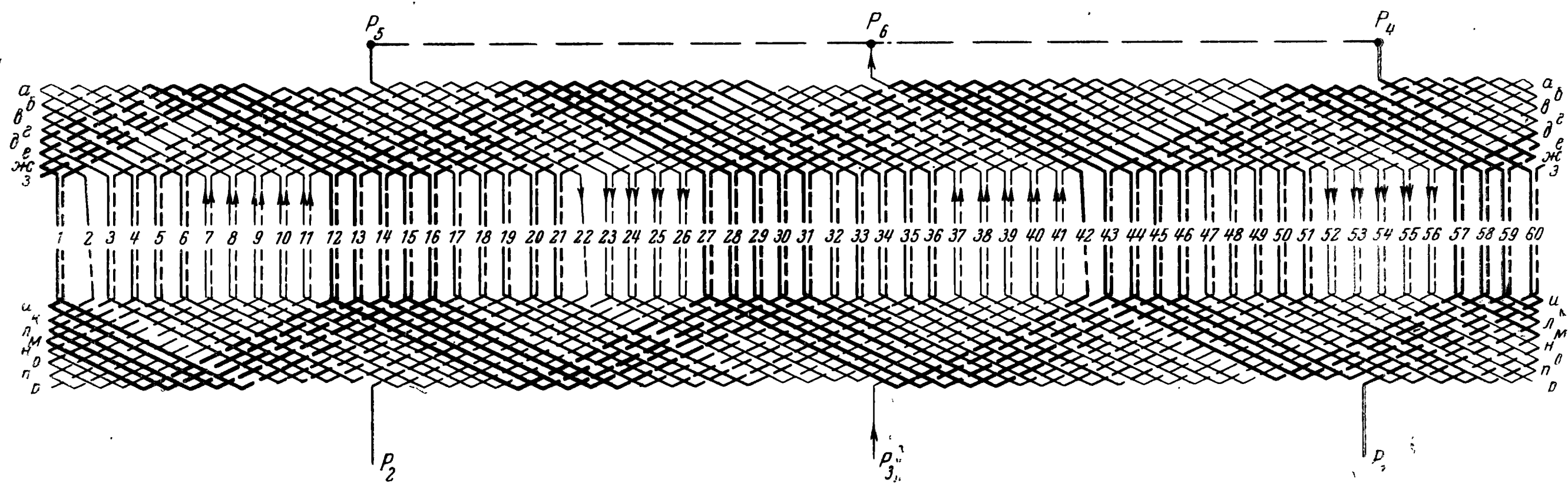


Рис. 3-65. Развернутая схема двухслойной стержневой роторной обмотки при $2p=4$; $z=60$; $q=5$; $y=1-16$; $a=1$. Шаг перехода укороченный 1—15. Соединение фаз Λ .

Первая фаза												Вторая фаза												Третья фаза											
H	1	60	59	58	57	H	42	43	44	45	46	H	21	20	19	18	17	H	2	3	4	5	6	H	41	40	39	38	37	H	22	23	24	25	26
B	16	15	14	13	12	B	27	28	29	30	31	B	36	35	34	33	32	B	47	48	49	50	51	B	56	55	54	53	52	B	7	8	9	10	11
H	31	30	29	28	27	H	12	13	14	15	16	H	51	50	49	48	47	H	32	33	34	35	36	H	11	10	9	8	7	H	52	53	54	55	56
B	46	45	44	43	42	B	57	58	59	60	1	B	6	5	4	3	2	B	17	18	19	20	21	B	26	25	24	23	22	B	37	38	39	40	41

Начала фаз												Концы фаз												Переходные стержни фаз:											
Нижние стержни:												Верхние стержни:												первая фаза — 42-й паз;											
первая фаза — 1-й паз;												первая фаза — 1-й паз;												вторая фаза — 2-й паз;											
вторая фаза — 21-й паз;												вторая фаза — 21-й паз;												третья фаза — 22-й паз.											
третья фаза — 41-й паз.												третья фаза — 41-й паз.																							

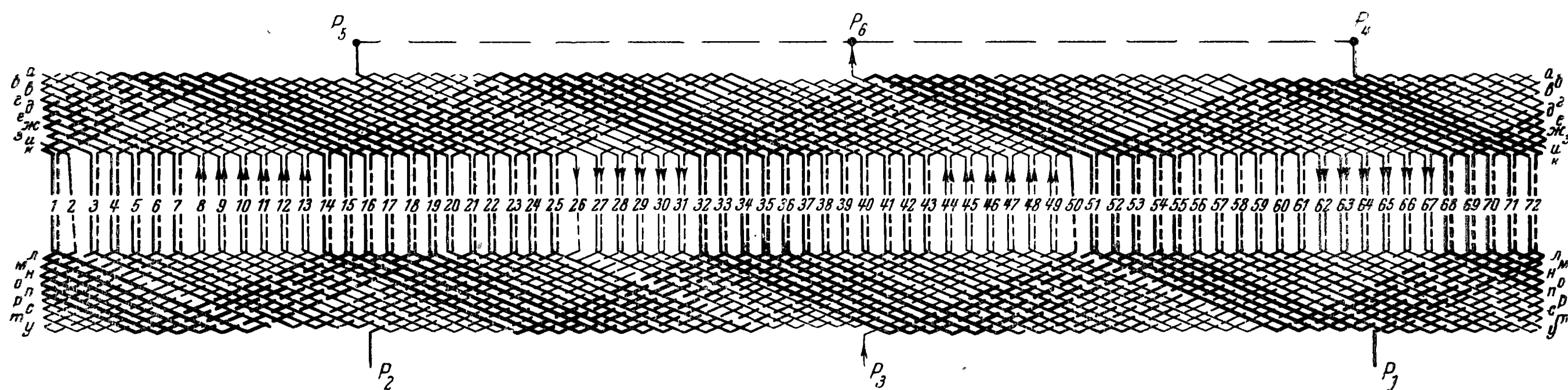


Рис. 3-66. Развернутая схема двухслойной стержневой роторной обмотки при $2p=4$; $z=72$; $q=6$; $y=1-19$; $a=1$. Шаг перехода укороченный 1—18. Соединение фаз Λ .

Первая фаза														Вторая фаза														Третья фаза													
H	1	72	71	70	69	68	H	50	51	52	53	54	55	H	25	24	23	22	21	20	H	2	3	4	5	6	7	H	49	48	47	46	45	44	H	26	27	28	29	30	31
B	19	18	17	16	15	14	B	32	33	34	35	36	37	B	43	42	41	40	39	38	B	56	57	58	59	60	61	B	67	66	65	64	63	62	B	8	9	10	11	12	13
H	37	36	35	34	33	32	H	14	15	16	17	18	19	H	61	60	59	58	57	56	H	38	39	40	41	42	43	H	13	12	11	10	9	8	H	62	63	64	65	66	67
B	55	54	53	52	51	50	B	68	69	70	71	72	1	B	7	6	5	4	3	2	B	20	21	22	23	24	25	B	31	30	29	28	27	26	B	44	45	46	47	48	49
Начала фаз														Концы фаз																											
Нижние стержни:														Верхние стержни:														Переходные стержни в фазах:													
первая фаза — 1-й паз;														первая фаза — 1-й паз;														первая фаза — 50-й паз;													
вторая фаза — 25-й паз;														вторая фаза — 25-й паз;														вторая фаза — 2-й паз.													
третья фаза — 49-й паз.														третья фаза — 49-й паз.														третья фаза — 26-й паз.													

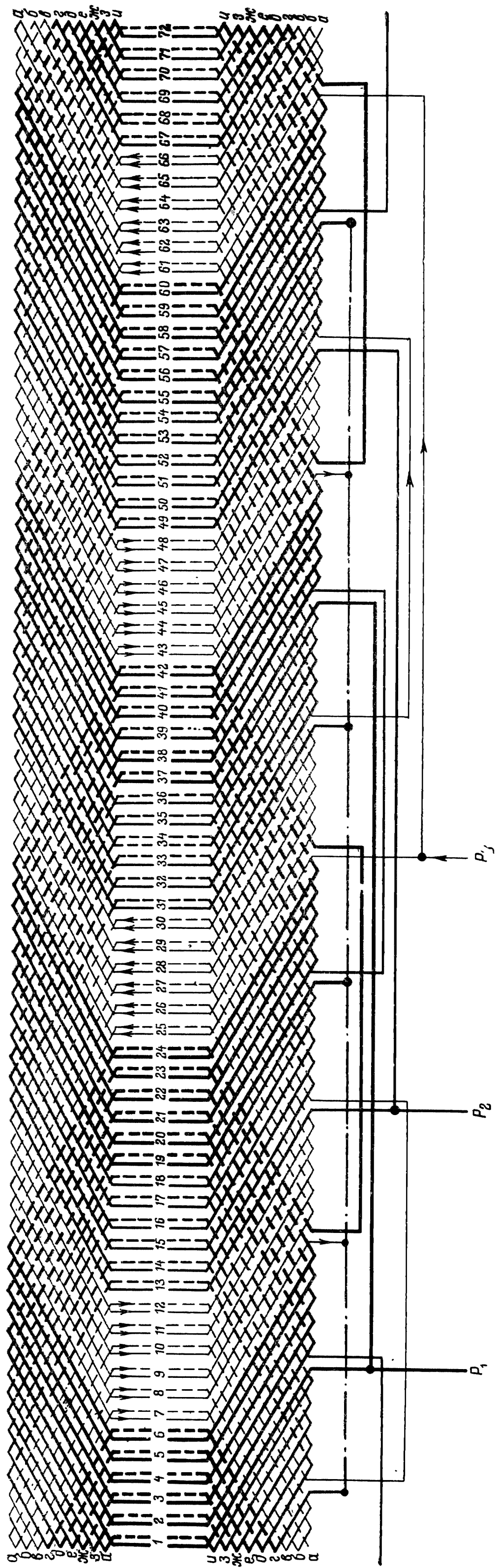


Рис. 3-67. Развернутая схема двухслойной роторной обмотки при $2p=4$; $z=72$; $q=6$; $y=1-19$; $a=2$. Соединение фаз λ .

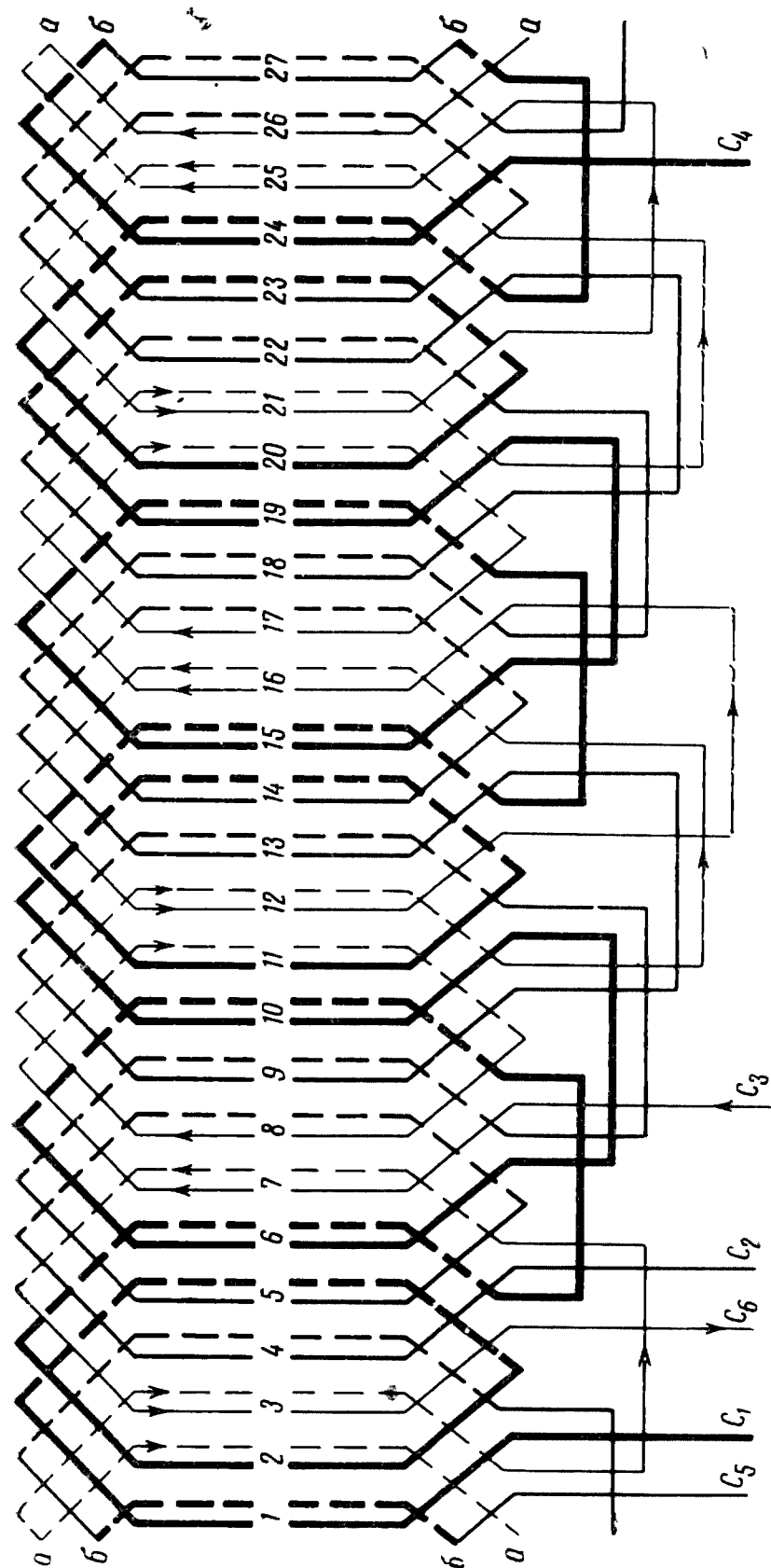


Рис. 3-68. Развернутая схема двухслойной обмотки при $2p=6$; $q=1\frac{1}{2}$; $y=1-5$; $a=1$. Чередование по всей обмотке 2, 1, 2, 1, 2, 1... Для электродвигателей на напряжение 500 в выводить только три конца — C_1 , C_2 , C_3 . Для образования нулевой точки концы C_4 , C_5 , C_6 соединить между собой.

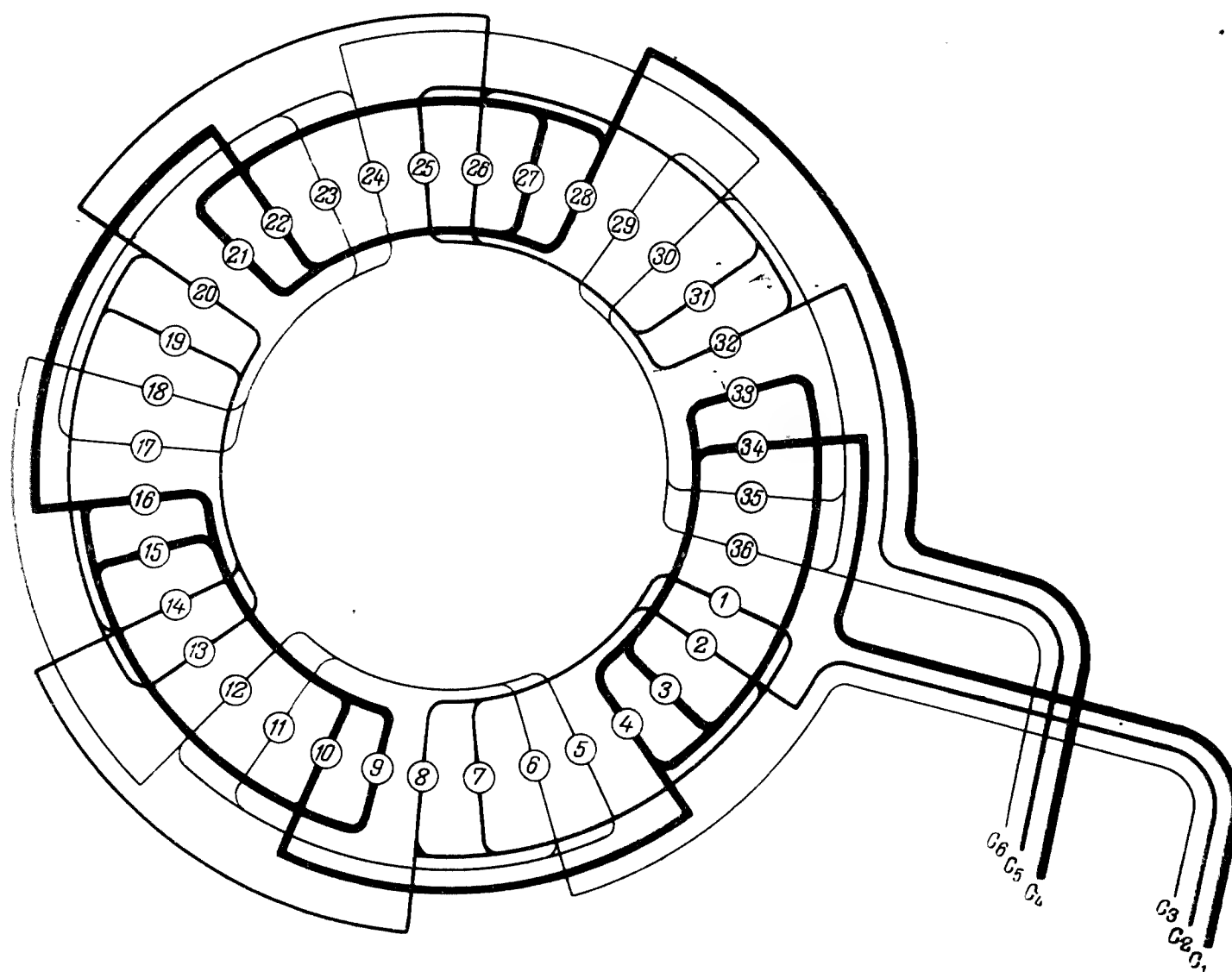


Рис. 3-69. Развернутая круговая схема однослойной статорной обмотки при $2p=6$; $z=36$; $q=2$; $a=1$. Для электродвигателей на напряжение 500 в выводить только три конца — C_1, C_2, C_3 . Для образования нулевой точки концы фаз C_4, C_5, C_6 соединить между собой.

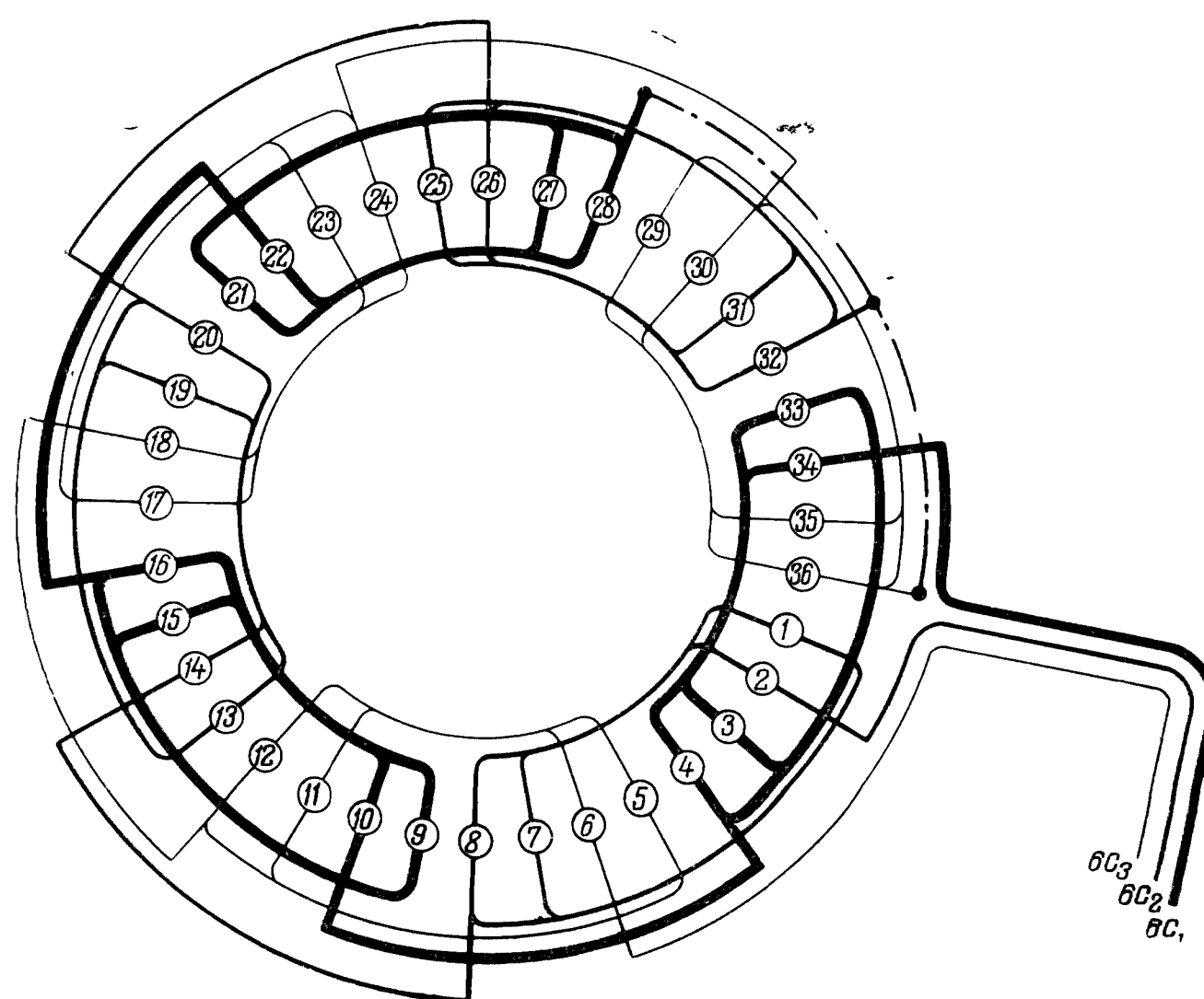


Рис. 3-70. Развернутая круговая схема однослойной статорной обмотки многоскоростного электродвигателя при $2p=6$; $z=36$; $q=2$; $a=1$. Соединение фаз Λ .

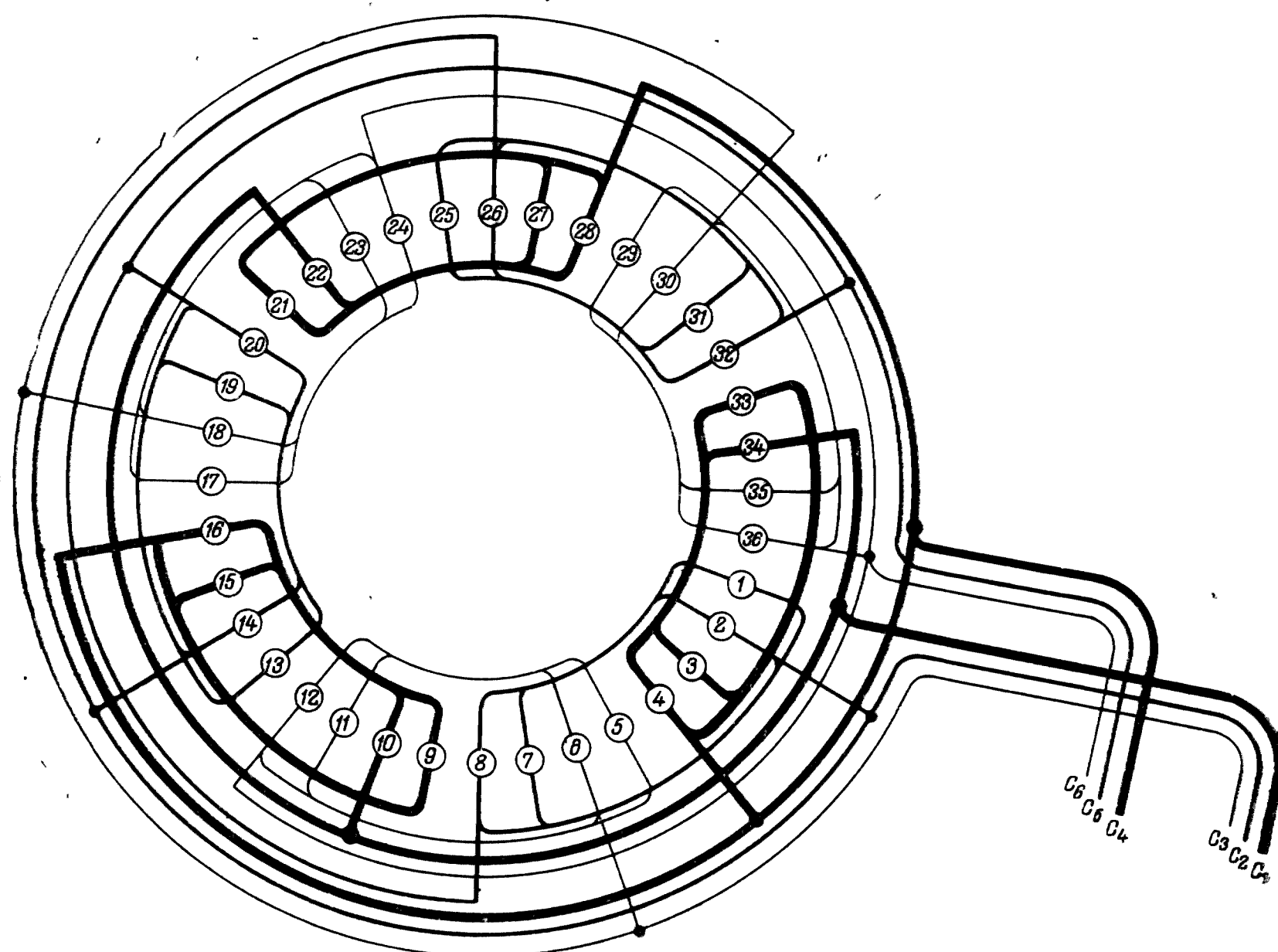


Рис. 3-71. Развернутая круговая схема однослойной статорной обмотки при $2p=6$; $z=36$; $q=2$; $a=3$. Для электродвигателей на напряжение 500 в выводить только три конца — C_1 , C_2 , C_3 . Для образования нулевой точки концы фаз C_4 , C_5 , C_6 соединить между собой.

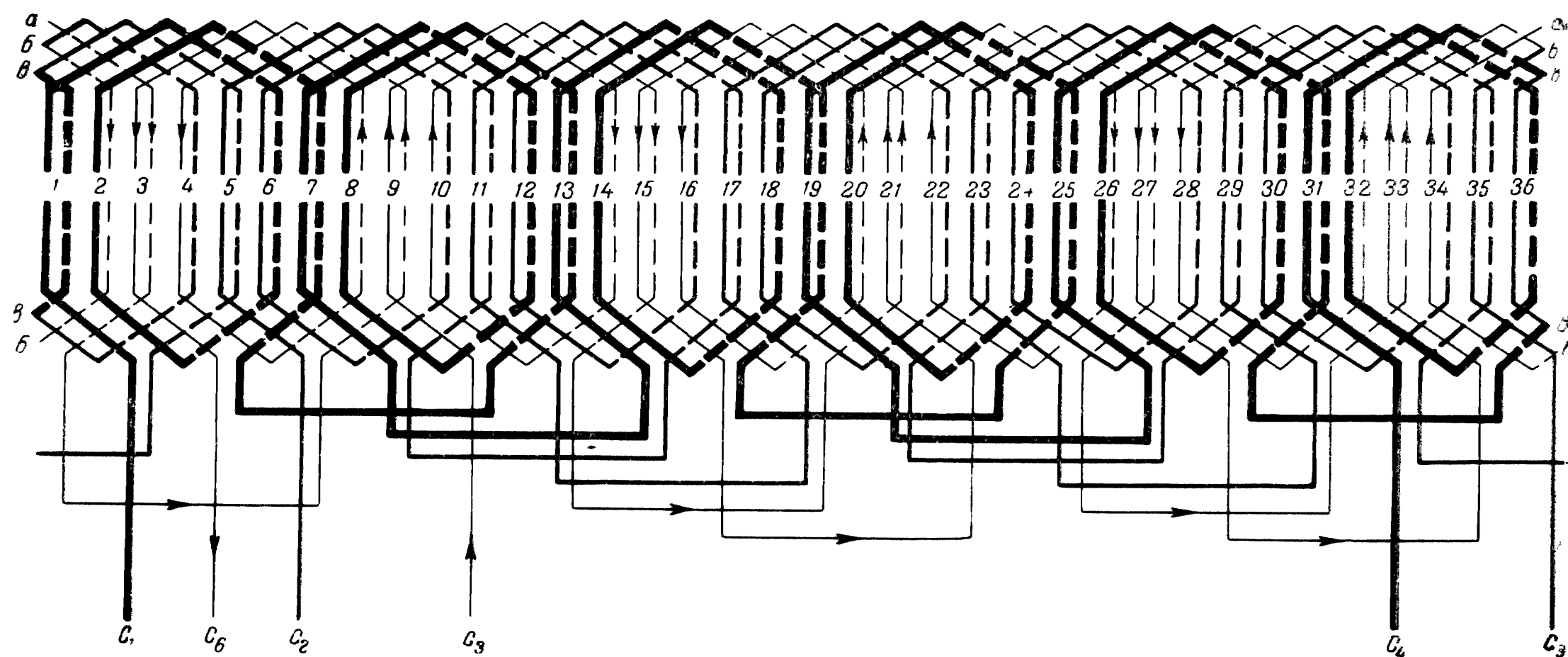


Рис. 3-72. Развернутая схема двухслойной обмотки при $2p=6$; $z=36$; $q=2$; $y=1-6$; $a=1$. Для электродвигателей на напряжение 500 в выводить только три конца — C_1 , C_2 , C_3 . Для образования нулевой точки концы фаз C_4 , C_5 , C_6 соединить между собой.

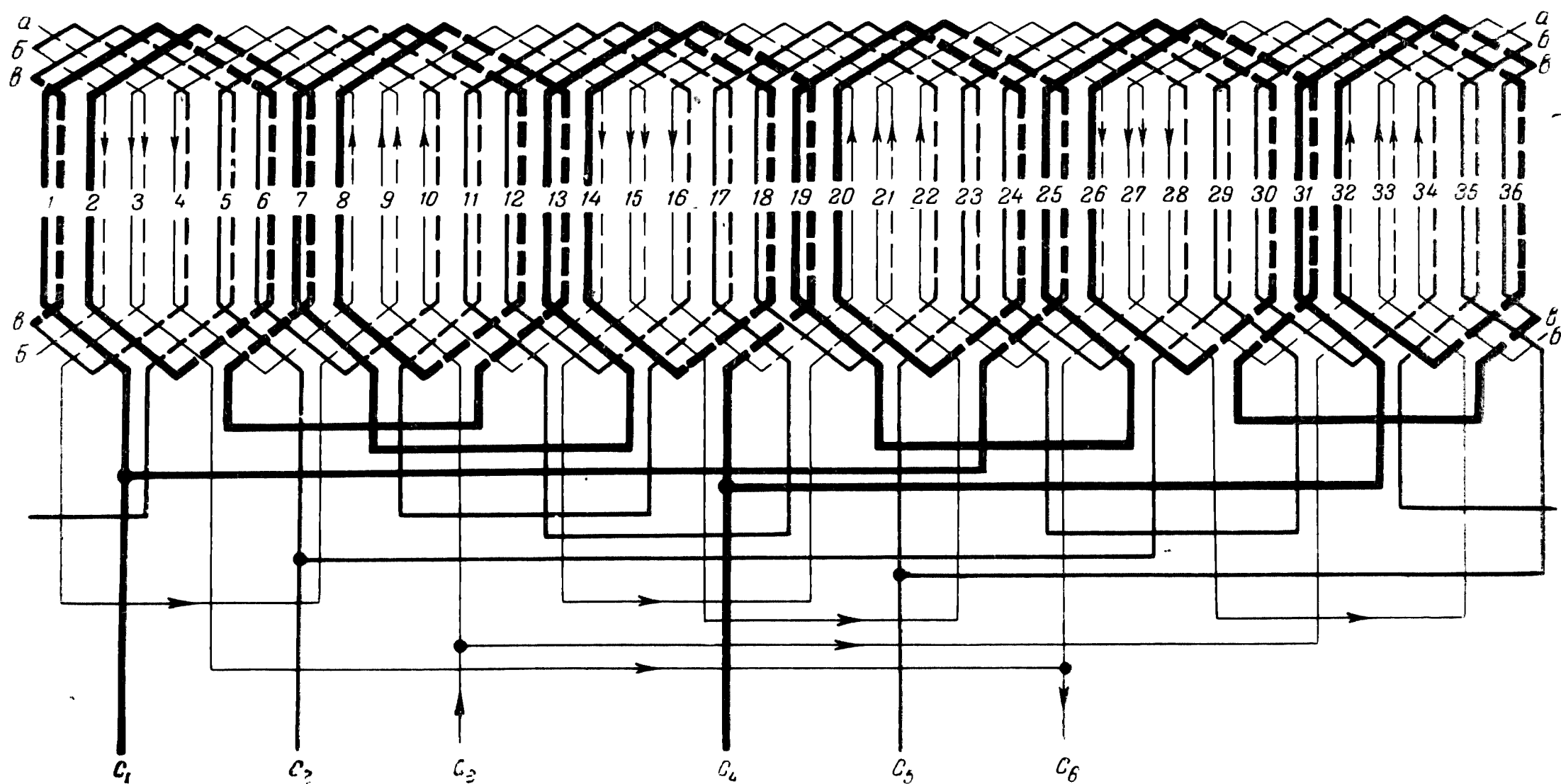


Рис. 3-73. Развернутая схема двухслойной статорной обмотки при $2p=6$; $z=36$; $q=2$; $y=1-6$; $a=2$. Для электродвигателей на напряжение 500 в выводить только три конца — C_1 , C_2 , C_3 . Для образования нулевой точки концы фаз C_4 , C_5 , C_6 соединить между собой.

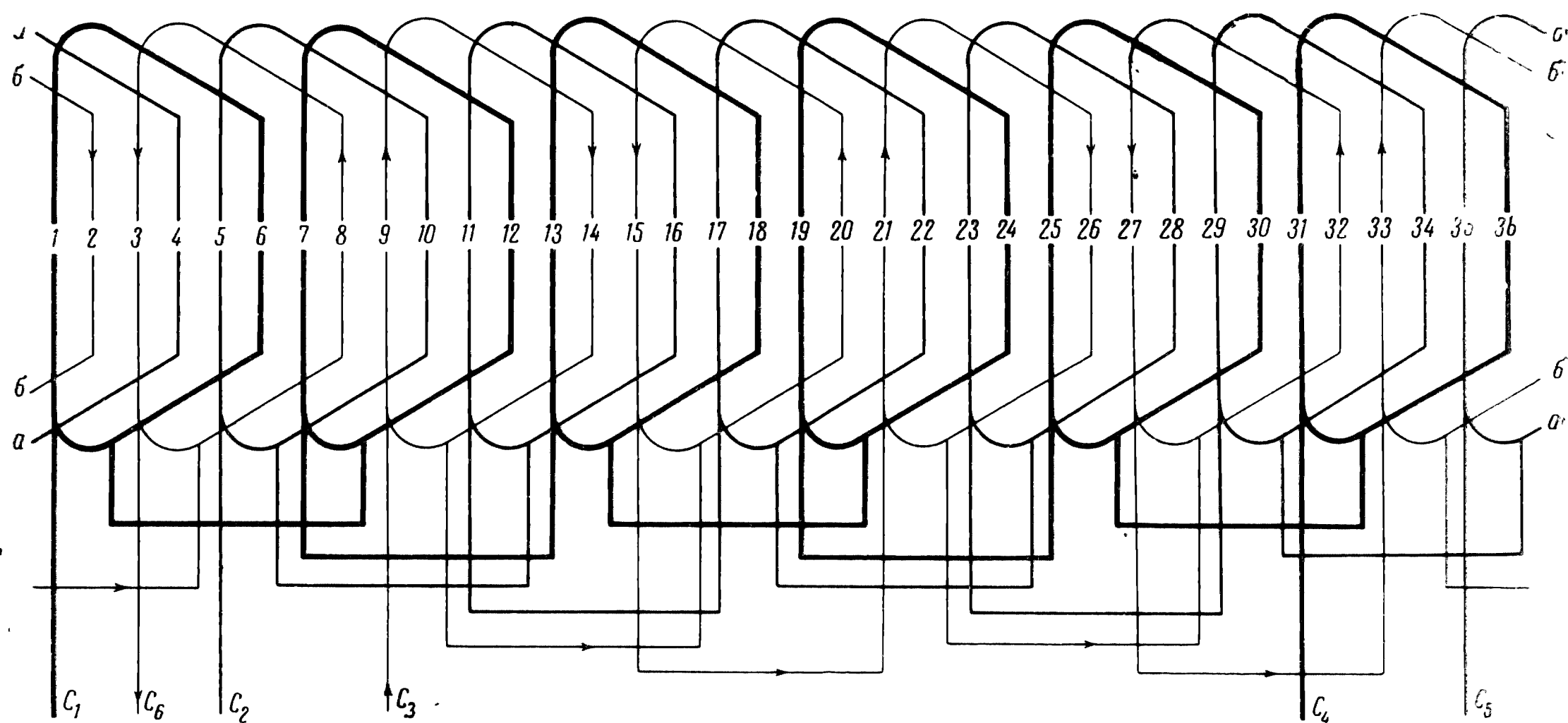


Рис. 3-74. Развернутая схема однослойной шаблонной (вразвалку) статорной обмотки при $2p=6$; $z=36$; $q=2$; $y=1-6$; $a=1$. Для электродвигателей на напряжение 500 в выводить только три конца — C_1 , C_2 , C_3 . Для образования нулевой точки концы фаз C_4 , C_5 , C_6 соединить между собой.

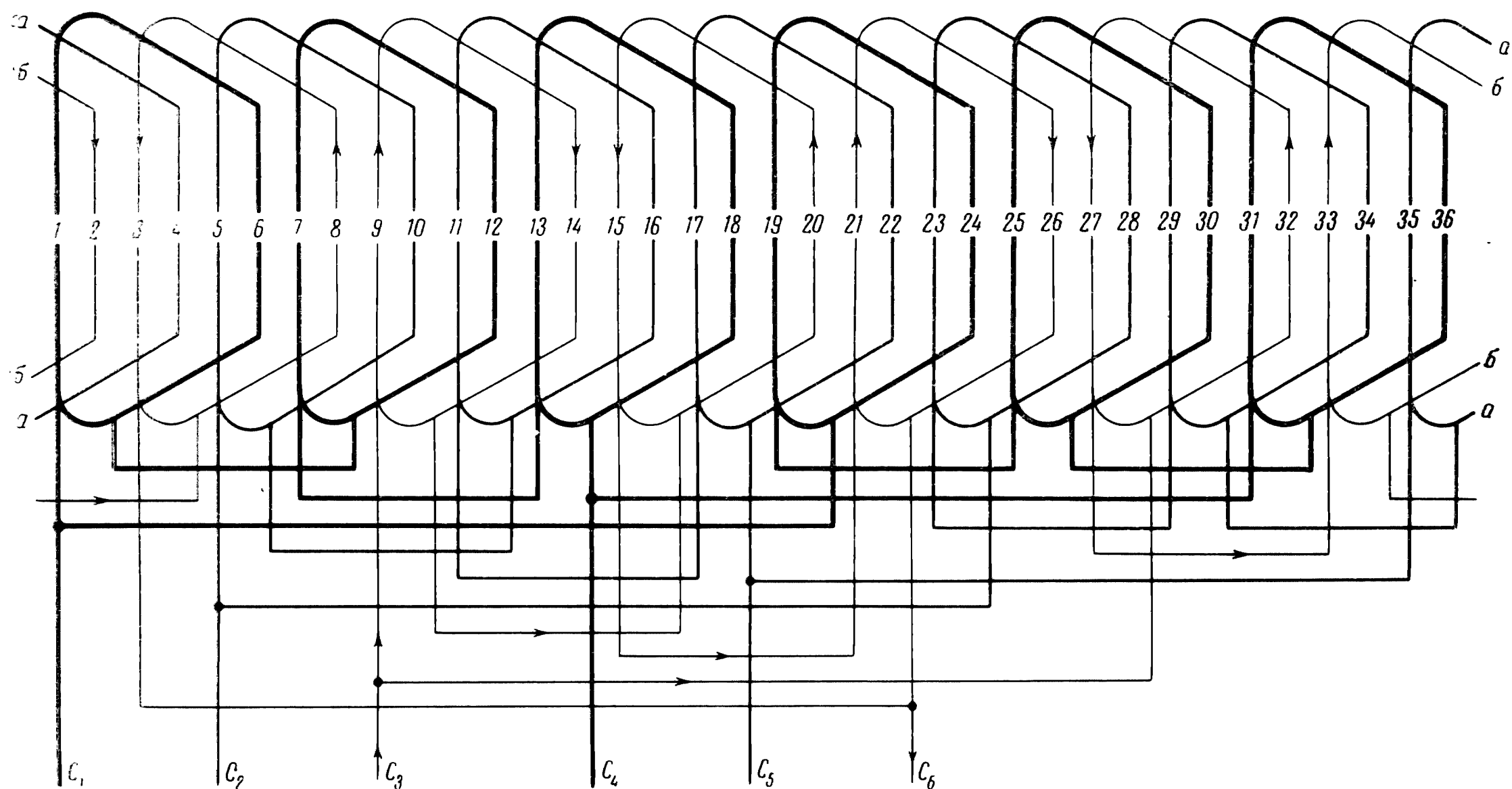


Рис. 3-75. Развернутая схема однослойной шаблонной (вразвалку) статорной обмотки при $2p=6$; $z=36$; $q=2$; $y=1-6$; $a=2$. Для электродвигателей на напряжение 500 в выводить только три конца — C_1 , C_2 , C_3 . Для образования нулевой точки концы фаз C_4 , C_5 , C_6 соединить между собой.

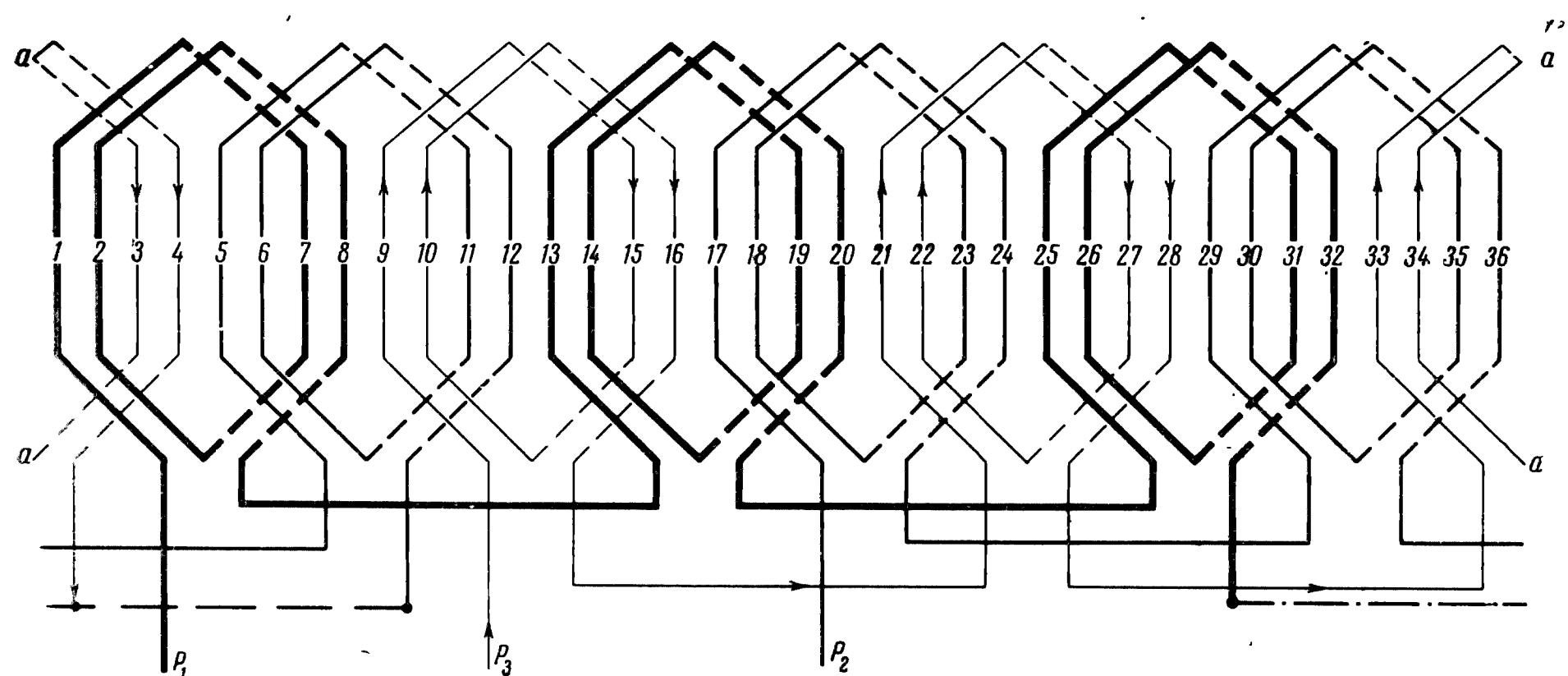


Рис. 3-76. Развернутая схема однослойной роторной обмотки при $2p=6$; $z=36$; $q=2$; $y=1-7$; $a=1$. Соединение фаз Y.

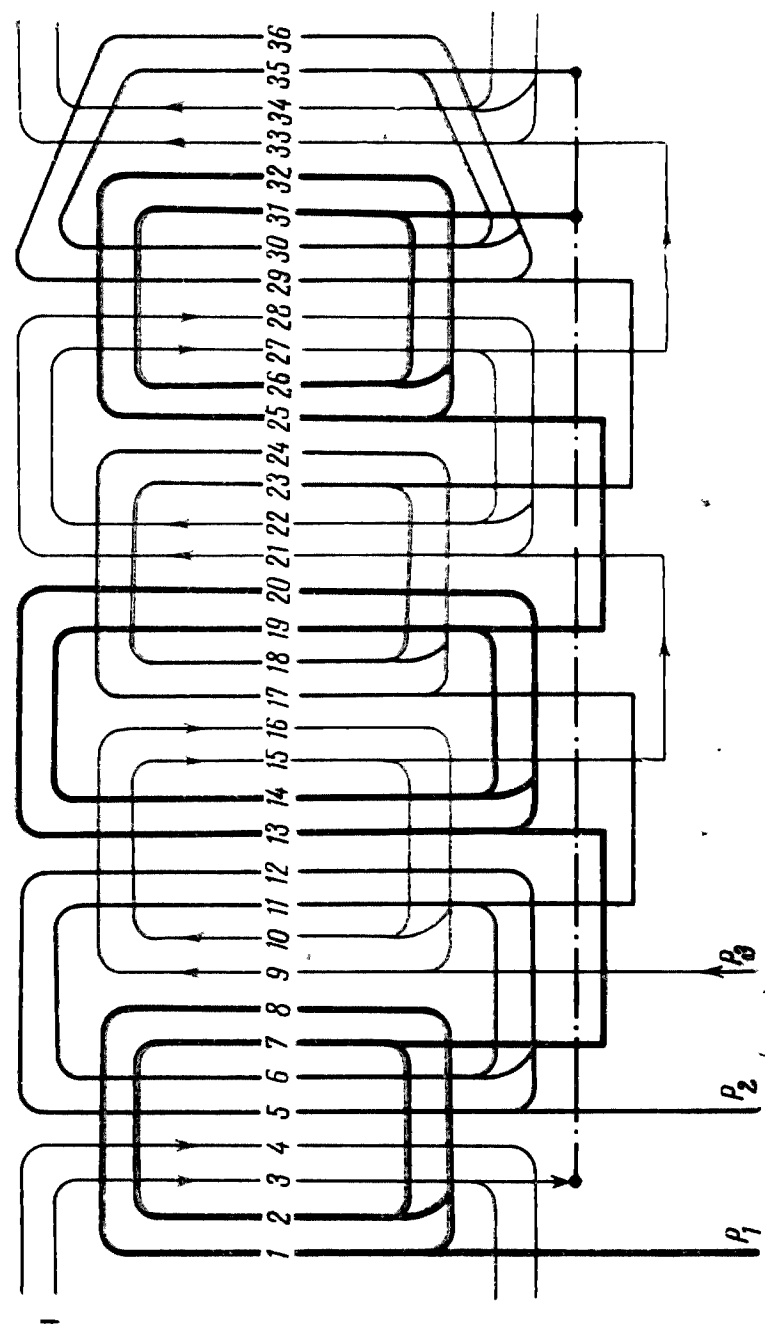


Рис. 3-77. Развернутая схема однослойной двухплоскостной роторной обмотки при $2p=6$; $z=36$; $q=2$; $y=1-8, 2-7$; $a=1$. Соединение фаз λ .

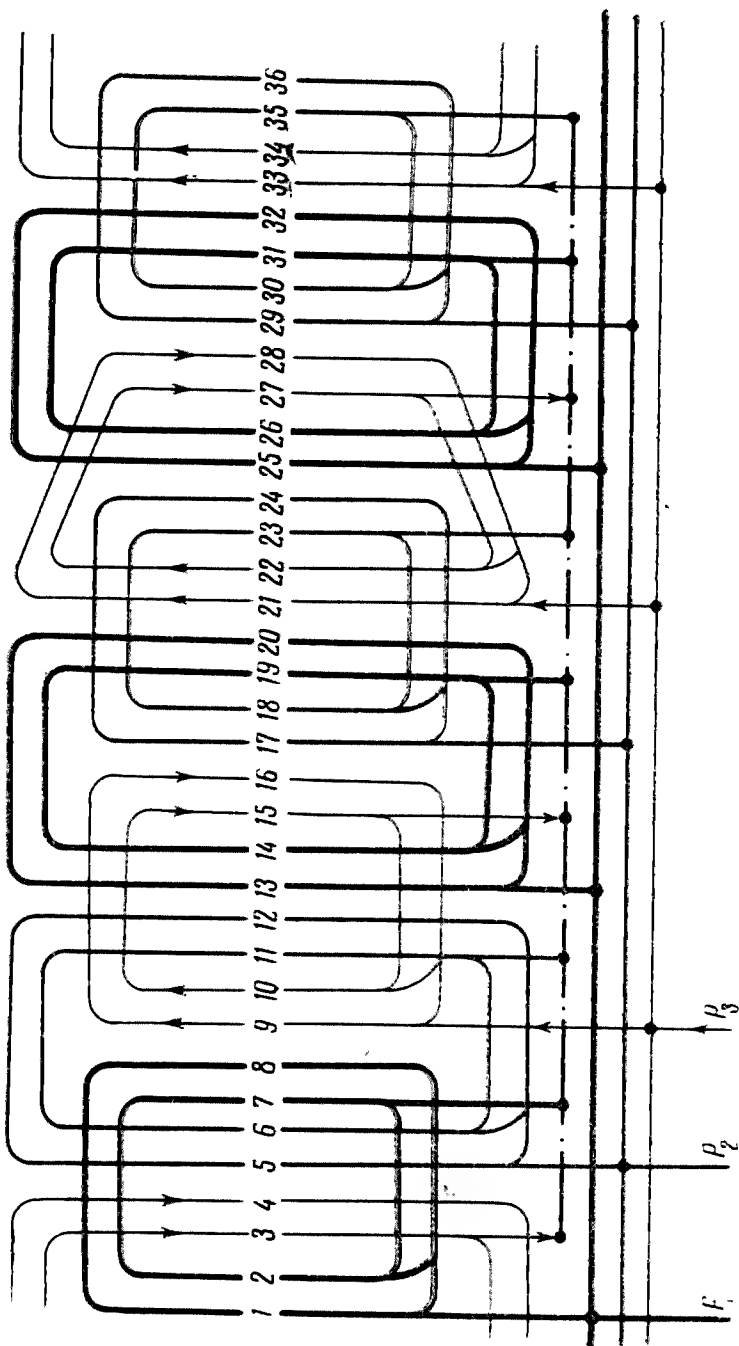


Рис. 3-78. Развернутая схема однослойной двухплоскостной роторной обмотки при $2p=6$; $z=36$; $q=2$; $y=1-8, 2-7$; $a=3$. Соединение фаз λ .

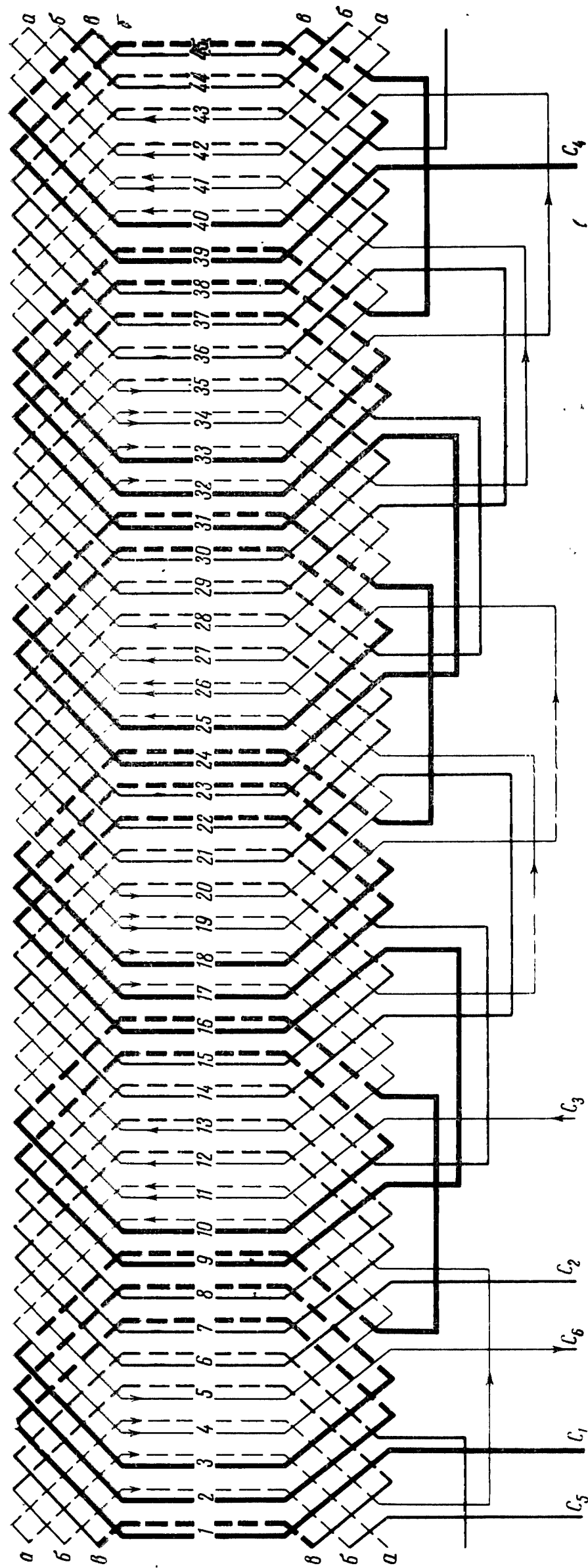


Рис. 3-79. Развернутая схема двухслойной обмотки при $2p=6$; $z=45$; $q=2\frac{1}{2}$; $y=1-7$; $a=1$. Чередование по всей обмотке 3, 2, 3, 2, 3, 2... Для электродвигателей на напряжение 500 в выводить только три конца — C_1, C_2, C_3 . Для образования нулевой точки концы фаз C_4, C_5, C_6 соединить между собой.

Рис. 3-80. Развернутая схема двухслойной статорной обмотки при $2p=6$; $q=45$; $y=1-8$; $a=1$. Чередование по всей обмотке 3, 2, 3, 2, 3, 2... Для электродвигателей на напряжение 500 в выводить только три конца C_1, C_2, C_3 . Для образования нулевой точки концы фаз C_4, C_5, C_6 соединить между собой.

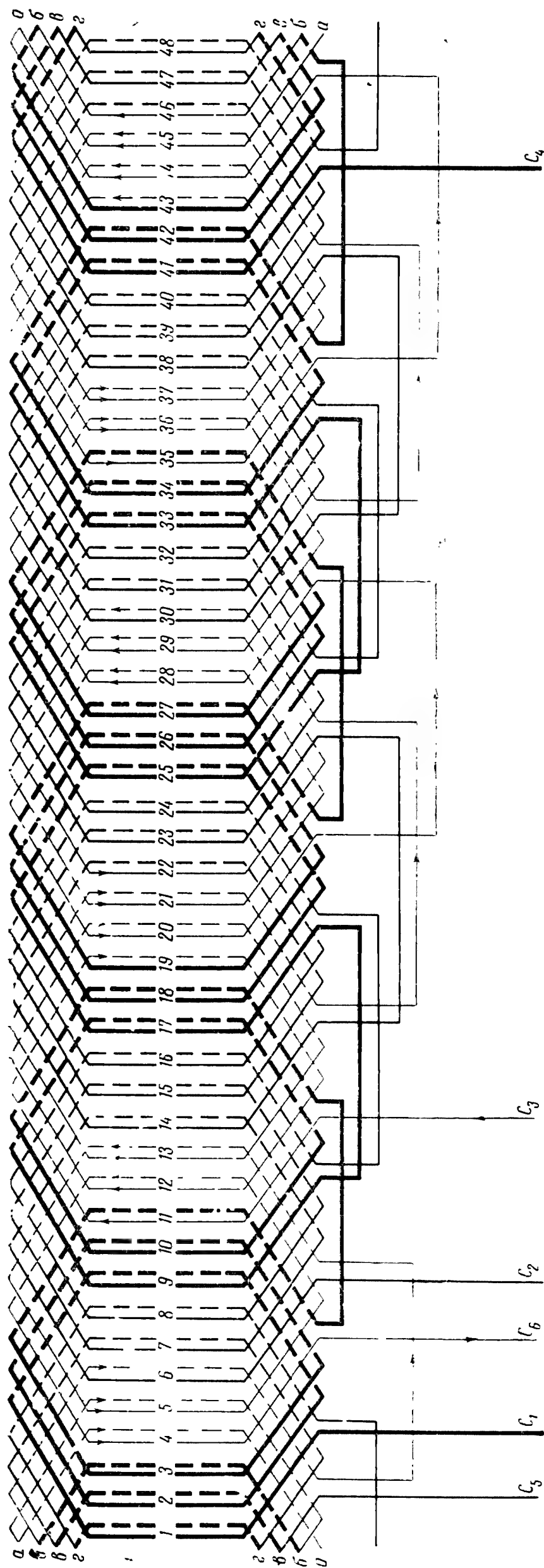


Рис. 3-81. Развернутая схема двухслойной статорной обмотки при $2p=6$; $z=48$; $q=22/3$; $y=1-9$; $a=1$. Чередование по всей обмотке 3, 2, 3, 3, 3, 2, 3, 2, 3, 3, 2, 3, 2... Для электродвигателей на напряжение 500 в выводить только три конца — C_1 , C_2 , C_3 . Для образования нулевой точки концы фаз C_4 , C_5 , C_6 соединить между собой;

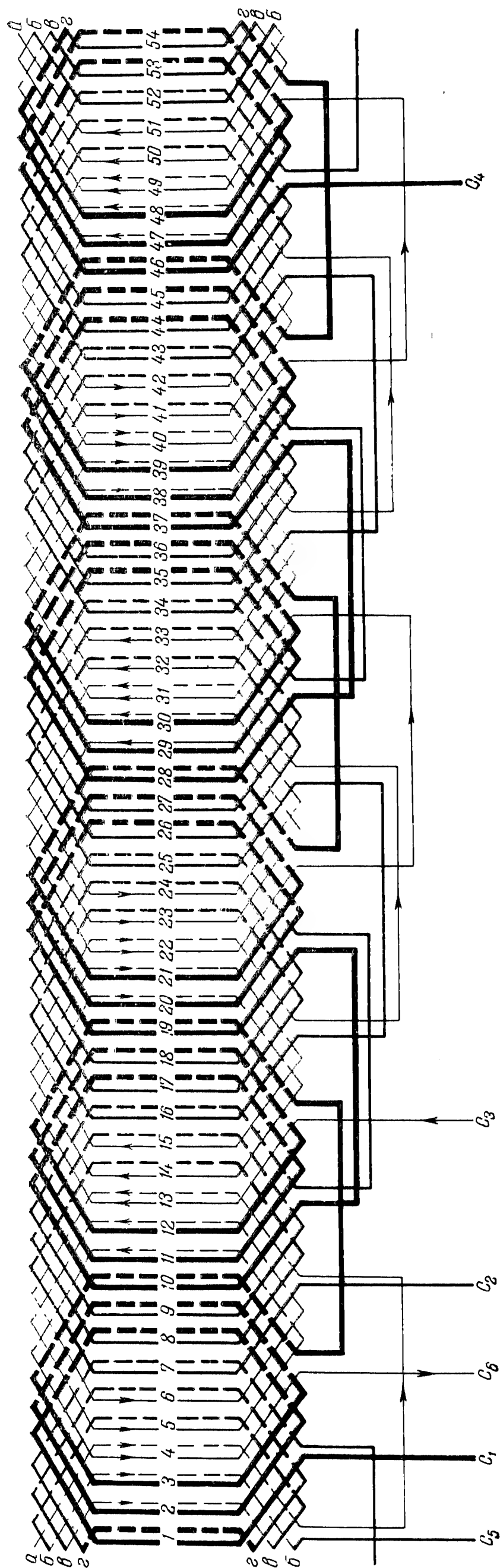


Рис. 3-82. Развернутая схема двухслойной статорной обмотки при $2p=6$; $q=3$; $y=1-8$; $a=1$. Для электродвигателей на напряжение 500 в вывести только три конца — C_1 , C_2 , C_3 . Для образования нулевой точки концы фаз C_4 , C_5 , C_6 соединить между собой.

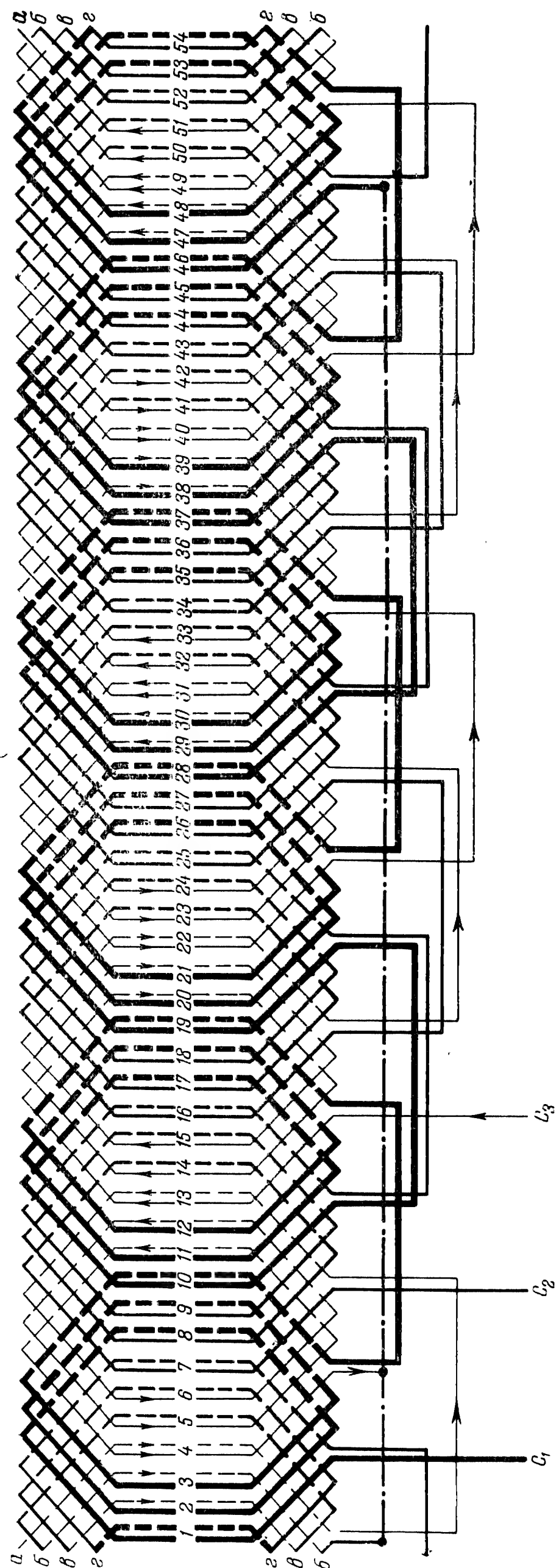


Рис. 3-83. Развернутая схема двухслойной статорной обмотки многоскоростного электродвигателя при $2p=6$; $q=3$; $y=1-8$; $a=1$. Соединение фаз λ .

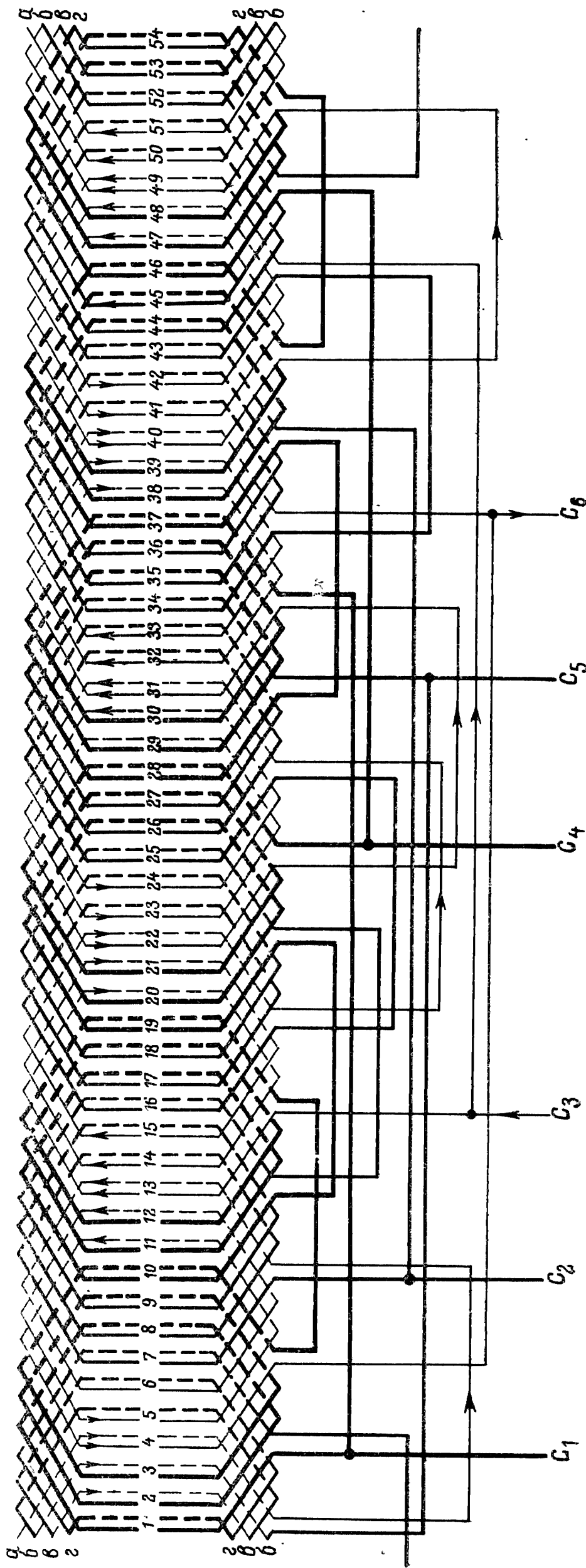


Рис. 3-84. Развернутая схема двухслойной статорной обмотки при $2p=6$; $z=54$; $q=3$; $y=1-8$; $a=2$. Для электродвигателей на напряжение 500 в выводить только три конца — C_1 , C_2 , C_3 . Для образования нулевой точки концы фаз C_4 , C_5 , C_6 соединить между собой.

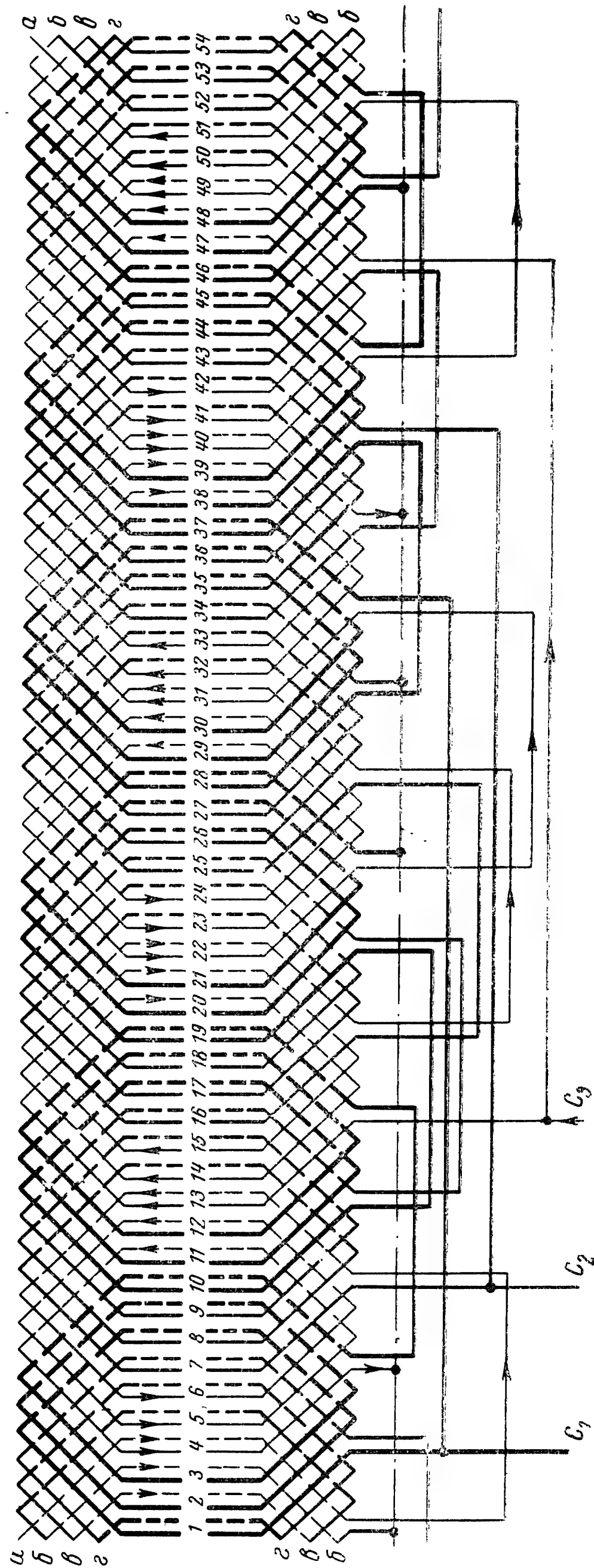


Рис. 3-85. Развернутая схема двухслойной статорной обмотки многоскоростного электродвигателя при $2p=6$; $z=54$; $q=3$; $y=1-8$; $a=2$. Соединение фаз λ .

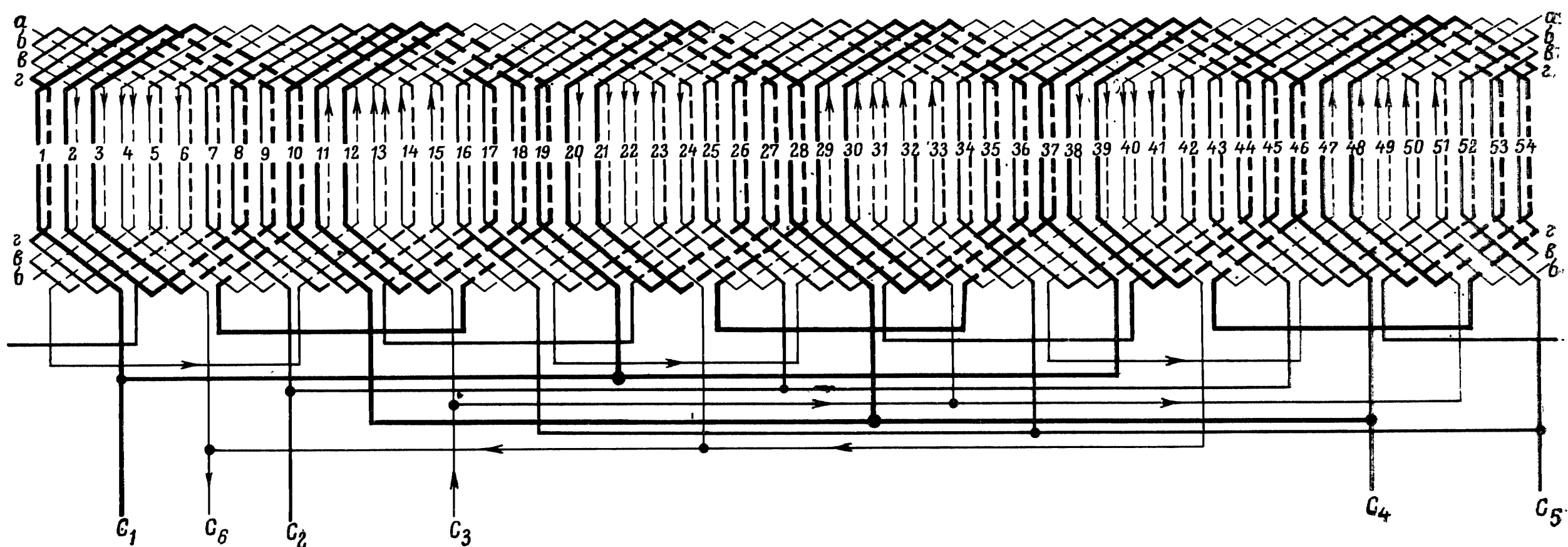


Рис. 3-86. Развернутая схема двухслойной статорной обмотки при $2p=6$; $z=54$; $q=3$; $y=1-8$; $a=3$. Для электродвигателей на напряжение 500 в выводить только три конца — C_1 , C_2 , C_3 . Для образования нулевой точки концы фаз C_4 , C_5 , C_6 соединить между собой.

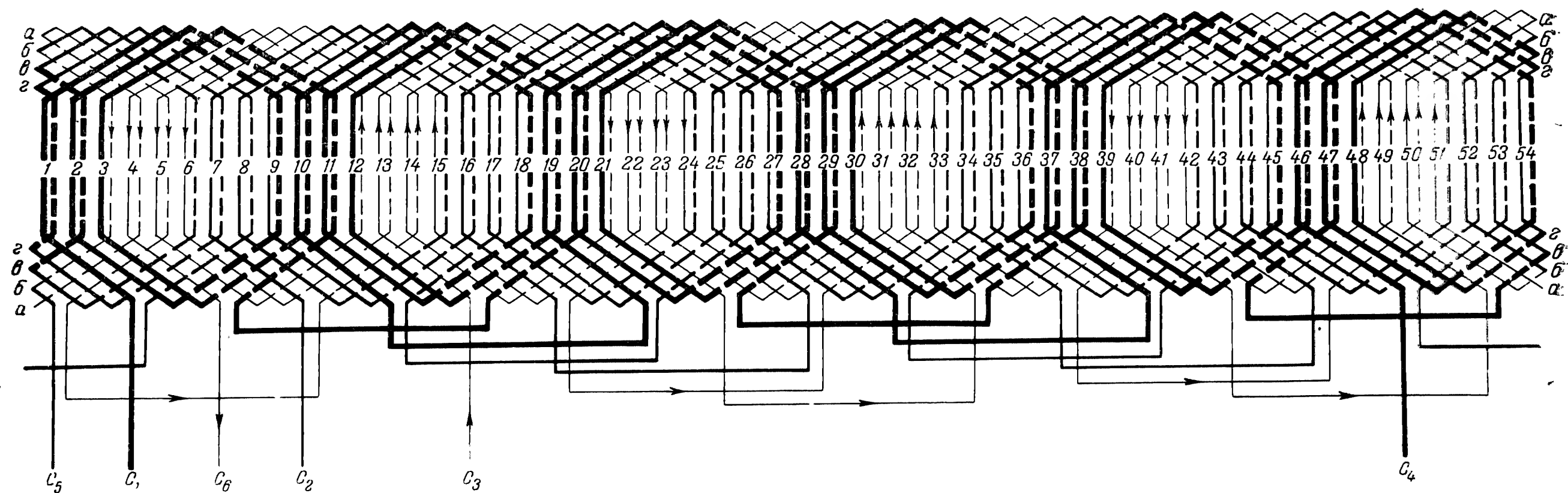


Рис. 3-87. Развернутая схема двухслойной статорной обмотки при $2p=6$; $z=54$; $q=3$; $y=1-9$; $a=1$. Для электродвигателей на напряжение 500 в выводить только три конца — C_1 , C_2 , C_3 . Для образования нулевой точки концы фаз C_4 , C_5 , C_6 соединить между собой.

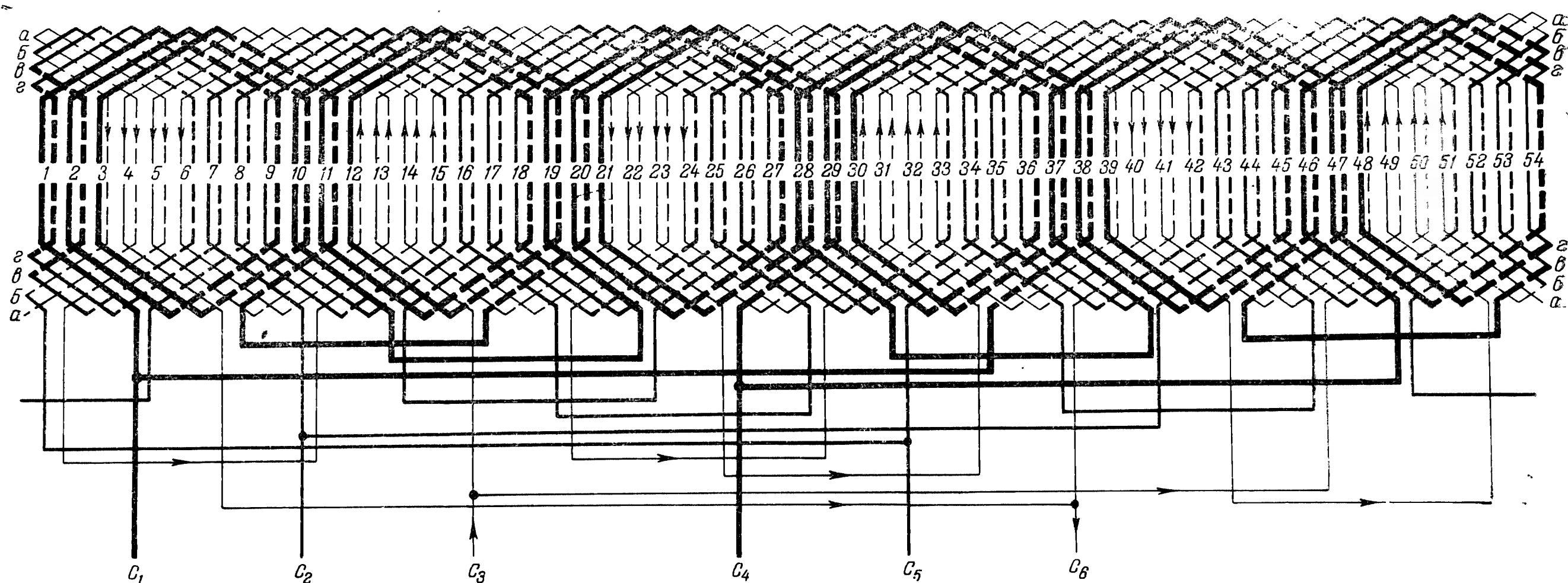


Рис. 3-88. Развернутая схема двухслойной статорной обмотки при $2p=6$; $z=54$; $q=3$; $y=1-9$; $a=2$. Для электродвигателей на напряжение 500 в выводить только три конца — C_1 , C_2 , C_3 . Для образования нулевой точки концы фаз C_4 , C_5 , C_6 соединить между собой.

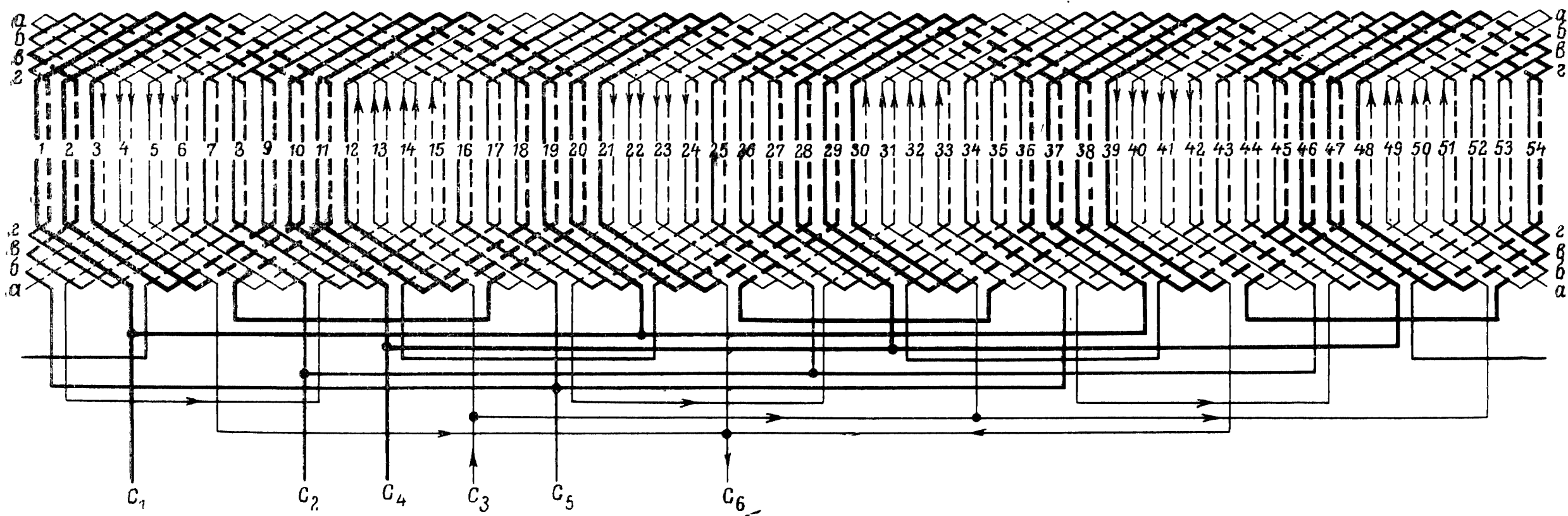


Рис. 3-89. Развернутая схема двухслойной статорной обмотки при $2p=6$; $z=54$; $q=3$; $y=1-9$; $a=3$. Для электродвигателей на напряжение 500 в выводить только три конца — C_1 , C_2 , C_3 . Для образования нулевой точки концы фаз C_4 , C_5 , C_6 соединить между собой.

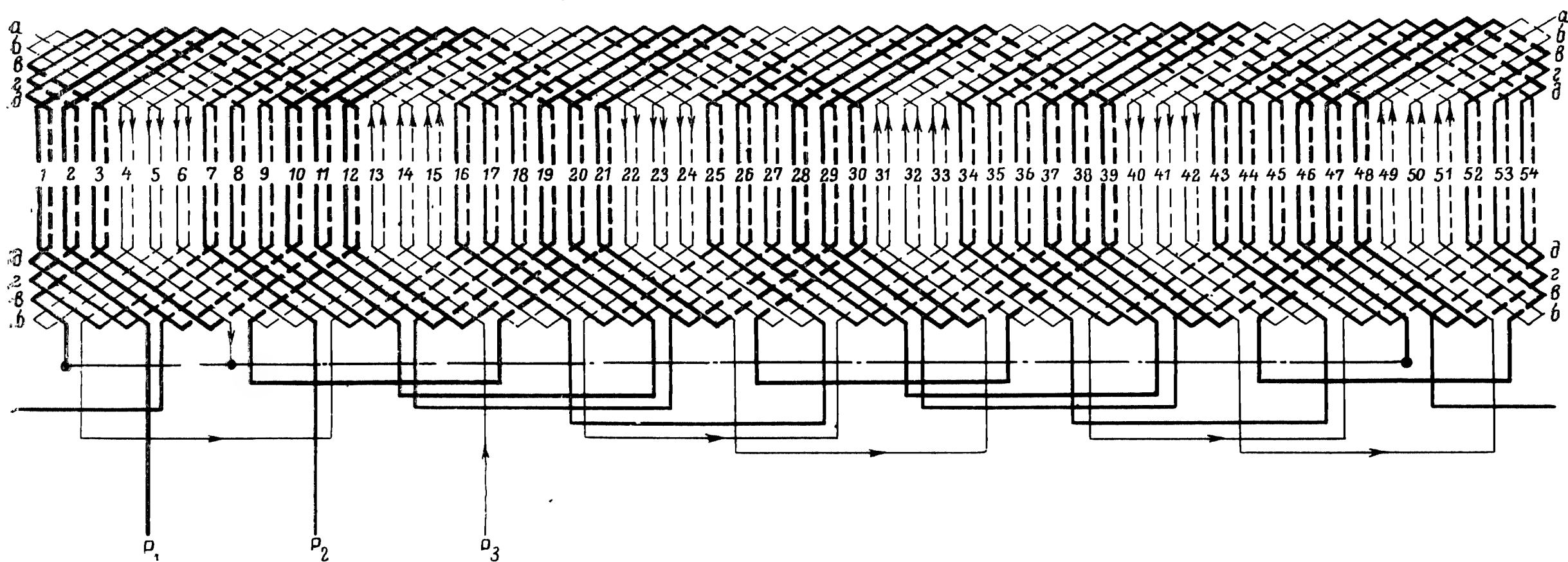


Рис. 3-90. Развернутая схема двухслойной роторной обмотки при $2p=6$, $z=54$; $q=3$; $y=1-10$; $a=1$. Соединение фаз Δ .

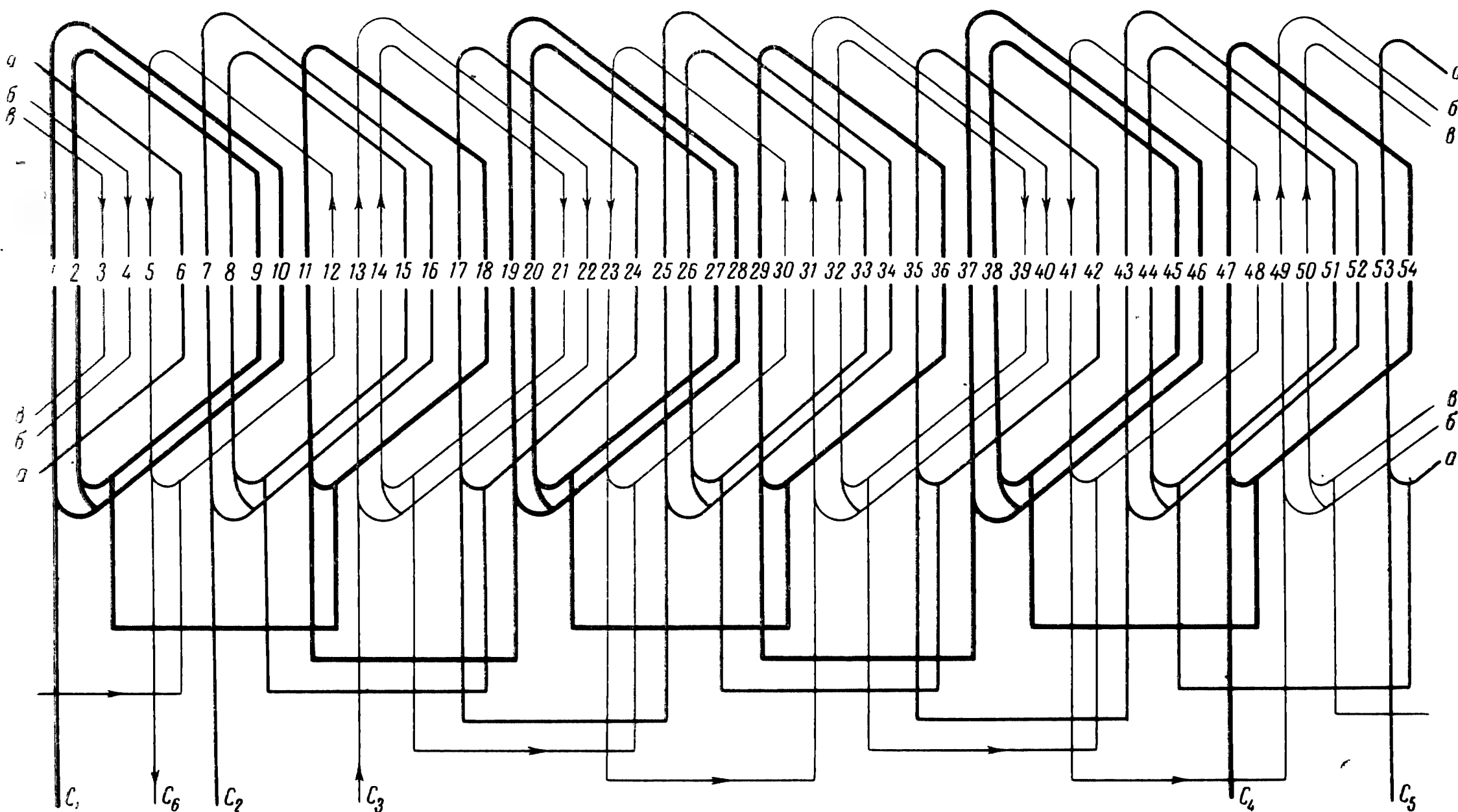


Рис. 3-91. Развернутая схема однослойной шаблонной (вразвалку) статорной обмотки при $2p=6$; $z=54$; $q=3$; $y=1-8$, $1-10$; $a=1$. Для электродвигателей на напряжение 500 в выводить только три конца — C_1 , C_2 , C_3 . Для образования нулевой точки концы фаз C_4 , C_5 , C_6 соединить между собой.

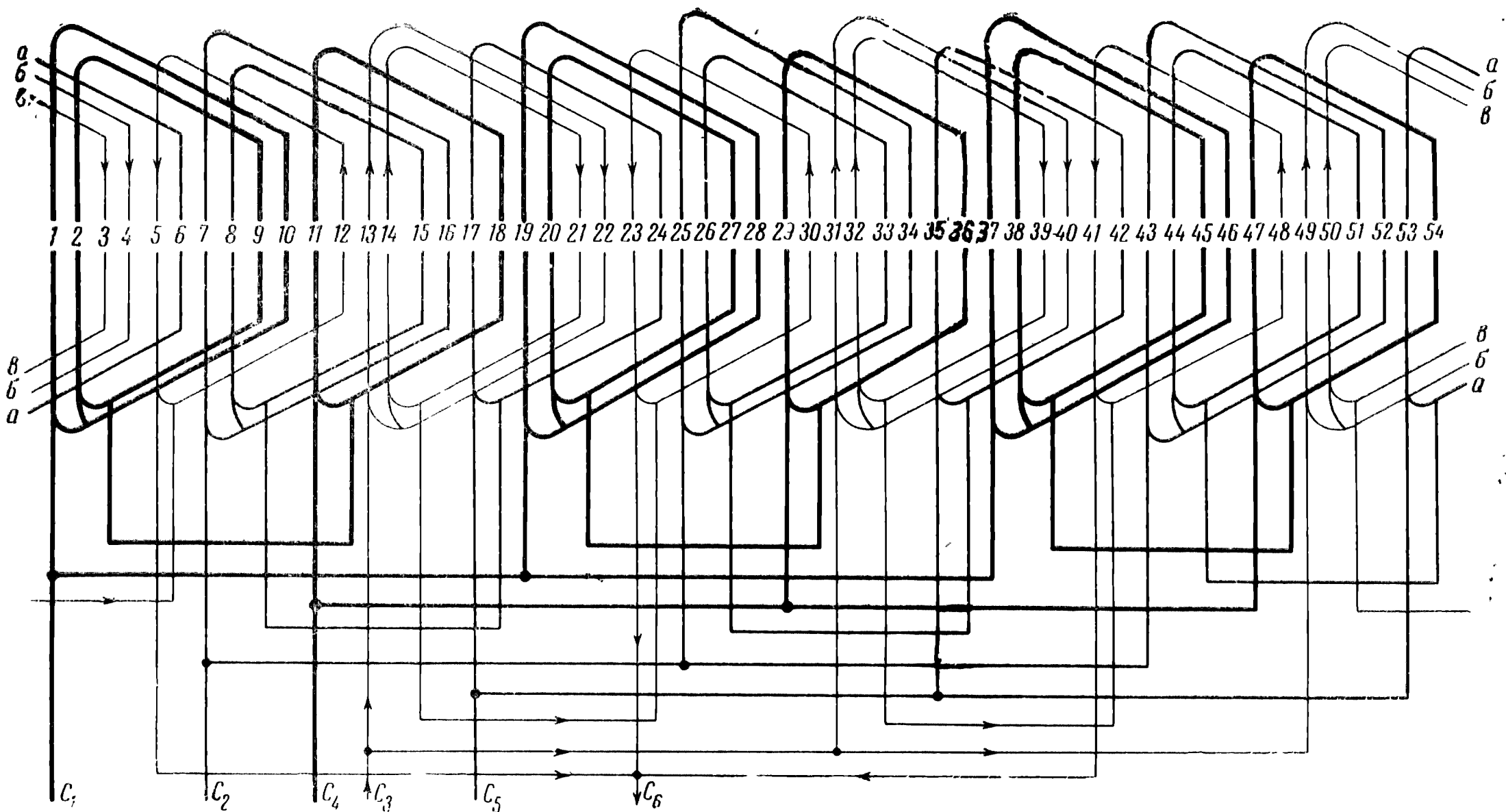


Рис. 3-92. Развернутая схема однослойной шаблонной (вразвалку) статорной обмотки при $2p=6$; $z=54$; $q=3$; $y=1-8, 1-10$; $a=3$. Для электродвигателей на напряжение 500 в выводить только три конца — C_1, C_2, C_3 . Для образования нулевой точки концы фаз C_4, C_5, C_6 соединить между собой.

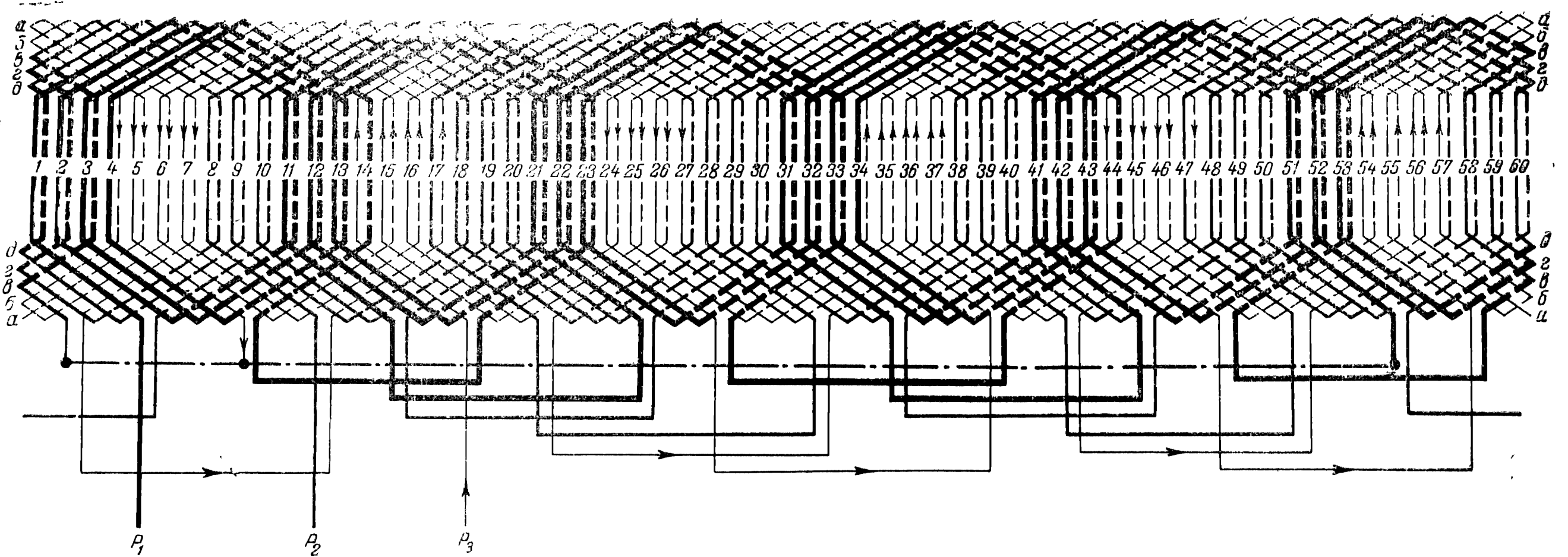


Рис. 3-93. Развернутая схема двухслойной роторной обмотки при $2p=6$; $z=60$; $q=3\frac{1}{3}$; $y=1-11$; $a=1$. Чередование по всей обмотке 4, 3, 3, 3, 3, 4, 3, 4, 3, 3, 3, 3, 4, 3, 4, 3... Соединение фаз Δ .

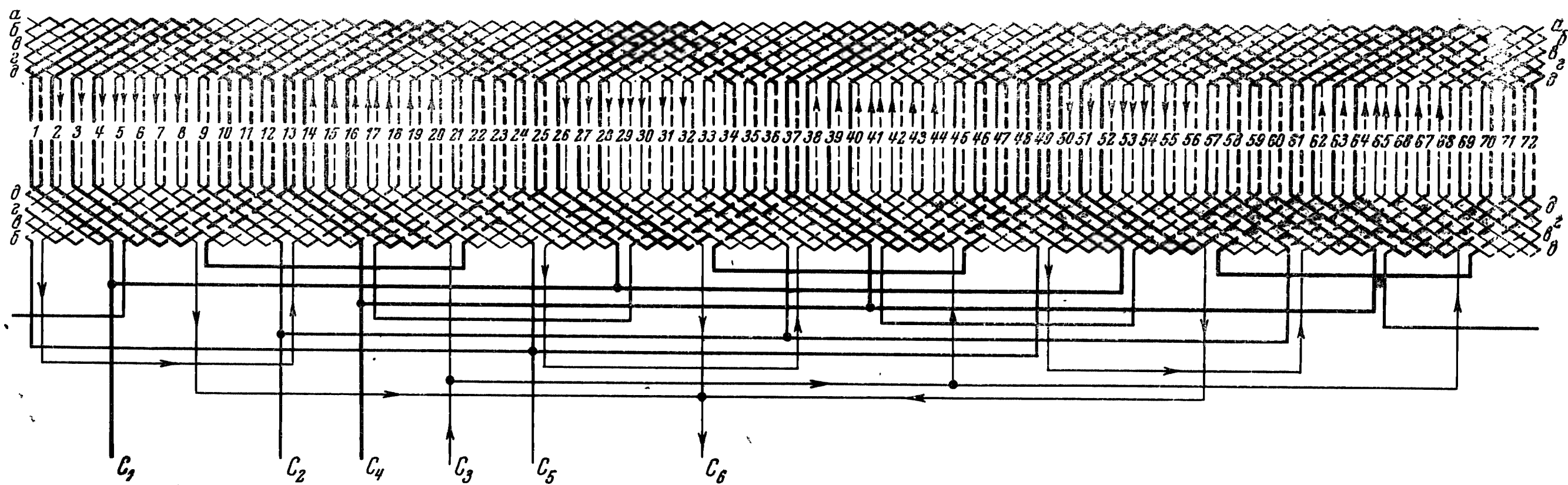


Рис 3-94. Развернутая схема двухслойной статорной обмотки при $2p=6$; $z=72$; $q=4$; $y=1-10$; $a=3$.

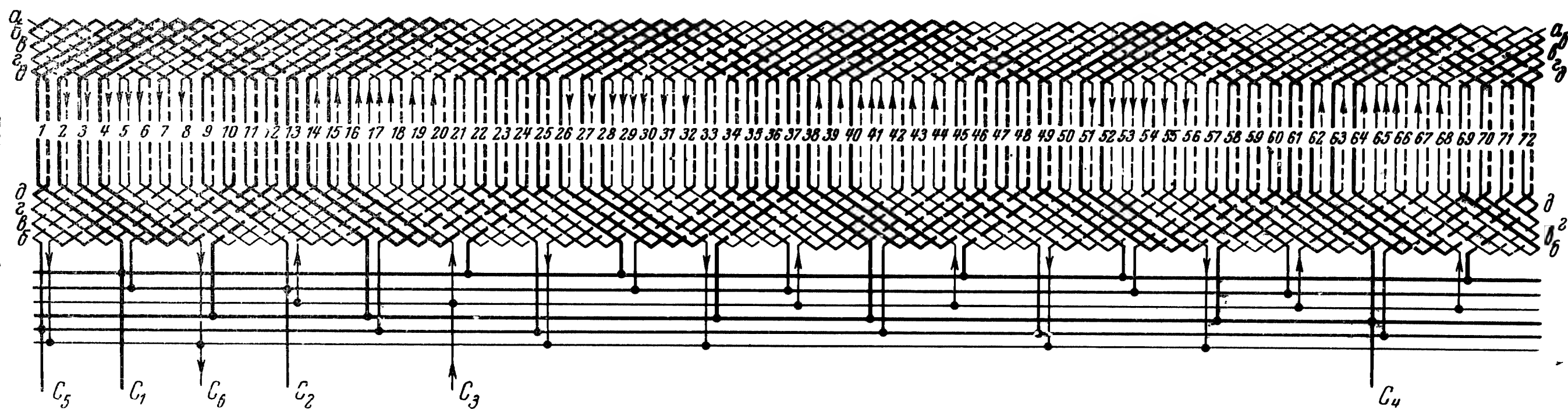


Рис. 3-95. Развернутая схема двухслойной статорной обмотки при $2p=6$; $z=72$; $q=4$; $y=1-10$; $a=6$.

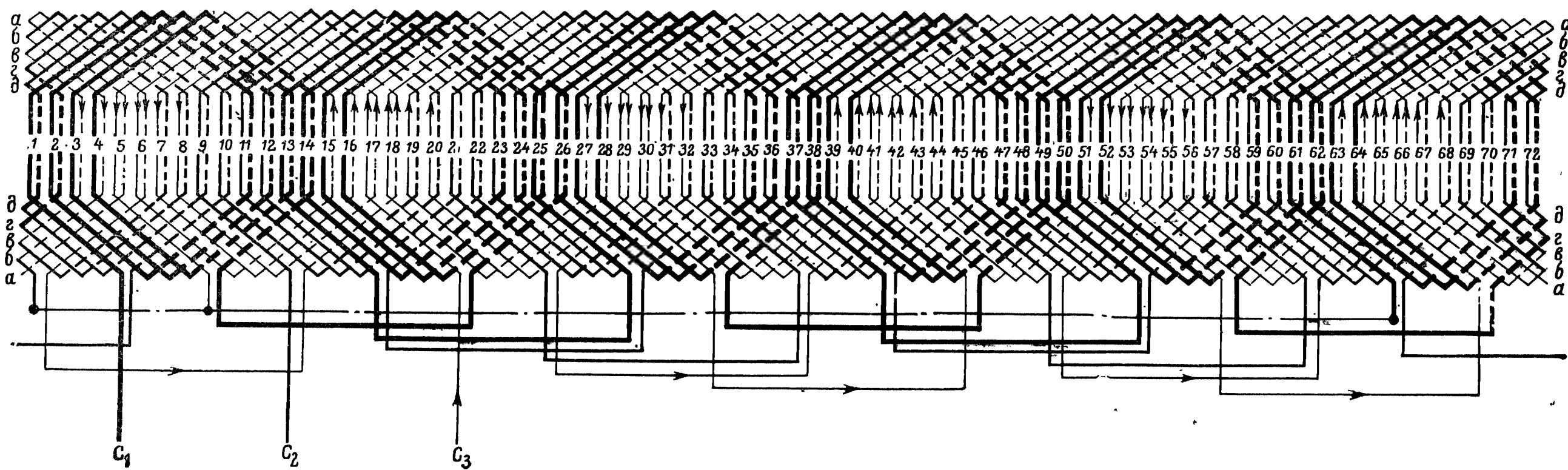


Рис. 3-96. Развернутая схема двухслойной статорной обмотки многоскоростного электродвигателя при $2p=6$; $z=72$; $q=4$; $y=1-11$; $a=1$. Соединение фаз Δ .

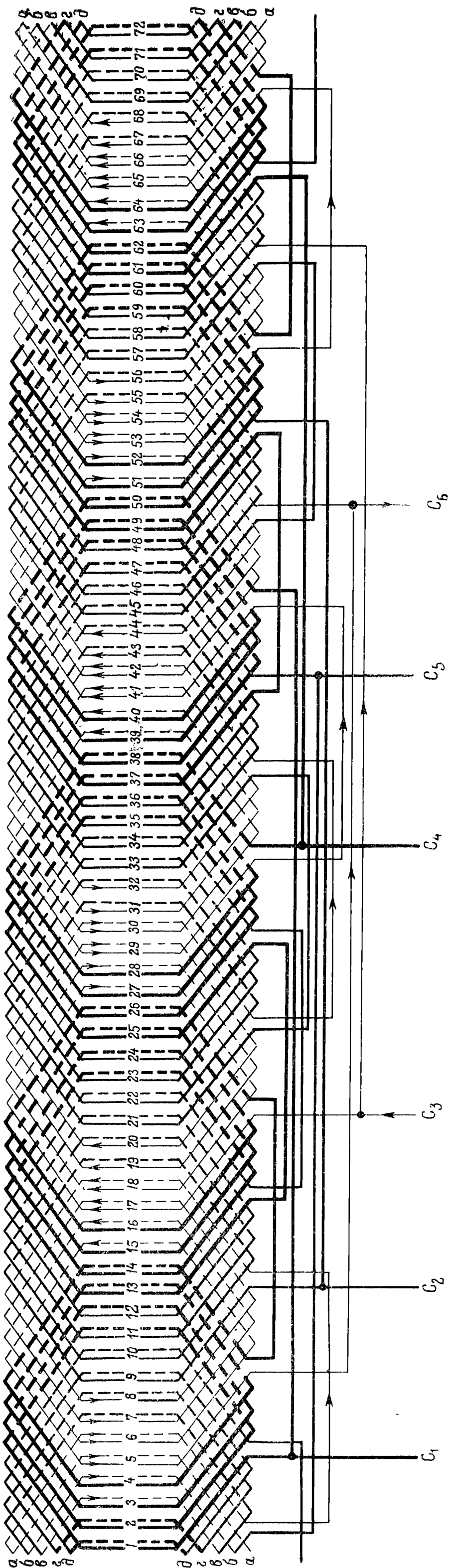


Рис. 3-97. Развернутая схема двухслойной статорной обмотки при $2p=6$; $q=72$; $y=1-11$; $a=2$. Для электродвигателей напряжение 500 в выводить только три конца — C_1 , C_2 , C_3 . Для образования нулевой точки концы фаз C_4 , C_5 , C_6 соединить между собой.

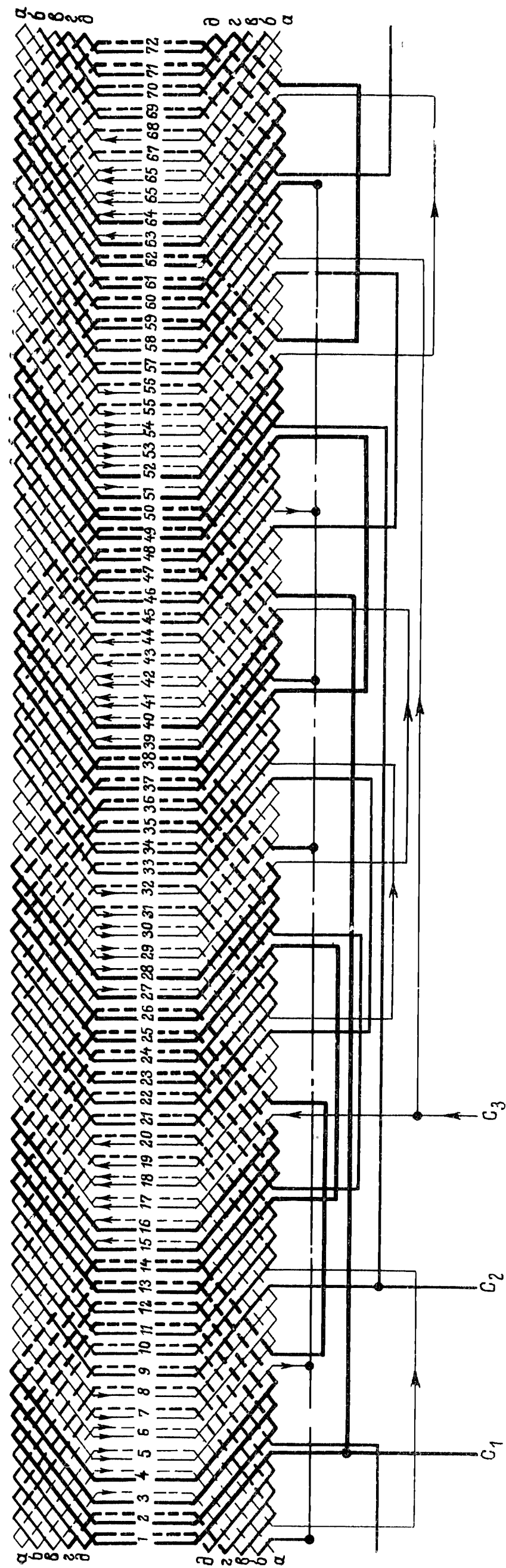


Рис. 3-98. Развернутая схема двухслойной статорной обмотки многоскоростного электродвигателя при $2p=6$; $q=72$; $q=4$; $y=1-11$; $a=2$. Соединение фаз λ .

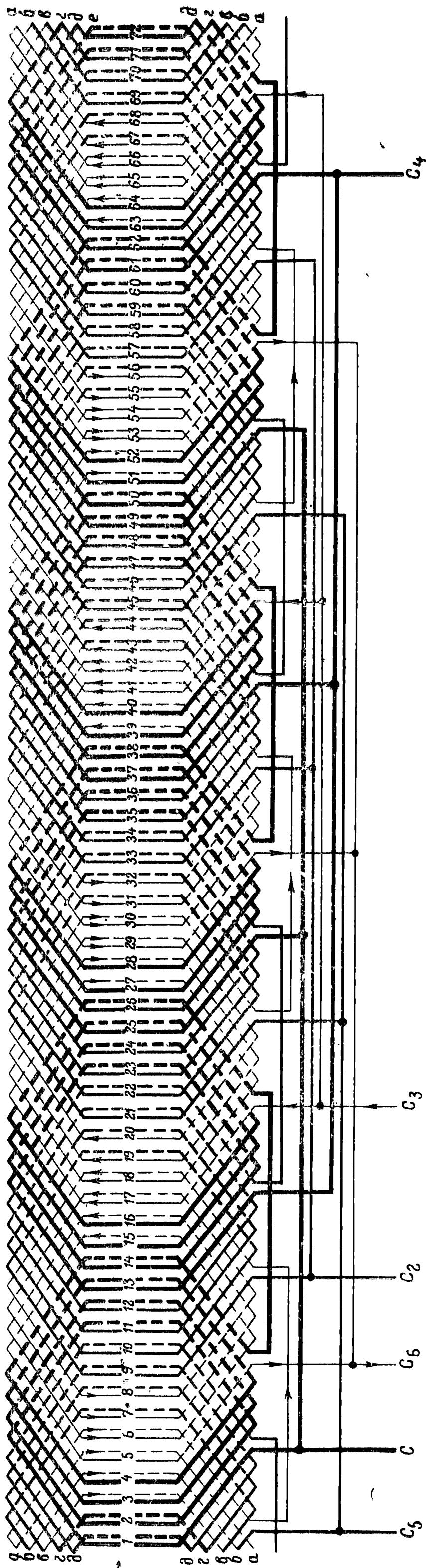


Рис. 3-99. Развернутая схема двухслойной статорной обмотки при $2p=6$; $z=72$; $q=4$; $y=1-11$; $a=3$. Для электродвигателей на напряжение 500 в выводить только три конца — C_1 , C_2 , C_3 . Для образования нулевой точки концы фаз C_4 , C_5 , C_6 соединить между собой.

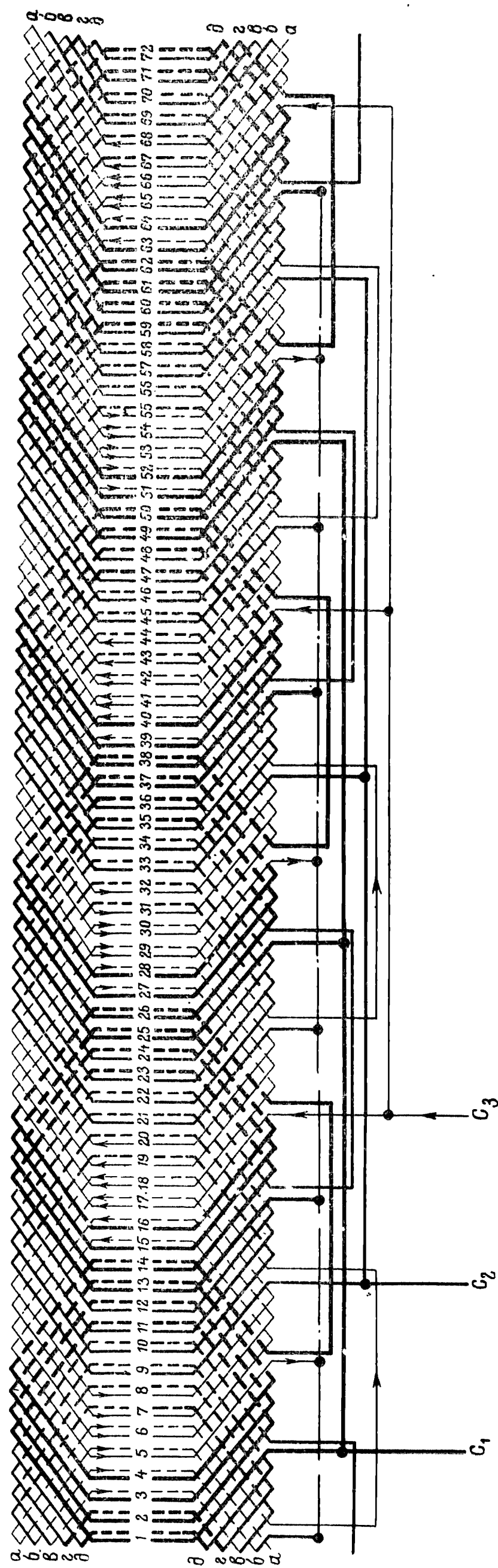


Рис. 3-100. Развернутая схема двухслойной статорной обмотки многоскоростного электродвигателя при $2p=6$; $z=72$; $q=4$; $y=1-11$; $a=3$. Соединение фаз λ .

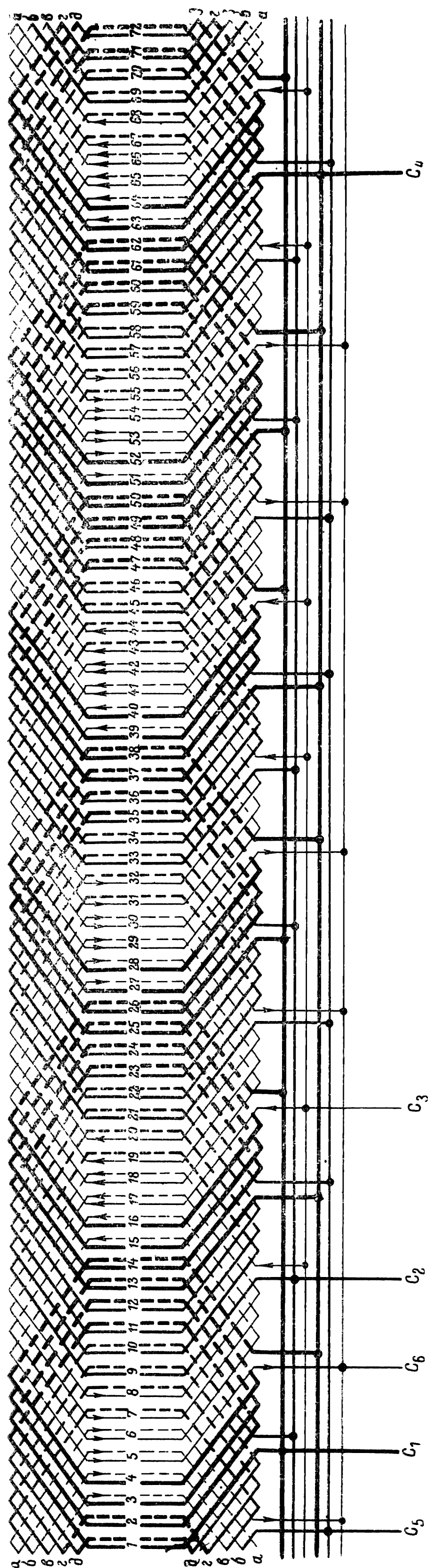


Рис. 3-101. Развернутая схема двухслойной статорной обмотки при $2p=6$; $z=72$; $q=4$; $y=1-11$; $a=6$. Для электродвигателей на напряжение 500 в выводить только три конца — C_1 , C_2 , C_3 . Для образования нулевой точки концы фаз C_4 , C_5 , C_6 соединить между собой.

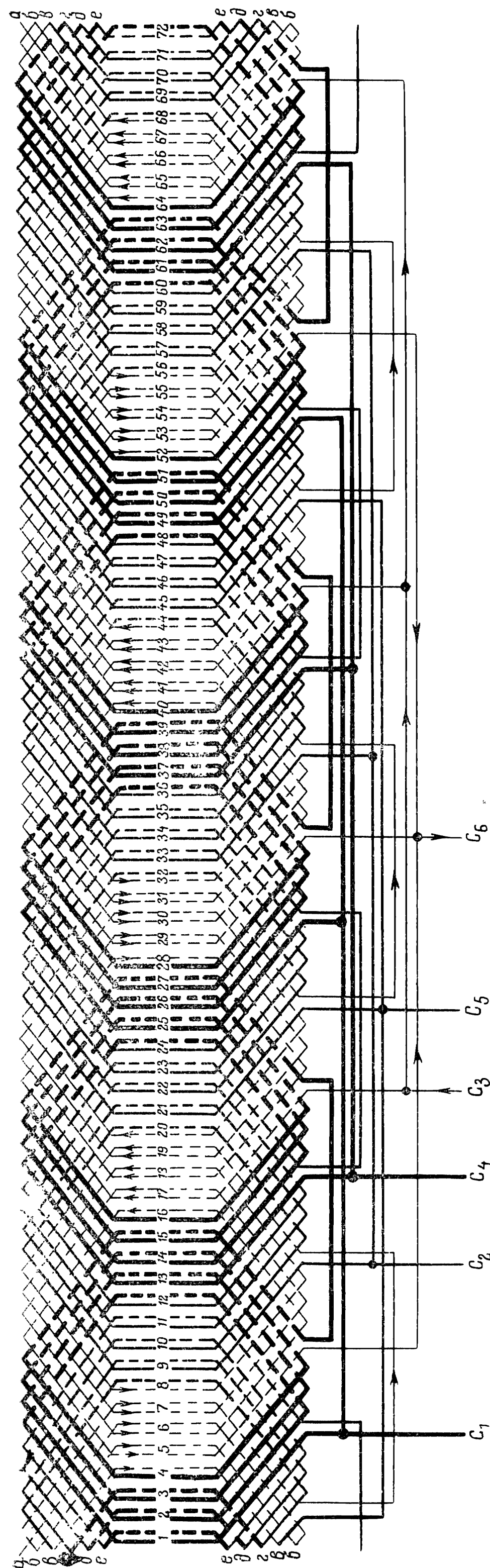


Рис. 3-102. Развернутая схема двухслойной статорной обмотки при $2p=6$; $z=72$; $q=4$; $y=1-12$; $a=3$. Для электродвигателей на напряжение 500 в выводить только три конца — C_1 , C_2 , C_3 . Для образования нулевой точки концы фаз C_4 , C_5 , C_6 соединить между собой.

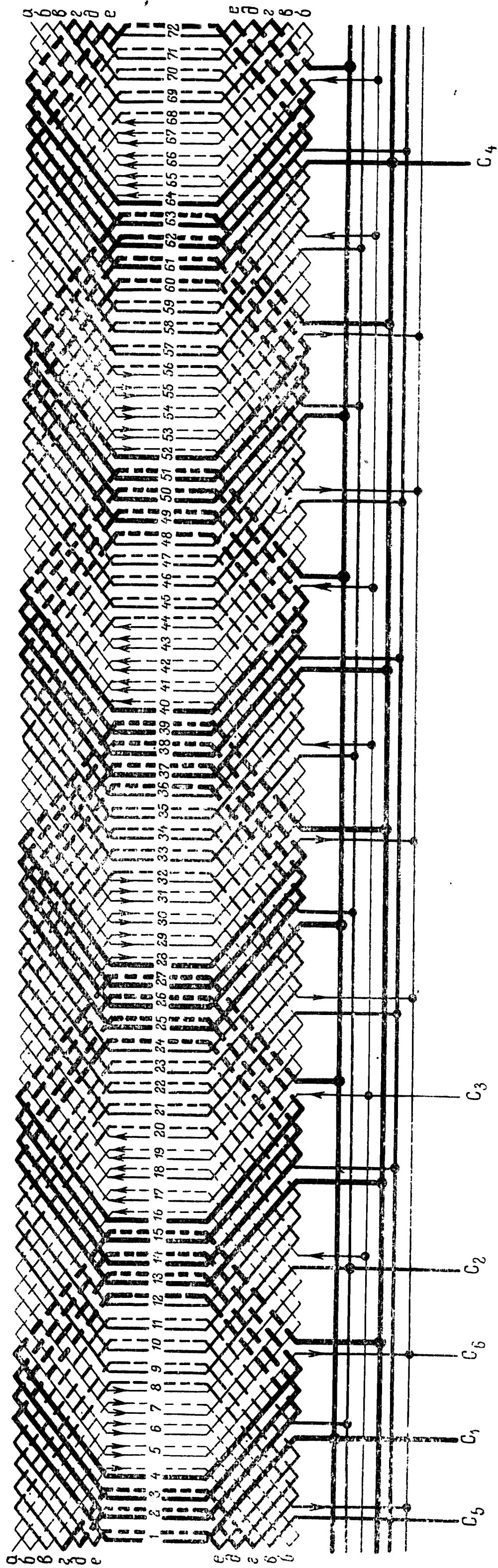


Рис. 3-103. Развернутая схема двухслойной статорной обмотки при $2p=6$; $z=72$; $q=4$; $y=1-12$; $a=6$. Для электродвигателей на напряжение 500 в вывести только три конца — C_1 , C_2 , C_3 . Для образования нулевой точки концы фаз C_4 , C_5 , C_6 соединить между собой.

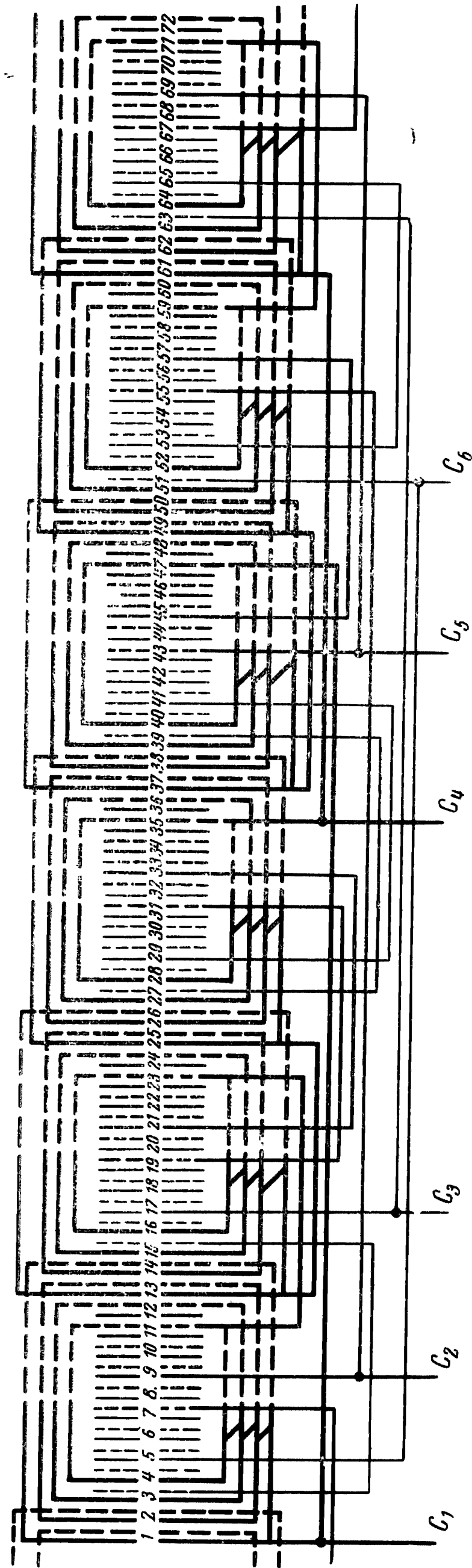


Рис. 3-104. Развернутая схема двухслойной концентрической статорной обмотки при $2p=6$; $z=72$; $q=4$; $y=1-14$, $1-12$, $1-10$, $1-8$; $a=2$.

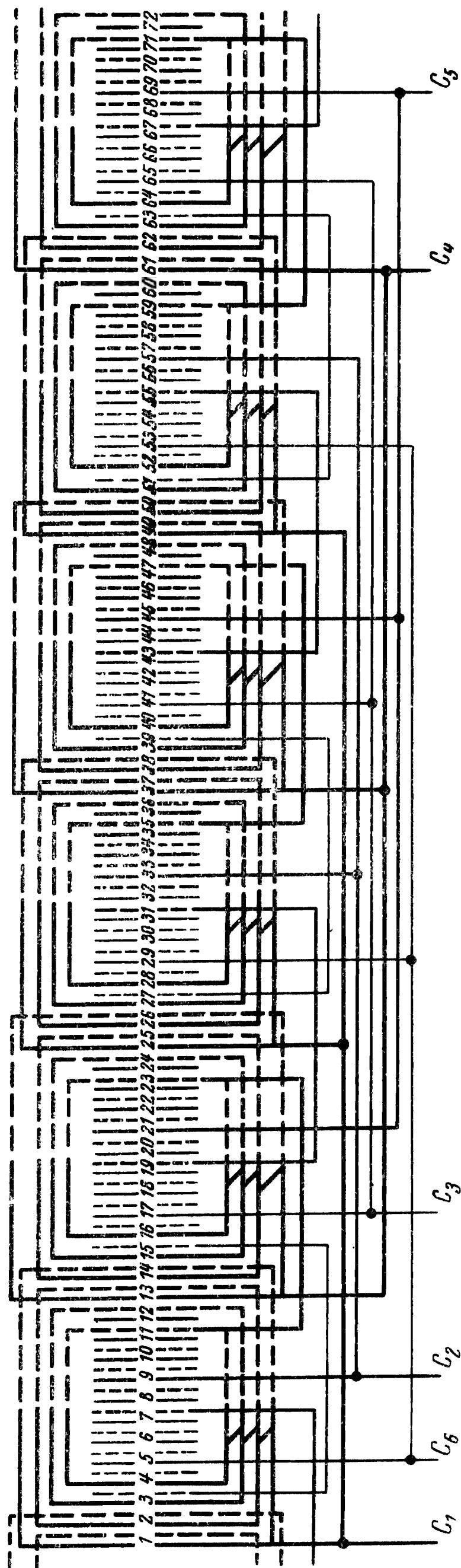


Рис. 3-105. Развернутая схема двухслойной концентрической статорной обмотки при $2p=6$; $z=72$; $q=4$; $y=1-14$, $1-12$, $1-10$, $1-8$; $a=3$.

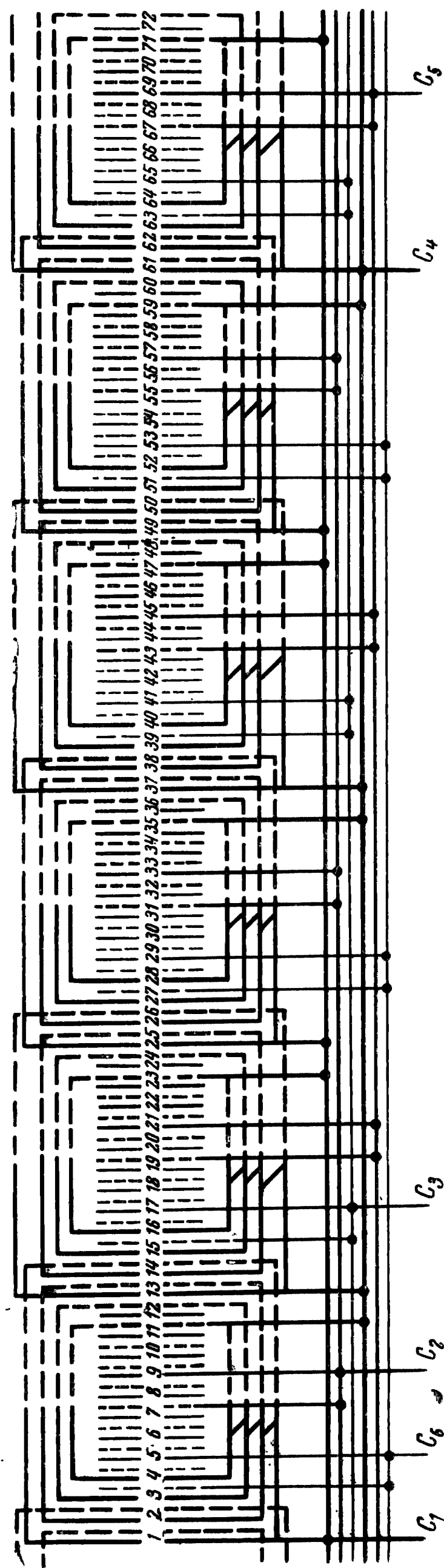


Рис. 3-106. Развернутая схема двухслойной концентрической статорной обмотки при $2p=6$; $z=72$; $q=4$; $y=1-14$, $1-12$, $1-10$, $1-8$; $a=6$.

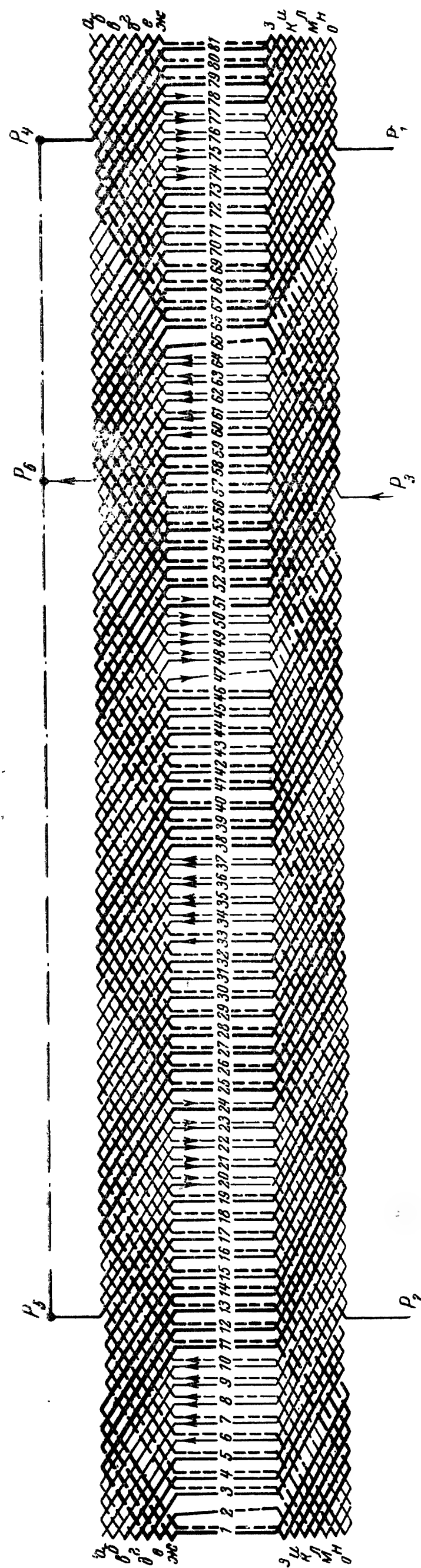


Рис. 3-107. Развернутая схема двухслойной стержневой роторной обмотки при $2p=6$; $q=4\frac{1}{2}$; $y_1=1-15$; $y_2=1-14$; $a=1$. Чередование по всей обмотке 5, 4, 5, 4, 5, 4... Шаг со стороны контактных колец 1—15, укороченный 1—14. Шаг со стороны свободного конца вала 1—14, укороченный 1—13. Соединение фаз λ .

Первая фаза												Вторая фаза												Третья фаза											
H	1	81	80	79	H	65	66	67	68	69		H	19	18	17	16	H	2	3	4	5	6		H	64	63	62	61	H	47	48	49	50	51	
B	14	13	12	11	B	51	52	53	54	55		B	32	31	30	29	B	69	70	71	72	73		B	77	76	75	74	B	33	34	35	36	37	
H	28	27	26	25	H	38	39	40	41	42		H	46	45	44	43	H	56	57	58	59	60		H	10	9	8	7	H	20	21	22	23	24	
B	41	40	39	38	B	24	25	26	27	28		B	59	58	57	56	B	42	43	44	45	46		B	23	22	21	20	B	6	7	8	9	10	
H	55	54	53	52	H	11	12	13	14	15		H	73	72	71	70	H	29	30	31	32	33		H	37	36	35	34	H	74	75	76	77	78	
B	68	67	66	65	B	78	79	80	81	1		B	5	4	3	2	B	15	16	17	18	19		B	50	49	48	47	B	60	61	62	63	64	
Начала фаз												Концы фаз																							

Начала фаз

Нижние стержни:

первая фаза — 1-й паз;
вторая фаза — 19-й паз;
третья фаза — 64-й паз.

Верхние стержни:

первая фаза — 1-й паз;
вторая фаза — 19-й паз;
третья фаза — 64-й паз.

Концы фаз

Переходные стержни в фазах:

первая фаза — 65-й паз;
вторая фаза — 2-й паз;
третья фаза — 47-й паз.

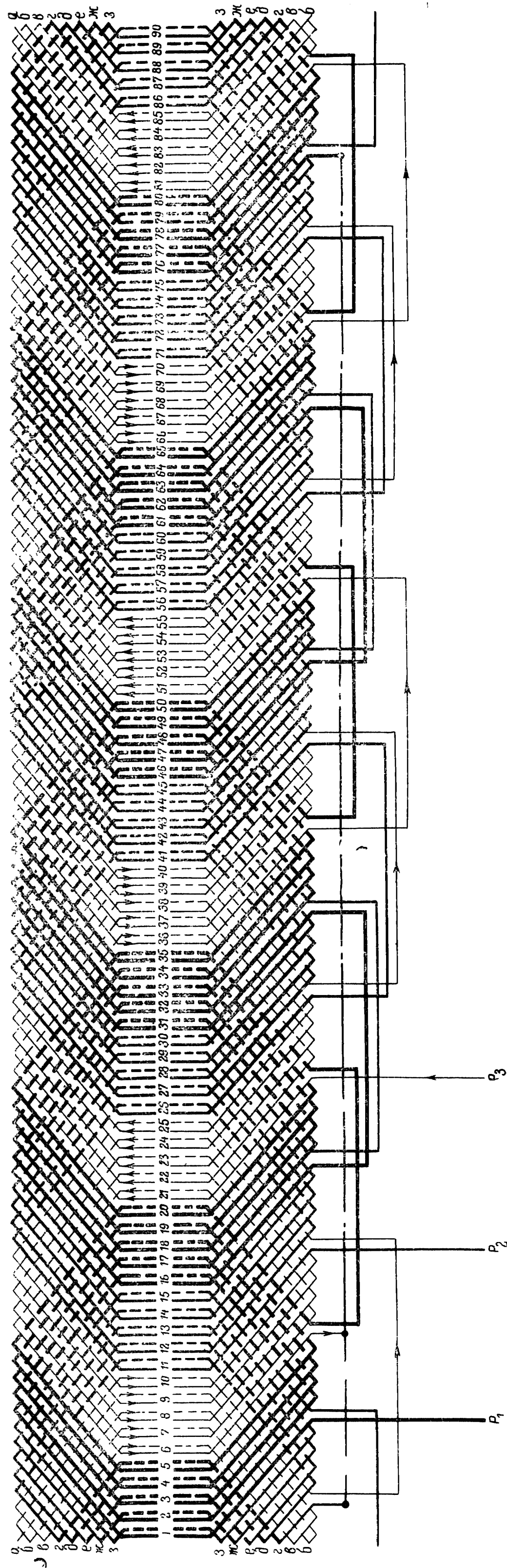


Рис. 3-108. Развернутая схема двухслойной роторной обмотки при $2p=6$; $z=90$; $q=5$; $y=1-16$; $a=1$. Соединение фаз λ .

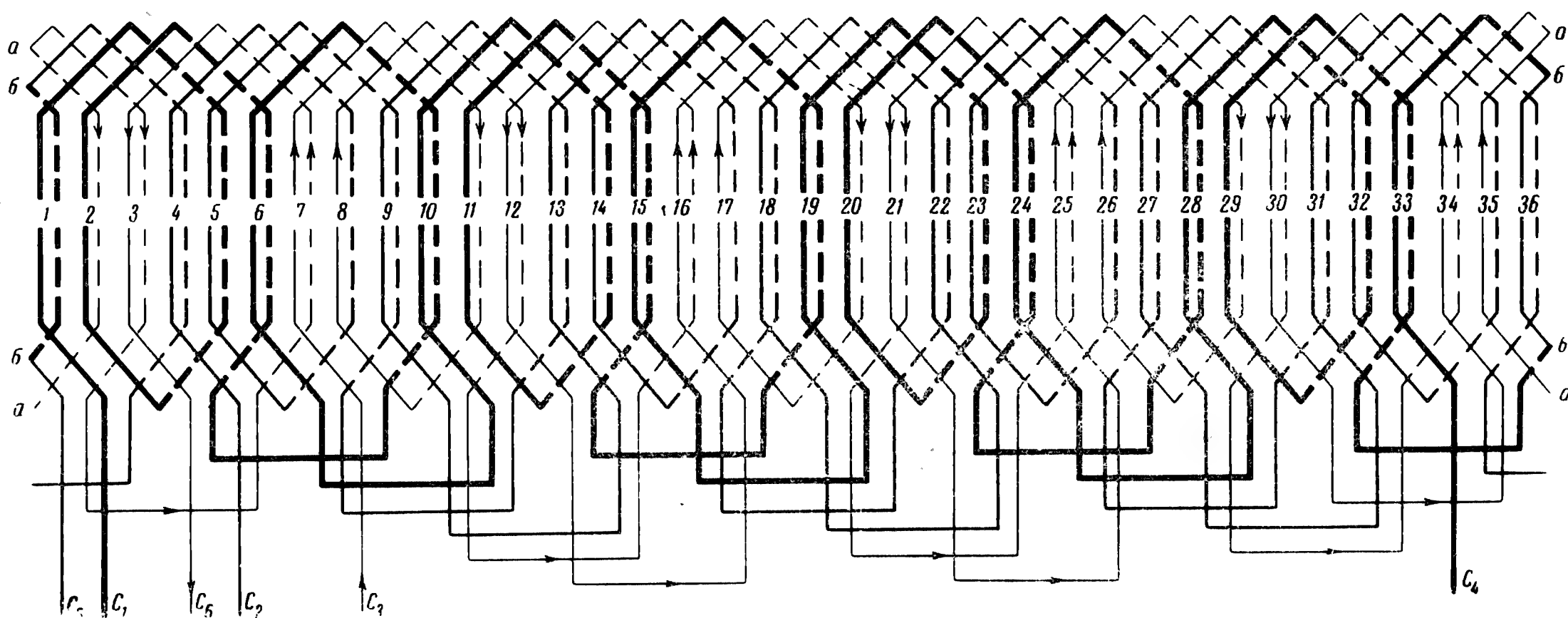


Рис. 3-109. Развернутая схема двухслойной обмотки при $2p=8$; $z=36$; $q=1\frac{1}{2}$; $y=1-5$; $a=1$. Чередуемость по всей обмотке 2, 1, 2, 1, 2, 1... Для электродвигателей на напряжение 500 в выводить только три конца — C_1 , C_2 , C_3 . Для образования нулевой точки концы фаз C_4 , C_5 , C_6 соединить между собой.

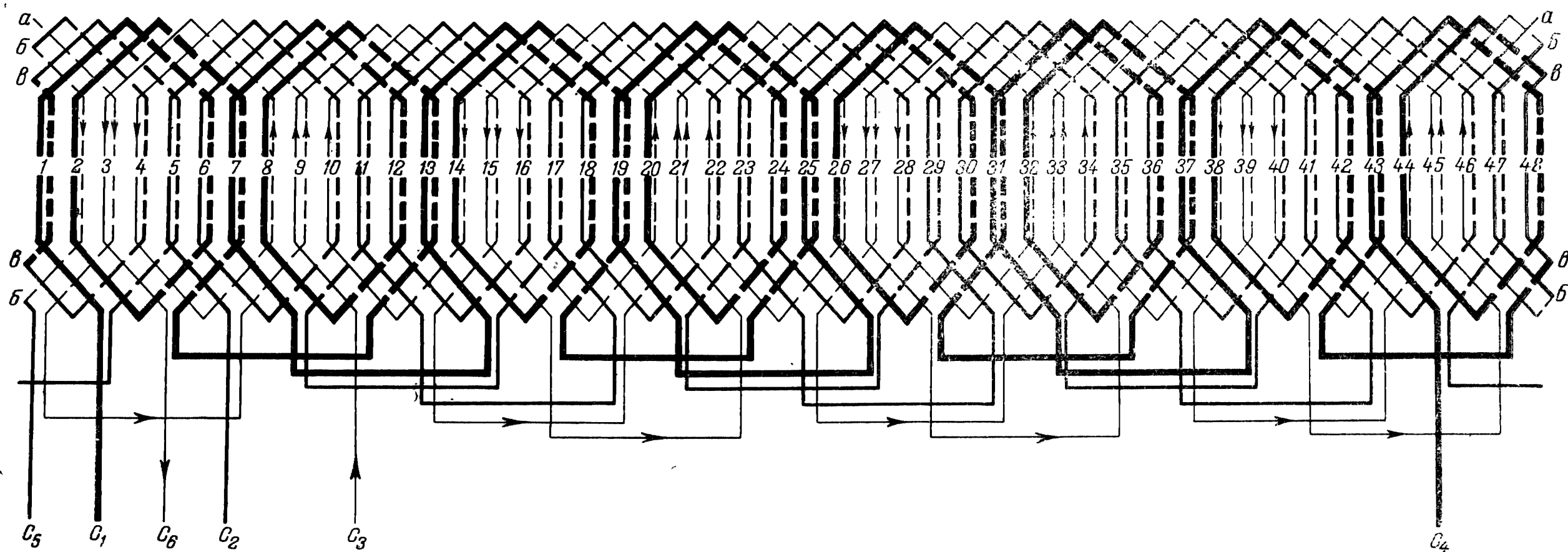


Рис. 3-110. Развернутая схема двухслойной обмотки при $2p=8$; $z=48$; $q=2$; $y=1-6$; $a=1$. Для электродвигателей на напряжение 500 в выводить только три конца — C_1 , C_2 , C_3 . Для образования нулевой точки концы фаз C_4 , C_5 , C_6 соединить между собой.

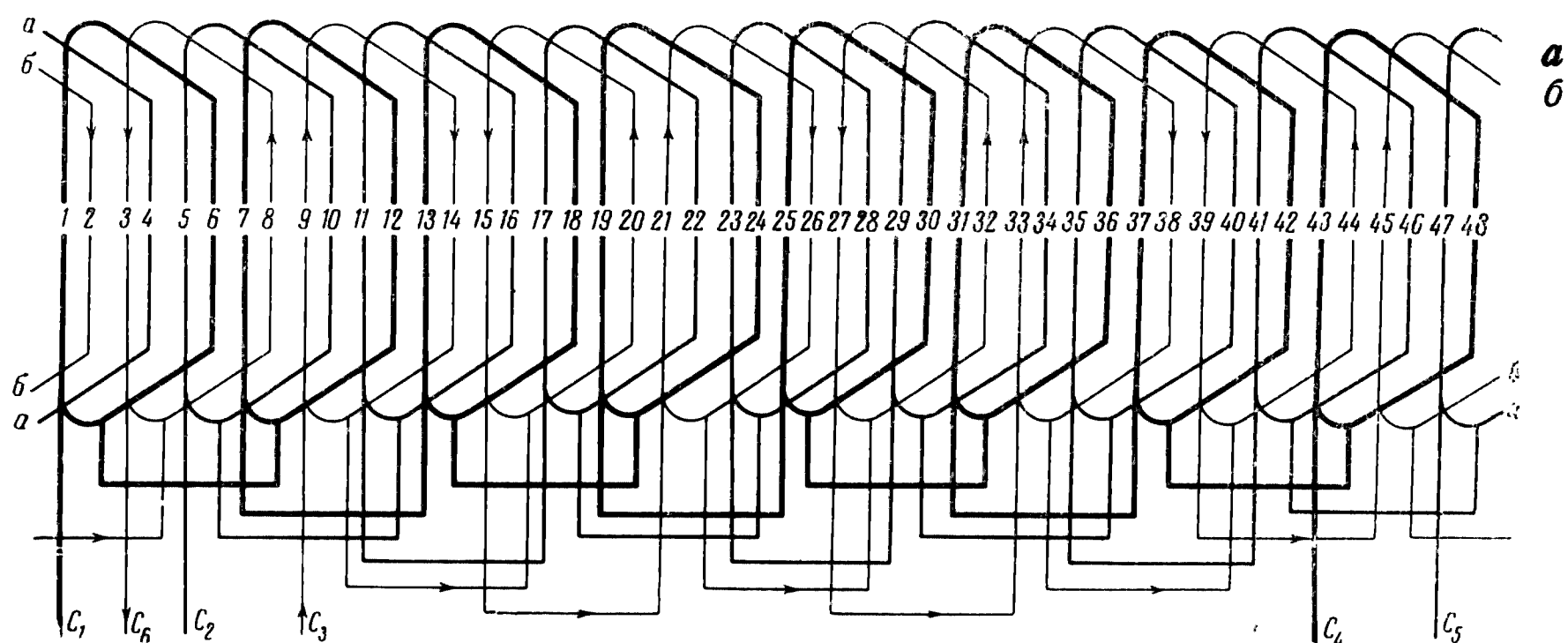


Рис. 3-111. Развернутая схема однослойной шаблонной (вразвалку) статорной обмотки при $2p=8$; $z=48$; $q=2$; $y=1-6$; $a=1$. Для электродвигателей на напряжение 500 в выводить только три конца — C_1 , C_2 , C_3 . Для образования нулевой точки концы фаз C_4 , C_5 , C_6 соединить между собой.

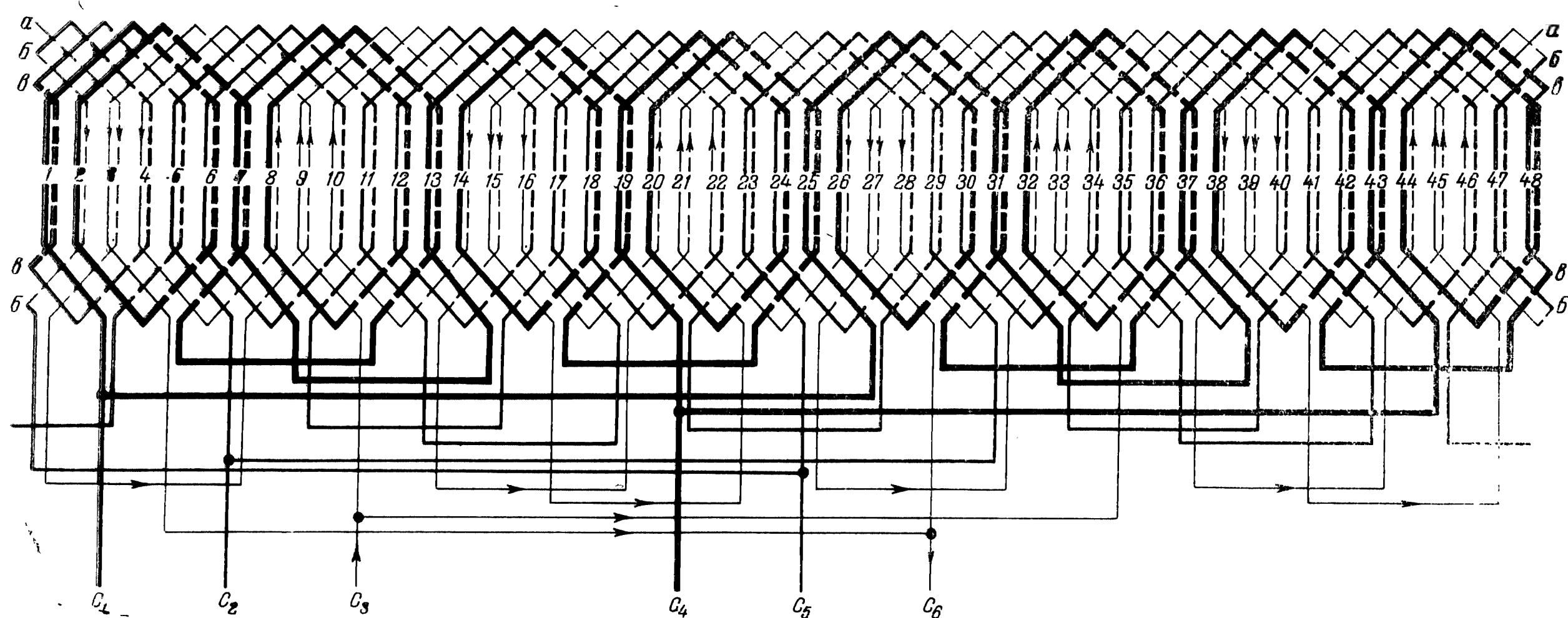


Рис. 3-112. Развернутая схема двухслойной статорной обмотки при $2p=8$; $z=48$; $q=2$; $y=1-6$; $a=2$. Для электродвигателей на напряжение 500 в выводить только три конца — C_1 , C_2 , C_3 . Для образования нулевой точки концы фаз C_4 , C_5 , C_6 соединить между собой.

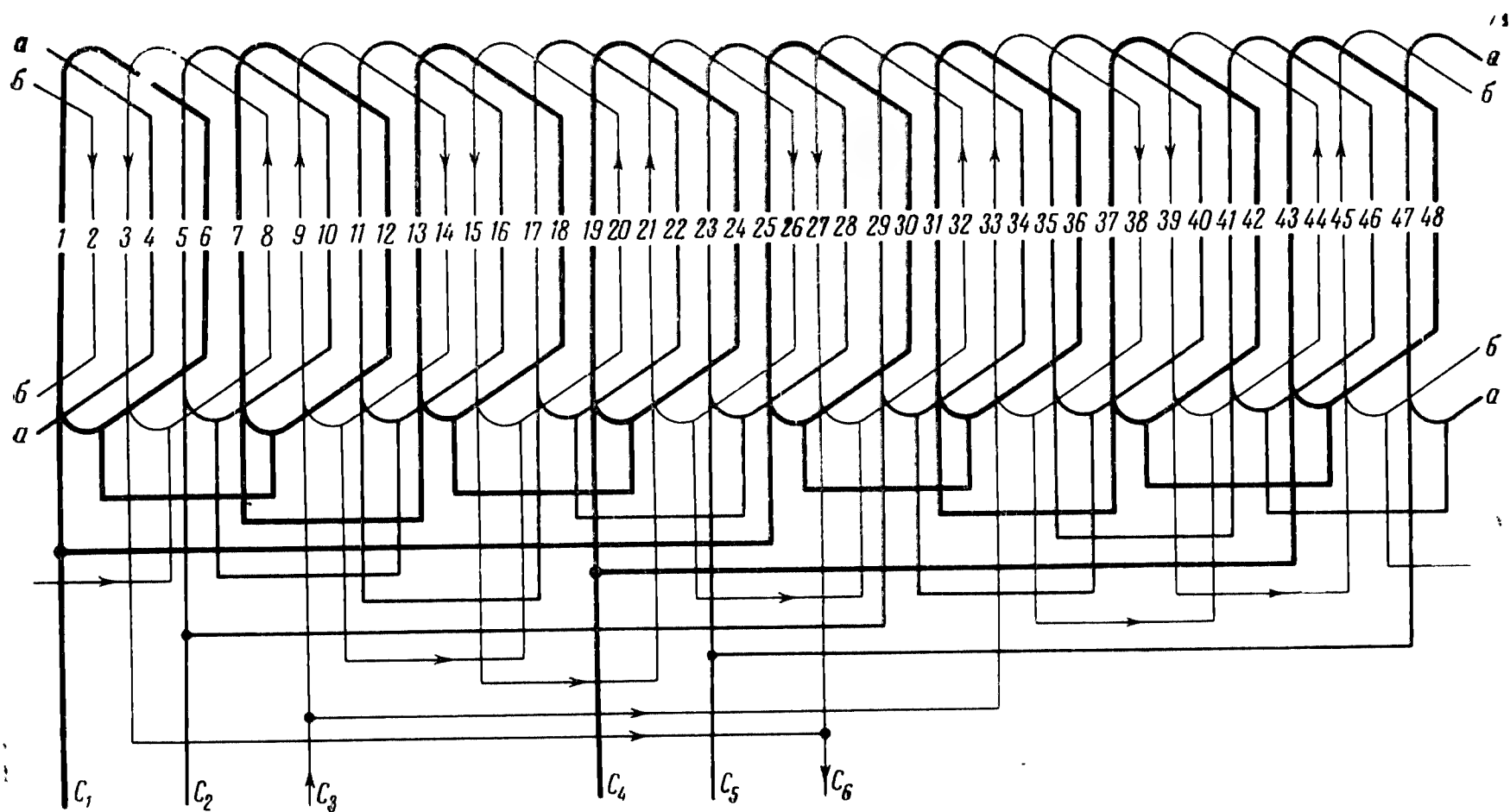


Рис. 3-113. Развернутая схема однослойной шаблонной (вразвалку) статорной обмотки при $2p=8$; $z=48$; $q=2$; $y=1-6$; $a=2$. Для электродвигателей на напряжение 500 в выводить только три конца — C_1 , C_2 , C_3 . Для образования нулевой точки концы фаз C_4 , C_5 , C_6 соединить между собой.

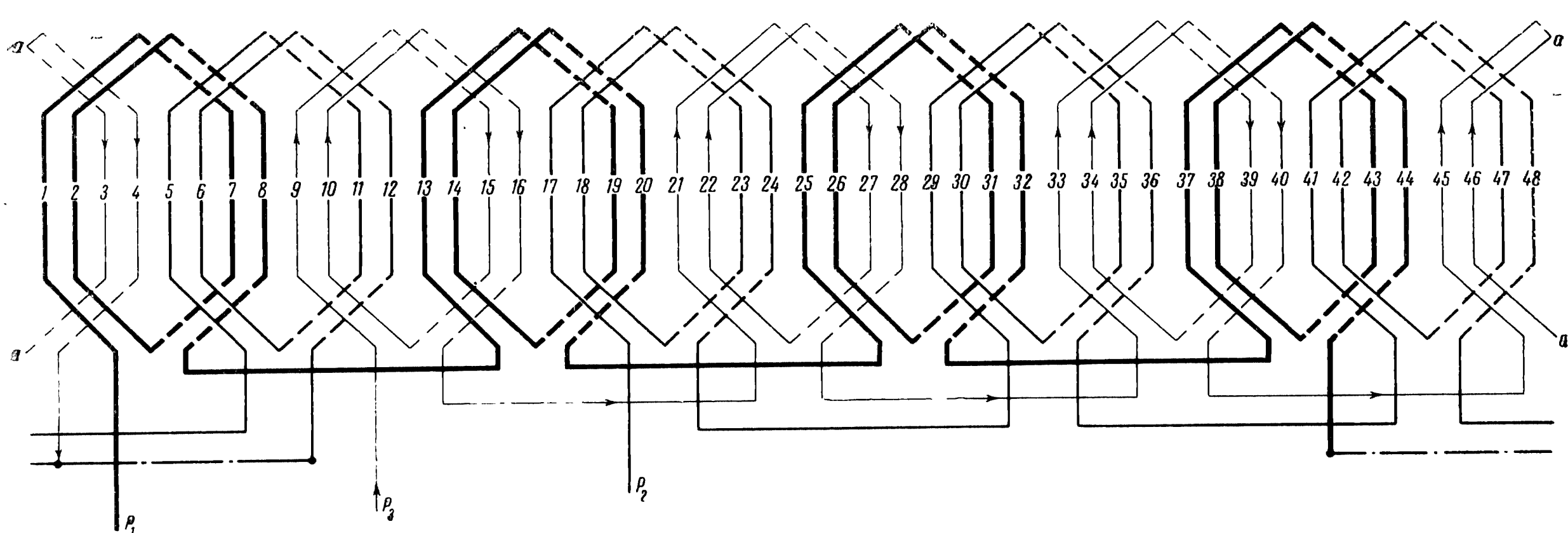


Рис. 3-114. Развернутая схема однослойной роторной обмотки при $2p=8$; $z=48$; $q=2$; $y=1-7$; $a=1$. Соединение фаз Λ .

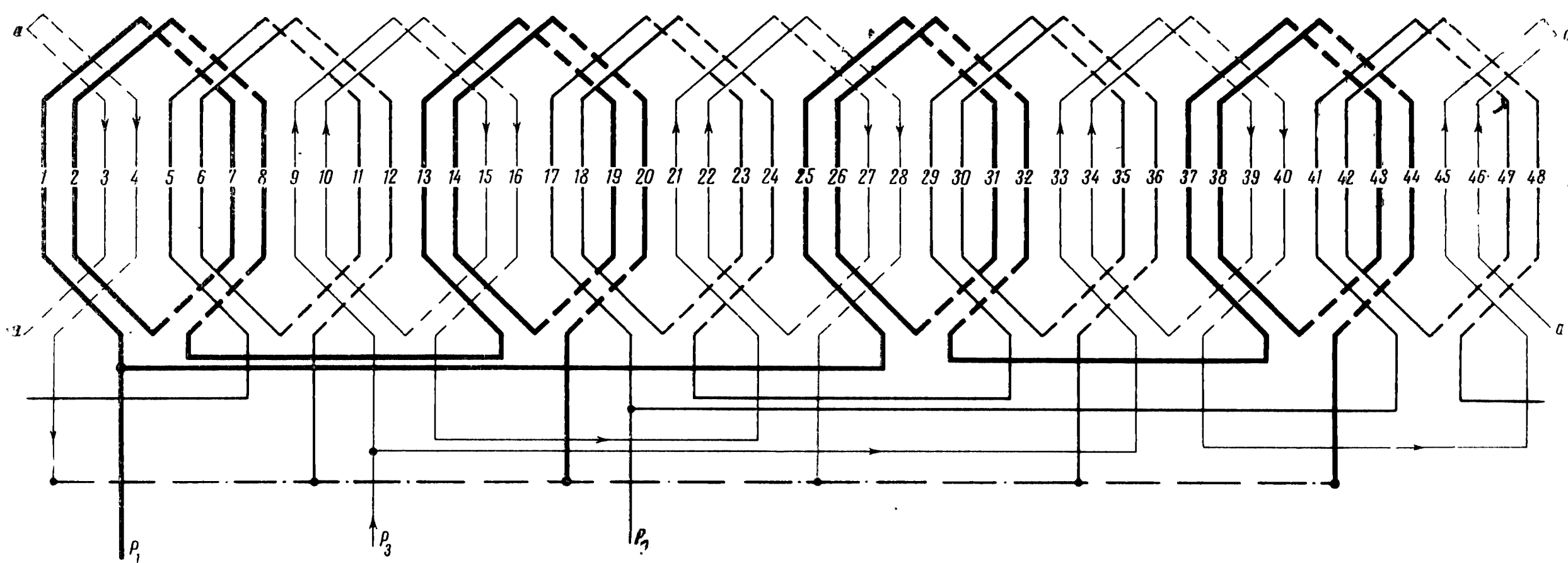


Рис. 3-115. Развернутая схема однослойной роторной обмотки при $2p=8$; $z=48$; $q=2$; $y=1-7$; $a=1$. Соединение фаз Λ .

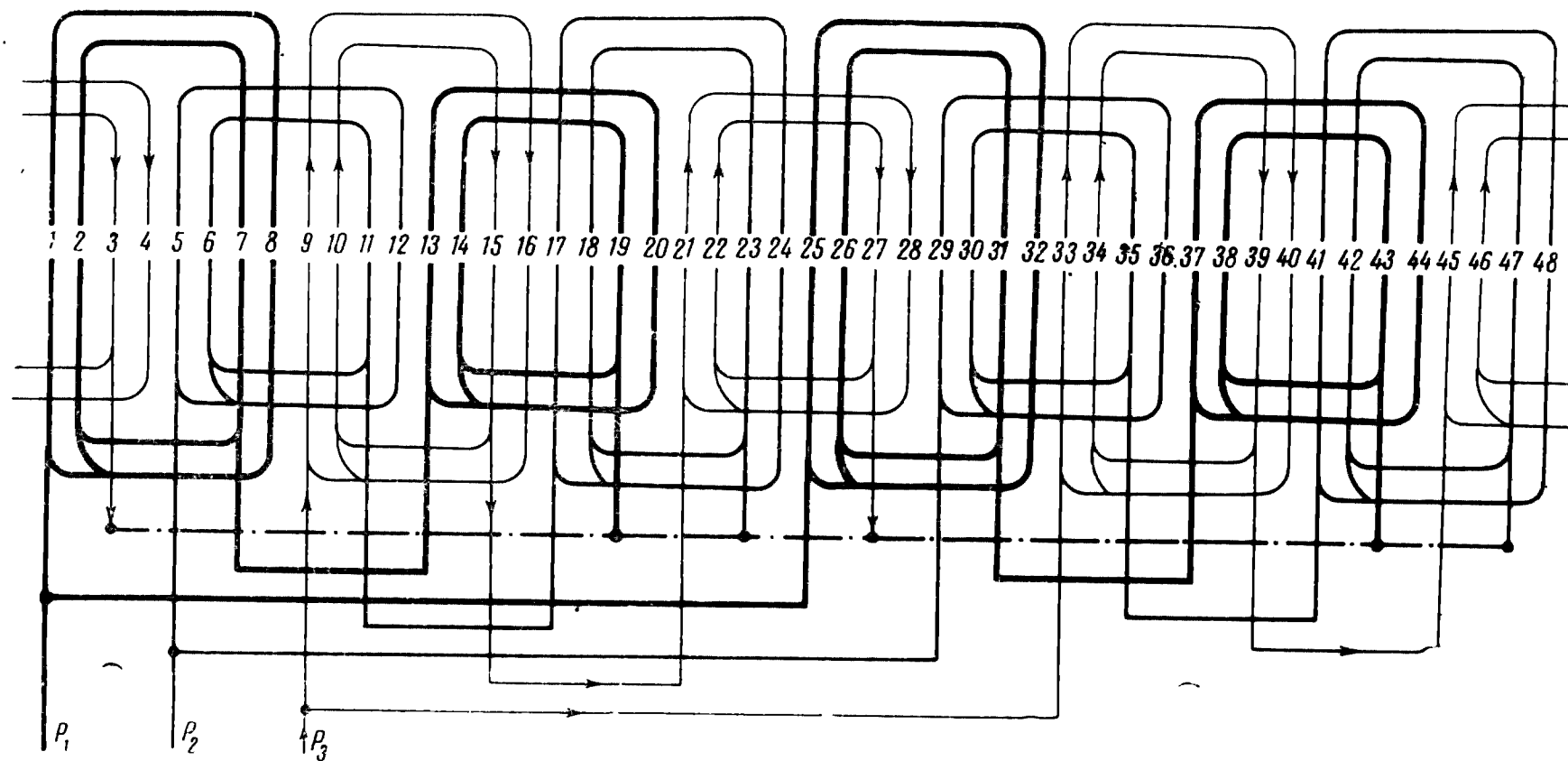


Рис. 3-116. Развернутая схема однослойной двухплоскостной роторной обмотки при $2p=8$; $z=48$; $q=2$; $y=1-8, 2-7$; $a=2$. Соединение фаз Δ .

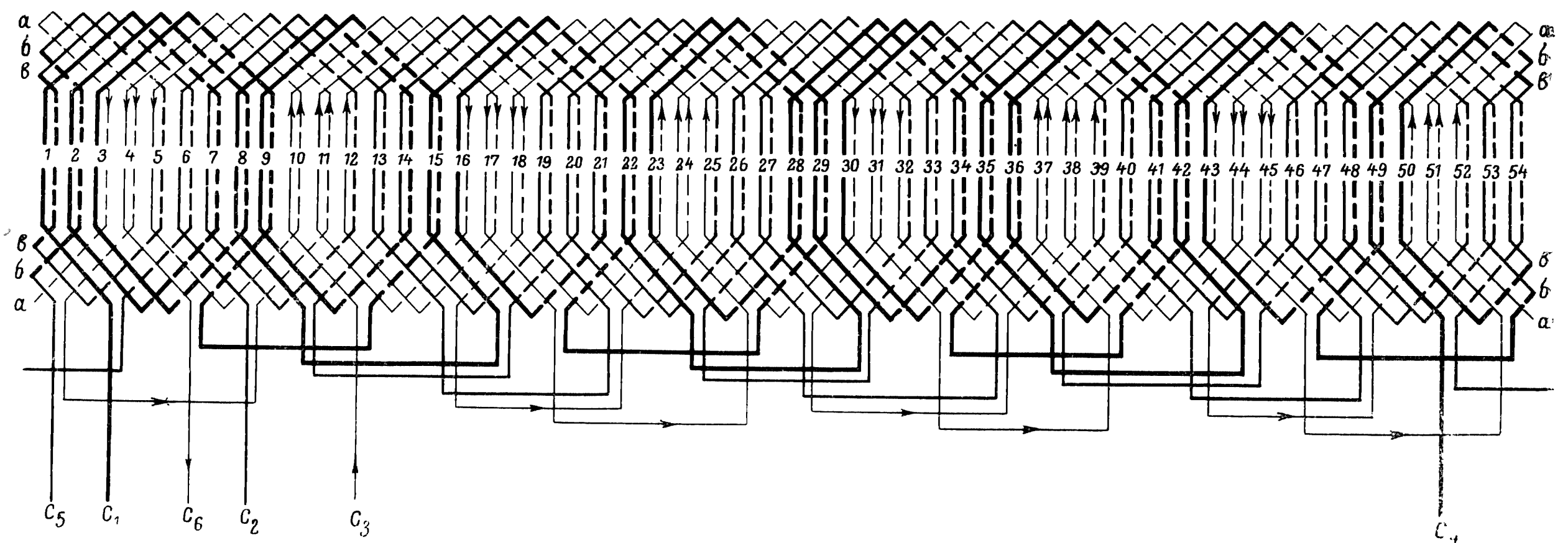


Рис. 3-117. Развернутая схема двухслойной статорной обмотки при $2p=8$; $z=54$; $q=2\frac{1}{4}$; $y=1-7$; $a=1$. Чередование по всей обмотке 3, 2, 2, 2, 3, 2, 2, 2, 3, 2, 2, 2... Для электродвигателей на напряжение 500 в выводить только три конца — C_1, C_2, C_3 . Для образования нулевой точки концы фаз C_4, C_5, C_6 соединить между собой.

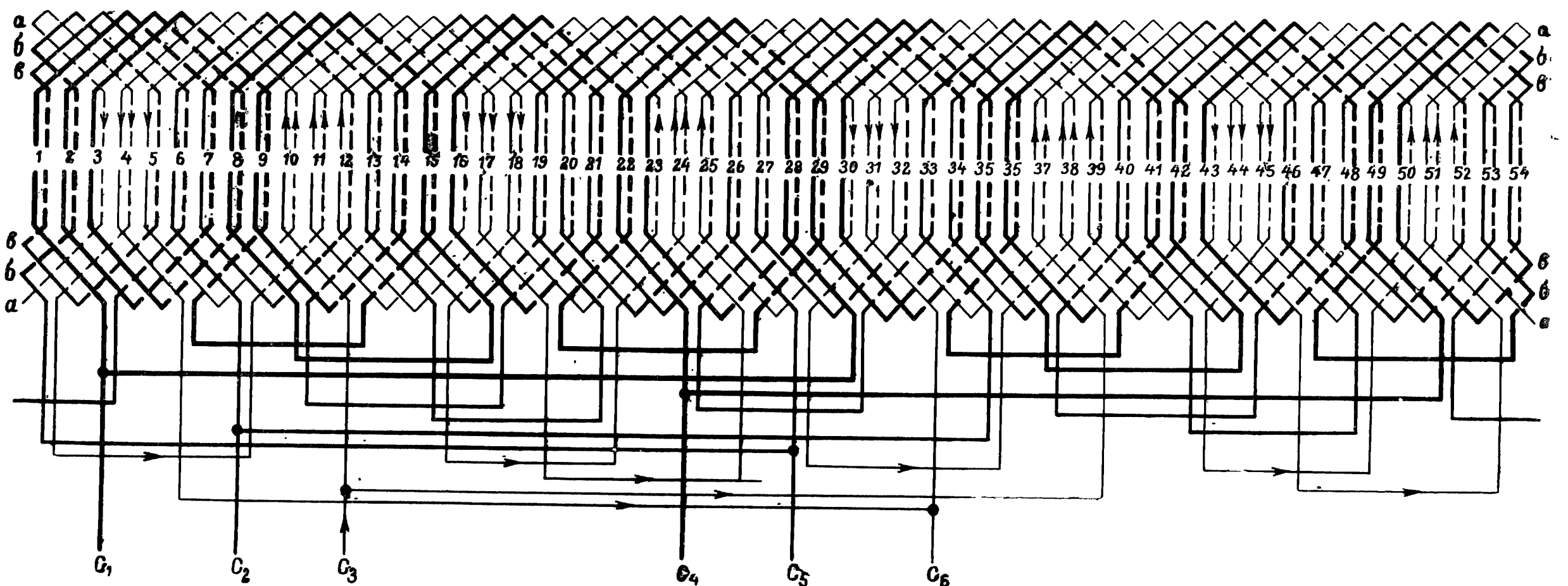


Рис. 3-118. Развернутая схема двухслойной обмотки при $2p=8$; $z=54$; $q=2\frac{1}{4}$; $y=1-7$; $a=2$. Чередование по всей обмотке 3, 2, 2, 2, 3, 2, 2, 2, 3, 2, 2, 2... Для электродвигателей на напряжение 500 в выводить только три конца — C_1, C_2, C_3 . Для образования нулевой точки концы фаз C_4, C_5, C_6 соединить между собой.

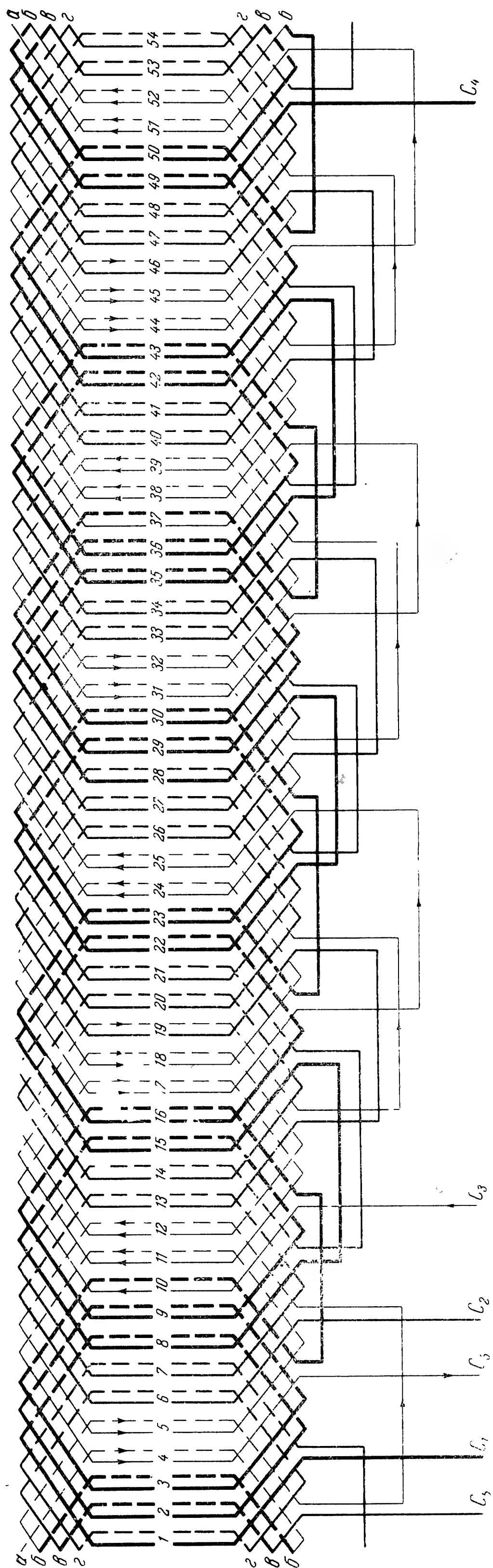


Рис. 3-119. Развернутая схема двухслойной статорной обмотки при $2p=8$; $z=54$; $q=2\frac{1}{4}$; $y=1-8$; $a=1$. Чередование по всей обмотке 3, 2, 2, 2, 2, 2, 3, 2, 2, 2, 2, 2... Для электродвигателей на напряжение 500 в вывести только три конца — C_1 , C_2 , C_3 . Для образования нулевой точки концы фаз C_4 , C_5 , C_6 соединить между собой.

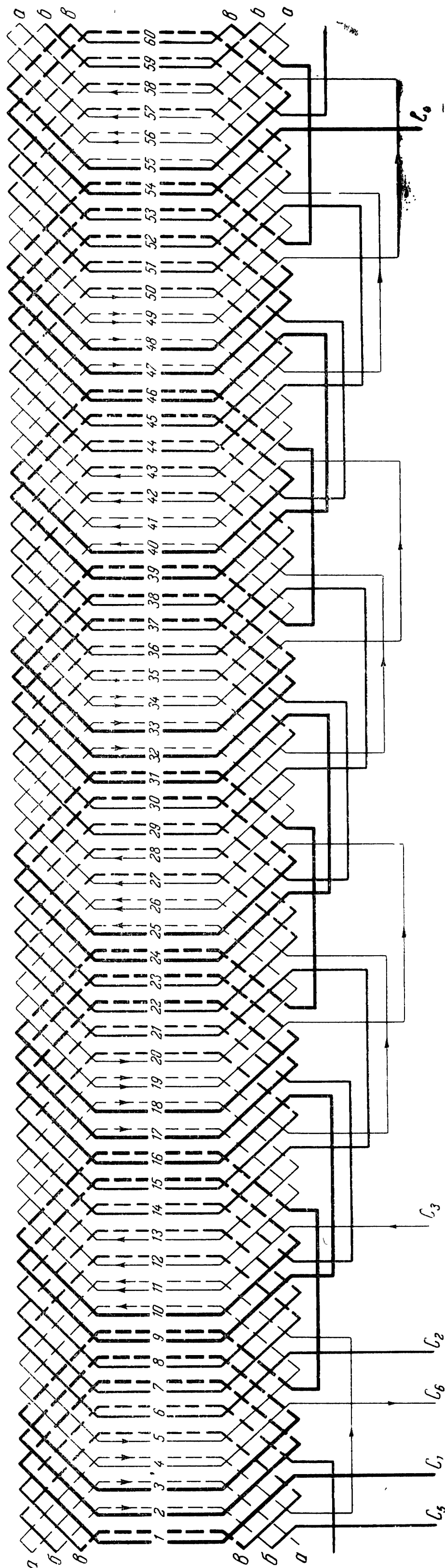


Рис. 3-120. Развернутая схема двухслойной статорной обмотки при $2p=8$; $z=60$; $q=2\frac{1}{2}$; $y=1-7$; $a=1$. Чередование по всей обмотке 3, 2, 2, 3, 2, 2, 3, 2... Для электродвигателей на напряжение 500 в вывести только три конца — C_1 , C_2 , C_3 . Для образования нулевой точки концы фаз C_4 , C_5 , C_6 соединить между собой.

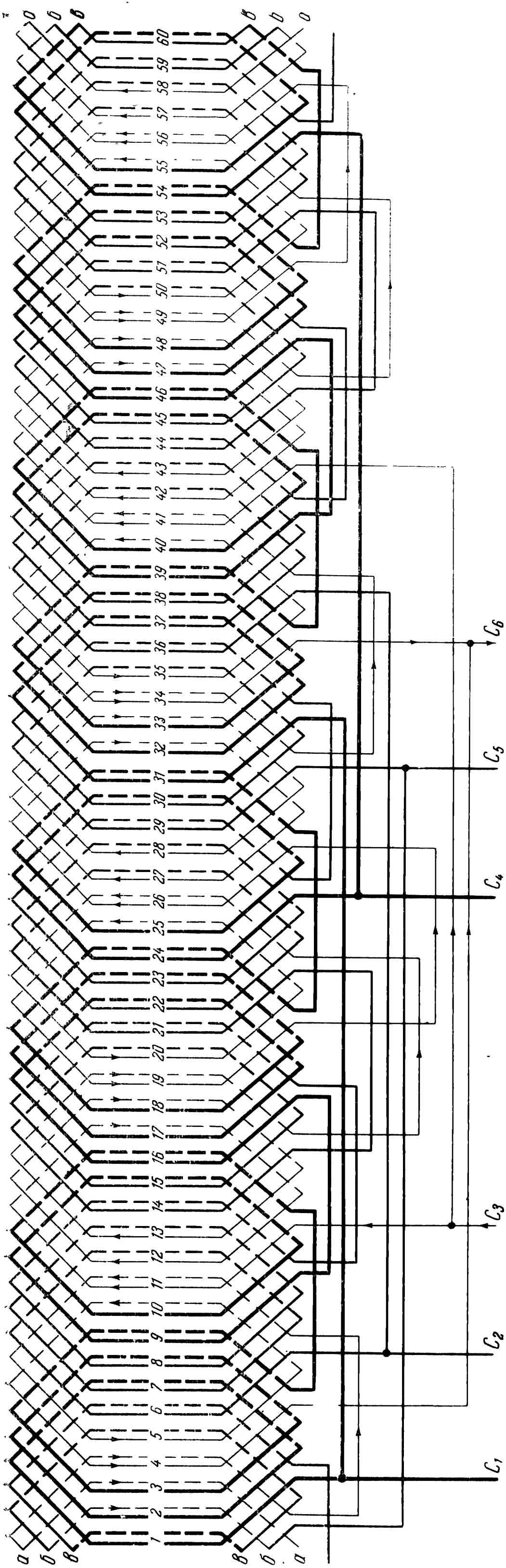


Рис. 3-121. Развернутая схема двухслойной статорной обмотки при $2p=8$; $z=60$; $q=2\frac{1}{2}$; $y=1-7$; $a=2$. Чередование по всей обмотке 3, 2, 3, 2... Для электродвигателей на напряжение 500 в выводить только три конца — C_1 , C_2 , C_3 . Для образования нулевой точки концы фаз C_4 , C_5 , C_6 соединить между собой.

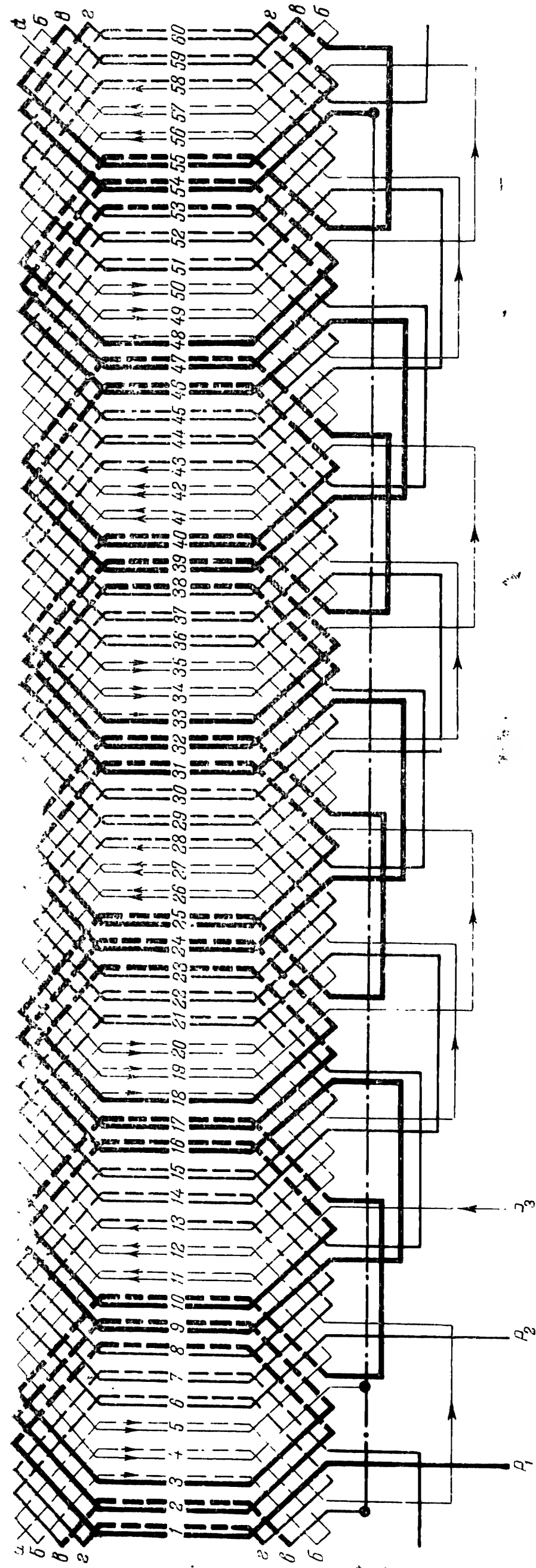


Рис. 3-122. Развернутая схема двухслойной роторной обмотки при $2p=8$; $z=60$; $q=2\frac{1}{2}$; $y=1-8$; $a=1$. Чередование по всей обмотке 3, 2, 3, 2, 3, 2... Соединение фаз λ .

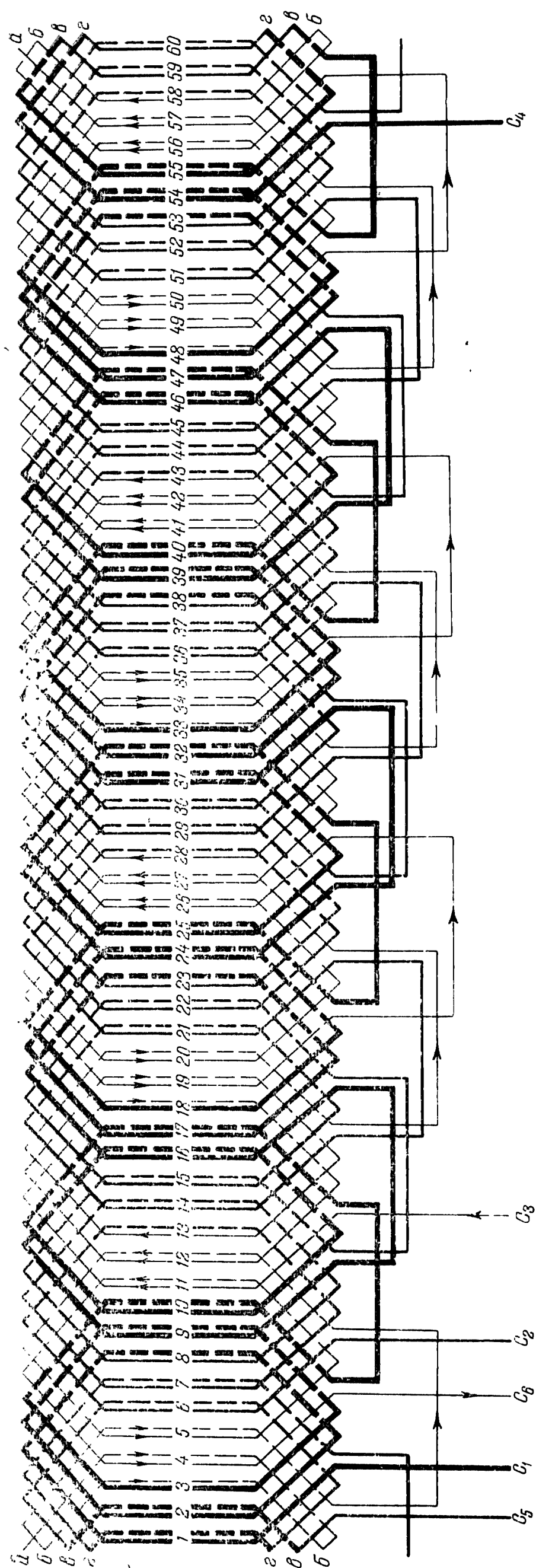


Рис. 3-123. Развернутая схема двухслойной статорной обмотки при $2p=8$; $q=2\frac{1}{2}$; $y=1-8$; $a=1$. Чередование по всей обмотке 3, 2, 3, 2... Для электродвигателей на напряжение 500 в выводить только три конца — C_1 , C_2 , C_3 . Для образования нулевой точки концы фаз C_4 , C_5 , C_6 соединить между собой.

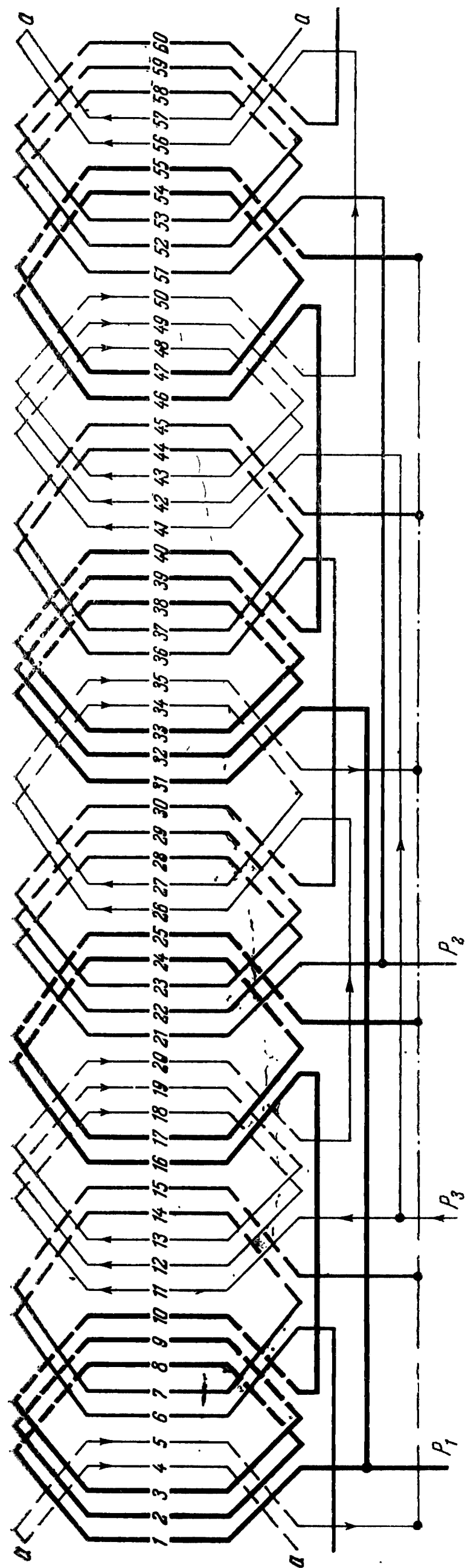


Рис. 3-124. Развернутая схема однослойной роторной обмотки при $2p=8$; $q=2\frac{1}{2}$; $y=1-8$, $1-9$; $a=2$. Чередование по всей обмотке 3, 2, 3, 2... Соединение фаз λ .

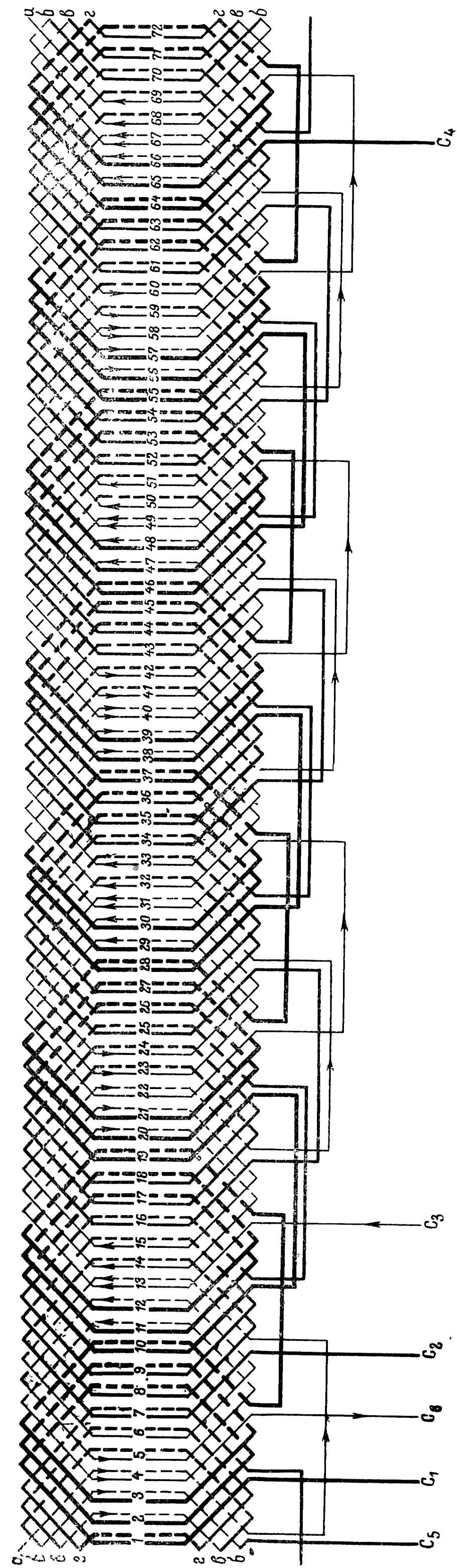


Рис. 3-125. Развернутая схема двухслойной статорной обмотки при $2p=8$; $z=72$; $q=3$; $y=1-8$; $a=1$. Для электродвигателей на напряжение 500 в выводить только три конца — C_1 , C_2 , C_3 . Для образования нулевой точки концы фаз C_4 , C_5 , C_6 соединить между собой.

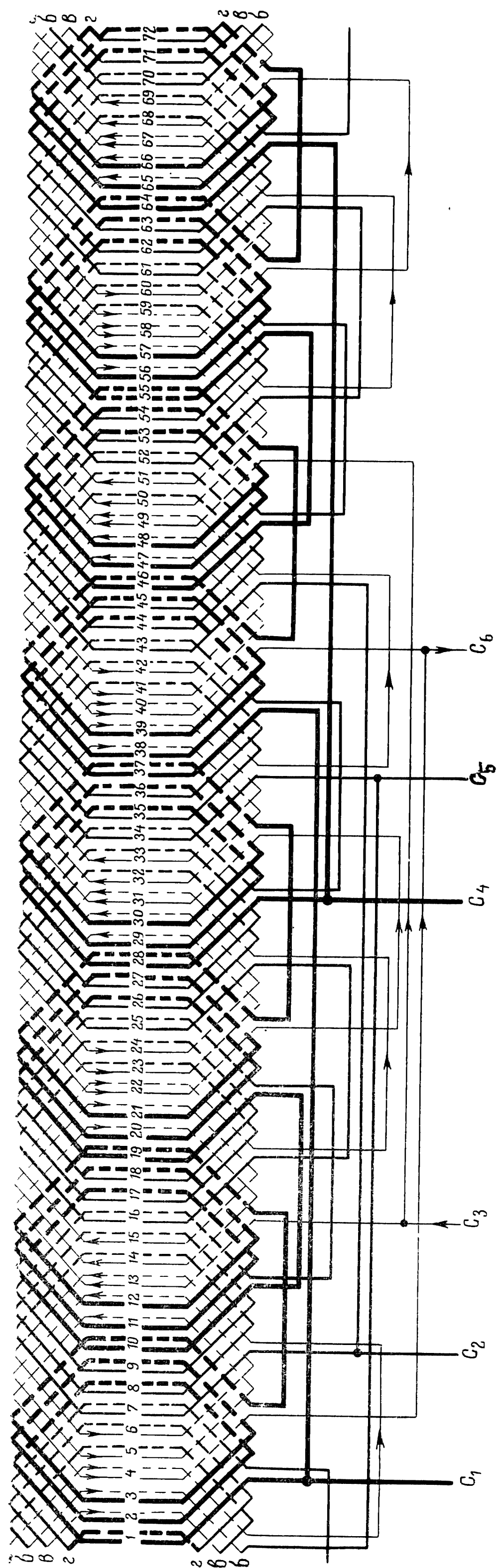


Рис. 3-126. Развернутая схема двухслойной статорной обмотки при $2p=8$; $z=72$; $q=3$; $y=1-8$; $a=2$. Для электродвигателей на напряжение 500 в выводить только три конца — C_1 , C_2 , C_3 . Для образования нулевой точки концы фаз C_4 , C_5 , C_6 соединить между собой.

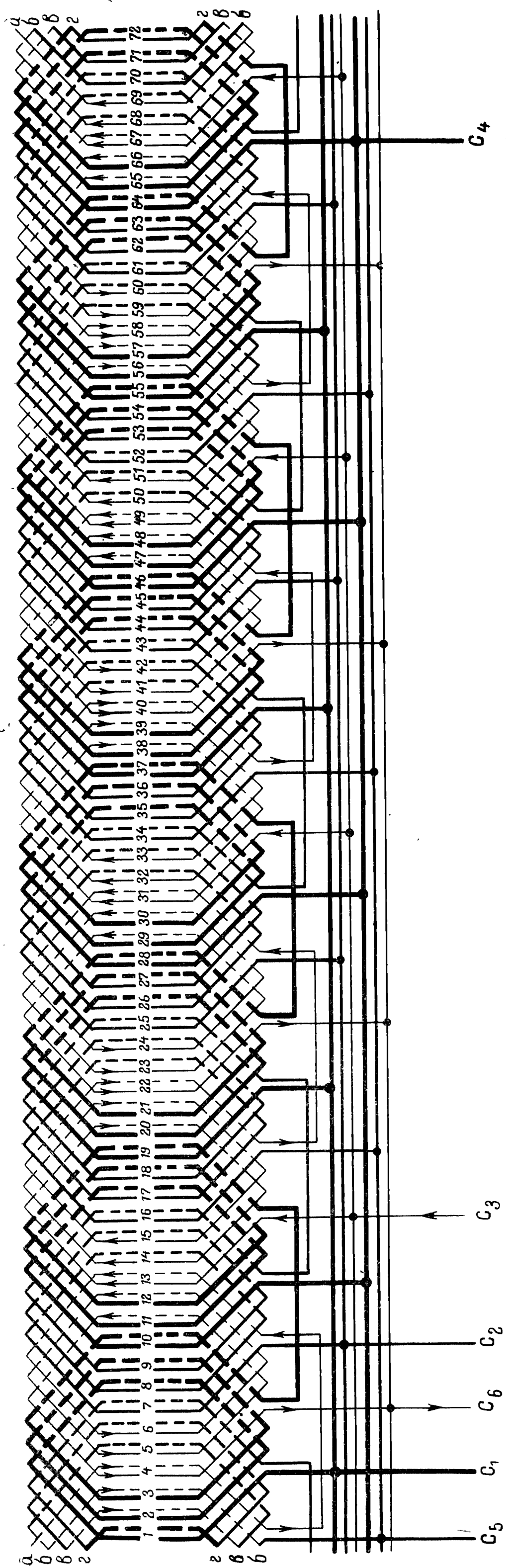


Рис. 3-127. Развернутая схема двухслойной статорной обмотки при $2p=8$; $z=72$; $q=3$; $y=1-8$; $a=4$. Для электродвигателей на напряжение 500 в выводить только три конца — C_1 , C_2 , C_3 . Для образования нулевой точки концы фаз C_4 , C_5 , C_6 соединить между собой.

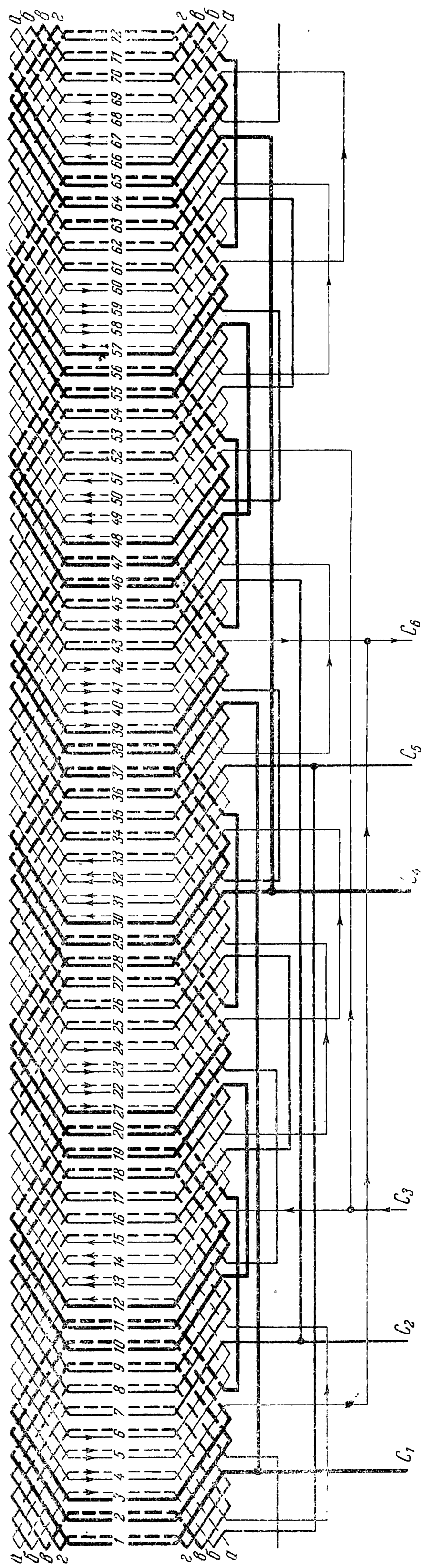


Рис. 3-128. Развернутая схема двухслойной статорной обмотки при $2p=8$; $z=72$; $q=3$; $y=1-9$; $a=2$. Для электродвигателей на напряжение 500 в выводить только три конца — C_1 , C_2 , C_3 . Для образования нулевой точки концы фаз C_4 , C_5 , C_6 соединить между собой.

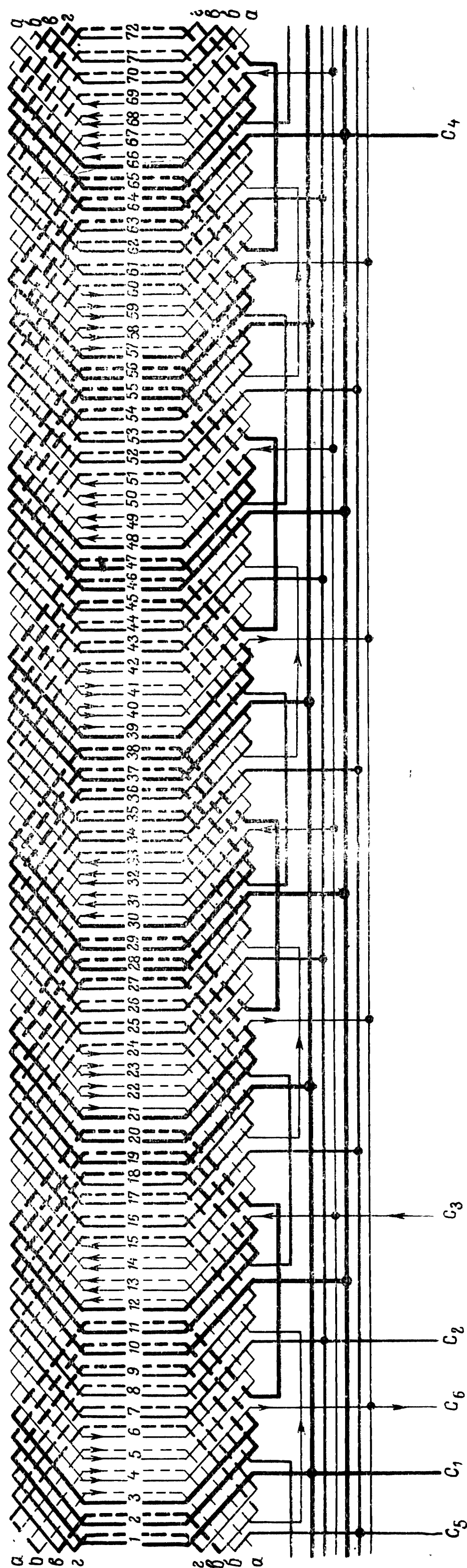


Рис. 3-129. Развернутая схема двухслойной статорной обмотки при $2p=8$; $z=72$; $q=3$; $y=1-9$; $a=4$. Для электродвигателей на напряжение 500 в выводить только три конца — C_1 , C_2 , C_3 . Для образования нулевой точки концы фаз C_4 , C_5 , C_6 соединить между собой.

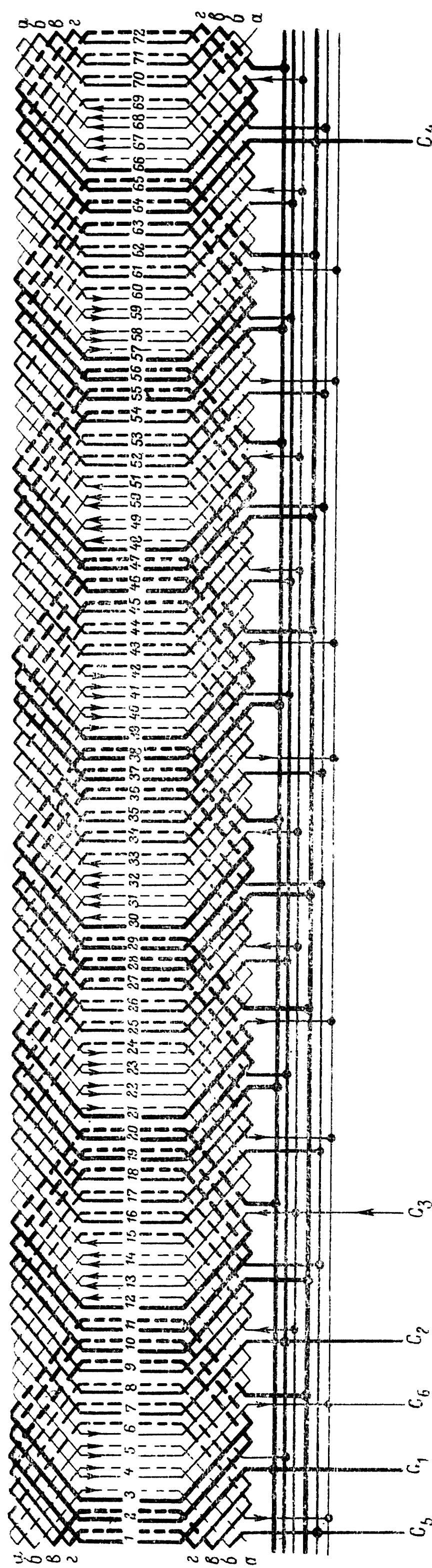


Рис. 3-130. Развернутая схема двухслойной статорной обмотки при $2p=8$; $z=72$; $q=3$; $y=1-9$; $a=8$. Для электродвигателей на напряжение 500 в выводить только три конца — C_1 , C_2 , C_3 . Для образования нулевой точки концы фаз C_4 , C_5 , C_6 соединить между собой.

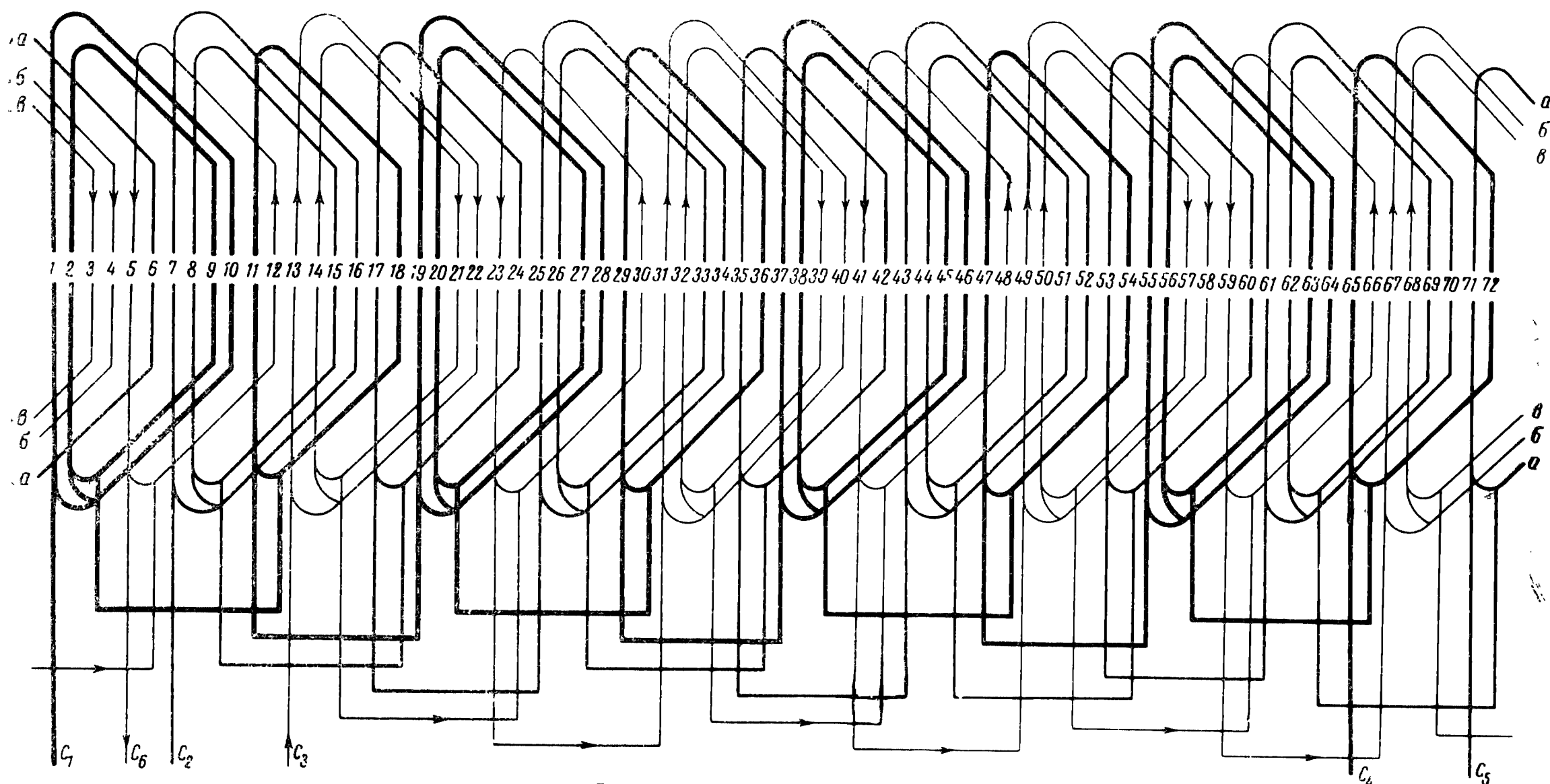


Рис. 3-132 Развернутая схема однослойной шаблонной (вразвалку) статорной обмотки при $2p=8$; $z=72$; $q=3$; $y=1-8, 1-10$; $a=1$. Для электродвигателей на напряжение 500 в выводить только три конца C_1, C_2, C_3 . Для образования нулевой точки концы фаз C_4, C_5, C_6 соединить между собой.

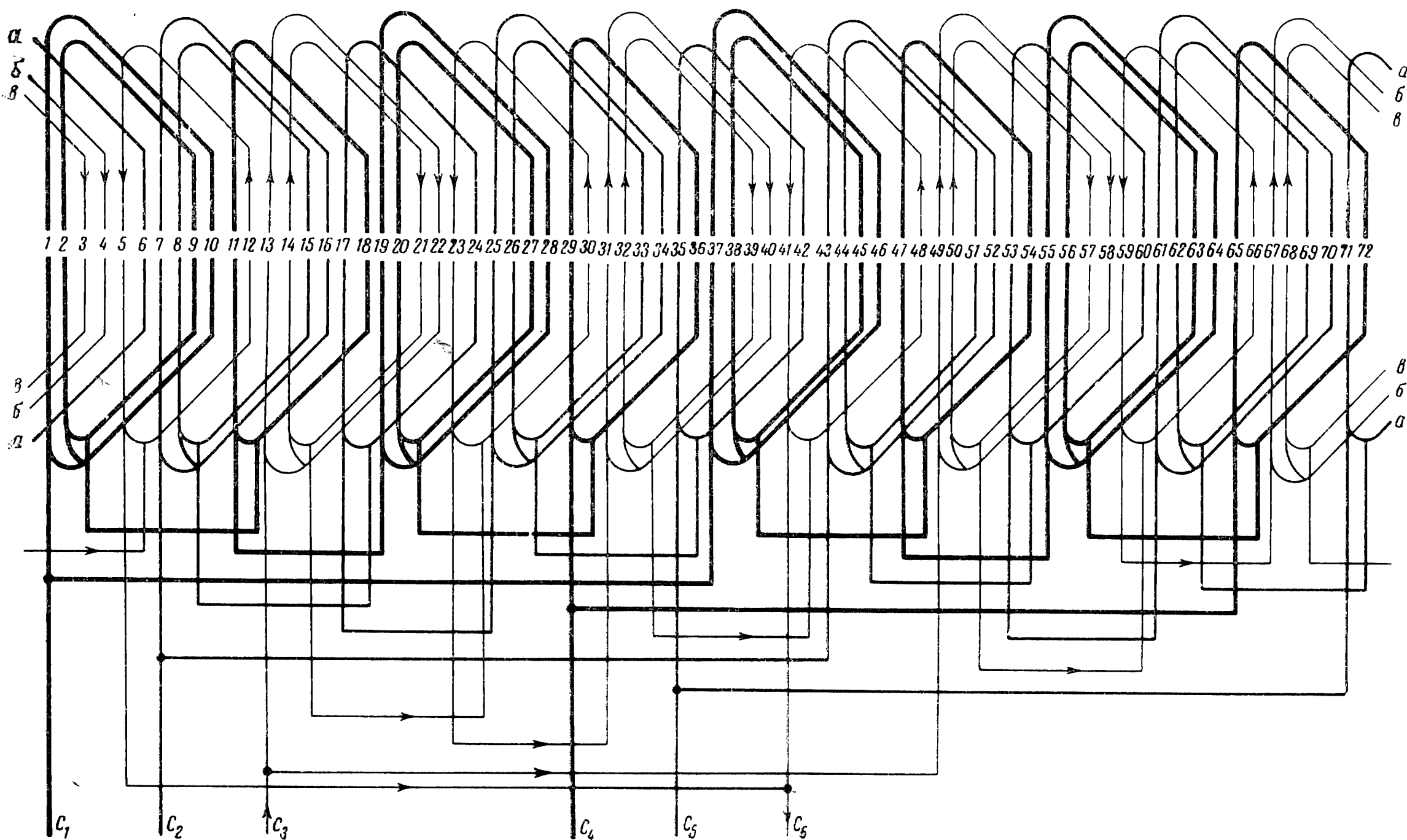


Рис. 3-133. Развернутая схема однослойной шаблонной (вразвалку) статорной обмотки при $2p=8$; $z=72$; $q=3$; $y=1-8, 1-10$; $a=2$. Для электродвигателей на напряжение 500 в выводить только три конца — C_1, C_2, C_3 . Для образования нулевой точки концы фаз C_4, C_5, C_6 соединить между собой.

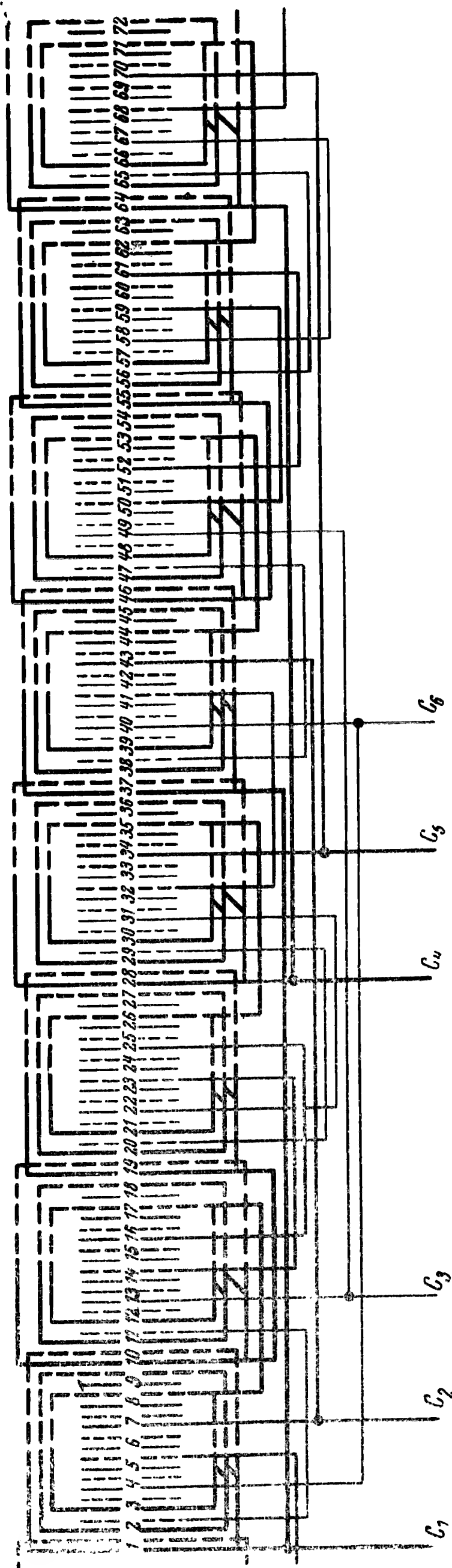


Рис. 3-134. Развернутая схема двухслойной concentрической статорной обмотки при $2p=8$; $z=72$; $q=3$; $y=1-10$, $1-8$, $1-6$; $a=2$.

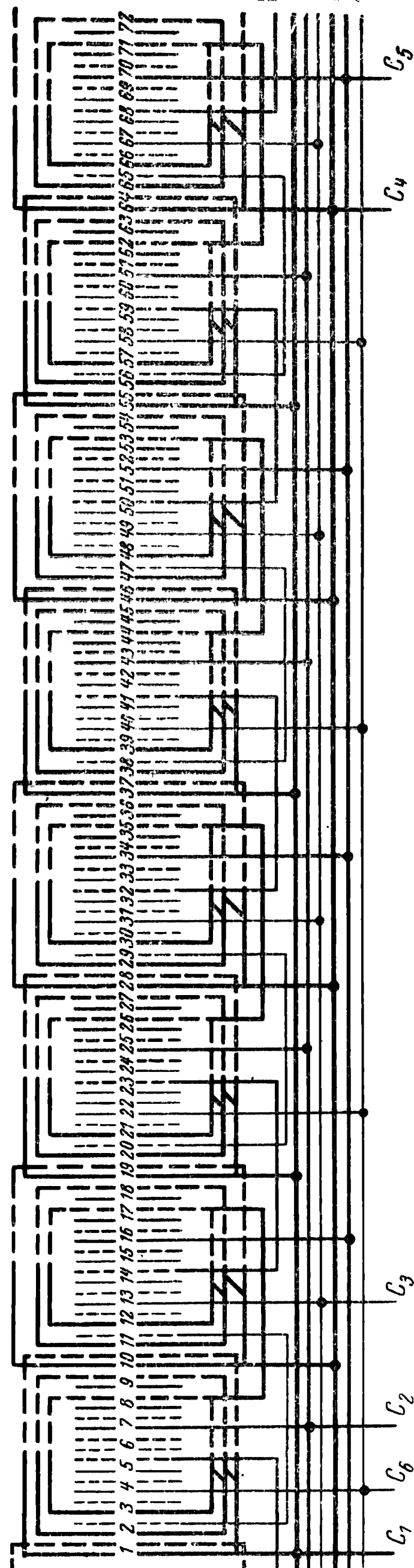


Рис. 3-135. Развернутая схема двухслойной concentрической статорной обмотки при $2p=8$; $z=72$; $q=3$; $y=1-10$, $1-8$, $1-6$; $a=4$.

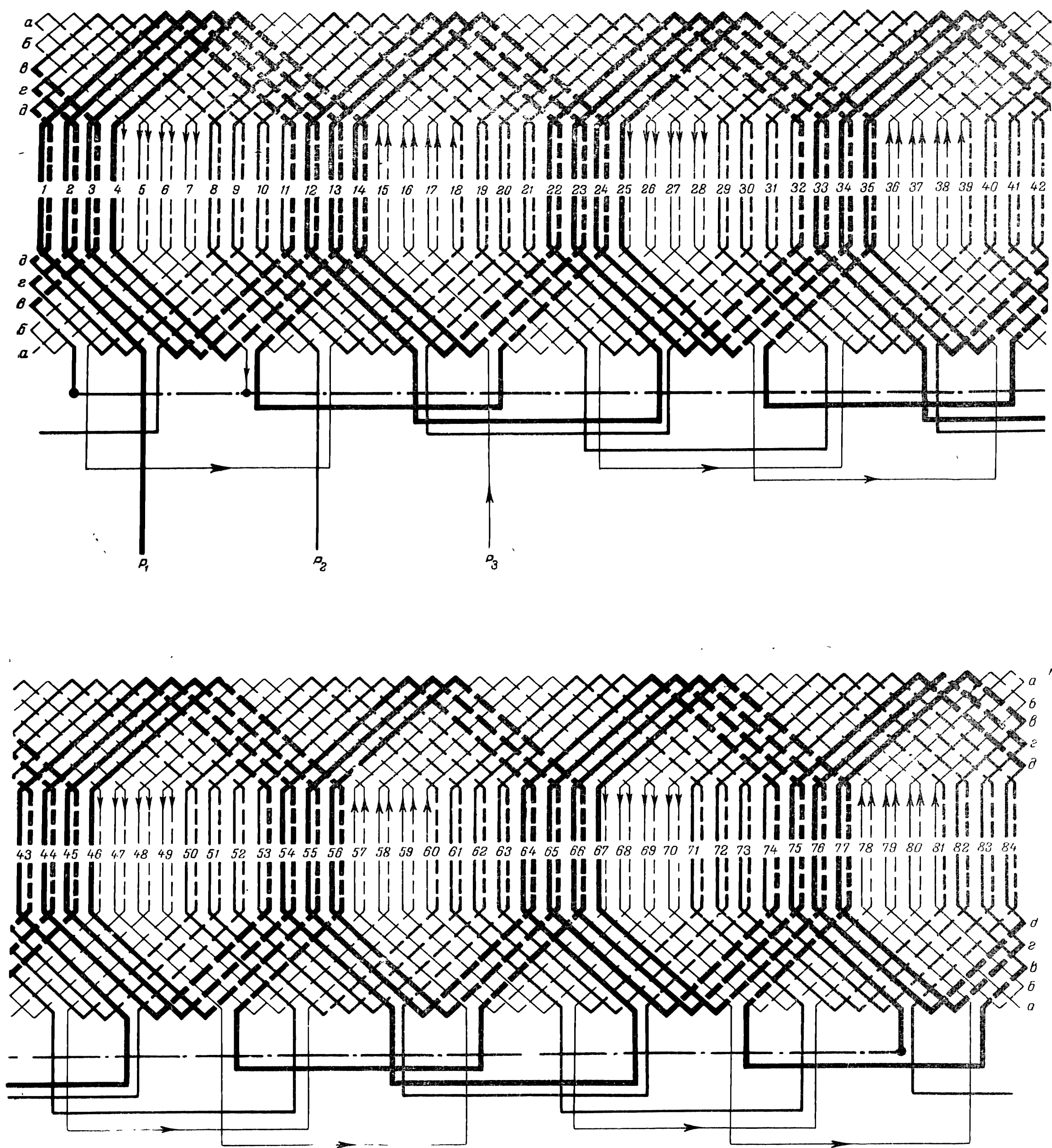


Рис. 3-136. Развернутая схема двухслойной роторной обмотки при $2p=8$; $z=84$; $q=3\frac{1}{2}$; $y=1-11$; $a=1$. Чередование по всей обмотке 4, 3, 4, 3, 4, 3... Соединение фаз Λ .

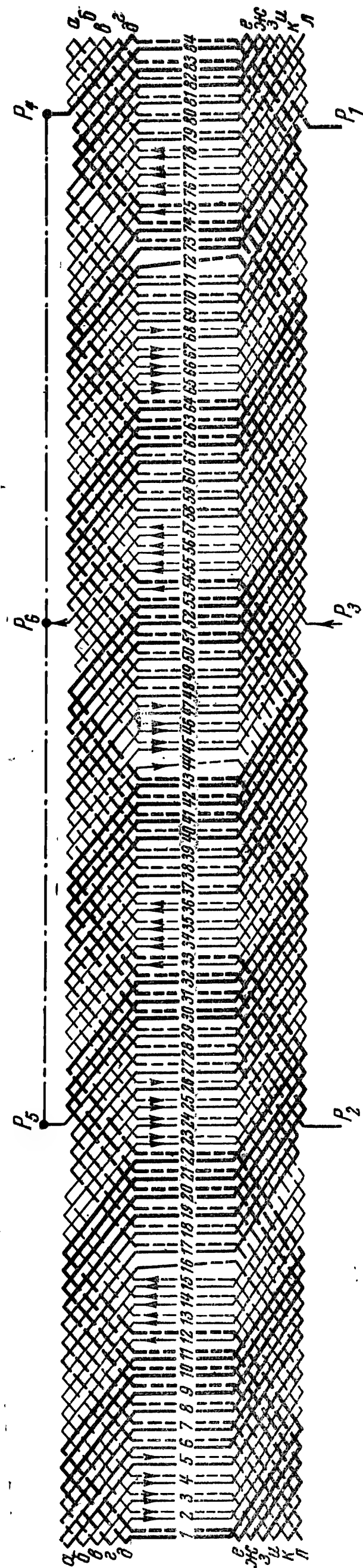


Рис. 3-137. Развернутая схема двухслойной стержневой роторной обмотки при $2p=8$; $z=84$; $q=3\frac{1}{2}$; $y_1=1-12$; $y_2=1-11$; $a=1$. Чередование по всей обмотке 4, 3, 4, 3, 4, 3... Шаг со стороны контактных колец 1-12, укороченный 1-11. Шаг со стороны свободного конца вала 1-11, укороченный 1-10. Соединение фаз λ .

Первая фаза												Вторая фаза												Третья фаза																																																																																														
Н	1	84	83	—Н	72	73	74	75	Н	29	28	27	—Н	16	17	18	19	Н	57	56	55	—Н	44	45	46	45	44	43	42	41	40	39	38	37	36	35	34	33	32	31	30	29	28	27	26	25	24	23	22	21	20	19	18	17	16	15	14	13	12	11	10	9	8	7	6	5	4	3	2	1	Н																																															
В	11	10	9	В	61	62	63	64	В	39	38	37	В	79	80	81	82	В	67	66	65	В	33	34	35	36	37	38	39	40	41	42	43	44	45	46	47	48	49	50	51	52	53	54	55	56	57	58	59	60	61	62	63	64	65	66	67	68	69	70	71	72	73	74	75	76	77	78	79	80	81	82	83	84	85	86	87	88	89	90	91	92	93	94	95	96	В																															
Н	22	21	20	Н	51	52	53	54	Н	50	49	48	Н	68	69	70	71	Н	78	77	76	Н	23	24	25	26	27	28	29	30	31	32	33	34	35	36	37	38	39	40	41	42	43	44	45	46	47	48	49	50	51	52	53	54	55	56	57	58	59	60	61	62	63	64	65	66	67	68	69	70	71	72	73	74	75	76	77	78	79	80	81	82	83	84	85	86	87	88	89	90	91	92	93	94	95	96	В																					
В	32	31	30	В	40	41	42	43	В	60	59	58	В	79	80	81	82	В	78	77	76	В	12	13	14	15	16	17	18	19	20	21	22	23	24	25	26	27	28	29	30	31	32	33	34	35	36	37	38	39	40	41	42	43	44	45	46	47	48	49	50	51	52	53	54	55	56	57	58	59	60	61	62	63	64	65	66	67	68	69	70	71	72	73	74	75	76	77	78	79	80	81	82	83	84	85	86	87	88	89	90	91	92	93	94	95	96	В										
Н	43	42	41	Н	30	31	32	33	Н	71	70	69	Н	58	59	60	61	Н	15	14	13	Н	2	3	4	5	6	7	8	9	10	11	12	13	14	15	16	17	18	19	20	21	22	23	24	25	26	27	28	29	30	31	32	33	34	35	36	37	38	39	40	41	42	43	44	45	46	47	48	49	50	51	52	53	54	55	56	57	58	59	60	61	62	63	64	65	66	67	68	69	70	71	72	73	74	75	76	77	78	79	80	81	82	83	84	85	86	87	88	89	90	91	92	93	94	95	96	В
В	53	52	51	В	19	20	21	22	В	81	80	79	В	47	48	49	50	Н	25	24	23	В	75	76	77	78	79	80	81	82	83	84	85	86	87	88	89	90	91	92	93	94	95	96	В																																																																									
Н	64	63	62	Н	9	10	11	12	Н	8	7	6	Н	37	38	39	40	Н	33	32	31	Н	2	3	4	5	6	7	8	9	10	11	12	13	14	15	16	17	18	19	20	21	22	23	24	25	26	27	28	29	30	31	32	33	34	35	36	37	38	39	40	41	42	43	44	45	46	47	48	49	50	51	52	53	54	55	56	57	58	59	60	61	62	63	64	65	66	67	68	69	70	71	72	73	74	75	76	77	78	79	80	81	82	83	84	85	86	87	88	89	90	91	92	93	94	95	96	В
В	74	73	72	В	82	83	84	1	В	18	17	16	В	26	27	28	29	В	46	45	44	В	54	55	56	57	58	59	60	61	62	63	64	65	66	67	68	69	70	71	72	73	74	75	76	77	78	79	80	81	82	83	84	85	86	87	88	89	90	91	92	93	94	95	96	В																																																				

Начала фаз. Нижние
стержни:

Концы фаз. Верхние
стержни:

Переходные стержни в фазах:

первая фаза — 1-й паз;
вторая фаза — 29-й паз;
третья фаза — 57-й паз.

первая фаза — 72-й паз;
вторая фаза — 16-й паз;
третья фаза — 44-й паз.

Начала фаз. Нижние стержни:

первая фаза — 1-й паз;
вторая фаза — 29-й паз;
третья фаза — 57-й паз.

Концы фаз. Верхние стержни:

первая фаза — 1-й паз;
вторая фаза — 29-й паз;
третья фаза — 57-й паз.

Переходные стержни в фазах:

первая фаза — 72-й паз;
вторая фаза — 16-й паз;
третья фаза — 44-й паз.

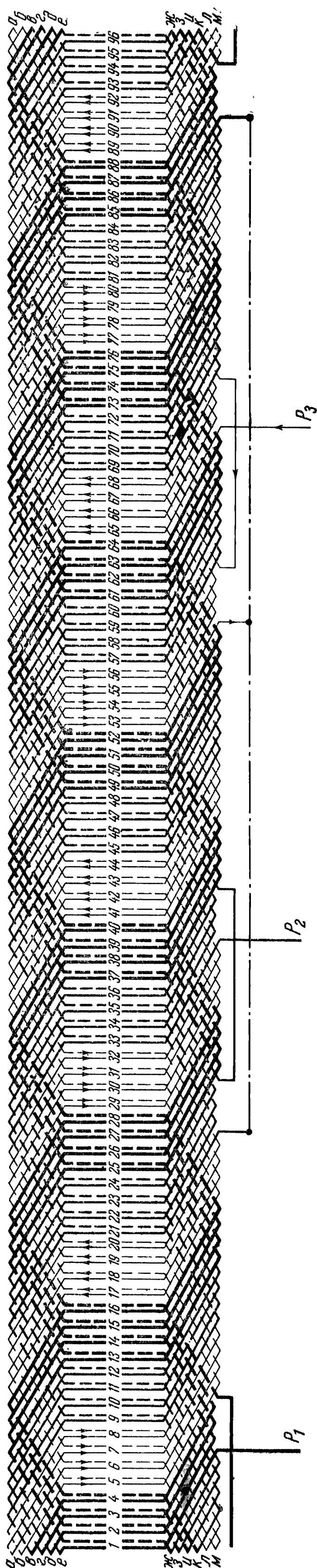


Рис. 3-138. Развернутая схема двухслойной стержневой роторной обмотки с обратными перемычками при $2p=8$; $z=96$; $q=4$; $y=1-13$; $a=1$. Шаг передний 1-13; шаг задний 1-13; шаг перехода 1-12, укороченный. Соединение фаз λ .

Первая фаза												Вторая фаза												Третья фаза																																																															
В	1	2	3	4	—Н	16	17	18	19	20	21	22	23	24	25	26	27	28	29	30	31	32	33	34	35	36	37	38	39	40	41	42	43	44	45	46	47	48	49	50	51	52	53	54	55	56	57	58	59	60	61	62	63	64	65	66	67	68	69	70	71	72	73	74	75	76	77	78	79	80	81	82	83	84	85	86	87	88	89	90	91	92	93	94	95	96	В
Н	85	86	87	88	В	28	29	30	31	32	33	34	35	36	37	38	39	40	41	42	43	44	45	46	47	48	49	50	51	52	53	54	55	56	57	58	59	60	61	62	63	64	65	66	67	68	69	70	71	72	73	74	75	76	77	78	79	80	81	82	83	84	85	86	87	88	89	90	91	92	93	94	95	96	В												
В	73	74	75	76	Н	40	41	42	43	44	45	46	47	48	49	50	51	52	53	54	55	56	57	58	59	60	61	62	63	64	65	66	67	68	69	70	71	72	73	74	75	76	77	78	79	80	81	82	83	84	85	86	87	88	89	90	91	92	93	94	95	96	В																								
Н	61	62	63	64	В	52	53	54	55	56	57	58	59	60	61	62	63	64	65	66	67	68	69	70	71	72	73	74	75	76	77	78	79	80	81	82	83	84	85	86	87	88	89	90	91	92	93	94	95	96	В																																				
В	49	50	51	52	Н	64	65	66	67	68	69	70	71	72	73	74	75	76	77	78	79	80	81	82	83	84	85	86	87	88	89	90	91	92	93	94	95	96	В																																																
Н	37	38	39	40	В	54	55	56	57	58	59	60	61	62	63	64	65	66	67	68	69	70	71	72	73	74	75	76	77	78	79	80	81	82	83	84	85	86	87	88	89	90	91	92	93	94	95	96	В																																						
В	25	26	27	28	Н	76	77	78	79	80	81	82	83	84	85	86	87	88	89	90	91	92	93	94	95	96	В																																																												
Н	13	14	15	16	В	88	89	90	91	92	93	94	95	96	В																																																																								
Начала фаз. Верхние стержни:												Концы фаз, Верхние стержни:												Перемиčky в фазах. Нижние стержни:																																																															
первая фаза — 1-й паз;												первая фаза — 15-й — 4-й пазы;												первая фаза — 15-й — 4-й пазы;																																																															
вторая фаза — 33-й паз;												вторая фаза — 48-й — 35-й пазы;												вторая фаза — 48-й — 35-й пазы;																																																															
третья фаза — 65-й паз.												третья фаза — 80-й — 68-й пазы.												третья фаза — 80-й — 68-й пазы.																																																															

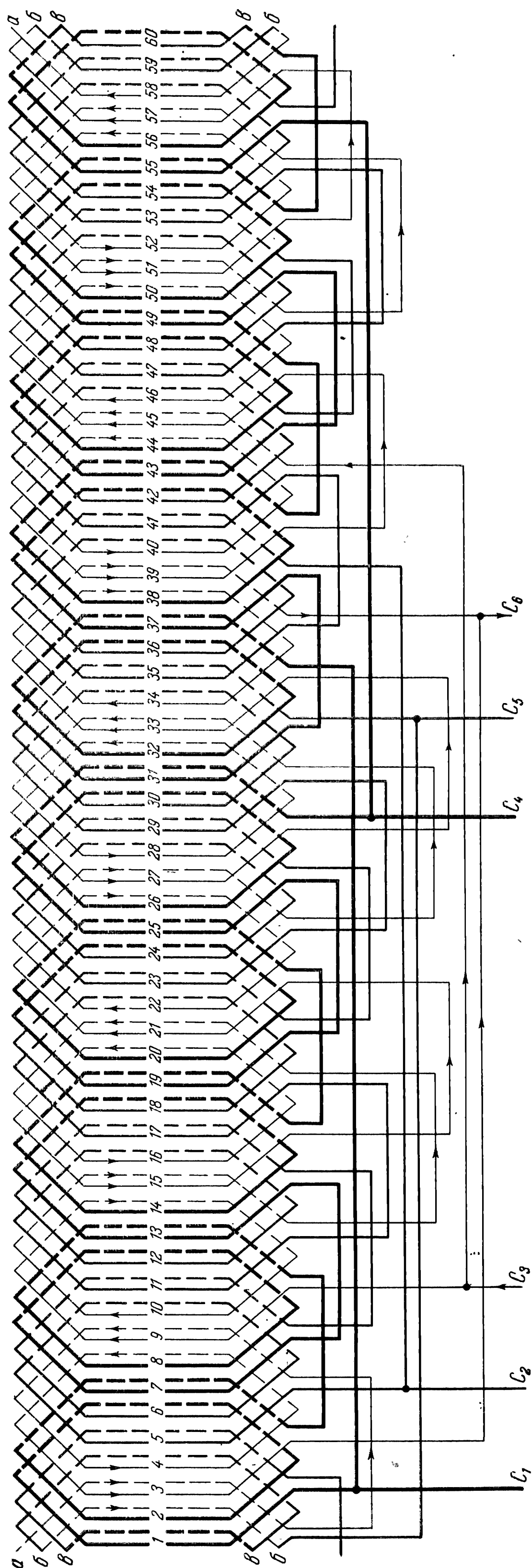


Рис. 3-139. Развернутая схема двухслойной статорной обмотки при $2p=10$; $z=60$; $q=2$; $y=1-6$; $a=2$. Для электродвигателей на напряжение 500 в вывести только три конца — C_1 , C_2 , C_3 . Для образования нулевой точки концы фаз C_4 , C_5 , C_6 соединить между собой.

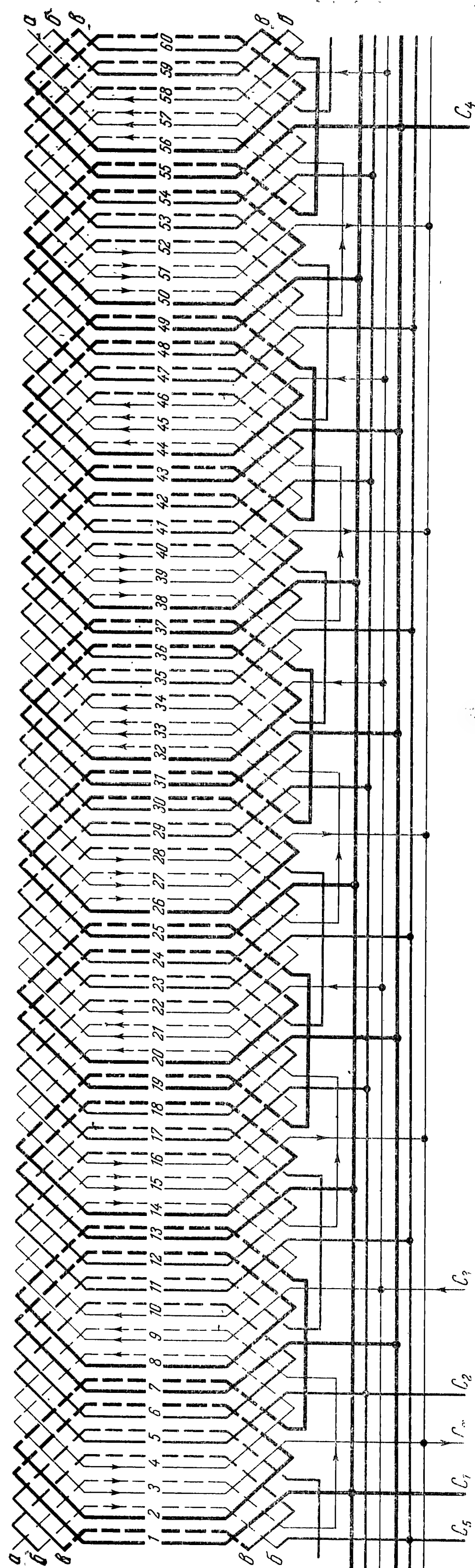


Рис. 3-140. Развернутая схема двухслойной статорной обмотки при $2p=10$; $z=60$; $q=2$; $y=1-6$; $a=5$. Для электродвигателей на напряжение 500 в вывести только три конца — C_1 , C_2 , C_3 . Для образования нулевой точки концы фаз C_4 , C_5 , C_6 соединить между собой.

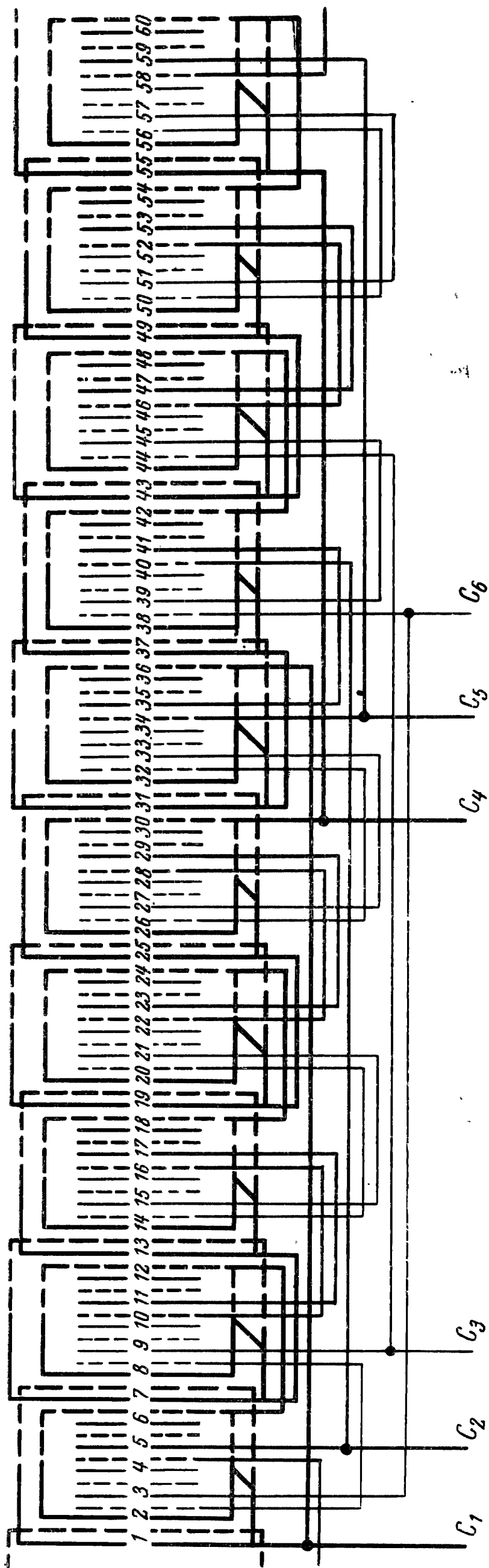


Рис. 3-141. Развернутая схема двухслойной concentрической статорной обмотки при $2p=10$; $z=60$; $q=2$; $y=1-7$, $1-5$; $a=2$.

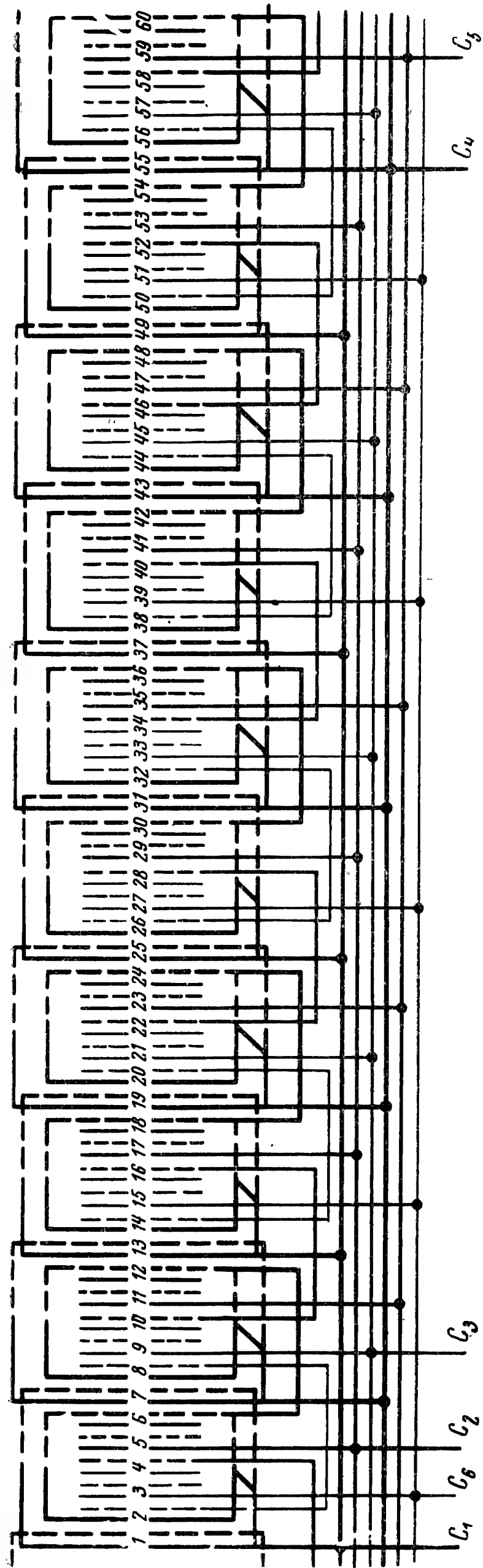


Рис. 3-142. Развернутая схема двухслойной concentрической статорной обмотки при $2p=10$; $z=60$; $q=2$; $y=1-7$, $1-5$; $a=5$.

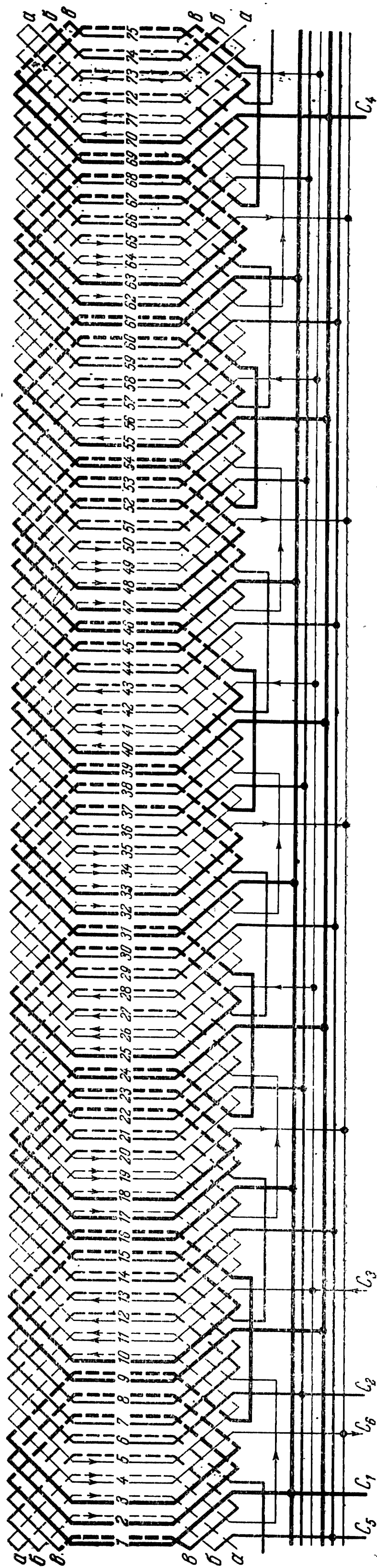


Рис. 3-143. Развернутая схема двухслойной статорной обмотки при $2p=10$; $z=75$; $q=2\frac{1}{2}$; $y=1-7$; $a=5$. Чередование по всей обмотке 3, 3, 3, 2, 3, 2... Для электродвигателей на напряжение 500 в вывести только три конца — C_1 , C_2 , C_3 . Для образования нулевой точки концы фаз C_4 , C_5 , C_6 соединить между собой.

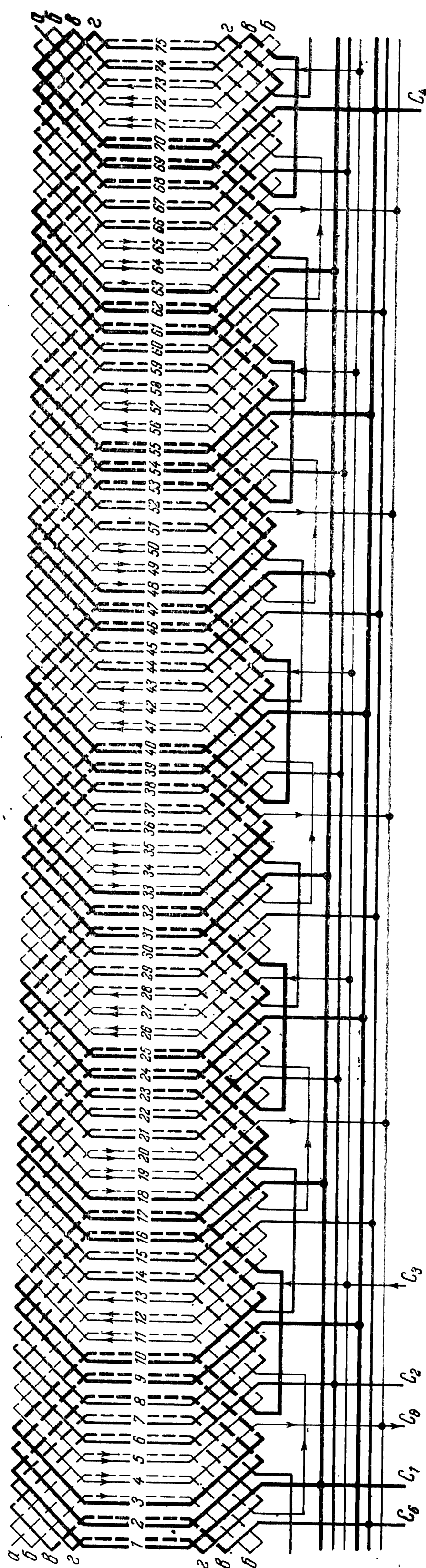


Рис. 3-144. Развернутая схема двухслойной статорной обмотки при $2p=10$; $z=75$; $q=2\frac{1}{2}$; $y=1-8$; $a=5$. Чередование по всей обмотке 3, 2, 3, 2, 3, 2... Для электродвигателей на напряжение 500 в вывести только три конца — C_1 , C_2 , C_3 . Для образования нулевой точки концы фаз C_4 , C_5 , C_6 соединить между собой.

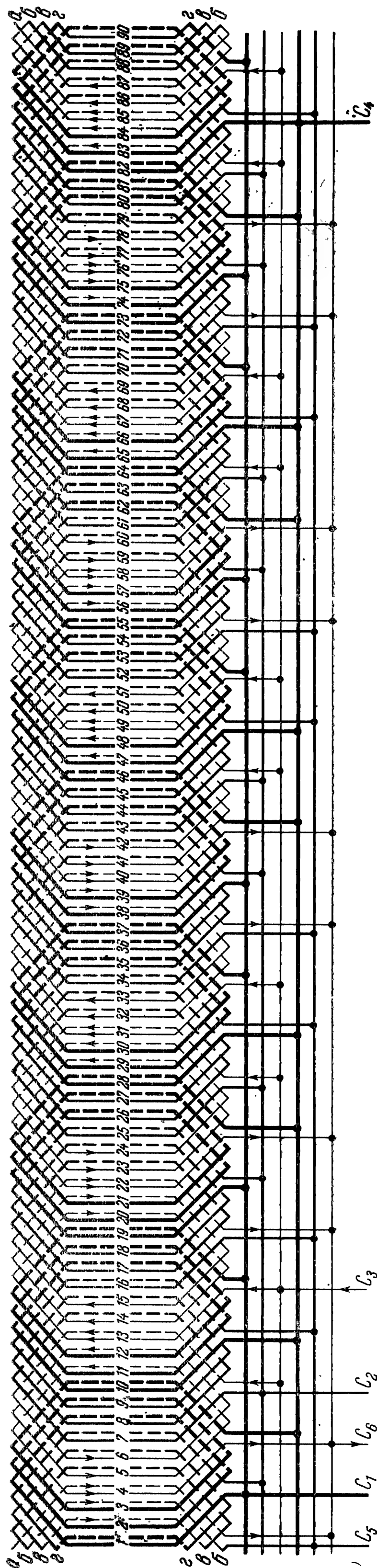


Рис. 3-145. Развернутая схема двухслойной статорной обмотки при $2p=10$; $z=90$; $q=3$; $y=1-8$; $a=10$. Для электродвигателей на напряжение 500 в выводить только три конца — C_1 , C_2 , C_3 . Для образования нулевой точки концы фаз C_4 , C_5 , C_6 соединить между собой.

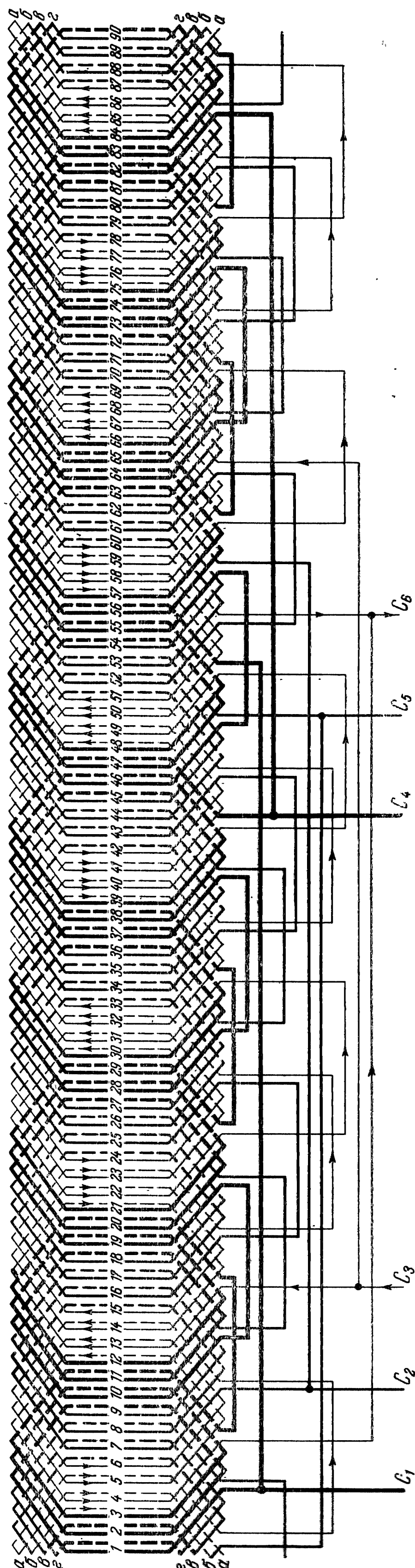


Рис. 3-146. Развернутая схема двухслойной статорной обмотки при $2p=10$; $z=90$; $q=3$; $y=1-9$; $a=2$. Для электродвигателей на напряжение 500 в выводить только три конца — C_1 , C_2 , C_3 . Для образования нулевой точки концы фаз C_4 , C_5 , C_6 соединить между собой.

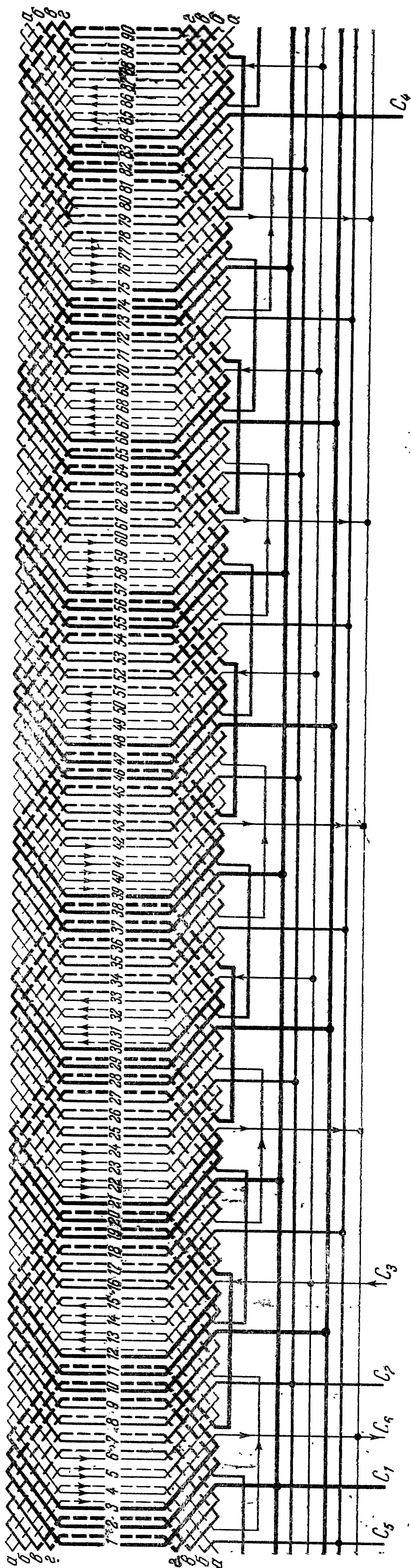


Рис. 3-147. Развернутая схема двухслойной статорной обмотки при $2p=10$; $z=90$; $q=3$; $y=1-9$; $a=5$. Для электродвигателей на напряжение 500 в выводить только три конца — C_1 , C_2 , C_3 . Для образования нулевой точки концы фаз C_4 , C_5 , C_6 соединить между собой.

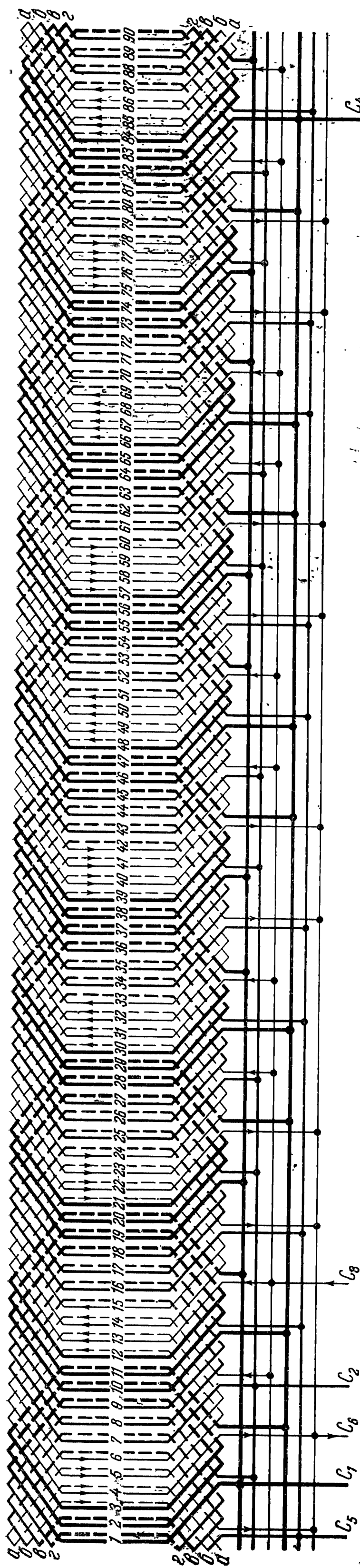


Рис. 3-148. Развернутая схема двухслойной статорной обмотки при $2p=10$; $z=90$; $q=3$; $y=1-9$; $a=10$. Для электродвигателей на напряжение 500 в выводить только три конца — C_1 , C_2 , C_3 . Для образования нулевой точки концы фаз C_4 , C_5 , C_6 соединить между собой.

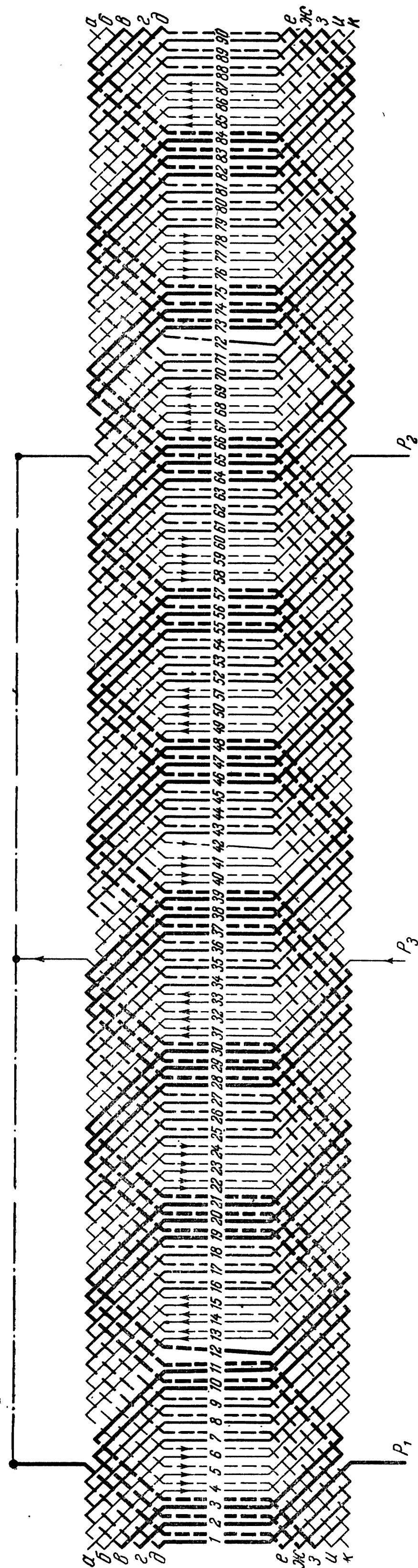


Рис. 3-149. Развернутая схема двухслойной стержневой роторной обмотки при $2p=10$; $z=90$; $q=3$; $y=1-10$; $a=1$. Шаг передний 1—10; шаг задний 1—10; шаг перехода 1—9, укороченный. Соединение фаз λ .

Первая фаза										Вторая фаза										Третья фаза									
В	1	2	3	82	83	84	73	74	75	В	61	62	63	52	53	54	43	44	45	В	31	32	33	22	23	24	13	14	15
Н	82	83	84	Н	Н	Н	В	В	В	Н	52	53	54	Н	Н	Н	В	В	В	Н	В	В	В	Н	Н	Н	В	В	В
В	64	65	66	В	В	В	Н	Н	Н	В	34	35	36	25	26	27	16	17	18	В	85	86	87	76	77	78	65	66	67
Н	55	56	57	Н	Н	Н	В	В	В	Н	25	26	27	16	17	18	В	18	17	В	76	77	78	65	66	67	54	53	52
В	46	47	48	В	В	В	Н	Н	Н	В	16	17	18	В	27	26	25	34	35	В	67	68	69	58	59	60	47	48	49
Н	37	38	39	Н	Н	Н	В	В	В	Н	7	8	9	В	36	35	34	23	24	В	58	59	60	47	48	49	36	35	34
В	28	29	30	В	В	В	Н	Н	Н	В	88	89	90	В	45	44	43	32	33	В	49	50	51	39	40	41	30	29	28
Н	19	20	21	В	В	В	Н	Н	Н	В	79	80	81	В	54	53	52	41	42	В	40	41	42	29	30	31	20	19	18
В	10	11	12	Н	Н	Н	В	В	В	Н	70	71	72	Н	63	62	61	50	51	В	40	41	42	29	30	31	20	19	18
Начала фаз										Концы фаз																			
Верхние стержни:										Нижние стержни:										Переходные стержни в фазах:									
первая фаза — 1-й паз;										первая фаза — 1-й паз;										первая фаза — 12-й паз;									
вторая фаза — 61-й паз;										вторая фаза — 61-й паз;										вторая фаза — 72-й паз;									
третья фаза — 31-й паз.										третья фаза — 31-й паз.										третья фаза — 42-й паз.									

Начала фаз
Верхние стержни:
первая фаза — 1-й паз;
вторая фаза — 61-й паз;
третья фаза — 31-й паз.

Концы фаз
Нижние стержни:
первая фаза — 1-й паз;
вторая фаза — 61-й паз;
третья фаза — 31-й паз.

Переходные стержни в фазах:
первая фаза — 12-й паз;
вторая фаза — 72-й паз;
третья фаза — 42-й паз.

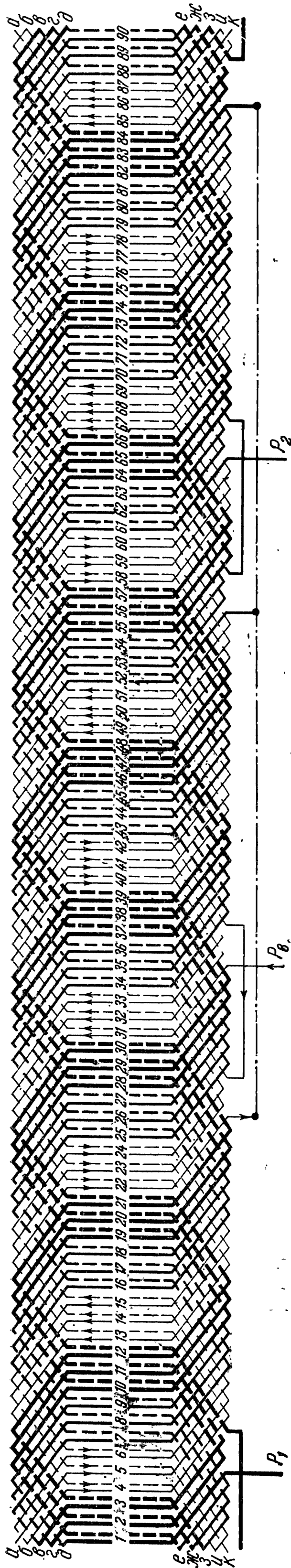


Рис. 3-150. Развернутая схема двухслойной стержневой роторной обмотки с обратными перемычками при $2p=10$; $z=90$; $q=3$; $y=1-10$; $\alpha=1$. Шаг передний 1—10; шаг задний 1—10, шаг перехода 1—9, укороченный. Соединение фаз Λ .

Первая фаза												Вторая фаза												Третья фаза																
В	1	2	3	4	5	6	7	8	9	10	11	В	61	62	63	64	65	66	67	68	69	70	В	31	32	33	34	35	36	37	38	39	40	В	22	23	24	25	26	27
Н	82	83	84	85	86	87	88	89	90	91	92	Н	52	53	54	55	56	57	58	59	60	61	Н	22	23	24	25	26	27	28	29	30	31	Н	13	14	15	16	17	18
В	73	74	75	76	77	78	79	80	81	82	83	В	43	44	45	46	47	48	49	50	51	52	В	13	14	15	16	17	18	19	20	21	22	В	4	5	6	7	8	9
Н	64	65	66	67	68	69	70	71	72	73	74	Н	34	35	36	37	38	39	40	41	42	43	Н	4	5	6	7	8	9	10	11	12	13	Н	3	4	5	6	7	8
В	55	56	57	58	59	60	61	62	63	64	65	В	25	26	27	28	29	30	31	32	33	34	В	35	36	37	38	39	40	41	42	43	44	В	26	27	28	29	30	31
Н	46	47	48	49	50	51	52	53	54	55	56	Н	16	17	18	19	20	21	22	23	24	25	Н	26	27	28	29	30	31	32	33	34	35	Н	17	18	19	20	21	22
В	37	38	39	40	41	42	43	44	45	46	47	В	7	8	9	10	11	12	13	14	15	16	В	7	8	9	10	11	12	13	14	15	16	В	6	7	8	9	10	11
Н	28	29	30	31	32	33	34	35	36	37	38	Н	88	89	90	91	92	93	94	95	96	97	Н	67	68	69	70	71	72	73	74	75	76	Н	58	59	60	61	62	63
В	19	20	21	22	23	24	25	26	27	28	29	В	79	80	81	82	83	84	85	86	87	88	В	49	50	51	52	53	54	55	56	57	58	В	40	41	42	43	44	45
Н	10	11	12	13	14	15	16	17	18	19	20	Н	70	71	72	73	74	75	76	77	78	79	Н	40	41	42	43	44	45	46	47	48	49	Н	31	32	33	34	35	36

Начала фаз

Верхние стержни:

первая фаза — 1-й паз;
вторая фаза — 61-й паз;
третья фаза — 31-й паз.

Концы фаз

Верхние стержни:

первая фаза — 82-й паз;
вторая фаза — 52-й паз;
третья фаза — 22-й паз.

Перемычки в фазах

Нижние стержни:

первая фаза — 12-й — 3-й пазы;
вторая фаза — 72-й — 63-й пазы;
третья фаза — 42-й — 33-й пазы.

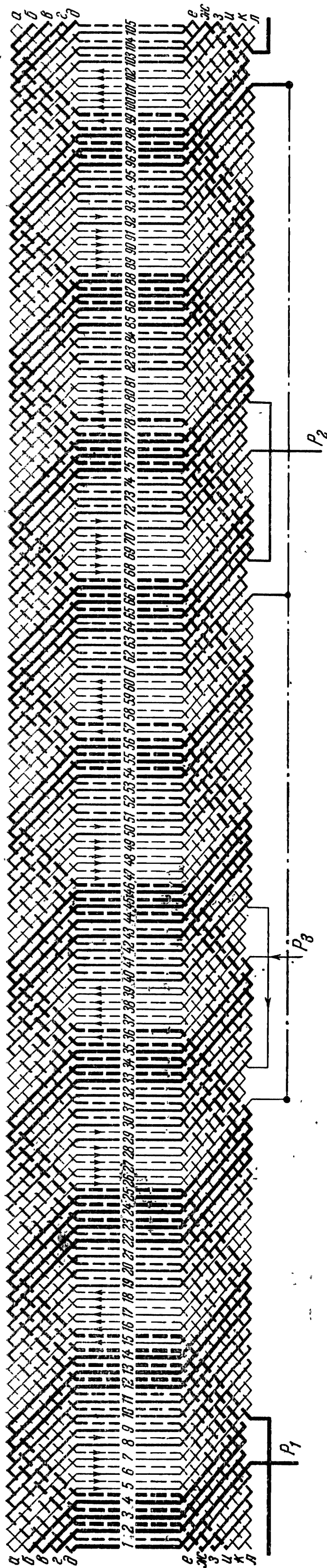


Рис. 3-151. Развернутая схема двухслойной стержневой роторной обмотки с обратными перемычками при $2p=10$; $q=105$; $z=3\frac{1}{2}$; $y=1-12$, $1-11$; $a=1$. Чередование по всей обмотке 3, 4, 3, 4, 3, 4... Шаг передний 1—12; шаг задний 1—11; шаг переходный 1—11, укороченный. Соединение фаз X.

Первая фаза										Вторая фаза										Третья фаза									
В	1	2	3	4	5	6	7	8	9	10	11	12	13	14	15	16	17	18	19	20	21	22	23	24	25	26	27	28	29
Н	96	97	98	99	100	101	102	103	104	105	106	107	108	109	110	111	112	113	114	115	116	117	118	119	120	121	122	123	124
В	85	86	87	88	89	90	91	92	93	94	95	96	97	98	99	100	101	102	103	104	105	106	107	108	109	110	111	112	113
Н	75	76	77	78	79	80	81	82	83	84	85	86	87	88	89	90	91	92	93	94	95	96	97	98	99	100	101	102	103
В	64	65	66	67	68	69	70	71	72	73	74	75	76	77	78	79	80	81	82	83	84	85	86	87	88	89	90	91	92
Н	54	55	56	57	58	59	60	61	62	63	64	65	66	67	68	69	70	71	72	73	74	75	76	77	78	79	80	81	82
В	43	44	45	46	47	48	49	50	51	52	53	54	55	56	57	58	59	60	61	62	63	64	65	66	67	68	69	70	71
Н	33	34	35	36	37	38	39	40	41	42	43	44	45	46	47	48	49	50	51	52	53	54	55	56	57	58	59	60	61
В	22	23	24	25	26	27	28	29	30	31	32	33	34	35	36	37	38	39	40	41	42	43	44	45	46	47	48	49	50
Н	12	13	14	15	16	17	18	19	20	21	22	23	24	25	26	27	28	29	30	31	32	33	34	35	36	37	38	39	40

Начала фаз

Верхние стержни:

первая фаза — 1-й паз;
вторая фаза — 71-й паз;
третья фаза — 36-й паз.

Концы фаз

Верхние стержни:

первая фаза — 96-й паз;
вторая фаза — 61-й паз;
третья фаза — 26-й паз.

Перемычки в фазах

Нижние стержни:

первая фаза — 15-й — 4-й пазы;
вторая фаза — 85-й — 74-й пазы;
третья фаза — 50-й — 39-й пазы.

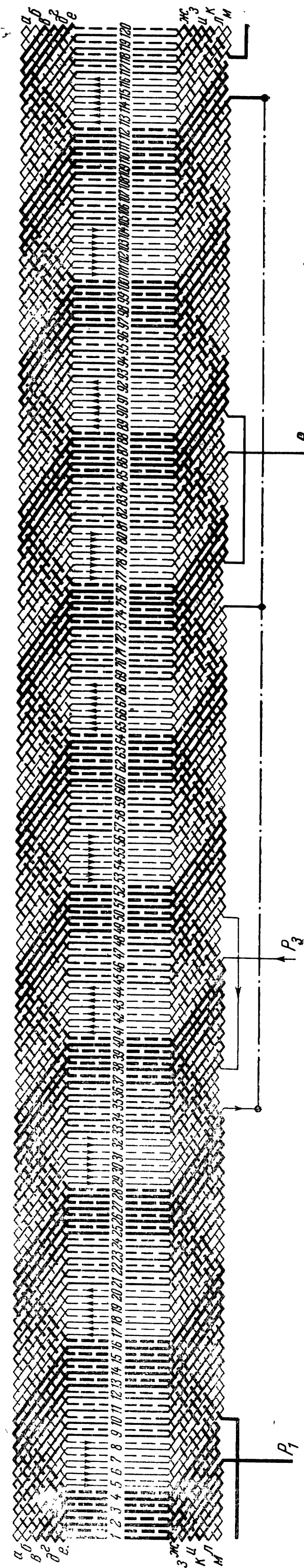


Рис. 3.152. Развернутая схема двухслойной стержневой роторной обмотки с обратными перемычками при $2p=10$; $z=120$; $q=4$; $y=1-13$; $a=1$. Шаг средний 1-13; шаг задний 1-13; шаг передний 1-13, укороченный. Соединение фаз λ .

Первая фаза												Вторая фаза												Третья фаза															
1	2	3	4	5	6	7	8	9	10	11	12	13	14	15	16	17	18	19	20	21	22	23	24	25	26	27	28	29	30	31	32	33	34	35	36	37	38	39	40
В	Н	В	Н	В	Н	В	Н	В	Н	В	Н	В	Н	В	Н	В	Н	В	Н	В	Н	В	Н	В	Н	В	Н	В	Н	В	Н	В	Н	В	Н	В	Н	В	Н
109	97	85	73	61	49	37	25	13	1	81	82	83	84	85	86	87	88	89	90	91	92	93	94	95	96	97	98	99	100	101	102	103	104	105	106	107	108	109	
1	2	3	4	5	6	7	8	9	10	11	12	13	14	15	16	17	18	19	20	21	22	23	24	25	26	27	28	29	30	31	32	33	34	35	36	37	38	39	40
В	Н	В	Н	В	Н	В	Н	В	Н	В	Н	В	Н	В	Н	В	Н	В	Н	В	Н	В	Н	В	Н	В	Н	В	Н	В	Н	В	Н	В	Н	В	Н	В	Н
109	97	85	73	61	49	37	25	13	1	81	82	83	84	85	86	87	88	89	90	91	92	93	94	95	96	97	98	99	100	101	102	103	104	105	106	107	108	109	
1	2	3	4	5	6	7	8	9	10	11	12	13	14	15	16	17	18	19	20	21	22	23	24	25	26	27	28	29	30	31	32	33	34	35	36	37	38	39	40
В	Н	В	Н	В	Н	В	Н	В	Н	В	Н	В	Н	В	Н	В	Н	В	Н	В	Н	В	Н	В	Н	В	Н	В	Н	В	Н	В	Н	В	Н	В	Н	В	Н
109	97	85	73	61	49	37	25	13	1	81	82	83	84	85	86	87	88	89	90	91	92	93	94	95	96	97	98	99	100	101	102	103	104	105	106	107	108	109	
1	2	3	4	5	6	7	8	9	10	11	12	13	14	15	16	17	18	19	20	21	22	23	24	25	26	27	28	29	30	31	32	33	34	35	36	37	38	39	40
В	Н	В	Н	В	Н	В	Н	В	Н	В	Н	В	Н	В	Н	В	Н	В	Н	В	Н	В	Н	В	Н	В	Н	В	Н	В	Н	В	Н	В	Н	В	Н	В	Н
109	97	85	73	61	49	37	25	13	1	81	82	83	84	85	86	87	88	89	90	91	92	93	94	95	96	97	98	99	100	101	102	103	104	105	106	107	108	109	

Начала фаз																																								Концы фаз																																								Перемычки в фазах																																							
Верхние стержни:																																								Верхние стержни:																																								Нижние стержни:																																							
первая фаза—1-й паз;																																								первая фаза—109-й паз;																																								первая фаза—16-й—4-й пазы;																																							
вторая фаза—81-й паз;																																								вторая фаза—69-й паз.																																								вторая фаза—96-й—84-й пазы;																																							
третья фаза—41-й паз.																																								третья фаза—23-й паз.																																								третья фаза—56-й—44-й пазы;																																							

Начала фаз

Верхние стержни:

первая фаза—1-й паз;
вторая фаза—81-й паз;
третья фаза—41-й паз.

Концы фаз

Верхние стержни:

первая фаза—109-й паз;
вторая фаза—69-й паз;
третья фаза—29-й паз.

Перемычки в фазах

Нижние стержни:

первая фаза—16-й—4-й пазы;
вторая фаза—96-й—84-й пазы;
третья фаза—56-й—44-й пазы.

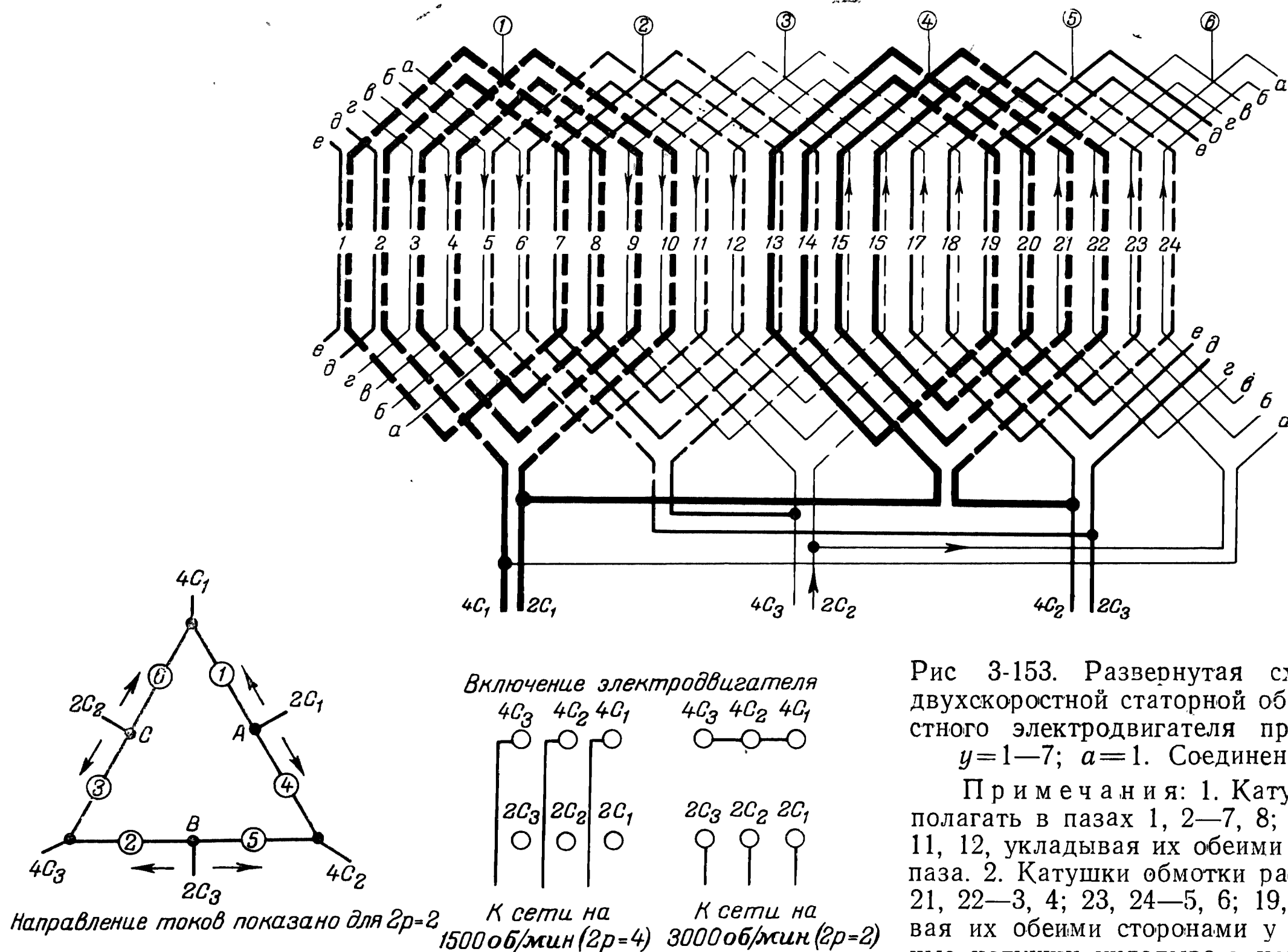


Рис 3-153. Развернутая схема двухслойной двухскоростной статорной обмотки многоскоростного электродвигателя при $2p=4/2$; $z=24$; $y=1-7$; $a=1$. Соединение фаз $\Delta/\lambda\lambda$.

Примечания: 1. Катушки обмотки располагать в пазах 1, 2—7, 8; 3, 4—9, 10; 5, 6—11, 12, укладывая их обеими сторонами на дно паза. 2. Катушки обмотки располагать в пазах 21, 22—3, 4; 23, 24—5, 6; 19, 20—1, 2, укладывая их обеими сторонами у клина. 3. Остальные катушки укладывать как обычно.

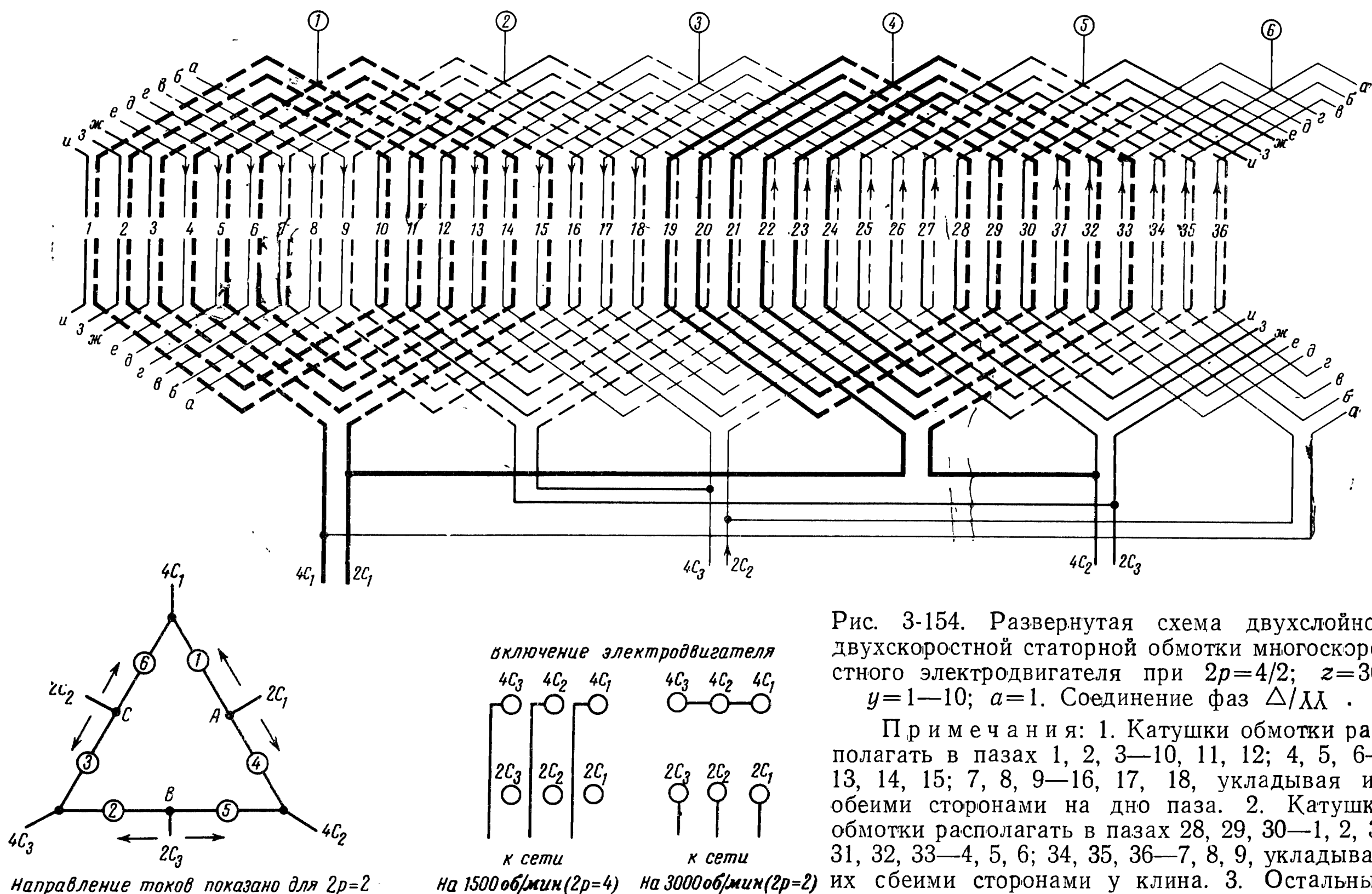
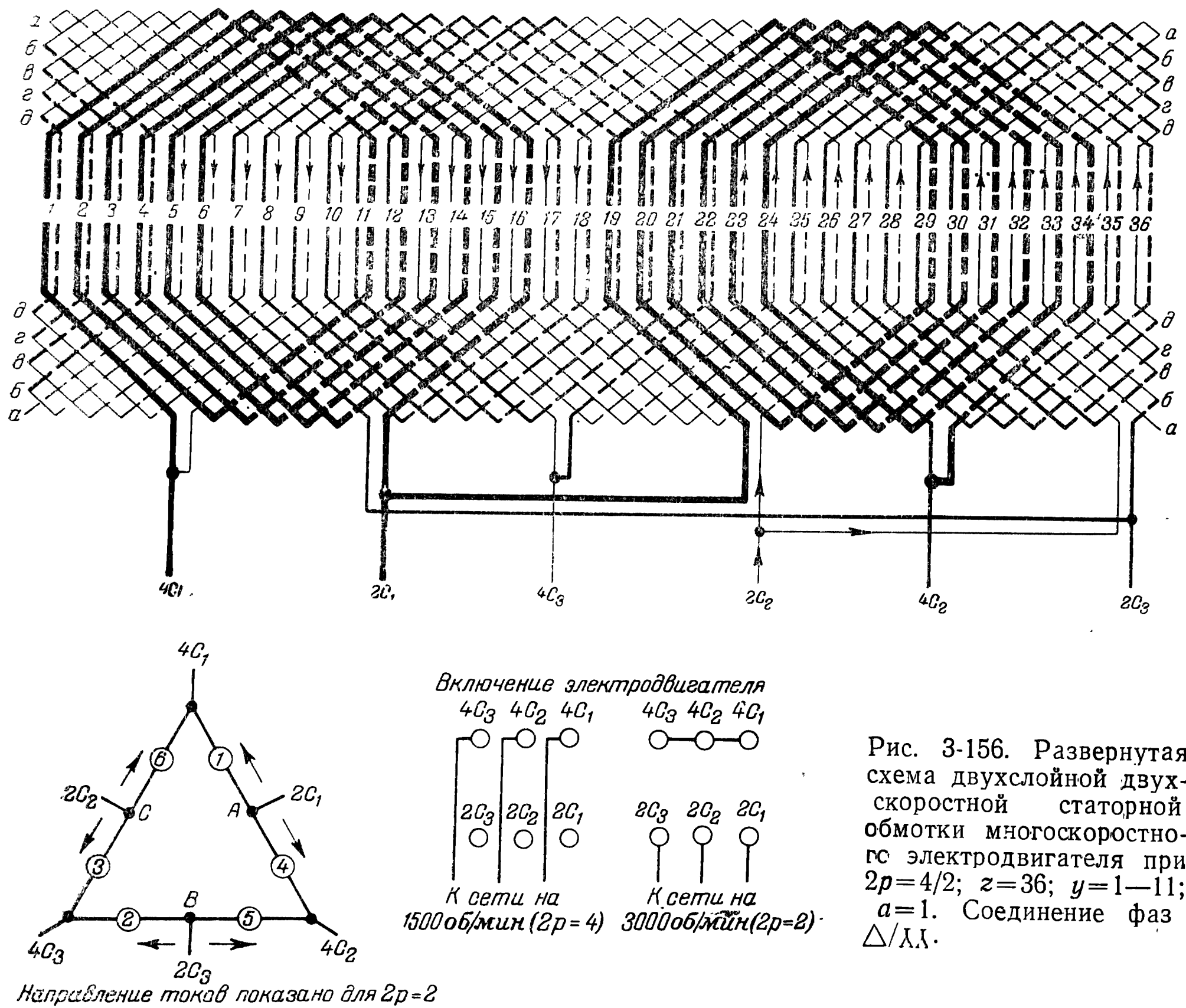
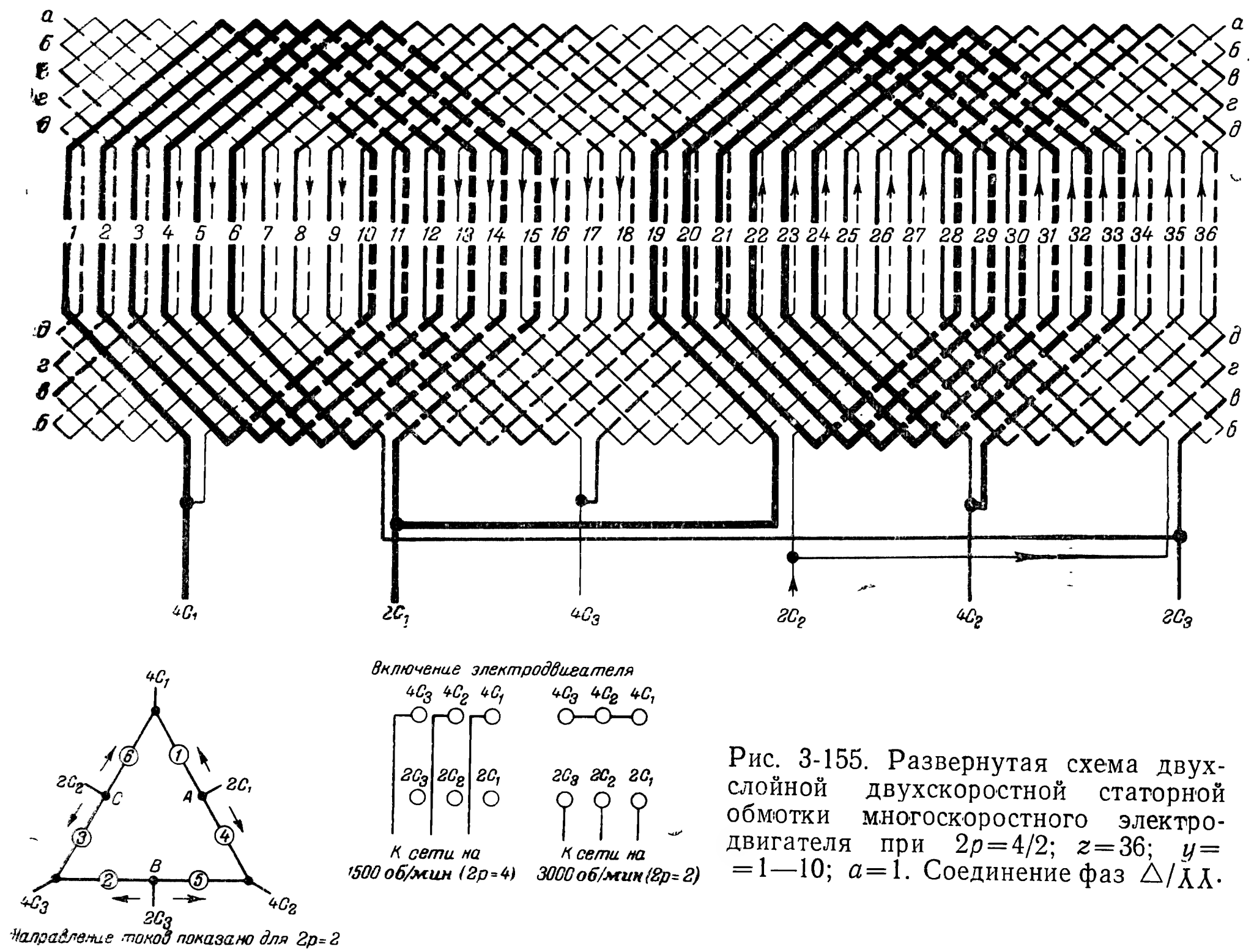


Рис. 3-154. Развернутая схема двухслойной двухскоростной статорной обмотки многоскоростного электродвигателя при $2p=4/2$; $z=36$; $y=1-10$; $a=1$. Соединение фаз $\Delta/\lambda\lambda$.

Примечания: 1. Катушки обмотки располагать в пазах 1, 2, 3—10, 11, 12; 4, 5, 6—13, 14, 15; 7, 8, 9—16, 17, 18, укладывая их обеими сторонами на дно паза. 2. Катушки обмотки располагать в пазах 28, 29, 30—1, 2, 3; 31, 32, 33—4, 5, 6; 34, 35, 36—7, 8, 9, укладывая их с обеих сторон у клина. 3. Остальные катушки укладывать как обычно.



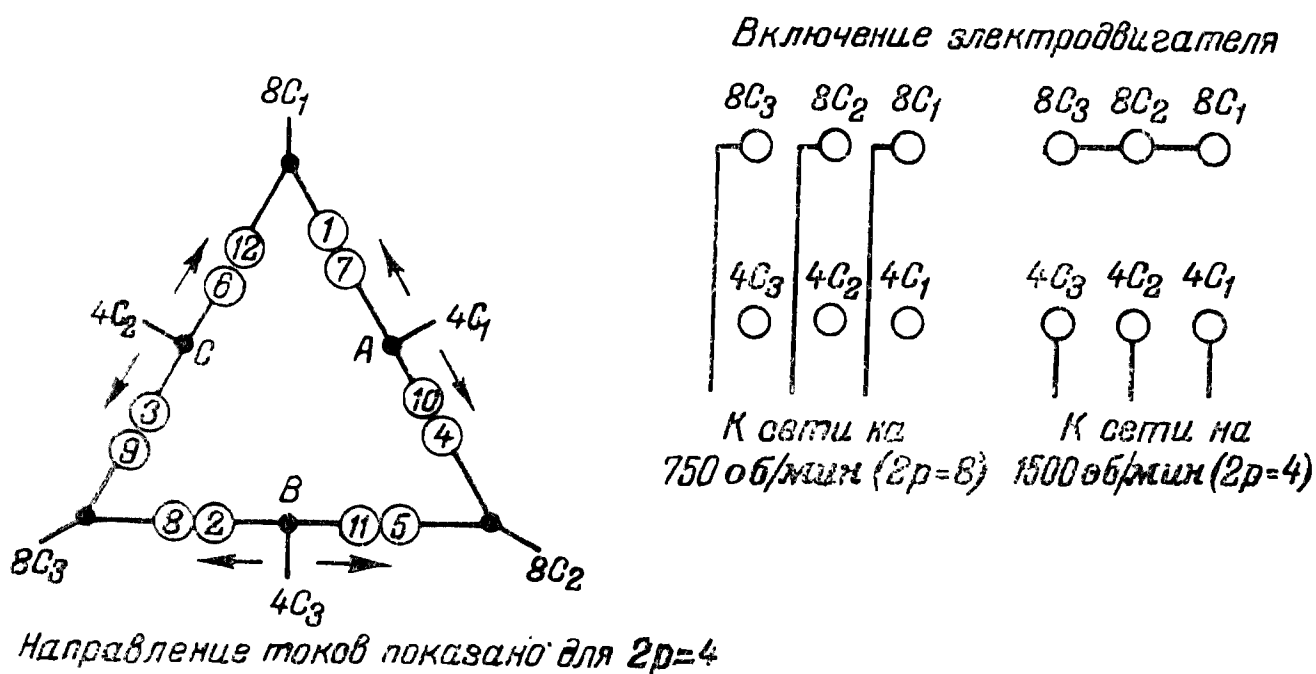
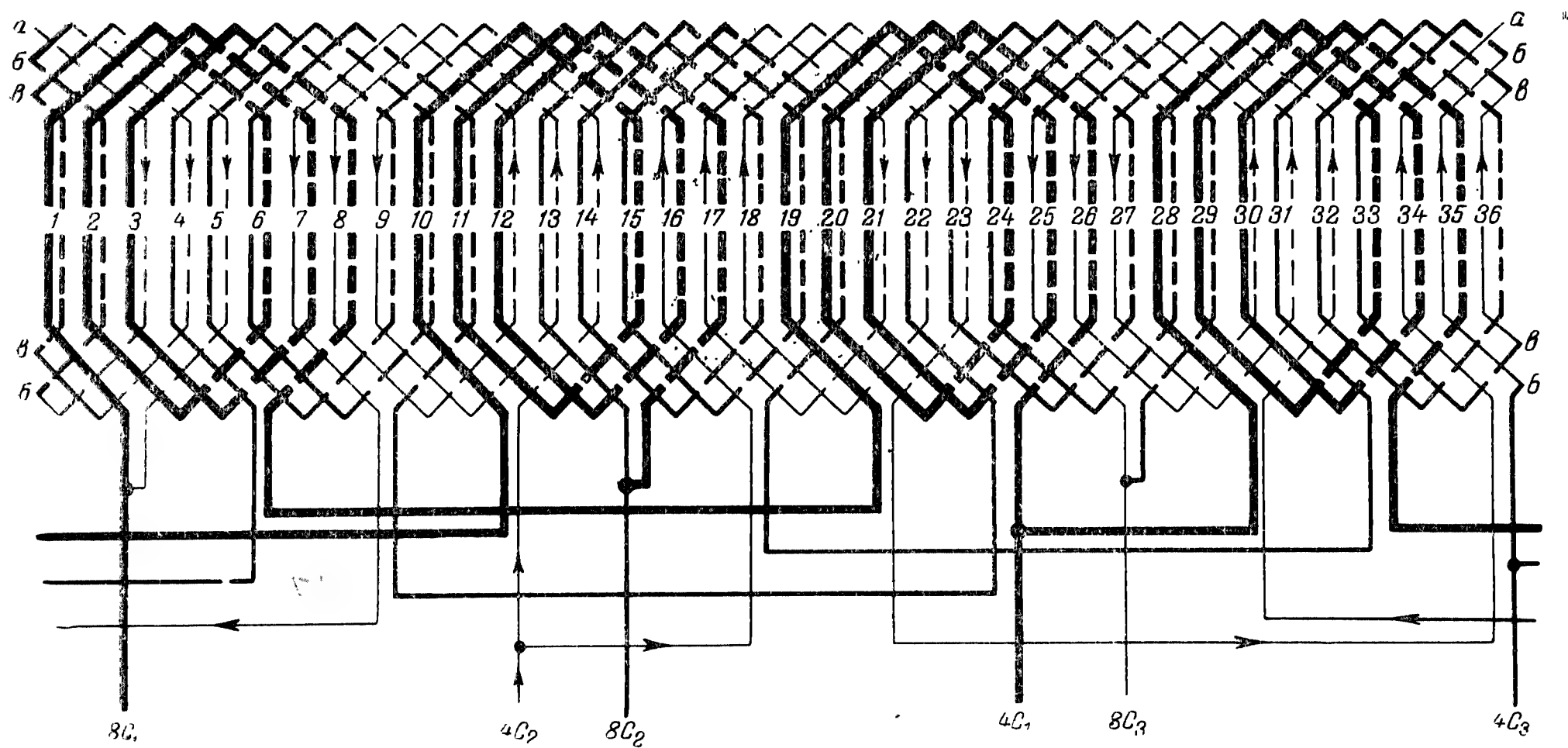


Рис. 3-157. Развернутая схема двухслойной двух-скоростной статорной обмотки многоскоростного электродвигателя при $2p=8/4$; $z=36$; $y=1-6$; $a=1$. Соединение фаз $\Delta/\lambda\lambda$.

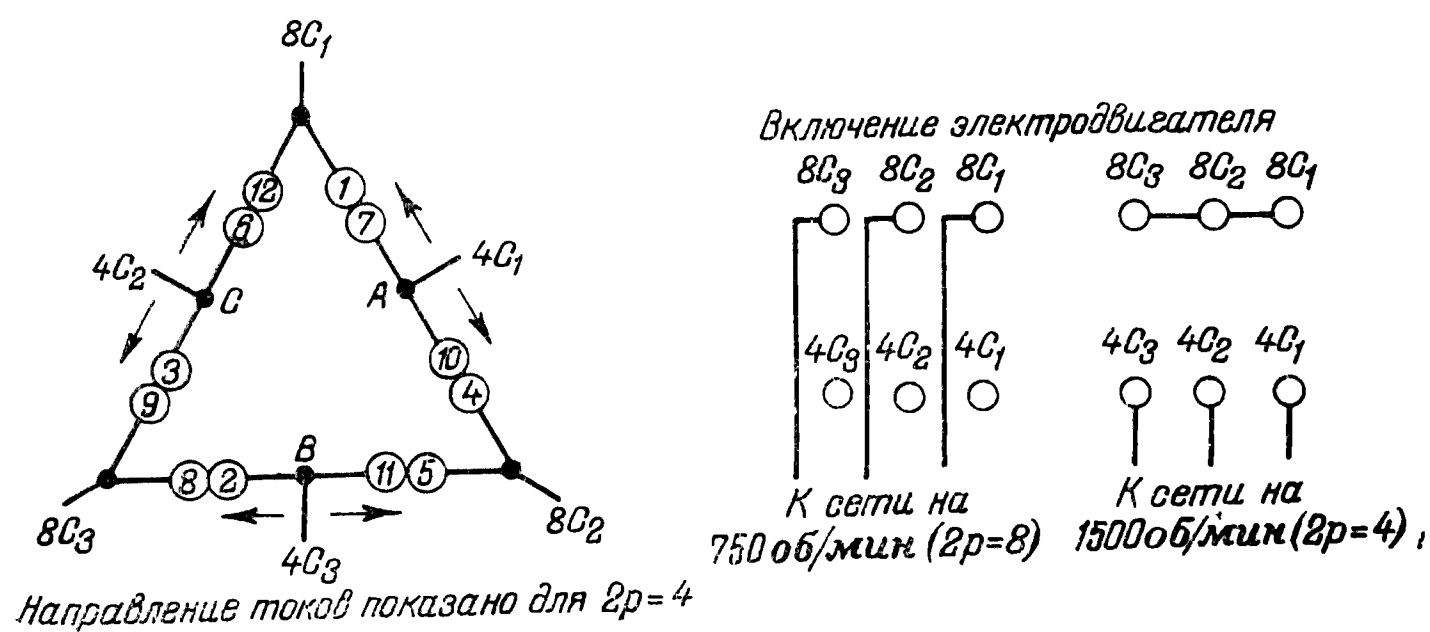
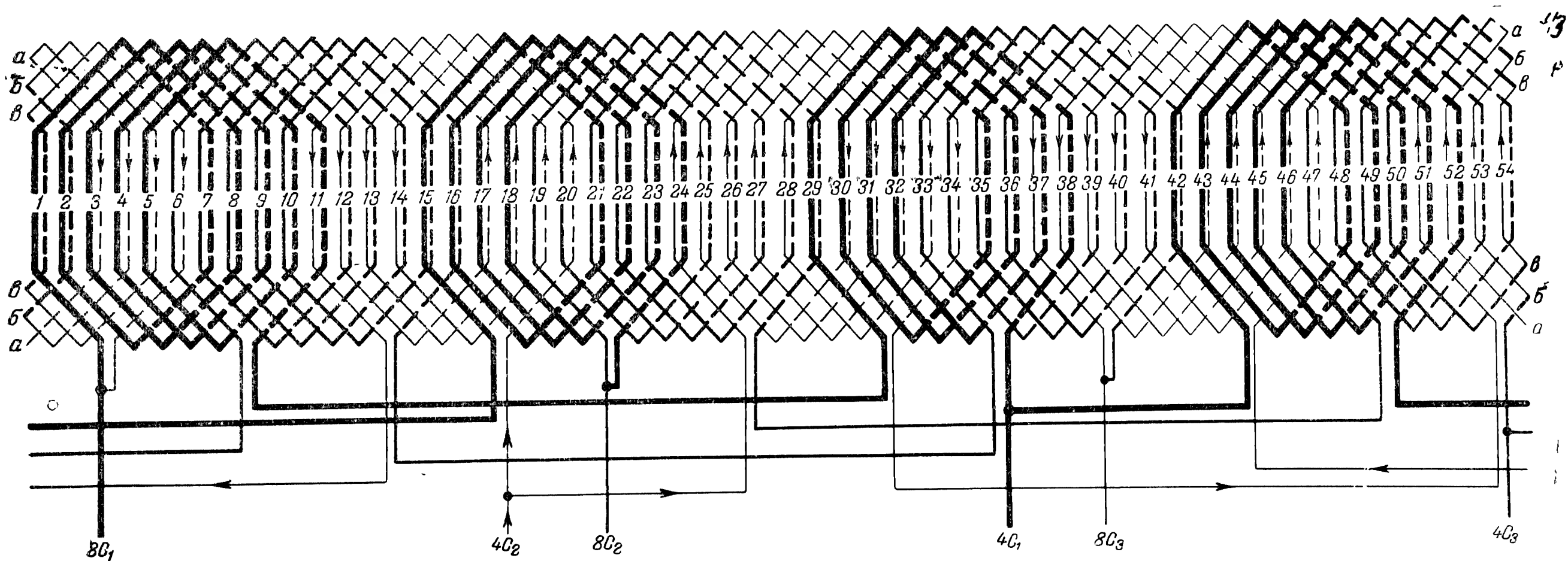


Рис. 3-158. Развернутая схема двухслойной двух-скоростной статорной обмотки многоскоростного электродвигателя при $2p=8/4$; $z=54$; $y=1-7$; $a=1$. Соединение фаз $\Delta/\lambda\lambda$.

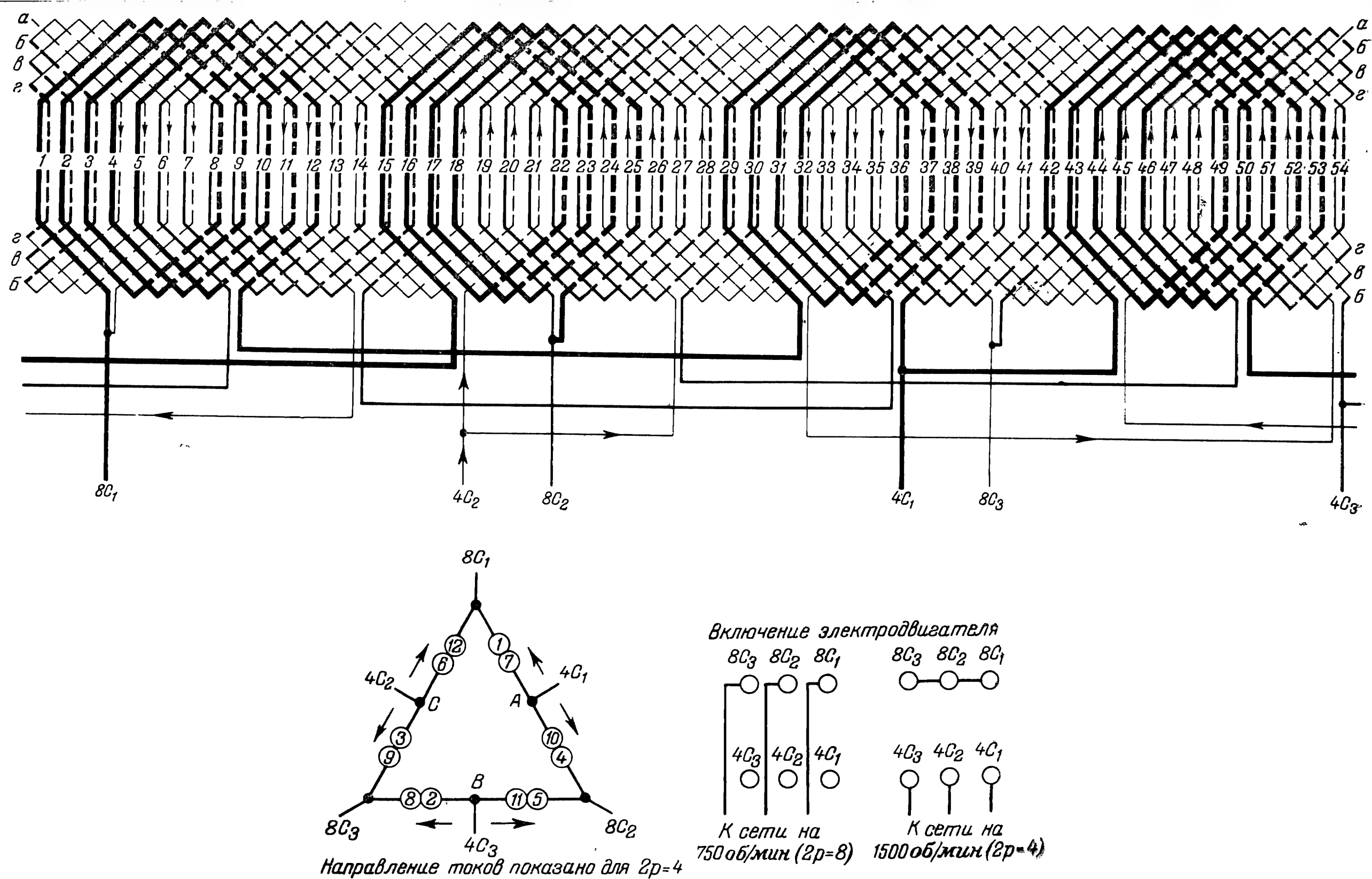


Рис. 3-159. Развернутая схема двухслойной двухскоростной статорной обмотки многоскоростного электродвигателя при $2p=8/4$; $z=54$; $y=1-8$; $a=1$. Соединение фаз $\Delta/\lambda\lambda$.

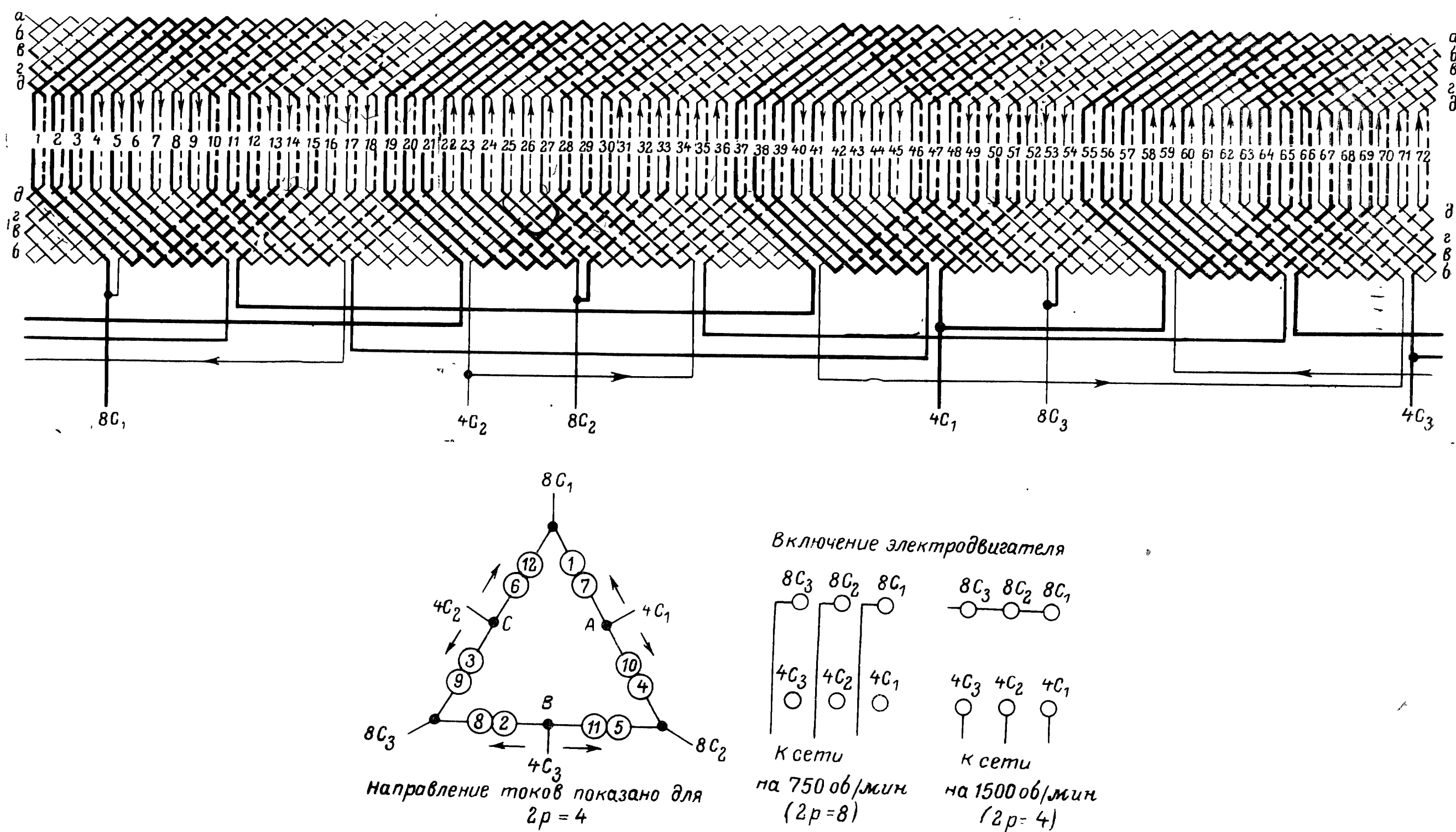


Рис. 3-160. Развернутая схема двухслойной двухскоростной статорной обмотки многоскоростного электродвигателя при $2p=8/4$; $z=72$; $y=1-10$; $a=1$. Соединение фаз $\Delta/\lambda\lambda$.

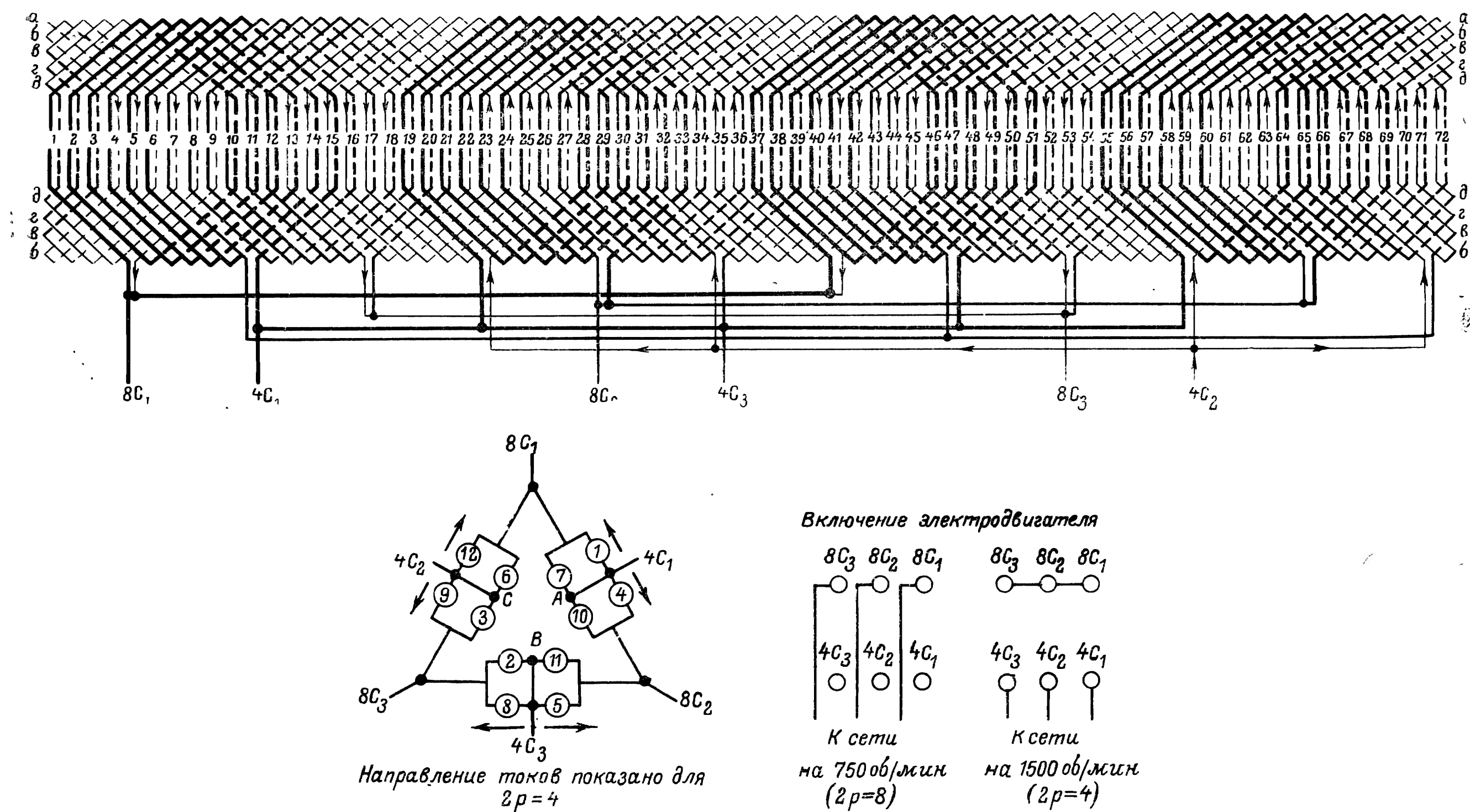


Рис. 3-161. Развернутая схема двухслойной двухскоростной статорной обмотки многоскоростного электродвигателя при $2p=8/4$; $z=72$; $y=1-10$; $a=2$. Соединение фаз $\Delta/\Delta\Delta$.

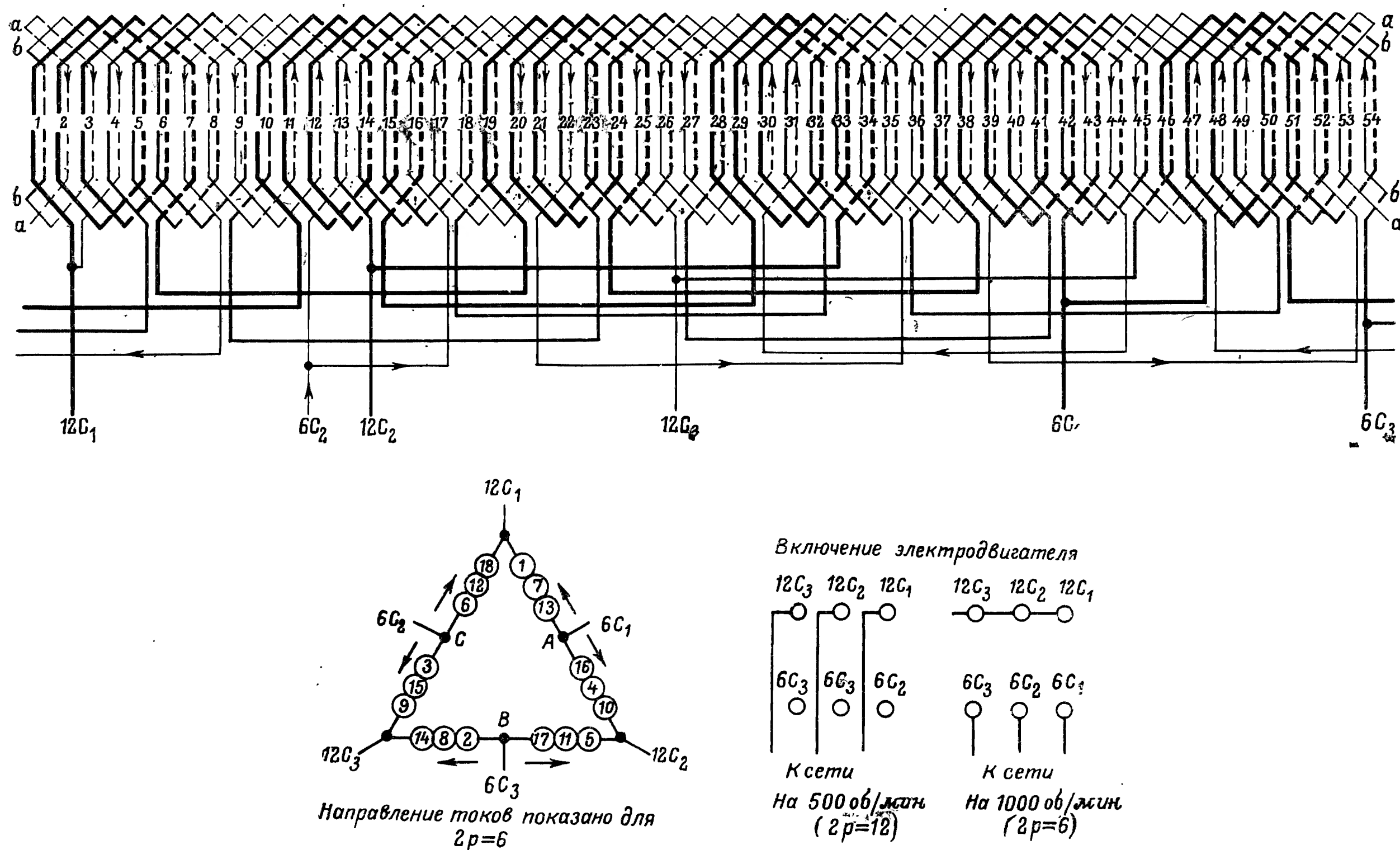


Рис. 3-162. Развернутая схема двухслойной двухскоростной статорной обмотки многоскоростного электродвигателя при $2p=12/6$; $z=54$; $y=1-5$; $a=1$. Соединение фаз $\Delta/\Delta\Delta$.

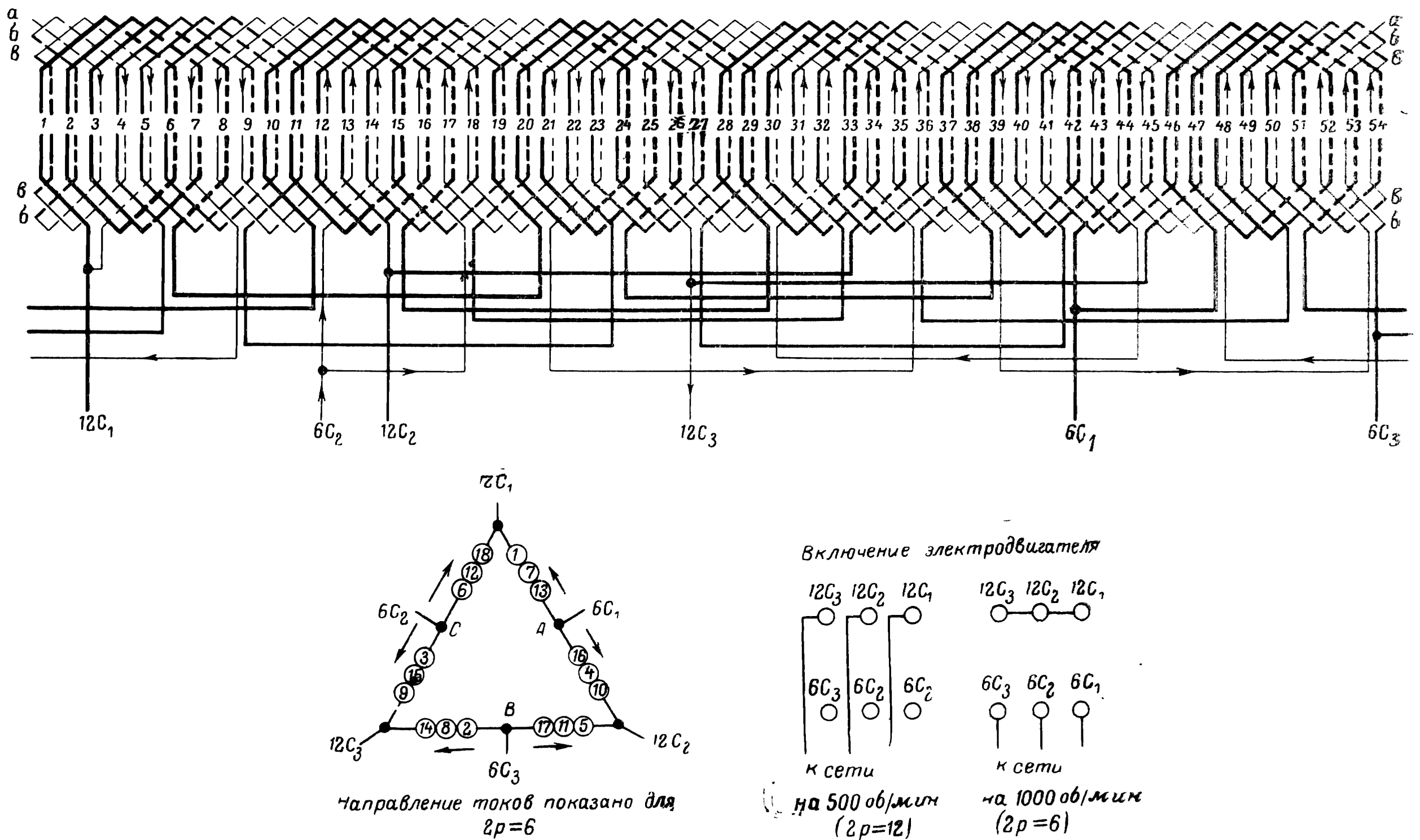


Рис. 3-163. Развернутая схема двухслойной двухскоростной статорной обмотки многоскоростного электродвигателя при $2p=12/6$; $z=54$; $y=1-6$; $a=1$. Соединение фаз $\Delta/\Delta\Delta$.

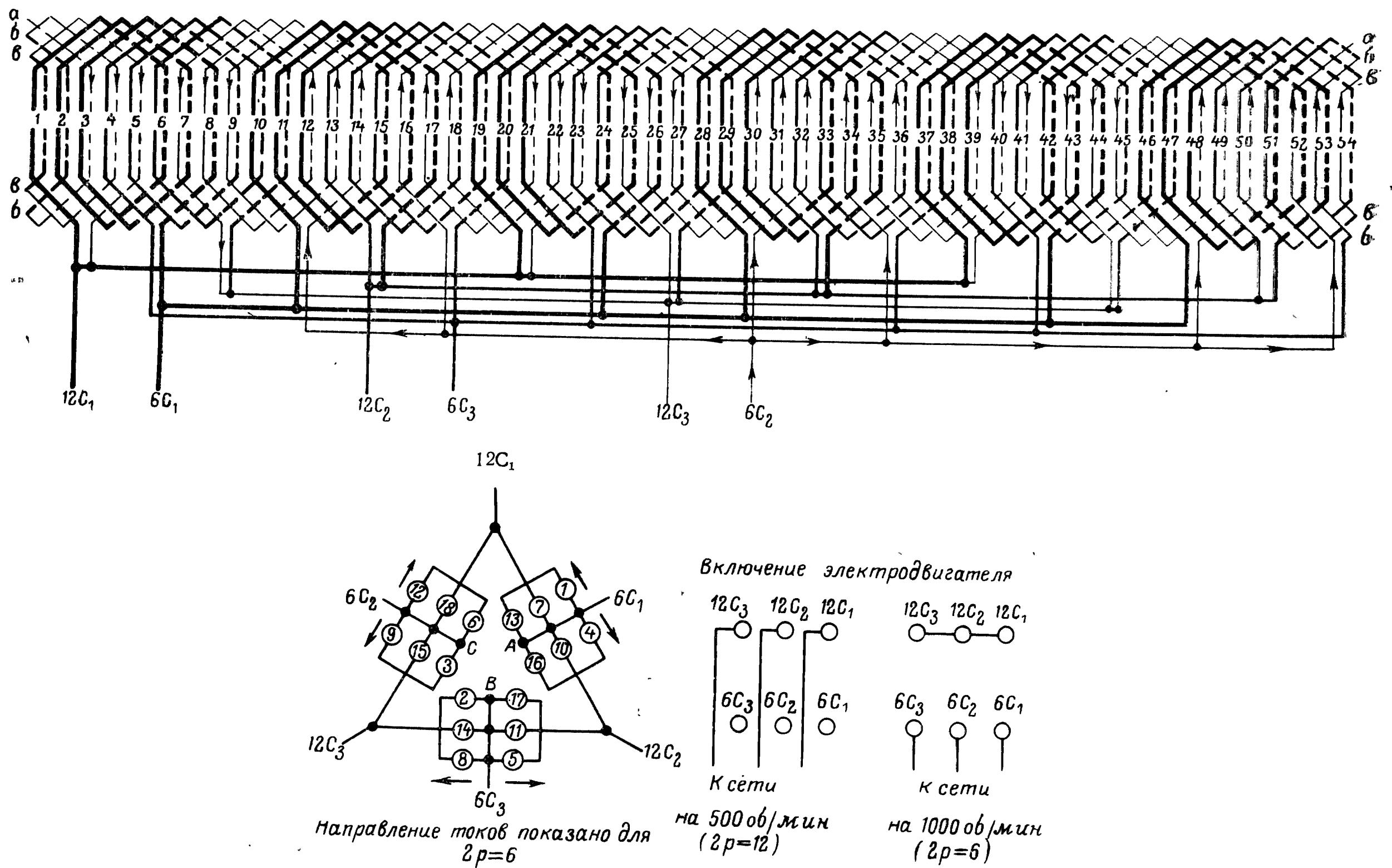


Рис. 3-164. Развернутая схема двухслойной двухскоростной статорной обмотки многоскоростного электродвигателя при $2p=12/6$; $z=54$; $y=1-6$; $a=3$. Соединение фаз $\Delta/\Delta\Delta$.

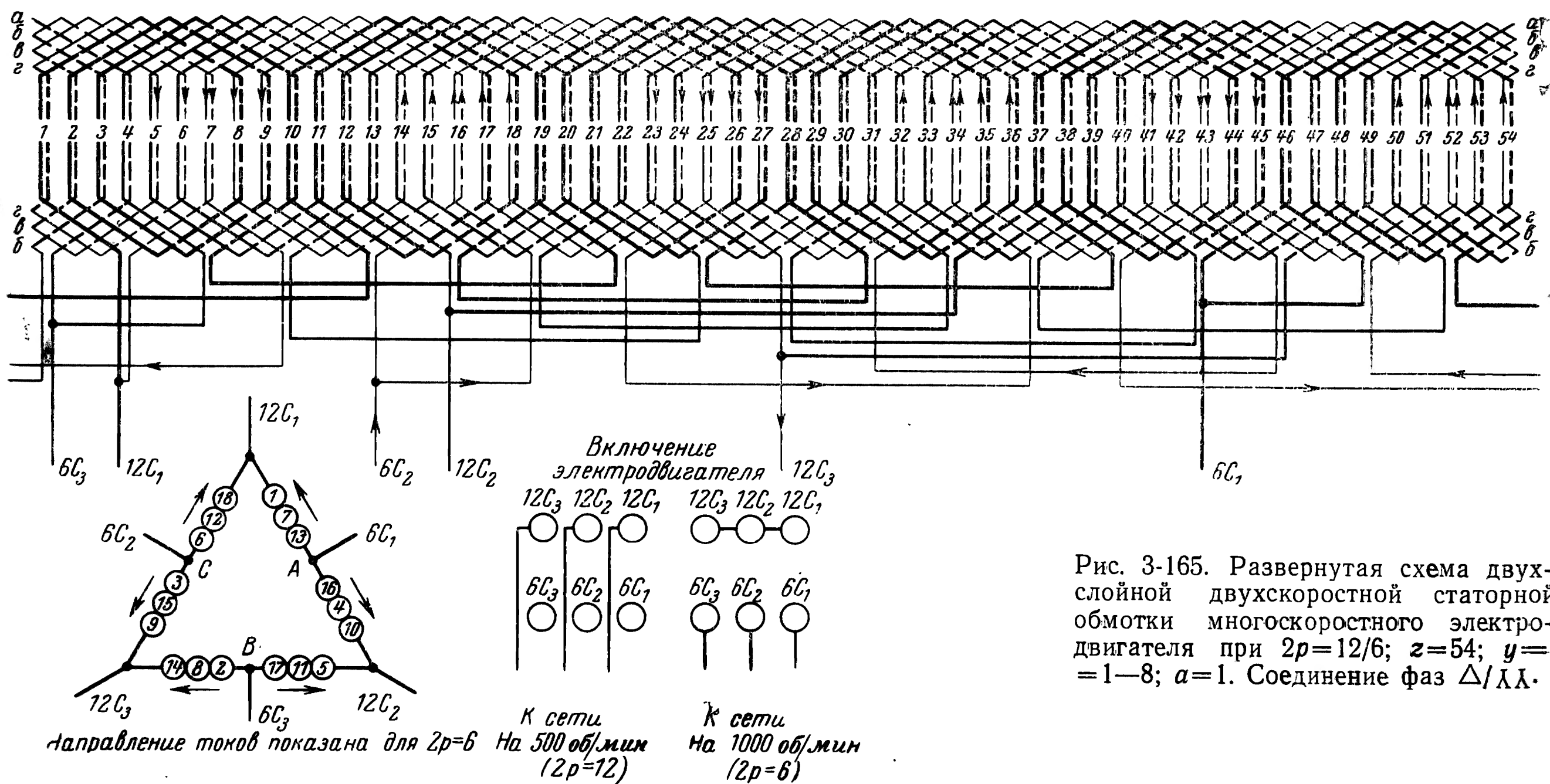


Рис. 3-165. Развернутая схема двухслойной двухскоростной статорной обмотки многоскоростного электродвигателя при $2p=12/6$; $z=54$; $y=1-8$; $a=1$. Соединение фаз $\Delta/\lambda\lambda$.

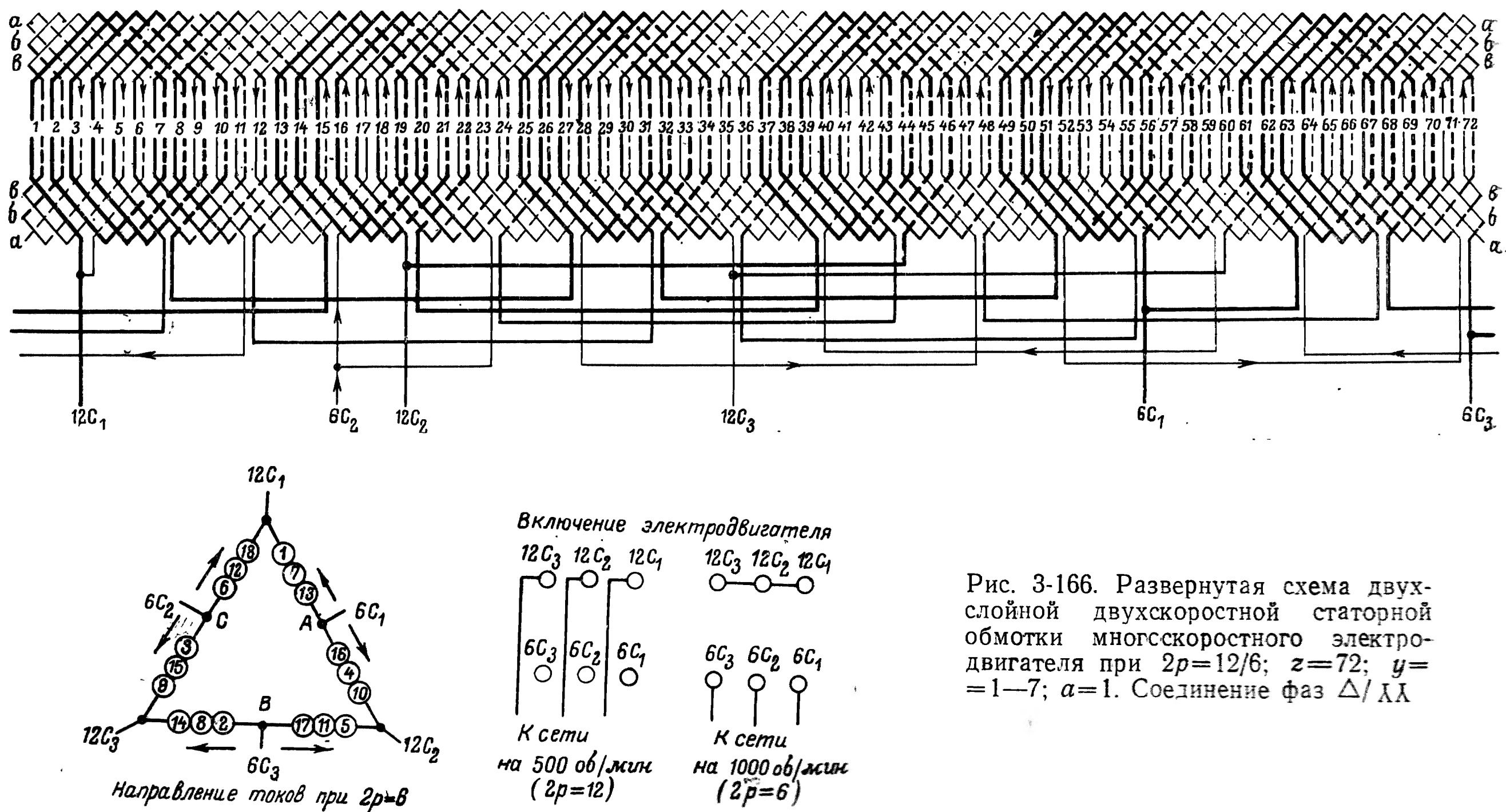
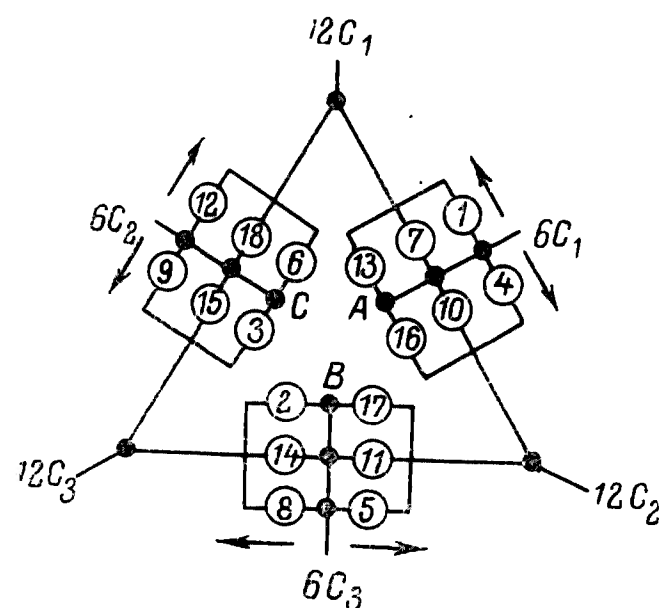
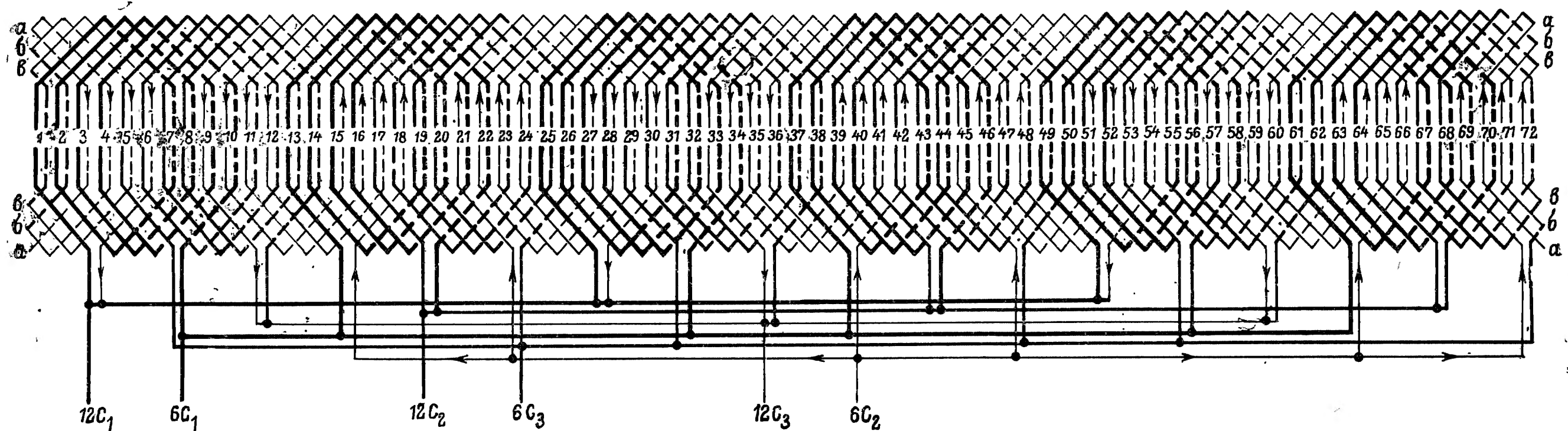


Рис. 3-166. Развернутая схема двухслойной двухскоростной статорной обмотки многоскоростного электродвигателя при $2p=12/6$; $z=72$; $y=1-7$; $a=1$. Соединение фаз $\Delta/\lambda\lambda$.



Направление токов показано для $2p=6$

Включение электродвигателя

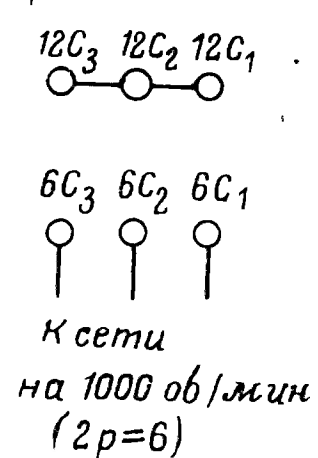
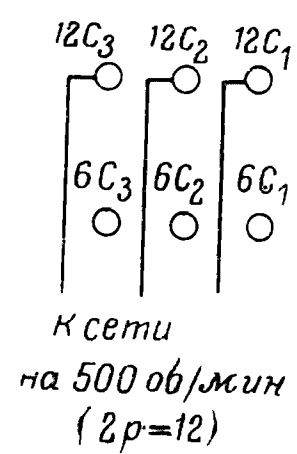


Рис. 3-167. Развернутая схема двух-
слойной двухскоростной статорной
обмотки многоскоростного электро-
двигателя при $2p=12/6$; $z=72$; $y=$
 $=1-7$; $a=3$. Соединение фаз $\Delta/\lambda\lambda$.